QE
N48
INDEX
1905-09

REPERTORIUM

zum

Neuen Jahrbuch für Mineralogie

Geologie und Paläontologie

für die

Jahrgänge 1905—1909, das Centralblatt für Mineralogie, Geologie und Paläontologie Jahrgänge 1905—1909 und die Beilage-Bände XXI—XXVIII.

Ein Personen-, Sach- und Orts-Verzeichnis

für die darin enthaltenen Originalabhandlungen und Referate.

220491.

Stuttgart.
E. Schweizerbart'sche Verlagsbuchhandlung
Nägele & Dr. Sproesser.
1911.

SMITHSONIAN
LIBRARY

Druck von Carl Grüninger, K. Hofbuchdruckerei Zu Gutenberg (Klett & Hartmann), Stuttgart.

Inhalt.

Seite

I. Personenverzeichnis 1
II. Sach- und Ortsverzeichnis 197

Das Ortsverzeichnis ist mit dem Sachverzeichnis vereinigt.

Die Seitenzahlen der Originalabhandlungen und -Mitteilungen sind durchweg cursiv, die der Referate mit gewöhnlichen Lettern gedruckt. Im Personenverzeichnis sind außerdem die Titel der Originalabhandlungen und -Mitteilungen durch cursive Schrift hervorgehoben.

I. Personenverzeichnis.

BB bedeutet Beilageband. — CBl Centralblatt. — Die Abhandlungen und brieflichen Mitteilungen sind durch *cursive* Schrift hervorgehoben.

A.

	Jahrg.	Bd.	Seite
Aars, L. A.: Ueber die analytische Bestimmung von Beryllium und den sogenannten seltenen Erden nebst Analysen von Phenakit, Monazit, Euxenit, Hellandit und Uwarowit. .	CBl 1907		247
Abel, O.: Die Milchmolaren der Sirenen	*1906*	*II*	*50*
— Die Sirenen der mediterranen Tertiärbildungen Oesterreichs	05	I	504
— Studien in den Tertiärbildungen des Tullner Beckens 1905 II 292	06	I	296
— Wirbeltierfährten aus dem Flysch der Ostalpen	05	II	434
— Die geologische Beschaffenheit des Bodens von Wien	05	II	434
— Ueber einen Fund von Sivatherium giganteum bei Adrianopel	05	II	470
— Die phylogenetische Entwicklung des Cetaceengebisses und die systematische Stellung der Physeteriden	06	II	294
— Eine Stammtype der Delphiniden aus dem Miocän der Halbinsel Taman	06	II	296
— Ueber Halitherium bellunense, eine Uebergangsform zur Gattung Metaxytherium	06	II	448
— Les Odontocètes du Boldérien (Miocène supérieur) d'Anvers	07	I	130
— Die Stammesgeschichte der Meersäugetiere	09	I	438
— Ueber die Bedeutung der neuen Fossilfunde im Alttertiär Aegyptens für die Geschichte der Säugetiere	09	I	438
— Die Morphologie der Hüftbeinrudimente der Cetaceen	09	II	113
— Cetaceenstudien. I. Mitteilung. Das Skelett von Eurhinodelphis aus dem Obermiocän von Antwerpen	09	II	117
— Cetaceenstudien. II. Mitteilung. Der Schädel von Saurodelphis argentinus aus dem Pliocän Argentiniens	09	II	118
— *Ueber den als Beckengürtel von Zeuglodon beschriebenen Schultergürtel eines Vogels aus dem Eocän von Alabama*	*CBl 1906*		*450*
— *Der Anpassungstypus von Metriorhynchus*	*CBl 1907*		*225*
— siehe Fuchs, Th.			
Abel, O. und J. Dreger: Exkursion nach Heiligenstadt, Nußdorf und auf den Kahlenberg	1905	II	115

	Jahrg.	Bd.	Seite
Achiardi, G. D': Alcune osservazioni sopra i quarzi di Palombajo (Elba)	1905	I	20
— Analisi di alcuni minerali bauxitici italiani	05	I	22
— Forme cristalline del beryllo elbano	05	II	23
— Di alcuni minerali dei filoni tormaliniferi nel granito di S. Piero in Campo (Elba)	05	II	34
— Notizie sul giacimento cinabrifero di Kara-Barun nell' Asia Minore	06	I	331
— Zeolite probabilmente nuovo dell' Isola d'Elba	06	I	344
— Metamorfismo sul contatto fra calcare e granito al Posto dei Cavoli presso S. Piero in Campo (Elba)	06	I	373
— Cenni su di una anfibolite orneblendica nel granito di S. Piero in Campo (Elba)	06	I	375
— I minerali dei marmi di Carrara. Karbonate	06	II	175
— I minerali dei marmi di Carrara. Aggiunte alle parti 1 a e 2 a	06	II	176
— I minerali dei marmi di Carrara (Parte terza). Epidote. Miche. Anfiboli. Albite. Scapolite	06	II	176
— I minerali dei marmi di Carrara (parte seconda). (Zolfo, Realgar, Oripimento, Pyrite, Arsenicopirite, Galena, Calcosina, Tetraedrite, Rutilo, Oligisto, Limonite, Fluorina, Magnetite)	07	I	214
— Le cave di Tormalina dell' Isola d'Elba	08	II	32
— Zeoliti del filone della Speranza presso S. Piero in Campo (Elba)	08	II	33
Achtner, V.: Untersuchung verschiedener Mineralien auf Radioaktivität mittels der elektrischen und photographischen Methode	05	II	341
Adams, E. P.: On the absence of Helium from Carnotite	07	I	9
Adams, F. D.: On a New Nepheline Rock from the Province of Ontario, Canada	05	II	394
— Report of the special committee for the Lake Superior Region	07	I	107
— siehe Report etc.			
Adams, F. D. and E. G. Coker: An Investigation into the Elastic Constants of Rocks, more especially, with Reference to Cubic Compressibility . . . . . 1907 I 263	08	I	239
Adams, F. D. and O. E. Leroy: The Artesian and other deep wells of the Island of Montreal	09	II	379
Adams, G., E. Haworth and W. R. Crane: Economic Geology of the Jola Quadrangle, Kansas	08	II	376
Adams, G. J. and others: Gypsum deposits in the United States	05	I	207
Adams, G. J., A. H. Purdue and E. F. Burchard: Zinc and Lead Deposits of Northern Arkansas, with a Section on the Determination and Correlation of Formations by E. O. Ulrich	05	II	36
Adams, J.: Geology and water resources of the Patrick and Goshen Holo quadrangles, Wyoming-Nebraska	06	I	267
Aeberhardt: Etude sur les alluvions anciennes des environs de Genève	07	II	129
Agamennone, G.: Sismoscopio a doppio pendolo orizzontale per terremoti lontani	07	I	219
Ahlburg, J.: Die nutzbaren Mineralien Spaniens und Portugals	09	II	79
— Die Tektonik der östlichen Lahnmulde	09	II	85
Ahnert, E. v.: Ueber ein im Biotitgneis des Seja-Gebietes entdecktes Fossil	07	II	158

	Jahrg.	Bd.	Seite
Ahrens, B.: Der rote Kaolin von Kreisau in Schlesien . .	1905	II	23
Aigner, A.: Ueber die Therme von Mitterndorf im steirischen Salzkammergut	05	II	398
Aimonetti, C.: Determinazioni di gravità relativa in Piemonte eseguite coll' apparato pendolare di Sterneck . .	05	I	224
Airaghi, C.: Inocerami del Veneto	05	I	357
— Un nuovo genere della sottofamiglia delle Echinocorynae	09	II	482
Alessandri, G. de: Sopra alcuni odontoliti pseudomiocenici dell' Istmo di Suez	05	II	138
— Note d'ittiologia fossile	05	II	139
— Sopra alcuni avanzi di cervidi pliocenici del Piemonte . .	06	II	132
Alimanestianu, C., L. Mrazec und V. Bratianu: Arbeiten der mit dem Studium der Petroleumregionen (Rumäniens) betrauten Kommission	06	II	390
Alister, D. A. Mc, siehe Mc Alister, D. A.			
Allachverdjeff, D. G.: Vorläufige Mitteilung über den ersten Fund von Silur in Bulgarien	*CBl*	*1905*	*679*
Allen, E. T., siehe Day, A. L. etc.			
Allen, E. T. and J. K. Clement: The rôle of water in Tremolite and certain other minerals	09	II	17
Allen, E. T. and W. P. White: On Wollastonite and Pseudo-Wollastonite, polymorphic forms of Calcium Metasilicate; with optical study by Fred. Eugene Wright	07	I	29
Allen, E. T., F. E. Wright and J. K. Clement: Minerals of the composition $Mg\,Si\,O_3$, a case of tetramorphism .	08	I	18
Allen, J. A.: A fossil Porcupine from Arizona	07	I	305
Allen, L. E., siehe Hulett, S. A.			
Almera, D. J. et Bofili y Poch: Consideraciones sobre los restos fosíles cuaternarios de la caverna de Gracia, Barcelona	06	I	143
Aloisi, P.: Albite nel calcare nummulitico di Ortola (Massa)	07	II	21
— Rocce a spinello dell' Isola d'Elba	08	II	211
— Adamina di Monte Valerio (Campiglia marittima)	08	II	318
— Contributo allo studio petrografico delle Alpi Apuane. (Rocce granitiche, eufotitiche, diabasiche e serpentinose.) . . .	08	II	214
Ambronn, H.: Ueber Umkristallisation und Gelbildung beim Erhärten des Zements	09	II	85
Ameghino, F.: Cuadro sinoptico de las formaciones sedimentarias, terciarias y cretáceas de la Argentina en la relacion con el desarollo y descendencia de los mamíferos . . .	05	I	132
— L'âge des formations sédimentaires de Patagonie	05	I	136
— Sur la géologie de Patagonie	05	I	143
— Los Diprotodontes de l'orden de los Plagiaulacoideos y el origen de los Rodedores y de los Polymastodontes . . .	05	I	157
— Notices préliminaires sur des Ongulés nouveaux des terrains cretacés de Patagonie	05	I	167
— Recherches de Morphologie phylogénétique sur les molaires supérieures des Ongulés	05	II	454
— Palaeontologia Argentina.	06	II	124
— Les Édentés fossiles de France et d'Allemagne	07	I	462
— La perforación astragaliana en los mamíferos no es un caracter originariamente primitivo	07	I	466
— Presencia de la perforación astragaliana en el tejón (Meles taxus Bodd.)	07	I	466
— La perforación astragaliana en el Orycteropus y el origen de los Orycteropidae	07	I	467

	Jahrg.	Bd.	Seite
Ameghino, F.: La perforación astragaliana en Priodontes, Canis (Chrysocyon) y Typotherium	1907	I	467
— La perforation astragalienne sur quelques mammifères du Miocène moyen de France	07	I	467
— La faceta articular inférior unica del Astragalo de algunos mamíferos no es un caracter primitivo	07	I	475
— Les formations sédimentaires du crétacé supérieur et du tertiaire de Patagonie	1907	II	108. 272
Ami, H. M.: Knoydart formation of Nova Scotia	05	I	289
— Notes bearing on the Devono-Carboniferous Problem in Nova Scotia and New Brunswick	05	I	289
— Notes on a collection of silurian fossils from Cape George, Antigonish Co., N. S., with description of four new species	05	I	314
— Preliminary lists of the organic remains occurring in the various geological formations comprised in the south-west quarter-sheet map of the eastern townships of the province of Quebec	05	I	314
— Preliminary lists of the organic remains occurring in the various geological formations comprised in the map of the Ottawa district, including portions of the provinces of Quebec and Ontario, along the Ottawa river	05	I	314
— Description of tracks from the fine-grained siliceous mudstones of the Knoydart formation (Eodevonian) of Antigonish County, Nova Scotia	05	I	340
Ammon, F.: Beiträge zur Kenntnis der Speckstein- und Pseudophitbildung	05	II	214
Ammon, L. v.: Die Steinkohlenformation in der bayrischen Rheinpfalz	06	I	109
Ampferer, O.: Die Mündung des Vomperbaches	06	I	293
— Ueber Wandbildung im Karwendelgebirge	06	I	406
— Die Triasinsel des Gaisberges bei Kirchberg in Tirol	09	I	97
— Grundzüge der Geologie des Mieminger Gebirges	09	I	411
— Geologische Beschreibung des Seefelder, Mieminger und südlichen Wettersteingebirges	09	I	411
— Bericht über die Neuaufnahme des Karwendelgebirges	09	I	412
— Geologische Beschreibung des nördlichen Teiles des Karwendelgebirges	09	I	412
— Einige allgemeine Ergebnisse der Hochgebirgsaufnahme zwischen Achensee und Fernpaß	09	I	413
Ampoulange, siehe Capitan.			
Amthor, R.: Reste tertiärer Ablagerungen nördlich von Gotha	07	II	458
— Eiszeitreste bei Ballstädt nördlich von Gotha	07	II	459
Anderlini, F., siehe Nasini, R.			
Anderson, C.: An association of Natrolite and Datolite at Pokolbin, New South Wales	06	I	342
— Mineralogical notes: No. 1. Topaz, Beryl, Vesuvianite, Tourmaline, and Wolframite	06	I	359
Anderson, F. M.: Cretaceous deposits of the Pacific Coast	06	I	287
Anderson, G. E.: Studies in the development of certain palaeozoic corals	09	I	293
Anderson, N. C.: A Preliminary List of fossil Mastodon and Mammoth Remains in Illinois and Iowa	07	I	305
Anderson, T.: Characteristic of recent volcanic eruptions	05	I	404
Anderson, W.: The Upper Cretaceous rocks of Natal and Zululand	07	II	289
Andersson, J. G.: Solifluction, a component of subaërial denudation	08	II	344

	Jahrg.	Bd.	Seite
Andersson, J. G.: On the Geology of Grahamland . . .	1909	II	100
Andrä, E.: Eruptivgesteine im Nordwesten Kleinasiens . .	07	II	70
Andreae, A.: Dritter Beitrag zur Kenntnis des Miocäns von Oppeln i. Schl.	05	II	453
Andrée, A.: Mineralogisches aus der Solfatara bei Neapel .	07	II	198
Andrée, K.: Ueber das Vorkommen eines Nautilus in der Culmgrauwacke des Oberharzes bei Wildemann	*08*	*I*	*145*
— Der Teutoburger Wald bei Iburg	06	II	419
— Ueber den Erhaltungszustand eines Goniatiten und einiger anderer Versteinerungen aus dem Banderz des Rammelsberger Kieslagers	09	II	242
— *Ueber stetige und ununterbrochene Meeressedimentation, ihre Ursachen, sowie über deren Bedeutung für die Stratigraphie*	*BB*	*XXV*	*366*
— *Nautilus in der Culm-Grauwacke des Oberharzes . . . . .*	*CBl*	*1908*	*293*
— *Schwerspat mit Lamellen vom Rosenhof bei Clausthal . . . .*	*CBl*	*1908*	*230*
— Neue Funde von Arthropleura armata Jordan	CBl	1909	753
Andrejew, I.: Die Wachstums- und Auflösungsgeschwindigkeit der Kristalle	08	II	150
Andrews, C. W.: Notes on an Expedition to the Fayûm, Egypt, with Descriptions of some New Mammals . . .	05	I	156
— Extinct vertebrates from Egypt. Part II	06	I	152
— Further Notes on the Mammals of the Eocene of Egypte	06	I	446
— Note on the Barypoda, a new Order of Ungulate Mammals	06	II	135
— Note on some recently discovered Remains of the Musk Ox (Ovibos moschatos Zimm.) from the Pleistocene Beds of Southern England	07	I	301
— Note on the Species of Palaeomastodon	07	I	459
— A descriptive Catalogue of the Tertiary Vertebrata of the Fayûm, Egypt, based on the Collection of the Egyptian Museum, Cairo, and on the Collection in the British Museum (Natural History) London	07	II	307
— Note on a Model of the Skull and Mandible of Prozeuglodon atrox Andrews	09	I	439
Andrews, E. C.: A preliminary Note on the Structure of Mount Lindsay	07	I	402
— The Geology of the New England Plateau, with special reference to the Granites of Northern New England . .	07	I	402
— Some interesting facts concerning the glaciation of southwestern New Zealand	07	II	298
— The ice-flood hypothesis of the New Zealand sound basins	08	II	340
Andrussow, N.: Spuren „Levantinischer" Ablagerungen in Südrußland	*CBl*	*1906*	*413*
Angelis d'Ossat, G. de: La resistenza specifica elettrica delle rocce e dei terreni agrari	05	I	223
— Sulle condizioni sfavorevoli per i pozzi artesiani tra Roma ed i Colli Laziali	06	II	79
— Coralli triasici in quel di Forni di Sopra (Carnia)	07	I	486
— Zoontari miocenici dell' Hérault (Francia meridionale) . .	07	I	487
Angermann, E.: El fierro meteorico de Bacubirito (Est. de Sinaloa)	05	I	217
Ans, J. d': Ueber Ammoniumsyngenit	08	I	37
— siehe Hoff, J. H. van't.			
Antenen, F.: Beitrag zur Kenntnis der Alluvialbildungen am unteren Ende des Bieler Sees	09	I	436
Antipow, J.: Ueber einige Mineralien aus russischen Lagerstätten	09	II	37

	Jahrg.	Bd.	Seite
Antula, D. J.: Les gisements de cuivre dans les environs de Bor et de Krivelj	1906	I	231
— La Serbie à l'exposition universelle de 1905 à Liège. VIII. L'industrie minérale	07	I	251
Aradi, V. jun.: Der Jura des Ofener Gebirges und allgemeine Betrachtung über die tektonischen Verhältnisse desselben	*CBl 1908*		*391*
— siehe Lörenthey, J. v.			
Arbenz, P.: Ueber die Fortsetzung der Ueberfaltungsdecken westlich des Urnersees (Vierwaldstättersee)	06	II	395
— Diploporen aus dem Schrattenkalk im Säntisgebiet	09	I	154
— Geologische Untersuchung des Frohnalpstockgebietes (Kanton Schwyz)	09	I	401
Arber, E. A. N.: On some new species of Lagenostoma, a Type of pteridospermous Seed from the Coal-Measures	07	I	164
— Catalogue of the fossil plants of the Glossopteris-Flora in the departement of geology	08	I	152
— On Triassic Species of the Genera Zamites and Pterophyllum: Types of Fronds belonging to the Cycadophyta	08	II	448
— Bibliography of Literature of Palaeozoic Fossil Plants, including some of the more important memoirs published between 1870—1905	09	I	144
— On the Affinities of the Triassic Plant Yuccites vogesiacus Schimp. et Moug.	09	I	151
— On the fossil Plants of the Waldershare and Fredville Series of the Kent Coalfield	09	I	302
— siehe Scott, D. H.			
Arber, E. A. N. and H. H. Thomas: On the structure of Sigillaria scutellata Brongn. and other Eusigillarian stems, in comparison with those of other palaeocoic Lycopods.	09	I	145
Archangelsky, A. D.: Paläocänablagerungen an der Wolga im Gouvernement Saratow und ihre Fauna	05	II	120
— Sur quelques Ostrea du Paléocène et du Cretacé supérieur de la Russie	08	I	446
Arctowski, H. et J. Thoulet: Expédition antarctique Belge. Résultats du voyage S. Y. Belgica 1897—1899. Rapport sur les densités de l'eau de mer	06	II	97
Arendt, R.: Grundzüge der Chemie und Mineralogie	CBl 1905		59
Argand, E.: Sur la tectonique du massif de la Dent-Blanche	09	II	88
— Sur la tectonique de la zone d'Ivrée et de la zone du Strona	09	II	88
— Contribution à l'histoire du géosynclinal piémontais	09	II	90
— siehe Lugeon, M. et Argand, E.			
Arldt, Th.: Die Größe der alten Kontinente	*07*	*I*	*32*
Armand, V.: Une station solutréenne, nouvelle grotte et abri sousroche de Lacave (Lot)	06	I	445
Arnold, R.: Dome structure in conglomerate	09	II	64
— siehe Haehl, H. L.			
Arnold, R. and A. M. Strong: Some Crystalline rocks of the San Gabriel Mountains, California	07	II	222
Arnold-Bemrose, H. H.: On some Quartzite-Dykes in Mountain-Limestone near Snelston (Derbyshire)	05	II	388
Arnold-Bemrose, H. H. and Ed. T. Newton: On an Ossiferous Cavern of Pleistocene Age at Hoc Grange Quarry Longcliffe near Brassington (Derbyshire)	1907	I	448. 453
Arrhenius, S.: Die physikalischen Grundlagen der Kohlensäuretheorie der Klimaveränderungen	CBl 1909		481
— siehe auch Kayser, E., sowie Koken, E.			

	Jahrg.	Bd.	Seite
Arsandaux, H.: I. De la variabilité de la composition chimique du magma fondu d'une éruption pendant le cours de celle-ci. II. Interprétation de la composition chimique d'un tel magma	1905	I	246
— Contribution à l'étude des roches sodiques de l'Est-Africain	05	I	247
— Contribution à l'étude des roches basaltiques de l'Est-Africain	05	I	248
— Sur les gîtes aurifères du massif du Khakhadian (Soudan occidental)	06	I	9
— Sur un trachyte à noséane du Soudan français	06	I	391
— Sur l'extension des roches alcalines dans le bassin de l'Aouache	07	II	415
Artemjew, D.: Baryt aus dem Gouvernement Kostroma	07	II	376
Arthaber, G. v.: Die alpine Trias des Mediterrangebietes. (Lethaea geognostica. II. Teil. 1. Band: Trias.)	06	I	416
— Beiträge zur Kenntnis der Organisation und der Anpassungserscheinungen des Genus Metriorhynchus	08	II	439
— Ueber die Entdeckung von Untertrias in Albanien und ihre faunistische Bewertung	08	II	399
— *Ueber den Anpassungstypus von Metriorhynchus*	*CBl 1907*		385
— *Ueber die Hinterextremität von Metriorhynchus*	*CBl 1907*		*502*
Aschan, O.: Die Bedeutung der wasserlöslichen Humusstoffe (Humussole) für die Bildung der See- und Sumpferze	09	I	77
Atkin, A. J. R.: The Genesis of the Gold-Deposits of Barkerville (British Columbia) and the Vicinity	06	I	75
— Some Notes on the Gold Occurrences on Lightning Creek, B. C.	07	I	407
— An Occurrence of Scheelite, near Barkerville, B. C.	07	II	32
Atterberg, A.: Sandslagens klassifikation och terminologi	06	I	205
— Die rationelle Klassifikation der Sande und Kiese	06	I	205
— Analysen dreier Laterite aus Brasilien	CBl	1909	361
Atwood, W. W.: Red Mountain, Arizona: a dissected volcanic cone	09	I	45
Auer, E.: Ueber einige Krokodile der Juraformation	09	I	450
— *Die Extremitäten von Metriorhynchus*	*CBl 1907*		*536*
— *Weitere Beiträge zur Kenntnis des Genus Metriorhynchus*	*CBl 1907*		*353*
Auerbach, A.: Die Heimat erratischer Geschiebe aus der Umgegend von Gera	07	II	462
Auerbach, F.: Der Zustand des Schwefelwasserstoffs in Mineralquellen	06	I	327
Autenrieth, W.: Eine einfache Methode der Bestimmung des Kaliums in Silikaten	*CBl 1908*		*513*
Avebury, L.: An Experiment in Mountain-Building: Part II	06	I	405

B.

Bach, F.: Zur Kenntnis der Oberkieferbezahnung obermiocäner Rhinocerotiden	09	II	121
— Mastodon-Reste aus der Steiermark (II. Mitteilung)	09	II	122
— Listriodon splendens H. v. M. aus Steiermark	08	II	430
— *Das Alter des „Belvedereschotters"*	*CBl 1908*		*386*
Bächler, E.: Die prähistorische Kulturstätte in der Wildkirchli-Ebenalphöhle (Säntisgebirge, 1477—1500 m ü. M.)	08	I	106
Bäckström, H.: Ekströmsbergs och Mertainens jernmalmfälts geologi	06	I	231
— Ein Kugelgranit von Spitzbergen	06	II	363
Bagg, R. M.: Foraminifera	07	II	158
— Miocene Foraminifera from the Monterey Shale of California with a few species from the Tejon formation	08	II	283

	Jahrg.	Bd.	Seite
Bagg jr., R. M.: Some Copper Deposits in the Sangre de Christo Range, Colorado	1909	II	400
Bain, H. F.: The Fluorspar deposits of Southern Illinois	06	II	180
— Zinc and Lead Deposits of North-western Illinois	06	II	180
— Sedigenetic and Igneogenetic Ores	07	I	406
— Some Relations of Palaeogeography to Ore-deposition in the Mississippi Valley	08	II	218
Bakalow, P.: Stromatorhiza, eine Stromatoporide aus dem oberen Rauracien des Schweizer Jura	*06*	*I*	*13*
— Vorläufige Mitteilung über die Fauna der Trias und des Jura von Kotel (Bulgarien)	*CBl*	*1905*	*481*
Baklund, H.: Einige Daten zur Kenntnis der gesteinsbildenden Pyroxene	09	II	17
— Rhombischer Pyroxen aus einem „Hypersthengneis“	09	II	16
— Ueber einige Diabase aus arktischem Gebiet	09	II	394
Balbiano, L.: Ricerche sui petroli italiani	05	I	443
Balbiano, L. e P. Zeppa: Ricerche sui petroli italiani	05	I	443
Ball, S. H.: Pre-Cambrian Rocks of the Georgetown Quadrangle, Colorado	08	I	238
Ballore, F. de, Montessus de, siehe Montessus de Ballore, F. de.			
Baltzer, A.: Nachlese zur Geologie des Aarmassivs	05	I	427
— Notiz zum geologischen Kärtchen der Umgebungen des Iseosees und zu den Ueberschiebungen zwischen Camonica und Chiesetal	CBl	1909	135
Bancroft, J. A., siehe Norton Evans, N. and Bancroft, J. A.			
Bang, O. Hofman, O., siehe Hofman-Bang, O.			
Baratta, M.: Il grande terremoto Calabrio dell' 8 settembre 1905	08	I	220
Barbier, Ph.: Sur un caractère chimique différentiel des orthoses et des microclines	09	I	185
— Sur un nouveau mica du groupe paragonite	09	I	190
Barbour, E. H.: A new Miocene Artiodactyl	07	II	485
Bardet, G.: Essai de mesure de l'activité photographique de certaines minéraux	06	I	4
— Inclusions de cristaux de quartz, de rutile et de sidérose dans un quartz de l'Uruguay	08	II	143
Bardon, L. et A. Bouyssonie: Monographie de la grotte de Noailles (Corrèze)	07	I	453
Bardon, L., siehe Bouyssonie, A. et Bardon, L.			
Baren, J. van: De morphologische Bouw van het Diluvium ten Westen van den Ijsel	08	II	252
— siehe Lorié, J.			
Barker, T. V.: On some crystals of Quartz from De Aar (Cape Colony) and other localities	05	I	21
— On the regular growth of soluble salts on each other	09	I	161
— Untersuchungen über regelmäßige Verwachsungen	09	I	321
— Contributions to the theory of isomorphism based on experiments on the regular growths of crystals of one substance on those of another	09	I	322
— The question of a relation between the Parallel Growths of Crystals and Isomorphous Miscibility, and the bearing of Parallel Growths on questions of Isomorphism. — Communications from the Oxford Mineralogical Laboratory No. XI	09	I	324

	Jahrg.	Bd.	Seite
Barker, siehe Wyrouboff, G.			
Barlow, A. E.: Report on the origin, geological relations and composition of the Nickel and Copper deposits of the Sudbury Mining District	1906	II	181
— On the Origin and Relations of the Nickel and Copper Deposits of Sudbury, Ontario, Canada	08	I	81
Barnett, V. H.: Notice on the Discovery of a New Dike at Ithaca, N. Y.	07	II	223
Barré, O.: L'architecture du sol de la France. Essai de géographie tectonique	CBl	1905	439
Barrell, J.: Geology of the Marysville mining district, Montana; a study of igneous intrusion and contact metamorph	09	I	74
Barrett-Hamilton, G. E. H.: Traces of post glacial action in the Orange River Colony South Africa	09	I	111
Barrois, Ch.: Sur le kersanton de la rade de Brest	05	I	427
Barron, T.: On the Age of the Gebel Ahmar Sands and Sandstone, the Petrified Forest and the Associated Lavas between Cairo and Suez	07	I	393
— Rock Cavities in Granite in Madagascar	07	I	393
— Lower Miocene Beds between Cairo and Suez	09	I	100
— Age of the Petrified Forest etc. between Cairo and Suez	09	I	100
— The Topography and Geology of the district between Cairo and Suez	09	I	100
Barrow, G.: On the Moine Gneisses of the East-Central Highlands and their Position in the Highland Sequence	05	II	390
Barrow, G. and H. H. Thomas: On the occurrence of metamorphic minerals in calcareous rocks in the Bodmin and Camelford areas, Cornwall	09	II	205
Barschall, H., siehe Hoff, J. H. van't.			
Bärtling, R.: Zur Frage der Entwässerung lockerer Gebirgsschichten als Ursache von Bodensenkungen, besonders im rheinisch-westfälischen Steinkohlenbezirk	09	I	77
Barus, C.: Note on Volcanic Activity	09	I	82
Barvíř, H. L.: Ueber die Verhältnisse zwischen dem Brechungsexponenten und der Dichte bei einigen Mineralien	05	II	169
— Ueber die Verhältnisse zwischen dem Atomgewicht und der Dichte bei einigen Elementen	05	II	170
— Weitere Bemerkungen über die Verhältnisse zwischen dem Atomgewicht und der Dichte bei einigen Elementen	05	II	170
— Geologische und bergbaugeschichtliche Notizen über die einst goldführende Umgebung von Neu-Knín und Stěchovic in Böhmen	06	II	379
— Zur Frage nach der Entstehung der Graphitlagerstätten bei Schwarzbach in Südböhmen	07	I	81
— Ueber die Möglichkeit der Aufsuchung nutzbarer Erzlagerstätten mittels einer photographischen Aufnahme ihrer elektrischen Ausstrahlung	08	I	78
— Zur Lichtbrechung des Goldes, Silbers, Kupfers und Platins	08	I	170
— Ueber die Lage einiger Kuttenberger Gruben	08	I	401
— Weitere Bemerkungen zu den Kuttenberger Fragen	08	I	401
— Spuren von Goldführung in carbonischen und permischen Schichten Böhmens	08	I	402
— Notizen über den Goldbergbau bei Eule	08	I	402
Baschieri, E.: Sulla costituzione dell' ilvaite	08	II	310
— Nuove considerazioni sulla costituzione dell' Ilvaite	08	II	311

	Jahrg.	Bd.	Seite
Baschieri, E.: Studio sulla costituzione delle zeoliti	1908	II	314
— Nuovo contributo allo studio della costituzione chimica delle zeoliti	09	II	193
Bascom, F.: Piedmont district of Pennsylvania	07	II	220
Bascom, F. und V. Goldschmidt: Anhydritzwilling von Aussee	08	II	320
Basedow, H.: Kritische Bemerkungen zu Dr. Noetling's Erklärungsversuch der Warrnambool-Spuren	*CBl 1909*		*495*
Baskerville, Ch. and G. F. Kunz: Kunzite and its unique properties	05	II	22
Baskerville, Ch. and L. B. Lockhart: The action of Radium emanations on minerals and gems	07	I	8
Baskerville, Ch., siehe Kunz, G. F.			
Bassani, F.: Il Notidanus griseus Cuvier nel Pliocene della Basilicata e di altre regioni italiane e straniere	05	II	315
Bassani, F. e A. Goldieri: Notizie sull' attuale eruzione del Vesuvio (Aprile 1906)	07	I	44
— — Sui vetri forati di Ottajano nella eruzione dell' Aprile 1906	08	I	45
Bassler, R. S.: Cement Materials of Western Virginia	09	II	246
— siehe Ulrich, E. O.			
Bassoli, G. G.: Otolithi fossili terziarii dell' Emilia	06	II	297
Bastin, E. S.: Note on baked clays and natural slags in eastern Wyoming	07	I	244
— Some unusual rocks from Maine	08	II	372
Bate, D. M. A.: Four and a half Months in Crete in search of Pleistocene Mammalian Remains	07	I	298
Bather, F. A.: Echinoderma 1905 II 147	07	II	153
— Sympterura Minveri n. g. et sp.: A devonian Ophiurid from Cornwall	08	I	135
— Australian Palaeontologists on silurian Ophiurids	08	I	138
— The discovery in west Cornwall of a silurian crinoid characteristic of Bohemia	09	I	134
— siehe Fox, H., sowie Koehler, R.			
Bauer, F.: Petrographische Untersuchung des Duppauer Theralithvorkommens	05	II	55
Bauer, L.: Das Goldvorkommen von Tangkogae in Korea	07	I	258
Bauer, M.: Weitere Mitteilungen über den Jadeit von Ober-Birma	*CBl 1906*		*97*
— *Wurfschlacken und Lava der Vesuv-Eruption 1906*	*CBl 1906*		*327*
— Edelsteinkunde	CBl 1909		443
— *Beitrag zur Kenntnis des Laterits, insbesondere dessen von Madagaskar*	*Festband*		*33*
Baum, F.: Ein Beitrag zur Kenntnis der Stufe des Ammonites (Stephanoceras) Blagdeni	CBl 1909		733
Baumberger, E.: Fauna der unteren Kreide im westschweizerischen Jura. I. Stratigraphische Einleitung	05	I	155
— Fauna der unteren Kreide im westschweizerischen Jura. II. III. Die Ammonitiden der unteren Kreide im westschweizerischen Jura 1906 II 143	07	I	483
Baumberger, E. und A. Heim: Paläontologisch-stratigraphische Untersuchung zweier Fossilhorizonte an der Valangien—Hauterivien-Grenze im Churfirsten—Mattstockgebiet. Mit einigen Bemerkungen über die Stratigraphie der analogen Schichten der Zentralschweiz von Aug. Buxtorf	08	I	425

	Jahrg.	Bd.	Seite
Baumgärtel, B.: Der Erzberg bei Hüttenberg in Kärnten	1905	II	80
— Das Nebengestein der Chromeisenerzlagerstätten bei Dubostica in Bosnien und das Auftreten von sekundär gebildetem Chromit in demselben	05	II	383
— Beitrag zur Kenntnis der Kieslagerstätten zwischen Klingenthal und Graslitz im westlichen Erzgebirge	07	II	81
— Bemerkungen zur Arbeit „Zur Kenntnis der Kieslagerstätten zwischen Klingental und Graslitz im westlichen Erzgebirge“ von Dr. Otto Mann in Dresden	08	I	84
— *Blaue Kainitkristalle vom Kalisalzwerk Asse bei Wolfenbüttel*	*CBl 1905*		*449*
— Oberharzer Gangbilder	CBl 1907		550
— *Ueber Quarzinjektionen in der Umgebung der vogtländisch-westerzgebirgischen Granitmassive*	*CBl 1907*		*716*
— Ueber Sphärosiderite in unmittelbarer Nachbarschaft des Rammelsberger Kieslagers	CBl 1909		577
Baumhauer, H.: Untersuchungen über die Entwicklung der Kristallflächen im Zonenverbande	05	I	1
— Ueber die Aufeinanderfolge und die gegenseitigen Beziehungen der Kristallformen in flächenreichen Zonen	05	II	332
— Die Mineralien des Binnentals	06	II	27
— Ueber die regelmäßige Verwachsung von Rutil und Eisenglanz	07	I	196
— Ueber das Gesetz der regelmäßigen Verwachsung von Rutil und Eisenglanz	08	I	175
— *Ueber die Winkelverhältnisse des Benitoit*	*CBl 1909*		*592*
— Die neuere Entwicklung der Kristallographie	CBl 1905		598
Baumhauer, H. und C. O. Trechmann: Neuere Beobachtungen am Baryt des Binnentales	09	I	345
Baur, E.: Systeme aus Kieselsäure und Flußsäure	1905	II	4
— Chemische Kosmographie	06	I	6
Bazarewski, St. v.: Beiträge zur Kenntnis der Nitrifikation und Denitrifikation im Boden	CBl 1905		91
Beck, H.: Geologische Mitteilungen aus den Kleinen Karpathen	08	II	186
— Lias bei Vareš in Bosnien	05	I	446
Beck, R.: Die Nickelerzlagerstätte von Sohland a. d. Spree und ihre Gesteine	05	I	465
— Ueber die Erzlager der Umgebung von Schwarzenberg im Erzgebirge	05	I	94
— Ueber einige Eruptivgneise des sächsischen Erzgebirges	06	I	76
— Ueber einige Kieslagerstätten im sächsischen Erzgebirge	06	I	366
— Ueber die Beziehungen zwischen Erzgängen und Pegmatiten	07	II	80
— Einige Bemerkungen über afrikanische Erzlagerstätten	08	I	80
— Untersuchungen über einige südafrikanische Diamantlagerstätten	08	I	396
— Ueber ein kürzlich aufgeschlossenes Wolframerzgangfeld und einige andere neue Aufschlüsse in sächsischen Wolframerzgruben	09	II	237
Beck, R., siehe Dieseldorff, A.			
Becke, F.: Ueber Mineralbestand und Struktur der kristallinischen Schiefer	09	II	242
— Die Eruptivgesteine des böhmischen Mittelgebirges und der amerikanischen Andes. Atlantische und pazifische Sippe der Eruptivgesteine	1905	I	59. 75
— Optische Untersuchungsmethoden	05	II	52
— Bestimmung der Dispersion der Doppelbrechung	05	II	333
— Die optischen Eigenschaften der Plagioklase	05	II	333
	07	I	351

	Jahrg.	Bd.	Seite
Becke, F.: Ueber die vulkanischen Laven	1907	I	53
— Messung des Winkels der optischen Achsen aus der Hyperbelkrümmung	07	II	165
— Die Skiodromen. Ein Hilfsmittel bei der Ableitung der Interferenzbilder	07	II	165
— Whewellit von Brüx	09	I	15
— Bemerkungen über krumme Kristallflächen	09	I	17
— Ueber Kristallisationsschieferung und Piezokristallisation	09	I	375
— Ueber Myrmekit	09	II	180
— Die Mallard'sche Konstante des Mikrokonoskops	09	II	327
— Zur Unterscheidung ein- und zweiachsiger Kristalle im Konoskop	09	II	328
— Gipszwillinge von Bochnia	09	II	362
— siehe Penck, A., sowie Štěp, J.			
Beckenkamp, J.: Bemerkungen zu der Abhandlung von P. P. Koch	05	II	333
— Ueber einen Fund von gediegenem Eisen	06	I	10
— Ueber die Massenverteilung beim Quarz	07	II	181
— Ueber die Magnetisierung der dem Thomson'schen Gesetz nicht folgenden Mineralien	07	II	352
— Ueber neuere Aufgaben der Mineralogie	08	I	1
— Ueber Chalkopyrit von Arakawa, Provinz Ugo in Japan, und über die Struktur des Chalkopyrits im allgemeinen	08	I	173
— Ueber die Dioxyde der Elemente der vierten Gruppe des periodischen Systems	08	I	329
— Ueber die Monoxyde und Monosulfide der Elemente der zweiten Gruppe und über einige Oxyde und Sulfide von Elementen anderer Gruppen des periodischen Systems	08	II	148
Becker, E.: Der Roßbergbasalt bei Darmstadt und seine Zersetzungsprodukte	06	I	367
— Der Wartenberg bei Geisingen in Baden	07	II	403
— Die Basalte des Wartenbergs bei Geisingen in Baden	09	II	67
— Chemische Beziehungen einiger melilithhaltiger Basalte. Ein neuer Beitrag zur Petrographie des Basaltes von Wartenberg bei Geisingen	09	II	67
Becker, G. F.: Experiments on schistosity and slaty cleavage	05	II	408
— Current Theories of Slaty Cleavage	09	I	53
Becquerel, J.: Sur les variations des bandes d'absorption d'un cristal dans un champ magnétique	07	II	29
Beeby, T.: The use of a geological datum	06	I	43
Beecher, Ch. E.: Note on a New Permian Xiphosuran from Kansas	06	II	298
— Observations on the genus Romingeria	07	I	486
Beekman, E. H. M.: Geschiedenis der systematischen Mineralogie	CBl	1907	246
Behlen, H.: Das Alter und die Lagerung des Westerwälder Bimssandes und sein rheinischer Ursprung	05	II	430
— Eine neue Nachgrabung vor der Steedener Höhle Wildscheuer nebst einem Exkurs über die diluvialen Höhlenablagerungen im allgemeinen	07	I	292
— Das Alter und die Lagerung des Westerwälder Bimssandes und sein rheinischer Ursprung	07	II	61
Behr, H., siehe Hoff, J. H. van't.			
Behrend, F.: Ueber einige Carbonfarne aus der Familie der Sphenopteriden	09	I	150

	Jahrg.	Bd.	Seite
Beierle, K.: Kristallisierter Schwefel aus dem oberen Muschelkalk bei Bruchsal	*CBl*	*1906*	*202*
Bell, J. M.: The Salient Features of the Economic Geology of New Zealand	1908	I	399
— The possible granitization of acidic Lower Huronian schists on the north shore of Lake Superior	08	II	374
Bell, R. etc.: Report of the special committée for the Lake Superior Region	07	I	107
Bellinger: Bemerkungen über das Mangan- und Eisenerzvorkommen bei Niedertiefenbach im Lahntal	05	I	99
Bellini, R.: Spuren von Selen auf der Vesuvlava von 1906	*CBl*	*1907*	*611*
— Ueber das Vorkommen des Pelagosit auf der Insel Capri	*CBl*	*1909*	*667*
Bellmer, A.: Untersuchungen an Seen und Söllen Neuvorpommerns und Rügens	08	I	98
Belloc, G.: Osmose au travers des tubes en silice	07	I	20
Belowsky, M.: Beiträge zur Petrographie des westlichen Nord-Grönlands	07	I	244
— Ueber den angeblichen, als Leuciturandlith bezeichneten Meteoriten von Schafstädt bei Merseburg	CBl	1909	289
Bemmelen, J. M. v.: Beiträge zur Kenntnis der Verwitterungsprodukte der Silikate in Ton-, vulkanischen und Lateritböden	06	I	23
Bemrose, Arnold, H. H., siehe Arnold-Bemrose, H. H.			
Benecke, E. W.: Die Versteinerungen der Eisenerzformation von Deutsch-Lothringen und Luxemburg	06	I	303
— Zur Gliederung des Buntsandsteins im Haardtgebirge (Nordvogesen)	*CBl*	*1905*	*380*
— Ueber Mytilus eduliformis Schl. sp.	*CBl*	*1905*	*705*
— Die Stellung der pflanzenführenden Schichten von Neuewelt bei Basel	*CBl*	*1906*	*1*
Benecke, E. W. und Werveke, L. van: Malm im Unter-Elsaß	*CBl*	*1908*	*609*
Benedicks, C.: Umwandlung des Feldspats in Sericit (Kaliglimmer)	08	I	186
— Yttriumhaltiger Mangangranat	08	I	187
Benson: Telangium Scotti, a new species of Telangium (Calymmatotheca) showing structure	07	I	164
— The fructification of Lyginodendron Oldhamium	07	I	163
Berg, G.: Die Magneteisenerzlager von Schmiedeberg im Riesengebirge	05	I	258
— Gesteine von Angola, São Thomé und St. Helena	05	II	76
— Ueber die petrographische Entwicklung des niederschlesischen Miocäns	06	II	430
— Schneller Nachweis eines Anhydritgehaltes in Gesteinen und künstliche Bildung mikroskopischer Anhydritkriställchen	*CBl*	*1907*	*688*
Bergeat, A.: Die Stübel'sche Vulkantheorie	05	I	223
— Der Granodiorit von Concepción del Oro im Staate Zacatecas (Mexiko) und seine Kontaktbildungen	*BB*	*XXVIII*	*421*
— Nontronit, gebildet durch die Einwirkung von Eisensulfatlösung auf Wollastonit	*CBl*	*1909*	*161*
— Staukuppen	*Festband*		*310*
— siehe Stelzner-Bergeat, resp. Harbort, E.			
Bergeron, J.: Sur l'origine de la serpentine de la série cristallophyllienne de l'Aveyron et du Gard	08	I	70
Bergt, W.: Aschenstruktur in vogtländischen Diabastuffen	05	II	212

	Jahrg.	Bd.	Seite
Bergt, W.: Stauchungen im Liegenden des Diluviums in Dresden	1906	I	297
— Das Gabbromassiv im bayrisch-böhmischen Grenzgebirge. 2. Der böhmische Teil des Gabbromassivs	08	I	60
— *Die Phyllitformation am Südostflügel des sächsischen Granulitgebirges ist nicht azoisch*	*CBl*	*1905*	*109*
— *Radiolarienführende Kieselschiefer im „Cambrium" von Tharandt in Sachsen*	*CBl*	*1905*	*411*
— *Zur Einteilung und Benennung der Gabbrogesteine*	*CBl*	*1906*	*10*
— *Zur Geologie der colombianischen Mittelkordillere. Erwiderung*	*CBl*	*1907*	*720*
Bernard, A.: Mineralien der Umgebung von Tábor	09	II	366
Bernard, Ch., siehe Potonié, H.			
Berry, E. W.: The cretaceous exposure near Cliffwood, N. J.	05	I	303
— New species of plants from the Matawan formation	07	I	494
— The Flora of the Matawan Formation (Crosswicks Clays)	07	I	494
Berthelot: Sur l'état du carbone vaporisé	05	I	16
— Sur la transformation du diamant en carbone noir (charbon) pendant son oxydation, et sur les changements isomériques des corps simples pendant les décompositions et combinaisons	05	I	15
— Synthèse du quartz améthyste: recherches sur la structure naturelle ou artificielle de quelques pierres précieuses sous les influences radioactives	08	II	170
Bertrand, C.: La specification des Cardiocarpus de la collection B. Renault	09	I	461
Bertrand, L.: Le rôle des grands mouvements horizontaux dans la formation des chaînes de montagnes	08	II	231
Bertrand, M.: 1. Le bassin houiller du Gard et les phénomènes de charriage. 2. Essai d'une théorie mécanique de la formation des montagnes. Déplacement progressif de l'axe terrestre. 3. Déformation tétraëdrique de la Terre et déplacement du pôle	09	I	366
— siehe Schardt, H., sowie Wilckens, O.			
Berwerth, F.: Der Meteoreisenzwilling von Mukerop, Bezirk Gibeon, Deutsch-Südwestafrika	05	I	217
— Der meteorische Eukrit von Peramiho	05	I	218
— Ueber die Metabolite, eine neue Gruppe der Meteoreisen	05	I	394
— Andesitauswürfling des Mont Pelée	06	I	229
— Künstlicher Metabolit	07	I	360
— Ein neuer Eukrit von Peramiho	07	I	361
— Das Meteoreisen von Kodaikanal und seine Silikatausscheidungen	07	II	204
— Welche Farbe soll man als Hintergrund für Mineralschaustellungen wählen?	08	I	1
— Zwei neue Magnetkiesvorkommen aus Tirol, Oesterreich	08	II	295
— Die Tracht der Meteoriten. Vortrag gehalten im wissenschaftlichen Klub in Wien am 21. März 1907	09	I	352
— Etwas über die Gestalt und Oberfläche der Meteoriten	09	I	352
— Steel and Meteoric Iron	09	I	352
— Kristallinische Gesteinsgerölle im eocänen Flysch des Wienerwaldes	09	II	223
Beutler, K.: Ueber Foraminiferen aus dem jungtertiären Globigerinenmergel von Bahna im Distrikt Mehediuti (rumänische Karpathen)	*09*	*II*	*140*
Bever, S. W.: Mineral production in Iowa for 1902	07	I	251
Beyer, S. W., G. W. Bissell, J. A. Williams, J. B. Weems, A. Marston: Clays and clay industries of Iowa	06	I	240

	Jahrg.	Bd.	Seite
Beyschlag, F.: Diskussions-Bemerkung zu den „Mitteilungen über die Erzlagerstätten Oberschlesiens“	1906	II	74
Beyschlag, F. und R. Michael: Ueber die Grundwasserverhältnisse der Stadt Breslau	09	II	371
Beyschlag, F., siehe Michael, R., sowie Monke, H.			
Biernacki, V.: Ueber einen Halbschattenanalysator . . .	07	I	188
Bilharz, O.: Das Vorkommen von Graphit in Böhmen, insbesondere am Ostrande des südlichen Böhmerwaldes . .	05	II	177
Biltz, W.: Einige Versuche über ultramikroskopische Löslichkeitsbestimmung	08	II	5
— Notizen über Schmelzen und Sublimieren einiger Sulfide .	09	II	182
Biltz, W. und E. Marcus: Ueber das Vorkommen von Ammoniak und Nitrat in den Kalisalzlagerstätten . . .	09	II	156
Biquard, R., siehe Moureu, Ch.			
Birkinbine, J.: The Production of Manganese ores in 1902	05	I	209
Bishop, H. R.: Investigations and studies in Jade	CBl	1906	249
— siehe Kunz, G. F.			
Bissel, G. W., siehe Beyer, S. W.			
Bittner: Grenze zwischen der Flyschzone und den Kalkalpen bei Wien	09	I	416
Blaas, J.: Ueber Grundwasserverhältnisse in der Umgebung von Bregenz am Bodensee	08	I	370
Blake, G. S. and G. F. H. Smith: Baddeleyite from Ceylon	09	I	179
— siehe Dunstan, W. R.			
Blake, J. F.: Note on the species „Ammonites plicatilis“ and „Amm. biplex“ of Sowerby	05	I	348
— On the Original Form of Sedimentary Deposits	05	I	419
— On the Order of Succession of the Manx Slates in their Northern Half, and its Bearing on the Origin of the Schistose Breccia associated therewith	06	II	210
Blake, W. P.: Jodobromit in Arizona	06	II	15
— Tourmaline of Crown Point, Essex Co., N. Y.	09	I	192
Blanck, E.: Untersuchungen über die Schwarzerden des Rittergutes Legienen, Kreis Rössel, Ostpreußen	06	I	207
Blanckenhorn, M.: Ergebnisse der Reise J. Thomson's bezüglich der Geologie Südmarokkos	06	II	423
— Das relative Alter der norddeutschen Eolithenlager . . .	07	I	291
— Ueber die Steinzeit und die Feuersteinartefakte in Syrien und Palästina.	07	I	291
— Ueber die Aufnahmen auf Blatt Ostheim v. d. Rhön (Bayrischem Anteil) im Jahre 1902	07	I	421
— Ueber die Geologie der näheren Umgebung von Jerusalem	07	I	422
— Oberpliocän mit Mastodon arvernensis auf Blatt Ostheim v. d. Rhön	07	II	291
— siehe Semper.			
Blasdale, W. C., siehe Hoff, J. H. van't.			
Blaxland, B. W.: A gigantic Cirripede from New Zealand	05	II	317
Bleeck, A. W. G.: Die Jadeitlagerstätten in Upper Burma	09	I	185
— Die Kupferkiesgänge von Mitterberg in Salzburg	09	II	396
Bleibtreu, K.: Ueber metamorphosierte Einschlüsse im Basalt des Petersberges im Siebengebirge	09	II	379
Bleininger, A. V.: The Manufacture of Hydraulic Cements	06	II	72
Bloch, C. und M. Hoffmann: Beiträge zum Werte der heutigen Bodenanalyse.	08	II	186

Jahrg. Bd. Seite

Block, J.: Ueber einige Reisen in Griechenland mit Berücksichtigung der geologischen Verhältnisse sowie der Baumaterialien, insbesondere der Marmorarten Griechenlands im Vergleiche mit denjenigen Deutschlands und einiger anderer Länder . . . . . 1905 II 267 1908 II 217
Blumer, S.: Zur Entstehung der Glarnerischen Alpenseen . 05 I 407
— Ueber Pliocän und Diluvium im südlichen Tessin . . . . 08 I 267
Bock, H.: Zur Tektonik der Brünner Gegend . . . . . 05 II 410
Bode, A.: Die Höhenzüge zwischen Lutter am Barenberge und Lichtenberg in Braunschweig . . . . . 05 II 260
— Die Moränenlandschaft im Odertale bei St. Andreasberg . 06 I 298
Bodenbender, W.: Bleiglanz-, Vanadin- und Molybdänerzgang in der Provinz St. Luis, Argentinien, Südamerika. 05 I 259
— Contribucion al conocimiento de la precordillera de San Juan, de Mendoza y de las sierras centrales de la Republica Argentina . . . . . 05 II 269
— La Sierra de Cordoba. Constitución geológica y productos minerales de aplicación . . . . . 07 II 198
Böcker, E. und Kämmerer, P.: Kristallographische Bestimmungen an den eine neue Art von optischer Isomerie darbietenden Modifikationen des Benzoylmethylhexanonoxims CBl 1905 178
Böckh, H.: Beiträge zur Geologie des Kodru-Gebirges . . . 06 II 94
— Die geologischen Verhältnisse des Vashegy, des Hradek und der Umgebung dieser (Komitat Gömör) . . . . . 07 I 253
— *Einige Bemerkungen zu der Mitteilung des Herrn H. v. Stapff: „Zur Stratigraphie und Tektonik der ungarischen Mittelgebirge. I. Gerecse-Gebirge“ . . . . . CBl 1905 555*
Boeggild, O. B.: The deposits of the sea-bottom (The Danish Ingolf Expedition to Iceland and Greenland) . . . . . 05 I 421
— On some Minerals from the Nephelite-Syenite at Julianehaab, Greenland (Erikite and Schizolite) . . . . . 1905 II 185. 190
— The minerals from the Basalt of East-Greenland . . . . 06 II 182
— Vulkansk Aske i Moleret . . . . . 07 I 220
— Mineralogia Groenlandica . . . . . CBl 1908 338. 375. 403
Boehm, G.: Beiträge zur Geologie von Niederländisch-Indien. I. Die Südküsten der Sulainseln Taliabu und Mangoli. 1. Abschnitt: Grenzschichten zwischen Jura und Kreide 05 I 151
— Ein Strudelkessel im Renggeri-Tone von Kandern . . . . 07 I 223
— Beiträge zur Geologie von Niederländisch-Indien. I. Die Südküsten der Sula-Inseln Taliabu und Mangoli. 2. und 3. Abschnitt . . . . . 07 II 447
— *Geologische Mitteilungen aus dem Indo-Australischen Archipel BB XXII 385. 686 BB XXIV 133. 460 BB XXV 293*
— *Zur Stellung von Lithiotis . . . . . CBl 1906 161*
— *Apicalhöhlung bei Ostrea und Lage des Muskeleindrucks bei Lithiotis . . . . . CBl 1906 458*
— *Zur Geologie des Indo-australischen Archipels. Nachträge I. CBl 1908 503*
— *Zur Geologie des Indo-australischen Archipels. Nachträge II. Ueber Macrocephalites und die Längen seiner letzten Wohnkammer . . . . . CBl 1909 174*
— *Zur Geologie des Indo-australischen Archipels. Nachträge III. Ueber „Absoluti“ und ihre paläogeographische Verwendbarkeit CBl 1909 563*
Böhm, J.: Ueber die obertriadische Fauna der Bäreninsel . 05 II 110
— Ueber cretaceische und eocäne Versteinerungen aus Fergana 05 II 283
— Ueber einen Furchenstein und Tertiär in Dahome . 1906 II 117. 430
— *Zu Brachylepas cretacea H. Woodward . . . . . CBl 1906 449*

	Jahrg.	Bd.	Seite
Boeke, H. E.: Ueber das Verhalten von Baryum- und von Calciumcarbonat bei hohen Temperaturen	1908	I	16
— *Das Rinneitvorkommen von Wolkramshausen am Südharz. Ein Beitrag zur Salzpetrographie*	*09*	*II*	*19*
— *Isotrimorphismus von Carnallit und Bromcarnallit*	*CBl 1908*		*710*
— *Rinneit, ein neugefundenes eisenchlorürhaltiges Salzmineral*	*CBl 1909*		*72*
— siehe Rinne, F. und Boeke, H. E.			
Böse, E.: La fauna de moluscos del Senoniano de Cárdenas, San Luis Potosi	08	I	102
— *Zur Frage der Entstehung des sogenannten mexikanischen Zentralplateaus*	*08*	*II*	*114*
— *Ueber eine durch vulkanischen Druck entstandene Faltungszone im Tal von Mexiko*	*09*	*I*	*28*
— *Ein verbesserter Apparat zur photographischen Reproduktion von Ammonitensuturen und Ambulakren von Seeigeln*	*CBl 1907*		*422*
Böse, E. und V. v. Vigier: Ueber die Anwendung von Aetzkali beim Präparieren von Versteinerungen	*CBl 1907*		*305*
Boettger, O.: Die Odontostomien des mitteloligocänen Meeressandes von Waldböckelheim bei Kreuznach	07	II	335
Bofili y Poch, siehe Almera, D. J.			
Bogatscheff: Les sables miocènes du Gouvernement de Stavropol comme l'équivalent du calcaire de Tchokrak	05	I	469
— Nouvelles espèces de mollusques des dépots miocènes aux environs de Novotcheskalk	07	I	114
Bogojawlensky, A. und N. Winogradow: Ueber das Verhalten von Schmelz- und Klärungskurven flüssiger Kristalle und ihrer Mischungen	09	I	331
Bogoljubow, N. N.: Zur geologischen Geschichte des Gouvernements Kaluga in der Glazialperiode	07	I	446
— Ueber die Phasen der interglazialen Epoche im Gouvernement Moskau	08	I	275
Bogoslowsky, N. A.: Materialien zur Kenntnis der untercretaceischen Ammonitenfauna von Zentral- und Nordrußland	05	I	350
Bois, G. C. du, siehe Du Bois, G. C.			
Bolton, H.: On the Occurrence of Boulders of Strontia in the Upper Triassic Marls of Abbots Leigh, near Bristol	09	II	230
Boltwood, B. B.: On the Radio-active Properties of the Waters of the Springs on the Hot Springs Reservation, Hot Springs Ark.	07	I	250
— siehe Rutherford, E.			
Bonard, A., siehe Roessinger, G.			
Bonney, T. G.: Notes on Specimens collected by Professor Collie in the Canadian Rocky Mountains	05	II	76
— Some eroded rocks in Corsica	06	I	45
— Notes on some Rocks from Ararat	07	I	391
Bonney, T. G. and C. Raisin: The microscopic structure of minerals forming Serpentine, and their Relation to its History	06	II	56
Bordas, F.: Contribution à la synthèse des pierres precieuses de la famille de aluminides	09	I	178
Borgström, L. H.: Die Meteoriten von Hvittis und Marjalahti	05	I	393
— Ueber Kassiterit von Pitkäranta	06	I	22
Borgström, L. H. und V. Goldschmidt: Kristallberechnung im triklinen System illustriert am Anorthit	07	I	2

	Jahrg.	Bd.	Seite
Borissjak, A.: Geologische Skizze des Kreises Isjum und der angrenzenden Teile der Kreise Pawlograd und Zmiew. Das nordwestliche Grenzgebiet des Donetzrückens . . .	1907	I	283
— Sur les restes de Crustacés dans les dépôts du crétacé inférieur de la Crimée	08	I	443
— Sur les Aucelles du crétacé inférieur de la Crimée	08	I	445
Borissow, P.: Ueber „kubischen" Quarz von Schunga . .	09	II	335
Borne, G. v. d.: Untersuchung über die Abhängigkeit der Radioaktivität der Bodenluft von geologischen Faktoren	07	II	55
— *Die Wirkung von Gesteinen auf die photographische Platte als Mittel zu ihrer Untersuchung auf Radioaktivität* . . .	*CBl*	*1905*	*58*
Borodowsky, W.: Ueber die Abhängigkeit der Kristallisationsgeschwindigkeit von der Temperatur bei Stoffen, die eine geringe Kristallisationsgeschwindigkeit haben .	05	I	363
Bortolotti, C.: Denti di Proboscidati. di Rinoceronte e di Ippopotamo dell' antica collezione Canali in Perugia .	06	I	143
Boschheidgen, H.: Urstromtäler am Niederrhein. Ostwesttalbildungen von Düsseldorf bis Cleve	05	I	482
Bosco, C.: Il Castoro quaternario del Maspino	05	II	126
Botez, N., siehe Reinhard, M.			
Boubée, E.: Sur un nouveau gisement uranifère français	07	I	32
Boudouard, O.: Sur les silicates d'alumine et de chaux	08	II	152
Boulanger, G. A.: Further Remarks on the carboniferous Ganoid Benedius deneensis Traquair	05	II	481
Boule, M.: L'Élan préhistorique en Angleterre	05	I	323
— Sur les terrains pliocènes et quaternaires du bassin sous-pyrénéen	05	I	312
— L'origine des éolithes	06	II	269
— Les grottes des Baoussés Roussés	07	I	449
— Les grands Chats des Cavernes	07	II	317
— Les grottes de Grimaldi, résumés et conclusions des études géologiques	08	I	109
— Observations sur un silex taillé du Jura et sur la chronologie de M. Penck	08	II	424
— L'homme fossile de la Chapelle-aux-Saints (Corrèze) . . .	09	I	125
Boule, M., P. Lemoine et A. Thévenin: Céphalopodes crétacés des environs de Diego-Suarez	07	II	333
Boule, M. et A. Thévenin: Notes sur la géologie et la paléontologie de Madagascar	06	I	100
— — Paléontologie de Madagascar. I. Fossiles de la Côte orientale	06	II	113
Boulenger, G. A.: On the Characters and affinities of the Triassic Reptile Telerpeton elginense	07	I	139
Boulton, W. S.: On the igneous rocks at Spring Cove, near Weston-super-Mare	05	II	388
— The Igneous rocks of Pontesford Hill (Shropshire)	05	II	391
Bouquet, E., siehe Dienert, F. et Bouquet, E.			
Bourgeat: Trois coupes géologiques à travers le massif de La Serre (Jura)	05	I	283
Bourrinet, siehe Capitan.			
Boussac, J.: Sur le parallélisme des couches éocènes supérieures de Biarritz et du Vicentin	06	I	431
— Première note sur les Cérithes; révision du groupe de Potamides tricarinatus Lam.	06	II	452
— Le tertiaire nummulitique des Alpes méridionales	07	I	441
— Une grande Nummulite de Biarritz	07	II	297

	Jahrg.	Bd.	Seite
Boussac, J.: Sur le terrain nummulitique à Biarritz et dans le Vicentin	1907	II	298
— Eocène moyen et Eocène supérieur	07	II	450
— Observations sur l'Éocène et l'Oligocène de Hampshire	07	II	452
— Développement et Morphologie de quelques foraminifères de Priabona	08	I	138
— Sur la formation du réseau des Nummulites réticulées	08	I	139
— Le Terrain nummulitique des Alpes méridionales	08	I	433
— Sur le Terrain nummulitique à Biarritz et dans le Vicentin	08	I	434
— Observations sur la faune des couches supérieures de Brackleham à Nummulites variolarius	08	II	91
— Sur la distribution des niveaux et des facies du Mésonummulitique dans les Alpes	09	I	108
— La transgression du Ludien dans le bassin de Paris	08	II	91
— La limite de l'Éocène et de l'Oligocène	08	II	92
— Sur la succession des faunes nummulitiques à Biarritz	08	II	405
— Du caractère périodique de la mutabilité chez les Cérithes mésonummulitiques du bassin de Paris	09	II	465
— Valeur stratigraphique de Nummulites laevigatus 1908 II 91	09	II	485
Bouyssonie, A. et J. et L. Bardon: Découverte d'un squelette moustérien à la Bouffia de la Chapelle-aux-Saints (Corrèze)	09	I	124
Bouyssonie, A., siehe Bardon, L.			
Bowman, H. L.: Note on some rare Twins of Calcite from Somerset	05	I	23
— Note on the Refractive Indices of Pyromorphite, Mimetite and Vanadinite	05	I	39
— On Hamlinite from the Binnental, Switzerland	09	I	194
Bownocker, J. A.: The occurrence and exploitation of petroleum and natural gas in Ohio	06	II	386
— Salt Deposits and the Salt Industry in Ohio	08	I	247
Bracht, E.: Bericht über eine Reise nach den Fundstellen der Eolithen in West-Flandern	05	I	320
Bradfer, R.: Le tuf humique ou Ortstein, aux points de vue géologique et forestière	05	I	426
Branca, W.: Die fraglichen fossilen menschlichen Fußspuren im Sandstein von Warnambool, Victoria, und andere angebliche Spuren des fossilen Menschen in Australien	06	II	269
— Ueber H. Höfer's Erklärungsversuch der hohen Wärmezunahme im Bohrloche zu Neuffen	06	II	47
— Die Anwendung von Röntgenstrahlen in der Paläontologie	07	II	467
— Fossile Flugtiere und Erwerb des Flugvermögens	08	II	108
— Vorläufiger Bericht über die Ergebnisse der Trinil-Expedition der Akademischen Jubiläums-Stiftung der Stadt Berlin	09	I	111
— Sind alle im Innern von Ichthyosauren liegenden Jungen ausnahmslos Embryonen?	09	I	448
— Nachtrag zur Embryonen-Frage bei Ichthyosaurus	09	I	448
— Widerlegung mehrfacher Einwürfe gegen die von mir vertretene Auffassung in der Spaltenfrage der Vulkane (siehe hierüber auch Hibsch, J. E., sowie Lenk, H.)	CBl 1909		97. 129
Brandão, siehe Souza-Brandão, V. de.			
Brandes, G.: Zwei Hallesche Meteoritenfälle	05	I	398
Brandes, Th.: Gibt es Hippuritiden, welche durch Knospung Kolonien bilden?	*09*	*I*	*93*

	Jahrg.	Bd.	Seite
Branner, J. C.: Geology of the northeast coast of Brazil	1909	I	103
Branson, E. B.: Structure and Relationships of American Labyrinthodontidae	09	II	128
Bratianu, V., siehe Alimanestianu, C.			
Braun, F.: Ueber metallische Gitterpolarisation, insbesondere ihre Anwendung zur Deutung mikroskopischer Präparate	06	I	323
— Optische Doppelbrechung in isotropen, geschichteten Medien	07	I	19
Braun, G.: Ostpreußens Seen. Geographische Studie	05	I	471
— Zur Morphologie des Volterrano	06	II	349
— *Ueber ein Vorkommen verkieselter Baumstämme an der Ostküste von Island*	*CBl 1908*		*66*
Bräunlich, F., siehe Donath, Ed.			
Brauns, R.: Saphir von Ceylon und von Australien	*06*	*I*	*41*
— *Lichtschein bei Granat, Zirkon und Saphir*	*07*	*I*	*13*
— Die zur Diabasgruppe gehörenden Gesteine des Rheinischen Schiefergebirges	07	I	53
— *Sanidin vom Leilenkopf bei Niederlützingen*	*09*	*I*	*43*
— *Der oberdevonische Deckdiabas, Diabasbomben, Schalstein und Eisenerz*	*BB*	*XXI*	*302*
— *Ueber Eisenkiesel von Warstein i. W.*	*BB*	*XXI*	*447*
— *Beiträge zur Kenntnis der chemischen Zusammensetzung der devonischen Eruptivgesteine im Gebiete der Lahn und Dill*	*BB*	*XXVII*	*261*
— *Beiträge zur Kenntnis der chemischen Zusammensetzung der devonischen Eruptivgesteine im Gebiete der Lahn und Dill. II. Teil*	*BB*	*XXVIII*	*379*
— Das Mineralreich	CBl 1905		187
— Mineralogie	CBl 1905		281
— *Erklärung betr. B. Schmid, Lehrbuch der Mineralogie*	*CBl 1905*		*343*
— Entwicklung des mineralogischen Unterrichts an der Universität Gießen	CBl 1905		557
— *Zirkon aus Tasmanien*	*CBl 1905*		*483*
— *Saphir aus Australien. Ungewöhnlich großer Kristall von Saphir und Rubin*	*CBl 1905*		*588*
— *Ungewöhnlich lange Beständigkeit des monoklinen prismatischen Schwefels*	*CBl 1905*		*678*
— *Ueber Neubildung von Schwefelkies*	*CBl 1905*		*714*
— *Vesuvasche an der Ostsee. Gips in der in Italien gefallenen Vesuvasche. Salzkruste auf frischer Vesuvlava*	*CBl 1906*		*321*
— *Graphit und Molybdänglanz in Einschlüssen niederrheinischer Basalte*	*CBl 1908*		*97*
— *Gediegenes Kupfer und Kupferverbindungen in und aus Einschlüssen niederrheinischer Basalte*	*CBl 1908*		*705*
— *Ueber Pyromorphit, insbesondere aus der Umgebung von Rheinbreitbach a. Rh.*	*CBl 1909*		*257*
— *Die Brechungsexponenten einiger künstlicher Edelsteine*	*CBl 1909*		*673*
— *Der Einfluß von Radiumstrahlen auf die Färbung von Sanidin, Zirkon und Quarz. Kristallform des Zirkons aus Sanidinit vom Laacher See*	*CBl 1909*		*721*
Braus, H.: Ueber neue Funde versteinerter Gliedmaßenknorpel von Selachiern	05	II	313
Bravais, siehe Friedel, G.			
Bravo, J. J.: Apuntes sobre la paleontologia de Yauli.	08	I	437
Bredig, G. und G. v. Schukowsky: Prüfung der Natur der flüssigen Kristalle mittels elektrischer Kataphorese	05	I	5

	Jahrg.	Bd.	Seite
Brendler, W.: Mineraliensammlungen, ein Hand- und Hilfsbuch für Anlage und Instandhaltung mineralogischer Sammlungen	CBl	1909	380
Bréon, R.: Galets et sables du Pas-de-Calais 1908 II 57	1909	I	200
Breuil, H., siehe Capitan, sowie Cartailhac, E.			
Brezina, A.: The Arrangement of Collections of Meteorites	05	I	211
— Ueber Tektite von beobachtetem Fall	05	I	399
— Meteoriten in moderner Reproduktionstechnik	07	I	361
— Meteoritenstudien. III. Zur Frage der Bildungsweise eutropischer Gemenge	07	I	358
— Ueber dodekaedrische Lamellen in Oktaedriten	07	I	357
Brezina, A. und E. Cohen: Ueber Meteoreisen von De Sotoville	05	I	397
— — Die Struktur und Zusammensetzung der Meteoreisen, erläutert durch photographische Abbildungen geätzter Schnittflächen	06	I	188
Briesen, siehe Schulz-Briesen.			
Brill, O.: Ueber die Dissoziation der Erdalkalien und des Magnesiumcarbonats	07	I	13
Briquet, A.: Sur l'origine des collines de Flandre	07	II	296
— Les gisements d'oolithe silicifié de la région de la Meuse	08	I	268
— Note préliminaire sur quelques points de l'histoire plio-pleistocène de la région gallo-belge	08	I	270
— Sur les relations des sables à lignites du Rhin et les terrains tertiaires marins	08	II	92
— La vallée de la Meuse en avale de Liège	08	II	409
— Extension de la plage soulevée de Saugatte	08	II	411
Britton, E. G. and A. Hollick: American fossil Mosses with description of a new species from Florissant, Colorado	09	II	154
Brives, A.: Les terrains crétacés dans le Maroc occidental	06	I	293
Brockmeier, H.: Ein neuer Tertiäraufschluß und eigenartige diluviale Bildungen von M.-Gladbach	09	I	274
Brögger, W. C.: Ueber den Hellandit, ein neues Mineral	05	I	381
— Ueber die chemische Zusammensetzung des Xenotim	05	I	384
— Eine Sammlung der wichtigsten Typen der Eruptivgesteine des Kristiania-Gebietes nach ihren geologischen Verwandtschaftsbeziehungen geordnet	06	II	196
— Hellandit von Lindvikskollen bei Kragerö	08	I	193
— Die Mineralien der südnorwegischen Granitpegmatitgänge. I. Niobate, Tantalate, Titanate und Titanoniobate	08	I	336
Broek, E. van den: Les grès erratiques du Sud de Démer et dans la Région de la Herck	05	I	467
— Quelques mots à propos des nouvelles fouilles éxécutées dans la grotte de Remonchamps et de la découverte d'un collier préhistorique en coquilles d'origine étrangère	05	I	322
Broili, F.: Beobachtungen an Cochleosaurus bohemicus Fritsch	07	I	146
— Permische Stegocephalen und Reptilien aus Texas	07	I	147
— Pelycosaurierreste von Texas	07	I	313
— Stammreptilien	07	I	313
— *Ein Dicynodontierrest aus der Karooformation*	*08*	*I*	*1*
— Ein montiertes Skelett von Labidosaurus hamatus Cope, einem Cotylosaurier aus dem Perm von Texas	08	II	266
— Ueber Sclerocephalus aus der Gaskohle von Nürschan und das Alter dieser Ablagerungen	08	II	266
— Systematische und biologische Bemerkungen zu der permischen Gattung Lysorophus	09	II	125

	Jahrg.	Bd.	Seite
Broili, F.: Ueber die rhachitomen Wirbel der Stegocephalen	1909	II	138
— *Ichthyosaurierreste aus der Kreide*	*BB*	*XXV*	*422*
— *Ein Stegocephalenrest aus den bayrischen Alpen*	*CBl*	*1906*	*568*
— *Ueber die Reste eines Nothosauriden aus den Kössener Schichten*	*CBl*	*1907*	*337*
— siehe Read, Alston.			
Brongniart, M.: Note sur une barytine de Patagonie	06	I	346
Brooks, A. H.: Geological reconnaissances in Southeastern Alaska	06	I	95
— Recent Publications on Alaska and Yukon Territory	08	I	397
Brooks, A. H. and others: Report on Progress of Investigations of Mineral Resources of Alaska in 1904 und 1905	08	II	376
— — Mineral Resources of Alaska	09	II	80
Broom, R.: On the Lower Jaw of a Small Mammal from the Karoo Beds of Ariwal North, South Africa	05	II	306
— On the structure of the Theriodont Mandible and its mode of articulation with the skull	07	I	140
— On the use of the term Anomodontia	07	I	141
— On an almost perfect skeleton of Pareiasaurus serridens Owen	07	I	141
— On the structure of the shoulder girdle in Lystrosaurus	07	I	142
— On some new primitive Theriodonts in the South Afric. Museum	07	I	142
— On an almost perfect skull of a new primitive Theriodont (Lycosuchus Vanderrieti)	07	I	144
— On a new Reptile (Proterosuchus Fergusi) from the Karoo beds of Tarkastad, S. A.	07	I	144
— On two new Therocephalian Reptiles (Glanosuchus macrops and Pristerognathus Baini)	07	I	145
— On a new Stegocephalian (Batrachosuchus Browni) from the Karoo beds of Aliwal North, South Africa	07	I	313
— On a new South African Labyrinthodont (Cyclotosaurus Albertyni)	07	I	316
— Observations on the structure of Mesosaurus	07	I	316
— On some points in the Anatomy of the Theriodont Reptile Diademodon	07	I	316
— On the affinities of Tritylodon	07	I	317
— On the structure and affinities of the endothiodont Reptiles	07	I	317
— On evidence of a new species of Titanosuchus (T. Cloetei)	07	I	318
— On the presence of a pair of distinct prevomers in Titanosuchus	07	I	318
— On the classification of the Theriodonts and their allies	07	I	478
— Reptilian remains from Natal. II. On some reptilian remains from the Cretaceous beds at the mouth of the Umpenyati River, Natal	07	II	304
— On a new african triassic Rhynchocephalian	08	I	441
— On the early development of the appendicular skeleton of the Ostrich, with remarks on the origin of birds	08	I	441
— On the South African Dinosaur (Hortalotarsus)	08	I	442
— The South African Diaptosaurian Reptile Howesia	08	II	438
— On the Remains of Erythrosuchus africanus Broom	09	I	131
— On some new Therocephalian Reptiles	09	II	126
— On the Pareiasaurian genus Propappus	09	II	126
— On the Inter-relationships of the known Therocephalian genera	09	II	127
— Note on the species of Mesosaurus	09	II	128
— On a New Labyrinthodont Rhinesuchus Whaitsi from the Permian beds of South Africa	09	II	137

	Jahrg.	Bd.	Seite
Broß, H.: Die Grundmasse des Dossenheimer Quarzporphyrs	*CBl 1908*		*8*
— Glaziale Spuren in Paraná, Brasilien	*CBl 1909*		*558*
Brown, B.: A New Species of Fossil Edentate from the Santa Cruz Formation of Patagonia	1905	II	126
— A new genus of ground Sloth from the Pleistocene of Nebraska	05	II	471
— The Hell Creek beds of the Upper Cretaceous of Montana, their relation to contiguous, with faunal and floral lists and a discussion of their correlation	08	I	431
— New notes on the osteology of Triceratops	08	I	442
— The osteology of Champosaurus Cope	09	I	132
— The Ancylosauridae, a new Family of armored Dinosaurs from the upper cretaceous	09	I	440
Brown, Th. C.: Developmental stages in Streptelasma rectum Hall	09	II	140
Browne, A. J. Jukes, siehe Jukes-Browne, A. J.			
Browne, D. H.: Notes on the Origin of the Sudbury Ores	08	I	82
Bruckmoser, J., siehe Focke, F.			
Brückmann, R.: Die Foraminiferen des litauisch-kurischen Jura	06	I	471
Brückner, E., siehe Penck, A.			
Brues, Ch. T.: New Phytophagous Hymenoptera from the Tertiary of Florissant, Colorado	08	II	112
Brugnatelli, L.: Ueber den Titanolivin der Umgebung von Chiesa im Val Malenco; ein Beitrag zur Kenntnis des Titanolivins	05	II	25
Bruhns, W.: Ueber Meteoriten	05	I	211
— Mitteilung aus dem Gneisgebiet des oberen Weilertals	05	II	51
— Ueber vulkanische Bomben von Schweppenhausen bei Stromberg am Soonwald	09	I	58
— Ueber den sogen. „Leesbergit“	1909	II	212. 342
— Die nutzbaren Mineralien und Gebirgsarten im Deutschen Reiche auf Grundlage des gleichnamigen v. Dechen'schen Werkes neu bearbeitet unter Mitwirkung von H. Bücking	CBl	1907	245
Bruhns, W. und F. Klockmann: Ueber die Bildung des Magneteisens	05	II	405
Brun, A.: Péridotite et Gabbros du Matterhorn	05	I	243
— Glaciers du Spitzberg pendant l'été 1902	05	II	48
— Etude sur le point de fusion des minéraux	06	II	10
— Quelques recherches sur le volcanisme	07	II	391
— Quelques recherches sur le volcanisme. II.	07	II	392
— Quelques recherches sur le volcanisme au Pico de Teyde et au Timanfaya. (III. partie.) Avec la collaboration pour le travail sur le terrain de H. F. Montagnier	09	I	363
— Sur la cristallisation de l'obsidienne de Lipari	09	I	366
— siehe Le Royer, sowie Sapper, K.			
Brun, P. de: Les gisements de serpentine du canton de Belle-Isle-en-Terre	08	I	26
Brunhes, B.: Sur la direction de l'aimantation permanente dans une argile métamorphique de Pontfarein (Cantal)	07	II	389
Brunhes, B. et J. Brunhes: Les analogies des tourbillons atmosphériques et des tourbillons des cours d'eau et la question de la déviation des rivières vers la droite	07	I	382
Brunhes, B. et P. David: Sur la direction de l'aimantation permanente dans diverses roches volcaniques	06	I	37

	Jahrg.	Bd.	Seite
Brunhes, J.: Le travail des eaux courantes: La tactique des tourbillons	1905	I	409
— Sur les contradictions de l'érosion glaciaire	08	I	51
— Sur une explication nouvelle du surcreusement glaciaire	08	I	51
— Sur les relations entre l'érosion glaciaire et l'érosion fluviale	09	I	201
siehe auch Brunhes, B.			
Brunhuber, A.: Beobachtungen über die Vesuveruption im April 1906	07	II	390
Bruni, G.: Sulla distinzione fra polimorfismo ed isomeria chimica	05	I	11
— siehe Hoff, J. H. van't.			
Brunnée, R.: Polarisations-Mikroskoppolymeter	*CBl*	*1905*	*593*
Brusina, S.: Ueber Vivipara diluviana (Kunth)	07	I	445
— Eine subtropische Oasis in Ungarn	07	II	152
Bryant, D. L.: Beiträge zur Petrographie Spitzbergens	08	II	369
Buchrucker, L.: Neubildungen von Gips	06	I	347
Buckman, S. S.: The Toarcian of Bredon Hill and a Comparison with Deposits elsewhere	05	II	283
— Two Toarcian Ammonites	05	II	321
— On the Correlation of the Bath Doulting Strata with those of Dorset	08	II	86
— Brachiopod Morphology: Cincta, Eudesia, and the Development of Ribs	08	II	113
Bücking, H.: Ueber einige merkwürdige Vorkommen von Zechstein und Muschelkalk in der Rhön	09	I	424
— *Euklas im Granit vom Epprechtstein im Fichtelgebirge*	*CBl*	*1908*	*425*
— *Ueber ein neues Vorkommen von Herderit*	*CBl*	*1908*	*294*
Bühner, C.: Beiträge zur Kenntnis der kristallinischen Flüssigkeiten	06	II	150
Buisson, H.: Sur les variations des quelques propriétés du quartz	07	II	20
Bukowski, G. v.: Exkursionen in Süddalmatien	05	II	93
— Geologische Detailkarte von Süddalmatien, Blatt Budna. Zone 36, Kol. XX. SW.	07	I	93
— Ueber die jurassischen und cretaceischen Ablagerungen von Spizza in Süddalmatien	08	II	400
Bukowsky, A.: Mineralien des Kuttenberger Serpentins (mit mikroskopischen und optischen Daten von V. Rosický)	08	I	38
Bulman, G. W.: The Geological Chronometer	05	I	224
Bumüller, C.: Ueber Kalkspatkristalle von Oberscheld (Kreis Dillenburg)	*BB*	*XXVIII*	*233*
Bumstead, H. A. and L. P. Wheeler: Note on a Radioactive Gas in Surface Water	05	I	418
Burchard, E. F., siehe Adams, F. D.			
Burckhardt, C.: Géologie de la Sierra de Mazapil et Santa Rosa	07	I	279
— La Faune jurassique de Mazapil avec un appendice sur les Fossiles du crétacique inférieur	07	II	469
Burçkhardt, R.: Das Problem des antarktischen Schöpfungszentrums vom Standpunkte der Ornithologie	05	I	338
Burnet, A.: The Upper Chalk of North Lincolnshire	06	II	106
Burrard, S. G.: Intensity and direction of the force of gravity in India	07	II	388
Burrows, H. W.: Note on a Bryozoan attached to Neptunea found in one of the Mekran Nodules	06	I	117
Busch, B.: Etwas über die Expansivkraft des Salzes	09	II	245

	Jahrg.	Bd.	Seite
Bütschli, O.: Ueber die Skelettnadeln der Kalkschwämme	*CBl 1906*		*12*
Busz, K.: Essexit von der Löwenburg im Siebengebirge a. Rh.	1907	II	62
— *Apatit und Milarit von Gletsch am Rhonegletscher in der Schweiz*	*CBl 1906*		*753*
— *Ueber Kainit von Staßfurt und Carnallit von Beienrode*	*Festband*		*115*
Butler, F. H.: Kaolinization and other changes in West of England rocks	09	II	191
Buttel-Reepen, H. v.: Apistica. Beiträge zur Systematik, Biologie, sowie zur geschichtlichen und geographischen Verbreitung der Honigbiene (Apis mellifica L.), ihrer Varietäten und der übrigen Apis-Arten	07	I	320
Buttgenbach, H.: Note sur des cristaux de smithsonite	08	I	333
Butts, Ch.: Economic geology of the Kittanning and Rural Valley quadrangles, Pennsylvania	09	II	407
Buxton, B. H. und O. O. Teague: Ueber Auflockerung von Kolloiden	08	II	151
Buxtorf, A., siehe Schmidt, C.			
Bygdén, A.: Analysen einiger Mineralien vom Gellivaraerzberg (Desmin, Chabasit, Pseudomorphose nach Skapolith, Magnesiatonerdesilikat)	06	I	349

C.

Cacciamali, G. B.: Sulla speleologia bresciana	05	II	123
— Bradisismi e terremoti nella regione benacense	05	II	373
Cadell, H. M.: On the geology of the oil shale fields of the Lothians	05	I	442
— The occurrence of Plant Remains in Olivine-Basalt in the Bo'ness Coalfeld	09	II	393
Caffery, Mac, S., siehe Yung, M. B.			
Cairnes, D. D.: Report on a Portion of Conrad and White horse Mining Districts, Yukon	09	II	81
Calker, F. J. P. van: Beiträge zur Geologie der Provinz Groningen. Grundbohrungen	08	II	102
— Mitteilungen aus dem Mineralogisch-geologischen Institut der Reichsuniversität zu Groningen aus den Gebieten der Kristallographie, Mineralogie, Petrographie, Geologie und Paläontologie	CBl	1906	49
— Mikroskopische Bilder Schonenscher Basalte	CBl	1906	117
— Basaltgeschiebe aus den Provinzen Groningen, Friesland, Drenthe	CBl	1906	118
— Das mineralogisch-geologische Institut der Universität zu Groningen	CBl	1906	120
— *Facettengeschiebe und Kantengeschiebe im niederländischen Diluvium und deren Beziehung zueinander*	*CBl*	*1906*	*425*
Calkins, F. C.: A contribution to the petrography of the John Day Basin	05	II	232
— siehe Ransome, F. L. and Calkins, F. C.			
Callaway, C.: The Occurrence of Glacial Clay on the Cotteswold Plateau	07	I	442
Campana, D. Del: Contributo allo studio del Trias superiore del Montenegro	06	I	108
— Faunula del Giura superiore di Colealto di Solagna (Bassano)	06	I	316
Campbell, M. R.: Hypothesis to Account for the Transformation of Vegetable Matter into the Different Varieties of Coal	08	I	86
— Fractured Bowlders in Conglomerate	08	I	241

	Jahrg.	Bd.	Seite
Campbell, M. R.: Natural Mounds	1908	II	349
— Rock folds due to weathering	08	II	349
Campbell, W.: The Microscopic Examination of opaque Minerals	07	II	351
Campbell, W. and C. W. Knight: A Microscopic Examination of the Cobalt-Nickel Arsenides and Silver Deposits of Temiskaming	09	I	79
— — On the Microstructure of Nickeliferous Pyrrhotites	09	I	79
Camsell, Ch.: Preliminary Report on a Part of the Similkameen District, British Columbia	09	II	81
Canaval, R.: Das Eisensteinvorkommen zu Kohlbach an der Stubalpe	06	I	230
— Ueber zwei Magnesitvorkommen in Kärnten	07	I	200
Caneva, G.: Ueber die Bellerophonkalkfauna. Zur Frage der Perm-Triasgrenzen	*06*	*I*	*52*
Canfield, F. A.: Mineralogical notes	08	II	12. 28
Cantrill, T. C. and H. H. Thomas: On the Igneous and Associated Sedimentary Rocks of Llangynog (Caermarthenshire)	08	I	225
Canu, F.: Les Bryozoaires du Patagonien. Echelle des Bryozoaires pour les terrains tertiaires	05	II	141
— Étude des Bryozoaires tertiaires recueillis en 1885 et 1886 par M. Ph. Thomas dans la région sud de la Tunisie	05	II	142
— Essai sur une échelle de Bryozoaires pour établissement des synchronismes à grande distance	05	II	143
— Contributions à l'étude des Bryozoaires fossiles	05	II	145
— Note sur la constance de la faune de la craie de Villedieu	05	II	145
— Bryozoaires fossiles d'Egypte. Première contribution	05	II	484
Capeder, G.: Le colonne scalariformi e le pozze a scaglioni nella grotta di Nettuno al Capo Caccia (Sardegna)	06	I	376
— Fibularidi del miocene medio di S. Gavino a mare (Portotorres) Sardegna	09	II	483
Capitan, Breuil et Ampoulange: Une nouvelle grotte préhistorique à parois gravées	07	I	453
Capitan, Breuil et Peyrony: Une nouvelle grotte à parois gravées. La Calvitie (Dordogne)	07	I	453
Capitan, Breuil, Bourrinet et Peyrony: L'abri Mège, une station magdalénienne à Teyjat (Dordogne)	07	II	476
Capps, S. R.: The girdles and hind limb of Holosaurus abruptus Marsh	08	II	441
Caralp: Sur les roches éruptives de la Bellongue et de la vallée du Geer (Pyrénées centrales)	05	I	428
Card, G. W.: An Eclogite-bearing Breccia from the Bingera Diamond Field	07	I	395
— Nepheline-Basalt from the Capertee Valley	07	I	396
— On the Occurrence of Nepheline in Post-Triassic Basalts of the Hawkesbury Sandstone Area	07	I	401
Card, G. W. and J. B. Jaquet: The Geology of the Cambewana Range, N. S. Wales, with especial reference to the Volcanic Rocks	07	I	398
Card, G. W., J. C. H. Mingaye, H. P. White: Analcite-Basalt, from near Sydney	07	I	397
Carey, E. P. and W. J. Miller: The cristalline rocks of the Oak Hill area near San José, California	09	II	386
Carez, L.: Observations	05	I	429
— Observations sur la classification du Tertiaire inférieur de l'Ariège et de la Haute-Garonne	1907	II	296. 452

	Jahrg.	Bd.	Seite
Carles, P.: Le fluor dans les eaux minérales	1909	I	205
Carruthers, R. G.: A Revision of some carboniferous corals	09	I	292
— The primary septal plan of the Rugosa	09	II	140
Cartailhac, E.: Les stations de Bruniquel, Tarn. Sur les bords de l'Aveyron	05	I	321
Cartailhac, E. et H. Breuil: Les peintures et gravures murales des cavernes pyrénéennes. I. Altamira	06	I	132
— — Les peintures et gravures murales des cavernes pyrénéennes	07	I	451
Cartaud, G., siehe Osmond, F.			
Case, E. C.: New or little-known Vertebrates from the Permian of Texas	07	I	138
— The osteology of Embolophorus Dollovianus Cope, with an attempted Restoration	07	I	139
— The osteology of the Diadectidae and their relations to the Chelydosauria	07	I	314
— The morphology of the skull of the Pelycosauria genus Dimetrodon	07	I	314
— The Vertebrates from the Permian bone bed of Vermilion County, Illinois	07	I	315
— On the skull of Edaphosaurus Pagonias	07	I	477
— The character of the Wichita and Clear Fork Divisions of the Permian red beds of Texas	08	I	256
— Description of the skull of Bolosaurus striatus Cope	08	I	286
— Additional Description of the Genus Zatrachis Cope	08	I	287
— Revision of the Pelycosauria of North America	08	I	288
— Description of Vertebrate Fossils from the Vicinity of Pittsburgh, Pennsylvania	08	II	268
— Restoration of Diadectes	08	II	269
— Notes on the Skull of Lysorophus tricarinatus Cope	08	II	269
— A peculiar formation of shore ice	08	II	341
Caspary, R.: Die Flora des Bernsteins und anderer fossiler Harze des ostpreußischen Tertiärs. Nach dem Nachlasse des Verstorbenen bearbeitet von R. Klebs. Bd. I. (I. Thallophyten. II. Bryophyten. III. Pteridophyten. IV. Gymnospermen)	09	I	307
Castelnau, P.: Observations sur des phénomènes de glaciation en Corse	05	I	55
Castorina, G. T.: Studio sulla radioattività di prodotti vulcanici etnei	1907	I	11. 227
— Sulla radioattività delle roccie dell' Etna	1907	I	11. 227
Cathrein, A.: Mineralogie und Petrographie des Pitztals	08	I	205
Cayeux, L.: Sur la présence de cristaux macroscopiques d'albite dans les dolomies du Trias de la Crète	05	I	245
— Existence du Jurassique supérieur et de l'Infracrétacé en Argolide (Grèce)	05	I	298
— Sur la présence des cristaux macroscopiques d'albite dans les dolomies du Trias de la Crète	05	II	21
— Existence d'une faune saumâtre dans les sables de l'argile plastique d'Issy (Seine)	06	I	116
— Sur l'état de composition des minéraux de la terre arable	07	I	16
— Sur l'état de conservation des minéraux de la terre arable	07	II	401
— La dissolution directe des silicates de la terre arable et les expériences de Daubrée	07	II	401
— Les minéraux des eaux de sources de Paris	07	II	427

	Jahrg.	Bd.	Seite
Cayeux, L.: Structure et origine des Grès du Tertiaire parisien	1907	II	296
— Structure et origine probable du minerai de fer magnétique de Diélette (Manche) . . . . . 1907 II 19	09	I	393
— Genèse d'un minerai de fer par décomposition de la glauconie . . . . . 1907 II 24	09	I	394
Caziot, E. et E. Maury: Nouveaux gisements pliocènes et postpliocènes marins et complément des faunes déjà publiées des gîtes marins de ces étages, sur la côte des Alpes-Maritimes	07	II	451
— siehe Depéret, Ch.			
Cesàro, G.: Plasticité du nitrate sodique	05	I	24
— Sur un caractère spécifique des minéraux opaques	07	I	11
— Angle des axes optiques déduit des biréfringences de deux lames normales aux bisectrices	07	I	188
— Contributions à l'étude de quelques minéraux 1907 I 194. 195. 199. 201. 202.	207.	208.	210
— Reproduction de la crocoise et de la mélinose cristallisées par l'action de l'anhydre carbonique de l'air sur les dissolutions alcalines des sels de plomb correspondants . .	07	I	208
— Formes nouvelles dans la Linarite et dans la Melinose 1907	I	208.	209
— Sur les lignes incolores, que présentent les lames cristallines en lumière convergente	08	I	3
— Étude de la rotation imprimée au plan de polarisation du faisceau lumineux venant du polarisateur, par les lentilles du microscope à lumière convergente	08	I	3
— Sur les lignes incolores, que présentent les lames cristallines en lumière convergente (2e communication)	08	I	4
— Contribution à l'étude optique des cristaux en lumière convergente	08	I	4
— Détermination du signe optique d'une substance	08	II	141
— Sur une nouvelle méthode de détermination des indices de réfraction. Emploi du goniomètre de Wollaston sans adjonction d'aucun appareil spécial, pour la mesure des indices	08	II	142
Chalmas, Munier, siehe Munier-Chalmas.			
Chamberlin, T. C.: On a possible reversal of deep-sea circulation and its influence on geologic climates	08	II	345
Chapman, F.: On some Foraminifera and Ostracoda from Jurassic (Lower Oolite) strata, near Geraldton, western Australia	05	II	151
— Foraminifera and Ostracoda from the Cretaceous of East Pondoland, South Africa	05	II	152
— The Foraminifera. An introduction to the Study of the Protozoa	05	II	327
— On some cainozoic foraminifera from Brown's Creek, Otway coast	06	I	471
— On some Foraminifera and Ostracoda obtained of Great Barrier Island, New Zealand	07	I	328
— Report on Pleistocene Microzoa from a Boring in the Bed of the Buffalo River, East London	08	I	305
— Tertiary foraminifera of Victoria, Australia. The Balcombian deposits of Port Phillip. Part I.	08	I	305
— New or little-known Victorian Fossils in the National Museum	08	I	446
— On Dimorphism in the Recent Foraminifer Alveolina boscii Defr. sp.	09	I	135
— Recent Foraminifera of Victoria: Some Littoral Gatherings	09	I	144

	Jahrg.	Bd.	Seite
Chapman, F. and W. Howchin: A Monograph of the Foraminifera of the Permo-carboniferous limestones of New South Wales	1906	II	454
Charcot, siehe Gourdon, S.			
Charitschkoff, K.: Ueber die Notwendigkeit der Ausscheidung der Kohlenstoffminerale in einen besonderen Forschungszweig	09	II	36
Chatelier, siehe Le Chatelier, H.			
Chautard, J.: Sur les roches volcaniques de la presqu'île du Cap-Vert (Sénégal)	08	I	228
Chautard, J. et P. Lemoine: Sur la genèse de certains minerais d'alumine et de fer. Décomposition latéritique	09	I	339
Chauveau, A. B.: Sur la déperdition de l'électricité dans l'air au voisinage de sources thermales	07	II	53
Checchia-Rispoli, G.: Osservazioni sull' apparecchio apicale di alcuni Echinidi	05	II	146
— I foraminiferi eocenici del gruppo del M. Judica e dei dintorni di Catenanuova in Provincia di Catania	05	II	488
— Sopra alcune Alveoline eoceniche della Sicilia	06	I	471
— Osservazioni sulle Orbitoidi	06	II	455
— Un nuovo rinvenimento di Lepidocyclina nell' Eocene della Sicilia	06	II	455
— Di alcune Lepidocicline eoceniche della Sicilia	06	II	456
— Sull' eocene di Capo S. Andrea presso Taormina	07	I	290
— Sulla diffusione geologica delle Lepidocicline	07	I	328
— Nota preventiva sulla serie nummulitica dei dintorni di Bagheria e di Termini-Imerese in provincia di Palermo	07	II	496
— Sulla provenienza di alcune Lepidocicline dei dintorni di Termini-Imerese (Palermo)	07	II	497
— La serie nummulitica dei dintorni di Termini-Imerese. I. Il Vallone Tre Pietre	09	I	295
— La serie nummulitica dei dintorni di Termini-Imerese. II. La Regione Cacasacco	09	II	144
Checchia-Rispoli, G. e M. Gemmellaro: Prima nota sulle Orbitoidi del Sistema Cretaceo della Sicilia	07	II	339
Chelius, C.: Die Industrie der Steine und Erden im Großherzogtum Hessen	05	I	438
— Eisen und Mangan im Großherzogtum Hessen und deren wirtschaftliche Bedeutung	06	II	225
— Der Zechstein von Rabertshausen im Vogelsberg und seine tektonische Bedeutung	07	I	266
— Geologischer Führer durch den Vogelsberg, seine Bäder und Mineralquellen	CBl	1906	121
— *Petrographische Untersuchungen im Odenwald*	*CBl 1906*	*689.*	*737. 771*
	CBl 1907	*65.*	*116*
Chevalier, A.: Leitfaden für kristallographische Uebungen	CBl	1906	554
— Courants marins profonds dans l'Atlantique Nord	08	I	52
— siehe Thoulet, J.			
Choffat, P.: Les tremblements de terre de 1903 en Portugal	05	I	53
— Sur les séïsmes ressentis en Portugal en 1903	06	I	40
— Espèces nouvelles ou peu connues du Mésozoïque portugais	06	I	320
— Contributions à la connaissance géologiques des colonies portugaises d'Afrique. II. Nouvelles données sur la zone littorale d'Angola	06	II	111
— Espèces nouvelles ou peu connues du Mésozoïque portugais. II. Espèces du Crétacique	07	I	448

	Jahrg.	Bd.	Seite
Choffat, P.: Contribution à la connaissance du Lias et du Dogger de la région de Thomar	1909	II	104
— siehe Schlumberger, Ch.			
Christen, T.: Die Geschiebeführung der Flußläufe. Ein Beitrag zur Dynamik der Sinkstoffe	08	I	221
Chudeau, R.: Sur les roches alcalines de l'Afrique centrale	09	II	235
Ciofalo, M.: Sulla posizione delle rocce a Lepidocicline	07	II	497
Cirkel, F.: Asbestos, its occurrence, exploitation and uses	07	II	23
— Mica, its occurrence, exploitation and uses	07	II	23
Clapp, C. H.: The Clays of North Dakota	09	II	244
Clapp, F. G.: Limestones of south western Pennsylvania	07	II	84
Clar, O. und A. Sigmund: Exkursion in das Eruptivgebiet von Gleichenberg	06	I	408
Clark, W. B.: The Matawan formation of Maryland, Delaware and New Jersey, and its relations to overlying and underlying formations	05	I	303
Clarke, F. W.: Analyses of Rocks from the Laboratory of the United States geological Survey 1880—1903	05	I	410
— Ueber basische Substitutionen in den Zeolithen	06	II	336
— The composition of the red clay	09	II	209
Clarke, J. M.: Naples Fauna in Western New York	05	I	148
— Evidences of a Coblenzian invasion in the Devonic of Eastern America	08	I	413
— Some new devonic fossils	08	I	413
— Early devonic history of New York and eastern North America	08	I	414
Clarke, J. M. and D. D. Luther: Stratigraphic and palaeontologic map of Canadaigua and Naples Quadrangles	05	I	289
Cleland, H. F.: The Formation of Natural Bridges	07	I	224
Clement, J. K., siehe Allen, E. T. and Clement, J. K.			
Clerc, M.: Etude monographique des fossiles du Dogger de quelques gisements classiques du Jura Neuchâtelois et Vaudois	06	I	307
Clerici, E.: Sulla stratigrafia del Vulcano Laziale	06	I	375
— Sopra una trivellazione eseguita presso Roma sulla via Casilina	07	I	64
— Osservazioni sui sedimenti del Monte Mario anteriori alla formazione del tufo granulare	07	I	65
— Apparecchio per la separazione meccanica dei minerali	07	I	227
— Preparazione di liquidi per la separazione dei minerali	08	II	2
Clessin, S.: Die Konchylien des Lösses des mittleren Donautales	05	II	449
— Eine altalluviale Konchylienfauna bei Pürklgut	06	I	123
— Die Konchylien des „Löß" der Umgebung Regensburgs	06	I	123
— Die Konchylienfauna eines pleistocänen Tufflagers im Tale der Schwarzen Laaber bei Regensburg	06	II	431
— Eine interglaziale Konchylienfauna aus der Umgebung Münchens	06	II	434
— Konchylien aus dem Löß der Umgegend von Wien	07	II	460
Clotten, F. E.: Die Zinn- und Wolframvorkommen von Nord-Queensland	06	II	26
Clough, C. T.: Disappearance of Limestones in High Teesdale	05	I	420
— siehe Harker, A.			
Coblentz, W. W.: Konstitutions- und Kristallwasser	07	I	12
Cocco, L.: I radiolari fossili del tripole di Condrò (Sicilia)	08	II	140

	Jahrg.	Bd.	Seite
Cockerell, T. D. A.: Fossil Hymenoptera from Florissant, Colorado	1907	I	321
— A new fossil Ant.	07	I	322
— Some old-world types of Insects in the Miocene of Colorado	08	II	110
— Description of Tertiary Insects. I. II. III.	08	II	111
— Fossil Insects from Florissant Colorado	08	II	111
— Some fossil Arthropods from Florissant, Colorado	08	II	111
— A fossil Honey-Bee	08	II	112
— A fossil leaf-cutting Bee	08	II	112
Codazzi, R. L.: Minerales alcalinos y terrosos de Columbia	06	I	34
— Mineralizadores y minerales metalicos de Colombia	CBl	1908	182
Cohen, E.: Verzeichnis der Meteoriten in der Greifswalder Sammlung am 1. Mai 1904	05	I	212
— Die Meteoriten von Nenntmannsdorf und Persimmon-Creek; Unterscheidung von Cohenit und Schreibersit	05	I	216
— Das Meteoreisen von Millers Run bei Pittsburg und Nickelsmaragd auf Rostrinde von Werchne Dnieprowsk	05	I	398
— On the Meteoric stone, which fall at the Mission station of St. Mark's, Transkei on January 3. 1903. Revised and annotated after the author's death by C. Klein	07	I	369
— Meteoritenkunde	CBl	1906	519
— siehe Brezina, A.			
Coker, E. G., siehe Adams, F. D.			
Coleman, A. P.: Rock basins of Helen mine, Michipicoten, Canada. 1905 I 230	06	I	299
— Iroquois beach in Ontario	07	I	377
— The Helen Iron Mine Michipicoten	09	I	390
— The Sudbury laccolithic sheet	09	II	387
Collen, M.: Copper Deposits in the Belt Formation in Montana	09	II	398
Collet, L. W.: Sur quelques éspèces de l'Albien inférieur de Vöhrum (Hanovre)	08	I	278
— Note sur la tectonique du massif du Haut Giffre	08	II	390
— Étude géologique de la Chaîne Tour Saillère—Pic de Tanneverge	09	I	83
— siehe Le Royer.			
— siehe Lugeon, M.			
— siehe Roessinger, G.			
— siehe Sarasin, Ch.			
Collet, L. W. et G. W. Lee: Sur la composition chimique de la glauconie. 1907 I 353	09	I	394
Collier, A. J.: The tin deposits of the York Region, Alaska	05	II	179
— A reconnaissance of the northwestern portion of Seward Peninsula, Alaska	05	II	271
— The Coal resources of the Yukon, Alaska	06	I	237
— Geology and Coal Resources of the Cape Lisburne Region, Alaska	08	II	378
Collins, H. F.: Notes on the Wollastonite rock-mass, and its associated minerals, of the Santa Fé-Mine, State of Chiapas, Mexico.	05	I	42
Collot, L.: Pliocène et Quaternaire de la région du Bas-Rhône	06	I	117
— Diffusion du baryum et du strontium dans les terrains sédimentaires; épigénies; druses d'apparence organique 1907 I 209	07	II	400
Colomba, L.: Ancora poche parole di risposta al ing. Franchi	05	I	378
— Rodonite cristallizzata di S. Marcel (Valle d'Aosta)	06	I	24
— Cenni preliminari sui minerali del Lansetto (Valli del Gesso) 1906 I 232.			349

	Jahrg.	Bd.	Seite
Colomba, L.: La leucite del tufo di Pompei	1906	I	377
— Osservazioni petrografiche e mineralogiche sulla Rocca di Cavour	06	I	377
— Sulla scheelite di Traversella	07	I	36
— Baritina di Traversella e di Brosso	08	I	35
— Osservazioni cristallografiche su alcuni minerali di Brosso e Traversella	08	I	39
— Apofillite di Traversella	08	II	316
— Osservazioni mineralogiche sui giacimenti auriferi di Brusson (valle d'Aosta)	08	II	330
— Aloisiite, nuovo idrosilicato dei tufi du Fort Portal (Uganda)	09	II	192
— Note mineralogiche sulla valle del Chisone (cave del Pomaretto)	09	II	204
Colonna, E.: Composizione chimica di una cenere del Monte Pelée (Martinica)	05	I	227
Combes fils, P.: La découverte dans les sables dits d'Auteuil, à Passy, d'une faune franchement marine	06	II	115
— Sur les concrétions calcaires à la base du Sparnacien	06	II	116
— Les foraminifères de la Craie de Meudon	07	I	330
— Sur l'âge des quelques gisements de l'Orléanais	08	II	407
— Contribution à l'étude stratigraphique de l'Orléanais	09	II	468
Commenda, H.: Uebersicht der Mineralien Oberösterreichs	05	I	40
Commont, M. V.: Les industries de l'ancien Saint-Acheul	09	I	283
Compter, G.: Das Diluvium in der Umgegend von Apolda	09	I	278
Condon, Th.: A new fossil Pinniped (Desmatophoca oregonensis) from the miocene of the Oregon coast	09	I	440
Connell, siehe Mc Connell, R. G.			
Conrad, C.: Ueber Pseudomorphosenbildung durch Um- und Wechselzersetzung und die Beschaffenheit der die Bildung vermittelnden Flüssigkeit	09	II	182
Conze, A.: Wie ist dem Abbröckeln der Insel Helgoland Einhalt zu gebieten?	05	II	375
Cook, C. W., siehe Kraus, E. H.			
Cool, H.: Der Serapis-Tempel bei Pozzuoli	*CBl*	*1906*	*218*
Coomáraswámy, A. K.: Contributions to Ceylon Geology. Occurrence of Corundum in situ near Kandy, Ceylon	05	II	13
— Report on Thorianite and thorite	05	II	355
— Mineralogical notes. 1. Thorianite	05	II	355
— Contributions to the Geology of Ceylon. II. Silicification of Cristalline Limestones	05	II	392
— Uraninite	06	I	165
— Report on the occurrence of Cassiterite (oxide of tin) in Ceylon	06	I	166
— Mineral Resources. (Graphite, Mica, Iron ores, Manganese, Gems.)	06	I	178
— Mineralogical Notes	06	I	179
— The rocks and minerals of Ceylon	06	I	181
— Intrusive Pyroxenites, Mica-Pyroxenites, and Mica-Rocks in the Charnockite-Series or Granulites in Ceylon	07	I	392
Coomáraswámy, A. K. and J. Parsons: Mineralogical survey (Ceylon)	06	I	186
Copaux, H.: Sur deux cas particuliers d'isomorphisme	07	I	333
— Sur le polymorphisme du chlorate de soude et sur la structure de sa forme cubique douée de pouvoir rotatoire	09	I	162
— Sur la structure de la forme cubique du chlorate de soude douée du pouvoir rotatoire	09	I	162

	Jahrg.	Bd.	Seite
Cope, T. H. and J. Lomas: On the igneous rocks of the Berwyns	1905	II	386
Cornet, J.: Les eaux salées du terrain houiller	05	I	457
— Documents sur l'extension souterraine du Maestrichtien et du Montien dans la vallée de la Haine	05	I	468
— Sur l'âge des sables blancs de Leval-Trahegnies	1908	I	269
Cornu, F.: Ueber Zeophyllit von Radzein im böhmischen Mittelgebirge	06	II	18
— Zur Kenntnis des Schlaggenwalder Mineralvorkommens	07	II	32
— Versuche über die saure und alkalische Reaktion von Mineralien, insbesondere der Silikate	08	I	5
— Versuche über die saure und alkalische Reaktion von Mineralien. Zweite Mitteilung	08	I	6
— *Mineralogische und minerogenetische Beobachtungen*	*08*	*I*	*22*
— Analyse des Granats aus dem Granulit von Etzmannsdorf (Niederösterreich)	08	I	25
— Neues Kontaktmineral „Hibschit"	08	I	29
— Beiträge zur Petrographie des böhmischen Mittelgebirges. I. Hibschit, ein neues Kontaktmineral	1908	I	29. 374
— Enallogene Einschlüsse aus dem Nephelinbasalt von Jakuben in Böhmen	08	I	58
— Ueber den Pleochroismus mit basischen Teerfarben angefärbter Silikate	08	I	161
— Fluorit als Bildung der Teplitzer Thermen	08	I	172
— Hyalit in Erdbrandgesteinen des böhmischen Mittelgebirges	08	I	175
— Nephelinausscheidung in den Tinguaitporphyrgängen von Skritin	08	I	187
— Kontraktionsfiguren und regelmäßige Kontraktionsrisse beim Behandeln von Zeolithen mit Säuren	08	I	335
— Zur Unterscheidung der Minerale der Glimmerzeolithgruppe	08	II	36
— Cupritkristalle in alter Fehling'scher Lösung	08	II	295
— Körniger Kalkstein aus dem Steinbachtal bei Schlaggenwald	08	II	330
— Mineralvorkommen der Insel Ormuz	08	II	336
— Zur Frage der Färbung des blauen Steinsalzes	09	II	188
— Beiträge zur Petrographie des Böhmischen Mittelgebirges. II. Ueber einen Kontakt zwischen Phonolith und oberturonem Kreidemergel am Mädstein bei Neschwitz an der Elbe	09	II	219
— Ueber das Vorkommen von gediegenem Kupfer in den Trappbasalten der Färöerinseln	09	II	396
— *Karpholithführende Quarzgerölle aus den Diluvialablagerungen des Herzogtums Anhalt und der Provinz Sachsen*	*CBl*	*1906*	*77*
— — *Vorläufige Mitteilung über Untersuchungen an den Mineralen der Apophyllitgruppe (Apophyllit, Gyrolith, Okenit)*	*CBl*	*1906*	*79*
— *Eine neue Reaktion zur Unterscheidung von Dolomit und Calcit*	*CBl*	*1906*	*550*
— *Ueber Pleochroismus, erzeugt durch orientierten Druck am blauen Steinsalz und Sylvin*	*CBl*	*1907*	*166*
— *Ueber einen eigentümlichen Fall von Mandelbildung*	*CBl*	*1907*	*209*
— *Verschiedenheit in der Angreifbarkeit der einzelnen Flächen von Apophyllitkristallen durch Salzsäure*	*CBl*	*1907*	*210*
— *Bemerkungen über den Apophyllit als „gesteinsbildendes Mineral" und zur Physiographie desselben*	*CBl*	*1907*	*239*
— *Tschermigit von Schellenken bei Dux in Böhmen*	*CBl*	*1907*	*467*
— *Pleochroismus an thermalem Baryt von Teplitz*	*CBl*	*1907*	*468*

	Jahrg.	Bd.	Seite
Cornu, F.: Ueber die mineralogische Zusammensetzung künstlicher Magnesitsteine, insbesondere über ihren Gehalt an Periklas	*CBl 1908*		*305*
— *Nachtrag zu meiner Notiz: Pleochroismus an thermalem Baryt von Teplitz*	*CBl 1908*		*393*
— *Ueber den A. v. Lasaulx'schen Versuch, Dichroismus durch Druck (Piezopleochroismus) an den Silberhaloiden betr.*	*CBl 1908*		*393*
— *Kristallisiertes Roheisen von Teschen*	*CBl 1908*		*545*
— *Bemerkung zu Herrn R. Nacken's Notiz: „Ueber die umkehrbare Umwandlung des Kryoliths“*	*CBl 1908*		*546*
— *Der dritte Fund von Zeophyllit im böhmischen Mittelgebirge (Krebshöhe bei Schönpriesen). Mit kristallographischen Bestimmungen von A. Himmelbauer*	*CBl 1909*		*324*
— *Ueber die Verbreitung gelartiger Körper im Mineralreich, ihre chemisch-geologische Bedeutung und ihre systematische Stellung*	*CBl 1909*		*324*
Cornu, F. und R. Görgey: Zur Geologie der Färöer	*CBl 1908*		*675*
Cornu, F. und A. Himmelbauer: Mineralogische Notizen. Valentinit von Procchio (Insel Elba)	1906	II	158
— — Mineralogische Notizen. Kupfererz aus dem Valle Sacca bei Kimpolung (Bukowina)	06	II	164
— — Mineralogische Notizen. Anthophyllit aus dem Biotit-Granitit von Fonte del Prete (Elba)	06	II	169
— — Mineralogische Notizen. Datolith von Pareu Cailor bei Pozoritta (Bukowina)	06	II	170
— — Mineralogische Notizen. Die Minerale der Graphitlagerstätte von Regens bei Iglau (Graphit, Wavellit, Variscit, Kaolin, Chloropal)	06	II	173
Cornu, F. und M. Lazarevič: Zur Paragenesis der Kupfererze von Bor in Serbien	09	II	401
Cornu, F. und K. A. Redlich: Notizen über einige Mineralvorkommen der Ostalpen	*CBl 1908*		*277*
Cornu, F. und C. Schuster: Zur Kenntnis der Verwitterung des Natrolith in Phonolithen	08	II	316
Corstorphine, G. S.: The volcanic series underlying the Black Reef	06	I	100
— The geological relation of the old granite to the Witwatersrand series	06	I	269
— Note on the age of the Central South African Coalfield	07	II	122
— The occurrence of garnet-pyroxene nodules carrying diamonds	08	II	154
— Reply to the discussion on the paper „The occurrence in Kimberlite of Garnet-Pyroxene nodules“	08	II	154
— siehe Hatch, F. H.			
Cossmann, M.: Catalogue illustré des Coquilles fossiles de l'Éocène des environs de Paris. Appendice 3	05	I	484
— Mollusques éocèniques de la Loire inférieure. III.	06	I	154
— Observations sur quelques coquilles crétaciques recueillies en France. 3 article. La faunule d'Orgon (Bouches-du-Rhône)	06	I	318
— Observations sur quelques coquilles crétaciques recueillies en France. 5 article	06	I	318
— Observations sur quelques coquilles crétaciques recueillies en France. 6 article	06	I	319
— Mollusques éocèniques de la Loire inférieure. III. 2	06	I	467
— Mollusques éocèniques de la Loire inférieure. III. 3	07	II	302

	Jahrg.	Bd.	Seite
Cossmann, M.: Catalogue illustré des coquilles fossiles de l'Éocène des environs de Paris. Appendice 4	1907	II	302
— Troisième note sur le Bathonien de St. Gaultier (Indre)	08	I	261
— siehe Thiéry, P.			
Costanzi, G.: Abbozzo di una carta delle Isanomale della gravità nell' Europa centrale e nel Giappone meridionale	08	II	43
Couffon, O.: Contribution à l'étude des faluns de l'Anjou. I. Étage Redonien, Gisement de Saint-Clément-de-la-Place	09	I	276
— Contribution à l'étude des faluns de l'Anjou. II. Étage Pontilevien, Gisement de Haguineau	09	I	276
— Contribution à étude des faluns de l'Anjou. III. Miocène supérieur. Gisement des Pierres Blanches près Chalonnes	09	I	276
— Le Miocène en Anjou	09	I	276
— Le Miocène en Anjou (Supplément)	09	I	277
— Le Bartonien supérieur (Marinésien) en Anjou	09	I	277
— Sur quelques crustacés des faluns de la Touraine et d'Anjou	09	I	277
Courtet, H.: Les sels de la région du Tchad	07	I	41
Couyat: Sur la célestite du Mokattam (Le Caire)	09	I	347
Cowper Reed, F. R.: Sedgwick Museum Notes. New Fossils from the Haverfordwest District. I.	05	I	174
— Sedgwick Museum Notes. New Fossils from the Haverfordwest District. II.	05	I	175
— Woodwardian Museum notes. Some Wenlock Species of Lichas	05	II	316
— Brachiopoda from the Bokkeveld beds	05	II	323
— Notes on Ocean Island (Banaba)	05	II	424
— Mollusca from the Bokkeveld beds	06	II	120
— Sedgwick Museum Notes. New fossils from the Haverfordwest District. III.	06	II	138
— The Classification of the Phacopidae	06	II	139
— Sedgwick Museum Notes. New fossils from the Haverfordwest District. IV.	06	II	140
— Sedgwick Museum Notes. New Fossils from the Haverfordwest District. V.	06	II	307
Cozzaglio, A.: Contribuzione alla ricerche sulla topografia preglaciale e neozoica del Lago di Garda	05	II	100
Cragin, F. W.: Paleontology of the Malone Jurassic Formation of Texas	07	I	285
Craig, Cunningham, E. H., siehe Cunningham-Craig, E. H.			
Crammer, H.: Ueber Gletscherbewegung und Moränen	*05*	*II*	*33*
Crandall, K.: The cretaceous stratigraphy of the Santa Clara Valley in California	08	I	432
Crane, W. R., siehe Adams, G.			
Credner, H.: Der vogtländische Erdbebenschwarm vom 13. Februar bis zum 18. Mai 1903 und seine Registrierung durch das Wiechert'sche Pendelseismometer in Leipzig	05	I	50
— Die Genesis des sächsischen Granulitgebirges	08	I	56
— Geologische Uebersichtskarte des Königreichs Sachsen im Maßstab 1 : 250 000 der natürlichen Größe. Im Auftrage des k. sächsischen Finanzministeriums nach den Ergebnissen der k. sächsischen geologischen Landesanstalt bearbeitet	09	I	400
— *Die Genesis des sächsischen Granulitgebirges*	*CBl*	*1907*	*513*

	Jahrg.	Bd.	Seite
Credner, H. und Danzig, E.: Das kontaktmetamorphische Paläozoicum an der südöstlichen Flanke des sächsischen Granulitgebirges	*CBl*	*1905*	*257*
Cremer, L.: Neuere geologische Aufschlüsse des niederrheinisch-westfälischen Steinkohlenbergbaues	1907	I	414
Crick, G. C.: Note on two Cephalopods obtained by Lieut.-Col. Skinner from the Valley of the Tochi River on the North-west frontier of India	05	I	349
— Note on a remarkable Belemnoid from the Chalk of Flamborough Head	05	I	356
— On Ammonites robustus (R. Strachey M. S.) H. J. Blanford from the Himalayas	05	II	319
— Jurassic Ammonites from India	05	II	320
— Notes on the Cephalopoda in the Strachey Collection from the Himalaya	05	II	320
— Note on Actinocamax Miller; its identity with Atractilites Link	06	I	466
— On a dibranchiate Cephalopod, Styracoteuthis orientalis n. g. et n. sp., from the Eocene of Arabia	07	I	324
— On a New Form of Carboniferous Nautiloid (Amphoreopsis paucicamerata) from the Isle of Man	07	I	482
— Cretaceous fossils of Natal. Part III. The Cephalopoda from the deposit at the North and of False Bay, Zululand. — The Cephalopoda from the tributaries of the Manuan Creek, Zululand. — Note on a cretaceous ammonite from the mouth of the Umpenyati River, Natal	07	II	304
— The Arms of Belemnites	07	II	493
— siehe Fox, H.			
Crider, A. F.: Geology and Mineral Resources of Mississippi	08	II	378
Crook, A. R.: Molybdenite at Crown Point, Washington	06	I	164
Crook, T.: Titaniferous Volcanic Rocks	09	II	226
Crook, T. and B. M. Jones: Geikielite and the ferromagnesian Titanates	07	II	18
Crookes, W.: A New Formation of Diamond	06	II	320
Cross, W.: A new devonian formation in Colorado	06	II	263
— An occurrence of trachyte on the island of Hawaii	06	II	221
— Prowersose (syenitic lamprophyre) from Two Buttes, Colorado	08	II	371
— siehe Howe, E.			
Cross, W., J. P. Iddings, L. V. Pirsson, H. S. Washington: The texture of igneous rocks	08	II	350
Cumings, E. R.: Development of some paleozoic Bryozoa	05	II	144
— Morphogenesis of Platystrophia. A Study of the evolution of a palaeozoic Brachiopod	05	II	324
Cunningham-Craig, E. H.: Metamorphism in the Loch-Lomond District	05	II	225
Currie, J.: Note on some new localities for Gyrolite and Tobermorite	06	II	343
— The mineralogy of the Faeröes arranged topographically	09	I	27
Cushman, A. D. and P. Hubbard: The Decomposition of the Feldspars	08	II	19
Cuvellier, E. et L. Dubuisson: Note préliminaire concernant le puits artésien de la nouvelle école militaire	05	I	305

D.

	Jahrg.	Bd.	Seite
Dacqué, E.: Beiträge zur Geologie des Somalilandes. I. Untere Kreide. II. Oberer Jura	1906	I	280
— *Zur systematischen Speziesbestimmung*	*BB*	*XXII*	*639*
Dacqué, E. und E. Krenkel: Jura und Kreide in Ostafrika	*BB*	*XXVIII*	*150*
Dahms, P.: Mineralogische Untersuchungen über Bernstein. VIII. Ueber den Brechungsquotienten des Succinit und einige Erscheinungen, die sich bei der künstlichen Behandlung dieses Bernsteins zeigen	07	I	211
— Mineralogische Untersuchungen über Bernstein. IX. Ueber Rumänit und Succinit	08	II	326
Dainelli, G.: Sull' attuale ritiro dei ghiaccai del versante italiano del Monte Rosa	05	I	56
— Contemporaneità dei depositi vulcanici e glaciali in provincia di Roma	08	II	46
Dakyns, J. R. and E. Greenly: On the probable Pelean Origin of the Felsitic Slates of Snowdon, and their Metamorphism	07	I	390
Dal Piaz, G., siehe Piaz, G. Dal.			
Dale, T. N.: Structural details in the Green Mountain Region and in Eastern New York	05	II	413
— The Geology of the North End of the Taconic Range	05	II	413
— Slate Deposits and Slate Industry of the United States	08	II	377
— The Granites of Maine with an introduction by G. O. Smith	09	II	392
Dall, W. H.: On the Synonymic History of the genera Clava Martyn and Cerithium Bruguière	08	I	444
Dalmer, K.: Wo könnte in Sachsen noch auf Steinkohlen gebohrt werden?	06	I	235
— *Ueber die chemische Konstitution der Biotite*	*CBl*	*1907*	*51*
— *Ueber ein neues Unterscheidungsmerkmal zwischen Granit und Gneis*	*CBl*	*1907*	*613*
— *Ueber die Temperaturen, bei welchen das Wasser der Chlorite und Biotite entweicht*	*CBl*	*1908*	*518*
Daly, R. A.: The accordence of summit levels among alpine Mountains	07	I	46
— The classification of igneous intrusiv bodies	07	I	51
— The Differentiation of secondary Magma through Gravitative Adjustment	07	II	214
— The Secondary Origin of Certain Granites	07	II	225
— Abyssal Igneous Injection as a Causal Condition and as an Effect of Mountain-building	08	I	213
— The Limeless Ocean of Pre-Cambrian Time	09	I	50
— Okanagen composite batholith of the Cascade Montain system	09	I	68
Dammer, B.: Ueber das Auftreten zweier ungleichalteriger Lösse zwischen Weißenfels und Zeitz	1908	II	251
	09	II	109
— Ueber einige neue Fundpunkte interglazialer Ablagerungen in der Lüneburger Heide	08	II	99
Daneš, J.: Das Flußgebiet der unteren Narenta	06	II	195
Daniel, K.: Ueber die Einwirkung des Fluorwasserstoffes auf Quarz und amorphe Kieselsäure	05	I	20
— Ueber die Konstitution des Topases	05	I	37
Danne, J.: Sur un nouveau minéral radifère	07	I	10

	Jahrg.	Bd.	Seite
Dannenberg, A.: Beiträge zur Petrographie der Kaukasusländer II. (Schluß)	1906	I	389
— *Der Vulkanberg Mte. Ferru in Sardinien*	*BB*	*XXI*	*1*
— *Die Vulkanberge von Colombia, ein Rückblick auf die Arbeiten und Beschreibungen von Alphons Stübel auf dem Gebiete der theoretischen Vulkanologie*	*CBl*	*1906*	*429*
Danzig, E., siehe Credner, H.			
Darton, N. H.: The Zuni Salt Lake	07	I	48
— The hot springs at Thermopolis, Wyoming	08	II	349
Dautzenberg, Ph., siehe Dollfus, G. F.			
David, P.: Sur la stabilité de la direction d'aimantation dans quelques roches volcaniques	06	I	38
— siehe Bruhnes, R.			
David, T. W. Edgworth, siehe Davis, B. F.			
Davies, A. M.: The Kimeridge Clay and Corallian Rocks of the Neighbourhood of Brill (Buckinghamshire)	08	II	88
Davies, H. N.: The Discovery of human remains under the Stalagmite floor of Goughcavern, Cheddar . 1906 I 133	06	II	280
Davis, B. F.: Occurrence of Gadolinite in West Australia. With notes by W. G. Woolnough and T. W. Edgworth David	08	I	25
Davis, R. O. E.: Analysis of Kunzite	05	II	183
Davis, W. M.: The Development of River Meanders	05	I	231
— The Terraces of the Westfield River, Mass.	05	I	410
— The relations of the earthsciences in view of their progress in the nineteenth Century	06	II	45
— The geographical cycle in an arid climate	07	I	49
— The Bearing of Physiography upon Suess' Theories	07	I	224
— An excursion to the plateau province of Utah and Arizona	09	I	422
Davison, C.: The Caernarvon Earthquake of June 19the 1903 and its Accessory Shocks	05	II	371
— The Derby Earthquakes of March 24th and May 3rd 1903	05	II	371
— The Penzance earthquake of March 3. 1904	06	I	42
— The Leicester Earthquakes of August 4th, 1893 and June 21st, 1904	06	I	361
— The Derby Earthquakes of July 3rd, 1904	06	I	362
— Twin-Earthquakes	06	I	363
— The Doncaster Earthquake of April 23rd, 1905	07	I	45
— On Earth-Shakes in Mining Districts	07	I	377
Dawison, J. M., siehe Howard, O. S. and Dawison, J. M.			
Day, A. L. and E. T. Allen: The isomorphism and thermal properties of the feldspars	06	I	333
Day, A. L., E. T. Allen, E. S. Shepherd, W. P. White und F. E. Wright: Die Kalkkieselreihe der Mineralien. Zusammengestellt nach neuen Untersuchungen des geophysikalischen Laboratoriums, Carnegie Institution in Washington	09	I	180
Day, A. L. and E. S. Shepherd: The Lime-Silica Series of Minerals, with optical study by Fred E. Wright	08	I	180
Dean, B.: Historical Evidence as to the Origin of the paired Limbs of Vertebrates	05	II	313
— The Preservation of Muscle-Fibres in Sharks of Cleveland Shale	08	II	478
Deecke, W.: Die Oderbank nördlich von Swinemünde 1905 II 293	07	II	50
— Die Beziehungen der vorpommerschen Städte zur Topographie und Geologie ihrer Umgebung	05	II	441

	Jahrg.	Bd.	Seite
Deecke, W.: Ueber Wealdengeschiebe aus Pommern	1905	II	443
— Säugetiere aus dem Diluvium und Alluvium der Provinz Pommern	06	I	140
— Das skandinavische Erdbeben vom 23. Oktober 1904 und seine Wirkungen in den südbaltischen Ländern	06	I	200
— Betrachtungen zum Problem des Inlandeises in Norddeutschland und speziell in Pommern	07	I	114
— Interglazialer Torf in Vorpommern	07	II	462
— Geologie und Prähistorie	07	II	471
— Notizen über Brandgruben in Neuvorpommern. Kleine Beobachtungen in dem Gebiete des Darss	07	II	477
— Die alten vorpommerschen Verkehrswege in ihrer Abhängigkeit vom Terrain	07	II	477
— *Ein Grundgesetz der Gebirgsbildung? Erster Artikel*	*08*	*I*	*119*
— *Ein Grundgesetz der Gebirgsbildung? Zweiter Artikel*	*08*	*II*	*32*
— *Ein Grundgesetz der Gebirgsbildung? Dritter Artikel. Der Alpenbogen*	*08*	*II*	*55*
— Einige neue Aufschlüsse im Flözgebirge Vorpommerns und allgemeine Charakterisierung der pommerschen Kreideformation	08	I	428
— *Die südbaltischen Sedimente in ihrem genetischen Zusammenhange mit dem skandinavischen Schilde*	*CBl*	*1905*	*97*
— *Nekrolog Emil Cohen*	*CBl*	*1905*	*513*
— *Konglomeratgneis als Diluvialgeschiebe*	*CBl*	*1906*	*625*
— *Einige Beobachtungen am Sandstrande*	*CBl*	*1906*	*721*
— *Erdmagnetismus und Schwere in ihrem Zusammenhange mit dem geologischen Bau von Pommern und dessen Nachbargebieten*	*BB*	*XXII*	*1 4*
— *Der geologische Bau der Apenninenhalbinsel und die Schweremessungen*		*Festband*	*129*
Deeley, R. M.: The Structure of Glacier Ice	09	II	209
Delage, A. et H. Lagatu: Sur la constitution de la terre arable 1906 I 207	07	II	60
— — Sur les espèces minérales de la terre arable 1906 I 207	07	II	61
— — Sur les résultats obtenus par l'observation des terres arables en plaques mines	07	II	401
De Lamothe, siehe Lamothe, de.			
De Launay, L., siehe Launay, L. de.			
Delebecque, A.: Sur les lacs de la haute Engadin	06	I	44
— Sur les lacs du Grimsel et du massif du St. Gothard	07	II	52
Delheid, E.: Quelques fossiles bruxelliens de la région de Waterloo	09	I	275
Delkeskamp, R.: Die Bedeutung der Konzentrationsprozesse für die Lagerstättenlehre und die Lithogenesis	06	I	72
— Die Bedeutung der Geologie für die Balneologie	06	I	403
— Beiträge zur Kenntnis der Westufer des Mainzer Tertiärbeckens. I. Der Kreuznacher mitteloligocäne Meeressand und seine Fauna	07	I	111
— Vadose und juvenile Kohlensäure	07	II	61
— Fortschritte auf dem Gebiete der Erforschung der Mineralquellen. (Geologie und Genesis. Chemie und Physik. Systematik. Erschließung und Fassung. Quellenschutz. Physiologische Wirkung. Kur- und Badewesen.)	09	II	372
— Das Kupferkiesvorkommen zu Riparbella (Cecina) in der Toscana. Genesis der Kupferkieslagerstätten der eocänen basischen Eruptivgesteine der Toscana, Liguria, Emilia etc. vom Typus des Monte Catini	09	II	397

	Jahrg.	Bd.	Seite
De Lorenzo, siehe Lorenzo, de.			
Demel, W.: Chemische Analysen schlesischer Minerale . . .	1905	I	199
Denckmann, A.: Blätter Kellerwald, Gilserberg, Rosenthal	07	II	90
— Ueber eine Exkursion in das Devon- und Culmgebiet nördlich von Letmathe	09	I	241
— Die Ueberschiebung des alten Unterdevon zwischen Siegburg an der Sieg und Bilstein im Kreis Olpe	09	I	272
— Mitteilungen über eine Gliederung in den Siegener Schichten	09	I	272
Denckmann, A. und O. v. Linstow: Blatt Frankenau	07	II	90
Deninger, K.: Die Gastropoden der sächsischen Kreideformation	06	I	317
— *Einige neue Tabulaten und Hydrozoen aus mesozoischen Ablagerungen*	*06*	*II*	*61*
— *Die mesozoischen Formationen auf Sardinien*	*BB*	*XXIII*	*435*
Denison, R. B., siehe Hoff, J. H. van't.			
Depéret, Ch.: Sur les caractères et les affinités du genre Chasmotherium Rütimeyer	06	II	280
— Die Umbildung der Tierwelt. Eine Einführung in die Entwicklungsgeschichte auf paläontologischer Grundlage. Ins Deutsche übertragen von R. N. Wegner	09	II	311
— Sur quelques gisements à Lophiodon de la région de Carcassonne	09	II	469
Depéret, Ch. et Caziot: Note sur les gisements pliocènes et quaternaires marins des environs de Nice	05	II	289
Depéret, Ch. et A. Guebhard: Sur l'âge des labradorites de Biot	06	I	115
Depéret, Ch. et F. Roman: Monographie des Pectinidés néogènes de l'Europe et des régions voisines. 1 Partie: Genre Pecten. (Supplément)	06	I	467
Deprat, G.: Les volcans du Logudoro et du Campo d'Ozieri (Sardaigne)	09	I	47
Deprat, J.: Les roches éruptives de l'île d'Eubée	05	I	245
— Note sur une diabase ophitique d'Epidaure (Péloponnèse)	06	II	212
— Sur la présence de nouméite à l'état détritique dans l'Éocène néo-calédonien	07	I	32
— Les dépôts éocènes néo-calédoniens; leur analogie avec ceux de la région de la Sonde. Description de deux espèces nouvelles d'Orbitoïdes	07	I	114
— L'origine de la protogine de Corse	07	II	404
— Sur la présence de trachytes et d'andésites à l'hypersthène dans le Carbonifère de Corse	07	II	405
— Les roches alcalines des environs d'Evisa (Corse)	08	I	69
— Sur l'existence en Corse de porphyres quartzifères alcalins et sur un remarquable gisement d'orthose	08	I	69
— Sur l'identité absolue de Nummulina pristina Brady et de Nummulites variolarius Lamk. et sur son existence dans les dépôts tertiaires néo-calédoniens	08	I	140
— Le Nummulitique de la Pta. del Fornello (Corse)	09	I	275
— Les éruptions posthelvétiennes antérieurs aux volcans récents dans le nord-ouest de la Sardaigne	09	II	227
— Les formations néovolcaniques antérieures au Miocène dans le nord-ouest de la Sardaigne	09	II	227
— Les produits du volcan Monte Ferru (Sardaigne)	09	II	227
— Sur un cas de dédoublement du thalweg d'une vallée par l'intervention d'une coulée volcanique (Sardaigne) . . .	09	II	228
Derby, O. A.: The Geology of the Diamond and Carbonado Washings of Bahia, Brazil	07	II	84

	Jahrg.	Bd.	Seite
Derwies, V. de: Recherches géologiques et petrographiques sur les laccolithes des environs de Piatigorsk (Caucase du Nord)	1907	I	233
Destinez, P.: Chonetes comoides dans la dolomie viséenne de la vallée du Bocq	05	I	457
— Ctenacanthus tenuistriatus Ag. dans le calcaire carbonifère de Visé	05	I	457
— Faune du petit-granite (T_2 b) de Belgique	05	I	456
— Comparaison de la faune des sables de Boncelles avec celle de l'Oligocène supérieur de Westphalie	09	I	275
Dewalque, G.: Catalogue des météorites conservées dans les collections belges	07	I	361
— Le météorite d'Amana et la nouvelle communication de M. le professeur Hinrichs	07	I	363
— L'origine du fer météorique de la hacienda de Moenvalle	07	I	363
Dibley, G. E.: The discovery of Marsupites in the Chalk of the Croydon area	06	II	107
Dick, A. B.: Supplementary notes on the mineral Kaolinite	09	II	191
Dickson, C. W.: Die Erzlagerstätten von Sudbury, Ontario	05	II	406
Diener, C.: Permian Fossils of the Central Himalayas	05	II	278
— Fauna of the Tropites-Limestone of Byans	08	II	235
— The fauna of the Himalayan Muschelkalk	08	II	240
— Die Faunen der tibetanischen Klippen von Malla Johar (Zentral-Himalaya)	08	II	412
— Uppertriasic and liassic Faunae of the exotic blocks of Malla Johar in the Blot Mahals of Kumaon	08	II	412
— *Ueber die stratigraphische Stellung der Otoceras beds des Himalaya*	*CBl 1905 1. 36*		
— *Das Alter der Olenekschichten Sibiriens*	*CBl 1908 233*		
— Die Stammesgeschichte der Ammoniten im Lichte der Abstammungslehre Steinmann's	CBl 1908		577
— Zur Frage der Rassenpersistenz bei Ammoniten. Eine Erwiderung	CBl 1909		417
— siehe Uhlig, V.			
Diener, C., R. Hörnes, Fr. E. Suess, V. Uhlig: Bau und Bild Oesterreichs	06	II	233
Dienert, F.: De la minéralisation des eaux souterraines et des causes de sa variation	08	I	363
— Sur le degré de minéralisation des eaux souterraines	08	I	363
Dienert, F. et E. Bouquet: Relation, entre la radioactivité des eaux souterraines et leur hydrologie	09	II	211
Dieseldorff, A.: Berichtigung einiger Angaben des Herrn R. Beck über: „Die Nickelerzlagerstätte von Sohland a. d. Spree und ihre Gesteine"	05	I	98
— Neue Manganerzvorkommen in Britisch Nord-Borneo	09	I	80
Dietzel, H.: Quellenstudien aus der Umgebung von Marburg	08	II	346
Di Franco, S., siehe Franco, S. di.			
Diller, J. S.: Klamath Mountain Section, California	05	II	105
— Topographic development of the Klamath Mountains	05	II	411
Diller, J. S. and H. B. Patton: The geology and petrography of Crater Lake National Park 1905 I 251	06	I	89
Di-Stefano, G.: Sull' esistenza dell' eocene nella penisola Salentina	06	II	116
Ditte, A.: Sur la formation dans la nature des minerais de vanadium	06	I	327

	Jahrg.	Bd.	Seite
Dittler, E.: Umwandlungspseudomorphose von Dolomit nach Calcit aus Schemnitz, Ungarn	CBl	1909	555
— Der Orthoklas und die basischen Endglieder der Plagioklasreihe. Vorläufige Mitteilung	CBl	1909	663
Dittrich, M.: Anleitung zur Gesteinsanalyse	CBl	1905	93
— Chemisches Praktikum für Studierende der Naturwissenschaften. Qualitative Analyse	CBl	1906	616
Dittrich, M. und R. Pohl: Zur Bestimmung von Zirkon neben Titan, insbesondere in Gesteinen	1906	I	5
— — Chemisch-geologische Untersuchungen über „Absorptionserscheinungen“ bei zersetzten Gesteinen. II.	06	I	51
Doby, G. und G. Melczer: Ueber das Achsenverhältnis und die chemische Zusammensetzung einiger Titaneisen	06	I	17
— Zirkon aus dem Ilmengebirge	06	I	22
Döll, Ed.: Ueber neue Pseudomorphosen: Quarz nach Pyrrhotin, Markasit nach Rutil, Limonit nach Quarz	05	I	13
Doelter, C.: Die Silikatschmelzen. I. und II. Mitteilung	06	II	4
— Die Silikatschmelzen. III. Mitteilung	06	II	5
— Die Silikatschmelzen. IV. Mitteilung	07	II	5
— Die Untersuchungsmethoden bei Silikatschmelzen	07	II	7
— Die Theorie der Silikatschmelzen und ihre Anwendung auf die Gesteine 1907 II 8	08	I	86
— Die Reaktionsgeschwindigkeit in Silikatschmelzen	07	II	9
— Minerogenese und Stabilitätsfelder der Minerale	1907	II	10. 162
— Ueber die Schmelzpunkte der Silikate	07	II	171
— Ueber die Frage der Ausdehnung der Silikate beim Erstarren 1909 I 51	09	II	329
— Die Anwendung der physikalischen Chemie auf Mineralogie und Geologie	09	II	182
— Ueber Silikatschmelzen und Silikatgläser	09	II	184
— Ueber die Dissoziation der Silikatschmelzen (II. Mitteilung)	1909	II	184. 329
— *Ueber die Silikatschmelzlösungen*	*CBl*	*1905*	*144*
— Physikalisch-chemische Mineralogie	CBl	1905	629
— *Ueber den Einfluß der Viskosität bei Silikatschmelzen*	*CBl*	*1906*	*193*
— *Die Untersuchungsmethoden der Silikatschmelzen*	*CBl*	*1907*	*1*
— Petrogenesis	CBl	1907	216
— *Ueber die Stabilität der durch Radium erhaltenen Farben der Mineralien*	*CBl*	*1909*	*232*
— *Heizmikroskop mit elektrischer Heizung*	*CBl*	*1909*	*567*
— siehe Romberg, J.			
Doeltz, F. O. und Wl. Mostowitsch: Versuche über das Verhalten des Schwerspats bei höheren Temperaturen	08	II	321
Doerinckel, F.: Ueber einige Platinlegierungen	08	II	157
Dollfus, G. F.: Sur les effondrements de la plaine de Sevran	05	I	54
— Les Calcaires et Sables tertiaires du Bassin de la Loire	05	I	319
— Critique de la classification de l'Éocène inférieure	06	II	115
— Révision des faunes de Mollusques terrestres et fluviatiles du tertiaire des bassins de la Seine et de la Loire	07	I	441
— Classification des couches de l'Éocène supérieur au nord de Paris	07	II	450
— Découverte à Darvault (Seine et Marne) d'un calcaire lacustre inséré dans la partie moyenne des Sables de Fontainebleau	09	I	107
— Sur quelques polypiers fossiles des Indes Néerlandaises. Aus: R. D. M. Verbeek, Rapport sur les Moluques	09	II	141
— Étude critique sur quelques coquilles fossiles du Bordelais	09	II	466

	Jahrg.	Bd.	Seite
Dollfus, G. F.: Excursion to Paris of the Geologists Association in April 1908	1909	II	466
— On the Correlation of the Beds of the Paris Basin	09	II	466
Dollfus, G. F. et Ph. Dautzenberg: Conchyliologie du Miocène moyen du bassin de la Loire, Suite. I. Partie: Pélécypodes	06	II	454
Dollfus, G. F. et G. Ramond: Présentation d'une note sur la géologie des environs de St.-Michel-Monthléry (Seine-et-Oise)	05	II	119
Dollo, L.: Les Mosasauriens de la Belgique	05	II	308
— L'origine des Mosasauriens	05	II	308
— Un nouvelle opercule tympanique de Plioplatecarpus, Mosasaurien plongeur	05	II	308
— Les allures des Iguanodons d'après les empreintes des pieds et de la queue	05	II	310
— Eochelone brabantica, tortue marine nouvelle du Bruxellien (Éocène moyen) de la Belgique et l'évolution des chéloniens marines	05	II	473
— Les Dinosauriens adaptés à la vie quadrupède secondaire	06	II	137
— Le pied de l'Amphiproviverra et l'origine arboricole des Marsupiaux	07	II	491
— L'audition chez les Ichthyosauriens	08	I	440
— Nouvelle note sur les Reptiles de l'Eocène inférieur de la Belgique et des régions voisines	08	I	443
Donath, Ed. und F. Bräunlich: Zur Kenntnis der fossilen Kohlen	06	I	235
Donau, J.: Ueber den Nachweis von Gold, Silber und den Platinmetallen durch die Phosphorsalzperle	08	II	156
Doncieux, L.: L'Eocène inférieur et moyen des Corbières septentrionales . . . . . 1906 II 429	07	I	441
Dorr, R.: Mikroskopische Faltungsformen, ein physikalisches Experiment	CBl	1905	90
Dorvan, S. S.: Notes on the Ancient Volcanoes of Basutoland	09	II	234
Doss, B.: Merkwürdige Bodenbewegungen bei Neu-Laitzen in Livland	07	II	50
— Ueber einen artesischen Naturbrunnen bei Schlock in Livland	07	II	50
— *Beobachtungen über das skandinavische Erdbeben vom 23. Oktober 1904 im Bereiche der russischen Ostseeprovinzen*	*CBl*	*1905*	*65*
Doudon, E.: Nouvelles explorations dans les cavernes d'Engihoul	05	I	322
Douglas, E.: A Cretaceous and Lower Tertiary Section in South Central Montana	06	II	423
Doumont, J.: Sur l'analyse minéralogique des terres arables	07	II	400
Douvillé, H.: Études sur le terrain nummulitique du Sud-Ouest	05	I	131
— Observations de M. Boussac faite à Biarritz	05	II	118
— Essai d'une revision des Orbitolites	05	II	154
— Le terrain nummulitique du Bassin de l'Adour	05	II	288
— Failles et plis	06	I	43
— Sur la comparaison des divers bassins nummulitiques	06	I	114
— Sur les fossiles silicifiées de Frayssinet-Le-Gélat (Lot)	06	I	290
— Observation	06	II	201
— Limite du crétacé et de l'éocène dans l'Aquitaine	07	I	112
— Evolution des Nummulites dans les différents bassins de l'Europe occidentale . . . . . 1907 I 159	07	II	158

	Jahrg.	Bd.	Seite
Douvillé, H.: Sur la structure des Orbitolines	1907	I	159
— Les foraminifères dans le tertiaire de Bornéo	07	I	161
— Stratigraphie des couches de Gaas	07	II	297
— Sur la structure du test dans les Fusulines	08	I	140
— Observations à propos des „Lépidocyclines" éocènes de quelques paléontologistes italiens	08	I	141
— Sur quelques gisements nummulitiques de Madagascar	08	I	141
— Evolution et enchaînements des Foraminifères	08	I	305
— Sur des Lépidocyclines nouvelles	08	I	308
— Les calcaires à Fusulines de l'Indo-Chine	08	I	417
— Les Ralligstöcke et le Gerihorn	08	II	382
— Observations géologiques dans les environs d'Interlaken	09	I	88
— Les couches à Lépidocyclines dans l'Aquitaine et la Vénétie	09	I	135
— Lépidocyclines du Sausset (B. du Rhone)	09	I	136
— Sur des Lépidocyclines d'un calcaire de l'île Grand-Kei	09	II	145
— Rectifications à la nomenclature de quelques Nummulites	09	II	486
— Sur quelques gisements à Nummulites de l'Est de l'Europe	09	II	486
— siehe Schlumberger, Ch.			
Douvillé, R.: Apropos des Lépidocyclines éocènes des quelques paléontologistes italiens	07	I	159
— Sur le „Argiles écailleuses" des environs de Palerme, sur le Tertiaire de la côte d'Otrante et sur celui de Malte	08	II	283
— Sur la variation chez les foraminifères du genre Lepidocyclina	08	II	284
— Position stratigraphique des gisements à Lepidocyclines dans le Miocène de Provence	09	I	297
— Observations à propos de la note de M. Rovereto „sur le Stampien des environs de Varazze"	09	II	486
— Sur des Foraminifères oligocènes et miocènes de Madagascar	09	II	487
— siehe Lemoine, P.			
Douvillé, R. et H. Jourdy: Le Jurassique du Sud Tunesien	06	I	283
Douvillé, R. et Prever: Communication sur la succession des faunes à Lépidocyclines dans le „bassin du Piémont"	07	II	159
Douxami, H.: La formation des Alpes	07	II	103
Douxami, H. et P. Marty: Végétaux fossiles de la Molasse de Bonneville (Haute-Savoie)	09	I	467
Dravert, P.: Cölestin aus den permischen Ablagerungen des Gouvernements Kasan	05	II	191
— Bericht über eine Exkursion nach dem mittleren Ural im Jahre 1900	09	II	41
— siehe Poljenow, B.			
Dreger, F.: Ueber die Kristallisationsgeschwindigkeit binärer Schmelzen	06	I	7
Dreger, J., siehe Abel, O.			
Dresser, J. A.: On the Geology of Brome Mountain, one of the Monteregian Hills	07	I	239
— Copper Deposits of the Eastern Townships of Quebec	08	I	81
— Igneous rocks of the Eastern Townships of Quebec	09	I	67
Drevermann, F.: Die Fauna der Siegener Schichten von Seifen unweit Dierdorf (Westerwald)	05	I	315
— *Bemerkungen über John M. Clarke's Beschreibung der Naples-Fauna, II. Teil*	*CBl 1905*		*385*
Dreyer, F.: Ueber die Kristallisationsgeschwindigkeit binärer Schmelzen	05	II	174
Dreyer, G., siehe Salomonsen, C. J.			

	Jahrg.	Bd.	Seite
Drzewina, A.: Bologovskaïa stoïanka kamennaho vieka. Die Steinzeit der Station Bologoie	1906	I	133
Dublin, L.: Arboreal Adaptations	06	I	136
Dubois, A., siehe Schardt, H.			
Dubois, E.: Over en equivalent van het Cromer Forest bed in Nederland	06	I	141
— Das geologische Alter der Kendeng- oder Trinil-Fauna	09	I	114
— *Ueber Facettengeschiebe im niederländischen Diluvium*	*CBl*	*1906*	*15*
— siehe Elbert, J.			
Du Bois, G. C.: Beitrag zur Kenntnis der surinamischen Laterit- und Schutzrindenbildungen	05	II	69
Dubuisson, L., siehe Cuvellier, E.			
Duerden, J. E.: The morphology of the Madreporaria III: The primary septa of the Rugosa	09	II	140
Dufet, H.: Sur le calcul cristallographique (nouvelle méthode)	05	I	361
— Recherches expérimentales sur l'existence de la polarisation rotatoire dans les cristaux biaxes	05	II	335
Düll, E.: Ergebnisse petrographischer Studien an Eruptivgesteinen und kontaktmetamorphen Sedimenten aus dem rheinpfälzischen Gebiete zwischen Glan und Lauter	09	I	54
— Ueber die Eklogite des Münchberger Gneisgebietes. Ein Beitrag zur Kenntnis ihrer genetischen Verhältnisse	09	I	377
— siehe Nies, A.			
Dürr, L.: Die Mineralien der Markircher Erzgänge	09	I	21
— Ueber ein neues Vorkommen von Lautit	09	I	8
Dürrfeld, V.: Herderit vom Epprechtstein	CBl	1909	552
— Whewellit von der Grube St. Sylvester bei Urbeis im Weilertal (Vogesen)	CBl	1909	553
Dumanski, A.: Ultramikroskopische Untersuchungen des Eisenhydroxydhydrosols	08	II	171
Dumont, J.: Sur la répartition de la potasse dans la terre arable	06	I	48
— Sur l'analyse minéralogique des terre arables	06	I	208
— Sur l'absorption des carbonates alcalins par les composants minéraux du sol	08	I	362
— Les composés phospho-humiques du sol	08	II	188
Dun, W. S.: I. Notes on some large Chonetine Shells from the Carboniferous of New South Wales. II. Carboniferous Brachiopods from Clarence Town, New South Wales	05	II	324
— Description of a New Species of Productus from the Carboniferous System of New South Wales	05	II	325
— Notes on Palaeozoic Brachiopoda and Pelecypoda from N. S. Wales	08	I	279
Dunstan, W. R.: Report on the occurrence of Thorium-bearing Minerals from Ceylon	05	II	355
— Report on Cassiterite from Ceylon	06	I	166
Dunstan, W. R. und G. S. Blake: Thorianite, a new Mineral from Ceylon	05	II	353
Dunstan, W. R. and M. Jones: A variety of Thorianite from Galle, Ceylon	07	I	198
Duparc, L.: Sur une nouvelle variété d'orthose	05	I	24
— Sur quelques roches filoniennes qui traversent la dunite massive du Koswinsky (Oural du Nord)	05	I	75
— L'age du granit alpin	08	I	69
— Sur l'ouralitisation du pyroxène 1909 I 342	09	II	231
Duparc, L. et Th. Hornung: Sur une nouvelle théorie de l'ouralitisation	06	I	339

	Jahrg.	Bd.	Seite
Duparc, L. et L. Loup: Sur des Euphotides à chloritoïde, trouvées dans l'erratique des environs de Genève . . .	05	I	244
Duparc, L. et L. Mrazec: Sur le minerai de fer de Troïtsk (Oural du Nord) 1905	I	259	06	II	223
— — Le minerai de fer de Troïtsk	06	II	223
Duparc, L. et F. Pearce: Sur la sorétite, une amphibole nouvelle du groupe des hornblendes communes 1905	I	30	
— — Recherches géologiques et petrographiques sur l'Oural du Nord dans la Rastesskaya et Kizélowskaya-Datcha (gouvernement de Perm). Deuxième mémoire	06	I	386
— — Ueber die Auslöschungswinkel der Flächen einer Zone	07	II	3
— — Sur la gladkaïte, nouvelle roche filonienne dans la dunite	07	II	410
— — Sur la tschernichéwite, une nouvelle amphibole	08	II	176
Durandière, de la: Sur une production de cuivre chloruré dans le sous-sol du IXe arrondissement de Paris . . .	05	I	369
Du Toit, A. L.: Geological Survey of Aliwal North, Herschel, Barkley Eeast and Part of Wodehouse	07	II	114
Dutton, C. E.: Volcanos and radioactivity	09	I	47

E.

Eakle, A. S.: Notes on Lawsonite, Columbite, Beryl, Barite and Calcite 1908	II	15. 27. 29. 38. 39	
Eastman, C. R.: Description of Bolca fishes	05	I	341
— On Campyloprion, a new Form of Edestus like Dentition	05	II	132
— Some carboniferous Cestraciont and Acanthodian Sharks	05	II	133
— Some unpublished Observations of Orestes St. John on palaeozoic Fishes	05	II	133
— On the genus Peripristis St. John	05	II	137
— Notice of interesting new forms of carboniferous fish-remains	05	II	138
— A peculiar modification amongst permian Dipnoans . . .	05	II	477
— Sharks teeth and Cetacean Bones from the red clay of the tropical Pacific	05	II	477
— Vesuvius during the early middle ages	07	II	390
— „A brief general account of fossil fishes" and „The triassic fishes of New Jersey"	08	II	442
— Devonic fishes of the New York-Formations	08	II	443
Easton, siehe Wing Easton, N.			
Eaton, G. F.: The characters of Pteranodon	05	I	517
Eberhardt: Zur Geologie von Eßlingen und Umgebung. Ein Beitrag zur Heimatkunde	07	II	256
Eckardt, W. R.: Das Klimaproblem der geologischen Vergangenheit und historischen Gegenwart	09	II	43
Eckel, E. C.: On a California roofing slate of igneous origin	06	II	215
— On the chemical composition of american shales and roofing slates	06	II	215
— Cement Materials and Industry of the United States. . .	08	II	376
— siehe Emmons, S. F.			
Edgworth, D., D. W., siehe Davis, B. F.			
Edlinger, W.: Beiträge zur Geologie und Petrographie Deutsch-Adamauas	09	II	384
Egger, J. G.: Mikrofauna der Kreideschichten des westlichen Bayrischen Waldes und des Gebietes um Regensburg. .	08	II	284
Egoroff, N.: Sur le dichroisme produit par le radium dans le quarz incolore et sur un phénomène thermo-électrique observé dans le quartz enfermé en stries	06	II	158

	Jahrg.	Bd.	Seite
Eichhorn, G.: Die paläolithischen Funde von Taubach in den Museen zu Jena und Weimar	1909	I	285
Eichleiter, C. F.: Chemische Untersuchung der Arsen-Eisenquelle von S. Orsola bei Pergine in Südtirol	09	II	373
Eichstädt, Fr.: En egendomlig af rent glas bestående meteorit funnen i Skåne	09	I	354
Eichwald, E.: Neuere Untersuchungen über die flüssigen Kristalle	05	II	171
Einecke, G.: Die südwestliche Fortsetzung des Holzappeler Gangzuges zwischen der Lahn und der Mosel 1908 I 241	09	I	242
Eisele, H.: Das Uebergangsgebirge bei Baden-Baden, Ebersteinburg, Gaggenau und Sulzbach und seine Kontaktmetamorphose durch das Nordschwarzwälder Granitmassiv 1908 I 91	09	II	65
— *Ueber den Kontakthof des Granit von Baden-Baden*	*CBl 1905 342*		
Elbert, J.: Ueber die Altersbestimmung menschlicher Reste aus der Ebene des westfälischen Beckens	05	I	475
— Das untere Angoumien in den Osningbergketten des Teutoburger Waldes	06	II	102
— Die Landverluste an den Küsten Rügens und Hiddensöes, ihre Ursachen und ihre Verhinderung 1906 II 196	08	I	97
— Ueber die Standfestigkeit des Leuchtturms auf Hiddensöe 1906 II 196	08	I	97
— Die Entwicklung des Bodenreliefs von Vorpommern und Rügen sowie den angrenzenden Gebieten der Uckermark und Mecklenburgs während der letzten diluvialen Vereisung. II. Teil 1907 I 117	08	I	96
— *Ueber das Alter der Kendeng-Schichten mit Pithecanthropus erectus Dubois*	*BB XXV 648*		
— Dubois' Altersbestimmung der Kendengschichten	CBl 1909		513
Elbert, J. und H. Klose: Kreide und Paleocän auf der Greifswalder Oie	07	II	99
Elles, G. L.: Some Graptolite Zones in the Arenig Rocks of Wales	06	II	263
Elsden, J. V.: On the origin of certain Pegmatite Veins	05	II	386
— On the Age of the Llyn-Padarn Dykes	05	II	389
— On the Igneous Rocks occurring between St. David's Head and Strumble Head (Pembrokeshire)	06	II	210
Emerson, B. K.: Note on Corundum and a Graphitic Essonite from Barkhamsted, Connecticut	05	II	393
— Note on a Calcite-Prehnite Cement Rock in the Tuff of the Holyoke Range	05	II	397
— Plumose Diabas and Palagonite from the Holyoke trapsheet	07	I	242
Emerson, B. K. and J. H. Perry: The Green Schists and associated Granites and Porphyries of Rhode Island	09	II	391
Emilio, L. d', siehe Piutti, A.			
Eminger, W.: Die Magnetitbogenlampe	08	II	13
Emmons, S. F.: Los Pilares Mine, Nacozari, Mexico	07	II	418
— Theories of ore deposition historically considered	CBl 1907		89
Emmons, S. F. and E. C. Eckel: Contributions to Economic Geology 1905	08	II	376
Emmons, S. F. and C. W. Hayes: Contributions to Economic Geology 1902	05	I	440
— — Contributions to Economic Geology 1904	08	II	376
Emmons, S. F., C. W. Hayes and others: Contributions to Economic Geology	05	I	207
— siehe Irving, J. D.			

	Jahrg.	Bd.	Seite
Emmons, W. H.: A Genetic Classification of Minerals . .	1909	II	330
Emszt, K.: Mitteilungen aus dem chemischen Laboratorium der agrogeologischen Aufnahmsabteilung der k. ungarischen geologischen Anstalt	05	II	122
Endriß, K.: Die Donauversinkung. Der Begriff „Donauversinkung" und der Weg zur Hebung der Wasserwirtschaft an der oberen Donau und an der Aach	08	I	93
— Zwei Aktenstücke über die Donauversinkung	08	I	94
— Für Wirtembergs Scholle . . . . . CBl 1907 185	08	I	95
Engel, Th.: Geognostischer Wegweiser durch Württemberg	08	II	233
Engelhardt, H.: Tertiäre Pflanzenreste aus den Fajûm .	09	I	308
Engler, C.: Die Bildung des Erdöls	08	II	327
Ennes de Souza, siehe Smith-Woodward.			
Eno, F. H.: The Uses of Hydraulic Cements	06	II	73
Erdmann, E.: Ein neuer schwedischer Fundort von Pyrophyllit	06	I	340
Erdmannsdörffer, O. H.: Die devonischen Eruptivgesteine und Tuffe bei Harzburg und ihre Umwandlung im Kontakthof des Brockenmassivs	06	I	209
— Ueber die Umwandlung von Diabasfeldspaten in Kontakthöfen von Tiefengesteinen	06	I	209
— Ueber Bau und Bildungsweise des Brockenmassivs . . .	07	I	382
— Petrographische Mitteilungen aus dem Harz. III. Ueber Resorptionserscheinungen an Einschlüssen von Tonschieferhornfels im Granit des Brockenmassivs	09	I	55
— Ueber Vertreter der Essexit-Theralithreihe unter den diabasartigen Gesteinen der deutschen Mittelgebirge	09	I	56
— *Ueber die systematische Stellung der Harzer Keratophyre = Ueber Hornfelsstruktur und kristalloblastische Reihen* . . .	*CBl 1909*		*501*
Erlanger, v. (Neumann-v. Erlanger), siehe Weber, M.			
Ermisch, K.: Die Knollengrube bei Lauterberg am Harz	05	II	398
— Neue Untersuchungen B. Lotti's auf Elba: silberhaltige Bleierze bei Rosseto	07	I	254
— Die gangförmigen Erzlagerstätten der Umgegend von Massa Marittima in Toskana auf Grund der Lotti'schen Untersuchungen	07	I	255
Ertborn, O. van: A propos de la carte géologique de la province d'Anvers et de la partie du Limbourg située au Nord du Démer	05	I	468
— Sondages houillers en Campine	05	I	468
— Contribution à l'étude du Quaternaire de la Belgique . .	05	I	478
— Quelques mots au sujet des terrains quaternaires	05	I	480
— Allure générale du Crétacique dans le Nord de la Belgique	06	I	289
— Le forage de Wavre-Notre-Dame. Résultat important obtenu par les grands diagrammes	07	I	442
— Tableau comparé de l'Échelle francaise et générale du groupe tertiaire avec la Légende officielle de Belgique et de la légende libre de l'auteur	07	II	296
Eschen, Fr. Waitz von, siehe Waitz von Eschen, Fr.			
Etheridge jr., R.: A monograph of the cretaceous invertebrate fauna of New South Wales	05	I	318
— Cretaceous fossils of Natal. I. The Umkwelane Hill deposit, Zululand	06	I	307
— An australian sauropterygian (Cimoliosaurus), converted into precious opal	07	I	145

	Jahrg.	Bd.	Seite
Etheridge jr., R.: On a precaudal vertebra of Ichthyosaurus australis Mc Coy	1907	I	145
— A new permo-carboniferous genus (Keenia) of Pleurotomariidae and a Straparollus in New South Wales	07	I	154
— Additions to the middle devonian and carboniferous corals in the Australian Museum	07	I	155
— Aperture of Conularia	07	I	155
— New or little known lower palaeozoic Gasteropoda in the collection of the Australian Museum	07	I	155
— On the occurrence of the genus Columnaria in the upper silurian rocks of New South Wales	07	I	155
— Halysites in New South Wales	07	I	156
— An Actinoceras from Northwest Australia	07	I	324
— The discovery of Bones at Cunningham Creek, near Harden, N. S. Wales	07	I	458
— Little-known and undescribed permo-carboniferous Pelecypoda in the Australian Museum	07	I	484
— Ctenostreon pectiniforme Schlotheim an australian fossil 1907 I 484	07	II	339
— Lingula associated with Lepidodendron	07	I	485
— Two undescribed Pelecypoda from the lower Cretaceous of Queensland in the collection of the Australian Museum 1907 I 485	07	II	289
— On the occurrence of a starfish in the upper silurian series of Bowning, N. S. Wales	07	II	157
— Cretaceous fossils of Natal. Part II. The Umsinene River deposit, Zululand	07	II	304
— Palaeontologia Novae Cambriae Meridionalis. — Occassional Descriptions of New South Wales Fossils	08	I	278
Etzold, Fr.: Bericht über die von Wiechert's astatischem Pendelseismometer in Leipzig vom 1. Januar bis 30. Juni 1903 registrierten Fernbeben und Pulsationen	05	I	52
— Die in Leipzig vom 1. Juli 1903 bis 30. April 1904 von Wiechert's Pendelseismometer registrierten Erdbeben und Pulsationen	05	I	52
— Fünfter Bericht der Erdbebenstation Leipzig. I. Die in Leipzig vom 1. Mai bis 31. Oktober 1904 registrierten Erdbeben und Pulsationen. II. Ueber die Aufzeichnung der infolge des Läutens der Kirchenglocken zu Leipzig erzeugten Bodenschwingungen	05	II	370
— Sechster Bericht der Erdbebenstation Leipzig	07	I	45
— Säugetierreste aus den pleistocänen Tuffen von Punin, Ecuador	08	I	103
Eury, Grand', siehe Grand' Eury.			
Evans, J.: Some recent discoveries of palaeolithic implements	09	I	123
Evans, J. W.: On some new forms of Quartz-wedge and their uses	06	II	32
— Gnomonic Projections on two planes	07	II	1
— Determination of the optic axial angle of biaxial crystals in parallel polarized light	07	II	2
— The identity of the Amiantos or Karystian stone of the Ancients with Chrysotile	07	II	22
— The Rocks of the Cataracts of the River Madeira and the Ajodining Portions of the Beni and Mamoré	08	I	384
— Anotation of the thirty-two classes of symmetry	09	I	155
— Notes on skiodroms and isogyres	09	I	156
Evans, N. N., siehe Norton Evans, N.			

	Jahrg.	Bd.	Seite
Evans, O. H.: Notes on the Raised Beaches of Taltal (Northern Chile)	1909	I	200
Everding, H.: Zur Geologie der deutschen Zechsteinsalze. Mit einer „allgemeinen geologischen Einführung" von F. Beyschlag und einem Verzeichnis der „Literatur über die Geologie der deutschen Salzablagerungen" von E. Zimmermann	09	II	304
Eyerman, J.: Contributions to Mineralogy	06	I	352
Eymar, K. Mayer, siehe Mayer-Eymar, K.			
Eypert, O.: Der Golderzbergbau am Roudny in Böhmen	06	II	380

F.

Faas, A.: Materialien zur Geologie der Tertiärablagerungen im Rayon von Kriwoi Rog	05	II	119
Fabiani, R.: Studio geo-paleontologico dei Colli Berici	07	II	159
— Paleontologia dei Colli Berici	08	II	285
— Nuovi giacimenti a Lepidocyclina elephantina nel Vicentino e osservazioni sui cosidetti Strati di Schio	09	II	487
Fairchild, H. L.: Geology under the planetesimal hypothesis of earth-origin	07	I	372
Falconer, siehe Teall.			
Fantappié, L.: Studio cristallografico del Peridoto di Montefiascone	06	II	17
Farrington, O. C.: Catalogue of the Collection of Meteorites, May 1, 1903	1905	I	214. 389
— Observations on the Geology and Geography of Western Mexico, including an account of the Cerro Mercado	05	II	201
— The Rodeo Meteorite	07	I	362
— The Shelburne and South Bend Meteorites	07	I	365
— Zoisite from lower California	08	II	31
— Meteorite Studies. II.	09	I	41
— Analysis of „Iron Shale" from Coon Mountain, Arizona	09	I	42
— Analyses of Iron Meteorites compiled and classified	09	I	353
Farup, F., siehe Hoff, J. H. van't und Mitarbeiter.			
Favre, F.: Die Ammoniten der unteren Kreide Patagoniens	*BB XXV*		*601*
Favreau: Eine diluviale Feuerstätte in der Einhornhöhle bei Scharzfeldt	05	I	321
Fedorow, E. v.: Allgemeinste Kristallisationsgesetze und die darauf fußende eindeutige Aufstellung der Kristalle	05	I	2
— Eines von den allgemeinsten Gesetzen der Kristallographie	05	II	167
— Einfluß verdrängender Beimischungen auf die Kristallisation	05	II	167
— Optische Vorrichtungen, die auf der Anwendung von Glasplättchenpaketen beruhen	05	II	168
— Optische Bestimmungen oder chemische Analyse?	05	II	169
— Beschreibung einiger interessanter Kristalle	05	II	192
— Notiz, betreffend ein Minimumproblem in der Gestaltenlehre	06	I	321
— Das Syngonieellipsoid ist das Trägheitsellipsoid der kristallinischen Substanzen	07	I	1
— Einige Folgerungen aus dem Syngonieellipsoidgesetz	07	I	1
— Kristallisation des Quercit und des Calcit	07	I	22
— Zur Beziehung zwischen Kristallographie und Zahlenlehre	07	I	181
— Der einfachste Beweis des zur Bestimmung der Hauptstrukturarten dienenden Satzes	07	I	182
— Spezielle Erprobung des kristallographischen Limitgesetzes	07	I	183

	Jahrg.	Bd.	Seite
Fedorow, E. v.: Theorie der Kristallstruktur. 3. Teil: Ueber die Hauptstrukturarten der Kristalle des kubischen Typus und speziell über die des Zirkon	1907	I	183
— Die Wichtigkeit der Anwendung des stereographischen Lineals	07	II	163
— Oehrnit und Yttrocalcit, neue Mineralspezies	1907	II	175. 183
— Kritische Revision der Kristallformen des Mineralreichs	07	II	347
— Syngonielehre	07	II	349
— Die kristallinischen Umwandlungen und das Wachstum im festen Mittel	07	II	350
— Wie lassen sich die Fehler der Exzentrizität bei billigen Universalgoniometern vermeiden?	07	II	350
— Der Einfluß des Kapillar-, Wärme- und elektrischen Stromes auf die Genesis der Kristalle	07	II	352
— Versuch einer künstlichen Epidotisierung des Granats	07	II	369
— Poliargyt und Poliargytisierung	07	II	370
— Erprobung des Limitgesetzes an Mursinskit	08	II	141
— Das Sphärotrigonometer (ein Instrument zur genauen Lösung von Aufgaben der Kristallographie und sphärischen Trigonometrie auf graphischem Wege)	09	II	7
— Die Kristallisation des Lansfordit, Disthen, Neptunit und Titanit	09	II	24
Fedorow, E. v. und W. Kolatschewsky: Puschkinitkristalle von der Werch-Isetzkaja Datscha	07	II	368
Fedorow, E. v., siehe Haag, F.			
Feit, W. und K. Przibylla: Ueber die Erden des Monazit	06	I	5
Feliciani, C.: Radioattività dei fangi di diversi sorgenti minerali del Lazio	07	I	228
Felix, J.: Beiträge zur Kenntnis der Fauna des mährischen Devon	06	I	302
— Ueber die Gattung Amphipora	06	I	302
— Ueber einige norddeutsche Geschiebe, ihre Natur, Heimat und Transportart	06	II	118
— Korallen aus portugiesischem Senon	07	I	487
— Ueber eine Korallenfauna aus der Kreideformation Ostgaliziens	09	I	294
— Studien über die Schichten der oberen Kreideformation in den Alpen und den Mediterrangebieten. II. Die Kreideschichten bei Gosau 1909 I 427	09	II	141
— Beiträge zur Kenntnis der Korallenfauna des syrischen Cenoman	09	II	484
— Ueber eine untertertiäre Korallenfauna aus der Gegend von Barcelona	09	II	485
— *Ueber Hippuritenhorizonte in den Gosauschichten der nordöstlichen Alpen*	*CBl 1905*		*77*
— *Ueber Hippuritenhorizonte in den Gosauschichten der nordöstlichen Alpen. (2. Mitteilung.)*	*CBl 1907*		*417*
Fennemann, N. M.: The Arapahoe Glacier in 1902	05	I	56
— Effect of cliff erosion on form of contact surfaces	07	I	379
— Oil Fields of the Texas-Louisiana Gulf Coastal Plain	08	II	378
Fenten, J.: Untersuchungen über Diluvium am Niederrhein	09	I	277
Ferguson, H. G.: Tertiary and recent glaciation of an Icelandic valley	08	II	341
Fermor, L. L.: Notes on some Indian Aerolites	09	I	38
— Note on the Meteoric Shower of the 22. October 1903 at Dókachi and Neighbourhood, Dácca-District, Bengalen	09	I	39

	Jahrg.	Bd.	Seite
Fernekes, G.: Precipitation of Copper from Chloride Solutions by means of Ferrous Chloride	1909	II	398
Ferro, A.: L'aqua nell' heulandite di Montecchio Maggiore	06	II	341
Fersmann, A.: Ueber Stolpenit aus der Rhön	09	II	23
— Ueber die Palygorskitgruppe	09	II	347
— Materialien zur Untersuchung der Palygorskitgruppe	09	II	347
— Baryt aus der Umgegend von Simferopol	09	II	360
— Zur Mineralogie des Kreises Simferopol	09	II	367
— *Ueber Gmelinit in Rußland*	*CBl 1906*		*573*
Ficker, G.: Grundlinien der Mineralogie und Geologie für die fünfte Klasse der österreichischen Gymnasien	CBl 1905		557
— Leitfaden der Mineralogie für die dritte Klasse der (österreichischen) Gymnasien	CBl 1906		246
Fild, H.: Die tektonischen Verhältnisse der Ehrenbürg bei Forchheim	07	II	100
Finckh, L.: Die Rhombenporphyre des Kilimandscharo	07	II	411
— Ueber einen am 6. Januar 1908 in Norddeutschland beobachteten Staubfall	09	I	55
— Ergebnisse seiner Untersuchungen von osttührингischen (vogtländischen) Diabasen	09	I	58
Findlay, A.: Einführung in die Phasenlehre und ihre Anwendungen	CBl 1907		691
Fink, W.: Zur Flyschpetroleumfrage in Bayern . . 1907 I 84	07	II	127
— Der Flysch im Tegernseer Gebiet mit spezieller Berücksichtigung des Erdölvorkommens	07	II	127
Finkelstein, A.: Dissoziation des Baryumcarbonats	08	I	17
Finlay, G. F.: On an occurrence of corundum and dumortierite in pegmatite in Colorado	09	II	386
Finsterwalder et E. Muret: Les variations périodiques des glaciers	07	I	381
Fircks, F. Freih.: Ueber einige Erzlagerstätten der Provinz Almeria in Spanien	08	I	243
Fischer, F.: Ueber Aspidiaria	05	I	539
— Zur Nomenklatur von Lepidodendron und zur Artkritik dieser Gattung	08	I	156
Fischer, H.: Die Quecksilberlagerstätten am Avala-Berge in Serbien	08	I	246
Fischer, K.: Neue Aufschlüsse im Weichbild der Stadt Frankfurt am Main	05	I	311
— Bergstürze und Felsschlipfe im Gefolge der Eiszeiten	08	II	339
Fischer, O.: Ueber einige Intrusivgesteine der Schieferzone am Nordrand des zentralen Granites aus der Umgebung der Sustenhörner (mittleres Aarmassiv)	06	II	62
Fischer, P.: Sedimentbildung am heutigen Meeresboden, dargestellt auf Grund der neueren Tiefseeforschungen	05	I	424
Fisher, O.: Vergleichung der Dichtigkeit der Erdkruste unter den Kontinenten und den Ozeanen	07	I	374
— A Suggested Cause of Changes of Level in the Earth's Crust	08	I	214
Fisher, Osmond-: On the Occurrence of Elephas meridionalis at Dewlish (Dorset) and Human Agency suggested	07	I	460
Fitting, H.: Sporen im Buntsandstein — die Makrosporen von Pleuromeia?	09	I	461
Flamand, G. B. M.: Observations sur les nitrates du Sahara à propos d'un échantillon de salpêtre naturel provenant de l'archipel touatien	05	I	444

	Jahrg.	Bd.	Seite
Flegel, K.: Heuscheuer und Adersbach-Weckelsdorf. Eine Studie über die obere Kreide im böhmisch-schlesischen Gebirge	1906	I	288
Fleischer, A.: Untersuchungen zum Beweise der Ausdehnung des Basalts beim langsamen Erstarren	09	I	51
— Zur Frage der Ausdehnung von Silikaten beim Erstarren	09	I	51
Fleischmann, O.: Untersuchungen von Gesteinen aus dem nordöstlichen China (Provinz Chi-li)	07	II	73
Fletcher, L.: An Introduction to the Study of Meteorites, with a List of the Meteorites represented in the Collection on January 1, 1904	05	I	211
— On the meteoric stones which fell near Zomba, British Central Africa, on January 25, 1899; with notes on the chemical analysis of such bodies	05	I	219
— On various masses of meteoric iron reported to have been found in Great Namaqualand and the adjacent region	05	I	392
— Historical note relative to the meteoric fragments labelled „Cape of Good Hope" and „Great Fish River"	05	I	392
— Note relative to the history of the mass of meteoric iron brought by Dr. F. P. Moreno from Caperr, Patagonia.	05	I	392
— Fall of meteoric stone near Crumlin, Antrim Co., September 13.	05	I	398
— On the possible existence of a nickel-iron constituent (Fe_5Ni_3) in both the meteoric iron of Youndegin and the meteoric stone of Zomba	09	II	185
Fletcher, M.: Note on cobaltiferous Mispickel from Sulitjelma, Norway	06	I	14
Flett, J. S.: The Somabula Diamond Field	08	I	324
Fleury, E.: Une nouvelle poche fossilifère sidérolitique à la „Verrerie de Roche" (Jura bernois)	09	I	432
Fliche, P. et R. Zeiller: Note sur une florule portlandienne des environs de Boulogne-sur-Mer	09	I	459
Fliegel, G.: Ueber einen Bergsturz bei Godesberg am Rhein	07	I	225
— Pliocäne Quarzschotter in der niederrheinischen Bucht	07	II	292
Flink, G.: Apophyllit von einigen schwedischen Fundorten	07	II	371
Flores, E.: L'Elephas primigenius nell' Italia meridionale continentale	06	I	146
Flusin, G., siehe Jacob, Ch.			
Focke, F. und J. Bruckmoser: Ein Beitrag zur Kenntnis des blau gefärbten Steinsalzes	08	I	10
Foerste, A. F.: The ordovician-silurian contact in the Ripley Island Area of southern Indiana, with notes on the age of the Cincinnati geanticline	06	II	262
Förster, B.: Weißer Jura unter dem Tertiär des Sundgaues im Oberelsaß	05	II	409
— Die Basaltgesteine der Kosel bei Böhmisch-Leipa	07	I	62
Försterling, C.: Die optischen Konstanten von Eisenglanz	*BB*	*XXV*	*344*
Foggy, D.: Serpentin, Meerschaum und Gymnit	07	I	347
Follmann, O.: Hystricrinus Schwerdii Follm. Eine neue Crinoidenart aus den oberen Coblenzschichten	05	I	181
Ford, O., siehe Seward, A. C.			
Ford, W. E.: Some interesting Beryl crystals and their associations	07	II	182
— Chalcopyrite Crystals from Arakawa, Japan	08	II	168
— Stephanite crystals from Arizpe, Sonora, Mexico	09	I	170
— siehe Penfield, S. L.			

	Jahrg.	Bd.	Seite
Ford, W. E. and E. W. Tillotson jr.: On Orthoklase twins of unusual habit	1909	II	16
Forel, F. A.: Poussière éolienne	05	II	370
Forir, H.: Prévisions relatives à l'épaisseur et à la nature des morts-terrains en Campine	05	I	450
— Sur un puits artésien creusé en 1846 à la station du Nord, place des Nations à Bruxelles	06	II	429
— Les lignites du Rhin dans le Limbourg néerlandais	07	II	127
— siehe Fourmarier, P., sowie Lohest, M.			
Fornasini, C.: Distribuzione delle Testilarine negli strati preneogenici d'Italia	05	II	157
— Distribuzione delle Testilarine negli strati miocenici d'Italia	05	II	157
— Illustrazione di specie orbignyane di Miliolidi istituite nel 1826 . . . . . 1905 II 489;	06	I	472
— Sulle Spiroloculine italiane fossili e recenti	06	I	472
— Intorno ad alcune spezie di „Polymorphina" istituite da d'Orbigny nel 1826	06	II	309
— Le otto pretese specie di „Amphistegina" istituite da d'Orbigny nel 1826	06	II	310
— Le pretese „faujasine" di O. G. Costa	06	II	310
— Sinossi metodica dei foraminiferi sin qui rinvenuti nella sabbia del Lido di Rimini	06	II	310
— Sopra alcune specie di „Globigerina" istituite da d'Orbigny nel 1826	06	II	310
— Illustrazione di specie orbignyane di „Nummulitidae" istituitae nel 1826	06	II	311
— Illustrazione di specie d'Orbignyane di Foraminiferi istituite nel 1826	06	II	457
— Illustrazione di specie d'Orbignyane di Rotalidi istituite nel 1826	06	II	458
— Indice critico delle Biloculine fossili d'Italia	07	II	340
— Illustrazione di specie orbignyane di Nodosaridi, di Rotalidi e d'altri foraminiferi istituite nel 1826	08	I	309
Forsyth-Major, siehe Major.			
Fouqué, F.: Les analyses en bloc et leur interprétation	05	II	209
Foureau, F. et L. Gentil: Sur les roches rapportées par la mission saharienne	07	II	410
Fourmarier, P.: Echantillons remarquables du houiller de la Campine	05	I	455
— Etude stratigraphique du massif calcaire de Visé	05	I	456
Fourmarier, P., M. Lohest et H. Forir: Observations sur le limon de la Hesbaye	05	I	480
Fournier, E.: Etudes sur les projets de l'alimentation le captage, la recherche et la protection des eaux potables	05	II	407
Fourtau, R.: Contribution à l'étude de la faune crétacique d'Egypte	05	II	284
— Observations sur les fossiles silicifiées du crétacé supérieur	06	I	291
— Sur le Turonien d'Abou-Roash (Égypte)	06	I	294
— La cataracte d'Assouan	07	I	424
Fourtau, R. et N. Georgiodès: Sur la source de Hammam Moussa près de Tor (Sinaï)	07	II	426
Fox, F.: The boring of the Simplon Tunnel and the distribution of Temperature that was encountered	07	I	219
Fox, H., H. Woodward, G. C. Crick, F. A. Bather: Devonian fossils from St. Minver, North Cornwall	06	I	301

	Jahrg.	Bd.	Seite
Fraas, E.: Neue Zeuglodon-Arten aus dem unteren Mitteleocän von Mokattam bei Kairo	1905	I	486
— *Säge von Propristis Schweinfurthi* Dames *aus dem oberen Eocän von Aegypten*	*07*	*I*	*1*
— Pleistocäne Fauna aus den Diamantseifen von Südafrika	08	I	103
— Aëtosaurus crassicauda n. sp. nebst Beobachtungen über das Becken der Aëtosaurier	08	II	436
— Dinosaurierfunde in Ostafrika	09	I	448
— Funde von Dinosauriern in Deutsch-Ostafrika	09	I	448
— Ostafrikanische Dinosaurier	09	I	448
Fraas, E. und Dacqué, E.: Beobachtungen über den ostafrikanischen Jura	CBl	1908	641
Fraipont, J.: Contributions à l'étude de la faune du calcaire carbonifère de Belgique. I. Échinodermes du marbre noir de Dinant	05	II	147
Franchi, S.: Sul rinvenimento di nuovi giacimenti di roccie giadeitiche nelle Alpi occidentali e nell'Appennino ligure	05	II	67
Franchi, siehe Colomba, L.			
Franckh, Verlagsbuchhandlung: Berichtigung	*CBl*	*1905*	*661*
Franco, S. Di: La Gmelinite di Aci Castello	05	II	27
— Le inclusioni nel basalte dell' isola dei ciclopi (Nota preventiva)	07	I	389
Franzenau, A.: Ueber den Calcit von „Kis Strázsahegy" bei Esztergom	08	II	303
Frech, F.: Ueber die Zukunft des Eisens	06	II	222
— *Ueber das Klima der geologischen Perioden*	*08*	*II*	*74*
— Die tektonische Entwicklung der Ostalpen	09	II	254
— In welcher Teufe liegen die Flöze der inneren niederschlesisch-böhmischen Steinkohlenmulde?	09	II	301
— Ueber den Gebirgsbau der Tirolor Zentralalpen mit besonderer Rücksicht auf den Brenner	09	II	420
— Zur Bestimmung der Korallen	09	II	484
— *Ueber das Hinaufgehen von Posidonia Becheri in das produktive Karbon*	*CBl*	*1905*	*193*
— *Zur Stellung von Lithiotis*	*CBl*	*1905*	*470*
— *Bemerkungen zu G. Boehm's Artikel „Zur Stellung der Lithiotiden"*	*CBl*	*1906*	*208*
— *Ueber die Ammoniten des von Herrn Dr. Renz bei Epidaurus entdeckten unteren alpinen Muschelkalkes (Zone des Ceratites trinodosus)*	*CBl*	*1906*	*271*
— *Die Hallstädter Kalke bei Epidauros (Argolis) und ihre Cephalopoden*		*Festband*	*1*
— siehe Kayser, E.			
— siehe Renz, C. u. Frech, F.			
Frech, F. et C. Renz: Etude sur les terrains triasiques et jurassiques de la Grèce	09	II	432
— — Sur la répartition du Trias à facies océanique en Grèce	09	II	432
— — *Neue Triasfunde auf Hydra und in der Argolis*	*BB*	*XXV*	*443*
Freis, R.: Experimentaluntersuchungen über die Ausscheidungsfolge von Silikaten bei 2 und 3 Komponenten	*BB*	*XXIII*	*43*
Freise, F.: Zur Entwicklungsgeschichte des Erzbergbaues in den deutschen Rheinlanden von der Wiederaufnahme des Bergbaues nach der Völkerwanderung bis zum 30jährigen Kriege	08	II	219
— Die Tone des Hohen Westerwaldes	09	II	244
Freitag, B. und M. Kästner: Ueber nichtglaziale Schrammungen bei Altenhain i. Sa.	CBl	1909	521

	Jahrg.	Bd.	Seite
Frémont, Ch., siehe Osmond, F.			
Fresenius, H.: Die chemische Zusammensetzung der Emser Mineralquellen	1905	I	444
Freudenberg, W.: Eine diluviale Rheintalspalte bei Weinheim a. d. Bergstraße	06	II	431
— Die Fauna von Hundsheim in Niederösterreich	08	II	106
— Geologie und Petrographie des Katzenbuckels im Odenwald	08	II	350
— *Die Rheintalspalten bei Weinheim an der Bergstraße aus tertiärer und diluvialer Zeit*	*CBl*	*1906*	*698*
— *Bemerkungen zu meinem Aufsatz „Die Rheintalspalten bei Weinheim an der Bergstraße aus tertiärer und diluvialer Zeit“*	*CBl*	*1909*	*659*
Freyn, R.: Ueber einige neue Mineralfunde und Fundorte in Steiermark	08	I	38
Friedberg, W.: Das miocäne Becken von Rzeszów	05	II	436
— Die Foraminiferen der Inoceramenschichten aus der Umgebung von Rzeszów und Debica	06	II	264
Friedel, G.: Sur un aluminate de calcium	05	I	13
— Etude sur les groupements cristallins	05	II	161
— Sur la loi de Bravais considerée comme loi d'observation	05	II	161
— Sur la loi de Bravais et l'hypothèse réticulaire	05	II	161
— Sur la structure du milieu cristallin	05	II	161
— Sur les macles	05	II	161
— Sur les bases expérimentales de l'hypothèse réticulaire	06	II	1
— Sur la loi de Bravais et la loi des macles dans Haüy	06	II	148
— Contribution a l'étude de la boléite et de ses congénères	07	I	339
— Réponse à M. Mügge au sujet des axes ternaires irrationels	08	II	139
— Observations relatives aux cristaux fluides	09	I	6
— Sur un nouveau gisement de pilotite (lassalite)	09	I	192
— Études sur la loi de Bravais	09	I	313
Friedrich, P.: Die Grundmoräne und die jungglazialen Süßwasserablagerungen der Umgegend von Lübeck	05	II	440
— Ueber neue Bohrungen in der Umgegend von Oldesloe in Holstein (Interglazial, Miocän und Eocän)	08	II	97
— Der geologische Aufbau der Stadt Lübeck und ihrer Umgebung	09	II	106
Friedrich, P. und H. Heiden: Die Lübeckischen Litorinabildungen	06	I	119
Frischauf, J.: Das Minimum der Ablenkung eines Lichtstrahles beim Durchgang durch ein Prisma	07	II	164
Fritel, P. H.: Note sur trois Nymphéacées nouvelles du Sparnacien des environs de Paris	09	II	156
Friz, W.: Die nutzbaren Lagerstätten im Gebiete der mittleren sibirischen Eisenbahnlinie	07	I	255
Fromme, J.: Das Analcimvorkommen im Liaston bei Lehre	05	I	38
Frosch, J.: Die fossile Fauna des Bayreuther Muschelkalkes	09	I	131
Früh, J.: Neue Drumlinslandschaft innerhalb des diluvialen Rheingletschers	06	I	436
— Inselberge im Rheintal	09	I	400
— Zur Etymologie von „Flysch“ (n.), „Fliesse“ (f.) und „Flins“ (m.)	09	I	432
Fuchs, A.: Die Stratigraphie des Hunsrückschiefers und der Unterkoblenzschichten am Mittelrhein, nebst einer Uebersicht über die spezielle Gliederung des Unterdevon mittelrheinischer Fazies und die Faziesgebiete innerhalb des rheinischen Unterdevon	09	I	272

	Jahrg.	Bd.	Seite
Fuchs, C. W. C.: Anleitung zum Bestimmen der Mineralien	CBl 1907		762
Fuchs, K., siehe Lehmann, O.			
Fuchs, Th.: Ueber die Natur der Edestiden mit besonderer Rücksicht auf die Gattung Helicoprion	1905	II	132
— Ein weiterer Nachtrag zur Kenntnis der Tertiärbildungen Eggenburgs	05	II	436
— Ueber Pteropoden- und Globigerinenschlamm in Lagunen von Koralleninseln	07	II	218
— *Ueber die Natur von Xanthidium Ehrenberg*	*CBl 1905*		*340*
— *Ueber Parapsonema cryptophysa Clarke und deren Stellung im System*	*CBl 1905*		*357*
Fuchs, Th. und O. Abel: Exkursion nach Eggenburg	05	II	115
Fuchs, Th. und F. Schaffer: Exkursion in die Ziegeleien der Wienerberger Ziegelfabrik und Baugesellschaft bei Inzersdorf am Wiener Berg	05	II	114
— — Exkursion in die Umgebung von Atzgersdorf, Baden und Vöslau	05	II	115
Fucini, A.: Cefalopodi liassici del Monte di Cetona. Parte II	05	I	175
— Cefalopodi liassici del Monte di Cetona. Parte III—V	06	II	142
— Lamellibranchi di Lias inferiore e medio dell' Appennino centrale	06	II	144
— Sopra gli scisti lionati del Lias inferiore dei dintorni di Spezia	07	I	282
— Sopra un'Ammonite emscheriana del Gargano	08	I	132
— Ancora sopra ai marni gialli di Siena e sopra ai calcari cavernosi ed agli scisti varicolori della Toscana	09	II	105
— Ammoniti medoliane dell' Appennino	09	II	139
Fugger: Blünbachtal	09	I	414
— Die Gaisberggruppe	09	I	414
— Die Salzburger Ebene und der Untersberg	09	I	415
— Die Gruppe des Gollinger schwarzen Berges	09	I	417
Fukuchi, N.: A Crystallized Gold from Yamagano, Kyūshū	07	I	192
— Crystals of Columbite from Yamano and Ishikawayama	07	I	208
— Mineral prageneses in the contactmetamorphic ore-deposits, found in Japan	09	I	32
— Occurrences of Sulphur in Japan	09	I	163
Fulda, E.: Die Oberflächengestaltung in der Umgebung des Kyffhäusers als Folge der Auslaugung der Zechsteinsalze	09	II	427
Fuller, M. L.: Underground Water Investigations in the United States	08	I	371
— Notes on the Jamaica earthquake	09	II	208
Fuller, M. L., E. F. Lines and A. C. Veatch: Record of deep well drilling for 1904	09	II	378
Furlong, E. L.: Preptoceras, a new Ungulate from the Samwel Cave, California	07	I	458
— siehe Sinclair, W. J.			
Futterer, K.: Durch Asien. Erfahrungen, Forschungen und Sammlungen während der von Amtmann Dr. Holderer unternommenen Reise. Bd. II . . . . . 1906 I 97	09	II	260

G.

Gäbert, C.: Der artesische Brunnen von Großzössen bei Borna, Bezirk Leipzig	06	I	403
— Die Gneise des Erzgebirges und ihre Kontakterscheinungen	09	I	212
Gagarin, Fürst G.: Sur la Molybdite des monts d'Ilmen	09	II	15

	Jahrg.	Bd.	Seite
Gagel, C.: Einige Bemerkungen über die obere Grundmoräne in Lauenburg	1905	I	472
— Ueber einige Bohrergebnisse und ein neues, pflanzenführendes Interglazial aus der Gegend von Elmshorn	05	II	441
— Ueber die Lagerungsverhältnisse des Miocän am Morsumkliff auf Sylt	06	I	429
— Briefliche Mitteilung betr. die Lagerungsverhältnisse des Miocän am Morsumkliff auf Sylt	06	I	430
— Ueber das Alter und die Lagerungsverhältnisse des Schwarzenbecker Tertiärs	07	II	293
— Ueber das Vorkommen des Untereocäns (Londonton) in der Uckermark und in Vorpommern	07	II	293
— Ueber die untereocänen Tuffschichten und die paleocäne Transgression in Norddeutschland	07	II	453
— Das Grundgebirge von La Palma	09	II	47
— Die Caldera von La Palma	09	II	47
— *Zur Frage des Interglazials*	*CBl*	*1905*	*673*
— *Ueber die Entstehung und Beschaffenheit der Parchimer Interglazialschichten*	*CBl*	*1906*	*66*
— *Ueber das Vorkommen von Schichten mit Inoceramus labiatus und Belemnites ultimus, sowie des ältesten Tertiärs in Dithmarschen und über die tektonischen Verhältnisse dieses Gebietes*	*CBl*	*1906*	275
— *Ueber das Vorkommen von Facettengeschieben im Dänischen Diluvium*	*CBl*	*1906*	*593*
— *Ueber die Bedeutung und Herkunft der westbaltischen, untereocänen Tuff- (Asche-) Schichten*	*CBl*	*1907*	*680*
— *Ueber den angeblichen Gault bei Lüneburg und die weitere Verbreitung des Gaults nach Norden und Osten*	*CBl*	*1909*	*759*
Gagel, C. und H. Stremme: Ueber einen Fall von Kaolinbildung im Granit durch einen kalten Säuerling	*CBl*	*1909*	*427. 467*
Gahren, A., siehe Vorländer, D. u. Gahren, A.			
Gaiser, E.: Basalte und Basalttuffe der Schwäbischen Alb	*06*	*II*	*205*
Galdieri, A.: Osservazioni sui terreni sedimentarii di Zannone	05	II	411
— La malacofauna triasica di Giffoni nel Salernitano	06	I	108
— Osservazioni geologiche sui Monti Picentini nel Salernitano	09	I	98
— siehe Bassani, F.			
Gans, R.: Zeolithe und ähnliche Verbindungen, ihre Konstitution und Bedeutung für Technik und Landwirtschaft	07	I	353
— Verbesserung von Trinkwasser und Gebrauchswasser für häusliche und gewerbliche Zwecke durch Aluminatsilikate oder künstliche Zeolithe	09	II	371
Garrey, G. H., siehe Spurr, J. E. and Garrey, G. H.			
Garrigou, F.: Nature du principe sulfuré de l'eau de la source Baven a Bagnères-de-Luchon	05	I	263
Garwood, E. J.: The Tarns of the Canton Ticino (Switzerland)	08	II	51
Gascuel, L.: Gisements stannifères au Laos français	07	II	425
— L'or à Madagascar	08	II	219
Gasser, G.: Die Mineralien Tirols (einschließlich Vorarlbergs)	CBl	1905	218
Gaub, F.: Die jurassischen Oolithe der Schwäbischen Alb. Vorläufige Mitteilung	*08*	*II*	*87*
— *Ueber oolithbildende Ophthalmidien im Dogger der Schwäbischen Alb*	*CBl*	*1908*	*584*
	09	I	297
Gaubert, P.: Sur quelques propriétés de la heulandite	05	I	38
— Sur les anomalies de forme des cristaux	05	II	333

	Jahrg.	Bd.	Seite
Gaubert, P.: Sur la cristobalite de Mayen	1905	II	356
— Produits de deshydratations de quelques phosphates et orientation du chlorure de baryum sur les minéraux du groupe de l'autunite	05	II	368
— Contribution à l'étude des faces cristallines	06	I	1
— Sur les cristaux de vivianite produite aux dépens d'ossements	06	I	30
— Sur les minéraux des enclaves homoeogènes de Mayen	06	I	347
— Sur la syncristallisation des deux substances différentes	06	II	3
— Sur les états cristallins du soufre	06	II	13
— Sur la coloration artificielle des cristaux d'acide phthalique	07	I	6
— Sur l'allanite de Jersey	07	I	353
— Sur la pyromorphite d'Issy-l'Evêque (Saône-et-Loire)	07	I	356
— Sur l'état des matierès colorantes dans les cristaux colorés artificiellement	07	II	4
— Sur les figures de corrosion	08	I	315
— Sur les indices de réfractions de quelques minéraux	08	II	143
— Sur la coloration artificielle des minéraux	08	II	144
— Sur les cristaux isomorphes de nitrate de baryte et de plomb	08	II	171
— Sur l'emploi de matières étrangères modifiant les formes d'un cristal en voie d'accroissement pour déterminer la symmétrie cristalline	09	I	329
— Sur les cristaux liquides de deux composés nouveaux de la cholestérine	09	I	332
— Sur la double réfraction accidentelle de la bromyrite	09	I	334
— Sur la reproduction artificielle de la barytine, de la célestine, de l'anglésite et sur les mélanges isomorphes de ces substances	09	I	348
Gaudry, A.: Observations paléontologiques dans l'Alaska	06	I	96
— Fossiles de Patagonie. Dentition de quelques mammifères	06	I	450
— Fossiles de Patagonie. Les attudes de quelques animaux	07	II	136
— Fossiles de Patagonie. Étude sur une portion du monde antarctique	07	II	141
— Fossiles de Patagonie. De l'économie dans la nature	09	I	439
Gauthier, V.: Note sur quelques échinides siliceux recueillis à Frayssinet-Le-Gélat (Lot)	05	II	149
— Contribution a l'étude des échinides fossiles. VII.	06	I	156
Gautier, A.: Action de l'oxyde de carbon, au rouge, sur le vapeur d'eau, et de l'ydrogène sur l'acide carbonique. Application de ces réactions à l'étude de phénomènes volcaniques	08	I	212
— Action de l'hydrogène sulfuré sur quelques oxydes métalliques et métalloïdiques. — Applications aux phénomènes volcaniques et aux eaux thermales	08	I	212
— La genèse des eaux thermales et ses rapports avec le volcanisme	08	II	69
Geier, G.: Umgebung von Hollenstein	09	I	416
— Zur Tektonik des Bleiberger Tales in Kärnten	09	I	416
Geiger, A.: Künstliche Darstellung des Krugit	05	I	192
Geikie, A.: Continental Elevation and Subsidence	05	I	222
Geinitz, E.: Die Einwirkung der Silvestersturmflut 1904 auf die mecklenburgische Küste	06	II	196
— Brunnenbohrungen in Mecklenburg	07	II	51
— Die Eiszeit	07	II	454
— Die Aufschlüsse des Salzbergwerks Friedrich Franz zu Lübtheen	09	II	187

	Jahrg.	Bd.	Seite
Geinitz, E.: Das Quartär von Sylt	*BB*	*XXI*	*196*
— *Zum Parchimer „Interglazial"*	*CBl*	*1905*	*737*
— *Bemerkungen zu der Auffassung des Quartärs von Sylt*	*CBl*	*1906*	*631*
— *Erwiderung*	*CBl*	*1908*	*196*
— *Bemerkungen zur Braunkohlenformation in Mecklenburg*	*CBl*	*1908*	*261*
— *Einige Bemerkungen zum Wesen der Eiszeit*	*CBl*	*1909*	*449*
— *Paleocän im Untergrund von Rostock*	*CBl*	*1909*	*618*
— siehe Nettekoven, A.			
— siehe Saß, C.			
Gemmellaro, G.: I cefalopodi del Trias superiore della regione occidentale della Sicilia	1905	I	342
Gemellaro, M., siehe Checchia-Rispoli, G.			
Gentil, L., siehe Foureau, F.			
— siehe Kilian, W.			
Gentil, L. et P. Lemoine: Sur le Jurassique du Maroc occidental	07	I	434
Georgiodes, N., siehe Fourtau, R.			
Gerber, E.: Vorläufige Mitteilung über das Eocän des Kientals	09	I	431
Gerhart, H.: Ueber die Veränderungen der Kristalltracht von Doppelsulfaten durch den Einfluß von Lösungsgenossen	07	I	184
Gerlache de Gomery, A. de: Expédition antarctique Belge, S. Y. Belgica 1897—1899	06	II	97
Gernez, D.: Sur la lumière émise par les cristaux d'anhydride arsénieux	07	I	19
— Sur la triboluminescence du sulfate de potassium	07	I	32
Gerth, H.: Beiträge zur Phylogenie der Tubocorallier	09	II	142
— *Timorella permica n. g. n. sp., eine neue Lithistide aus dem Perm von Timor*	*CBl*	*1909*	*695*
Gesell, A.: Montangeologische Aufnahme auf dem von der Dobsinaer südöstlichen Stadtgrenze südlich gelegenen Gebiete	06	I	73
— Geologische und Gangverhältnisse des Dobsinaer Bergbaugebietes	07	I	252
Geyer, G.: Zur Geologie der Lienzer Dolomiten	05	I	287
Gibb Maitland, A.: Notes on the country between Edjudina and Yundamindera, North Coolgardie goldfield	05	II	400
— Preliminary report on the geological features and mineral resources of the Pilbara goldfield	09	I	237
Gibson, G.: Lennonville, Mount Magnet and Boogardia, Murchison goldfield	05	II	399
— The geological features and mineral resources of Mulline, Ularring, Mulwarrie and Davyhurst, North Coolgardie Goldfield	05	II	401
Gidley, J. W.: The Fresh Water Tertiary of Northwestern Texas. American Museum Expeditions of 1899—1901	05	II	438
— A New Three toed Horse	05	II	468
— Proper generic Names of Miocene Horses	05	II	468
— On two Species of Platygonus from the Pliocene of Texas	05	II	469
— A fossil Racoon from a Californian pleistocene Cave deposit	07	II	317
— siehe Matthew, W. D.			
Gilbert, G. K.: Domes and dome structure of the high Sierra	06	II	214
— Crescentic gouges on glaciated surfaces	08	II	343
— Moulin work under glaciers	08	II	344
— Gravitational assemblage in granite	09	I	66
Giles, W. B.: Bakerite (a new borosilicate of calcium) and Howlite from California	05	I	36

		Jahrg.	Bd.	Seite
Gilmore, C. W.: Osteology of Baptanodon. .	1906 I 311	1909	I	447
— Notes on the Osteology of Baptanodon with a description of a new species	1906 II 136	09	I	447
— The mounted skeleton of Triceratops prorsus	1906 II 136	09	I	131
— The type of the jurassic Reptile Morosaurus agilis redescribed, with a note on Camptosaurus		08	II	437
— A new Species of Baptanodon from the Jurassic of Wyoming		08	II	441
— Notes on some recent additions to the exhibition series of vertebrate fossils		09	I	131
Ginsberg, A.: Ueber den Isomorphismus der Bisilikate von Calcium und Mangan		09	II	343
— Ueber Schmelzversuche der Bisilikate von Calcium und Mangan		09	II	343
Girasoli, D.: Analisi delle ceneri emesse nell' eruzione vesuviana dell' aprile 1906		09	I	46
Glangeaud, Ph.: L'Allier miocène, un gisement de vertébrés miocènes, près de Moulins		08	I	267
— Continuité des phénomènes orogéniques dans une partie du Massif Central aux époques oligocène et miocène, leurs relations avec les phénomènes volcaniques et hydrologiques		08	II	93
— Les éruptions volcaniques de la Limagne		08	II	93
— Des divers modes de l'activité volcanique dans la chaîne des Puys		09	I	46
Glasenapp, M.: Ueber Aenderungen des Kleingefüges der Tone durch Einwirkung hoher Hitzegrade		08	II	30
Glasser, E.: Les richesses minérales de la Nouvelle-Calédonie. Rapport au ministre des colonies		07	II	249
— Sur une espèce minérale nouvelle, la néponite, silicate hydraté de nickel et de magnésie		08	II	313
Glenn, L. C.: Notes on a New Meteorite from Hendersonville, N. C. and on additional pieces of the Smithville, Tenn. Fall		07	I	366
Glück, H.: Eine fossile Fichte aus dem Neckartal		06	II	434
Gmelin-Kraut: Handbuch der anorganischen Chemie . .		CBl	1906	748
Goddard, M.: Fish remains from the marine lower Triassic of Aspen Ridge, Idaho		08	II	446
Goebel, F.: Protocalamariaceae Potonié 1899		*CBl*	*1906*	*241*
— Ueber Flächengesteine		*CBl*	*1907*	*340*
— Flächner oder Kanter?		*CBl*	*1908*	*17*
Göbel, W.: Geologisch-bergmännische Karten mit Profilen von Raibl nebst Bildern von den Blei- und Zinklagerstätten in Raibl		05	I	259
Görgey, R.: Pleochroitischer Anhydrit von Staßfurt		08	II	320
— Ueber Skolezit von Suderö		CBl	1908	525
— Eine neue Apatitvarietät aus Elba		CBl	1909	337
— siehe Cornu, F.				
Götze: Eine paläolithische Fundstelle bei Pößneck		05	I	320
Goldieri, A., siehe Bassani, F.				
Goldschmidt, V.: Ueber einige Fortschritte, Hilfsmittel und Ziele der Kristallographie		05	I	1
— Zur Mechanik des Lösungsprozesses		05	I	10
— Ueber Aetzfiguren, deren Entstehen und Eigenart		05	I	10
— Realgar von Alchar in Makedonien		05	I	369
— *Glühverlust als mineralogisches Kennzeichen*		*06*	*I*	*16*
— Aus dem kristallographisch-chemischen Grenzgebiet		06	I	322
— Flächen oder Zonen als Ausgang der Formenentwicklung		06	I	322
— Formensystem aus Akzessorien, abgeleitet am Topas		06	I	341

	Jahrg.	Bd.	Seite
Goldschmidt, V.: Quarzzwilling nach r = 10	1906	II	327
— Ueber die Zwillingsgesetze des Quarz	06	II	328
— Berechnung der Positionswinkel φ, ϱ für veränderte Aufstellung	07	II	163
— Ueber influenzierte, induzierte und vikariierende Formen	08	II	140
— Ueber Heterozwillinge und einachsige Verwachsungen	08	II	140
— Ueber Composite, Composit-Zwillinge und -Viellinge	08	II	140
— siehe Bascom, F.			
— siehe Borgström, L.			
— siehe Kolbeck, F.			
— siehe Nies, A.			
Goldschmidt, V. und P. Hermann: Glühverlust der Zeolithe als deren mineralogisches Kennzeichen	*06*	*I*	*20*
Goldschmidt, V. und B. Mauritz: Ueber Kalomel	09	I	335
Goldschmidt, V. und R. Schröder: Ueber Salmiak von Grube Hänichen bei Burgk unweit Dresden	09	II	11
— — Salmiak vom Vesuv	09	II	12
— — Ueber Hauerit	09	II	13
Goldschmidt, V. M.: Radioaktivität als Hilfsmittel bei mineralogischen Untersuchungen. I. und II.	09	I	157
— *Ueber Mineralien der Kontaktmetamorphose im Kristiania-Gebiet*	*CBl 1909*		*405*
Goldthwait, J. W.: Correlation of the raised beaches on the west side of lake Michigan	08	II	346
Golfier, J.: Esquisse d'un système orthogonal	05	II	202
Gonnard, F.: Minéralogie des départements du Rhône et de la Loire	07	I	40
— Sur un gisement de zéolithes de Serbie	08	I	197
— Observations sur le quartz du Dauphiné	08	II	13
— Nouvelle contribution à l'étude cristallographique du quartz des géodes des marnes oxfordiennes de Meylan (Isère)	08	II	13
— Observations à propos de la herschélite et des zéolithes qui l'accompagnent dans les roches de Palagonia, Val di Noto (Sicile)	08	II	35
— Addition à l'étude cristallographique de la bournonite des mines de Pontgibaud (Puy-de-Dôme)	08	II	314
Goodchild, J. G.: The Scottish Ores of Copper in their Geological Relations	05	I	99
— The Scottish ores of iron	05	I	440
Goodrich, E. S.: On the pelvic Girdle and Fin of Eustheneopteron	05	II	311
Gordon, C. E.: Studies on early stages in palaeozoic corals	09	II	140
— The primary septa in rugose corals	09	II	140
Gordon, C. H.: On the pyroxenites of the Greenville series in Ottawa County, Canada	06	II	217
Gorjanović-Kramberger, K.: Zur Altersfrage der diluvialen Lagerstätte von Krapina in Kroatien	06	II	272
— Der paläolithische Mensch und seine Zeitgenossen aus dem Diluvium von Krapina in Kroatien. II. und III. Nachtrag	06	II	272
— Die Variationen am Skelette der altdiluvialen Menschen	06	II	273
— Homo primigenius von Krapina in Kroatien und dessen Industrie	06	II	273
— Der diluviale Mensch von Krapina und sein Verhältnis zum Menschen von Neandertal und Spy	06	II	273
— Der diluviale Mensch von Krapina in Kroatien	07	II	474

	Jahrg.	Bd.	Seite
Gortani, M.: Sul rinvenimento del calcare a Fusuline presso Forni Avoltri nell' alta Carnia occidentale	1905	II	91
— Nuovi fossili raibliani della Carnia	06	I	424
— Studi sulle rocce eruttive delle Alpi Carniche	08	II	212
— Sui metodi di determinazione delle Fusuline	09	II	488
Gossner, B.: Kaliumsulfat, Glaserit	05	II	29
— SO_4KH — $SO_4(NH_4)H$, ein isotrimorphes Salzpaar	05	II	31
— Kristallographische Untersuchung organischer Halogenverbindungen	06	I	8
— Beitrag zur Kristallographie der Salze von NH_4, K, Rb, Cs	06	I	8
— Beiträge zur Kenntnis der Isomorphie	09	II	8
— Das spezifische Gewicht bei isomorphen Reihen	09	II	11
Gothan, W.: Zur Entstehung des Gagats	09	II	365
— Weiteres über floristische Differenzen (Lokalfärbungen) in der europäischen Carbonflora. (Vorläufige Mitteilung.)	09	II	491
— Die fossilen Hölzer von König-Karls-Land	09	I	301
— Ueber einige in Deutsch-Südwestafrika gesammelte fossile Hölzer	09	I	309
Gough, G. C.: A Case of Metamorphism of Chalk	09	II	230
Gourdon, E.: Les roches éruptives grenues de la Terre de Graham recueillies par l'expédition antarctique du Dr. Charcot	07	II	416
— Les roches microlithiques de la Terre de Graham recueillies par l'expédition antarctique du Dr. Charcot	08	I	77
— Sur un microgranulite alcalin recueilli sur la terre de Graham par l'expédition antarctique du Dr. Charcot	08	I	77
— Sur un microgranite alcalin recueilli sur la terre de Graham par l'expédition antarctique du Dr. Charcot	09	I	225
Gouyat: Sur quelques minéraux des mines de Laprugne (Allier)	08	II	38
Grabau, A. W.: Guide to the geology and palaeontology of Niagara Falls and vicinity	06	I	265
— Guide to the geology and palaeontology of the Schoharie valley in Eastern New York	07	I	108
— Studies of Gastropoda. II. Fulgur and Sycotypus	07	II	335
Graber, H. V.: Geologisch-petrographische Mitteilungen aus dem Gebiete des Kartenblattes Böhmisch-Leipa und Dauba, Zone 3, Col. XI der österreichischen Spezialkarte	08	II	62
— *Eisenreiche Kernkonkretionen aus dem Quadersandstein der nordböhmischen Kreideplatte*	*BB XXV 467*		
— *Eine Bleidose für die mikrochemische Silikatanalyse*	*CBl 1905 247*		
Gränzer, J.: Einige Diabase des Jeschkengebirges und ihre Kontaktgesteine	08	I	371
Graham, R. P. D.: Note on two interesting pseudomorphs in the Mc Gill University mineral collection	07	II	12
Graichen, W.: Das Kupfergoldlager von Globe, Arizona	07	I	259
Grand'Eury: Sur les graines des Névroptéridées	07	I	164
— Sur les graines de Sphenopteris, sur l'attribution des Codonospermum et sur l'extrême variété des „graines des fougères"	07	I	164
— Sur les graines trouvées attachées au Pecopteris Pluckeneti Schloth	07	I	164
Grandidier, G.: Recherches sur les Lémuriens disparus et en particulier sur ceux qui vivaient à Madagascar	06	II	443
Granigg, B.: Geologische und petrographische Untersuchungen im Ober-Mölltal in Kärnten	08	II	358

	Jahrg.	Bd.	Seite
Grant, M.: Echinoderma	1907	II	153
Grant, U. S., Junction of Lake Superior Sandstone and Keweenawan Traps in Wisconsin	1905	I	231
	06	I	93
— Zinc and Lead Deposits of South-western Wisconsin	06	II	180
— Structural Relations of the Wisconsin Zinc and Lead Deposits	09	I	79
Grant, U. S. and M. J. Perdue: Milbrig Sheet of the Lead and Zinc District of northwestern Illinois	09	II	241
Grassi, U., siehe Hoff, J. H. van't u. Mitarbeiter.			
Graton, L. C.: Reconnaissance of some Gold and Tin Deposits of the Southern Appalachians. With Notes on the Dahlonega Mines by W. Lindgren	09	I	234
Graton, L. C. and W. T. Schaller: Purpurite, a new mineral	06	II	172
Graux, L.: Proportionalité directe entre le point cryoscopique d'une eau minérale de la classe des bicarbonates et la composition de cette eau exprimée en sels anhydres et en monocarbonates	08	I	361
— siehe Maillard, L. C.			
Green, U.: On the discovery of silurian fossils of Ludlow age in Cornwall	05	II	106
— Note on the correlation of some cornish beds with the Gedinnian of continental Europe	05	II	107
Greenly, E.: The Diffusion of Granite into Crystalline	05	I	419
— siehe Dakyns, J. R.			
Gregor, siehe Mc Gregor, J. H.			
Gregory, J. W.: Rhodesian diamonds	08	I	324
Gregory, W. K.: Adaptive Significance of the Shortening of the Elephant's Skull	05	II	471
Greiner, E.: Ueber die Abhängigkeit der Viskosität in Silikatschmelzen von ihrer chemischen Zusammensetzung	08	II	152
Grenander, S.: Les variations annuelles de la température dans les lacs suedois	06	II	49
Greppin, E.: Zur Kenntnis des geologischen Profils am Hörnli bei Grenzach	06	II	260
Griesbach, C. L.: On the exotic blocks of the Himalayas	05	II	417
Gröber, P.: Ueber die Faunen des untercarbonischen Transgressionsmeeres des zentralen Tian-schan, die in der Umgebung des Sart-dschol-Passes gefunden worden sind	*BB*	*XXVI*	*213*
Grönwall, K. A.: Geschiebestudien, Beitrag zur Kenntnis der ältesten baltischen Tertiärablagerungen	06	I	112
Grönwall, K. A. og. P. Harder: Paleocaen ved Rugaard i Jylland og dets Fauna	08	II	103
Grosch, P.: Phylogenetische Korallenstudien. (Die Axophylliden.)	09	II	142
Groschuff, E., siehe Mylius, F.			
Grosser, P.: Vulkanologische Streifzüge im Maoriland	07	I	220
Grossouvre, A. de: Sur la classification du Tertiaire	1905	II	119. 431
— Feuille de Bourges	05	II	432
— Sur la distribution verticale des Orbitoides	07	I	159
— Sur les couches de Gosau considerées dans leurs rapports avec la théorie du charriage	07	I	271
— Sur la variabilité de l'espèce chez les Ammonites	07	II	493
— Sur la Mollasse du Gâtinais	09	II	467
Groth, P.: Einleitung in die chemische Kristallographie	05	II	174

	Jahrg.	Bd.	Seite
Grubenmann, U.: Ueber einige Gesteine aus dem Stollen des Elektrizitätswerkes Schuls im Unterengadin	1905	II	384
— Ueber Pneumatolyse und Pegmatite, mit einem Anhang über den Turmalinpegmatit vom Piz Cotschen im Unterengadin	05	II	384
— Ueber einige schweizerische Glaukophangesteine	08	I	67
— Die kristallinen Schiefer. I. Allgemeiner Teil	CBl	1905	430
Grünhut: Die Entstehung der Mineralquellen des mittelrheinischen Schiefergebirges	08	I	368
Grünling, F.: Ueber den Hessenbergit (Sideroxen)	05	II	23
Grupe, O.: Die geologischen Verhältnisse des Elfas, des Homburgwaldes, des Voglers und ihres südlichen Vorlandes	05	II	259
— Zur Entstehung des Wesertales zwischen Holzminden und Hameln	06	I	121
— Der untere Keuper im südlichen Hannover	08	II	82
— Beiträge zur Kenntnis des Wellenkalks im südlichen Hannover und Braunschweig	08	II	84
— Ueber glaziale und präglaziale Bildungen im nordwestlichen Vorlande des Harzes	08	II	98
— Präoligocäne und jungmiocäne Dislokationen und tertiäre Transgressionen im Solling und seinem nördlichen Vorlande	09	I	407
— Die Zechsteinvorkommen im mittleren Weser-Leine-Gebiet und ihre Beziehungen zum südhannoverschen Zechsteinsalzlager	09	I	426
— Ueber die Zechsteinformation und ihre Salzlager im Untergrunde des hannoverschen Eichsfeldes und angrenzenden Leinegebietes nach den neueren Bohrergebnissen	09	II	424
— siehe Koenen, A. v.			
Grzybowski, J.: Geologische Skizze der Umgebung von Schodnica bei Drohobycz in den Ostkarpathen Galiziens	05	II	118
Guebhard, A.: Sur une expérience du Prof. Tito Martini reproduisant expérimentalement certains phénomènes éruptifs du volcanisme	05	I	444
— A propos de l'enquête sur les anciens rivages du Pliocène	06	I	117
— siehe Depéret, Ch.			
— siehe Kilian, W.			
Guédras, M.: Sur la présence de l'étain dans le departement de la Lozère	06	I	332
— Sur le filon de barytine dit de „la Chandelette" près Villefort	06	I	346
— Sur le sulfate de baryte de la Lozère	06	I	346
Günther, Ch. G.: The Gold Deposits of Plomo, San Luis Park, Colorado	07	I	407
Günther, S.: Bemerkungen zum Erdbeben von Lissabon	06	I	40
— Erdpyramiden und Büsserschnee als gleichartige Erosionsgebilde	07	I	379
Gürich, G.: Der Schneckenmergel von Ingramsdorf und andere Quartärfunde in Schlesien	06	I	123
— Mitteilungen über die Erzlagerstätten des oberschlesischen Muschelkalkes	06	II	74
— Granit und Gneis. Ein Beitrag zur Lehre von der Entstehung der Gesteine	06	II	198
— *Spongiostromidae — eine neue Familie krustenbildender Organismen aus dem Kohlenkalk von Belgien*	*07*	*I*	*131*
— *Versuch einer Neueinteilung der Trilobiten*	*CBl*	*1907*	*129*

	Jahrg.	Bd.	Seite
Gürich, G.: Ein neuer Fundpunkt von Mittelcambrium im Polnischen Mittelgebirge	*CBl*	*1909*	*509*
Guertler, W.: Ueber Entglasung	1906	I	6
Guertler, W. und G. Tammann: Ueber die Legierungen des Nickels und Kobalts mit Eisen	06	II	157
Gugenhan, M.: Die Vergletscherung der Erde von Pol zu Pol	CBl	1907	473
Guild, F. N.: Petrography of the Tucson Mountains, Pima Co., Arizona	07	II	230
— Notes on Some Eruptive Rocks in Mexiko	08	I	239
— The composition of Molybdite from Arizona	08	II	300
Guinchant: Sur la triboluminescence de l'acide arsénieux	07	I	18
Gulliver, F. P.: Nantucket shorelines. II	07	I	378
Guppy, R. J.: Observations on some of the foraminifera of the Oceanic Rocks of Trinidad	05	II	489
Gustafsson, J. P.: Om stranden vid några småländska sjöar	05	I	312
Gwynna-Vaughan, D. F., siehe Kidston, R.			

H.

Haack, W.: Der Teutoburger Wald südlich von Osnabrück	09	II	247
Haag, F.: Notiz zu dem Aufsatze von C. Lippitsch, Stereometrie der einfachen isoaxialen Formen des regulären Systems	05	II	331
— Zu E. v. Fedorow's Notiz, betreffend ein Minimumproblem in der Gestaltenlehre	06	I	322
— Notiz zu dem Aufsatze von K. Lippitsch, Stereometrie hemiedrischer Formen des regulären Systems	07	I	181
— Die den Vielfachen des regulären Kristallsystems dualistisch entsprechenden Vielecke	07	II	1
— *Diluviale Terrassen im Neckar-Museltal*	*CBl*	*1907*	*461*
Haarmann, E.: Die Eisenerze des Hüggels bei Osnabrück	09	II	250
— Die geologischen Verhältnisse des Piesberg-Sattels bei Osnabrück	09	II	251
— Ueber den Piesberg-Sattel bei Osnabrück	09	II	253
Haas, F.: Ein neuer fossiler Unio	09	I	279
Haas, H.: Art und Ziel des Unterrichts in Mineralogie und Geologie an technischen Hochschulen und Universitäten	06	II	148
— *Ueber die Solfatara von Pozzuoli*	*07*	*II*	*65*
Haase, E.: Ueber ein neues Vorkommen von Sericit und Talk	05	I	380
— Kann der Porphyr von Schwertz als die Urform der hallischen Porphyre betrachtet werden?	06	II	60
— *Beiträge zur Kenntnis der Quarzporphyre mit kleinen Kristalleinschlüssen aus der Gegend nördlich von Halle a. S.*	*BB*	*XXVIII*	*50*
Habermann, J.: Ueber die Bildung des Schwefelwasserstoffes und das Vorkommen des gediegenen Schwefels in in der Natur	05	I	14
Habets, A.: Racordement du bassin houiller de la Campine avec celui de la Westfalie	05	I	456
— L'industrie minérale en Bosnie-Herzégovine	06	I	73
Hacker, V.: Tiefsee-Radiolarien	09	I	298
Häberle, D.: Zur Messung der Fortschritte der Erosion und Denudation	*07*	*I*	*7*
Haehl, H. L. and R. Arnold: The miocene Diabase of the Santa Cruz Mountains in San Mateo County, California	06	II	372

	Jahrg.	Bd.	Seite
Hagedorn, M.: Borkenkäfer des baltischen Bernsteins	1908	II	112
— Kopalborkenkäfer	08	II	112
— Fossile Borkenkäfer	08	II	112
Hahne, H. und Wüst, E.: Die paläolithischen Fundschichten und Funde der Gegend von Weimar	*CBl 1908*		*197*
Haid, M.: Die Schwerkraft im badischen Oberlande	07	II	45
Halaváts, J.: Geologische Verhältnisse der Umgebung von Kitid—Ruß—Alsó Telek (Komitat Hunyad)	06	I	262
— Geologische Verhältnisse der Umgebung von Szászváros	07	I	274
Halbfaß, W.: Ueber Einsturzbecken am Südrand des Harzes. Vorläufige Bemerkungen	05	II	376
— Ueber Einsturzbecken am Südrand des Harzes	05	II	376
Halet, F.: Coupe du puits artésien de la caserne d'artillerie à Malines	07	I	442
Hall, A. L.: Ueber einige neue Diamantlagerstätten Transvaals	05	II	177
Halle, Th. G.: Zur Kenntnis der mesozoischen Equisetales Schwedens	09	I	150
Hamberg, A.: Mineralogische Studien. 24. Die Selbständigkeit des Ganophyllit als Mineralspezies	05	II	184
— Mineralogische Studien. 20. Ueber einen regulären Antigorit von Persberg in Wermland	05	II	184
— Mineralogische Studien. 21. Ein pseudoregulärer Antigorit von der Ko-Grube bei Nordmarken	05	II	185
— Mineralogische Studien. 23. Turmalin aus dem Westerbyer Feldspatbruch im Kirchspiel Hammer, Regierungsbezirk Oerebro	05	II	189
— Mineralogische Studien. 22. Ein Vorkommen von Triplit und ungewöhnlich großen Turmalinen bei Skrumpetorp im Kirchspiel Godegård in Oestergötland	05	II	189
— Zur Technik der Gletscheruntersuchungen	05	II	373
— Zur Frage des Verhaltens der Lichtabsorption bei Manganophyll	06	I	27
— Einfache Methode der Messung mikroskopischer Kristalle	07	I	187
Hambloch, A.: Statistisches über den rheinischen Basalt	09	II	379
Hamilton, A.: Notes on a Small Collection of Fossils from Wharekuri, on the Waitaki River, North Otago	09	I	104
— Note on Remains of some of the Extinct Birds of New Zealand found near Ngapara	09	I	130
Hamilton, S. A.: Cuban minerals	05	I	389
— siehe Barrett-Hamilton, G. E. H.			
Hammer, E.: Einwägung von Festpunkten an der Linie Böblingen—Lustnau, Sommer 1902	08	I	215
Hammer, W.: Geologische Aufnahme des Blattes Bormio—Tonale. Zone 20, Kol. 3	08	II	65
— Vorläufige Mitteilung über die Neuaufnahme der Ortler Gruppe	09	I	379
— Geologische Beschreibung der Laaser Gruppe	09	I	380
Hampel, J.: Ueber die chemische Konstitution des Augits aus der Paschkopale bei Boreslau	09	I	341
Handlirsch, A.: Ueber einige Insektenreste aus der Permformation Rußlands	05	I	522
— Les insects houillers de la Belgique	05	I	523
— Die fossilen Insekten und die Phylogenie der rezenten Formen. Ein Handbuch für Paläontologen und Zoologen	07	I	151
— Revision of American palaeozoic Insects	07	I	322

	Jahrg.	Bd.	Seite
Handlirsch, A.: A new Blattoid from the cretaceous formation of North America	1907	I	322
— Die fossilen Insekten und die Phylogenie der rezenten Formen. Liefg. 5—9 (Schluß)	08	II	278
Handmann, R.: Das Vorkommen von Cordierit und Cordieritgesteinen bei Linz und ein Vergleich mit den diesbezüglichen Vorkommen im Bayrischen Wald. nebst einer Erklärung ihrer Entstehungsweise	05	I	30
— Zur Kenntnis der Congerienfauna von Leobersdorf und Umgebung	06	I	113
Harbort, E.: Die Fauna der Schaumburg-Lippe'schen Kreidemulde	06	I	441
— Ueber die stratigraphischen Ergebnisse von zwei Tiefbohrungen durch die untere Kreide bei Stederdorf und Horst im Kreise Peine	06	II	104
— Ein geologisches Querprofil durch die Kreide-, Jura- und Triasformation des Bentheim—Isterberger Sattels	09	I	410
— Probleme der Erzlagerstättengeologie nach Stelzner-Bergeat	09	II	77
Harder, P., siehe Grönwall, K. A.			
Harker, A.: The Geological Structure of the Sgùrr of Eigg	08	I	222
— Notes on the Rocks of the „Beagle" Collection	09	II	394
Harker, A. and C. T. Clough: The tertiary igneous rocks of Skye	06	II	64
Harker, J. A.: On a new type of electric furnace, with a determination of the melting-point of Platina	06	II	321
Harlé, E.: Faune quaternaire de la Province de Santander (Espagne)	09	I	129
Harpe, Ph. de la, siehe Silvestri, A.			
Harre, R. W.: Ueber Eisenglanz und Anatas vom Binnental	08	I	14. 15
Harrington, B. J.: On an interesting variety of fetid Calcite and the cause of its odor	07	I	21
— Isomorphism as illustrated by certain varieties of Magnetite	08	II	169
Hartley, H.: A new device for separating minerals by means of heavy liquids	06	I	160
Hasebrink, A.: Die Kreidebildungen im Teutoburger Wald bei Lengerich in Westfalen	09	II	253
Hasse, P.: Kontakterscheinungen am Granite der Luisenburg bei Wunsiedel	07	II	62
Haßlinger, R. und J. Wolf: Ueber die Entstehung von Diamanten aus Silikatschmelzen	05	I	16
Hatch, F. H.: Notes on the Witwatersrand Beds, Transvaal	05	II	392
— The extension of the Witwatersrand beds eastwards under the dolomite and the Ecca Series of the Southern Transvaal	06	I	269
— The oldest sedimentary rocks of the Transvaal	06	I	269
— A Description of the Big Diamond recently found in the Premier Mine, Transvaal	07	II	13
Hatch, F. H. and G. S. Corstorphine: The Cullinan Diamond	05	II	345
— — The petrography of the Witwatersrand conglomerates with special reference to the origin of the gold	06	I	70
— — The Geology of the Bezuidenhout Valley and the district East of Johannesburg	07	II	118
Hatcher, J. B.: Relative age of the Lance Creek (Ceratops-) beds of Converse County, Wyoming, to Judith River beds of Montana and the Belly River beds of Canada	05	II	429

	Jahrg.	Bd.	Seite
Hatcher, J. B.: A correction of Professor Osborn's note entitled „New Vertebrates of the Mid-Cretaceous" . . .	1907	I	439
— Two new Ceratopsia from the Laramie of Converse County, Wyoming. Edited by R. S. Lull	09	I	132
— siehe Stanton, T. W.			
Hatcher †, Marsh †, Lull: The Ceratopsia	09	I	449
Hatzeg, V. Popovici, siehe Popovici-Hatzeg, V.			
Hatzfeld, C.: Die Roteisensteinlager bei Fachingen an der Lahn	09	I	389
Haug, E.: Les régions dites exotiques du versant nord des Alpes suisses. Réponse au Dr. Schardt	06	I	82
— Sur les racines de quelques nappes de charriage des Alpes occidentales	06	II	254
— Les grands charriages de l'Embrunais et de l'Ubaye . . .	07	I	269
— Sur les racines des nappes de charriage dans la chaîne des Alpes	08	II	396
— Sur le pli couché des Diablerets	09	I	88
— Sur les relations tectoniques et stratigraphiques de la Sicile et de la Tunisie	09	II	95
Haug, E. et M. Lugeon: Sur l'existence, dans le Salzkammergut, de quatre nappes de charriage superposées	06	II	259
— siehe Schardt, H.			
Haupt, O.: Beiträge zur Fauna des oberen Malm und der unteren Kreide in der argentinischen Cordillere . . . . . BB XXIII 187			
Hauser, O.: Ueber den sogen. Dysanalyt von Vogtsburg im Kaiserstuhl	09	I	344
Hausmann, C.: Die erdmagnetischen Elemente von Württemberg und Hohenzollern	07	I	375
Hauthal: Die Bedeutung der Funde in der Grypotherium-Höhle bei Ultima Esperanza, Südwestpatagonien, in anthropologischer Beziehung	06	I	130
Haworth, E., siehe Adams, G.			
— siehe Schrader, Fr. C. and Haworth, E.			
Hay, O. P.: Bibliography and Catalogue of the Fossil Vertebrata of North America	05	II	298
— The chronological Distribution of the Elasmobranches . .	05	II	477
— On a collection of upper cretaceous fishes from Mount Lebanon, Syria, with descriptions of four new genera and nineteen new species	05	II	481
— Some remarks on the fossil fishes of Mount Lebanon, Syria	05	II	482
— On the habits and the pose of the sauropodous Dinosaurs, especially of Diplodocus	09	I	442
— On certain genera an species of carnivorous dinosaurs, with special reference to Ceratosaurus nasicornis Marsh . .	09	I	443
— Dr. W. J. Holland on the skull of Diplodocus	09	I	447
— Description of five species of North American fossil turtles four of which are new	09	I	450
— The fossil turtles of North America	09	I	451
Haycock, E.: The geological history of the Gaspereau Valley, Nova Scottia	05	II	104
Hayes, C. W. etc.: Report of the special committee for the Lake Superior Region etc.	07	I	107
— siehe Emmons, S. F.			
— siehe Report etc.			
Hayes, C. W. and W. Kennedy: Oil fields of the Texas-Louisiana Gulf Coastal Plain	06	II	383

	Jahrg.	Bd.	Seite
Headden, W. P.: The Doughty Springs, a Group of Radium-bearing Springs, Delta County, Colorado	1907	II	237
— Some phosphorescent Calcites from Fort Collins, Col., and Joplin, Mo.	07	I	343
Healey, M.: Notes on upper Jurassic Ammonites, with special reference to Specimens in the University Museum, Oxford. No. 1	05	I	348
Hecker, O.: Seismometrische Beobachtungen in Potsdam in der Zeit vom 1. I. bis 31. XII. 1905	07	II	48
Hecker, P.: Beiträge zur Frage nach der Entstehung der Harzer Ruscheln	05	II	398
Hedström, H.: Om konstgjord framställning af vindnötta stenar	06	I	405
Heen, P. de: Bemerkung über die Arten des Wasseraufsaugens von Gesteinen	07	I	377
Heiden, H., siehe Friedrich, P.			
Heierli, J.: Das Keßlerloch bei Thaingen	08	II	261
Heilprin, A.: The tower of Pelée. New studies of the great volcano of Martinique	06	I	38
Heim, Albert: Ueber die geologische Voraussicht beim Simplon-Tunnel. Antwort auf die Angriffe des Nationalrat Herrn Ed. Sulzer-Ziegler	06	II	93
— Neuseeland	06	II	424
— Ueber die nordöstlichen Lappen des Tessiner Massivs. Geologische Nachlese No. 17	07	II	259
— Der Bau der Schweizer Alpen	08	II	231
— Ein Profil am Südrande der Alpen, der Pliocänfjord der Breggiaschlucht	09	I	93
— Die vermeintliche „Gewölbeumbiegung des Nordflügels der Glarner Doppelfalte" südlich vom Klausenpaß, eine Selbstkorrektur. (Geologische Nachlese No. 18.)	09	II	256
Heim, Arnold: Zur Kenntnis der Glarner Ueberfaltungsdecken	06	II	392
— *Ueber rezente und fossile subaquatische Rutschungen und deren lithologische Bedeutung*	*08*	*II*	*136*
— Die Erscheinungen der Längszerreißung und Abquetschung am nordschweizerischen Alpenrande	08	II	396
— Die Brandung der Alpen am Nagelfluhgebirge	08	II	397
— Ueber den Berglitenstein und die Grabser Klippe	09	I	86
— Zur Frage der exotischen Blöcke im Flysch, mit einigen Bemerkungen über die subalpine Nagelfluh	09	I	86
— *Ueber die Gesteinsverknetungen bei Iberg*	*CBl*	*1909*	*631*
— siehe Baumberger, E. und A. Heim.			
Hein, H.: Untersuchung über faserige Kieselsäuren und deren Verhältnis zu Opal und Quarz	*BB*	*XXV*	*182*
Heinecke, E.: Die Ganoiden und Teleostier des lithographischen Schiefers von Nusplingen	09	I	452
Heinich, R.: Die geologisch-petrographischen Verhältnisse der Umgegend von Rothau im böhmischen Erzgebirge	*BB*	*XXIII*	*474*
Heller, W.: Beiträge zur Theorie des Eisenhochofenprozesses und Untersuchungen über die gegenseitigen Beziehungen der verschiedenen Kohlenstoffmodifikationen	06	II	320
— siehe Schenck, R.			
Henderson, J.: Arapahoe glacier in 1903	06	II	189
Henglein, M.: Ueber Eisenspat von Cornwall	08	II	305
— *Topas vom Greifenstein, vom Epprechtstein und von Pobershau*	*CBl*	*1908*	*367*

	Jahrg.	Bd.	Seite
Henglein, M.: Aragonit von Plauen im Vogtland	*CBl 1908*		*372*
— *Ein Herderitzwilling vom Epprechtstein*	*CBl 1909*		*121*
— siehe Kolbeck, F.			
Henke, W.: Zur Stratigraphie des südwestlichen Teiles der Attendorn-Elsper Doppelmulde	1909	I	241
Henkel, L.: Die Gegend von Kösen	08	II	97
Hennig, A.: Finnes en lucka emellan senon och danien i Danmark?	08	I	430
Hennig, E.: Ueber einige Pyknodonten vom Libanon	*CBl 1907*		*360*
— *Macropetalichthys pelmensis n. sp.*	*CBl 1907*		*584*
— *Saurichthys-Funde von Rüdersdorf*	*CBl 1909*		*54*
Henning, F., siehe Holborn, L.			
Henrich, F.: Theorie der kohlensäureführenden Quellen, begründet durch Versuche	05	I	265
— Ueber die Temperaturverhältnisse in dem Bohrloch Paruschowitz V	05	II	203
— Ueber das Vorkommen von erdiger Braunkohle in den Tertiärschichten Wiesbadens	07	II	86
— Beitrag zur Kenntnis der fossilfreien Taunusgesteine	09	II	219
Henrotin, L.: Note sur les terrains sédimentaires anciens du district d'Iglesias (Sardaigne)	05	II	406
Herbette, J.: Sur une nouvelle forme du tartrate de thallium et sur les mélanges isomorphes des tartrates de thallium et de potassium	07	I	4
— Sur l'isomorphisme du chlorate et du nitrate de potassium	08	I	317
— Contribution à l'étude de l'isomorphisme	08	I	318
Heritsch, Fr.: Ueber einige Einschlüsse und vulkanische Bomben von Kapfenstein in Oststeiermark	*CBl 1908*		*297*
Hermann, P.: Ueber Anglesit von Monteponi (Sardinien)	05	II	360
— Schmelzversuche mit Orthosilikaten	08	II	379
— siehe Goldschmidt, V.			
Hermann, R.: Pliosaurus sp. aus dem Ornatenton des fränkischen Jura	*CBl 1907*		*667*
Hernando y Monge, B.: Estudios sobre des arrollo de maclas	06	II	3
Herschkowitsch, M.: Ueber die Umwandlung des Bergkristalls in den amorphen Zustand	05	II	14
Hershey, O. H.: The Quaternary of Southern California	05	I	145
Heß, Fr. L., siehe Prindle, L. M. and Heß, Fr. L.			
Heß, H.: Die Gletscher	CBl 1905		567
Hettner, A.: Grundbegriffe und Grundsätze der physischen Geographie	05	I	401
— *Zur Geologie der columbianischen Zentralkordillere*	*CBl 1907. 545*		*CBl 1908 195*
Hezner, L.: Ein Beitrag zur Kenntnis der Eklogite und Amphibolite, mit besonderer Berücksichtigung der Vorkommnisse des mittleren Oetztales	05	II	58
— *Zur topischen Zahl*	*CBl 1907*		*438*
— *Petrographische Untersuchung der kristallinen Schiefer auf der Südseite des St. Gotthard (Tremolaserie)*	*BB XXVII*		*157*
Hibsch, J. E.: Geologische Karte des böhmischen Mittelgebirges:			
Blatt IV: Aussig nebst Erläuterungen	05	I	268
Blatt V: Großpriesen nebst Erläuterungen	05	I	272
Blatt XI: Kostenblatt—Milleschau nebst Erläuterungen	06	II	81
— Das geologische Alter des Sandsteines der Salesiushöhe bei Ossegg in Nordböhmen	05	II	438

	Jahrg.	Bd.	Seite
Hibsch, J. E.: Geologischer Aufbau des böhmischen Mittelgebirges	1907	I	102
— Die salischen Gesteine der Ganggefolgschaft des Essexit im böhmischen Mittelgebirge	08	I	59
— Ueber tertiäre Fluoritgänge im Bereiche der Erzgebirgsbruchzone und des Teplitzer Quarzporphyrs in Nordböhmen. Beiträge zur Geologie des böhmischen Mittelgebirges. V.	08	II	293
— *Bemerkungen zur Frage der Abhängigkeit vulkanischer Ausbrüche von vorhandenen Spalten*	*CBl 1909*		*526*
Hidden, W. E.: Some results of late mineral research in Llano County, Texas	07	I	42
Hidden, W. E. and C. H. Warren: On Yttrocrasite, a new Yttrium-Thorium-Uranium Titanate	08	I	197
Hilber, V.: Pironaea slavonica n. sp.	05	I	358
— Ein Renngeweih aus Oberlaibach in Krain	07	II	476
— *Basalt-Lakkolith bei Weitendorf, Steiermark*	*CBl 1905*		*397*
Hildebrand, O.: Petrographische Untersuchung einiger Steinwerkzeuge aus Westpreußen	06	II	202
Hilgard, E. W.: Some Peculiarities of Rock-Weathering and Soil Formation in the Arid and Humid Regions	08	II	188
Hill, E.: The Permanence of River Valleys	05	I	231
— Stevns klint	05	II	294
Hill, R. T.: Pelé and the evolution of the Windward archipelago	07	I	376
Hill, W.: Note on the Upper Chalk of Lincolnshire	06	II	106
Hillebrand, S.: Serpentin und Heulandit. (Vierte Mitteilung über die Darstellung der Kieselsäuren)	07	I	344
— Ueber Porphyrite und diesen entsprechende Gesteine in der Umgebung von Bruneck	09	II	220
— Aktinolith als sekundäre Bildung	09	II	345
Hillebrand, W. F.: Emmonsite (?) from a new locality	06	I	165
— Red Beryl from Utah	07	I	31
— The vanadium sulfide, Patronite, and its mineral associates from Minasagra, Peru	09	I	167
— The Analysis of Silicate and Carbonate Rocks	CBl 1908		48
— siehe Lindgreen, W.			
— siehe Schaller, W. T.			
Hillebrand, W. F. and W. T. Schaller: The mercury minerals from Terlingua, Texas; Kleinite, Terlinguaite, Eglestonite, Montroydite, Calomel, Mercury	09	I	173
Hilton, H.: Notiz über den Satz von Viola	05	II	331
— The Gnomonic Net	06	I	159
— Some applications of the gnomonic projection to crystallography	06	II	314
— The construction of the crystallographic Projections	06	II	314
— Eine Analyse der auf die Kristallographie anwendbaren 32 endlichen Bewegungsgruppen	07	I	2
— Notiz über Projektion	07	I	182
— Ueber die dunklen Büschel von Dünnschliffen im konvergenten Lichte	07	I	333
— Note on the thirty-two classes of symmetry	09	I	155
— *Ueber C. Viola's Ableitung des Grundgesetzes der Kristalle*	*CBl 1905*		*553*
Hilzheimer: Ueber einige Tigerschädel aus der Straßburger zoologischen Sammlung	07	I	301
Himmelbauer, A.: Ueber Lievrit und die Datolithgruppe	07	I	347

	Jahrg.	Bd.	Seite
Himmelbauer, A.: Bemerkungen über das Phenylsulfid	*CBl 1909*		*396*
— Neue Mineralvorkommen aus Niederösterreich	*CBl 1909*		*397*
— siehe Cornu, F.			
Himstedt, F.: Ueber die radioaktive Imanation von Wasser- und Oelquellen	1905	II	343
Hinde, G. J.: On the zone of Marsupites in the Chalk at Beddington, near Croydon, Surrey	06	II	107
— Radiolaria from Triassic and other rocks of the Dutch East Indian Archipelago	09	II	146
Hinden, F.: Neue Reaktionen zur Unterscheidung von Calcit und Dolomit	05	I	23
— siehe Schmidt, C. und Hinden, Fr.			
Hinrichs, G. B.: Sur les météorites d'Amana 1907 I 363.	07	II	200
— Sur l'uniformité de composition des météorites d'Amana 1907 I 363.	07	II	200
Hinterlechner, K.: Ueber die petrographische Beschaffenheit einiger Gesteine des westböhmischen Cambriums und des benachbarten Gebietes	05	II	56
— Vorlage des Kartenblattes „Deutschbrod"	08	II	63
— Beiträge zur Kenntnis der geologischen Verhältnisse Ostböhmens. II. Das kristalline Gebiet bei Reichenau a. d. Kn. Blatt Reichenau und Tyništ Zone 5. Kol. XIX	08	II	63
Hinton, M. A. C.: Note on the discovery of a bone of a monkey in the Norfolk „Forest bed"	08	II	426
— Note on Gazella Daviesii Hinton, an Antilope from the Norwich Crag	08	II	430
Hintze, A.: Beiträge zur Petrographie der älteren Gesteine des Deutschen Schutzgebietes Kamerun	09	II	73
Hinxman, L. W.: Note on specimens of spherulitic felsite from Glen Feshie	05	I	431
Hirschi, V. H.: Zur Geologie und Geographie von Portugiesisch-Timor	*BB XXIV*		*460*
— Berichtigung zu den Taf. XXXVI und XXXVII von Beil.-Bd. XXIV	*BB XXV*		*260*
Hirtz: Reproduction expérimentale de plissements lithosphériques	08	I	248
His, H., siehe Nußberger, G.			
Hise, C. R. van: The iron-ore deposits of the Lake Superior region	05	I	75
— The problems of Geology	06	II	45
— Report of the special committee for the Lake Superior Region	07	I	107
— A treatise on Metamorphism	CBl 1906		605
— siehe Report etc.			
Hlawatsch, C.: Bestimmung der Doppelbrechung für verschiedene Farben an einigen Mineralien	06	II	316
— Ueber den Amphibol von Cevadaes (Portugal)	08	I	24
— Kristallmessungen. Neue Messungen am Raspit von Brockenhill (N.-S.-Wales)	08	II	38
— Kristallmessungen. 2. Eine trikline, rhodonitähnliche Schlacke	08	II	21. 308
— Der Raspit von Sumidouro, Minas Geraës (Brasilien)	*CBl 1905*		*422*
— Die Kristallform des Benoitit	*CBl 1909*		*293*
— Berichtigungen zu dem Aufsatze: Die Kristallform des Benitoit	*CBl 1909*		*410*
Hobbs, W. H.: Still rivers of western Connecticut 1905 I 228	06	I	94
— Meteorite from Algoma, Wisconsin	05	I	391

	Jahrg.	Bd.	Seite
Hobbs, W. H.: The geological structure of the southwestern New England region	1905	II	105
— Former extent of the Newark system	06	I	268
— Lineaments of the atlantic border region	07	I	378
— On two new occurrences of the „Cortlandt Series" of rocks within the State of Connecticut	08	I	72
— The grand eruption of Vesuvius in 1906	09	I	45
— Some Topographic Features Formed ad the Time of Earthquakes and the Origin of Mounds in the Gulf Plain	09	I	49
— Iron Ores of the Salisbury District of Connecticut, New York and Massachusetts	09	I	395
— The Charleston Earthquake of August 21st, 1886, in a New Light	09	II	208
— The recent advance in seismology	09	II	208
Hochschild, Ph.: Studien an Zinkblende	*BB XXVI*		*151*
Hocker, F.: Nachtrag zum Verzeichnis der in der diluvialen Sand- und Tuffablagerung von Brüheim bei Gotha vorkommenden Konchylien	07	II	459
Höfer, H.: Das Braunkohlenvorkommen in Hart bei Gloggnitz in Niederösterreich	05	I	262
— Underground Temperatures, especially in Coal-mines	05	II	205
— Der Sandstein der Salesiushöhe bei Ossegg (Böhmen)	05	II	438
— Gipskriställchen akzessorisch im dolomitischen Kalk von Wietze (Hannover)	06	I	31
— Das Erdöl auf den malaiischen Inseln	07	I	84
— Das Erdöl und seine Verwandten	CBl	1907	217
— siehe Branca, W.			
Höfle, J. und G. Vervuert: Ueber Kaliumquecksilberjodid	CBl	1909	554
Högbom, A. G.: Om s. k. „jäslera" och om villkoren för dess bildning	06	II	350
— Zur Petrographie der Kleinen Antillen	06	II	376
Hoek, H.: Das zentrale Plessurgebirge. Geologische Untersuchungen	08	II	230
— *Ueber den Deckenbau der Iberger Klippen*	*CBl*	*1906*	*461*
Hörnes, M.: Der diluviale Mensch in Europa. Die Kulturstufen der älteren Steinzeit	06	I	127
Hörnes, R.: Exkursion nach Voitsberg	05	II	113
— Belvederefauna und Arsenalterrasse	05	II	437
— siehe Diener, C.			
Hörnes, R. und A. Holler: Exkursion nach Oisnitz	05	II	114
Hoeven, L. J. van der: Over de betrekking van het bekken der anthropoiden tot dat van den mensch	CBl	1906	312
Hoff, J. H. van't: Zur Bildung der ozeanischen Salzablagerungen. Die Calciumvorkommnisse bis 25°	06	II	321
— Zur Bildung der ozeanischen Salzablagerungen	CBl	1905	750
— siehe Meyerhoffer, M.			
Hoff, J. H. van't und H. Behr: Die gegenseitige Verwandlung der Calciummonoborate	08	II	163
Hoff, J. H. van't und G. Just: Der hydraulische oder sogen. Estrichgips	05	I	191
Hoff, J. H. van't und Mitarbeiter: Untersuchungen über die Bildungsverhältnisse der ozeanischen Salzablagerungen, insbesondere des Staßfurter Salzlagers. XXVII. Die künstliche Darstellung von Pinnoit. Von J. H. van't Hoff und G. Bruni.			

		Jahrg.	Bd.	Seite
XXVIII.	Die künstliche Darstellung von Kaliborit. Von J. H. van't Hoff.			
XXIX.	Die Temperatur der Hartsalzbildung. Von J. H. van't Hoff und W. Meyerhoffer.			
XXX.	Die isomorphen Mischungen: Glaserit, Arkanit, Aphtalose und Natronkalisimonyit. Von J. H. van't Hoff und H. Barschall.			
XXXI.	Die untere Temperaturgrenze der Bildung von Vanthoffit bei 46°. Von J. H. van't Hoff und G. Just.			
XXXII.	Die obere Existenzgrenze von Schönit, Magnesium-sulfathepta- und -hexahydrat, Astrakanit, Leonit und Kainit bei Anwesenheit von Steinsalz. Von J. H. van't Hoff und W. Meyerhoffer.			
XXXIII.	Das Auftreten der Kalksalze Anhydrit, Glauberit, Syngenit und Polyhalit bei 25°. Von J. H. van't Hoff und F. Farup.			
XXXIV.	Die Maximaltension der konstanten Lösungen bei 83°. Von J. H. van't Hoff, U. Grassi und R. B. Denison.			
XXXV.	Die Zusammensetzung der konstanten Lösungen bei 83°. Von J. H. van't Hoff, H. Sachs und O. Bloch.			
XXXVI.	Die Mineralkombinationen (Paragenesen) von 25—83°. Von J. H. van't Hoff und W. Meyerhoffer	1905	I	192. 193
XXXVII.	Kaliumpentacalciumsulfat und eine dem Kaliborit verwandte Doppelverbindung. Von J. H. van't Hoff.			
XXXVIII.	Die Identität von Mamanit und Polyhalit. Von J. H. van't Hoff und G. L. Voermann.			
XXXIX.	Bildungstemperaturen unterhalb 25°. Von J. H. van't Hoff und W. Meyerhoffer.			
XL.	Existenzgrenze von Tachhydrit. Von J. H. van't Hoff und L. Lichtenstein.			
XLI.	Die Bildungstemperatur des Kaliumpentacalciumsulfats. Von J. H. van't Hoff, G. L. Voermann und W. Blasdale.			
XLII.	Die Bildung von Glauberit. Von J. H. van't Hoff	1906	I	161. 162
XLIII.	Der Calciumgehalt der konstanten Lösungen bei 25°. Von J. H. van't Hoff und W. C. Blasdale.			
XLIV.	Existenzgrenze von Tachhydrit bei 83°. Von J. H. van't Hoff und J. d'Ans.			
XLV.	Das Auftreten von Tinkal und oktaedrischem Borax. Von J. H. van't Hoff und W. C. Blasdale.			
XLVI.	Anhydrit, Syngenit, Glauberit und Pentasalz bei 83° und das Entstehen von Chlorcalcium und Tachhydrit. Von J. H. van't Hoff, P. Farup und J. d'Ans.			
XLVII.	Polyhalit und Krugit bei 83°. Von J. H. van't Hoff und J. d'Ans.	08	II	159

	Jahrg.	Bd.	Seite
XLVIII. Existenzgebiet und Spaltung von Boronatrocalcit, Tricalciumpentaborat und die künstliche Darstellung von Pandermit. Von J. H. van't Hoff.			
XLIX. Künstliche Darstellung von Colemanit. Von J. H. van't Hoff.			
L. Franklandit und eine neue, dem Boronatrocalcit verwandte Verbindung. Von J. H. van't Hoff.			
LI. Borocalcit und die künstliche Darstellung von Ascharit. Von J. H. van't Hoff	1908	II	163
Hoff, K. E. A. v., siehe Reich, O.			
Hoffmann, G.: Asterolepus Rhenanus	*CBl*	*1909*	*491*
Hoffmann, G. Chr.: Souesite, a native iron-nickel alloy occurring in the auriferous gravels of the Fraser, province of British Columbia	06	II	155
Hoffmann, J.: Radium in Schlaggenwald	05	I	6
— Uranvorkommen von Schlaggenwald	05	I	7
Hoffmann, M., siehe Bloch, C.			
Hofmann, A.: Säugetiere von Wies	07	I	300
Hofman, A. und A. Zdarsky: Beitrag zur Säugetierfauna von Leoben	05	II	305
Hofmann, Ad.: Scheelit von Příbram	08	I	37
— Neues über das Příbramer Erzvorkommen	08	I	401
Hofmann, K. und L. v. Lóczy: Ueber die Entstehung der Budaer Bitterwasserquellen	06	I	404
Hofmann, R.: Dr. Georg Agricola. Ein Gelehrtenleben aus dem Zeitalter der Reformation	CBl	1905	558
Hofman-Bang, O.: Studien über schwedische Fluß- und Quellwasser	06	II	351
Holborn, L. und F. Henning: Ueber Zerstäubung und die Rekristallisation der Platinmetalle	05	I	17
Holland, R.: Note on Nummulites in the Turkish Rocks described by Col. English	05	II	489
— siehe Newton, R. B.			
Holland, T. H.: On the Constitution, Origin and Dehydration of Laterite	05	I	374
— General report of the geological survey of India for the period april 1903 to december 1904. Laterite	06	II	330
— The occurrence of Bauxite in India	06	II	330
— Exhibition of a remarkable form of Sodalite from Rajputana	08	I	18
Holland, W. J.: The Osteology of Diplodocus Marsh . .	09	I	446
— siehe Hay, O. P.			
Hollande, M.: La zone subalpine aux environs de Chambéry	08	II	390
Holler, A., siehe Hörnes, R.			
Hollick, A.: The cretaceous clay marl exposure at Cliffwood, N. J.	05	I	302
— Additions to the Palaeobotany of the Cretaceous Formation on Long Island. II	07	I	495
— The Cretaceous Flora of Southern New York and New England	08	I	454
— siehe Britton, E. G. and Hollick, A.			
Hollick, A. and E. C. Jeffrey: Affinities of certain cretaceous plant remains commonly referred to the genera Dammara and Brachyphyllum	09	II	153
Hollmann, R.: Ueber die Maxima und Minima der Spaltungskurven wasserhaltiger Mischkristalle	05	I	13

	Jahrg.	Bd.	Seite
Hollmann, R.: Ueber die Spaltung wasserhaltiger Mischkristalle	1906	I	7
Holm, G. und H. Munthe: Kinnekulle, dess geologi och den tekniska användningen af dess bergarter	06	I	271
Holmes, J. A.: Preliminary Report on the Operations of the Fuel-Testing Plant of the United States Geological Survey at St. Louis, Mo., 1905	08	II	379
Holmquist: Stelningsstrukturer och metamorfiska bergartsstrukturer	06	I	379
Holobek, J.: Die geologischen Verhältnisse der Erdwachs- und Erdöllagerstätten in Boryslaw	06	I	407
Holst, O.: Relations of the „writing chalk“ of Scania to the drift deposits	05	II	294
Holway, R. S.: Eclogites in California	06	II	218
Holzapfel, E.: Beobachtungen im Diluvium der Gegend von Aachen	05	I	482
— Blatt St. Goarshausen	07	II	88
— Steinsalz und Kohle im Niederrheintal	07	II	283
— Sur l'âge des Lignites du Rhin	08	II	406
— *Ueber die neueren Beobachtungen in den metamorphischen Gebieten der Ardennen*	*09*	*I*	*108*
— Die Faziesverhältnisse des rheinischen Devon	09	I	271
Holzapfel, E. und A. Leppla: Blätter Algenroth, Caub	07	II	88
Home, H.: On a transported mass of Amptill Clay in the boulderclay at Biggleswade	05	II	295
Honda, K. und T. Terada: Ueber den Geysir in Atama	07	I	377
Hoppe, H.: Ueber Andesite der Vulkane Sago, Merapi, Manindjau und Kaba auf Sumatra	06	I	218
Hoppe, O.: Ueber die mechanischen Vorgänge im Innern und an der Oberfläche der Erde mit Berücksichtigung der sogen. „faulen Ruscheln“ am Harz	09	I	77
Horn, F. R. van: A new occurrence of Proustite and Argentite	09	II	335
Horn, W.: Ueber das Vorkommen von Tetracha carolina L. im preußischen Bernstein und die Phylogenie der Cicindela-Arten	07	I	323
Hornstein, F. F.: Ueber einen Fund von makroskopischem gediegenen Eisen in einem Basalt aus der Gegend von Kassel	07	II	13
— Neues vom Kasseler Tertiär	07	II	291
— *Mitteilung über das Vorkommen von makroskopischen Einschlüssen gediegenen Eisens in Basalt aus der Gegend von Kassel*	*CBl 1907*		*276*
Hornung, Th., siehe Duparc, L.			
Horusitzky, H.: Ueber die Feuchtigkeit der Sandhügel längs des Vág-Flusses	05	II	378
— Agrogeologische Verhältnisse der Umgebung von Nagy-Surány	06	I	263
— Agrogeologische Verhältnisse der Umgebung von Komját und Tótmegyer	07	I	276
Hovey, E. O.: The Geology of the Guaynopita District Chihuahua. A contribution to the knowledge of the structure of the Western Sierra Madre of Mexico	08	I	74
— The Chester, New York, Mastodon	09	I	129
— siehe Whitfield, R. T.			
Howard, K. S.: Preliminary Notice of a New Meteorite from Texas	07	II	201
— The Elm Creek Aerolite	08	II	183

	Jahrg.	Bd.	Seite
Howard, K. S. and J. M. Davison: The Estacado Aerolite	1909	I	39
Howchin, W.: Foraminifera from a Calcareous Marlestone, Gingin	09	I	299
— siehe Chapman, F.			
Howe, E.: An occurrence of Greenstone schists in the San Juan Mountains, Colorado	06	II	219
— Isthmian Geology and the Panama Canal	09	II	393
Howe, E. and Wh. Cross: Glacial phenomena of the San Juan Mountains, Colorado	08	II	343
Howell, E. E.: Description of the Williamstown Meteorite	09	I	359
— The Ainsworth Meteorite	09	I	359
Hubbard, P., siehe Cushman, A. D.			
Huber, A.: Beiträge zur Kenntnis der Glazialerscheinungen im südöstlichen Schwarzwald	*BB XXI*		*397*
Hubert, H.: Sur un massif de granite alcalin au Dahomey	09	II	235
Hubrecht, P. F.: Ueber Cerussitviellinge von Sardinien	08	I	333
Huddleston, W. H., siehe Mc Mahon, C. A.			
Huene, F. v.: Ueber das Hinterhaupt von Megalosaurus Bucklandi aus Stonesfield	*06*	*I*	*1*
— Die Dinosaurier der europäischen Triasformation mit Berücksichtigung der außereuropäischen Vorkommnisse	09	I	286
— *Ueber die Nomenklatur von Zanclodon*	*CBl 1905*		*10*
— *Ueber die Foramina der Carotis interna und des Hypoglossus bei einigen Reptilien*	*CBl 1906*		*336*
— *Eine Zusammenstellung über die englische Trias und das Alter ihrer Fossilien*	*CBl 1908*		*9*
— *Neue und verkannte Pelycosaurier-Reste aus Europa*	*CBl 1908*		*431*
— *Bemerkungen über Callibrachion*	*CBl 1908*		*532*
— *Skizze zu einer Systematik und Stammesgeschichte der Dinosaurier*	*CBl 1909*		*12*
— *Vorläufige Mitteilung über einen neuen Phytosaurus-Schädel aus dem schwäbischen Keuper*	*CBl 1909*		*583*
Huene, F. v. und R. S. Lull: Neubeschreibung des Originals von Nanosaurus agilis Marsh	*08*	*I*	*134*
Hüttner, K.: Ueber die in Mineralien gelösten Gase	06	I	161
Hugo, O.: Kristallographische Vergleichung verschiedener Metallrhodanide mit den entsprechenden Metallhaloiden der organischen Basen Chinolin und Pyridin	*CBl 1905*		*289.* 321
Hulett, G. A.: Gesättigte Gipslösungen als Basis für Leitfähigkeit	05	I	364
— Löslichkeit und Korngröße	06	I	6
Hulett, G. A. and L. E. Allen: Solubility of Gypsum	05	II	31
Hume, W. F.: Miocene rocks in eastern Sinai	07	I	424
Humfrey, J. C. W.: Effects of Strain on the crystalline Structur of Lead	05	II	348
Humphrey, W. A.: Ueber einige Erzlagerstätten in der Umgebung der Stangalpe	09	II	401
Hundeshagen, F.: Ueber die Anwendung organischer Farbstoffe zur diagnostischen Färbung mineralischer Substrate	*BB XXVIII*		*335*
Hunt, A. R.: Vein Quartz and Sands	05	I	420
Hunt, W. F., siehe Kraus, E. H.			
Huntington, E.: Pangong: a glacial lake in the Tibetanplateau	08	II	342
Hussak, E.: Ueber einen Meteorsteinfall westlich von Uberaba im Staate Minas	05	I	219
— Ueber das Vorkommen von Palladium und Platin in Brasilien. 1905 II 346	07	I	335

	Jahrg.	Bd.	Seite
Hussak, E.: Mineralogische Notizen aus Brasilien	1906	I	25. 27
— Ueber die sogenannten „Phosphat-Favas" der diamantführenden Sande Brasiliens	08	I	32
— Ueber die Diamantlager im Westen des Staates Minas Geraës und der angrenzenden Staaten São Paulo und Goyaz, Brasilien	08	I	169
— Ueber die Manganerzlager Brasiliens. Berichtigung der in in der Zeitschr. f. prakt. Geol. Bd. 12. 1904. 414—416 von W. Friz veröffentlichten Mitteilung	09	I	81
— *Ueber Atopit aus den Manganerzgruben von Miguel Burnier, Minas Geraës, Brasilien*	*CBl 1905*		*240*
— *Ueber Gyrolith und andere Zeolithe aus dem Diabas von Mogyguassú, Staat São Paulo, Brasilien*	*CBl 1906*		*330*
— *Ueber die chemische Zusammensetzung des Chalmersit*	*CBl 1906*		*332*
— *Ueber das Vorkommen von gediegen Kupfer in den Diabasen von São Paulo*	*CBl 1906*		*333*
— *Ueber Hussakit*	*CBl 1907*		*533*
— *Ein neues Vorkommen von Phenakit in Brasilien*	*CBl 1909*		*268*
Hutchinson, A.: On the Diathermancy of Antimonite	05	I	18
— Mineralogical chemistry	07	II	172
— The optical characters of Antimonite	09	I	167
— The chemical composition of Lengenbachite	09	I	172
Hyatt, A.: Pseudoceratites of the Cretaceous	07	II	147
Hyatt, A. and J. P. Smith: The triassic Cephalopod Genera of America	06	II	298

I.

	Jahrg.	Bd.	Seite
Icke, H. und K. Martin: Die Silatgruppe, Brack- und Süßwasserbildungen der oberen Kreide von Borneo	07	I	437
Iddings, J. P.: A fracture valley system	06	II	188
— Quartz-Feldspar-Porphyry (Granophyro-Liparose-Alaskose) from Llano, Texas	06	II	216
— Chemical composition of igneous rocks expressed by means of diagrams, with reference to rock classification on a quantitative chemico-mineralogical basis	CBl 1905		249
— Rock Minerals, their Chemical and Physical Characters and their Determination in Thin Sections	CBl 1907		729
— siehe Cross, W.			
Ihering, H. v.: Historia de las Ostras Argentinas	05	I	358
— Descripcion de la Ostrea guaranitica	06	I	155
— Les Brachiopodes tertiaires de Patagonie	09	II	321
— Archhelenis und Archinotis	CBl 1908		184
Ilovaisky, D.: L'Oxfordien et le Séquanien des gouvernements de Moscou et de Riazan	05	I	130
— Le Mésozoïque du pays de Soswa	07	II	449
Inostranzeff, A.: Ein Goldklumpen aus der Seife des Flusses Petrowka, Jegorjewsky-Grube, Altai-Bezirk	09	I	334
— Gediegen Roheisen von der Rusky- (Russischen) Insel bei Wladiwostok	09	II	184
Irmler, A.: Die neue Goldgrube „Brtevník" bei Bražná	08	I	402
— Der Goldbergbau im Roudný unter dem Blaník	08	I	403
Irving, J. D.: Economic Resources of the Northern Black Hills, with contributions by S. F. Emmons and T. A. Jaggar jr.	05	II	32

	Jahrg.	Bd.	Seite
Isaac, E. und G. Tammann: Ueber die Legierungen des Eisens mit Platin	1908	II	157
Isaac, F.: The Temperatures of Spontaneous Crystallisation of Mixed Solutions and their Determination by Means of the Index of Refraction. Mixtures of Solutions of Sodium Nitrate and Lead Nitrate	09	I	326
— siehe Miers, H. A. and Isaac, F.			
Isküll, W.: Ueber den Rhodusit vom Flusse Asskys; Beiträge zur Kenntnis seiner chemischen Struktur und seiner Verwitterung	09	II	19
Ißler, A.: Beiträge zur Stratigraphie und Mikrofauna des Lias in Schwaben	09	II	320
Iterson jun., G. van: Mathematische und mikroskopisch-anatomische Studien über Blattstellungen nebst Betrachtungen über den Schalenbau der Miliolinen	08	I	141
Iwanoff, I. L.: Ein wasserhaltiges Calciumcarbonat aus der Umgebung von Nowo-Alexandria, Gouv. Lublin	07	II	358
— Talk von Kossoi-Brod im Ural	09	II	345
— siehe Kristafowitsch, N.			
Iwasaki, C.: Graphite of Kataura, Satsuma Province	07	I	191
Iwtschenko, A.: La Denudation de la Steppe. I—III	CBl	1908	763
— La région periphérique du paysage des déserts dans la partie N. de la steppe des Kirghiz	CBl	1908	765
— La stratification dans les dépôts éoliens. I. II	CBl	1908	764

J.

Jaccard, F.: La région de la brèche de la Hornfluh (Préalpes bernoises)	07	I	99
— La théorie de Marcel Bertrand, ou quelques réflexions sur la note de M. Steinmann, intitulée: Die Schardt'sche Ueberfaltungstheorie und die geologische Bedeutung der Tiefseeabsätze und der ophiolithischen Massengesteine	07	II	442
— Les blocs exotiques de la Hornfluh	08	II	381
— Présence de Gyroporelles dans le Trias du Rubly	08	II	400
— siehe Schardt, H.			
Jackson, C. F. V.: Geology and auriferous deposits of Leonora (Mount Margaret goldfield)	05	II	402
Jackson, J. W.: Carboniferous fish-remains in North-Derbyshire	08	II	447
Jacob, Ch.: Étude sur les ammonites et sur l'horizon stratigraphique du gisement de Clansayes	06	I	312
— Note sur la tectonique du massif crétacé situé au nord du Giffre (Haute-Savoie)	08	II	389
Jacob, Ch. et G. Flusin: La crue glaciaire de la fin du XIXe siècle et les différents facteurs qui ont déterminé les anomalies de cette crue dans le massif du Pelvoux	07	II	52
Jacob, Ch. et A. Tobler: Étude stratigraphique et paléontologique du Gault de la vallée de la Engelberger Aa.	07	I	288
Jaczewsky, L.: Kaolin und Hydrargillit von Kriwoj-Rog	07	II	191
— Granat und Magnetit aus Daschkesan im Kaukasus	07	II	380
— Ueber das Nickeleisen vom Flusse Onot	09	I	353
Jaeger, F.: Ueber Oberflächengestaltung im Odenwald	09	I	199
Jaeger, H.: Die bakteriologische Wasseruntersuchung durch den Geologen	08	I	371

	Jahrg.	Bd.	Seite
Jaekel, O.: Feuersteineolithe von Freyenstein in der Mark	1905	I	321
— Ueber jurassische Zähne und Eier von Chimaeriden . . .	05	II	134
— Ueber einen Pentacriniden der deutschen Kreide	07	II	154
— Placochelys placodonta aus der Obertrias des Bakony . .	07	II	329
— Asteriden und Ophiuriden aus dem Silur Böhmens . . .	08	I	134
— *Zu Gustav Steinmann's Geologischen Grundlagen der Abstammungslehre*	*CBl 1908*		*461*
— *Entgegnung an Herrn G. Steinmann*	*CBl 1909*		*706*
— *Ueber die Körperform der Holopocriniten*	*Festband*		*272*
Jänecke, E.: Ueber eine neue Darstellungsform der wässerigen Lösungen zweier und dreier gleichioniger Salze und der van't Hoff'schen Untersuchungen über ozeanische Salzablagerungen	08	II	167
Jaggar, T. A. jr., siehe Irving, J. D.			
Jahn, J. J.: Einige neue Fossilienfundorte in der ostböhmischen Kreideformation	05	I	301
— Ueber die Etage H im mittelböhmischen Devon	06	I	272
— Vorläufiger Bericht über die Klippenfazies im böhmischen Cenoman	06	II	427
— Ueber das Vorkommen von Bonebed im Turon des östlichen Böhmens	06	II	428
— Beitrag zur Kenntnis der Entstehung loser vulkanischer Auswürflinge	07	II	394
— Ueber die erloschenen Vulkane bei Freudental in Schlesien	07	II	394
— Eine eigene Art wellenförmiger Furchen (ripplemarks) . . .	08	II	56
— siehe Petrascheck, W.			
— siehe Potonié, H.			
Jakowleff, S. A.: Ueber die Ostgrenze des präcambrischen Systems in Finland	*CBl 1906*		*600*
Jamieson, G. J.: Ueber Awaruit, eine natürliche Eisen-Nickellegierung	06	I	330
— On the natural iron-nickel alloy, Awaruite	06	II	155
— siehe Penfield, S. L.			
Janensch, W.: Bemerkungen über den Skelettbau der Glyptodontiden	06	I	146
— Pterosphenus Schweinfurthi (Andrews) und die Entwicklung der Paläophiden	08	II	440
— *Ueber die Jugendentwicklung von Rhabdoceras Suessi v. Hauer*	*CBl 1906*		*710*
Janet, L.: Sur la position stratigraphique des gypses de Vitry (Seine)	05	I	304
Jannasch, P.: Analyse des Lorandit von Alchar	05	I	371
Jansen, H.: Rechtschreibung der wissenschaftlichen und technischen Fremdwörter	CBl 1907		692
Japha, A.: Ueber subfossile und rezente Walknochenfunde aus Ost- und Westpreußen	09	I	437
— Weiteres über ostpreußische Walknochenfunde	09	I	437
Jaquet, J. B.: Notes upon the occurrence of Gold in volcanic glass at Grassy Gully, Yalwal District, N. S. Wales . .	07	I	411
— siehe Card, G. W.			
Jaroš, Z.: Beitrag zur Morphologie des böhmischen Antimonits	08	II	10
Jeannet, A.: La nappe rhétique dans les Alpes Vaudoises	09	II	92
Jecker, L.: Sur quelques minéraux du Djebel-Ressas (Tunisie)	07	I	41
Jeffrey, E. C., siehe Hollick, A. and Jeffrey, E. C.			
Jegorow, K.: Arbeiten zur Ausbeute von Leuchtenbergit in der Grube auf dem Berge Schischi im Sommer 1905	09	II	23
Jenkins, J. H. B.: Analysis of London Clay	08	II	406

	Jahrg.	Bd.	Seite
Jenny, Fr.: Fossilreiche Oligocänablagerungen vom Südhang des Blauen (Juragebirge)	1906	I	112
Jensen, A. S.: On fish-otoliths in the bottom-deposits of the sea. 1. Otoliths of the Gadus-species deposited in the Polar deep	07	I	320
Jentzsch, A.: Der jüngere baltische Eisstrom in Posen, West- und Ostpreußen	05	I	473
— Verbreitung der bernsteinführenden „blauen Erde"	05	II	287
— Die erste Yoldia aus Posen	06	I	298
— Ueber die Theorie der artesischen Quellen und einige damit zusammenhängende Erscheinungen	06	II	193
— Geologische Bemerkungen zu einigen westpreußischen Bodenanalysen	06	II	202
— Ueber umgestaltende Vorgänge in Binnenseen	07	I	116
— Der erste Untersenon-Aufschluß Westpreußens	07	I	435
Jeremina, E. und F. Loewinson-Lessing: Beiträge zur Petrographie der Mugodjaren. Ergebnisse der Expedition von 1889 in die Mugodjaren. Lief. 2	07	I	72
Jevons, H. S.: Scratches on Minerals in Thin Sections	05	I	233
— Note on the Keratophyres of the Breidden and Berwyn Hills	05	II	385
Ježek, B.: I. Beitrag zur Morphologie des Whewellits	09	I	196
— II. Weiterer Beitrag zur Morphologie des Whewellits	09	I	196
— Ueber den Braunit von Minas Geraes	09	I	338
— Ueber den Hamlinit von Brasilien	09	I	344
Jimbo, K.: A Complex Twin of Chalcopyrite from Arakawa, Ugo Province	07	I	195
— Crystallization of Calcite from Mizusawa and Furokura	07	I	199
— Datolite of Yamaura, Hyūga Province	07	I	206
— Some Pseudomorphs of Cordierite found in Japan	07	I	206
— Linarite of Arakawa, Ugo Province	07	I	210
— General note on Japanese Meteorites	07	I	367
— Some Korean and Sakhalin minerals	08	II	333
— Crystal form of the enargite from Kinkwaseki, Taiwan Island (Formosa)	09	I	173
— Sorobandama-ishi	09	I	179
— Cordierite in Copper Ore-Deposit, found in the Hitachi mine, Hitachi province	09	I	191
— On some zeolites found in Japan	09	I	192
Joachim, H.: Ueber Interferenzerscheinungen an aktiven Kristallplatten im polarisierten Licht	*BB XXI 540*		
— *Versuche über den Einfluß innerer Reflexionen auf die Interferenzerscheinungen an dünnen doppeltbrechenden Platten, insbesondere an Spaltungsplatten von Muscovit*	*CBl 1907 577*		
Johannsen, A.: A key for the determination of rockforming minerals in thin sections	CBl 1909 711		
John, C. v.: Ueber die chemische Beschaffenheit der Asphaltschiefer der Bara-Bai (Buru)	*BB XXII 691*		
— siehe Kossmat, F.			
John, C. v. und F. E. Sueß: Die Gauverwandtschaft der Gesteine der Brünner Eruptivmasse	09	II	382
Johnsen, A.: Die Entwicklung der Petrographie	05	I	233
— *Bryozoen aus dem karnischen Fusulinenkalk*	*06*	*II*	*135*
— *Kristallographische Untersuchung einiger organischer Verbindungen*	*07*	*I*	*89*
— *Ueber das mikroskopische Verhalten gesteinsbildender Glimmer*	*07*	*II*	*129*

	Jahrg.	Bd.	Seite
Johnsen, A.: Beiträge zur Kenntnis natürlicher und künstlicher Gläser	1907	II	216
— *Vesuvasche vom April 1906*	*CBl 1906*		*385*
— *Tschermak's Zwillingstheorie und das Gesetz der Glimmerzwillinge*	*CBl 1907*		*400*
— *Sekundäre Zwillingslamellen im Zinnstein*	*CBl 1908*		*426*
— *Ueber radialstrahlig gruppierte Muscovitkristalle*	*CBl 1908*		*504*
— *Ueber einige durch ungewöhnliche Achsenwinkel ausgezeichnete Glimmer*	*CBl 1908*		*618*
— *Zur Symmetrie des Wulfenit*	*CBl 1908*		*712*
— *Beiträge zur Kenntnis der Salzlager. I. Regelmäßige Verwachsung von Carnallit und Eisenglanz*	*CBl 1909*		*168*
— *Ueber dichteste Kugelpackung in Erbsen- und Rogensteinen und die Entstehung des „dodekaedrischen" Kalkes*	*CBl 1909*		*302*
— *Untersuchungen über Kristallzwillinge und deren Zusammenhang mit anderen Erscheinungen*	*BB XXIII*		*237*
— *Die Thüringer Porphyroide*	*BB XXVII*		*326*
Johnsen, A. und Mügge, O.: Verbesserungen am Haradaschen Trennungsapparat	*CBl 1905*		*152*
Johnson, Ch. W.: Annotated List of the Types of Invertebrate Cretaceous fossils in the Collection of the Academy of Natural Sciences, Philadelphia	06	II	439
Johnson, D. W.: The Scope of Applied Geology and its Place in the Technical School	08	I	78
— The Geology of the Cerrillos Hills, New Mexico. Part II: Palaeontology	08	I	436
Johnson, J. E.: Origin of the Oriskany Limonites	05	II	403
Johnston-Lavis, H. J.: Another New Vesuvian Mineral	07	II	15
Johnston-Lavis, H. J. and L. J. Spencer: On Chlormanganokalite, a new Vesuvian mineral; with notes on some of the associated minerals	09	II	331
Joleaud, L.: L'Aquitanien dans la Vaucluse, le Gard et les Bouches-du-Rhône	08	II	407
Joly, H.: Notes paléontologiques. I. Note sur deux Coeloceras du Toarcien: C. subarmatum d'Orb. 1842 et C. Desplacei d'Orb. 1842	06	I	313
Joly, J.: On Pleochroic Halos	08	II	144
— The Distribution of Radium in the Rocks of the Simplon Tunnel	09	II	211
Jones, B. M., siehe Crook, T.			
Jones, M., siehe Dunstan, W. R.			
Jones, T. R.: Isochilinae from Canada and elsewhere in North America	05	II	317
— Note on a palaeozoic Cypridina from Canada	06	II	139
Jonker, H. G.: Contributions to the knowledge of the Sedimentary Boulders in the Netherlands. 1. 2.	05	II	445
Jordan, D. S.: The fossil fishes of California, with supplementary notes on other species of extinct fishes	08	II	443
Jordis, E.: Zur Chemie der Silikate	07	I	343
— siehe Kauter, E. H.			
Jourdy, H., siehe Douvillé, R.			
Jowanowitsch, J. U.: Bergbau und Bergbaupolitik in Serbien	06	I	74
Jüptner, H. v.: Neuere Ergebnisse der metallurgischen Forschung	06	I	241
Jukes-Browne, A. J.: The Valley of the Teign	05	II	378

	Jahrg.	Bd.	Seite
Jukes-Browne, A. J.: The occurrence-of Marsupites in Flints on the Haldon Hills	1906	II	107
— The devonian limestone of Lummaton Hill near Torquay	06	II	263
— The Depth and Succession of the Bovey-Deposits (Devon). (Abstract.)	09	II	465
— The Bovey Deposits	09	II	469
Jukes-Browne, A. J. and J. Scanes: On the Upper Greensand and Chloritic marl of Mere and Maiden Bradley in Wiltshire	06	II	107
— — The Cretaceous rocks of Britain. Vol. 1: The Gault and Upper Greensand of England. With contributions by William Hill	06	II	108
— — The Cretaceous roks of Britain. Vol. 2: The Lower and Middle Chalk of England. With contributions by W. Hill	06	II	108
— — The Cretaceous rocks of Britain. Vol. 3: The Upper Chalk of England. With contributions by William Hill	06	II	108
Julien, A. A.: Genesis of the amphibol schists and serpentines of Manhattan island, New York	06	I	227
— Einige Fragen aus der Chemie des Eisens	08	I	9
Juillerat, E., siehe Rollier, L.			
Jung: Die Schotterlager in Arnstadts Umgebung	08	II	96
Just, G., siehe Hoff, J. H. van't.			

K.

Kadič, O.: Die geologischen Verhältnisse des Hügellandes am rechten Ufer der Bega in der Umgebung von Bálincz, Facset und Dubesty	05	II	99
— Mesocetus hungaricus Kadič. Eine neue Balenopteriden-art aus dem Miocän von Borbolva in Ungarn	09	I	438
Kaech, M.: Geologisch-petrographische Untersuchung des Porphyrgebietes zwischen Lago Maggiore und Valsesia	05	II	64
— siehe Strübin, K.			
Kämmerer, P., siehe Böcker, E.			
Kästner, M., siehe Freitag, B. und Kästner, M.			
Kaiser, E.: Beiträge zur Petrographie und Geologie der Deutschen Südsee-Inseln	05	II	71
— Alte Gesteine von den Karolinen	05	II	71
— Die hydrologischen Verhältnisse am Nordostabhang des Hainich im nordwestlichen Thüringen	05	II	448
— Bauxit- und lateritartige Zersetzungsprodukte	06	II	53
— *Ueber Verwitterungserscheinungen an Bausteinen. I.*	*07*	*II*	*42*
— Pliocäne Quarzschotter im Rheingebiet zwischen Mosel und Niederrheinischer Bucht	07	II	292
— Das akademische Gut Dikopshof, Gutswirtschaft der königlichen landwirtschaftlichen Akademie Bonn-Poppelsdorf	07	II	456
— *Das Steinsalzvorkommen von Cardona in Catalonien*	*09*	*I*	*14*
— Die Entstehung des Rheintals	09	I	239
— *Die Kristallform des Magnetkies*	*CBl 1906*		*261*
— *Ein verbesserter Trennungsapparat für schwere Lösungen*	*CBl 1906*		*475*
— *Ueber Diamanten aus Deutsch-Südwestafrika*	*CBl 1909*		*235*
— siehe Koert, W.			
Kaiser, E. und E. Naumann: Zur Kenntnis der Trias und des Diluviums im nordwestlichen Thüringen	05	II	447
Kaiser, E. und L. Siegert: Beiträge zur Stratigraphie des Perms und zur Tektonik am westlichen Harzrande	09	I	409

	Jahrg.	Bd.	Seite
Kaleczinsky, A. v.: Die Mineralkohlen der Länder der ungarischen Krone mit besonderer Rücksicht auf ihre chemische Zusammensetzung und praktische Wichtigkeit	1906	I	236
Kalischer, S.: Ueber die kristallinische Struktur der Metalle	05	I	18
Kalickij: Das Naphthagebiet von Groznyj	07	I	113
Kalkowsky, E.: Die Markasit-Patina der Pfahlbau-Nephrite	06	II	334
— Der Nephrit des Bodensees	08	I	188
— Geologie des Nephrites im südlichen Ligurien 1908 I 189	08	II	204
— Ueber Oolith und Stromatolith im norddeutschen Buntsandstein	08	II	114
— *Geologische Deutung des Nephrites von Gulbashen*	*Festband*		*159*
Kanter, E. H., siehe Tordis, E.			
Karakasch, N. J.: Sur quelques ammonites remarquables de la Crimée	06	I	315
— Sur l'âge des calcaires jurassiques du Yaïla en Crimée.	07	II	445
— Fortschritte im Studium der Kreideablagerungen Rußlands (im Jahre 1898—1902). Literaturübersicht mit kritischen Bemerkungen	08	I	430
Karandéeff, B.: Thermische Analyse des Systems K_2SO_4 — K F	*CBl*	*1909*	*728*
Karpinsky, A.: Ueber Chalcedone vom Schwarzmeerdistrikt des Kaukasus	07	II	181
— Ueber ein Vorkommen von Brucit bei Lysogorsk im Gouvernement Jelisawetpol	07	II	182
— Ueber ein Vorkommen von Pyromorphit im Beresit des westlichen Urals	07	II	188
— Die Trochilisken	08	I	450
Kasarnowski, H., siehe Wöhler, L.			
Kasperowitsch, G.: Pyrargyrit aus der Perwoblagodatnij Grube im Ural	09	II	14
Katterfeld, G.: Ueber Platin in einem uralischen Schwefelkies	07	II	354
Katzer, F.: Mineralquellen und Erzlagerstätten aus dem unteren Amazonasgebiete	05	I	263
— Exkursion durch Bosnien und die Herzegowina	05	II	117
— Geologischer Führer durch Bosnien und die Herzegowina	05	II	264
— Zur näheren Kenntnis des Budweiser Binnenlandtertiärs	06	II	113
— Die geologische Entwicklung der Braunkohlenablagerung von Zenica in Bosnien	06	II	114
— Ueber einen Brasil-Monazitsand aus Bahia	06	II	343
— Die Schwefelkies- und Kupferkieslagerstätten Bosniens und der Herzegowina	06	II	381
— Die geologischen Verhältnisse des Manganerzgebietes von Čevljanovič in Bosnien	09	II	403
— Die Fahlerz- und Quecksilberlagerstätten Bosniens und der Herzegowina	09	II	405
— *Ueber die Quarzporphyre der Vratnica planina in Bosnien und über einen Fund von Rillensteinen in einem alten Bergbau am Westfuße desselben Gebirges*	*CBl*	*1905*	*366*
Kaunhowen, F.: Beobachtungen über Diluvium, Tertiär und Kreide in Ostpreußen	07	II	463
— Geologische Untersuchungen in dem Gebiete längs der Bahn Lötzen—Arys—Johannesburg, Ostpreußen	07	II	464
— Das geologische Profil längs der Berliner Untergrundbahn und die Stellung des Berliner Diluviums	07	II	465
Kaunhowen, F. und P. G. Krause: Beobachtungen an diluvialen Terrassen und Seebecken im östlichen Norddeutschland und ihre Beziehungen zur glazialen Hydrographie	05	I	481

	Jahrg.	Bd.	Seite
Kauter, E. H. und E. Jordis: Beiträge zur Kenntnis der Silikate	1905	II	17
Kavčič, J.: Der Braunkohlenbergbau von Hrastovetz	07	I	83
Kayser, E.: Lehrbuch der Geologie. II. Teil: Geologische Formationskunde	08	I	410
— *Zur Arrhenius-Frech'schen Kohlensäure-Hypothese*	*CBl 1908*		*553*
— *Entgegnung an Herrn Arrhenius*	*CBl 1909*		*660*
— siehe auch Arrhenius, S.			
Kee, Mc, siehe Mc Kee.			
Keidel, H.: Ein Beitrag zur Kenntnis der Lagerungsverhältnisse in den Freiburger Alpen	06	I	255
— *Geologische Untersuchungen im südlichen Tian-Schan nebst Beschreibung einer obercarbonischen Brachiopodenfauna aus dem Kukurtuk-Tal*	*BB*		*XXII 266*
— *Einige Berichtigungen zu meinen Arbeiten über den Tian-Schan*	*CBl 1907*		*271*
Keilhack, K.: Die große baltische Endmoräne und das Thorn-Eberswalder Haupttal. Eine Antwort an Herrn G. Maas	06	II	435
— Grundwasserstudien	09	II	373
Keller, K.: Die Atmosphäre, ein elektro-pneumatischer Motor	05	I	57
Kellogg, L. O.: Sketch of the Geology and Ore Deposits of the Cochise Mining District, Cochise County, Arizona	07	II	418
Kemna, A.: Les caractères structuraux de la coquille des Foraminifères flottants. Caractère naturel de la division des Foraminifères en Perforés et Imperforés	07	I	156
— Compte rendu des travaux recents sur les Foraminifères fossiles et sur le Dimorphisme des Nummulites	07	I	329
Kemp, J. F.: The Role of the Igneous Rocks in the Formation of Veins	05	I	256
— Die Lagerstätten titanhaltigen Eisenerzes in Laramie Range, Wyoming, Vereinigte Staaten	07	I	76
— Secondary Enrichment in Ore-Deposits of Copper	07	II	419
— The Problem of the Metalliferous Veins	08	I	78
— Ore deposits at the Contacts of Intrusive Rocks and Limestones; and their Significance as Regards the General Formation of Veins	08	I	80
Kemp, J. F. and W. Knight: Leucite Hills of Wyoming	06	I	225
Kennard, A. S. and H. Warren: On a Section of the Tames Alluvium in Bermondsey	05	I	481
Kennard, A. S. and B. B. Woodward: On the specific identity of Vivipara diluviana Kunth and Vivipara clactonensis S. V. Wood	05	I	309
— — The Extinct Postpliocene non-marine Mollusca of the South of England	05	II	449
Kennedy, W., siehe Hayes, C. W.			
Kerforne, F.: Gisements de Mispickel aux buttes de Couasme près Rennes	05	I	372
— Découverte d'un gisement d'Etain et de Wolfram dans l'Ille-et-Vilain	05	II	369
Kern, F.: Ueber den Gneis von Schentowetz (Bachergebirge)	*CBl 1909*		*149*
— *Ueber ein Vorkommen des Disthens im Granatglimmerschiefer des Lauffenberges bei Radenthein*	*CBl 1909*		*215*
Kerner, F. v.: Geologie der Südseite des Mosor bei Spalato	05	I	451
— Die geologischen Verhältnisse der Poljen von Blaca und Konjesko bei Spalato	05	I	452
— Exkursionen in Norddalmatien	05	II	114

	Jahrg.	Bd.	Seite
Kerner, F. v.: Die Fenster in der Ueberschiebung am Nordfuße des Mosor	1906	I	257
— Reiseberichte aus dem östlichen Mosorgebiete	06	I	257
— Geologische Spezialkarte des Blattes Sebenico—Trau. Zone 31, Kol. XIV	07	I	89
— Diabas bei Sinj	08	I	65
Kerner, F. v. und R. Schubert: Kritische Bemerkungen zu Herrn A. Martelli's Arbeiten über die Geologie von Spalato	06	I	258
Keßler, P.: Lytoceras taeniatum Pomp. und L. Wrighti Buckm.	09	I	134
— *Ueber einen mit Wohnkammer erhaltenen Macrocephalites*	*CBl*	*1908*	*40*
— *Zum geologischen Aufbau der bithynischen Halbinsel*	*CBl*	*1909*	*653*
Keyes, C. R.: Unconformity of the Cretaceous on Older Rocks in Central New Mexico	05	I	302
— Devonian interval in Missouri	06	I	273
— The Dakotan Series of Northern New Mexico	07	I	438
Keyserling, H. Graf: Der Gloggnitzer Forellenstein, ein feinkörniger Ortho-Riebeckitgneis	05	II	51
— Geologisch-petrographische Studien im Gebiete der Melaphyre und Augitporphyre Südtirols	05	II	63
Kiaer, J.: Kalstad Kalken	06	I	271
Kidston, R.: (I.) On the occurrence of Sphenopteris communis Lesqx. in Britain	06	II	458
— (II.) On Sigillaria Brardii Brongn., and its variations	06	II	458
— (III.) Additional Records and Notes on the fossil flora of the Potteries Coal Field, North Staffordshire	06	II	458
— (IV.) On Cryptoxylon forfarense, a new species of fossil plant from the Old Red Sandstone	06	II	458
— (V.) The Carboniferous fossil plants of the Clyde Basin	06	II	458
— (VI.) The flora of the Carboniferous Period	06	II	458
— (VII.) Notes on some fossil plants from the Arigna Mines	06	II	458
— (VIII.) The fossil plants from the Canonbie Coal Field	06	II	458
— (IX.) The fossil plants of the Carboniferous Rocks of Canonbie, Dumeriesshire, and of parts of Cumberland and Northumberland	06	II	458
— On the fructification of Neuropteris heterophylla Brongn.	07	I	163
— Preliminary Note on the Occurrence of Microspongia in Organic Connection with the Foliage of Lyginodendron	07	I	164
— On the Microsporangia of the Pteridospermeae, with remarks on their Relationship to existing Groups	07	I	165
Kidston, R. and D. T. Gwynne-Vaughan: On the Fossil Osmundaceae	08	I	157
Kilian, W.: Note sur le „surcreusement" („Uebertiefung") des vallées alpines	05	I	228
— Note sur quelques points du Royans, du Vercors et des Montagnes de Lans	05	I	277
— Sur divers points intéressants de la montagne de Lure	05	I	277
— Sur les chaînes subalpines des environs de Grenoble	05	I	278
— Explorations sur les feuilles de Briançon, Gap, Digne et Larche, Grenoble et Vizille (revision), feuille de Lion au 320 000e	05	I	278
— Grenoble. Alpes du Dauphiné et de la Savoie	05	I	282
— Note relative aux chaînes alpines	05	I	446
— Sur quelques fossiles remarquables de l'Hauterivien de la région d'Escragnolles	05	II	321

	Jahrg.	Bd.	Seite
Kilian, W.: Présence de nombreuses Orthophragmina de grande taille dans les calcaires éocènes de Montricher-en-Maurienne . . . . . 1906 I 115	1909	I	299
— Note sur le Jurassique moyen dans les Alpes françaises	06	I	424
— Sur les phases de plissement des zones intraalpines françaises	06	II	353
— Sur les relations de structure des Alpes françaises avec les Alpes suisses	06	II	254
— Sur le rôle des charriages dans les Alpes delphino-provençales et sur la structure en éventail des Alpes briançonnais	06	II	256
— Explorations géologiques exécutées dans le Sud-Est de la France pendant l'année 1900	07	II	104
— Sur l'origine de la structure en éventail des Alpes françaises	07	II	260
— Les phénomènes de charriage dans les Alpes delphine-provençales	07	II	261
— Sur l'âge des schistes lustrés	07	II	440
— Sur l'âge du groupe de Voltri	07	II	441
— Lethaea geognostica. II. Das Mesozoicum. 3. Band: Kreide. Erste Abteilung: Unterkreide (Palaeocretacicum). Erste Lieferung: Allgemeines über Palaeocretacicum, Unterkreide im südöstlichen Frankreich, Einleitung . .	08	II	402
— Notes sur la tectonique des Alpes françaises	09	I	87
— Sur la „fenêtre" du Plan de Nette et sur la géologie de la Haute-Tarentaise	09	II	87
Kilian, W. et L. Gentil: Sur les terrains crétacés de l'Atlas occidental marocain	08	I	265
— — Sur l'Aptien, le Gault et le Cénomanien et sur les caractères généraux du Crétacé inf. et moyen de l'Atlas occidental marocain	08	I	266
Kilian, W. et A. Guébhard: Étude paléontologique et stratigraphique du Système Jurassique dans les Préalpes maritimes	06	I	108
Kilian, W. et P. Lory: Sur l'existence de brèches calcaires et polygéniques dans les montagnes situées au sudest du Mont Blanc	09	II	88
Kilian, W. et M. Piroutet: Sur les fossiles éocrétaciques de la Nouvelle Caledonie	06	I	294
Kilian, W., P. Termier et Ch. Lory: Nouvelles observations dans les Alpes occidentales	07	II	441
Kindle, E. M.: The Niagara Domes of Northern Indiana	1905	II	104. 415
Kinkelin, F.: Verzeichnis der Säugetierreste aus dem Oligocän und Untermiocän des Mainzer Beckens	06	II	131
Kip, H. Z.: A new method for the determination of the hardness of minerals	09	I	155
Kišpatič, M.: Manganfayalit aus dem Agramer Gebirge	08	II	28
— Vesuvasche aus Kotor (Cattaro) in Dalmatien	08	II	204
Kißling, R., siehe Wolff, W.			
Kitchin, F. L.: The Jurassic Fauna of Cutch. Lamellibranchiata, Genus Trigonia	05	I	178
The Brachiopoda	05	I	180
Kittl, E.: Geologie der Umgebung von Sarajevo	05	I	101
— Salzkammergut	05	I	284
— Beiträge zur Kenntnis der Triasbildungen der nordöstlichen Dobrudscha	08	I	418
— Lunzer Schichten zwischen Göstling und Wildalpen . . .	09	I	415
Kjellmark, K.: Om några jämtländska kalktuff och blekeförekomster	05	I	313

	Jahrg.	Bd.	Seite
Klaatsch, H.: Zur Deutung von Helicoprion Karp. . . .	1905	II	132
— Fossile Knochen aus der Heinrichshöhle bei Sundwig . .	06	I	129
— siehe Lissauer.			
Klarfeldt, H., siehe Zaloziecki, R.			
Klebs, R., siehe Caspary, R. und Klebs, R.			
Klein, C.: Ueber einen Zusammenhang zwischen optischen Eigenschaften und chemischer Zusammensetzung beim Vesuvian	05	I	35
— Die Meteoritensammlung der Königlichen Friedrich Wilhelms-Universität zu Berlin am 21. Januar 1904	05	I	212
— Mitteilung über Meteoriten	05	I	395
— Ueber das Meteoreisen von Persimmon Creek bei Hot House, Cherokee Co., Nord-Karolina	05	I	395
— Ueber Theodolitgoniometer	06	I	159
— Studien über Meteoriten, vorgenommen auf Grund des Materials der Sammlung der Universität Berlin.	07	II	385
— siehe Cohen, E.			
— siehe Wolff, F. v.			
Klein, G.: Die deutsche Braunkohlenindustrie. Handbuch für den deutschen Braunkohlenbergbau	CBl	1908	152
Kleinfeldt, E.: Studien am Eisenglanz von Dognacska . BB XXIV 325			
— Aetzfiguren am Eisenglanz und verwandte Erscheinungen BB XXVIII 661			
Kleinschmidt, A. und H. Limbrock: Die Gesteine des Profils durch das südliche Musarttal im zentralen Tian-Schan	09	I	224
Klemm, G.: Bericht über Untersuchungen an sogen. „Gneisen“ und den metamorphen Schiefergesteinen der Tessiner Alpen	05	I	242
— Ueber einen Einschluß im Marmor von Auerbach a. d. Bergstraße	05	II	48
— Ueber einen bemerkenswerten Aufschluß im Melaphyr bei Messel	05	II	49
— Ueber einige typische Fälle von granitischen Injektionen in Schiefergesteinen	06	II	58
— Bericht über Untersuchungen an den sogen. „Gneisen“ und den metamorphen Schiefergesteinen der Tessiner Alpen. II.	06	II	208
— Ueber Blasenzüge aus dem Melaphyr	06	II	210
— Die Trachyte des nördlichsten Odenwaldes . 1907 I 57	08	I	194
— Bericht über die Untersuchungen an den sogen. „Gneisen“ und den metamorphen Schiefergesteinen der Tessiner Alpen. III	08	II	198
— Bericht über Untersuchungen an den sogen. „Gneisen“ und den metamorphen Schiefern der Tessiner Alpen. IV . .	08	II	200
— Ueber das Schmirgelvorkommen vom Frankenstein bei Darmstadt und seine Beziehungen zu den dortigen Olivingabbros“	09	I	178
— Beobachtungen über die genetischen Beziehungen der Oden-Odenwälder Gabbros und Diorite	09	I	375
— Ueber einige Basalte und basaltähnliche Gesteine des nördlichsten Odenwaldes	09	II	380
— *Ueber ein Vorkommen dünner, zur Justierung der Nicol'schen Prismen der Polarisationsmikroskope geeigneter Quarznädelchen . . . . . CBl 1907 275*			
Klockmann, F.: Ueber kontaktmetamorphe Magnetitlagerstätten, ihre Bildung und systematische Stellung. . . .	05	II	404
— Ueber den Einfluß der Metamorphose auf die mineralische Zusammensetzung der Kieslagerstätten	05	II	406

	Jahrg.	Bd.	Seite
Klockmann, F.: Lehrbuch der Mineralogie	CBl 1907		216
— siehe Bruhns, W.			
Kloos, J. H.: Ueber einen neuen Aufschluß in den Brunsvicensis-Tonen östlich von Braunschweig	1906	I	284
— Ueber das Untersenon von Groß- und Klein-Biewende . .	06	I	285
— Die durch die neuesten Tiefbohrungen auf Kalisalz aufgedeckten Ueberschiebungen	06	II	416
— Die tektonischen Verhältnisse des Norddeutschen Schollengebirges auf Grund der neuesten Tiefbohrungen im Leinetale und bei Hannover sowie die Gliederung des Salzgebirges daselbst	06	II	416
— Ueber die neuesten Ergebnisse der Kalisalzbohrungen und die Schachtaufschlüsse in der Provinz Hannover . . .	06	II	416
Klose, H.: Die alten Stromtäler Vorpommerns, ihre Entstehung, ursprüngliche Gestalt und hydrographische Entwicklung im Zusammenhange mit der Litorina-Senkung 1905 I 473	06	II	434
— siehe Elbert, J.			
Knebel, W. v.: Basaltmaare im Taunus	07	I	228
— Vergleichende Studien über die vulkanischen Phänomene im Gebiete des Tafeljura	07	I	375
— Ueber die Lavavulkane auf Island	08	I	216
— *Vorläufige Mitteilung über die Lagerungsverhältnisse glazialer Bildungen auf Island und deren Bedeutung zur Kenntnis der diluvialen Vergletscherungen*	*CBl 1905*		*535*
— *Der Nachweis verschiedener Eiszeiten in den Hochflächen des inneren Islands. (Vorläufige Mitteilung).*	*CBl 1905*		*546*
— *Zur Frage der diluvialen Vergletscherungen auf der Insel Island*	*CBl 1906*		*232*
Knett, J.: Vorläufiger Bericht über das erzgebirgische Schwarmbeben 1903 vom 13. Februar bis 25. März, mit einem Anhang über die Nacherschütterungen bis Anfang Mai	05	I	50
— Das Erdbeben am österreichischen Pfahl am 26. November 1902	05	I	50
— Ueber ein Schwefelkieslager bei Jasztrabje in Ungarn . .	05	I	100
— Von den Erdbränden bei Karlsbad	05	I	256
— Indirekter Nachweis von Radium in den Karlsbader Thermen	05	II	343
— Kritische Bemerkungen über den Wert eines physikalisch-chemischen Zentrallaboratoriums, bezw. solcher Untersuchungen namentlich für geologisch-hydrologische Fragen	06	I	402
Knies, J.: Ein neuer Fund des diluvialen Menschen bei Mladeč in Mähren	07	I	452
— Spuren des diluvialen Menschen und fossile Fauna der Höhlen von Ludmirow	07	I	452
Knight, C. W.: A new occurrence of Pseudo-Leucite 1907 I 202	08	I	236
— siehe Campbell, W. and Knight, C. W.			
— siehe Kemp, J. F.			
— siehe Read, T. T.			
Knight, N.: The Dolomites of Eastern Iowa	05	II	393
— Notiz über die Bestimmung von Ferroeisen	09	I	7
Knod, R.: Devonische Faunen Boliviens	*BB*	*XXV*	*493*
Knopf, A. and W. T. Schaller: Two new boron minerals of contactmetamorphic origin	09	II	342
Knowlton, F. H., siehe Stanton, T. W.			
Ko, S.: Cristallisation of the Pyrite from Sagi (Izumo province)	09	I	169

	Jahrg.	Bd.	Seite
Kobell, F. v.: Tafeln zur Bestimmung der Mineralien mittels einfacher chemischer Versuche auf trockenem und nassem Wege. 15. Aufl. von K. Oebekke	CBl	1908	47
Koby, M. F.: Sur les polypiers jurassiques des environs de St.-Vallier-de-Thiey (A.-M.)		1907 I	486
— Polypiers bathoniens de St. Gaultier (Département de l'Indre)		09 I	293
Koch, A.: Neuer Beitrag zur früheren Verbreitung des Mufflons		05 I	323
— Basaltlakkolith im Várhegy von Ajnácskö		05 II	383
— Tarnócz im Komitat Nógrád, als neuer, reicher Fundort fossiler Haifischzähne		05 II	479
— Ergänzung zur Haifischfauna des untermediterranen Sandsteines von Tarnócz. Notidanus diffusidens n. fr.		05 II	479
— Fossile Haifischzähne und Säugetierreste von Felsöesztergály im Komitate Nógrád		06 I	125
— Kleinere paläontologische Mitteilungen		06 I	153
— Die geologischen Verhältnisse des Bergzuges von Rudobánya—Szt. András		06 II	78
— Neuere Beiträge zu den geo-paläontologischen Verhältnissen des Bevčiner Zementmergels		07 II	128
Koch, K. R.: Relative Schweremessungen in Württemberg. II. Mit einem Anhang: Ein Hypsometer mit elektrischer Temperaturmessung		06 II	46
— Relative Schweremessungen in Württemberg III. Mit einem Anhang: Versuche, dem Magazinthermometer und dem Pendel gegen Temperaturänderungen die gleiche Trägheit zu geben		06 II	46
— Relative Schweremessungen in Württemberg IV		06 II	46
Koch, M.: Mitteilung über Olivindiabase aus dem Oberharze		07 II	402
Koch, P. P.: Ueber eine neue Methode zur Untersuchung auf Pyroelektrizität		05 II	333
— siehe Beckenkamp, J.			
Koch, V. v.: Ueber die Molluskenfauna aus dem Löß des Gipsbruches von Thiede bei Wolfenbüttel		05 I	309
Kock, A. C. de: Ueber Bildung und Umwandlung von fließenden Mischkristallen		05 II	173
Köbrich: Magnetische Erscheinungen an Gesteinen des Vogelsberges, insbesondere an Bauxiten		07 I	43
Köchlin, R.: Analyse von Dognacskait		06 II	15
— Cölestin von Häring in Tirol		06 II	23
— Ueber den österreichischen Euklas		07 II	25
— Ueber Pyrit von Rudobanya		09 I	168
Köhler, G.: Die „Rücken" in Mansfeld und in Thüringen, sowie ihre Beziehungen zur Erzführung des Kupferschieferflözes	CBl	1906	243
Koehler, R. et A. Bather: Gephyrocrinus Grimaldii, crinoïde nouveau provenant des campagnes de la Princesse Alice		07 II	155
Koehn, W. und F. C. Schulz: Ueber die Basaltvorkommnisse bei Heiligenstadt in Oberfranken nebst Bemerkungen über die Tektonik im nördlichen Frankenjura	*CBl*	*1906*	*390*
Koehne, W.: Sigillarienstämme, Unterscheidungsmerkmale, Arten, geologische Verbreitung, besonders mit Rücksicht auf die preußischen Steinkohlenreviere		08 I	157
Koenen, A. v.: Ueber die untere Kreide Helgolands und ihre Ammonitiden		05 I	466

	Jahrg.	Bd.	Seite
Koenen, A. v.: Ueber die Lagerung der Schichten im Leinetal in der Gegend von Alfeld	1906	II	416
— Nochmals die Lagerung der Schichten im Leinetale	06	II	416
— Ueber Wirkungen des Gebirgsdruckes im Untergrunde in tiefen Salzbergwerken	1907	I	87. 416
— Ueber den Buntsandstein des Solling. Bericht über die wissenschaftlichen Ergebnisse der Aufnahmen 1901—1902	07	I	431
— Ueber das Auftreten der Gattungen und Gruppen von Ammonitiden in den einzelnen Zonen der unteren Kreide Norddeutschlands	08	I	265
— Ueber scheinbare und wirkliche Transgressionen	08	II	78
— Ueber das Verhalten und das Alter der Störungen in der Umgebung der Sackberge und des Leinetales bei Alfeld und Elze	08	II	80
— Ueber Kalksteinkonkretionen und fossilführende Kalke an der Basis des Röt	08	II	85
— Zur Entstehung der Salzlager Nordwestdeutschlands	09	I	423
— *Ueber Posidonia Becheri im produktiven Carbon und die Stellung von Anthracosia*	*CBl*	*1905*	*308*
— *Ueber Anthracosia und Palaeanodonta. Berichtigung*	*CBl*	*1908*	*65*
— *Bemerkungen zur Gliederung der unteren Kreide*	*CBl*	*1908*	*289*
Koenen, A. v. und O. Grupe: Blatt Hardegsen	07	II	93
Koenen, A. v., O. Grupe und M. Schmidt: Blätter Dassel, Lauenberg	07	II	93
Koenen, A. v., G. Müller und O. Grupe: Blatt Alfeld	07	II	93
Koenen, K.: Die Zeitstellung der beiden Neandertaler Menschen	05	II	301
König, G. A.: Ueber die künstliche Darstellung von Kristallen des Mohawkits, des Domeykits, des Argentodomeykits, des Stibiodomeykits, des Keweenawits und anderer Arsenide	05	II	5
Königs, E.: Die Eiszeit und ihre Spuren in der Nachbarschaft von Krefeld	05	I	482
Königsberger, J.: Ueber den Temperaturgradienten der Erde bei Annahme radioaktiver und chemischer Prozesse	07	II	399
— Ueber die Beeinflussung der geothermischen Tiefenstufe durch Berge und Täler, Schichtstellung, durch fließendes Wasser und durch Wärme erzeugende Einlagerungen	08	I	211
— *Geologische Beobachtungen am Pizzo Forno (Schweiz, Kanton Tessin) und Beschreibung der Minerallagerstätten des Tessinermassivs*	*BB*	*XXVI*	*488*
— *Danburit aus dem Syenit des Piz Giuf*	*CBl*	*1905*	*377*
— *Ueber die Methoden zur Bestimmung der Wärmeleitfähigkeit von Gesteinen und den Einfluß verschiedener Wärmeleitfähigkeit auf die Geoisothermen*	*CBl*	*1907*	*200*
— *Normale und anormale Werte der geothermischen Tiefenstufe*	*CBl*	*1907*	*673*
— *Ueber einen Apparat zur Erkennung und Messung optischer Anisotropie undurchsichtiger Substanzen und dessen Verwendung*	*CBl*	*1908*	*565. 597*
— *Vorrichtung zur Erkennung und Messung geringster Doppelbrechung*	*CBl*	*1908*	*729*
— *Methoden zur Erkennung und Messung optischer Anisotropie undurchsichtiger Substanzen. (2. Mitteilung.)*	*CBl*	*1909*	*245*
— *Nachtrag zu „Vorrichtung zur Erkennung und Messung geringster Doppelbrechung“*	*CBl*	*1909*	*746*
Königsberger, J. und W. J. Müller: Ueber die Flüssigkeitseinschlüsse im Quarz alpiner Mineralklüfte	*CBl*	*1906*	*72*

	Jahrg.	Bd.	Seite
Königsberger, J. und W. J. Müller: Versuche über die Bildung von Quarz und Silikaten. (Erste Mitteilung.)	*CBl 1906*		*339. 353*
Königsberger, J. und O. Reichenheim: Ueber die Elektrizitätsleitung einiger natürlich kristallisierter Oxyde und Sulfide und des Graphits. Nebst Anhang: Ueber einige polymorphe Modifikationen	*1906*	*II*	*20*
— — Ueber das Verhalten einiger kristallisierter natürlicher Metallsulfide und -oxyde gegen elektrische Strömung und gegen Strahlung	*CBl 1905*		*454*
Körbs, A.: Ueber die abweichende Lösungsgeschwindigkeit verschiedenartiger Kristallflächen im Wasser	08	II	151
— Beobachtungen über Variationen der Kristalltracht des Chlornatriums	08	II	158
Koert, W.: Notiz über die Auffindung von Kelloway bei Tanga (Deutsch-Ostafrika)	06	I	283
— Ueber lateritische Verwitterung in der Umgegend von Amani (Ostusambara)	06	II	55
— Geologisch-agronomische Untersuchung der Umgegend von Amani in Ost-Usambara. Mit einer geologisch-agronomischen Uebersichtskarte	06	II	421
Kohler, E.: Die Amberger Lagerstätten	05	I	258
Kohlmann, H.: Beiträge zur Kenntnis des brasilianischen Berylls	*BB*	*XXV*	*135*
Kohnen, W. V.: Der Lyngsberg bei Mehlem	08	II	197
Koken, E.: Helicoprion im Productus-Kalke der Salt Range	05	II	132
— *Geologische Beiträge aus Südtirol*	*06*	*II*	*1*
— Die diluvialen Tiere vom Sirgenstein	08	I	104
— Die steinzeitlichen Funde bei Niedernau	08	I	104
— Ueber Hybodus	09	I	456
— *Das Diluvium von Gafsa (Südtunesien) und seine prähistorischen Einschlüsse*	*09*	*II*	*1*
— *Diluvialstudien*	*09*	*II*	*57*
— *Neue Plesiosaurierreste aus dem norddeutschen Wealden*	*CBl 1905*		*681*
— *Productus Purdoni im Perm von Kaschmir*	*CBl 1906*		*129*
— *Indisches Perm und die permische Eiszeit. Nachträge*	*CBl 1908*		*449*
— *Neue Anordnung der Sammlungen des geologischen Instituts in Tübingen*	*CBl 1909*		*123*
— *Nachwort (zu Walther, J.: Ueber das Zitieren von Abbildungen)*	*CBl 1909*		*538*
— *Vorläufige Entgegnung an Herrn Arrhenius*	*CBl 1909*		*539*
— *Moderne Zitate*	*CBl 1909*		*353*
— *Indisches Perm und die permische Eiszeit*	*Festband*		*446*
— siehe Noetling, F.			
Koken, E. und F. Noetling: Das Erdbeben im Kangra-Tal (Himalaja) vom 4. April 1905	*CBl 1905*		*332*
Kolatschewsky, W., siehe Fedorow, E.			
Kolbeck, F., (siehe auch Plattner, C. F.)			
— *Ueber ein zweites altes Freiberger Vorkommen von Argyrodit (Plusinglanz)*	*CBl 1908*		*331*
— *Das erste deutsche Childrenitvorkommen aus dem Granit des Greifensteins bei Ehrenfriedersdorf im sächsischen Erzgebirge*	*CBl 1908*		*333*
— *Ueber ein Vorkommen von Brookit in Trümmern des Freiberger Gneises*	*CBl 1908*		*547*
Kolbeck, F. und Goldschmidt, V.: Whewellit mit neuen Formen und neuem Zwillingsgesetz	*CBl 1908*		*659*

	Jahrg.	Bd.	Seite
Kolbeck, F. und M. Henglein: Ueber ein neues Vorkommen von Euklas aus dem Pegmatite von Döbschütz bei Görlitz in Schlesien	*CBl*	*1908*	*365*
— — *Ein neues Vorkommen von Phenakit aus den Zinnerzgängen von Ehrenfriedersdorf im Erzgebirge*	*CBl*	*1908*	*365*
— — *Zwei neue Phenakitvorkommen in Schlesien*	*CBl*	*1908*	*549*
Kolderup, C. F.: Jordskjaelv i Norge 1903	1905	I	53
— Jordskjaelvet den 23. oktober 1904	06	I	201
— Jordskjaelv i Norge 1904	06	I	202
— Jordskjaelv i Norge i 1905. Anhang: Registrierungen an der seismischen Station zu Bergen im Jahre 1905	07	I	219
Kolenec, F.: Ueber einige leukokrate Ganggesteine vom Monzoni und Predazzo	05	II	218
Kolesch, K.: Ueber die Verbreitung der Gervillia Murchisoni Gein. in Ostthüringen	CBl	1909	12
Koniouchevsky, L. et P. Kovalew: Les gisements de fer de la région minière de Bakal	06	II	222
Kormos, Th.: Die pleistocäne Mollusken-Fauna im Ostabschnitte des Gebietes jenseits der Donau	07	I	445
— Ueber die diluvialen Neritinen der Umgebung des Balatonsees	07	I	446
— Vorläufiger Bericht über eine interessante pleistocäne Molluskenfauna in Südungarn	07	II	460
Korn, J.: Ueber Oser bei Schönlanke	09	I	108
Koroniewicz, P.: Der Jura von Wielun in Polen	08	I	261
Korsuchin, J.: Die Tschuktschenhalbinsel, Ostasien	08	I	409
Kossmat, F.: Das Gebirge zwischen dem Bača-Tale und der Wocheiner Save	05	I	448
— Umgebung von Raibl (Kärnten)	07	I	273
— Ueber die Lagerungsverhältnisse der kohlenführenden Raibler Schichten von Oberlaibach	07	II	122
— Das Gebiet zwischen dem Karst und dem Zuge der Julischen Alpen	09	I	416
— *Bemerkungen über die Ammoniten aus den Asphaltschiefern der Bara-Bai (Buru)*	*BB*	*XXII*	*686*
Kossmat, F. und C. v. John: Das Mangan-Eisenerzlager von Macskamezö in Ungarn	07	I	78
Kovalew, P., siehe Koniouchewsky, L.			
Krämer, R.: Kleinasiatische Smirgelvorkommnisse	08	II	297
Krahmann, M.: Ueber Lagerstätten-Schätzungen, im Anschluß an eine Beurteilung der Nachhaltigkeit des Eisenerzbergbaues an der Lahn	07	I	250
— Das Erz- und Flußspatvorkommen am Rabenstein im Sarntal (Südtirol)	08	I	242
Kramberger, Gorjanovic, K., siehe Gorjanovic-Kramberger, K.			
Kranz, W.: Geologie des Strangenbergs bei Rufach (Oberelsaß)	*BB*	*XXVI*	*44*
— *Hebung oder Senkung des Meeresspiegels?*	*BB*	*XXVIII*	*574*
— *Ein Vorkommen von seitlichem Zusammenschub im Buntsandstein der Vogesenvorberge von Sulzmatt; Hebungen oder Senkungen in Massengebirgen?*	*CBl*	*1907*	*489*
— *Bemerkungen zur 7. Auflage der geologischen Uebersichtskarte von Württemberg, Baden, Elsaß usw. nebst Erläuterungen von C. Regelmann*	*CBl*	*1908*	*556. 589. 610. 651*
Krasser, F.: Kritische Bemerkungen und Uebersicht über die bisher zutage geförderte fossile Flora des unteren Lias der österreichischen Voralpen	08	II	448

	Jahrg.	Bd.	Seite
Krasser, F.: Fossile Pflanzen aus Transbaikalien, der Mongolei und Mandschurei	1909	I	463
— Die Diagnosen der von Dionysius Stur in der obertriadischen Flora der Lunzer Schichten als Marattiaceenarten unterschiedenen Farne	09	I	464
— Zur Kenntnis der fossilen Flora der Lunzer Schichten	09	II	156
Kraus, E. H.: The occurrence of Celestite near Syracuse, N. Y., and its relation to the vermicular limestones of the Salina Epoch	1905 II 192	07	II 223
— Occurrence and distribution of Celestite-bearing rocks	1906 II 345	07	II 223
— Interpretation of the chemical composition of the mineral Benitoite		08	II 303
— Essentials of crystallography		CBl 1907	154
Kraus, E. H. and C. W. Cook: Datolite from Westfield, Massachusetts		07	II 24
Kraus, E. H. und W. F. Hunt: Das Vorkommen von Schwefel und Cölestin bei Maybee, Michigan	1906 II 345	07	I 33
— — Die Beziehungen von cölestinführenden Gesteinen zur Bildung von Schwefel und Schwefelwasserstoff		06	II 345
Krause, P. G.: Ueber das Vorkommen von Kimmeridge in Ostpreußen		05	I 129
— Ueber Endmoränen im westlichen Samlande		06	I 119
— siehe Kaunhoven, F.			
Kraut, siehe Gmelin-Kraut.			
Krebs, W.: Geophysikalische Gesichtspunkte bei Beurteilung des Wassereinbruchs in die Mansfelder Kupferschiefergruben vom Oktober 1907		09	II 372
Krecke, F.: Sind die Roteisensteinlager des nassauischen Devon primäre oder sekundäre Bildungen?		06	II 225
Krejči, A.: Das Gold aus der Otava bei Písek und die vergesellschafteten Mineralien		05	I 365
— Fluorit von Topělec bei Písek		05	II 178
— Zirkon und Monazit von Písek		08	I 332
— „Havírky", Píseker Goldbergbau		08	I 403
— Das Gold vom Otavaflusse		09	I 334
Krenkel, E., siehe Dacqué, E. und E. Krenkel.			
Krenner, J.: Manganspinelle in der Hochofenschlacke von Menyháza		08	II 168
— Die Kristallform und optischen Eigenschaften des Schuller'schen Arsensulfids. Ueber den Dimorphin der Solfatara in den Phlegräischen Feldern		08	II 294
Kretschmer, F.: Die nutzbaren Minerallagerstätten der archäischen und devonischen Inseln Westmährens		05	II 234
— Neues Vorkommen von Manganerz bei Sternberg in Mähren	1906 I 332	07	I 78
— *Neue Mineralien vom Eisenerzbergbau Gobitschau nächst Sternberg (Mähren)*		*CBl 1905*	*195*
— *Die Zeolithe am Fellberge in Petersdorf nächst Zöptau (Mähren)*		*CBl 1905*	*609*
— *Die Leptochlorite der mähr.-schles. Schalsteinformation*		*CBl 1906*	*293*
— *Mineralien, Eisenerze und Kontaktgebilde auf dem Schalsteinzuge Sternberg—Bennisch*		*CBl 1907*	*289. 321*
Kreutz, St.: Ueber die Ausbildung der Kristallform bei Calcitzwillingen		08	I 176
— Kalkspatzwilling von Brevig		09	II 190
— Ueber Zwillingskristalle des Calcites von Guanajuato (Mexiko)		09	II 190

	Jahrg.	Bd.	Seite
Kristafowitsch, N.: Bibliographische Notiz zu dem Artikel von Herrn L. Iwanoff: „Ein wasserhaltiges Calciumcarbonat aus der Umgebung von Nowo-Alexandria, Gouv. Lublin“	1907	II	358
Krogh, A.: Tension de l'acide carbonique dans la mer et influence réciproque de l'acide carbonique de la mer et de celui de l'atmosphère	07	II	54
Krumbeck, L.: Die Brachiopoden- und Molluskenfauna des Glandarienkalkes	06	I	278
— *Kurze vorläufige Mitteilung über eine neue obertriadische Fauna aus den Molukken*	*CBl*	*1908*	*562*
Krusch, P.: Die Zusammensetzung der westfälischen Spaltenwässer und ihre Beziehungen zur rezenten Schwerspatbildung	06	II	73
— Das Goldvorkommen von Roudny in Böhmen	06	II	380
— Inwieweit lassen sich die Erze als Leiterze benutzen?	08	I	400
— Die Einteilung der Erze mit besonderer Berücksichtigung der Leiterze sekundärer und primärer Teufen	09	I	76
— Die Untersuchung und Bewertung von Erzlagerstätten	CBl	1908	46
Kruse, J.: Das Vorkommen und die Eigenschaften des Anglesites aus dem Siegerlande	*BB*	*XXVII*	*541*
Kryžanowsky, W.: Asbest, seine Lagerstätten, Ausbeute, Bearbeitung und die begleitenden Mineralien	09	II	346
— Lagerstätte von Serpentinasbest auf den Datschen Bereosowskaja, Kamenskaja und Monetnaja im Ural	09	II	346
Ktenas, K. A.: Die Einlagerungen im kristallinen Gebirge der Kykladen auf Syra und Siphnos	09	II	223
— *Ueber die eruptiven Bildungen des Parnesgebirges in Attika*	*CBl*	*1909*	*557*
Küppers, E.: Bemerkungen zu „Franz Treubert, Die Sonne als Ursache der hohen Temperatur in den Tiefen der Erde, der Aufrichtung der Gebirge und der vulkanischen Erscheinungen. München 1904“	*CBl*	*1905*	*82*
Küster, F. W.: Lehrbuch der allgemeinen physikalischen und theoretischen Chemie	CBl	1906	748
Küster, H.: Zur Morphographie und Siedelungskunde des oberen Nahegebiets	09	I	199
Kuntz, J.: Kupfererzvorkommen in Südwestafrika	06	I	233
Kunz, G. F.: Native Bismuth and Bismite from Pala, California	05	I	17
— Heber Reginald Bishop and his Jade Collection	05	I	29
— The Heber R. Bishop collection of Jade and other hard stones	05	I	29
— Californite (Vesuvianite)	05	I	34
— The production of precious stones in 1903	06	I	356
— The production of precious stones in 1904	07	II	41
— Gems. Jewelers' Materials and Ornamental Stones of California	07	II	41
— Henri Moissan	09	I	1
— The Diamond and Moissanite, Natural, Meteoric and Artificial	09	I	7
— Diamond in Arkansas	09	I	164
— siehe Baskerville, Ch.			
Kunz, G. F. and Ch. Baskerville: The Action of Radium, Roentgen Rays and Ultra-Violet Light of Minerals and Gems	05	I	8
Kunz, G. F. and H. S. Washington: Note on the forms of Arkansas diamonds	09	I	164
Kunz, J.: Ueber die magnetischen Eigenschaften des Hämatits	*07*	*I*	*62*

	Jahrg.	Bd.	Seite
Küppert, H.: Chemische Unterrichtsversuche: 1. Reduktion des Calciumcarbonats. 2. Glühen des Kalkspats	1908	I	178
Kurnakow, N. S. und S. F. Zemczuznyi: Isomorphismus der Kalium- und Natriumverbindungen	08	II	149
Kusakabe, S.: Modulus of Rigidity of Rocks and Hysteresis Function	06	I	199
— Modulus of Elasticity of Rocks and Velocities of seismic Waves with a Hint to the Frequency af After-Shocks	08	I	47
Kynaston, H.: Notes on contact metamorphism round the Cheviot granite	05	I	430
— On some tuffs associated with the andesitic lavas of Lorne	05	I	431

L.

Laar, J. J. van: Ueber den Verlauf der Schmelzkurven bei festen Lösungen (oder isomorphen Gemischen) in einem speziellen Fall	07	II	22
Labrie, J.: Les dépôts aquitaniens et les limites des mers aquitaniennes en Entre-deux-mers	05	II	433
Laby, T. H., siehe Mawson, D.			
Lackner, Ant.: Die Schwefelkiesgrube in Kazanesd, Komitat Hunyad	06	I	234
Lacroix, A.: Sur une nouvelle espèce minérale	05	I	33
— Les éruptions de la Martinique	05	I	224
— Sur les granites à aegyrine et riebeckite de Madagascar et sur leurs phénomènes de contact	05	I	248
— Sur quelques faits d'endomorphisme observés dans les ruines de St. Pierre (Martinique)	05	I	255
— La cordiérite dans les produits éruptifs de la Montagne Pelée et de la Soufrière de Saint-Vincent	05	I	255
— Les enclaves basiques des volcans de la Martinique et de Saint-Vincent	05	I	255
— Sur une pseudomorphose d'insecte en nouméite	05	I	365
— Observations sur la cristallisation du zinc par recuit, faites dans les ruines incendiées de Saint-Pierre (Martinique)	05	I	368
— A propos de la plumasite, roche à corindon	05	I	372
— Sur le gisement de la calcédoine et des bois silicifiés de la Martinique	05	I	373
— Matériaux pour la minéralogie de Madagascar. Les roches alcalines caractérisant la province petrographique d'Ampasindava	05	I	434
— Note sur la minéralogie de Tahiti	06	I	71
— Sur un nouveau minéral, la giorgiosite	06	II	13
— Sur un cas curieux de cristallisation du chlorure de sodium au cours de l'éruption de la Montagne Pelée	06	II	157
— Observation faites à la Montagne Pelée sur les conditions président à la production de la tridymite dans les roches volcaniques	06	II	160
— Sur un gisement de redontite à la Martinique	06	II	171
— Sur la grandidiérite	06	II	171
— Le sulfate de soude des fumerolles secondaires à haute température de la Montagne Pelée	07	I	32
— Matériaux sur les météorites pierreuses	07	I	357
— Sur un nouveau type pétrographique représentant la forme de profondeur de certaines leucotéphrites de la Somma.	07	II	403

	Jahrg.	Bd.	Seite
Lacroix, A.: Conclusions à tirer de l'étude des enclaves homoeogènes pour la connaissance d'une province pétrographique. — Santorin	1907	II	406
— Les carbonates basiques de magnésie de l'éruption de Santorin en 1866	07	II	406
— Sur quelques roches ijolitiques du Kilima-Ndjaro	07	II	412
— Sur les microgranites alcalins du territoire de Zinder	07	II	413
— Les roches éruptives basiques de la Guinée francaise	07	II	414
— Les syenites néphéliniques des îles de Los (Guinée française)	07	II	414
— Les conglomérats des explosions vulcaniennes du Vésuve, leurs minéraux, leur comparaison avec les conglomérats trachytiques du Mont-Dore	08	I	42
— Les avalanches sèches et les torrents boueux de l'éruption récente du Vésuve	08	I	43
— Sur l'éruption du Vésuve et en particulier sur les phénomènes explosifs	08	I	43
— Sur la constitution minéralogique du dôme récent de la Montagne Pelée	08	I	46
— Sur les facies de variation de certaines syénites néphéliniques des îles de Los	08	I	226
— Sur la transformation de roches volcaniques en phosphate d'alumine sous l'influence de produits d'origine physiologique	08	I	227
— Les cristaux de sylvite des blocs rejetés par la récente éruption du Vésuve	08	I	326
— Sur une espèce nouvelle des fumerolles à haute température de la récente éruption du Vésuve	08	I	327
— Sur quelques produits des fumerolles de la récente éruption de Vésuve et en particulier sur les minéraux arsénifères et plombifères	08	I	328
— La météorite de Saint-Christophe-la Chartreuse près Rocheservière (Vendée), 5 Novembre 1841	08	II	178
— Les produits laviques de la récente éruption du Vésuve	08	II	211
— Note sur la minéralogie du pays Mahafaly (Madagascar)	09	I	71
— Sur la constitution minéralogique du dôme récent de la Montagne Pelée	09	I	71
— Sur l'existence du fluorure de sodium cristallisé comme élément des syénites néphéliniques des îles de Los	09	I	164
— Sur les minéraux des fumerolles de la récente éruption de l'Etna et sur l'existence de l'acide borique dans les fumerolles actuelles du Vésuve	09	I	165
— Sur une nouvelle espèce minérale provenant du Congo français	09	I	191
— Sur deux gisements nouveaux de métavoltite	09	I	194
— Sur la constitution pétrographique du massif volcanique du Vésuve et de la Somma	09	I	221
— Les phénomènes de contact du trachyte phonolitique du Griounot (Cantal)	09	II	228
— La Montagne Pelée et ses éruptions	CBl 1906		81
Lagatu, H., siehe Delage, A.			
Lagerheim, G.: Untersuchungen über fossile Algen. I.—II.	05	II	330
— Om lämningar af Rhizopoder, Heliozoer och Tintinnider i Sveriges och Finlands lakustrina kvartäraflagringar	09	I	280
— Om Quadrula subglobosa Lag.	09	I	280
Lake, J. V.: The Deposition of Alluvial Gold	05	I	257
Lake, P.: The Circular Form of Mountain Chains	05	I	231
— Atmospheric erosion in Corsica	06	I	45

	Jahrg.	Bd.	Seite
Lambe, L. M.: The lower jaw of Dryptosaurus incrassatus Cope	1905	II	131
— On Dryptosaurus incrassatus Cope, from the Edmonton series of the North West Territory	05	II	131
— Description of new species of Testudo and Baena with remarks on some cretaceous forms	06	II	137
— On a new Crocodilian genus and spezies from the Judith River formation of Alberta	09	I	450
— siehe Osborn, H. F.			
Lambert, J.: Échinides in Note sur l'Infralias de la Vendée et des deux Sèvres	05	II	147
— Note sur un Codiopsis nouveau de la craie de Touraine	05	II	149
— Note sur quelques nouveaux échinides crétacés de Madagascar	05	II	149
— Description des échinides crétacés de la Belgique. I. Étude monographique sur le genre Echinocorys	06	I	155
— Souvenirs géologiques sur le Sénonais	06	I	290
— Échinides du sud de la Tunisie (environs de Tatahouine)	07	II	156
— Notes sur quelques échinides éocèniques de l'Aude et de l'Hérault	07	II	156
— Étude sur les échinides de la Molasse de Veuce	07	II	156
— Les formes inférieures de la vie dans les faluns de Touraine	09	II	480
— Recherches sur le genre Amphiope	09	II	481
— Sur un oursin de Timor	09	II	482
— Sur un Plesiolampas de l'Afrique centrale	09	II	482
Lambert, J. et L. H. Savin: Note sur deux échinides nouveaux de la molasse burdigalienne dite de Veuce (Alpes maritimes)	07	II	155
— — Notes sur deux échinides nouveaux des Alpes maritimes 1907 II 155	09	II	481
Lambert, J. et P. Thiéry: Revision des échinides jurassiques du département de la Haute-Marne	09	II	480
Lambert, P. et P. Lemoine: Sur deux oursins nouveaux du jurassique inférieur de Madagascar	09	II	482
Lamothe, de: Les anciennes lignes de rivage du Sahel d'Alger	1907	II	50. 396
— Les terrasses de la vallée du Rhône en aval de Lyon	08	I	221
Lamy, E.: Liste des Arches conservées avec étiquettes de Lamarck dans les collections du Musée de Paris	05	I	358
Landauer, J.: Die Lötrohranalyse	CBl	1908	183
Landin, J.: Radium in Schweden	06	I	326
Lane, A. C.: The role of possible eutectics in rock magmas	06	II	197
— Die Korngröße der Auvergnosen	07	II	215
— Studies of the Grain of Igneous Intrusives	07	II	416
— Porphyritic Appearence of Rocks	07	II	416
— The geologic day	08	II	339
— The chemical evolution of the ocean	08	II	345
— Mine Waters	09	II	78
Lang, J.: Beitrag zur Kenntnis der Erzlagerstätte am Schauinsland	05	II	78
Lang, R.: Ueber die Lagerung und Entstehung des mittleren Keupers im südlichen Württemberg	*CBl*	*1909*	*41*
— Ueber Kaolinit in Sandsteinen des schwäbischen mittleren Keupers	*CBl*	*1909*	*596*
Lang, W. D.: The zone of Hoplites interruptus (Bruguière) at Black Ven, Charmouth	06	II	264

	Jahrg.	Bd.	Seite
Lange, A.: Ueber das Verhalten von kohlensaurem Kalk zu Kobaltsalzen	1905	II	358
Langenhan, A.: Schädel eines Höhlenwolfs im Kitzelberg bei Kauffung im Katzbachtal	05	I	504
— Funde fossiler Tierreste am Kitzelberg bei Kauffung im Katzbachtal	05	I	504
Langerfeld, H.: Beiträge zur Kenntnis der strukturellen und mineralogischen Eigentümlichkeiten der granitischen Gesteine der Zinnerzlagerstätten in Cornwall	*BB XXVIII 1*		
Langguth, E.: Leucit, ein Rohstoff für Kali- und Aluminiumdarstellung	07	I	262
Langley, P. S.: The greatest flying creature. (Introducing a paper by F. A. Lucas)	05	I	516
Lapparent, A. de: Sur la signification géologique des anomalies de la gravité	05	I	45
— A propos des couches rouges du Limbourg	05	I	455
— Les roches rouges du bassin campinois	05	I	455
— Note sur les Calcaires à Productus du Salt Range	05	II	282
— Importantes découvertes paléontologiques dans le Soudan français	07	II	264
Lapparent, J. de: Sur deux modes d'individualisation de l'albite dans le massif de microgranite de Genis (Corrèze)	09	II	229
Lasaulx, A. v., siehe Cornu, F.			
Láska, W.: Ziele und Resultate der modernen Erdforschung. IV. Das Erdinnere	05	I	222
Laßwitz, K.: Die Kreide-Ammoniten von Texas (Collectio F. Roemer)	06	I	313
Laube, G. C.: Die böhmischen Bitterwässer	06	II	191
Lauby: Sur le niveau diatomifère du ravin des Egravats près le Mont Dore	05	II	432
Launay, F. et E. Maillet: Sur le débit probable des sources dans les bassins de la Seine pendant le second semestre de 1905	07	II	426
Launay, L. de: Sur la réduction d'oligiste en magnétite par les hydrocarbures	05	I	258
— Sur l'association géologique du fer et du phosphore et la déphosphoration des minérais de fer en métallurgie naturelle	06	I	48
— Sur le rôle du phosphore dans les gîtes minéraux	06	I	49
— Sur la répartition des éléments chimiques dans la terre et sa relation possible avec leurs poids atomiques	06	I	50
— La formation charbonneuse supracrétacée des Balkans. Annexe I. H. Douvillé: Sur quelques fossiles de la région à charbon des Balkans. Annexe II. R. Zeiller: Sur quelques empreintes végétales de la formation charbonneuse supracrétacée des Balkans	06	I	428
— Notes sur la théorie des gîtes minéraux. I. La géologie du graphite. II. Le rôle du titane en géologie. III. Observations sur les kaolins de Saint-Yrieix	07	II	240
— L'origine et les caractères des gisements de fer scandinaves, Taberg, Routivara, Svappavara, Gellivara, Grängesberg, Norberg, Dannemora, Dunderslandsdal etc.	07	II	243
— Observations géologiques sur quelques sources thermales	08	II	68
— L'hydrologie souterraine de la Dobroudja bulgare	08	II	223
— Sur la rencontre du granite dans la cheminée diamantifère de Beers	09	II	236

	Jahrg.	Bd.	Seite
Launay, L. de: L'or dans le monde. Géologie, extraction, économie politique	CBl	1907	696
Laur, F.: Le terrain houiller en Lorraine française	1907	II	283
Laurent, L.: Les progrès de la paléobotanique angiospermique dans la dernière décade	09	I	144
Laus, H.: Die mineralogisch-geologische und prähistorische Literatur Mährens und Oesterr.-Schlesiens von 1897—1904	06	I	348
Lavard, N. F.: Further excavations on a palaeolithic site in Ipswich	07	I	295
Laville, A.: Les Pseudo-Éolithes du Sénonien et de l'Éocène inférieur	08	I	282
— Sur le dernier sol paléolithique aux environs de Paris	08	I	285
— Le Pliocène à Elephas meridionalis Nesti dans le département de la Seine	08	I	435
— Gisement Chelléo-Moustiérien d'Arcueil	08	I	437
Laville et Rollain: Sur la présence du Spermophilus superciliosus Kp. dans ses terriers de la fin du quaternaire aux Hautes-Bruyères (Seine)	08	I	285
Lavis, H. J. Johnston, siehe Johnston-Lavis, H. J.			
Lawson, A. C.: The Geomorphogeny of the Upper Kern Basin	05	II	101
— The eparchaean Interval. A criticism of the use of the term Algonkian	05	II	229
— Plumasite, an oligoclas-corundum rock near Spanish Peak, California	07	II	76
— The orbicular gabbro at Dehesa, San Diego Co., California	07	II	77
Lazarević, M.: Kristallisierter Chromit aus Südserbien	09	II	335
— siehe Cornu, F. und Lazarević, M.			
Leardi, Z.: Foraminiferi eocenici di S. Gensio (Collina di Torino)	07	I	328
— Il Conulites aegyptiensis Chapman e la Baculogypsina sphaerulata (Parker e Jones) di S. Genesio	07	I	328
— Il genere Rupertia	07	I	328
Le Chatelier, H. et S. Wologdine: Note sur la densité du graphite	09	I	333
Leclère, A., siehe Termier, P.			
Lecointe, G.: Expédition antarctique Belge S. Y. Belgica 1897—1899. Travaux hydrographiques et instructions nautiques	09	II	97
Ledebur, A.: Ueber die Bedeutung der Freiberger Bergakademie für die Wissenschaft des 18. und 19. Jahrhunderts	07	I	371
Leduc, A.: Sur le diamagnetisme du bismuth	06	II	154
Lee, G. W.: Contribution à l'étude stratigraphique et paléontologique de la chaîne de la Faucille	06	I	438
— siehe Collet, L. W.			
Leeds, E. T.: Notes on Metriorhynchus superciliosus Desl.	08	II	459
— On Metriorhynchus brachyrhynchus (Desl.) from the Oxford Clay near Petersborough	09	I	442
Leenhardt, Ch.: Sur la vitesse de cristallisation des solutions sursaturées	07	I	3
Lees, J. H.: The skull of Palaeorhinus	08	II	440
Legendre, R.: Sur la teneur en acide carbonique de l'air marin	08	I	53
Lehder, J.: Die Phosphoritkonkretionen des Untersten Culms in Ostthüringen und dem Vogtlande	*BB XXII 48*		

	Jahrg.	Bd.	Seite
Lehmann, O.: Näherungsweise Bestimmung der Doppelbrechung fester und flüssiger Kristalle	1906	II	149
— Drehung der Polarisationsebene und der Absorptionsrichtung bei flüssigen Kristallen	06	II	149
— Die Gleichgewichtsform fester und flüssiger Kristalle	06	II	150
— Fließend-kristallinische Trichiten, deren Kraftwirkungen und Bewegungserscheinungen	06	II	151
— Homöotropie und Zwillingsbildung bei fließend-weichen Kristallen	06	II	151
— Scheinbar lebende weiche Kristalle	06	II	151
— Bericht über die Demonstration der flüssigen Kristalle	06	II	153
— Fließende Kristalle und Organismen	08	I	320
— Die Struktur der scheinbar lebenden Kristalle	08	I	321
— Dampf- und Lösungstension an krummen Flächen	08	I	321
— Die Farbenerscheinungen bei fließenden Kristallen	08	I	322
— Die Kontinuität der Aggregatzustände u. die flüssigen Kristalle	08	I	322
— Stoffe mit drei flüssigen Zuständen, einem isotrop- und zwei kristallinisch-flüssigen	08	I	323
— Erweiterung des Existenzbereiches flüssiger Kristalle durch Beimischungen	08	I	323
— Die Gestaltungskraft fließender Kristalle. Vortrag von der 78. Naturforscherversammlung zu Stuttgart	08	I	323
— Flüssige und scheinbar lebende Kristalle	08	I	323
— Die Bedeutung der flüssigen und scheinbar lebenden Kri-Kristalle für die Theorie der Molekularkräfte	08	I	323
— Molekulare Drehmomente bei enantiotroper Umwandlung	08	I	324
— Scheinbar lebende flüssige Kristalle	09	I	4
— Flüssige Kristalle und ihre Analogien zu den niedrigsten Lebewesen	09	I	4
— Die scheinbar lebenden Kristalle. Anleitung zur Demonstration ihrer Eigenschaften sowie ihrer Beziehungen zu anderen flüssigen und zu den festen Kristallen in Form eines Dreigesprächs	09	I	4
— Ueber flüssige Kristalle. Erwiderung auf die Aeußerungen der Herren E. Riecke, B. Weinberg, W. Nernst und K. Fuchs	09	I	5
— Flüssige Kristalle und mechanische Technologie	09	I	5
— Bemerkung zu den Abhandlungen von D. Vorländer und Ada Prins über flüssige Kristalle	09	I	332
— Zur Geschichte der flüssigen Kristalle	09	I	332
— Flüssige Kristalle sowie Plastizität von Kristallen im allgemeinen, molekulare Umlagerungen und Aggregatzustandsänderungen	CBl	1905	207
Lehmann, P.: Wanderungen und Studien in Deutschlands größtem binnenländischem Dünengebiet	08	I	98
Lehner, V., siehe Weidman, S.			
Leiß, C.: Ueber ein neues und einfaches Refraktometer	05	I	5
— Neues Mikroskopmodell Ia für mineralogische und petrographische Studien	08	II	146
— Neues kleines Kristallrefraktometer (Modell III)	09	II	159
— Neue verbesserte Goniometerlampe	09	II	160
Leith, C. K.: Rock cleavage	06	II	56
— Genesis of the Lake Superior Iron Ores	09	I	390
— Iron Ore Reserves	09	I	390
— The Geology of the Cuyuna Iron Range, Minnesota	09	I	394
— The metamorphic cycle	09	II	63

	Jahrg.	Bd.	Seite
Leitmeier, H.: Der Basalt von Weitendorf in Steiermark und die Mineralien seiner Hohlräume	*BB*	*XXVII*	*219*
— Calcitkristalle in einem marmorisierten Kalkeinschlusse des Basaltes von Weitendorf in Steiermark	*CBl*	*1908*	*257*
— Beiträge zur Kenntnis des Verhältnisses zwischen Quarz, Chalcedon und Opal	*CBl*	*1908*	*632*
— Eine Opalbreccie von Gleichenberg in Steiermark	*CBl*	*1908*	*716*
— Berichtigung zu Leitmeier: Eine Opalbreccie aus Gleichenberg in Steiermark	*CBl*	*1909*	*76*
Lelean, P. S.: Eocene outcrop in Central Africa	1907	II	265
Lemoine, P.: Sur la présence de l'Oligocène à Madagascar	06	I	101
— Le Jurassique d'Analalava (Madagascar) d'après les envois de M. Colcanap	06	I	284
— Études géologiques dans le Nord de Madagascar	07	I	427
— Quelques observations sur le bord nord du massif de la Vanoise	09	II	87
— siehe Boule, M.			
— siehe Chautard, J. et Lemoine, P.			
— siehe Gentil, L.			
— siehe Lambert, J. et Lemoine, P.			
Lemoine, P. et R. Douvillé: Sur le genre Lepidocyclina Gümbel	05	II	489
— — Remarques à propos d'une note de M. Prever sur les Orbitoïdes	07	I	157
Lenk, H.: Bemerkungen zu W. Branca's „Widerlegung"	*CBl*	*1909*	*321*
Lenz, R.: Chemische Untersuchung über Laterit	09	II	347
Leonhard, siehe Schumann.			
Leppla, A.: Blatt Preßberg—Rüdesheim	07	II	88
— Die Bildsamkeit (Plastizität) des Tones	08	II	217
— siehe Holzapfel, E.			
Leprince-Ringuet, F.: Mesures géothermiques effectuées dans le bassin du Pas-de-Calais	09	I	44
Lepsius, R.: Geologie von Deutschland. II. Teil. Das östliche und nördliche Deutschland	05	II	255
Leriche, M.: Le Pteraspis de Lievin (Pas-de-Calais)	05	I	340
— Sur lâge des sables à Unios et Térédines des environs d'Epernay et sur la signification du terme Sparnacien	05	II	119
— Sur un fossile nouveau (Tortisipho Huftieri) du Lutétien de l'Avesnois	05	II	119
— Observations sur la Géologie de l'île de Wight	05	II	431
— Le Lutétien de l'Avesnois	05	II	432
— Revision de la Faune ichthyologique des terrains crétacés du Nord de la France	05	II	482
— Sur la signification des termes Landénien et Thanétien	06	I	116
— Observations sur Ostrea heteroclita Defrance	06	I	155
— Sur le synchronisme des assises éocènes dans le Bassin anglo-franco-belge	06	I	431
— Observations sur la classification des assises paléocènes et éocènes du basin de Paris	06	II	115
— Sur des corps vermiformes provenant de l'argile de Boom (Rupélien) et attribuales à des Annélides	08	I	134
— Observations sur les terrains tertiaires des environs de Reims et d'Epernay	08	II	91
— Note sur Archimylacris Desaillyi n. sp. le premier insecte trouvé dans le Bassin Houiller du Nord et du Pas de Calais	08	II	110

	Jahrg.	Bd.	Seite
Leroy, O. E., siehe Adams, Fr. D. and Leroy, O. E.			
Le Royer, A. Brun et Collet: Synthèse du périclase	1906	I	331
Lespineux, G.: Mine de witherite de Settlingstone (Northumberland)	08	I	180
Lessing, F. Loewinson, siehe Loewinson-Lessing, F.			
Letalle: Transparence et couleur de l'eau de mer dans la Manche	09	II	209
Leteur, F.: Traité élémentaire de minéralogie pratique	CBl 1907		761
Leuchs, Dr. K.: Ueber einige Invertebraten aus dem Perm von Texas	*CBl 1908*		*684*
Leuthardt, F.: Die Keuperflora von Neuewelt bei Basel. I. Teil: Phanerogamen. II. Teil: Kryptogamen	07	I	492
— Beiträge zur Kenntnis der Hupperablagerungen im Basler Jura	09	I	388
— Die Crinoidenbänke im Dogger der Umgebung von Liestal	05	I	298
Leutz, H.: Die süddeutschen Erdbeben im Frühjahre 1903	09	I	49
Levat, E. D.: Richesses minérales des possessions russes en Asie Centrale	07	II	247
Levi, C.: Una nuova località per Ancistrodon splendens DE KONINCK sp.	05	II	482
Levy, M. G., siehe Nasini, R.			
Levy, Michel, A., siehe Michel-Levy, A.			
Lewinski, J.: Les dépôts jurassiques de la Chaîne de Sulejów	08	I	262
— Utwory jurajskie koło stacyi Chęciny i ich fauna. — Les dépôts jurassiques près la station Chęciny et leur faune	08	II	89
Lewis, J. V.: Copper Deposits in the New Jersey Triassic	09	II	397
— An Ontario Lead Deposit	08	I	247
Lewis, W. J.: On some twins of calcite: and on a simple method of drawing crystals of calcite and other rhombohedral crystals, and of deducing the relations of their symbols	09	I	179
Lichtenstein, L., siehe Hoff, J. H. van't.			
Liebisch, Th., A. Schönflies und O. Mügge, Kristallographie	CBl 1906		552
Liebus, A.: Ueber die Foraminiferenfauna der Tertiärschichten von Biarritz	06	II	311
Lienenklaus, E.: Ueber das Alter der Sandsteinschichten des Hüggels	06	II	420
— Die Ostracoden des Mainzer Tertiärbeckens	06	II	138
Liesle, T. N., siehe Seward, A. C.			
Liffa, A.: Bericht über die agrogeologische Aufnahme im Jahre 1901	07	I	276
Limbrock, H., siehe Kleinschmidt, A. und Limbrock, H.			
Lincio, G.: Del Rutilo dell' Alpe Veglia	06	I	20
— Sul berillo di Vall' Antoliva e di Cosasca	07	I	204
— *Das neue Leitz'sche Mikroskopmodell A*	*BB*		*XXIII 163*
— *Beitrag zur Kenntnis alpiner Molybdänitvorkommnisse*	*CBl 1905*		*12*
— *Ueber einen Mineralgang im Gneis*	*CBl 1905*		*15*
Linck, G.: Orthoklas aus dem Dolomit vom Campolongo	*07*	*I*	*21*
— Ueber die heteromorphen Modifikationen der Phosphor-Arsengruppe	08	II	155
— Tabellen zur Gesteinskunde für Geologen, Mineralogen, Bergleute, Chemiker, Landwirte und Techniker	CBl 1905	59	CBl 1907 91

	Jahrg.	Bd.	Seite
Linck, G.: Petrographische Tabellen (russ. Uebersetzung) . .	CBl	1906	249
— Goethe's Verhältnis zur Mineralogie und Geognosie . . .	CBl	1906	586
— *Ueber die äußere Form und den inneren Bau der Vulkane, mit einem Anhang über die Dünen*		*Festband*	*91*
Lincoln, F. Ch.: Magmatic Emanations		1908 II	219
Lindemann, B.: Petrographische Studien in der Umgebung von Sterzing in Tirol		*BB XXII*	*454*
Lindgren, W.: A Geological Reconnaissance across the Bitterroot Range and Clearwater mountains in Montana and Idaho		05 II	200
— Ore-Deposition and Deep Mining		07 I	405
— Occurrence of Albite in the Bendigo Veins		07 II	22
— The genesis of the copper-deposits of Clifton-Morenci, Arizona		07 II	419
— Metasomatic Processes in the Gold Deposits of Western Australian		08 I	405
— The Relation of Ore-deposition to Physical Conditions . .		08 II	375
— Some Gold and Tungsten Deposits of Boulder County, Colorado		09 I	234
— Present Tendencies in the Study of Ore-deposits		09 II	78
— siehe Graton, L. C.			
Lindgren, W. and W. F. Hillebrand: Minerals from the Clifton-Morenci District, Arizona		06 I	172
Lindgren, W. and F. L. Ransome: Report of Progress in the Geological Resurvey of the Cripple Creek District, Colorado		09 I	233
Lindsey, C. R.: Note on the occurrence of Brookite in the Cleveland ironstone		06 II	329
Lindström, G.: Ueber das sogen. Tellurwismut von Riddarhyttan		07 II	356
Lines, E. F., siehe Fuller, M. L. etc.			
Linstow, O. v.: Die Tertiärablagerungen im Reinhardswalde bei Kassel		05 II	286
— Ueber Verbreitung und Transgression des Septarientons (Rupeltons) im Gebiet der mittleren Elbe		05 II	287
— Neuere Beobachtungen aus dem Fläming und seinem südwestlich gelegenen Vorlande		05 II	443
— Ueber die Ausdehnung der letzten Vereisung in Mitteldeutschland		07 I	116
— Die Grundwasserverhältnisse zwischen Mulde und Elbe südlich Dessau und die praktische Bedeutung derartiger Untersuchungen		07 I	262
— Löß und Schwarzerde in der Gegend von Köthen 1909 I 109		09 II	107
— Ueber Kiesströme vielleicht interglazialen Alters auf dem Gräfenhainichen-Schmiedeberger Plateau und in Anhalt 1909 I 110		09 II	108
— Beiträge zur Geologie von Anhalt. 1.		09 I	429
— Ueber Ockerkalke in der Nähe von Kemberg bei Wittenberg	C9	II	107
— Das Kupferschieferlager in Anhalt		09 II	401
— *Anstehendes Silur in der Mark Brandenburg und in der Provinz Sachsen*	*CBl*	*1907*	*193*
— siehe Denckmann, A.			
Lippitsch, K.: Stereometrie hemiedrischer Formen des regulären Systems		07 I	181
Lippmann, G.: Sur l'inscription des mouvements seismiques		07 II	46
— Mesure de la vitesse de propagation des tremblements de terre		07 II	46

	Jahrg.	Bd.	Seite
Lissajous, M.: Sur la forme de l'ouverture d'Oecoptychius refractus Haan	1906	I	315
— Échinides jurassiques des environs de Macon	07	II	156
Lissauer: Die Sammlung der „Tertiär-Silex" des Herrn Klaatsch	06	I	130
Lister, J. J.: On the Dimorphism of the English Species of Nummulites, and the Size of the Megalosphere in Relation to that of the Microspheric and Megalospheric Tests in this Genus	07	I	329
Liversidge, A.: Meteoric Dusts, New South Wales	05	I	220
— The Boogaldi, Baratta No. 2 und 3, Gilgoin No. 1 und 2, and Eli Elwah or Hay Meteorites, New South Wales	05	I	395
Lloyd Morgan, C. and S. H. Reynolds: The Igneous Rocks associated with the Carboniferous Limestone of the Bristol District	05	II	388
Lockhart, L. B., siehe Baskerville, Ch.			
Lockyer, W.: Mont Pelée eruption and dust falls	05	I	404
Loczka, J.: Chemische Analyse des Lorandit von Alchar in Makedonien und des Claudetit von Szomolnok in Ungarn	1905	I	371. 372
— Chemische Analyse eines in der Hochofenschlacke von Menyháza gebildeten Manganspinells	08	II	168
Lodin, A.: Observation sur le mode de formation des amas blendeux encaissés dans les terrains stratifiés	08	I	79
Löffler, R.: Ueber optische Anomalien des gesteinsbildenden Apatits	*CBl 1909*		*666*
Löfstrand, G.: Slättbergs och Kuso nickelgrufvor	05	I	98
Loehr, v.: Mitteilungen über die Fundorte von Seiser Zeolithen	07	II	28
Lönberg, E.: On some fossil remains of a Condor from Bolivia	08	II	435
Lörenthey, E.: Ueber das Alter des Schotters am Sashalom bei Rákosszentmihály 1905 I 470	05	II	435
— Neuere Beiträge zur tertiären Decapodenfauna Ungarns	05	II	317
— Pteropodenmergel in den alttertiären Bildungen von Budapest	05	II	433
— Einige Bemerkungen über Orygoceras Fuchsi Kittl sp.	05	II	434
— Massenhaftes Vorkommen von Pyrgulifera im Eocän von Lábatlan	05	II	434
— Ein klassischer Fundort der die sarmatischen und pannonischen Bildungen überbrückenden Schichten in Ungarn	05	II	435
Lörenthey, I. v.: Zur Richtigstellung der in dem Artikel V. Aradi's, betitelt: „Der Jura des Ofener Gebirges und allgemeine Betrachtung über die tektonischen Verhältnisse desselben" enthaltenen literarischen Mystifikation	*CBl 1909*		*182*
Loewinson-Lessing, F.: Notiz über die Umformung von Kristallen unter Druck 1906 II 80	07	II	351
— Eine petrographische Exkursion auf den Tagil	07	I	71
— Petrographische Untersuchungen im zentralen Kaukasus (Digorien und Balkalien)	07	I	71
Ueber die Magneteisenerzlagerstätte der Wyssokaja im Ural	09	I	392
— Zur Frage der Kristallzwillinge	09	II	6
— Leitfaden der optischen Untersuchung der Kristalle unter dem Mikroskop	09	II	7
— *Ueber Klassifikation und Nomenklatur der zur Formation der kristallinischen Schiefer gehörigen Amphibolgesteine*	*CBl 1905*		*407*
— *Ueber das Auftreten von Untercarbon in den Guberlinskischen Bergen (südl. Ural)*	*CBl 1906*		*131*

	Jahrg.	Bd.	Seite
Loewinson-Lessing, F.: Optische Untersuchung der Mineralien unter dem Mikroskope	CBl	1906	246
— Petrographische Tabellen	CBl	1906	248
— *Ueber eine mögliche Beziehung zwischen Viskositätskurven und Molekularvolumina bei Silikaten*	*CBl*	*1906*	*289*
— siehe Jeremina, E.			
— siehe Zemčuznyj, S.			
Loewinson-Lessing, F. und Zemčuznyj: Porphyrartige Struktur und Eutetik	1907	II	212
Logen Jak, R.: The Lancelot Freehold Tin and Copper Mines, Ltd. Abstract of a report of October 1906	08	I	244
Lohest, M.: La Houille en Campine	05	I	456
— siehe Fourmarier, P.			
Lohest, M. et H. Forir: Particularités remarquables du Carboniferien de la partie centrale du Condroz	05	I	457
Lohmann, H.: Untersuchungen über die Tier- und Pflanzenwelt, sowie über die Bodensedimente des Nordatlantischen Ozeans zwischen dem 38. und 50. Grade nördlicher Breite	05	I	424
Lomas, J.: Quartz Dykes near Foxdale, Isle of Man	05	I	434
— siehe Cope, T. H.			
Lomnicki, M.: Geologische Skizze der Umgegend von Lemberg	05	II	95
Longhi, P.: Contribuzione alla conoscenza della fauna del calcare cretaceo di Calloneghe presso il Lago di S. Croce nelle Alpi venete. II.	05	I	317
— Di una varietà di Caprina schiosensis G. Böhm	05	I	359
Loomis, F. B.: Hyopsodidae of the Wasatch and Wind River Basins	07	II	133
— A new horse from the lower Miocene	08	II	429
— Rhinocerotidae of the lower Miocene	08	II	431
Lorenzo, G. de: The History of Volcanic Action in the Phlegraean Fields	05	II	206
— Lo scoglio di Revigliano	06	I	86
— L'attività vulcanica nei Campi Flegrei	06	I	198
— The Eruption of Vesuvius in April 1906	07	I	44
— La basi dei volcani Vulture ed Etna	08	I	46
— Il Neck subetneo di Motta S. Anastasia	08	II	45
— Azzurite e Malachite dei dintorni di Lagonegro in Bisilicata	08	II	307
Lorié, J.: Beschrijvning van eenige nieuwe Grondboringen. VI.	05	II	444
— Mes observations sur le système Moséen de M. Mourlon	06	I	436
— De geologische Bouw der Geldersche Vallei, benevens Beschrijvning van eenige nieuwe Grondboringen	07	I	442
— De voorgestelde Eenheid van het Ljstijdvak. II.	07	I	443
— De Terrassen langs den rechter Rijnoever beneden het Zevengebergte	08	II	100
— Het Interglacialisme in Nederland. III.	08	II	100
— La stratigraphie des argiles de la Campine belge et du Limbourg néerlandais	08	II	101
— A propos de l'étude critique de M. J. van Baren sur la flore et l'âge géol. des argiles du Limbourg néerlandais	08	II	101
Loriol, P. de: Notes pour servir à l'étude des échinodermes	07	II	153
Lory, M. P.: Plis marginaux de la partie méridionale de Belledonne	05	I	283
— Feuilles de Gap, Vizille et Grenoble	05	I	281
— Epigénie glacière sur le cours moyen du Drac	1905	II	208. 296
— Recherches sur le Jurassique moyen entre Grenoble et Gap	05	II	427

	Jahrg.	Bd.	Seite
Lory, M. P.: Sur l'existence dans le bord subalpin, au nord du Grenoble, de lentilles zoogènes vers la limite du jurassique et du crétacé	1907	I	281
— Observations stratigraphiques dans le nord du massif du Vercors	07	II	105
— Quelques observations dans la partie méridionale de la chaîne de Belledonne (Alpes Dauphinoises)	07	II	263
— Sur les couches à Phylloceras Loryi des Alpes occidentales	07	II	286
— siehe Kilian, W. et Lory, P.			
Losanitsch, S. M.: Die radioaktiven Cinnabaryte	05	I	5
Lotti, B.: A proposito di una recente scoperta di minerali plumboargentiferi all' isola d'Elba	06	I	232
— Kieselgur und Farberden in dem trachytischen Gebiet vom Monte Amiata	06	I	235
Lotz, H.: Ueber das Asphaltvorkommen von Ragusa (Sizilien) und seine wirtschaftliche Bedeutung	05	I	261
— Beitrag zur Kenntnis vom Alter der Siegerländer Erzgänge	09	II	78
— Das Vorkommen der Diamanten in Deutsch-Südwestafrika	CBl	1909	251
Louderback, G. D.: Basin Range structure of the Humboldt-Region	06	II	95
— Benitoite, a new californian gem mineral	08	II	301
— The relation of radioactivity to vulcanism	09	I	48
Loup, L.: Sur les roches erratiques des environs de Genève	06	II	61
— siehe Duparc, L.			
Lovisato, D.: Vanadinite, Descloizite, Mimetite e Stolzite della miniera cuprifera di Bena(d)e Padru presso Ozieri (Sassari)	05	II	367
— La Centrolite nel giacimento cuprifero di Bena(d)e Padru presso Ozieri (Sassari)	06	II	336
— Giacimento di minerali di tungsteno a Genna Gurese ai limite fra Nurri ed Orroli (Cagliari)	08	II	319
Lowag, J.: Die Diorite des Altvatergebirges mit Bezug auf die goldführenden Quarzgänge des Unterdevons	05	I	257
Loziński, W. v.: Aus der quartären Vergangenheit Bosniens und der Herzegowina	05	II	295
Lublin, M.: Beiträge zur Kenntnis der Feldspate im Granit vom Epprechtstein (Fichtelgebirge)	08	II	173
Lucas, A.: A Report on the soil and water of the Wadi Tumilat Lands under reclamation	07	I	426
Lucas, F. A.: The greatest flying creature, the great pterodactyl Ornithostoma	05	I	516
Lucas, R.: Zur Kenntnis der physikalischen Eigenschaften der Tone	*CBl*	*1906*	*33*
Luczinsky, Wl.: Ueber die Dispersion der optischen Achsen bei den rhombischen Pyroxenen	08	I	22
— Optische Orientierung des Labradors von Labrador	08	I	334
— Der Granit von Kössein im Fichtelgebirge und seine Einflüsse	08	II	191
Ludwig, A.: Ueber glaziale Erosion und über die Ursachen der Eiszeit	CBl	1906	380
Ludwig, E., Th. Panzer und E. Zdarek: Ueber die Vöslauer Therme	08	I	368
Lübstorf: Mitteloligocäner Septarienton auf dem Gute Tessenow bei Parchim	06	I	430
Lühe, M.: Säugetierhaare im Bernstein	07	II	485
Lugeon, M.: Les grandes dislocations et la naissance des Alpes suisses	05	II	85

	Jahrg.	Bd.	Seite
Lugeon, M.: Les grandes dislocations et la naissance des Alpes suisses. Avec observations de M. Schardt . . .	1905	II	86
— Anciens thalwegs de l'Aar dans le Kirchet près Meiringen	05	I	228
— Première communication préliminaire sur la géologie de la région comprise entre le Sanetsch et la Kander (Valais-Berne)	05	I	276
— Sur la découverte d'une racine des Préalpes suisses . . .	05	I	277
— Les grandes nappes de recouvrement des Alpes du Chablais et de la Suisse	06	I	243
— Sur la coupe géologique du massif du Simplon	06	II	260
— Notice à propos du travail de Sarasin et Collet sur la zone des cols dans la région de la Lenk et Adelboden	08	II	387
— Les dislocations des Bauges (Savoie)	08	II	390
— Bélemnites et radiolaires de la brèche du Chablais	09	I	401
— Deuxième communication préliminaire sur la géologie de la région entre le Sanetsch et la Kander (Valais-Berne)	09	I	405
— Analogie entre les Carpathes et les Alpes	09	I	418
— Les nappes de recouvrement de la Tatra et l'origine des Klippes des Carpathes	09	I	419
— A propos de la note de MM. Ch. Sarasin et L. Collet sur „la Zone des Cols dans la région de la Lenk et Adelboden“	09	II	91
— La Zone des Cols et la géologie du Chamossaire	09	II	91
— Tectonique des Préalpes internes	09	II	92
— Les fenêtres d'Ardon	09	II	258
— siehe Haug, E.			
— siehe Renevier, E.			
Lugeon, M. et E. Argand: Sur les grandes nappes de recouvrement de la zone du Piémont	06	II	256
— — Sur les homologies dans les nappes de recouvrement de la zone du Piémont	06	II	258
— — La racine de la nappe sicilienne et l'arc de charriage de la Calabre	09	II	94
— Sur des grands phénomènes de charriage en Sicile	09	II	94
— Sur la grande nappe de recouvrement de la Sicile	09	II	94
Lugeon, M. et G. Rössinger: Géologie de la Haute Vallée de Lauenen (Préalpes et Hautes-Alpes Bernoises) 1905 I 276	08	II	380
Lull, R. S.: Cursorial Adaptations	06	I	138
— Volant adaptation in vertebrates	09	I	122
— The cranial musculature and the origin of the frill in the Ceratopsian Dinosaurs	09	I	450
— siehe Hatcher, J. B.			
— *siehe Huene, F. v.*			
Luquer, L. Mc J.: Bedford Cyrtolite	05	I	374
Lury, J. S. de: Cobaltite occurring in northern Ontario, Canada	07	I	195
Luther, D. D., siehe Clarke, F. W.			

M.

Maas, G.: Sogenannter Posener Flammenton in Schlesien . .	05	II	287
Maas, O.: Ueber eine neue Medusengattung aus dem lithographischen Schiefer	*06*	*II*	*90*
Mac Alister, D. A.: Geological Aspect of the Lodes of Cornwall	09	II	81
Mac siehe auch Mc.			

	Jahrg.	Bd.	Seite
Macco, A.: Südafrikanische Diamanten	1905	II	345
— Die Eisenerzlagerstätten am Lake Superior	06	II	227
— Die Blue Ground-Vorkommen in Südafrika	09	II	236
Machaček, F.: Die Alpen	09	II	95
Mackie, W.: The saltness of the sea in relation to the geological age of the earth	05	I	402
— Seventy chemical analyses of rocks (chiefly from the Moray area), with deductions	05	I	414
— Note on the occurrence of traces of the heavy metals in the Sandstones of the Moray Firth Basin	05	I	417
— On differences in chemical composition between the central and marginal zones of granite veins with further evidence of exchanges between such veins and contact rocks	05	I	431
— A rapid and easy method of estimating specific gravities	06	I	46
Madsen, V.: Diluviale Foraminiferen aus Boizenburg in Mecklenburg	07	I	163
Mahon, C. A. Mc, siehe Mc Mahon, C. A.			
Mahony, D. J.: Zwei Abänderungen des Quarzkeils	08	I	162
Maier, E.: Die Goldseifen des Amgun-Gebietes (Ostsibirische Küstenprovinz)	08	I	404
Maier, H. N.: Beiträge zur Altersbestimmung der Fische. I. Allgemeines. Die Altersbestimmung nach den Otolithen bei Scholle und Kabeljau	08	I	130
Maillard, L. C. et L. Graux: Sur l'existence des bicarbonates dans les eaux minérales et sur les prétendues anomalies de leur pression osmotique	08	I	362
Maitland, G.: The geological features and mineral resources of Northampton	05	I	442
Maitland, A. Gibb, siehe auch Gibb Maitland, A.			
Major, F. C. J.: New Carnivora from the Middle Miocene of La Grive St. Alban, Isère, France	05	II	306
— Additional minute Cheek tooth in the mandible of a Tertiary Shrew, Sorex pusillus Mey. var. grivensis Dep.	07	I	301
— Rodents from the Pleistocene of the Western Mediterranean Region	07	I	458
Makowski, C.: Der Ursprung der Worte Gneis und Quarz	05	II	179
Malaise, C.: Decouverte d'une porphyroïde fossilifère à Grand Menil	05	II	106
Mallet, J. W.: A Stony Meteorite from Coon Butte, Arizona	07	II	386
Manasse, E.: Zolfo del marmo di Carrara	06	I	9
— Di alcune leucotefriti di S. Maria del Pianto nei Campi Flegrei	07	I	66
— Sopra alcune rocce eruttive della Tripolitania	07	I	66
— Cenni sul macigno di Calafuria e suoi minerali 1906 I 168	07	I	67
— Contribuzioni alla mineralogia della Toscana	07	II	37
— Tetraedrite del Frigido (varietà Frigidite) e minerali che l'accompagnano	07	II	176
— Sopra le zeoliti di alcune rocce basaltiche della Colonia Eritrea	08	II	36
— I minerali della cava di solfo di Poggio Orlando presso Lornano in provincia di Siena	08	II	334
— Melanteria e fibroferrite delle Cetine (Siena)	09	II	363
Mann, O.: Beiträge zur Kenntnis verschiedener Mineralien. I. Ueber den Thorerdegehalt des Monazits	05	I	189
— II. Kakoxen	05	I	190
— III. Pissophan	05	I	191

	Jahrg.	Bd.	Seite
Mann, O.: IV. Ueber einen Seifenstein von Kutahia	1905	I	188
— V. ZurKenntnis einiger Mineralien von Campolongo	05	I	201
— siehe Baumgärtel, Br.			
Maquenne, L.: Observations sur la note précédente de J. Dumont (Sur l'absorption des carbonates alcalins par les composants minéraux du sol)	08	I	363
Marc, R.: Zerlegung von Monazitendfraktionen in die Komponenten und Darstellung reinen Gadoliniumoxyds	05	I	39
— Ueber das Verhalten des Selens gegen Licht und Temperatur. II. Mitteilung. Die allotropen Formen des Selens	08	I	8
— III. Einfluß von Beimengungen auf die Leitfähigkeit des Selens und die Einstellung des Gleichgewichts Se_A—Se_B	08	I	8
— Notiz zur Kenntnis der allotropen Formen des Selens	08	I	8
— Ueber das Verhalten des Selens gegen Licht und Temperatur (Ergänzung)	08	II	156
Marckwald, W.: Ueber Uranmineralien aus Deutsch-Ostafrika	08	II	13
— *Ueber Uranerze aus Deutsch-Ostafrika*	*CBl 1906 761*		
Marcus, E., siehe Biltz, W. und Marcus, E.			
Mariani, M.: Sopra alcuni avanzi di mammiferi quaternari trovati nell' alta valle del Potenza 1906 I 133	06	II	132
— Su alcuni fossili del Trias medio dei dintorni di Porti Valtravaglia e sulla fauna della dolomia del Mte. San Salvatore presso Lugano	06	I	423
Marr, J. E.: The Classification of the Sedimentary Rocks	06	I	47
— The Influence of the Geological Structure of English Lakeland upon its present Features. — A Study in Physiography	08	II	53
Marsh, siehe Hatcher.			
Marshall, P.: Dust Storms in New Zealand	05	I	406
— Trachydolerites near Dunedin	07	II	78
— Some rocks from Macquarrie Island	07	II	79
— The Geology of Dunedin (New Zealand)	08	I	229
— Boulders in Triassic Conglomerate, Nelson	09	I	104
Marsters, V. F.: Petrography of the amphibolite, serpentine, and associated asbestos deposits of Belvidere Mountain, Vermont	07	II	218
Marstow, A., siehe Beyer, S. W.			
Martel, E. A.: Sur l'enfouissement des eaux souterraines et la disparition des sources	05	I	55
— Sur la grotte de Font-de-Gaume (Dordogne) et l'âge du creusement des cavernes	05	I	55
— Sur le gouffre, tunnel d'Oupliz—Tsike (Transcaucasie)	06	I	44
— Sur le gouffre du Trou-de-Souci (Côte-d'Or)	07	II	51
— Sur la résurgence de Wells (Angleterre) et la chronométrie de l'érosion souterraine	07	II	51
— Sur la formation de la grotte de Rochefort (Belgique) et sur la théorie des effondrements	07	II	397
— Sur une nouvelle exploration du gouffre du Trou-de-Souci (Côte-d'Or)	07	II	397
— Sur le grand cañon du Verdon (Basses-Alpes), son âge et sa formation	08	I	220
— Sur la rapidité de l'érosion torrentielle	08	I	220
— Sur les gouffres de la mer et le volcanisme	09	I	204
— Sur les clues de Provence et sur les irrégularités des courbes d'équilibre des cours d'eau	09	I	205
— siehe Yermoloff, A.			

	Jahrg.	Bd.	Seite
Martel, E. M.: Sur le défaut d'étanchéité des zones imperméables dans les soussols calcaires	1908	I	221
Martelli, A.: Il livello di Wengen nel Montenegro meridionale	05	II	108
— Cefalopodi triasici di Boljevici presso Vir nel Montenegro	05	II	139
— Brachiopodi del Dogger montenegrino	07	I	433
— Contributo al Muschelkalk superiore del Montenegro	07	I	431
— siehe Kerner, F. v.			
Martin, D.: Impressions produites par des bulles d'air sur de la vase	06	II	200
Martin, G. C.: Radiolaria	07	II	161
— The petroleum fields of the pacific coast of Alaska with an account of the Bering River coal deposits	09	I	395
— siehe Stanton, T. W.			
Martin, J.: Das Studium der erratischen Gesteine im Dienste der Glazialforschung	06	II	435
— Beitrag zur Frage der säkularen Senkung der Nordseeküste	09	I	109
— Beitrag zur Kenntnis der erratischen Basalte	09	II	64
Martin, K.: Reisen in den Molukken, in Ambon, den Uliassern, Seran (Ceram) und Buru. Geologischer Teil	05	I	106
— *Mesozoisches Land und Meer im Indischen Archipel*	*07*	*I*	*107*
— *Systematische Uebersicht über die Gastropoden aus tertiären und jüngeren Ablagerungen von Java*	*07*	*II*	*151*
— Eine altmiocäne Gastropodenfauna von Rembang, nebst Bemerkungen über den stratigraphischen Wert der Nummuliniden	07	II	498
— Das Alter der Schichten von Sondé und Trinil auf Java	09	I	113
— siehe Icke, H.			
Martin, L., siehe Tarr, R. S.			
Martin, R.: Die untere Süßwassermolasse in der Umgebung von Aarwangen	08	I	433
Martinelli, G. ed A. Sella: Radioattività delle pozzolane dei pressi di Roma	05	I	418
Martini, J.: Beiträge zur Kenntnis des Quarzes	*05*	*II*	*43*
Martonne, E. de: Remarques sur le climat de la période glaciaire dans les Karpates méridionales	05	I	407
Marty, P.: Sur l'âge des basaltes des environs de Massiac (Cantal)	08	II	406
— L'If miocène de Joursac (Cantal). Sur un cas d'intervention des caractères histologiques de leur épiderme dans la détermination des feuilles fossiles	09	I	466
— Un nouvel horizon paléontologique du Cantal	09	I	466
— Végétaux fossiles de Cinérites pliocènes de Las Clausades (Cantal)	09	I	466
— Études sur les végétaux fossiles du Trieu de Leval (Hainaut)	09	II	490
— siehe Douxami, H. et Marty, P.			
Martz, P.: L'Oligocène du Puech d'Alzon, près de Borouls (Aveyron)	06	I	432
Maška, K. J.: Mastodon-Rest bei Telč in Mähren	05	II	471
— Bemerkungen zu den diluvialen Funden in Höhlen von Mladeč und zu den glazialen Spuren in Nordost-Mähren	07	I	452
Maslen, A. J., siehe Scott, D. H.			
Mathews, E. B.: The structure of the Piedmont Plateau as shown in Maryland	05	II	414
— Correlation of Maryland and Pennsylvania Piedmont formations	07	II	221

	Jahrg.	Bd.	Seite
Mathews, E. B. and W. J. Miller: Cockeysville-Marmor	1907	II	222
Mathieu, E.: Renseignements sur la roche cristalline de Grand-Coo	07	II	69
— Note complémentaire sur la roche cristalline de Grand-Coo	07	II	69
— Le kératophyre de Grand-Coo	07	II	69
Matson, G. C.: Peridotite dikes near Ithaca. N. Y.	07	I	242
Matte, H.: Documents pour servir à la description géologique des Alpes delphino-savoisiennes. Compte rendu d'une excursion géologique dans les Alpes du Dauphiné et de la Savoie, faite du 1er au 7 août 1901, par les élèves des diverses Facultés des Sciences de France, sous la direction de M. W. Kilian	07	II	104
Matteucci, R. V.: Se al sollevamento endogeno di una cupola lavica al Vesuvio possa aver contribuito la solidificazione del magma	05	I	46
Matthew, G. F.: New genera of Batrachian footprints of the carboniferous system in Eastern Canada	05	I	339
— An attempt to classify Palaeozoic Batrachian Footprints	05	I	339
— On Batrachian and other footprints from the Coal Measures of Joggins N. S.	05	I	340
Matthew, W. D.: A fossil Hedgehog from the American Oligocene	05	II	472
— The arboreal ancestry of the Mammalia	06	I	139
— The Collection of fossil Vertebrates (American Museum of Natural History)	06	II	442
— The fossil Carnivora Marsupials and Small Mammals in the American Museum of Natural History	06	II	442
— Notes on the Osteology of Sinopa, a primitiv Member of the Hyaenodontidae	07	I	127
— Notice of two new genera of Mammals from the Oligocene of South-Dakota	07	I	299
— Notice of two new Oligocene Camels	07	I	301
— A four-horned Pelycosaurian from the Permian of Texas	08	I	285
Matthew, W. D. and J. W. Gidley: New or Little Known Mammals from the Miocene of South Dakota. American Museum Expedition of 1903 1905 I 127	08	I	129
Maucher, W.: Die Erzlagerstätte von Tsumeb im Otavi-Bezirk im Norden Deutsch-Südwestafrikas	09	II	400
Mauritz, B.: Neuere Beiträge zur Kenntnis des Pyrits von Porkura	05	II	9
— Beiträge zur kristallographischen Kenntnis der ungarischen Kupferkiese	06	II	325
— Ueber den Pyrargyrit von Hiendelaencina	09	I	336
— siehe Goldschmidt, V. und Mauritz, B.			
Maury, E., siehe Caziot, E.			
Mawson, D.: Preliminary note on the geology of the New Hebrides	07	II	271
Mawson, D. und T. H. Laby: Vorläufge Beobachtungen über Radioaktivität und das Vorkommen von Radium in australischen Mineralien	07	I	10
Mayer-Eymar, K.: Nummulitische Dentaliden, Fissurelliden, Capuliden und Hipponiciden Aegyptens aus der geologischen Sammlung in Zürich	05	II	322
— Liste der nummulitischen Turritelliden Aegyptens auf der geologischen Sammlung in Zürich	06	II	453
Mayr, F., siehe Simmersbach, B.			

	Jahrg.	Bd.	Seite
Mc Alister, D. A.: Tin and Tourmaline	1905	I	101
Mc Caffery, S., siehe Yung, M. B.			
Mc Callie, S. W.: Stretched pebbles from Ocoee conglomerate	08	II	370
— Some notes on schist-conglomerate occurring in Georgia	09	II	385
McConnell, R. G.: Report on gold values in the Klondike high level gravels	09	I	235
McGregor, J. H.: On Mesosaurus brasiliensis n. sp. from the Permian of Brazil	09	I	444
— The Phytosauria with especial reference to Mystriosuchus and Rhytidodon	09	I	445
McKee: Prismatic Crystals of Hematite	05	I	373
McMahon, C. A.: Additional Note on the Correlation of the Rocks associated with the Devonian Limestones of the Hindu Koosh	05	II	415
McMahon, C. A. and W. H. Huddleston: Fossils from the Hindu Koosh siehe auch Mac.	05	II	415
Mead, W. J.: The Relation of Density, Porosity and Moisture to the specific Volume of Ores	09	I	389
— Redistribution of elements in the formation of sedimentary rocks	09	II	62
Meigen, W.: Beiträge zur Kenntnis des kohlensauren Kalks. II.	05	II	356
— Beiträge zur Kenntnis des kohlensauren Kalks. III. (Das Verhalten des kohlensauren Kalks zu Kobaltsalzen.)	05	II	358
— Ueber die angebliche Bildung von Dolomit im Neckar bei Cannstatt	05	II	360
Meister, A. K.: Geologische Karte des goldführenden Gebietes am Jenissej. Beschreibung des Blattes L—9	05	II	247
— Die Mineralien des Süd-Jenisseisk'schen Bergbezirks	07	II	189
Melczer, G.: Daten zur Symmetrie des Aragonits	05	II	16
— Ueber Libethenit	05	II	28
— Daten zur genaueren Kenntnis des Albit	06	II	332
— siehe Doby, G.			
Mellor, E. T.: Glacial (Dwyka) Conglomerate of South Africa	07	II	122
Mendenhall, E. and F. C. Schrader: Mineral Resources of the Mount Wrangell District, Alaska	05	II	399
Mennell, F. P.: The Minerals of some South African Granites	05	II	38
— The average composition of igneous rocks	06	I	46
— The Somabula Diamond field of Rhodesia	08	I	324
Menteath, P. W. Stuart, siehe Stuart-Menteath, P. W.			
Menzel, P.: Beiträge zur Kenntnis der Quartärbildungen im südlichen Hannover. I. Die Interglazialschichten von Wallensen in der Hilsmulde. Mit einem Anhang: Zwei neue Arten von Valvata Müller (Gruppe Cincinna Hübner)	05	I	144
— Ueber das Vorkommen von Cyclostoma elegans Müller in Deutschland seit der Diluvialzeit	05	I	310
— Beiträge zur Kenntnis der Quartärbildungen im südlichen Hannover. II. Eine jungdiluviale Konchylienfauna aus Kiesablagerungen des mittleren Leinetales	05	I	310
— Beiträge zur Kenntnis der Quartärbildungen im südlichen Hannover. III. Das Kalktufflager von Alfeld an der Leine	06	II	432
— Galgenberg und Vorholz bei Hildesheim	07	I	419

	Jahrg.	Bd.	Seite
Menzel, P.: Tertiär und Tektonik im Norden von Hildesheim	1907	II	290
— Ueber die Gliederung und Ausbildung der jungtertiären und quartären Bildungen im südlichen Hannover und Braunschweig	07	II	457
— Ueber die Flora der Senftenberger Braunkohlenablagerungen	08	I	449
— *Ueber die erste (älteste) Vereisung bei Rüdersdorf und Hamburg und die Altersstellung der Paludinenschichten der Berliner Gegend*	*CBl*	*1906*	*181*
— *Ueber die Quartärfaunen im nördlichen Vorlande des Harzes und die Nehring'sche Steppenhypothese*	*CBl*	*1909*	*87*
— siehe Wollemann, A.			
Mercalli, G.: Ancora intorna al modo di formazione di una cupola lavica vesuviana	05	I	46
— Sulla forma di alcune prodotti delle esplosioni vesuviane recenti	05	I	46
— Notizie vesuviane (Luglio—Dicembre 1903)	05	I	47
— Notizie vesuviane (Gennaio—Giugno 1903)	05	I	48
— Intorno alla successione dei fenomení eruttivi del Vesuvio	06	I	198
— Per lo studio dei lenti movimenti del suolo presso il Serapeo di Pozzuoli	06	I	202
— La grande eruzione vesuviana dell' Aprile 1906	08	I	42
— Sullo stato attuale della Solfatara di Pozzuoli	08	II	44
Mercanton, P. L.: Forages glaciaires	08	II	340
Merciai, G.: Lamellibranchi liassici del calcare cristallino della montagna del Casale presso Busambra in prov. di Palermo	06	I	319
Merensky, H.: Neue Zinnerzvorkommen in Transvaal	06	II	228
— Die goldführenden Erzvorkommen der Murchison Range im nordöstlichen Transvaal	07	I	256
Merriam, J. C.: Triassic Ichthyopterygia from California and Nevada	06	I	147
— New Ichthyosauria from the upper Triassic of Arizona	06	I	150
— A new marine reptile from the Triassic of California	06	I	150
— Recent Literature on triassic Ichthyosauria	06	I	150
— A primitive Ichthyosaurian limb from the Middle Triassic of Nevada	06	I	151
— Triassic Ichthyosauria with special reference to the american forms	09	I	445
— Notes on the Osteology of the Thalattosaurian genus Nectosaurus	09	I	448
Merrill, G. P.: On the origin of veins in asbestiform serpentine 1906 II 170	07	I	404
— On a New Stony Meteorite from Modoc, Scott Co., Kansas	07	II	200
— On a newly found Meteorite from Selma, Dallas County, Alabama	08	II	181
— Notes on the composition and structure of the Hendersonville, North Carolina, Meteorite	08	II	181
— The Meteoric Crater of Canyon Diablo, Arizona, its History, Origin and associated Meteoric Irons	09	I	357
Merrill, G. P. and W. Tassin: Contributions to the study of the Canyon Diablo Meteorites	09	I	354
Meschinelli, L.: Contribuzione alla palaeontologia vicentina. Un nuovo Chirottero fossile (Archaeopteropus transiens Mesch.)	05	II	472

	Jahrg.	Bd.	Seite
Meslin, G.: Ueber das gleichzeitige Vorhandensein von Paramagnetismus und Diamagnetismus in demselben Kristall	1907	II	15
Mestwerdt, A.: Der Teutoburger Wald zwischen Borgholzhausen und Hilter	06	II	417
— Ueber Störungen am Falkenhagener Liasgraben	08	II	80
— siehe Stille, H.			
Metzmacher, A.: Miocäner Glimmerton von Wendisch-Wehningen bei Dömitz	06	I	430
Meunier, F.: Una nueva Cicada del Kimeridgense en el Montsech, Provincia de Lérida (Cataluña)	05	I	524
— Nuevas contribuciones á la fauna de los Himenopteros fósiles	05	I	525
Meunier, St.: Sur un cas remarquable de cristallisation spontanée du gypse	05	I	40
— Examen du fer météorique de Guatémala	05	I	217
— Origine de l'opale farineuse sédimentaire	05	I	445
— Sur la puissance de la formation nummulitique à Saint-Louis du Sénégal	05	II	288
— Contribution à la connaissance des formations lutétiens au Sénégal	05	II	289
— Sur des concrétions quartzeuses renfermées dans la Craie blanche de Margny (Oise)	06	II	201
— Remarquables pseudomorphoses rencontrées dans le sol de la place de la République, à Paris	06	II	347
— Sur l'origine vésuvienne du brouillard sec observé à Paris dans la matinée du mercredi 11 Avril 1906	08	I	43
— Origine et mode de formation des minerais de fer oolithique	09	I	393
Meyer, A. B.: Neue Mitteilungen über Nephrit	05	I	27
Meyer, E.: Der Teutoburger Wald (Osning) zwischen Bielefeld und Werther	05	II	258
Meyer, R.: Künstliche Pseudomorphosen	05	II	4
Meyer, W.: Die Porphyre des westfälischen Diluviums	*CBl*	*1907*	*143. 168*
Meyerhoffer, W.: Die chemisch-physikalische Beschaffenheit der Heilquellen	05	I	264
— Ueber Reifkurven	06	I	6
— Ueber kongruente und inkongruente Schmelzen bei Doppelsalzen	06	I	7
— Ueber Schmelzintervalle	06	II	4
Meyerhoffer, W. und J. H. van't Hoff: Kristallisierte Calciumborate	08	II	162
— siehe Hoff, J. H. van't.			
Michael, P.: Beiträge zur Kenntnis der eiszeitlichen Ablagerungen in der Umgebung von Weimar	08	II	96
Michael, R.: Ueber das Alter der subsudetischen Braunkohlenformation	06	I	112
— Beobachtungen während des Vesuv-Ausbruches im April 1906 . . . . . 1907 I 44	08	I	218
— Ueber die Altersfrage der oberschlesischen Tertiärablagerungen	07	II	126
— siehe Beyschlag, F. und Michael, R.			
Michael, R. und F. Beyschlag: Die oberschlesischen Erzlagerstätten	06	II	74
Michailowsky, G.: Note sur l'âge des argiles schisteuses inférieures foncées de la péninsule de Kertch, du calcaire de Tchokrak et des couches à Spaniodon	05	I	469
Michel, L.: Sur la reproduction de l'aragonite	06	I	24
— Sur les mines de la Lucette (Mayenne)	06	I	34
— Sur le gisement de chrysolithe de l'île Saint Jean (mer Rouge)	08	I	196

	Jahrg.	Bd.	Seite
Michel-Lévy, A.: Étude sur la détermination des feldspats dans les plaques minces. Troisième fascicule. La zone de symétrie de la macle de l'Albite dans les plagioklases	1905	I	26
— Examen pétrographique de quelques roches volcaniques des îles Tuamotou et de l'île Pitcairn	07	II	416
— Sur l'existence de paramètres capables de caractériser les magmas d'une famille de roches éruptives	08	II	184
Middelschulte: Ueber die Deckgebirgsschichten des Ruhrkohlenbeckens und deren Wasserführung	07	I	414
Middleton, F. E.: On the Wash-outs in the Middle Coal-Measures of South Yorkshire	06	II	362
Mie, C.: Die optischen Eigenschaften kolloidaler Goldlösungen	08	II	152
Mieg, M., siehe Vogt, J. et Mieg, M.			
Miers, H. A.: Note on Mica (Fuchsite) as a decorative stone used by the ancients	05	I	33
— Untersuchung über die Variation der an Kristallen beobachteten Winkel, speziell von Kalium- und Ammoniumalaun	05	I	363
— Note on the crystallization of potassiumbichromate. Communications from the Oxford mineralogical laboratory No. X	09	I	328
Miers, H. A. and F. Isaac: The refractive indices of crystallising solutions, with especial reference to the passage from the metastable to the labile condition	09	I	157
— The Spontaneous Crystallisation of Substances which form a Continuous Series of Mixed Crystals. Mixtures of Naphthalene and β-Naphthol	09	I	327
— — On the temperature at which water freezes in sealed tubes	09	I	329
Miethe, A.: Ueber die Färbung von Edelsteinen durch Radium	07	II	170
— Ueber das Spektrum des Rubins	08	II	296
Milch, L.: Ueber magmatische Resorption und porphyrische Struktur	*05*	*I*	*1*
— Goethe und die Geologie	06	II	42
— Ueber die Ganggesteine des Riesengebirgs-Granites	06	II	57
— Ueber die chemische Zusammensetzung eines Limburgits, eines phonolithischen Gesteines und einiger Sandsteine aus Paraguay (nach Analysen von A. Lindner)	06	II	376
— Ueber Spaltungsvorgänge in granitischen Magmen, nach Beobachtungen im Granit des Riesengebirges	07	II	212
— *Ueber Zunahme der Plastizität bei Kristallen durch Erhöhung der Temperatur. Erste Mitteilung: Beobachtungen an Steinsalz*	*09*	*I*	*60*
— *Ueber den Kaolinit von der National Belle Mine bei Silverton, Colorado*	*CBl*	*1908*	*1*
— *Ueber Eiskristalle*	*CBl*	*1909*	*532*
— *Die Beziehungen K. C. v. Leonhard's zu Goethe*	*Festband*		*169*
— *Ueber Glaukophan und Glaukophangesteine vom Elek-Dagh (nördliches Kleinasien) mit Beiträgen zur Kenntnis der chemischen Beziehungen basischer Glaukophangesteine*	*Festband*		*181*
Miller, K.: Alttertiäre Land- und Süßwasserschnecken der Ulmer Gegend	08	II	103
Miller, W.: Instrumentenkunde für Forschungsreisende, unter Mitwirkung von C. Seidel bearbeitet	CBl	1906	479
Miller, Willet G.: Minerals and How they Occur	CBl	1907	473

	Jahrg.	Bd.	Seite
Miller, W. J., siehe Carey, E. P. and Miller, W. J.			
— siehe Mathews, E. B.			
Millet, F. W.: Report on the Recent Foraminifera of the Malay Archipelago collected by Mr. Durrand	1905	II	155
— The recent Foraminifera of Galway	08	I	309
Millosevich, F.: Danburite di S. Barthélemy in Val d'Aosta	05	I	380
— Osservazioni mineralogiche sulle rocce metamorfiche dei dintorni di Tolfa	06	I	375
— Nuove forme e nuovo tipo cristallino dell' anatasio della Binnental	06	II	15
— Appunti di mineralogia sarda. Bournonite del Sarrabus	07	II	16
— Sopra alcuni minerali di Val d'Aosta	07	II	35
— Appunti di mineralogia sarda. Il giacimento di azzurrite del Castello di Bonvei, presso Mara, con alcune osservazioni sulla formazione dei carbonati di rame naturali	08	II	16
— Appunti di mineralogia sarda. Ematite di Padria	08	II	295
— Ulteriori osservazioni intorno alle condizioni di formazione dei carbonati di rame naturali	08	II	305
— Appunti di mineralogia sarda. Il giacimento di zeoliti presso Montresta	09	II	195
Milne, J.: The recent volcanic eruptions in the West Indies	05	I	406
— West Indian volcanic eruptions	05	I	406
— World-shaking earthquakes	05	II	206
— Earthquake observations in Galicia	05	II	208
— Recent earthquakes	05	II	208
— Seismological notes	05	II	208
— Modern progress in Seismologie	08	I	48
Mingaye, J. C. H.: Notes from the Chemical Laboratory, Departement of Mines	07	I	411
— Notes on the occurrence of Monazite in the Beach Sands of the Richmond River, N. S. Wales	07	I	411
— siehe Card, G. W.			
Mingaye, J. C. H. and H. P. White: Notes and Analyses of Olivine-Basalt Rocks from the Sydney District (No. 1)	07	I	400
— — Analyses of Leucite Basalts, and Olivin-Basalts from New South Wales	07	I	403
Minssen, H.: Ueber ein Vorkommen ungewöhnlich großer Mengen von pflanzenschädlichen Schwefelverbindungen im Moore	06	I	327
Mitscherlich, E. A.: Eine chemische Bodenanalyse für pflanzenphysiologische Forschungen	08	II	187
— Bodenkunde für Land- und Forstwirte	CBl	1906	587
Moberg, J. C.: Om röd färgade lager inom Sveriges kambro-silur	05	II	223
Moderni, P.: Alcune osservazioni geologiche sul Vulcano Laziale e spezialmente sul Monte Cavo	08	I	46
Möller, H.: Bidrag till Bornholms fossila Flora. Pteridophyter	08	I	451
— Bidrag till Bornholms fossila Flora (Rhät och Lias). Gymnospermer	08	I	452
Mönkemeyer, K.: Ueber die Bildung von Mischkristallen der Blei-, Silber-, Thallo- und Cuprohalogene aus Schmelzfluß	*BB*	*XXII*	*1*
Moffit, F. H.: Gold Fields of the Turnagain Arm Region	08	II	377
Moissan, H.: Nouvelles recherches sur la météorite de Cañon Diablo	06	II	187

	Jahrg.	Bd.	Seite
Moissan, H.: Sur quelques expériences nouvelles relatives à la préparation du diamant	1906	II	153
— Sur l'augmentation de volume de la fonte liquide saturée de carbone au four électrique, au moment de la solidification	06	II	154
— Étude du siliciure de carbone de la météorite de Cañon Diablo 1907 I 364	07	II	202
— Sur la destillation du titane et sur la température du soleil	08	I	211
— siehe Kunz, G. F.			
Moissan, H. et F. Osmond: Étude micrographique de la météorite de Cañon Diablo 1907 I 364	07	II	201
Molengraaff, G. A. F.: Notes on our present knowledge of the occurrence of nepheline syenite and allied rocks in the Transvaal	06	I	68
— The Vredefort Mountain-Land	06	I	99
— Preliminary note on a hitherto unrecognised formation underlying the Black Reef Series	06	I	99
— Note on the Geology of a portion of the Klerksdorp district, with special reference to the development of the Lower Witwatersrand beds and the Vaal River System	07	I	111
— Note on some rock specimens exhibited at the meeting of the Geological Society of South Africa in February 1905	07	I	235
Molyneux, J. C.: The sedimentary deposits of Southern Rhodesia	05	II	268
Monaco, E.: Sulla giobertite del Val della Torre (Torino)	06	I	333
— Sull' impiego delle rocce leucitiche nella concimazione	06	I	377
— Sull' impiego delle rocce leucitiche nella concimazione. III.	08	II	212
Monge, siehe Hernando y Monge, B.			
Monke, H. und F. Beyschlag: Ueber das Vorkommen des Erdöls	07	II	86
Montagnier, H. F., siehe Brun, A. et Montagnier, H. F.			
Montessus de Ballore, F. de: Sur les tremblements de terre des Andes méridionales	06	I	41
— Sur les tremblements de terre de la Roumanie et de la Bessarabie	06	I	42
— Sur la coïncidence entre les géosynclinaux et les grands cercles de sismicité maxima	07	II	46
— Sur les prétendues lois de répartition mensuelle des tremblements de terre	08	I	50
Moodie, R. L.: The Sacrum of the Lacertilia	09	I	441
— Reptilian Epiphyses	09	I	442
— The relationship of the Turtles and Plesiosaurs	09	I	442
— Contribution to a monograph of the extinct Amphibia of North America. New forms from the Carboniferous	09	II	132
— The lateral line system in extinct Amphibia	09	II	135
— The ancestry of the caudate Amphibia	09	II	136
— The clasping organs of extinct and recent Amphibia	09	II	137
Mordziol, C.: Ueber den Zusammenhang des Pliocäns des Mainzer Beckens mit dem am Niederrhein	08	I	268
— Ueber das jüngere Tertiär und das Diluvium des rechtsrheinischen Teiles des Neuwieder Beckens	09	I	239
— Beitrag zur Gliederung und zur Kenntnis der Entstehungsweise des Tertiärs im Rheinischen Schiefergebirge	09	I	240
— *Ueber Agnostus pisiformis L.*	*CBl 1908 535*		

	Jahrg.	Bd.	Seite
Morellet, L.: Deux Algues siphonées verticillées du Thanétien de Boncourt (Oise)	1908	II	406
— Contribution à l'étude stratigraphique des Sables moyens de la vallée de la Marne entre Meaux et Chateau-Thierry	09	II	468
Morgan, C. Lloyd, siehe Lloyd Morgan, C.			
Morgan, J. de: Mission scientifique en Perse. 3. Band: Études géologiques. Partie 4: Paléontologie. Mollusques fossiles par H. Douvillé	06	I	442
Morin, M.: Sur la géologie de la vallée de la Marne entre Lagny et Chalifert (Seine et Marne)	09	II	468
— Sur l'Étage stampien et la présence des Grès de Romainville à Thorigny-Dampmard (Seine et Marne)	09	II	468
Morozewicz, J.: Ueber Beckelith, ein Cero-Lanthano-Didymosilikat von Calcium	06	I	341
— Die Eisenerzlagerstätten des Magnetberges im südlichen Ural und ihre Genesis	06	I	380
— Ueber die chemische Zusammensetzung des Nephelins	09	I	9
— Beiträge zur Kenntnis des kohlensauren Calciums	09	II	341
— *Ueber gewisse Unzulässigkeiten in der Experimentalmethodik*	*CBl*	*1905*	*148*
Morris, H. C.: Hydrothermal activity in the veins at Wedekind, Nevada	05	I	426
Morrison, M.: Notes on some of the Dykes and Volcanic Necks of the Sydney District with Observations on the Columnar Sandstone	07	I	402
Moser, L. K.: Manganerzvorkommen von Kroglje bei Dolina in Istrien	05	I	99
— Bericht über die Ausgrabung in der Höhle am roten Felde oder auch Podkalem (Pokala) genannt	06	I	132
Moses, A. J.: The crystallization of Molybdenite	05	II	8
— The crystallization of Luzonite; and other crystallographic notes	06	II	157
Moses, A. J. und A. F. Rogers: Nachtrag zu dem Aufsatze „Formeln und graphische Methoden zur Bestimmung von Kristallen“ usw.	05	II	331
Mostowich, Wl., siehe Doeltz, F. O.			
Moulin, F.: L'abri du Bau de l'Aubesier (Vaucluse)	06	I	134
— Le dépôt moustérien de la caverne de Chateaudouble, Var.	06	I	134
Mouret, G.: Note sur Frayssinet-Le-Gélat (Lot)	06	I	290
Moureu, Ch.: Sur la composition chimique des mélanges gazeux radioactifs qui se dégagent de l'eau de quelques sources thermales. Présence de l'hélium	07	II	53
— Sur les gaz des sources thermales. Détermination des gaz rares; présence général de l'argon et de l'hélium	08	I	364
Moureu, Ch. et R. Biquard: Sur la présence du néon parmi les gaz de quelques sources thermales	08	I	365
— — Sur le fractionnement des gaz rares des eaux minérales. Proportions d'hélium	08	I	365
Mourlon, M.: L'extension probable du faciès marin du Tongrien supérieur aux environs de Bruxelles	05	II	431
— Compte rendu de l'Excursion géologique aux environs de Bruxelles dans la région faillée de Forest-Uccle	06	II	429
— Le Bruxellien des environs de Bruxelles	06	II	429
— Compte rendu de l'excursion géologique aux environs de Bruxelles, à l'occasion des grands déblais effectués à Forest pour la création de nouvelles avenues	08	II	93
— siehe Lorié, J.			

	Jahrg.	Bd.	Seite
Mrazec, L.: Distribuirea geologică a zonelor petrolifere in România	1906	II	390
— siehe Alimanestianu, C.			
— siehe Duparc, L.			
Mügge, O.: Ueber die Kristallform und Deformationen des Bischofit und der verwandten Chlorüre von Kobalt und Nickel	*06*	*I*	*91*
— Die Zersetzungsgeschwindigkeit des Quarzes gegenüber Flußsäure	07	II	178
— *Zur Hemiedrie des Sylvins*	*CBl 1906*		*259*
— *Radioaktivität als Ursache der pleochroitischen Höfe des Cordierit*	*CBl 1907*		*397*
— *Sandstein mit Flußspatzement*	*CBl 1908*		*33*
— *Ueber einige Demonstrationsversuche an Leucit, Kryolith, Perowskit, Gadolinit, Quarz und Quarzglas mit dem Lehmann'schen Erhitzungsmikroskop*	*CBl 1908*		*34*
— *Bemerkungen und Versuche zu Tschermak's Methode der Darstellung von Kieselsäuren durch Zersetzung der natürlichen Silikate*	*CBl 1908*		*129*
— *Zur Tschermak'schen Methode der Darstellung der Kieselsäuren*	*CBl 1908*		*325*
— *Radioaktivität und pleochroitische Höfe*	*CBl 1909*		*65. 113. 142*
— *Trigonale Hemiedrie*	*CBl 1909*		*636*
— *Ueber die Zustandsänderung des Quarzes bei 570°*	*Festband*		*181*
— siehe Johnsen, A.			
Mühlberg, F.: Geologische Karte des unteren Aare-, Reuß- und Limmat-Tales in 1:25 000. Mit Erläuterungen	08	I	408
— Geologische Karte der Lägernkette in 1:25 000. Mit Erläuterungen	08	I	408
— Beobachtungen bei der Neufassung der Limmatquelle (zu Baden) und über die dortigen Thermen im allgemeinen	09	I	83
— Einige Ergebnisse der staatlichen Kontrollbohrung auf Steinsalz bei Koblenz im Jahre 1903	09	I	105
— Erläuterungen zu den geologischen Karten des Grenzgebietes zwischen dem Ketten- und dem Tafeljura im Maßstab 1:25 000. II. Teil. Geologische Karte des unteren Aare-, Reuß- und Limmattales	09	I	434
Müller, E.: Ueber Härtebestimmung	07	I	190
Müller, G.: Ueber die neueren Aufschlüsse im westlichen Gebiete des rheinisch-westfälischen Steinkohlenbeckens	07	I	412
— Zur Kenntnis der Dyas- und Triasablagerungen im Ruhrkohlenrevier	07	I	412
— Die Dyas und Trias an der holländischen Grenze	07	I	412
— Lias und Rhät am Niederrhein	07	I	414
— Die Lagerungsverhältnisse der unteren Kreide westlich der Ems und die Transgression des Wealden	07	I	434
— siehe Koenen, A. v.			
Müller, G. und A. Wollemann: Die Molluskenfauna des Untersenon von Braunschweig und Ilsede. II. Die Cephalopoden	07	I	482
Müller, H.: Essexit und verwandte Gesteine der Löwenburg im Siebengebirge am Rhein	*BB XXIII*		*406*
Müller, W.: Notiz über die Kugelgranite des Riesengebirges	*CBl 1908*		*137*
Müller, Wolf. J., siehe Königsberger, J.			
Münster, H.: Die Brauneisenerzlagerstätten des Seen- und Ohmtals am Nordrand des Vogelsgebirges	07	I	77
Munck, E. de: Découverte d'Éolithes sous le sable tertiaire (Om) de Rocourt-lez-Liège	09	I	107

	Jahrg.	Bd.	Seite
Munier-Chalmas: Note sur la Zone d'Anvers (Bartonien inférieur)	1907	II	297
Munroe, Ch. E.: Artificial Hematite Crystals	09	I	8
Munthe, H., siehe Holm, G.			
Muret, E., siehe Finsterwalder			
— siehe Ried, H. F.			
Murgoci, G. M.: On the Genesis of Riebeckite and Riebeckite Rocks	07	II	224
— Gisement du succin de Rumanie avec un aperçu sur les résines-fossiles: succinite, romanïte, schraufite, simétite, birmite etc., et une nouvelle résine-fossile d'Olănesti.	08	I	357
Mylius, F. und E. Groschuff: *a*- und *b*-Kieselsäure in Lösung	07	I	22

N.

Nacken, R.: Ueber Langbeinit und Vanthoffit ($K_2SO_4 . 2MgSO_4$ und $3Na_2SO_4 . MgSO_4$)	08	II	167
— *Ueber die Bildung und Umwandlung von Mischkristallen und Doppelsalzen in den binären Systemen der dimorphen Sulfate von Lithium, Natrium, Kalium und Silber*	*BB*	*XXIV*	*1*
— *Ueber die gegenseitige Mischbarkeit der Kadmiumhalogene*	*CBl*	*1907*	*301*
— *Ueber den Verlauf der Erstarrungskurve eines binären Systems an einer Stelle, die dem Auftreten einer Verbindung entspricht*	*CBl*	*1907*	*329*
— *Ueber die umkehrbare Umwandlung des Kryoliths*	*CBl*	*1908*	*38*
— siehe Cornu, F.			
Nägele, E.: Das „Neue Jahrbuch" von 1807—1907	*Festband*		*VII*
Nakamura, S.: Ueber einen Quarzhalbschattenapparat	*CBl*	*1905*	*267*
Nakamura, S. et Y. Yoshida: Etudes des Seiches au Japon; les Seiches des Lacs Biwa et Hakone	07	I	381
Napoli, F.: Contribuzione allo studio dei foraminiferi fossili dello strato di sabbie grigie alla Farnesina presso Roma	07	II	161
Nasini, R., F. Anderlini e M. G. Levi: Sulla radioattività dei soffioni boraciferi della Toscana e sulla quantità di emanazione in essi contenuata	05	II	344
Nasini, R. e M. G. Levi: Sulla radioattività della sorgente di Fiuggi presso Anticoli	08	II	53
Nathorst, A. C.: Bemerkungen über Clathropteris meniscioides Brongniart und Rhizomopteris cruciata Nathorst	08	I	143
— Ueber Dictyophyllum und Camptopteris spiralis	08	I	144
— Paläobotanische Mitteilungen 1 und 2	08	I	145
— Ueber Trias- und Jurapflanzungen von der Insel Kotelny	08	I	146
— Ueber Thaumopteris Schenki Nath.	08	I	147
— Om några Ginkgoväxter fran kolgrufvorna vid Stabbarb i Skåne	08	I	147
— Paläobotanische Mitteilungen 3 und 4—6	09	I	152
— On the upper Jurassic Flora of Hope Bay, Graham Land	09	II	154
— Ueber die Gattung Nilssonia Brongn. Mit besonderer Berücksichtigung schwedischer Arten	09	II	154
Naumann, E.: Aufnahmeergebnisse im SW. des Hainichs. Bericht über die Aufnahme der Blätter Henningsleben, Mihla und Treffurt in den Jahren 1903 und 1904	06	II	230
— Ueber eine präglaziale Fauna und über die Aequivalente der Ablagerungen des jüngeren Eises im Saaletale bei Jena 1908 II 97	09	II	108
— siehe Kaiser, E.			

	Jahrg.	Bd.	Seite
Naumann, E. und E. Picard: Ueber Ablagerungen der Ilm und Saale vor der ersten Vereisung Thüringens	1907	II	461
	1908	I	434
— — Weitere Mitteilungen über das diluviale Flußnetz in Thüringen	08	II	248
Négris, Ph.: Erwiderung an Herrn C. Renz	CBl	1909	605
Nehring, A.: Ueber die Molluskenfauna aus dem Löß des Gipsbruches von Thiede bei Wolfenbüttel	05	I	309
— Neue Funde diluvialer Tierreste vom Seweckenberge bei Quedlinburg	06	I	140
— siehe Menzel, H.			
— siehe Wollemann, A.			
Nelson Dale, T., siehe Dale, T. Nelson.			
Nenadkewitsch, K.: Materialien zur Kenntnis der chemischen Zusammensetzung russischer Mineralien. I. Ueber Tetradymit aus russischen Goldlagerstätten	09	II	332
— II. Molybdänglanze	09	II	333
Nernst, W., siehe Lehmann, O.			
Nernst, W. und H. v. Wartenberg: Ueber den Schmelzpunkt des Platins und Palladiums	08	I	9
Nettekoven, A. und E. Geinitz: Die Salzlagerstätte von Jessenitz in Mecklenburg	07	I	87
Neuberg, C.: Die Entstehung des Erdöls (künstliche Darstellung von optisch aktivem Petroleum)	08	II	41
Neugebauer, Fr.: Ueber eine neue chemische Untersuchung des Dognacskaits	07	II	16
— Die Kristalltracht von einfachen und Karlsbader Zwillingen des Orthoklases	08	I	17
Neumann, J.: Die Oxfordfauna von Cetechowitz	07	II	443
Neumann, R.: Beiträge zur Kenntnis der Kreideformation in Mittel-Peru	*BB*	*XXIV*	*69*
— Eine Jura-Versenkung im unteren Wehratale	*CBl*	*1906*	*40*
Neumann-v. Erlanger, siehe Weber, M.			
Neumayer, L.: Ueber das Gehirn von Adapis parisiensis Cuv.	*06*	*II*	*100*
— Die Koprolithen des Perms von Texas	07	I	319
Neumayr, M., siehe Uhlig, V.			
Neuwirth, V.: Der Albit von Zöptau in Mähren	05	I	186
— Der Epidot von Zöptau in Mähren	05	I	187
— Ueber einige interessante Epidotkristalle von Zöptau	05	I	187
— Die Zeolithe aus dem Amphibolitgebiet von Zöptau	06	I	343
— Die paragenetischen Verhältnisse der Minerale im Amphibolitgebiet von Zöptau	08	I	202
Neviani, A.: Schizotheca serratimargo Hincks sp. Rettificazione di nomenclatura	05	II	143
— Briozoi fossili di Carrubare (Calabria)	05	II	144
Newest, Th.: Einige Weltprobleme. Die Gravitationslehre — ein Irrtum	CBl	1905	439
— Einige Weltprobleme. II. Teil. Gegen die Wahnvorstellung vom heißen Erdinnern	CBl	1906	51
Newland, D. H.: Occurrence of Unusually Large Calcite Crystals in New York State	08	II	16
Newson, J. F.: A Natural Gas Explosion near Waldron, Indiana	05	I	57
— Clastic Dikes	06	I	224
Newton, Edw. T., siehe Arnold-Bemrose, H. H. A.			

	Jahrg.	Bd.	Seite
Newton, R. B.: An Account of some Marine Fossils contained in Limestone Nodules found on the Mekran Beach, off the Ormara Headland Baluchistan	1906	I	117
— Notice of some Fossils from Singapore discovered by John Scrivenor, Geologist to the Federated Malay States	07	I	287
— The Tertiary Fossils of Somaliland, as represented in the British Museum (Natural History)	07	II	303
Newton, R. B. and R. Holland: On some fossils from the Islands of Formosa and Riu-Kiu (Loo Choo)	06	II	9
Nichols, H. W.: New forms of concretions	08	II	6
Nicolau, Th.: Der Aragonit von Sarul Dornei	07	II	356
Nicou, P.: Les calcaires asphaltiques du Gard	08	II	222
Niedźwiedzki, J.: Geologische Skizze des Salzgebirges von Wieliczka	05	II	117
— *Zur mineralogischen Terminologie*	*CBl 1909*		*661*
Nies, A. und E. Düll: Lehrbuch der Mineralogie und Geologie	CBl 1905		728
Nies, A. und V. Goldschmidt, Ueber Korund	*08*	*II*	*97*
Niethammer, G.: Die Klippen von Giswyl am Brünig	*CBl 1907*		*481*
Nodon, A.: Recherches sur les variations du potentiel terrestre	09	I	362
Noel, E.: Sur l'orientation que prend un corps allongé pouvant rouler sur les fonds dans un courant liquide	07	II	398
Nörregaard, E. M.: Bernstein und Retinit von dänischen Tertiärablagerungen	06	I	347
— Dolomitforekomsten ved Faxe	07	I	221
— Ueber sogenannten Aragonit und Strahlkies in dänischen Ablagerungen	08	I	201
Noetling, F.: Ueber die Ontogenie von Indoceras baluchistanense Noetling	*05*	*I*	*1*
— Die asiatische Trias. Lethaea geognostica. II. Teil: Das Mesozoicum. Bd. I: Trias. 2. Liefg.	06	I	410
— *Weitere Mitteilungen über craquelierte Archäolithen aus Tasmanien*	*09*	*I*	*73*
— *Die Glazialschichten bei Wynyard in Nordwest-Tasmanien*	*09*	*II*	*163*
— *Vorläufige Mitteilung über die Entwickelung und die Gliederung der Tertiärformation im westlichen Sind (Indien)*	*CBl 1905*		*129. 161*
— *Bemerkungen über die angebliche Menschenspur im Sandstein von Warrambool (Victoria) Australien*	*CBl 1907*		*498*
— *Der Abdruck der Hinterfüße des rezenten Känguruhs*	*CBl 1908*		*725*
— *Sind die „craquelierten Feuersteine" aus dem Oligocän von Thenay als Artefakte aufzufassen?*	*CBl 1908*		*748*
— *Entwurf einer Gliederung der jungtertiären und diluvialen Schichten Tasmaniens*	*CBl 1909*		*4*
— siehe Basedow, H.			
— siehe Koken, E.			
Nold, A.: Grundlagen einer neuen Theorie der Kristallstruktur	1906	II	315. 316
Nopcsa, F. v.: Zur Kenntnis des Genus Streptospondylus	08	II	437
— Ideas on the origin of flight	09	I	282
— Zur Kenntnis der fossilen Eidechsen	09	I	447
— *Neues aus Nordalbanien*	*CBl 1906*		*65*
— *Zur systematischen Stellung von Palaeodon*	*CBl 1907*		*526*
Nordenskjöld, A. E.: Einige Bemerkungen zu der brieflichen Mitteilung des Herrn Professors Clemens Winkler über die Zusammensetzung des Eisens von Ovifak etc.	05	I	367
— Ueber die Säugetierfossilien des Tarijatales, Südamerika. I. Mastodon andium Cuv.	05	I	336

	Jahrg.	Bd.	Seite
Nordenskjöld, O.: Petrographische Untersuchungen aus dem westantarktischen Gebiete	1906	II	71
Nordmann, V.: Danmarks Pattedyr i Fortiden	06	I	445
Norton Evans, N.: Chrysoberyl from Canada	07	I	19
Norton Evans, N. and J. A. Bancroft: On the occurrence of Gedrite in Canada	09	II	344
Novarese, V.: Nuovi giacimenti piemontesi di giadeititi e roccie giadeitoidi	05	II	67
— La grafite nelle Alpi piemontese	06	I	329
— A proposito di un Trattato di petrografia di E. Weinschenk e sul preteso rapporto fra le rocce della zona d'Ivrea e le pietre verti della zona dei calcescisti	07	I	228
Nowomejsky, M. A.: Das Vorkommen von Glaubersalz (Mirabilit) und Solquellen am Jenissei-Flusse in Sibirien	09	II	246
— siehe Salomon, W.			
Nuesch, J.: Das Keßlerloch bei Thayingen, Kanton Schaffhausen	07	I	294
Nußberger, G.: Die chemische Untersuchung der Mineralquelle Chasellas bei Campfèr (Oberengadin)	07	II	87
Nußberger, G. und H. His: Die chemische Untersuchung einiger Mineralquellen des Unterengadins	07	II	87

O.

Oberdorfer, R.: Die vulkanischen Tuffe des Ries bei Nördlingen	06	II	203
Obermaier, H.: La station paléolithique de Krapina	06	II	277
— Les restes humaines quaternaires dans l'Europe centrale	07	I	120
Ochoa, N. G.: Recursos Minerales de la Provincia de Huánuco	05	I	388
Ochsenius, C.: Ueber junge Hebungen in den Anden	05	I	232
— Ueber den Untergrund von Venedig	05	II	123
— Salpeterablagerung in Chile	06	I	238
— Die Abtrennung voller Seebecken vom Meere infolge von Hebungen	06	II	194
— Hebungen und Verhinderung des Versalzens abflußloser Becken	06	II	194
— Uebereinstimmung der geologischen und chemischen Bildungsverhältnisse in unseren Kalilagern	07	I	88
Ohlshausen: Ueber einen Ausflug nach den diluvialen Fundstätten bei Schönebeck a. E.	06	I	130
Ohnesorge, Th.: Die vorderen Kuchetaler Berge (Hochedergruppe)	08	II	66
— Ueber Vesuvaschenfälle im nordöstlichen Adriagebiete im April 1906	09	I	362
— Ueber Silur und Devon in den Kitzbühler Alpen	09	I	415
Olbricht, K.: Ueber das Klima der Postwürmzeit und die Bedeutung der Terrassen des Ilmenautales (Lüneb. Heide) für die Erkenntnis desselben	*CBl 1909*		*599*
— Ueber einige ältere Verwitterungserscheinungen in der Lüneburger Heide	*CBl 1909*		*690*
Oldham, R. D.: A Note on the Sandhills of Clifton near Karachi	05	II	417
— The rate of transmission of the Guatemala earthquake, April 19. 1902	07	II	47
— The Constitution of the Interior of the Earth, as revealed by Earthquakes	07	II	207

	Jahrg.	Bd.	Seite
Oliver, F. W.: Lyginodendron	1907	I	163
— The Ovules of the older Gymnosperms	07	I	163
— On Physostoma elegans Williamson. An Archaic Type of Seed from the Palaeozoic Rocks	09	I	309
Oliver, F. W. and D. H. Scott: On Lagenostoma Lomaxi, the Seed of Lyginodendron	07	I	163
— — On the structure of the Palaeozoic Seed Lagenostoma Lomaxi, with a statement of the evidence upon which it is referred to Lyginodendron	07	I	163
Olszewski, St.: Ueber die Rohöl führenden miocänen resp. oberoligocänen Schichten des Tales Putilla in der Bukowina	06	I	237
Oort, E. D. van: Notiz über Halitherium	*CBl 1905*		*21*
Oppenheim, P.: Revision der tertiären Echiniden Venetiens und des Trentino, unter Mitteilung neuer Formen	05	II	149
— Ueber Tertiärfossilien, wahrscheinlich eocänen Alters, von Kamerun. Esch: Beiträge zur Geologie von Kamerun	06	II	122
— Ueber die Fossilien der Blättermergel von Theben	06	II	122
— Ueber einige Fossilien des Côte des Basques bei Biarritz	06	II	439
— Ueber das Miocän in Oberschlesien	07	II	294
— Ueber eine Eocänfaunula von Ostbosnien und einige Eocänfossilien der Herzegowina	09	I	292
— *Ueber von Herrn A. v. Le Coq gesammelte Heterastridien vom Karakorumpasse (Kleintibet)*	*CBl 1907*		*722*
— *Noch einmal über Kerunia cornuta May.-Eymar aus dem Eocän Aegyptens*	*CBl 1907*		*751*
— *Ueber die Gattung Campanile Bayle und über eine Anzahl von Cerithien, zumal des älteren Tertiär*	*CBl 1909*		*203*
Oppenheimer, J.: Der Malm der Schwedenschanze bei Brünn	08	I	421
Ordoñez, E.: A brief Review of the Mining Industry of Mexico	09	II	82
Ortmann, A. E.: Patagonian Geology	1905	I	132. 144
— The geographical distribution of freshwater Decapodes and its bearing upon ancient geography	05	II	318
Osann, A.: Beiträge zur chemischen Petrographie. I. Teil: Molekularquotienten zur Berechnung von Gesteinsanalysen	05	I	57
— Notes on archaean rocks of the Ottawa Valley	05	I	248
— Versuch einer chemischen Klassifikation der Eruptivgesteine. IV. u. Schluß	05	I	412
— Beiträge zur chemischen Petrographie. II. Teil. Analysen der Eruptivgesteine aus den Jahren 1884—1900. Mit einem Anhang: Analysen isolierter Gemengteile	06	I	203
— *Ueber einen nephelinreichen Gneis von Cevadaes, Portugal*	*07*	*II*	*109*
— Ueber einige Alkaligesteine aus Spanien	07	II	407
— *Ueber einen Enstatitaugit führenden Diabas von Tasmanien*	*CBl 1907*		*705*
Osborn, H. F.: An Armadillo from the Middle Eocene (Bridger) of North America	05	II	125
— Ornitholestes Hermanni, a new compsognathoid Dinosaur from the Upper Jurassic	06	I	152
— New Miocene Rhinoceroses with Revision of known Species	06	II	133
— Recent vertebrate Paleontology	07	I	126
— The vertebrates of the Mid-Cretaceous	07	I	439
— Ten years progress in the Mammalian Palaeontology of North America	07	I	454
— A mounted skeleton of Naosaurus, a Pelycosaur from the Permian of Texas	07	II	329

	Jahrg.	Bd.	Seite
Osborn, H. F.: Tyrannosaurus and other cretaceous carnivorous Dinosaurs	1907	II	492
— New fossil mammals from the Fayum, Oligocene, Egypt.	08	II	427
Osborn, H. F. and L. M. Lambe: On Vertebrata of the Mid-Cretaceous of the North West Territory. 1. Osborn: Distinctive characters of the Mid-Cretaceous fauna. 2. Lambe: New genera and species from the Belly river series (Mid-Cretaceous)	07	I	439
Osburn, R. C.: Adaptation to aquatic, arboreal, fossorial and cursorial habits of Mammals	06	I	134
Osimo, G.: Il genere „Siderolithes" Lamk.	08	II	285
— Di alcuni foraminiferi dell' Eocene superiore di Celebes	08	II	285
Osmond, F., siehe Moissan, H.			
Osmond, F. et G. Cartaud: Sur les fers météoriques	05	I	215
— — Sur le polissage et les phénomènes scientifiques connexes	06	I	8
— — Les figures de pression ou de percussion sur les métaux plastiques cristallisés	07	I	189
— — Sur la cristallographie du fer	1908	I	171. 172
Osmond, F. et Ch. Frémont: Les propriétés mécaniques du fer en cristaux isolés	07	I	17
Ossat, G. Angelis d', siehe Angelis d'Ossat, G. de.			
Ostermayer, A.: Beiträge zur Kenntnis der Basalte des Haßgaues	08	II	368
Ozegow, P.: Ueber die Zersetzung des Eisenkieses durch Wasserstoffsuperoxyd	05	II	11

P.

Palache, Ch.: On Octahedrite, Brookite and Titanite from Somerville, Massachusetts, U. S. A.	07	II	381
— Occurrence of Olivine in the Serpentine of Chester and Middlefield, Mass.	09	I	15
— Mineralogical notes	09	I	20
Palache, Ch. and C. H. Warren: Kröhnkite, Natrochalcite (a new mineral) and other Sulphates from Chile	09	II	203
Palache, Ch. and H. O. Wood: A cristallographic Study of Millerite 1906 I 12	06	II	323
Pálfy, M. v.: Die oberen Kreideschichten in der Umgebung von Alvincz	05	I	301
— Die linke Seite des Aranyos-Tales zwischen Tepánfalva und Offenbanya	06	I	260
— Ueber die geologischen und hydrologischen Verhältnisse von Borszékfürdö und Gyergyóbélbor	06	II	94
— Beiträge zur genaueren Kenntnis des Gesteins vom Kirnik bei Verespatak	07	I	64
— Geologische Notizen aus dem Tale des Aranyos-Flusses	07	I	106
— Einige Bemerkungen zu Bergassessor Semper's Beiträgen zur Kenntnis der Goldlagerstätten des Siebenbürgischen Erzgebirges	07	I	252
— Zwei neue Inoceramus-Arten aus den oberen Kreideschichten der siebenbürgischen Landesteile	07	I	485
— Das Goldvorkommen im Siebenbürgischen Erzgebirge und sein Verhältnis zum Nebengestein der Gänge	09	I	231
Palloux, A.: Contributi alla mineralogia della Sardegna. II. Sopra alcuni cristalli di idocrasio del Sarrabus e dell' Iglesiente	09	II	25

	Jahrg.	Bd.	Seite
Pampaloni, L.: Microflora e microfauna fossile nel disodile di Melilli in Sicilia	1905	II	152
— I resti organici nel disodile di Melilli in Sicilia	05	II	152
Panebianco, R.: Encore sur les paramètres d'équivalence, ou sur l'ingénieuse théorie de Barlow et de Pope	09	II	328
Panichi, U.: Sulla variazione dei fenomeni ottici dei minerali al variare della temperatura	08	I	163
Pannekoek, J. J.: Geologische Aufnahme der Umgebung von Seelisberg	09	I	84
Pantanelli, D.: Sur les puits artésiens	05	I	54
— Peso specifico e indice di refrazione del quarzo fuso	05	II	14
— Di un pozzo artesiano nella pianura fra Viareggio e Pietrasanta	06	II	79
— Su gli otolithi fossili	06	II	297
Panzer, Th., siehe Ludwig, E.			
Paolo, P.: Contributo allo studio dei Radiolari miocenici italiani	09	II	490
Papius, K. v.: Das Radium und die radioaktiven Stoffe. Gemeinverständliche Darstellung nach dem gegenwärtigen Stande der Forschung mit Einflechtung von experimentellen Versuchen und unter besonderer Berücksichtigung der photographischen Beziehungen	05	II	336
Papp, K. v.: Vorläufige Mitteilung über den miocänen Balaenopteriden von Borbolya	05	II	305
— Heterodelphis leiodontus n. f. aus den miocänen Schichten des Komitates Sopron in Ungarn	06	II	449
— Die geologischen Verhältnisse in der Umgebung von Petris	07	I	273
— Die Goldgruben von Karács-Czebe in Ungarn	08	I	403
— Beschreibung der während der Forschungsreisen M. v. Dechys im Kaukasus gesammelten Versteinerungen	08	II	81
Papperitz, E.: Die Gebäude und Einrichtungen der Königlich Sächsischen Bergakademie zu Freiberg nach der Vollendung des Um- und Erweiterungsbaues im Oktober 1906	07	I	371
— Ueber die Entwicklung der Freiberger Bergakademie seit ihrer Begründung im Jahre 1765	07	I	371
— Clemens Winkler	07	I	371
— Adolf Ledebur	07	I	371
Paquier, V.: Feuilles de Privas et Vizille	05	I	281
— Explorations géologiques exécutées dans le Dauphiné pendant l'année 1900	07	II	124
Parisch, C.: Di alcune Nummuliti e Orbitoidi dell' Apennino ligure-piemontese	08	II	286
Park, J.: On the jurassic Age of the Maitai Series	05	II	275
— On the Age and Relations of the New Zealand Coalfields	05	II	277
— On the subdivision of the Lower Mesozoic rocks of New Zealand	05	II	418
— On the geology of North Head, Waikouaiti, and its relation to the geological history of Dunedin	05	II	421
— On the discovery of permo-carboniferous rocks at Mount Mary, North Otago	05	II	423
— On the marine tertiaires of Otago and Canterbury, with special reference to the relations existing between the Pareora and Oamaru series	06	I	433
— Description of a new species of Pecten from the Oamaru series	06	I	467
— On the fixing of datum-marks on the coastline for the measurement of the secular movements of the land	07	II	45

	Jahrg.	Bd.	Seite
Parkinson, J.: The Rocks of Northern Guernsey	1909	II	229
Parks, W. A.: A remarkable Parasite from the Devonian rocks of the Hudson bay slope	07	I	156
Parnell, P. F.: Beiträge zur petrographischen Kenntnis einiger foyaitisch-theralitischer Gesteine aus Tasmanien	08	I	388
Parsons, J.: Additional report on an occurrence of Cassiterite	06	I	166
— siehe Coomaraswamy, A. K.			
Pasquale, M.: Revisione dei Selaciani fossili dell' Italia meridionale	05	II	479
Patten, W.: On the Origin of Vertebrates. With special Reference to the structure of Ostracodermes	05	II	133
Patton, H. B., siehe Diller, J. S.			
Paulcke, W.: Geologische Beobachtungen im Antirhätikon	08	I	251
Pauly, A.: Ein neues Mineral der Zeolithgruppe	08	I	32
— *Zur mikroskopischen Charakterisierung des Sarkolith*	*CBl*	*1906*	*266*
Pavlović, P. S.: Beitrag zur Kenntnis der Foraminiferen aus den II. Mediterranschichten in Serbien	09	II	147
Pavlow, A. W.: Sur la distribution des dépôts jurassiques dans la Russie sudorientale	07	I	283
Pavlow, M.: Selenodontes posttertiaires de la Russie. IX. Études sur l'histoire des Ongulés	07	II	299
— Description des mammifères fossiles, receuillis durant l'expédition polaire Russe en 1900—1903. Resultats scientifiques de l'Expedition Russe en 1900—1903 sous la direction du Baron E. Toll	07	II	301
— Rhinoceros Schleiermacheri Kaup des environs d'Ananjew	07	II	478
— Dinotherium giganteum Kaup des environs de Tiraspol	07	II	479
Pavlow, P.: Thermodynamische Kristalleigenschaften	05	II	169
— Ueber einige Eigenschaften der Kristalle vom Standpunkte der Thermodynamik	07	I	183
— Ueber die Abhängigkeit zwischen der Kristallform und dem Zustande der Lösung	07	I	184
— Ueber die Bedingungen der Bildung von Kristallen verschiedener Form in einem flüssigen Medium	07	II	11
Pavlow, P. (Pawloff, P.), siehe Pockels, F.			
Pawloff, P.: Die thermodynamische Theorie der Kristalle	*CBl*	*1907*	*711*
Pax, F.: Einige fossile Insekten aus den Karpathen	08	II	113
Pearce, F.: Ueber die optischen Eigenschaften der Kristalle im konvergenten polarisierten Lichte	07	I	187
— siehe Duparc, L.			
Pearce, R.: Cassiteritepseudomorphs from Bolivia	08	II	300
Peck, F. B.: Geology of the Cement Belt in Lehigh and Northampton Counties, Penna., with a Brief History of the Origin and Growth of the Industry and a Description of the Methods of Manufacture	09	II	244
Pélabon, H.: Sur la fusibilité des mélanges de protosulfure de bismuth et de sulfure d'argent, de protosulfure de bismuth et de sulfure d'antimoine	05	I	12
Pelacani, L.: Studio chimico delle zeoliti di Montresta (Sardegna)	09	II	26
Pelikan, A.: Cordierithornfels aus dem Kontakthofe von Rican, südöstlich von Prag	08	I	58
— Ueber zwei Gesteine mit primärem Analcim nebst Bemerkungen über die Entstehung der Zeolithe	08	I	376
Pellat, E.: Note sur le Toxaster amplus Desor	05	II	149

	Jahrg.	Bd.	Seite
Pelloux, A.: Contributi alla mineralogia della Sardegna. I. Atacamite, valentinite, leadhillite, caledonite, linarite e altri minerali dell' Argentiera della Nurra (Portotorres)	1906	I	31
Penck, A.: Die alpinen Eiszeitbildungen und der prähistorische Mensch	06	II	270
— Die Entstehung der Alpen	09	II	45
Penck, A. und F. Becke: Das Durchbruchtal der Wachau und die Lößlandschaft von Krems	05	II	295
Penck, A. und E. Brückner: Die Alpen im Eiszeitalter	05	II	39
Penck, siehe Boule, M.			
Penecke, A.: Ueber eine neue Korallengattung aus der Permformation von Timor. Aus: R. D. M. Verbeek, Rapport sur les Moluques	09	II	141
Penfield, G. L.: Tables of Minerals including Uses of Minerals and Statistics of the Domestic Production	CBl	1908	90
Penfield, S. L. and W. E. Ford: On Stibiotantalite	07	II	185
Penfield, S. L. and G. S. Jamieson: On Tychite, a new mineral from Borax Lake, California, and on its artificial production and its relation to Northupite	06	II	162
Penfield, S. L. and F. C. Stanley: On the chemical composition of Amphibole	08	II	22
Penrose jr., R. A. F.: Die Zinnerzlagerstätten der malayischen Halbinsel, insbesondere die des Kinta-Distriktes	05	I	100
Penther, A., siehe Seemann, Fr.			
Perdue, M. J., siehe Grant, U. S. and Perdue, M. J.			
Peron, A.: Note stratigraphique sur l'étage Aptien dans l'est du Bassin Parisien	06	I	291
— Etudes paléontologiques sur les terrains du département de l'Yonne. II. Les Néréidés des terrains jurassiques	06	I	317
Perry, J. H.: Geology of Monadnock Mountain, New Hampshire	06	II	215
— siehe Emerson, B. K. and Perry, J. H.			
Peruzzi, L.: Sui calcare a brucite di Teulada e sulla composizione mineralogica della predazzite	06	II	329
Pervinquière, L.: Le Jurassique du Sud Tunesien	06	I	283
Petersen, J.: Ergebnisse der petrographischen Untersuchung der im zentralen Tien-schan und Dsungarischen Ala-tau während der Saposchnikow'schen Expedition im Sommer 1902 von Dr. Max Friederichsen gesammelten kristallinen Gesteine	05	II	68
Peterson, O. A.: Osteology of Oxydactylus, a new genus of camels from the Loup Fork of Nebraska, with descriptions of two new series	06	I	144
— New Suilline Remains from the Miocene of Nebraska	07	I	302
— Description of new Rodents and Discussion of the Origin of Daemonelix	07	I	460
— The Agate Spring Fossil Quarry	07	II	485
— The Miocene beds of Western Nebraska and Eastern Wyoming and their Vertebrate Faunae	07	II	486
Pethö, J.: Die Kreide-(Hypersenon-)Fauna des Peterwardeiner (Péterváradu) Gebirges (Fruska Gora)	06	II	266
Petitclerc, P.: Le Callovien de Baume-les-Dames (Doubs), sa faune	07	I	282
Petrascheck, W.: Die Ammoniten der sächsischen Kreideformation	05	I	353
— Ueber Inoceramen aus der Kreide Böhmens und Sachsens	05	I	356

	Jahrg.	Bd.	Seite
Petrascheck, W.: Ueber Gesteine der Brixener Masse und ihrer Randbildungen	1905	II	379
— Bericht über einige Exkursionen in die ostböhmische Kreide	06	I	285
— Zur Geologie des Heuscheuergebirges	06	I	286
— Ueber die jüngsten Schichten der Kreide Sachsens	06	I	286
— Die Kreideablagerungen bei Opočno und Neustadt im östlichen Böhmen	06	I	287
— Ueber das Vorhandensein von Malnitzer Schichten in der Gegend von Choteboř in Ostböhmen	06	I	289
— Ergänzungen zu J. J. Jahn's Aufsatz über ein Bonebed aus der böhmischen Kreide	06	II	428
— Welche Aussichten haben Bohrungen auf Steinkohle in der Nähe des Schwadowitzer Carbons?	07	I	82
— Geologisches über die Radioaktivität der Quellen, insbesondere derer von St. Joachimsthal	09	II	373
Peyrony, siehe Capitan.			
Pfaff, F. W.: Ueber Schwereänderungen und Bodenbewegungen in München	09	I	198
— *Ueber Dolomit und seine Entstehung*	*BB*	*XXIII*	*529*
Pfizenmayer, E.: Beitrag zur Morphologie des Elephas primigenius Blum. und Erklärung meines Rekonstruktionsversuches	07	II	477
Phalen, W. C.: Origin and Occurrence of Certain Iron Ores of Northeastern Kentucky	09	I	391
Philipp, H.: Beobachtungen über die Vesuv-Eruption März—April 1906	07	I	44
— Resorptions- und Injektionserscheinungen im südlichen Schwarzwald	09	I	55
— *Vorläufige Mitteilungen über Resorptions- und Injektionserscheinungen im südlichen Schwarzwald*	*CBl*	*1907*	*76*
Philippi, E.: Lethaea geognostica. II. Teil. Das Mesozoicum. 1. Heft. Trias. 1. Lieferung: Einleitung des Mesozoicum und der Trias vom Herausgeber, Kontinentale Trias von E. Philippi, mit Beiträgen von J. Wysogórski	05	I	290
— *Ueber Facettengeschiebe aus norddeutschem Diluvium*	*06*	*I*	*71*
— Die Geologie des von der deutschen Südpolar-Expedition besuchten antarktischen Gebietes	06	II	51
— Moorbildungen auf Kerguelen	06	II	51
— Windwirkungen, beobachtet auf der deutschen Südpolarexpedition	06	II	352
— Einige Bemerkungen über seine Beobachtungen am Vesuv im April 1906	08	I	218
— Geologischer und chemischer Bericht (Deutsche Südpolarexpedition)	09	I	201
— *Vorläufige Mitteilung über den Fund von Facettengeschieben im norddeutschen Diluvium*	*CBl*	*1905*	*655*
— *Ueber junge Intrusionen in Mexiko und ihre Beziehungen zur Tektonik der durchbrochenen Schichtgesteine, nach den Forschungen von E. Böse und C. Burckhardt*	*CBl*	*1907*	*449*
— *Ueber die permische Eiszeit*	*CBl*	*1908*	*353*
— *Ueber Dolomitbildung und chemische Abscheidung von Kalk in heutigen Meeren*		*Festband*	*397*
Philips, W. B.: The Quicksilver Deposits of Brewster County, Texas	07	II	80
Phillips, A. H.: Radium in American Ore	05	I	10

	Jahrg.	Bd.	Seite
Piaz, G. Dal: Su alcune impronte vegetali nei micascisti del Trentino	1905	II	90
— Sugli avanzi di Cyrtodelphis sulcatus del arenaria di Belluno	06	I	147
— Neosqualodon, nuovo genero della familia degli Squalodonti	07	I	138
— Sulla fauna liasica delle Tranze di Sospirolo. Parte I	08	I	423
— Ueber das Alter der Korallenkalkformation von Monte Zovo bei Mori (Trient)	CBl	1908	104
Picard, E.: Zur Kenntnis der obersten Saaleterrasse auf Blatt Naumburg a. S.	06	II	431
— *Erwiderung gegen E. Wüst*	*CBl*	*1907*	*59*
— siehe Naumann, E.			
Pickering, W. H.: The place origin of the moon — the volcanic problem	09	II	46
Pieszczek, E.: Zur Natur der farbigen Steinsalze	07	II	174
— Zur Natur des blauen Steinsalzes	07	II	174
Piette, Ed.: Classification des sédiments formés dans les cavernes pendant l'âge du renne	06	I	130
Pilipenko, P.: Ueber den Apophyllit von der Unteren Tersja, einem rechten Nebenflusse des Tomj	09	II	27
— Materialien zur Mineralogie Sibiriens	1909	II	357. 368
Pilz, R.: Die Bleiglanzlagerstätten von Mazarrón in Spanien	07	II	82
— Die Erzlagerstätten von Cartagena in Spanien	09	II	82
Piolti, G.: Gabbro orneblendico e Saussurite di Val della Torre (Piemonte)	05	II	224
— Sull' aplite di Cesana Torinese	06	I	376
— Sull' alterazione della Lherzolithe di Val della Torre (Piemonte)	07	I	68
— Sulla breunerite di Avigliana	08	I	16
Piroutet, M.: Préhistorique de la Franche Comté	05	I	323
— Note préliminaire sur la géologie d'une partie de la Nouvelle Calédonie	05	II	273
— Note sommaire sur le Trias de la Nouvelle Calédonie	09	I	105
Pirsson, L. V.: Petrography and Geology of the igneous rocks of the Highwood Mountains, Montana	06	II	373
— The Petrographic Province of Central Montana	07	II	231
— Contributions to the Geology of New Hampshire. No. III. On Red Hill, Moultonboro. With analyses by H. S. Washington	09	II	387
— Rocks and rock minerals, a manuel of the elements of petrology without the use of the microscope for the geologist, ingeneer, miner, architect etc. and for instruction in colleges and schools	CBl	1909	411
— siehe Cross, W.			
Pirsson, L. V. and H. S. Washington: Contributions to the Geology of New Hampshire. No. I. Geology of the Belknap Mountains	07	II	236
— — Contributions to the Geology of New Hampshire: No. II, Petrography of the Belknap Mountains	08	I	379
Pisani, F.: Examen de plusieurs minéraux au point de vue de leur radioactivité	06	I	3
Pittman, E. F.: The Auriferous Deposits of Lucknow	07	I	409
— The Auriferous Ore-beds of the Lyndhurst Goldfield	07	I	410
Piutti, A. e L. d'Emilio: Analisi dell' acqua Apollo delle Sorgenti di Agnano	06	II	79
Piwowar, A.: Ueber Maximalböschungen trockener Schuttkegel und Schutthalden	07	I	380

	Jahrg.	Bd.	Seite
Pjetursson, H.: On a Shelly boulderclay in the socalled Palagonite Formation of Iceland	1905	II	294
— The Crag of Iceland — an Intercalation in the Basaltformation	07	I	113
— *Das Pleistocän Islands*	*CBl 1905*		*740*
— *Zur Forschungsgeschichte Islands*	*CBl 1906*		*566*
Plagemann, A.: Der Chilesalpeter	07	I	88
Plaßmann, J.: Weltentod. Kosmologische Betrachtungen	CBl 1906		51
Platania, G.: Aci Castello. Ricerche geologiche e vulcanologiche	05	I	48
— Sur les anomalies de la gravité et les bradysismes dans la région orientale de l'Étna	05	I	48
— Sulla velocità dei microsismi vulcanici	06	II	188
— Su un moto differenziale della spiaggia orientale dell' Etna	06	II	349
— Origine della „Timpa" della scala. Contributo allo studio dei burroni vulcanici	07	I	220
Platania, G. et G. Platania: Effets magnétiques de la foudre sur les roches volcaniques	07	II	389
Platen, P.: Untersuchungen fossiler Hölzer aus dem Westen der Vereinigten Staaten von Nordamerika	09	I	149
Plattner, C. F.: Probierkunst mit dem Lötrohre	CBl 1908		48
Plieninger, F.: Notizen über Flugsaurier aus dem Lias Schwabens	*CBl 1906*		*290*
— *Ueber die Hand der Pterosaurier*	*CBl 1906*		*399*
Plzák, F. und V. Rosický: Ueber den Fichtelit von Borkovic in Böhmen	1908	II	39. 328
Poch, Bofiliy, siehe Almera, D. J. et Bofiliy Poch.			
Pockels, F.: Bemerkung zur Abhandlung des Herrn C. Viola über „Theorie und Anwendung der symmetrischen Minimalablenkung durch anisotrope Prismen"	08	II	142
— *Bemerkungen zu den theoretischen Arbeiten von P. Pavlow (= Pawloff od. Pawlow) über das Wachstum und die Auflösung der Kristalle*	*CBl 1906*		*466*
— Lehrbuch der Kristalloptik	CBl 1906		681
— *Bemerkungen zu Herrn Pawlow's „thermodynamischer Theorie der Kristalle". Erwiderung*	*CBl 1907*		*737*
— siehe Pavlow, P.			
Počta, Ph.: Weitere Umgebung Prags	07	II	105
— *Ueber die Anfangskammer von Orthoceras*	*CBl 1907*		*527*
Počta, Ph., A. Slavík und J. N. Woldřich: Exkursion in die Kreide Böhmens	05	II	113
Pöschl, V.: Experimentelle Untersuchungen an isomorphen Silikaten	1909	II	163 *CBl 1906 571*
Pohl, O.: Basaltische Ergußgesteine vom Tepler Hochland	1906	II	355 09 II 221
Pohl, R., siehe Dittrich, M.			
Pohlig, H.: Die Eiszeit in den Rheinlanden	05	II	447
— Entdeckung der Dinotheriensande am Niederrhein	07	II	451
— Zur Lakkolithenfrage	09	I	53
Poljenow, B.: Ueber die Bildung von Chlornatriumhydrat in der Kempendjaiskschen Salzquelle im Jakutskschen Gebiete (nach Beobachtungen von P. Drawert)	09	II	12
Polkinghorne, B. C., siehe Wright, W.			
Pompeckj, J. F.: Mastodon-Reste aus dem interandinen Hochland von Bolivia	07	I	128

	Jahrg.	Bd.	Seite
Pompeckj, J. F.: Eine durch vulkanische Tuffbreccie ausgefüllte Spalte im Urach-Kirchheimer Vulkangebiet der Schwäbischen Alb	1907	II	394
— Notes sur les Oxynoticeras du Sinémurien supérieur du Portugal et remarques sur le genre Oxynoticeras	07	II	494
— *Barchane in Süd-Peru*	*CBl 1906*		*373*
Popescu-Voitesti, T.: Abnormale Erscheinungen bei Nummuliten	09	I	136
Popoff, B.: Eine neue Untersuchungsweise sphärolithischer Bildungen	06	I	204
— Zur Frage von der Entstehung terrassenähnlicher Abstufungen an moränenbedeckten Gebirgsabhängen unter Inlandeis gewesener Gebiete	07	I	88
Popoff, S.: Kristallinische Phosphate von der Küste der Straße von Kertsch	09	II	30
— Materialien zur Mineralogie der Krim	1909	II	361. 367
— *Ueber zwei neue phosphorhaltige Mineralien von den Ufern der Straße von Kertsch*	*CBl 1906*		*112*
Popovici-Hatzeg, V.: Les Céphalopodes du Jurassique moyen du Mont Strunga (Massif de Bucegi, Roumanie)	06	II	120
Poppius, B., siehe Ramsay, W.			
Porter, siehe Teall.			
Portis, A.: Un interessante fossile dei Peperini	06	I	144
— Ancora delle specie Elephantine fossili in Italia	06	I	146
Posewitz, Th.: Das Talabor-Tal zwischen den Ortschaften Szinevér und Kövesliget	06	I	259
— Das Nagyág-Tal in der Umgebung von Berezna und Vucskmezö	07	I	105
Potonié, H.: Abbildungen und Beschreibungen fossiler Pflanzenreste der paläozoischen und mesozoischen Formationen 1906 I 157	08	I	154
— Ueber die Flora der Etage H. In J. J. Jahn: Ueber die Etage H im mittelböhmischen Devon	06	II	145
— Ueber rezenten Pyropissit	06	II	347
Potonié, H. et Ch. Bernard: Flore Dévonienne de l'étage H de Barrande. Avec 156 fig. dans le texte. (Suite de l'ouvrage: Système silurienne du centre de la Bohème par Joachim Barrande, edité aux frais du fonds Barrande.)	06	II	145
Prandtl, W.: Ueber den Ardennit	06	I	340
Prather, J. K.: Glauconite	07	I	31
Pratt, J. H.: The Production of Abrasive Materials in 1902	05	I	208
— The Production of Barytes in 1902, with a Note on Strontium	05	I	208
— The Production of Chromite or Chromic Iron Ore	05	I	208
— The Production of Fluorspar and Cryolite in 1902	05	I	209
— The Production of Asbestos in 1902	05	I	209
— The Production of Asbestos in 1903	05	II	22
— The Production of Talc and Soapstone in 1903	05	II	22
— The Production of Monazite and Zircon in 1903	05	II	29
— The Occurrence of Sulphur and Pyrite and their Production in 1903	06	I	328
— The production of steel hardening metals	06	I	355
— siehe Struthers, J.			
Prchlík, A.: Morphologie der böhmischen Baryte. I.	08	I	35
Preiswerk, H.: Anhydritkristalle aus dem Simplontunnel	*05*	*I*	*33*
— Der Serpentin am Geißpfad (Oberwallis)	05	II	220

	Jahrg.	Bd.	Seite
Preiswerk, H.: Ueber Dunitserpentin am Geißpfadpaß im Oberwallis	1905	II	220
— Die metamorphen Peridotite und Gabbrogesteine in den Bündner Schiefern zwischen Visp und Brig, Wallis	05	II	221
— Diopsid aus dem Eozoonkalk von Côte St. Pierre (Canada)	06	II	168
— Die Kieslagerstätten von Aznalcollar (Provinz Sevilla)	08	I	85
— Malchite und Vintlite im „Strona-" und „Sesiagneis" (Piemont)	08	II	215
— Die Grünschiefer in Jura und Trias des Simplongebietes. Erster Teil der Geologischen Beschreibung der Lepontinischen Alpen	09	I	59
— *Sodalithtrachyt vom Pico de Teyde (Teneriffa)*	*CBl*	*1909*	*393*
— siehe Schmidt, C.			
Preller, C. S. Riche, siehe Riche Preller, C. S.			
Prendel, R.: Einige Worte über eine eigentümliche Zwillingsverwachsung bei Bergkristallen vom Berge Kasbek	07	II	356
Prescott, B.: Ilvaite from Shasta Co., California	09	II	346
Preumont, G. F. J.: Notes on the Geological Aspect of some of the North-Eastern Territories of the Congo Free State with Petrological Notes by J. A. Howe	07	I	237
Preuner, G.: Die Isotherme der Schwefeldissoziation bei 448°	05	I	365
Preuße, C.: Das Gebiet von El Oro und Tlalpujahu	07	I	256
Prever, P. L.: Considerazioni sullo studio delle Nummuliti	05	II	155
— Ueber einige Nummuliten und Orbitoiden von österreichischen Fundorten	05	II	156
— Osservazioni sopra alcune nuove Orbitoides	05	II	156
— La Paronaea curvispira (Mngh.)	05	II	159
— Le Nummuliti della Forca di Presta nell' Appennino centrale e dei dintorni di Potenza nell' Appennino meridionale	05	II	326
— Sulla fauna nummulitica della Scaglia nell' Appennino centrale	06	I	156
— Le Nummuliti e le Orthophragmine di due località dell' Appenino Pavese	06	I	156
— Ricerche sulla fauna di alcuni calcari nummulitici dell' Italia centrale e meridionale	07	I	162
— I terreni nummulitici di Gassino e di Biarritz	07	II	161
— Su alcuni terreni a Nummuliti e ad Orbitoidi dell' alta valle dell' Aniene	08	II	287
— Aperçu géologique sur la colline de Turin	08	II	288
— siehe Douvillé, R.			
Prever, P. L. et A. Silvestri: Contributo allo studio dell' Orbitolininae	05	II	158
Priem, F.: Sur les poissons fossiles des phosphates d'Algérie et de Tunisie	05	II	479
— Sur les Pycnodontes tertiaires du Département de l'Aude	05	II	483
— Sur les Otolithes des Poissons éocènes du Bassin parisien	08	I	131
— Sur des Vertébrés de l'Éocène d'Egypte et de Tunisie	09	I	440
Prindle, L. M. and Fr. L. Heß: The Rampart Gold Placer Region Alaska	09	I	233
Prins, Ada, siehe Lehmann, O.			
Prinz, G.: Die Fauna der älteren Jurabildungen im nordöstlichen Bakony	05	II	426
— Ueber die Kielbildung in der Familie der Phylloceratidae	05	II	483
— Neue Beiträge zur Kenntnis der Gattung Frechiella	06	II	141
— Die Nautiliden in der unteren Juraperiode	07	I	324
— *Zur Kenntnis der Fauna der Liasablagerungen von Gallberg*	*CBl*	*1906*	*113*

	Jahrg.	Bd.	Seite
Prinz, G.: Ueber die systematische Darstellung der gekielten Phylloceratiden	*CBl 1906*		*237*
— siehe Uhlig, V.			
Prinz, W.: Sur la Monazite et le Xénotime de Nil-Saint-Vincent (Brabant)	1906	I	345
— Observations sur le Sel gemme blanc et bleu	09	II	187
Prior, G. T.: Note on a Pillow-lava apparently forming a continuous horizon from Mullion Island to Gorran Haven in Cornwall	05	II	387
— On Teallite, a new sulphostannite of lead from Bolivia; and its relations to Franckeite and Cylindrite	06	I	14
— Dundasite from North Wales	07	II	357
— Report on the rock-specimens collected by the „Southern Cross" antarctic expedition	09	II	75
Prior, G. T. and F. Zambonini: On Strüverite and its relation to Ilmenorutile	09	I	175
Proboscht, H.: Zur Petrographie des Fassatales	*CBl 1905*		*46*
— siehe Romberg, J.			
Provale, J.: Di alcune Nummulitine e Orbitoidine dell' Isola di Borneo	08	II	288
— Di alcune Nummulitine e Orbitoidine dell' Isola di Borneo. Parte seconda	09	II	489
Przibram, H.: Formregeneration verletzter Kristalle	05	II	332
Przibylla, K., siehe Feit, W.			
Pupke, F.: Die optischen Anomalien bei Apatit	09	II	29
Purdue, A. H.: A New Discovery of Peridotite in Arkansas	09	II	393
— siehe Adams, G. J.			
Purington, Ch. W.: Ore Horizons in the Veins of the San Juan Mountains, Colorado	07	I	406
— Methods and Costs of Gravel and Placer Mining in Alaska	09	I	233
Purkyně, Cyr. Ritter v. und V. Spitzner: Rätselhafte Quarzit- und Konglomeratblöcke in der Gegend von Pilsen in Böhmen und auf dem Plateau von Drahany in Mähren	06	II	353
Pusch, A.: Die Mineralien der Eifel und der angrenzenden Gebiete	CBl 1907		471

Q.

Quaas, A.: Beitrag zur Kenntnis der Fauna der obersten Kreidebildungen in der Libyschen Wüste (Overwegi-Schichten und Blättertone)	06	I	319
— Ueber eine obermiocäne Fauna aus der Tiefbohrung Lorenzdorf bei Kujan (Oberschlesien) und über die Frage des geologischen Alters der subsudetischen Braunkohlenformation in Oberschlesien . . . . . 1907 I 113. 289	07	II	294
— Ueber eine obermiocäne Fauna aus der Tiefbohrung von Przeciszow östlich Oswiecim (Westgalizien) 1907 I 113. 290	07	II	295
— Berichtigung und Ergänzung zu meiner Arbeit: Beitrag zur Kenntnis der obersten Kreidebildungen in der libyschen Wüste (Overwegi-Schichten und Blättertone)	07	I	437
Quensel, P. D.: Ueber das gegenseitige Verhältnis zwischen Quarz und Tridymit	08	I	176
— *Untersuchungen an Aschen, Bomben und Laven des Ausbruches des Vesuv 1906*	*CBl 1906*		*497*
— *Ueber die Bildung von Quarz in Silikatschmelzen*	*CBl 1906*		*657*
— *Zur Bildung von Quarz und Tridymit in Silikatschmelzen*	*CBl 1906*		*728*
Quincke, G.: Ueber Eisbildung und Gletscherkorn	06	II	326

R.

	Jahrg.	Bd.	Seite
Rabowski, F.: Sur l'extension de la nappe rhétique dans les Préalpes bernoises et fribourgeoises	1909	II	92
Raisin, C., siehe Bonney, T. G.			
Rakusin, M. A.: Die Untersuchung des Erdöls und seiner Produkte	CBl	1907	219
Ramann, E.: Einteilung und Benennung der Schlammablagerungen		08 II	185
— Bodenkunde	CBl	1905	596
Ramond, G., siehe Dollfus, G.			
Ramsay, W.: Beiträge zur Geologie der rezenten und pleistocänen Bildungen der Halbinsel Kanin		06 II	117
— Beiträge zur Geologie der präcambrischen Bildungen im Gouvernement Olonez: 1. Einleitung. 2. Das Sandstein-Diabas-Gebiet westlich vom See Onega		09 I	218
— *Ueber die präcambrischen Systeme im östlichen Teile von Fennoskandia*	*CBl*	*1907*	*33*
Ramsay, W. und B. Poppius: Bericht über eine Reise nach der Halbinsel Kanin im Sommer 1903		06 I	410
Rand, R. F.: Some Transvaal Eruptives		07 I	394
Ransome, F. L.: The Geology and Copper-deposits of Bisbee, Arizona		05 I	41
— Geology of the Globe Copper District, Arizona	1905	I	205. 442
— The geology and ore-deposits of the Bisbee Quadrangle, Arizona		06 I	175
— The Present Standing of Applied Geology		07 I	405
— The Directions of Movement and the Nomenclature of Faults		08 I	222
— siehe Lindgreen, W. and Ransome, F. L.			
Ransome, F. L. and F. C. Calkins: The geology and ore deposits of the Coeur d'Alene District, Idaho		09 II	408
Rastall, R. H.: On Basic Patches in the Mount Sorrel Granite		05 II	387
— On Boulders from the Cambridge Drift, collected by the Sedgwick Club		06 I	121
— Notes on some Rocks from New Zealand		07 I	395
— The Buttermere and Ennerdale Granophyre		08 I	224
Rau, K.: Die Brachiopoden des mittleren Lias Schwabens mit Ausschluß der Spiriferinen		06 I	468
Rau, W.: Edelsteinkunde für Mineralogen, Juweliere und Steinhändler	CBl	1909	712
Rauff, H.: Ueber die Neandertalfrage		05 II	302
— Ueber die Altersbestimmung des Neandertaler Menschen und die geologischen Grundlagen dafür		05 II	302
Rautenberg, M.: Ueber Pseudolestodon hexaspondylus		07 II	479
Ravagli, M.: Calcari nummulitici dei dintorni di Firenze		09 I	137
Ravn, J. P. J.: Molluskerne i Danmarks kridtaflejringer. II. Scaphopoder, Gastropoder og Cephalopoder		06 I	309
— Molluskerne i Danmarks kridtaflejringer. III. Stratigrafiske Undersögelser		06 I	309
— Molluskfaunaen i Jyllands Tertiaer aflejringer en palaeontologisk-stratigrafisk Undersögelse		07 II	452
— Vorläufige Mitteilung über eine Lakune oder Diskordanz zwischen Senon und Danien in Dänemark		08 I	430
— Bemerkningar om lagerserien i Stevns klint samt om Cyathidium Holopus Steenstr.		08 I	430

	Jahrg.	Bd.	Seite
Ravn, J. P. J.: Einige Bemerkungen über die oligocänen und miocänen Ablagerungen Jütlands	*CBl 1906*		*465*
— *Ueber das Alter der sogenannten plastischen Tone Dänemarks*	*CBl 1907*		*58*
Raymond, P. E.: The development changes in some common devonian brachiopoda	1905	I	359
— The Fauna of the Chazy limestone	06	I	300
Read, A., mitgeteilt durch Broili, F.: Die Gastropoden der Pachycardien-Tuffe	*CBl 1905*		*176*
Read, T. T.: The Phase-Rule and Conceptions of Igneous Magmas, with their Bearing on Ore-deposition	07	II	56
Read, T. T. and C. W. Knight: The reformation of Soda-Leucite. 1907 I 203	08	I	237
Reade, T. M.: Postglacial beds at Great Crosby, as disclosed by the new outfall Sewer	09	I	281
Reagan, A. B.: Die Fossilien des Höhern Red-Wall-Kalksteins mit denjenigen der Kansas-Kohlenformation verglichen	*CBl 1907*		*609*
Reboul, M. P.: Catalogue des Types paléontologiques contenus dans les collections de Grenoble	05	I	148
Reche, O.: Ueber eine neue Equidenart aus der Pampasformation	07	II	481
Redlich, K. A.: Die Kupferschürfe des Herrn Heraeus in der Veitsch. 1905 I 100	06	I	234
— Ueber das Alter und die Flözidentifizierung der Kohle von Radeldorf und Stranitzen (Untersteiermark)	05	II	436
— Die Walchen bei Oeblarn. Ein Kiesbergbau im Ennstal	06	I	234
— Eine Kupferkieslagerstätte im Hartlegraben bei Kaisersberg	06	I	234
— Contribution à la connaissance des gîtes métallifères des Alpes orientales	07	I	254
— Der Kupferbergbau Radmer an der Hasel die Fortsetzung des steirischen Erzberges	07	II	82
— Die Geologie des Gurk- und Görtschitztales	09	I	413
— *Kritische Bemerkungen zu Herrn A. Sigmund: Die Minerale Niederösterreichs*	*CBl 1908*		*742*
— *Letztes Wort zu A. Sigmund's „Minerale Niederösterreichs"*	*CBl 1909*		*689*
— siehe Cornu, F.			
Reed, F. R. Cowper, siehe Cowper Reed, F. R.			
Reepen, H. v. Buttel-, siehe Buttel-Reepen, H. v.			
Regalia, E., siehe Stasi, P. E.			
Regelmann, C.: Geologische Uebersichtskarte von Württemberg und Baden, dem Elsaß, der Pfalz und den weiterhin angrenzenden Gebieten	06	II	84
— *Gegen das „Vindelizische" Gebirge*	*CBl 1909*		*53*
— siehe Kranz, W.			
Regny, Vinassa de, P., siehe Vinassa de Regny, P.			
Rehbinder, B. v.: A propos de la question de l'âge des grès crétacés du Baskountschak	07	II	124
Reich, O.: Karl Ernst Adolf v. Hoff, der Bahnbrecher moderner Geologie	CBl 1905		438
Reichardt, A.: Abriß der Geländegestaltung und geologischen Verhältnisse der Umgebung Erfurts	08	II	96
Reichenau, W. v.: Ueber eine neue fossile Bärenart, Ursus Denningeri mihi, aus den fluviatilen Sanden von Mosbach	05	I	504
— Ueber einen Unterkiefer von Equus Stenonis Cocchi aus dem Postpliocän von Mosbach	05	II	126
— Beiträge zur näheren Kenntnis der Carnivoren aus den Sanden von Mauer und Mosbach	07	II	483

	Jahrg.	Bd.	Seite
Reichenheim, O.: Ueber die Elektrizitätsleitung einiger natürlich-kristallisierter Oxyde und des Graphits	1907	II	5
— siehe Königsberger, J.			
Reid, C.: The geology and the country around Southampton	06	I	264
Reid, H. F.: The variation of glaciers. IX.	06	II	190
— The variations of glaciers. XI.	08	II	342
Reid, J. A.: The igneous Rocks near Pajaro	05	II	231
— A Sketch of the Geology and Ore-Deposits of the Cherry Creek District, Arizona	08	I	396
— The Ore-Deposits of Copperopolis, California	09	II	398
Reimann, G.: Beiträge zur Kenntnis des Turmalins	*BB XXIII 91*		
Reinach, v.: Ueber die zur Wassergewinnung im mittleren und östlichen Taunus angelegten Stollen	06	I	404
— *Preis für Palaeontologie*	*CBl 1905 694*		
Reinhard, M.: Absonderung bei einem Mergel	06	II	202
Reinisch, R.: Petrographisches Praktikum. II. Teil: Gesteine	05	I	58
— Petrographische Beschreibung der Gaußberg-Gesteine	08	I	75
— Salbandbildung an einem Nephelinbasaltgange	08	II	190
— Petrographisches Praktikum. I. Teil: Gesteinsbildende Mineralien. 2. verbesserte und ergänzte Auflage	CBl 1909		380
— siehe Zirkel, F.			
Reinsch, P. F.: Die Palinosphärien, ein mikroskopischer vegetabiler Organismus in der Mucronatenkreide	*CBl 1905*		*402*
Reis, O. M.: Ueber die Muskelleiste bei Zweischalern	*CBl 1906*		*168*
— *Bemerkungen zu G. Böhm's „Zur Stellung der Lithiotiden"*	*CBl 1906*		*209*
— Ueber Stylolithen, Dutenmergel und Landschaftenkalk	06	II	201
Reiss, W.: Ueber den Zweck der Naturerscheinungen	*CBl 1906*		*189*
Reiter, H. H.: Experimentelle Studien an Silikatschmelzen	*BB XXII*		*183*
Rekstad, J.: Fra Jostedalsbraeen	07	I	221
Remeš, M.: Rhynchonella peregrina bei Freiberg in Mähren 1905 I 181	06	I	428
— Miscellaneen aus dem mährischen Tithon	07	II	286
— Die oberen Kreideschichten in Klogsdorf bei Freiberg in Mähren	07	II	288
Renault, B., siehe Bertrand, C.			
Renevier, E.: Sur la brèche cristalline des Ormonts	09	I	401
Renevier, E. et M. Lugeon, Les alpes du Chablais d'après la carte géologique française	06	II	83
Renner, O.: Teichosperma, eine Monokotylenfrucht aus dem Tertiär Aegyptens	09	I	308
Renz, C.: Ueber Halobien und Daonellen aus Griechenland nebst asiatischen Vergleichsstücken	*06*	*I*	*27*
— Die Entwicklung des Dogger im westlichen Griechenland	07	II	446
— Le Jurassique en Albanie méridionale et en Argolide	09	II	105
— Trias und Jura in der Argolis	09	II	427
— Der Nachweis von Lias in der Argolis	09	II	429
— Sur les preuves de l'existence du Carbonifère et du Trias dans l'Attique	09	II	430
— *Ueber die mesozoische Formationsgruppe der südwestlichen Balkanhalbinsel*	*BB XXI*		*213*
— *Ueber die Verbreitung des Lias auf Leukas und in Akarnanien*	*CBl 1905*		*259*
— *Ueber neue Trias-Vorkommen in Argolis*	*CBl 1906*		*270*
— *Zur Kreide- und Eocän-Entwicklung Griechenlands*	*CBl 1906*		*541*
— *Zur Entdeckung der Trias in der Argolis*	*CBl 1909*		*79*

	Jahrg.	Bd.	Seite
Renz, C.: Der Nachweis von Carbon und Trias in Attika. (Vorläufige Mitteilung.)	*CBl*	*1909*	*84*
— Die Trias von Rotti und Timor im ostindischen Archipel	*CBl*	*1909*	*355*
— Neue Carbonvorkommen in Griechenland	*CBl*	*1909*	*755*
— siehe Frech, F. et Renz, C.			
— siehe Negris, Ph.			
Renz, C. und F. Frech: Der Nachweis von Obertrias im Parnaßgebiet	1909	II	429
Repelin, J.: Observations sur les dépôts aquitaniens en Entre-deux-Mers	07	I	441
— Description des faunes et des gisements du Cénomanien saumâtre ou d'eau douce du Midi de France	07	II	131
— Sur l'âge des terrains oligocènes des environs de Sainte-Croix-du-Munt	07	II	452
Repossi, E.: Appunti mineralogici sulla Pegmatite di Olgiasca (Lago di Como)	1905	I	203
	06	I	376
— Su alcuni minerali del granito di S. Fedelino (Lago di Como)	07	II	34
Reuning, E.: Diabasgesteine an der Westerwaldbahn Herborn—Driedorf	*BB*	*XXIV*	*390*
— Ueber ein Vorkommen von Magnesiumpektolith aus dem grobkörnigen hornblende- und glimmerführenden Diabas zu Burg bei Herborn	*CBl*	*1907*	*739*
Reuter, L.: Doggerprofile aus dem Gebiet von Neumarkt in der Oberpfalz (Frankenjura)	*05*	*I*	*60*
Reutowsky, W.: Die nutzbaren Mineralien Sibiriens. Grundlagen zur Aufsuchung und Schürfung von Erzlagerstätten	09	II	41
Revoutzky, E.: Notiz über den Calamin der Grube Perwoblagodatny im Ural	06	I	27
— Notiz über Calamin vom Zartum Polen	09	II	346
Reynolds, S. H.: A monograph of the British pleistocene Mamalia. 2. Part I. The Cave Hyaena	06	II	442
— A monograph of the British pleistocene Mamalia	08	I	438
— siehe Lloyd Morgan, C.			
Rheinhard, M. und N. Botez: Beitrag zur Polarimetrie des Erdöls. 1. N. Botez: Drehungsvermögen einiger rumänischer Erdöle. 2. M. Rheinhard und N. Botez: Erscheinungen inhomogener Körper im Polarimeter und das „Tyndall'sche Phänomen"	09	II	365
Riabinin, A.: Les restes des Dauphins du Pliocène de l'Ile Čeleken dans la Mer Caspienne	09	II	118
Riccó, A.: Anomalie della gravità e del magnetismo terrestre in Calabria e Sicilia	08	II	44
— Sur l'activité de l'Etna	1908	I	44
	09	I	363
— Attività dello Stromboli	08	II	44
— Les paroxysmes du Stromboli	1908	II	44
	09	I	363
Rich, J. L.: Local glaciation in the Catskill Mountains	08	II	341
Richard, A.: Sur les cristaux de bournonite d'Ally (Haute-Loire)	05	II	349
Richards, R. W.: A new habit for chalcopyrite	1905	I	18
	05	II	13
— Synopsis of Mineral Characters, alphabetically arranged for laboratory and field use	CBl	1907	474
Richardson, G. B.: Report of a Reconnaissance in Trans-Pecos, Texas, north of the Texas and Pacific Railway	06	II	178
Richardson, L.: The inferior Oolite and contiguous deposits of the Bath-Doulding District	08	II	85
— On new species of Amberleya and of Spirorbis	08	II	87

	Jahrg.	Bd.	Seite
Richardson, L.: The Inferior Oolite and contiguous deposits of the district between the Rissingtons and Burford	1908	II	87
Richardson, L. and J. F. Walker: Remarks on the Brachiopoda from the Fuller's Earth	08	II	87
Richarz, P. St.: Die Neokombildungen bei Kaltenleutgeben	05	II	429
Richat, E.: Sur l'émission des rayons N et N_1 par les corps cristallisés	06	I	325
Riche, A.: Étude stratigraphique et paléontologique sur la Zone à Lioceras concavum du Mont d'Or Lyonnais	05	I	462
Riche Preller, C. S. du: Phenomena bearing upon the Age of the Lake of Geneva	05	II	376
Richter, K.: Der körnige Kalk des Kalkberges bei Raspenau in Böhmen	06	I	54
Richter, P. B.: Beiträge zur Flora der oberen Kreide Quedlinburgs und seiner Umgebung. Teil I: Die Gattung Credneria und einige seltenere Pflanzenreste	07	I	493
— Beiträge zur Flora der unteren Kreide Quedlinburgs. Teil I: Die Gattung Hausmannia Dunker und einige seltenere Pflanzenreste	07	II	343
Richthofen, F. v.: Geomorphologische Studien aus Ostasien	05	I	114
— Ueber Gestalt und Gliederung einer Grundlinie in der Morphologie Ostasiens	05	I	114
— Geomorphologische Studien aus Ostasien. III. Die morphologische Stellung von Formosa und den Riukiu-Inseln	05	I	114
— Geomorphologische Studien aus Ostasien. IV. Ueber Gebirgskettungen in Ostasien, mit Ausschluß von Japan. V. Gebirgskettungen im japanischen Bogen	05	I	114
— Das Meer und die Kunde vom Meer	07	I	223
Rickard, T. A.: The Formation of Bonazas in the Upper Portions of Gold Veins	05	I	257
Riecke, E., siehe Lehmann, O.			
Ried, H. F. et E. Muret: Les variations périodiques des glaciers	05	II	47
Ries, H.: The Clays of the United States east of the Mississippi River	06	I	239
Riggs, E. S.: Structure and relationships of opisthocoelian Dinosaurs. P. II. The Brachiosauridae	05	II	131
Rimann, E.: Beitrag zur Kenntnis der Diabase des Fichtelgebirges, im besonderen des Leukophyrs Gümbels	*BB XXIII 1*		
— Ueber ein neues Vorkommnis von Kugelgranit im Granit des Riesengebirges	*CBl 1905*		236
— Ueber calcitführenden Granit im Riesengebirge	*CBl 1907*		*203*
— Ueber Flußspat im Natrolithphonolith von Außig i. B.	*CBl 1908*		*673*
— Der kalkspatführende Granit von Schmiedeberg im Riesengebirge	*CBl 1909*		*767*
Rimatori, C.: Analisi ponderale e spettroscopia di nuove blende sarde	06	II	321
Ringuet, siehe Leprince-Ringuet, L.			
Rinne, F.: Physikalisch-chemische Bemerkungen über technisches und meteorisches Eisen	*05*	*I*	*122*
	06	*II*	*61*
— Ein 1831 bei Magdeburg gefundenes Eisen			
— Art und Ziel des Unterrichts in Mineralogie und Geologie an den technischen Hochschulen	06	II	147
— Beitrag zur Gesteinskunde des Kiautschou-Schutzgebietes	06	II	364

	Jahrg.	Bd.	Seite
Rinne, F.: Vergleichende Untersuchungen über die Methoden zur Bestimmung der Druckfestigkeit von Gesteinen	*1907*	*I*	*45*
— Ueber die Umformung von Carnallit unter allseitigem Druck in Vergleich mit Steinsalz, Sylvin und Kalkspat	09	I	165
— *Vergleichende Untersuchungen über die Methoden zur Bestimmung der Druckfestigkeit von Gesteinen. (Zweiter Bericht.)*	*09*	*II*	*121*
— *Durch Entgasung bewirkte Kristallisationen in Schmelzflüssen*	*09*	*II*	*129*
— Praktische Gesteinskunde für Bauingenieure, Architekten und Bergingenieure, Studierende der Naturwissenschaft, der Forstkunde und Landwirtschaft. 2. Aufl.	CBl	1906	115
— Dasselbe. 3. Aufl.	CBl	1909	443
Rinne, F. und H. E. Boeke: Die Modifikationsänderung des Schwefeleisens	08	II	168
— — Ueber Thermometamorphose und Sammelkristallisation	09	II	160
— — *El Inca, ein neues Meteoreisen*	*Festband*		*227*
Rispoli, siehe Checchia-Rispoli, G.			
Rittener, Th.: Étude géologique de la Côte aux Fées et des environs de Ste. Croix et Baulmes	05	II	252
Ritter, E. A.: Les bassins lignitifères et houillers des Montagnes Rocheuses	08	II	221
Rizzo, G. B.: Sopra il calcolo della profondità degli ipocentri nei movimenti sismici	07	II	47
Roberts, M.: Note on the Action of Frost on Soil	05	I	56
Robson, H.: Abysmal deposits	05	I	425
Roccati, A.: Ricerche petrografiche sulle valli del Gesso (Valle del Sabbione)	05	II	66
— Ricerche petrografiche sulle valli del Gesso (Valle della Meris e Rocca Val Miana)	05	II	66
— Rodonite di Chiaves e di altre località delle Valli di Lanzo	07	II	359
— Microgranite con inclusi di gneiss del Colle Brocan (Valle del Gesso delle Rovine)	08	II	214
Rösch, A.: Der Kontakt zwischen dem Flysch und der Molasse im Algäu	08	I	409
Rösler, H.: Ueber Kaolinbildung, einige Worte zur neuesten Literatur	09	II	245
Roessinger, G.: La zone des cols dans la vallée de Lauenen (Alpes bernoises)	08	II	382
— Notice à propos du travail de Sarasin et Collet sur la zone des cols dans la région de la Lenk et Adelboden	08	II	386
— Bélemnites de la brèche du Chablais (bréche de la Hornfluh)	09	I	401
— Les couches rouges de Leysin et leur faune	09	I	429
— siehe Lugeon, M.			
Roessinger, G. et A. Bonard: Les blocs cristallins de la Hornfluh (Préalpes bernoises)	06	I	256
Roger, O.: Wirbeltierreste aus dem Obermiocän der bayrisch-schwäbischen Hochebene	06	I	124
Rogers, A. F.: Ein neuer Transporteur zur Bestimmung der Indizes der Kristallflächen	05	I	4
— Aegirite and riebeckite rocks from Oklahoma	09	II	384
— siehe Moses, A. J.			
Rogers, A. W.: The glacial conglomerate in the Table Mountain series near Clanwilliam	06	I	274
— Geological Survey of the North-Western Part of Van Rhyn's Dorp	07	II	116

	Jahrg.	Bd.	Seite
Rohland, P.: Eine Zusammenstellung der Stoffe im Kolloid- und Kristalloidzustand	1908	II	5
— Die Tone als semipermeabele Wände und Mittel zur Klärung von Fabrik- und Abwässern	08	II	177
Rollain, siehe Laville.			
Rollier, L.: Ueber Diskordanzen im schwäbischen Tertiär	05	I	304
— Carte tectonique des environs de Moutier (Jura bernois) 1:25 000	05	II	247
— Carte tectonique des environs de Bellelay (Jura bernois) 1:25 000	05	II	247
— Beweis, daß die Nattheim-Wettinger Schichten (Weiß-Jura ε = Ober-Kimmeridge) auch auf der Basler Tafellandschaft etc. ursprünglich vorhanden waren	05	II	428
— Sur le tunnel du Weißenstein	08	I	255
— Gisement de Dysodile à Oberdorf près Soleure	08	I	269
— Sur la seconde édition de la Carte géologique du Jura bernois	09	I	400
— Provenance des sédiments de la Molasse et du Calcaire grossier du Randen	09	I	432
Rollier, L. et E. Juillerat: Sur une nouvelle poche sidérolithique à fossiles albiens	08	II	407
Roman, F.: Contribution à l'étude des bassins lacustres de l'Eocène et de l'Oligocène du Languedoc	05	I	305
— siehe Depéret, Ch.			
— siehe Sayn, G.			
Romberg, J.: Ueber die chemische Zusammensetzung der Eruptivgesteine in den Gebieten von Predazzo und Monzoni	06	I	57
— Zur Würdigung der gegen meine Veröffentlichungen von C. Doelter und K. Went gerichteten Angriffe	06	I	68
Romberg, J.: Berichtigung zu Proboscht	*CBl 1905*		*185*
Romeu, A. de: Sur une enclave énallogène de l'andésite supérieure du Léoran (Cantal)	06	I	379
Rosati, A.: Studio microscopico di alcune roccie della Liguria occidentale	08	II	214
Rosenbusch, H.: Studien im Gneisgebirge des Schwarzwaldes. II. Die Kalksilikatfelse im Rench- und Kinzigitgneis. III. Die Kalksilikatfelse von der Fehren bei Neustadt i. Schw.	07	II	67
— Mikroskopische Physiographie der Mineralien und Gesteine. Bd. I. Erste Hälfte. 4. Aufl. Allgemeiner Teil	CBl 1905		119
— Mikroskopische Physiographie der Mineralien und Gesteine. Bd. I. Zweite Hälfte: Die petrographisch wichtigen Mineralien. Spezieller Teil	CBl 1905		486
— Festschrift, gewidmet von seinen Schülern zum siebzigsten Geburtstag 24. Juni 1906	CBl 1906		478
— Mikroskopische Physiologie der Mineralien und Gesteine. Ein Hilfsbuch bei mikroskopischen Gesteinsstudien. Bd. II. Mikroskopische Physiographie der massigen Gesteine, Erste Hälfte: Tiefengesteine, Ganggesteine	CBl 1907	551.	592
— Mikroskopische Physiographie der massigen Gesteine. Zweite Hälfte: Ergußgesteine. Vierte, neu bearbeitete Auflage	CBl 1909	338.	367
Rosenkranz, E.: Uebersicht der Mineralien des Bayrischen Waldes und des Oberpfälzer Waldgebirges	08	II	330
Rosický, V.: Betrachtungen über die Entstehung der Kupfererze an der böhmischen Seite des Riesengebirges	07	II	423
— Ueber Wachstumserscheinungen an Kristallen von Kaliumjodid und Kaliumbromid	09	I	160

	Jahrg.	Bd.	Seite
Rosický, V.: Kristallographische Mitteilungen. 6.	1909	I	337
— Kristallographische Mitteilungen. 4.	09	I	339
— Kristallographische Mitteilungen. 7.	09	I	345
— Kristallographische Mitteilungen. 2.	09	I	346
— Kristallographische Mitteilungen. 5.	09	I	350
— Beiträge zur Morphologie der Glaubersalzreihe	09	II	201
Kristallographische Mitteilungen	09	II	358
— siehe Plzák, F.			
Rosiwal, A.: Franzensbad, Marienbad, Karlsbad	05	II	95
— Kontaktmineralien aus der Umgebung von Friedeberg in Schlesien	07	II	33
Rossel, A.: Une cause possible des éruptions volcaniques	05	II	205
Roth, S.: Los Ungulados Südamericanos	05	I	172
— Noticias preliminares sobre nuevos mamiferos fósiles de cretaceo superior y terciario inferior de la Patagonia	05	I	497
— *Beitrag zur Gliederung der Sedimentablagerungen in Patagonien und der Pampasregion*	*BB XXVI 92*		
Rothv. Telegd, L.: Die Aranyosgruppe des siebenbürgischen Erzgebirges in der Umgebung von Toroczkó-Szt.-György, Nyirmező, Remete und Ponor	06	I	260
— Der Ostrand des siebenbürgischen Erzgebirges in der Umgebung von Havasgyógy, Felgyógy und Nagy-Enyed	07	I	105
Rothpletz, A.: Ueber die Möglichkeit, den Gegensatz zwischen der Kontraktions- und Expansionstheorie aufzuheben	05	I	401
— Die fossilen oberoligocänen Wellenfurchen des Peißenbergs und ihre Bedeutung für den dortigen Bergbau	05	II	431
— Ueber Algen und Hydrozoen im Silur von Gotland und Oesel	09	I	153
— siehe Steinmann, G.			
Roussel, J. C.: Glacier Cornices	05	I	56
— Notes sur les granulites tertiaires de Reynés et de Latour	05	I	429
— Le gneiss dans les Pyrénées et son mode de formation	06	II	213
— L'auréole calcaire des massifs granitiques des Pyrénées	06	II	214
Roux, C.: Contribution à l'étude des porphyres mikrogranulitiques des Monts Tararais et Lyonais et du plateau central en général	07	I	389
Roux, W.: Die angebliche künstliche Erzeugung von Lebewesen	08	I	321
Rovereto, G.: Sull' età degli scisti cristallini della Corsica	07	II	405
— Sur le Stampien à Lepidocyclines des environs de Varazze	09	II	483
— siehe Douvillé, R.			
— siehe Silvestri, A.			
Rowe, J. P.: Pseudomorphs and crystal cavities	05	II	181
Royer, Le, siehe Le Royer.			
Rühlmann, H.: Petrographische Untersuchungen an jungvulkanischen Eruptivgesteinen in der Gegend zwischen Böhmisch-Kamnitz und Kreibitz	06	II	357
Ruer, R.: Ueber die Legierungen des Palladiums mit Gold	08	II	157
Ruff, O.: Ueber die färbende Substanz im roten Carnallit	08	II	9
Rumpf, J.: Einiges von den Mineralquellen in und bei Radein	08	I	366
Russel, A.: On the occurrence of Linarite and Caledonite in County Wicklow	08	II	321
— Note on the mines and minerals of the Silver mines district, Co. Tipperary	08	II	336

	Jahrg.	Bd.	Seite
Russel, J. C.: Criteria relating to Massive-Solid Volcanic Eruptions	1905	II	396
— Geology and water resources of the Snake River Plains of Idaho	06	I	86
— The Portland cement industry in Michigan	06	I	238
— Physiographic problems of today	06	II	44
Rutherford, E. and B. B. Boltwood: The relative proportion of Radium and Uranium in radio-active minerals	1907 I 8	07	II 30
Rutot, A.: Sur les Relations existant entre les cailloutis quaternaires et les couches, entre les quelles ils sont compris	05	I	477
— Nouvelles observations sur le Quaternaire de la Belgique	05	I	478
— Quelques découvertes paléontologiques nouvelles	05	I	484
— Nouvelles trouvailles dans le Montien supérieur	06	I	116
— Le facies sparnacien du Landénien supérieur aux sablières de la Courte, à Leval-Trahegnies	06	I	117
— Nouveau type de roche granitique dans la région de la Helle (frontière belgo-prussienne)	07	II	69
— Le cannibalisme à l'époque des cavernes en Belgique	08	I	119
— Un grave problème. Une industrie humaine datant de l'époque oligocène. Comparaison des outils avec ceux des Tasmaniens actuels	08	I	279
— Causeries sur les industries de la pierre avec démonstration scientifique et pratique de l'existence de l'industrie éolithique	08	I	280
— Sur la signification du gisement sous-marin de la plage du Havre	08	I	282
— Le Strépyen et son extension en France	08	I	283
— Sur l'âge du gisement de la Micoque (Vézère)	08	I	284
— Un terrible secret	08	I	438
— Sur l'âge des cavernes de Grimaldi dites Grottes de Mentone	08	II	422
— Moustiérien et Aurignacien	09	I	126
— Sur l'âge des dépôts connus sous les noms de sable de Moll, d'argile de la Campine, de cailloux de quartz blanc, d'argile d'Andenne et de sable à facies marin noté Om dans la légende de la carte géologique de la Belgique au 40 000e	09	I	274
Ryba, F.: Zur Verbreitung der Kreideformation auf dem Blatte „Caslau und Chrudim“	06	II	111
Rzehak, A.: Spuren des Lias und Dogger im Klippenjura der karpathischen Sandsteinzone Mährens	05	I	295
— Neue Fossilien aus dem Lias von Freistadtl in Mähren	05	I	295
— Das Liasvorkommen in Freistadtl in Mähren	05	I	295
— Exkursion nach Pausram-Auerschitz (karpathisches Alttertiär)	05	II	116
— Rhynchonella polymorpha Mass. im karpathischen Eocän Mährens	05	II	436
— Kalkstein der Eocänformation von Stražowitz in Mähren	05	II	436
— Petroleumvorkommen im mährisch-ungarischen Grenzgebirge	07	I	84
— Ueber das Vorkommen von Foraminiferen in den Ablagerungen der pannonischen Stufe in Mähren	07	I	157
— Die Zinnoberlagerstätte von Vallalta-Sagron	07	I	259
— Bergschläge und verwandte Erscheinungen	08	II	57
— Beiträge zur Kenntnis der Bergschläge	09	II	211
— Die angeblichen Glasmeteoriten von Kuttenberg	CBl 1909		452

S.

	Jahrg.	Bd.	Seite
Sabatini, V.: La pirossenite melilitica di Coppaeli	1905	II	224
Sacco, F.: Sur la valeur stratigraphique des Lepidocyclina et des Miogypsina	07	II	160
— Osservazioni geologiche comparative sui Pirenei	07	II	264
— Fenomeni di corrugamento negli schisti cristallini delle Alpi	08	II	214
Sachs, A.: Die Erze, ihre Lagerstätten und hüttentechnische Verwertung	05	II	199
— Der Kleinit, ein hexagonales Quecksilberoxychlorid von Terlingua in Texas	07	I	194
— *Ueber Zinkoxydkristalle von der Falvahütte in Oberschlesien*	*CBl 1905*		*54*
— *Die Kristallform der Nickelblüte*	*CBl 1906*		*198*
— *Notiz zu der chemischen Zusammensetzung des Kleinits*	*CBl 1906*		*200*
— *Zinnoberkristalle aus Sonoma County in Kalifornien; Gips- und Kalkspatkristalle von Terlingua in Texas*	*CBl 1907*		*17*
— *Ueber ein neues Tschermigitvorkommen von Brüx in Böhmen, nebst Bemerkungen über die optischen Verhältnisse der Alaune*	*CBl 1907*		*465*
— *Das erstbekannte schlesische Topasvorkommen*	*CBl 1909*		*438*
— Die Erzlagerstätten Oberschlesiens	06	II	74
— Die Bodenschätze Schlesiens. Erze, Kohlen, nutzbare Gesteine	CBl 1907		91
Sachs, H., siehe Hoff, J. H. van't.			
Sachse, J. H.: Ueber die physikalische Beschaffenheit nordwestdeutscher Erdöle	06	II	390
Safford, J. M.: Horizons of Phosphate Rock in Tennessee	05	I	260
Salensky, W.: Ueber die Hauptresultate der Erforschung des im Jahre 1901 am Ufer der Beresowka entdeckten männlichen Mammutkadavers	06	I	145
Salfeld, H.: Beitrag zur Kenntnis des Peltoceras Toucasi d'Orb. und Peltoceras transversarium Qu.	*06*	*I*	*81*
— Ueber das Vorkommen von Zamites Buchianus Ettingh. im Wealden Nordwestdeutschlands	08	I	151
— Fossile Landpflanzen der Rhät- und Juraformation Südwestdeutschlands	08	I	151
— Beiträge zur Kenntnis jurassischer Pflanzenreste aus Norddeutschland	09	I	462
— *Ein neues fossiles Farnkraut aus dem Solnhofer lithographischen Schiefer*	*CBl 1908*		*385*
Salisbury, R. D.: The mineral matter of the sea, with some speculations as to the changes which have been involved in its production	07	I	46
Salmojraghi, F.: L'avallamento di Tavernola sul Lago d'Iseo	08	II	58
Salomon, W.: Ueber junge Dislokationen (?) in der Schweiz	05	I	232
— Die Entstehung der Sericitschiefer in der Val Camonica (Lombardei)	09	I	221
Salomon, W. und M. Nowomejsky: Die Lagerungsform des Amphibolperidotites und Diorites von Schriesheim im Odenwald	05	I	240
Salomonsen C. J. et G. Dreyer: Des colorations produites par les rayons de Becquerel (application à la cristallographie; détermination de la radioactivité)	06	I	5
Samojloff, J.: Ueber die Beziehung zwischen Spaltbarkeit und Habitus der Kristalle	05	II	168

	Jahrg.	Bd.	Seite
Samojloff, J.: Die Mineralogie der Ganglagerstätten des Nagolnij Krjasch (Donetz-Bassin)	1907	II	191
— Einleitung in die Kristallographie	07	II	345
— Ueber Abreißungsfiguren	07	II	351
— Ueber Goldkristalle aus der Goldwäsche Wernyi (Lenaer Goldrayon)	07	II	353
— Orientierung der Aetzfiguren auf Baryt, Cölestin und Anglesit	09	I	348
— Ueber den Barytocölestin	09	II	360
— *Ueber Cölestinkristalle von einem Vorkommen in Tunis*	*CBl 1905*		*33*
— *Die Pseudomorphosen nach der Spaltbarkeit*	*CBl 1908*		*6*
Sandberg, C. G. S.: Études géologiques sur le Massif de La Pierre à Voir, Bas-Valais	08	II	393
— L'âge du Granit alpin	08	II	394
— Sur l'âge du granite des Alpes occidentales et l'origine des blocs exotiques cristallins des Klippes	07	II	406
Sander, Br.: Geologische Beschreibung des Brixener Granits	09	I	385
Sangiorgi, D., siehe Viola, C.			
Santolalla, F. M.: El Asiento mineral de Hualgáyoc	05	II	37
Sapper, K.: Die catalonischen Vulkane	06	II	50
— Ueber einige isländische Lavavulkane	09	I	47
— *Ueber einige isländische Vulkanspalten und Vulkanreihen*	*BB XXVI*		*1*
— *Ein neuer Vulkanausbruch in Mittelamerika*	*CBl 1905*		*172*
— In den Vulkangebieten Mittelamerikas und Westindiens; Reiseschilderungen und Studien über die Vulkanausbrüche der Jahre 1902 bis 1903, ihre geologischen, wirtschaftlichen und sozialen Folgen	CBl 1906		243
— *Erdbebenserie von Masaya (Nicaragua) 1. bis 5. Januar 1906*	*CBl 1906*		*257*
— *Einige Bemerkungen zu Karl Schneider's Schrift „Zur Geschichte und Theorie des Vulkanismus"*	*CBl 1908*		*526*
— *Bemerkungen über einige javanische Vulkane und über A. Brun's Untersuchungen derselben*	*CBl 1909*		*609*
Sarasin, Ch.: Quelques observations sur la région des Vergys, des Annes et des Aravis	05	II	250
— Programme des excursions de la Société géologique suisse après la Réunion annuelle de la Société Helvétique des sciences naturelles à Genève. 11.—14. Sept. 1902	05	II	250
— Compléments sur la tectonique du massif des Annes (Haute-Savoie)	05	II	251
— Revue géologique suisse de 1902—1906	1908	II	232. 233
— La chaîne du Simplon au point de vue géologique	09	I	87
— siehe Lugeon, M.			
— siehe Roessinger, G.			
Sarasin, Ch. et L. Collet: La zone des cols dans la région de la Lenk et Adelboden	08	II	384
— — Notice complémentaire sur la zone des cols dans la région de la Lenk	08	II	387
— — La zone des cols et la géologie du Chamossaire	08	II	388
— — Tectonique des Préalpes internes	09	II	92
Sarasin, P. und F. Sarasin: Ergebnisse naturwissenschaftlicher Forschungen auf Ceylon. IV. Band. Die Steinzeit auf Ceylon	08	II	255
Sardeson, F. W.: The folding of subjacent strata by glacial action	08	II	341
Sarrauw: Découverte en Scandinavie d'une station Tourassienne ou Azylienne	07	I	452

	Jahrg.	Bd.	Seite
Sass, C. und E. Geinitz: Brunnenbohrungen in Mecklenburg. Die Schwankungen des Grundwassers in Mecklenburg. II.	1906	II	195
Sauer, A.: Das alte Grundgebirge Deutschlands mit besonderer Berücksichtigung des Erzgebirges, Schwarzwaldes, der Vogesen, des Bayrischen Waldes und Fichtelgebirges	1907	II	51
— Ueber die Erstfeldergneise am Nordrande des Aarmassives	05	I	235
— Petrographische Wandtafeln. Mikroskopische Strukturbilder wichtiger Gesteinstypen in 12 Tafeln	07	II	69
Sauvage, H. E., siehe Thiéry, P.	CBl	1906	747
Savin, M. L.: Catalogue raisonné des échinides fossiles du département de la Savoie	05	II	325
— Note sur quelques échinides du Dauphiné et autres régions	05	II	326
— siehe Lambert, J. et Savin, L. H.			
Sayn, G. et F. Roman: L'Hauterivien et le Barrêmien de la rive droite du Rhône et du Bas-Languedoc	06	I	110
Schafarzik, F.: Ueber die geologischen Verhältnisse der Umgebung von Romángladna	05	II	99
— Ueber einen Mastodon-Fund in Temerest (Komitat Krassó-Szörény)	05	II	470
— Die geologischen Verhältnisse der westlichen Ausläufer der Pojána-Ruszka	06	I	262
— Ueber die geologischen Verhältnisse der Umgebung von Furdia und Német-Gladna, sowie der Gegend westlich von Nadrág	07	I	274
Schaffer, F. X.: Der Erdbebengürtel der Erde	*09*	*I*	*102*
Schaffer, F., siehe Fuchs, Th.			
Schaller, W. T.: Notes on some California Minerals	05	I	204
— Crystallography of Lepidolite	06	II	18
— Ueber Dumortierit	06	II	19
— Siderite and Barite from Maryland	1907	II	20. 30
— The chemical composition of Molybdic Ocher	08	II	301
— Mineralogical notes	09	I	18
— Notes on Powellite and Molybdite	09	I	194
— siehe Graton, L. C.			
— siehe Hillebrand, W. F. and Schaller, W. T.			
— siehe Knopf, A. and Schaller, W. T.			
Schaller, W. T. and W. F. Hillebrand: Crystallographical and chemical notes on Lawsonite	05	I	186
Schardt, H.: Avalanche du glacier du Roßboden (Simplon)	05	II	48
— Un pli-faille à la Vue des Alpes	05	II	255
— Dépôts glaciaires et tectonique du vallon des Verrières	05	II	296
— Dislocation singulière à La Chaux-de-Fonds	05	II	409
— Brèche énigmatique aux Brenets	05	II	452
— Les Préalpes Romandes (Zone du Stockhorn-Chablais). Un problème de géologie alpine	06	I	81
— Encore les régions exotiques. — Réplique aux attaques de M. Emile Haug	06	I	84
— Der Parallelismus der Stufen des Doggers im zentralen und im südlichen Juragebirge	06	I	277
— Geologische Karte der Schweiz (Genf-Lausanne, 2. Aufl.)	06	II	83
— Note sur le profil géologique et la tectonique du massif du Simplon	06	II	261
— Die wissenschaftlichen Ergebnisse des Simplondurchstichs	07	II	100
— Die modernen Anschauungen über den Bau und die Entstehung des Alpengebirges	07	II	429

	Jahrg.	Bd.	Seite
Schardt, H.: Les eaux souterraines du tunnel du Simplon	1907	II	440
— Excursion destinée à étudier la structure du Jura, du Plateau et des Alpes	08	II	232
— L'éboulement du Grugnay près Chamoson, Valais	08	II	232
— Les sources issues de terrains calcaires et leurs qualités comme eau d'alimentation	08	II	347
— Note sur l'origine des sources vauclusiennes de la Doux (source de l'Areuse) et de la Noiraigue, canton de Neuchâtel (Suisse)	08	II	348
— Les blocs exotiques de la Hornfluh	08	II	381
— Les vues modernes sur la tectonique et l'origine de la chaîne des Alpes	09	I	87
— Remarques rectificatives concernant la communication de Mr. Jaccard „La théorie de Marcel Bertrand"	09	II	95
— siehe Lugeon, M.			
— siehe Steinmann, G.			
Schardt, H. et A. Dubois: Géologie des Gorges de l'Areuse	05	II	87
Scharizer, R.: Beiträge zur Kenntnis der chemischen Konstitution und der Genese der natürlichen Eisensulfate. V.	07	I	34
— Beiträge zur Kenntnis der chemischen Konstitution und der Genese der natürlichen Eisensulfate. VI.	08	II	324
Schaub, L.: Ueber den Quarznorit von Penmaenmawr in Wales und seine Schlierenbildungen	*05*	*I*	*93*
Schauf, W.: Die Exkursion nach der Steinheimer Anamesitdecke	07	I	229
Schei, P.: On some New Occurrences of Titanite from Kragerö	05	II	182
— Notes on Norwegian Minerals 1—6 (Fergusonit, Uraninit, Albit, Laumontit, Desmin, Monazit)	06	I	351
— The Second Norwegian Polar Expedition in the Fram 1898—1902. Summary of Geological Results	06	II	96
Scheibe, R.: Der Blue ground des deutschen Südwestafrika im Vergleich mit dem des englischen Südafrika	08	I	70
Schellwien, E.: Paläozoische und triadische Fossilien aus Ostasien	05	II	298
— Monographie der Fusulinen. Teil I. Die Fusulinen des russisch-arktischen Meeresgebietes	09	I	137
Schenck, R.: Kristallinische Flüssigkeiten und flüssige Kristalle	05	II	172
— Ueber die Natur der kristallinischen Flüssigkeiten und der flüssigen Kristalle	06	II	153
Schenck, R. und W. Heller: Ueber die gegenseitigen Beziehungen der verschiedenen Kohlenstoffmodifikationen	06	II	320
Schepotieff, A.: Ueber die Stellung der Graptolithen im zoologischen System	*05*	*II*	*79*
Schick, Th.: Beiträge zur Kenntnis der Mikrofauna des schwäbischen Lias	05	II	151
Schierl, A.: Mitteilungen aus dem chemischen Laboratorium	08	I	378
Schiller, J.: Ueber den Gabbro aus dem Flysch bei Višegrad in Bosnien und die Verteilung von Fe und Mg in Olivin und rhombischen Pyroxen enthaltenden Gesteinen	08	I	63
Schiller, W.: Geologische Untersuchungen im östlichen Unterengadin. I. Lischannagruppe	07	I	96
— Geologische Untersuchungen im östlichen Unterengadin. II. Piz Lad-Gruppe	08	II	228
— *Geologische Untersuchungen bei Puente del Inca (Aconcagua)*	*BB XXIV 716*		

	Jahrg.	Bd.	Seite
Schindehütte, G.: Die Tertiärflora des Basalttuffes vom Eichelskopf bei Homberg (Bez. Kassel)	1909	I	147
Schlechtendal, D. v.: Haben die paläozoischen Blattiden im Hinterflügel ein Präcostalfeld?	07	I	321
Schleimer, H.: Synthetische Studien	*08*	*II*	*1*
Schloesing, Th.: Sur l'analyse mécanique des sols	05	I	59
— Contribution à l'étude chimique des eaux marines	08	I	360
Schlosser, M.: Ueber Säugetiere und Süßwassergastropoden aus Pliocänablagerungen Spaniens und über die natürliche Grenze von Miocän und Pliocän	*07*	*II*	*1*
— Beiträge zur Kenntnis der Säugetierreste aus den süddeutschen Bohnerzen	08	I	122
— *Beitrag zur Osteologie und systematischen Stellung von Necrolemur, sowie zur Stammesgeschichte der Primaten überhaupt*	*Festband*		*197*
Schlumberger, Ch.: Première note sur les Orbitoïdes	05	II	152
— Deuxième note sur les Orbitoïdes	05	II	153
— Troisième note sur les Orbitoïdes	05	II	153
— Quatrième note sur les Orbitoïdes	05	II	153
— Note sur le genre Choffatella n. g.	05	II	488
— Deuxième note sur les Miliolidées trématophorées	07	I	158
Schlumberger, Ch. et P. Choffat: Note sur la genre Spirocyclina Mun.-Chalm. et quelques autres genres du même auteur	05	II	153
Schlumberger, Ch. et H. Douvillé: Sur deux foraminifères éocènes Dictyoconus egyptiensis Chapm. et Lituonella Roberti n. g. n. sp.	07	I	326
Schmeißer, C.: Bodenschätze und Bergbau Kleinasiens	08	I	395
— Ueber geologische Untersuchungen und die Entwicklung des Bergbaues in den deutschen Schutzgebieten	08	I	396
Schmid, B.: Lehrbuch der Mineralogie und Geologie für höhere Lehranstalten	CBl	1905	216
— *Erwiderung (gegen R. Brauns) betr. Lehrbuch der Mineralogie*	*CBl*	*1905*	*599. 732*
— siehe Brauns, R.			
Schmidle: Ueber den Rückzug des Würmgletschers im nordwestlichen Bodenseegebiet	*CBl*	*1907*	*257*
Schmidt, A.: Die Leba und ihr Ost-West-Tal, geographisch-geologisch geschildert	08	I	98
Schmidt, August: Bericht der Erdbebenkommission über die vom 1. März 1901 bis 1. März 1902 in Württemberg und Hohenzollern beobachteten Erdbeben	06	II	187
— Bericht der Erdbebenkommission über die vom 1. März 1902 bis 1. März 1903 in Württemberg und Hohenzollern beobachteten Erdbeben	06	II	187
— Bericht der Erdbebenkommission über die vom 1. März 1903 bis 1. März 1904 in Württemberg und Hohenzollern beobachteten Erdbeben	06	II	187
Schmidt, Axel: Die Zweischaler des niederschlesischen und böhmischen Rotliegenden	*05*	*I*	*44*
— Obercarbonische und permische Zweischaler aus dem Gebiet der Saar und Nahe	08	I	133
— *Ueber Anthracosia und Palaeanodonta*	*CBl*	*1908*	*239*
— Natürliche Bausteine	CBl	1908	762
Schmidt, C.: Geologische Reiseskizzen und Universalhypothesen. Akademischer Vortrag, gehalten in Basel im Frühjahre 1904	07	I	372

	Jahrg.	Bd.	Seite
Schmidt, C.: Vivianit in den Diluvialtonen von Noranco bei Lugano	1907	II	189
— Ueber das Alter des Bündner Schiefers im nordöstlichen Graubünden	08	I	253
— Ueber die Geologie des Tunnelgebietes Solothurn—Gänsbrunnen	08	I	254
— Ueber die Geologie des Weißensteintunnels im schweizerischen Jura	08	I	254
— Bild und Bau der Schweizer Alpen	08	II	224
Schmidt, C., A. Buxtorf, H. Preiswerk: Führer zu den Exkursionen der Deutschen geologischen Gesellschaft im südlichen Schwarzwald, im Jura und in den Schweizer Alpen, August 1907	07	II	431
Schmidt, C. und Fr. Hinden: Geologische und chemische Untersuchung der Tonlager bei Altkirch im Oberelsaß und bei Allschwyl im Baselland	09	II	244
Schmidt, C. und H. Preiswerk: Die Erzlagerstätten von Cala, Castillo de las Guardas und Aznalcollar in der Sierra Morena (Prov. Huelva und Sevilla)	06	I	229
Schmidt, F.: J. Tolmatschow's Expedition in das Chatanga-Gebiet	*CBl*	*1905*	*353*
— *Weitere Nachrichten über die Tolmatschow'sche Expedition in das Chatanga-Gebiet*	*CBl*	*1905*	*615*
Schmidt, M.: Ueber Oberen Jura in Pommern. Beiträge zur Stratigraphie und Paläontologie	06	II	100
— siehe Koenen, A. v.			
Schmidt, Margarete: Ueber das Verhalten der Mischungen von Oligoklas mit Enstatit und Augit im Schmelzflusse BB	*XXVII*		*604*
Schmidt, Martin: Ueber Glazialbildungen auf Blatt Freudenstadt	08	II	94
— *Ceratites antecedens und die Abstammung der Nodosen*	*CBl*	*1907*	*528*
Schmidt, O.: Der Portlandzement auf Grund chemischer und petrographischer Forschung nebst einigen neuen Versuchen	08	I	248
Schmidt, P.: Beiträge zur Kenntnis der basaltischen Gesteine der Gegend von Roth am Ostabhang der Rhön	05	II	212
Schmidt, R. R.: Die prähistorische Stellung des paläolithischen Fundes bei Niedernau	08	I	104
Schmidt, W. E.: Die Fauna der Siegener Schichten des Siegerlandes, wesentlich nach den Aufsammlungen in den Sommern 1905 und 1906	09	I	272
Schmut, J.: Oberzeiring, ein Beitrag zur Berg- und Münzgeschichte Steiermarks	06	I	73
Schneider, K., siehe Sapper, K.			
Schneider, L.: Bericht aus Simiritz in Böhmen	06	I	132
Schneider, O.: Ueber den inneren Bau des Gollenberges bei Köslin	05	II	121
— Das Gestein des Seebachfelsens bei Friedrichroda im Thüringer Wald	06	I	208
— *Vorläufige Notiz über einige sekundäre Mineralien von Otavi (Deutsch Süd-West-Afrika), darunter ein neues Cadmium-Mineral*	*CBl*	*1906*	*388*
— *Zur Kristallform des Rinneits*	*CBl*	*1909*	*503*
Schneider, O. und F. Soenderop: Marines Mitteloligocän und ? Alt-Tertiär bei Belgard in Pommern	07	II	294
Schöndorf, Fr.: Die Grorother Mühle, ein lehrreiches Profil des unteren Tertiärs des Mainzer Beckens	06	II	113

	Jahrg.	Bd.	Seite
Schöndorf, Fr.: Das Genus Sphaeraster und seine Beziehungen zu rezenten Seesternen	1908	I	136
— Die Organisation und systematische Stellung der Sphäriten	08	I	137
— Ueber einen fossilen Seestern Spaniaster latiscutatus Sandberger sp. aus dem Naturhistorischen Museum zu Wiesbaden	08	I	138
— Aspidosoma Schmidti n. sp. Der erste Seestern aus den Siegener Schichten	09	I	134
— Paläozoische Seesterne Deutschlands. I. Teil. Die echten Asteriden der rheinischen Grauwacke	09	II	322
— *Ueber Sphaeraster molassicus E. Schütze*	*CBl*	*1907*	*313*
— *Ueber Archaeasterias rhenana Joh. Müller und die Porenstellung paläozoischer Seesterne*	*CBl*	*1907*	*741*
Schoetensack, O.: Ueber die Gleichzeitigkeit der Station Munzingen bei Freiburg mit den paläolithischen Schichten von Thayingen und Schweizersbild	06	I	131
— Beiträge zur Kenntnis der neolithischen Fauna Mitteleuropas mit besonderer Berücksichtigung der Funde am Mittelrhein	06	II	440
— Ueber die Gleichzeitigkeit der menschlichen Niederlassung im Löß von Munzingen unweit Freiburg i. B. und der dem Magdalénien zugehörigen Schicht von Thayingen und Schweizersbild bei Schaffhausen	07	II	471
— Der Unterkiefer des Homo heidelbergensis aus den Sanden von Mauer. Ein Beitrag zur Paläontologie des Menschen	08	II	415
Schokalsky, J. de: Sur la formation de la glace de fond	08	II	168
Schoorl, N.: Beiträge zur mikrochemischen Analyse	08	II	5
Schopp, H.: Geologische Mitteilungen über Neu-Bamberg in Rheinhessen	07	I	266
Schopp, H. und W. Schottler: Einige Beweise für die effusive Natur rheinhessischer Melaphyre	06	II	59
Schottler, W.: Die Eruptivgesteine der Blätter Gießen und Allendorf a. d. Lumda. (Vorläufige Mitteilung)	05	II	50
— Geologische Beobachtungen beim Bau der Bahnlinie Grebenhain—Gedern	06	II	59
— Zur Gliederung der Basalte am Westrande des Vogelsberges	07	I	230
— Ueber einige Bohrlöcher im Tertiär bei Lich in Oberhessen	07	II	291
— siehe Schopp, R.			
Schrader, F. C.: Geological section of the Rocky Mountains in Northern Alaska	06	I	91
— siehe Mendenhall, E.			
Schrader, F. C. and E. Haworth: Economic geology of the Independence quadrangle, Kansas	09	II	408
Schröder, H.: Die Wirbeltierfauna des Mosbacher Sandes. I. Die Gattung Rhinoceros	05	I	485
— Hyaena aus märkischem Diluvium	1905	II	443. 472
— Datheosaurus macrourus n. g. n. sp. aus dem Rotliegenden von Neurode	06	I	151
Schröder, H. und J. Stoller: Marine und Süßwasser-Ablagerungen im Diluvium von Uetersen—Schulau	06	I	120
— — Diluviale marine und Süßwasserschichten bei Uetersen-Schulau	08	I	100
Schröder, O.: Eine gestielte Acanthometride	08	II	321
Schröder, R., siehe Goldschmidt, V. und Schröder, R.			

	Jahrg.	Bd.	Seite
Schröder van der Kolk, J. L. C.: Tabellen zur mikroskopischen Bestimmung der Mineralien nach ihrem Brechungsindex	CBl	1906	551
Schubert, R. J.: Zur Geologie des Kartenblattbereiches Benkovac—Novigrad (29, XIII). I. Die vier küstennächsten Falten	1905	I	454
— Die Fischotolithen des österreichisch-ungarischen Tertiärs. I. Die Scyaeniden	05	II	138
— Mitteleocäner Globigerinenmergel von Albona (Istrien)	05	II	159
— Ueber den „Schlier" von Dolnja-Tuzla in Bosnien	1905	II	290. 490
— Die Ergebnisse der mikroskopischen Untersuchung der bei der ärarischen Tiefbohrung zu Wels durchteuften Schichten	1905	II	290. 490
— Mitteleocäne Foraminiferen aus Dalmatien	05	II	491
— Ueber Cyclammina Uhligi Schub. und C. draga Lieb. et Schub	05	II	491
— Zur Geologie des Kartenblattbereiches Benkovac—Novigrad (29, XIII). II. Das Gebiet zwischen Zemonico und Benkovac	06	I	258
— Geologische Spezialkarte des Blattes Zaravecchia—Stretto. Zone 30, Kol. XIII	07	I	90
— Das Verbreitungsgebiet der Prominaschichten im Kartenblatte Novigrad—Benkovac (Norddalmatien)	07	I	103
— Zur Entstehung des Klippenzuges von Korlat—Smilčić	07	I	105
— Die Fischotolithen des österreichisch-ungarischen Tertiärs. II. Macruriden und Beryciden	07	I	480
— Vorläufige Mitteilung über Foraminiferen und Kalkalgen aus dem dalmatinischen Carbon	07	II	339
— Ueber Fischotolithen aus dem sardinischen Miocän	08	II	277
— Weitere Fischotolithen aus dem sardinischen Miocän und aus dem Pliocän von Bologna	08	II	277
— Die Fischotolithen des Pausramer Mergels	08	II	277
— Zur Geologie des österreichischen Velebit. (Nebst paläontologischem Anhang.)	08	II	289
— Die nutzbaren Minerallagerstätten Dalmatiens	09	II	82
— *Beiträge zu einer natürlicheren Systematik der Foraminiferen*	*BB*	*XXV*	*232*
— *Heteroclypeus, eine Uebergangsform zwischen Heterostegina und Cycloclypeus*	*CBl*	*1906*	*640*
— *Ueber Ellipsoidina und einige verwandte Formen*	*CBl*	*1906*	*641*
Schubert, R., siehe Kerner, F. v.			
Schubert, R. und L. Waagen: Die untersilurischen Phyllopodengattungen Ribeiria Sharpe und Ribeirella n. g.	05	II	316
Schucht, F.: Das Kehdinger Moor	05	II	121
— Das Wasser und seine Sedimente im Flutgebiete der Elbe	05	II	444
— Geologische Beobachtungen im Hümmling	08	I	98
— Die interglazialen Ablagerungen von Godenstadt bei Zeven	08	II	408
— Der Lauenburger Ton als leitender Horizont für die Gliederung und Altersbestimmung des nordwestdeutschen Diluviums	09	II	309
Schütte, H.: Neuzeitliche Senkungserscheinungen an unserer Nordseeküste	08	II	99
Schütze, E.: Ueber alttertiäre Land- und Süßwasserkonchylien aus dem Ries	07	II	451
— Beiträge zur Kenntnis der triassischen Koniferengattungen: Pagiophyllum, Voltzia und Widdringtonitis	08	I	150
— Alttertiäre Land- und Süßwasserfossilien aus der Bunten Breccie von Weilheim im Ries	08	I	432

	Jahrg.	Bd.	Seite
Schütze, E.: Der geologische Aufbau der Schwäbischen Alb mit besonderer Berücksichtigung der daselbst vorkommenden nutzbaren Gesteine	1908	II	217
— *Nerita costellata Münst., eine Schnecke der schwäbischen Meeresmolasse*	*CBl 1905*		*720*
— *Die Gattung Pinna im schwäbischen Muschelkalk*	*CBl 1906*		*114*
Schukowsky, G. v., siehe Bredig, G.			
Schuller, A.: Destillation in luftleeren Quarzgefäßen	05	I	17
Schulten, A. de: Sur un procédé de cristallisation de corps peu solubles	05	II	4
— Sur une propriété particulière à quelques sels hydratés	05	II	4
— Production artificielle de haidingérites de baryum et de strontium	06	I	28
— Production artificielle de la Hopéite	06	I	29
— Production artificielle de la huréaulite et de la huréaulite de cadmium	06	I	29
— Production artificielle de monétites de baryum, de plomb et de strontium et de monétites arséniées de plomb et de strontium	06	I	29
— Production artificielle par voie humide des chromates anhydres de baryum, de plomb et de strontium	06	I	30
— Sur la fiedlerite	07	I	18
— Sur l'isomorphisme de la northupite avec la tychite	08	II	172
Schulz, F. C., siehe Koehne, W.			
Schulz-Briesen: Das Deckgebirge des rheinisch-westfälischen Carbons	06	II	105
Schumann und Leonhard: Das Kreidelager bei Grimme	07	II	123
Schuster, C., siehe Cornu, F.			
Schuster, J.: Ueber ein pliocänes Eichenholz aus Idaho	*08*	*II*	*49*
— Zur Kenntnis der Flora der Saarbrücker Schichten und des pfälzischen Oberrotliegenden	09	I	303
— Paläobotanische Notizen aus Bayern. 1.	09	I	467
Schwalbe, G.: Die Vorgeschichte des Menschen	05	II	300
Schwantke, A.: Ueber die Basalte der Gegend von Marburg, insbesondere das Vorkommen von Amöneburg	05	I	234
— Ueber die Tuffe der Basalte der Gegend von Marburg	05	I	234
— Ueber den protogenen Augit der Basalte	07	II	59
— Ueber Verwachsungen von monoklinem Augit mit Olivin	07	II	59
— Weitere Beobachtungen an dem protogenen basaltischen Augit und über den Bastit	07	II	59
— Die Basalte des westlichen Nordgrönlands und das Eisen von Uifak	08	I	235
— Isomorphie und kristallochemisches Gleichgewicht	09	II	177
— Entmischung labiler isomorpher Mischungen in der Feldspatgruppe	09	II	181
— Zur Nomenklatur isomorpher Körper	09	II	179
— *Die Mandelausfüllung im zeolithführenden Anamesit von Ober-Widdersheim*	*CBl 1905*		*142*
— *Ueber eine Pseudomorphose von Osteolith nach Kalkspat und über kristallisierten Staffelit*	*CBl 1905*		*641*
— *Die Brechungskoeffizienten des Moldawit*	*CBl 1909*		*26*
— *Elementarer Beweis des Zonengesetzes als Uebungsbeispiel zur Zonenrechnung*	*CBl 1909*		*27*
— *Die Beimischung von Ca im Kalifeldspat u. die Myrmekitbildung*	*CBl 1909*		*311*
Schwarz, E. H. L.: Gold at Knysna and Prince Albert, Cape Colony	07	I	408

	Jahrg.	Bd.	Seite
Schwarz, E. H. L.: Geological Survey of the Long Kloof	1907	II	118
— The rocks of Tristan d'Acunha, brought by H. M. S. „Odin" 1904, with their bearing on the question of the permanence of Ocean basins	07	II	119
— The Coast-Ledges in the South-West of the Cape-Colony	08	II	46
Schwarz, H.: Ueber die Auswürflinge von kristallinen Schiefern und Tiefengesteinen in den Vulkanembryonen der Schwäbischen Alb	07	I	387
— Ueber die Wirbelsäule und die Rippen holospondyler Stegocephalen (Lepospondyli Zitt.)	08	II	269
— Ueber die Morphogenie der Wirbelsäule der Tetrapoda	09	II	110
Schwarzmann, M.: Sammlungsmikroskope für Mineraliensammlungen	*CBl*	*1907*	*615*
— Kristalltafeln	*CBl*	1908	90
Schweinfurth, G.: Pseudoeolithen im nordischen Geschiebemergel	08	I	281
Schwietring, Fr.: Beiträge zur Kenntnis der partiellen und der totalen Reflexion des Lichtes an durchsichtigen inaktiven Kristallen	*BB*	*XXVI*	*296*
Scott, D. H.: On the structure and affinities of Fossil Plants from the Palaeozoic Rocks. III. On Medullosa anglica, a new Representative of the Cycadofilices	07	I	163
— Studies in Fossil Betany	07	I	163
— The origin of Seed-bearing Plants	07	I	163
— Germinating spores in a fossil Fern-Sporangium	07	I	164
— The early History of Seed-bearing Plants, as recorded in the Carboniferous Flora	07	I	164
— The Fern-like Seed-plants of the Carboniferous Flora	07	I	164
— What were the Carboniferous Ferns?	07	I	164
— The Present Position of Palaeozoic Botany	09	I	144
— Studies in Fossil Botany. Vol. I. Pteridophyta. Second Edition	09	II	325
— siehe Oliver, F. W.			
— siehe Williamson, W. C.			
Scott, D. H. and E. A. N. Arber: On some new Lagenostoma	07	I	164
Scott, D. H. and A. J. Maslen: Note on the structure of Trigonocarpon olivaeforme	07	I	165
Scott, W. B.: Mammalia of the Santa Cruz beds. Part I: Edentata. 1. Dasypoda	05	I	498
— Mammalia of the Santa Cruz beds. Part I: Edentata. 2. Glyptodontia and Gravigrada	06	I	453
— Report of the Princeton University Expeditions to Patagonia 1896—1899. Bd. 5. Palaeontology. Part II: Insectivora. Part. III: Glires	07	II	320
Scupin, H.: Ueber vulkanische Bomben aus dem Katzbachgebirge	05	I	233
— *Die stratigraphischen Beziehungen der obersten Kreideschichten in Sachsen, Schlesien und Böhmen*	*BB*	*XXIV*	*676*
Sederholm, J. J.: Ueber den gegenwärtigen Stand unserer Kenntnis der kristallinischen Schiefer von Finnland	07	I	235
See, T. J. J.: Die physikalische Ursache der Starrheit der Erde	07	I	373
— Untersuchungen über die inneren Dichtigkeiten, Druck- und Trägheitsmomente der Hauptkörper des Planetensystems	07	I	373
Seebach, M.: Chemische und mineralogische Studien am Granat	CBl	1906	774

	Jahrg.	Bd.	Seite
Seeley, H. G.: On a pneumatic type of vertebra from the Lower Karroo Rocks of Cape Colony (Tamboeria Maraisi)	1906	I	310
— Evidences of a mandible of a new Labyrinthodont from the Upper Karoo beds of Cape Colony (Ptychosphenodon Browni)	08	II	276
Seemann, Fr.: Petrographischer Teil von: „Ergebnisse einer naturwissenschaftlichen Reise zum Erdschias Dagh (Klein-Asien); ausgeführt von A. Penther und E. Zederbauer“	09	II	231
Segerberg, K. O.: De Anomura och Brachyura Dekapoderna inom Skandinaviens — Yngre Krita	06	II	141
Seguenza, L.: I. Vertebrati fossili della Provincia di Messina. Parte II: Mammiferi e geologia del piano pontico	06	I	141
— I Vertebrati fossili della Provincia de Messina. Parte III: Mammiferi pliocenici e quarternari	06	I	142
Séguin: Note sur un cas de monstruosité chez le Pyrina ovulum	05	II	148
— Note sur le développement de l'Acropeltis aequituberculata Ag.	05	II	148
Seidel, C., siehe Miller, W.			
Seidlitz, W. v.: Geologische Untersuchungen im östlichen Rätikon	09	I	88
Seipp, H.: Die abgekürzte Wetterbeständigkeitsprobe der natürlichen Bausteine mit besonderer Berücksichtigung der Sandsteine, namentlich der Wesersandsteine	08	II	218
Sella, A., siehe Martinelli, G.			
Sellards, E. H.: A Study of the structure of palaeozoic Cockroaches, with descriptions of new forms from the Coal-Measures	05	I	524
Semper, M.: Die Grundlagen paläogeographischer Untersuchungen	CBl	1908	434
Semper und Blanckenhorn: Salpeterablagerung in Chile und Aegypten	05	I	262
Seninski, K.: Neogenablagerungen im Distrikt Suchum des südwestlichen Kaukasus	06	I	432
Senouque, A.: Sur la diminution de l'intensité du champ magnétique terrestre en fonction de l'altitude, dans le massif du Mont Blanc	09	I	44
Sernander, R.: Flytjord i svenska fjälltrakter. En botaniskgeologisk undersökning	06	II	350
Serra, A.: Studio litologicochimico delle rocce del Coluru (Sardegna Sett.)	08	II	45
— Intorno alla tormalina dell' Asinara (Sardegna)	08	II	312
Sestini, F.: Materiali per una carta chimico-agronomica. Dei terreni della pianura pisana ed in special modo di quelli dei dintorno di Pisa	05	I	146
Sevastos, R.: Sur la faune pleistocène de la Roumanie	05	I	320
Seward, A. C.: The Jurassic Flora. I. The Yorkshire Coast	07	I	488
— The Jurassic Flora. II. Liassic and Oolitic Floras of England	07	I	489
— La flore wealdienne de Bernissart	07	I	491
— On the Occurrence of Dictyozamites in England, with Remarks on European and Eastern Mesozoic Floras	08	I	148
— Fossil Floras of Cape Colony	08	I	148
— Fossil Plants from South Africa	1908	I	149. 454
— Fossil Plants from Egypt	08	I	149
— On a Collection of Jurassic Plants from Victoria	08	I	149

	Jahrg.	Bd.	Seite
Seward, A. C.: On a Collection of Permo-Carboniferous Plants from St. Lucia (Sonckele) Coal-Field, Zululand, and from the Newcastle District, Natal	1908	I	149
— Permo-Carboniferous Plants from Kashmir	08	I	453
— Jurassic Plants from Caucasia and Turkestan	09	I	147
Seward, A. C. and Sibille O. Ford: The Araucariae, recent and extinct	08	I	158
Seward, A. C. and T. N. Liesle: Permo-Carboniferous Plants from Vereeniging	08	I	453
Seward, A. C. and A. S. Woodward: Permo-Carboniferous Plants and Vertebrates from Kashmir	08	I	416
Shand, J.: Ueber Borolanit und die Gesteine des Cnoc-na-Sroine-Massivs in Nord-Schottland	*BB*	*XXII*	*413*
Shattuck, G. B.: The mollusca of the Buda limestone, with an appendix on the corals of the Buda limestone, by Th. W. Vaughan	06	I	308
Shelton, H. S.: Ueber den Molekularzustand des Borax in Lösung	05	II	16
Shepard, E. M.: The New Madrid earthquake	07	I	45
Shepherd, S. E., siehe Day, A. L. etc.			
Shimer, H. W.: Fossorial Adaptation	06	I	137
Shrubsole, O. A.: Triassic pebbles of South Devon and the Midlands	05	II	424
Sichtermann, P.: Diabasgänge im Flußgebiet der unteren Lenne und Volme . . . . . 1907 I 55	09	I	407
Sidorenko, M.: Magnetkies aus Gruschewka-Anthrazit und die Produkte seiner Metamorphose (gediegenes Eisen und Limonit)	06	I	13
— Beschreibung einiger Mineralien und Gesteine aus den Gipslagerstätten des Chotinschen Kreises im Gouvernement Bessarabien	07	II	377
Siebenthal, C. E.: Structural Features of the Joplin District	07	II	52
Sieber: Fossile Süßwasser-Ostracoden aus Württemberg	06	II	138
Siebert, W., siehe Stock, A.			
Siedentopf, H.: Ultramikroskopische Untersuchungen über Steinsalzfärbungen	07	II	14
— Ueber künstlichen Dichroismus von blauem Steinsalz	08	II	157
— Mikroskop-Okular mit Quarzkeil-Kompensator	CBl	1906	745
Siedentopf, H. und E. Sommerfeldt: Ueber die Anfertigung kinematographischer Mikrophotographien der Kristallisationserscheinungen	08	II	145
Siegert, L., siehe Kaiser, E. und Siegert, L.			
Siegert und Weißermel: Ueber die Gliederung des Diluviums zwischen Halle und Weißenfels	06	II	432
Siegmund, A.: Ein neues Vorkommen von Basalttuff in der Oststeiermark	08	I	61
— Ueber den Amphibolgranit bei Winden in Niederösterreich	08	I	63
Siemiradzki, J. v.: Die obere Kreide in Polen	06	II	110
Sigmund, A.: Ueber einige seltene Minerale in Niederösterreich	06	II	174
— Graphit im Granulit von Pöchlarn	08	I	62
— *Entgegnung auf Herrn K. A. Redlich's „Kritische Bemerkungen zu den ‚Mineralien Niederösterreichs' von A. Sigmund" in diesem „Centralblatt" 1908, No. 24*	*CBl*	*1909*	*439*
— *Ueber ein Nephritgeschiebe von außergewöhnlicher Größe aus dem Murschotter bei Graz*	*CBl*	*1909*	*686*

	Jahrg.	Bd.	Seite
Sigmund, A.: Die Minerale Niederösterreichs	*CBl*	*1909*	*710*
— siehe Clar, O.			
— siehe Redlich, K. A.			
Silvestri, A.: Intorno ad una varietà della Virgulina Schreibersiana Cžjk	1905	II	155
— La forma megalosferica della Cyclammina cancellata	05	II	157
— La forma microsferica della Cyclammina cancellata	05	II	157
— Alcune osservazioni sui Protozoi fossili Piemontesi	05	II	157
— Località toscana del genere Chapmania Silv. et Prev.	05	II	158
— Lepidocyclinae ed altri fossili del territorio d'Anghiari	05	II	487
— Sul Dictyoconus aegyptiensis (Chapman)	05	II	487
— Osservazione critiche sul genere Baculogypsina Sacco	05	II	488
— Ricerche strutturali su alcune forme dei trubi di Bonfornello (Palermo)	06	I	472
— La Chapmania gassinensis Silv.	06	I	473
— Notizie sommarie su tre faunule del Lazio	06	I	473
— Sulla „Orbitoides Gümbelii" Seg.	06	I	473
— Forme notevoli di Rizopodi tirrenici	06	II	308
— Forme nuove e poco conosciute di Protozoi miocenici piemontesi	06	II	308
— Lageninae del Mar Tirreno	06	II	309
— La Sagrina nodosa del Pliocene senese	06	II	309
— Sulla Lepidocyclina marginata (Michelotti)	06	II	457
— Nuova forma della Triloculina rotunda d'Orb.	07	I	330
— Sul dimorfismo della „Textularia gibbosa" d'Orb.	07	I	330
— Sull' età geologica delle Lepidocicline	07	II	339
— Forma italiana della „Lingulina impressa" Terquem.	07	II	340
— Fossili dordoniani nei dintorni di Termini-Imerese (Palermo)	07	II	341
— La questione delle Lepidocicline nell' Umbria	07	II	498
— Il genere Glandulonodosaria Silv.	07	II	499
— Considerazioni paleontologiche e morfologiche sui generi Operculina, Heterostegina, Cycloclypeus	08	I	447
— L'Omphalocyclus macropora (Lamck.) a Termini—Imerese (Palermo)	08	I	448
— Sulla „Orbitoides" socialis Leymerie	08	II	289
— Sulla „Orbitulites complanata" Martelli	08	II	290
— Probabile origine d'alcune Orbitoidinae	08	II	291
— Philippe de la Harpe nella questione delle Lepidocicline	09	I	139
— Miliolidi trematoforate nell' Eocene della Terra d'Otranto	09	I	140
— Osservazioni ad uno scritto di G. Rovereto „Sur le Stampien à Lepidocyclines des environs de Varazze"	09	II	148
— Fossili cretacei della Contrada Calcasacco presso Termini-Imerese (Palermo)	09	II	149
— siehe Prever, P. L.			
Simionescu, J.: Ueber die Verbreitung und Beschaffenheit der sarmatischen Schichten der Moldau (Rumänien) 1905 I 469	06	I	295
— Vorläufige Mitteilung über eine oligocäne Fischfauna aus den rumänischen Karpathen	06	I	153
— Contributions à la géologie de la Moldavie	06	I	406
— Sur la présence du Verrucano dans les Carpathes Moldaves	06	I	407
— Das Alter der Klaus-Schichten in den Südkarpathen	06	II	120
— Les Ammonites jurassiques de Bucegi	06	II	120
— Note sur l'âge et le facies des calcaires de Hârsova-Topal (Dobrogea)	07	II	445
— Ueber das Vorkommen der Werfener Schichten in der Dobrogea (Rumänien)	08	II	399

	Jahrg.	Bd.	Seite
Simmer, H.: Der aktive Vulkanismus auf dem afrikanischen Festlande und den afrikanischen Inseln	1907	II	395
Simmersbach, B.: Das Steinkohlenbecken von Heraklea in Kleinasien	05	I	261
Simmersbach, B. und F. Mayr: Die chilenische Salpeterindustrie	06	I	238
Simoens, G.: Note préliminaire sur l'allure probable des couches houillères dans le Nord de la Belgique	05	I	127
— Un exemple de transgression marine secondaire au sein d'un cycle sédimentaire type	06	II	428
Simon, K.: Beiträge zur Kenntnis der Mineralfarben	*BB*	*XXVI*	*249*
Simons, G.: A propos des roches rouges du bassin houiller de la Campine	05	I	455
Simpson, E. S.: Notes on a meteorite from the Nuleri District of Western Australia	09	I	360
Simpson, J. F.: The Relation of copper to Pyrite in the Lear Copper Ores of Butte, Montana	09	II	399
Sinclair, W. J.: The exploration of the Potter Creek Cave	06	I	125
— New Mammalia from the Quaternary Caves of California	07	I	298
— New or imperfectly known Rodents and Ungulates from the John Day Series	07	I	303
— The Marsupial Fauna of the Santa Cruz Beds	07	I	306
— Some Edentate-like remains from the Mascall Beds of Oregon	07	II	491
Sinclair, W. J. and E. L. Furlong: Euceratherium, a new Ungulate from the Quaternary Caves of California	05	II	469
Sinzow, J.: Ueber einige evolute Ammonitenformen aus dem oberen Neocom Rußlands	06	I	465
— Beschreibung einiger Douvilléiceras-Arten aus dem oberen Neocom Rußlands	06	II	141
Sitzenberger, J.: Couches fossilifères entamées par le chemin de fer du Bregenzerwald	06	I	427
Sjögren: Om våra järnmalmers bildningssätt	09	I	391
Sjögren, Hj.: Einschlüsse in einem Gangquarz von Salangen in Norwegen	06	I	165
— Ueber kristallisierten Pyrochroit von Långban	06	I	166
— Ueber A. E. Nordenskjöld's Untersuchungen der Radioaktivität bei gewissen schwedischen und norwegischen Mineralen	06	I	325
— Ueber Darstellung von Radium aus Kolm von Westgotland und Nerike und über Destillationsprodukte bituminöser Alaunschiefer	06	I	326
— Inneslutningar i en gångkvartz från Salangen i Norge	06	II	363
— Thalenit aus dem Quarzbruch von Askagen in Värmland	07	II	26
— Barysit von Långban	07	II	27
— Edingtonit von Böhlet in Westergötland und von Kilpatrik in Schottland	07	II	184
— Ueber Igelström's Chondroarsenit von Pajsberg	07	II	375
Sjuts, H.: Ueber die Bedeutung der Verwitterung für die Umgestaltung der Erdoberfläche	08	II	58
Skanes, J., siehe Inkes-Brown, A. J.			
Skeats, E. W.: On the Chemical and Mineralogical Evidence as to the Origin of the Dolomites of Southern Tyrol	06	II	206
— The Chemical Composition of Limestones from Upraised Corals Islands, with Notes on their Microscopical Structure	07	II	217

	Jahrg.	Bd.	Seite
Skeats, E. W.: Notes on the geology of Mooroodue in the Mornington peninsula	1909	I	230
— Notes on the geology of the You Yangs, Victoria	09	I	231
Skinner, S.: Note on the Slipperiness of Ice	05	I	20
Skouphos, Th.: Ueber die paläontologischen Ausgrabungen in Griechenland in Beziehung auf das Vorhandensein des Menschen	08	I	120
Slatowratsky, N. und G. Tammann: Erweichen Kristalle in der Nähe ihres Schmelzpunktes?	06	II	10
Slavíček, J.: Aelteres Tertiär in der Umgebung von Neutitschein	07	II	295
Slavík, F.: Mineralogische Notizen. II. Titanit von Skaatö bei Kragerö	05	I	188
— Mineralogische Notizen. III. Krokoitkristall von Dundas	05	I	191
— Mineralogische Notizen. I. Zur Kenntnis der Mineralien von Schlaggenwald	05	I	198
— Mineralogische Mitteilungen aus Westmähren. II. 1905 II 176.	179.		188
— Die Alaun- und Pyritschiefer Westböhmens	06	I	51
— Ueber den Baryt und Anglesit von Mies. Studien über den Mieser Erzdistrikt und einige seiner Mineralien. II. Teil	06	II	24
— Bemerkungen zu demselben Aufsatze	06	II	353
— Zwei Kontakte von mittelböhmischem Granit mit Kalkstein	06	II	360
— Studien über den Mieser Erzdistrikt und einige seiner Mineralien	06	II	362
— Vesuvischer Salmiak von 1906	08	I	326
— Ueber die Mineralien von Kostajnik in Serbien	09	I	166
— Whewellit von Schlan	09	I	195
— *Phenakit von Brasilien*	*CBl 1909*		*264*
Slavík, F., siehe Počta, Ph.			
Slavík, Marie: Gabbrodiorit von Ober-Březany	06	II	361
Smirnoff, W.: Notiz über Glaukonit aus der Umgebung von Grodno	07	II	370
— Ueber ein kristallinisches Verwitterungsprodukt des Augits 1908 II 307	09	II	344
— Grammatit von Slatoust	09	II	17
Smith, G. E.: The Brain of the Archaeoceti	06	I	147
Smith, G. F. H.: On the advantages of the Gnomonic Projection and its use in the Drawing of Crystals	05	II	1
— The construction and use of the Moriogram	06	I	1
— An improved form of Three-Circle Goniometer	06	I	159
— An improved form of Refractometer	06	II	32
— On the method of minimum deviation for the determination of refraction indices	07	II	163
— Paratacamite, a new oxychloride of copper	07	II	355
— Ueber eine neue Form des dreikreisigen Goniometers	08	I	2
— Konstruktion und Anwendung des Moriogramms	08	I	2
— Ueber eine verbesserte Form des Refraktometers	08	I	2
— A new model of Refractometer	08	II	146
— Red silver minerals from the Binnental Switzerland	09	I	171
— Ilmenite from Jacupiranga, Brazil	09	I	175
— siehe Blake, G. S. and Smith, G. F. H.			
Smith, G. O., siehe Dale, F. N.			
Smith, J. P.: The carboniferous Ammonoids of America	05	I	525
— The comparative stratigraphy of the Marine Trias of Western America	06	II	98
— The stratigraphy of the Western American Trias 1907 II 285	08	I	259

	Jahrg.	Bd.	Seite
Smith, J. P.: The paragenesis of minerals in the glaucophane—bearing rocks in California	1909	I	71
— siehe Hyatt, A.			
Smith, St. T., siehe Ulrich, E. O.			
Smith, W. D.: The development of Scaphites	08	I	132
— Orbitoides from the Binangonan Limestone	09	II	150
Smith, W. S. T.: Some aspects of erosion in relation to the theory of the peneplain	05	II	375
Smith-Woodward, A. S.: The fossil fishes of the English Chalk. Part I	05	I	136
— On two Skulls of the Ornithosaurian Rhamphorhynchus. I. Rhamphorhynchus Gemmingi Meyer. II. Rhamphorhynchus longiceps n. sp.	05	I	521
— Catalogue of fossil fishes in the British Museum (natural History). Part IV. Containing the Actinopterygian Teleostomi of the suborders Isospondyli (in part), Ostariophysi, Apodes, Percesoces, Hemibranchii, Acanthopterygii and Anacanthini	05	II	135
— On some extinct reptiles from Patagonia of the genera Miolania, Dinilysia and Genyodectes	05	II	307
— Preliminary Note on a carboniferous Fish-Fauna from Victoria, Australia	05	II	480
— On two new Labyrinthodont skulls of the Genera Capitosaurus and Aphaneramma	07	I	150
— Fossil fish remains from Natal. I. Notes on Cretaceous fish teeth from the mouth of the Umpenyati River Natal	07	II	304
— On Rhynchosaurus articeps (Owen)	08	II	441
— On some fossil fishes discovered by Prof. Ennes de Souza in the cretaceous formation at Ilhéos (State of Bahia), Brazil	08	II	447
— On a Megalosaurian tibia from the lower Lias from Wilmcote, Warwickshire	09	I	441
— On a new dinosaurian reptile (Scleromochlus Taylori n. g. n. sp.) from the Trias of Lossiemouth, Elgin	09	I	443
— On some fossil reptilian bones from the State of Rio Grande do Sul	09	I	444
— Fossil reptilian bones from Brazil	09	I	444
— siehe Seward, A. C.			
Smolař, G.: Die Berechnung der Zwillinge in den schiefwinkeligen Systemen 1908 I 2	08	II	1
— Mathematische Grundlage zur Berechnung von Zwillingen	1908	I	2. 14
— Die Messung der Kantenwinkel mittels eines Vertikalilluminators am Reflexionsgoniometer	09	I	313
Smolénski, G.: Das Untersenon von Bonarka. I. Cephalopoden und Inoceramen	08	I	431
Smyčka, F.: Bericht über die Devonfauna der Čelechovicer Bildungen in Mähren	05	I	126
— Novější nálezy v čelechovském devonu	05	I	126
— Beitrag zur Kenntnis der Devonfauna bei Čelechovic für das Jahr 1905	07	II	283
— Ueber Miocänablagerungen auf Devonkalksteinen bei „Čelechovská kaple“ (Rittberg) unweit Proßnitz (Mähren)	07	II	296
Smyth, C. H.: Replacement of Quartz by Pyrite and corrosion of Quartz pebbles	06	I	331
— The abstraction of oxygen from the atmosphere by iron	07	I	49
Smyth, H. L.: Magnetic Observations in Geological and Economic Work. I. II.	09	I	389

	Jahrg.	Bd.	Seite
Snethlage, E.: Ueber die Gattung Joufia G. Boehm	1908	I	445
Sobolew, D.: Zur Stratigraphie des oberen Mitteldevons im polnischen Mittelgebirge	05	I	127
— Devonische Ablagerungen des Profils Grzegorzewice—Skaly—Wlochi	05	II	106
Sodoffsky, G.: Die Gipslager in den Gouvernements Livland und Pleskau	06	II	229
Soellner, J.: Ueber Rhönit, ein neues änigmatitähnliches Mineral und über das Vorkommen und die Verbreitung desselben in basaltischen Gesteinen	*BB*	*XXIV*	*475*
— Ueber das Vorkommen und die Verbreitung von Aenigmatit in basaltischen Gesteinen	*CBl*	*1906*	*206*
Soenderop, F., siehe Schneider, O.			
Sokol, R.: Ueber Erosion und Denudation eines Baches	*CBl*	*1907*	*429*
Sokolow, N.: Die Molluskenfauna von Mandrikowka. I. Pelecypoda. Prionodesmacea (Nuculidae, Ledidae, Limopsidae, Arcidae, Vulsellidae, Ostreidae, Pectinidae, Spondylidae, Dimyidae, Limidae, Anomiidae)	06	I	468
Sokolow, W.: Ueber die Veränderung der Quarzsubstanz unter dem Einfluß hoher Temperatur	09	II	14
Solger, F.: Die Ammonitenfauna der Mungo-Kalke in Kamerun und das geologische Alter der letzteren	05	I	153
— Die Fossilien der Mungo-Kreide in Kamerun und ihre geologische Bedeutung	05	I	153
— Ueber die Jugendentwicklung von Sphenodiscus lenticularis Ow. und seine Beziehungen zur Gruppe der Tissotien	05	I	177
Sollas, W. J.: Recumbend Folds produced as a Result of Flow	09	I	82
Solly, R. H.: Sulpharsenites of lead from the Binnenthal. Part IV. Seligmannite, with a supplementary note on Baumhauerite	05	I	19
— On various minerals (Anatase etc.) from the Binnental	06	I	167
— Some new minerals from the Binnental, Switzerland	06	II	30
— Notes on some Binnental minerals (Ilmenite, Seligmannite, Marrite etc.)	08	I	204
Solórzano, M. M.: Plant Remains in Basalt, Mexico	09	II	393
Sommer, K.: Die Fauna des Culms von Königsberg bei Gießen	*BB*	*XXVIII*	*611*
Sommerfeldt, E.: Ein für mineralogische Untersuchungen bei hohen Temperaturen geeignetes Mikroskop	06	I	2
— Einige Anwendungen der stereographischen Projektion	07	I	2
— Zur Frage nach der Isomorphie des Calciumsulfats mit Baryt und Cölestin	*07*	*I*	*139*
— Die mikroskopische Achsenwinkelbestimmung bei sehr kleinen Kristallpräparaten	1907	I	187
	07	II	164
— Eine Verbesserung am Kondensor	07	II	3
— Ueber die Struktur der optisch-aktiven monoklin-hemiedrischen Kristalle	07	II	351
— Ein Beispiel für optisches Drehungsvermögen bei nichtenantiomorphen Kristallen: der Mesityloxydoxalsäuremethylester	*08*	*I*	*58*
— Ueber die Beziehungen der Kristallpolyeder zu den regelmäßigen Körpern	*08*	*I*	*113*
— Eine einfache Methode zur Justierung der Nicols am mineralogischen Mikroskop	08	II	145
— Ueber den Ursprung des Ammoniaks der Laven	1909	I	7. 52
— Ueber flüssige und scheinbar lebende Kristalle	09	II	329
— Eine Erweiterung der Komplikationsregel	*CBl*	*1905*	*427*
— Diagramme der regelmäßigen Punktsysteme. (Erster Teil)	*CBl*	*1906*	*437. 468*

	Jahrg.	Bd.	Seite
Sommerfeldt, E.: Eine Grundfrage der chemischen Petrographie	*CBl*	*1907*	*2*
— *Anomale Aetzfiguren und ihre Erklärung durch die Strukturtheorie*	*CBl*	*1907*	*111*
— *Bemerkungen zu den graphischen Methoden der Petrographie*	*CBl*	*1907*	*134*
— *Notiz über den Periklas*	*CBl*	*1907*	*212*
— Geometrische Kristallographie	CBl	1907	182
— Physikalische Kristallographie vom Standpunkt der Strukturtheorie	CBl	1907	472
— *Fluorhaltiges Zement in Sandsteinen*	*CBl*	*1908*	*161*
— *Nachtrag zu meiner Publikation über kristallisiertes Calciumsulfat*	*CBl*	*1909*	*25*
— *Zu dem „Nachtrag zu meiner Publikation über kristallisiertes Calciumsulfat"*	*CBl*	*1909*	*189*
— siehe Siedentopf, H.			
Sommervail, A.: On the Base of the Keuper in South Devon	1905	II	425
Souza, siehe Ennes de Souza.			
Souza Brandão, V. de: Sur un gisement remarquable de Riebeckite et le Zircon qui l'accompagne	1905	I	373. 378
— Ueber ein Mikroskopgoniometer	05	II	2
— Gefäß-Totalreflektometer und Achsenwinkelapparat, in Verbindung mit dem Babinet'schen Goniometer und weitere Verbesserungen an dem letzteren	09	I	156
— *Ueber eine Dispersionsformel der Doppelbrechung im Quarz und deren Verwendung beim Babinet'schen Kompensator*	*CBl*	*1905*	*23*
Spandel, E.: Der Rupelton des Mainzer Beckens, seine Abteilungen und deren Foraminiferenfauna, sowie einige weitere geologisch-paläontologische Mitteilungen über das Mainzer Becken	1909	I	433 09 II 323
Speight, R.: Note on a Dyke at Nugget Point	09	II	75
— Notes on some Rocks from Campbell Island	09	II	75
Spencer, A. C.: The Copper Deposits of the Encampment District, Wyoming	05	II	35
Spencer, J. W.: Recession of the Niagara Falls	09	II	210
Spencer, L. J.: A (third) list of new mineral names	05	I	1
— Irregularly developed crystals of Zircon (sp. gr. 4,0) from Ceylon	06	I	21
— Phenacite and other minerals from German East Africa	07	II	384
— Notes on some Bolivian minerals (Jamesonite, Andorite, Cassiterite, Tourmaline etc.). With chemical analyses by T. Prior	08	II	336
— A (fourth) list of new mineral names	09	I	155
— Note on Feather-ore: identity of Domingite (= „Warrenite") with Jamesonite	09	I	170
— On hopeite and other zinc phosphates and associated minerals from the Broken Hill mines, North-Western Rhodesia	09	II	31
— siehe Johnston-Lavis, H. J. and Spencer, L. J.			
Sperouski, A.: Ueber den Dampfdruck der festen Lösungen	05	I	364
Spethmann, H.: Ancylus-See und Litorina-Meer im südwestlichen Ostseebecken von der dänischen Grenze bis zur Odermündung	07	I	118
— Glaziale Stillstandslagen im Gebiet der mittleren Weser	09	I	109
— *Vulkanologische Forschungen im östlichen Zentralisland*	*BB*	*XXVI*	*381*
— *Die Lübecker Mulde und ihre Terrassen*	*CBl*	*1907*	*97*
— *„Härtling" für monadnock. — „Nachrumpf" und „Vorrumpf"*	*CBl*	*1908*	*746*
— *Aeolische Aufschüttungsringe an Firnflecken*	*CBl*	*1909*	*180*
— *Der Aufbau der Insel Island*	*CBl*	*1909*	*622. 646*

	Jahrg.	Bd.	Seite
Spezia, G.: Contribuzioni di geologica chimica. La pressione è chimicamente inattiva nella solubilità e reconstituzione del quarzo	1905	II	246
— Note mineralogiche sopra alcuni materiali dell' isola del Principe Rodolfo	06	I	35
— Il Dinamometamorfismo e la Minerogenesi	06	I	47
— Contribuzioni sperimentali alla cristallogenesi del Quarzo	1906	II	80. 159
— Sulle inclusioni di anidride carbonica liquida nella anidrite associata al quarzo trovata nel Traforo del Sempione	08	I	34
— La pressione anche unità al tempo non produce reazioni chimiche	08	I	168
— Sulle inclusione di anidride carbonica liquida nella calcite di Traversella	08	I	179
— Azione chimica del chlorato potassico sulla pirite e sull' hauerite	09	I	334
— *Ueber das metallische Natrium als die angebliche Ursache der natürlichen blauen Farbe des Steinsalzes*	*CBl 1909*		*398*
Spiller, J.: Recent Coast Erosion in Suffolk: Dunwich to Covehithe	06	I	46
Spitaler, R.: Periodische Verschiebungen des Schwerpunktes der Erde	07	I	374
Spitzenberger, J.: Gisements fossilifères dans le Molasse aux environs de Stockach	08	I	269
Spitzner, V.: Foraminifery z miocénovych jilu u Čech blíže Prostějova	07	I	162
— Geologische Verhältnisse der Bezirke Proßnitz und Plumenau	09	I	98
— siehe Purkyně, Cyr. Ritter v.			
Spring, R.: Zur Kenntnis der Erzlagerstätten von Smejinogorsk (Schlangenberg) und Umgebung im Altai	07	I	255
— Einige Beobachtungen in den Platinwäschereien von Nischnji Tagil	07	I	260
Spring, W.: Quelques expériences sur la perméabilité de l'argile	05	I	265
— Recherches expérimentales sur la filtration et la pénétration de l'eau dans le sable et le limon	05	I	266
— Sur les conditions, dans lesquelles certains corps prennent la texture schisteuse	05	I	266
— Quelques expériences sur l'imbibition du sable par les liquides et les gaz, ainsi que sont tassement	05	I	267
— Sur la décomposition de quelques sulfates acides à la suite d'une déformation mécanique	05	I	267
— Ueber die Verminderung der Dichte, welche gewisse Körper infolge starker Kompression zeigen, und über die wahrscheinliche Ursache dieser Erscheinung	05	II	408
Springer, F.: Cleiocrinus	05	II	145
Spurr, J. E.: The ore-deposits of Tonopah, Nevada	05	I	206
— The Southern Klondike District, Esmeralda County, Nevada. A Study in Metalliferous Quartz Veins of Magmatic Origin	08	I	398
— A Theory of Ore-deposition	09	II	78
Spurr, J. E. and G. H. Garrey: Ore-Deposits of the Velardeña District, Mexico	09	II	82
Squinabol, S.: Le Radiolarie dei noduli selciosi nella Scaglia degli Euganei. Contr. I	06	I	474
— Radiolarie cretacee degli Euganei	06	I	474
Sroslík, J.: Der Bergbau auf Eisenerz bei Konic	06	II	381

	Jahrg.	Bd.	Seite
Stache, G.: Aeltere und neue Beobachtungen über die Gattung Bradya Stache in bezug auf ihr Verhältnis zu den Gattungen Porosphaera Steinmann und Keramosphaera Brady und auf ihre Verbreitung in den Karstgebieten des österreichischen Küstenlandes und Dalmatiens . . .	1905	II	486
Staff, H. v.: Zur Entwicklung der Fusuliniden	09	I	141
— Ueber Schalenverschmelzung und Dimorphismus bei Fusulinen	09	I	299
— *Beiträge zur Kenntnis der Fusuliniden*	*BB*	*XXVII*	*461*
— *Zur Stratigraphie und Tektonik der ungarischen Mittelgebirge. I. Gerecse-Gebirge*	*CBl*	*1905*	*391*
— *Zur Entwicklung der Fusuliniden*	*CBl*	*1908*	*691*
— siehe Böckh, H.			
Stahl, A. F.: Einige Bemerkungen zum Artikel Prof. H. Potonié's: Zur Frage nach den Urmaterialien der Petrolea	08	II	41
Stainier, X.: Age des roches rouges du Limbourg belge	05	I	455
— Un gisement de troncs d'arbres debouts au Charbonnage de Falisolle	05	I	458
Stanley, F. C., siehe Penfield, S. L.			
Stanton, T. W.: Morrison formation and its relations with the Comanche series and the Dakota formation 1907 I 286	07	II	125
Stanton, T. W. and J. B. Hatcher: Geology and Palaeontology of the Judith river beds. With a chapter on the fossil plants, by F. H. Knowlton	07	I	439
Stanton, T. W. and G. C. Martin: Mesozoic Section on Cook Inlet and Alaska Peninsula	07	I	277
Stappenbeck, R.: Die osthannöversche Kiesmoränenlandschaft	05	II	442
— Ueber Stephanospondylus n. g. und Phanerosaurus H. v. Meyer	07	I	311
Stark, M.: Die Euganeen	07	I	220
— Zusammenhang des Brechungsexponenten natürlicher Gläser mit ihrem Chemismus	08	I	54
— Gauverwandtschaft der Euganeengesteine	08	II	202
— Die Gesteine Usticas und die Beziehungen derselben zu den Gesteinen der Liparischen Inseln	09	II	68
— Grünschiefer aus dem Groß-Arl- und Gasteintal	09	II	222
Stasi, P. E. e E. Regalia: Grotta Romanelli Castro, Terra d'Otranto. Stazione con fauna interglaciali, calda e di steppa	06	I	131
— — Grotta Romanelli, stazione con fauna interglaciali calda e di steppa. Nach einem Referat von Woldrich . . .	07	I	295
Staudinger, W.: Praeovibos priscus nov. gen. et nov. sp., ein Vertreter einer Ovibos nahestehenden Gattung aus dem Pleistocän Thüringens	*CBl*	*1908*	*481*
Stecher, E.: Orthoklaskristalle aus dem Quarzporphyr des „Roten Steins" bei Euba	08	II	172
— Orthoklaskristalle aus dem Quarzporphyr des „Roten Steins"	CBl	1908	670
Stechow, E.: Neue Funde von Iguanodon-Fährten . . .	CBl	1909	700
Stefani, C. de: Le acque termali di Torrite in Garfagnana	05	I	53
— I proietti di Leucotefriti nei Campi Flegrei	07	I	66
Stefanini, G.: Conoclypeidi e Cassidulidi conoclipeiformi .	09	II	484
Stefano, G. di: Sull' esistenza dell Eocene nelle Penisola Salentina	08	I	448
— Poche altre parole sull' Eocene della Terra d'Otranto . .	08	II	291
Stegmann, H.: Die jungen Ergußgesteine der Batakländer (Sumatra)	*BB*	*XXVII*	*401*

	Jahrg.	Bd.	Seite
Stehlin, H. G.: Die Säugetiere des schweizerischen Eocän. Kritischer Katalog der Materialien. I. Teil: Die Fundorte, die Sammlungen. — Chasmotherium—Lophiodon	1905	I	492
— Sur les mammifères des sables bartoniens du Castrais	05	II	302
— Une faune à Hipparion à Perrier	06	I	143
— Die Säugetiere des schweizerischen Eocäns. Kritischer Katalog der Materialien. II. Teil. Palaeotherium, Plagiolophus, Propalaeotherium. III. Teil. Lophiotherium, Anchilophus, Pachynolophus	06	II	282
Steidtmann, E.: A Graphic Comparison of the Alteration of Rocks by Weathering with their Alteration by Hot Solutions	09	II	60
Stein, G.: Ueber die Darstellung einiger Silikate. Mineralogisch-chemische Mitteilungen aus dem Institut f. anorg. Chemie der Universität Göttingen: II.	09	I	182
Steiner, C.: Ueber australische und afrikanische Azurite und ägyptische Chrysolithe	1908	I	197
Steinhauß, J.: Der Goldbergbau Nagyág	08	II	17
Steinmann, G.: Geologische Beobachtungen in den Alpen. II. Die Schardt'sche Ueberfaltungstheorie und die geologische Bedeutung der Tiefseeabsätze und der ophiolithischen Massengesteine	06	I	74
— Ueber eine stockbildende Nubecularia aus der sarmatischen Stufe (N. caespitosa n. f.)	06	II	88
— Observaciones geologicas efectuadas desde Lima hasta Chanchamayo	06	II	311
— Die Entstehung der Kupfererzlagerstätte von Corocoro und verwandter Vorkommnisse in Bolivia	07	II	265
— Geologische Probleme des Alpengebirges. Eine Einführung in das Verständnis des Gebirgsbaus der Alpen	07	II	421
— Ueber das Diluvium am Rodderberge	07	II	427
— Die paläolithische Renntierstation von Munzingen am Tuniberge bei Freiburg i. B.	07	II	455
— Ueber die Beziehungen zwischen der niederrheinischen Braunkohlenformation und dem Tertiär des Mainzer Beckens	07	II	471
— Die Entstehung des Nephrits in Ligurien und die Schwellungsmetamorphose	08	I	268
— Die Zinnerzlagerstätten Bolivias	09	I	188
— Alpen und Apennin	09	II	242
— Rothpletz, Ueber Algen und Hydrozoen im Silur von Gotland und Oesel	09	II	258
— Die geologischen Grundlagen der Abstammungslehre	09	II	326
— *Beiträge zur Geologie und Paläontologie von Südamerika*	09	II	470
	BB XXIII 187; XXIV 69; XXV 493		
— Das Alter der Schieferformation im Feuerlande	CBl	1908	193
— *Keine marine Trias in Südamerika*	*CBl*	*1909*	*1*
— *Rassenpersistenz bei Ammoniten. Eine Erwiderung*	*CBl*	*1909*	*193. 225*
— *Ueber marine Trias in Peru*	*CBl*	*1909*	*616*
— *Die Abstammung der „Gattung Oppelia" Waag.*	*CBl*	*1909*	*641*
— *Ueber Gesteinsverknetungen*	*Festband*		*330*
— siehe Diener, C. und Jaeckel, O.			
Stella, A.: A proposito della diffusione delle roccie a giadeite nelle Alpi occidentali	05	II	67
— Sulla geologia della regione Ossolana contigua al Sempione	05	II	223
Stelzner-Bergeat: Die Erzlagerstätten	1905	II	193 CBl 1907 625
— siehe Harbort, E.			

	Jahrg.	Bd.	Seite
Stěp, J.: Das Vorkommen des Uranpecherzes zu St. Joachimstal	1905	I	8
Stěp, J. und F. Becke: Das Vorkommen des Uranpecherzes zu St. Joachimstal	05	II	350
Sterba, J.: Studium der Radioaktivität der Niederschläge von den Teplitz-Schönauer Quellen	09	I	347
— siehe Zambonini, F.			
Sterrett, D. B.: Tourmaline from San Diego County, California	05	II	26
— A new type of calcite from the Joplin Mining District	05	II	182
— The Production of Precious Stones in 1906	09	I	30
Sterzel, J. T.: Ueber einige neue Fossilreste 1905 I 522. 540	08	I	311
— Die pflanzlichen Reste des Rotliegenden von Sektion Hohenstein—Limbach	05	I	539
— Pflanzliche Reste aus den Plattendolomiten des Zechsteins von Sektion Frohburg—Kohren	05	I	539
— Ein verkieselter Riesenbaum aus dem Rotliegenden von Chemnitz	08	I	311
— Mitteilungen aus der Naturwissenschaftlichen Sammlung der Stadt Chemnitz	08	I	311
— Paläontologischer Charakter des Carbons und des Rotliegenden von Flöha	08	I	313
— Ueber Megaphytum cf. insigne Lesq. et Didymogramma Grand'Eury aus der Grube Reden bei Saarbrücken und Psaronius infarctus Unger, forma octangulus Sterzel mit Ptychopteris-Blattnarben aus dem Rotliegenden von Chemnitz-Hilbersdorf	08	I	314
— Die Carbon- und Rotliegendfloren im Großherzogtum Baden	08	I	457
Steuer, A.: Ueber ein Asphaltvorkommen bei Mettenheim in Rheinhessen	07	I	83
— Ueber das Vorkommen von Radiolarienhornsteinen in den Diluvialterrassen des Rheintals	07	II	458
— Ueber Cerithienschichten und Cyrenenmergel bei Großkarben	09	II	465
— Untersuchung eines Rupeltonvorkommens in Weinheim an der Bergstraße	09	II	465
Stevanović, S.: Auripigment von Allchar in Makedonien	05	I	370
— Covellin (Kupferindig) und Enargit von Bor in Serbien	09	I	336
— Eine Kupferglanzpseudomorphose	09	II	13
Stevenson, J.: The chemical and geological History of the Atmosphere	08	I	210
Stewart, J. L.: Ore-deposits and Industrial Supremacy	08	I	78
Stibing, L.: Mischkristalle von K_2SO_4 und K_2CrO_4	07	I	209
Stille, H.: Actinocamax plenus Blainv. aus norddeutschem Cenoman	06	I	316
— Muschelkalkgerölle im Serpulit des nördlichen Teutoburger Waldes	06	II	86
— Ueber präcretaceische Schichtenverschiebungen im älteren Mesozoicum des Egge-Gebirges	06	II	86
— Zur Kenntnis der Dislokationen, Schichtenabtragungen und Transgressionen im jüngsten Jura und in der Kreide Westfalens	06	II	86
— Ueber die Verteilung der Fazies in den Scaphitenschichten der südöstlichen westfälischen Kreidemulde nebst Bemerkungen zu ihrer Fauna	06	II	105
— Ueber den Gebirgsbau und die Quellenverhältnisse bei Bad Nenndorf am Deister	06	II	412
— Geologisch-hydrologische Verhältnisse im Ursprungsgebiete der Paderquellen zu Paderborn	06	II	414

	Jahrg.	Bd.	Seite
Stille, H.: Ueber Strandverschiebungen im hannoverschen Oberen Jura	1907	I	281
— Ueber Steinkohlen im mittleren Keuper am Teutoburger Walde bei Neuenheerse	07	I	417
— Blätter Altenbecken, Lichtenau, Kleinenberg, Etteln	07	II	97
— Geologische Uebersichtskarte der Kreidebildungen zwischen Paderborn und dem südlichen Egge-Gebirge	07	II	97
— Ueber Kreidegräben in der Trias östlich des Egge-Gebirges	08	I	407
— Spätjurassische und tertiäre Dislokationen in Westfalen	08	I	407
— *Das Alter der deutschen Mittelgebirge*	*CBl*	*1909*	*270*
Stille, H. und A. Mestwerdt: Die Gliederung des Kohlenkeupers im östlichen Westfalen	08	II	82
Stiný, J.: „Das Muhrenphänomen"	CBl	1908	46
— Ueber die Entstehung einer neuen Bocca in der Solfatara bei Pozzuoli	CBl	1908	762
— Epidot-Amphibolit an dem Ederbache bei Oetz (Oetztal)	CBl	1908	763
— Ueber einige wenig bekannte Gletschertöpfe in der Umgegend von Nago in Südtirol	CBl	1908	763
Stirling, J.: Monograph on the geology and mining features of Silver Valley, Herberton, North Queensland, Australia	08	I	244
— Monograph of the rocks of Silver Valley, Herberton, N. Q., Australia	08	I	244
Stock, A. und W. Siebert: Die Modifikationen des Antimons	07	I	17
Stöckl, K.: Das Fedorow'sche Universalgoniometer in der Konstruktion von Fuess und die Anwendung dieses Instrumentes zur mechanischen Auflösung sphärischer Dreiecke	05	I	4
Stokes, H. N.: Experiments on the solution, transportation and deposition of copper, silver and gold 1908 I 248	08	II	8
— Experiments on the action of various solutions on pyrite and marcasite	09	II	247
Stoklasa, J.: Ueber die Menge und den Ursprung des Ammoniaks in den Produkten der Vesuveruption im April 1906	08	I	12
— *Ueber den Ursprung des Ammoniaks in den Produkten der Vesuveruption im April 1906*	*CBl*	*1907*	*161*
Stoller, J.: Beiträge zur Kenntnis der diluvialen Flora (besonders Phanerogamen) Norddeutschlands. I. Motzen, Werlte, Ohlsdorf-Hamburg	09	II	157
— Ueber die Zeit des Aussterbens der Brasenia purpurea Mich. in Europa, speziell Mitteleuropa	09	II	157
— siehe Schröder, H.			
— siehe Wolff.			
Stolley, E.: Das Alter des nordfriesischen „Tuuls"	*05*	*I*	*15*
— Ueber einige Cephalopoden aus der unteren Kreide der Umgegend Braunschweigs	05	I	176
— Sonneratia Daubréei de Gross., ein Ammonit der Pyrenäenkreide, aus dem Eisensteinlager von Groß-Bülten bei Ilsede	05	I	176
— Ueber eine neue Ammonitengattung aus dem oberen alpinen und mitteleuropäischen Lias	05	I	177
— Das Diluvium Schleswig-Holsteins und die J. Geikie'sche Klassifikation der europäischen Glazialbildungen	05	II	293
— Ueber zwei neue Faunen des norddeutschen Gaults	06	II	425
— Zur Kenntnis der nordwestdeutschen oberen Kreide	06	II	426

Jahrg. Bd. Seite

Stolley, E.: Ueber alte und neue Aufschlüsse und Profile in der unteren Kreide Braunschweigs und Hannovers . 1907 I 287
— *Quartär und Tertiär auf Sylt* . . . . . *BB XXII 139*
— *Ueber den oberen Lias und den unteren Dogger Norddeutschlands* . . . . . *BB XXVIII 286*
— *Das Miocänprofil des Morsumkliffs auf der Insel Sylt* . . . *CBl 1905 577*
— *Ueber ein norddeutsches Aequivalent der Clansayes-Fauna Südfrankreichs und der Schweiz* . . . . . *CBl 1907 266*
— *Die Gliederung der norddeutschen unteren Kreide* *CBl 1908 107. 140. 162. 211. 242*
— *Zur Kenntnis der kaukasischen Unterkreide* . . . . . *CBl 1908 321*
— *Zur Kenntnis der unteren Kreide Norddeutschlands* . . . . *CBl 1908 753*
— *Ueber Spuren von oberem Gault bei Lüneburg* . . . . . *CBl 1909 619*
Stolpe, P.: Beobachtungen in Upsala bei dem Erdbeben am 23. Oktober 1904 . . . . . 06 II 188
Stoltz, K.: Beiträge zur Kenntnis des Septarientones von Wonsheim in Rheinhessen . . . . . *CBl 1905 656*
Stolyhwo, K.: Homo primigenius appartient-il à une espèce distincte de Homo sapiens? . . . . . 08 II 422
Stone, R. W.: Coal Fields of the Kachemak Bay Region 08 II 377
Stopes, M. C.: The Flora of the Inferior Oolite of Brora (Sutherland) . . . . . 07 II 507
Storms, R.: Un Carcharodon du Terrain bruxellien . . . . 05 II 315
Stortenbecker, W.: Ueber Lücken in der Mischungsreihe bei isomorphen Substanzen . . . . . 05 I 364
Strahan, A.: Abnormal section of chloritic marl at Mupe Bay, Dorset . . . . . 06 II 264
Strandmark, J. E.: Beitrag zur Kenntnis des Celsians und anderer Baryumfeldspäte. Fortsetzung . . . . . 05 II 17
Stranetzky, K.: Die optischen Eigenschaften des Simonyit von Hallstadt . . . . . 08 II 322
Strasser, R.: Ueber Scheinkristalle aus dem Buntsandstein bei Heidelberg . . . . . 08 II 304
Stremme, H.: Zur Frage der Eigenwärme bituminöser Gesteine . . . . . 06 II 48
— *Ueber die Beziehungen einiger Kaolinlager zur Braunkohle* *09 II 91*
— Ueber Kaolinbildung . . . . . 09 II 245
— *Das polymerisierende Erdöl als Wärmequelle im Erdboden CBl 1908 271*
— *Ueber Fällungen der gemengten Gels von Tonerde und Kieselsäure und deren Beziehungen zu Allophan, Halloysit und Montmorillonit* . . . . . *CBl 1908 622. 661*
— siehe Gagel, C. und Stremme, H.
Stromer, E.: Zeuglodon-Reste aus dem oberen Mitteleocän des Fayum . . . . . 05 I 486
— Bericht über die Sammlungsergebnisse einer paläontologisch-geologischen Forschungsreise nach Aegypten . . . . . 06 II 422
— Geographische und geologische Beobachtungen im Uadi Natrûn und Fâregh in Aegypten . . . . . 06 II 422
— Bemerkungen über Protozoen . . . . . 1906 II 455 *CBl 1906 225*
— Fossile Wirbeltierreste aus dem Uadi Fâregh und Uadi Natrûn in Aegypten . . . . . 07 I 296
— Die Archaeoceti des ägyptischen Eocäns . . . . . 09 II 119
— Die Urwale (Archaeoceti) . . . . . 09 II 119
— *Beobachtungen über den nubischen Sandstein in Oberägypten CBl 1905 115*
— *Nachtrag zu den „Beobachtungen über den nubischen Sandstein“* . . . . . *CBl 1905 359*

	Jahrg.	Bd.	Seite
Stromer, E.: Bemerkungen über die Struktur des Hautskelettes einiger Cystoideen	*CBl*	*1907*	*236*
Strong, A. M., siehe Arnold, R.			
Struck, A.: Makedonische Fahrten. I. Chalkidike	CBl	1906	554
Struck, R.: Neue Beobachtungspunkte tertiärer und fossilführender diluvialer Schichten in Schleswig-Holstein und Lauenburg		1907 II	463
— Uebersicht der geologischen Verhältnisse Schleswig-Holsteins		09 II	107
Strübin, K.: Eine Harpoceras-Art aus dem unteren Dogger (Zone des Sphaeroceras Sauzei)		05 I	176
— Glaziale Ablagerungen in der Umgebung von Liestal		05 I	311
— Bericht über die Verbreitung erratischer Blöcke im Basler Jura		05 I	311
— Ueber das Vorkommen eines Mammutbackenzahnes in der Hochterrasse oberhalb Liestal		05 I	311
Strübin, K. und M. Kaech: Die Verbreitung der erratischen Blöcke im Basler Jura		05 I	311
Struthers, J. and J. H. Pratt: The Production of Tin in 1903		06 II	160
Strutt, R. J.: On the Radio-active Minerals		05 II	337
— Note Supplementary to a Paper: On the Radio-active Minerals	1905 II	337	07 I 7
— On the Distribution of Radium in the Earth's Crust and on the Earth's Internal Heat		07 II	398
Stuart-Menteath, P. W.: The age of Pyrenean Granite		05 II	385
Stuchlik, H.: Die Faziesentwicklung der südbayerischen Oligocänmolasse (Autoreferat.)	CBl	1906	576
Studer, M.: Étude sur un nouveau chien préhistorique de la Russie		07 I	454
Studer, Th.: Die Knochenreste aus der Höhle zum Keßlerloch bei Thayingen		05 II	124
— Die Verbreitung des Rhinoceros im Diluvium der Schweiz		07 II	478
Stübel, siehe Bergeat, A.			
Sturm, F.: Der Sandstein von Kieslingswalde in der Grafschaft Glatz und seine Fauna		05 I	300
Stutzer, O.: Die „Weiße Erdenzeche St. Andreas" bei Aue, ein Beitrag zur Frage nach der Genesis der Kaolinlagerstätten		06 II	202
— Turmalinführende Kobalterzgänge		09 I	79
— Die Eisenerzlagerstätte „Gellivare" in Nordschweden		09 I	392
— Die Eisenerzlagerstätten bei Kiruna (Kürunavaara, Luossavaara und Tuollavaara)		09 I	392
— Versuche über das Eindringen schmelzflüssiger Metallsulfide in Silikatgesteine		09 II	83
— Alte und neue geologische Beobachtungen an den Kieslagerstätten Sulitelma Roeros-Klingental		09 II	240
— Das Antimonitvorkommen von Martigné in der Bretagne		09 II	241
— Magmatische Ausscheidungen von Bornit		09 II	397
— *Geologie und Genesis der lappländischen Eisenerzlagerstätten*	*BB*	*XXIV*	*548*
— *Anorganische Graphitvorkommen in Lappland*	*CBl*	*1907*	*433*
Suess, E.: Ueber heiße Quellen		05 I	263
— Farewell Lecture (by Prof. E. Suess on resigning his professorship)		06 II	42
— Sur la nature des charriages		07 II	49
— Ueber das Inntal bei Nauders		08 I	255

	Jahrg.	Bd.	Seite
Suess, F. E.: Exkursion nach Segengottes bei Brünn . . .	1905	II	97
— Ueber Perthitfeldspate aus kristallinischen Schiefergesteinen	05	II	361
— Das Grundgebirge im Kartenblatte St. Poelten	08	II	59
— Mylonite und Hornfelsgneise in der Brünner Eruptivmasse	09	I	378
— *Notizen über Tektite*	*CBl 1909*		*462*
— siehe Diener, C.			
— siehe John, C. v. und Suess, F. E.			
Sullivan, E. C.: The Chemistry of Ore-Deposition-Precipitation of Copper by Natural Silicates	07	II	421
— Experiments on the Separation of the Constituents of a Solution by Filtration through a Mineral Filter	09	II	84
Sulzer-Ziegler, E.: Der Bau des Simplontunnels . . .	09	I	87
— siehe Heim, Albert und Schardt.			
Sundell, J. G.: On the Cancrinite-Syenite from Kuolajärvi and a related dike rock	07	I	69
Surgunoff, N.: Cölestin aus dem Gouvernement Saratow	07	II	377
— Baryt aus den Tschiaturischen Mangangruben	09	II	360
Sury, J. v.: Ueber die Radioaktivität einiger schweizerischer Mineralquellen	08	I	167
Sustschinsky, P.: Notiz über die Insel Pargas (in Finnland)	07	I	68
— Ueber einen Fall von künstlicher Sillimanit- und Magnetitbildung	07	II	371
— Historische Notiz, betreffend die Frage der „topischen Achsen"	08	II	146
— Ueber den Cölestin von der Halbinsel Mangischlak (Transkaspigebiet)	09	II	361
Svedmark, E.: Meddelanden om jordstötar i Sverige 13	05	I	52
Szádeczky, J. v.: Die Aluminiumerze des Bihargebirges	07	I	260
Szajnocha, L.: Einige Worte über den geologischen Bau des Gebietes von Krakau	05	II	98
— Geologische Skizze der Umgebung von Czortków, Zaleszczyki und Kasperowce in Podolien	05	II	99
— Das Pruthtal zwischen Delatyn und Worochta in den ostgalizischen Karpathen	05	II	116
Szilárd, B.: Sur l'action de quelques corps sur l'jodure de potassium	09	I	330
— Sur la formation de la thorianite et de l'uranite	09	I	338
Szontagh, Th. v.: Geologisches Studium des Fertö-Sees .	05	II	122

T.

Taber, St.: Some local effects of the San Francisco earthquake	09	I	49
Tacconi, E.: Note mineralogiche sul giacimento cuprifero di Boccheggiano	05	I	387
— Ulteriori osservazioni sopra i minerali del granito di Montorfano (Parisite, Ottaedrite, Zircone etc.)	07	I	39
— Datolite di Buffaure (Val di Fassa)	07	I	205
— Di un silicato di aluminio e bario dei calcifiri di Candoglia in Valle del Toce	08	II	174
— *Ueber Taramellit, ein neues Mineral*	*CBl 1908*		*506*
Täger, H.: Zur Stratigraphie und Tektonik der ungarischen Mittelgebirge. II. Ueber das Alttertiär im Vértesgebirge	*CBl 1905*		*417*
Taffanel, J.: Le gisement de fer spathique de l'Erzberg, près Eisenerz, en Styrie	07	II	242
Takimoto, T.: The Siliceous Oolite of Sankyo, Ugo province	07	I	197

	Jahrg.	Bd.	Seite
Tammann, G.: Ueber die Ermittlung der Zusammensetzung chemischer Verbindungen ohne Hilfe der Analyse . . .	1905	I	11
— Ueber den Einfluß des Druckes auf die Umwandlungstemperatur des Eisens	05	I	17
— Ueber den Isomorphismus der Elemente	08	II	148
— siehe Guertler, W.			
— siehe Isaac, E.			
— siehe Slatowratsky, N.			
— siehe Treitsche, W.			
Tanatar, J. J.: Beitrag zur Kenntnis der Rubinlagerstätte von Nanya-zeik	08	II	296
— Tabellen zur Bestimmung der Mineralien nach äußeren Kennzeichen, mit Hilfe des Lötrohrs und Mikroskops .	09	II	1
Tannhäuser, F.: Die jüngeren Gesteine der ecuatorianischen Ost-Cordillere von Cordillera de Píllaro bis zum Sangay, sowie des Azuay und eines Teiles der Cuenca-Mulde	05	II	76
— Vorstudien zu einer petrographisch-geologischen Untersuchung des Neuroder Gabbrozuges in der Grafschaft Glatz . .	08	II	189
— Der Neuroder Gabbrozug in der Grafschaft Glatz 1909 I 58	*BB*	*XXVI*	*433*
— *Petrographische Untersuchungen an jungvulkanischen Gesteinen aus der argentinischen Republik*	*BB*	*XXII*	*555*
Tarassenko, W.: Ueber einen Amphibol der Cummingtonitreihe aus der Timaschewaja-Balka südlich von Kriwoj-Rog	07	II	359
Tarnuzzer, Chr.: Geologische Verhältnisse des Albula-Tunnels	05	II	89
— Uebersicht der Marmorvorkommnisse in Graubünden . . .	07	II	69
— Stratigraphie und Tektonik zwischen Val d'Assa und Piz Lad im Unter-Engadin. — Vorläufige Mitteilungen, mit Bewilligung der geologischen Kommission gedruckt . . .	09	I	404
Tarr, R. S.: Postglacial and Interglacial (?) Changes of Level at Cape Ann, Massachusetts. With a Note on the Elevated Beaches by J. B. Woodburn	07	II	130
— Glacial erosion in the Finger Lake region of Central New York	08	II	340
Tarr, R. S. and L. Martin: Recent changes of level in the Yakutat bay region, Alaska	08	II	342
Tassin, W.: The Persimmon Creek Meteorite	05	I	215
— The Mount Vernon Meteorite	07	II	203
— On Meteoric Chromites	09	I	360
— On the occurrence of Calcium Sulphide (Oldhamite) in the Allegan Meteorite	09	I	361
— Note on a occurrence of graphitic iron in a meteorite	1908	II	9. 183
— siehe Merrill, G. P. and Tassin, W.			
Tate, R.: On the occurrence of marine fossiliferous rocks at Kerguelen Island	07	II	128
Taubert, E.: Beitrag zur Kenntnis polymorpher Körper	06	II	316
— *Das Achsenverhältnis des Sillimanit*	*CBl*	*1906*	*372*
Teague, O. O., siehe Buxton, B. H.			
Teall, Porter and Falconer: Volcanic dust from the West Indies	05	I	405
Telegd, L. Roth v., siehe Roth v. Telegd, L.			
Terada, T., siehe Honda, K.			
Termier, P.: Sur les roches granitiques et les terrains cristallophylliens du massif des Beni-Toufout entre El-Milia et Collo (Algérie)	05	I	246

	Jahrg.	Bd.	Seite
Termier, P.: Le Massif du Pelvoux et le Briançonnais	1905	I	281
— Roches à lawsonite et à glaukophane, et roches à riebeckite de Saint-Véran (Hautes-Alpes)	06	I	379
— Les brèches de friction dans le granite et dans le calcaire cristallin à Moiné-Mendia, près Hélette (Basses-Pyrénées) et leur signification tectonique	06	II	212
— Sur la structure des Hohe Tauern (Alpes du Tyrol)	07	I	267
— Sur quelques analogies de faciès géologiques entre la zone centrale des Alpes orientales et la zone interne des Alpes occidentales	07	I	267
— Sur la synthèse géologique des Alpes orientales	07	I	268
— La synthèse géologique des Alpes	07	II	102
— Quatre coupes à travers les Alpes franco-italiennes	07	II	258
— Sur les nappes de la région de l'Ortler	1907	II	262. 436
— Sur la fenêtre de la Basse-Engadin	1907	II	262. 436
— Nouvelles observations géologiques sur les nappes de la région du Brenner	1907	II	263. 435
— Les nappes des Alpes orientales et la synthèse des Alpes	07	II	431
— Sur la continuité des phénomènes tectoniques entre l'Ortler et les Hohe Tauern	07	II	437
— Sur la structure générale des Alpes du Tyrol á l'ouest de la voie ferrée du Brenner	07	II	438
— Observations au sujet d'une note de M. C. Diener intitulée „Nomadisierende Schubmassen in den Ostalpen"	08	II	395
— Observations sur la tectonique des Alpes françaises	08	II	395
— Sur la nécessité d'une nouvelle interprétation de la tectonique des Alpes franco-italiennes	09	I	95
— Rapports tectoniques de l'Appenin, des Alpes et des Dinarides	09	II	260
— Les Alpes entre le Brenner et le Valteline	09	II	420
— siehe Kilian, W.			
Termier, P. et A. Leclère: Sur la composition chimique des assises cristallophylliennes de la chaîne de Belledonne (Alpes occidentales)	06	I	378
Terpigoreff, A.: Brauneisenerzlagerstätte des Hüttenwerkes „Sulinsky Sawod"	07	I	77
— Magneteisenerzlager von Daschkessan im Kaukasus	07	I	78
Tertsch, H.: Zur Frage der Bestimmbarkeit von Brechungsexponenten	06	I	160
— Zur Dispersionsbestimmung	07	II	166
— Mineralogische Bemerkungen zum Vesuvaschenfall, niedergegangen in Triest am 19. April 1906	08	I	44
Thevenin, A.: Fossiles d'âge albien provenant du NO. de Madagascar	06	I	294
— Amphibiens et reptiles du terrain houiller de France	07	I	310
— Paléontologie de Madagascar. IV. Dinosauriens	08	II	439
— Sur les Dinosauriens du Jurassique de Madagascar	08	II	439
— siehe Boule, M.			
Thiene, H.: Ueber Apatit und Beryll von Tonkerhoek (Deutsch-SW.-Afrika)	*09*	*I*	*97*
— Temperatur und Zustand des Erdinnern	CBl	1908	43
Thiéry, P., H. E. Sauvage et M. Cossmann: Note sur l'Infralias de Provenchères-sur-Meuse. Thiéry: Stratigraphie. Sauvage: Vertébrés. Cossmann: Gastropodes et Pélécypodes	08	II	438
Thiéry, P., siehe Lambert, J. et Thiéry, P.			

	Jahrg.	Bd.	Seite
Thomas, H. H.: On an Epidote from Inverness-shire . . .	1907	I	31
— Note sur un gisement de Lophiodon à Sergy au Sud-Est de Fère en Tardenois (Aisne)	07	II	450
— siehe Arber, E. A. N. und Thomas, H. H.			
— siehe Barrow, G. and Thomas, H. H.			
— siehe Cantrill, T. C.			
Thomas, I.: Neue Beiträge zur Kenntnis der devonischen Fauna Argentiniens	06	I	302
Thomson, J. A.: Inclusions in some Volcanic Rocks . . .	09	II	59
Thorpe, T. E.: „Red Rain" and the Dust Storm of February 22	05	I	406
Thoulet, J.: Méthode physique et chimique de reconnaissance et de mesure des courants sous-marins profonds	06	I	43
— Expédition antarctique Belge S. Y. Belgica 1897—1899. Détermination de la densité de l'eau de mer	06	II	97
— Sur la lithologie océanographique des mers anciennes 1908 I 53	09	I	204
— Le calcaire et l'argile dans les fonds marins	08	I	361
— Sur la marche des sables le long des rivages 1908 II 57	09	I	200
— Fonds sous-marins entre Madagascar, la Réunion et l'île Maurice	09	I	201
— Sur la présence supposée de diamants microscopiques dans un fond marin et dans un échantillon de terre végétable	09	I	333
— Étude d'un fond marin côtier provenant de la Manche	09	II	210
— siehe Arctowski, H.			
Thoulet, J. et A. Chevallier: Sur la circulation océanique	08	I	52
Thugutt, St. J.: Ueber den Ursprung des Sodaliths der Syenite	*CBl 1905*		*86*
— *Fritz Hinden's „Neue Reaktionen zur Unterscheidung von Calcit und Dolomit"*	*CBl 1905*		*265*
— *Fehlerquellen bei der Bestimmung des Wassergehaltes der Zeolithe*	*CBl 1909*		*677*
Tietze, E.: Die geognostischen Verhältnisse der Gegend von Landskron und Gewitsch	05	II	261
Tietze, O.: Die Phosphatlagerstätten von Algier und Tunis	09	II	243
— Die Phosphatlagerstätten Frankreichs	09	II	243
Tight, W. G.: Drainage Modifications in Southeastern Ohio and adjacent Parts of West Virginia and Kentucky . .	05	I	407
Till, A.: Die Cephalopodengebisse aus dem schlesischen Neocom. Versuch einer Monographie der Rhyncholithen	08	I	301
— Die fossilen Cephalopodengebisse	08	I	303
Tillotson jr., E. W., siehe Ford, W. E. and Tillotson jr., E. W.			
Timkó, E.: Agrogeologische Verhältnisse der Gemarkung von Udvard, Perbete, Bagota, Imely, Naszvad, Bajcs (Komitat Komárom) und der Umgebung der Stadt Érsekujvár (Komitat Nyitra)	06	I	264
— Agrogeologische Verhältnisse der Gemarkung von Szimö, Kamocsa, Guta und Szent-Péter (Komitat Komárom) .	07	I	276
Tischler, E.: Ueber Kalksilikate, Magnesiumsilikate und Kalkaluminiumsilikate	06	I	326
Tobler, A.: Ueber das Vorkommen von Kreide- und Carbonschichten in Südwest-Djambi (Sumatra) . . .	*CBl 1907*		*484*
— Einige Notizen zur Geologie von Sumatra	07	II	449
— siehe Jacob, Ch.	05	II	417
Toborffy, Z.: Der Kupferkies von Pulacayo	05	II	11
— Beiträge zur Kenntnis der ungarischen Calcite und Gipse	1908	II	304. 322
— Epidot aus dem Val di Viù	08	II	311
— Ueber den Janosit	08	II	323

	Jahrg.	Bd.	Seite
Toborffy, Z.: Mineralogische Notizen. 2. Blende und Kalkspat aus Bojcza	1909	I	336
— Mineralogische Notizen. 3. Kalkspat von Salgótarján. 4. Kalkspat aus dem „Kühlen Tale" bei Budapest	09	I	340
— Mineralogische Notizen. 1. Anglesit von Broken Hill	09	I	348
Todd, J. E.: Hydrographic History of South Dakota	1905	I	229
— Concretions and their geological effects	06	I	267
Törnebohm, A. E.: Om Torneträsk-profilens tydning	06	I	226
— Om den skandinaviska fjällkedjans sydvestände	05	II	100
Toit, A. L. du, siehe Du Toit, A. L.	05	II	100
Toniolo, R. A.: Traccie glaciali in Fadalto ed in Valmareno	07	I	222
Tordis, E. und E. H. Kanter: Beiträge zur Kenntnis der Silikate. VI. Reaktion zwischen Quarz und Alkalilaugen	06	II	12
Tornau, F.: Die nutzbaren Mineralvorkommen, insbesondere die Goldlagerstätten Deutsch-Ostafrikas	09	I	231
Tornquist, A.: Die Gliederung und Fossilführung der außeralpinen Trias auf Sardinien	05	I	128
— Ueber Gesteinsarten aus den Resten des römischen Amphitheaters zu Metz	05	II	77
— Ueber eine eocäne Fauna der Westküste von Madagaskar	07	II	128
— *Die Algäu-Vorarlberger Flyschzone und ihre Beziehung zu den ostalpinen Deckenschüben*	*08*	*I*	*63*
— Ausbildung und Ausdehnung der deutschen Kalisalzlager	08	I	242
— Vorläufige Mitteilung über die Algäu-Vorarlberger Flyschzone	09	I	97
— Der Gebirgsbau Sardiniens	09	I	99
Toucas, A.: Etudes sur la classification et l'évolution des Hippurites. II.	06	II	453
Toula, F.: Ueber den Rest eines männlichen Schafschädels — Ovis Mannhardi n. f. — aus der Gegend von Eggenburg in Niederösterreich	05	I	324
— Abrasionsflächen am Rande des Kahlengebirges, am rechten Ufer der Donau bei Wien	05	I	451
— Ueber eine neue Krabbe (Cancer Bittneri n. sp.) aus dem miocänen Sandstein von Kalksburg bei Wien	06	II	138
— Das Gebiß und Reste der Nasenbeine von Rhinoceros (Ceratorhinus Osborn) hundsheimensis	07	II	482
— Die Acanthicus-Schichten im Randgebirge der Wiener Bucht bei Gießhübl	08	I	263
— Rhinoceros Mercki Jäger in Oesterreich	08	II	104
— Hydrostatische Schnellwage	1908	II	141 09 II 327
— Ein Mammutfund von Wilsdorf bei Bodenbach in Böhmen	09	I	128
— Geologische Exkursionen im Gebiet des Liesing und Mödlingbaches	09	I	414
Tournouer, A.: Note sur la géologie et paléontologie de Patagonie	05	I	307
Traina, E.: Sull' Anglesite dei giacimenti metalliferi della Provincia di Messina	06	I	96
— Su alcune celestine di Sicilia	09	II	199
Traquair, R. H.: Notes on Drepanaspis gemündenensis Schlüter	05	II	314
— Additional Note on Drepanaspis gemündenensis Schlüter	05	II	314
— The Ganoid fishes of the British carboniferous formations. Part I: Palaeoniscidae	05	II	480
Travis, Ch.: Pyrite from Cornwall, Lebanon County, Pennsylvania	08	II	11

	Jahrg.	Bd.	Seite
Trechmann, C. O.: Crystallography of Sartorite from Binnental	1909	I	172
— siehe Baumhauer, H. und Trechmann, C. O.			
Treitsche, W. und G. Tammann: Ueber das Zustandsdiagramm von Eisen und Schwefel	08	II	167
Treitz, P.: Ueber die agrogeologische Detailaufnahme im Jahre 1900	06	I	263
— Bericht der agrogeologischen Detailaufnahme im Jahre 1901	07	I	275
Trener, G. B.: Ueber die Gliederung der Quarzporphyrtafel im Lagorai-Gebirge	05	II	382
— Bemerkungen zur Diffusion fester Metalle in feste kristallinische Gesteine	08	I	54
— Geologische Aufnahme im nördlichen Abhang der Presanellagruppe	08	II	361
Trenkle, W.: Ueber Lumineszenzerscheinungen. I. Lumineszenzerscheinungen an einer Varietät der Zinkblende	07	II	169
— Ueber Lumineszenzerscheinungen. II. Thermolumineszenz durch Radiumstrahlen beim Marmor und Apatit	07	II	170
Treubert, F., siehe Küppers, E.			
True, F. W.: The first discovery of fossil seals in America	07	II	485
— Diagnosis of a new genus and species of fossil sealion from the Miocene of Oregon	07	II	485
— Description of a new genus and species of fossil seal from the Miocene of Maryland	09	I	439
Tschermak, G.: Ueber die chemische Konstitution der Feldspate	05	I	24
— Einheitliche Ableitung der Kristallisations- und Zwillingsgesetze	05	II	332
— Darstellung von Kieselsäuren durch Zersetzung der natürlichen Silikate	07	I	23. 24
— Metasilikate und Trisilikate	07	I	25
— Ueber das Eintreffen gleichartiger Meteorite	09	I	350
— *Ueber die Darstellung der Kieselsäuren*	*CBl 1908*		*225*
— siehe Mügge, O.			
Tschernik, G.: Ueber die Natur und chemische Zusammensetzung eines neuen, dem Ancylit ähnlichen Ceritminerals	05	I	375
— Einige Worte über eine Varietät des Yttergranats	05	I	380
— Ueber die chemische Zusammensetzung eines skandinavischen Pyrochlors und der ihn begleitenden Mineralien	05	I	383
— Ueber die Natur und chemische Zusammensetzung eines im Kaukasus gefundenen Monazitsandes	05	I	385
— Resultate der Bestimmung der chemischen Zusammensetzung einer amerikanischen Varietät von Gadolinit und seiner Einschlüsse	05	I	482
— Analysenresultate einer amerikanischen Varietät des Yttrocerits und eines mit ihm zusammen auftretenden Topases	07	II	354
— Resultate der Analyse zweier Varietäten von Gadolinit und eines in letzterem vorgefundenen Einschlusses	07	II	361
— Resultate der Untersuchung der chemischen Zusammensetzung einiger Stufen von skandinavischen Gadoliniten	07	II	361
— Ueber die chemische Zusammensetzung von gemeinsam vorkommendem Monazit und Xenotim	07	II	374
— Die Resultate der Untersuchung der chemischen Zusammensetzung eines Parisits und eines mit ihm zusammen gefundenen Malakons	09	II	336

	Jahrg.	Bd.	Seite
Tschernik, G.: Resultate der Untersuchung der chemischen Zusammensetzung zweier Varietäten von Orthit	1909	II	353
— Resultate der chemischen Untersuchung eines mit Gadolinit zusammen gefundenen Yttrotantalits und Orthits	09	II	355
— Ueber die chemische Zusammensetzung einer amerikanischen Graphitstufe und des in ihr auftretenden Korunds und Xenotims	09	II	369
Tschernyschew, Th.: Die oberkarbonischen Brachiopoden des Urals und des Timan	05	I	531
— Ueber die Entdeckung von oberer Trias im nördlichen Kaukasus	07	II	284
Tschirwinsky, P.: Ueber Anapaït und andere Mineralien aus den Erzschichten der Halbinseln Kertsch und Taman	05	II	199
— Künstliche Darstellung der Mineralien im 19. Jahrhundert	07	II	173
— Traité de chimie minérale Moissan's vom mineralogischen Standpunkte	09	II	2
— Untersuchungen einiger Gesteine und Mineralien des Minussinskschen Kreises des Gouvernements Jenisseisk	09	II	21
— Die künstlichen und natürlichen Calciumhydrocarbonate	09	II	340
— Eine neue Lagerstätte von Doppelspat in der Krim auf dem Kara-Dag	09	II	340
— *Krokydolith aus dem Bezirk Minussinsk in Sibirien*	*CBl 1907*		*435*
Tschirwinsky, W.: Chemische und mikroskopische Untersuchung der Podolischen Phosphorite	09	II	357
— *Ueber Podolit, ein neues Mineral*	*CBl 1907*		*279*
Tsujimoto, K.: Covelline from the Kosaka mine, Rikuchu province	09	I	167
Tucan, Fr.: Mikrochemische Reaktionen des Gipses und Anhydrites	*CBl 1908*		*134*
— *Kurze Notiz über Dolomit*	*CBl 1909*		*506*
Tuckett, F. F.: Remarkable Examples of Atmospheric Erosion of Rocks in Corsica	06	I	45
Turnau, V.: Beiträge zur Geologie der Berner Alpen. I. Der prähistorische Bergsturz von Kandersteg. 2. Neue Beobachtungen am Gasteren-Lakkolith	07	II	439
Turner, H. W.: The copper deposits of the Sierra Oscura, New Mexico	05	I	205
— The Terlingua Quicksilver Deposits	08	I	247
— The Ore-deposits at Mineral, Idaho	09	II	81
Tuttle, G. W.: Recent Changes in the Elevation of Land and Sea in the Vicinity of New York City	07	I	51
Tutton, A. E. H.: Das normale schwefelsaure Ammonium und die Stellung des Ammoniums in der Alkalireihe	05	I	184
— Das Elasmometer, ein neuer Interferenz-Elastizitätsapparat	05	II	2
— Ueber topische Achsen und über die topischen Parameter der Alkalisulfate und Selenate	07	I	5
— Die Stellung des Ammoniums in der Alkalireihe. Eine Untersuchung des schwefelsauren und des selensauren Ammonium-Magnesiums und Ammonium-Zinks	07	I	13
— Allgemeine Erklärung des Phänomens der Dispersion in gekreuzten Achsenebenen	08	I	162
Twelvetrees, W. H.: Note on some axial lines of eruption in Tasmania	07	II	79
Tyrrell, J. B.: Crystosphenes or buried sheets of ice in the tundra of northern America	06	II	190
— Concentration of Gold in the Klondike	09	I	78

U.

	Jahrg.	Bd.	Seite
Udden, J. A.: On the Próboscidian fossils of the Pleistocene Deposits of Illinois and Iowa	1907	I	306
Ugolini, R.: Talus di franamento del Monte di Avane	05	I	57
Uhlig, C.: Vom Kilimandscharo zum Meru	07	I	423
Uhlig, J.: Die Gruppe des Flasergabbros im sächsischen Mittelgebirge . . . . . 1908 II 196	09	II	212
Uhlig, V.: Zur Umdeutung der tatrischen Tektonik durch M. Lugeon	05	I	448
— Exkursionen in die pieninische Klippenzone und in das Tatra-Gebirge	05	II	91
— Bau und Bild der Karpathen	06	II	395
— Die Geologie des Tatragebirges. II. Tektonik des Tatragebirges. III. Geologische Geschichte des Tatragebirges. IV. Beiträge zur Oberflächengeologie	09	I	418
— *Einige Worte zu dem Aufsatze des Herrn Gyula Prinz „Ueber die systematische Darstellung der gekielten Phylloceratiden“*	*CBl*	*1906*	*417*
— siehe Diener, C.			
Uhlig, V. und Diener, C.: Ein Wort zu Neumayr's Stellung in der Paläontologie	*CBl*	*1907*	*464*
Uličný, J.: Mineralogische Nachlese in Westmähren	06	II	174
Ulrich, E. O. and R. S. Bassler: A Revision of the Paleozoic Bryozoa. Part I: Ctenostomata	05	II	485
Ulrich, E. O. and W. St. T. Smith: The Lead, Zinc, and Fluorspar Deposits of Western Kentucky	06	II	180
Ungemach: Les gîtes metallifères du Val de Villé (Alsace)	08	I	198
Urbain, G.: Recherche des éléments qui produisent la phosphorescence dans les minéraux	08	II	144
Urbas, M.: Neue experimentelle Beiträge zur Kenntnis der Silikatschmelzen	*BB*	*XXV*	*261*
Ussing, N. V.: Kryolithionit, ein neues Mineral	06	I	10
— List of the meteorites represented in the collection	07	I	362

V.

Vadász, M. E.: Ueber eine oberliassische Lytoceras-Art mit aufgelöster Wohnkammer	09	II	138
— Die unterliassische Fauna von Alsórákos im Komitat Nagyküküllö	09	II	138
Vaglini, C.: Di alcuni micascisti tormaliniferi del Monte Ornato presso Seravezza (Alpi Apuane)	07	I	65
Vaillant, L.: Sur la présence du tissu osseux chez certains poissons des terrains paléozoiques de Canyon City (Colorado)	05	II	137
— La disposition du revêtement écailleux chez le Mesosaurus tenuidens Paul Gervais	08	II	269
Valette, A.: Note sur quelques stellérides de la craie sénonienne du département de l'Yonne	06	I	320
Vállindas, K.: Der geologische Bau und die Erzlagerstätten von Sérifos	08	II	76
van't Hoff, J. H., siehe Hoff, J. H. van't.			
Vasovic, R.: Die Eiszeitspuren in Serbien	09	I	110

	Jahrg.	Bd.	Seite
Vasseur, G.: Sur les fossiles de la tuilerie de Soumailles, commune de Pardailhan	1908	I	266
— Découverte de vertébrés dans les molasses oligocènes du Fronsadais (bassin de la Gironde)	08	I	267
Vater, H.: Auf dem Trockenen gebildeter Rohhumus und seine Bekämpfung	05	II	78
— Die Bodenanalyse und ihre Anwendung in der Forstwirtschaft	09	II	60
Vaughan, D. T. Gwynne, siehe Gwynne-Vaughan, D. F.			
Vaughan, Th. W., siehe Shattuk, G. B.			
Veatch, A. C.: On the origin and definition of the geologic term Laramie	08	I	432
Veatch, O.: The Kaolins of the Dry-Branch Region, Georgia	09	II	244
— siehe Fuller, M. L. etc.			
Velge, G.: Les affleurements du terrain tertiaire dans le Limbourg	06	I	116
— La géologie des Mines de Louvain	06	II	430
— L'antiquité de l'homme et les éolithes à Roncelles	08	I	280
Venturi, A.: Nuove determinazioni di gravità relativa in Sicilia	07	I	43
— Terza campagna gravimetrica in Sicilia nel 1905	08	II	43
Verbeek, R. D. M.: Molukken-Verslag. Geologische verkenningstochten in het oostelyke gedeelte van den Nederlandsch Oostindischen Archipel	09	I	242
— siehe Dollfus, G.			
— siehe Penecke, H.			
Vernadsky, W.: Ueber die Anwendung der Phasenlehre auf die Kristallographie	07	II	172
— Grundriß der Kristallographie. Teil I. Liefg. 1	07	II	345
— Versuch einer beschreibenden Mineralogie. Bd. I. Gediegene Elemente	09	II	2
— Ueber die Kombinationsstreifung der Kristallflächen	09	II	3
— Zur physikalischen Theorie der Kristallzwillinge	09	II	5
— Ueber den Worobieffit und die chemische Zusammensetzung der Berylle	09	II	21
— Zur Frage über die Verbreitung des Skandiums	09	II	328
— Ueber Funde von Tetradymit in Rußland	09	II	332
Verneau, R.: Les grottes de Grimaldi, résumé et conclusions des études anthropologiques	08	I	115
Verneuil, A.: Mémoire sur la reproduction artificielle du rubis par fusion	06	I	15
Vervuert, G., siehe Höfle, J. und G. Vervuert.			
Vesterberg, Alb.: Chemische Studien über Dolomit und Magnesit. II. Einwirkung von kohlensäuregesättigtem Wasser auf magnesiareiche Kalkalgen	06	I	333
Vetters, H.: Vorläufiger Bericht über Untersuchungen in den Kleinen Karpathen	05	I	447
— Die Fauna der Juraklippen zwischen Donau und Thaya. I. Die Tithonklippen von Niederfellabrunn	06	I	439
Vidal, L. M.: Sur la présence de l'étage Kiméridgien au Montsech (Province de Lérida, Espagne) et découverte d'un Batracien dans ses assises	07	II	287
Viebig, W.: Die Silber-Wismutgänge von Johanngeorgenstadt	07	I	259
Vigier, V. v., siehe Böse, E.			

	Jahrg.	Bd.	Seite
Villarello, J. D.: Analisis y classificacion de un granate procedente del mineral de Pihuamo, Jalisco	1906	I	27
— Estudio de una muestra de mineral asbestiforme procedente del Rancho del Ahuacatillo, distrito de Zinapecuaro, Michioacan	06	I	342
Vinassa de Regny, P.: Sull' origine della „Terra Rossa"	05	I	244
— Osservazioni geologiche sul Montenegro orientale e meridionale	07	II	107
— La ferrovia transbalcanica	07	II	108
Vincent, E.: Description d'une espèce de céphalopode tetrabranchial nouvelle du Landenien de Belgique, Aturia limicentensis Vin.	08	I	304
Vinchon, A.: Note sur le gisement landénien de Cugny (Aisne)	07	I	290
Viola, C.: Ueber einen Satz aus der Zonenlehre	06	I	321
— Zwei Sätze aus der Zonenlehre	06	I	321
— Physikalische Chemie und Kristallographie	06	II	313
— Die Aufgabe der Transformation der Coordinaten in der Kristallographie	07	I	182
— Theorie und Anwendung der symmetrischen Minimalablenkung durch anisotrope Prismen	08	I	162
— Erwiderung auf die vorhergehende Notiz des Herrn F. Pockels	08	II	142
— Der Albit aus der Nurra (Sardinien)	08	II	176
— Sopra un esemplare di ematite con rutilo di provenienza dubbia	09	II	188
— Sull' associazione del rutilo con l'ematite	09	II	188
— Appunti su minerali italiani. I. La baritina di Boccheggiano in provincia di Grosseto	09	II	359
— Gesso delle Cetine di Cortoniano (Chiusdino) in provincia di Siena	09	II	362
— *Ueber das Grundgesetz der Kristalle*	*CBl 1905*		*225*
— Grundzüge der Kristallographie	CBl 1905		559
— siehe Hilton, H.			
— siehe Pockels, F.			
Viola, C. e D. Sangiorgi: Sopra i supposti giacimenti garantici dell' Apennino Parmense	08	II	215
Vire, A.: Grotte préhistorique de Lacave (Lot). Epoque de Solutré	07	I	450
Voermann, G. L., siehe Hoff, J. H. van't.			
Vogel, O.: Das gediegene Eisen von Kirburg und einige andere natürliche Eisen	09	I	353
Vogt, J. et M. Mieg: Note sur la découverte des sels de potassium en Haute-Alsace	09	I	107
Vogt, J. H. L.: Om Andöens Jurafelt, navnlig om landets langsomme nedsynken under juratiden og den senere hoevning samt gravforkastning	06	I	425
— Die Theorie der Silikatschmelzlösungen	06	II	8
— Die Silikatschmelzlösungen mit besonderer Rücksicht auf die Mineralbildung und die Schmelzpunkterniedrigung. II. Ueber die Schmelzpunkterniedrigung der Silikatschmelzlösungen	06	II	10
— Die Silikatschmelzlösungen mit besonderer Rücksicht auf die Mineralbildung und die Schmelzpunkterniedrigung. I. Ueber die Mineralbildung in Silikatschmelzlösungen	06	II	12
— Ueber anchi-eutektische und anchi-monomineralische Eruptivgesteine	07	II	56

	Jahrg.	Bd.	Seite
Vogt, J. H. L.: Om relationen mellem störrelsen af eruptivfelterne og störrelsen af de i eller ved samme optraedende malmudsondringer	1908	I	79
— Ueber Manganwiesenerz und über das Verhältnis zwischen Eisen und Mangan in den See- und Wiesenerzen. Ein Beitrag zur Kenntnis der Bildung der Manganerzlagerstätten	09	I	80
— Physikalisch-chemische Gesetze der Kristallisationsfolge in Eruptivgesteinen . . . . . 1909 I 367	09	II	51. 55
— Ueber magmatische Ausscheidungen von Eisenerz im Granit	09	I	389
— Ueber die Erzgänge zu Traag in Bamle, Norwegen	09	II	79
Vogt, Th.: Schwerspat aus norwegischen Vorkommen	09	II	106
Voigt, M.: Die basischen Eruptivgesteinsgänge des Lausitzer Granitgebietes	08	I	56
Voigt, W.: Zur Theorie des Lichtes für optisch aktive Kristalle	06	I	3
— Ueber spezifische optische Eigenschaften hemimorpher Kristalle	06	I	3
— Bestimmung der Elastizitätskonstanten von Eisenglanz	08	II	14
Voit, F. W.: Beiträge zur Geologie der Kupfererzgebiete in Deutsch-Südwest-Afrika	07	I	74
— Ueber das Vorkommen von Kimberlit in Gängen und Vulkanembryonen . . . . . 1908 I 70	09	II	239
— Uebersicht über die nutzbaren Lagerstätten Südafrikas	09	II	83
Voitesti, siehe Popescu-Voitesti, T.			
Volkmann, P.: Ein Geysiermodell	07	I	89
Volkow: Magdalenske maisterstvo na Ukraine (L'art magdalénienne en Ukraine)	05	I	322
Volz, W.: Zur Geologie von Sumatra. Anhang II. Einige neue Foraminiferen und Korallen sowie Hydrokorallen aus dem Obercarbon Sumatras . . . . . 1907 I 327. 487			
— Ueber das geologische Alter des Pithecanthropus erectus	09	I	111
— *Battaklande und Toba-See in Sumatra*	*CBl 1906*		*43*
— *Das geologische Alter der Pithecanthropus-Schichten bei Trinil, Ost-Java*	*Festband*		*256*
Vorländer, D.: Ueber kristallinisch-flüssige Substanzen	08	I	3
— Neue Erscheinungen beim Schmelzen und Kristallisieren	09	I	1
— Substanzen mit mehreren festen und mehreren flüssigen Phasen	09	I	2
— Einfluß der molekularen Gestalt auf den kristallinisch-flüssigen Zustand	09	I	3
— Ueber durchsichtig klare, kristallinische Flüssigkeiten	09	I	330
— Systembestimmung und Achsenbildung flüssiger Kristalle	09	II	330
— Ueber Polymorphie der Flüssigkeiten	09	II	330
— Kristallinisch-flüssige Substanzen	CBl	1908	311
— siehe Lehmann, O.			
Vorländer, D. und A. Gahren: Entstehung kristallinischer Flüssigkeiten durch Mischung von Substanzen	09	I	3
Vorwerg, O.: Ueber Steinkessel	05	II	294
— *Zur Kantengeschiebefrage*	*CBl 1907*		*105*
— *Flächner oder Kanter?*	*CBl 1907*		*547*
— *Maare*	*CBl 1908*		*238*
Vrba, K.: Meteoritensammlung des Museums des Königreichs Böhmen in Prag, Ende Juni 1904	05	I	214
— Beitrag zur Morphologie des Sylvanits	09	I	169
— Darstellung der Symmetrie der Kristalle durch Spiegelung	09	II	159

	Jahrg.	Bd.	Seite
Vredenburg, E.: Nummulites Douvilléi, an undescribed species from Kachh with Remarks on the Zonal Distribution of Indian Nummulites	1908	II	291
— Note on the Distribution of the Genera Orthophragmina and Lepidocyclina in the Nummulitic Series of the Indian Empire	09	I	141
— Otoliths from the Miocene of Burma, erroneously described as a new Genus Twingonia Pascoe	09	I	142
— Nummulites Vredenburgi Prever, nom. mut	09	I	142
— The Cretaceous Orbitoides of India	09	I	142
Vucnik, M.: Versuche über Ausscheidung aus Silikatschmelzen	*CBl*	*1906*	*132*
Vukits, Berta: Entgegnung auf den Aufsatz von J. Morozewicz	*CBl*	*1905*	*361*

W.

Waagen, L.: Brachiopoden in den Pachycardientuffen der Seiser Alpe	05	I	179
— Die systematische Stellung und Reduktion des Schlosses von Aetheria nebst Bemerkungen über Clessinella Sturanyi n. subg. n. sp.	06	I	154
— Ein Beitrag zur Geologie der Insel Veglia. IV. Die Umgebung des Besca-Tales	06	I	259
— Geologische Spezialkarte des Blattes Veglia und Novi. Zone 25. Kol. XI	07	I	91
— Die Lamellibranchiaten der Pachycardientuffe der Seiser Alpe, nebst vergleichend paläontologischen und phylogenetischen Studien	07	II	335
— siehe Schubert, R.			
Wada, T.: Ueber Naëgit, ein neues Mineral aus Japan	05	I	189
— Minerals of Japan	05	I	210
— Die Schmuck- und Edelsteine bei den Chinesen	05	II	5
— Enargite of Kinkwaseki, the Island of Taiwan	07	I	196
— On Naëgite	07	I	199
— The Natural Etching of a Topaz Crystal from Tanokamiyama	07	I	207
— Chemical Analyses of some Japanese Minerals	07	I	218
— Beiträge zur Mineralogie von Japan	CBl	1905	280
Wade, A.: The Chemical Composition of Igneous Rocks: A New Method of obtaining it	09	II	58
Wagner, G.: Observations on Platygonus compressus Le Conte	06	I	147
Wagner, P.: Illustrierter Führer durch das Museum für Länderkunde	CBl	1905	281
— Lehrbuch der Geologie und Mineralogie für höhere Schulen, insbesondere für Realanstalten und Seminare	CBl	1909	713
— Dasselbe. Große Ausgabe für Realgymnasien und Oberrealschulen	CBl	1909	713
Wagner, Percy: Ueber skelettförmigen Apatit aus dem Kimberlit der De Beers-Grube, Kimberley, Südafrika, und die Anwendung einer Kochsalzschmelze zum Nachweis desselben.	*CBl*	*1909*	*550*
Wagner, R.: Das ältere Diluvium im mittleren Saale-Tale	05	II	445
Wahl, W.: Ueber einen Magnesiumdiopsid führenden Diabas von Källsholm, Skårgård von Föglö, Ålandsinseln	07	II	409
— Beiträge zur Geologie der präcambrischen Bildungen im Gouvernement Olonez. 3. Die Gesteine der Westküste des Onega-Sees	09	I	218

	Jahrg.	Bd.	Seite
Wahl, W.: Die Enstatitaugite. Eine Untersuchung über monokline Pyroxene mit kleinem Winkel der optischen Achsen und niedrigem Kalkgehalt	1909	II	163
— Analogien zwischen Gliedern der Pyroxen- und Feldspatgruppen und über die Perthitstrukturen	09	II	170
Wahnschaffe, F.: Neuere Theorien über Gebirgsbildung	07	I	43
— Bericht über gemeinsame Begehungen der diluvialen Ablagerungen im außeralpinen Rheingebiete im April 1907	08	II	95
Waindziok, P.: Petrographische Untersuchungen an Gneisen des St. Gotthard	08	I	65
Wainerowsky, J. F. Wajner, siehe Wajner-Wainerowsky, J. F.			
Waitz v. Eschen, Fr.: Die Basalte östlich der Linie Wabern—Gensungen	07	II	403
Wajner-Wainerowsky, J. F.: v. Kralic's Ablagerung und Verbreitung der Stein- bezw. Kalisalze sowie ihre Verwendung	CBl	1905	310
Walcott, Ch. D.: Cambrian brachiopods with descriptions of new genera and species	06	II	307
Waldschmidt, E.: Dolinen im mitteldevonischen Kalk bei Elberfeld	06	I	202
Walker, E. E.: Notes on the Garnet-bearing and Associated Rocks of the Borrowdale Volcanic Series	05	II	227
— Die Spassky-Kupfergruben in Südwestsibirien	07	II	422
Walker, J. F., siehe Richardson, L.			
Walker, T. L.: A review of the minerals Tungstite and Meymacite	09	II	335
Wallace, Th.: Additional notes an the geology of Streats dearn and adjoining districts of the Aviemore Railway	05	I	312
Wallenström, A.: Ein neuer Typus von Neptunitkristallen	06	I	167
Waller, G. A.: Notes on the geological structure of the west coast of Tasmania	07	II	270
— Notes on recently observed evidences of glaciation on the west coast of Tasmania	07	II	299
Wallerant, F.: Sur le polymorphisme des nitrates	05	I	12
— Sur le polymorphisme et l'isomorphisme des azotates alcalins	06	II	164
— Sur les azotates de potasse et d'ammoniaque, et sur la loi de Bravais	06	II	318
— Sur l'isodimorphisme	1906	II	318. 319
— Sur la constitution des corps cristallisés	07	I	3
— Sur un nouveau cas de mériédrie à symmétrie restreinte, et sur les macles octaédriques	07	I	182
— Sur les enroulements hélicoidaux dans les corps cristallisés	1908	I	315. 316
— Sur l'origine des enroulements hélicoidaux dans les corps cristallisés	08	I	316
— Sur les cristaux liquides de propionate de cholestéryle	09	I	5
— Sur les cristaux liquides d'oléate d'ammonium	09	I	6
— Sur les transformations polymorphiques des mélanges isomorphes de trois corps	09	I	163
Walter, K.: Ueber Apatit vom Epprechtstein in Bayern und von Luxullian in Cornwall	*BB*	*XXIII*	*581*
Walther, J.: Die Fauna der Solnhofener Plattenkalke	05	I	458
— Vorschule der Geologie	CBl	1905	730
— *Ueber das Zitieren von Abbildungen*	*CBl*	*1909*	*536*
Walther, K.: Petrographische Untersuchung einiger klastischer Gesteine aus dem Palaeozoicum des Rheinischen Schiefergebirges	09	II	216

Jahrg. Bd. Seite

Walther, K.: Geologie der Umgebung von Bad Steben im Frankenwalde . . . . . 1909 II 218
— *Geologische Beobachtungen in der Gegend von Jena in Thüringen. I. Das Tertiär zwischen Bürgel und Kamburg. II. Bemerkungen zur Tektonik der weiteren Umgebung von Jena* . . . . . *BB XXI 63*
— *Beiträge zur Geologie und Paläontologie des älteren Paläozoicums in Ostthüringen. 1. Das Mitteldevon und untere Oberdevon. 2. Fossilreste im tiefen Silur (sogen. Cambrium)* . . . . . *BB XXIV 221*
Wanderer, K.: Rhamphorhynchus Gemmingi H. v. Meyer. Ein Exemplar mit teilweise erhaltener Flughaut aus dem K. Mineralogisch-Geologischen Museum zu Dresden . . . 09 I 132
— *Die Jura-Ablagerungen am Westrande des Bayrischen Waldes zwischen Regenstauf und der Bodenwöhrerbucht* . . . . . *BB XXI 468*
Wankel, A.: Chemische Untersuchung dolomitischer Gesteine aus der Umgebung von Regensburg . . . . . 07 II 65
Wanner, J.: Zur Geologie und Geographie von West-Buru BB XXIV 133
— *Triaspetrefakten der Molukken und des Timorarchipels BB XXIV 161*
Ward, H. A.: Catalogue of the Ward-Coonley Collection of Meteorites . . . . . 05 I 214
— Values of Meteorites: relative and individual . . . . . 05 I 391
— The Billings Meteorite. A new Iron Meteorite from Southern Missouri . . . . . 07 I 366
— The Canyon City Meteorite from Trinity Co., California 07 I 366
— Columbian Meteorite Localities: Santa Rosa, Rasgata, Tocavita . . . . . 09 I 40
Ward, L. F.: Statues of the mesozoic floras of the United States. First Paper: The older Mesozoic . . . . . 1907 II 499. 502
Waring, G. A.: Quartz from San Diego County, California 07 I 19
Warren, C. H., siehe Hidden, W. E.
— siehe Kennard, A. S.
— siehe Palache, Ch.
Wartenberg, H. v., siehe Nernst, W.
Warth, H.: Weathered Dolerite of Rowley Regis (South Straffordshire) compared with the Laterite of the Western Ghâts near Bombay . . . . . 07 I 391
Warth, H. and F. J. Warth: The Composition of Indian Laterite . . . . . 05 II 15
Washington, H. S.: The Plauenal Monzonose (Syenite) of the Plauenscher Grund . . . . . 08 II 189
— The Titaniferous Basalts of the Western Mediterranean. A preliminary Notice . . . . . 09 I 64
— The Catalan Volcanoes and their Rocks . . . . . 09 I 222
— On Kaersutite from Linosa and Greenland; with optical studies by Fred. Eugene Wright . . . . . 09 I 342
— The formation of leucite in igneous rocks . . . . . 09 II 61
— Manual of the chemical Analysis of Rocks . . . . . CBl 1905 94
— Chemical Analyses of Igneous Rocks published from 1884 to 1900, with a critical discussion of the character and use of analyses . . . . . CBl 1905 210
— siehe Cross, W.
— siehe Kunz, G. F.
— siehe Pirsson, L. V.
Watitsch, N.: Lublinit, eine neue Mineralart des Kalkspats. Bibliographische Notiz . . . . . 09 II 340

	Jahrg.	Bd.	Seite
Watson, T. L.: A preliminary report on the Beauxite deposits of Georgia	1906	II	161
— The Leopardite (Quarz-Porphyry) on North Carolina	06	II	216
— Orbicular Gabbro-Diorite from Davie-County, North Carolina	06	II	217
— Granites of North Carolina	06	II	219
— Die Eisenockerlagerstätten von Cartersville in Geogria	06	II	225
— Occurrence of Unakite in a New Locality in Virginia	08	I	240
— Occurrence of Rutile in Virginia	08	II	13
— Lithological charakters of the Virginiagranites	09	I	66
— Dike of Diabase in the Potsdam Sandstone in the Valley of Virginia	09	II	391
— siehe Weed, W. H.			
Watts, W. W.: The functions of geology in education and practical life	06	I	37
Weber, C. A.: Die Moostorfschichten im Steiluter der Kurischen Nehrung zwischen Sarkau und Cranz	08	II	408
— Die wichtigsten Humus- und Torfarten und ihre Beteiligung an dem Aufbau norddeutscher Moore	08	II	409
Weber, F.: Ueber den Kalisyenit des Piz Giuf und Umgebung (östliches Aarmassiv) und seine Ganggefolgschaft	06	I	371
Weber, J.: Beiträge zur Kenntnis einiger polymorpher Körper	08	II	146
Weber, L.: Ueber die Brechungsexponenten des Apatit von der Knappenwand	*CBl 1909*		*594*
Weber, M.: Ueber tertiäre Rhinocerotiden von der Insel Samos	06	II	450
— Die petrographische Ausbeute der Expeditionen O. Neumann-v. Erlanger nach Ostafrika und Abessynien 1900—1901	09	I	225
— *Ueber Zinkoxyd*	*CBl 1905*		*205*
— *Nachtrag zu den Rhinocerotiden von Samos*	*CBl 1907*		*29*
Wedekind, R.: Die Cephalopodenfauna des höheren Oberdevon am Enkeberge	*BB XXVI*		*565*
Weed, W. H. and T. L. Watson: The Virginia Copper Deposits	08	I	83
Weems, J. B., siehe Beyer, S. W.			
Wegner, R. N.: Uebersicht der bisher bekannten Astieria-Formen der Ammonitengattung Holcostephanus nebst Beschreibung zweier neuer Arten	*09*	*I*	*77*
Wegner, R. U.: Zur Kenntnis der Säugetierfauna des Obermiocäns bei Oppeln (Oberschlesien)	08	II	425
Wegner, Th.: Die Granulatenkreide des westlichen Münsterlandes I.	08	I	42
— Profil durch den Teutoburger Wald	09	II	254
— Exkursion am Heidhorn, Hüggel und Silberberg	09	II	429
— *Beobachtungen über den Ausbruch des Vesuv im April 1906*	*CBl 1906*		*506. 529*
— *Der Stromboli im Mai 1906*	*CBl 1906*		*561*
— *Ueber das Vorkommen des Salmiaks bei vulkanischen Eruptionen*	*CBl 1907*		*662*
— *Beitrag zur Kenntnis des Alters des Teutoburger Waldes und des Wesergebirges*	*CBl 1909*		*76*
Weiberg, S.: Ueber die Einwirkung von Chlor- und Bromcalcium auf Kaolin bei hoher Temperatur	05	I	377
— Ueber chromsauren Sodalith	05	I	377
— Ueber Baryum- und Strontiumnephelin	05	I	377
— Ueber die Einwirkung von Lithiumchlorid und Lithiumsulfat auf Kaolin bei hoher Temperatur	05	I	377

	Jahrg.	Bd.	Seite
Weiberg, S.: Ueber einige Kalialuminiumsilikate	1905	I	377
— Ueber einige in basischen Schmelzen alkalischer Salze erhaltene Kalialuminiumsilikate	05	I	377
— siehe Weyberg, Z.			
Weidman, S.: Wide spread occurrence of fayalite in certain igneous rocks of Central Wisconsin	06	II	220
— Irvingite, a new variety of Lithia-mica	09	I	190
— The Geology of North Central Wisconsin	09	I	226
Weidman, S. und V. Lehner: Marignacite, a new variety of Pyrochlore from Wausau, Wisconsin	08	II	177
Weigel, O.: Ueber das Verhalten von Schwermetallsulfiden in wässeriger Lösung	08	I	168
— Die Löslichkeit von Schwermetallsulfiden in reinem Wasser 1908 II 10	09	I	7
— *Beiträge zur Kenntnis fester unipolarer Leiter*	*BB XXI 325*		
Weimarn, P. P. v.: Ueber die Möglichkeit der Erweiterung der ultramikroskopischen Sichtbarkeitsgrenze	08	II	145
Weinschenk, E.: Weitere Beobachtungen über die Bildung des Graphites, speziell mit Bezug auf den Metamorphismus der alpinen Graphitlagerstätten	05	I	261
— Die Nickelmagnetkieslagerstätten im Bezirk St. Blasien im südlichen Schwarzwald	09	I	80
— Ueber Mineralbestand und Struktur der kristallinischen Schiefer	09	I	207
— *Ueber die Skeletteile der Kalkschwämme*	*CBl 1905 581*		
— Grundzüge der Gesteinskunde. II. Teil: Spezielle Gesteinskunde mit besonderer Berücksichtigung der geologischen Verhältnisse	CBl 1905		617
— Anleitung zum Gebrauch des Polarisationsmikroskops	CBl 1906		522
— Die gesteinsbildenden Mineralien	CBl 1907		470
— Grundzüge der Gesteinskunde. I. Teil. Allgemeine Gesteinskunde als Grundlage der Geologie	CBl 1908		20
— Petrographisches Vademekum	CBl 1908		20
— *Die kosmische Natur der Moldawite und verwandter Gläser*	*CBl 1908 737*		
— *Zum Streit über die „Echtheit" der Moldawite*	*CBl 1909 545*		
— siehe Novarese, V.			
Weisbach, A.: Tabellen zur Bestimmung der Mineralien mittels äußerer Kennzeichen	CBl 1906	480	CBl 1907 154
Weiß, A.: Beiträge zur pleistocänen, alluvialen und rezenten Konchylienfauna der Umgebung von Gera (Reuß)	07	II	461
Weiß, E.: Zur Relegation des Eises	08	II	12
Weiß, P.: Bemerkung zu der Mitteilung von Erich Kaiser über die Kristallform des Magnetkies	*CBl 1906 338*		
Weißermel, siehe Siegert.			
Weithofer, K. A.: Geologische Skizze des Kladno-Rakonitzer Kohlenbeckens	06	I	275
Weller, St.: The classification of the Upper Cretaceous formation and faunas of New Jersey	07	II	125
— The fauna of the Cliffwood (N. J.) Clays	07	II	132
— A fossil starfish from the Cretaceous of Wyoming	07	II	157
Welter, O. A.: Vorläufige Mitteilung über Stratigraphie und Bau der Alpen zwischen Hinterrhein und Safiental	*CBl 1908 723*		
Welzel, Ch.: Eingewachsene Feldspatkristalle aus dem Fichtelgebirge. Ein kristallographischer Versuch	09	I	340
Wemple, E. M.: New Cestraciont teeth from westamerican Triassic	08	II	446

	Jahrg.	Bd.	Seite
Went, K., siehe Romberg, J.			
Wepfer, E.: Die nördliche Flyschzone im Bregenzer Wald	*BB*	*XXVII*	*1*
Werner, E.: Beiträge zur Kenntnis des kohlensauren Kalks	1905	II	356
Werth, E.: Das Diluvium des Hirschberger Kessels	1907	I	443
Werveke, L. van: Versuche zur Erweiterung der Wasserversorgung von Mülhausen im Elsaß	09	I	205
— Die geologische Landesuntersuchung von Elsaß-Lothringen	09	II	207
— siehe Benecke, E. W.			
Wessely, C. und M.: Ueber ein Vorkommen von Andalusit in Steiermark	05	II	363
Westergård, A. H.: Pyrit von Sestri levante	07	II	175
— Ueber Klinozoisit von der Goßlerwand bei Prägraten	08	I	27
— Ueber Turmaline von Minas Geraes in Brasilien	08	I	28
Wetzel, W.: Lias und Dogger des Teutoburger Waldes südlich von Bielefeld	CBl	1909	137
Wetzig, Br.: Beiträge zur Kenntnis der Huelvaner Kieslagerstätten	08	I	85
Weyberg, Z.: Sur les cristaux de la classe du bisphénoide tétragonal	08	I	161
— *Ueber die Wirkung von Baryumchlorid und Strontiumchlorid auf Kaolin bei hoher Temperatur*	*CBl*	*1905*	*138*
— *Ueber einige Lithiumalumosilikate*	*CBl*	*1905*	*646*
— *Einige Worte über das Silikat* $Na_2 Fe_2 Si_4 O_{12}$	*CBl*	*1905*	*717*
— *Ueber einige spinellartige Verbindungen*	*CBl*	*1906*	*645*
— *Ueber das Alumosilikat* $K_2 Al_2 Si O_6$	*CBl*	*1908*	*326*
— *Ueber das Alumosilikat* $K_2 Al_2 Si_2 O_8$	*CBl*	*1908*	*395*
— *Ueber die Natriumchromisilikate*	*CBl*	*1908*	*519*
— *Regelmäßige Verwachsung des Graphits mit Disthen*	*CBl*	*1908*	*523*
— siehe Weiberg, S.			
Wheeler, L. P., siehe Bumstead, H. A.			
Wherry, E. T.: The Newark Copper Deposits of Southeastern Pennsylvania	09	II	400
White, D.: Fossil Plants of the Group Cycadofilices	07	I	164
— The seeds of Aneimites	07	I	164
— A remarkable fossil Tree Trunk from the middle Devonic of New York	08	II	449
White, H. P.: Chemical Notes on Glaucophane Schists, from Australia and New Caledonia	07	I	399
— siehe Card, G. W.			
— siehe Mingaye, J. C.			
White, J. C.: Geological horizon of the Kanahwa black flint	06	I	277
White, W. P., siehe Allen, E. T.			
— siehe Day, A. L. etc.			
Whiteaves, J. F.: Uintacrinus and Hemiaster in the Vancouver Cretaceous	07	II	288
Whitfield, R. P.: Note on a very fine example of Helicoceras Stevensoni preserving the outer chamber	05	I	355
— Observations on an emended description of Heteroceras simplicostatum	05	I	355
— Description of a new Teredo-like shell from the Laramie group	05	I	359
— Notice of a new genus of marine algae, fossil in the Niagara shale	05	II	329
— Notice of an American species of the genus Hoploparia Mc Coy, from the Cretaceous of Montana	08	I	443
— Notice of six new species of Unios of the Laramie group	08	I	445

	Jahrg.	Bd.	Seite
Whitfield, R. P.: Remarks on and descriptions of new fossil Unionidae from the Laramie clays of Montana . .	1908	I	445
Whitfield, R. T. und E. O. Hovey: Remarks on and Descriptions of Jurassic fossils of the Black Hills . . .	08	I	264
Whitlock, H. P.: Some new cristallographic combinations of Calcite from West Paterson, N. J.	09	I	9
Wichmann, A.: Ueber den Vulkanausbruch auf Java im Jahre 1593	05	I	224
— Ueber die Vulkane von Nord-Sumatra	06	II	49
— Over Ardennengesteenten in het Nederlandsche Diluvium benoorden den Rijn	06	II	118
— Ein verschollener Meteorit aus dem Jahre 1809	08	II	183
Wiegel, H.: Petrographische Untersuchung der Basalte des Schwälmerlandes bis an den Vogelsberg . . . . . BB XXIII 345			
— Die Verwitterungserscheinungen des basaltischen Olivins, insbesondere das rote Mineral und einige Verwachsungen von rhombischem mit monoklinem Augit . . . . . CBl 1907 372			
Wiegers, F.: Diluviale Flußschotter aus der Gegend von Neuhaldensleben	06	I	122
— Ueber Glazialschrammen auf der Kulmgrauwacke bei Flechtingen	06	I	297
— Die natürliche Entstehung der Eolithen im norddeutschen Diluvium	07	I	126
— Neue Beiträge zur Geologie der Altmark. 1. Das Tertiär im Kreise Gardelegen und einige Bemerkungen über das Diluvium . . . . . 1907 II 450	08	I	434
Wieland, G. R.: Gastroliths	08	II	441
Wiik, F. J.: Om en ny anti-aktualistisk teori för de kristalliniska bergformation	07	I	391
Wilckens, O.: Ein neues Vorkommnis von Nephelinbasalt im badischen Oberlande	06	II	60
— Radiolarit im Culm der Attendorn-Elsper Doppelmulde (Rheinisches Schiefergebirge)	09	I	242
— Die neue geologische Landesanstalt von Neuseeland . . .	09	II	207
— Die geologische, paläontologische und petrographische Literatur über Neuseeland bis zum Jahr 1907 1909	II	265.	433
— Die Meeresablagerungen der Kreide- und Tertiärformation in Patagonien . . . . . BB XXI 98			
— Zur Geologie der Südpolarländer . . . . . CBl 1906 173			
— Ueber den Bau des nordöstlichen Adulagebirges . . . . . CBl 1907 341			
— Ueber die Verbreitung der Basaltgänge in der Umgebung von Freiburg im Breisgau . . . . . CBl 1908 261			
— Zur Erinnerung an Marcel Bertrand . . . . . CBl 1909 499			
Wild, G.: On Trigonocarpon olivaeforme Williamson . . .	07	I	163
Wild, H.: Deutsche Edelsteine, hergestellt von der Deutschen Edelsteingesellschaft in Idar bei Oberstein	CBl 1908		179
Willcox, O. W.: The so-called alkali spots of the younger driftsheets	07	I	243
— The iron concretions of the Redbank sands	08	II	375
Williams, J. A., siehe Beyer, S. W.			
Williamson, W. C. and D. H. Scott: Further observations on the organization of Fossil Plants of the Coal-Measures. Part III. Lyginodendron and Heteranginum	07	I	163
Willis, B.: Stratigraphy and structure, Lewis and Livingston Ranges, Montana	06	I	88
— The Mineral Resources of China	09	II	79

	Jahrg.	Bd.	Seite
Williston, S. W.: On the skeleton of Nyctodactylus with restoration	1905	I	518
— On the skull of Nyctodactylus, an upper cretaceous Pterodactyl	05	I	518
— On the osteology of Nyctosaurus (Nyctodactylus) with notes on american Pterosaurs	05	I	518
— The fingers of Pterodactyls	05	I	520
— Some Fish Teeth from the Kansas Cretaceous	05	II	131
— The Laramie Cretaceous of Wyoming	07	I	439
— North american Plesiosaurs. Trinacromerum	09	I	441
— The Cotylosauria	09	II	122
— The oldest known Reptilie—Isodectes punctulatus Cope	09	II	123
— Lysorophus, a Permian Urodele	09	II	124
Willmott, A. B.: The contact of the archaean and post-archaean in the region of the great lakes	07	I	74
Wilschowitz, H.: Beitrag zur Kenntnis der Kreideablagerungen von Budigsdorf und Umgebung	07	II	123
Wilson, T. St.: On a convenient and simple method of making geological modells	06	I	37
Wiman, G.: Studien über das nordbaltische Silurgebiet. I.	06	I	102
Wiman, K.: Paläontologische Notizen 3—6	06	II	298
Wimperis, H. E.: The Temperature of Meteorites	07	II	199
Winchell, A. N.: The Oxidation of Pyrite	09	II	246
Winchell, H. V.: Synthesis of Chalcocite and its genesis at Butte Montana	06	I	240
Winchell, N. H.: The Cuyuna Iron Range	09	I	395
Windhager, F.: Quarzbostonit aus der Umgebung von Rézbánya	07	I	64
Windhausen, A.: Die geologischen Verhältnisse der Bergzüge westlich und südwestlich von Hildesheim	08	II	79
Wing Easton, N.: Geologie eines Teiles von West-Borneo nebst einer kritischen Uebersicht des dortigen Erzvorkommens	09	II	96
Winge, H.: Jordfundne og nulevende Hovdyr (Ungulata) fra Lagoa Santa, Minas Geraes, Brasilien	07	II	134
Winkler, Cl.: Zur Zusammensetzung des Eisens von Ovifak in Grönland und der bituminösen Kohle (des Kolms) aus der kambrischen Formation Westergötlands (Siehe auch Nordenskiöld.)	05	I	366
Winogradow, N., siehe Bogojawlensky, A. und Winogradow, N.			
Winter, F. W.: Foraminifera (Testacea reticulosa) für 1896—1900	09	II	151
— Zur Kenntnis der Thalamophoren. I. Untersuchung über Peneroplis pertusus	09	II	151
Wislicenus, E.: Ueber die faserähnlich gewachsene Tonerde (Fasertonerde) und ihre Oberflächenwirkung	08	II	170
Wiśniowski, Th.: Scaphites constrictus Sow. sp. aus den Istebner Schichten	05	I	355
— Ueber das Alter der Inoceramenschichten in den Karpathen	07	II	435
— Ueber die Fauna der Spasser Schiefer und das Alter des massigen Sandsteins in den Ostkarpathen Galiziens	07	II	436
— Ueber die obersenone Flyschfauna von Leszczyny	08	I	429
Wittenburg, P. v.: Einige neue Fossilien aus den Werfener Schichten Südtirols	*08*	*I*	*16*
— *Notiz über Trias und Jura bei Wladiwostok und Umgebung*	*09*	*I*	*1*

	Jahrg.	Bd.	Seite
Wittenburg, P. v.: Einige Lamellibranchiata der Salt-Range, mit Berücksichtigung der Lamellibranchiata des Süd-Ussuri-Gebiets	*1909*	*I*	*6*
— Geologische Studien an der ostasiatischen Küste im Golfe Peters des Großen	*BB*	*XXVII*	*509*
— Neue Beiträge zur Geologie und Paläontologie der Werfener Schichten Südtirols, mit besonderer Berücksichtigung der Schichten von Wladiwostok	*CBl*	*1908*	*67*
Wittich, E.: Mitteloligocäner Meeressand bei Vilbel in Oberhessen. (Vorläufige Mitteilung)	*CBl*	*1905*	*531*
Wöhler, L. und H. Kasarnowski: Beitrag zur diluten Färbung der Alkali- und Erdalkalihalogenide	06	I	324
Woeikof, A.: Les lacs du type polaire et les conditions de leur existence	05	I	408
Wohnig, K.: Trachytische und andesitische Ergußgesteine vom Tepler Hochland	06	II	353
Wójcik, M. K.: Die unteroligocäne Fauna von Kruhel Maly bei Przemyśl. Die Claviculina Szaboi-Schichten. I. Teil: Die Foraminiferen und Mollusken 1905 I 319 1905 II 434	06	I	472
Woldřich, J. N., siehe Počta, Ph.			
Wolf, J., siehe Haßlinger, R. v.			
Wolff und Stoller: Ueber einen vorgeschichtlichen Bohlweg in Wittmoor (Holstein) und seine Altersbeziehungen zum Moorprofil	06	I	119
Wolff, F. v.: Die älteren Gesteine der ecuatorianischen Ostkordillere, sowie die des Azuay und eines Teiles der Cuenza-Mulde	06	I	392
— Ueber das Alter der kristallinen Ostkordillere in Ecuador	06	I	392
— Bericht über die Ergebnisse der petrographisch-geologischen Untersuchungen des Quarzporphyrs der Umgegend von Bozen	07	I	230
— Ueber das physikalische Verhalten des vulkanischen Magmas	08	I	219
— Beiträge zur Petrographie und Geologie des „Bozener Quarzporphyrs". I. Die Gliederung und petrographische Beschaffenheit des Quarzporphyrsystems der Umgegend von Bozen (Südtirol)	*BB*	*XXVII*	*72*
— Nekrolog von Carl Klein	*CBl*	*1907*	*641*
— Notiz über das Kristallsystem des „Hittorfschen Phosphors"	*CBl*	*1908*	*296*
Wolff, K.: Ueber eine alte Mündung der Ilm in die Saale	08	II	252
Wolff, W.: Der geologische Bau der Bremer Gegend	07	II	464
Wolff, W. und R. Kißling: Eine Tiefbohrung auf dem Gelände der Petroleumraffinerie zu Bremen. Wolff: Das geologische Profil. Kissling: Chemische Untersuchung des erbohrten Wassers	06	I	297
Wollemann, A.: Die Fauna des mittleren Gaults von Algermissen	05	I	317
— Ein Aufschluß im Mucronatensenon bei Rotenkamp, nordwestlich von Königslutter	06	I	285
— Belemnites ultimus d'Orb. und andere Versteinerungen aus der Kreideformation von Misburg bei Hannover	06	I	316
— Einige Bemerkungen über die Fauna des Lüneburger Miocäns	06	I	431
— Alte und neue Aufschlüsse im Flammenmergel, Varians-Pläner und Turon in der Umgegend von Braunschweig	06	II	428
— Die Fossilien der Kalktuffe des Elms und Lappwaldes	07	II	461
— Die Bivalven und Gastropoden des norddeutschen Gault (Aptien und Albien)	07	II	468

	Jahrg.	Bd.	Seite
Wollemann, A.: Fossile Knochen und Gastropodengehäuse aus dem diluvialen Kalktuff und Lehm von Osterode am Fallstein	1908	II	251
— Fossile Pflanzen aus dem diluvialen Kalktuff des Fallsteins	08	II	251
— *Puzosia Mülleri Grossouvre aus dem Scaphitenpläner von Nettlingen*	*CBl 1905*		*452*
— *Mortoniceras pseudotexanum Grossouvre aus dem Emscher Lüneburgs*	*CBl 1906*		*379*
— *Erwiderung auf Menzel's Mitteilung über die Quartärfaunen im nördlichen Vorlande des Harzes und die Nehring'sche Steppenhypothese*	*CBl 1909*		*317*
— siehe Müller, G.			
Wologdine, S., siehe Le Chatelier, H. et Wologdine, S.			
Wood, H. O., siehe Palache, Ch.			
Woodburn, J. B., siehe Tarr, R. S.			
Woods, H.: A monograph of the Cretaceous Lamellibranchia of England. Bd. 2. Parts 1. 2.	06	I	466
— The cretaceous fauna of Pondoland	07	II	306
— A monograph of the Cretaceous Lamellibranchia of England Bd. 2. Parts 3. 4.	1908	I	133. 444
Woodward, A. Smith, siehe Smith-Woodward, A.			
Woodward, B. B., siehe Kennard, A. S.			
Woodward, H.: Fossil prawns from the Osborne beds, Isle of Wight	05	I	304
— Devonian Trilobites of Cornwall	05	II	316
— On some fossil prawns from the Osborn Beds of the Isle of Wight	05	II	317
— Note on a Fossil Crab and a Group of Balani discovered in Concretions on the beach at Ormara Headland Mekran coast. 1906 I 117	06	II	139
— On a Collection of Trilobites from the upper cambrian of Shantung, North China	06	II	139
— Further Note on Cyclus Johnsoni, from the coalmeasures near Dudley	06	II	140
— On „Pyrgoma cretacea", a cirripede, from the Upper Chalk of Norwich and Margate	06	II	140
— On some crustacea collected by Miss Caroline Bibley and Miss L. Copland from the Upper Cretaceous of Faxe, Denmark	06	II	141
— siehe Fox, H.			
Woolacott, D.: The Superficial Deposits and Pre-Glacial Valleys of the Northumberland and Durham Coalfield	05	II	450
Woolnough, W. G., siehe Davis, B. F.			
Woolsey, L. H.: Economic geology of the Beaver quadrangle, Pennsylvania	09	II	407
Worobieff, V.: Ueber ein neues Exemplar von Euklas aus den Goldseifen des südlichen Urals	05	II	183
— Ueber einen neuen Fundort von Prehnit in der Mongolei	05	II	183
— Ueber Quarz und Feldspäte vom Berge Mokruscha, sowie über Uwarowit von der Bilimbajewskij-Datsche im Ural	09	II	40
Wortman, J. L.: Studies of Eocene Mammalia in the Marsh Collection, Peabody Museum. Part II: Primates	05	I	324
Wright, C. W.: The Porcupine Placer District, Alaska	06	I	354
— The Copper Deposits of Kasaan Peninsula, Alaska	09	II	399

	Jahrg.	Bd.	Seite
Wright, C. W. and B. C. Polkinghorne: The discovery of Marsupites in the Chalk of the Croydon area	1906	II	107
Wright, F. E.: Kristallographische Untersuchungen	05	II	5
— The determination of the optical character of birefracting minerals	06	II	148
— Two Microscopic-Petrographical Methods	07	I	226
— Schistosity by crystallisation. A qualitative proof	07	I	334
— The determination of the feldspars by means of their refractive indices	07	I	350
— A modification of the Lasaulx Method for observation interference figures under the microscope	07	II	3
— The measurement of the optic axial angle of minerals in the thin sections	09	I	156
— Die Justierung des Abbe-Pulfrich-schen Kristallrefraktometers	09	II	159
— On the measurement of extinction angles in the thin section	09	II	161
— Ueber Enstatit und Klinoenstatit	09	II	176
— siehe Allen, E. T.			
— siehe Day, A. L. etc.			
— siehe Washington, H. S.			
Wright, J.: Foraminifera from the Gravel Pit, Longhurst, Dunmurry, and other Localities in the vicinity of Belfast, with a Reference to the Malone Sands	09	I	300
Wülfing, E. A.: Einiges über Mineralpigmente	07	II	166
— *Berichtigung und Nachtrag zur „Mikroskopischen Physiographie der petrographisch wichtigen Mineralien“*	*CBl 1905*		*745*
Wüst, E.: Weitere Beobachtungen über fossilführende pleistocäne Flußablagerungen im unteren Unstrutgebiet	05	I	473
— Fossilführende pleistocäne Holtemme-Schotter bei Halberstadt im nördlichen Harzvorlande	07	I	444
— Ueber Helix (Vallonia) saxoniana Sterki	07	I	444
— Ein fossilführender pleistocäner Mergel im Weidatale zwischen Stedten und Schraplau	07	I	445
— Der Konchylienbestand der Kiese im Liegenden der Travertine von Weimar	07	II	459
— Die Schnecken der Fundschicht des Rhinoceros hundsheimensis Toula bei Hundsheim in Niederösterreich	07	II	460
— Die Entstehung der Kaolinerden der Gegend von Halle a. S.	08	II	190
— *Erklärung zu Edmund Picard's Aufsatze „Zur Kenntnis der obersten Saaleterrasse auf Blatt Naumburg a. S.“*	*CBl 1906*		*678*
— *Studien über Diskordanzen im östlichen Harzvorlande. (Vorläufige Mitteilung.)*	*CBl 1907*		*81*
— *Erklärung zu Edmund Picard's „Erwiderung“*	*CBl 1907*		*214*
— *Das Vorkommen von Rhinoceros Merckii Jäg. in den oberen Travertinen von Ehringsdorf bei Weimar und seine Bedeutung für die Beurteilung der Klimaschwankungen des Eiszeitalters*	*CBl 1909*		*23*
— *Die Gliederung und die Altersbestimmung der Lößablagerungen Thüringens und des östlichen Harzvorlandes*	*CBl 1909*		*385*
Wuestner, H.: Pisolitic Barite	07	II	31
Wulff, G.: Untersuchungen über die Genauigkeitsgrenzen der Gesetze der geometrischen Kristallographie	05	II	1
— Ueber die Genauigkeit der Gesetze der geometrischen Kristallographie	05	II	167
— Ueber die Kristallisation des Kaliumjodids auf dem Glimmer	09	I	160
Wulff, S.: Untersuchungen im Gebiete der optischen Eigenschaften isomorpher Kristalle. 2. Abh.	08	II	150

	Jahrg.	Bd.	Seite
Wunstorf, W.: Die geologischen Verhältnisse des Kleinen Deisters, Nesselberges und Osterwaldes	1907	I	418
— Transgression im oberen Jura am östlichen Deister	06	I	277
Wyrouboff, G.: Nouvelles recherches sur les silicotungstates	07	I	4
— Sur les propriétés optiques des sels doubles ammoniacaux des terres cériques	08	II	1
— Recherches sur le polymorphisme et la pseudosymmétrie	08	II	3
— Quelques remarques sur un Mémoire de M. Barker	08	II	3
— Sur les propriétés optiques des mélanges isomorphes	08	II	149
Wysogorsky, J., siehe Lethaea geognostica.			

Y.

Yabe, H.: Cretaceous Cephalopoda from the Hokkaido. Part I: Lytoceras, Gaudryceras and Tetragonites. Part II: Turrilites, Helicoceras, Heteroceras, Nipponites, Olcostephanus, Desmoceras, Hauericeras and an undetermined Genus	05	I	529
— On a Fusulina-Limestone with Helicoprion in Japan	07	I	330
— A Contribution to the Genus Fusulina, with Notes on a Fusulina-Limestone from Korea	07	I	331
— On a mesozoic Stromatopora	07	I	488
— Mesozoic Plants from Korea	07	II	343
— On the Occurrence of the Genus Gigantopteris in Korea	08	II	449
— Jurassic Plants from T'ao-chia-T'un, China	09	II	156
Yale, Ch. G.: California Mines and Minerals	07	II	41
Yermoloff, A. et E. A. Martel: Sur la géologie et l'hydrologie souterraine du Caucase occidental	05	I	55
Yokoyama, M.: On some Jurassic Fossils from Rikuzen	05	I	464
— Mesozoic Plants from Nagato and Bistchu	07	II	341
— Mesozoic Plants from China	07	II	342
— Palaeozoic Plants from China	08	I	452
Yoshida, Y., siehe Nakamura, S.			
Young, A. P.: On a Serpentine-rock from the Mass of the Tarntaler Köpfe, Tirol	08	II	309
Yung, M. B. und S. McCaffery: Die Erzlagerstätten des San Pedro-Distrikts (Neu-Mexiko)	05	I	99

Z.

Zahálka, B.: Ueber einige Eruptivgesteine aus der Umgebung von Mělník und Mšeno	07	I	58
Zalessky, M.: Sur quelques Sigillaires recueillies dans le terrain houiller du Donetz	05	I	537
— Végétaux fossiles du terrain carbonifère du bassin du Donetz	05	I	537
— Beiträge zur Kenntnis der fossilen Flora des Steinkohlenreviers von Dombrowa	09	I	146
— Végétaux fossiles du Terrain Carbonifère du Bassin du Donetz. II. Étude sur la structure anatomique d'un Lepidostrobus	09	I	459
— Mitteilung über das Vorkommen von Mixoneura neuropteroides Göppert sp. in den obercarbonischen Ablagerungen des Donetzbeckens	09	I	460
Zaloziecki, R. und H. Klarfeldt: Ueber die optische Aktivität der Erdöle im Zusammenhange mit der Frage nach ihrem Ursprunge	08	II	40

	Jahrg.	Bd.	Seite
Zambonini, F.: Su alcuni notevoli cristalli di celestite di Boratella (Romagna)	1905	I	40
— Ueber einige Mineralien von Canale Monterano in der Provinz Rom	06	I	170
— Analisi di lawsoniti italiane	06	I	340
— Ueber die Drusenmineralien des Syenits der Gegend von Biella	06	II	33
— *Ueber den metamorphosierten Gabbro des Rocca Bianca im Susa-Tale*	*06*	*II*	*105*
— Ricerche su alcune zeoliti	06	II	337
— Beiträge zur kristallographischen Kenntnis einiger unorganischer Verbindungen. 3. Die Wolframate von Calcium, Strontium und Baryum	06	II	344
— Einige Beobachtungen über die optischen Eigenschaften des Melanophlogit	07	I	20
— Ueber eine kristallisierte Schlacke der Seigerhütte bei Hettstedt, nebst Bemerkungen über die chemische Zusammensetzung des Melilith	07	I	28
— Appunti sulla scheelite di Traversella	07	I	38
— Sulla costituzione della titanite	07	II	28
— Sull' epidoto dei dintorni di Chiavrié, presso Condove, valle di Susa	08	I	27
— Sulla galena formatasi nell' ultima eruzione vesuviana dell' aprile 1906	1908	I	45. 173
— Notizie mineralogiche sull' eruzione vesuviana dell' aprile 1906	08	I	206
— Sur la présence de la galène parmi les minéraux produits par les fumerolles de la dernière éruption du Vésuve	08	I	329
— Strüverite, un nuovo minerale	08	II	14
— Ulteriori ricerche sulle zeoliti	08	II	32
— Sulla radioattività della cotunite vesuviana	08	II	293
— Notizia cristallografica sull' azzurite del Timpone Rosso presso Lagonegro	08	II	306
— Su alcuni minerali della Grotta dello Zolfo a Miseno	08	II	332
— Sulla disanalite del Monte Somma	09	I	345
— Su alcuni minerali non osservati finora al Vesuvio	09	I	349
— Ueber Delorenzit, ein neues Mineral. Mit Analysen von J. Sterba in Prag	09	II	15
— Ueber ein Idokrasvorkommen aus dem Susatale	09	II	24
— Die morphotropischen Beziehungen zwischen Enstatit, Diopsid, Hedenbergit, Aegirin und Spodumen	09	II	171
— Ueber Enstatit und Klinoenstatit	09	II	176
— siehe Prior, G. T. and Zambonini, F.			
Zang, R.: Coleoptera longicornia aus der Berendt'schen Bernsteinsammlung	07	I	323
Zatloukal, V.: Die Eruptivgesteine der nordwestlichen Beskidenausläufer	08	I	379
Záviška, F.: Verifikation der Fresnel'schen Doppelbrechungsgesetze bei zweiachsigen Kristallen	05	I	183
— Ueber die Polarisation der Grenzkurven der Totalreflexion	05	I	184
Zayrieff, D.: Sur la dissociation du carbonate de chaux	09	I	339
Zdarek, E., siehe Ludwig, E.			
Zdarsky, A., siehe Hofmann, A.			
Zederbauer, E., siehe Seemann, Fr.			
Zeiller, R.: Observations au sujet du mode de fructification des Cycadofilicinées	07	I	164

	Jahrg.	Bd.	Seite
Zeiller, R.: Une nouvelle classe de Gymnospermées: les Ptéridospermées	1907	I	164
— Flore fossile des gîtes de charbon du Tonkin	08	I	309
— Les progrès de la paléobotanique de l'ère des Gymnospermes	09	I	144
— Sobre algunas impresiones vegetales del Kimeridgense de Santa Maria de Meva	09	I	458
— Observations sur le Lepidostrobus Brownii Brongn. sp.	09	I	459
— siehe Fliche, P. et Zeiller, R.			
Zeise, O.: Nachtrag zu meiner Mitteilung „Ueber die miocäne Spongienfauna Algeriens"	*CBl 1907*		*317*
Zeitlin, A. G.: Die Erzlagerstätten des Berges Dzyschra in Abchasien	06	I	230
Zeleny, V.: Der Erzbergbau zu Böhmisch-Katharinaberg im Erzgebirge	07	I	251
Zelizko, J. V.: Ueber eine neue untersilurische Fauna bei Lhotka	06	I	300
— Ueber das erste Vorkommen von Conularia in den Krušná Hora-Schichten (D—$d_1 a$) in Böhmen	07	II	282
— Das Untersilur in der Umgebung von Radotin und Groß-Kuchel	07	II	282
— Die Tertiärablagerungen bei Wolin in Südböhmen	07	II	295
— *Zur Frage über die Stellung der Hyolithen in der Paläontologie*	*CBl 1908*		*362*
Zeller, Fr.: Beiträge zur Kenntnis der Lettenkohle und des Keupers in Schwaben	*BB XXV 1 CBl 1907*		*19. 42*
Zemcuzny, S. und F. Loewinson-Lessing: Porphyrartige Struktur und Eutektik	06	II	197
Zemčuznyj, S., siehe Loewinson-Lessing, F.			
Zemczuznyi, S., siehe Kurnakow, N. S.			
Zemiatsenski, P.: Ueber Orthoklas- und Mikroklinkristalle im Brauneisenstein und Hydrogoethit aus der Umgegend der Stadt Lipezk	05	II	21
— Hydrogoethit — ein neues Glied in der Reihe der natürlichen Eisenoxydhydrate	05	II	181
— Ueber Orthoklas- und Mikroklinkristalle in Brauneisenerz und Hydrogoethit aus der Umgegend der Stadt Lipezk	05	II	183
— Silicomagnesiofluorit, ein neues Mineral von Luppiko in Finnland	1908	I	28. 29
Zeppa, P., siehe Balbiano, L.			
Ziegler, siehe Sulzer-Ziegler, E.			
Zimányi, K.: Ueber den Pyrit von Kotterbach im Komitat Szepes	05	II	10
— Ueber den grünen Apatit von Malmberget in Schweden	05	II	363
— Ueber die Lichtbrechung des Fluorapatits von Pisek	06	II	22
— Beitrag zur Mineralogie der Komitate Gömör und Abauj-Torna	07	I	217
— Ueber zwei Baryte vom Komitate Gömör	08	II	320
— *Eisenglanz vom Kakuk-Berge in Ungarn*	*CBl 1908*		*3*
Zimmermann, E.: Geologie des Herzogtums Sachsen-Meiningen	06	II	409
— Die ersten Versteinerungen aus Tiefbohrungen in der Kaliregion des norddeutschen Zechsteins	09	I	422
— Ueber den „Pegmatitanhydrit" und den mit ihm verbundenen „Roten Salzton" im jüngeren Steinsalz des Zechsteins vom Staßfurter Typus und über Pseudomorphosen nach Gips in diesem Salzton	09	I	424
— siehe Everding, H.			

	Jahrg.	Bd.	Seite
Zimmermann, R.: Ein neues Zeophyllit-Vorkommen zu Radzein in Böhmen	*CBl*	*1905*	*245*
Zinkendraht, H.: Ueber die Oberflächenspannung des geschmolzenen Schwefels	1908	I	169
Zinndorf, J.: Die Tiefbohrung im städtischen Schlachthofe zu Offenbach a. M.	09	I	432
Zirkel, F.: Ueber die gegenseitigen Beziehungen zwischen der Petrographie und angrenzenden Wissenschaften	06	II	52
— Zur Literatur über die Ursachen der abweichenden Kristalltracht	07	I	186
— *Weitere Beiträge zur Kenntnis der Urausscheidungen im Basalt vom Finkenberg bei Bonn*	*CBl*	*1908*	*417*
Zirkel, F. und R. Reinisch: Untersuchung des vor Enderby-Land gedredschten Gesteinsmateriales	06	II	370
Zöllner, A.: Zur Frage der chemischen und physikalischen Natur des Porzellans	09	II	84
Zoeppritz, K.: Geologische Untersuchungen im Oberengadin zwischen Albulapaß und Livigno	08	II	225
Zsigmondy, R.: Ueber mikroskopische Goldkeime	08	I	170
— Ueber Kolloid-Chemie	CBl	1907	471
Zuber, R.: Neue Karpathenstudien	05	II	410
— Die geologischen Verhältnisse der Erdölzone Opaka—Schodnica—Urycz in Ostgalizien	06	I	236
— Die geologischen Verhältnisse von Boryslaw in Ostgalizien	06	I	409

II. Sachverzeichnis.

Die Seitenzahlen der Abhandlungen und Briefe sind *cursiv* gedruckt.

A.

Aar, alter Lauf b. Meiringen . . . . . 1905 I 228
Aareschlucht, Meiringen, Strudellöcher . . . . 05 I 409
Aarmassiv
— Geologie u. Mineralien 05 I 427
— Intrusivgesteine im Schiefer d. Sustenhörner . . . . . 06 II 62
Abbildungen, Zitieren solcher . . . . . CBl 1909 *353. 536*
Abderitinae, Santacruzeno, Patagonien . . 07 I 309
Abessynien u. Ostafrika, Petrographie . . . . 09 I 225
Abflußbedingungen, Eis als Faktor derselben, Kentucky u. Virginia 05 I 407
Abies linearis u. Schuckeri, Bernstein, Ostpreußen 09 I 308
Abietites Glückii, obere Kreide, Quedlinburg 07 I 493
— marylandicus . . . . 07 II 506
Abkühlungsgeschwindigkeit, Einfluß auf Ausscheidungsfolge in Schmelzflüssen . . . 08 II *26*
Abrasion
— durch Brandungswellen . . . . . BB XXV *387*
— marine, Rocky Mountains . . . . . 07 I 379
Abrasionsfläche, Rand d. Kahlengebirgs b. Wien 05 I 451
Abreißfiguren . . . . . 07 II 351
Abrutschungsgebiet subaquat. Rutschungen, unterzähl. Schichtung 1908 II *154*
Abruzzen, Nummulitenfauna d. Scaglia . . 06 I 156
Absatz von Au, Ag und Cu aus Lösungen . . 08 II 8
Absonderung, prismatische, durch Torsion, Dambovitza . . . . 06 II 202
Absorption v. Alkalien im Ackerboden . 1908 I 362. 363
Absorptionserscheinungen bei zersetzten Gesteinen . . . . . 06 I 51
Absorptionsvermögen für Gase bei Mineralien . 06 I 161
Abstammungslehre, geolog. Grundlagen 1909 II 470 CBl 1908 *461*
Acaciaephyllum ellipticum u. pachyphyllum 07 II 505
Acanthicus-Schichten, Randgebirge d. Wiener Beckens b. Gießhübl 08 I 263
Acanthinites Hogarti, Tropites-limestone, Byans 08 II 237
Acanthocardia Malviensis u. Vasseuri, Cenoman, Südfrankreich . 07 II 131
Acanthoceras compressum, Kreide, Kalifornien . 06 I 288
— cornigerum, crassiornatum, expansum, flexuosum, laticostatum, latum, munitum, nitidum, paucinoda-

tum, quadratum u. robustum, Kreide, Zululand . . . . . 1907 II 305
Acanthoceras Eschi, Mungokalke, Kamerun . . . . . 05 I 153
— hoplitoides, Turon, Texas . . . . . 06 I 314
— Lyelli, Albien, Peru BB XXIV *92*
— palaestinense, Cenoman, Jerusalem . . . 07 I 422
— praenodosoides u. subvicinale, Kreide, Diego Suarez . . . . . 07 II 334
Acanthocircus coronatus, dendroacanthus, horridus, irregularis u. rarus, Scaglia, Euganeen 06 I 475
Acanthocorys cretacea, Kreide, Euganeen . . 06 I 474
Acanthodes, Carbon, Nordamerika . . . . . 05 II 133
Acanthodiscus pseudoradiatus, radiatus, u. Wallrathi, unt. Kreide, schweizer Jura . . . 07 I 484
Acanthopterygii d. brit. Museums . . . . . 05 II 135
Acanthosphaera parvipora, tenuispina u. Wisniowskyi, Scaglia, Euganeen . . . . . 06 I 475
Acanthothyris Doultingensis u. Midfordensis, Fuller's Earth, England . . . . . 08 II 87
— multistriata, Jura, Kutsch . . . . . 05 I 181
Acaremyinae, Tertiär, Patagonien . . . . . 07 II 323
Acaremys major, Tertiär, Patagonien . . . . . 07 II 323
Acaste acutilobata und convexa, Devon, Bolivia . . . . . BB XXV *497*
— perplana, Devon, Argentinien . . . . . BB XXV *570*
Accipenser albertensis, Belly river series, Red Dear river, Nordamerika . . . . . 07 I 439
Aceratherium egrerius u. Stigeri, Untermiocän, Nebraska . . . . . 08 II 434
— persiae, Samos und Maragha in Persien . CBl 1907 *30*
Aceratherium samium u. Schlosseri, Tertiär, Samos . . . . . 1906 II 451
— tetradactylum, Obermiocän, Oberkieferbezahnung . . . . . 09 II 121
— tetradactylum, Seegraben b. Leoben . . 05 II 305
Achat
— Färbungsvermögen BB XXV *225*
— Brasilien und Uruguay . . . . . BB XXV *221*
— Nordamerika, Schmuckstein . . . . . 06 I 358
— Schlottwitz . . . . BB XXV *206*
Achatbol, Quittein, Westmähren, Eisenerzlagerstätte . . . . . 05 II 243
Achiardit, siehe Dachiardit.
Achsen
— dreizählige irrationale 08 II 139
— topische, historisch . 08 II 146
Achsenwinkel, optischer
— bestimmt aus der Doppelbrechung zweier zu den Mittellinien senkrechter Platten . . . 07 I 188
— — Bestimmung im parallelen Licht 1907 II 2 CBl 1905 751
— — Messung in Dünnschliffen . . . . . 09 I 156
— — in einer sich abkühlenden Flüssigkeit 08 I 166
Achsenwinkelapparat in Verbindung mit Babinet'schem Goniometer . . . . . 09 I 156
Achsenwinkelbestimmung
— mikroskopische bei sehr kleinen Kristallen 07 II 164
— mittels d. Hyperbelkrümmung . . . . . 07 II 165
Achsenwinkelmessung an sehr kleinen Kristallen 07 I 187
Aci Castello, Geologie . 05 I 48
— Hebung des Landes 06 II 349
Acidaspis myops, Devon, Ostthüringen . . . . BB XXIV *307*
— sladensis u. Turnbulli, Untersilur, Haverfordwest District . . . . 06 II 138
Acididät, relative, der Eruptivgesteine . . . 08 II 184
Aci Reale, Küstenhebung 07 I 219

Ackerböden
— Absorption von Alkalien . . . . . 1908 I 362. 363
— Behandlung mit alkal. Lösungen . . . . . 08 II 188
— Feinerde . . . . . 06 I 207
— Kaligehalt . . . . . 06 I 48
— mineralog. Analyse . 06 I 208
— Zusammensetzung 1907 II 60. 61
Ackererden
— Gehalt an zersetzten Mineralien . . . . . 07 I 16
— Untersuchung . . . . 07 II 400
— Mineralien . . . . . 07 II 401
— siehe auch Boden, Böden u. Ackerböden.
Acmaea cerillosensis, Fort Benton-Schichten, Los Cerillos (Neu-Mexiko) 08 I 436
Acme diluviana . . . . 07 II 459
Acoelodidae, Acoelodus, Kreide, Patagonien 1905 I 167 05 II 466
Acoelohyrax, Kreide, Patagonien . . . . . 05 I 167
Acompsoceras, Kreide . 07 II 149
Aconcagua (Puente del Inca), Geologie . . BB XXIV *716*
— kein Vulkan . . . BB XXIV *734*
Aconeceras, Kreide . . . 07 II 149
Acrocidaris bistriata, ? Bathonien, Algerien . . 06 I 156
— granulosa, Jura, Macon 07 II 156
Acrodelphidae, Boldérien, Antwerpen . . 1907 I 132. 136. 137
Acrodelphis, Boldérien, Antwerpen . . . . . 07 I 132
— macrospondylus, Miocän, Antwerpen . . . 07 I 137
Acrodus alexandrae u. oreodontus, Trias, Nordamerika . . . . 08 II 446
— wempliae, Kalifornien 08 II 443
Acrognathus, Chalk, England . . . . . 05 II 137
— Dodgei, Kreide, Libanon 05 II 481
Acropeltis aequitubereulata, Corallien, Valfin, Entwickelung . . . . 05 II 148
Acrosalenia Chartroni, Infralias, Vendée . . 05 II 147
— Guebhardi, Bathonien, Seealpen . . . . . 07 II 155
— — Bathonien, Saint-Cézaire, Alpes maritimes . . . . . 09 II 481
Acrosalenia Lemoinei, unt. Jura, Madagaskar . . 1909 II 482
— Roberti, ? Bathonien, Algerien . . . . . 06 I 156
Acrosphaera mirabilis, Kreide, Euganeen . . 06 I 474
Acrostichites brevipennis, coniopteroides, fructifer . . . . . 07 II 500
Actaeon andinus, Neocom—Aptien, argent. Cordillere . . . . . BB XXIII *206*
— camerunensis, ? Eocän, Kamerun . . . . . 06 II 123
— difficilis, Palaeocän, Saratow . . . . . 05 II 121
— granum, Eocän, Paris 07 II 303
— multilineatus, Kreide, Schaumburg-Lippesche Mulde . . . . . 06 I 442
— remotisulcatus, Eocän, Loire inférieure . . . 07 II 302
Actaeonella inflata, Hypersenon, Peterwardeiner Gebirge . . . . . 06 II 268
— Salomonis u. voluta BB XXII *684*
Actaeonidea pourcyensis, Eocän, Paris . . . . 07 II 308
Actaeonina, Keuper, Gansingen . . . . . BB XXV *111*
— Atherstonei var. umkwelanensis, Kreide, Umkwelane Hill, Zululand . . . . . 06 I 308
— (Ovactaeonina) corbaricensis, unt. Santonien, Frankreich . 06 I 318
— gipsata, Grenzdolomit, Schwaben . . . . BB XXV *109*
Actinacis cymatoclysta, Kreide, Ostgalizien . 09 I 294
Actinocamax-Atractilites 06 I 466
— im Cenoman, Nordwestdeutschland . . 06 II 426
— granulatus, verkrüppelt, Chalk, Flamborough Head . . . 05 I 356
— plenus, Cenoman, Paderborner Pläner . . 06 I 316
Actinoceras Hardmani, Carbon, Lennard River, Westaustralien . . . 07 I 324
Actinopteria Eschwegii u. Ulrichi, Devon, Bolivia BB XXV *533*
Actinopterygii d. engl. Chalk . . . . . 05 II 136

Actophormis obesa, Scaglia, Euganeen . . . . 1906 I 475
Adamaua, Deutsch-, Geologie . . . . . 09 II 384
Adamellit, Belknap Mountains, New Hampshire 08 I 379
Adamello-Tonalit, Geologie . . . . . 06 II 237
Adamin
— Campiglia marittima (Monte Valerio) . . . 08 II 318
— Thasos-Insel, Krist. 09 II 358
Adapidae, amerik. Eocän 05 I 329
Adapis, Bartonien, Castrais . . . . . 05 II 304
— Beschreibung . . . . 06 II 443
— parisiensis, Eocän, Quercy, Gehirn . . . 06 II *100*
Adelphomys, Tertiär, Patagonien . . . . . 07 II 326
Adeona Fourtaui, Mitteleocän, Mokkatam . . 05 II 485
Adeorbis Bonneti, Eocän, Paris . . . . . 07 II 303
Adherentina rhenana, Rupelton, Mainzer Becken 09 II 324
Adiantidae, Kreide, Patagonien . 1905 I 167 05 II 466
Adiantites parvifolius . . 07 II 506
— Sewardi, Jura, Korea 07 II 343
— Lindsayoides, Trias—Jura, Victoria (Australien) . . . . . 08 I 150
Adiastemus, Santa Cruz beds, Patagonien . . 06 I 463
Adigrat-Sandstein, Ostafrika, Lias ? . . . BB XXVIII *152*
Adinotherium, Zahnsystem . . . . . 05 II 454
? Admetopsis elevata, Kreide, Los Cerillos (Neu-Mexiko) . . . . 08 I 436
Adocus lacer, Nordamerika . . . . . 09 I 452
Adpithecus, Kreide, Argentinien . . . . . 05 I 167
Adriosaurus Suessi . . . 09 I 447
Adulagebirge, Bau d. nordöstlichen . . . . . CBl 1907 *341*
Adular, Gletsch am Rhônegletscher, Krist. . . . CBl 1906 *753*
Aegirin
— Kristallform . . . . 09 II 176
— zusammengeschmolzen mit Labradorit u. Elaeolith . . . . . CBl 1906 *144*
Aegirin
— Asoday, Zentralafrika, im Liparit . . . . . 1909 II 235
— Spodumen, Enstatit, Diopsid und Hedenbergit, Morphotropie 09 II 171
— siehe auch Akmit.
Aegirinaugit, Canale Monterano (Rom) im Tuff 06 I 171
Aegirinfelsit, Cnoc-na-Droighinn, Inchnadamff, Nord-Schottland . . . . . BB XXII *449*
Aegiringesteine
— Evisa, Korsika . . . 08 I 69
— Oklahoma . . . . . 09 II 384
Aegiringranit, Madagaskar . . . . . 05 I 248
Aegirin-Riebeckit-Granit, Zinder, Afrika . . . 07 II 413
Aegirinsyenit, Loyne, Nord-Schottland . BB XXII *448*
Aegoceras adnethicum var. involuta u. simplex, Unterlias, Alosrakos . . . . . 09 II 139
— subtumidum, Jura, Black Hills . . . . . 08 I 264
— (Deroceras) Landui, Jura, Batu Berketak BB XXV *326*
Aegypten
— Blättermergel v. Theben, obere Kreide . . 06 II 122
— eocäne Säugetiere . . 06 I 446
— — Turritelliden . . . 06 II 453
— foss. Bryozoen . . . 05 II 484
— Geologie . . . . . 07 I 424 ff.
— — zwischen Kairo u. Suez . . . . . 09 I 100
— — Uadi Natrûn u. Fâregh . . . 1906 II 422 07 I 296
— Kreide, Abu-Roasch . 06 I 294
— Kreideversteinerungen 05 II 284
— nubischer Sandstein in Ober- . . . . . CBl 1905 *115*
— nummulitische Dentaliden, Fissurelliden, Capuliden u. Hepponiciden des Paläogen . 05 II 322
— Propristis Schweinfurthi, Säge, Obereocän . . . . . 07 I *1*
— Salpeter . . . . . 05 I 262
— Tertiär . . . . . 06 II 422
— tertiäre Säugetiere des Fayum . . . . . 07 II 307

Aegypten
— untermioc. Wirbeltiere, Uadi Fâregh u. Natrûn . . . . . 1907 I 296
— Wirbeltiere . . . . . 06 I 152
— Zeuglodonten des Eocän . . . . . 05 I 487
Aelurocyon brevifacies . 07 II 490
Aelurodon brachygnathus, compressus, Haydeni, hyaenoides, saevus, taxoides, ursinus und wheelerianus, Miocän, Süd-Dakota . . . . 05 II 128
Aelurosauridae, Systematik . . . . . 07 I 479
Aenderung der Aggregatzustände . . . . . CBl 1904 51
Aenigmatit, Verbreitung in basalt. Gesteinen CBl 1906 *206*
Aenigmatitähnl. Mineral (Rhönit) in Basalt BB XXIV *475*
Aenigmatitbasalt . . . . CBl 1906 *207*
Aeolische Aufschüttungsringe an Firnflecken, Island . . . . . CBl 1909 *180*
Aeolische Bildungen, Turkestan, Stratifikation CBl 1908 764
Aeolische Inseln, Staukuppen . . . . . Festband *325*
Aepyornis, Madagaskar . 06 II 444
Aequator, mediterraner, der Erde . . . . . 05 II 202
Aequipecten Kossmati, Kreide, Pondoland . 07 II 306
Aeschna grandis, quartär, Tatra . . . . . 08 II 113
Aethalion Knorrii, lith. Kalk, Nusplingen . . 09 I 455
Aetheria (semilunata und heteromorpha), Schloßbau und Stellung . . 06 I 154
Aethylester des Camphorylhydroxylamins, aktiv . . . . . 07 I *91*
Aetna
— Basis . . . . . 08 I 46
— 138 Eruptionen . . . 09 I 363
— Fortpflanzungsgeschwindigkeit der Erdbebenwellen . . . . 06 II 188
— Fumarolenmineralien 09 I 165
— Geschichte der Eruptionen . . . . . 1908 II 44. 45
— Hebung des Untergrunds b. Aci Castello 06 II 349
Aetnagesteine, Radioaktivität . . . . . 1907 I 11
Aetnaprodukte, Radioaktivität . . . . . 07 I 227
Aëtobatis Prosti, Phosphate, Algier u. Tunis 05 II 479
Aëtosaurierbecken . . . 08 II 436
Aëtosaurus crassicauda, Keuper, Heilbronn . 08 II 436
Aetzen von Calcitkugeln 05 I 10
Aetzfiguren
— anomale, Erklärung durch Strukturtheorie CBl 1907 *111*
— Entstehung u. Eigenart . . . . . 05 I 10
— Beryll, Tonkerhoek, Deutsch-S.W.-Afrika 09 I *98*
— Eisenglanz, auch verwandte Erscheinungen BB XXVIII *661*
— Phtalsäure . . . . . 08 I 315
— Quarz . . . . . 05 II 48
— Sapphir, Australien u. Ceylon . . . . . 06 I *41*
— Topas, Japan, natürliche . . . . . 07 I 207
— Zinkblende . . . . BB XXVI *178*
Aetzkali, Anwendung beim Präparieren von Versteinerungen . . . . CBl 1907 *305*
Affenknochen, Forest bed 08 II 426
Afghanistan, Trias . . . 06 I 411
Afrika
— Alkaligesteine des zentralen . . . . . 09 II 235
— Durchschnittszusammensetzung der Eruptivgesteine im südl. . 06 I 46
— Jura und Kreide von Ost- . . . . . BB XXVIII *150*
— Kreide im südlichen . 07 II 304
— nutzb. Mineralien des südlichen . . . . . 09 II 83
— Vulkanismus, tätiger 07 II 395
— Brit. Zentral-, Gesteine . . . . . 07 I 236
— Deutsch-Ost-, Mineralien . . . . . 07 II 385
— Deutsch-Südwest-. Kupfererze 1906 I 233 07 I 74
— — siehe Deutsch-Südwestafrika.
— Sandstein, Ostafrika BB XXVIII *153*
Agalmaster grandis, intermedius u. Miellensis, rhein. Grauwacke . . 09 II 322

Agalmatolith . . . . . CBl 1909 *332*
Aganides discoidalis, Carbon, Nordamerika . . 1905 I 528
— lentiformis ? u. sulcatus, ob. Oberdevon, Enkeberg . . . . BB XXVI *589*
Agaracites Conwentzi, westl. Verein. Staaten 09 I 149
AgateSpringFossilQuarry 07 II 485
Agathiceras ciscoense, Carbon, Nordamerika 05 I 528
Agenia saxigena, Miocän, Florissant, Col. . . . 08 II 111
Aggregatzustände Kontinuität u. flüssige Kristalle . . . . . 08 I 322
Agnano, Apollowasser, Analyse . . . . . 06 II 79
Agnostus pisiformis, richtige Abbildung . . . CBl 1908 *535*
Agricola, Georg, ein Gelehrtenleben . . . CBl 1905 558
Agrion telluris, Miocän, Florissant, Col. . . . 08 II 111
Aha-Mettmatal u. Seitentäler, Schwarzwald Glacialerscheinungen . BB XXI *433*
Aikinit siehe Nadelerz.
Aipichthys, Chalk, England . . . . . 05 II 137
— formosus, Kreide, Libanon . . . . . 05 II 481
Airolepis Molyneuxi, Matobola-Schichten des Sengwe - Kohlenfelds, Rhodesia . . . . . 05 II 269
Airy'sche Spiralen an einer einzigen Kristallplatte, die auf einer optischen Achse senkrecht steht BB XXI *648*
Aistopoden, Wirbel und Rippen . . . . . 08 II 273
Akarnanien. Jura BB XXI *241* CBl 1905 *263*
— Lias . . . . . CBl 1905 *263*
Akidocheilus ambiguus, Chomeracensis, irregularis, laevigatus, provincialis, regularis, Tauricus u. transicus, Oxford-Neocom . . . 08 I 304
Akkretionen . . . . . 06 I 227
Akmit, zusammengeschmolzen mit Leucit und Olivin . . . CBl 1906 *140. 144*
— siehe auch Aegirin.
Akratherme, Mitterndorf, siehe Therme.
Aktinolith, siehe Strahlstein.
Aktive opt. Kristalle . . 07 I *98*
— Interferenzerscheinungen im polarisierten Licht . . . . . BB XXI *540*
— Lichttheorie . . . . 1906 I 3
— Struktur monoklin-hemiëdrischer . . . . . 07 II 351
— siehe auch Aethylester.
Aktivität, photogr., von Gesteinen . . . . . CBl 1905 *58*
Akzessorien, Ableitung d. Formensystems v. Kristallen (Topas) . . . 06 I 341
Alabamornis gigantea, Beckengürtel, Eocän, Alabama . . . . . CBl 1906 *450*
Alamosemys substricta, Nordamerika . . . . 09 I 452
Åland-Porphyrgeschiebe, Diluvium, Westfalen CBl 1907 *149*
Alaria (?) Baylei, Kreide, Umkwelane Hill, Zululand . . . . . 06 I 308
— cf. Glaucus, Malm, argent. Cordillere . . BB XXIII *205*
Alaska
— Erzlagerstätten . . . 08 I 397
— Geologie des nördlichen . . . . . 06 I 91
— — d. südöstlichen . . 06 I 95
— Gold und Kohlen . . 08 II 377
— Goldseifen . . . 1909 I 233. 235
— Gold- u. Kupferlagerstätten im Alt-Wrangell-Distrikt . . . . . 05 II 399
— Hebungen in der Gegend der Yakutat-Bai 08 II 342
— Kohle u. Petroleum 09 I 395
— Mesozoicum . . . . 07 I 277
— nutzbare Mineralien 09 II 80
— Querschnitt d. Rocky Mountains im nördlichen . . . . . 06 I 91
— Säugetierfauna (Mammut etc.) . . . . . 06 I 97
— Seward-Peninsula . . 05 II 271
Alaskit, Kiautschou (Tsingtau) . . . . . 06 II 364
Ala-tau, dsungarischer, Gesteine . . . . . 05 II 68
Alaun, Kristallisation des Kali- . . . . . CBl 1905 751

Alaun
— Neu-Mexiko . . . . 1909 II 364
— Solfatara bei Neapel 07 II 198
— Vesuv, Kali- . . . . 09 I 349
— opt. Verhältnisse . . CBl 1907 *465*
Alaunschiefer
— Destillationsprodukte der bituminösen . . 06 I 326
— Westböhmen . . . . 06 I 51
Alb, schwäbische
— Basalte und Tuffe . 06 II 205
— Donauabbruch, Einwendungen . . . . . CBl 1909 *54*
— Vulkane, Alter etc. . CBl 1908 *615*
— siehe schwäb. Alb und Tafeljura.
Albaner Gebirge
— Bau . . . . . 08 I 46
— Vulkane . . . . . 06 I 375
Albanien
— Geologie u. Tektonik des nördlichen . . . CBl 1906 *65*
— Jura . . . . . BB XXI *237*
— und Montenegro, Obertrias . . . . . 06 I 108
Albertogaudrya, unteres Tert., Cañadón Blanco, Patagonien . . . 05 I 497
— Zahnsystem, Beziehg. zu Coryphodon und Pantolambda . . . . 05 II 461
— und Albertogaudryidae, Kreide, Patagonien . . 1905 I 168 05 II 466
Albertogaudryidae, Patagonien . 1905 I 168 05 II 466
Albertosaurus sarcophagus . . . . . 07 II 492
Albien
— Norddeutschland, Gliederung . . . . . CBl 1908 *211*
— Ostafrika . . . . BB XXVIII *202*
Albinisierung von Apophyllit, Zeophyllit u. Okenit . . . . . CBl 1906 *80*
Albit
— Darstellung, Isomorphismus, Schmelzpunkt, therm. Eigenschaften . . . . . 06 I 336
— Karlsbader Zwilling CBl 1905 751
— zusammengeschmolzen mit Anorthit, Schmelzkurven . . . . . 07 II 22
— — mit Magnetit und Augit . . . . . BB XXII *194*
Albit
— zusammengeschmolzen mit Olivin . . . . BB XXV *264*
— und Olivin, zusammengeschmolzen mit Eläolith . . . . . BB XXV *267*
— — Magnitit . . . BB XXV *265*
— Afrika, Deutsch-Ost- 1907 II 385
— Altai, Sokolny-Grube 09 II 369
— Bendigo, Austr., in Goldgängen . . . . . 07 II 22
— Biella, Piemont, Drusen im Syenit . . . 06 II 38
— Binnental, Kristall . 06 I 168
— Carrara, im Marmor 06 II 177
— Genis (Corrèze), im Mikrogranit . . . . 09 II 229
— Kreta, im Trias-Dolomit . . 1905 I 245 05 II 21
— Landvaerk, Evje, Saetersdalen, Norwegen, pseudom. n. Laumontit . . . . . 06 I 351
— Montorfano (Baveno) 07 I 40
— Morro Velho, Brasilien, chem. Konstitution . 05 I 25
— Nadabula, Kristallographie . . . . . 06 II 333
— Olgiasca, Comer See, im Pegmatit . . . . 06 I 376
— Ortola (Massa) im Nummulitenkalk . . 07 II 21
— Piona (Comer See), Oligoklasalbit im Pegmatit . . . . . 05 I 203
— Sardinien (Nurra), optisch. . . . . 08 II 178
— Susa-Tal, im Prosinit d. Rocca Bianca . . 06 II *105 ff.*
— Ural, Mokruschaberg 09 II 40
— Zöptau, Mähren . . 05 I 186
Albitzwillinge zur Bestimmung d. Feldspathe in Dünnschliffen . . 05 I 26
Albtal und Seitentäler, Schwarzwald, Glazialerscheinungen . . . . BB XXI *423*
Albvulkane, Alter etc. CBl 1908 *615*
Alchar, Auripigment, Lorandit und Realgar 05 I 369 ff.
Alectryonia Greppini, Zone d. Lioc. concavum, Couzon-au-Mont-d'Or bei Lyon . . . . . 05 I 464
Aletodus ferrugineus . . 05 II 134
Alexandrit, sog., künstlich CBl 1908 179

Alexandrit, sog., synthetisch, Brechungskoeffizienten . . . . CBl 1909 *674*
Alfeld a. Leine, Geologie nach Bohrungen . . 1906 II 416
Algaricites Conwentzi, westl. Verein. Staaten 09 I 149
Algen
— fossile . . . . . 1905 II 329. 330
— Silur, Gotland und Oesel . . 1909 I 153 09 II 326
Algenroth, Geologie . . 07 II 88
Algerien
— alte Stromlinien . . 07 II 50
— Fische d. tert. Phosphate . . . . . 05 II 479
— Granit u. krist. Schiefer . . . . . 05 I 246
— Schwankungen des Meeresspiegels an den Küsten . . . . . 07 II 396
Algermissen, mittl. Gault 05 I 317
Algonkian, Bedeutung . 05 II 229
Alit im Portlandzement 08 I 249
Alkaliflecken im Geschiebelehm, Nordamerika . 07 I 243
Alkaligehalt der Gesteine 05 I 415
Alkaligesteine
— Aouache, Ostafrika . 07 II 415
— Madagaskar, Provinz Ampasindaya . . . . 05 I 434
— Spanien . . . . . 07 II 407
Alkalihalogenide, Isomorphismus . . . . . 06 I 8
Alkalihaloide, isomorphe Fortwachsungen . . CBl 1907 92
Alkalilaugen, Reaktion auf Quarz . . . . . 06 II 12
Alkalinitrate, Isomorphismus u. Polymorphismus . . . . . 06 II 164
Alkalische u. saure Reaktion d. Mineralien, bes. Silikate . . . . . 08 I 5
Alkalisulfate u. -selenate, Dichte, Kristallisation, topische Achsen und Parameter . . . . . 07 I 5
Alkalitartrate, Isomorphismus . . . . . 08 I 318
Allanit
— Jersey . . . . . 07 I 353
— Llano County, Texas 07 I 42
— siehe auch Orthit.
Allendorf a. Lumda, Eruptivgesteine . . . . . 05 II 50
Allgäu, Kontakt zwischen Flysch u. Molasse . . 1908 I 409
Allgäu–Vorarlberg, Flyschzone . . . . . 09 I 97
Allomeryx planiceps, John Day series . . . . . 07 I 304
Allonema, paläozoisch . 05 II 486
— botelloides, ? minimum, moniliforme-aggregatum u. waldronense 05 II 486
Allophan . . . . CBl 1909 *328. 332. 333*
— Beziehung zu Gemenge von Tonerde- u. Kieselsäuregel etc. . CBl 1908 *622. 662*
— Böhmen, Alaun- und Pyritschiefer d. westlichen . . . . . 06 I 53
— Quittein, Westmähren, Eisenerzlagerstätten . 05 II 243
— siehe Kupferallophan.
Allotheria, Kreide, Patagonien . . . . . 05 I 169
Alluvialgold, Entstehung 05 I 257
Alluvium, Genf, altes . . 07 II 129
Almandin, Ceylon u. Indien, Analyse . . . . CBl 1906 776
Almet-Aufferand-Kette, Savoyer Alpen, Geologie . . . . . 05 II 251
Aloisit, Uganda (Fort Portal) . . . . . 09 II 192
Alopecodon priscus und rugosus, unt. Karoo beds, Südafrika . . . 09 II 126
Alpen
— Alter des Granits . . 08 II 394
— Analogie m. Apennin 1909 II 258. 260
— — mit Karpathen . 09 I 418
— Cordieritlagerstätten . 08 II 67
— im Eiszeitalter . . . 05 II 39
— Entstehung 1907 II 102. 103 09 II 45
— Faltenbildung in krist. Schiefern . . . . . 08 II 214
— Flüssigkeitseinschl. d. Quarze auf Mineralklüften . . . . . CBl 1906 *72*
— Gebirgsbau . . . 1907 II 427. 429
— Geologie 1905 I 276 ff. 1905 II 250 ff. 09 II 95
— Grenzlinien z. d. Dinariden . . . . 1907 II 435. 437
— Mensch und Eiszeitbildungen . . . . . 06 II 270
— Molybdänit . . . . . CBl 1905 *12*
— Nummulitenschichten 09 I 108

Alpen
— Strudellöcher, versch. Orte . . . . . 1905 I 409
— Ueberfaltungstheorie, Tiefseeabsätze u. ophiolithische Massengesteine 06 II 86
— Ueberschiebungen . . 07 I 270
— Ursache der Eiszeit CBl 1906 380
— vergl. mit Apennin 1909 II 258. 260
— vergl. mit Karpathen 09 I 418
— Allgäu — Vorarlberg, Flyschzone 1908 I 409 09 I 97
— apuanische, Eruptivgesteine . . . . . 08 II 214
— bayrische, Tektonik . 06 I 252
— französische . . . . 09 II 87 ff.
— — Entstehung der Fächerstruktur . . . 07 II 260
— — Geologie . . . . 05 I 446
— — Jura . . . . . 06 I 424
— — mittl. Jura zw. Grenoble u. Gap . . 05 II 427
— — Kreide . . . . . 05 I 277
— — Nummulitenschichten der Süd- . . . . 08 I 433
— — Tektonik 1907 II 261 1908 II 395 09 I 87
— — vergl. m. Schweizer 06 II 254
— — Briançonnais, Bau 1906 II 256 09 I 95
— — Chablais u. Schweizer, Tektonik 1906 I 243 06 II 83
— — — Geol. d. südl. Belledonne-Kette . . 07 II 263
— — — und Savoyen . 07 II 104
— — Dauphiné, Gletscher . . . . . 07 II 52
— — delphino-provençalische, Bau . 1906 II 253. 256
— — Embrunais und Ubaye, Bau . . . . 07 I 269
— — Seealpen, Pliocän a. d. Küste . . . . 07 II 451
— französisch-italienische, Profile . . . . . 07 II 258
— — Tektonik . . . . 09 I 95
— italienische . . . . . 09 II 88
— — Brescianer, Höhlen 05 II 123
— — Friaul, Geologie . 06 II 246
— — Ligurien und Piemont, Glanzschiefer 1907 II 440. 441
— — Piemont, Bau 1906 II 256. 258
— — Venetien und Südtirol, Revision d. tert. Echiniden . . . . . 05 II 149

Alpen
— julische, Geologie . . 1906 II 247
— — und Karst, Geol. 09 I 416
— Kärnten, Bleiberger Tal . . . . . 09 I 416
— — Bryozoen d. Fusulinenkalks . . . . . 06 II *135*
— — Eruptivgesteine . 08 II 212
— — Karawanken, Geol. 06 II 241
— Karst, siehe dort.
— Krain, Fusulina-Kalke 05 II 91
— — zw. Bacatal und Wocheiner Save, Geol. 05 I 448
— nordöstliche, Hippuritenhorizonte der Gosauschichten . . . CBl 1907 *417*
— Oesterreich 1906 II 233 09 I 411 ff.
— — Hollenstein, Geol. 09 I 416
— Ostalpen, Erzlagerstätten . . . . . 07 I 254
— — kristallinische Gesteine der Zentralkette 05 I 59
— — nomadisierende Schubmassen . . . . 08 II 395
— — Tektonik 1906 II 233. 252 1907 I 268 1907 II 438 09 II 254
— — u. Westalpen, Vergleichung . . . . . 07 I 267
— Salzburg, Blünbachtal 09 I 414
— — Gaisberggruppe . 09 I 414
— — Gollinger schwarzer Berg . . . . . 09 I 417
— — hohe Tauern, Geologie 1907 I 267 1907 II 433. 437
— — Untersberg u. Salzburger Ebene . . . . 09 I 415
— Salzkammergut, Bau 06 II 259
— — Gosau-Kreide . . 09 I 427
— Savoyen, Geologie . 05 I 282
— — Pflanzen der Molasse . . . . . 09 I 467
— — Almet-Aufferand-Kette, Geologie . . . 05 II 251
— — Bauges . . . . . 08 II 390
— — Chambery . . . . 08 II 390
— — Giffre . . . . . 08 II 389
— Schweiz . . . . . 09 I 400 ff.
— — Bau . . . . . 08 II 231
— — Bild und Bau . . 08 II 224
— — Brandung am Nagelfluhgebirge 1908 II 397 09 I 400
— — errat. Blöcke im Flysch u. Nagelfluhe 09 I 86
— — große Dislokationen (Ueberschiebungen) . 05 II 86

Alpen
— Schweiz, Längszerreißung u. Abquetschung am nördl. Rand . . 1908 II 396
— — Profile . . . . . 07 II 431
— — Wurzeln d. Decken 08 II 396
— — Aarmassiv, Sustenhörner, Gestein . . . 06 II 62
— — siehe Aar.
— — Adulagebirge, nordöstliches . . . . . CBl 1907 *341*
— — Albula-Tunnel, Geologie . . . . . 05 II 89
— — Antirhätikon . . 08 I 251
— — Balmhornmassiv . 09 I 406
— — Berglitenstein und Grabser Klippe . . . 09 I 86
— — Berner, Geol. . . 07 II 439
— — — Gasterenlakkolith . . . . . 07 II 439
— — — Alpen, Interlaken . . . . . 09 I 88
— — — Kandersteg, Bergsturz . . . . 07 II 439
— — — oberes Lauenental 05 I 276
— — — Oberland, Kiental, Eocän . . . . . 09 I 431
— — — Lenk u. Adelboden 1908 II 384. 386 09 II 91
— — — Voralpen, Hornfluh, Geologie . . . . 07 I 99
— — Hornfluhbreccie, Berner Voralpen, exot. Blöcke . . . . . 08 II 381
— — Berner, Freiburger u. Waadtländer, Rhätdecke . . . . . 09 II 92
— — Berner u. Freiburger Voralpen . . 09 II 92
— — Breggiaschlucht, Profil am Südrand . 09 I 93
— — zw. Camonica- und Chiesetal, Ueberschiebungen . . . . . CBl 1909 *135*
— — Chamossaire . . . 08 II 388
— — Churfirsten—Mattstockgebiet, Valangien —Hauterivien-Grenze 08 I 425
— — Engadin, oberes . 08 II 225
— — — unteres 1907 II 436 08 II 228
— — — — Fenster . . 07 II 262
— — Freiburger, Tektonik . . 1905 I 277 06 I 255
— — Frohnalpstock (Schwyz), Alter . . . 09 I 401

Alpen
— Schweiz, Genf—Lausanne—Chablais . . . 1906 II 83
— — Giswyl am Brünig, Klippen . . . . . CBl 1907 *481*
— — Glarner Doppelfalte, Tektonik . . . 09 II 256
— — — u. Urner, Tektonik . . . . . 06 II 395
— — Graubünden, Bündener Schiefer . . . 08 I 253
— — — Iberger Klippen, Deckenbau . . . . . CBl 1906 *461*
— siehe Engadin.
— — zw. Hinterrhein u. Saffiental . . . . . CBl 1908 *723*
— — Lauenental . . . 08 II 380
— — Niesenflysch . . 1909 II 91. 92
— — Niesenkette, Alter 09 I 401
— — Nordrand, exot. Gebiete . . . . . 1906 I 82. 84
— — — Längszerreißung u. Abquetschung der Kreideketten . . . . 09 I 400
— — Plessurgebirge . . 08 II 230
— — Presanellagruppe, Geologie des nördl. Abhangs . . . . . 08 II 361
— — Ralligenstöcke und Gerihorn . . . . . 08 II 382
— — Rhätikon, östl. . 09 I 88
— — Rublymassiv, Gyroporellen i. d. Trias 08 II 400
— — Säntis, Diploporen des Schrattenkalks . 09 I 154
— — zw. Sanetsch und Kander . . . . . 09 I 405
— — Seelisberg . . . . 09 I 85
— — Stockhorn—Chablais-Zone, Geologie . 06 I 81
— — Tessin . . . . . 06 II 208
— — — Gneise (Granite) u. krist. Schiefer . 1908 II 197. 200
— — — krist. Schiefer 05 I 242
— — — Minerallagerstätten am Pizzo Forno BB XXVI *488*
— — — Pliocän u. Diluvium b. Chiasso . . . 08 I 267
— — Voralpen . . . 1909 II 91. 92
— — Torrenthornmassiv 09 I 406
— — Wallis . . . . . 08 II 232
— — — La Pierre à Voir b. Martigny . . 08 II 393
— — — Lisernetal, Fenster von Ardon . . . 09 II 258

Alpen
— Schweiz u. Chablais, Tektonik . . . . . 1906 I 243
— Seevoralpen, Jura . . 06 I 108
— Simplon, Geologie 1906 II 260 1907 II 100 1909 I 59. 87
— — Wassereinbruch im S.-Tunnel . . . . . 07 II 440
— Steiermark, Gurk- u. Görtschitztal . . . . 09 I 413
— Tessiner Massiv . . . 07 II 259
— Tirol . . . . . 1906 II *1.* 206. 246
— — zw. Achensee und Fernpaß . . . . . 09 I 413
— — Brenner, Geologie 07 II 435
— — — Tektonik . . . 07 II 263
— — Brixen, Granitgebiet . . . . . 09 I 385
— — Zentral- u. Brenner, Tektonik . . . . 09 II 420
— — Gaisberg bei Kirchberg, Triasinsel . . . 09 I 97
— — Inntal b. Nauders 08 I 255
— — Karwendelgebirge 09 I 412
— — Kitzbühl, Silur u. Devon . . . . . 09 I 415
— — Ortler, Tektonik 1907 II 262. 436
— — Seefelder-, Mieminger- und Wettersteingebirge . . . 09 I 411
— — südliches u. Venetien, Revision d. tert. Echiniden . . . . . 05 II 149
— — Tribulaun, Geol. . 07 II 435
— — Zillertaler, Geol. . 07 II 432
— — Trient, Pflanzen im carb. Glimmerschiefer 05 II 90
— Vorarlberg, Flyschzone u. Beziehung zu den ostalpinen Deckenschüben . . . . . 08 I *63*
— Vorarlberg—Allgäu, Flyschzone . . . . . 09 I 97
— Westalpen, Amphibolit, Entstehung . . . 07 I 228
— — Bau . . . . . 07 II 406
— — Decken und Deckfalten . . . . . 07 II 428
— — Diploporenkalke . 07 II 442
— — Geologie . . . . 07 II 441
— — Grünschiefer, Serpentin etc., Entstehg. 07 I 228
— — Jura . . . . 1907 II 286. 441
— — Klippen . . . 1907 II 427. 429
— — ophiolith. Massengesteine . . . . . 07 II 442
Alpen
— Westalpen, Ueberschiebungsdecken . . 1906 II 254
— — Valli del Gesso, Gesteine . . . . . 05 II 66
— — Zone d. Phylloceras Loryi . . . . . 07 II 286
— — u. Ostalpen, Vergleichung . . . . . 07 I 267
— Wettersteingebirge . 09 I 411
— Wien, Entstehung der Kalkalpen . . . . . 09 I 416
Alpenbogen, Tektonik . 08 II *55*
Alpengeologie, moderne Anschauungen . . . 08 II 231
Alpenseen, Glarus, Entstehung . . . . . 05 I 407
Alpentäler, Uebertiefung 05 I 228
Alpentypus (Stauungsbogen) . . . . . 05 I 119
Alpine Decken, Mechanismus der großen . . 06 I 253
— Trias im Mediterrangebiet . . . . . 1906 I 416. 423
Altai, Erzlagerstätten, Schlangenberg . . . 07 I 255
Alter d. Erde, Beziehung zum Salzgehalt des Meeres . . . . . 05 I 402
Alter-Pedroso, Portugal, Riebeckit . . . . . 05 I 378
Aluminat von Calcium, künstlich . . . . . 05 I 13
Aluminatsilikate zur Verbesserung d. Gebrauchswassers . . . . . 09 II 371
Aluminium-Baryum-Phosphate, Diamantsand, Brasilien . . . . . 08 I 32
Aluminiumerze, Biharer Gebirge, Ungarn . . 07 I 260
Aluminiumphosphat aus vulkanischen Gesteinen umgewandelt . . 08 I 227
Aluminiumsilikat $K_2 Al_2 Si O_6$ . . . . . CBl 1908 *326*
Alumosilikate, Kalium-, chemische 1905 I 377 CBl 1908 *326. 395*
— $K_2 Al_2 Si_2 O_8$ . . . . CBl 1908 *395*
— Lithium-, künstlich . CBl 1905 *646*
Alunit, Schlaggenwald . 05 I 198
Alunogen
— Miseno (Schwefelgrotte) . . . . . 08 II 333
— siehe Keramohalit.

Alveolina Canavarii, Ciofaloi, Cremae, Di-Stefanoi u. Schwageri, Eocän, Sizilien . . . . 1906 I 471
— gigantea, Vallone Tre Pietre . . . . . 09 I 295
— Violae, Tertiär, Friaul 06 I 471
Alveolina-Arten, Eocän, Prov. Catania . . . 05 II 488
Alveolinella, Fusulinenkalk, Indo-China . . 08 I 417
Alveopora, cretacea, Senon, Portugal . . . 07 I 487
Alvincz, Ungarn, obere Kreide . . . . . 05 I 302
Alvit, Kristiania, im Aplit CBl 1909 *405*
Amalgam, Nagolnij Krjasch, Donetz-Becken . . . 07 II 192
Amaltheus cordiformis, Jura, Black Hills . . 08 I 264
Amani, Ost-Usambara, geolog.-agronom. Untersuchung . . . . . 06 II 421
Amauropsis fruscagorensis, Hypersenon, Peterwardeiner Gebirge (Fruska Gora) . . . 06 II 267
— cf. subcanaliculata, Senon, Mittel-Peru . . BB XXIV *120*
— transsylvanica, obere Kreide, Alvincz . . . 05 I 302
Amberg, Entstehung der Erzlagerstätten . . . 05 I 258
Amberleya Cureti, Kreide, Orgon (Bouches-du-Rhône) . . . . . 06 I 318
— Hudlestoni, Upper coral bed, Midford, Somerset . . . . . 08 II 87
— subelongata, Zone d. Lioc. concavum, Couzon-au-Mont-d'Or b. Lyon . . . . . 05 I 464
Amblygonit, Pala, San Diego Co., Cal. . . . 05 I 204
Amblypeza entellus, Nordamerika . . . . . 09 I 452
Amblypoda, Kreide, Patagonien . . . . . 05 I 186
Amblypristis cheops, Säge, Obereocän, Aegypten 07 I *1*
Amblypterus kaschmirensis u. symmetricus, Permocarbon, Kaschmir . . . . . 08 I 416
Amblysodon . . . . . 09 II 443
Ambocoelia umbonata, Devon, Bolivia . . . BB XXV *551*
Ambon, Geologie . . . . 1905 I 106
Ambulakren von Seeigeln, photogr. Reproduktion CBl 1907 *422*
Ambypoden, Patagonien 05 II 467
Amelanchier Whitei, Kreide, New York . . . 08 I 456
Amerika
— Triascephalopoden . . 06 II 298
— siehe auch Mittelamerika.
Amethyst
— Entfärbung u. Neufärbung . . . . . 08 II 170
— Farbe u. deren Aenderung . . . . . BB XXVI *269*
— Afrika, Deutsch-Ost- 07 II 385
— Brasilien u. Uruguay, krist. u. opt. . . . . 05 II *72*
— Korea, Parallelverwachsung m. Rauchquarz 08 II 333
— Nordamerika, Edelstein 06 I 358
Amianth der Alten ist Chrysotil . . . . . 07 II 22
Amiantos = Chrysotil . . CBl 1905 *492*
Amiata, Mte., Kieselgur und Farberden . . . 06 I 235
Amilnedwardsia, Kreide, Patagonien . . . . . 05 I 168
Ammodiscus incertus var. macilenta, kainozoisch, BROWN's Creek, Otway coast, Victoria 06 I 471
— indiformis, lithauisch-kurischer Jura . . . 06 I 472
Ammonella quadrata, Solenhofener Plattenkalke . . . . . 05 I 459
Ammoniak
— Bildung in Vulkanen 07 II 391
— der Laven, Ursprung 1909 I 7. 52
— in Vesuvprodukten 1906, Ursprung 1908 I 12. 326 CBl 1907 *161. 662*
— im Oelschiefer, Lothian (Schottl.) . . . 05 I 443
Ammoniakgehalt d. Kalisalzlagerstätten . . . 09 II 186
Ammoniten
— Rassenpersistenz CBl 1909 *193. 225. 417*
— Stammesgeschichte im Lichte d. Abstammungslehre STEINMANN's . . . . . CBl 1908 *577*

Ammoniten
— Variabilität . . . . . 1907 II 493
— Bara-Bai (Buru) Molukken, im Asphaltschiefer . . . . . BB XXII *686*
— Mexiko . . . . . 07 II 469
— Patagonien, unt. Kreide BB XXV *601*
Ammonitenformen, evolute, des russ. Neocoms . 06 I 465
Ammonitensuturen, photogr. Reproduktion . CBl 1907 *422*
Ammonites biplex . . . 05 I 348
— (Stephanoceras) Blagdeni, Stufe, Elsaß . . CBl 1909 *733*
— brunsvicensis u. kammerkarensis, Lias, Braunschweig . . . . 05 I 177
— cordiformis und subtumidum, Jura, Black Hills . . . . . 08 I 264
— Kerenskianus, Gault, Zentral-Rußland . . 05 I 350
— Kotoi, Kreide, Hokkaido . . . . . 05 I 531
— nepalensis, tenuistriata u. Wallichii, Himalaya 05 II 320
— Pickeringi, Neocom, S. Lorenzo, Peru . . BB XXIV *90*
— Pioti, Cenoman, Aegypten . . . . . 05 II 285
— plicatilis . . . . . 05 I 348
— robustus, Jura, Himalaya . . . . . 05 II 319
— subradiatus, Formenreihe . . . . . CBl 1909 *645*
Ammonitiden, Carbon u. Perm, Nordamerika . 05 I 525
Ammonium, siehe auch Ammoniak.
Ammonium, Stellung in der Alkalireihe . . . 05 I 185
Ammonium-Magnesium- (resp. -Zink-)Sulfate u. -Selenate, krist., phys. etc. . . . . 07 I 13
Ammoniumnitrat
— Konstitution der Kristalle . . . . . 07 I 3
— Polymorphismus . . 05 I 12
— siehe Salpeter.
Ammoniumsulfat, Eigenschaften . . . . . 05 I 184
Ammoniumsyngenit, künstlich . . . . . 08 I 37
Ammophila antiquella, Tertiär, Florissant, Col. 07 I 321
Ammotherium, Santa Cruz beds, Patagonien . . 1906 I 464
Amnigenia boliviensis, Devon, Bolivia . . . . BB XXV *532*
Amonotis Rothpletzi, Trias, Niederl. Indien BB XXIV *193*
Amorphe Mineralien . . CBl 1909 *324*
Ampasindava (Madagaskar), alkal. Gesteine 05 I 434
Ampelopsis denticulatus, Braunkohle, Senftenberg . . . . . 08 I 449
Amphibamus grandiceps, Carbon, Nordamerika, Rekonstruktion . . . 09 II 134
Amphibien
— Abstammung der geschwänzten . . . . . 09 II 136
— Haftorgane u. Kammplatten . . . . . 09 II 137
— Seitenlinien . . . . . 09 II 135
— Nordamerika . . . . 09 II 132
Amphibol
— künstlich . . . . . 08 I 20
— Zusammensetzung . . 08 II 22
— Biella, Piemont, Drusen im Syenit . . . 06 II 36
— Carrara, im Marmor 06 II 177
— Cevadaes (Portugal), Osannit . . . . . 08 I 24
— Chiesonetal (Piemont), Pomaretto (Bergzucker) 09 II 205
— Montorfano (Baveno) 07 I 40
— Susatal, im Prosinit d. Rocca Bianca . . 06 II 105 ff.
— Timaschewaja-Balka, Bez. Krivoj-Rog, cummingtonitähnlich . . 07 II 360
— Vesuv 1906 . . 1908 I 44. 208
— siehe Hornblende Kaersutit, Pargasit etc.
Amphibole, top. Zahl, in Eruptivgesteinen . . CBl 1907 *13*
Amphibolgabbro . . . . CBl 1905 *408*
— Zentr.-Kaukasus . . 07 I 71
Amphibolgabbroschiefer . CBl 1905 *407*
Amphibolgesteine
— der krist. Schiefer, Klassifikation und Nomenklatur . . . . CBl 1905 *407*
— Sterzing, Tirol . . . BB XX *536*
Amphibolit . . . . . CBl 1905 *410*
— Belvidere Mountain, Vermont . . . . . 07 II 218
— Bozen, Porphyrgebiet BB XXVII *80*
— Ecuador, Ostkordillere 06 I 394

Amphibolit
— Ederbach, Oetztal, Epidot- . . . . . CBl 1908 763
— Elba, Einschluß im Granit v. S. Piero in Campo . . . . . 1906 I 375
— Enderby-Land, gedredscht . . . . . 06 II 371
— Grönland, westl. Nord- 07 I 247
— Karolinen . . . . . 05 II 72
— Luisenburg bei Wunsiedel, im Granitkontakt 07 II 64
— Ober-Mölltal, Kärnten 08 II 358
— Oetztal . . . . . 05 II 58
— Presanellagruppe, nördl. Abhang . . . 08 II 364
— Prinzenberg b. Eberstadt . . . . . 06 II 58
— Raspenau, Böhmen, im körn. Kalk d. Kalkbergs . . . . . 06 I 56
— St. Gotthard (Südseite) . . . . . BB XXVII *176*
— Schwarzwald . . . . 07 II 67
— — Resorption an Blöcken im Granit des südlichen . . . . CBl 1907 *76*
— Sustenhörner, Aarmassiv, intrusiv . . . 06 II 62
— Syra, Granat- . . . 09 II 226
— zw. Visp und Brig, in Bündner Schiefern . 05 II 222
— Westalpen, Entstehg. 07 I 228
— Zöptau, Mineralien . 08 I 203
— siehe auch Amphibolschiefer.
Amphibolklinozoisitschiefer, zw. Visp u. Brig, in den Bündner Schiefern . . . . . 05 II 222
Amphibolmikrogabbro, Zentr.-Kaukasus . . 07 I 71
Amphibolparagabbro . . CBl 1905 *408*
Amphibolperidotit, Schriesheim, Lagerungsweise 05 I 240
Amphibolschiefer
— Manhattan Island, New York, Entstehg. 06 I 227
— Sächs. Mittelgebirge 09 II 214
— siehe auch Peridotit.
Amphiclinodonta Bittneri, Pachycardientuffe der Seiser Alp . . . . . 05 I 180
Amphicyon praecursor, Oligocän, Veringen, süddeutsche Bohnerze 1908 I 123. 128
Amphicyon superbus . . 1907 II 489
Amphidolops, Kreide, Patagonien . . . . . 05 I 169
Amphiope, Gattung . . 09 II 481
— Baquiei, Helvétien, St. Chrystol (Hérault) 09 II 481
Amphiope neuparthi, Tertiär, Afrika . . . . . 07 II 154
Amphiperas Lhommei, Eocän, Paris . . . . 07 II 303
Amphipora ramosa, Stringocephalenkalk, Macocha, Mähren . . . 06 I 302
Amphiproviverra, Fußskelett . . . . . 07 II 491
— Santacruzeno, Patagonien . . . . . 07 I 307
Amphisphaera biporata u. Vinassai, Miocän, Italien . . . . . 09 II 490
Amphisphyra Moloti, Eocän, Paris . . . . . 07 II 303
Amphistegina d'Orbigny 1826 . . . . . 06 II 310
Amphistylus elegans und Pantanellii, Miocän, Italien . . . . . 09 II 490
Amphoreopsis paucicamerata, Kohlenkalk, Insel Man . . . . . 07 I 482
Amplexus pulcher, Devon, Ostthüringen . . . BB XXIV *275*
Ampullina altilirata, Senon, Cardenas, Mexiko 08 I 102
— Cureti, Cenoman, Südfrankreich . . . . 1907 II 131. 132
— Pistati, Eocän, Paris 07 II 303
Ampullopsis Faujasi, Cenoman, Südfrankreich 07 II 131
Amyda aequa, crassa, egregia, exquisita, franciscae, mira u. salebrosa, Nordamerika . . 09 I 452
Anacanthini d. britischen Museums . . . . . 05 II 136
Anacardioxylon magniporosum, westl. Vereinigten Staaten . . . . . 09 I 149
Anagymnites Torrensi, Muschelkalk, Himalaya . . . . . 08 II 245
Anaktoovuk series, Anaktoovuk-Plateau, Alaska . . . . . 06 I 92
Analcim, Bildung und Stabilitätsfeld . . . 07 II 162

Analcim
— Kristallflächen . . . 1906 I 1
— Belfast . . . . . CBl 1908 176
— Böhmen (Schönfeld u. Kubatschkaberg), primär im Phonolith . . 08 I 376
— Färöer . . . . . 09 I 28
— Fassatal, Glühverlust 0 I *21*
— Grönland, Ost-, im Basalt . . . . . 06 II 184
— Katzenbuckel, pseudomorph nach Nephelin 08 II 353
— Krebshöhe bei Schönpriesen, böhm. Mittelgebirge . . . . . CBl 1909 *159*
— Lehre, im Liaston . . 05 I 38
— Maze, Japan . . . . 09 I 192
— Palagonia, Begleiter . 08 II 35
— Sachalin . . . . . 08 II 334
— Seiser Alp, chem. Konstitution n. Tschermak 09 II 194
— u. Substitutionsderivate (Silberanalcim etc.) . 06 II 336
Analcimbasalt
— Beagle-Expedition . . 09 II 394
— Highwood Mountains, Montana . . . . . 06 II 374
— Neu-Süd-Wales, Sydney . . . . . 1907 I 397. 400
Analcimphonolith, Böhmen . . . . . 08 I 376
Analcimorphus, Santa Cruz beds, Patagonien 06 I 462
Analcitherium, Santa Cruz beds, Patagonien . . 06 I 464
Analysator, Halbschatten- 07 I 188
Analyse
— chemische oder opt. Bestimmung v. Mineralien . . . . . 05 II 169
— mikrochemische . . . 08 II 5
— qualitative, Anleitung CBl 1906 616
— d. Silikate u. Carbonate . . . . . CBl 1908 48
Analysen
— v. Eruptivgesteinen d. U. S. Geol. Survey 1884—1900 . . . . . CBl 1905 210
— — — Diagramme v. Iddings . . . . . CBl 1905 249
— Gesteine der Vereinigten Staaten 1880—1903 . 05 I 410
Anamesit
— Gießen und Allendorf a. Lumda . . . . . 05 II 50
— Steinheim . . . . . 07 I 229
Anamorphismus (van Hise) . . . . . CBl 1906 606. 608
Ananorites monticola, Muschelkalk, Himalaya 08 II 245
Anapait, Kertsch u. Taman . . . . . 05 II 199
Anaphryxis = Kontaktmetamorphose . . . 06 II 200
Anaptomorphidae, amerik. Eocän . . . . . 05 I 333
Anaptomorphinae, amerik. Eocän . . . . . 05 I 335
Anaptomorphus aemulus u. homunculus, amerik. Eocän . . . . . 05 I 335
Anaschisma brachygnatha u. Browni, Amerika 09 II 129
Anasirenites etc. . . . . 05 I 345
— Greeni, Tropites-limestone, Byans . . . . 08 II 238
— Grimmi u. Hörnesi, ob. Trias, Sizilien . . 05 I 346
Anatas
— Binnental . . . . . 08 I 15
— — Brechungsindizes . 06 II 317
— — Krist. 1906 I 167 06 II 15
— Montorfano (Baveno)) 07 I 39
— Ottawa b. Pisek, im Goldsand . . . . . 05 I 366
— Somerville, Mass. . . 07 II 381
Anatasreihe, Mineralien der, Norwegen, Granitpegmatitgänge d. südl. 08 I 352
Anathese . . . . . BB XXVIII *245*
Anatibetites Hobsoni, Tropites-limestone, Byans 08 II 237
Anatina austinensis und texana, Boda limestone, Kreide, Nordamerika 06 I 308
— cymbula, Hypersenon, Peterwardeiner Gebirge . . . . . 06 II 268
Anatomites Abertii, Archimedis, Arethusae, Arthaberi, Baldaccii, Bassanii, bifrons, Benekei, Böhmi, Bukowskii, Calcarai, Charondae, consanguineus, Curionii, Diodori, Distefanoi, Ducetii, elegans, formosus, Gelonis, Gioenii, inflatus, Klipsteini, Loczyi, Mariani, Ogilviei, Polyphemus, Pro-

serpinae, pulcher, Quisquinaensis, Rothpletzi, Sthesicorni und Timaei, ob. Trias, Sizilien . . . . . 1905 I 346
Anatomites expansus, Jura, Himalaya . . . . . 05 II 320
— subintermittens, Subbullatus-Schichten, Amerika . . . . . 06 II 300
Anatropites margaritiformis u. nihalensis, Tropites-limestone, Byans 08 II 238
— Pilgrimii, tibetanische Klippen des Zentral-Himalaya . . . . . 08 II 414
Anauxit Breithaupt . . CBl 1909 *332*
— Bilin, aus Augit . . . 08 II 307
Anchi-eutektische und anchi-monomineralische Eruptivgesteine . . . 07 II 56
Anchilophus, Bartonien, Castrais . . . . . 05 II 302
— Eocän, Schweiz . . . 06 II 289
Anchistrum, Kreide, Patagonien . . . . . 05 I 167
Anchura condoniana, Kreide, Kalifornien . . . 06 I 288
Ancilla Milthersi, Obersenon, Dänemark . . 06 I 309
Ancistrodon splendens, Senon, Pederobba . . 05 II 482
— u. Pycnodus . . . . 05 II 483
Ancodon parvus, Tertiär, Fayum . . . . . 07 II 313
Ancylitähnliche Ceritmineralien, westl. Rußland 05 I 375
Ancyloceras Brancoi und Deeckei, unt. Kreide, Helgoland . . . . . 05 I 467
— Krekeleri, Granulatenkreide, westl. Münsterland . . . . . 08 I 428
Ancyloceras-Formen, russ. Neocom . . . . . 06 I 465
Ancylopoda
— Patagonien . . . . . 05 II 467
— — Kreide . . . . . 05 I 168
Ancylosauridae (Ancylosaurus magniventris), ob. Kreide, Montana 09 I 440
Ancylus deperditus, Miocän, Randeck . . . . CBl 1908 *564*
Ancylus-See und Litorina-Meer, westl. Ostseebecken . . . . . 07 I 118
Andalusit
— Einwirkung von Radiumbromid . . . . CBl 1909 *71*
— Alpen, Lagerstätten . 1908 II 67
— Brasilien, Brechungsindizes . . . . . 06 II 317
— niederösterr. Waldviertel, Pseudom. v. Sillimanit nach A. . CBl 1908 251
— Steiermark, Koralpe 05 II 363
Andalusit-Fibrolith-Schiefer, Monadnock Mountain, New Hampshire 06 II 215
Andalusitführende Kontaktgesteine, Baden-Baden, am Granit . . CBl 1905 *342*
Anden
— Argentinien, ob. Malm u. unt. Kreide . . BB XXIII *187*
— Erdbeben im Westflügel d. südlichen . 06 I 41
— siehe auch Kordilleren u. Vor- und Zentralkordillere, Vulkane etc.
Andengesteine, Argentinien . . . . . BB XXII 605
Andesit
— Aranyostal, Ungarn . 07 I 106
— Ararat, Pyroxen- u. Hypersthen- . . . . 07 I 391
— Argentinien . . . BB XXII 582 ff.
— Basutoland . . . . . 09 II 235
— Batakländer (Sumatra) . . . . . BB XXVII 407 *439*
— Cambewana Range, N.S. Wales, basaltischer 07 I 398
— Crater Lake, Nat.-Park 05 I 253
— Ecuador . . . . . 05 II 76
— Erdschias Dagh, Kleinasien . . . . . 09 II 231
— Euganeen . . . . . 08 II 203
— Grahamsland, Hornblende- . . . . . 08 I 77
— Highwood Mountains, Montana . . . . . 06 II 374
— John Day Basin, Hald's Cañon, Hypersthen- . 05 II 234
— Karolinen, Hypersthen- 05 II 74
— Kaukasus, Augit-, u. Tuffe . . . . . 06 I 389
— Korsika, Osani, Hypersthen- . . . . . 07 II 405
— Lorne (Argyleshire) mit Tuffen, Old red 05 I 431
— Marianen, Augit- . . 05 II 74
— Mexiko, Tal von . . 08 I 239

Andesit
— Montagne Pelée, Martinique, Auswürfling 1906 I 229
— — — Hypersthen- . CBl 1906 89
— Neuseeland, Nordinsel, Pyroxen- . . . 07 I 395
— — Otago-Halbinsel . 08 I 234
— Panamakanal . . . . 09 II 393
— Puente del Inca, Aconcagua . . . . . BB XXIV *724*
— São Thomé, Hornblende- . . . . . 05 II 76
— Senegal (Kap Vert) 08 I 228
— Skye . . . . . 06 II 64
— Sumatra, Vulkane . 06 I 208
— Tepler Hochland 1906 II 353. 357 09 II 222
— Tripolis . . . . . 07 I 67
Andesittuff, Lornedistrikt, Argyleshire, Old Red 05 I 431
Andorit, Bolivia, Oruro, Krist. etc. . . . . 08 II 337
Andradit, Dognacska, Anal. . . . . CBl 1906 776
Andrena ? clavula und sepulta, Tertiär, Florissant Col. . . . . 07 I 321
Androstrobus Scotti, Schweden . . . . . 09 I 152
Angiospermen, Entwicklung der Kenntnisse 09 I 145
Anglesit
— Herstellung künstl. Kristalle . . . . . 05 II 4
— Synthese und Aetzfiguren . . . . . 09 I 348
— Altai, Sugatow'sche Grube . . . . . 09 II 368
— Broken Hill, Krist. . 09 I 348
— Mies, Krist. . . . . 06 II 24
— Monteponi (Sardinien), Krist. . . . . 05 II 360
— Nagolnij Krjasch, Donetzbecken . . . . 07 II 197
— Sardinien, Argentiera della Nurra, Portotorres . . . . . 06 I 33
— Vesuv, von 1906, kristallisiert . . . . . 08 I 207
Angola
— Gesteine . . . . . 05 II 76
— Kreide der Küstenzone . . . . . 06 II 111
Angoumien, Teutoburger Wald, in den Osning-Bergketten, unteres . 06 II 102
Anguillavus bathshebae u. quadripinnis, Kreide, Libanon . . . . 1905 II 482
Angustella angulata, Pachycardientuffe, Seiser Alp 07 II 337
Anhydrit
— Beziehung zu Schwerspat u. Cölestin . . 07 I *139*
— Einwirkung von Radiumbromid . . . . CBl 1909 *71*
— künstl. Bildung CBl 1907 *688* CBl 1909 *25. 189*
— mikrochem. Reaktion CBl 1908 *134*
— in ozean. Steinsalzlagerstätten bei 25° 05 I 192
— — — — bei 83° . . 08 II 159
— Aussee, Zwilling . . 08 II 320
— Bessarabien, Chotinscher Kreis, im Gips 07 II 379
— Eichsfeld, pegmatitischer, im Zechstein . 09 II 425
— Ormuzinsel . . . . . 08 II 336
— Simplontunnel, Krist. 05 I *33*
— — mit Einschlüssen von flüssiger CO_2 . . 08 I 34
— Staßfurt, pleochroitisch . . . . . 08 II 320
— Sudheim bei Northeim, Druckfestigkeit u. Mohr'sche Linien 09 II *121*
Anhydritgehalt in Gesteinen, rascher Nachweis . . . . . CBl 1907 *688*
Anisactinella quadriplecta var. bicostata und Venetiana var. Broilii, Pachycardientuffe d. Seiser Alp . . . . . 05 I 179
Anisolambda, Kreide, Patagonien . . . . . 05 I 168
— nodulosa, unt. Tert., Cañadón Blanco, Patagonien . . . . . 05 I 498
Anisorhizus, Kreide, Patagonien . . . . . 05 I 168
Anisotemnus, Kreide, Patagonien . . . . . 05 I 168
Anisotrope Prismen
— Minimalablenkung . . 08 II 142
— — symmetr. Minimalablenkung . . . . . 08 I 162
Anisotropie undurchsichtiger Substanzen, Erkennung, Messung u. Verwendung CBl 1908 *565. 597* CBl 1909 *245*

Ankerit
— Giglio-Insel b. Elba . 1907 II 37
— Nagolnij Krjasch, Donetzbecken . . . 07 II 195
— Nagolnygebirge, Pseudom. v. Limonit nach der Spaltbarkeit des Ankerits . . . . . CBl 1908 7
— Ostalpen, Genesis . . CBl 1909 714
— siehe Parankerit.
Ankylosauridae . . . . 09 I 290
Ånnerödit, Granitpegmatitgänge des südl. Norwegen . . . . . 08 I 356
Annularia axillaris, Saarbrücker Schichten . . 09 I 304
— pseudostellata, Carbon, Vorkommen . . 09 II 492
Annulariopsis inopinata, Carbon, Tonkin . . . 08 I 310
Anomale Aetzfiguren, Erklärung durch Strukturtheorie . . . . . CBl 1907 *111*
Anomale Kristallformen (d. Pikrinsäure) . . . 05 II 333
Anomalien, optische, regulärer Kristalle . . 07 I 182
Anomalina ariminensis = Faujasina contraria, Ischia . . . . . 06 II 310
— spinimargo, Rupelton, Mainzer Becken . . . 09 II 325
Anomia Peroni, Cenoman, Südfrankreich . . . 07 II 131
Anomodontia, Systematik 1907 I 41. 480
— Südafrika . . . . . 07 I 318
Anomodontier (Tamboeria Maraisi), pneumatisierter Wirbel, unt. Karruformation, Kapkolonie . . . . . 06 I 310
Anomosaurus Strunzi, deutscher Muschelkalk 08 I 292
Anomozamites egyptiacus 07 II 500
Anopaea Verbeeki und Windhouweri, Suluinseln . . . . . 05 I 151
Anoplonassa, Boldérien, Antwerpen . . . . . 07 I 132
Anoplophora asciaeformis, donacina, gregaria, lettica, montis fluvii u. postera, Schwaben . BB XXV *83*
— lettica etc., Lettenkohle, Württemberg . CBl 1907 *42*
Anoplotheca (?) australis, Oakey Creek, Neu-Süd-Wales . . . . . 1908 I 279
Anorthit
— Darstellung, Isomorphismus, Schmelzpunkt, therm. Eigenschaften . . . . . 06 I 334
— Kristallberechnung f. 2-kreis. Goniometer . 07 I 2
— künstlich durch Kristallisationsschieferung 07 I 334
— — durch Zusammenschmelzen . . . . . 09 I 183
— zusammengeschmolzen mit Albit, Schmelzkurven . . . . . 07 II 22
— — mit Diopsid . . . BB XXIII *48*
— — — Schmelzkunkt 07 II 7
— — — u. Magneteisen BB XXIII *54*
— — — und Olivin . . BB XXIII *58*
— — mit Elaeolith . . 08 II *5*
— — mit Fayalit . . . CBl 1906 *150*
— — mit Hedenbergit u. Olivin . . . . . CBl 1906 *134*
— — mit Olivin . . . CBl 1906 *151*
— — mit Orthoklas und Olivin . . . . . BB XXV *277*
— Vesuv, chem. Konstitution . . . . . 05 I 25
Anorthoklas, Analysen . 09 I 372
Anorthosit
— Definition . . . . . 05 I 413
— Brome Mountain, Monte region Hills, Quebec . . . . . 07 I 240
— Laramie Range, Wyoming, mit Titanmagneteisen . . . . . 07 I 76
Anorthosität d. Kristalle 05 I 3
Anpassungstypen, wichtigste, schwimmender Wirbeltiere . . . . . CBl 1907 *225*
Anpassungstypus von Metriorhynchus CBl 1907 *225. 385*
Anreicherung d. ob. Teile d. Goldgänge . . . . 05 I 257
Antalo-Kalk, Jura, Ostafrika . . . . . BB XXVIII *159*
Antarcticum
— Expedition der Belgica 06 II 97
— Geologie durch deutsche Südpolarexpedition . . . . . 06 II 51
— Gesteine . . . . . 09 II 75
— — d. westlichen . . 06 II 71

Antarctis, Windwirkungen 1906 II 352
Antarkt. Schöpfungszentrum u. Ornithologie 05 I 338
Antepithecus, Kreide, Argentinien . . . . . 05 I 167
Anthenea Schlumbergeri, Santonien, Aegypten 07 II 154
Anthidium echumatum u. Scudderi, Florissant, Col. . . . . 07 I 321
Antholites chinensis, Jura, China . . . . . 07 II 342
Antholithus Zeilleri, Schweden . . . . . 09 I 153
Anthonya cantiana, Kreide, England . . . . 08 I 133
Anthophyllit
— Fonte del Prete (Elba), im Biotit-Granitit . . 06 II 169
— Tabor . . . . . 09 II 366
Anthophyllitschiefer, Ebersteinburg b. Baden-Baden . . . . . 09 II 66
Anthracentomon latipenne, Carbon, Belgien 05 I 523
Anthracit
— Ecuador, Penipe bei Penicuehu . . . . . 06 I 396
— Kiautschou . . . . . 06 II 370
Anthracolithisches System, Perm, Zentral-Himalaya, Fossilien . 05 II 281
Anthracomartus palatinus, flözarme Abtlg. d. Steinkohlengeb., Breitenbach, Rheinpfalz . 06 I 106
Anthracomastax furcifer, Carbon, Belgien . . . 05 I 523
Anthracopalara falcipennis, Carbon, Belgien . . . . . 05 I 523
Anthracosia, Stellung . . CBl 1905 *308*
— Saar und Nahe, siehe Carbonicola.
— Fritschii u. thuringensis, Rotliegendes, Niederschlesien u. Böhmen 05 I *47*
— und Palaeanodonta CBl 1908 *65. 239*
Anthracotheriidae, Tertiär, Fayum . . . . 07 II 313
Anthrophyopsis, Jura, Yorkshire-Küste . . 07 I 489
Anthropodus Brancoi, Unterpliocän, Salmendingen u. Melchingen, Bohnerze . . . . . 1908 I 125. 126
Anthropoidea
— amerikan. Eocän . . 1905 I 328
— Systematik . . . . . Festband *223*
Anthropoidenbecken, verglichen mit menschlichem . . . . . CBl 1906 312
Antigorit
— Struktur u. Entstehg. 06 II 57
— Ko-Grube, Nordmarmarken, pseudoregulär . . . . . 05 II 185
— Ober-Mölltal, Kärnten 08 II 360
— Persberg in Wermland, regulärer . . . 05 II 184
— siehe auch Blätterserpentin.
Antiklinaltheorie für die Oelfelder
— Amerika . . . . . 06 II 384
— Rumänien . . . . . 06 II 392
Antillen, kleine, Petrographie . . . . . 06 II 376
Antilope, Pliocän, Cueva Rubbia, Spanien . . 07 II *11*
— cristata, Seegraben b. Leoben . . . . . 05 II 305
Antimon, heteromorphe Modifikationen 1907 I 17 08 II 155
Antimonglanz
— Diathermansie u. Kristallisation . . . . . 05 I 18
— Kristallisation . . . 07 I 195
— opt. Eigenschaften . 09 I 167
— Böhmen, krist. . . . 08 II 10
— Calafuria sdl. Livorno, im Macigno . . . . 06 I 169
— Eichbergkogel a. Semmering, im Magnesit CBl 1908 *281*
— Kostajnik, Serbien, Umwandlg. in Stiblith und Schwefel . . . . 09 I 166
— Maltern u. Hochneukirchen (Niederösterreich) . . . . . CBl 1908 *282*
— Martigné, Bretagne . 09 II 241
— Shikoku, Japan, elektrisches Verhalten . . CBl 1905 *465*
Antimonocker . . . . . CBl 1909 *330*
— Procchio (Elba) = Valentinit . . . . . 06 II 158
Antimonsäuregele . . . CBl 1909 *330*
Antimonsilber, Markirch 09 I 24
Antiperthit, kristalline Schiefer . . . . . 05 II 362
Antirhätikon, Geologie . 08 I 251

Aonoides-Schichten, Epidauros (Argolis), Cephalopoden . . . . . Festband *15*
Aostatal, Piemont, Mineralien . . . . . 1907 II 35
Apateodus, Chalk, England . . . . . 05 II 137
Apatit . . . . . 09 I 318
— Nachweis durch Kochsalzschmelze . . . . CBl 1909 *550*
— opt. Anomalien etc. 09 II 29
— — — des gesteinsbildenden . . . . . CBl 1909 *666*
— Biella, Piemont, Drusen im Syenit . . . 06 II 35
— Campaglia bei Varzo (Piemont) . . . . . CBl 1905 *19*
— Cerro Mercado, Mexiko, im Eisenerz . . . . 05 II 201
— Elba, in den turmalinführ. Gängen im Granit v. San Piero in Campo . . . . . 05 II 34
— — Grube Speranza . CBl 1909 *337*
— Epprechtstein, Fichtelgeb., im Granit, Krist. etc. . . . . BB XXIII *581*
— Finkenberg b. Bonn, im Basalt . . . . . CBl 1908 *420*
— Gletsch am Rhônegletscher, Krist. etc. CBl 1906 *755*
— Jumilla, Muttergestein 07 II 408
— Kimberley, De Beer's Grube, skelettförmig im Kimberlit . . . . CBl 1909 *550*
— Knappenwand, Brechungskoeffizienten . CBl 1909 *594*
— Kragerö (Lindvikskollen), Krist. . . . 08 I 193
— Lappland, Erzlagerstätten . . . . . BB XXIV *548*
— Luxullian, Cornwall, im Granit, Krist. etc. BB XXIII *581*
— Malmberget, Schweden, krist. u. opt. . . 05 II 363
— Mayen, in Einschlüssen in der Lava . . 06 I 347
— Mt.-Apatite, Maine . 09 I 19
— Ottawa, Canada . . 05 I 249
— Pisek, Böhmen, Lichtbrechung . . . . . 06 II 23
— Priziac, Brechungskoeffizienten . . . . 08 II 143
— Schmiedeberg (Riesengeb.), im Granit . . CBl 1909 *771*
— Südafrika, im Granit 05 II 38
Apatit
— Tonkerhoek, Deutsch-S.W.-Afrika . . . . 1909 I *97*
— Vesuv von 1906 . . 08 I 44
— (Osteolith u. Staffelit), Wesen . . . . . CBl 1905 *641*
— siehe auch Phosphorit, Phosphate etc.
Apennin
— Nummuliten, Einteilung 05 II 327
— vergl. mit Alpen 1909 II 258. 260
— salernitaner, Triasmollusken von Giffoni 06 I 108
Apenninenhalbinsel, geologischer Bau und Schweremessungen . Festband *129*
Aphaneramma, Trias, Sticky Keep, Spitzbergen . . . . . 07 I 150
Aphelops, Miocän, Nordamerika . . . . . 06 II 134
Aphlebia dissoluta . . . 08 I 155
— sub-Germari, Carbon, Hohengeroldseck bei Lahr . . . . . 08 I 458
Aphrosiderit, Toskana (Calci u. Verruca) . 07 II 38
Aphrostroma tenerum, Kohlenkalk, Namur . 07 I *133*
Aphthalose
— in ozean. Steinsalzlagern . . . . . 05 I 192
— siehe auch Glaserit u. Arkanit.
Apidium phiomense, Oligocän, Fayum . . . 08 II 428
Apis dormitans, Oligocän, Rott . . . . . 08 II 112
— meliponoides, balt. Bernstein . . . . . 07 I 320
Aplit
— Belknap Mountains, New Hampshire . . . 08 I 379
— Böhmen, Pyroxen- . 06 II 361
— Cesana, Susatal, Piemont, Gang . . . . 06 I 376
— Cornwall, Zinnerzlagerstätten . BB XXVIII *6. 16*
— Enderby-Land, gedredscht . . . . . 06 II 371
— Kiautschou . . . . . 06 II 366
— Koswinsky Kamen, Ural (Plagiaplit) . . 05 I 75
— Mieselen (Lauteraargletscher), Randfacies d. Protogyns . . . . 05 I 427

Aplit
— Neurode, Ganggestein d. Gabbro . . . . BB XXVI *482*
— Piz Giuf, östl. Aarmassiv . . . . . 1906 I 372
— Red Hill, Moultonboro, N. H. . . . . 09 II 389
— Sustenhörner, Aarmassiv . . . . . 06 II 62
— Tuxer Kamm b. Sterzing . . . . . BB XXII *494*
— siehe auch Granodioritaplit.
Aplodontia major, Knochenhöhle Potter Creek Cave, Kalifornien . . 06 I 126
— — fossilis, Kalifornien, Höhlendiluvium . . . 07 I 299
Apodes d. brit. Museums 05 II 135
— engl. Chalk . . . . . 05 II 137
Apophyllit
— Albinisierung . . . . CBl 1906 *80*
— Angreifbarkeit versch. Flächen durch H Cl verschieden . . . . . CBl 1907 *210*
— gesteinsbildend und Physiographie . . . CBl 1907 *239*
— Kieselsäure n. Tschermak (Seiser Alp) . . 09 II 194
— Kontraktionsfiguren bei Behandlung mit Säuren . . . . . 08 I 336
— Typen, chemisch . . CBl 1906 *79*
— Wassergehalt . . . . CBl 1909 *681*
— Andreasberg, Fassatal, Guanajuato und Lake Superior, Glühverlust . . . . . 06 I *21*
— Belfast . . . . . CBl 1908 176
— Erythraea . . . . . 08 II 36
— Färöer . . . . . 09 I 28
— Grönland, Ost-, im Basalt . . . . . 06 II 184
— Krebshöhe bei Schönpriesen, Böhmisches Mittelgebirge . . . . CBl 1909 *157*
— Maze, Japan . . . . 09 I 193
— Mogy-guassu, São Paulo, Brasilien, im Diabas . . . . . CBl 1906 *331*
— Schweden, verschiedene Fundorte . . . 07 II 371
— Seiser Alp, chem. Konstitution nach Tschermak . . . . . 09 II 194
— Sibirien, unt. Tersja 09 II 27
Apophyllit
— Fort Point, San Francisco, Cal., Quarzpseudom. n. A. . . . . 1905 I 205
— Traversella . . . . . 08 II 316
— Zöptau, Mähren . . 06 I 344
Apophyllitgruppe, Mineralien der . . . . . CBl 1906 *79*
Aporrhais bicarinata, mittl. Gault, Algermissen . . . . . 05 I 317
— crepidatus, machaerophorus und minutus, Hypersenon, Peterwardeiner Gebirge . . 06 II 268
— hirundo, Kreide, Kieslingswalde . . . . . 05 I 300
— Koeneni, Palaeocän, Rugard, Kattegat . . 08 II 103
Apparat zur Trennung v. Mineralien nach dem spezifischen Gewicht 06 I 160
Apsendesia patagonica, Tertiär, Patagonien . 05 II 141
Apsidocrinus Remesi, Definition und Körperform . . . . . Festband *304*
Aptien
— Delagoa-Bay . . BB XXVIII *201*
— Norddeutschland, Gliederung . . . . . CBl 1908 *211*
Aptychus crassissimus, cf. exsculptus u. laevis-brevis, Malm—Tithon, argent. Cordillere . . . . . BB XXIII *202*
Apulien, Lepidocyclinen von Otranto, Alter . 08 II 283
Aquitanien-Stufe
— Entre-deux-mers . . 05 II 433
— Frankreich . . . . . 08 II 407
Aragonit
— Brechungsexponenten 08 I 183
— Kristallsystem . . . 05 II 16
— künstl. Darstellung . 06 I 24
— Skelette der Kalkschwämme . . . . . CBl 1905 *582*
— Umwandlung in Kalkspat . . . . . 08 I 17
— Umwandlung in Kalkspat, paläoz. Korallen, Ostthüringen . . . BB XXIV *252*
— Verhalten zu gew. Lösungen (Alkalicarbonate, Kobaltlösungen etc.) . . . . . 05 II 356

Aragonit
— Bessarabien, Chotinscher Kreis, im Gips 1907 II 378. 379
— Dänemark, faseriger, ist Kalkspat . . . . 1908 I 201
— Grönland, östliches, im Basalt . . . . . 06 II 183
— Kertsch u. Taman . 05 II 200
— Krebshöhe b. Schönpriesen, Böhmisches Mittelgebirge . . . . CBl 1909 *158*
— Markirch . . . . . 09 I 23
— Nagolnij Krjásch, Donetz-Becken . . . . 07 II 196
— Plauen i. Vogtlande CBl 1908 *372*
— Poggio Orlando (Siena), Schwefelgruben . 08 II 336
— Sachalin . . . . . 08 II 334
— Sarul Dornei, Rumänien . . . . . 07 II 357
— Weitendorf (Steiermark), auf Hohlräumen im Basalt . . BB XXVII *251*
— und Kalkspat, Vergleich der Lichtbrechung . . . . . 06 II 307
Aralia brittoniana u. matawanensis, Matawan-Formation, New Jersey . . . . . 07 I 495
— veronensis . . . . . 07 II 505
Aralinium excellens, Lindgreni, multiradiatum u. parenchymaticum, westl. Verein. Staaten 09 I 149
Aranyos-Gruppe, siebenbürg. Erzgebirge, Geologie . . . . . 1906 I 262. 263
Aranyos-Tal, Ungarn, Geologie . . . . . 07 I 106
Arapahoe-Gletscher, Colorado . . . . . 05 I 56
Ararat, Andesite etc. . . 07 I 391
Araucanische Formation, Patagonien . . . . . 05 I 142
Araucaria, fossil u. rezent 08 I 158
Araucarioxylon obscurum . . . . . 07 II 501
Araucarites arizonaeum, monilifer u. shinarumpensis . . . . . 07 II 502
— pennsylvanicus und yorkensis . . . . . 07 II 500
Aravis-Kette, savoy. Alpen, Geologie . . . . 05 II 250
Arca, von LAMARCK etikettierte Arten des Musée de Paris . . . 1905 I 358
— algermissensis, mittl. Gault, Algermissen . 05 I 317
— aviculoides, Spasser Schiefer, Kreide, Ostkarpathen . . . . . 07 I 436
— Balli, Campanien, Aegypten . . . . . 05 II 285
— Blanfordi, Tertiär, Ormara-Kap, Mekranküste, Beludschistan 06 I 118
— Dumasi u. namnetensis, Eocän, Loire inférieure . . . . . 06 I 154
— Jekaterinoslavica, Tertiär, Mandrikowka . 06 I 468
— Mareso-Teutobochus, Senon, Mittel-Peru BB XXIV *109*
— mimula u. paralactea, ? Eocän, Kamerun . 06 II 123
— mixta, parallelogramma, praerudis, proxima, subbarbatula u. subsinuata, Eocän, Loire inférieure . . . 06 I 155
— Morgani, Senon, Südpersien . . . . . 06 I 445
— syrmica, Hypersenon, PeterwardeinerGebirge 06 II 268
— tenuicrenata, Bathonien, St. Gaultier (Indre) . . . . . 08 I 262
— (Palaearca) Turnbulli, Haverfordwest District 06 II 307
Arcestes Andersoni, Pseudomonotis beds, Humboldt Range . . . . 06 II 301
— (Proarcestes) ausseanus u. Gaytani, Aonoides-Schichten, Epidauros (Argolis) . . Festband *20*
— (Pararcestes) petrosensis, subdimidiatus und trilabiatus, ladin. Stufe, Dobrudscha . 08 I 420
Arcestiden, Rassenpersistenz . . . . . CBl 1909 *194*
Archaeasterias rhenana u. Porenstellung paläoz. Seesterne . . . . . CBl 1907 *741*
Archaeische Bildungen, Fennoskandia, östl. . CBl 1907 *37*
Archaeobelus vellicatus, Perm, Illinois . . . . 08 I 292

Archaeoceti (Urwale), Gehirn . . . . . 1906 I 147
— Eocän, Aegypten . . 09 II 119
Archaeocidaris Regiomontana, Culm, Königsberg b. Gießen BB XXVIII *653*
Archaecyclus, Kreide, Calcasacco (Termini-Imerese) . . . . . 09 II 150
Archaeohyracidae, Patagonien . . . . . 05 II 466
Archaeohyrax, Kreide, Patagonien . . . . . 05 I 167
— gracilis, unt. Tert., Cañadón Blanco, Patagonien . . . . . 05 I 498
Archaeolemur Majori, Madagaskar . . . . 06 II 446
Archaeolepas decora, Kreide, Schaumburg-Lippesche Mulde . . . . 06 I 441
Archaeolithen, craquelierte, Tasmanien . . . 09 I *73*
— mit Feuereinwirkung, Thenay u. Tasmanien CBl 1908 *748*
Archaeologische Abschnitte, verglichen mit geologischen des Quartär 08 II 424
Archaeopithecidae, Archaeopithecus, Kreide, Patagonien . . . . . 05 I 167
Archaeopteropus transiens, Aquitanien, Mte. Viale, Vicentin 05 II 472
Archaeorycteropus Galliae, Eocän, Mouillac 07 I 464
Archaeosigillaria, Mitteldevon, New York . . 08 II 450
Archaeozonites angulosus u. deplanatus, Alttertiär, Ulm . . . . 08 II 104
— carinatus u. eocaenicus, Alttertiär, Giengen b. Ulm . . . . . 08 II 104
— costatus, Tertiär, Randeck . . . . . CBl 1908 *589*
Archaeutatus, Kreide, Patagonien . . . . . 05 I 170
Archaicum
— Finnland u. benachbartes Rußland . . . CBl 1906 *600*
— Gerecse-Gebirge, Ungarn . . . . . CBl 1905 *391*
— Grönland, westliches Nord- . . . . . 07 I 244
— Lake Superior-Gegend 05 I 75
Archaicum
— Lexen-Braune, Westmähren . . . . . 1905 II 234
— Pontesford, Shropshire 05 II 391
— Skandinavien, Eisenerze . . . . . 09 I 391
— Unterengadin, Lischannagruppe . . . . . 07 I 96
— u. Postarchaicum, Seenregion, Nordamerika 07 I 74
Archegosaurus, Bau . . 09 II 131
— ornatus, Permo-Carbon, Kaschmir . . . 08 I 416
Archhelenis . . . . . CBl 1908 184
Archicapsa euganea und micropora, Scaglia, Euganeen . . . . . 06 I 475
Archicorys fossilis u. minima, Kreide, Euganeen . . . . . 06 I 474
Archimylacris belgica u. carbonis, Carbon, Belgien . . . . . 05 I 523
— Desaillyi, Carbon, Nordfrankreich . . . 08 II 110
Archinotis . . . . . CBl 1908 184
Archipel
— indischer, mesozoisches Land u. Meer . . . . 07 I *107*
— indo-australischer, Geologie . BB XXII *385* CBl 1909 *563*
Archoblattina = Megablattina . . . . . 05 I 524
Arcopagia heronnatensis, Eocän, Paris . . . . 07 II 302
— namnetensis, Eocän, Loire inférieure . . 07 II 302
Arcoptera Schlosseri, St. Cassian . . . . . 07 II 337
Arctopithecini, amerik. Eocän . . . . . 05 I 329
Ardennen, metamorph. Gebiete . . . . . 09 I *110*
Ardennit, chem. Konstitution . . . . . 06 I 340
Ardon-Fenster, Liserne-Tal, Wallis . . . . . 09 II 258
Arenberger Schichten, Tertiär, Rhein . . . . . 09 I 241
Argentiera della Nurra, Portotorres, Sardinien, Mineralien . . . . . 06 I 31
Argentinien
— Andengesteine . . BB XXII *605*
— Cordillere, ob. Malm u. unt. Kreide . . BB XXIII *187*

Argentinien
— devon. Fauna, Jachal 1906 I 302
— Erzlagerstätten d. Provinz S. Luis . . . . 05 I 259
— foss. Austern . . . . 05 I 358
— Geologie d. Vorcordillere . . . . . 05 II 269
— jungvulkan. Gesteine BB XX *555*
— Meteorit von El Perdito . . . . . CBl 1906 *716*
— Mineralien d. Sierra de Cordoba . . . . . 07 II 198
— Paläontologie d. Wirbeltiere . . . . . 06 II 124
— Säugetiere . . . . 1905 I 157. 167
— — Kreide u. Tertiär 05 I 132
— Tertiär . . . . . CBl 1908 185
— Tiefengesteine BB XXII *605. 624*
Argentit, siehe Silberglanz.
Argentodomeykit, künstl. 05 II 5
Argolis, Trias BB XXI *220* BB XXV *443* CBl 1906 270
Argon in Thermen . . . 08 I 364
Argyrocetinae, Argyrocetus, Boldérien, Antwerpen . . . . . 07 I 136
Argyrodit
— Freiberg i. S. (Beschert Glück) . . . . CBl 1908 *331*
— Potosi . . . . . 08 II 12
Argyrolestes, Kreide, Patagonien . . . . . 05 I 169
Arides Klima, geograph. Zyklus, westl. Unionstaaten u. Westasien 07 I 48
Arietites altesulcatus var. involuta, carinatus var. antiqua, obtusus var. vulgaris, pseudospiralis, raricostatoides, spiratissimus var. simplex, subrejectus u. ultraspiratus var. costosa, Unterlias, Alsorakos, Ungarn . . 09 II 139
— himalayanus, Lias, tibetan. Klippen des Zentral-Himalaya . . 08 II 414
Arikaree-Formation, Tertiär, Wyoming-Nebraska . . . . . 06 I 268
Arionellus balticus, Silur, Upsala . . . . . 06 I 102
Aristolochiaephyllum cellulare . . . . . 07 II 505
Arizona
— Erzlagerstätten und Geologie des Cherry Creek District . . . 1908 I 396
— Geologie . . . . . 09 I 422
— Kupfererzlagerstätten 07 II 419
— Petrographie der Tucson Mountains, Pimalo . . . . . 07 II 230
Arkanit, Konstitution . BB XXIV *1*
— in ozean. Steinsalzlagern . . . . . 05 I 192
— siehe auch Aphthalose.
Arkose, Rhein. Schiefergebirge, Carbon . . . 09 II 217
Arktische Gebiete, Expedition der Fram 1898—1902 . . . . . 06 II 96
Arktische Provinz, Trias 06 I 414
Armadill, Bridger Eocän, Nordamerika . . . . 05 II 125
Arminiheringia u. Arminiheringiidae, Kreide, Patagonien . . . . . 05 I 169
Arnaudiella Grossouvrei 08 I 307
Arnioceras abjectum, anomaliferum, carenatum, crassiplicatum, dissimile, elegans, fallax, insigne, insolitum, italicum, mendax, munitum, pluriplicatum, rejectum, simile, speciosum, spirale, Lias, Monte di Cetona . . 05 I 175
Arpadites (Clionites) Catharinae, Cassianer Schichten, Epidauros (Argolis) . . . . . Festband *13*
— Ferdinandi, Aonoides-Schichten, Epidauros (Argolis) . . . . . Festband *26*
— Gabbi, Subbullatus-Schichten, Kalifornien . . . . . 06 II 305
— (Dittmarites) Redlichi, ladin. Stufe, Dobrudscha . . . . . 08 I 419
Arrhenius' Kohlensäuretheorie der Eiszeit CBl 1909 *481. 539. 660*
Arsen, Markirch . . . . 09 I 25
Arsenalschotter, Tertiär, Oesterreich . . . . . 05 II 437
Arsenatgele . . . . . CBl 1909 *330*
Arsenblüte, Markirch . . 09 I 25

Arseneisenquelle, S. Orsola b. Pergine, Südtirol . . . . . 1909 II 373
Arseneisensinter . . . . CBl 1909 *330*
Arsenige Säure
— Lichtentwicklung b. Kristallisieren . . . . 07 I 19
— Tribolumineszenz . . 07 I 18
Arsenkies
— Brosso u. Traversella 08 I 41
— Couasme-Hügel bei Rennes . . . . . 05 I 372
— Elba, turmalinführende Gänge im Granit von San Piero in Campo 05 II 34
— Markirch . . . . . 09 I 26
— Nagolnij Krjasch, Donetz-Becken . . . . 07 II 194
— Schmiedeberg (Riesengeb.), im Granit CBl 1909 *772*
— Sulitjelma, Norwegen, Co-haltig . . . . . 06 I 14
Arsenolamprit, Markirch 09 I 25
Arsen-Phosphor-Gruppe, heteromorphe Modifikationen . . . . . 08 II 155
Arsensulfid, Schuller-sches = Dimorphin . . 08 II 294
Arsinoitherium, Bedeutung für Geschichte der Säugetiere . . . 09 I 438
— Eocän, Aegypten . . 06 I 448
— Aegypten, Fayum 1905 II 306. 308
Artbestimmung, systematische . . . . . BB XXII *639*
Artefakten . . . . . 07 I 449 ff.
— Belgien . . . . . 08 I 438
— — Rocourt lez-Liège, Eolithen im Tertiärsand . . . . . 09 I 107
— Couliège (Jura) . . . 08 II 424
— England . . . . . 09 I 123
— Holland, Diluvium . 10 I 454
— Mte Amiata, von Feuerstein im Kieselgurlager . . . . . 06 I 235
— St. Acheul . . . . . 09 I 283
— Thenay u. Tasmanien, craquelierte Feuersteine im Oligocän . CBl 1908 *748*
— siehe auch Archaeolithen, Eolithen, Mensch, etc.
Artesische Brunnen
— Theorie . . . . . 06 II 192
— Italien, Modena . . . 05 I 54
Artesische Brunnen
— Italien, zw. Rom und den Mti. Laziali . . 1906 II 79
— — zw. Viareggio und Pietrasanta . . . . . 06 II 79
— Großzössen b. Borna (Leipzig) . . . . . 06 I 403
— Montreal . . . . . 09 II 379
Artesischer Naturbrunnen, Schlock, Livland . . 07 II 50
Arthraster senonensis, Senon, Yonne-Département . . . . . 06 I 320
Arthropleura armata, Carbon, Saarbrücken . . CBl 1909 *753*
Artinsk-Horizont, Obercarbon, Ural u. Timan 05 I 536
Arvicola (Tyrrhenicola) Henseli, Quartär, westliches Mittelmeergebirge . . . . . 07 I 459
Asaphinella gouetensis, Eocän, Loire inf. . . 07 II 302
Åsar
— Norddeutschland . . 06 II 435
— Pommern u. Rügen 07 I 117
— Schönlanke (Posen) . 09 I 108
Asbest
— Färbung durch organ. Farbstoffe . . . BB XXVIII *371*
— Vorkommen und Gewinnung . . . . . 07 II 23
— Belvidere Mountain, Vermout . . . . . 07 II 218
— Canada, Entstehung der Adern im Serpentin . . . . . 07 I 405
— Easton, New Jersey, Anal. d. weißen . . . 06 I 354
— Nordamerika, Chrysotil- . . . . . 05 I 209
— — Produktion 1902 . 05 I 209
— — — 1903 . . . . . 05 II 22
— Ural, Lagerstätten 1909 II 41. 346
— — — Schtschutschéé-See b. Jekaterinburg 09 II 41
— — Pseudomorphose nach Magneteisen . . 09 II 346
— siehe auch Amianth, Chrysotil etc.
Asbestähnliches Mineral, Mexiko, Rancho del Ahuacatillo, Michoacan . . . . . 06 I 342
Ascharit, künstl. Darstellung . . . . . 08 II 163

Asche vulkanische
— Norddeutschland als Staubfall 6. I. 08 . . 1909 I 55
— Mt. Pelée, Martinique 1902 . . . . . 05 I 405
— Vesuv, Eruption 1906 1908 I 43 1909 I 46 CBl 1906 *497*
— — 1906, mineralog. Zusammensetzung . . 08 I 44
— Westindien . . . . 1905 I 404. 405
— siehe auch Vesuv.
Aschenlagen, Beweis für Gleichaltrigkeit der Schichten . . . . . 08 II 339
Ascheschichten, westbaltische, eocäne . . . CBl 1907 *680*
Aschenstruktur, vogtländ. Diabase . . . . . 05 II 212
Aschen- (und Tuff-) Schichten, westbaltische eocäne . . . . CBl 1907 *680*
Ascodictyon floreale, parvulum und sparsum 05 II 486
Asien
— Geologie n. Futterer 09 II 360
— — zwischen dem Alai-Gebirge und Sutchou 06 I 97
— nutzbare Mineralien von Zentral- . . . . 07 II 247
— Trias in der Lethaea geognostica . . . . . 06 I 410
Asinische Stufe (Negris) Argolis . . . . . CBl 1909 *81*
Askja, Island, vulkan. Erscheinungen . . BB XXVI *381*
Asmanit und Quarz in feuerfesten Ziegeln . 09 II 14
Asmithwoodwardia, Kreide, Patagonien . . . 05 I 168
Asmodeus, Patagonien, Extremitäten . . . . 07 II 138
Aspendesia patagonica, Tertiär, Patagonien . 05 II 141
Aspenites acutus, Meekoceras beds, Amerika 06 II 302
Asperipes avipes, Carbon, Ost-Canada . . . . 05 I 339
Asperolith . . . . . CBl 1909 *331*
Asphalt
— Bahrein-Insel, pers. Golf . . . . . 07 I 85
— Jjebu-Distr., Lagos, Anal. . . . . 07 I 87
— Mettenheim, Rheinpfalz . . . . . 07 I 83
— Ragusa (Sizilien) . . 05 I 261
Asphalt, Trinidad, sogen. Manjak . . . . . 1907 I 86
Asphaltkalk, Frankreich (Gard etc.) . . . . . 08 II 222
— siehe Bergpech etc.
Asphaltschiefer, Bara-Bai (Buru), Molukken, chem. Zusammensetzg. und Ammoniten BB XXII *686. 691*
Aspideretes austerus, ellipticus, fontanus, grangeri, ? nassau, puercensis, sagatus, singularis, splendidus u. vorax, Nordamerika 09 I 452
— granifer, Nordamerika 09 I 450
Aspidiaria . . . . . 05 I 539
Aspidites Hooveri, Meekoceras beds, Kalifornien 06 II 305
Aspidoceras andium, euomphalum, rogoznizense u. Steinmanni, Kimmeridge — Titon, argent. Cordillere . BB XXIII *189*
— Argobbal, irregulare, somalicum u. supraspinosum, ob. Jura, Somaliland . . . . . 06 I 281
— cajense, fallax, phosphoriticum u. zacatecanum . . . . . 07 II 470
— cf. Lemani, Jura, Seevoralpen . . . . . 06 I 110
— longispinum-orthocera, Acanthicus-Schichten, Gießhübl . . . . . 08 I 264
— mazapilense . . . . . 07 II 469
— ovale u. Vettersi . . 07 II 443
— robustum, unt. Kreide, Helgoland . . . 05 I 466
Aspidosaurus chilon, Perm, Texas . . . . 07 I 148
Aspidosoma Schmidti, Siegener Schichten . 09 I 134
Aspidostoma giganteum = Ortmanni, hexagonalis u. porifera, Tertiär, Patagonien . . 05 II 141
Asplenites cladophleboides, Rhät, Bornholm . . 08 I 451
Asplenium Gerassinovi, Jura, Ost-Transbaikalien . . . . . 09 I 463
Assilina, Priabona . . . 08 I 139
— Di-Stefanoi, Vallone Tre Pietre . . . . . 09 I 296

Assilina Formai u. sub-Formai var. granulata, mamillata var. picena, Paronai u. pulchra, Tertiär, Apennin . . 1905 II 327
— madaraszi var. orbitoidea, Borneo . . . 08 II 288
Assiminea elatior, Eocän, Paris . . . . . 07 II 303
Assuan
— Nilkatarakte, Geologie 07 I 424
— — Strudellöcher . . 05 I 409
Astacus (Potamobius) antiquus, Kreide, Schaumburg-Lippesche Mulde 06 I 441
Astarte cantabrigiensis, claxbiensis, Omalioides, senecta u. upwarensis, Kreide, England . . 08 I 133
— couzonensis, Donciеuxi, Grangei u. subdepressa, Zone d. Lioc. concavum, Couzon-au-Mont-d'Or b. Lyon . 05 I 464
— dacotensis, Jura, Black Hills . . . . . 08 I 264
— excavatoides u. levilimbata, Jura, Moskau etc. . . . . 05 I 131
— Griesbachi, Kreide, Pondoland . . . . . 07 II 306
— hemiornata (Eriphyla), ob. Kreide, Alvincz . 05 I 302
— Lefebvrei, Turon, Aegypten . . . . . 05 II 285
— lotharingica u. Nicklesi, Eisenerzformation, Lothringen u. Luxemburg . . . . . 06 I 305
— Scrivenori, Jura, Singapore . . . . . 07 I 287
— subplanissima (Eriphyla), Hypersenon, Peterwardeiner Gebirge . . 06 II 268
— syltensis . . . . . 07 II 453
Astegotherium, Kreide, Patagonien . . . . . 05 I 170
Asteriden, siehe Seesterne.
Asterina Perrieri, rezent, Südamerika . . . . 07 II 154
Asteroceras ceratiticum, exiguum, permutatum, Reynesi, varians, venustum u. volubile, Lias, Monte de Cetona 1905 I 175 06 II 142
Asteroconites savuticus, Trias, Savu, niederl. Indien . . . . . BB XXIV *213*
Asterolepis Rhenanus = Pterichthys Rhenanus CBl 1909 *491*
Asteromys, Kreide, Patagonien . . . . . 1905 I 169
Asterophyllites axillaris, Saarbrücker Schichten 09 I 304
Asterostemma, Santa Cruz beds, Patagonien 06 I 456
Asterotheca Cottoni, Carbon, Tonkin . . . . 08 I 309
Astieria Guebhardi, Unterkreide, Escragnolles 05 II 322
— Klaatschi u. irregularis, Hauterivien, Frankreich . . . . . 09 I *90*
Astieria-Formen von Holcostephanus . . . . 09 I *77*
Astochitgneis, Grönland, westl. Nord- . . . . 07 I 246
Astraeomorpha Zlatarskii, Trias, Kotel, Bulgarien . . . . . CBl 1905 *482*
Astraeopora hexaphylla u. octophylla, Kreide, Ostgalizien . . . . . 09 I 294
Astragalus, Gelenkflächen bei Säugetieren . . . 07 I 475
Astragalus-Perforation b. Säugetieren . . . . . 07 I 466
Astrakanit
— Bildung unter 25° in ozean. Salzlagern . . 06 I 163
— ob. Existenzgrenze . 05 I 192
— Chile . . . . . 09 II 204
Astralium densiporcatum, Hofmanni u. undatocoronatum, Hypersenon, Peterwardeiner Gebirge . . . . . 06 II 267
Astraponotus, Kreide, Patagonien . . . . . 05 I 168
Astraponotus-Schichten, Kreide, Patagonien . 05 I 170
Astrapothericulus Iheringi, Zahnsystem . . 05 II 454
Astrapothericulus-Schichten, Tertiär, Patagonien . . . . . BB XXI *174*
Astrapotheriidae u. Astrapotheroidea, Patagonien . . . . . 1905 I 168. 497
Astrapotheroidea, Zahnsystem . . . . . 05 II 462

Astrapotherium, Patagonien, Extremitäten . 1907 II 136
Astrocoenia bulgarica u. fuscina, Trias, Kotel, Bulgarien . . . . . CBl 1905 *482*
— Guebhardti, Jura, Frankreich . . . . . 07 I 487
— hexaphylloides, Kreide, Ostgalizien . . . 09 I 294
— pygmaea, Senon, Portugal . . . . . 07 I 487
Astropecten Wilckensi, Kreide, Patagonien . 07 II 154
Astrorhizidae, System d. leb. u. foss. . . . . 05 II 328
Atakamit, Argentiera della Nurra, Portotorres, Sardinien . . 06 I 31
Ataphrus Hudlestoni, Zone d. Lioc. concavum, Couzon-au-Mont-d'Or b. Lyon . . . . . 05 I 464
— reductus, Kreide, Orgon (Bouches-du-Rhône) . . . . . 06 I 318
Ataxaster pygmaeus, Untersilur, Böhmen . . 08 I 135
Atherina austriaca, Otolithen, Tertiär, Oesterreich . . . . . 07 I 481
Athyris aliena, Siegener Schichten, Seifen b. Driedorf . . . . . 05 I 316
— ambonensis, vorjurassisch, Ambon . . . . BB XXV *301*
— concentrica, Devon, Ostthüringen . . . . BB XXIV *291*
— expansa, untercarbon. Transgressionsmeer, Tian Schan . . . . BB XXVI *239*
— — planosulcata, Royssii u. squamosa, Culm, Königsberg b. Gießen BB XXVIII *628 ff.*
— cf. Royssii, untercarb. Transgressionsmeer, Tian Schan . . . . BB XXVI *222*
Atlant. Küstenregion, Nordamerika, Strukturlinien . . . . . 07 I 378
Atlant. Ozean, Sedimente, Tier- u. Pflanzenwelt d. nördlichen . . . . 05 I 424
Atlant. Sippe d. Eruptivgesteine . . . . . 05 II 52
Atlantosauridae . . . . 09 I 289
Atmosphäre, chem. und geol. Geschichte . . 1908 I 210
— ein elektro-pneumat. Motor . . . . . 05 I 57
Atomgewicht, Verhältnis zur Dichte bei Elementen . . . . . 05 II 170
Atopit, Miguel Burnier-Grube, Minas Geraës, Brasilien . . . . . CBl 1905 240
Atopodonta namnetensis, Eocän, Loire inf. . . 07 II 302
Atractilites = Actinocamax 06 I 466
Atractites paliformis, Trias, Dobrudscha . . . . 08 I 419
— Philippii, Subbullatus-Schichten, Amerika . 06 II 307
— Smithii, Muschelkalk, Himalaya . . . . . 08 II 241
— Vinassai, Muschelkalk, Montenegro . . 05 II 141
Atrypa reticularis, Devon, Ostthüringen . . . . BB XXIV *287*
Attendorn-Elsper Doppelmulde, Stratigraphie 09 I 241
Aturia linicentensis, Landenien, Lincent, Belgien . . . . . 08 I 304
— praeziczac, Blättermergel von Theben (Aegypten) . . . . . 06 II 122
Atys paucistriatus . . . 07 II 453
Aucella Strongi, Fort Benton-Schichten, Los Cerillos (Neu-Mexiko) . 08 I 436
Aucellen, Kreide, Balaklava (Krim) . . . . 08 I 445
Auflösung
— und Wachstum der Kristalle . . . . . CBl 1906 *664*
— der Zwillinge . . . BB XXIII *323*
Auflösungs- und Wachstumsgeschwindigkeit d. Kristalle . . . . 1908 II 150. 151
Aufnahmen, geologische, siehe geologische Aufnahmen etc.
Aufrechte Stämme, Carbon, Belgien . . . . 05 I 458
Aufschüttungsgebiet subaquat. Rutschungen, überzählige Schichtung . . . . . 08 II *154*
Aufschüttungsringe, aeolische, an Firnflecken, Island . . . . . CBl 1909 *180*

Augelit, Bolivia, Oruro u. Tatasi . . . . . 1908 II 337
Augit
— Ausscheidung aus Schmelzflüssen . . 1908 II *15. 23*
— krist. Verwitterungsprodukt . . . . . 09 II 344
— protogener, im Basalt u. Verwachsung mit Olivin . . . . . 07 II 59
— in Silikatschmelzen BB XXII *198. 207. 245*
— zusammengeschmolzen mit Albit u. Magnetit BB XXII *194*
— — mit Eläolith und Magnetit . . . . . BB XXII *202*
— — mit Enstatit und Oligoklas . . . . . BB XXVII *604*
— — mit Labrador und Magneteisen . . . . 08 II *16*
— — mit Olivin u. Labrador . . . . . 08 II *8*
— — — und Magneteisen BB XXII *211. 219*
— Bilin, Umwandlung in Anauxit und Cimolit 08 II 307
— Canale Monterano (Rom) im Tuff . . . 06 I 170
— Hessen, Verwachsung rhomb. u. monokl. im Basalt . . . . . CBl 1907 *372*
— Ottawa Co., Kanada, im Pyroxenit, Analyse 06 II 218
— Paschkopale b. Boreslau, chemisch. . . . 09 I 341
— siehe auch Pyroxen, Diopsid etc.
Augitaggregate, Finkenberg b. Bonn, im Basalt . . . . . CBl 1908 *418*
Augitandesit, Molukken 05 I 109
Augit-Arten, zusammengeschmolzen . . . . CBl 1906 *571*
Augitit, Böhmen, zwischen Böhm.-Kamnitz und Kreibitz . . . . . 06 II 359
Augitorthophyr
— Wilhelmsblick b. Harzburg, im Kontakthof des Brockens, u. Tuffe 06 I 215
— Tirol, südliches . . . 05 II 63
Augitporphyrit
— Altenplateau, Bozen BB XXVII *145*
— Kiautschou . . . . . 06 II 369
— Ort, Fassatal . . . . CBl 1905 *54*
Augitsodalithsyenit, Ledmore, Nordschottland BB XXII *445*
Augitsyenit, Tasmanien, quarzarmer . . . . . 1908 I 388
Aulacocidaris Lamberti, Ptérocérien, Savoyen 05 II 326
— Micheleti, Neocom, Basses-Alpes . . . . 07 II 154
Aulacostephanus zacatecanus, Jura, Mexiko 1907 I 279 07 II 469
Aurichalcit
— Cornwall . . . . . CBl 1905 *191*
— Otavi, S.-W.-Afrika . CBl 1906 *388*
Auricula anversiensis, Eocän, Paris . . . . . 07 II 303
Aurignacien u. Moustérien 09 I 126
Auripigment
— Alchar, Krist. . . . 05 I 370
— Carrara, im Marmor 07 I 215
— Stanz im Mürztal (Steiermark) . . . . CBl 1908 *281*
Ausbrüche, vulkanische, Abhängigkeit von Spalten . . CBl 1909 *97. 129. 321. 526*
Ausdehnung der Silikatschmelzen beim Erstarren . . . . . 09 II 329
Ausflockung d. Kolloide 08 II 151
Ausgleichsströmungen, Einfluß auf Sedimentation BB XXV *367*
Auslöschungsschiefe
— Messung . . . . . CBl 1905 *276*
— — in Dünnschliffen . 09 II 161
Auslöschungswinkel der Flächen einer Zone . 07 II 3
Ausscheidung
— aus Silikatschmelzen CBl 1905 *361* CBl 1906 *132*
— aus dem Basalt, Finkenberg b. Bonn CBl 1908 *422. 711*
Ausscheidungsfolge
— in Eruptivgesteinen, phys.-chem. Gesetze . 09 I 367
— der Mineralien aus Silikatschmelzen . . . 06 II 5
1908 II *1* BB XXII *234. 256* BB XXIII *43* CBl 1906 *195*
— — — — — Einfluß der Viskosität . . . CBl 1906 *195*
— von Silikaten aus Schmelzen bei 2 und 3 Komponenten . . BB XXIII *43*
Austenit
— im künstl. Eisen . . 06 I 243
— Verhalten . . . . . 08 I 237

Austern, Argentinien . . 1905 I 358
Austernbank am Panderkliff, Quartär, Sylt BB XXI *205* BB XXII *173*
Australasien, Trias . . . 06 I 415
Australien
— Geologie und Gesteine 1907 I 395 ff.
— Menschenspur im Sandstein von Warrambool (Victoria) . CBl 1907 *498*
— Mitteldevon u. Carbon, Korallen . . . . . 07 I 155
— paläoz. Korallen . . 07 I 155
— prähistor. Mensch . . 06 II 269
— radioaktive Mineralien 07 I 11
Australisch-indischer Archipel, Geologie . . . BB XXII *385* CBl 1908 *503* CBl 1909 *563*
Australit, kosmischer Ursprung . . . . . CBl 1908 *737*
Auswürflinge, vulkanische, Ries . . . . . 06 II 203
Autunit, Entwässerung etc. 05 II 369
Auvergne, Interpretation von Gesteinsanalysen 05 II 210
Auvergnosen, Korngröße 07 II 215
Avalonia Sanfordi zu Gresslyosaurus ingens 09 I 287
Avicula Arnaudi, Cenoman, Südfrankreich . 07 II 131
— arthonensis, Eocän, Loire inférieure . . . 06 I 154
— gansingensis, Schwaben . . . . . BB XXV *76*
— hirundo (Leiopteria), Culm, Königsberg b. Gießen . . . . . BB XXVIII *635*
— kieslingswaldensis, Kreide, Kieslingswalde 05 I 301
— Moloti, Eocän, Paris 07 II 303
— ? pernoides u. pusilla, Devon, Ostthüringen BB XXIV *292*
— subaizyensis, Palaeocen, Saratow . . . . 05 II 121
— vulgaris, Kreide, Schaumburg-Lippesche Mulde . . . . . 06 I 441
— Wähneri (Oxytoma), Bellerophonschichten, Bosnien . . . . . 05 I 105
— und Gervillia, Lettenkohle, Württemberg . CBl 1907 27
Aviculopecten impressus u. subfimbriatus, Culm, Königsberg b. Gießen BB XXVIII *634*
Awaruit
— Josephine-Bezirk, Oregon, chemisch . . . 1906 I 330
— Josephine Co., Oregon u. South Fork, Smith River, Del Norte Co., Kalifornien . . . . . 06 II 155
Axinaea fimbriata, Eocän, Loire inférieure . . . 06 I 155
— gouetensis, Eocän, Loire inférieure . . . 06 I 154
Axinit
— Biella, Piemont, Drusen im Syenit . . . 06 II 39
— Cornwall, kontaktmetamorphisch im Kalk . . . . . 09 II 205
— Kalifornien . . . . . 07 II 42
— Kristiania, Kontaktbildung . . . . . CBl 1909 *406*
— Nordamerika, Edelstein . . . . . 07 II 42
— Obira, Japan . . . . 09 I 33
Axinus regularis, Paläocän, Rugaard, Kattegat . . . . . 08 II 103
— volskensis, Paläocen, Saratow . . . . . 05 II 121
Azuay, Vulkan, Ecuador, Gesteine . . . . . 06 I 392

B.

Babinet'scher Kompensator, Dispersionsformel d. Doppelbrechg. im Quarz . . . . . CBl 1905 *23*
Bača-Tal u. Wocheiner Save, Geol. . . . . 05 I 448
Bacherosion, Vrchlicebach b. Kuttenberg, Böhmen . . . . . CBl 1907 *429*
Bactrites carbonarius, Untercarbon, Nordamerika . . . . . 05 I 526
Bactryllien, Lettenkohle, Schwaben . . . . . BB XXV *116*
Baculites asperoanceps, Senon, Texas . . . . 06 I 314
— Bailyi u. capensis, Kreide, Pondoland . 07 II 306
— brevicosta, Kreide, Bregenzer Wald . BB XXVII *19*
— Fairbanksi, Kreide, Kalifornien . . . . . 06 I 288
Baculogypsina . . . . . 08 I 308

Baculogypsina Bonarellii, Eocän, Celebes . . . 1908 II 286
— Meneghinii . . . . . 05 II 488
Baddeleyit, Ceylon, Krist. 1909 I 179 CBl 1907 410
Baden, geolog. Uebersichtskarte . . . . . 1906 II 84
CBl 1908 *556. 589. 610. 651*
Baden-Baden, Uebergangsgebirge . . . . . 09 II 65
Badiolites (Buchites) Aldrovandii, Trias, H. Andreas . . . . . BB XXV *462*
Baëna antiqua, Belly river beds, Red Deer river, Nordamerika . 07 I 439
— clara, emiliae, escavada, riparia u. sima, Nordamerika . . . . 09 I 452
— pulchra, Bell River beds, Alberta, Canada 06 II 137
Bär, neolith. Fauna, Mittelrhein . . . . . 06 II 441
Bären, Pleistocän. England . . . . . 08 I 438
Bäreninsel, obertriadische Fauna . . . . . 05 II 110
Baer'sches Gesetz der Abweichung d. Flüsse 07 I 382
Baiera delicatula, Trias-Jura, Victoria (Australien) . . . . . 08 I 150
— Guilhaumati, Carbon, Tonkin . . . . . 08 I 310
— moltenensis, Rhät, Südafrika . . . . . 08 I 454
— Wiesneri, Lias, österr. Voralpen . . . . . 08 II 448
Baikalsee, polärer Seentypus . . . . . 05 I 408
Bairdia dentata u. rostrata, Lias, Schwaben 09 II 320
Bairdien, Lettenkohle u. Keuper, Schwaben . BB XXV *114*
Bakerit, Kalifornien . . 05 I 36
Bakony, älterer Jura d. nordöstl. b. Csernye 05 II 426
Balaena Svedenborgii zweifelhaft . . . . . 09 I 437
— Tannenbergi = B. mysticus . . . . . 09 I 437
Balaenopteriden, Borbolya, Kom. Sopron, im ob. Mediterran . . . 05 II 305
Balangoda-Gruppe, Ceylon . . . . . 06 I 182
Balatonites shoshonensis, mittl. Trias, Nevada 1906 II 305
Balchasch-See, Süßwasser 06 II 194
Balkanhalbinsel, mesozoische Formationen der südwestlichen . . BB XXI *213*
Balneologie, Beziehung z. Geologie . . . . . 06 I 403
Balticum, Silur des nördlichen (Upsala) . . . 06 I 102
Baltische Endmoräne, Beziehg. zum Thorn—Eberswalder Haupttal 06 II 435
Baltische eocäne Tuff-(Asche-) Schichten, Westbalticum . . . . CBl 1907 *680*
Baltische Länder, südliche, Wirkung des skandinav. Erdbebens, 23. Okt. 1904 . . . 06 I 200
Baltische Sedimente, siehe südbaltische Sedimente CBl 1905 *97*
Baltischer Eisstrom, Posen, jüngerer . . . . 05 I 473
Bambanagites Kraffti, Tropites-limestone, Byans. . . . . 08 II 239
Banaba, siehe Ozean Island . . . . . 05 II 424
Bandai-Bogen, Ostasien 05 I 126
Banded jasper, Hospital Hill, Johannesburg . CBl 1906 *772*
Baptanodon, Jura, Osteologie . . 1906 I 311 09 I 447
— Reedi, Jura, Wyoming 08 II 441
— robustus, Osteologie 1906 II 136 09 I 447
Baptemys fluviatilis und tricarinata, Nordamerika . . . . . 09 I 452
Bara-Bai (Buru), Molukken, Ammoniten d. Asphaltschiefers . . . BB XXII *686*
Barbatia meridiana, Kreide, Pondoland . . . 07 II 306
Barchane, Clifton b. Karachi, Indien . . . . 05 II 417
— Südperu . . . . . CBl 1906 *373*
Barillopus unguifer, Carbon, Ostcanada . . . 05 I 339
Barkevikit, Bodenmais, optisch . . . . . 05 II 193
Baropezia sydnensis, Carbon, Ostcanada . . . 05 I 339
Baropus unguifer, Carbon, Joggins, N. S. . 05 I 340

Barranca de San Pablo, Mexiko . . . . . 1908 II *115*
Barrêmien, Norddeutschland, Gliederung . . CBl 1908 *162*
Barroisiceras . Brancoi, Mungokalk, Kamerun 05 I 153
— Haueri, Kreide . . . 07 II 149
— Hyatti, Buda limestone, Kreide, Nordamerika . . . . . 06 I 309
Barypoda, neue Ungulatenordnung . . . . 06 II 135
Barysit, Långban . . . 07 II 27
Baryt, siehe Schwerspat.
Barytfeldspat . . . . . 05 II 18
— Candoglia, im Calciphyr (Paracelsian) . 08 II 174
— siehe Celsian u. Paracelsian.
Barytheriidae, Tertiär, Fayum . . . . . 07 II 313
Barytocölestin
— ist Schwerspat . . . 09 II 360
— Binnental . . . . 1909 I 345. 346
Baryum und Strontium, Verbreitung in Erdkruste . . 1906 II 73 07 II 400
Baryum-Aluminium-Phosphate, Diamantsand, Brasilien . . . . . 08 I 32
Baryumcarbonat bei höherer Temperatur . 08 I 16
Baryumchlorid, orientierte Auflagerung auf Uranocircit . . . . . 05 II 368
Baryumchlorür u. -brom ür, Isomorphismus 08 I 319
Baryumchromat, künstl. Kristalle . . . . . 06 I 30
Baryumgehalt d. Spaltenwässer u. Schwerspatbildung, Westfalen . 06 II 73
Baryumkalifeldspate, Zusammensetzung etc. . 05 II 18
Baryumnitrat, Isomorphie mit Bleinitrat . . . 08 II 171
Baryumquecksilberbromid zur Trennung von Mineralien . . . . . 08 II 2
Basalt
— Ausdehnung beim Erstarren . . . . . 09 I 51
— Einschlüsse (Xenolithe) . . . . . 09 II 59
— kokkolithischer Zerfall . . . . . CBl 1909 *311*
Basalt
— mit Rhönit . . . . . BB XXIV *475*
— Vanadiumgehalt . . 1907 I 411
— Beagle-Expedition . . 09 II 394
— Ajnácskö, Kom. Gömör, Burgberg, Lakkolith . . . . . 05 II 383
— Antarcticum, Gaus-Berg, Leucit 1906 II 51 08 I 75
— Antarktis . . . . . 09 II 76
— Aouache, Ostafrika . 07 II 415
— Argentinien . . . . . BB XXII *602*
— Baden, Freiburg i. Br., Gänge d. Umgegend CBl 1908 *261*
— bad. Oberland, Nephelin- . . . . . 06 II 60
— — Wartenberg bei Geisingen 1907 II 403 09 II 67
— Basutoland . . . . . 09 II 235
— Böhmen, zw. Böhm.-Kamnitz u. Kreibitz 06 II 358
— — Böhm.-Leipa und Dauba . . . . . 08 II 62
— — Jakuben, Nephelin-, Einschlüsse . . 08 I 58
— — Kosel bei Böhm.-Leipa . . . . . 07 I 62
— — Melnik . . . . . 07 I 59
— — Tepler Hochland, u. andere basalt. Ergußgesteine 1906 II 355 09 II 221
— böhm. Erzgebirge, Rothau, u. Einschlüsse BB XXIII *485*
— böhm. Mittelgeb. (Großpriesen) . . . . . 05 I 272
— — Kostenblatt—Milleschau . . . . . 06 II 82
— Bühl b. Kassel, eisenhaltig . . 1907 II 13 CBl 1907 *276*
— Buru, West.-, ind.-austral. Archipel, Melilith- . . . . . BB XXIV *149*
— Cassel, am Bühl, mit Eisen . . 1907 II 13 CBl 1907 *276*
— Ecuador . . . . . 05 II 76
— Erdschias Dagh, Kleinasien . . . . . 09 II 234
— Färöer CBl 1908 *675* CBl 1909 *778*
— — mit ged. Kupfer 09 II 396
— — mit Zeolithen . . 09 I 27
— Finkenberg b. Bonn, Urausscheidungen . . CBl 1908 *417*
— Franz-Josephs-Land . 09 II 396
— Gerona u. Olot, Katalonien . . . . . 09 I 222

Basalt
— Grahamsland . . . . 1908 I 77
— Grönland, Mineralien CBl 1908 344
— — — im östlichen . 06 II 182
— — Uifak, Disko, eisenhaltig . . 1908 I 235 09 II 167
— — westl. Nord- . . . 07 I 250
— — — — u. Eisen v. Uifak . . . . . 08 I 235
— Haßgau . . . . . 08 II 368
— Hebriden, Beziehung zu Dolerit . . . . . 08 I 222
— Heiligenstadt in Oberfranken, u. Tektonik d. Frankenjura . . . CBl 1906 *390*
— Hessen, Verwitterung d. Olivin u. Verwachsg. d. rhomb. u. monokl. Augits . . . . . CBl 1907 *372*
— — Bühl b. Cassel, ged. Eisen 1907 II 13 CBl 1907 *276*
— — Gießen u. Allendorf . . . . . 05 II 50
— — Oberwiddersheim, Mandelausfüllung im Anamesit . . . . . CBl 1905 *142*
— — östl. d. Linie Wabern—Gensungen . . 07 II 403
— — Reinhardswald b. Cassel, Lagerung . . 05 II 287
— — Roßberg b. Darmstadt . . . . . 06 I 367
— — Schwälmer Land . BB XXIII *345*
— — Steinheim, Anamesit . . . . . 07 I 229
— — Vogelsberg, Bahn Grebenhain—Gedern . 06 II 59
— — — Westrand . . 07 I 230
— — — und Wetterau, technisch . . . . . 05 I 438
— Holland, Diluvialgeschiebe, bes. Groningen CBl 1906 118
— Irland, Einschlüsse . 09 II 59
— Island, u. Tuffe . . . CBl 1909 *622*
— Italien, Aci Castello-Gegend . . . . . 05 I 48
— — Aetna, Radioaktivität . . . . . 07 I 11
— — Coppaeli, Bolsener Gebiet, melilithführ. 05 II 224
— — Cycloneninseln, Einschlüsse . . . . . 07 I 389
— — Euganeen . . . . 08 II 204
— — Sardinien, Coloru, im nördl. . . . . 08 II 45
— — — Monte Ferru . 08 II 227

Basalt
— Italien, Ustica . . . 1909 II 71
— Kairo u. Suez, Beziehung zum versteinerten Wald . . . . 07 I 393
— Kapkolonie, Tuffröhren . . . . . 07 II 114
— Karolinen, Nephelin- 05 II 74
— Katzenbuckel . . . . 08 II 350
— Kaukasus . . . . . 06 I 389
— Kiautschou, Feldspat- 06 II 369
— Mährisch-Ostrau, Anal. 08 I 378
— Massiac (Cantal), Alter 08 II 406
— Mexiko, Pflanzeneinschlüsse u. Schlacke 09 II 393
— Mexiko-Tal . . . . . 08 I 239
— Mittelmeergebiet, westliches, titanreich 1909 I 64 09 II 226
— Mullion, Irland, Cornwall, Feldspat-, Struktur u. Hornsteingehalt 05 II 387
— Neuseeland, Otago-Halbinsel . . . . . 08 I 234
— Neu-Süd-Wales, Analcim-, Sydney . . . 1907 I 397. 400
— — Leucit- u. Olivin- 07 I 403
— — Nephelin- . . . . 07 I 401
— — — Capertee-Tal . 07 I 396
— — Olivin-, Sydney, chemisch . . . . . 07 I 400 ff.
— — Cambewana Range 07 I 398
— Niederrhein, Einschlüsse von Graphit u. Molybdänglanz . . . . . CBl 1908 *97*
— — mit Kupfer und Kupferverbindungen . CBl 1908 *705*
— siehe auch Rhein.
— Nordamerika, Arizona, Tucson Mountains, Pima Co. . . . . 07 II 230
— — Crater Lake, National Park . . . . . 05 I 253
— — Highwood Mountains, Montana . . . 06 II 373
— — John Day Basin, Cherry Creek, Quarz- 05 II 234
— — Santa Cruz Mountains, San Mateo Co., Cal. . . . . 06 II 372
— Norddeutschland, erratisch, im Diluvium 09 II 64
— Odenwald, Gänge im inneren . . . . . CBl 1907 *69*
— — Mitlechtern, Hornblende . . . . . CBl 1907 *69*

Basalt
— Odenwald, nördlicher 1909 II 380
— Ottendorf, Schlesien, Anal. d. Verwitterungsprodukte . . . . . 05 I 200
— Panamakanal . . . . 09 II 393
— Rhein, Statistisches . 09 II 379
— — Kuckstein b. Oberkassel u. Solling, lateritähnl. Umwandlg. 06 II 53
— — Petersberg (Siebengebirge), metamorphosierte Einschlüsse . . 09 II 379
— siehe auch Niederrhein.
— Rowley Regis (Staffordshire), Verwitterg., vergl. mit Lateritbildung bei Bombay . . 07 I 391
— Roth a. d. Rhön . . 05 II 212
— Sankt Helena, Feldspat- u. Tuff . . . . 05 II 76
— Sawaii, Feldspat- . . 05 II 75
— Schonen, mikroskop. Strukturbilder . . . CBl 1906 117
— Schwäb. Alb, u. Tuffe 06 II 205
— Senegal (Cap Vert) . 08 I 228
— Skye . . . . . 06 II 64
— Somaliland, Feldspat- 05 I 248
— Steiermark, Gleichenberg . . . . . 06 I 408
— — Kapfenstein, Bomben u. Einschlüsse . CBl 1908 *297*
— — Weitendorf u. Mineralien der Hohlräume BB XXVII *219*
— — — Kalkeinschluß CBl 1908 *257*
— — — Lakkolith . . CBl 1905 *397*
— Tasmanien . . . . . 08 I 392
— — Hobart, Fayalit- CBl 1909 *6*
— — Melilith- . . . . 07 II 80
— — Shannon Tier b. Hobart, Melilith-Nephelin- . . . . . 08 I 392
— — Wynyard . . . . 09 II *171*
— Taunus, Maare . . . 07 I 228
— Tripolis . . . . . 07 I 66
— Tuamotu-Inseln und Pitcairn, Feldspat- . 07 II 416
— siehe auch Anamesit, Basanit, Nephelinbasalt, Tephrit etc.
Basaltasche, Moler, Jütland . . . . . 07 I 220
Basaltbomben, Katzbachgebirge . . . . . 05 I 233
Basalteisenstein, Vogelsberg, Nordrand . . . 1907 I 77
Basalthütte, Mte Ferru, Sardinien . . . . . BB XXI *38*
Basaltische Gesteine, Verbreitung d. Aenigmatit CBl 1906 *206*
Basaltmaare, Taunus . . 07 I 228
Basaltschlacken Goethe's, Karlsbad . . . . . 05 I 256
Basaltstrom, Ploaghe, Sardinien . . . . . 09 II 228
Basalttuff
— Oststeiermark . . . . 08 I 61
— Schwäb. Alb, Auswürfl. krist. Schiefer u. Tiefengesteine . . 07 I 387
Basanit
— Böhmen, zw. Böhm.-Kamnitz u. Kreibitz 06 II 359
— — Tepler Hochland 06 II 355
— Vesuv, Eruption 1906 CBl 1906 *497*
Basel, Keuperflora der Neuen Welt . . . . 07 I 492
Basische Gänge, Caernarvonshire . . . . . 05 II 389
Basische Schlieren im Granit, Schlesien . . . . 06 II 198
Basler Jura, Glazial . . 05 I 311
Basophile Färbung von Mineralien durch organ. Farbstoffe . . BB XXVIII *342*
Basterotia acuta, Eocän, Paris . . . . . 07 II 303
Bastit, Beziehung zu Augit im Basalt . . . . 07 II 59
Basutoland, alte Vulkane 09 II 234
Batakländer (Sumatra), Ergußgesteine . . BB XXVII *401*
Batholith
— Cascade Mountain Cal., Okanagen . . . . . 09 I 68
— Marysville-Distrikt, Montana . . . . . 09 I 74
Bathropyramis rara, Scaglia, Euganeen . . . . 06 I 475
Bathygnathus borealis, Perm, Prince Edward Island, Canada . . . 08 I 297
Batrachierfährten,
— Carbon, Joggins N. S. 05 I 340
— — Ostcanada . . . . 05 I 339
Batrachosuchus Browni, Karru-Schichten, Aliwal North, Südafrika 07 I 313
Baumaterialien, Deutschland u. Griechenland 08 II 217

Baumhauerit, Binnental, Krist. . . . . 1905 I 19
Baumstamm
— Belgien, Carbon, aufrecht . . . . . 05 I 458
— Chemnitz, verkieselter, Rotliegendes . . . . 08 I 311
— New York, Mitteldevon . . . . . 08 II 449
Baumstämme, verkieselte, Island, Ostküste . . CBl 1908 *66*
Bauschanalysen von Gesteinen, Interpretation 05 II 209
Bausteine
— abgekürzte Wetterbeständigkeitsprobe . 08 II 218
— natürliche . . . . . CBl 1908 762
— Verwitterung a. Kölner Dom . . . . . 07 II *42*
Bauxit . . . . . CBl 1909 *326*
— Vanadiumgehalt . . 07 I 411
— Biharer Gebirge, Ungarn, Lagerstätten . 07 I 260
— Georgia . . . . . 06 II 161
— Indien, Entstehung . 06 II 330
— Italien . . . . . 05 I 22
— vom Kuckstein b. Oberkassel u. Solling . . 06 II 53
— Montpellier etc., Färbung durch organ. Farbstoffe . . . . BB XXVIII *373*
— Vogelsberg, Färbung durch organ. Farbstoffe . . . . . BB XXVIII *374*
— — Magnetismus . . 07 I 43
— siehe auch Laterit.
Baveno, Mineralien von Montorfano . . . . . 07 I 39
Bayern
— Faciesentwicklung der Oligocänmolasse im südlichen . . . . . CBl 1906 576
— nutzbare Mineralien u. Gesteine . . . . CBl 1907 245. 247
— Petroleum . . . . . 07 II 127
Bayreuth, Muschelkalkfauna . . . . . 09 I 131
Bayrischer Wald
— Grundgebirge . . . . 05 I 235
— Westrand zw. Regenstauf u. der Bodenwöhrerbucht . . . . BB XXI *468*
Beagle-Expedition, Gesteine . . . . . 09 II 394
Beckelith, Balka Wali-Tarama, im Mariupolit 06 I 341
Beerbachit, Odenwald . CBl 1907 *123*
Behringstraße, Tektonik 1908 I 409
Belbites disodilis, mitteleocän. Dysodil, Melilli, Sizilien . . . . . 05 II 152
Belemniten
— Arme . . . . . 07 II 493
— in der Chablais-Breccie 09 I 401
Belemnites im Cenoman, Nordwestdeutschland 06 II 426
— Abeli, fellabrunnensis u. minaretoides, Tithonklippen, Niederfellabrunn . . . . . 06 I 440
— absoluti, indo-austral. Archipel . . . . . CBl 1909 *563*
— africanus, dicoelus u. Gerardi . . . . . CBl 1909 *563*
— alfuricus, galoi, taliabuticus, sularum, moluccanus . . . . . 07 II 447
— Lacombei, Kreide, nördl. Madagaskar . 07 I 429
— miatchkoviensis . . . 05 I 131
— obtusus, Jura, Black Hills . . . . . 08 I 264
— patagoniensis, untere Kreide, Patagonien . BB XXV *640*
— ultimus, Varians-Pläner, Misburg b. Hannover . . . . . 06 I 316
— ultimus-Schichten, Dithmarschen . . . . CBl 1906 *275*
Belemnoid, Chalk, Flamborough Head . . . 05 I 356
Belgien
— aufrechte Stämme im Carbon . . . . . 05 I 458
— Campine, Carbon . . 05 I 455
— — Untergrund . . . 05 I 450
— Carbon, Insekten . . 05 I 523
— Kohlenbecken d. nördlichen . . . . . 05 I 127
— Kohlenkalk, Echinodermen d. schwarzen Marmors von Dinant 05 II 147
— Kreide . . . . . 1906 I 289. 290
— Mosasaurier . . . . 05 II 308
— Quartär, Gliederung, Schotter etc. . . . . 05 I 477 ff.
— Remonchamps-Höhle, Artefakte . . . . . 05 I 322
— Tertiär . . . . . 07 I 442
— Wealdenflora v. Bernissart . . . . . 07 I 491
— u. Westfalen, Carbon 05 I 456

Belgrandia cf. Deydieri, Pliocän, Cueva Rubbia, Spanien . . . . 1907 II *21*
Belit im Portlandzement 08 I 249
Belknap Mountains, N. Hampshire, Gesteine 1907 II 236 08 I 379
Belledonne-Kette
— Dauphiné, Geol. der südlichen . . . . . 07 II 263
— Tektonik . . . . . 05 I 283
— Zusammensetzung der Gesteine . . . . . 06 I 378
Bellelay, bern. Jura, tekton. Karte . . . . . 05 II 247
Bellerophon bicarenus, reticulatus, textilis u. spec., Culm, Königsberg b. Gießen . . BB XXVIII *645*
— globosus u. var. acuta, Devon, Bolivia . . . BB XXV *504*
— (Bucania) subaënsis, Bellerophonschichten, Bosnien . . . . . 05 I 105
Bellerophonkalk, Cadore, Fauna u. Alter . . . 06 I *52*
Belly river beds, Nordamerika, Wirbeltiere . 07 I 439
Belonorhynchus ident mit Saurichthys . . . . CBl 1909 *58*
Belonostomus, Beziehung zu Belonorhynchus u. Saurichthys . . . . CBl 1909 *58*
Beludschistan, Tertiär d. Kap Ormara, Mekran-Küste . . . . . 06 I 118
Beluga, Boldérien, Antwerpen . . . . . 07 I 132
Belvedereschotter, alter 1905 II 437 CBl 1908 *386*
Belzungia Borneti, Tertiär (Thanétien), Boncourt (Oise) . . . . 08 II 406
Benedius deneensis, Carbon, Denée, Belgien 05 II 481
Benettites, Struktur d. Blätter . . . . . 07 II 504
Benitoit
— Kalifornien, San Benito River . . . . 1908 II 301. 303
— — — — Kristallform CBl 1909 *293*. 410. 592
Benkovac-Novigrad, Dalmatien, Geol. . . . . 05 I 454
Bentheim-Isterberger Sattel, Querprofil . . . 09 I 410
Benthos, Vernichtung d. subaquat. Rutschung 1908 II *156*
Benzoylcamphorylhydroxylamin, aktiv, Krist. 07 I *98*
Benzoylmethylhexanonoxym, opt. Isomerie . CBl 1905 *178*
Berardius, Boldérien, Antwerpen . . . . . 07 I 132
Berechnung v. Gesteinsanalysen, Molekularquotienten . . . . . 05 I 57
Berellaia Allixi u. Bonneti, Eocän, Paris . . . 07 II 303
Bergakademie Freiberg, Geschichte . . . . . 07 I 371
Bergkalk mit Sandsteingängen, Snelston (Derbyshire) . . . . 05 II 388
Bergkristall
— nicht homogen . . . 07 II 20
— Umwandlung in den amorphen Zustand durch Schmelzen . . 05 II 14
— Zwettl, niederösterr. Waldviertel . . . . . CBl 1908 251
— Friedeberg (Österr.-Schlesien), Kontakt . 07 II 34
— Indien . . . . . 05 II *69*
— — krist. u. opt. . . 05 II *69*
— siehe auch Quarz.
Bergman series, Alaska, nördl. . . . . 06 I 93
Bergpech, Dzyschra-Berg, Abchasien . . . . . 06 I 230
— siehe auch Asphalt etc.
Bergrutsch, Mte. di Avane b. Pisa, altalluvial . . 05 I 57
Bergschläge 1908 II 57 09 II 211
Bergschlipfe, Volterra . 06 II 349
Bergstürze im Gefolge der Eiszeit (Interglazial) 08 II 339
Bergsturz, Godesberg a. Rhein . . . . . 07 I 225
Bergzucker, Chiesonetal (Piemont), Pomaretto 09 II 205
Berici, Colli . . . . . 06 II 244
Berlin
— Alter der Paludinenschichten, Beziehung zu ältester Vereisung bei Rüdersdorf und Hamburg . . . . . CBl 1906 *181*
— Diluvium . . . . . 07 II 465
Berner Alpen, Geol. 1905 I 276 07 II 439
Berner Jura, geol. Karte 09 I 400

Berner Voralpen, Hornfluh, Geol. . . . . 1907 I 99
Bernoullia lunzensis, Lunzer Schichten. . . . 09 I 465
Bernstein
— Beziehung zu Birmit 08 I 357
— — — Rumänit . . . 08 II 326
— Brechungskoeffizienten 07 I 211
— gebrannter . . . . . 08 I 358
— Säugetierhaare . . . 07 II 485
— baltischer, Käfer . . 07 I 323
— — Borkenkäfer . . . 08 II 112
— Dänemark, im Tertiärton . . . . . 06 I 347
— Nordamerika 1906 I 358 07 II 43
— Ostpreußen, Flora . . 09 I 307
— Rumänien u. Beziehg. zu Retiniten 1908 I 357 08 II 326
— Samland, Vorkommen in d. „blauen Erde“ 05 II 287
Berrias, Ostafrika . . BB XXVIII *187*
Berriasella tlachiacensis u. Xipei, unt. Kreide, Patagonien . . . . . BB XXV *623*
Berthelinia ? elongata, Eocän, Loire inférieure 07 II 302
Bertrand, Marcel, Nekrolog *449*
Bertrandit
— Cornwall . . . . . CBl 1905 *30*
— Sankt Gotthard (Fibbia) = Hessenbergit . 05 II 23
Berwyn Hills, Wales, Eruptivgesteine . . . 05 II 386
Berycopsis major, Chalk, England . . . . . 05 II 137
Beryll
— Färbung durch Radium . . . . . 07 II 171
— Adun-Tschilon, Krist. 05 II 192
— Alexander Co., N. C., Rolle d. Wassers . . 09 II 19
— Brasilien, krist. und phys. . . . . BB XXV *135*
— Cañyon, Col., etc. . . 09 I 30
— Elba, Krist. . . . . 05 II 23
— Kalifornien, Krist. . 07 II 182
— — Diego County . . 08 II 27
— — u. Utah, Edelstein 07 II 42
— Neu-Süd-Wales, Krist. 06 I 360
— Schmiedeberg (Riesengeb.), im Granit CBl 1909 *771*
— Tonkerhoek, Deutsch-S.-W.-Afrika . . . . 09 I *98*
Beryll
— Ural, Lipowka, = Worobejeffit . . . . . 1909 II 21
— Val d'Antoliva u. di Cosasca, Piemont . . 07 I 204
Beryllonit, Stoneham, Brechungskoeffizienten 08 II 143
Beskiden, Geologie . . . 06 II 405
Bessarabien
— Erdbeben . . . . . 06 I 42
— Tertiär, Moldau . . . 06 I 407
Bessarabische Unterstufe, sarmat. Stufe, Moldau 05 I 470
Bestimmung der Mineralien
— mikroskopische, mittels Brechungskoeffizienten CBl 1906 551
— — . . . . . CBl 1906 246. 522. 745
— nach äußeren Kennzeichen, Weisbach . . CBl 1906 480
Beudanti-Gruppe, Kreideammoniten, Krim . . 06 I 315
Beuteltierknochen, Australien, Cunningham-Goldfeld . . . . . 07 I 458
Bewegungen
— der Erdkruste . . . . 05 I 222
— junge, Anden und Schweiz . . . . . 05 I 232
— des Landes, New York 07 I 51
— siehe Bodenbewegungen.
Bewegungsgruppen, 32 endliche, bei Kristallen 07 I 2
Beyrichia argentina, Devon, Bolivia . . . . BB XXV *502*
— — — Jachal, Argentinien . . . . . 06 I 303
— cf. striatisulcata und subcylindrica, Devon, Ostthüringen . . . . BB XXIV *303*
Biarritz
— Fossilien aus den blauen Mergeln von Côte des Basques . . . . . 06 II 439
— Nummulitenschichten 05 II 288
— tert. Foraminiferen . 06 II 311
Bieberbaue, Obermiocän, Nebraska u. Wyoming, = Daemonelix . . . 07 I 460
Bieber, siehe auch Castor.
Bieberit, künstl., Krist. . 05 II 192
Biella, Piemont, Mineralien in Syenitdrusen 06 II 33
Bigenerina elegans, Leonhardi, Milchi, Sumatrana u. Wysogorskyi, Obercarbon, Sumatra 07 I 327

Bildung u. Umwandlung von Mischkristallen u. Doppelsalzen in den binären Systemen d. dimorphen Sulfate von Li, Na, Ka und Ag BB XXIV *1*
Billitonit
— kosmischer Ursprung CBl 1908 *737*
— siehe auch Tektit, Moldawit, Australit etc.
— Brechungskoeffizient . CBl 1909 *467*
Biloculina angusta, Balcombian deposits, Victoria (Austr.) . . . . 1908 I 305
— paradoxa, Clavulina
— Szaboï-Schichten, Kruhel maly bei Przemysl 06 I 472
— — unteres Oligocän, Kruhel maly b. Przemysl . . . 1905 I 320 05 II 434
Biloculinen, fossile . . . 07 II 340
Bimicroporella ventricosa, Tertiär, Patagonien . 05 II 141
Bimsstein
— Ustica . . . . . 09 II 72
— Westerwald, rhein. Ursprung . . . . . 05 II 430
Bimssteinsand, Westerwald, Alter u. Lagerung . 07 II 61
Binäre Schmelzen, Kristallisationsgeschwindigkeit . . . . . 06 I 7
Binnenseen, umgestaltende Vorgänge . . . . 07 I 116
Binnental
— Beschreibung d. Steinbruchs v. Lengenbach CBl 1907 93
— Hutchinsonit, Smithit u. Trechmannit . . . CBl 1905 283
— Mineralien 1906 I 167 1906 II 15. 27. 30 1908 I 204 CBl 1905 *30. 490. 752* CBl 1908 52
Binnit, Binnental, Zwilling . . . . . CBl 1908 52
Biotit . . . . . 09 I 319
— chem. Konstitution . CBl 1907 *51*
— — Unterschied in Granit und Gneis . . CBl 1907 *613*
— Einwirkung von Radiumbromid . . . . CBl 1909 *69*
— pleochroit. Höfe . . CBl 1909 *117*
— Temperatur, bei der H_2O entweicht . . . CBl 1908 *518*
— Canale Monterone (Rom), im Tuff . . . 06 I 172
Biotit
— Easton, New Jersey, chem. . . . . 1906 I 353
— Schmiedeberg (Riesengeb.), im Granit CBl 1909 *770*
— Vesuv 1906 . . . . 08 I 44
— siehe auch Glimmer.
Biotitglimmerschiefer, Pizzo Forno, Tessin BB XXVI *506*
Biotitporphyr, Kiautschou 06 II 367
Biotitschiefer
— Enderby-Land, gedredscht . . . . . 06 II 371
— Gotthardtunnel, chemisch . . . . . BB XXVII *191*
Biradiolites Aguilerae, cardenasensis u. potosianus, Senon, Cardenas, Mexiko . . . 08 I 102
— persicus, Kreide, Südpersien . . . . . 06 I 443
Birma, Jadeit . . . . . CBl 1906 *97*
Birmit, Beziehung z. Bernstein . . . . . 08 I 357
Bisbee, Arizona, Kupfererze . . . . . 05 I 41
— Quadrangle, Arizona, Geologie u. Erzlagerstätte . . . . . 06 I 175
Bischofit, Kristallform u. Deformationen, optisch . . . . . 06 I *92*
Bishop'sche Sammlung von „Jade"-Gegenständen, New York . 05 I 30
Bisilikate von Ca u. Mn, Isomorphismus und Schmelzung . . . . 09 II 343
Bismit, Pala, Cal. . . . 05 I 17
Bithinia Pistati, Eocän, Paris . . . . . 07 II 303
— pisum, Cenoman, Südfrankreich . . . . . 07 II 132
Bithynische Halbinsel, Aufbau . . . . . CBl 1909 *653*
Bitter-root Range und Clearwater Mountains, Montana u. Idaho, Geologie . . . . . 05 II 200
Bittersalz
— Kristallform . . . BB XXIII *315*
— ozean. Steinsalzlager, ob. Existenzgrenze . 05 I 192
— Zirkularpolarisation . 05 II 335
Bitterseen, Wadi Tumilat, Aegypten . . . . 07 I 427

Bitterwässer, Böhmen . 1906 II 191
Bitterwasserquellen, Ofen, Entstehung . . . . . 06 I 404
Bituminöse Gesteine, Eigenwärme . . . . 06 II 48
— siehe auch Asphalt u. Erdpech.
Blaca Polje bei Spalato 05 I 452
Black Hills
— Kreide . . . . . 07 II 505
— nördl., Mineralschätze 05 II 32
Bläherde, Schweden, Bildung . . . . . 06 II 350
Blätterserpentin, Geißpfad, Oberwallis . . . 05 II 221
— siehe auch Antigorit.
Blättertone u. Overwegi-Schichten, libysche Wüste . . . . . 06 I 319
Blaini-Konglomerat, Verbreitung im Hindu-Kusch etc. u. Alter 05 II 415
Blasenzüge im Melaphyr 06 II 200
Blastische Strukturen d. krist. Schiefer . . . 05 I 72
Blastoconus Robertsoni, Kreide, Lago Musters, Patagonien . . . . . 05 I 497
Blastogranitische, blastophytische, blastoporphyrische, blastopsammitische u. blastopsephitische Struktur der krist. Schiefer . . . 05 I 73
Blattiden
— Adern d. Flügel . . 07 I 321
— Carbon, Nordamerika 05 I 524
Blaue Erde siehe Bernstein.
Blaues Steinsalz . . . 1909 II 186. 187
Blaugrund
— Deutsch-S.-W.-Afrika 08 I 70
— Newlands-Grube . . 09 II 238
— Südafrika . . . . . 09 II 237
Blauschlick, nordatlant. Ozean . . . . . 05 I 425
Blei
— abgedunstet aus einer Bleisilberlegierung . . 09 I 135
— abgetrieben aus einer Bleigoldschmelze . . 09 II *135*
— Struktur des kristallisierten . . . . . 05 II 348
Bleiberger Tal, Kärnten, Geologie . . . . . 09 I 416
Bleichromat, künstl. Kristalle . . . . . 06 I 30
Bleidose f. mikrochem. Silikatanalyse . . . . CBl 1905 *247*
Bleierde, Nagolnij Krjasch, Donetz-Becken . . . 1907 II 196
Bleierze
— Arkansas, Ozark-Region . . . . . 05 II 36
— Concepcion del Oro, Zacatecas, Mexiko . BB XXVIII *553*
— Lansetto (Valli del Gesso), Gänge . . . 06 I 232
Bleierzgänge, Markirch . 09 I 27
Bleiglätte, Sardinien, Argentiera della Nurra, Portotorres . . . . . 06 I 32
Bleiglanz
— als unipolarer Leiter BB XXI *338*
— Elektrizitätsleitung 1906 II *37* 07 II 5
— Kristallflächen . . . 06 I 1
— Altai, Grube Tschudak . . . . . 09 II 368
— Angoni-Land, brit. Zentralafrika, Ag-haltig . . . . . 07 I 237
— Brosso u. Traversella 08 I 40
— Carrara, im Marmor 07 I 215
— Elba, Rosseto, Aghaltig . . . . . 07 I 254
— Freiberg, Schmelzpunkt . . . . . 09 II 183
— Markirch . . . . . 09 I 26
— Mazarrón, Spanien, Lagerstätte . . . . . 07 II 82
— Montorfano (Baveno) 07 I 40
— Nagolnij Krjasch, Donetz-Becken . . . . 07 II 192
— Nagolny-Gebirge, Pseudom. v. Weißbleierz nach der Spaltbarkeit d. Bleiglanzes . . . . CBl 1908 7
— Nordamerika (Illinois, Wisconsin und Kentucky) . . . . . 06 II 180
— Ontario, Central-Hastings-Land, Vorkommen . . . . . 08 I 247
— Pribram, Ag- u. Sn-Gehalt . . . . . 08 I 401
— Ratiboric, Böhmen . 09 II 366
— Schwarzer Berg bei Türnitz, Niederösterreich (Tigererz) . . . 06 II 174
— Spanien, Sierra de Bédar u. Coscojares etc., Vorkommen . . . 08 I 243

Bleiglanz
— Val Strim b. Sedrun, Schweiz . . . . . CBl 1905 *466*
— Vesuv 1906. 1908 I 45. 173. 328. 329
Bleiglanzgang, Argentinien, Prov. S. Luis 1905 I 259
Bleigummi . . . . . CBl 1909 *330*
Bleihalogene, Silber-, Thallo- u. Cuprohalogene, Mischkristalle aus Schmelzfluß . . . . BB XXII *1*
Bleiniere . . . . . CBl 1909 *330*
— Sardinien, Argentiera della Nurra, Portotorres . . . . . 06 I 32
Bleinitrat, Isomorphismus mit Baryumnitrat . . 08 II 171
Bleiphosphat-Favas, Brasilien, Diamantsand . 08 I 34
Blende, siehe Zinkblende.
Blitz, magnetisierende Einwirkung auf Laven u. Ton . . . . . 07 II 389
Blitzröhren, sogen., im Quadersandstein, Nordböhmen . . . . . BB XXV 473
Blockkies . . . . . 06 I 205
Blödit, siehe Astrakanit.
Blomstrandin, Norwegen, Granitpegmatitgänge d. südlichen . . . . 08 I 349
Blue ground, siehe Blaugrund.
Blumauer Porphyr, Bozen . . . . . BB XXVII *94*
Bobierrit, Entwässerung 05 II 4
Bocheggiano, Kupfererze 05 I 387
Bochianites Versteeghi u. Weteringi, Suluinseln 05 I 152
Bochnia, Salzwerke . . 06 II 405
Bockkäfer, balt. Bernstein, Deutung . . . 07 I 323
Bodenanalyse
— chemische, Wert . . 08 II 186
— mechanische . . . . 05 I 59
— Westpreußen, Diskussion . . . . . 06 II 202
— siehe Böden.
Bodenbewegungen
— Nachweis durch Nivellement, Böblingen—Lustnau . . . . . 08 I 213
— München . . . . . 09 I 198
— Neu-Laitzen, Livland 07 II 50
— siehe Bewegungen, Bodenschwankungen.
Bodenbildende Mineralien, Zersetzung . . . . . 1907 II 401
Bodenkunde
— Mitscherlich . . . CBl 1906 587
— Ramann . . . . . CBl 1905 596
Bodenschwankungen, Brescia-Gegend . . . 05 II 373
— siehe Bodenbewegungen.
Bodenschwingungen durch Kirchenglocken, Leipzig . . . . . 05 II 370
Bodensedimente, nordatlant. Ozean . . . . 05 I 424
Bodenseegebiet, Würmgletscher, Rückzug . CBl 1907 *257*
Bodensenkungen durch Entwässerung lockerer Gesteine, rhein.-westfäl. Kohlenbezirk . . 09 I 77
Bodenuntersuchung, wissenschaftliche . . . . CBl 1904 150
— siehe Bodenanalyse.
Boeckia Mobergi, Dictyonema-Schiefer, Angermanland . . . . . 06 II 298
Böden
— Feinerden . . . . . 06 I 207
— in ariden u. humiden Gebieten der Verein. Staaten . . . . . 08 II 188
— Kaligehalt . . . . . 06 I 48
— mineralog. Analysen 06 I 208
— siehe Ackererden, Ackerboden etc.
Böhmen
— Bitterwässer . . . . 06 II 191
— Bonebed im Turon . . 06 II 428
— Devon, Etage H . . 06 I 272
— — — Pflanzen . . . 06 II 145
— eisenreiche Kernkonkretionen aus dem Quadersandstein des nördlichen . . . . . BB XXV *467*
— Eruptivgesteine von Mělnik u. Mšeno . . 07 I 58
— Gesteine des Cambriums im Westen . 05 I 56
— Granitkontakt am Kalk 06 II 360
— Kartenblätter Böhm.-Leipa, Dauba, Deutschbrod, Reichenau, Tynist, St. Poelten . . 08 II 59 ff.
— Kladno - Rakonitzer Kohlenbecken . . . 06 I 275
— Klippenfacies im Cenoman . . . . . 06 II 427

Böhmen
— Kreide . . . . . 1905 II 113
— Kreide-Inoceramen . 05 I 356
— oberste Kreide, Beziehung zu Sachsen u. Schlesien . . . . BB XXIV *676*
— Turon, Bonebed . . 06 II 428
— Zweischaler d. Rotliegenden . . . . . 05 I *44*
— Adersbach - Weckelsdorf, obere Kreide . 06 I 288
— Böhm.-Leipa, Kartenblatt . . . . . 08 II 62
— Franzensbad, Marienbad, Karlsbad . . . 05 II 95
— Lothka bei Beraun, untersilur. Fauna . . 06 I 300
— Mittelgebirge, Bostonit . . . . . 08 I 59
— — Eruptivgest., vergl. mit amerik. Anden . 05 II 52
— — Geologie . . . . 07 I 102
— — geolog. Aufnahmen (Aussig und Großpriesen) . . . . . 1905 I 268. 272
— — Gesteine d. Essexit-Gefolgschaft . . . . 08 I 59
— — Kontakt zw. Phonolith u. Kreidemergel, Mädstein . . . . . 09 II 219
— — Kostenblatt—Milleschau . . . . . 06 II 81
— — tert. Flußspatgänge 08 II 293
— — vulkan. Ausbrüche CBl 1909 *526*
— — Zeolithe von Großpriesen . . . . . CBl 1909 159
— — — von Schönpriesen . . . . . CBl 1909 154
— östliches, Kreide 1906 I 285. 287. 289
— Proßnitz—Plumenau, Geologie . . . . . 09 I 98
— Tepler Hochland, Ergußgesteine, basaltische 06 II 355
— — — — trachytische u. andesitische . . . 06 II 353
— westliches, Alaun- u. Pyritschiefer . . . . 06 I 51
— siehe auch Basalt etc.
Böhmisch-Leipa, Kartenblatt . . . . . 08 II 62
Böschungen, maximale, trockener Schuttmassen 07 I 380
Bogengebirge, Ostasien . 05 I 119
Bogosloff-Insel, Beringsmeer, Eruption fester Massen . . . . . 05 II 396
Bohemura Jahni, Silur, Böhmen . . . . . 1908 I 135
Bohlweg, vorgeschichtlicher, Wittmoor (Holstein) . . . . . 06 I 119
Bohnerze
— Süddeutschland, Säugetiere . . . . . 08 I 122
— Eocän, Schweiz, Säugetiere . . . . . 06 II 282
Bohnerztasche mit Albien-Fossilien, Biel . . . 08 II 407
Bohrloch
— Rom, Via Consilina 07 I 65
— Paruschowitz, V., Temperatur . . . . . 05 II 203
Bohrlöcher
— Holland, Dünen von Vogelenzang . . . . 05 II 444
— Wels (Oesterreich) im Tertiär . . . . . 05 II 290
Bohrprofile u. -proben, Nordamerika, 1904 . 09 II 378
Bokkeveld beds
— Brachiopoden . . . . 05 II 323
— Mollusken . . . . . 06 II 120
Bol, siehe Bolus.
Bolcafische . . . . . 05 I 341
Boleit und Umwandlungsprodukte . . . . . 07 I 339
Bolivia
— devon. Faunen . . . BB XXV *493*
— Edelsteine . . . . . 06 I 358
— Mineralien 1908 II 336 CBl 1907 93
Bolivina antiqua u. elongata, Globigerinenmergel, Bahna, rumän. Karpathen . . . . . 09 II *154*
— Böttgeri, Kinkelini, minutissima u. oligocaenica, Rupelton, Mainzer Becken . . . 09 II 324
— lata, Tertiär, Biarritz 06 II 311
Bolosaurus striatus, Perm, Godlin Creek, Texas, Schädel . . . . . 08 I 286
Bolosepiella de Alexandri, Cossmanni u. parisiensis, Eocän, Paris 07 II 303
Bolus
— Quittein, Westmähren, Eisenerzlagerstätte . 05 II 243
— Westerwald, Färbung durch organ. Säuren BB XXVIII *370*

Bomben, rhein. Schiefergebirge, Diabas- . . . BB XXI *302*
Bomben, vulkanische
— Kapfenstein, Steiermark . . . . . CBl 1908 *297*
— Katzbachgebirge . . 1905 I 233
— Schweppenhausen am Soonwalde . . . . . 09 I 58
— Vesuv, Eruption 1906 CBl 1906 *497*
— siehe auch Vesuv und Basalt.
Bonanzas d. oberen Teile der Goldgänge . . . 05 I 257
Bonebed im Turon, östl. Böhmen . . . . . 06 II 428
Bonnetia planispira, Eocän, Paris . . . . . 07 II 303
Boothit, Campo Seco, Calaveras Co., Cal. . 05 I 204
Borate in ozean. Steinsalzablagerungen . 1908 II 159 ff.
Borax
— Molekularzustand in Lösung . . . . . 05 II 16
— oktaedrischer, Auftreten . . . . . 08 II 159
— Texas, trans-Pecos . 06 II 179
Boreodon matutinus, Belly river beds, Red Deer River, Nordamerika . 07 I 439
Borhyaena, Santacruzeno, Patagonien . . . . . 07 I 307
Borkenkäfer, baltischer Bernstein . . . . . 08 II 112
Bormio—Tonale, Kartenblatt . . . . . 08 II 65
Borneo, Auftreten der Nummuliten . . . . 07 I 161
— Geologie d. westl. . . 09 II 96
— mesozoisches Land u. Meer . . . . . 07 I *110*
— Silat-Gruppe d. obersten Kreide . . . . 07 I 437
Bornholm, fossile Flora 08 I 451
Bornit, siehe Buntkupfererz.
Borocalcit, ozean. Salzlagerstätten . . . . 08 II 163
Borolanit, Cnoc-na-Sroine-Massiv, Nordschottland BB XXII *413. 424. 443*
Boronatrocalcit, ozean. Steinsalzlager, Existenzgebiet u. Spaltg. 08 II 163
Borsäurehaltige Suffionen, Toscana, Radioaktivität . . . . . 05 II 344
Boryslaw, Geologie, Ozokerit- u. Erdölablagerungen . . . . . 1906 I 407. 409
Bos primigenius, Belgien, Diluvium . . . . . 1905 I 485
Boskowitzer Furche, Mähren . . . . . 1905 II 97. 263
Bosnien
— Geologie . . . . . 05 I 105
— geologischer Führer . 05 II 204
— Kalksinter . . . . . 05 II 296
— Sarajewo, Geologie . 05 I 101
— Vareš, Lias . . . . . 05 I 465
— Vratnica planina, Felsitporphyre u. Rillensteine . . . . . CBl 1905 *366*
— u. Herzegowina, Montanindustrie . . . . 06 I 73
— — — Quartär . . . 05 II 295
— siehe auch Herzegowina.
Bosnites bosnensis, Han Bulog-Kalke, Hydra . BB XXV *455*
Bosnopsammia Katzeri, Eocän, Bosnien . . . 09 I 292
Bostonit
— Abercastle-Mathry, Wales, Kalk- . . . . 06 II 211
— Ampasindava (Madagaskar) . . . . . 05 I 434
— böhm. Mittelgebirge 08 I 59
— Siebengebirge, Kühlsbrunnen . . . . . 07 II 62
— Monzoni u. Predazzo, chem. Zusammensetzg. 06 I 64
— Quebec . . . . . 09 I 68
— Rezbanya, Quarz- . . 07 I 64
Bostonitische Randfacies am Trachyt, Griounot (Cantal) . . . . . 09 II 228
Bostonitporphyr, Monzoni 05 II 219
Bothrodendron u. Bothrostrobus, Carbon, Donetz . . . . . 05 I 538
Bothrolabis decedens u. Osmonti, John Day series . . . . . 07 I 304
Bottnische Porphyrgeschiebe, Diluvium, Westfalen . . . . . CBl 1907 *146*
Bourne-Tal b. Grenoble, Geol. . . . . 05 I 277
Bournonit . . . . . 09 I 318
— Ally, Haute-Loire, Krist. . . . . 05 II 349
— Nagolnij Krjasch, Donetz-Becken . . . . 07 II 194

Bournonit
— Pontgibaud (Puy-de-Dôme), Krist. . . . . 1908 II 314
— Sarrabus, Sardinien, Krist. . . . . 07 II 16
Bouteillenstein, Kuttenberg . . . . . CBl 1909 *462. 465 545*
— siehe Tektit, Moldawit, Australit etc.
Bovey Deposits, Tertiär, Devon . . . . . 1909 II 465. 469
Bowmanit
— Binnental, Krist. . . 06 II 31
— — . . . . . CBl 1905 *30*
— — ist Hamlinit . . . CBl 1907 601
Bozen
— Felsitporphyr 1907 I 230 BB XXVII *72*
— Porphyrschild . . . . 06 II 245
Brachiopoden
— Morphologie, Rippenbildung . . . . . 08 II 113
— Carbon von Clarence Town, N.-S.-Wales . 05 II 324
— devon. Hamilton-Schichten, Entwicklungsreihen . . . . . 05 I 359
— Tertiär, Patagonien . 09 II 321
Brachiosaurus altithorax, Grand River Valley, Westcolorado . . . . 05 II 131
Brachycephalus-Rasse, neolith. Fauna, Mitteleuropa . . . . . 06 II 441
Brachyceros, neolith. Fauna v. Mitteleuropa . 06 II 441
Brachylepadidae und Brachylepas, Upper Chalk, Norwich . . . 06 II 140
Brachylepas cretacea . . CBl 1906 *449*
Brachyphyllum, Kreide . 09 II 153
— Storrsi . . . . . 07 II 504
— yorkense . . . . . 07 II 500
Brachypodinae, Miocän, Nordamerika . . . . 06 II 134
Brachypsalis pachycephalus, Miocän, Süddakota 05 II 128
— simplicidens . . . . 07 II 488
Brachysiphon corbuliformis, Neu-Seeland . . 07 I 328
Brachytrema Lorioli, ob. Jura, Pommern . . . 06 II 102
Bradya, Gattung u. Verbreitung im Karst . 05 II 486
Bradylemur Bastardi, Madagaskar . . . . . 06 II 447
Bradysismen, Aetna . . 1905 I 48
Branchiosaurier
Ahnen der geschwänzten Amphibien . . . 09 II 136
— Nordamerika . . . . 09 II 132
Brancoceras Lafmereri, Kreide, Diego Suarez 07 II 334
Brandgruben, Neuvorpommern . . . . . 07 II 477
Brandungswelle, Einfluß auf Sedimentation BB XXV *383*
Branzoller Porphyr, Bozen . . . . . BB XXVII *125*
Brasenia purpurea, Zeit des Aussterbens in Mitteleuropa . . . . 09 II 157
Brasilien
— Favas der Diamantsande . . . . . 08 I 32
— Geologie der Nordostküste . . . . . 09 I 101
— Knochenhöhlen v. Lagoa Santa, Minas Geraes . . . . . 07 II 134
— Manganerze . . . . 06 II 226
— siehe Braunit.
— Palladium u. Platin 05 II 346
— Turmalin, krist. und
— phys. . . . . BB XXIII *91*
Brauneisenerz . . . . . CBl 1909 *327*
— Grandpré, Arr. Vouziers, aus Glaukonit entstanden . . . . . 07 II 24
— Kertsch u. Taman, Versteinerungsmittel . 05 II 200
— Lipetzk, Gouv. Tambow, mit Feldspatkristallen . . . . . 1905 II 21. 183
— Markirch . . . . . 09 I 26
— Oriskany . . . . . 05 II 403
— Quittein, Westmähren, auch Pseudom. nach Spateisen u. Schwerspat . . . . . 05 II 243
— Shoshone, Idaho, pseudom. n. Pyrit . . . 05 II 181
— Sulinsky Sawod, Ural 07 I 77
— Vogelsberg, Nordrand, im Basalt . . . . . 07 I 77
— siehe auch Limonit.
Braunit
— Brasilien . . . . . CBl 1909 *780*
— Minas Geraës, Kristalle . . . . . 09 I 338
Braunkohle, Beziehungen zu Kaolinlagern . . 09 II *91*

Braunkohle
— stoffl. Beschaffenheit, vergl. mit Steinkohlen 1906 I 235
— Anhalt und Mitteldeutschland . . . . 09 I 427
— Baden u. Württemberg CBl 1908 *153*
— Bayern (rechtsrhein.) CBl 1908 *152*
— Bosnien, Zenica, oligocän . . . . . 06 II 114
— Deutschland . . . . CBl 1908 *152*
— Dürkheim (Pfalz), Pflanzen . . . . . 09 I 468
— Hart b. Gloggnitz, Niederösterreich . . . 05 I 262
— Hessen . . . . . CBl 1908 *153*
— Hrastovetz, Steiermark . . . . . 07 I 83
— Norddeutschland . . CBl 1908 *152*
— Rhein u. Niederländisch-Limburg . . . 07 II 127
— Rheinland, Alter . . 08 II 406
— Rocky Mountains . . 08 II 221
— Sörgsdorf, Schlesien, Analysen . . . . . 05 I 201
— subsudetische, Alter 1907 I 113 07 II 294
— Wiesbaden . . . . . 07 II 86
— siehe auch Kohlen.
Braunkohlenablagerungen, Senftenberg, Pflanzen 08 I 449
Braunkohlenformation
— Mecklenburg . . . . CBl 1908 *261*
— Oberschlesien, Alter d. subsudetischen 1907 I 113 07 II 86
— rheinische, Beziehung zum Mainzer Becken 08 I 268
Braunschweig u. Ilsede, Cephalopoden d. Untersenon . . . . . 07 I 482
Braunspat, Markirch . . 09 I 23
Bravais' Gesetz . . . . 09 I 313
Bravaisit . . . . . CBl 1909 *332*
Breccien
— der Quarzkeratophyre, Thüringer Wald . BB XXVII *370*
— Vesuv 1906, vergl. mit Mont-Dore . . . . . 08 I 42
Breccienbildung durch subaquat. Rutschung 08 II *153*
Brèche du Télégraphe . 07 II 441
Brechungsindizes
— Bestimmbarkeit aus Achsenwinkel und Doppelbrechung . . . 06 I 160
— Bestimmung . . . . 08 II 142
Brechungsindizes
— Bestimmung durch Minimalablenkung . 1907 II 163. 164
— — in Dünnschliffen . 1907 I 226
— — nach der Prismenmethode bei —190° . 08 I 165
— einiger Mineralien . . 08 II 143
— kristallisierender Lösungen . . . . . 09 I 157
— Verhalten zur Dichte 05 II 169
— siehe auch Bestimmung etc.
Brechungskoeffizienten, z. mikrosk. Bestimmung d. Mineralien, Tabellen CBl 1906 551
Bredvadporphyr, Diluvialgeschiebe, Westfalen . . . . . CBl 1907 *152*
Bregenzer Wald
— Flyschzone des nördlichen . . . . . BB XXVII *1*
— Kreide . . . . . 06 I 427
Breggiaschlucht, Südalpen, Profil . . . . . 09 I 93
Breitenbrunn, Erzlagerstätten . . . . . 06 I 79
Bremen
— Diluvium . . . . . 07 II 464
— Tertiär . . . . . 07 II 464
Brenets, Schweiz, Blockanhäufung . . . . . 05 II 452
Brenner
— Geologie 1906 II 237 07 II 435
— Tektonik 1907 II 263 09 II 420
Breslau, Grundwasserverhältnisse . . . . . 09 II 371
Breunerit, Avigliana, Susatal . . . . . 08 I 16
Brewsterit, Strontian, Schottl., Glühverlust 06 I *22*
Briançonnais
— Geologie . . . . . 05 I 281
— Tektonik . . . . . 09 I 95
— zone du, franz. Alpen 05 I 446
Brilon, Fauna d. höheren Oberdevons am Enkeberg . . . . . BB XXVI *568*
Brissoides Meijerei, Eocän, Aude u. Hérault . . 07 II 156
— Oppenheimi, Molasse, Veuce . . . . . 07 II 155
Brixen, Granitgebiet . . 09 I 385
Brixener Masse, Gesteine und Randbildungen . 05 II 379
Brochantit, Clifton-Morenci-Distrikt, Arizona 06 I 174

Brochechinus Elisae, Jura, Haute-Marne . . 1909 II 480
Brockenmassiv
— Bau u. Bildungsweise 07 I 382
— devon. Eruptivgesteine u. Tuffe im Kontakthof bei Harzburg . . 06 I 209
Broeckhina, Kreide (Cyclolina Dufrenoyi) . . 05 II 154
Bromcarnallit, Isotrimorphismus . . . . . CBl 1908 *710*
Bromcitramalsäure, α u. β, inaktiv, Krist. . . 07 I *95*
Brome Mountain, Monteregian Hill, Prov. Quebec, Geologie . . . . 07 I 239
Bromkalium u. Jodkalium, Wachstumserscheinungen an Kristallen . . 09 I 160
Bromsilber
— Chile, Sierra Gorda, Doppelbrechung durch Druck . . . . . 09 I 334
— Nagolnij Krjasch, Donetz-Becken . . . . 07 II 194
Bromür u. Chlorür v. Baryum, Isomorphismus . . . . . 08 I 319
Bromyrit, siehe Bromsilber.
Bronzit
— Grönland . . . . . CBl 1908 378
— Kuttenberg (Böhmen) im Serpentin . . . . 08 I 38
Brookit
— Cleveland (Grafsch. York) im Eisenstein 06 II 329
— Freiberg i. S., im Gneis . . . . . CBl 1908 *547*
— Ofenhorn, Binnental CBl 1908 52
— Prägraten, Brechungsindizes . . . . . 06 II 317
— Sommerville, Mass. . 07 II 381
Brookitreihe, Mineralien der, Norwegen, Pegmatitgänge d. südl. 08 I 352
Brora (Sutherland), Inferior Oolite . . . . 07 II 507
Bruchlose Umformung d. krist. Schiefer . . . 05 I 68
Bruchzonen, Verlauf . . 06 I 43
Brucit
— Chynov, Böhmen . . 09 II 366
— Lysogorsk, Gouv. Jelisawetpol (faserige) . 07 II 182
— Teulada (Sardinien) im Kalkstein (Predazzit) 06 II 329
Brücken, natürl., Entstehung . . . . . 1907 I 224
Brünig, Klippen von Giswyl . . . . . CBl 1907 *481*
Brünn
— Geol. u. Tektonik . . 05 II 410
— Boskowitzer Furche . 05 II 97
Brünner Eruptivmasse, Gauverwandtschaft d. Gesteine . . . . . 09 II 382
Bruguieria Capederi u. sub-Capederi, depressa, Ficheuri, Heilprini, rara, Silvestrii, Taramellii und sub-Taramellii u. Virgilioi, Tertiär, Apennin . . 05 II 327
— Fichteli var. Vialei, ligur.-piemont. Apennin . . . . . 08 II 287
— libyca . . . . . 05 II 159
Brunnen
— St. Kanzian-Höhle im Karst, Tropfsteine, sogen. Brunnen . . . . 06 I 376
— artesischer, Großzössen b. Borna (Leipzig) 06 I 403
— — Montreal . . . . 09 II 379
— — Schlock, Livland, natürlicher . . . . . 07 II 50
— siehe artesische Brunnen.
Brunnenbohrungen, Mecklenburg . . . . . 07 II 51
Bryozoen . . . . . 05 II 484 ff.
— Ctenostomata, Revision d. paläozoischen 05 II 485
— im karnischen Fusulinenkalk . . . . . 06 II *135*
— obere und untere Verbreitungsgrenze . . . 05 II 141
— paläozoische, Entwickelung . . . . . 05 II 144
— Aegypten . . . . . 05 II 484
— Calabrien (Carrubare), postpliocän . . . . . 05 II 144
— Patagonien, u. tertiäre Systematik . . . . . 05 II 141
— Südtunesien, Eocän 05 II 142
— Tunesien, Kreide . . 05 II 145
— Villedieu, Faunen, Kreide . . . . . 05 II 145
Bryozoenkalk, Dänemark, Kreide . . . . . 06 I 310
Bubalus palaeokeraban, Kendeng-Schichten, Java . . . . . 09 I 119

Bucanella, Devon, Ostthüringen . . . . . BB XXIV *298*
Bucania dorsoplana, Devon, Bolivia . . . . BB XXV *504*
— subaënsis, Bellerophon-Schichten, Bosnien . 1905 I 105
Bucaniella Dereimsi, laticarinata und rectangularis, Devon, Bolivia . . . . . BB XXV *505*
Buccinum (Strepsidura ?) Blanckenhorni, ?Eocän, Kamerun . . . 06 II 123
— Choffati, ?Eocän, Kamerun . . . . . 06 II 123
Bucegi-Stock, mitteljurassische Cephalopoden . . . . . 06 II 120
Buche, interglaz. Schieferkohle, Bayern . . . 09 I 470
Buchensteiner Kalk und älterer Melaphyr, Seiser Alp . . . . . 06 II *1*
Buchensteiner Schichten, Epidauros (Argolis), Cephalopoden . . . . Festband *9*
Buchiceratidae, Kreide . 07 II 147
Buchites Aldrovandii, Trias, H. Andreas . . BB XXV *462*
— Emersoni, Tropites-limestone, Byans. . . 08 II 236
Buda limestone, Kreide, Nordamerika, Mollusken u. Korallen . . 06 I 308
Bündner Schiefer
— metamorphe Peridotite u. Gabbrogesteine 05 I 221
— Graubünden . . . . 08 I 253
— Lischannagruppe, Unterengadin . . . . . 07 I 97
Büschel, dunkle, Bestimmung in Dünnschliffen 07 I 333
Büßerschnee
— Kilimandscharo . . . 07 I 423
— u. Erdpyramiden, gleichart. Erosionsgebilde . 07 I 379
Bukowina, Erdölschichten im Putillatal . . 06 I 237
Bukowskites Colvini, Muschelkalk, Himalaya . . . . . 08 II 244
Bulbifusus Broueti, Eocän, Paris . . . . . 07 II 303
Bulgarien
— Jura u. Trias, Kotel CBl 1905 *481*
— Silur, erster Fund . CBl 1905 *679*
Bulimina affinis var. tenuissimestriata, elegans var. gibba, und rotula, Tertiär, Wels (Oesterreich) . . . . 1905 II 291
— Buchiana und pupoides, Globigerinenmergel, Bahna, rumän. Karpathen . . 09 II *150*
— Gregorii, Unteroolith, Westaustralien . . . 05 II 151
— rotula, Schlier, Wels 05 II 490
— trigonula var. inornata, Kreide, Ost-Pondoland, Südafrika 05 II 152
Bulimus arneggensis, Alttertiär, Ulm . . . . 08 II 104
— Bonnetiu. ?Guillaumei, Eocän, Paris . . . . 07 II 303
Bulla (?) Cureti, Kreide, Oregon (Bouches-du-Rhône) . . . . . 06 I 318
Bullinella lignitarum, Eocän. Paris . . . . . 07 II 303
Bulog-Kalk
— Bosnien, Fauna . . . 05 I 105
— Epidauros (Argolis), Cephalopoden . . . . Festband *8*
Buntkupfererz, Klein-Namaland, O'okiep, magmat. Ausscheidung 09 II 397
Buntsandstein
— Devonshire u. Midlands, England, Gerölle . . . . . 05 II 424
— Haardtgebirge (Nordvogesen), Gliederung CBl 1905 *380*
— Norddeutschland, Oolith u. Stromatolith . 08 II 114
— Schwarzwald, Altensteig etc. . . . . 09 II 416
— — Freudenstadt etc. 09 II 413
— Solling . . . . . 07 I 431
— Thüringen, Verbreitg. von Gervillia Murchisoni im östlichen . . CBl 1909 *12*
— siehe auch Röth.
Buntsandsteinmeer . . . CBl 1909 *54*
Bunuhólar, Vulkangruppe, Island . . . . . BB XXVI *24*
Bural-bas-tau-Gebirge, Thian Schan, Bau . 07 I 224
Buru, Molukken, Ammoniten des Asphaltschiefers der Bara-Bai . . . . . BB XXII 686

Buru
— Molukken, Geologie 1905 I 106 BB XXII *398* BB XXIV *133*
— — mesozoisches Land und Meer . . . . . 1907 I *117*
Buru-Kalk, Molukken . 05 I 112
Bussé Series, Rhodesia 05 II 269
Bustamit, künstlich durch Schmelzung . . . . 09 II 344
Buttermere-Ennerdale-Masse, Geologie . . . 08 I 224
Byans, Himalaya, Fauna des Tropites-limestone 08 II 235
Bythinia dubia, Pliocän, Cueva Rubbia, Spanien . . . . . 1907 II *22. 23*
— eocaenica, Alttertiär, Giengen b. Ulm . . 08 II 104

C.

Cabrerit, Kristallform . CBl 1906 *198*
Cadomella Quenstedti, mittl. Lias, Schwaben 06 I 468
Caecum Houdasi, Eocän, Paris u. Loire inf. 1907 II 302. 303
Caenolestidae, Santacruzeno, Patagonien . . 07 I 308
Calabrien, postplioc. Bryozoen v. Carrubare . . 05 II 144
Calais-Straße, Sand d. franz. Ufers . . . . 09 I 200
Calamin, siehe Kieselzinkerz.
Calamites distachyus, Carbon, Vorkommen . . 09 II 492
Calamitina ohlsbachensis, Carbon, Hinterohlsbach b. Gengenbach 08 I 458
Calamophyllia Guebhardi und Tomesi, Jura . . 07 I 487
Calcit siehe Kalkspat.
Calciumaluminat, künstliches . . . . . 05 I 13
Calciumborate in ozean. Steinsalzlagerstätten 1908 II 162. 163
Calciumcarbonat
— bei höherer Temperatur . . . . . 08 I 16
— wasserfreies . . . . . 09 II 341
— wasserhaltig, Novo-Alexandria, Gouv. Lublin . . . . . 07 II 358
— u. Natriumnitrat, Polymorphismus . . . . 10 I 7
Calciumgehalt der konstanten Lösungen bei 25° . . . . . 1908 II 159
Calciumhydrokarbonate, künstl. u. natürl. . . 09 II 340
Calciumoxyd, Eigenschaften . . . . . 09 I 181
Calciumsilikate . . . . . 09 I 180
Calciumsulfat
— kristallisiertes . . . . CBl 1909 189
— künstl. ist Anhydrit CBl 1909 *25*
Caldera, Palma . . . . 09 II 47
Caledonit
— Irland (Wicklow) . . 08 II 321
— Sardinien, Argentiera della Nurra, Portotorres . . . . . 06 I 31
Californit
— Exeter, Tulare Co., Cal. . . . . 09 I 30
— Indian Creek, Kalifornien . . . . . 05 I 34
Californites Merriami, Subbullatus-Schichten, Kalifornien . . . . . 06 II 306
Callibrachion Gaudryi, ob. Perm, Autun 1908 I 292 CBl 1908 *532*
Calliconites Dieneri, ob. Trias, Sizilien . . . 05 I 347
Callidium, balt. Bernstein, Deutung . . . . . 07 I 323
Calliostoma massiliense, Coniacien, Frankreich 06 I 319
Callipteris conferta, curretiensis, diabolica, lodevensis, lyratifolia, Moureti u. Raymondi, Carbon, Vorkommen 09 II 492
— Scheibei . . . . . 08 I 155
Callodontomys, Tertiär, Patagonien . . . . . 07 II 328
Calloneghe, Venetien, Fauna d. Kreidekalks 05 I 317
Calodontotherium Palmeri u. varietatum, Kreide, Lago Musters . . . . 05 I 497
Calycites obovatus, Kreide, New York . . . 08 I 456
Calyptapis florissantensis, Florissant, Col. . . . 07 I 321
Calyptraea sigaretina, ? Eocän, Kamerun . 06 II 123
Camarophoria applanata, globosa, Karpinskyi, Kutorgae, mutabilis,

Netschajewi, parvula u. pentameroides, Ob.-carbon, Ural u. Timan 1905 I 533
Camarophoria globulina, untercarb. Transgressionsmeer, Tian Schan BB XXVI *241*
— sp., Culm, Königsberg b. Gießen . . . . BB XXVIII *631*
Camarotoechia (?) Sussmilchi, Oakey Creek, N.-S.-Wales . . . . 08 I 279
Cambewana Range, N.-S.-Wales, Geol. u. Ergußgesteine . . . . . 07 I 398
Cambrium
— Amerika, Brachiopoden 06 II 307
— Böhmen, Gesteine d. westl. . . . . 05 II 56
— Cartersville, Georgia, Eisenocker . . . . . 06 II 226
— New York, Schoharie-Tal . . . . . 07 I 108
— Polnisches Mittelgebirge, mittleres . . . . CBl 1909 *509*
— Prag . . . . . 07 II 106
— Sachsen, radiolarienführ. Kieselschiefer . CBl 1905 *411*
— Schantung, Trilobiten 06 II 139
— Schweden. Rotfärbung 05 II 223
— Taconic Range, unteres 05 II 414
— Thüringen, Fossilreste im östlichen . . BB XXIV *221. 314*
— — Porphyroide . . BB XXVII *335*
Campanile . . . . . CBl 1909 *203*
— breve, curtum, Morgani, persicum u. robustum, Senon, Südpersien . . . . . 06 I 444
— Grossouvrei, unt. Santonien, Frankreich . 06 I 318
— rarinodum, Eocän, Loire inf. . . . . 07 II 302
Camphorylhydroxylamin, aktiv, Krist. . . . . 07 I *90*
Campichia Pellati, Kreide, Orgon (Bouches-du-Rhône) . . . . . 06 I 318
Campine, Belgien
— Alter d. roten Schichten . . . . . 05 I 455
— Carbon . . . . . 05 I 455
— Tertiär . . . . . 05 I 468
— Untergrund . . . . . 05 I 450
— u. Westfalen, Carbon 05 I 456
Campine-Stufe, Diluvium, Belgien . . . . . 05 I 480
Campodus corrugatus, Kohlenschichten, Illinois . . . . . 1905 II 138
— u. Campyloprion, Carbon, Nordamerika . . 05 II 133
Campolongo
— Mineralien . . . . . 05 I 201
— Minerallagerstätten . BB XXVI *517*
— Orthoklas im Dolomit 07 I *21*
Camptonit
— Belknap Mountains, New Hampshire . . 08 I 381
— Griounot (Cantal), Randfazies v. Trachyt 09 II 228
— Lausitzer Granitgebiet 08 I 57
— Monzoni u. Predazzo, chemische Zusammensetzung . . . . . 06 I 58
— Neuseeland, Otago-Halbinsel . . . . . 08 I 232
— Quebec . . . . . 09 I 68
— Red Hill, Moultonboro, N. H. . . . . 09 II 389
Camptonitgang im Monzonit d. Palle rabbiose, Berichtigung . . . . CBl 1905 *185*
Camptonitische Ganggesteine, Großpriesen, böhm. Mittelgebirge . 05 I 272
Camptopteris spiralis . . 08 I 144
Camptosaurus, Beziehung zu Morosaurus agilis 08 II 437
Camptovogesit, Tagil, Ural . . . . . 07 I 72
Campylaea insignis var. steinheimensis, Obermiocän, Böttingen . CBl 1908 *593*
Campylognathus, Lias, Schwaben . . . . . CBl 1906 *292*
— Zitteli, Hand . . . . CBl 1906 *409*
Campyloprion annectens 05 II 132
Canada
— Eruptivgesteine von Quebec . . . . . 09 I 67
— Gesteine, Rocky Mountains . . . . . 05 II 76
— Tertiär im westlichen 05 II 429
Canale Monterano (Prov. Rom), Mineralien des Tuffs . . . . . 06 I 170
Canaren, vulkan. Tätigkeit . . . . . 09 I 363
Cancellaria meridionalis, Kreide, Pondoland . 07 II 306
Cancer Bittneri, Miocän, Kalksburg b. Wien . 06 II 138

Cancrinit-Syenit, Kuolajärvi, Finnland . . . 1907 I 69
Canfieldit, La Paz od. Colquechaca, Bolivien 08 II 12
Canide brachypus u. vafer, Miocän, Süddakota 05 II 128
Caninia cornu copiae, Carbon, Bau . . . . . 09 I 292
Canis, Perforation des Astragalus . . . . . 07 I 467
— neschersensis, Mauer 07 II 483
— Putiatini, Quartär, Rußland (Wisokoie) 07 I 454
— spelaeus (Lupus), Kitzelberg bei Kauffung (Katzbachtal) . . . 05 I 504
Cannartiscus marylandicus, Tertiär, Maryland 07 II 161
Cañon
— des Verdon (Basses Alpes) . . . . . 08 I 220
— Diablo, Meteorkrater 09 I 357
Cañon-Bildung, Kern Basin, Cal. . . . . 05 II 102
Canonbie-Kohlenfeld, Schottland, Steinkohlenformation . . . . . 06 II 462
Cantharis, balt. Bernstein 07 I 323
Cantharus Hantkeni, Hypersenon, Peterwardeiner Gebirge . . . 06 II 268
— ? Tietzei, Otolithen, Tertiär, Oesterreich . 07 I 481
Canyon, siehe Cañon.
Capitosaurus stantonensis, Keuper, Stanton, Staffordshire . . . . 07 I 150
Caporcianit, Montecatini, chemisch . . . . . 08 II 315
Caprina schiosensis, Mte. Candaglia b. Col dei Schiosi . . . . . 05 I 359
Capromyinae, Tertiär, Patagonien . . . . . 07 II 322
Capuliden, Palaeogen, Aegypten . . . . . 05 II 320
Capulus argentinus, Kimmeridge—Portland, argent. Cordillere . BB XXIII *206*
— cf. compressus, Devon, Ostthüringen . . . . BB XXIV *299*
— joharensis, tibetan. Klippen d. Zentral-Himalaya . . . . . 08 II 414
— neritoides, Culm, Königsberg b. Gießen BB XXVIII *646*
Carabites Kincaidi, Green River Shales . . . . 1908 II 111
Carabodites Pavesii, mitteleoc. Dysodil, Melilli, Sizilien . . . . 05 II 152
Caranx Petrodavae, olig. Fischfauna, Berg Cosla b. Piatra-Neamtz, rumän. Karpathen . 06 I 153
— primaevus, Mte. Bolca 05 I 341
Carbamid + Na Cl, Krist. 05 II 192
Carbapatit, Podolien im Phosphorit . . . . . CBl 1907 *283*
Carboferrit im Eisen . . 05 I *125*
Carbon
— siehe auch Culm, Permocarbon etc.
— Farne a. d. Familie d. Sphenopteriden . 09 I 150
— geritzte Geschiebe . . 08 II 76
— Korallen . . . . . 09 I 292
— Natur d. Culmsedimente BB XXV *373*
— Pflanzenreste, Abbildungen . . . . . 06 I 156
— Posidonia Becheri im produktiven . . CBl 1905 *193. 308*
— Stegocephalen, Wirbelsäule u. Rippen der holospondylen . . . 08 II 269
— Alaska, Endicott-Kette 06 I 92
— Attendorn-Elsper Doppelmulde, Radiolarit im Culm . . . . . 09 I 242
— Australien . . . . 1905 II 324. 480
— — Victoria, Fische . 05 II 480
— Baden, Flora . . . . 08 I 457
— bayr. Rheinpfalz, Steinkohlenformation . . 06 I 103
— Belgien, aufrechte Stämme . . . . . 05 I 458
— — Echinodermen des schwarzen Marmors von Dinant . . . . 05 II 147
— — Insekten . . . . 05 I 523
— — Campine . . . . 05 I 455 ff.
— — — u. Westfalen . 05 I 456
— — Namur, Spongiostromidae im Kohlenkalk . . . . . 07 I *131*
— — nördliches, Kohlenablagerungen . . . . 05 I 127
— — Visé, Chonetes comoides u. Ichthyoduliten (Ctenacanthus tenuistriatus) . . 05 I 457
— — — Tektonik etc. . 05 I 456 ff.

Carbon
— Belgien u. nördliches Frankreich, Salzwasser 1905 I 457
— bithynische Halbinsel CBl 1909 *655*
— Bosnien, Prača b. Sarajewo . . . . . 05 I 104
— Bristol District, Melaphyre . . . . . 05 II 388
— Canada, Batrachierfährten im östlichen . 05 I 339
— Chemnitz, Culm . . 08 I 312
— China, Hua-thsiang-pu etc. . . . . 05 II 299
— Dalmatien, Foraminiferen u. Kalkalgen . 07 II 339
— — Cattaro . . . . . 05 II 94
— — Budna . . . . . 07 I 93
— Dombrowa, foss. Flora 09 I 146
— Donetz, Sigillarien . 05 I 537
— Donetz-Becken, Pflanzen . . . . . 1909 I 459. 460
— Elsaß, Pflanzen . . . 08 I 460
— England, Fische, Nord-Derbyshire . . . . . 08 II 447
— — Palaeonisciden . . 05 II 480
— — Pflanzen d. Waldershare- u. der Fredville series in Kent 09 I 302
— Europa, floristische Differenzen (Lokalfärbungen) . . . . . 09 II 491
— Fichtelgebirge, Thüringen, östl., u. Vogtland, Phosphoritknollen im untersten Culm BB XXII *48*
— Finnland u. benachbartes Rußland . . . CBl 1906 *600*
— Flöha (Sachsen), Paläontologie . . . . . 08 I 313
— Frankreich, Amphibien u. Reptilien . . 07 I 310
— — Gard, Tektonik . 09 I 366
— — Lothringen, Steinkohle, erbohrte . . . 07 II 283
— — nördliches, Archimylacris Desaillyi . . 08 II 110
— Gerecse-Gebirge, Ungarn . . . . . CBl 1905 *391*
— Griechenland . . . CBl 1909 *84. 755*
— — Argolis . . . . . CBl 1909 *84*
— — Attika . . . . . 09 II 430
— Großbritannien, Floren u. Pflanzen . . . 06 II 459
— Harz, Nautilus culmiensis in Culmgrauwacke . . . . . 08 I *145*

Carbon
— Hüggel b. Osnabrück, Sandsteine . . . . . 1906 II 420
— Japan, Fusulinenkalk mit Helicoprion . . . 07 I 330
— Joggins, N. S., Batrachierfährten . . . 05 I 340
— Kärnten, Bryozoen d. Fusulinenkalks . . . 06 II *135*
— Kellerwald, Culm . . 07 II 92
— Kladno-Rakonitzer Kohlenbecken . . . 06 I 275
— Königsberg b. Gießen, Fauna d. Culms . BB XXVIII *611*
— Korea, Fusulinenkalk 07 I 331
— Kukurtuk-Tal im südl. Tian-Schan, Brachiopoden des oberen . . BB XXII *266*
— Letmathe, Culm . . 09 I 241
— Mandschurei, Pflanzen 08 I 452
— Namur, Spongiostromidae im Kohlenkalk 07 I *131*
— Neu-Schottland und Neu-Braunschweig, Beziehung zu Devon . . 05 I 289
— Neu-Süd-Wales, Chonetes spinosa u. andere Brachiopoden v. Clarence Town . . . . 05 II 324
— — Fossilien . . . . 08 I 278
— — Korallen . . . . 07 I 155
— Niederschlesien—Böhmen, Teufe der Flöze in der inneren Mulde 09 II 301
— Nordamerika, Ammonoiden . . . . . 05 I 525
— — Amphibien . . . 09 II 134
— — Blattiden . . . . 05 I 524
— — Insekten . . . . 07 I 322
— österr. Velebit . . . 08 II 289
— Ohio, Petroleumführung . . . . . 06 II 388
— Osnabrück, Piesberg-Sattel, oberes . . . . 09 II 251
— Pittsburgh, Penn., Saurier . . . . . 08 II 268
— rhein. Schiefergebirge, Grauwacke (Arkose) . 09 II 217
— Rheinland-Westfalen, Deckgebirge . . . . 06 II 105
— Rheintal, unteres, Salz und Kohle . . . . . 07 II 283
— russ.-arktisches Meeresgebiet, Fusulinen . . 09 I 146
— Saar u. Nahe, Zweischaler . . . . . 08 I 133

Carbon
— Saarbrücker Schichten u. Pfalz, Pflanzen 1909 I 303
— Sachsen-Meiningen . 06 II 410
— Schwadowitz . . . . 07 I 82
— Süd-Ussuri-Gebiet (Permocarbon) . . BB XXVII *509*
— Sumatra . . . . . 07 II 449
— — Foraminiferen, Korallen u. Hydrokorallen . . . . . 07 I 487
— — oberes . . . . . 07 I 327
— — S.-W.-Djambi . . CBl 1907 *484*
— Teutoburger Wald, oberes . . . . . 09 II 247
— Tian-Schan, Fauna d. untercarb. Transgressionsmeers . . . . . BB XXVI *213*
— Tonkin, Pflanzen . . 08 I 309
— Trient, Pflanzen im Glimmerschiefer . . . 05 II 90
— Ural, sdl., Guberlinskische Berge, unteres CBl 1906 *131*
— — u. Timan, Brachiopoden u. Einteilung d. oberen . . . . . 05 I 531
— Victoria, Australien, Fische . . . . . 05 II 480
— Virginien, westliches, schwarze Hornsteinschicht (Kanahwa black flint) . . . . . 06 I 277
— Vogesen, Pflanzen 1908 I 460. 461
— Westalpen . . . . . 07 II 441
— Westfalen u. Campine 05 I 456
Carbonate
— Analyse . . . . . CBl 1908 48
— der Säuerlinge . . 1908 I 361. 362
— von Calcium, siehe Calciumcarbonat und -hydrocarbonat.
Carbonicola palatina u. saravana, Ottweiler Schichten, Saar und Nahe . . . . . 08 I 133
Carborundum, Cañon Diablo-Meteoreisen . . . 07 I 364
Carcaro, Ligurien, Nephritlagerstätten d. südl. 08 II 210
Carcharodon Arnoldi u. Brauneri, Kalifornien 08 II 443
— auriculatus, Eocän, Brüssel . . . . . 05 II 315
— humilis, untermediterran, Felsöesztergaly, Kom. Nógrád . . . 06 I 125
Cardiaster africanus, Kreide, Pondoland . . . 1907 II 306
Cardiocarpus acroreniformis, dubius, pachydermus u. sub-Ottonis, Rotliegendes, Oppenau 08 I 457
— angustodunensis, nummularis u. tenuis zu Cyclocarpus . . . . 09 I 461
— sclerotesta var. major, zu C. drupacens . . 09 I 461
Cardiocephalus Sternbergi, Perm, Texas 07 I 148
Cardioceras Dieneri u. lambertoides . . . . 07 II 443
— Lorioli, Malm, Brünn 08 I 422
— vagum u. Zenaïdae, Jura, Moskau etc. . . 05 I 131
Cardioconchae, Naples-Fauna, Nordamerika CBl 1905 *385*
Cardiomorpha (?) gymnitum, Buloger Kalk, Bosnien . . . . . 05 I 105
— Haydeni, Muschelkalk, Himalaya . . . 08 II 241
Cardita camerunensis, ? Eocän, Kamerun . . 06 II 123
— (?) granigera, Kreide, Bregenzer Wald . BB XXVII *22*
— Guembeli, Gansingen BB XXV *104*
— cf. Guembeli, Trias, Corfu . . . . . BB XXI *299*
— libyca = C. Beaumonti, Danien, libysche Wüste 06 I 320
— longa, Paläocen, Saratow . . . . . 05 II 121
— upwarensis, untere Kreide, England . . 08 I 133
Cardium aff. arcella und Platovi, Miocän, Novotcheskalk . . . . 07 I 114
— budaense u. Vaughani, Buda limestone, Kreide, Nordamerika . . 06 I 308
— Bullen-Newtoni, Kreide, Umkwelane Hill, Zululand . . . . . 06 I 308
— čerevićianum, pseudoproductum u. quadricristatum, Hypersenon, Peterwardeiner Gebirge . . . . . 06 II 268
— coislinense, cornutum, Dumasi, gonetense, Marchandi u. Pissarri, Eocän, Loire inférieure 06 I 468

Cardium Griesbachi, Kreide, Pondoland . 1907 II 306
— Lenzi, ? Eocän, Kamerun . . . . . 06 II 123
— Melvilli, Tertiär, Ormara-Kap, Mekran-Küste, Beludschistan 06 I 118
— Netschaewi, notatum u. ? punctatum, Paläocen, Saratow . . . . 05 II 121
— productum, Kreide, Bregenzer Wald . BB XXVII *21*
Carlosit, Kalifornien, San Benito River (Neptunit) 08 II 302
Carminspat, Cornwall, Hingston Down mine CBl 1909 715
Carnallit
— Isotrimorphismus . . CBl 1908 *710*
— roter, färb. Substanz 08 II 9
— Umformung unter allseitigem Druck . . 09 I 165
— Zwillingsbildung . BB XXIII *252*
— Beienrode, krist. und optisch . . 1907 I 192 Festband *121*
— Staßfurt, regelm. Verwachsung mit Eisenglanz . . . . . CBl 1909 *168*
Carnallitit, Deutschland, im Zechstein . . . . 09 II 305
Carnotit
— nicht heliumhaltig . 07 I 9
— Nordamerika, radiumhaltig . . . . . 05 I 10
Caroloameghinia, Caroloameghinidae, Kreide, Patagonien . . . . . 05 I 167
Carolodarwinia, Kreide, Patagonien . . . . . 05 I 168
Carolozittelia, Carolozittelidae, Kreide, Patagonien . . . . . 05 I 168
Carotis interna, Foramen, bei Reptilien . . . . CBl 1906 *336*
Carpinoxylon Pfefferi, westl. Verein. Staaten 09 I 149
Carpithes Judithae, Judith river beds, Nordamerika . . . . . 07 I 440
Carpocanistrum conicum, Scaglia, Euganeen . 06 I 475
Carpolites globularis, Jura, China . . . . . 07 II 342
Carpolithes allamandaeformis und liriodendroides, Paläocän, Leval (Hennegau) . . . 09 II 491
Carpolithes Yamadei, Trias, Yünnan . . . 1907 II 342
Carpolithus dubius und juglandiformis, Matawan-Formation, New Jersey . . . . . 07 I 495
— douglasensis, elongatus, olallensis, oregonensis . . . . . 07 II 503
— evonymoides u. vaccinioides, Kreide, New York . . . . . 08 I 456
— Storrsii . . . . . 07 II 501
Carposphaera minima, Kreide, Euganeen . . 06 I 474
— miocaenica u. Ugolinii, Miocän, Italien 09 II 490
Carrara
— Mineralien im Marmor 1906 II 175. 176 07 I 214
— Schwefel im Marmor 06 I 9
Carstenia ? tuberculata, Kreide . . . . . 07 II 150
Caryatis abbreviata, Senon, Südpersien . . 06 I 445
Casale b. Busambra (Palermo), Liasmuscheln 06 I 319
Cassianella Dieneri, Pachycardientuffe, Seiser Alp 07 II 336
Cassianer Schichten, Epidauros (Argolis), Cephalopoden . . . . Festband *11. 12*
Cassidulidi conoclypeiformi u. Conoclypeidi 09 II 484
Cassidulus umbonatus, Kreide, Pondoland . 07 II 306
Cassiterit, siehe Zinnstein.
Castalia Stantoni, Judith river beds, Nordamerika . . . . . 07 I 440
Castor neglectus, Unterpliocän, Salmendingen u. Melchingen, Bohnerze . . . . . 1908 I 125. 127
— plicidens, Quartär, Maspino . . . . . 05 II 126
— siehe auch Bieber.
Catamarca, Prov., Argentinien, Geologie . . . BB XXII 568
Catastylops, Kreide, Patagonien . . . . . 05 I 168
Caturus, lith. Kalk, Nusplingen . . . . . 09 I 454
Caub, Geologie . . . . 07 II 88
Caulinites inquirendus, Kreide, Long Island 07 I 495

Causea formosa, Silur, Upsala . . . . . 1906 I 102
Caviidae, Tertiär, Patagonien . . . . . 07 II 327
Cavolinit, Vesuv, von 1906 08 I 209
Ceanothus constrictus, Kreide, New York . 08 I 456
Cebidae, amerik. Eocän 05 I 330
Cedroxylon cedroides u. transiens, Jura ?, König-Karls-Land . . . 09 I 301
Celastrophyllum albaedomus . . . . . 07 II 505
— elegans, Matawan-Formation, New Jersey . 07 I 494
— marylandicum . . . 07 II 506
— saliciforme . . . . . 07 II 505
Celebes
— Geologie . . . . . 09 I 243
— mesozoisches Land u. Meer . . . . . 07 I *116*
Celechovic, Devon, Mähren 05 I 126
Celit im Portlandzement 08 I 250
Cellaria subsetigera, Tertiär, Patagonien . . 05 II 141
Cellarina patagonica, Tertiär, Patagonien . . . 05 II 141
Cellepora formosensis, Miocän, Formosa und Riu-Kiu . . . . . 06 II 309
— laevigata, Tertiär, Patagonien . . . . . 05 II 141
— plana, ob. Bourdigalien, Mokattam . . . 05 II 485
Celsian
— optisch . . . . . 07 I 352
— Zusammensetzung etc. 05 II 17
— siehe auch Paracelsian.
Celtites Emilii, Aonoides-Schichten, Epidauros (Argolis) . . . . . Festband *25*
— fortis (Reiflingites), Han Bulog-Kalke, Hydra . . . . . BB XXV *457*
— Halli, mittl. Trias, Nevada . . . . . 06 II 304
— kčirensis, Untertrias, Albanien . . . . . 08 II 400
Cembra cembrifolia, Bernstein, Ostpreußen 09 I 308
Cementation, belt of . . CBl 1906 606
Cementit, siehe Zementit etc.
Cenellipsis biacutus und microporatus, Scaglia, Euganeen . . . . . 06 I 475
Cenellipsis communis, Kreide, Euganeen . . 1906 I 474
— ovoides, Simonellii u. Ugolinii, Miocän, Italien . . . . . 09 II 490
Cenoman
— Böhmen, Klippenfazies 06 II 427
— Nordwestdeutschland, Belemnites u. Actinocamax . . . . . 06 II 426
— Ostafrika . . . . . BB XXVIII *202*
Cenosphaera amissa, cretacea u. euganea, Scaglia, Euganeen . . . . 06 I 475
— De Stefanii u. Taramellii, Miocän, Italien 09 II 490
— polyedrica, Teoli und triquetra, Kreide, Euganeen . . . . . 06 I 474
Centroceras altisellatum?, angustilobatum, curvispina, enkebergense, oxyacantha u. umbilicatum, ob. Oberdevon, Enkeberg . . . . . BB XXVI *586*
Centronella Arcei, Devon, Bolivia . . . . . BB XXV *555*
Centropristis integer, Otolithen, Tertiär, Oesterreich . . . . . 07 I 481
Ceolophysis Bauri und longicollis . . . . . 09 I 288
Cephalaspis, paarige Körperanhänge . . . . . 05 II 134
Cephalodiscus, Organisation . . . . . 05 II *95*
Cephalomyidae und Cephalomys, Kreide, Argentinien . . . . . 05 I 169
Cephalopoden
— Himalaya . . . . . 1905 II 319. 320
— Schwaben, Grenzdolomit . . . . . BB XXV *115*
Cephalopodengebisse, fossile . . . . . 1908 I 301. 303
Cephalotaxopsis carolinensis . . . . . 07 II 501
— rhytidodes . . . . . 07 II 504
Cepola praerubescens u. voeslauensis, Otolithen, Tertiär, Oesterreich . . . . . 07 I 481
Ceram, ind.-austr. Archipel, Geologie 1905 I 106 BB XXII *403*
Cerambix, balt. Bernstein, Deutung . . . . . 07 I 323

Ceraterpeton divaricatum u. tenuicorne, Carbon, Nordamerika . . . . 1909 II 134
Ceratina disrupta, Florissant, Col. . . . . 07 I 321
Ceratites, Einteilung . . 08 II 242
— antecedens und Abstammung d. Nodosen CBl 1907 *528*
— boljevicensis, Muschelkalk, Montenegro . . 05 II 140
— bosnensis (Bosnites), Han Bulog-Kalke, Hydra . . . . . BB XXV *455*
— Devasena, Padma u. superbiformis, Muschelkalk, Himalaya . . 08 II 243
— Kerneri var. graeca, Aonoides-Schichten, Epidauros (Argolis) . Festband *26*
— labiatus (Proteites), Hallstätter Kalk, Epidauros (Argolis) . . Festband *9*
— cf. Thuilleri, Han Bulog-Kalke, Hydra . . BB XXV *455*
Ceratocoenia tenuis, Jura, Frankreich . . . . . 07 I 487
Ceratodus hieroglyphus, Laramie-Stufe, Montana . . . . . 09 II 137
Ceratopsiden, Amerika 1909 I 449. 450
Ceratorhinus sansaniensis u. simorrensis, Obermiocän, Oberkieferbezahnung . . . . . 09 II 121
Ceratosaurus nasicornis, Schädel . . . . . 09 I 443
Ceratotrochus Amphitrites = Trochocyathus Amphitrites, Gosau . 09 II 141
Cercopithecidae, amerik. Eocän . . . . . 05 I 330
Cereidoxylon Zirkeli, westl. Verein. Staaten . . . 09 I 149
Cerillos Hills, Neu-Mexiko, Geologie . . . . . 08 I 436
Cerithella Cureti, Kreide, Orgon (Bouches-du-Rhône) . . . . . 06 I 318
Cerithien
— besonders des älteren Tertiär . . . . . CBl 1909 *203*
— Gruppe C. tricarinatum, Tertiär, Frankreich . . . . . 06 II 452
— Pariser Becken, Mutation . . . . . 09 II 465
Cerithienkalk, Senon, Dänemark . . . . . 1906 I 310
Cerithienschichten, Tertiär, Großkarben . . 09 II 465
Cerithiopsis veslensis, Eocän, Paris . . . . 07 II 303
Cerithium, Synonymik . 08 I 444
— argent. Cordillere, Neocom—Aptien . . . BB XXIII *206*
— Aguilerae, Cuauhtenyci, potosianum u. subcarnaticum mit var. acuticostata, Senon, Cardenas, Mexiko . . 08 I 102
— alvinczense, Apulumium, Herepeyi, Kochi, Loczyi u. Pethöi, obere Kreide, Alvincz . . . 05 I 302
— anaroides, Deeckei u. pommeranum, ob. Jura, Pommern . . . . 06 II 102
— Beyschlagi u. Zeisei, mittl. Gault, Algermissen . . . . . 05 I 317
— cf. carnaticum, detrectatum, liberorum, regens u. trilinum, Hypersenon, Peterwardeiner Gebirge . . . 06 II 267
— cimbricum, cingulatum, exsculptum u. zigzag, Paläocän, Rugaard, Kattegat . . . . . 08 II 103
— (?) climacophorum, unt. Santonien, Frankreich 06 I 318
— couzonense, ? lugdunense u. ? Reboursi, Zone d. Lioc. concavum, Couzon-au-Mont-d'Or b. Lyon . . . . . 05 I 464
— dichachondratum = gallicum u. C. heterostoma = Horizostoma, Kreide, Sachsen . . 06 I 317
— faxense, fenestratum, globuliforme u. pseudotelescopium, Danien, Dänemark . . . . . 06 I 309
— Frickei, Schrammeni u. Wunstorfi . . . . 07 II 468
— hyperacrum, Coniacien, Frankreich . . 06 I 318
— Koeneni, Paläocen, Saratow . . . . . 05 II 121
— Moltkeanum, Obersenon, Dänemark . . 06 I 309

CerithiumAmbonii, Kreide, Calloneghe . . . . . 1905 I 317
— somaliense, Tertiär, Somaliland . . . . . 07 II 303
— strangenbergicum, Bathonien, Strangenberg b. Rufach, Oberelsaß BB XXVI *73*
— Suessi, Tithon, Sardinien . . . . . BB XXIII *464*
— (?) texanum, Buda limestone, Kreide, Nordamerika . . . . 06 I 309
Ceritmineral, westl. Rußland, ancylitähnlich . 05 I 375
Cerna-Gebirge, Karpathen, Schneegrenze . 05 I 407
Ceromya angusticostata, Glandarienkalk, Syrien . . . . . 06 I 279
— Battelii, Lias, Zentralapennin . . . . . 06 II 145
— isocardioides, Kreide, Kieslingswalde . . . 05 I 301
Ceropalites infelix, Tertiär, Florissant, Col. 07 I 321
Cerro Mercado, Mexiko, Geol. u. Eisenerze . . 05 II 201
Cerussit, siehe Weißbleierz.
Cervantit, Calafuria, südl. Livorno, im Macigno . . . . . 06 I 169
Cervus kendengensis, lariocerus u. palaeomendjangan, Kendeng-Schichten, Java . . 09 I 118
— cf. Matheroni, Pliocän, Cueva Rubbia, Spanien . . . . . 07 II *13*
— pliotarandoides, Pliocän, Piemont, Geweih 06 II 132
— rhenanus (Axis) und teguliensis, Pliocän, Tegelen (Limburg) . 06 I 141
— suevicus, Unterpliocän, Salmendingen u. Melchingen . . . . 1908 I 125. 128
Cestracionten
— Carbon, Nordamerika 05 II 133
— mittl. Trias, Nordamerika . . . . . 08 II 446
Cetaceen . . . . 1909 II 113 ff. 119 ff.
— Hüftbeinrudimente . 09 II 113
— Stammesgeschichte . 09 I 438
— Urwale . . . . . 09 II 119
— Dänemark, Tertiär . 06 I 445
Cetaceen
— Fayum, Tertiär . . . 1907 II 315
— Ost- u. Westpreußen, Knochen . . . . . 09 I 434
— Tscheleken, Kasp. Meer, Delphinreste, Pliocän, Insel . . . . 09 II 118
— siehe auch Wale.
Cetaceengebiß, phylogenet. Entwickelung . . . . 06 II 294
Cetiosauridae . . . . . 09 I 289
Cetorhynchus atavus, Miocän, Antwerpen . 07 I 135
Ceylanitgesteine, Elba . 08 II 211
Ceylon
— Gesteine . . . . . 06 I 182
— Korund bei Kandy . 05 II 13
— Mineralvorkommen . 05 II 353 ff.
— Steinzeit . . . . . 08 II 255
— thorhaltige Mineralien 05 II 353 ff.
— verkieselte Kalke m. Hornstein, Opal und Chalcedon . . . . . 05 II 392
Chabasit
— Kontraktionsfiguren b. Behandlung m. Säuren 08 I 336
— Annerod, Oberstein u. Striegau (Fuchsberg), Glühverlust . . . . . 06 I *22*
— Belfast . . . . . CBl 1908 176
— Biella, Piemont, Drusen im Syenit . . . . 06 II 40
— Erythraea (Sciket) . 08 II 36
— Färöer . . . . . 09 I 28
— Fellberg in Petersdorf b. Zöptau (Mähren) . CBl 1905 *610*
— Gellivara-Erzberg . . 06 I 350
— Grönland, Ost-, im Basalt . . . . . 06 II 185
— Montorfano (Baveno) 07 I 40
— Osawa, Japan . . . 09 I 193
— Sardinien (Montresta) 1909 II 26. 195
— Zöptau, Mähren . . 06 I 343
— u. Substitutionsderivate . . . . . 06 II 337
Chablais, Tektonik der Alpen u. Voralpen . 06 I 243
Chablais-Breccie, Belemniten u. Radiolarien. 09 I 401
Chablais-Stockhorn-Zone, Geologie . . . . . 06 I 81
Chaenohyus, John Day series . . . . . 07 I 304
Chaethomites intricatus, mitteleoc. Dysodil, Melilli, Sizilien . . . 05 II 152

Chaînes subalpines b. Grenoble, Geol. . . . 1905 I 277. 278
Chalcedon . . . . . BB XXV *183*
— Verhältnis zu Quarz u. Opal . . . . . CBl 1908 *632*
— Ceylon, im verkieselten Kalk . . . . . 05 II 392
— Concepcion del Oro, Zacatecas, Mexiko BB XXVIII *523*
— Färöer . . . . . 09 I 29
— Hinojosa de Cordova (Andalusien) . . . . BB XXIV *214*
— Idar . . . . . BB XXV *211*
— Japan (Sorobandamaishi) . . . . . 09 I 179
— Kaukasus, Schwarzmeerdistrikt . . . . 07 II 181
— Kerguelen . . . . . BB XXV *216*
— Mytilene . . . . . BB XXV *215*
— Prinz-Rudolf-Insel . 06 I 35
— Sachalin, pseudom. n. ? Flußspat . . . . . 08 II 334
— San Miguel, Luzon . 06 I 359
— Tabor-Gegend, Böhmen . . . . . 09 II 366
— Trestyan . . . . . BB XXV *212*
— Warstein, im Eisenkiesel . . . . . BB XXI *449*
— Weitendorf (Steiermark), auf Hohlräumen im Basalt . . BB XXVII *249*
— und verkieseltes Holz, Martinique . . . . . 05 I 373
Chalcis praevolans, Miocän, Florissant, Col. . 08 II 111
Chalcolith, Entwässerung etc. . . . . 05 II 369
Chalcophyllit, Wasserverlust u. Brechungsindizes . . . . . 05 II 368
Chalcopyrit, siehe Kupferkies . . . . . 05 I 18
Chalkanthit, siehe Kupfervitriol.
Chalkostibit, s. Kupferantimonglanz.
Chalmasia persica, Kreide, Südpersien . . . . . 06 I 444
Chalmersit
— Morro - Velho - Grube, Brasilien, Krist. . . . 09 I 21
— St. John del Rey-Mine, Brasilien . . . . . CBl 1906 *332*
Chalybion mortuum, Miocän, Florissant, Colorado . . . . . 08 II 111
Chama Töröki (= Ch. callosa), Hypersenon, Peterwardeiner Gebirge . . . . . 1906 II 268
— multicostata, Granulatenkreide, westl. Münsterland . . . . 08 I 428
Chamaecyparis Casparyi, Schenkii u. Sommerfeldii, Bernstein, Ostpreußen . . . . . 09 I 308
Chamosit-Oolithe, brauner Jura, südwestl. Alb 08 II *92*
Chamossaire, schweiz. Voralpen, Geologie . . . 08 II 388
Champsodelphis, Boldérien, Antwerpen . 1907 I 132. 137
Champsosaurus ambulator u. laramiensis, Osteologie . . . . . 09 I 132
Chapmania aegyptiensis u. gassinensis . . . 05 II 487
— gassinensis, Obereocän, Gassino (Turin) 06 I 473
— Oligocän, Toscana . . 05 II 158
Charakter, optischer, Bestimmung . . . . . 08 II 141
Charitemys captans, Nordamerika . . . . 09 I 452
Charnokit, Ceylon, mit Pyroxenit . . . . . 07 I 392
Charriage, Ursachen . . 07 II 49
Charteronia costigera, Toarcien . . . . . 05 II 321
Chasmotherium, Verwandtschaftsverhältnisse . . . . . 1906 II 280. 291
— Cartieri u. minimum, Eocän, Schweiz . . . 05 I 492 ff.
— Stehlini, Yprésien von Cuis (Marne) . . . . 06 II 281
Chatanga-Gebiet (Sibirien), Expedition v. Tolmatschow . . CBl 1905 *353. 615*
Châtillon-Lachat-Kette, Savoyer Alpen, Geologie . . . . . 05 II 251
Chazy limestone, Nordamerika, Fauna . . . 06 I 300
Cheiloceras (Centroceras), ob. Oberdevon, Enkeberg . . . . . BB XXVI *586*
— acutum ?, circumflexum, sacculum u. Verneuili, ob. Oberdevon, Enkeberg . . BB XXVI *583*

Cheiloceras-Schichten, Oberdevon, Enkeberg b. Brilon . . . . . BB XXVI *572*
Cheilostomellidae, System d. leb. u. foss. . . . 1905 II 329
Cheiromyoidea, amerik. Eocän . . . . . 05 I 328
Chelidosauria, Beziehung zu Diadectidae, Osteologie . . . . . 07 I 314
Chelléo—Moustérien, Arcueil . . . . . 08 I 437
— d. ält. Steinzeit . . . 06 I 127
Chelonier, Tertiär, Belgien . . . . . 05 II 474
Chemie, physikalische, u. Kristallographie . . . 06 II 313
Chemische Analyse
— oder optische Bestimmung . . . . . 05 II 169
— und optische Bestimmung . . . . . 05 II 169
Chemische Klassifikation d. Eruptivgesteine . . 05 I 412
Chemische Kosmographie CBl 1905 91
Chemische Kristallographie 05 II 174
Chemisch-kristallograph. Grenzgebiet . . . . 06 I 322
Chemische Petrographie, eine Grundfrage der . CBl 1907 2
Chemisch-physikalische Mineralogie . . . . . CBl 1905 629
Chemische Vorgänge bei Metamorphismus . . CBl 1906 609
Chemische Zusammensetzung
— Ermittelung ohne Analyse . . . . . 05 I 11
— d. Eruptivgesteine, Diagramme v. Iddings CBl 1905 249
Chemnitzia acutissima, ob. Kreide, Alvincz . 05 I 302
— cf. Castor, Tithon, Sardinien . . . . . BB XXIII *464*
— Romani, Zone d. Lioc. concavum, Couzon-au-Mont-d'Or b. Lyon . 05 I 464
Chevalieria cylindroides, Eocän, Paris . . . . 07 II 303
Cheviot-Granit, Kontaktmetamorphose . . . 05 I 430
Cheviot Hills, Granitkontakt . . . . . 05 I 430
Chiastolith, Korea . . . 08 II 333
Childrenit, Greifenstein b. Ehrenfriedersdorf . . . CBl 1908 *333*
Chile
— Salpeter . . . . . 1905 I 262
— — Entstehung 1906 I 238 07 I 88
Chilina olivula, Cenoman, Südfrankreich . . . 07 II 132
Chimaeriden, Zähne und Eier im Jura . . . . 05 II 134
China
— Erzlagerstätten . . . 09 II 79
— Geologie des inneren, nach Futterer . . . 09 II 260
— Gesteine d. nordöstlichen . . . . . 07 II 73
— paläozoische Pflanzen 08 I 452
— — u. triad. Versteinerungen . . . . . 05 II 298
— Schmuck- u. Edelsteine . . . . . 05 II 5
— Trias-, Jura- u. Kreidepflanzen . . . . . 07 II 342
Chinastone, Cornwall, Zinnerzlagerstätten, mit Feldspat . . . BB XXVIII *29*
Chinchillidae, Tertiär, Patagonien . . . . . 07 II 324
Chione Hallii, Kergueleni u. permagna, Tertiär, Kerguelen . . . . . 07 II 128
Chirogaleus, amerik. Eocän . . . . . 05 I 333
Chiromyidae, amerik. Eocän . . . . . 05 I 331
Chitichun-Klippe, Zentral-Himalaya, perm. Versteinerungen . . . . 05 II 278
Chlamydotheriidae, Kreide, Patagonien . . . 05 I 170
Chlamys Bouryi, Eocän, Paris . . . . . 07 II 303
— capensis, Kreide, Pondoland . . . . . 07 II 306
— Grossouvrei u. janiroides, Bathonien, St. Gaultier (Indre) . . 08 I 262
— leptosticta, Eocän, Loire inférieure . . . 06 I 154
Chloanthit, Markirch . . 09 I 25
Chloralsulfhydrat, Krist. 07 I *104*
Chlorat u. Nitrat v. Kalium, Isomorphismus 08 I 318
Chlorcalcium, Entstehung in ozean. Steinsalzlagerstätten . . . . 08 II 159
Chlorcitromalsäure, inaktiv, krist. . . . . 07 I *96*

Chloride, Rolle bei vulkan. Eruptionen . . 1907 II 392
Chlorit
— Einwirkung von Radiumbromid . . . . CBl 1909 *69*
— pleochroit. Höfe . . CBl 1909 *142*
— Temperatur, bei der H_2O entweicht . . . CBl 1908 *518*
— Affaccata, Elba . . . 07 II 39
— Biella, Piemont, Drusen im Syenit . . . 06 II 36
— Connemara, Wales, im Marmor . . . . . CBl 1909 *715*
— Easton, New Jersey, Anal. (Prochlorit) . . 06 I 354
— Grönland . . . . . CBl 1908 379
— mährisch-schlesische Schalsteinformation . CBl 1906 *293*
— Nagolnij Krjasch, Donetz-Becken . 1907 II 196. 197
— Schmiedeberg (Riesengeb.), im Granit (Orthochlorit) . . . . . CBl 1909 *772*
— Susa-Tal, im Prasinit d. Rocca Bianca . 1906 II 105 ff.
— siehe auch Klinochlor.
Chloritbanatit, Zentral-Kaukasus . . . . . 07 I 71
Chloritoid
— Genf, im Euphotid d. Erraticums . . . . . 05 I 244
— Strettoia (apuan. Alpen) 07 II 38
— Syra . . . . . 09 II 224
Chloritschiefer
— Raspenau, Böhmen, im körn. Kalke des Kalkbergs . . . . . 06 I 57
— Sterzing . . . . . BB XXII *547*
Chlormanganokalit
— Vesuv . 1909 II 331 CBl 1907 601
— — mit Eisenglanz . CBl 1908 52
Chlormagnesium, -Nickel u. -Kobalt mit 6 H_2O, Kristallform, Deformationen u. optisch 06 I *92*
Chlornatrium, Variation der Kristalltracht . . 08 II 158
— siehe auch Steinsalz.
Chlornatriumhydrat, Kempendjaisksche Salzquelle im Jarkutskschen Gebiet, Bildung 09 II 12
Chlornatrokalit
— Vesuv . . . . . 07 II 15
— — Eruption von 1906 08 I 208
— — ein Gemenge . . . 09 II 332
Chloromelanit
— optisch . . . . . 1905 I 378
— Sammlung v. Heber R. Bishop, New York 05 I 29
— Piemont u. Ligurien . 05 II 67
Chloropal, Regens b. Iglau, mit Graphit . . 06 II 173
Chlorophäit, Färöer . . 09 I 29
Chlorophan, Ursache der Phosphoreszenz . . . 08 II 144
Chlorsaures Natrium, Polymorphismus . . . . 09 I 162
Chlorsilber
— Piezopleochroismus . CBl 1908 *393*
— Markirch . . . . . 09 I 24
— Nagolnij Krjasch, Donetz-Becken . . . . 07 II 194
Chlorür u. Bromür von Baryum, Isomorphismus . . . . . 08 I 319
Choeropotamus, Bartonien, Castrais . . . . 05 II 303
Choffatella decipiens, Gault, Portugal u. Isère . . 05 II 488
Choffaticeras, Kreide . . 07 II 148
Cholesterin, propionsaures, flüssige Kristalle 09 I 5
Cholesterinverbindungen, anisotropflüssig . . . 09 I 332
Chondroarsenit, Pajsberg, ist Sarkenit . . . . 07 II 376
Chondrit
— Amana = Iowa . . . 07 I 363
— Coon Butte, Arizona 07 II 386
— Finnland, Hvittis und Pillistfer, Livland . . 07 I 357
— Hendersonville, N. C. 07 I 366
— Shelburn . . . . . 07 I 365
— St. Mark's, Transkei 07 I 369
Chondrostroma globuliferum, intermixtum, problematicum und vermiculiferum, Kohlenkalk, Namur . . . 07 I *137*
Chonetes Buchiana und Buchiana var. interstriata, comoides, concentrica, Dalmaniana, hardrensis und papilionacea, Culm, Königsberg b. Gießen BB XXVIII *621 ff.*
— curta, Devon, Ostthüringen . . . . . BB XXIV *286*
— falklandicus, Rücki Stübeli, Devon, Bolivia . . . . . BB XXV *545*

Chonetes Mölleri und timanica, Obercarbon, Ural und Timan . . 1905 I 534
— papilionacea, untercarb. Transgressionsmeer, Tian Schan . . BB XXVI *230*
— spinosa, Carbon, Neu-Süd-Wales . . . . . 05 II 324
Choneziphius, Miocän, Antwerpen . . . . . 07 I 135
Choniocardia Oppenheimi, Eocän, Loire inf. . . 06 I 154
Christianiagebiet, Eruptivgesteine, Brögger's Katalog . . . . . 06 II 196
Christianiagesteine, Diluvium, Westfalen . . CBl 1907 *176*
Christobalit, Mayen . . 05 II 356
Chromate von Ba, Pb u. Sr, künstl. Kristalle 06 I 30
Chromatolyse . . . . BB XXVIII *344*
Chromdiopsid, Dubostica, Bosnien, im Lherzolith, bildet durch Umwandlung Chromit . . . 05 II 388
Chromeisen
— Meteoriten, chem. . . 09 I 360
— Nordamerika, Produktion . . . . . 05 I 208
— Serbien, südl., kristallisiert . . . . . 09 II 335
— Ural, Jekaterinburg . 09 II 41
Chromeisenerzlagerstätte, Dubostica, Bosnien, Entstehung . . . . . 05 II 383
Chromglaserit, Zwillingsbildung . . . . . BB XXIII *269*
Chromgranat, Orford, Quebeck, Cr-Gehalt . . . 06 II 323
Chromnatriumsilikate . . CBl 1908 *519*
Chromocker . . . . . CBl 1909 *333*
Chromocyclittypus des Apophyllit, chemisch CBl 1906 *79*
Chrysemys timida, Nordamerika . . . . . 09 I 452
Chrysis Rohweri, Miocän, Florissant, Col. . . . 08 II 111
Chrysoberyll
— Färbung durch Radium . . . . . 07 II 171
— künstlich (Alexandrit) CBl 1908 179
— Canada, County of Maskinonge, Quebec . 07 I 19
— Ceylon . . . . . 1906 I 179. 183
Chrysocyon, Perforation d. Astragalus . . . . 07 I 467
Chrysokoll . . . . . CBl 1909 *331*
— Campiglia (Toskana) 1907 II 37
— Clifton-Morenci-Distrikt, Arizona . . . . . 07 I 173
— Markirch . . . . . 09 I 24
— Nagolnij Krjasch, Donetz-Becken . . . . 07 II 197
— siehe auch Kieselkupfer.
Chrysolith, siehe Olivin.
Chrysophris Döderleini, Ötolithen, Tertiär, Österreich . . . . . 07 I 481
Chrysopras . . . . . BB XXV *197*
— Porterville, Tulare Co., Cal., etc. . . . . 09 I 30
Chrysotil
— Darstellung d. Kieselsäure . . . . . 07 I 345
— ist Amianth od. Karystian der Alten 1907 II 22 CBl 1905 *491*
— Bretagne . . . . . 08 I 26
— Canada, Entstehung d. Adern im Serpentin 07 I 405
— Nordamerika . . . . 05 II 22
— Thetford, Canada, Entstehung d. Gänge . . 06 II 170
Chrysotilasbest, Nordamerika . . . . . 05 I 209
— siehe auch Asbest u. Serpentin.
Churfirsten, Geologie . . 06 II 393
Cicindela-Arten, Phylogenie . . . . . 07 I 323
Cidaris Andreae und Payebieni, Jura, Macon . . . . . 07 II 156
— bellefourchensis, Jura, Volack Hills . . . . 08 I 264
— Cragini, Kreide, Honduras . . . . . 07 II 154
— Jeani u. problematica, Kreide, Ostfrankreich 05 II 326
Cima d'Asta, Gliederung d. Quarzporphyrdecke 05 II 382
Cima d'Asta-Region, Geologie . . . . . 06 II 245
Cimolichthys, Chalk, England . . . . . 05 II 137
Cimoliosaurus, White Cliffs, N.-S.-Wales, in edlen Opal verwandelt . . 07 I 145
Cimolit . . . . . CBl 1909 *332*
— Bilin, aus Augit . . 08 II 307
— Kaiserstuhl, nach Augit . . . . . CBl 1909 *333*

Cincinna, Interglazial, Wallensen, Hilsmulde 1905 I 144
Cincta pernummus . . . 08 II 114
Cinctae, Rippenbildung . 08 II 113
Cingularia typica, Carbon 09 II 492
Cinnabarite, radioaktive . 05 I 5
Cinnamomum africanum u. eocaenicum, Eocän, Fayum . . . . . 09 I 308
— crassipetiolatum, Kreide, New York . . . 08 I 456
Cinulia cannabis . . . . 07 II 469
— danica, Obersenon, Dänemark . . . . . 06 I 309
— incisa, Kreide, Schaumburg-Lippe'sche Mulde 06 I 442
Cionella exigua, Alttertiär, Ulm . . . . . 08 II 104
Circe carpathica, Spasser Schiefer, Kreide, Ostkarpathen . . . . . 07 I 436
— crassatellaeformis und Dumasi, Eocän, Loire inférieure . . . . . 07 II 302
Circopeltis Cannati, Eocän, Aude u. Hérault 07 II 156
Cirripeden, tert. Riesenform v. Neuseeland (Pollicipes ? aucklandicus) . . . . . 05 II 317
Cistecephalidae, Systematik . . . . . 07 I 480
Cistella arthonensis, Eocän, Loire inf. . . . 07 II 302
Citrin, Färbung u. deren Aenderung . . . . . BB XXVI *278*
Cladiscites, Rassenpersistenz . . . . . CBl 1909 *200*
— primitivus, ladin. Stufe, Dobrudscha . . . . 08 I 419
— striatulus, Cassianer Schichten, Epidauros (Argolis) . . . . . Festband *13*
Cladiscitinae, Beziehung zu Ptychitiden . . . CBl 1906 *275*
Cladodontiden, paläoz., Skelett vergl. mit rezenten Selachiern . . 05 II 313
Cladodus Neilsoni, Skelett vergl. m. Chlamydoselachus anguinus 05 II 313
Cladophlebis acuta var. angustifolia . . . . . 07 II 506
— Fontainei, Jura, Turkestan . . . . . 09 I 147
— hirta, Rhät, Bornholm 08 I 451
Cladophlebis koraiensis, Jura, Korea . . . . 1907 II 343
— pecopteroides u. vaccensis . . . . . 07 II 503
— Raciborskii, Carbon, Tonkin . . . . . 08 I 310
— yamanoiensis, Rhät, Nagota, Japan . . . 07 II 341
Cladoselache, Cleveland Shales, gestreifte Muskeln . . . . . 05 II 478
Cladosictis, Santacruzeno, Patagonien . . . . . 07 I 307
Clanculus infraeocaenicus, Eocän, Paris . . . . 07 II 303
— tschapitanus, Pachycardien-Tuffe, Seiser Alp . . . . . CBl 1905 *177*
Clansayes-Fauna
— Bettmar bei Braunschweig . . . . . CBl 1907 *266*
— Dauphiné . . . . . 06 I 312
Clathropteris egyptica, Aegypten . . . . . 08 I 149
— meniscioides . . . . 08 I 143
Claudetit, Szomolnok, chemisch . . . . . 05 I 372
Clausilia antiquior, Alttertiär, Giengen bei Ulm . . . . . 08 II 104
— brevis, oligocaenica, physoides u. Wetzleri, Alttertiär, Ulm . . . 08 II 104
— brueheimensis . . . . 07 II 459
— grandis u. randeckiana, Tertiär, schwäb. Alb . . . . . CBl 1908 *590*
Clava, Synonymik . . . 08 I 444
Clavigerina sinensis = Sagrina nodosa, Pliocän, Siena . . . . . 06 II 309
Clavijopsis Staubi, Tertiär, Eichelskopf b. Homburg . . . . . 09 I 148
Clavilithes Lemarchandi u. Loiseli, Eocän, Paris 07 II 303
Clavulina parisiensis var. multicamerata, Victoria, Austr. . . . . 09 I 144
— Szaboi-Schichten, Kruhel maly b. Przemysl, Foraminiferen u. Mollusken . 1905 II 434 06 I 472
Clearwater Mountains u. Bitter-root Range, Montana u. Idaho . . 05 II 200

Cleavage d. Gesteine . . 1906 II 56
Cleiocrinus, Untersilur, Nordamerika . . . . 05 II 145
Clemmys morrisiae, Nordamerika . . . . . 09 I 452
Clepsydropidae, Systematik . . . . . 07 I 478
Clepsydropinae, Clepsydrops, Nordamerika 1908 I 290. 293
Cliffwood, New Jersey, Kreide . . . . . 07 II 132
Clifton bei Karachi, Indien, Sandablagerungen a. d. Küste . . . . 05 II 417
Clifton-Morenci-Distrikt, Arizona, Mineralien . 06 I 172
Clionites californicus, compressus, Fairbanksii, robustus u. rugosus, Subbullatus-Schichten, Amerika . . . . . 06 II 306
— Catharinae (Arpadites), Cassianer Schichten, Epidauros (Argolis) . Festband *13*
— dobrugeensis, evolutus, Mrazeki u. promontis, ladin. Stufe, Dobrudscha . . . . 08 I 419
— gracilis u. Stantoni, Tropites-limestone, Byans . . . . . 08 II 237
— Valentini, Trias, Argolis . . . . . BB XXV *464*
Clistophaena fossilis, Scaglia, Euganeen . . . . 06 I 475
Clyde-Bassin, Schottland, Flora . . . . . 06 II 460
Clymenia Angelini, angustiseptata, annulata, arietina, brevicosta, Buchi, costata, crassicosta, cycloptera, discoidalis, Dunkeri, enkebergensis, Frechi, Guembeli, hexagona, involuta, Kayseri, laevigata, Lotzi, Phillipsi, Pompeckji, protacta, pulcherrima, Roemeri, Sandbergeri, Steinmanni, striata, subarmata, subflexuosa, undulata und valida, ob. Oberdevon, Enkeberg . . . . . BB XXVI *603*
Clypeaster Oppenheimi, Molasse, Veuce, Frankreich . . . . . 1907 II 157
Clypeopygus Robinaldinus, Neocom, argent. Cordillere . . . . BB XXIII *223*
Clypites tenuis, Meekoceras beds, Idaho . . 06 II 302
Cnisma ? microdon, Eocän, Loire inférieure . 06 I 154
Cnoc-na-Sroine-Massiv, Nordschottland, Borolanit u. and. Gesteine BB XXII *413*
Cobaltit, siehe Kobaltglanz.
Coblenzschichten, untere, am Mittelrhein . . . 09 I 272
Coccoderma suevicum, lith. Kalk, Nusplingen 09 I 453
Coccodus insignis, Kreide, Libanon . . . . . 05 II 482
Coccolithophora leptopora u. pelagica, nordatlant. Ozean . . . . 05 I 425
Cocculus imperfectus u. inquirendus, Kreide, New York . . . . . 08 I 455
— minutus, Kreide, Long Island . . . . . 07 I 495
Cochise Mining District, Arizona . . . . . 07 II 418
Cochleosaurus bohemicus, Gattungsdiagnose . . 07 I 146
Cochliodus sancti Ludovici, Carbon, Illinois 05 II 133
Cochlops, Santa Cruz beds, Patagonien . . . . . 06 I 456
Cockburn-Insel, Geol. 1909 II 101. 102
Codaster aff. pyramidatus, Devon, Bolivia BB XXV *565*
Codiopsis, Arten . . . . 05 II 149
— Valotairei, Kreide, Touraine . . . . . 05 II 149
Coelastarte planoexcavata, Zone d. Lioc. concavum, Couzon-au-Mont-d'Or b. Lyon . . . . 05 I 464
Cölestin
— Beziehung zu Anhydrit . . . . . 07 I *139*
— Herstellung künstl. Kristalle . . . . . 05 II 4
— Synthese und Aetzfiguren . . . . . 09 I 348
— Verbreitung in marinen Sedimenten . . . . . 07 I 209

Cölestin
— und Schwerspatverbreitung in der Erdkruste . . . . . 1907 II 400
— Bessarabien, Chotinscher Kreis, im Gips 1907 II 378. 379
— Boratella (Romagna), Kristallform . . . . 05 I 40
— Giershagen, Einwirkg. von Radiumbromid . CBl 1909 *71*
— Häring, Tirol . . . . 06 II 23
— Kasan-Gouvernement, im Perm . . . . . 05 II 191
— Krim, Lissaja-Berg b. Feodosia . . . . . 09 II 361
— Mangischlak-Halbinsel 09 II 361
— Maybee, Mich. 1906 II 345 07 I 33
— Paris, Pseudomorphose (sogen. Gerstenkörner) 06 II 347
— Pariser Becken, in Kalkknollen des Sparnacien . . . . . 06 II 116
— Poggio Orlando (Siena), Schwefelgruben . . . 08 II 335
— Put-in-Bay, Erie-See, Vorkommen . . . . 06 II 345
— Saratow-Gouvernement 07 II 367
— Sizilien, Kristallform 09 II 199
— Südpolarländer, Versteinerungsmittel . . 08 II 321
— Syrakuse, N. Y. 1905 II 192 07 II 223
— Tunis, Krist., Pseudom. nach Schwerspat CBl 1905 *33*
Cölner Dom, Verwitterung v. Bausteinen . . . 07 II *42*
Coeloceras aegrum, asperum, Avanzatii, fallax, incertum, intermedium, laevicosta, obesum, psiloceroides, simulans, subcrassum u. sublaeve, Lias, Monte di Cetona . . . . 06 II 143
— anguinum, annulatum, commune, crassum, Desplacei, Mortiletti, cf. pettos, subanguinum u. subarmatum, Jura, südwestl. Balkanhalbinsel . . . . BB XXI *275*
— Desplacei u. subarmatum, Kreide, Nancy 06 I 313
— mucronatum, ob. Lias, Larzac, Cevennen . . BB XXII *670*
? Coelostylina arenacea, Keuper, Schwaben . BB XXV *112*
— Zieteni, Grenzdolomit, Schwaben . . . BB XXV *108*
Coelostylops, Kreide, Patagonien . . . . 1905 I 168
Cohen, Emil, Nekrolog. CBl 1905 *513*
Cohenit
— im künstl. Eisen . . 06 I 243
— im Meteoreisen=Cementit . . . . . 05 I *123*
Coilopoceras Colleti, ? Grossouvrei, novimexicanum und Springeri, Kreide . . 07 II 149
Coilopoceratidae, Kreide 07 II 149
Colemanit . . . . . 09 I 316
— künstl. Darstellung . 08 II 163
Coleoptera longicornia, balt. Bernstein, Berendt'sche Sammlung 07 I 323
Coli Huapi-Stufe, Patagonien . . . . . 07 II 143
Colli Berici
— Geologie . . . . . 07 II 159
— Paläontologie . . . . 08 II 285
Collonia (?) Cureti, Kreide, Orgon (Bouches-du-Rhône) . . . . . 06 I 318
— excavata, flammulata u. semirugata, Eocän, Paris . . . . . 07 II 303
— (?) Lenzi, Hypersenon, Peterwardeiner Gebirge . . . . . 06 II 267
— (?) pilula, Coniacien, Frankreich . . . . . 06 I 319
— praecursor, Bathonien, St. Gaultier (Indre). 08 I 262
Collyrites sarcicourtensis, Jura, Haute-Marne 09 II 480
Colombia
— erdige und salzige Mineralien . . . . . 06 I 34
— Mineralien . . . . . CBl 1908 182
— Mittelcordillere, Geol. CBl 1907 *720*
— Vulkanberge im Anschluß an Stübel . CBl 1906 *429*
— Zentralcordilleren, Geol. CBl 1907 *545* CBl 1908 *195*
Colorado, radiumhaltige Quellen . . . . . 07 II 237
Colpodon, Patagonien, Extremitäten . . . . 07 II 138
Colpodon-Schichten, Molasse, Patagonien . . BB XXI *174*

Columbella subcarinata, ? Eocän, Kamerun . 1906 II 123
Columbit
— Japan . . . . . 07 I 208
— siehe Niobit.
Columbites europaeus u. Perrini Smithii, Untertrias, Albanien . . . 08 II 399
— parisianus, unt. Trias, Idaho . . . . . 06 II 300
Colville series, nördliches Alaska . . . . . 06 I 93
Comer See-Gegend, Trias 06 I 423
Cominella ovalina, Paläocen, Saratow . . 05 II 121
Composite . . . . . 08 II 140
Compositzwillinge und Viellinge . . . . . 08 II 140
Comptonit, Kaden (Böhmen) u. Pufler Loch (Seiser Alp), Glühverlust . . . . . 06 I *25*
Concavus-Zone, Eisenerzformation, Lothringen und Luxemburg . . . 06 I 305
Concepcion del Oro, Zacatecas, Mexiko, Geologie . . . . . BB XXVIII *422*
Conchidium Etheridgei u. Knighti var. stricta, Oakey Creek, Neu-Süd-Wales . . . . . 08 I 279
Conchit, Skelett d. Kalkschwämme . . . . . CBl 1905 *582*
Conchylien, quartäre, Gotha . . . . . 07 II 459
Condor, quartär, Bolivia 08 II 435
Condroz, Carbon d. zentralen . . . . . 05 I 457
Condylarthra, Patagonien 05 II 466
— Kreide, Patagonien . 05 I 168
Confervites dubius, Matawan-Formation, Cliffwood, Nordamerika . 07 I 494
Congeria abchasica, caucasica u. mirabilis . . 06 I 432
Congerienfauna, Leobersdorf b. Vöslau . . . 06 I 113
Coniferites Fritschi, Devon, Etage H, Mittelböhmen . . . . . 06 II 146
Coniopteris lunzensis, Lunzer Schichten . . . . 09 I 465
— nitidula, Kreide, China . . . . . 07 II 342
Coniosaurus crassidens . 09 I 447
Conites Charpentieri, Carbon, Tonkin . . . . 1908 I 310
— minuta, Wealden, Bernissart, Belgien . . . 07 I 492
— salzhemmendorfensis, Jura, Norddeutschland 09 I 462
Connecticut, Richtung d. Still Rivers . . . . 06 I 94
Conocardium, Devon, Ostthüringen . . . . . BB XXIV *297*
— aliforme, Culm, Königsberg bei Gießen BB XXVIII *637*
— Davidis, Oakey Creek, Neu-Süd-Wales . . . 08 I 279
Conoclypeiden u. Cassidulidi conoclypeiformi 09 II 484
Conomitra eurycolpa, Eocän, Paris . . . . . 07 II 303
Controller Bay, Alaska, Petroleum u. Kohle . 09 I 395
Conularia, Bau . . . . 07 I 155
— acuta, africana, Quichua u. undulata, Devon, Bolivia . . . . BB XXV *512*
— Munthei, Wesenberger Schicht, mittelbaltisches Silurgebiet . . 06 II 298
Conularienschichten, Devon, Bolivia . . . . BB XXV *580*
Convexastrea Kiliani, Jura, Frankreich . . . 07 I 487
Cook Inlet, Alaska
— Mesozoicum . . . . 07 I 277
— Petroleum . . . . . 09 I 395
Coolgarlie-Goldfeld, nördl., Westaustralien . . 1905 II 400. 401
Copalit, Olăneşti, Rumänien . . . . . 08 I 358
Copiapit, Ungarn = Janosit . . . . . 08 II 323
Coppaelit, Coppaeli, Bolsener Gebiet . . . . 05 II 224
Coquimbit, Konstitution und Entstehung 1908 II 324 09 I 318
Cora-Horizont, Obercarbon, Ural u. Timan 05 I 536
Coralliophaga vermiculus, Eocän, Loire inférieure 06 I 468
Corbicella basterotiaeformis, Eocän, Loire inf. 07 II 302
— claxbiensis, Kreide, England . . . . . 08 I 444
— tancredia, ob. Jura, Pommern . . . . . 06 II 102

Corbicula ? cenomanensis. Cenoman. Südfrankreich . . . . . 1907 II 131
— connauxensis, Cenoman, Südfrankreich . 07 II 131
Corbis medarum, Senon, Südpersien . . . . . 06 I 445
Corbula cercus u. praegibba, ? Eocän, Kamerun . . . . . 06 II 123
— dubia, ob. Kreide, Alvincz . . . . . 05 I 302
— louristana, Senon, Südpersien . . . . . 06 I 445
— Muschketowi, Tertiär, Guldscha, Fergana . 05 II 283
— nematophora var. Fitchi, Kreide, Los Cerillos (Neu-Mexiko) . . 08 I 436
— ovoidea, Cenoman, Südfrankreich . . . 07 II 131
— silatensis, Silat-Gruppe, Kreide, Borneo . 07 I 437
— subvolskensis u. volskensis, Paläocen, Saratow . . . . . 05 II 121
— Vasseuri, Eocän, Loire inférieure . . . . . 07 II 302
— Zurcheri, Cenoman, Südfrankreich . . . 07 II 131
Cordaicarpus planus, Kohlenkalk, England . . 06 II 464
Cordierit
— Einwirkung von Radiumbromid . . . . CBl 1909 *67*
— pleochroit, Höfe . . CBl 1909 *113*
— Alpen, Lagerstätten . 08 II 67
— Brockenmassiv, in Tonschieferhornfels . 09 I 55
— Grönland . . . . . CBl 1908 409
— Japan, im Kupfererz v. Hitachi . . . . . 09 I 191
— — Pseudomorphosen . 07 I 206
— Linz a. Donau und bayr. Wald, Vorkommen . . . . . 05 I 30
— Mt. Pelée u. Soufrière 05 I 255
— Sulitelma, im Kies . 09 II 241
— Wyoming, in durch Kohlenbrand verändertem Ton . . . . . 07 I 244
Cordieritfels
— Laudenau, Odenwald CBl 1907 *66*
— Luisenburg b. Wunsiedel, im Granitkontakt . . . . . 07 II 64
Cordieritgneis, Enderby-Land, gedredscht . . 1906 II 371
Cordierithornfels, Rican b. Prag . . . . . 08 I 58
Cordilleren, siehe Anden, Kordilleren, Colombia, Vorkordillere etc.
Cordillerites angulatus, Meekoceras beds, Idaho 06 II 303
Cordoba, Prov., Argentinien, Geol. . . . . BB XXII *562*
Cordylodon haslachensis u. Schlosseri, Miocän, Oppeln . . . . . 05 II 453
— Schlosseri, Obermiocän, Oppeln . . . . 08 II 425
Coresodon, Kreide, Patagonien . . . . . 05 I 167
Coretus Lincki, Alttertiär, Weilheim (Ries) . . 08 I 433
Corfu, Mesozoicum . . . BB XXI *213*
Corneit, Ardennen . . . 09 I *111*
Cornetia reniensis, Eocän, Paris . . . . . 07 II 303
Cornutanna elegans, Miocän, Italien . . . . 09 II 490
Cornwall
— Erzlagerstätten . . . 09 II 81
— Granitgesteine d. Zinnerzlagerstätte . . . BB XXVIII *1*
— Silbererzlagerung von Sedgman Lode der Perran Mine . . . . CBl 1907 410
Corocalyptra euganea, Kreide, Euganeen . . 06 I 474
Corocoro, Bolivia, Entstehung der Kupfererze . . . . . 07 II 422
Coronadit, Clifton-Morenci-Distrikt, Arizona . 06 I 172
Coroniceras n. sp. cf. sinemuriense, Lias, Monte di Cetona . . . . . 05 I 175
Corsica, siehe Korsika.
Cortlandit, Maine, Penobscot, Hancock County . . . . . 08 II 373
Cortlandt Series, Connecticut . . . . . 08 I 72
Corvus moriorum, Ngapara b. Oamaru, Neuseeland . . . . . 09 I 130
Coryphodon, Zahnsystem, Beziehung zu Albertogaudrya u. Pantolambda . . . . . 05 II 461

Cosina-Schichten, Norddalmatien . . . . . 1906 I 259
Cosmoceratida, Kreide . 07 II 149
Cosmonautilus, Trias, Amerika . . . . . 06 II 307
Cossyrit, Aouache-Gebiet, Ostafrika, im Pantellerit . . . . . 07 II 416
Côte des Basques bei Biarritz, Fossilien der blauen Mergel . . . 06 II 439
Cotoneaster Göpperti, Braunkohle, Senftenberg . . . . . 08 I 449
Cotunnit, Vesuv, Radioaktivität . . . . . 08 II 293
Cotylosaurier
— Bau . . . . . 09 II 122
— Einteilung . . . . 1907 I 140. 479
— Plauen'scher Grund, Rotliegendes . . . . 07 I 311
Covellin, siehe Kupferindig.
Covit, Ampasindava (Madagaskar) . . . . . 05 I 436
Crania Turnbulli, Untersilur, Haverfordwest-Distrikt . . . . . 06 II 140
Craniella cf. cassis, Devon, Ostthüringen . . BB XXIV *278*
Craquelée-Glas, Kuttenberg . . . CBl 1909 *453. 465. 545*
Craquelierte Archäolithen, Tasmanien . . . . . 09 I *73*
— Feuersteine, Oligocän, Thenay u. Tasmanien CBl 1908 *748*
Craspedites Gottschei, unt. Kreide, Helgoland . 05 I 467
Craspedopoma Bonnetae, Eocän, Paris . . . . 07 II 303
— elegans, Alttertiär, Giengen b. Ulm . . 08 II 104
Crassatella intercrenata u. umbonata, Eocän, Loire inférieure . . . 06 I 468
— minima u. supracretacea, ob. Kreide, Alvincz . . . . . 05 I 302
— remiensis, Eocän, Paris 07 II 303
— slavonica, Hypersenon, Peterwardeiner Gebirge . . . . . 06 II 268
Crassatellites africanus, Kreide, Pondoland . 07 II 306
— divisiensis, Kreide, England . . . . . 08 I 133
Crataegus prunoidea, Braunkohle, Senftenberg . . . . . 1908 I 449
Crater Lake National Park, Oregon, Geologie u. Petrographie 1905 I 251 06 I 89
Credneria acerifolia, arcuata, atava, elongata, Engelhardti, peltata, posthuma, subserrata var. intermedia u. Zenkeri, ob. Kreide, Quedlinburg . . . . 07 I 494
Crenella Bourdoti, Eocän, Loire inférieure . . . 06 I 154
Crenilabrus simplicissimus, Otolithen, Tertiär, Oesterreich . . . . . 07 I 481
Creodonta, Tertiär, Fayum 07 II 315
Creseis Fuchsi = Orygoceras corniculum, pannon. Schichten, Ungarn 05 II 434
Cribricella crassicollis, Eocän, Tunesien . . 05 II 142
Crinoidenbänke d. Dogger, Liestal, Basler Jura . 05 I 298
Crinoidenschichten, Devon, Bolivia . . . . BB XXV *582*
Crioceras Deeckei und Sarasini, unt. Kreide, Patagonien . . . . . BB XXV *636*
— intercostatum, Kreide, Teutoburger Wald bei Lengerich . . . . . 09 II 254
— Joffrayi, Kreide, Diego Suarez . . . . . 07 II 334
— Lahuseni, ob. Neocom, Rußland . . . 06 II 142
— serta, Untersenon, Braunschweig . . . . 07 I 483
Crioceras-Formen, russ. Neocom . . . . . 06 I 465
Cripple Creek, Goldbergbau . . . . . 09 I 233
Cristellaria arietis, Lias, Schwaben . . . . . 09 II 320
— baltica, colligata, flexuosa, lithuanica, mitellata u. virgata, lithauisch-kurischer Jura . . . . . 06 I 471
— costata var. compressa u. seminuda, u. Daintreei, Unteroolith, Westaustralien . . . . . 05 II 151

Cristellaria granulataeformis und Kubinyiformis, Unteroligocän, Kruhel maly b. Przemysl . . 1905 I 320
— Josephina var. umbonata, Tertiär, Wels (Oesterreich) . . . . 05 II 291
Cristellaridea, Globigerinenmergel, Bahna, rumän. Karpathen . 09 II *148*
Crocodilus, Bartonien, Castrais . . . . . 05 II 304
— ossifragus, Kendeng-Schichten, Java . . 09 I 120
Cromyodrymus mirabilis, Scaglia, Euganeen . 06 I 475
Crosswicks Clays, Matawan-Formation, Nordamerika . . . . . 07 I 494
Crurosaurus problematicus, unt. Muschelkalk, Freyburg a. Unstr. . . . CBl 1908 *432*
Crush-conglomerate, Insel Man . . . . . 06 II 210
Cryphaeus giganteus, Devon, Bolivia . . . . BB XXV *501*
Cryptomonas Schaudinni 09 II 153
Cryptonella Baini, Devon, Bolivia . . . . . BB XXV *558*
Cryptopithecus = Pronycticebus Gaudryi . . . 06 II 443
— siderolithicus, Obereocän, Frohnstetten, süddeutsche Bohnerze 1908 I 123. 126
Cryptoplocus pyramidalis, Tithon, Sardinien . . . . . BB XXIII *466*
Cryptoxylon forfarensis, Old red sandstone . . 06 II 458
Crystall Falls-Bezirk, Lake Superior-Gegend, Eisenerze . . . . . 05 I 82
Crystosphenes, nordamerik. Tundra . . . . 06 II 190
Csadron-Formation, Tertiär, Wyoming-Nebraska . . . . . 06 I 268
Csukas-Gebirge, Karpathen, Schneegrenze . 05 I 407
Ctenacanthus tenuistriatus, Carbon, Visé . . 05 I 457
Ctenis Kancharai, Jura, China . . . . . 07 II 342
Ctenis Nathorsti, Rhät, Bornholm . . . . . 1908 I 452
Ctenodonta (Palaeoneilo) Forbesi, globata, maxima, musculosa, radiata u. subantiqua, Devon, Bolivia . . . BB XXV *520*
— sladensis u. subscitula, Untersilur, Haverfordwest-Distrikt . . . . 06 II 307
Ctenophyllum pachynerve 07 II 503
— Wanneri . . . . . 07 II 500
Ctenopteris Sarrani, Carbon, Tonkin . . . . 08 I 310
Ctenosaurus Koeneni, Buntsandstein, Göttingen . . . . . 08 I 296
Ctenostomata, paläoz. Revision . . . . . 05 II 485
Ctenostreon pectiniforme (= Lima proboscidea), Westaustralien 1907 I 484 07 II 339
Ctenothrissa signifer, Kreide, Libanon . . . . 05 II 482
Cuba, Mineralien . . . . 05 I 389
Cuban, Rußland, Woizsche Grube, Gouvern. Archangelsk . . . . 09 II 40
Cuccoceras Yoga, Muschelkalk, Himalaya . . . 08 II 244
Cucullaea couzonensis, Zone d. Lioc. concavum, Couzon-au-Mont-d'Or b. Lyon . . . . . 05 I 464
— Deichmülleri, Kreide, Kieslingswalde . . . 05 I 301
— Gabrielis u. securis, Kreide, argent. Cordillere . . . . . BB XXIII *212*
— gradata, Kreide, Neu-Süd-Wales . . . . . 05 I 319
— ovata u. reticularis, Paläocen, Saratow . 05 II 121
— Scrivenori, Jura, Singapore . . . . . 07 I 287
— transsylvanica, obere Kreide, Alvincz . . . 05 I 302
— umsinenensis, Kreide, Zululand . . . . . 07 II 304
Cuenza-Mulde, Ecuador, Gesteine . . . . . 06 I 392
Cuisien
— Pariser Becken . . . 06 II 116
— = Yprésien u. Londonton . . . . . 06 II 115

Cullinan-Diamant, größter bekannter, Premier-Mine, Transvaal 1905 II 345 1907 II 13
Culm
— Natur der Sedimente BB XXV *373*
— Elsaß, Pflanzen . . . 08 I 460
— Fichtelgebirge und Thüringen . . . . . BB XXII *48*
— Harz Grauwacke mit Nautilus culmiensis . 08 I *145*
— Königsberg b. Gießen, Fauna . . . . . BB XXVIII *611*
— Oberharz, Nautilus in der Grauwacke . . . CBl 1908 *293*
— Thüringen, östl., und Vogtland, Phosphoritknollen im untersten BB XXII *48*
Culmhölzer, Thüringen, östl., u. Vogtland, in Phosphorit versteinert BB XXII *77*
Cultellus rectimargo, Eocän, Loire inf. . . . 07 II 302
Cummengéit, Krist. etc. 07 I 339
Cummingtonitartige Hornblende, Timaschewaja-Balka, bezw. Krivoj-Rog . . . . . 07 II 360
Cuneatopteris Völkeli u. westfalensis, Carbon . 09 I 150
Cuneolina (Dicyclina), Senon . . . . . 05 II 153
Cunninghamites pulchellus, Judith river beds, Nordamerika . . . . 07 I 440
Cupressianthus magnus u. polysuccus, Bernstein, Ostpreußen . . 09 I 308
Cupressinoxylon Barberi, unt. Lias, Lyme Regis 07 I 490
Cupressites Conwentzii, sambiensis, Schenkii u. Sommerfeldii, Bernstein, Ostpreußen . . 09 I 308
Cuprit, siehe Rotkupfererz.
Cupro-, Thallo-, Silber- u. Bleihalogene, Mischkristalle aus Schmelzfluß . . . . . BB XXII *1*
Cupularia bioculata und punctata, Tertiär, Patagonien . . . . . 05 II 141
Cursipes Dawsoni, Carbon, Ostcanada . . . 05 I 339
Cuselit, Pfalz . . . . . 09 I 54
Cuspidaria gouetensis, Eocän, Loire inf. . . . 1907 II 302
Cyanit
— Kristallform . . . . 09 II 24
— Zwillinge . . . . . CBl 1907 *408*
— Campolongo . . . . 05 I 202
— Ceylon . . . . . 06 I 180
— Ekaterinburg, Verwachsung mit Graphit CBl 1908 *523*
— Erzberg b. Hüttenberg (Kärnten), im Gneis . 05 II 82
— Laufenberg b. Radenthein, Tirol, im Granatglimmerschiefer, Umwandlung . . . . . CBl 1909 *215*
— Mte Campione, Einwirkung von Radiumbromid . . . . . CBl 1909 *71*
— Ottawa b. Pisek im Goldsand . . . . . 05 I 366
— St. Gotthard, Brechungsindizes . . . 06 II 317
— Tessin, Pizzo Forno BB XXVI *522*
Cyathaxonia dissimilis, untercarb. Transgressionsmeer, Tian Schan BB XXVI *229*
Cyathocrinus elongatus, Devon, Argentinien . BB XXV *571*
Cyathophora Dechyi, Kaukasus . . . . . 08 II 81
Cyathophyllum cf. caespitosum, Oberdevon, Ostthüringen . . . . . BB XXIV *275*
Cycadella . . . . . 1907 II 502. 504
Cycadeoidea Clarkiana u. Fisherae . . . . 07 II 505
— nigra . . . . . 07 II 501
— pumila, Portland, Boulogne-sur-Mer . . . . 09 I 459
— Stantoni . . . . . 07 II 505
Cycadeomyelon yorkense 07 II 500
Cycadeospermum californicum . . . . . 07 II 504
— montanense . . . . 07 II 505
— oregonense u. ovatum 07 II 503
— Wanneri . . . . . 07 II 500
— ? Wittei, Jura, Norddeutschland . . . . 09 I 462
Cycadofilices, Zugehörigkeit zahlreicher paläoz. Pflanzen . . . 07 I 163
Cycadolepis corrugata u. granulata, Carbon, Tonkin . . . . . 08 I 310
Cycadophyten, Trias . . 08 II 448
Cycas, Grönland, Cenoman 08 I 145

Cycethra Lahillei, rezent, Südamerika, Ostküste . . . . . 1907 II 154
Cyclammina, Dimorphismus (C. acutidorsata = rotundidorsata) . 05 II 156
— complanata u. paupera, kainozoisch, Brown's Creek, Otway coast, Victoria . . . . . 06 I 471
— draga u. Uhligi . . . 05 II 491
Cyclocarpus angustodunensis, nummularis u. tenuis . . . . . 09 I 461
Cycloceras Waageni, Bellerophon - Schichten, Bosnien . . . . . 05 I 105
Cycloclypeinae . . . . . 08 II 286
Cycloclypeus, Einteilung 08 I 447
— Niederl.-Indien . . . 07 II 498
Cyclolites Choffati, Senon, Portugal . . . . . 07 I 487
Cyclolobus Haydeni, insignis u. Kraffti, anthracolith. System d. Perm, Zentral-Himalaya . . . . . 05 II 281
— Walkeri, Perm, Chitichunklippe, Zentral-Himalaya . . . . . 05 II 278
Cyclopeninseln, Einschlüsse im Basalt . . . . . 07 I 389
Cyclopitys oregonensis . 07 II 503
Cyclopsina, Senon, Bau. 05 II 153
Cyclopteris pinna, Saarbrücker Schichten . . 09 I 303
Cyclostoma elegans in Deutschland seit Diluvium . . . . . 05 I 310
— ulmensis, Alttertiär, Ulm . . . . . 08 II 104
Cyclotosaurus Albertyni, Trias, Aliwal North, Südafrika . . . . . 07 I 316
Cyclus Johnsoni, coalmeasures, Dudley . . 06 II 140
Cylichna fusuliniformis u. Griesbachi, Kreide, Umkwelane Hill, Zululand . . . . . 06 I 308
— ornamentata, obere Kreide, Alvincz . . . 05 I 302
Cylindrit, siehe Kylindrit.
Cylindrogyra varians, Cenoman, Südfrankreich . . . . . 07 II 131
Cymbospondylus, mittl. Trias, Star Cañon, Nevada . . . . . 1906 I 149
— ? natans, Trias . . . 09 I 445
— petrinus, mittl. Trias, Nevada . . . . . 06 I 151
Cynodictis pygmaeus, Obereocän, Frohnstetten, süddeutsche Bohnerze . . . . . 1908 I 123. 128
Cynodontomys, amerik. Eocän . . . . . 05 I 331
Cynognathus, Schädel . 07 I 140
— crateronotus, Karruformation . . . . . 08 I *15*
Cyon, Miocän, Süddakota 05 II 128
Cypraea Malandaini und Raspaili, Eocän, Paris 07 II 303
— Zsigmondiana, Hypersenon, Peterwardeiner Gebirge . . . . . 06 II 268
Cypraedia Degrangei, blaue Mergel v. Côte des Basques b. Biarritz 06 II 439
Cypridina antiqua, Untersilur, Ontariosee . . 06 II 139
Cyprimeria Haueri, Hypersenon, Peterwardeiner Gebirge . . . . . 06 II 268
Cyprina anglica, claxbiensis, protensa u. tealbiensis, Kreide, England . . . . . 08 I 444
— arcuata, Hypersenon, Peterwardeiner Gebirge 06 II 268
— Blanckenhorni, Turon, Aegypten . . . . . 05 II 285
— Michaelis u. mondragonensis, Cenoman, Südfrankreich . . . 07 II 131
Cyprinen-Schichten, Oligocänmolasse, Südbayern . . . . . CBl 1906 576
Cypris Fraasi, Alttertiär. Weilheim (Ries) . . 08 I 433
Cyrena Cureti, ? globulosa u. proboscidea, Cenoman, Südfrankreich . . . . . 07 II 131
— dacica, obere Kreide, Alvincz . . . . . 05 I 302
— lunulata u. oblonga, Cyrenenlager, Jura, Rikuzen, Japan . . . 05 I 464
Cyrenenlager, Jura, Rikuzen, Japan . . . . 05 I 464

Cyrenenmergel, Tertiär, Großkarben . . . . 1909 II 465
Cyrenenschichten, Oligocänmolasse, Südbayern . . . . . CBl 1906 576
Cyrenopsis opallites, Kreide, Neu-Süd-Wales . 05 I 318
Cyrthodelphis, Boldérien, Antwerpen . . . . . 07 I 132
Cyrthophormis costata u. fossilis, Scaglia, Euganeen . . . . . 06 I 475
Cyrtocalpis globosa und ovoides, Miocän, Italien . . . . . 09 II 490
Cyrtocapsa inaequispina, Marinellii u. polygonalis, Miocän, Italien 09 II 490
— Lavalli, Tripel, Condrò (Sizilien) . . . . 08 I 140
— perspicua u. turris, Scaglia, Euganeen . 06 I 475
Cyrtoceras Münsteri u. ? tubulare, ob. Oberdevon, Enkeberg . . BB XXVI *630*
Cyrtocrinus, Körperform Festband *278*
Cyrtodelphis, Miocän, Europa . . . . . 07 I 136
— sulcatus, Belluno, Bau . . . . . 06 I 147
Cyrtodonta (?) cancellata, Untersilur, Haverford-west-District . . . . 06 II 307
Cyrtolit Bedford, N. Y. 05 I 374
Cyrtopleurites Freshfieldi, Tropites-limestone, Byans . . . . . 08 II 237
Cyrtopora clavata und Watersi, Tertiär, Patagonien . . . . . 05 II 141
Cystodictya americana u. nitida, karn. Fusulinenkalk . . . . . 06 II *138*
Cystoideen, Struktur des Hautskeletts . . . . CBl 1907 *236*
Cythere corrosa var. grossepunctata, drupacea var. fortior u. lobulata, Unteroolith, Westaustralien . . . . . 05 II 151
— Schwarzi, Pleistocän, Buffalo River, East London . . . . . 08 I 305
Cytherea (Caryatis) abbreviata, Senon, Südpersien . . . . . 06 I 445
Cytherea anadyomene, caudata, Eschi, latesulcata, Nachtigali, palma, perambigua u. perstriatula, ? Eocän, Kamerun . . . . . 1906 II 123
— inflata, Netschaewi, Pavlowi, sublunularia u. subseparata, Paläocen, Saratow . . . 05 II 121
— (?) kaffraria, Kreide, Umkwelane Hill, Zululand . . . . . 06 I 308
— Kochi, Hypersenon, Peterwardeiner Gebirge . . . . . 06 II 268
— vasconum, blauer Mergel, Côte des Basques, Biarritz . . . . 06 II 439
Cytheredeis Hedleyi, Neuseeland . . . . . 07 I 328
Cytheridea longicaudata, Kreide, Ost-Pondoland, Südafrika . . . . . 05 II 152
Cytheropteron australiense, Unteroolith, Westaustralien . . . . . 05 II 151
— elongato-concentricum, Kreide, Ost-Pondoland, Südafrika . . . . . 05 II 152
Czortkower Schichten, Obersilur, Podolien . 05 II 99

D.

Dachiardit, Elba, Speranza-Gang b. San Piero . . . . . 08 II 35
Dachs, Perforation des Astragulus . . . . . 07 I 466
Dachschiefer, Kalifornien, Slatington, Eldorado County . . . . . 06 II 215
Dachsteindecke . . . . 06 II 259
Dacit
— Argentinien . . . . . BB XXII *579*
— Batakländer (Sumatra) . . . BB XXVII *413. 426. 429*
— Crater Lake National Park . . . . . 05 I 253
— Ecuador . . . . . 05 II 76
— Kaukasus . . . . . 06 I 390
DactyliodiscusCayeuxi, Scaglia, Euganeen . 06 I 475
Dactyliosphaera Sylviae, Kreide, Euganeen . . 06 I 474

Dadoxylon australe, Glossopteris-Flora . . 1908 I 154
— scleroticum, Deutsch-Südwestafrika . . . 09 I 309
— württembergicum, Holz, vergl. mit D. keuperianum . . . . 09 I 467
Daemonelix cretacea, unt. Angoumien, Osning-Bergketten, Teutoburger Wald . . . . 06 II 103
— Nebraska u. Wyoming, Nagerbaue . . . . . 07 I 460
Dänemark
— Alter d. plast. Tone CBl 1907 *58*
— Facettengeschiebe im Diluvium . . . . . CBl 1906 *593*
— Fossilien der Kreide . 06 I 309
— tertiäre und quartäre Säugetiere . . . . . 06 I 445
Dahome, Alkaligranit, mit Riebeckit . . . . . 09 II 235
Dakota, Süd-
— Hydrographie 1905 I 229 06 I 267
— oligocäne Säugetiere . 07 I 299
— Säugetiere d. Miocän 05 II 128
Dakotasandstein, Nordamerika, Verbreitung 07 I 438
Dalarne-Porphyrgeschiebe, Diluvium, Westfalen CBl 1907 *151*
Dalbergia elegans, irregularis u. minor, Kreide, New York . . . . . 08 I 456
Dalliconcha orientalis, Hypersenon, Peterwardeiner Gebirge . . 06 II 268
Dalmanella, Devon, Bolivia . . . . . BB XXV *542*
Dalmanites Boehmi, Devon, Argentinien . . BB XXV *568*
— Clarkei u. Maecurua, Devon, Bolivia . . . BB XXV *500*
— Drevermanni, Devon, Jachal, Argentinien . 06 I 302
Dalmatien
— Geologie . . . . . 05 I 452 ff.
— — d. Küsten- und Inselgebiets . . . . . 07 I 89 ff.
— — des Mosor-Gebirges 06 I 257
— — des südlichen . . 05 II 93
— — zwischen Zemonico u. Benkovac . . . . 06 I 259
— Jura u. Kreide bei Spizza . . . . . 08 II 400
— Manganerze . . . . 05 I 98
Dalmatien
— nutzbare Mineralien . 1909 II 82
— Tertiär d. nördlichen 05 II 114
Dalmatites Ropini, Muschelkalk, Himalaya . 08 II 245
Damaraland, Südwestafrika, Kupfererze . . 06 I 233
Dammara acicularis, Judith river beds, Nordamerika . . . . . 07 I 440
— microlepis, Kreide . . 09 II 153
— minor, Kreide, New York . . . . . 08 I 454
— northportensis, Kreide, Long Island . . 07 I 495
Dampfdruck bei festen Lösungen . . . . . 05 I 364
Dampfwolken, Vesuv 1906 08 I 43
Danaeopsis Storrsii . . . 07 II 503
Danalith
— Gloucester, Mass., Umwandlung in Phenakit 09 I 20
— Wheal Maudlin, Cornwall . . . . . CBl 1905 *190*
Danburit
— Obira, Japan, Anal. . 09 I 33
— Piz Giuf, Aarmassiv . CBl 1905 *377*
— S. Barthélemy, Aosta-Tal . . . . . 05 I 380
Danubites celtitoides, Muschelkalk, Dobrudscha 08 I 421
— Nicolai, Trias, Tobisinschichten, Süd-Ussuri-Gebiet . . . BB XXVII *535*
— Strongi, Meekoceras beds, Kalifornien . . 06 II 305
Daonella, Trias, Bosnien 05 I 106
— — Rotti u. Timor . CBl 1909 *356*
— Anastasiui u. hagighiolensis, ladin. Stufe, Dobrudscha . . . . 08 I 419
— indica, lilintana, styriaca u. Wichmanni, Trias, niederl. Indien BB XXIV *194*
— styriaca, Trias, Olonoskalk, Griechenland BB XXI *297*
— — u. cassiana, Trias, Griechenland . . . . 06 I *30. 33*
Daonellen u. Halobien, Griechenland u. Asien 06 I *27*
Darstellung, künstliche
— d. Mineralien etc. . . 07 II 173
— Alexandrit, sogen. . CBl 1908 179
— Anglesit . . . . . 09 I 348
— Anhydrit . . . . . CBl 1909 *25*
— Covellin . . . . . 08 I *30*

Darstellung, künstliche
— Cölestin, Kristalle 1905 II 4 1909 I 348
— Colemanit . . . . . 08 II 163
— Diamant 1906 II 153 09 I 7
siehe auch Diamant.
— Domeykit . . . . . 05 II 5
— Edelsteine durch die deutsche Edelsteingesellschaft . . . . . CBl 1908 179
siehe unten Korund, Rubin, Sapphir, Spinell.
— Eisenglanz . . . . . 09 I 8
— Eisenkohlenstofflegierungen . . . . . 06 I 242
— Enstatit . . . . . 08 I 19
— Epidotisierung von Granat . . . . . 07 II 369
— Erdöl, opt. aktives . 08 II 41
— Facettengeschiebe . . 06 I 405
— Feldspat . . . . . 06 I 333
— Ferrinatrit . . . . . 07 I 35
— Gelbbleierz . . . . . 07 I 208
— Huantajayit . . . . 08 I *22*
— Kaliborit . . . . . 05 I 192
— Kalksilikate . . . . 08 I 180
— Keweenawit . . . . 05 II 5
— Korund 1908 II *6* CBl 1905 *148*
— — edler . . . . . CBl 1908 179
— — (Rubin) 1906 I 15 CBl 1907 412
— Krugit . . . . . 05 I 192
— Kupferindig . . . . 08 I *30*
— Kupfferit . . . . . 08 I 20
— Kupferlasur . . . . 08 II 305
— Lithionglimmer . . . CBl 1905 *649*
— Magnesioferrit in Magnesitsteinen . . . . . CBl 1908 *306*
— Magnesiumsilikate 1906 I 326 08 I 18
— Magneteisen . . . . 07 II 371
— Malachit . . . . . 08 II 305
— Metabolit . . . . . 07 I 360
— Natriumferrosulfate . 07 I 34
— Nephelin durch Zusammenschmelzen . . 09 I 183
— — Baryum- u. Strontiumnephelin . . . . 05 I 377
— Periklas . . . . . 06 I 331
— — aus Mg O durch elektr. Schmelzung . CBl 1907 *212*
— — in Magnesitsteinen CBl 1908 *305*
— Pinnoit . . . . . 05 I 192
— Plagioklas . . . . . 06 I 334
— Pseudomorphosen . . 05 II 4
— Pyroxenarten durch Zusammenschmelzen . CBl 1906 *571*

Darstellung, künstliche
— Pyroxene und Amphibole . . . . . 1908 I 19
— Quarz, Tridymit, Kieselglas . . . . . 08 I 180
— — u. Silikate, Versuche . . . . . CBl 1906 *353*
— Rotbleierz 1906 I 30 CBl 1907 208
— Rubin . . 1906 I 15 CBl 1907 412
CBl 1908 179
— Sapphir . . . . . CBl 1908 179
siehe oben Korund.
— Schwerspat, Cölestin u. Anglesit . . . . . 09 I 348
— Sideronatrit . . . . 07 I 35
— Sillimanit 1907 II 371 08 II 7
CBl 1905 *149*
— Sodalith, Lithiumbrom- . . . . . CBl 1905 *654*
— — vergl. auch CBl 1905 *138. 717*
— Spinell, edler . . . . CBl 1908 179
— — — aus Schmelzflüssen . . 1908 II 6 CBl 1905 *148. 361* BB XXII *198. 207. 245*
— Spodumen, durch Zusammenschmelzen . . 09 I 183
— Stibiodomeykit . . . 05 II 5
— Syngenit, Ammonium- 08 I 37
— Thorianit u. Uranpecherz . . . . . 09 I 338
— Tridymit 1908 I 180 CBl 1906 *728*
— Tychit . . . . . 06 II 162
Dasygnatus longidens, Sandstein, Elgin, ein Pelicosaurier . . . . CBl 1908 *432*
Dasypidae, Kreide, Patagonien . . . . . 05 I 170
Dasypoda
— Deutschland u. Frankreich . . . . . 07 I 462
— Patagonien, Kreide . 05 I 170
— — Santa Cruz-Schichten . . . . . 05 I 498
Dasyrus, Gelenkflächen d. Astragalus . . . . . 07 I 475
Datheosaurus macrourus, Rotliegendes, Neurode 06 I 151
Datolith
— Darstellung d. Kieselsäure u. Konstitution 07 I 348
— Arendal, Bergenhill u. Bologna, Glühverlust 06 I *26*
— Buffaure, Fassatal . 07 I 205
— Noborio, Japan, Anal. 09 I 33
— Pareu Cailor bei Pozoritta (Bukowina) . . 06 II 170

Datolith
— Pokolbin, N.-S.-Wales 1906 I 342
— Westfield, Massachusetts, Krist. etc. . . 07 II 24
— Yamaura, Japan . . 07 I 206
Dauba, Böhmen, Kartenblatt . . . . . 08 II 62
Dauphiné, Kreidehorizont von Clansaye . . . . 06 I 312
Dauphinéer Alpen, Geologie 1905 I 278. 282. 446. 1906 II 253. 256
De Beers-Grube, Granit 09 II 236
Decaconus, Kreide, Patagonien . . . . . 05 I 168
Decapoden d. Süßwassers, geographische Verbreitung . . . . . 05 II 318
Deckdiabas Lahn u. Dill BB XXVIII *384. 391*
— rhein. Schiefergebirge BB XXI *302*
— Westerwaldbahn Herborn—Driedorf . . . BB XXIV *404*
Decken
— Alpen, Mechanik . . 06 I 252
— Brennergebiet . . . . 07 II 435
— Engadin . . . . . 07 II 436
— Hohe Tauern . . . 07 II 437
— Ortlergebiet . . . . 07 II 436
— Ostalpen . . . . . 07 II 438
— Westalpen . . . . 1907 II 428. 429
— Zillertaler Alpen . . 07 II 432
Deckenschotter, Schweiz (Genfer See etc.) . . 05 II 376
Deckenschübe, ostalpine u. Beziehung zur Vorarlberger Flyschzone 08 I *63*
Deformationen, Bischofit, $NiCl_2 . 6 H_2O$ und $CoCl_2 . 6 H_2O$ . . . 06 I *92*
Deirochelys floridana, Nordamerika . . . . 09 I 452
Deister
— Gebirgsbau u. Quellenverhältnisse bei Nenndorf . . . . . 06 II 412
— Transgression des oberen Jura am östlichen 06 I 277
— Geologie des Kleinen 07 I 418
Delessit, Weitendorf (Steiermark), auf Hohlräumen im Basalt. BB XXVII *253*
Delorenzit, Craveggia (Piemont) im Pegmatit . 09 II 15
Delphin, Leithakalk, Szentmargit, Ungarn etc. . 06 II 449
Delphiniden
— Abstammung . . . . 1906 II 295
— Miocän, Halbinsel Tamen, Stammtype . 06 II 296
Delphinodon, Boldérien, Antwerpen . . . . . 07 I 132
Delphinreste, Pliocän, Insel Tscheleken, Kasp. Meer . . . . . 09 II 118
Delphinula Tethys, Glandarienkalk, Syrien . 06 I 279
Delphinus, Delphinidae, Boldérien, Antwerpen 07 I 133
Delvauxit . . . . . CBl 1909 *329*
Demantoid, Polewskoi Zawod, Ural, Anal. . CBl 1906 776
Denckmannia bredonensis, Toarcien . . . . . 05 II 321
Dendracis meridionalis, Eocän, Westmadagaskar . . . . . 07 II 129
Dendrophycus Shoemakeri 07 II 500
Denitrifikation im Boden 08 II 186
Dentaliden, Aegypten, Paläogen . . . . . 05 II 322
Dentalina Benningseni, brevissima, capitata, elegans, inermis und pauperata, Globigerinenmergel, Bahna, rumän. Karpathen 1909 II *144. 147*
— quadrata, Lias, Schwaben . . . . . 09 II 320
Dentalium cyrtoceroides, Pachycardien - Tuffe, Seiser Alp . . . . . CBl 1905 *176*
— gracile, Paläocän, Rugaard, Kattegat . . 08 II 103
— multiclathratum, Werfener Schichten, Bucieri, Montenegro . . 05 II 108
— sougraignense, Santonien, Frankreich . 06 I 319
— splendens, mittlerer Gault, Algermissen . 05 I 317
— subnudum, Cenoman, Südfrankreich . . . 07 II 131
Dent Blanche, Geologie. 09 II 88
Dent Blanche-Decke . . 06 II 257
Dentex latior u. subnobilis, Otolithen, Tertiär, Oesterreich . . . . . 07 I 481
Dentilucina louristana, Senon, Südpersien . 06 I 445
Dentition tert. Säugetiere, Patagonien . . . . . 06 I 450

Denudation
— subaërische (Solifluktion) . . . . . 1908 II 344
— in der Steppe, Turkestan . . . . . CBl 1908 763
— und Erosion, Messung der Fortschritte . . . 07 I 7
— — — d. Baches Vrchlice b. Kuttenberg, Böhmen . . . . . CBl 1907 *429*
Derbya ? untercarb. Transgressionsmeer, Tian Schan . . . . . BB XXVI *217. 229*
Deroceras asper, connexum, instabile, mutans, olenoptychum, perisphinctoides u. permotum, Lias, Monte di Cetona 1905 I 176 06 II 142
— landui, Jura, Batu Berketak . . . . . BB XXV *326*
Descloizit
— Bena(d)e Padru, Ozieri, Sardinien . . . . . 05 II 367
— Rhodesia, Broken Hill-Grube . . . . . 09 II 35
— Schauinsland (Schwarzwald), (Eusynchit) . 05 II 80
Deseado-Stufe, Patagonien 07 II 142
Desmatodon Hollandi, Carbon, Pittsburgh, Penn. . . . . 08 II 268
Desmatophoca oregonensis, Miocän, Oregon . 09 I 440
Desmieria persica, Senon, Südpersien . . . . . 06 I 444
Desmin
— Achsenwinkel, bestimmt aus der Doppelbrechung . . . . . 07 I 188
— Kontraktionsfiguren bei Behandlung mit Säuren . . . . . 08 I 336
— Belanitos Mine (Südamerika), Island und Striegau, Glühverlust 06 I *22*
— Biella, Piemont, Drusen im Syenit . . . 06 II 41
— Ceylon . . . . . 06 I 181
— Elba, Speranza-Gang b. San Piero, pulverförmig . . . . . 08 II 34
— — turmalinführende Gänge im Granit von San Piero in Campo 05 II 34
— Färöer . . . . . 09 I 28
Desmin
— Fellberg in Petersdorf b. Zöptau (Mähren) . CBl 1905 *611*
— Gellivara-Erzberg . . 1906 I 350
— Grönland, im Basalt des östlichen . . . . 06 II 184
— Island (Teigarhorn), chem. Konstitution nach TSCHERMAK . . 09 II 193
— Montorfano (Baveno) 07 I 40
— Obara, Japan . . . . 09 I 193
— Sardinien (Montresta) 1909 II 26. 195
— Tjovchedderen, Aardalsfjord, Saetersdalen, Norwegen . . . . 06 I 352
— Viktoria-Fälle, Zambesi . . . . . CBl 1906 *772*
— Zöptau, Mähren . . 06 I 343
Desmoceras, Rassenpersistenz . . . . . CBl 1909 195
— ashlandicum, colusaënse, Dilleri, Lecontei, subquadratum und Voyi, Kreide, Kalifornien . . . . . 06 I 288
— Beudanti, Kreide, Krim . . . . . 06 I 315
— clansayense u. Toucasi, Kreide, Clansayes etc., Dauphiné . . . 06 I 312
— Keilhacki, mittl. Gault, Algermissen . . . . 05 I 317
— Langenhani, Kreide, Kieslingswalde . . . 05 I 301
— poronaicum, Kreide, Hokkaido . . . . . 05 I 531
— Zürcheri, Gault, Engelberger Tal, Schweiz . 07 I 289
Desmopteris integra und serrata . . . . . 08 I 155
Dessau, Grundwasserverhältnisse . . . . . 07 I 262
Deszendente Salze im deutschen Zechstein . 09 II 304
Deuterodiorit . . . . . CBl 1905 *411*
Deuterosauridae, Systematik . . . . . 07 I 479
Deutsche mineralogische Gesellschaft CBl 1908 *471* CBl 1909 *60*
Deutsche Schutzgebiete, geolog. Untersuchung und Bergbau . . . . 08 I 396
Deutschland, altes Grundgebirge . . . . . 05 I 235

Deutschland
— Alter der Mittelgebirge CBl 1909 *270*
— Geologie des nordöstl., v. Lepsius . . . . . 1905 II 255
— Lagerstättenkarte CBl 1907 569 09 II 77
— nutzbare Mineralien u. Gebirgsarten . . . . CBl 1907 245
Deutsch-Südwestafrika
— Diamanten, Krist. . CBl 1909 *235*
— — Vorkommen . . . CBl 1909 251
Devon
— Intumescens-Fauna, Vergleich verschied. Gegenden . . . . . CBl 1905 *385*
— Alaska, Endicott-Kette 06 I 92
— Amerika, östl. Nord-, Coblenzian . . . . 1908 I 413. 414
— Argentinien, Fauna v. Jachal . . . . . 06 I 302
— — Fossilien . . . . BB XXV *567*
— — Vorcordillere . . . 05 II 270
— bithynische Halbinsel CBl 1909 *655*
— Böhmen, Mittel-, Etage H . . . . . 06 I 272
— — — Pflanzen der Etage H . . . . . 06 II 145
— — Celechovic . . . . 07 II 283
— — Krusna-Hora-Schichten, Conularia . . . 07 II 282
— — Prag . . . . . 07 II 106
— Bolivia, Faunen . . . BB XXV *493*
— — Gliederung und Vergleich m. Argentinien, Amazonas u. Afrika . . . . . BB XXV *574*
— Canandaigua-See, Entwickelungsreihen von Brachiopoden . . . . 05 I 359
— Canandaigua and Naples Quadrangles, New York . . . . . 05 I 289
— Colorado (Elbert-Formation) . . . . . 06 II 263
— Cornwall, vergl. m. Gédinnien . . . . . 05 II 107
— — Ophiuriden . . . 08 I 135
— — St. Minver . . . 06 I 301
— — Trilobiten . . . . 05 II 316
— Deutschland, vergl. m. Naples-Fauna . . . . CBl 1905 *391*
— Dill und Lahn, Eruptivgesteine BB XXVII *261* BB XXVIII *375* siehe auch Diabas u. Deckdiabas etc.
Devon
— Elberfeld, Dolinen im mitteldevon. Kalk . 1906 I 202
— Enkeberg b. Brilon, höheres Ober-, Fauna BB XXVI *565*
— Frankenwald, Bad Steben . . . . . 09 II 218
— Grand Menil, Belgien, Porphyroidschiefer . 05 II 106
— Harzburg, Eruptivgesteine und Tuffe im Kontakthof des Brockenmassivs . . . 06 I 209
— Hindu Kusch, Blaini-Konglomerat, Alter u. Verbreitung . . . . 05 II 415
— Kellerwald . . . . . 07 II 91
— Kitzbühler Alpen . . 09 I 415
— Letmathe . . . . . 09 I 241
— Lornedistrikt (Argyleshire), Andesit und -Tuffe im Old Red 05 I 431
— Lummaton Hill b. Torquay, Kalk . . . 06 II 263
— Mähren, Stringocephalenkalk . . . . . 06 I 302
— — Brünn, Lagerung gegen Granit-Syenit . 05 II 410
— — Celechovicer Bildungen . . . . . 05 I 126
— — Hohenstadt-Mürau 05 II 237
— — Mürau . . . . . 05 II 239
— — westliches . . . . 05 II 234
— Missouri, Iowa u. Arkansas . . . . . 06 I 273
— Mittelrhein . . . . . 07 II 88 siehe auch Rhein.
— Nassau, Entstehung d. Roteisensteins . . . 06 II 225
— Neu-Schottland, Knoydart-Formation . . . 05 I 289
— — u. Neu-Braunschweig, Beziehung z. Carbon . . . . . 05 I 289
— Neu-Süd-Wales, Korallen . . . . . 07 I 155
— New York, Baumstamm . . . . . 08 II 449
— — Fische . . . . . 08 II 443
— — Naples-Fauna im westlichen . . . . . 05 I 148
— — östl., Schoharie-Tal 07 I 108
— Nordamerika, Naples-Fauna verglichen mit Deutschland . . . . CBl 1905 *385*
— Olonez u. Finnland . CBl 1906 *600*

Devon
— Packhuis-Paß b. Clanwilliam, glaziales Konglomerat im Tafelberg-Sandstein . . . . . 1906 I 274
— poln. Mittelgebirge, oberes Mitteldevon . 05 I 127
— — — Skaly . . . . 05 II 106
— Rhein, Faziesverhältnisse . . . . . 09 I 271
— — Fazies des unteren 09 I 272
— — Seesterne d. Grauwacke . . . . . 09 II 322
— — unteres, der mittelrhein. Fazies . . . . 09 I 272
— rhein. Schiefergebirge, Deckdiabas, Diabasbomben, Schalstein u. Eisenerz . . . . . BB XXI *302*
siehe Deckdiabas.
— — — Diabasgesteine 07 I 53. 55
— — — plast. Gesteine 09 II 216
siehe oben Mittelrhein.
— Rußland, Trochilisken 08 I 450
— sächs. Granulitgebirge CBl 1905 *257*
— Sachsen-Meiningen . 06 II 410
— Seifen b. Drieburg, Siegener Schichten . 05 I 315
— Siegen, Aspidosoma Schmidti in Herdorfer Schichten . . . . . 09 I 134
— Siegener Schichten . 09 I 272
— Südafrika, Brachiopoden d. Bokkeveld beds 05 II 323
— — Mollusken d. Bokkeveld beds . . . . . 06 II 120
— Taschkar-Berge (östl. Tien-Schan) . . . . 06 I 98
— Thüringen, mittl. und oberes d. östlichen . . BB XXIV *221*
— Warstein, Westfalen, Eisenkiesel . . . . . BB XXI *461*
— Westerwaldbahn Herborn—Driedorf, Diabas . . . . . BB XXIV *390*
Diabas
— Olivingehalt . . . . 08 I 236
— Ålandsinseln, Källsholm, Föglö . . . . 09 II 164
— — — magnesiumdiopsidhaltig . . . . . 07 II 409
— Arktikum (Spitzbergen, König-Karls-Land etc.) . . . . . 09 II 394
— Asbach, Odenwald, Variolit . . . . . CBl 1907 *65*
Diabas
— Attika, Parnesgebirge CBl 1909 *557*
— Böhmen im Cambrium 1905 II 57
— Brasilien, São Paulo, mit ged. Kupfer . . CBl 1906 *333*
— — — Mogy-guassu, mit Zeolithen (Gyrolith) . . . . . CBl 1906 *330*
— Brünn, Uralit- . . . 09 II 384
— deutsche Mittelgebirge, Vertreter d. Essexit-Theralith-Reihe . . . 09 I 56
— Dill u. Lahngegend BB XXVII *261* BB XXVIII *381*
— Ecuador, Ostkordillere 06 I 394
— Eisemroth, Tunnel, glasreich . . . . . BB XXVII *294*
— Enderby-Land, gedredscht . . . . . 06 II 371
— Epidaurus, ophitischer 06 II 212
— Fichtelgebirge, bes. Leukophyr . . . . BB XXIII *11*
— Frankenwald, Bad Steben . . . . . 09 II 218
— Grönland, Beziehung zu Basalt . . . . . 08 I 236
— Guinea, Französisch- . 07 II 414
— — lateritisiert . . . 09 I 339
— Haiger, Fuß des Schlierbergs . . . . . BB XXVII *291*
— Harzburg, im Kontakthof d. Brockens . . 06 I 209
— Hohenstadt-Mürau, u. Tuffe, devonisch . . 05 II 237
— Holyoke, Connecticut u. Massachusetts . . 07 I 242
— Jenissej-Goldlager, Andesin- . . . . . 05 II 248
— Jeschkengebirge und Kontaktverhältnisse . 08 I 371
— Kärntner Alpen . . 08 II 212
— Kapkolonie, Richmond . . . . . 09 II 166
— Lausitzer Granitgebiet 08 I 56
— Lenne u. Volme, untere, Gänge . . . . 07 I 55
— Magnetberg, südl. Ural 06 I 382
— Manderbacher Löhren BB XXVII *277*
— Mies, Böhmen . . . 06 II 362
— Neurode, im Gabbrozuge . . . . . BB XXVI *477. 484*
— Nordamerika, Korngröße . . . . . 07 II 418
— Oberharz, Olivin- . . 07 II 402
— Odenwald . . . . . CBl 1907 *116*

Diabas
— Olonez, Gouv., versch. Typen . . . . . 1909 I 218
— Onegasee, Westküste 09 II 165
— Quebec . . . . . 09 I 67
— rhein. Schiefergebirge, nebst Eisenerz . . . BB XXI *302*
— San Juan Mountains, Colorado, dynamometamorphosiert . . . . 06 II 219
— Santa Cruz Mountains, San Mateo Co., Cal., miocän . . . . 06 II 372
— Sinj, Dalmatien . . . 08 I 65
— Skye . . . . . 06 II 69
— Sohland a. Spree, mit Nickelerzen . . . . . 05 I 94. 98
— Spitzbergen . . . . 08 II 370
— Sternberg—Bennischer Schalsteinzug, Mähren CBl 1907 *296*
— Strumble-Head, Wales 06 II 211
— Südafrika, im Diamantgebiet . . . . . 09 II 240
— Tasmanien . . . . . 07 II 79
— — Launceston, mit Enstatitaugit . . . . CBl 1907 *705*
— — North-West-Bay, Konga- . . . . . 08 I 394
— Transvaal, in den Witwaterschichten . . . 06 I 271
— Valley of Virginia, im Potsdam-Sandstein . 09 II 391
— Vogtland . . . . . 09 I 58
— — Aschenstruktur . 05 II 212
— Westerwaldbahn Herborn—Driedorf . . . BB XXIV *390*
— Westfalen, Lenne- u. Volmetal, Gänge . . 09 I 407
— siehe auch Deckdiabas, Proterobas etc.
Diabasbomben, rhein. Schiefergebirge . . . BB XXI *302*
Diabasgesteine, rhein. Schiefergebirge . . . 07 I 53. 55
Diabasporphyrit, Sechshelden . . . . . BB XXVII *290*
Diablastische Struktur d. krist. Schiefer . . . 05 I 72
Diablerets, Falten . . . 09 I 88
Diacanthocapsa euganea, Scaglia, Euganeen . 06 I 475
— rara, Kreide, Euganeen 06 I 474
Diadectes, Restauration . 08 II 269
Diadectidae, Beziehung z. Chelidosauria, Osteologie . . . . . 07 I 314
Diadectidae, Systematik 1907 I 479
Diademodon, Osteologie 07 I 316
Diadiaphorus, Patagonien, Extremitäten . . . . 07 II 139
Diadochit . . . . . CBl 1909 *329*
Diagnostische Färbung v. Mineralien durch organ. Farbstoffe . BB XXVIII *335*
Diagramme
— für Gesteinsanalysen von Iddings . . . . CBl 1905 249
— regelmäßiger Punktsysteme . . . . . CBl 1906 *437*
— für die Zusammensetzung d. Eruptivgesteine u. deren Klassifikation . . . . . CBl 1905 249
Diaklasit, Aufbau . . . 07 II 60
Dial-Kompaß, siehe Sonnenzeigerkompaß . . 09 I 389
Diallag
— Analogie mit Mikroklin 09 II 171
— zusammengeschmolzen mit Hedenbergit . . CBl 1906 *571*
— Roda-Meteorit, orientiert verwachsen mit Enstatit . . . . . 05 I 213
Diallagamphibolit, Ecuador, Ostkordillere . . 06 I 394
Diallagit, Geißpfad, Oberwallis . . . . . 05 II 221
Dialophus, Kreide, Patagonien . . . . . 05 I 168
Diamagnetismus, Wismut 06 II 154
Diamant
— Beziehung zu Graphit etc. . . . . 06 II 320
— Cullinan, größter von 3030 Karat, siehe Diamant, Premier Mine.
— im Eisen . . . . . 05 I *123*
— Entstehung . . . . 1909 II 237. 238
— — in der Hitze . . . 06 II 321
— — aus Silikatschmelzen . . . . . 05 I 16
— Excelsior, Zerlegung . CBl 1905 *154*
— Färbung . . . . . 07 II 167
— — durch Radium . . 07 II 170
— künstl. Darstellung 1906 II 153 09 I 7
— Natur . . . . . 08 II 368
— Triakisoktaeder . . . CBl 1905 287
— Umwandlung in amorphen Kohlenstoff . . 05 I 15
— Arkansas . . . . . 09 I 164
— Bahia, Vorkommen . 07 II 84

Diamant
— Bolivia u. Peru . . . 1906 I 359
— Borneo, westliches . 09 II 99
— Brasilien (Minas Geraes, São Paulo und Goyaz) . . . . . 08 I 169
— Cañon Diablo, im Meteoreisen . . . . . 06 I 187
— Deutsch-Südwestafrika . . . . . CBl 1909 235. 251
— Gascogne-Golf, im Meeresgrund . . . . 09 I 333
— Nancy, in der Ackererde . . . . . 09 I 333
— Nordamerika (Oroville, Cal., im Serpentin etc.) . . . . . 09 I 31
— Premier Mine, Transvaal. Cullinan 1905 II 345 07 II 13 CBl 1905 *153.* 283
— Rhodesia. Somabula . 08 I 324
— Südafrika . . . . . 05 II 345
— — in Granat-Pyroxenknollen der Roberts-Victor-Mine . . . . 08 II 154
— Transvaal, Vorkommen 05 II 177
Diamantführender Eklogit
— Bingera, Austr. . . . 07 I 395
— Südafrika . . . . . 08 II 154
Diamantführendes Gestein, De Beers-Grube, Granit führend . . . 09 II 236
Diamantgestein, Südafrika 08 I 70
Diamantgruben, Kap . . CBl 1904 153
Diamantlagerstätten, Südafrika . . . . . 09 II 236 ff.
Diamantseifen, Südafrika, pleistoc. Fauna . . . 08 I 103
Dianthidium tertiarium, Florissant, Col. . . . 07 I 321
Diapepsis . . . . . 06 II 200
Diaphorostoma furmanianum, Devon, Bolivia BB XXV *510*
Diaspites crenulata, mitteleoc. Dysodil, Melilli, Sizilien . . . . . 05 II 152
Diaspor
— Cadonighino, Tessin BB XXVI *518*
— Schemnitz, Färbung durch organ. Farbstoffe . . . . . BB XXVIII *373*
Diastoma biarritzensis, blaue Mergel v. Côte des Basques, Biarritz 06 II 439
Diatexis . . . . . 06 II 200
Diatomeen, Atlant. Ozean, in Grundproben des nördlichen . . . . . 1905 I 425.
Diceratherium aberrans, amnectens, armatum, Cooki, hesperium, minutum, nanum, niobrarense, oregonense u. Schiffi, Untermiocän, Nebraska . . . 08 II 431
— Zitteli, ? süddeutsche Bohnerze . . . . . 08 I 129
Diceratops Hatcheri, Schädel . . . . . 1909 I 131. 132
Diceratosaurus laevis u. robustus, Carbon, Nordamerika . . . . . 09 II 133
Dichobune Fraasi, Oligocän, Eselsberg, süddeutsche Bohnerze 1908 I 123. 128
Dichroismus, siehe Pleochroismus.
Dichte
— rasche Bestimmung . 06 I 46
— Apparat z. Bestimmg. v. kleinen Körpern . CBl 1905 *190*
— — zur Trennung 1906 I 160 07 I 227
— isomorpher Substanzen . . . . . 09 II 11
— Trennungsapparat 1906 I 160 07 I 227
— Verhältnis zu Brechungskoeffizienten . 05 II 169
— — zum Atomgewicht bei Elementen . . . 05 II 170
— Verminderung durch Kompression . . . . 05 II 408
Dichtigkeit der Erde u. Planeten . . . . . 1907 I 373. 374
Dicksonia montanensis . 07 II 505
— Obrutschewi, Jura, West-Transbaikalien . 09 I 463
— oregonensis . . . . . 07 II 503
— pachyphylla . . . . 07 II 504
— pauciloba, Rhät, Bornholm . . . . . 08 I 451
— Suessi, Jura, Mandschurei . . . . . 09 I 463
Dicoelites . . . . . CBl 1909 *565*
— dicoelus, Niederländ.-Indien . . . . . CBl 1909 *565*
Dicolocapsa ampulla, euganea u. fossilis, Kreide, Euganeen . . 06 I 474
— cor, Scaglia, Euganeen 06 I 475

Dicotyles, Miocän, Süddakota . . . . . 1905 II 130
*Dicranites Casparyi und obtusifolius, Bernstein, Ostpreußen . . 09 I 307
Dicranomyia rhodolitha, Green River, Wyoming . . . . . 08 II 111
Dicranophyllum Beneckeanum u. latifolium, Rotliegendes, Oppenau 08 I 457
— trifurcatum, Carbon, Laach (Elsaß) . . . 08 I 461
Dicrocerus furcatus, süddeutsche Bohnerze, Jungnau . . . . . 08 I 128
Dictyastrum triacanthos u. truncatum, Scaglia, Euganeen . . . . 06 I 475
Dictyocephalus, triad. Kohlenfelder, Nordkarolina . . . . . 09 II 129
— Cayeuxi u. euganeus, Scaglia, Euganeen . 06 I 475
Dictyocha, zu den Flagellaten gehörig . . . . 06 II 456
— bifenestrata, Tripel, Condrò (Sizilien) . . 08 I 140
Dictyoconites kongazensis, Muschelkalk, Dobrudscha . . . . . 08 I 421
Dictyoconus aegyptiensis, Alttertiär, Aegypten. 06 I 473
— — Beziehung zu Chapmania . . . . . 05 II 487
— — Eocän, Aegypten. 07 I 326
Dictyomitra aspera, crebrisulcata, elegans, formosa, insignis, macrocephala, ornatissima, paupera, subtilis und undata, Kreide, Euganeen . . . . . 06 I 474
— euganea, pseudomacrocephala u. pulchra . 06 I 475
Dictyophyllum Bartholini, Rhät, Bornholm 08 I 452
— Nathorsti, Remauri u. Sarrani, Carbon, Tonkin . . . . . 08 I 310
— spectabile . . . . . 08 I 144
Dictyospyris Meneghinii, Miocän, Italien . . . 09 II 490
Dictyothyris bisulcata, Dogger, Neuenburger Jura . . . . . 06 I 307
Dictyothyris compressa, Jura, Kutsch . . . . 1905 I 181
Dictyozamites Hawelli, Inf.-Oolite, England . 08 I 148
— Johnstrupi, Cuticula der Blätter . . . . . 08 I 146
Dicyclina (Cuneolina), Senon . . . . . 05 II 153
? Dicynodon Seeleyi, Karruformation . . . . 08 I *14*
Dicynodontidae
— Systematik . . . . . 07 I 480
— Südafrika . . . . . 07 I 318
Dicynodontier, Karruformation . . . . . 08 I *1*
Didacna verrucosicostata, Neogen-Eisenerze, Suchum-Distrikt, SW.-Kaukasus . . . . . 06 I 432
Didalodia, Kreide u. unt. Tertiär, Patagonien . 05 I 498
Didelphidae, Santacruzeno, Patagonien . . . 07 I 308
Didymites Kitchini, Tropites-limestone, Byans 08 II 238
Dielasma, Carbon, Kukurtuk-Tal, ob. Carbon, südliches Tian-Schan . . . . . BB XXII *359*
— Devon, Ostthüringen BB XXIV *291*
— untercarb. Transgressionsmeer, Tian-Schan BB XXVI *225. 242*
— ambonense, vorjurassisch, Ambon . . . . BB XXV *302*
— curvatum, dubium, giganteum, juresanense, Mölleri u. timanicum, Obercarbon, Ural u. Timan . . . . . 05 I 532
— Latouchei, Productus-Schiefer, Lissar-Tal, Johar, Zentral-Himalaya . . . . . 05 II 280
— Latouchei, vergl. mit Terebratula euganeensis u. triangula . . . CBl 1909 *229*
Dieneria Arthaberi, Subbullatus-Schichten, Kalifornien . . . . . 06 II 303
Differentiationserscheinungen in Silikatschmelzflüssen . . BB XXIII *73*
Differenzierung von Eruptivmagmen u. eutektische Mischungen . . 06 II 197

Difflugia olliformis, Quartär, Schweden und Finnland . . . . . 1909 I 280
Diffusion
— fester Metalle in Gesteine . . . . . 08 I 54
— v. Metallen in kristallin. Schiefer bei Granit-eruptionen . . . . . 05 I 419
Digitigrada, Patagonien, Extremitäten . . . . 07 II 137
Dikopshof, akademisches Gut bei Bonn, Geol. 07 II 456
Dilestes, Kreide, Patagonien . . . . . 05 I 169
Dill u. Lahn, devon. Eruptivgesteine BB XXVII *261* BB XXVIII *381*
Dilute Färbung, siehe Färbung, dilute.
Diluviale Terrassen
— Neckar-Museltal . . . CBl 1907 *461*
— siehe Terrassen.
Diluvialgeschiebe
— Cambridge . . . . . 06 I 121
— Gristow (Pommern), Konglomeratgneis . . CBl 1906 *625*
— Holland, Groningen etc., Basalt (Schonen) CBl 1906 18
— — Ardennengeschiebe 06 II 118
— Norddeutschland 1906 II 118 09 II 64
— Westfalen, Porphyre CBl 1907 *143. 168*
— u. Glazialforschung . 06 II 435
Diluvium
— Aachen . . . . . 05 I 482
— Altmark . . . . . 07 II 450
— Berlin . . . . . 07 II 465
— Braunschweig, Eolithe 09 II *57*
— Bremen . . . . . 07 II 464
— Gafsa (Südtunesien), prähistor. Einschlüsse 09 I *1*
— Hirschberger Kessel . 07 II 462
— Lauenburg . . . . . 07 II 463
— Neuhaldensleben . . 06 I 122
— Neuwieder Becken, rechtsrheinisch . . . 09 I 239
— Niederrhein . . . . . 09 I 277
— Norddeutschland, errat. Basalte . . . . 09 II 64
— — Lauenburger Ton als Leithorizont . . . 09 II 309
— Ostpreußen . . . . . 07 II 463
— Rügen, Facettengeschiebe . . 1906 I *71* CBl 1905 *655*
Diluvium
— Schleswig-Holstein . 1907 II 463
— — vergl. m. d. Klassifikation d. Glazialbildungen v. GEIKIE 05 II 293
— Schwaben . . . . . 09 II *75*
— Sylt . . . . . BB XXI *196*
— Tasmanien, Gliederung CBl 1909 *4*
— Weinheim a. Bergstr., Rheintalspalten CBl 1906 *667. 698*
— siehe auch Quartär, Facettengeschiebe etc.
Dimeroceras Beneckei, burgense, bredelarense, Gümbeli, mamilliferum u. padbergense, ob. Oberdevon, Enkeberg BB XXVI *600*
Dimerostephanus, Kreide, Patagonien . . . . . 05 I 168
Dimetrodon, Schädel . . 07 I 314
— Dollovianus, giganhomogenes, gigas, incisivus, longiramus, macrospondylus, navajovicus, obtusidens u. platycentrus, Texas etc. 08 I 294
— gigas, Perm, Texas . CBl 1909 *585*
Dimodosaurus poligniensis zu Plateosaurus . 09 I 287
Dimorphe Sulfate von Li, Na, K u. Ag, Bildung u. Umwandlung von Doppelsalzen u. Mischkristallen . . . . . BB XXIV *1*
Dimorphin, Solfatara, krist. u. opt. . . . 08 II 294
Dimorphismus
— der Fusulinen . . . 09 I 299
— Foraminiferen (Nummuliten) . . . . . 07 I 329 ff.
— rezenter Foraminiferen 09 I 135
— siehe auch Polymorphismus u. Tetramorphismus . . . . . 09 I 162
Dimorphoceras texanum, Carbon, Nordamerika 05 I 528
Dinariden, Grenzlinie zu den Alpen . . . . 1907 II 435. 437
Dinarites Bonae Vistae, mittl. Trias, Humboldt Range, Nevada 06 II 305
— Hirschii, Trias, Timor BB XXIV *211*
Dinassteine, feuerfeste Ziegel, mikroskopisch 09 II 14
Dineura laminarum, Miocän, Florissant, Col. . 08 II 112

Dinichthys pustulosus, Devon, Illinois . . . 1905 II 133
Dinilysia patagonica, ? Kreide, Nequen, Argentinien . . . . . 05 II 307
Dinohyus Hollandi . . . 07 II 486
Dinosaurier . . . . . 09 I 442
— vergl. mit anderen Reptilien . . . . . 09 I 290
— cretacische . . . . . 07 II 492
— Entwicklung . . . . 09 I 291
— fleischfressende . . . 09 I 443
— sekundär quadripedal 06 II 137
— Systematik u. Stammesgeschichte . . . . CBl 1909 *12*
— Trias . . . . . 09 I 286
— Deutsch-Ostafrika . . 09 I 448
— Madagaskar . . . . 08 II 439
Dinosaurierformation, mesozoische, Patagonien und Pampasregion . . . . . BB XXVI *94*
Dinotheriensande, Niederrhein . . . . . 07 II 451
Dinotherium, Patagonien, Extremitäten . . . 07 II 139
— bavaricum, Seegraben b. Leoben . . . . . 05 II 305
— giganteum, Gouvernement Cherson . . . 07 II 479
Dioonites Nathorsti, Jura, Yorkshire-Küste . . 07 I 489
Diopsid
— gemischt mit Anorthit, Schmelzpunkte . . . 07 II 7
— Kristallform, verschiedene Fundorte . . . 09 II 174
— künstlich, durch Kristallisationsschieferung 07 I 334
— weiß und braun . . . CBl 1905 751
— zusammengeschmolzen mit Anorthit . . . . BB XXIII *48*
— — — — u. Magneteisen . . . . . BB XXIII *54*
— — — Enstatit . . . 09 II 163
— — — Hedenbergit . 09 II 163
— — — — resp. Enstatit . . . . . CBl 1906 *571*
— — — Nephelin . . . BB XXIII *52*
— — — Olivin . . . . BB XXIII *50*
— — — — u. Magneteisen . . . . . BB XXIII *56*
— — — — u. Anorthit BB XXIII *58*
— — — — u. Nephelin BB XXIII *61*
— — — — u. Orthoklas . . . . . BB XXIII *63*
Diopsid
— Hedenbergit, Aegirin, Spodumen u. Enstatit, Morphotropie . . 1909 II 171
— Alaska, Ham Island, Rolle d. Wassers . . 09 II 19
— Bisbee Quadrangle, Arizona, Gangmineral 06 I 175
— Concepcion del Oro, Zacatecas, Mexiko, im Kontakt mit Granodiorit . . . . BB XXVIII *461. 489*
— Côte St. Pierre, Canada, im Eozoonkalk . 06 II 168
— Friedeberg(Oesterreich.-Schlesien), Kontakt . 07 II 34
— Källsholm, Ålandsinseln, Magnesia- . . 07 II 409
— Kragerö, Pseudom. v. Strahlstein nach D. . 09 II 345
— Orford, Quebeck . . 06 II 323
Dioptas
— gibt mit H Cl Orthokieselsäure . . . . . 07 I 24
— Wassergehalt . . . . 08 II 33
— Clifton-Morenci-Distrikt, Arizona . . . 06 I 173
Diorit
— Definition . . . . . 05 I 413
— Orthodiorit, Metadiorit, Deuterodiorit . . CBl 1905 *410*
— Altvatergebirge, Beziehung zu Goldquarzgängen . . . . . 05 I 257
— Ampasindava, Provinz, Madagaskar . . 05 I 435
— Bellongue u. Ger-Tal (Pyrenäen) . . . . . 05 I 428
— Böhmen, im Cambrium 05 II 57
— Brocken . . . . . 07 I 383
— Brünner Eruptivmasse 09 II 383
— Campbell-Insel, südl. Neuseeland . . . . . 09 II 75
— Connecticut, Cortlandt Series . . . . 08 I 73
— Ecuador, Ostkordillere 06 I 398
— Enderby-Land, gedredscht . . . . . 06 II 371
— Guernsey . . . . . 09 II 229
— Kiautschou . . . . . 06 II 368
— Koswinsky Kamen, Ural, Anorthit- . . . 05 I 75
— Lausitzer Granitgebiet 08 I 57
— Magnetberg, sdl. Ural 06 I 380
— Melk (Stift) . . . . 08 II 61

Diorit
— Molukken . . . . . 1905 I 109
— Monzoni u. Predazzo, chem. Zusammensetzg. 06 I 57
— Neuseeland, Otago-Halbinsel . . . . . 08 I 231
— Oak Hill-Gebiet, Cal. 09 II 386
— Ober-Brezany, Böhmen, Gabbro- . . . 06 II 361
— Odenwald, Beziehung zu Gabbro . . . . . CBl 1906 *689*
— — genet. Beziehungen zu Gabbro . . . . . 09 I 375
— Okanagen-Batholith, Cascade Mountain, Cal. 09 I 69
— Pajaro, Kalifornien, Coast Range . . . . 05 II 231
— piemont. Alpen, Valli del Gesso . . . . . 05 II 66
— Pizzo Forno, Tessin BB XXVI *563*
— Pustertal . . . . . 09 II 220
— Pyrenäen (Bellongue u. Ger-Tal) . . . . . 05 I 428
— Schriesheim, Lagerungsweise . . . . . 05 I 240
— Sudbury, Kanada, u. Erze . . . . . 08 I 83
— Tagil, Ural . . . . . 07 I 72
— siehe auch Deuteritdiorit u. Granodiorit.
Diorit-Gabbro-Gesteine, nördliches Wisconsin 09 I 227
Dioritporphyrit
— Argentinien . . . . BB XXII 606
— Piemont, im Strona- u. Sesiagneis . . . . 08 II 216
— Sustenhörner, Aarmassiv . . . . . 06 II 62
Diospyros Judithae, Judith river beds. Nordamerika . . . . . 07 I 440
Dioxyde d. Elemente d. 4. Gruppe d. period. Systems . . . . . 08 I 329
Diphyodus longirostris, Belly river beds, Red Deer river, Nordamerika . . . . . 07 I 439
Diplacmoceras canaliculatum, Kreide . . . 07 II 152
Diplocaulus Copei, magnicornis und pusillus, Perm, Texas . . . . 07 I 147
Diplocteniun affine, Senon, Portugal . . . . 07 I 487
Diplodociden . . . . . 09 I 289
Diplodocus, Lebensweise 1909 I 442
— Osteologie . . . . . 09 I 446
Diplodonta difficilis, Eocän, Loire inférieure . 06 I 468
— Houdasi, Eocän, Paris . . . . . 07 II 303
Diplopodia Martini, Jura, Macon . . . . . 07 II 156
— Revili, Hauterivien, Savoyen . . . . . 05 II 326
Diplopora biserialis, karn. Fusulinenkalk . . . 06 II *157*
— Mühlbergi, Schrattenkalk, Säntis . . . . 09 I 154
Diploporen, Schrattenkalk, Säntisgebiet . . . . 09 I 154
Diploporenkalke, Westalpen . . . . . 07 II 442
Diplostrobus crassispina, Scaglia, Euganeen . 06 I 475
Diplotmema, siehe Rhodea.
Dipoides problematicus, Unterpliocän, Salmendingen u. Melchingen, Bohnerze . . . . . 1908 I 125. 127
— tortus, Miocän, Süddakota . . . . . 05 II 129
Diprotodonta, Kreide, Patagonien . . . . 1905 I 158. 169
Dipyr, Concepcion del Oro, Zacatecas, Mexiko, im Kalk, im Kontakt mit Granodiorit BB XXVIII *489*
Discina bosniaca, Bellerophonschichten, Bosnien . . . . . 05 I 105
— cf. depressa, Devon, Ostthüringen . . . . BB XXIV *277*
— Pascui, ladin. Stufe, Dobrudscha . . . . 08 I 419
Discocoenia conoidea, Jura, Frankreich . . . 07 I 487
Discohelix Grzybowskii, Clavulina Szaboischichten, Kruhel maly bei Przemysl . . . . . 06 I 472
— — unteres Oligocän, Kruhel maly b. Przemysl . . . . . 05 I 320
— Pingeli, Paläocän, Rugaard, Kattegat . . 08 II 103
Discophyllites Floweri, tibetan. Klippen des Zentral-Himalaya . . 08 II 414

Discopteris karwinensis, Carbon, Vorkommen . 1909 II 491
Discospirina . . . . . 08 I 307
Discostrobus argunensis, Jura, Transbaikalien . 09 I 464
Discotropites sandlingensis, mittl. Trias, Nevada . . . . . 06 II 300
Diskordanzen, östl. Harzvorland . . . . . CBl 1907 *81*
Dislokationen
— Anden und Schweiz, junge . . . . . 05 I 232
— Westfalen, im jüngsten Jura und in der Kreide . . . . . 06 II 86
— — spätjurassische u. tertiäre . . . . . 08 I 407
— siehe auch Hebungen Senkungen etc.
Dispersion
— Bestimmung . . . . 07 II 166
— d. Doppelbrechung, Bestimmung . . . . . 05 II 333
— in gekreuzten Achsenebenen, Erklärung . . 08 I 162
— thermochroitische der Kristalle . . . . . 08 I 163
Dispersionsformel d. Doppelbrechung im Quarz u. Verwendung im Babinet'schen Kompensator . . . . . CBl 1905 *23*
Dispongotripus acutispina, Scaglia, Euganeen 06 I 475
Dissostoma Veslense, Eocän, Paris . . . . . 07 II 303
Dissoziation
— Einfluß auf Ausscheidungsfolge aus Schmelzflüssen . . . . . 08 II *30*
— bei Silikatschmelzflüssen 1909 II 184. 329 BB XXIII *83*
Distasis rhipiphora, Carbon, Belgien . . . . 05 I 523
Distefanaster, Apikalapparat . . . . . 05 II 146
Disthen, siehe Cyanit.
Distichites ectolcitiformis, Falconeri, Reynoldsi, Sollasii u. Younghusbandi, Tropites-limestone, Byans . . . . 08 II 238
Distylocapsa nova und tuberculata, Kreide, Euganeen . . . . . 06 I 474
Ditaxia Derichei u. orbiculata, Santonien, Abu Roasch, Aegypten . . . . . 1905 II 484
Dithmarschen, Kreide u. Tertiär, Tektonik . . CBl 1906 *275*
Ditrochosaurus capensis, Trias, Südafrika . . 07 I 317
Ditroit, Ampasindava (Madagaskar) . . . . . 05 I 435
Dittmarites Rawlinsonii, Trailli u. trailliformis, Tropites-limestone, Byans . . . . . 08 II 237
— Redlichi, ladin. Stufe, Dobrudscha . . . . 08 I 419
Divaricella namnetensis (= Lucina pulchella), Eocän, Loire inférieure 06 I 468
Dobrudscha
— Trias der nordöstlichen . . . . . 08 I 418
— Wasserverhältnisse . 08 II 223
Dobrugeites tirolitiformis, Muschelkalk, Dobrudscha . . . . . 08 I 421
Dobschau, Ungarn, Montangeologie . . . . . 06 I 73
Dodekaedrischer Kalk, Entstehung . . . . . CBl 1909 *306*
Doedicuridae, Santa Cruz beds, Patagonien . . 06 I 458
Dogger
— Griechenland . . . . 07 II 446
— Norddeutschland, unterer . . . . . BB XXVIII *286*
— Teutoburger Wald . CBl 1909 *137*
Doggerprofile, Neumarkt (Oberpfalz) . . . . . 05 I *60*
Dognacskait, Dognacska, Analyse . . . . . 1907 II 16. 344
Dognacskait = Wittichenit . . . . . 06 II 15
Dolerit
— Euganeen . . . . . 08 II 204
— Hebriden, Beziehung zu Basalt . . . . . 08 I 223
— Hessen, Schwälmer Land . . . . BB XXIII *348. 356*
— Spitzbergen . . . . 08 II 370
Dolichosaurus longicollis 09 I 447
Dolichosoma, Nürschan . 08 II 271
Dolinen, Elberfeld, mitteldevon. Kalk . . . . 06 I 202
Doliolina . . . . BB XXVII *476. 506*
— syst. Stellung . . . . 07 I 331

Dolium Townsendi, Tertiär, Ormara-Kap, Mekran-Küste, Beludschistan . . . . . 1906 I 118
Dolomit
— Entstehung 1906 II 206 BB XXIII *529* CBl 1909 *506* Festband *397*
— Reaktion z. Unterscheidung v. Kalkspat . . . 1905 I 23 CBl 1905 *265* CBl 1906 *550*
— Verhalten zu magnesiareichen Kalkalgen . . 06 I 333
— Calafuria sdl. Livorno, im Macigno . . . . 06 I 169
— Campolongo 1905 I 201 BB XXVI *519*
— — mit Orthoklas . . 07 I *21*
— Cannstatt, angebliche Neubildung im Neckar 05 II 360
— Carrara, im Marmor . 06 II 176
— Faxe . . . . . 07 I 221
— Grönland, westliches Nord-, archaisch . . 07 I 247
— Iowa, östl., Niagara-Formation, chemisch 05 II 393
— Manhattan Island, New York, Amphibolisierung . . . . . 06 I 228
— Oberschlesien. Entstehung im Muschelkalk . . . . . 06 II 76
— Ormuz-Insel . . . . 08 II 336
— Raspenau, Böhmen, im körn. Kalk des Kalkbergs . . . . . 06 I 54
— Ratiboric etc., Böhmen . . . . . 09 II 366
— Regensburg, Analyse 07 II 65
— Schemnitz. Umwandlungspseudomorphose nach Kalkspat . . . CBl 1909 *555*
— Stemmas bei Markt-Redwitz, Analyse . . 05 II 217
— Südtirol, Entstehung 06 II 206
— — Geologie . . . . 06 II 246
— — Kristalle mit abwechselnden Lagen von Kalkspat . . . . 06 II 207
— Tessin (Campolongo etc.) . . . . . BB XXVI *519* siehe auch Campolongo.
— Tessiner Alpen, Uebergang in Schiefergesteine 06 II 208
Dolomitbildung u. chem. Ausscheidung v. Kalk in heutigen Meeren . Festband *397*
Dolomitische Kalke, Seine-Bank, nordöstlich Madeira . . . . . Festband *416*
Dolomitische Kalkknollen, Challenger- u. Argus-Bank (Bermudas) . . Festband *415*
Dolomitischer Kalkstein, Wietze, Hannover, mit Gipskriställchen . . . 1906 I 31
Domeykit
— künstlich . . . . . 05 II 5
— Flatschach b. Knittelfeld (Steiermark) . . CBl 1908 *277*
Domform des Granits, Sierra Nevada, Nordamerika . . . . . 06 II 215
Domingit = Warrenit, ident mit Jamesonit . . . 09 I 170
Domodossola, Geologie des Toce-Tals . . . . 05 II 223
Donatibruch . . . . . 06 II 243
Donauabbruch d. Schwäb. Alb, Einwendungen . CBl 1909 *54*
Donautal, Regensburg, Löß-Konchylien . . . 05 II 449
Donauufer, linkes, Ungarn, Geologie . . . . . 07 I 275
Donauversinkung 1908 I 93. 94. 95
Donax Anderssoni, Kreide, Umkwelane Hill, Zululand . . . . . 06 I 308
— Dumasi u. Pissaroi, Eocän, Loire inf. . . 07 II 302
Donetz, Pflanzen aus dem Carbon . . . . . 05 I 537
Dopatische Eruptivgesteine 08 II 350
Doppeltbrechende Kristalle, Skiodromen . 05 II 333
Doppeltbrechende Kristallplatten, photogr. Abbildung d. Interferenzfiguren . . . . CBl 1904 *472*
Doppeltbrechende Mineralien, Bestimmung d. opt. Charakters . . . 06 II 148
Doppeltbrechende Prismen, Minimalablenkg. 05 II 331
Doppelbrechung
— Apparat zur Erkenng. u. Messung geringster CBl 1908 *729* CBl 1909 *249. 746*
— Bestimmung d. Dispersion . . . . . 05 II 333

Doppelbrechung
— Dispersion für versch. Farben bei einigen Mineralien . . . . . 1906 II 316
— fester u. flüssiger Kristalle, angenäherte Bestimmung . . . . . 06 II 149
— isotroper geschichteter Medien . . . . . 07 I 19
— polymorpher Mineralien . . . . . 06 II 317
— im Quarz, Dispersionsformel, Anwendung z. Babinet'schen Compensator . . . . . CBl 1905 *23*
Doppelbrechungsgesetz, Fresnel'sches, bei 2-achsigen Kristallen . 05 I 183
Doppelfalte, Glarner . . 06 II 392
Doppelquarzkeilplatte v. Wright . . . . . 09 II 161
Doppelsalze
— kongruente und inkongruente Schmelzen 06 I 7
— und Mischkristalle der Sulfate von Li, Na, K und Ag, Bildung und Umwandlung . . . . . BB XXIV *1*
— Verhalten bei hohem Druck . . . . . 05 I 267
Doppelspat, Krym, Kara-Dag . . . . . 09 II 340
— siehe auch Kalkspat.
Dopplerit . . . . . CBl 1909 *334*
Dorcadion, balt. Bernstein . . . . . 07 I 323
Dorcadospyris magnipora, Miocän, Italien . . . 09 II 490
Dorcaschema succineum, balt. Bernstein . . . 07 I 323
Dordogne, Höhlenfauna und Artefakte . . . 07 II 476
Doryconthidium longistylus u. parvistylus, Miocän, Italien . . . 09 II 490
Dorydruppa Bassanii u. Dainellii, Miocän, Italien . . . . . 09 II 490
Dorygnathus, Lias, Schwaben . . . . . CBl 1906 *292*
Dorylonchidium Fucinii u. spinosum, Miocän, Italien . . . . . 09 II 490
Dorypile cretacea, Kreide, Euganeen . . . . . 06 I 474
Dorysphaera brevispina, elegans u. euganea, Scaglia, Euganeen . 1906 I 475
— longispina, Miocän, Italien . . . . . 09 II 490
— Merchinellii, multiporata u. obtusispina, Kreide, Euganeen . . 06 I 474
Dosemische Eruptivgesteine . . . . . 08 II 350
Dosinia nummismalis, Cenoman, Südfrankreich . . . . . 07 II 131
Doughty Springs, radiumhaltig, Delta Co., Col. 07 II 237
Douvilléiceras Bigoureti var. Seunesi, clansayense u. Martini var. orientalis, Kreide, Clansayes etc., Dauphiné 06 I 312
— Buxtorfi, Gault, Engelberger Tal, Schweiz. 07 I 289
— nodosa, Kreide, Zululand . . . . . 07 II 304
— seminodosum, subnodosocostatum u. var. pusilla u. robusta u. Tschernyschewi, oberes Neocom, Rußland 06 II 142
Drac-Tal
— Aenderung durch glaz. Aufschüttung . . . . 05 II 208
— Entstehung u. Quartär . . . . . 05 II 296
Drauzug, Geologie . . . 06 II 240
Drehvermögen, optisches
— bei nicht enantiomorphen Kristallen . . . 08 I *58*
— Messung . . . . . CBl 1905 *273*
Dreieckskoordinaten in der Petrographie . . CBl 1907 *140*
Dreikantner . . . . . CBl 1907 *340*
— Experimente zur Entstehung . . . . . 06 I 405
— Neuseeland, Otago-Halbinsel . . . . . 08 I 231
— Zentralasien . . . . 06 I 98
— siehe auch Facettengeschiebe u. Flächner.
Dreissensia abchasica, areata, obliqua u. semilunaris, Neogen-Eisenerze, Suchum-Distrikt, NW.-Kaukasus . . . 06 I 432
Dreizählige irrationale Achsen . . . . . 08 II 139

Drepanaspis gemündensis, Hunsrückschiefer, Gemünden . . . . . 1905 II 314
Drepanites Schucherti u. Eastmani, Tropites-limestone, Byans . . 08 II 237
Drillia camerunensis, ? Eocän, Kamerun . 06 II 123
— Morgani und persica, Senon, Südpersien . . 06 I 444
Dromiopsis Birleyae und Coplandae, oberste Kreide, Faxe . . . . 06 II 141
Dromopus celer, Carbon, Joggins, N. S. . . . 05 I 340
Druck
— erzeugt keine chem. Wirkung . . . . . 08 I 168
— ohne Einfluß auf die Löslichkeit d. Quarzes 05 II 246
— orientierter, erzeugt Pleochroismus in blau. Steinsalz u. Sylvin . CBl 1907 *166*
Druckfestigkeit
— der Gesteine, Bestimmungsmethoden . . . 07 I *45*
— von Marmor, Melaphyr u. Anhydrit . . . . 09 II *121*
Druckfiguren, Natronsalpeter . . . . . 05 I 24
Druck- u. Schlagfiguren plast. krist. Metalle . 07 I 189
Druckverhältnisse im Innern d. Planeten (Erde) 07 I 373
Druckwirkungen im Granit von Allertshofen a. Modau, Odenwald, Umwandlung in sericit. Quarzschiefer . . CBl 1906 *742*
Drumlinslandschaften im alten Rheingletscher . 06 I 436
Druppocarpus spinosus, Miocän, Italien . . . 09 II 490
Drusbergdecke, Glarus . 06 II 393
Dryophyllum levalense, Paläocän, Leval (Hennegau) . . . . 09 II 490
Dryopithecus rhenanus u. suevicus, süddeutsche Bohnerze, Salmendingen . . . . . 08 I 126
Dryptosaurus incrassatus, Edmonton series, North West Territory 05 II 131
Dsungarischer Ala-tau, Gesteine . . . . . 05 II 68
Dünen
— äußere Form und Bau Festband *111*
— Clifton b. Karachi, Indien . . . . . 1905 II 417
Dünenbildungen, Warthe-Netze-Gebiet . . . . 08 I 98
Dünnschliffe
— Beobachtung dunkler Büschel im konverg. Licht . . . . . 07 I 333
— Bestimmung der Brechungsindizes . . . . 07 I 226
— — d. Mineralien . . CBl 1907 729
Dumalit, Zentral-Kaukasus . . . . . 07 I 71
Dumortieria Bleicheri, Brancoi, Kochi und Nicklesi, Eisenerzformation, Lothringen u. Luxemburg . . . . . 06 I 305
— Dumortieri var. stricta u. evolutissima var. multicostata, Ungarn 06 II 141
— evolutissima, Unterdogger, Csernye, nordöstl. Bakony . . . . 05 II 426
Dumortierit
— allgem. Beschreibung 06 II 19
— Cannyon City, Col., im Pegmatit . . . . 09 II 386
Dundasit, Wales 1907 II 357 CBl 1905 284
Dunedin, Neuseeland, Südinsel, Geol. d. Mt. Cronin . . . . . 05 II 421
Dunitserpentin, Geißpfad, Oberwallis . . 05 II 220
Duppau, Böhmen, Theralith . . . . . 05 II 55
Durchschnittszusammensetzung der Eruptivgesteine . . . . . 06 I 46
Duruma-Sandstein, Jura, Ostafrika . . . . . BB XXVIII *155*
Dutenmergel, Entstehung 06 II 201
Dwyka-Konglomerat, Südafrika . 1907 II 122 CBl 1908 *356*
Dwykaschichten, südl., Entstehung . . . . . CBl 1908 *453*
Dy = Mudde . . . . . 08 II 186
Dynamometamorphose
— Amerika, Ton u. Tonschiefer . . . . . 06 II 215
— Lock Lomond-Distrikt 05 II 225
— Pizzo Forno, Tessin . BB XXVI *539*
— Tessiner Alpen . . . 06 II 209

Dynamometamorphismus u. Mineralbildung . . 1906 I 47
Dynamosaurus imperiosus . . . . . 07 II 492
Dyngjufjöll, Island, vulkan. Erscheinungen . BB XXVI *381*
Dysanalyt
— Vesuv, Mte. Somma. 09 I 344
— Vogtsburg, Kaiserstuhl 09 I 344
Dysodil
— Melilli, Sizilien, Mitteleocän, Mikrofauna u. -flora . . . . . 05 II 152
— Oberdorf b. Stockach 08 I 269
Dystektische Gruppe beim Eisen . . . . . 05 I *141*

E.

Eastonia Horsti, Silatgruppe, Kreide, Borneo . . . . . 07 I 437
Ebenoxylon boreale und speciosum, westl. Verein. Staaten . . . . 09 I 149
Echinaster antonionensis u. lepidus, rezent, Südamerika . . . . . 07 II 154
Echiniden
— Faluns der Touraine 09 II 480
— Kreide, Dauphiné . . 05 II 326
— — Frayssinet-Le-Gélot (Lot) . . . . . 05 II 149
— — Madagaskar . . . 05 II 149
— Infralias, Vendée und Deux Sèvres . . . . 05 II 147
— Jura, Haute-Marne . 09 II 480
— Savoyen . . . . . 05 II 325
— Venetien u. Trentino, Revision d. tertiären 05 II 149
Echinobrissus salevensis, Mont Salève . . . . 07 II 154
Echinocorys Duponti, Kreide, Belgien . . . 06 I 155
— Monogr. d. Arten d. belg. etc. Kreide . . 06 I 155
Echinocyamus acuminatus, circularis, coronatus, infundibuliformis, lanceolatus, linearis, mucronatus, polymorphus, pseudolanceolatus, pseudoumbonatus u. stellatus, Mittelmiocän, S. Gavino a mare, Sardinien . . . 09 II 483
Echinoderma, Literatur von 1903 . . . . . 1905 II 147
Echinodermen
— fossile u. rezente, Literatur von 1905 . . . 07 II 153
— Kohlenkalk, schwarzer Marmor v. Dinant, Belgien . . . . . 05 II 147
— rezente, Patagonien (Ostküste) und Südamerika . . . . . 07 II 154
Echinolampas bredeahsensis, Tertiär, Afrika . 07 II 154
— Guebhardti u. Savini, Molasse, Veuce . . . 07 II 156
— inaequiflos, Eocän, Aude u. Hérault . . 07 II 156
— montesiensis, Pignatarii, plagiosomus und Ugolinii, Tertiär . . 09 II 484
Echmatemys aegle, arethusa, callopyge, cyane, naomi, ocyrrhoë, pusilla u. uintensis, Nordamerika . . . . 09 I 452
— rivalis, Nordamerika 09 I 450
Ectolcites arietiformis, Duncani u. Hollandi, Tropites-limestone, Byans . . . . . 08 II 238
Ecuador
— Geologie u. Petrographie . . . . . 05 II 76
— Ostkordillere, Gesteine u. Alter . . . . . 06 I 392
Edaphosauridae, Organisation . . . . . 08 I 298
Edaphosaurus, vergl. mit Placodus . . . . . 08 I 299
— Pagonias, Schädel . . 07 I 477
Edelgase (Argon und Helium) in Thermen . . 08 I 364
Edelsteine
— der Chinesen . . . . 05 II 5
— Färbung durch Radium . . . . . 07 II 170
— künstliche, d. deutsch. Edelsteingesellschaft Idar-Oberstein . . . CBl 1908 179
— Bolivia, Peru, Nordamerika, Philippinen 06 I 356
— Ceylon 1906 I 178. 183. 185. 186
— Kalifornien . . . . . 07 II 41. 43
— Nordamerika, Produktion 1903 . . . . . 06 I 356
— — — 1906 . . . . . 09 I 30

Edelsteine, Philippinen, Produktion . . . . . 1906 I 359
Edenit, Zusammensetzg. 08 II 24
Edentaten
— Systematik und Abstammung . . . . . 07 I 464
— Deutschland u. Frankreich . . . . . 07 I 462
— Nordamerika, Tertiär 07 I 464
— Patagonien, Kreide . 05 I 169
— — Santa Cruz-Schichten, Dasypoda . . . 05 I 498
Edentula Castelli, Werfener Schichten, Südtirol . . . . . CBl 1908 *78*
— planata, Pachycardientuffe, Seiser Alp . . 07 II 337
Edestiden, Bau . . . . 05 II 132
Edestus minor, Carbon, Illinois . . . . . 05 II 133
Edingtonit
— Böhlet, Westgotland, Kristalle . . . . . 07 II 184
— — Glühverlust . . . 06 I *23*
Edvardotrouessartia, Kreide, Patagonien . 05 I 168
Eggegebirge
— Dislokationen, spätjurassische u. tertiäre, östlich vom . . . . 08 I 407
— Kreidegräben in der Trias, östl. vom . . 08 I 407
— präcretaceische Schichtenverschiebungen im Mesozoicum . . . . 06 II 86
Eggenthaler Porphyr, Bozen . . . . . BB XXVII *116*
Eglestonit, Terlingua, Texas . . . . . 09 I 173
Ehrenbergit . . . . . CBl 1909 *333*
Ehrenbürg b. Forchheim, Geologie . . . . . 07 II 100
Ehringsdorf bei Weimar, paläolith. Funde . . CBl 1908 *197*
Eiben, Bayern u. Island, fossil . . . . . 09 I 469
Eichenholz, pliocänes, Clover Creak, Idaho . 08 II *49*
Eichsfeld, Salzlager des Zechsteins . . . . . 09 II 424
Eidechsen
— fossile . . . . . 09 I 447
— siehe auch Lacertilier.
Eifel, Mineralien . . . . CBl 1907 471
Eifelaster Follmanni, rhein. Grauwacke . . 09 II 322
Eigenwärme bituminöser Gesteine . . . . . 1906 II 48
Einachsige Verwachsungen 08 II 140
Einbruch der Ebene von Sevran bei Paris . . 05 I 54
Einhornhöhle, Harz, diluv. Feuerstelle . . . 05 I 321
Einschlüsse
— im Andesit, Léoran (Cantal) . . . . . 06 I 379
— im Basalt . . . . . 09 II 59
— — — von Kalk, Weitendorf (Steiermark) CBl 1908 *257*
— in Eruptivgesteinen in Santorin, Folgerungen . . . . . 07 II 406
— im Granit, Kössein (Fichtelgebirge) . . . 08 II 191
— in Lava, Martinique u. St. Vincent, basische . . . . . 05 I 256
— — — Mayen, Mineralien . . . . . 06 I 347
— im Leucitbasalt, Gausberg . . . . . 08 I 76
— im Nephelinbasalt, Jakuben, Böhmen, enallogene . . . . . 08 I 58
Einsturzbecken, Südrand des Harzes . . . . . 05 II 376
Eis
— Einfluß auf die Abflußbedingungen, Nordamerika . . . . . 05 I 407
— — — — Kentucky u. Virginia . . . . . 05 I 407
— Hebung durch . . . 05 I 56
— Kristalle . . . . . CBl 1909 *532*
— Regelation . . . . . 08 II 12
— Schlüpfrigkeit . . . 05 I 20
— Struktur vom Rhônegletscher . . . . . 09 II 209
— siehe auch Grundeis.
Eisberge, Gesteinseinschl. 09 I 203
Eisbildung u. Gletscherkorn . . . . . 06 II 326
Eisdecken, nordamerik. Tundra . . . . . 06 II 190
Eisen
— Absorption v. Sauerstoff aus Luft in der Erdkruste . . . . . 07 I 49
— chem. Bestimmung des Ferro- . . . . . 09 I 7
— Dehnung, Kompression etc. . . . . 07 I 7

Eisen
— Druck- u. Schlagfiguren . . . . . 1907 I 189
— Einfluß des Drucks auf Umwandlungstemperatur . . . . . 05 I 17
— Kristall, im Meteoreisen von Laborel . . CBl 1907 411
— Kristallisation d. Roh-, Teschen . . . . . CBl 1908 *545*
— Kristallographie 1908 I 171. 172. 410
— Legierungen mit Kohlenstoff, künstliche . 06 I 242
— — mit Nickel . . . 08 I 10
— — — — u. Kobalt . 06 II 157
— — mit Platin . . . 08 II 157
— mikroskop. Untersuchungen der Sorten 06 I 243
— physikal.-techn. Beschaffenheit des technischen u. meteorischen 05 I *122*
— Struktur der Sorten . 09 II *130*
— Volumvermehrung d. kohlenstoffreichen bei Erstarrung . . . . . 06 II 154
— Zukunft des . . . . 06 II 222
— Zustandsänderung d. reinen . . . . . 08 I 9
— Bühl b. Cassel, im Basalt . . . 1907 II 13 CBl 1907 *276*
— Dettelbach bei Würzburg, in der Lettenkohle . . . . . 06 I 10
— Cañon Diablo-Meteoreisen, graphitisch . . 08 II 183
— Gruschewka im Anthrazit, aus Magnetkies entstanden . . . 06 I 13
— Magdeburg 1831 . . . 06 II *61*
— Sibirien, Fluß Onot, Nickel- . . . . . 09 I 353
— Uifak, Grönland . . CBl 1908 342
— — — Beziehung zu Olivin im Basalt . . 08 I 235
— — — chemisch . . . 05 I 366
— Wladiwostok, Rusky-Insel, Roheisen . . . 09 II 184
— siehe auch Meteoreisen, Puddeleisen und Roheisen.
Eisen und Kohlenstoff. Chemie . . . . . 08 I 9
— u. Schwefel, Zustandsdiagramm . . . . . 08 II 167
— und Silicium . . . . 08 I 9
Eisencarbid u. -Phosphit, Magdeburg . . . . . 1906 II 79 ff.
Eisenchloriddoppelsalze der Alkalimetalle . . 06 I 8
Eisenerze
— Phosphorgehalt, geologisch . . . . . 06 I 48
— Vanadiumgehalt . . 07 I 411
— Cuyuna, Zentralminnesota . . . . 1909 I 394. 395
— Diélette (Manche), Entstehung d. oolithischen 09 I 393
— — — magnetisches . 07 II 19
— Elba, Hut von sulfid. Erzen (Bleiglanz) . . 06 I 232
— Gellivara, Nordschweden . . . . . 09 I 392
— Helen Iron Mine, Michipicoten . . . . 09 I 390
— Hüggel b. Osnabrück 09 II 250
— Hunyad-Komitat . . 06 I 264
— Iowa . . . . . 05 I 439
— Kentucky, nordöstl., Entstehung . . . . . 09 I 391
— Kiruna, Schweden . 09 I 392
— Kohlbach a. d. Stubalpe, Kärnten . . . 06 I 230
— Lahntal, Schätzung der Menge . . . . . 07 I 250
— Lake Superior-Region 05 I 75
— — — Entstehung . 1909 I 390. 394
— Lappland, Eigenglanz BB XXIV *548*
— Laramie Range, Wyoming, im Anorthosit, titanhaltige . . . . . 07 I 76
— Lofoten, magmat. Ausscheidung aus Granit 09 I 389
— Macskamezö, Ungarn, Manganeisenerze . . 07 I 78
— Neuseeland . . . . . 08 I 399
— rhein. Schiefergebirge, mit Schalstein u. Diabas . . . . . BB XXI *302*
— Rhodesia, Nordost- . 07 I 80
— Salesbury-Distrikt, Connecticut, New York u. Massachusetts . . 09 I 395
— Schlesien, Oesterreichisch-, Anal. . . . 05 I 199
— Schottland . . . . . 05 I 440
— Skandinavien, Einteilung . . . . . 09 I 381
— Spanien, Sierra de Bédar u. Coscojares etc. . . . . 08 I 243
— Stangalpe, Steiermark 09 II 403

Eisenerze
— Sternberg-Bennischer Schalsteinzug, Mähren CBl 1907 *289. 321*
— Wissokaja, Ural, Magneteisen . . . . . 09 I 392
— Zips-Gömörer Erzgebirge . . . . . 07 I 253
Eisenerzformation, Deutsch-Lothringen u. Luxemburg, Fauna . . . . 06 I 303
Eisenerzlager, Christdorf, Mähren . . . . . CBl 1907 *321*
Eisenerzlagerstätten
— Erschöpfung . . . . 06 II 222
— Bakal, Süd-Ural . . 06 II 222
— Cartersville, Georgia, Ocker . . . . . 06 II 225
— Hessen . . . . . 06 II 225
— Lake Superior . . . 06 II 227
— Lappland, Geologie u. Genesis . . . . . BB XXIV *548*
— — Ekstromsberg und Mertainen . . . . . 06 I 231
— Mähren, westl., Quittein . . . . . 05 II 241
— Nassau, Entstehung d. Roteisensteins . . . 06 II 225
— Niedertiefenbach a. d. Lahn . . . . . 05 I 99
— Oberschlesien . . . . 06 II 77
— Skandinavien . . . . 07 II 243
— Troitzk, Nord-Ural . 06 II 223
— Ungarn, Rudobanya—Szt. Andras b. Kaschau . . . . . 06 II 78
— Ural, Magnetberg . . 06 I 380
Eisenglanz
— Aetzfiguren und verwandte Erscheinungen BB XXVIII *661*
— Elastizitätskonstanten 08 II 14
— Elektrizitätsleitung 1906 II *24* 07 II 5
— künstliche Kristalle . 09 I 8
— magnet. Eigenschaften 07 I *62*
— optische Konstanten . BB XXV *344*
— Reduktion zu Magneteisen . . . . . 05 I 258
— regelmäßige Verwachsung mit Rutil . . . 08 I 175
— Umwandlung in eine polym. Modifikation . 06 II *47*
— in Silikatschmelzen BB XXII *198. 207. 245*
— Binnental . . . . . 08 I 14
Eisenglanz
— Carrara, im Marmor . 1907 I 216
— Cavradi, Tavetsch, Verwachsung mit Rutil . . . . 1907 I 196 09 II 188
— Cerro Mercado, Mexiko 05 II 201
— Chota Wepur, Bombay (Eisenglimmerschiefer) . . . . . 07 I 79
— Diélette (Manche) . . 07 II 19
— Dognacska, Krist. . . BB XXIV *325*
— Elba u. Ouro Preto, elektr. Verhalten . . CBl 1905 *459*
— Franklin Furnace, N.J. 06 II 158
— Guanajuato, auf Rhyolith . . . . . 05 I 373
— Hospital Hill, Johannesburg, mit Quarz (banded jasper) . . . CBl 1906 *772*
— Indien, Chota Wepur State, Bombay Presidency . . . . . 07 I 79
— Kakuk-Berg, Ungarn CBl 1908 *3*
— Kaukasus, im Monazitsand . . . . . 05 I 386
— Lappland, Erzlagerstätten . . . . . BB XXIV *548*
— Ormuz-Insel . . . . 08 II 336
— Pralorgnan (S. Marcel), Aosta-Tal . . . 07 II 36
— Sardinien (Padria) . 08 II 295
— Staßfurt, regelm. Verwachsung mit Carnallit . . . . 1908 II 9 CBl 1909 *168*
— Vesuv, mit Chlormanganokalit . . . . . CBl 1908 52
— — sublimiert . . . . 09 II 332
Eisenhydroxyde, Nagolnij Krjasch, Donetzbecken . . . . . 07 II 195
Eisenhydroyxderze, Schottland . . . . . 05 I 440
Eisenhydroxydsol, ultramikroskopische Untersuchung . . . . . 08 II 171
Eisenkalkancylit, Rußland . . . . . 05 I 376
Eisenkarbide, künstliche 06 I 242
Eisenkiesel
— Quittein, Westmähren 05 II 243
— Warstein, Westfalen . BB XXI *447*
Eisenlösung, Verhalten gegen Schiefer . . . 09 II 84
Eisenmagnesiumtitanate, Beziehung zu Geikielit . . . . . CBl 1906 157

Eisenmangankruste, Cap-Halbinsel, durch Windwirkung . . . . . 1906 II 352
Eisennickel im Eisen . . 05 I *138*
Eisenoolith
— Diélette (Manche) . . 09 I 393
— Grandpré (Ardennen), aus Glaukonit entstanden . . . . . 09 I 394
— Schwäb. Alb u. Jura 1908 II *88. 94*
Eisenoxyderze, Entstehg. CBl 1909 *472*
Eisenoxydphosphat, basisches, Kertsch und Taman . . . . . 05 II 199
Eisenrichterit, westl. Nordgrönland, im Gneis . 07 I 246
Eisenspat, siehe Spateisenstein u. Sphärosiderit.
Eisensulfate
— natürliche . . . . . 07 I 34
— — Konstitution und Entstehung . . . . 1908 II 323. 324
Eisensulfid im Eisen . . 05 I *127*
— künstlich, Schmelzpunkt . . . . . 09 II 183
Eisenvitriol
— Böhmen, Alaun- und Pyritschiefer d. westl. 06 I 53
— Cetine, Prov. Siena . 09 II 363
— Nagolnij Krjasch, Donetz-Becken . . . . 07 II 198
Eiszeit
— Arrhenius' Kohlensäurehypothese CBl 1908 *74. 360. 456. 553* CBl 1909 *481. 539. 660*
— Auffassung v. E. Geinitz . . . . . CBl 1908 *196*
— Beziehung zu Erdschlipfen und Bergstürzen . . . . . 08 II 339
— Einheitlichkeit . . . 07 II 454
— Erklärung . . . CBl 1909 *449. 660*
— permische . . . . . 08 I *353*
— — Indien etc. CBl 1908 *449* Festband *446*
— — Ursachen . . . . CBl 1908 *454*
— Ursache . . . . . 09 II 44
— — in den Alpen . . CBl 1906 380
— verschiedenen Alters und klimatische Oszillationen . . . . . 08 II 345
— und Vulkanismus . . 08 II *74*
— Wesen und Verlauf der diluvialen . . . CBl 1904 280
Eiszeit
— wiederholte, der Erdoberfläche . . . . . CBl 1904 281
— Berlin, Hamburg, Rüdersdorf . . . . . CBl 1906 *181*
— Europa . . . . . 1906 I 129
— Karpathen, Klima . 05 I 147
— Neuseeland, Bildung der Sunde, Seen und Cañons . . . . . 08 II 340
— Parchim, Mecklenburg, Einheitlichkeit . . . CBl 1905 *673*
— Rheinlande . . . . 05 II 447
— Thüringen . . . . . CBl 1906 *679*
— — und östl. Harzvorland . . . . . CBl 1909 *389*
— siehe Glazial etc.
Eiszeitbildungen, Alpen, u. prähistor. Mensch 06 II 270
Eiszeitliche Schneegrenze, Schwarzwald . . . . BB XXI *443*
Eiszeitspuren, Serbien . 09 I 110
Eklogit
— Bingera-Diamantfeld, Australien, in einer Breccie . . . . . 07 I 395
— Kalifornien . . . . . 06 II 218
— Münchberger Gneisgebiet . . . . . 09 I 377
— Oetztal . . . . . 05 II 58
Ekströmsberg, Lappland, Eisenerzlagerstätten . BB XXIV *609*
Elaeocarpus globulus, Braunkohle, Senftenberg . . . . . 08 I 449
Elaeodendron strictum, Kreide, New York . 08 I 456
Eläolith
— zusammengeschmolzen mit Anorthit . . . 08 II *5*
— — mit Augit u. Magnetit . . . . . BB XXII *202*
— — mit Labradorit u. Aegirin . . . . . CBl 1906 *144*
Eläolithsyenit, siehe Nephelinsyenit
Elasmatium, Naples-Fauna, westliches New York . . . . . 05 I 150
Elasmobranchier, geolog. Verbreitung in Europa und Amerika . . . . 05 II 477
Elasmometer . . . . . 05 II 2
Elastizität der Gesteine . 07 I 263
Elastizitätsapparat, Interferenz- (Elasmometer) 05 II 2

Elastizitätskoeffizient der Gesteine u. Geschwindigkeit der Erdbebenwellen . . . . . 1908 I 47
Elba
— Ag-haltige Bleierze, Rosseto . . . . . 07 I 254
— Blei- u. Silbermineralien, Beziehung zu Eisenerzen . . . . . 06 I 232
— Ceylanitgesteine . . . 08 II 211
— Eisenerze, eiserner Hut von sulfid. Erzen 06 I 232
— Mineralien . . . . . CBl 1908 252
— Turmalin, Lagerstätten . . . . . 08 II 32
— Zeolithe des Speranza-Ganges bei San Piero 08 II 33
Elbe, Schlickabsätze . . 05 II 444
Elbert-Formation, Colorado, Devon . . . . 06 II 263
Elbrus, fossile Mollusken 06 I 442
Elcabrosaurus Baldwini, Perm, Neu-Mexiko . 08 I 292
Elch, England, prähistorisch . . . . . 05 I 323
Eldgjá, Vulkan, Island . BB XXVI *25*
Elea meridiana, Kreide, Pondoland . . . . . 07 II 306
Electra sinuosa, Tertiär, Patagonien . . . . . 05 II 141
Elektrische Ladungen, Zerstreuung durch Thermen, Pyrenäen . . . 07 II 53
Elektrische Leitungsfähigkeit opaker Mineralien . . . . . 07 I 11
Elektrischer Widerstand römischer Gesteine . 05 I 223
Elektrisches Verhalten krist. Metallsulfide u. -oxyde . . . . . CBl 1905 *454*
Elektrizitätsleitung
— Eisenglanz, Zinnstein, Molybdänglanz, Pyrit, Markasit, Bleiglanz und Graphit und Erkennung polymorpher Umwandlungen 06 II *20*
— krist. Oxyde und Graphit . . . . . 07 II 5
Elemente
— chemische, Verteilung in der Erde nach dem Atomgewicht . . . . 06 I 50
— Isomorphismus . . . 08 II 148
Elemente, Verhalten von Atomgewicht z. Dichte 1905 II 170
Elefanten-Schädel, Entwicklung . . . . . 05 II 471
Elephas, süddeutsche Bohnerze . . . . . 08 I 128
— antiquus, Belgien (Quenast), Diluvium, Molar . . . . . 05 I 484
— hysudrindicus, Java, Kendeng-Schichten . 09 I 117
— meridionalis, Dewlish (Dorset), von Menschen gejagt . . . . 07 I 460
— primigenius, Rekonstruktion . . . . . 07 II 477
— — Beresowka - Ufer etc., Nordsibirien, Leiche . . . . . 06 I 145
— — Unteritalien . . . 06 I 146
— siehe auch Mammut.
Elephas-Arten in Mexiko 07 I 127
Elfas, Geologie . . . . 05 II 259
Elfdalporphyr, Diluvialgeschiebe, Westfalen . CBl 1907 *152*
El Inca, Peru, Meteoreisen . . . . . Festband *227*
Ellipsobulimina Seguenzai, Miocän, Piemont 06 II 308
Ellipsocephalus latus, Silur, Upsala . . . . . 06 I 102
Ellipsoidina u. verwandte Formen, Sizilien . . CBl 1906 *641*
Ellipsolingulina impressa, olig., Castel Madama 07 II 341
Ellipsonodosaria . . . . 07 II 499
Ellipsopleurostomella pleurostomella, rostrata u. Schlichti, Miocän, Piemont . . . . . 06 II 308
— russitanoi, mioplioc. Mergel von Bonfornello (Palermo) . . . 06 I 473
Elonichthys-Arten, Carbon, England . . . . 05 II 480
Elotherium Calkinsi, John Day series . . 07 I 304
Elsaß
— geol. Uebersichtskarte 06 II 84
CBl 1908 *556. 589. 610. 651*
— Kalisalze bei Wittelsheim . . . . . 09 I 107
— Weißer Jura unter Tertiär im Sundgau . . . 05 II 409
Elsaß-Lothringen, geolog. Landesuntersuchung . 09 II 207

Elsenzkies. Weinheim . CBl 1909 *659*
Emanationen, magmatische 1908 II 219
Emarginula longiscissa, Granulatenkreide, westl. Münsterland . . . . 08 I 428
Emarporphyr, Diluvium, Westfalen . . . . . CBl 1907 *174*
Embia florissantensis, Miocän, Florissant, Col. . . . . 08 II 111
Embolit, Nagolnij Krjasch, Donetz-Becken . . . 07 II 194
Embolomerer Typus der Tetrapoden . . . . . 09 II 113
Embolophorus Dollovianus, Perm, Texas, Osteologie . . . . 1907 I 139. 149
— fritillus, Peru . . . . 08 I 297
Embrunais, franz. Alpen, Bau . . . . . 07 I 269
Emmonsit (?), Cripple Creek, Col. . . . . 06 I 165
Emser Mineralquelle, Analyse . . . . . 05 I 444
Enallaster Böhmi und Sapperi, Kreide, Honduras . . . . . 07 II 154
— aff. lepidus, Rotomagien, Huallanca, Peru . . . . . BB XXIV *94*
Enantiotrope Umwandlg., molekulare Drehmomente . . . . . 08 I 324
Enantiomorphie u. Zwillingsbildung . . . BB XXIII *237*
Enargit
— Japan, Kinkwaseki (Formosa), Kristall . 09 I 173
— — Kinkwaseki, Insel Taiwan . . . . . 07 I 196
— Santa Fé-Grube, Chiapas, Mexiko . . . . 05 I 44
— Serbien, Bor . . . . 09 I 336
Encephalartopsis ? oregonense . . . . . 07 II 503
Enchelion montium, Kreide, Libanon . . . . 05 II 482
Enchodus, Chalk, England . . . . . 05 II 137
Enderby-Land, gedredschtes Gesteinsmaterial . 06 II 370
Endmoräne
— baltische, Beziehung zum Thorn-Eberswalder Haupttal . . 06 II 435
— Samländer Bogen . . 06 I 119
Endmoräne, siehe auch Moränen, Glazial etc.
Endmoränenseen, Ostpreußen . . . . . 1905 I 471
? Endocostea Brooksi, Kreide, Los Cerillos (Neu-Mexiko) . . . . 08 I 436
Endomorphismus, Martinique . . . . . 05 I 255
Endothiodon bathystoma, Südafrika . . . 07 I 317
Endothiodontidae, Systematik . . . . . 07 I 480
Engadin
— Mineralquellen . . . 07 II 87
— oberes, Geologie . . 08 II 225
— — Seen des . . . . 06 I 44
— unteres . . . . . 08 II 228
— — Fenster . . . . . 07 II 262
— — Geologie . . . . 07 II 436
— — Lischannagruppe, Geologie . . . . . 07 I 96
— — zwischen Val d'Assa und Piz Lad . . . 09 I 404
England
— Carbon, Paläonisciden 05 II 480
— Eruptivgesteine einiger Gegenden . . . . 05 II 388 ff.
— Gault, Upper Greensand und Chalk . . 06 II 108
— Geologie v. Southampton . . . . . 06 I 264
— Gesteinsumwandlung im westlichen . . . . CBl 1908 731
— Jura . . . . . 08 II 85 ff.
— Jurapflanzen d. Yorkshire-Küste etc. . . 1907 I 488. 489
— Kohlenvorrat . . . . 07 II 85
— Lamellibranchier der Kreide . . . . . 08 I 444
— paläozoische Floren . 06 II 458
— postplioc. Land- und Süßwassermollusken des südlichen . . . . 05 II 449
— Quartär, präglaziales, Northumberland und Durham . . . . . 05 II 450
— Seendistrikt, Geologie 08 II 53
— Trias, Basis d. Keupers im Süd-Devon . 05 II 425
— — Gerölle im Buntsandstein, Devonshire und Midlands . . . . 05 II 424
— — Zusammenstellung und Alter der Fossilien . . . . . CBl 1908 *9*

Engonoceras complicatum, gibbosum und subjectum, Kreide . . . . 1907 II 151
Engonoceratidae, Kreide 07 II 151
Enkeberg b. Brilon, Fauna des höheren Oberdevon . . . . . BB XXVI *565*
Enochkin-Formation, Jura, Alaska u. Cook Inlet 07 I 277
Enstatit
— Dispersion der opt. Achsen . . . . . 08 I 23
— künstlich . . . . . 08 I 19
— zusammengeschmolzen mit Augit und Oligoklas . . . . . BB XXVII *604*
— — mit Diopsid 1909 II 163 CBl 1906 *572*
— Diopsid, Hedenbergit, Aegirin u. Spodumen, Morphotropie . . . . 09 II 171
— Kragerö, Pseudom. v. Strahlstein nach E. . 09 II 345
— Roda-Meteorit, orientiert verwachsen mit Diallag . . . . . 05 I 213
— Tasmanien, Launceston, im Diabas . . CBl 1907 *705*
— und Klinoenstatit . . 09 II 176
Enstatitaugit, monoklin . 09 II 163
Enstatitdolerit, Hessen, Schwälmer Land . BB XXIII *349*
Enstatitgabbro, Ottawa, Canada . . . . . 05 I 250
Entalis multiplicans, orahovicensis u. turcica, Bellerophonschichten, Bosnien . . . . . 05 I 105
Entalium Andersoni, Kreide, Zululand . . 07 II 304
Enteletes hemiplicatus, Kayseri, Merzbacheri, cf. Oehlerti u. Tschernyscheffi, ob. Carbon, Kukurtuk-Tal, südl. Tian-Schan . . . . . BB XXII *374*
Entelostylops, Kreide, Patagonien . . . . . 05 I 169
Entexis . . . . . 06 II 200
Entgasung bewirkt Kristallisation in Schmelzflüssen . . . . . 09 II *129*
Entglasung . . . . . 06 I 6
Entoptychus rostratus u. Sperryi, John Day series . . . . . 07 I 303
Entrerios-Formation, Tertiär, Patagonien 1905 I 141 BB XXI *180*
Entstehungstemperatur der Mineralien, Bedeutung der Polymorphie und Isomerie . 1906 II *45*
Entwässerung
— lockerer Gesteine, Ursache von Bodensenkungen, rhein.-westf. Kohlenbezirk . . . . 09 I 77
— wasserhaltiger Kristalle 05 II 4
Entwickelungsreihen devon. Brachiopoden, Canandaigua-See . . 05 I 359
Eocän
— Einteilung . . . . . 07 II 450
— Aegypten, Säugetiere 09 I 440
— Ariège u. Haute-Garonne, unteres . . . 07 II 452
— Balkanhalbinsel, südwestliche . . . . . BB XXI *249*
— Belgien, Reptilien . . 08 I 443
— Catania, Prov., Foraminiferen . . . . . 05 II 488
— Griechenland . . . . CBl 1906 *541*
— Kiental, Berner Oberland . . . . . 09 I 431
— Mittelmeer, vergl. mit Pariser Becken . . . 05 II 156
— Neukaledonien . . . 07 I 114
— Norddeutschland, unteres . . . . . 07 II 453
— Paris, Katalog d. Konchylien . . . . . 05 I 484
— — oberes . . . . . 07 II 450
— Pariser Becken, Fischotolithen . . . . . 08 I 131
— Schweiz, Säugetiere (Chasmotherium und Lophiodon) . . . . . 05 I 492
— Westsizilien . . . . 07 II 496
— siehe auch Tertiär.
Eocardia Petersoni, Tertiär, Patagonien . . 07 II 327
Eocetus, Eocän, Aegypten . . . . . 09 II 119
Eochalicotherium, Kreide, Patagonien . . . 05 I 168
Eochelone brabantica, Bruxellien, Belgien . 05 II 473
Eodacit, Diluvium, Westfalen . . . . . CBl 1907 *175*
Eohegetotherium, Kreide, Patagonien . . . . . 05 I 167

Eohyrax, Kreide, Patagonien . . . . . 1905 I 167
Eokristalle in porphyr. Gesteinen . . . . . 07 II 417
Eolicaphrium, Kreide, Patagonien . . . . . 05 I 167
Eolithen
— nicht Kunstprodukte 06 II 269
— natürl. Entstehung im norddeutschen Diluvium . . . . . 07 I 126
— Belgien, Tertiär . . . 09 I 107
— — Roncelles u. Tilff, oligocän . . . . . 1908 I 279. 280
— — Westflandern . . 05 I 321
— Braunschweig . . . . 09 II 57
— Cantal, Kent u. Sussex, pliocän . . . . . 06 I 130
— Freyenstein, Mark . 05 I 321
— Neuhaldensleben, aus Feuerstein . . . . . 06 I 122
— nord. Geschiebemergel, Pseudo- . . . . 08 I 281
— Schönebeck a. E., interglazial . . . . . 06 I 130
— Thenay, Tertiär, und Ursprung . . . . . 06 II 269
Eolithenindustrie . . . . 08 I 280
— siehe auch Archaeolithen, Pseudoeolithen, Mensch etc.
Eomorphippus, Kreide, Patagonien . . . . . 05 I 167
Eopachyrucos, Kreide, Patagonien . . . . . 05 I 167
Eopristis Reinachi, Säge, Obereocän, Aegypten 07 I *1*
Eopteryx florissantensis, Miocän, Florissant, Col. . . . . 08 II 111
Eoserpeton tenuicorne, Carbon, Nordamerika 09 II 134
Eosiren, Hüftbeinrudimente . . . . . 09 II 114
— Tertiär, Fayum . . . 07 II 314
Eosphargis Lerichei, Eocän, Belgien . . . . 08 I 443
Eostylops, Kreide, Patagonien . . . . . 05 I 169
Eosuchus Lerichei, Eocän, Belgien . . . . 08 I 443
Eotherium, Hüftbeinrudimente . . . . . 09 II 114
— Tertiär, Mokattam . 07 II 314
Epanorthidae, Argentinien, Abstammung . 05 I 164
Epanorthidae, Santacruzeno, Patagonien . 1907 I 308
Eparchaean Interval . . 05 II 229
Ephedrites ? veronensis . 07 II 505
Ephemera Howarthi, Miocän, Florissant, Colorado . . . . . 08 II 111
Ephialtes jurassicus, Kimmeridge, Sierra del Montsech, Catalonien 05 I 525
Epiaster cuevasensis, Kreide, Honduras . . 07 II 154
Epicampodon = Thecodontosaurus (?) indicus . . 09 I 289
Epidauros (Argolis), Hallstätter Kalk, Cephalopoden . . . . . Festband *1*
Epidaurus, alpiner Muschelkalk, Ammoniten CBl 1906 *271*
Epididymit . . . . . 09 I 317
Epidosit, Spitzbergen . . 08 II 370
Epidot . . . . . 09 I 316
— Polysymmetrie der Gruppe . . . . . 09 II 178
— Barrisdale, Inverness-shire, im Gneis . . . CBl 1905 *190*
— Biella, Piemont, Drusen im Syenit . . . 06 II 35
— Campaglia bei Varzo (Piemont) . . . . . CBl 1905 *19*
— Carrara, im Marmor . 06 II 177
— Chiavrié, Susatal . . 08 I 27
— Chiesonetal (Piemont), Pomaretto . . . . . 09 II 205
— Coire Dhorrcail, Inverness-shire . . . . 07 I 31
— Concepcion del Oro, Zacatecas, Mexiko, im Marmor, Kontakt mit Granodiorit . . . . BB XXVIII *487*
— Elba . . . . . 07 II 41
— Grönland . . . . . CBl 1908 403
— Susa-Tal, im Prasinit der Rocca Bianca . . 06 II *105 ff.*
— Val di Via, Piemont, krist. und opt. . . . 08 II 311
— Zöptau, Mähren . . 05 I 187
— siehe auch Puschkinit.
Epidotamphibolit, Ederbach, Oetztal . . . . CBl 1908 763
Epidotglaukophanit, Syra 09 II 226
Epidotisierung, künstl., von Granat . . . . 07 II 369
Epikamazit, Meteorit von Kodaikanal, Indien . 07 II 206
Epirus, Jura . . . . . BB XXI *237*

Epistilbit
— Färöer . . . . . 1909 I 28
— Island, Glühverlust . 05 I 23
Epistomina porcellanea, lithauisch - baltischer Jura . . . . . 06 I 472
Epprechtstein im Fichtelgebirge, Apatit etc. im Granit . . . BB XXIII 581
Epsomit, siehe Glaubersalz.
Equiden, Miocän, Süddakota . . . . . 08 I 129
Equisetales, Mesozoicum, Schweden . . . . . 09 I 150
Equisetites broraensis . 07 II 507
— laevis, Mobergii, Nathorsti, praelongus, subulatus u. suecicus, Mesozoicum, Schweden 09 I 151
— Lyelli und Peruanus, Wealden, Peru . BB XXIV 77. 78
— Nathorsti u. suecicus (Equisetostachys), Mesozoicum, Schweden . 09 I 151
EquisetostachysNathorsti u. suecicus, Mesozoicum, Schweden . . . 09 I 151
Equisetum ferganensis, Jura, Turkestan . . 09 I 147
— Sarrani, Carbon, Tonkin . . . . . 08 I 310
— Zeilleri, ob. Kreide, Quedlinburg . . . . 07 I 493
Equus Haasei . . . . . 07 II 481
— Stenonis, Postpliocän, Mosbach . . . . . 05 II 126
Erbsensteine, Kugelpackg. CBl 1909 302
Erdalkalien u. Magnesiumcarbonat, Dissoziation 07 I 13
Erdbeben
— Anzeige durch lichtempfindliche Papierstreifen . . . . . 07 II 46
— angezeigt durch Schwankungen des Erdpotentials . . . . . 09 I 362
— beeinflußt durch die Festigkeit der Gesteine . . . . . 06 I 199
— Fernbeben und Pulsationen, registr. von Wichert's astat. Pendelseismometer, Leipzig 1. Jan.—30. Juni 1903 . . . . . 05 I 52
Erdbeben
— Fortpflanzung der oberflächl. Wellen . . 1907 II 48
— Fortpflanzungsgeschwindigkeit . . . . 07 II 46
— Gesetze d. Verteilung 08 I 50
— geben Hinweis auf das Erdinnere . . . . . 07 II 207
— makro- u. mikroseismische . . . . . 05 II 206
— Schüttergebiete . . . 07 II 46
— Seismometerbeobachtungen, Potsdam . . 07 II 48
— Seismoskop mit zwei Horizontalpendeln . . 07 I 219
— Tiefe des Herdes . . 07 II 47
— verschiedene Länder . 05 II 208
— Anden, Westflügel der südlichen . . . . . 06 I 41
— Brescia-Gegend . . . 05 II 373
— Caernarvon, 19. Juni 1903 . . . . . 05 II 371
— Charleston, S. C. 31. Aug. 1886 . . . 09 II 208
— Derby, 3. Mai 1903 05 II 371
— — 3. Juli 1904 . . . 06 I 362
— Doncaster (Lincolnshire), 23. April 1905 07 I 45
— Galizien 1901 . . . . 05 II 208
— Jamaika, 14. Jan. 1907 09 II 208
— Kalabrien, 8. Sept. 1905 . . . . . 08 I 220
— Kangra-Tal, Himalaya, 4. April 1905 . . . . CBl 1905 332
— Leicester, 4. Aug. 1893 und 21. Juni 1904 . 06 I 361
— Leipzig, Pulsationen vom 1. Mai—31. Okt. 1904 . . . . . 05 II 370
— Lissabon, Literatur . 06 I 40
— Neu-Madrid, Missouri 1904 . . . . . 07 I 46
— Norwegen 1903 . . . 05 I 53
— — 1904 . . . . . 06 I 202
— — 1905 . . . . . 07 I 219
— österr. Pfahl, 26. Nov. 1902 . . . . . 05 I 50
— Penzance, Cornwall, 3. März 1904 . . . . 06 I 42
— Portugal 1903 . . . 06 I 40
— — 19. Aug. 1903 . . 05 I 53
— Rumänien und Bessarabien . . . . . 06 I 42
— San Francisco, 18. Apr. 1906, Haupterschütterungsgebiet . . . . 09 I 49

Erdbeben
— Schweden 1902, 1903 1905 I 52
— Skandinavien, 23. Okt. 1904, und Wirkung in den südbalt. Ländern 06 I 200
— skandinavisches, 23. Okt. 1904, in den russ. Ostseeprovinzen . . . . CBl 1905 *65*
— Süddeutschland, Frühjahr 1903 . . . . . 09 I 49
— Upsala, 23. Okt. 1904 06 II 188
— Wight, Jan. und Febr. 1903 . . . . . 05 II 208
— Württemberg und Hohenzollern 1901 bis 1904 . . . . . 06 II 187
— siehe auch Seismologie, Erderschütterungen etc.
Erdbebenbeobachtung . 05 II 208
Erdbebenforschung, Fortschritte . . . . . 09 II 208
Erdbebengürtel der Erde 09 I *102*
Erdbebenkunde
— Handbuch . . . . . CBl 1904 408
— siehe Seismologie.
Erdbebenschwarm, Erzgebirge und Vogtland, Febr. u. März 1903 . 05 I 50
Erdbebenserie, Masaya (Nicaragua), 1. bis 5. Januar 1906 . . . CBl 1906 *257*
Erdbebenstation
— Leipzig, Beobachtungen 1905 II 370 07 I 45
— — Fernbeben etc., 1. Jan. bis 30. Juni 1903 . . . . . 05 I 52
Erdbebenverwerfung
— Derby . . . . . 05 II 373
— Leicester, 21. Juni 1904 . . . . . 1906 I 362. 363
Erdbebenwellen
— Fortpflanzungsgeschwindigkeit am Aetna 06 II 188
— Geschwindigkeit und Elastizitätskoeffizient der Gesteine . . . . 08 I 47
Erdboden, Bedeutung der Zeolithe . . . . . 07 I 353
Erdbrände, Karlsbad . . 05 I 256
Erde
— Alter, Beziehung zum Salzgehalt d. Meeres 05 I 402
— — und Kohlensäuregehalt der Atmosphäre . . . . . 08 I 211
Erde
— Dichtigkeit unter den Kontinenten und dem Meer . . . . . 1907 I 374
— Entstehung, Hypothesen . . . . . 07 I 372
— period. Verschiebung des Schwerpunkts . . 07 I 374
— Starrheit, Ursache . 07 I 373
— Tetraederform . . . 09 I 367
Erderschütterungen in Bergwerksbezirken, Cornwall etc. . . . . 07 I 377
Erdinneres
— Beschaffenheit 1905 I 222 08 I 213
— erkannt aus Erdbeben 07 II 207
— geschlossen aus Gesteinsanalysen . . . 05 II 209
— heißes, eine Wahnvorstellung . . . . . CBl 1906 51
— hohe Temperatur, verursacht durch d. Sonne CBl 1904 572. *721*
— Kontraktions- und Expansionstheorie vereinigt . . . . . 05 I 401
— Temperatur . . . . 07 II 399
— — und Zustand . . CBl 1908 43
Erdkern, physikal. Zustand . . . . . CBl 1905 92
Erdkruste
— Bewegungen . . . . 05 I 222
— mittlere Zusammensetzung . . . . . 05 I 411
— Niveauänderungen . 08 I 214
Erdmagnet. Elemente, Württemberg und Hohenzollern . . . . 07 I 375
Erdmagnetismus
— Zusammenhang mit Schwere und geolog. Bau, Pommern und Nachbarschaft . . . BB XXII *114*
— Sizilien . . . . . 08 II 44
Erdoberfläche
— Physiographie . . . 06 II 44
— Umgestaltung durch Verwitterung . . . . 08 II 58
Erdöl
— Beschaffenheit u. Vorkommen, H. Höfer, 2. Aufl. . . . . CBl 1907 217. 219
— Bildung . . . . . 1908 II 41. 327
— künstl. Darstellung des optisch aktiven . . . 08 II 41

Erdöl
— opt. Aktivität u. Ursprung . . . . . 1908 II 40
— Polarimetrie . . . . 09 II 365
— polymerisierendes, Wärmequelle im Erdboden . . . . . CBl 1908 *271*
— Urmaterialien (Petrolea) . . . . . 08 II 41
— Vorkommen u. Entstehung . . . . . 07 II 86
— Alaska, pazif. Küste 09 I 395
— Bayern, im Flysch . 07 I 84
— — Tegernsee, im Flysch . . . . . 07 II 127
— Boryslaw, Vorkommen 1906 I 407. 409
— Bukowina, Putilla-Tal 06 I 237
— Deutschland, nordwestl., Beschaffenheit 06 II 390
— Italien (Salsomaggiore u. Ozzano), chemisch 05 I 443
— Kansas, Jola Quadrangle . . . . . 08 II 376
— Louisiana, Oelfelder . 06 II 383
— mährisch-ungarisches Grenzgebirge . . . . 07 I 84
— malaiische Inseln . . 07 I 84
— Neuseeland . . . . . 08 I 399
— Ohio . . . . . 06 II 386
— Ostgalizien (Opaka—Schodnica—Urysz) . 06 I 236
— Rumänien, Vorkommen . . . . . 06 II 390
— Schottland (Lothian) 05 I 442
— Sumatra, südliches . 05 II 418
— Texas, Trans-Pecos . 06 II 179
— Texas-Louisiana . . . 08 II 378
— — Gulf Coastal Plain 06 II 383
— Trinidad . . . . . 07 I 86
— — Mayaro-Guayaguayare-Distrikt . . . . 07 I 86
— siehe auch Oelfelder, Oelquellen, Oelschiefer.
Erdpech
— Ijebu-Distrikt, Lagos 07 I 87
— Trinidad . . . . . 07 I 86
— siehe auch Asphalt.
Erdpotential, Schwankungen zeigen Erdbeben an . . . . . 09 I 362
Erdpyramiden u. Büßerschnee, gleichart. Erosionsgebilde . . . . 07 I 379
Erdrutsch, Tavernola am Iseosee . . . . . 08 II 58
Erdschias Dagh, Klein-Asien, Petrographie . 1909 II 231
Erdschlipfe im Gefolge der Eiszeit (Interglazial) . . . . . 08 II 339
Erdwachs, siehe Ozokerit und Asphalt.
Erdwärme, innere, durch Sonne verursacht . . CBl 1905 *82*
Eremites (Trachyceras) orientale, Cassianer Schichten, Epidauros (Argolis) . . . . . Festband *12*
Eremopezus eocaenus, Tertiär, Fayum . . . 07 II 316
Eremopteris artemisiaefolia, Carbon, Vorkommen . . . . . 09 II 492
Erethizon Godreyi, Pleistocän, Arizona . . . . 07 I 305
Erethizontidae, Tertiär, Patagonien . . . . . 07 II 323
Ergußgesteine
— mikroskop. Physiographie . . . . CBl 1909 338. 367
— Arizona, Tucson Mountains, Pima Co. . . . 07 II 230
— Böhmen, zw. Böhm.-Kamnitz u. Kreibitz, jungvulkanische . . . 06 II 357
— — Tepler Hochland 1906 II 353. 355 09 II 222
— Cambewana Range, N.-S.-Wales . . . . 07 I 398
— Snowdon, Wales . . 07 I 390
siehe auch Eruptivgesteine.
Ericyna armoricensis und leptonopsis, Eocän, Loire inférieure . . 06 I 468
Erikit, Julianehaab, Grönland, im Nephelinsyenit 05 II 190
Erinit, Markirch . . . . 09 I 24
Eriocampa Scudderi, Miocän, Florissant, Col. . 08 II 112
Eriphyla argentina, Neocom, argent. Cordillere BB XXIII *216*
— Grigoriewi, Kaukasus 08 II 81
— hemiornata, ob. Kreide, Alvincz . . . . . 05 I 302
— (?) Rupert - Jonesi, Kreide, Umkwelane Hill, Zululand . . . 06 I 308
— subplanissima, Hypersenon, Peterwardeiner Gebirge . . . . . 06 II 268

Eriptycha perampla, Kreide, Pondoland . 1907 II 306
Erisiphites Melilli, mitteleoc. Dysodil, Melilli, Sizilien . . . . . 05 II 152
Erismacanthus formosus, Kohlenkalk, St. Louis, Flossenstachel . . . 05 II 138
Erlan = Kalksilikathornfels, Böhmen . . . . 06 II 360
Erlanfels, Erla b. Schwarzenberg . . . . . 06 I 78
Ernestohaekelia, Kreide, Patagonien . . . . . 05 I 168
Ernestokokenia, Kreide, Patagonien . . . . . 05 I 167
Erosion
— Beziehung zu den „peneplains“ . . . . 05 II 375
— glaziale . 1908 I 51 CBl 1906 380
— Gletscher- und Fluß- 09 I 201
— d. Meeres und Küstensenkung, RockyMountains . . . . . 07 I 379
— durch Meeresströmungen . . . . . BB XXV *403*
— verschiedene Arten . 07 I 46
— England, Suffolk-Küste 06 I 46
— — Wells, unterirdische, Zeitmaß . . . . . 07 II 51
— des Verdon-Cañon, Schnelligkeit . . . . 08 I 220
— und Denudation des Baches Vrchlice bei Kuttenberg, Böhmen CBl 1907 *429*
— — — Messung der Fortschritte . . . . 07 I 7
Erosionserscheinungen, Korsika . . . . . 06 I 45
Erosionsgebilde, Erdpyramiden u. Büßerschnee 07 I 379
Erosionstätigkeit in den Canyons, Alpes-Maritimes . . . . . 09 I 205
Erquelinnesia molaria, Nordamerika . . . . 09 I 452
Erratische Blöcke
— Basler Jura, Verbreitung . . . . . 05 I 311
— Genf, Ursprung . . . 06 II 61
Erratische Geschiebe und Glazialforschung . . 06 II 435
— siehe auch Quartär etc.
Erstarren der Silikatschmelzen, Ausdehng. 09 II 329
Erstarrung von Magmen CBl 1905 93
Erstarrungskurve eines binären Systems an einer Stelle, die dem Auftreten einer Verbindung entspricht . CBl 1907 *329*
Erstarrungstemperatur, Einfluß auf die Ausscheidungsfolge aus Schmelzflüssen . . . 1908 II *26*
Erstarrungs- u. Schmelzkurven bei Silikatschmelzflüssen . . BB XXIII *76*
Erstfeldergneis, Nordrand des Aarmassivs 07 II 69
Eruptionen
— fester Massen . . . . 05 II 396
— posthume, Mte. Ferru, Sardinien . . . . . BB XXI *44*
— vulkan., mögliche Ursache durch Carbide 05 II 205
— Zweck . . . . . CBl 1906 *437*
— Mt. Pelée . . . . . CBl 1906 81
— Stromboli, Mai 1906 . CBl 1906 *561*
— Vesuv . . . . . 07 II 390
— Vesuv, April 1906 . 07 I 44
— — 1906, Aschen, Bomben und Laven . . . CBl 1906 *497*
— — 1906 Vorgang CBl 1906 *506. 529*
— — Westindien, Mai 1902 . . . . . 05 I 404
siehe vulkanische Eruptionen, Vulkane, Vesuv etc.
Eruptionserscheinungen, künstl. Nachbildung . 05 I 444
Eruptivbreccie
— porphyritische, Kiautschu . . . . . 06 II 369
— Neuseeland, Otago-Halbinsel . . . . . 08 I 235
Eruptive Erze . . . . . CBl 1906 614
Eruptivgänge, Schmalkalden . . . . . 08 I 91
Eruptivgesteine
— Acidität, relative . . 08 II 184
— Analysen, von 1884 bis 1900 ausgeführt . 06 I 203
— — der U. S. geolog. Survey 1884—1900 . CBl 1905 210
— anchi-eutektische und anchi-monomineralische 07 II 56
— Anwendung der Phasenregel auf Erzführg. 07 II 56
— Beziehung zu Erzlagerstätten . . . . 05 I 426
— chem. Klassifikation . 05 I 412

Eruptivgesteine
— chem. Zusammensetzung . . . . . CBl 1907 3
— — — Bestimmung d. das Mikroskop . . . 1909 II 58
— Darstellung der Zusammensetzung . . . 08 II 184
— Diagramme der Zusammensetzung und Klassifikation von Iddings . . . . . CBl 1905 249
— Durchschnittszusammensetzung . . . . 06 I 46
— Einfluß auf Bildung der Erzgänge . . . . 05 I 256
— Entstehung d. Leucits 09 II 61
— — u. Silikatschmelzen 08 I 86
— Gesetze der Kristallisationsfolge . . . . 1909 II 51. 55
— phys.-chem. Gesetze der Kristallisationsfolge . . . . . 09 I 367
— Textur . . . . . 08 II 350
— Veränderung durch Verwitterung u. Thermalwirkung bei sauren 09 II 60
— nach Weinschenk . CBl 1905 617
— Alaska . . . . . 05 II 272
— Alpen, ophiolithische 06 II 86
— Ampasindava (Madagaskar), alkalische . 05 I 434
— Aranyos-Gruppe, siebenbürg. Erzgebirge 1906 I 263. 264
— atlant. u. pazif. Sippe 05 II 52
— Berwyn Hills, Wales 05 II 386
— Böhmen, Melník und Mšeno . . . . . 07 I 58
— — westliches, im Cambrium . . . . . 05 II 56
— Böhm. Mittelgebirge u. Amerik. Anden . . 05 II 52
— — — (Aussig und Großpriesen) . . 1905 I 268. 272
— Bristol-Distrikt, im Carbon . . . . . 05 II 388
— Caernarvonshire, bas. Gänge . . . . . 05 II 389
— Euboea . . . . . 05 I 245
— Gleichenberg, Steiermark . . . . . 06 I 408
— Harzburg, und Tuffe, devonische, im Kontakthof des Brockenmassivs . . . . . 06 I 209
— Highwood Mountains, Montana . . . . . 06 II 373
Eruptivgesteine
— John Day Basin . . 1905 II 232
— Kiautschu . . . . . 06 II 368
— Kleinasien, nordwestliches . . . . . 07 II 70
— Kleine Antillen . . . 06 II 376
— Kristianiagebiet, Brögger's Katalog . . . 06 II 196
— Neukaledonien . . . 05 II 273
— Okanagen-Batholith, Cascade Mountain, Col. 09 I 68
— Pajaro, kalif. Coast Range . . . . . 05 II 231
— Pembrokeshire, Wales 06 II 210
— Pojána-Ruszka, westl. Ausläufer . . . . . 06 I 262
— Pontesford Hill, Shropshire . . . . . 05 II 391
— Predazzo u. Monzoni, chem. Zusammensetzg. 06 I 57
— Pyrenäen (Bellongue u. Ger-Tal) . . . . . 05 I 428
— Santa Cruz Mountains, San Mateo Co., Cal. 06 II 374
— Skye, tertiäre . . . 06 II 64
— Spring Cove b. Weston-super-Mare . . . . . 05 II 388
— Tirol, südl., nebst Tuffen . . . . . 05 II 63
— Transvaal . . . . . 07 I 394
— Tripolis . . . . . 07 I 66
— und krist. Schiefer liefern durch Zerstörung Sedimente . . . 09 II 62. 63
— siehe auch Erguß-gesteine, Intrusivgesteine, Massengesteine etc.
Eruptivgneise, deutsches Grundgebirge . . . . 05 I 235
Eruptivmagmen
— Anwendung der Phasenregel . . . . . 07 II 56
— eutektische Mischungen bei Differenzierungen 06 II 197
— siehe auch Magma.
Eruptivmasse, Beziehung zu Erzmasse in magmat. Lagerstätten . . 08 I 79
Eruptivmechanismus, beeinflußt durch submarine Infiltration . . 09 I 204
Erweichen der Mineralien vor dem Schmelzpunkt 06 II 10
Erweichungspunkte der Gläser . . . . . 08 II 25

Erycina pourcyensis, Eocän, Paris . . . . . 1907 II 303
Erycites baconicus, eximius, intermedius, involutus, Partschi, retrorsicostatus, Schafarziki, Szontaghi und Telegdy-Rothi, Unterdogger, Csernye, nordöstl. Bakony . . . . 05 II 426
— Banffyi und Perczeli, Oberlias, Csernye, nordöstl. Bakony . . . . 05 II 426
Eryma sulcata, Kreide, Schaumburg - Lippesche Mulde . . . . . 06 I 441
Eryops, rhachitome Wirbel 09 II 138
— Schädel . . . . 1909 II 130. 131
Erythraea, Zeolithe . . 08 II 36
Erythrosuchus africanus, Skeletteile . . . . . 09 I 131
Erzberg bei Hüttenberg (Kärnten), Eisenspat 05 II 80
Erzbergbau, Rheinlande, Geschichte . . . . . 08 II 219
Erze
— Einteilung . . . . . 09 I 76
— eruptive, sedimentäre und metamorphe . . CBl 1906 614
— sedigenetische u. igneogenetische . . . . . 07 I 406
Erzführung der Eruptivgesteine, Anwendung der Phasenregel . . . 07 II 56
Erzgänge
— Beziehung zu Pegmatiten . . . . . 08 I 80
— Einfluß der Eruptivgesteine auf deren Bildung . . . . . 1905 I 256. 426
— Wedekind, Nevada, Bildung durch hydrotherm. Vorgänge . . 05 I 426
— siehe auch Erzlagerstätten und Eruptivgesteine.
Erzgebirge
— altes Grundgebirge . 05 I 235
— Gesteine . . . . . 06 I 366
— Gneis und seine Kontakterscheinungen . . 09 I 212
— Kieslagerstätten . . 1907 II 80. 81
— Johanngeorgenstadt, Silber-Wismutgänge . 07 I 259
— Rothau, im böhmischen, Geologie . . BB XXIII *474*
Erzgebirgischer Erdbebenschwarm, Februar u. März 1903 . . . . . 1905 I 50
Erzlagerstätten
— nach Sachs . . . . 05 II 199
— nach Stelzner-Bergeat . 1905 II 193 CBl 1907 625
— Abbauwürdigkeit . . 08 I 78
— Aufsuchen durch ihre elektr. Ausstrahlung . 08 I 78
— Auftreten des Phosphors und Vanadiums 06 I 49
— Ausfällung von ged. Kupfer . . . . . 09 II 398
— Bedeutung der Konzentrationsprozesse . 06 I 72
— — für polit. Stellung 08 I 78
— Beziehung zu magmatischen Emanationen 08 II 219
— Bildung durch Metamorphismus . . . . CBl 1906 614
— Entstehung 1909 II 78 CBl 1907 89
— Eisen, Erschöpfung . 06 II 222
— Erforschung . . . . 09 II 78
— Erstreckung in Tiefe 07 I 405
— Fällung von Kupfererzen durch Silikate . 07 II 421
— Kokardenstruktur, sekundäre . . . . . CBl 1907 411
— Konzentrationszone . 08 I 400
— Leiterze . . . . . 08 I 400
— magmatische, Beziehung zw. Erzmasse u. Größe der Eruptivmasse . . . . . 08 I 79
— Magneteisen-, kontaktmetamorphe, u. Entstehung . . . . 1905 II 404. 405
— Manganerze . . . . 09 I 80 ff.
— Oxydationszone . . . 08 I 400
— physikal. Bedingungen der Entstehung . . . 08 II 375
— Probleme . . . . . 09 II 77
— See- und Sumpferze, Bildung durch Humussubstanzen . . . . . 09 I 77
— sekundäre Anreicherung der Kupfererze 07 II 419
— syngenetische . . . . 05 II 199
— Untersuchung u. Bewertung . . . . . CBl 1908 46
— Verbindung mit Eruptivgesteinen . . . 1905 I 256. 426
— Zementationszone . . 08 I 400
— Zusammenhang mit dem Metamorphismus CBl 1906 614

Erzlagerstätten
— und Politik . . . . . 1908 I 78
— Afrika . . . . . 08 I 396
— — Deutsch-Ost-,Gold- und andere nutzbare Mineralien . . . . . 09 I 231
— — Deutsch-Südwest-, Kupfererze 1906 I 233 07 I 74
— — — Klein-Namaland, O'okiep, Buntkupfererz . . . . . 09 II 397
— — — Namaqualand, Kupfererze . . . . . 06 I 233
— — — Otavi, sekundäre Mineralien . . . CBl 1906 *388*
— — — Otavibezirk, Tsumeb, Erze . . . 09 II 400
— siehe auch Deutsche Schutzgebiete.
— Alaska . 1908 II 376 09 II 80
— — Gold . . . . . 05 II 399
— — Goldseifen . . . . 09 I 233
— — Kasaanhalbinsel, Kupfer . . . . . 09 II 399
— — Kenai Peninsula . 08 II 377
— — Klondike, Entstehung d. Goldquarzgänge . . . . . 09 I 78
— — — Goldseifen . . 09 I 235
— — — metallführende Quarzgänge . . . . . 08 I 398
— — Mt. Wrangell-Distrikt, Gold u. Kupfer 05 II 399
— — Porcupine Placer-Distrikt . . . . . 06 I 354
— — Rampart-Goldfelder 09 I 233
— — Seward-Halbinsel, Zinnerze . . . . . 09 II 82
— — Yukon . . . . . 09 II 81
— — u. Yukon-Territorium . . . . . 08 I 397
— Amazonas-Gebiet, Beziehung zu Quellen . 05 I 263
— Argentinien, Provinz S. Luis . . . . . 05 I 259
— — Sierra de Cordoba 07 II 198
— Arizona, Bisbee Quadrangle . . . . . 06 I 175
— — Bisbee, Kupfererze 05 I 41
— — Cherry Creek-Distrikt . . . . . 08 I 396
— — Clifton - Morenci, Entstehung d. Kupfererze . . . . . 07 II 419
— — Cochise Mining-Distrikt, Kupfererze . . 07 II 418

Erzlagerstätten
— Arizona, Globe Copper-Distrikt, Kupfer und Gold 1905 I 205. 442 1907 I 259
— Arkansas, Ozark-Region, Blei- u. Zinkerze 05 II 36
— Australien, Gold . 1905 II 399 ff.
— — Grassy Gully, Yalwal - Distrikt, N.-S.-Wales, Gold in vulk. Glas . . . . . 07 I 411
— — Lucknow, N.-S.-Wales, Goldfelder . . 07 I 409
— — Lyndhurst, N.-S.-Wales, Goldfelder . . 07 I 410
— — Northampton-Distrikt, Blei u. Kupfer 05 I 442
— — Queensland, nördl., Silver Valley . . . . 08 I 244
— — — — Zinnstein u. Wolfram . . . . . 06 II 26
— — West-, Gold . . . 08 I 405
— — — Pilbara-Goldfeld 09 I 237
— Bayern, nutzbare Mineralien und Gebirgsarten . . . . . CBl 1907 245
— — Amberg, Entstehg. 05 I 258
— Böhmen, Kuttenberg 08 I 401
— — Mies, Gesteine . . 06 II 362
— — Neu-Knin u.Stechowitz, Gold . . . . . 06 II 379
— — Příbram . . . . . 08 I 401
— — Roudny, Gold . . 06 II 380
— — u. Ungarn, Gold 1908 I 402 ff.
— Bolivia, Zinn- . . . 09 II 242
— — Corocoro,Entstehg. der Kupfererze . . . 07 II 421
— Borneo, Brit.-Nord-, Manganerze . . . . 09 I 80
— — westliches . . . . 09 II 96
— Bosnien, Dubostica, Chromeisenstein . . . 05 II 383
— — Cevljanovic,Manganerze . . . . . 09 II 403
— — und Hercegowina, Fahlerz u. Quecksilber 09 II 405
— — — — Schwefel- u. Kupferkies . . . . . 06 II 381
— Brasilien, Manganerze 1906 II 226 09 I 81
— — Miquel Burnier, Minas Geraes, Mangan CBl 1905 *240*
— Brit. Columbia, Lightning Creek, Goldseifen 07 I 407
— — — Similkameen-Distrikt . . . . . 09 II 81

Erzlagerstätten
— Canada, Ontario, Sudbury-Distrikt . . . . 1905 II 406
— — — — Nickel und Kupfer 1906 II 181 1908 I 81. 82
— — — Zentral-Hastingsland, Bleiglanz . . . 08 I 247
— — Quebec, Kupfer . 08 I 81
— Carolina, südl. Appalachen, Gold u. Zinn 09 I 234
— China . . . . . 09 II 79
— Chota Wepur, Bombay, Eisenglimmerschiefer 07 I 79
— Colorado, Boulder County, Gold- und Wolframerze . . . . 09 I 234
— — Cripple Creek, Gold 09 I 233
— — Plomo, San Luis Park, Gold auf Gängen von Granit . . . . . 07 I 407
— — San Juan Mountains . . . . . 07 I 406
— — Sangre de Christo Range, Kupfer- . . . 09 II 400
— Cornwall . . . . . 09 II 81
— — granit. Gesteine d. Zinnerz- . . . . . BB XXVIII *1*
— — Silbererze d. Sedyman Lode in der Perran Mine . . . . . CBl 1907 410
— Dalmatien . . . . . 09 II 82
— — Kroglje b. Dolina 05 I 98
— Deutsche Schutzgebiete, Bergbau . . . . . 08 I 396
— Deutschland, Karte 1909 II 77 CBl 1907 569
— Dschebel Ressas, Tunesien . . . . . 07 I 41
— siehe auch Afrika, Deutsch-Südwest und -Ost.
— Erzberg b. Hüttenberg (Kärnten), Eisenspat 05 II 80
— — (Steiermark), Entstehung . . . . . 07 II 243
— — — Mineralien . . CBl 1908 *281*
— Erzgebirge, Böhm., Katharinaberg . . . 07 I 251
— — westl., Kieslagerstätten von Klingenthal und Graßlitz 1907 II 81 08 I 84
— — Sächsisches, Kieslagerstätten . . . 1907 II 80. 81
— — Johanngeorgenstadt, Silber-Wismutgänge . 07 I 259
Erzlagerstätten
— Erzgebirge, Schwarzenberg (Graul, Breitenbrunn etc.) . . . 1906 I 76
— Ferghana, Tjuja-Majun, Uran u. Kupfer . 09 II 37
— Frankreich mit Algier und Tunis . . . . . 09 II 243
— — Diélette (Manche), Magneteisen . . . . 09 I 393
— — Lucette (Mayenne) 06 I 34
— — Martigné (Bretagne), Antimonit . . . 09 II 241
— — Saint-Laurent-le-Minier (Gard), Blende, Entstehung . . . 08 I 79
— Französisch-Laos, Zinnerze . . . . . 07 II 425
— Georgia, Cartersville, Eisenocker . . . . . 06 II 225
— Grönland . . . . . CBl 1908 375
— Harz, Gangbilder vom oberen . . . . . CBl 1907 550
— — (Lauterberg und Ruscheln) . . . . . 05 II 398
— — Rammelsberg, Erhaltungszustand eines Goniatiten und Entstehung . . . . . 09 II 242
— Hessen, Eisen und Mangan . . . . . 06 II 225
— Hüggel bei Osnabrück, Eisenerze . . . . . 09 II 250
— Idaho . . . . . 09 II 81
— — Coeur d'Alene-Distrikt . . . . . 09 II 408
— Illinois, Blei u. Zink . 09 II 241
— Italien, Bocheggiano, Kupfererze . . . . . 05 I 387
— — Elba, Eisenerze, Hut von Sulfiden . 06 I 232
— — — Ag-haltige Bleierze von Rosseto . . 07 I 254
— — Lansetto (Valli del Gesso), Bleierzgänge . 06 I 232
— — Massa Marittima, Entstehung der Gänge 07 I 255
— — Piemont, Lanza-Tal, Manganerze . . 07 II 359
— — Sardinien, Iglesias, Sedimentärschichten . 05 II 406
— — Vallalta-Sagron, Zinnober . . . . . 07 I 259
— Japan, paragenet. Verhalten der kontaktmetamorphen . . . . 09 I 32

Erzlagerstätten
— Iowa, Blei- und Zink-, sowie Eisenerze . . . 1905 I 439
— Kärnten, Kieslager . 06 I 234
— Kalifornien, Copperopolis, Kupfer . . . . 09 II 398
— Kansas, Independence quadrangle . . . . . 09 II 408
— — Jola Quadrangle . 08 II 376
— Kapland, Knysna und Prinz-Albert-Goldfelder . . . . . 07 I 408
— Kaukasus, Abchasien, Dzyschra-Berg . . . 06 I 230
— — Daschkessan, Magneteisen . . . . . 07 I 78
— — Kreis Kutais, Mangan . . . . . 09 II 360
— — Suchum-Distrikt, neogene Eisenerze . . 06 I 432
— Kentucky, Nordost-, Entstehung der Eisenerze . . . . . 09 I 391
— Kleinasien . . . . . 08 I 395
— Kohlbach an der Stubalpe, Eisenerz . . . 06 I 230
— Korea, Tangkogae, Gold . . . . . 07 I 258
— Lake Superior-Gegend, Eisenerze 1905 I 75 06 II 227
09 I 390
— Lake Superior, Grubenwasser . . . . . 09 II 78
— — — Michipicoten, Eisenerze der Helen Iron Mine . . . . . 09 I 390
— Mähren, Christdorf, Eisenerze . . . . . CBl 1907 *324*
— — Gobitschau b. Sternberg, Eisenerze . . . CBl 1905 *195*
— — Konic, Eisenerze . 06 II 381
— — Sternberg, Manganerze . . . . . 07 I 78
— — Sternberg—Bennisch, Schalsteinzug, Eisenerze . . . . CBl 1907 *289. 321*
— — westl., Blei- und Eisen- (Mühräu, Quittein etc.) . . . . . 05 II 239
— malaiische Halbinsel (Kinta-Distrikt), Zinnerze . . . . . 05 I 100
— Mansfeld, Wassereinbruch in die Kupferschiefergruben, Okt. 1907 . . . . . 09 II 372

Erzlagerstätten
— Mansfeld u. Thüringen, Kupferschiefer, Beziehung der Erzführung zu Rücken . . CBl 1906 243
— Markirch, Elsaß . . 1909 I 21
— Mexiko . . . . . 09 II 82
— — Aranzazú bei Concepcion del Oro, Zacatecas . . . . . BB XXVIII *536*
— — Concepcion del Oro, Zacatecas BB XXVIII *451. 515. 553*
— — El Oro u. Tlalpujahu, Gold . . . . 07 I 256
— — Los Pilares Mine, Nacozari, Kupfererze 07 II 418
— — Velardeña-Distrikt 09 II 82
— Minnesota, Cuyuna, Eisenerze . . . . . 1909 I 394. 395
— Mississippital, Beziehg. zu alten Küstenlinien 08 II 219
— Mitterberg, Salzburg, Kupfer . . . . . 09 II 396
— Montana, Belt-Formation . . . . . 09 II 398
— — Black Hills (Wolframit) . . . . . 05 II 32
— — Butte, Kupfer . . 09 II 399
— Nagolnij Krjasch (Donetzbecken) . . . . 07 II 191
— Nassau, Entstehung des Roteisensteins . . 06 II 225
— — Fachingen a. Lahn, Roteisenstein . . . . 09 I 389
— — Holzappel, Fortsetzung des Gangzugs zwischen Lahn und Mosel . . . . . 09 I 242
— — Holzappeler Gangzug, südwestl. Fortsetzung . . . . . 08 I 241
— — Lahntal, Eisenerze, Schätzungen . . . . 07 I 250
— — Niedertiefenbach a. Lahn, Eisen u. Mangan 05 I 99
— Neu-Kaledonien . . . 07 II 249
— Neu Mexiko, San Pedro-Distrikt . . . . . 05 I 99
— — Sierra Oscura, Kupfererze . . . . . 05 I 205
— Neuseeland . . . . . 08 I 399
— Nevada, Tonopah . . 05 I 206
— — Wedekind, Entstehung der Gänge durch hydrothermische Prozesse . . . . . 05 I 426

Erzlagerstätten
— New Jersey, Kupfer- in der Trias . . . . 1909 II 397
— Nieder-Oesterreich . . CBl 1908 *743*
— Nigeria, Nord-, Zinnfeld von Bautshi . . 07 I 79
— Nordamerika . . . 1905 I 205. 440
— — (Illinois, Wisconsin u. Kentucky) . . 06 II 180
— Norwegen, Sulitelma Röros-Klingental, Entstehung . . . . . 09 II 240
— — Traag in Bamle, Gänge . . . . . 09 II 79
— siehe auch Skandinavien.
— Oberschlesien, im Muschelkalk . . . . . 06 II 74
— siehe auch Schlesien.
— Oriskany, Limonite . 05 II 403
— Ostalpen . . . . . 07 I 254
— Pennsylvanien, Kittanning- u. Rural Valley quadrangle, und Beaver quadrangle . 09 II 407
— — nordöstl., Kupfer von Newark . . . . 09 II 400
— Peru, Cerro del Pasco 07 II 268
— — Hualgáyoc . . . 05 II 37
— — Huánuco . . . . 05 I 388
— Rabenstein im Sarntal (Südtirol) . . . 08 I 242
— Radmer a. d. Hasel, Steiermark, Kupfer . 07 II 82
— Raibl . . . . . 05 I 259
— Rhodesia, Broken Hill-Grube, Zinkphosphate 09 II 32
— — Nordost- . . . . 07 I 80
— Riesengebirge, böhm. Seite, Kupfererze, Entstehung . . . . . 07 II 423
— Salesbury-Distrikt, Connecticut, New York und Massachusetts, Eisenerze . . . . . 09 I 396
— St. Blasien, Schwarzwald, Nickelmagnetkies . . . . . 09 I 80
— Schauinsland, Schwarzwald, Blei u. Zink . 05 II 78
— Schlangenberg, Altai 07 I 255
— Schlesien, Bodenschätze CBl 1908 91
— — Schmiedeberg (Riesengeb.), Magneteisen 05 I 258
— siehe auch Oberschlesien.

Erzlagerstätten
— Schottland, Eisenerze 1905 I 440
— — Kupfererze . . . 05 I 99
— Schweden, Gellivare, Eisenerze . . . . . 09 I 392
— — Grängesberg, Magneteisen u. Eisenglanz 05 I 258
— — Kiruna, Eisenerze 09 I 392
— — Lappland, Eisenerze, Geologie u. Genesis . . . . . BB XXIV *548*
— — — Ekströmsberg u. Mertainen, Eisenerze 06 I 231
— — Lofoten, Magneteisen als magmat. Ausscheidung aus Granit 09 I 389
— — Slättberg u. Kuso, Nickelerze . . . . . 05 I 98
— siehe auch Skandinavien.
— Serbien . . . . . 07 I 251
— — Avala-Berg, Zinnober . . . . . 08 I 246
— — Bor, Paragenesis der Kupfererze . . . 09 II 401
— — — u. Krivelj, Kupfer . . . . . 06 I 231
— Sérifos-Insel, Griechenland, Magneteisen etc. 08 II 76
— Sibirien . . . . . 09 II 41
— — Goldlager am Jenissej . . . . . 05 II 247
— — mittl., Eisenbahn . 07 I 255
— — Spassky-Kupfergruben . . . . . 07 II 422
— Siegen, Alter . . . . 09 II 78
— Silvermines District, Co. Tipperary . . . CBl 1907 410
— Skandinavien, Eisenerze . . 1907 II 243 09 I 391
— siehe auch Schweden und Norwegen.
— Sohland a. d. Spree, Nickelerze . . . . . 05 I 94. 98
— Spanien . . . . . 09 II 79
— — Almeria-Provinz . 08 I 243
— — Aznalcollar (Sevilla), Entstehung . . . 08 I 85
— — Cala, Castillo de las Guardas u. Aznalcollar, Sierra Morena 06 I 229
— — Cartagena . . . . 09 II 82
— — Huelva, Entstehg. 08 I 85
— — Mazarrón, Blei . . 07 II 82
— — Sierra de Almagrera, Spateisen . . 08 I 243

Erzlagerstätten
— Stangalpe, Steiermark 1909 II 401
— Temiskaming, Mineralien d. Kobalt-Nickel-Silbergänge . . . . . 09 I 79
— Texas, Brewster County, Quecksilbererze v. 07 II 80
— — Terlingua, Quecksilber . . . . . 08 I 247
— — Trans-Pecos . . . 06 II 178
— Tirpersdorf (Vogtland), Wolframit-Quarzgänge 09 II 242
— Transvaal, Murchison Range, Gold . . . . 07 I 256
— — Zinnstein . . . . 06 II 228
— Ungarn, Biharer Gebirge, Aluminiumerze 07 I 260
— — Jasztrabje, Schwefelkies . . . . . 05 I 100
— — Kazanesd, Kom. Hunyad, Schwefelkies . . . . . 06 I 234
— — Macskamezö, Mangan-Eisenerze . . . . 07 I 78
— — Nagyag (Siebenbürgen), Goldbergbau 06 I 74
— — Rudobanya—Szt. Andras bei Kaschau, Eisenerze . . . . . 06 II 78
— — Siebenbürg. Erzgebirge, Gold . . . . 07 I 252
— — — — Goldvorkommen u. Verhalten zum Nebengestein . . . . 09 I 231
— — Zips—GömörerErzgebirge . . . . . 07 I 253
— Ural, Bakal, Süd-, Eisen . . . . . 06 II 222
— — Magnetberg, südl., Eisenerze . . . . . 06 I 380
— — Sulinsky Sawod, Brauneisenerz . . . . 07 I 77
— — Troitsk, nördl. 1905 I 259 06 II 223
— Veitsch (Dürrsteinkogel), Kupfererze . . . 05 I 100
— Virginia, Kupfer . . 08 I 83
— — und Nordcarolina, Virgilina Copper District . . . . . 05 I 260
— Vogelsberg, Nordrand, Basalteisenstein . . . 07 I 77
— Weilerthal, Elsaß . . 08 I 198
— Wisconsin, Zink u. Blei 09 I 79
— Wissokaja, Ural, Magneteisen . . . . . 09 I 392
Erzlagerstätten
— Wyoming, Encampment District, Kupfererze . 1905 II 35
— — Laramie Range, titanhaltige Eisenerze . 07 I 76
— siehe auch Kieslagerstätten, Eisenerzlagerstätten, Gold etc.
Erzvorkommen, Erzgebirge, Schlaggenwalde, Zinnerz . . . . . 07 II 32
Escarpment Grits, Rhodesia . . . . . 05 II 268
Esneh-Schiefer, Theben (Aegypten), = unteres Montianum . . . . . 05 II 322
Essexit
— Ampasindava (Madagaskar) . . . . . 05 I 435
— Antarktis . . . . . 09 II 76
— Argentinien . . . . BB XXII *624*
— Belknap Mountains, New Hampshire . . 08 I 379
— Böhm. Mittelgebirge, Gesteine d. Gefolgschaft . . . . . 08 I 59
— Brome Mountain etc., Monteregian Hills, Quebec . . . . . 07 I 240
— Dill u. Lahn, Mitteldevon . . . . . BB XXVII *265*
— Großpriesen, Böhm. Mittelgebirge . . . . 05 I 272
— Löwenburg, Siebengebirge 1907 II 62 BB XXIII *407*
— Monteregian Hills, Quebec . 1907 I 240 09 I 68
— Monzoni u. Predazzo 06 I 58
— Mte. Mulatto b. Predazzo, gangförmig, chem. Zusammensetzg. 06 I 65
— Neuseeland, Otago-Halbinsel . . . . . 08 I 231
— Palma, Caldera . . . 09 II 50
— Tahiti . . . . . 06 I 72
— Tasmanien, Regatta Point . . . . . 08 I 389
Essexitporphyrit, Dill u. Lahn . . . . . BB XXVII *297*
Essexit-Theralith-Reihe u. Diabase der deutschen Mittelgebirge . 09 I 56
Eßlingen, Württemberg, Geologie . . . . . 07 II 256
Estheria, Lettenkohle, Württemberg . . . . CBl 1907 *50*

Estheria laxitexta und minuta, Lettenkohle und Keuper, Schwaben . . . . . BB XXV *114*
Estrichgips u. hydraulischer Gips . . . . 1905 I 191
Etoblattina brevis und obscura, Carbon, Tonkin . . . . . 08 I 310
— Steinmanni . . . . . 05 I 540
— Steinmanni (Sterzelia), Obercarbon, Hinterohlsbach b. Oppenau . . . . 1905 I 522 08 I 313
Etringus scintillans, Kalifornien . . . . . 08 II 443
Etschbuchtgebirge . . . 06 II 243
Eubaëna latifrons, Nordamerika . . . . . 09 I 452
Euboea, Eruptivgesteine 05 I 245
Eucalyptus ? dubia, Matawan-Formation, New Jersey . . . . . 07 I 495
— latifolia, Kreide, New York . . . . . 08 I 456
— rosierianus . . . . . 07 II 506
Euceratherium, Quartär, Samwell-Höhle, Kalifornien . . . . . 05 II 469
— collinum, Knochenhöhle Potter Creek Cave, Kalifornien . . 06 I 126
Euchitonia euganea, Kreide, Euganeen . . . . 06 I 474
Eucholoeops, Santa Cruz beds, Patagonien 1906 I 462. 463
Eucyclus extractus und tabulatus, Santonien, Frankreich . . . . . 06 I 319
Eucynepeltus, Santa Cruz beds, Patagonien . . 06 I 457
— complicatus, Santa Cruz-Formation, Patagonien . . . . . 05 II 126
Eucyrtidium aculeatum, apenninicum u. Isselii, Miocän, Italien . . . 09 II 490
— calvertense, Tertiär, Maryland . . . . . 07 II 161
— turritum, Kreide, Euganeen . . . . . 06 I 474
Eudesia, Rippenbildung . 08 II 113
— Zitteli, Glandarienkalk, Syrien . . . . . 06 I 279
Eudialyt, Los-Inseln, im Nephelinsyenit . . . 08 I 226
Eudialyt-Basalt, Tasmanien, Shannon Tier b. Hobart . . . . . 1908 I 393
Eudidymit . . . . . 09 I 317
— Zwillinge . . . . . CBl 1907 *406*
Euganeen
— Geologie 1906 II 244 07 I 220
— Kreideradiolarien . . 06 I 474
Euganeengesteine, Gauverwandtschaft . . . 08 II 202
Eugeniacrinidae, Körperform . . . . . Festband *296*
Eugeniacrinites, Körperform . . . . . Festband *299*
Eugnathus microlepidotus u. Vetteri, lith. Kalk, Nusplingen . . 09 I 453
— Vetteri, lith. Kalk, Nusplingen = Pholidophorus latimanus, Eichstätt . . . . . 1909 I 452. 455
Euhaspis planiceps, Obermiocän, Nebraska . . 07 I 461
Euklas
— Konstitution . . . . 07 I 349
— Döbschütz b. Görlitz, im Pegmatit . . . . CBl 1908 *335*
— Epprechtstein im Fichtelgebirge, im Granit CBl 1908 *425*
— Oesterreich, Vorkommen 07 II 25
— Ural, südl., Kristalle 05 II 183
Eukrit, Peramiho, Deutsch-Ostafrika 1905 I 219 07 I 361
Eulepidophloios, Carbon, Baden . . . . . 08 I 460
Eulima suturalis, Eocän, Paris . . . . . 07 II 303
— Wanneri, Blättermergel von Theben, Aegypten . . . . . 06 II 122
Eulonchopteris, Carbon, Vorkommen . . . . 09 II 492
Eulophoceras natalense, Kreide, Port Natal . 07 II 148
Eulophoceratidae, Kreide 07 II 148
Eumargarita Dumasi, Eocän, Loire inf. . . . . 07 II 302
Euomphalus centrifuga, Devon, Ostthüringen BB XXIV *299*
— cf. elegans, Culm, Königsberg bei Gießen BB XXVIII *649*
— pentangulatus, untercarb. Transgressionsmeer, Tian-Schan . . BB XXVI *226*
— planus, Pachycardien-Tuffe, Seiser Alp . . CBl 1905 *177*

Eupelor chorus . . . . 1909 II 129
Euphotid, Genfer Erraticum, mit Chloritoid . 05 I 244
Euprotogonia, Kreide, Patagonien . . . . . 05 I 168
Eurhinodelphidae, Eurhinodelphis, Boldérien, Antwerpen . 1907 I 136. 138
Eurhinodelphis, Obermiocän, Antwerpen, Skelett . . . . . 09 II 117
Europa
— diluvialer Mensch und Kulturzustände d. älteren Steinzeit . . . 06 I 127
— Eiszeiten . . . . . 06 I 129
Euryacodon (lepidus), amerik. Eocän . . . 05 I 333
Eurycormus speciosus, lith. Kalk, Nusplingen 09 I 455
Eurynoticeras Zitteli . . 07 II 470
— — Jura, Sierra de Mazapil u. Santa Rosa, Mexiko . . . . . 07 I 279
Eurypoma grandis, lith. Kalk, Nusplingen . . 09 I 456
Eurystephanodon angusticephalus, Cattanii und crassatus, Kreide, Lago Musters, Patagonien . . . . . 05 I 498
Eusigillaria, Bau d. Stamms 09 I 145
Eustheneopteron Foordi, Flossenskelett . . . . 05 II 311
Eusynchit, Schauinsland (Schwarzwald) = Descloizit . . . . . 05 II 80
Eusyringium curvispina, Miocän, Italien . . . 09 II 490
— spinosum, Scaglia . . 06 I 475
— venetum, Kreide, Euganeen . . . . . 06 I 474
Eutektik und Porphyrstruktur . . . . . 06 II 197
Eutektische Schlieren . 06 II 200
Eutektikum
— bei Silikatschmelzflüssen . . . . . BB XXIII *85*
— Einfluß auf Ausscheidungsfolge in Schmelzflüssen . . . 08 II *26*
Eutektische Gemenge bei Silikatschmelzen CBl 1906 *132. 149*
Eutektische Gemische bei Differenzierung von Eruptivmagmen . . . 06 II 197
Eutektische Mischungen und Silikatschmelzen 1906 II 5
Eutektische Zusammensetzung in Silikatschmelzen . . . BB XXII *234. 257*
EutektoporphyrischeStruktur . . . . . 06 II 197
Euthydesma subtextile Beyrichi, Naples-Fauna . . . . . CBl 1905 *390*
Eutomoceras Catharinae, Empedoclis, Euhemeri, Philippii u. Wöhrmanni, ob. Trias, Sizilien 05 I 345
— Kraffti u. Mojsisovicsi, Tropites-limestone, Byans . . . . . 08 II 238
— Laubei, mittl. Trias, Nevada . . . . . 06 II 300
Eutritonium biarritzense (Sassia), blaue Mergel von Côte des Basques bei Biarritz . . . . 06 II 439
— Marchandi, Eocän, Loire inférieure . . . 07 II 302
Eutrochus Neumayri, Hypersenon, Peterwardeiner Gebirge . . . 06 II 267
Eutropische Gemenge bei Meteoreisen . . . . . 07 I 358
Eutypomys Thomsoni, Oligocän, Süddakota . 07 I 299
Euxenit
— Norwegen, Granitpegmatitgänge des südlichen . . . . . 08 I 347
— Transvaal, Anal. . . CBl 1907 249
Evansit . . . . . CBl 1909 *335*
— Nordamerika (Goldburg, Idaho und Columbiana, Alabama) . 09 I 19
— Quittein, Westmähren, Eisenerzlagerstätte . 05 II 243
Evonymus Victoriae, Braunkohle, Senftenberg . . . . . 08 I 449
Exagonocyclina, siehe Hexagonocyclina.
Exagonocyclinen . . . . 07 II 496
Exelissa Duxamii, Zone d. Lioc. concavum, Couzon-au-Mont-d'Or bei Lyon . . . . . 05 I 464
Exkretionen . . . . . 06 I 227
Exogyra aff. ariana, unt. Krei, de Patagonien . BB XXV *610*

Exogyra Clarki, Buda lime-stone, Kreide, Nord-amerika . . . . . 1906 I 308
— Couloni, Neocom, Sar-dinien . . . . . BB XXIII *468*
— Couloni u. subplicata, Neocom—Urgon, ar-gent. Cordillere BB XXIII *210. 211*
— Gumprechti, ob. Jura, Pommern . . . . . 06 II 102
Exotische Blöcke
— Himalaya . . . . . 05 II 417
— Ostkarpathen, im Flysch . . . . . 05 II 410
— Schweizer Voralpen . 06 I 256
Exotische Gebiete, Schweizer Alpen, Nordrand . 06 I 82. 84
Expansionstheorie, Ausgleich mit der Kontraktionstheorie . . . 05 I 401
Experimente, geologische 06 I 405
Exzentrizitätsfehler, Vermeidung bei billigen Universalgoniometern 07 II 350

F.

Faba gibberosa, blauer Mergel von Côte des Basques bei Biarritz 06 II 439
Facettengerölle, Experimente zur Entstehung 06 I 405
Facettengeschiebe . . . CBl 1907 *105*
— der perm. Eiszeit . . CBl 1908 *353*
— künstl. Darstellung durch treibenden Sand 06 I 405
— Dänemark, im Diluvium . . . . . CBl 1906 *593*
— Holland, im Diluvium CBl 1906 *15. 425*
— indisches Perm . . . CBl 1908 *450*
— norddeutsches Diluvium, Rügen . . . . 06 I *71*
— Saßnitz, Rügen, Diluvium, 1. Fund . . . CBl 1905 *655*
— siehe auch Kantengeschiebe, Dreikantner und Flächner.
Facetten- und Kantengeschiebe
— Dänemark, im Diluvium . . . . . CBl 1906 *593*
— Holland, im Diluvium CBl 1906 *15. 425*
Fächerstruktur der franz. Alpen, Entstehung . . 07 II 260
Fältelung durch subaquatische Rutschungen . 1908 II *151*
Färbung
— der Edelsteine durch Radium . . . . . 07 II 170
— der Mineralien . . . 07 II 166
— — — Art u. Aenderung . . . . . BB XXVI *249*
— — — durch Becquerelstrahlen . . . . . 06 I 5
— — — durch organische Farbstoffe . . . . BB XXVIII *335*
— des blauen Steinsalzes 07 II 174
— dilute, der Alkali- u. Erdalkalihalogenide . 06 I 324
— künstliche, der Mineralien . . . . . 08 II 144
— — Phthalsäurekristalle 07 I 6
— pseudochromatische BB XXVIII *342*
— Rauchquarz u. deren Aenderung . . . . . BB XXVI *284*
— von Silikaten . . . . CBl 1905 284
— siehe auch Radium, Radiumstrahlen etc.
Färbungsvermögen des Achats . . . . . BB XXV *225*
Fährte, siehe Fußfährten.
Färöer
— Basalte, Zeolithe . . CBl 1909 *778*
— Geologie . . . . . CBl 1908 *675*
— Mineralien . . . . . 09 I 27
Färöelith, Belfast . . . CBl 1908 176
Fahlerz
— Aranzazu, Zacatecas, Mexiko . . . . . BB XXVIII *551*
— Binnental, Tennantit CBl 1907 411
— Bocheggiano, chem. . 05 I 388
— Bolivia, Huanchaca, Kristalle . . . . . 08 II 337
— — Oruro, regelm. Verwachsung mit Zinnkies . . . . . 08 II 338
— Bosnien u. Hercegowina, Lagerstätten . 09 II 405
— Carrara, im Marmor . 07 I 215
— Concepcion del Oro, Zacatecas, Mexiko BB XXVIII *551*
— Frigido bei Massa, Ni-haltig . . . . . 07 II 176
— Ikuno-Grube, Japan 07 I 218
— Markirch, Kristalle . 09 I 23
— Nagolnij Krjasch, Donetz-Becken . . . . 07 II 194
— Rax bei Grossau, Niederösterreich . . . . 06 II 174
— Traversella . . . . . 08 I 41

Fahlerz, Weilerthal, Elsaß 1908 I 199
Falklandsinseln, Geologie 07 II 120
Falknis, Tektonik . . . 06 I 252
Fallaciosus-Schichten, Eisenerzformation, Lothringen u. Luxemburg . . . . . 06 I 305
Fallotia (F. Jacquoti) . 05 II 154
Faltenbildung, Alpen, in krist. Schiefern . . . 08 II 214
Faltung
— der Schichten, Erklärung . . . . . 09 I 82
— durch Gletscher, Minnesota . . . . . 08 II 341
— — Verwitterung, Carbon, Arkansas . . . 08 II 349
Faltungsformen, mikroskopische . . . . . CBl 1905 90
Faltungszone
— Mexiko-Tal, entstanden durch vulkanischen Druck . . . . . 09 I *28*
— Verlauf . . . . . 06 I 43
Farberden, Monte Amiata 06 I 235
Farbstoff
— künstl. gefärbter Kristalle . . . . . 07 II 4
— siehe Färbung u. Pigmente.
Faregh u. Uadi Natrun, Geologie . . . . . 06 II 422
Farne aus der Familie der Sphenopteriden . . . 09 I 150
Farnkraut im Solnhofer Schiefer . . . . . CBl 1908 *385*
Fasciolaria glabra, Obersenon, Dänemark . . 06 I 309
Faserkalk, Dänemark etc. 08 I 201
Faserkiesel, Deutschbrod 08 II 63
Faserplagioklas, Concepcion del Oro, Zacatecas, Mexiko, in der Kontaktzone am Granodiorit . . . . . BB XXVIII *458*
Fasertonerde . . . . . 08 II 170
Faserung, Ursache bei versch. Körpern . . 05 I 266
Fassatal, Petrographie . CBl 1905 *46*
Faucille-Kette, südlicher Jura, Geologie . . . 06 I 438
Faujasina carinata = Polystomella crispa, Pozzuoli . . . . . 06 II 310
— contraria = Anomalina ariminensis, Ischia . 06 II 310
Faujasit, Groß-Buseck b. Gießen, Glühverlust . 1906 I *23*
Fauna, neolith., Mittelrhein . . . . . 06 II 440
FaunusHorsti (Eastonia), ob. Kreide, Borneo . 07 I 437
— persicus, Senon, Südpersien . . . . . 06 I 444
Favas, Brasilien, im Diamantsand, Phosphat- 08 I 32
Favosites argentina, Devon, Jachal, Argentinien . . . . . 06 I 303
— versch. Spezies, Devon, Ostthüringen . . BB XXIV *274*
Faxe, Dolomit . . . . . 07 I 221
Faxekalk, Brachyuren . 06 II 141
Fayalit
— in Silikatschmelzen . BB XXII *231*
— zusammengeschmolzen mit Anorthit . . . . CBl 1906 *150*
— — mit Forsterit . . 09 II 163
— — mit Magneteisen . BB XXII *230*
— Agramer Gebirge, Mangan- . . . . . 08 II 28
— Wisconsin, weite Verbreitung im Syenit . 06 II 220
Fayalitbasalt, Hobart, Tasmanien . . . . . CBl 1909 *6*
Fayum, Aegypten, Säugetiere . . 1905 I 156 08 II 427
Faziesentwickelung, südbayr. Oligocänmolasse CBl 1906 576
Fazieswechsel u. abnorme Faziesfolge bei subaquat. Rutschungen . 08 II *156*
Federerz, Wesen . . . . 09 I 170
Feinerden der Ackerböden 06 I 207
Feistmantelia virginica . 07 II 505
Feldspat
— Baryt-, Zusammensetzung etc. . . . . 05 II 18
— Beimischung von Ca zum Kali-, und Myrmekitbildung . . . . CBl 1909 *311*
— Bestimmung der Brechungsindizes . . . . 07 I 350
— — in Dünnschliffen an Albitzwillingen der Plagioklase . . . . . 05 I 26
— Bildung, Versuche . . CBl 1906 *354*
— chemische Konstitution 05 I 24
— Darstellung, Isomorphismus, Schmelzbarkeit, therm. Eigenschaften . . . . . 06 I 333

Feldspat
— eutektisch in Eruptivgesteinen . . . . . 1909 I 371
— optisch . . . . . 1907 I 350. 351
— (Perthit-) in krist. Schiefern . . . . . 05 II 361
— Zersetzung . . . . . 08 II 19
— Biella, Piemont, Drusen im Syenit . . . 06 II 38
— Carrara, Albit im Marmor . . . . . 06 II 177
— Gellivara-Erzberg, Pseudom. nach Skapolith . . . . . 06 I 350
— Gieshübl, im Granit, kaolinisiert durch kalten Säuerling . . . CBl 1909 *467*
— Grönland . . . . . CBl 1908 406
— Lipetzk, Gouv. Tambow, Kristalle im Brauneisenerz u. Hydrogoethit . . . . 1905 II 21. 183
— Nordamerika, Schmuckstein . . . . . 06 I 358
— Schmiedeberg (Riesengeb.), im Granit . CBl 1909 *769*
— Troitsk, Ural, Isorthose . . . . . 05 I 24
— siehe auch Albit, Orthoklas, Sanidin, Hyalophan, Barytfeldspat, Feldspatgruppe, Plagioklas, Albit etc.
— u. Mischungen mit anderen Mineralien, Schmelzpunkte . . . 07 II 5
Feldspatamphibolit, Raspenau, Böhmen, im körn. Kalke d. Kalkbergs . . . . . 06 I 56
Feldspatbasalt
— Argentinien . . . . . BB XXII *602*
— Kiautschou . . . . . 06 II 370
siehe Basalt etc.
Feldspatgruppe
— Entmischung labiler isomorpher Mischungen . . . . . 09 II 181
— Isomorphie . . . . . 09 II 179
— topische Zahl in Eruptivgesteinen . . . . CBl 1907 7
— verglichen mit Pyroxenen . . . . . 09 II 170
Feldspatkörner in Sedimentgesteinen, Maß d. Verwitterung . . . 05 I 414
Feldspatquarzaggregate, Finkenberg b. Bonn, im Basalt . . . . . CBl 1908 *420*
Feliden, große, d. Höhlen 1907 II 317
Felis leo fossilis u. issiodorensis, Mauer . . . 07 II 484
— microgale, oxygnatha u. trinilensis, Kendengschichten, Java . 09 I 120
Felit im Portlandzement 1908 I 250 08 II 379
Felixia latiradiata, westl. Verein. Staaten . . . 09 I 149
Felsbecken, quartäre, Helen Mine-Tal, Michipicoten, Canada . . 06 I 299
Felsenseen, Canada . . . 05 I 230
Felsinotherium, Milchmolaren . . . . . 06 II *60*
— Oesterreich, Mediterranschichten . . . . 05 I 505
Felsitfels-Ganggesteine, Kiautschou . . . . . 06 II 366
FelsitischeGesteine, Snowdon, Wales . . . . . 07 I 390
Felsitporphyr
— Åland, Diluvialgeschiebe, Westfalen . . CBl 1907 *151*
— Antarktis . . . . . 09 II 76
— Ballersbach . . . . BB XXVII *313*
— Böhmen, im Cambrium, am Berge Lom . . . 05 II 57
— Bosnien u. Hercegowina, Beziehung zu Fahlerz- und Quecksilberlagerstätten . . 09 II 406
— Bozen 1907 I 230 BB XXVII *72*
— — St. Ulrich . . . BB XXVII *108*
— Centralfrankreich . . 07 I 389
— Cima d'Asta, Gliederung der Decke . . . 05 II 382
— Colle Bracon (Valle del Gesso) (Mikrogranit), mit Gneiseinschlüssen . . . . . 08 II 214
— Dossenheim, Grundmasse . . . . . CBl 1908 *8*
— Ecuador, Ostkordillere . . . . . 06 I 400
— Glen Feshie (Central Highlands), sphärolithisch . . . . . 05 I 431
— Halle a. S. bei Brachwitz . . . . . BB XXVIII *131*
— — bei Kattau . . BB XXVIII *142*

Felsitporphyr
— Halle a. S., nördl., mit kleinen Kristalleinschlüssen . . . . . BB XXVIII *50*
— — bei Petersberg . BB XXVIII *52*
— — bei Schlettau . BB XXVIII *136*
— — bei Schweizerling BB XXVIII *128*
— — bei Schwertz, Urform der hallischen Porphyre . . . . . 1906 II 60
— — bei Wettin . . BB XXVIII *111*
— — bei Wieskau . . BB XXVIII *144*
— Kiautschou . . . . . 06 II 366
— Lago Maggiore u. Valesia . . . . . 05 II 65
— Lagorai-Gebirge, Gliederung . . . . . 05 II 382
— Llano, Texas . . . . 06 II 216
— Monzoni u. Predazzo, chem. Zusammensetzg. 06 I 59
— Nordcarolina, sogen. Leopardit . . . . . 06 II 216
— Pfalz . . . . . 09 I 54
— Pontesford Hill, Shropshire, und Tuffe . . 05 II 391
— Puente del Inca, Aconcagua . . . . . BB XXIV *723*
— Schwarzwald, Freudenstadt etc. . . . . 09 II 413
— Tien-schan und Alatau 05 II 69
— Val Camonica, Lombardei, in Sericitschiefer umgewandelt . . 09 I 221
— Vratnica planina, Bosnien . . . . . CBl 1905 *366*
— Westfalen, Diluvium, Ostsee- . . . . . CBl 1907 *169*
Felssturz, Roßbodengletscher (Simplon) . . . 05 II 48
Fenestella, Entwickelung 05 II 144
— burlingtonensis, compressa, delicatula, filistriata var. nodosa, mimica, modesta, ovatipora u. plebeja, karn. Fusulinenkalk . . . 06 II *144*
— plebeja, Culm, Königsberg bei Gießen . BB XXVIII *654*
Fennoskandia, präcambr. System der östl. . . CBl 1907 *33*
Fenster
— Ardon, Lisernetal, Wallis . . . . . 09 II 258
— Plan de Nette . . . 09 II 87
— Ueberschiebung des Mosor, Dalmatien . . 06 I 257
Fensterscheiben, zertrümmert beim Vesuvausbruch 1906, Ottajano 1908 I 45
Ferghana, Kreide- und Tertiärversteinerungen 05 II 283
Ferghana-Formation, Gultscha-Tal . . . . . 06 I 97
Ferghana-Stufe, Guldscha, Ferghana . . . 05 II 284
Ferghanit, Ferghana, Tjuja-Majun . . . . . 09 II 38
Fergusit, Highwood Mountains, Montana . . . 06 II 374
Fergusonit
— Hoegtveit, Evje, Saetersdalen, Norwegen, Kristalle . . . . . 06 I 351
— Norwegen, Granitpegmatitgänge des südlichen . . . . . 08 I 341
Fernbeben, registriert am astatischen Pendelseismometer, Leipzig 05 I 52
Ferriglaukophan, Asskysfluß, = Rhodusit . . . 09 II 20
Ferrinatrit, Synthese . . 07 I 35
Ferrisulfat, saures, Beziehung zu Coquimbit und Copiapit . . . . 08 II 324
Ferrisulfatlösung, Einwirkung auf Schiefer 09 II 84
Ferrit im Eisen 1905 I *123* 06 I 243
Ferroeisen, chem. Bestimmung . . . . . 09 I 7
Ferronickelit im Eisen . 05 I *127*
Ferru, Mte.
— Vulkan, Sardinien . BB XXI *1*
— — — Produkte . . 09 II 227
Feste Lösungen
— Dampfdruck . . . . 05 I 364
— Schmelzkurven . . . 07 II 22
Festländer und Meere zur permischen Zeit . . . Festband *521*
Festschrift, Rosenbusch CBl 1906 478
Feuerland, Alter der Schieferformation . . CBl 1908 *193*
Feuerstein . . . . . BB XXV *211*
— Bessarabien . . . . 07 II 380
— craquelierte, Tasmanien, Archaeolithen . 09 I *73*
— — Thenay und Tasmanien, Oligocän . . CBl 1908 *748*
Feuersteingebilde, Kreide, Margny (Oise) . 06 II 201
Fibroferrit, Cetine, Prov. Siena . . . . . 09 II 363

Fibrolith, Barkhamsted, Con., im Gneis . . . 1905 II 393
Fibrolith-Andalusit-Schiefer, Monadnock Mountain, New Hampshire 06 II 215
Fibrolithgneis, Böhmen, Deutschbrod . . . . 08 II 63
Fibularia (?) antiqua, capitata, elliptica, gastroides, gibba, miocaenica und trigona, San Gavino a mare, Portotorres(Sardinien) 09 II 483
— Lecointreae, Faluns der Touraine . . . . 09 II 480
— Voeltzkowi, Eocän, Westmadagaskar . . 07 II 128
Fibulina gracilis, Eocän, Westmadagaskar . . 07 II 128
Fichtelgebirge
— Culm . . . . . BB XXI *48*
— Diabas (Leukophyr) BB XXIII *1*
— Grundgebirge . . . . 05 I 235
Fichtelit, Borkovic, Böhmen, Krist. etc. . 1908 II 39. 328
Ficket series, Endicott-Kette, nördl. Alaska 06 I 92
Ficoxylon helictoxyloides, westl. Verein. Staaten 09 I 149
Ficula sobria, ? Eocän, Kamerun . . . . . 06 II 123
Ficus Blanckenhorni, callophylloides, crenatifolia, curvatifolia, fajumensis, leucopteroides u. Stromeri,Eocän, Fayum . . . . . 09 I 308
Fiedlerit, chemisch . . . 07 I 18
Fierasfer boratschensis, Otolithen, Tertiär, Oesterreich . . . . . 07 I 481
Filettino-Becken, Rom, Geologie . . . . . 08 II 46
Filicudi, Staukuppen . . Festband *319*
Filtration durch Sand . 05 I 266
Fimmenit = Pollenschlamm . . . . . 08 II 185
Finkenberg b. Bonn, Urausscheidungen aus Basalt . . . . . CBl 1908 *417*
Finnland
— kristalline Schiefer . 07 I 235
— Ostgrenze des präcambr. Systems . . . CBl 1906 *600*
— präcambr. System des östlichen . . . . . CBl 1907 *33*
Firnflecken mit äol. Aufschüttungsringen, Island . . . . . CBl 1909 *180*
Firngrenze, eiszeitliche, Schwarzwald . . . . BB XXI *443*
Fische
— Altersbestimmung nach den Otolithen bei Scholle und Kabeljau 1908 I 130
— fossile, Kalifornien . 08 II 443
— Systematik nach Cope etc. . . . . 08 II 444
— Carbon, Victoria, Australien . . . . . 05 II 480
— Devon, New York . 08 II 443
— Kreide,Nordfrankreich 05 II 482
— Miocän,Sardinien,Otolithen . . . . . 08 II 277
— Pliocän, Bologna, Otolithen . . . . . 08 II 277
— Tertiär, Algerien und Tunis, in den Phosphoriten . . . . . 05 II 479
— — Emilia (Italien), Gehörknöchelchen . . 06 II 297
— — Oesterreich, Otolithen . 1905 II 138 07 I 480
— — Pausramer Mergel, Otolithen . . . . . 08 II 277
— Trias, Idaho (Aspen Ridge) . . . . . 08 II 446
— — New Jersey . . . 08 II 442
— Untersilur, mit Knochenkörperchen . . . 05 II 137
Fischerit . . . . . CBl 1909 *330. 336*
Fischotolithen
— Bestimmung des Alters bei Scholle u. Kabeljau 08 I 130
— Miocän, Sardinien . . 08 II 277
— Pliocän, Bologna . . 08 II 277
— Tertiär, Emilia, Italien 06 II 297
— — Oesterreich-Ungarn (Scyaeniden) . . . . 05 II 138
— — — Macruriden u. Beryciden . . . . . 07 I 480
— — Pausramer Mergel 08 II 277
— Tiefsee . . . . . 07 I 320
— Untersilur . . . . . 05 II 137
Fischton, Kreide, Stevns Klint, Dänemark . . 06 I 310
Fissilunula Clarkei, Kreide, Neu-Süd-Wales . 05 I 319
Fissurella Cossmanni, Eocän, Paris . . . . . 07 II 303
Fissurelliden, Aegypten, Paläogen . . . . . 05 II 322

Fissurina biconica, Bradyi, cucullata und Schlichti, tyrrhenisches Meer . . . . . 1906 II 309
Flabellothyris dichotoma, Jura, Kutsch . . . . 05 I 181
Flächen
— krumme, Dampf- und Lösungstension . . . 08 I 321
— oder Zonen als Ausgang der Formenentwicklung . . . . . 06 I 322
Flächenbegrenzung der Zwillinge . . . . . BB XXIII *339*
Flächengesteine . . . . CBl 1907 *340*
Flächenreiche Zonen, Aufeinanderfolge u. gegenseitige Beziehung der Flächen . . . . . 05 II 332
Flächner oder Kanter? CBl 1907 *547* CBl 1908 *17*
— siehe auch Facettengeschiebe und Dreikantner.
Fläming, Quartär . . . 05 II 443
Flagellaten, fossile . . . CBl 1906 *229*
Flammenmergel, Braunschweig . . . . . 06 II 428
Flammenton, Posener, Kreis Militsch, Schlesien . . . . . 05 II 287
Flandrische Stufe, Diluvium, Belgien . . . . 05 I 480
Flasergabbro, Sächsisches Mittelgebirge . . . . 09 II 212
Flaserstruktur, Protogyn, Reuß-Tal . . . . . 06 II 209
Flasertextur . . . . . 05 I 73
Fleckenserpentin, Geißpfad, Oberwallis . . . 05 II 221
Flemingites Russelli, Meekoceras beds, Idaho . 06 II 303
Flexigrada, Patagonien, Extremitäten . . . . 07 II 137
Fließende Kristalle und Organismen . . . . 08 I 320
— siehe auch flüssige Kristalle.
Fließend-kristallinische Trichter . . . . . 06 II 151
Fließende Mischkristalle, Bildung u. Umwandlung . . . . . 05 II 173
Fließendweiche Kristalle, Zwillingsbildung und Homöotropie . . . . 06 II 151
Floren, paläozoische, England . . . . . 1906 II 458
Florissant, Col., Insekten des Miocän . . . . 1908 II 110 ff.
Flowage, zone of . . . CBl 1906 606
Flüsse, Abweichung nach rechts . . . . . 07 I 382
Flüssige Kristalle 1905 II 171 1908 I 3. 323 1909 I 2 09 II 329 CBl 1905 207 CBl 1908 311
— angenäherte Bestimmung der Doppelbrechung . . . . . 06 II 149
— Bedeutung für die Theorie der Molekularkräfte . . . . . 08 I 323
— Drehung der Polarisationsebene und der Absorptionsrichtung . 06 II 149
— Erweiterung des Existenzbereichs durch Beimischungen . . . 08 I 323
— Farbenerscheinungen 08 I 322
— Gestaltungskraft . . 08 I 323
— Gleichgewichtsform . 06 II 150
— Historisches . . . . 09 I 332
— Kontinuität der Aggregatzustände . . . 08 I 322
— Natur . . . . . 06 II 153
— Prüfung durch elektr. Kataphorese . . . . 05 I 5
— scheinbar lebende . . 09 I 4
— Schmelz- u. Klärungskurven . . . . . 09 I 331
— Systembestimmung u. Achsenbilder . . . . 09 II 330
— und Organismen . . 08 I 320
— u. mechan. Technologie 09 I 5
— Cholesterinverbindungen . . . . . 09 I 332
— Ammoniumoleat . . 09 I 6
— propionsaures Cholesterin . . . . . 09 I 5
— siehe auch kristallinische Flüssigkeiten, fließende, scheinbar lebende, weiche Kristalle, u. Kristalle, flüssige.
Flüssigkeiten, kristallinische . . . . . 05 II 172
— — Polymorphie . . . 09 II 330
— siehe kristallinische Flüssigkeiten.
— schwere, zur Trennung von Mineralien . . . 08 II 2

Flüssigkeitseinschlüsse d. Quarze alpiner Mineralklüfte . . . . . CBl 1906 *72*
Flugbefähigung der Wirbeltiere . . . . . 1909 I 128
Flugsaurier, Lias, Schwaben . . . . . CBl 1906 *290*
Flugtiere, fossile und Erwerb des Flugvermögens . . . . . 08 II 108
Fluor in Mineralwässern 09 I 205
Fluorhaltiges Cement in künstl. Sandsteinen. CBl 1908 *161*
Fluorit, siehe Flußspat.
Fluornatrium, Los-Inseln, in Nephelinsyenit . . 09 I 164
Flußerosion, Schnelligkeit, Verdon-Cañon . . . 08 I 220
Flußläufe
— Geschiebeführung . . 08 I 221
— Süddakota, Entwickelung . . . . . 05 I 229
Flußlauf, Ploaghe (Sardinien), durch Basaltstrom in 2 parallele Läufe getrennt . . . 09 II 228
— siehe Flußtäler.
Flußsäure u. Kieselsäure, System . 1905 II 4 06 I 6
Flußspat
— dilute Färbung . . . 06 I 324
— Einwirkung von Radiumbromid . . . . CBl 1909 *71*
— Färbung 1907 II 167 08 II 170
— Kristallflächen . . . 06 I 1
— Radioaktivität . . . 06 I 4
— Ursache der Phosphoreszenz (Chlorophan) 08 II 144
— Aussig (Böhmen), im Natrolithphonolith . CBl 1908 *673*
— Biella, Piemont, Drusen im Syenit . . . 06 II 33
— Cadonighino, Tessin . BB XXVI *519*
— Campolongo . . . . 05 I 203
— Carrara, im Marmor. 07 I 216
— Derbyshire, Zwillingsbildung . . . . . BB XXIII *332*
— Königsberg i. Pr., Zement in einem nord. Sandsteingeschiebe . CBl 1908 *33*
— Llano County, Texas 07 I 42
— Markirch . . . . . 09 I 22
— Nordamerika, Produktion 1902 . . . . . 05 I 209
— — (Illinois und Kentucky) . . . . . 06 II 180
Flußspat
— Rabenstein im Sarntal (Südtirol), Vorkommen . . . . . 1908 I 242
— Sachalin, Pseudom. v. Chalcedon nach ? F. 08 II 334
— Schlaggenwald . . . 05 I 198
— Schmiedeberg (Riesengeb.), im Granit . CBl 1909 *771*
— Teplitz, tert. Gänge. 08 II 293
— — Thermen, Neubildung . . . . . 08 I 172
— Topelec b. Písek, Kristalle . . . . . 05 II 178
— Weardale, Färbung . 08 II 170
Flußtäler
— Erhaltung . . . . . 05 I 231
— und Gletschertäler . 09 I 201
Flußterrassen
— Rhônetal, unterhalb Lyon etc. . . . . 08 I 221
— Westfield River, Mass., Entstehung . . . . . 05 I 410
Flußwasser
— feste Bestandteile, geologische Schlüsse . . 07 I 47
— Schweden . . . . . 06 II 351
Flußwindungen, Ursachen 05 I 231
Flysch
— Etymologie . . . . . 09 I 432
— Algäu, Kontakt mit Molasse . . . . . 08 I 409
— Alpen, Tektonik . . 06 I 253
— Antirhätikon . . . . 08 I 251
— Kalkalpen bei Wien, Entstehung . . . . . 09 I 416
— Ostkarpathen, mit exotischen Blöcken . . . 05 II 410
— Schweiz, errat. Blöcke 09 I 86
— Tegernsee, und Erdöl 07 II 127
— Wiener Becken, mit krist. Gesteinsgeröllen CBl 1908 250
Flyschpetroleum, Bayern 07 I 84
Flyschzone
— Algäu—Vorarlberg . 09 I 97
— Bregenzer Wald, nördliche . . . . . BB XXVII *1*
— Vorarlberg u. Beziehung zu den ostalpinen Deckenschüben . . . 08 I *63*
— Beziehung zur Tatra 09 I 421
Flytjord, Schweden, Entstehung . . . . . 06 II 350
Foramina der Carotis interna und des Hypoglossus bei Reptilien CBl 1906 *336*

Foraminiferen 1905 II 488 1908 II 283
— älteste Formen . . . CBl 1906 225
— Bau . . . 1907 I 326 08 I 142
— Dimorphismus der rezenten . . . . . 09 I 135
— Entwickelungsreihen des Nodosarienhabitus 05 II 155
— Klassifikation der lebenden und fossilen . 05 II 327
— lebende, Beschaffenheit der Schale u. Einteilung . . . . . 07 I 156
— natürliche Systematik 1908 I 305 BB XXV 232
— perforate u. imperforate 06 II 455
— Revision von Spezies d'Orbigny's 1906 II 309. 457 08 I 309
— rezente, Galway . . 08 I 309
— Belfast-Gegend . . . 09 I 300
— Maryland . . . . . 07 II 158
— Tyrrhen. Meer . 1906 II 307. 308
— Dalmatien, Carbon . 07 II 339
— Globigerinenmergel, Albona, Istrien, mitteleocäne . . . . . 05 II 159
— — Bahna (Rumän. Karpathen) . . . . . 09 II 140
— Rzeszow und Debica, Galizien, Inoceramenschichten . . . . . 06 II 264
— Kreide, Gingin (Australien) . . . . . 09 I 299
— — Meudon . . . . . 07 I 330
— — Ost-Pondoland, Süd-Afrika . . . . . 05 II 152
— — Regensburg, Maestricht u. Celebes . . 08 II 285
— Lias, Schwaben 1905 II 151 09 II 322
— Miocän, Formosa, im Orbitoidenkalk . . . 06 II 309
— — Monterey Shale, Kalifornien . . . . 08 II 283
— miopliocäner Mergel von Bonfornello (Palermo), Struktur und Synonymie . . . . . 06 I 472
— Oligocän und Miocän, Madagaskar . . . . 09 II 487
— pannonische Stufe, Mähren . . . . . 07 I 157
— Permocarbonkalk, N.-S.-Wales . . . . . 06 II 454
— rezente, Malaiischer Archipel . . . . . 05 II 155
Foraminiferen
— rezente, Victoria, Australien . . . . . 1909 I 144
— Rupelton, Mainzer Becken . . 1909 I 433 09 II 323
— Schlier von Dolnja-Tuzla, Bosnien . . . 05 II 290
— Tertiär, Trinidad . . 05 II 489
— untercarbon. Transgressionsmeer, Tian-Schan . . . . . BB XXVI 215. 228
— Unteroolith, Westaustralien (Geraldton) . 05 II 151
Forbesiceras nodosum u. sculptum, Kreide, Zululand . . . . . 07 II 305
Forellenstein
— Gloggnitz, Oesterreich 05 II 51
— Neurode . . . . . BB XXVI 475
Forest bed, Affenknochen 08 II 426
— Sandstone, Rhodesia . 05 II 268
Formationskunde, geolog. CBl 1904 304
Formenentwicklung, kristallographische, von Flächen oder Zonen ausgehend . . . . . 06 I 322
Formensystem von Kristallen, abgeleitet aus Akzessorien . . . . . 06 I 341
Formosa
— Foraminiferen d. miocänen Orbitoidenkalks 06 II 309
— geomorpholog. Stellung . . . . . 05 I 114
Formregeneration verletzter Kristalle . . . 05 II 332
Forschungsreisende, Instrumentenkunde . . CBl 1906 479
Forsterit
— im Zement . . . . . 08 II 379
— und Fayalit, zusammengeschmolzen . . 09 II 163
— u. Kalkolivin, zusammengeschmolzen . . 09 II 163
Fortunit, Spanien, Fortuna, Prov. Murcia . 07 II 407
Fortwachsungen, isomorphe, Alkalihaloide . . CBl 1907 92
Fossile „Regentropfen" durch im Schlamm aufsteigende Gasblasen 06 II 200
Foyait
— Ampasindava (Madagaskar) . . . . . 05 I 435
— Neuseeland, Otago-Halbinsel . . . . . 08 I 231

Foyait, Red Hill, Moultonboro, N. H. . . . . 1909 II 387
Foyaitisch-theralitische Gesteine, Tasmanien . 08 I 388
Fracture, zone of . . . CBl 1906 606
Franckeit, Poopo, Bolivia, chemisch . . . . 06 I 15
Frankenjura, Tektonik u. Basalte, bei Heiligenstadt . . . . . CBl 1906 *390*
Frankenwald, Geologie, bei Bad Steben . . . 09 II 218
Franklandit, ozean. Salzlagerstätten . . . . 08 II 163
Frankreich
— siehe auch Alpen.
— Amphibien und Reptilien des Carbon . . 07 I 310
— Cenoman, brackisch, u. Süßwasser- des südl. 07 II 131
— geolog. Bau . . . . CBl 1905 439
— — — u. Oberfläche . CBl 1905 439
— Höhlen mit Menschenspuren . . . . . 07 I 449 ff.
— Kreide . . . . . 06 I 290
— siehe auch Kreide.
— Nummulitenbildungen des südwestlichen . . 05 I 131
— Porphyrgesteine, im zentralen . . . . . 07 I 389
— Tertiär . 1905 II 432 ff. 07 I 441
— siehe auch Tertiär.
— Alpen, Bau 1905 I 446 06 II 253 ff.
— Aude-Dep., Pycnodonten des Tertiär . . . 05 II 483
— Grenoble u. Gap, mittl. Jura . . . . . 05 II 427
— nördliches, Kreidefische . . . . . 05 II 482
Franzensbad, Geologie . 05 II 95
Frechiella kammerkarensis var. gereczensis u. pannonica, Ungarn . 06 II 141
Freiberg, Bergakademie, Geschichte . . . . . 07 I 371
Freiburger Alpen, Bau . 05 I 277
Fremdkörper, Einfluß auf die Kristallisationsgeschwindigkeit in Schmelzen . . . . . 06 I 7
Fremdwörter, naturwissenschaftliche u. technische, Rechtschreibg. CBl 1907 692
Fresnel'sches Doppelbrechungsgesetz bei 2-achsigen Kristallen . 05 I 183
Freudenthal, Oesterr.-Schlesien, Vulkane . 1907 II 394
Friauler Alpen, Geologie 06 II 246
Friedrichroda, Gestein d. Seebachfelsen . . . . 06 I 208
Frigidit, Frigido b. Massa, (Fahlerz) . . . . . 07 II 176
Frohnalpstock (Schwyz), Alter . . . . . 09 I 401
Frondicularia sp., Globigerinenmergel, Bahna, rumän. Karpathen . 09 II *146*
— borussica, distorta u. Schellwieni, lithauisch-kurischer Jura . . . 06 I 471
Frontosus-Rasse, neolith. Fauna in Mitteleuropa 06 II 440
Fruska Gora (Peterwardeiner Gebirge), Hypersenon . . . . . 06 II 266
Fuchsit
— Material einer antiken Statuette . . . . . 05 I 33
— Lessachtal im Lungau (Salzburg) . . . . . CBl 1908 *283*
Fuldasandstein, Perm, Texas . . . . . 08 I 257
Fulgur, Bau . . . . . 07 II 335
— obfilosum, obrapum u. tritonoides, Tertiär . 07 II 335
Fumarolen, Vesuv, Borsäuregehalt etc. . . . 09 I 165
Fumarolenmineralien, Aetna . . . . . 09 I 165
Fumarolenprodukte, Santorin . . . . . 07 II 406
Funafuti-Atoll, Tiefbohrg. Festband *409*
Fungites capillaris, hurtus, macrochaetes und pullus, ostpreuß. Bernstein . . . . . 09 I 307
Furche, Boskowitzer, Mähren . . . . . 05 II 263
Furchenstein, Dahomé, im Eocän . . . . . 06 II 430
Furdia, Ungarn, Geol. . 07 I 274
Fußfährten
— Batrachier, Carbon, Joggins, Neu-Schottland . . . . . 05 I 340
— — — Ostcanada . . 05 I 339
— Iguanodon . . . . . 05 II 310
— — Bad Rehburg . . CBl 1909 *700*
— Känguruh, Warnambool (Australien) CBl 1908 *725* CBl 1909 *495*

Fußfährten
— menschliche, Warnambool, Victoria, Austr. 1906 II 269
— siehe Menschenspur.
— Wirbeltiere, Neocomflysch, Ybbsitz, Niederösterreich . . . . 1905 II 434
— siehe auch Wirbeltierfährten.
Fusulina . . . . . BB XXVII *505*
— syst. Stellung . . . . 07 I 330
— Unterabteilungen . . 07 I 331
— alpina var. arctica, rossica und vetusta, Carbon, russ.-arktisch. Meeresgebiet . . . . 09 I 138
— Anderssoni, Krotowi, Moelleri, Moelleri var. aequalis u. implicata, vulgaris etc., Carbon, russisch - arktisches Meeresgebiet . . . . 09 I 139
— minima u. Tschernyschewi, Carbon, russ.-arkt. Meeresgebiet . . 09 I 138
— secalis (centralis) var. BB XXVII *500*
— simplex, prisca var. artiensis u. parvula u. ? obsoleta, russ.-arkt. Meeresgebiet, Australien . . . . . 09 I 138
— Lutugini, subtilis und Verneuilli var. solida, Obercarbon, russ.-arkt. Meeresgebiet . . . . 09 I 139
Fusulinella, gemeinsame Wurzel aller Fusuliniden . . . . . BB XXVII *485. 505*
— lenticularis, Fusulinenkalk, südl. Persien (Bachtijah) . . . . . 06 I 443
Fusulinen
— Bestimmungsmethoden 09 II 488
— Entwicklung . . . . 09 I 141
— Schalenstruktur . . . 08 I 140
— Schalenverschmelzung und Dimorphismus . 09 I 299
— russ.-arkt. Meeresgebiet . . . . . 09 I 137
— Toskana, neue Bestimmung der karnischen . . . . . 09 II 488
Fusulinenkalk, Argolis, obercarbonischer . . CBl 1909 *84*
Fusulinenkalk
— Attika . . . . . 1909 II 431
— Indo-China . . . . . 08 I 417
— Japan, mit Helicoprion 07 I 330
— karnischer, Bryozoen 06 II *135*
— Korea . . . . . 07 I 331
— Oberkrain . . . . . 05 II 91
Fusuliniden . . . . . 08 II 286
— Bau etc. . . . . BB XXVII *461*
— Entwicklung . . . . CBl 1908 *691*
— Systematik . . . . . 08 I 306
Fusus Assailyi var. elliptica, Senon, Mittel-Peru . . . . . BB XXIV *121*
— cimbricus, Paläocän, Rugaard, Kattegat . 08 II 103
— conjecturalis, delicatus u. Schlosseri, Hypersenon, Peterwardeiner Gebirge . . . 06 II 268
— faxensis, Danien, Dänemark . . . . . 06 I 309
— Rosenbergi, Steenstrupi 07 II 453
— (?) Schrammeni, mittlerer Gault . . . . . 05 I 317
— supramoerchi, Paläocen, Saratow . . . . 05 II 121
— texanus, Buda limestone, Kreide, Nordamerika . . . . . 06 I 309

G.

Gabbioceras angulatum, Kreide, Kalifornien . 06 I 288
Gabbro
— Definition . . . . . 05 I 413
— Einteilung u. Benennung . . . . . CBl 1906 *10*
— Ampasindava (Madagaskar) . . . . . 05 I 436
— Antillen, kleine . . . 06 II 376
— apuanische Alpen . . 08 II 214
— Attika, Parnesgebirge CBl 1909 *557*
— Böhmen, Massiv des bayr. Grenzgebirges . 08 I 60
— brit. Zentralafrika . . 07 I 237
— Cerebriansky, nördl. Ural, uralitisiert . . . 06 I 339
— Connecticut, Cortlandt Series . . . . 08 I 72
— Dehesa, Kalifornien, Kugel- . . . . . 07 II 77
— Enderby-Land, gedredscht . . . . . 06 II 371
— Guernsey . . . . . 09 II 229

Gabbro
— Guinea, Französisch- 1907 II 414
— Harzburg . . . . . 07 I 383
— Hornfluhbreccie, exot. Blöcke . . . . . 08 II 381
— Kalifornien, Oak Hill-Gebiet, Olivin- . . . 09 II 386
— — Slatington, Eldorado Co. (Grünschiefer) . . . . . 06 II 215
— Kaukasus, zentraler, Amphibolmikro- . . . 07 I 71
— Kiautschou . . . . . 06 II 368
— Matterhorn . . . . . 05 I 243
— Monzoni u. Predazzo, chem. Zusammensetzg. 06 I 57
— Neurode . . . . . 09 I 58
— — Untersuchung des Gebirgszuges 1908 II 189 BB XXVI *433*
— Nordamerika, gibt durch Assimilation sauren Nebengesteins Granit . . . . . 07 II 225
— Odenwald, Beziehung zu Olivingabbro, Hypersthengabbro und Diorit . . . . . CBl 1906 *689*
— — Ganggesteine . . CBl 1907 *123*
— — genetische Beziehungen zu Diorit . . 09 I 375
— — Frankenstein bei Darmstadt, u. Schmirgel . . . . . 09 I 178
— Okanagen-Batholith, Cascade Mountain, Col. 09 I 68
— Ottawa, Canada, Enstatit- . . . . . 05 I 250
— Piemont, Susa-Tal, Rocca Bianca, in Prasinit umgewandelt . . 06 II *105*
— — Val della Torre, Hornblende- . . . . 05 II 224
— sächs. Mittelgebirge, Flaser- . . . . . 09 II 212
— San Juan Mountains, Colorado, dynamometamorphosiert . . . . 06 II 219
— Schuls, Unterengadin, Saussurit-Biotit- . . 05 II 388
— Skye . . . . . 06 II 65
— Strumble-Head, Wales . . . . . 06 II 211
— Syra, Saussurit- . . 09 II 224
— Tahiti . . . . . 06 I 72
— Transvaal, und Norit 07 I 394

Gabbro
— Ural, nördl., Uralit- . 1906 I 387
— — Tagil . . . . . 07 I 72
— Visegrad (Bosnien), im Flysch . . . . . 08 I 63
— zentraler Kaukasus, Amphibolmikro- . . . 07 I 71
Gabbroamphibolit, Ecuador, Ostkordillere . . 06 I 394
Gabbroaplit u. -porphyrit, Odenwald . . . . . CBl 1907 *123*
Gabbrodiorit . . . . . CBl 1905 *411*
— Davie County, N.-Car., kugelig . . . . . 06 II 217
— Ober-Brezany, Böhm. 06 II 361
Gabbroganggesteine, Odenwald . . . . . CBl 1907 *123*
Gabbrogesteine
— Einteilung und Benennung . . . . . CBl 1906 *10*
— zw. Visp u. Brieg, im Bündner Schiefer, metamorphe . . . . . 05 II 221
— Wisconsin, nördl. . . 09 I 227
Gabbro-Granitzone, Brokken . . . . . 1907 I 383. 385
Gabbroide Blöcke im Granit, südl. Schwarzwald, Resorptionserscheinungen . . . . CBl 1907 *77*
Gabbropegmatit
— Neurode . . . . . BB XXVI *481*
— Schuls, Unterengadin 05 II 388
Gabbroschiefer . . . . . CBl 1905 *407*
Gabbrozug, Neurode . . 08 II 189 1909 I 58 BB XXVI *433*
Gadolinit
— Batum'sches Gebiet, Analyse . . . . . 07 II 365
— Idaho (?), chem. etc. 05 I 382
— Llano County, Texas 07 I 42
— Skandinavien, Anal. 07 II 361
— Westaustralien . . . 08 I 25
— Ytterby, chem. . . . 05 I 383
— — Begleiter . . . . 09 II 355
— — ?, beim Erhitzen . CBl 1908 *36*
— — Darstellung der Kieselsäure und Konstitution . . . . . 07 I 349
Gagat, Entstehung . . . 09 II 365
Gailtaler Alpen, Geologie 06 II 240
Galago, amerik. Eocän . 05 I 333
Galathea munidoides, jüngste Kreide, Faxe und Schonen . . . . 06 II 141
Galenit, siehe Bleiglanz.

Galesauridae, Systematik 1907 I 480
Galizien
— Erdölzone Opaka—Schodnica—Urycz . . . 06 I 236
— Tertiär . . . . . 1905 II 116 ff.
Galle-Gruppe, Ceylon . . 06 I 182
Galliaetatus Schlosseri, Miocän, Mont Ceindre und Solnhofen . . 1907 I 462. 463
Ganbirretia Douvillei, Kreide (unt. Danien), Gan (östl. Pyrenäen) 06 I 156
Gänge
— basische, Caernarvonshire . . . . . 05 II 389
— Differentiation d. Magma . . . . . 07 II 215
— gemischte Gesteins- . 05 II *20*
— — Vina-Tal, Oberitalien 05 II 65
— Mitte u. Salband, von Gesteins- . . . . . 05 II *19*
— klastischer Gesteine, Kalifornien . . . . . 06 I 224
— turmalinführende, im Granit, San Piero in Campo, Mineralien . 05 II 34
— Schottland, Granit, Zusammensetzung von Zentrum-, Rand und Kontaktbildungen . . 05 I 431
— siehe auch Erz- und Minerallagerstätten, Eruptivgänge, Erzgänge . . . . . 08 I 91
Gangbilder, Oberharzer . CBl 1907 550
Ganggesteine
— mikrosk. Physiographie CBl 1907 592
— Kiautschou . . . . . 06 II 368
— Löwenburg, Siebengebirge . . . . . BB XXIII *418*
— Monzoni u. Predazzo, leukokrate . . . . . 05 II 218
— Neurode, im Gabbrozuge . . . . . BB XXVI *481*
Gangquarz, Salangen (Norwegen), mit Einschlüssen von Methylenbisulfid 1906 I 165 06 II 363
Ganoiden, lithogr. Kalk, Nusplingen . . . . . 09 I 452
Ganophyllit, Harstigsgrube, Selbständigkeit als Mineralspezies . . 05 II 184
Garbenschiefer, St. Gotthard, Südseite, Hornblende . . . . . BB XXVII *161*
Garda-See, Präglazial u. Neozoicum . . . . . 1905 II 100
Garewait, Ural, nördl. . 06 I 388
Gari diversisignata und praecursor, Hypersenon, Peterwardeiner Gebirge . . . . . 06 II 268
Garialis bengowanicus, Kendeng-Schichten, Java . . . . . 09 I 120
Garnierit . . . . . CBl 1909 *331*
— Zusammensetzung . . 08 II 32
Gase
— brennbare, Ohio . . 06 II 386
— in Mineralien, gelöste 06 I 161
— radioaktive, in oberflächl. Wasser . . . 05 I 418
Gasexplosion, natürl., bei Waldron, Indiana . . 05 I 57
Gaskohle, Nürschan, Alter . . . . . 08 II 266
Gaspereau Valley, Neu-Schottland, Geol. . . 05 II 104
Gasterenlakkolith . . . 07 II 439
Gastranopsis Bureani, Eocän, Loire inf. . . 07 II 302
Gastraster Studeri, Südamerika, Ostküste, rezent . . . . . 07 II 154
Gastrioceras Welleri, Carbon, Nordamerika . . 05 I 528
Gastrochaena Moloti, Eocän, Paris . . . . . 07 II 302
Gastrolithen in Sauropodenskeletten, Wyoming und Colorado . 08 II 441
Gastropoden
— Gera, Kalktuff . . . 07 II 461
— Gotha, Diluvium . . 07 II 459
— Hundsheim, Quartär . 07 II 460
— Java, der tertiären u. jüngeren Schichten . 07 II *151*
— Norddeutschland, Gault 07 II 468
— Seiser Alp, Pachycardientuffe . . . . . CBl 1905 *176*
— Südungarn, Quartär 07 II 460
— Weimar, Diluvialkies 07 II 459
— Wien, Löß . . . . . 07 II 460
— Württemberg, Lettenkohle . . . . . CBl 1907 *48*
Gaudryceras limatum, Yamashitai u. Yokoyamai, Kreide, Hokkaido . . . . . 05 I 530
— pulchrum, Kreide, Natal . . . . . 07 II 305

Gaudryina postsiphonella, Rupelton, Mainzer Becken . . . . . 1909 II 324
— pupoides = Textularia gibbosa . . . . . 07 I 330
— siphonella, Globigerinenmergel, Bahna, rumän. Karpathen . . 09 II 142
Gault
— Bedeutung des Worts 06 II 109
— Hämelerwald und Hohenhameln (Braunschweig) . . . . . 06 II 425
— Lüneburg, angeblicher CBl 1909 *759*
— — Bivalven u. Gastropoden . . . . . 07 II 468
— Norddeutschland, Gliederung . . . . . CBl 1908 *211. 242*
— siehe auch Kreide.
Gausberg
— Geologie . . . . . 09 I 202
— Gesteine . . . . . 08 I 75
Gauteit
— Böhmisches Mittelgebirge . . . . . 08 I 59
— Highwood Mountains, Montana . . . . . 06 II 374
Gauteitähnliches Ganggestein, Monzoni und Predazzo, chem. Zusammensetzung . . . 06 I 58. 63
Gaylussit
— Entwässerung . . . . 05 II 4
— Paris (sogen. Gerstenkörner) . . . . . 06 II 347
Gazella Daviesii, Norwich Crag . . . . . 08 II 430
Gebirge und Meere, Anordnung . . . . . 05 II 202
Gebirgsbildung
— Ansichten von Bertrand . . . . . 09 I 366
— Experimente . . . . 06 I 405
— Grundgesetz . . . . 08 I *119*
— — (der Alpenbogen) 08 II *55*
— — (Vulkanismus) . . 08 II *32*
— neue Theorien . . . 07 I 43
— u. negative Strandverschiebung . . . . CBl 1909 *285*
Gebirgsdruck in tiefen Steinsalzbergwerken . 07 I 87. 416
Gebirgserhebung, durch Sonne veranlaßt . . CBl 1905 *82*
Gebirgsketten, kreisförmige, Ursachen . . . 05 I 231
— Ostasien . . . . . 05 I 114
Gebirgsmodellierung, zusammengesetzte Natur . . . . . 1907 I 46
Gebiß der Ungulaten, Patagonien . . . . . 05 II 455
Gedrit, Canada . . . . 09 II 344
Gefäß-Totalreflektometer in Verbindung mit Babinet'sGoniometer 09 I 156
Gegenwart und geolog. Vergangenheit . . . 09 II 43
Gehlenit, Lithium-, künstl. CBl 1905 *649*
Geikielith
— Beziehung zu anderen Eisenmagnesium-Titanate (Menaccanit) . . CBl 1906 157
— Ceylon, Edelsteinsande 07 II 18
Geikie's Klassifikation d. Glazialbildungen verglichen mit dem DiluviumSchleswig-Holsteins . . . . . 05 II 293
Geinitzia microcarpa, ob. Kreide, Quedlinburg . 07 I 493
— triangularis, Permocarbonkalk, Neu-Süd-Wales . . . . . 06 II 455
Gekielte Phylloceratiden, systemat. Stellung CBl 1906 *237. 417*
Gelartige Körper im Mineralreich . . . . . CBl 1909 *324*
Gelbbleierz
— künstl. Nachbildung . 07 I 208
— Symmetrie . . . . . CBl 1908 *712*
— Annaberg etc., Niederösterreich . . . . . 06 II 174
— Bleiberg, Kärnten, Kristalle . . . . . 07 I 208
— Nordamerika, Produktion . . . . . 06 I 355
— Pribram, Krist. . . BB XXIII *311*
Gelbildung beim Erhärten des Zements . . 09 II 85
Gellivare-Erzberg, Mineralien . . . . . 06 I 349
Gelivare-Malmberg, Lappland, Eisenerzlagerstätte . . . . . BB XXIV *622*
Gelocus Laubei, Oligocän, Veringen, süddeutsche Bohnerze . . . . . 08 I 123
Gelphosphate, Leoben . CBl 1909 *330*
Gels von Tonerde und Kieselerde, gemengt, Beziehung zu Allophan etc. . . . CBl 1908 *622. 661*

Gemenge, kristalline, Schmelzpunkt . . . 1908 II *24*
Genesis der Kristalle, Einfluß der Kapillarwärme u. elektr. Ströme 07 II 352
Genetische Klassifikation der Mineralien . . . 09 II 330
Genf
— altes Alluvium . . . 07 II 129
— errat. Blöcke der Umgegend, Ursprung . . 06 II 61
Genfer See, Entstehung und Alter . . . . . 05 II 376
Geniohyus, Tert., Fayum 07 II 314
— fajumensis, major und mirus, Eocän, Aegypten . . . . . 06 I 449
Genuclymenia Angelini, discoidalis, Frechi, Gümbeli u. hexagona, ob. Oberdevon, Enkeberg . . . . . BB XXVI *617*
Genyodectes serus, jungtertiär, Argentinien . 05 II 308
Geoden, verschiedene Formen . . . . . 08 II 6
Geographie, Paläo-, Grundlage d. Untersuchungen CBl 1908 *434*
Geoisothermen, beeinflußt durch Wärmeleitungsfähigkeit der Gesteine . . . . . CBl 1907 *200*
Geologenkongreß, internationaler, Mexiko CBl 1906 *53. 123. 220*
Geologie
— Bedeutung für Balneologie . . . . . 06 I 403
— Beziehung zu Goethe 1906 II 42 CBl 1906 586
— Elemente . . . . . CBl 1904 306
— Fortschritte der praktischen . . . . . CBl 1904 151
— — seit Suess . . . . 06 II 42
— ökonomische . . . . CBl 1906 49
— praktische (Rinne) . CBl 1906 115
— — Bedeutung . . . . 08 I 78
— Probleme u. Entwicklung . . . . . 06 II 45
— Unterricht an Hochschulen . . . . . 06 II 147
— Vorschule von J. Walther . . . . . CBl 1905 730
— Wert für Erziehung u. Praxis . . . . . 06 I 37
Geological Survey, Iowa 06 I 410
Geologische Aufnahmen, Karten etc.
— Belgien, nördliches . 1905 I 468
— Böhmen (Blätter Böhmisch-Leipa, Dauba, Deutschbrod, Reichenau, St. Pölten, Tynist) 08 II 59 ff.
— — Prag, Umgegend . 07 II 105
— Böhm. Mittelgebirge (Bl. Aussig und Großpriesen) . . . . . 1905 I 268. 272
— — — (Bl. Kostenblatt—Milleschau) . . 06 II 81
— Bosnien u. Hercegowina, geol. Führer . 05 II 264
— Frankreich (Bl. Briançon, Gap, Digne und Larche, Grenoble und Vizille und Lyon) . . 05 I 278
— — (Blätter Briançon, — Grenoble, Lyon und Vizille . . . . . 07 II 104
— Iseosee . . . . . CBl 1909 *135*
— Italien (Bl. Bormio—Tonale) . . . . . 08 II 65
— Kap-Kolonie (Aliwal North, Barkley East, Herschel und Wodehouse) . . . . . 07 II 114
— — Van Rhyn's Dorp 07 II 116
— — Long Kloof . . . 07 II 118
— Oesterreich, Bl. Budna, Sebenico—Trau, Veglia u. Novi, Zaravecchia—Stretto . . 07 I 89 ff.
— — Böhmen siehe oben Böhmen.
— — Mähren . . . . . 05 II 261
— Ostalpen . . . . . 06 II 233
— Preußen (Blätter Alfeld, Dassel, Hardegsen, Lauenberg . . . 07 II 93
— — (Blätter Algenroth, Caub, Preßberg—Rüdesheim) . . . . . 07 II 88
— — (Blätter Altenbeken, Etteln, Kleinenberg u. Lichtenau) . . . . . 07 II 97
— — (Bl. Barten, Wenden, Rastenburg, Drengfurt, Rosengarten und Groß-Stürlack) . . . CBl 1906 579
— — (Bl. Berlingerode, Heiligenstadt, Dingelstädt, Kella, Lengenfeld, Langensalza, Lan-

gula, Henningsleben [Großenbehringen], Mihla und Treffurt) . 1906 II 229
Geologische Aufnahmen, Karten etc.
— Preußen (Bl. Creuzburg, Treffurt, Mihla [Berka vor dem Hainich], Schmalkalden) 08 I 87
— — (Bl. Gorlosen, Lenzen, Balow—Grabow, Hilsebeck, Karstedt, Bäk) . . . . . CBl 1907 693
— — (Bl. Kellerwald, Gilserberg, Rosenthal und Frankenau) . . 07 II 90
— — (Bl. Langula, Langensalza u. Henningsleben) . . . . . CBl 1906 581
— — (Bl. Lingen, Wietmarschen, Hesepertwist) . . . . . CBl 1907 694
— — (Bl. Lüneburg, Lauenburg, Artlenburg, Winsen) . . . CBl 1907 692
— — (Blätter Quaschin, Zuckau, Prangenau, Groß-Paglau) . . . . CBl 1906 16
— — (Blatt St. Goarshausen) . . . . . 07 II 88
— — (Blätter Sonnenburg, Alt-Limmnitz, Drossen, Danzig, Reppen) . . . . . CBl 1906 578
— — (Bl. Stade, Uetersen, Hagen und Harsefeld) . . . . . 07 II 254
— Rußland, goldführ. Gebiet am Jenissej . . 05 II 247
— Sachsen, Uebersichtskarte . . . . . 09 I 400
— Schweiz, Berner Jura 09 I 400
— — unteres Engadin, Lischannagruppe . . 07 I 96
— — Bl. Genf—Lausanne, der Dufour-Karte . . . . . 06 II 83
— — tektonische Blätter Moutier u. Bellelay im Berner Jura . 05 II 247
— — Ste. Croix im waadtl. Jura . . . . 05 II 252
— — unt. Aare-, Reuß- u. Limmattal 1908 I 408 09 I 434
Geologische Aufnahmen, Karten etc.
— Württemberg, Baden, Elsaß etc. Uebersichtskarte . CBl 1908 *556. 589. 610. 651* CBl 1909 *53*
— — Bl. Baiersbronn, Freudenstadt u. Obertal—Kniebis . . . . 1909 II 410
— — Bl. Altensteig und Simmersfeld . . . . 09 II 416
— siehe auch Karten.
Geologische Bedeutung der Schwereanomalien 05 I 45
Geologische Formationskunde . . . . . CBl 1904 304
Geologische Forschungsmethoden u. Probleme 07 I 372
Geologische Grundlagen der Abstammungslehre . . . . . CBl 1908 *461*
GeologischeLandesanstalt — Brasilien unter dem Titel „Servico Geologico e Mineralogico do Brazil“ . . . . . CBl 1907 442
— Iowa . . . . . 06 I 410
Geologische Modelle, Herstellung . . . . . 06 I 37
Geologische Vergangenheit u. historische Gegenwart . . . . . 09 II 43
Geologische Zeitmessung 1905 I 224. 402
Geometrische Kristallographie v. E. Sommerfeldt . . . . . CBl 1907 182
Geosaurus ? cynodus, Moissey, Frankreich . 08 I 297
Geosynklinale, Piemont . 09 II 90
Geothermische Tiefenstufe — Beeinflussung durch Berge, Täler etc. 08 I 211
— normale u. anormale Werte . . . . . CBl 1907 *673*
Geotiphia Foxiana, Tertiär, Florissant, Col. 07 I 321
Gephyroceras superstes, ob. Oberdevon, Enkeberg . . . . . BB XXVI *576*
Gephyrocrinus Grimaldii, rezent, Azoren . . . 07 II 155
Gera, nordische Geschiebe 07 II 462
Gerablattina elegans, Carbon, Tonkin . . . 08 I 310
Gerecse-Gebirge, Ungarn, Geologie . . . . CBl 1905 *391. 555*

Gerhardtia veleziensis, Kreide . . . . . 1907 II 150
Gerhardtit, Clifton-Morenci-Distrikt, Arizona . 06 I 174
Gerihornkette, Geologie . 08 II 382
Gerölle
— im Buntsandstein, Devonshire und Midlands, England . . . . . 05 II 424
— gestreckte, in einem Konglomeratschiefer, Georgia . . . . . 09 II 385
— mit länglicher Form, Entstehung . . . . . 07 II 398
— zerbrochene, Dear Creek, Arizona, und Kreidekonglomerat . 08 I 241
— siehe auch Geschiebe.
Geröllsandablagerungen, Neuvorpommern und Rügen, Uckermark u. Mecklenburg . . . . 08 I 96
Gerstenkörner
— Paris, Cölestinpseudomorphosen . . . . . 06 II 347
— Sachalin . . . . . 08 II 334
— Sangerhausen etc. . . 09 II 361
— siehe auch Pseudomorphosen.
Geruch des Stinkkalks von Grenville, Canada, verursacht durch H_2S 07 I 21
Gervilleia, Gattung . . . 07 II 338
— Douvillei, Kreide (Aptien), Portugal . . . 07 I 448
— ferruginea, Eisenerzformation, Lothringen und Luxemburg . . 06 I 304
Gervillella Paronai, Pachycardientuffe, Seiser Alp 07 II 337
Gervillia exporrecta, Saltrange . . . . . 09 I *12*
— Hanitschi, Jura, Singapore . . . . . 07 I 287
— Murchisoni, Verbreitung in Ostthüringen CBl 1909 *12*
— orientalis (Dalliconcha), Hypersenon, Peterwardeiner Gebirge 06 II 268
— siciliana, Lias, Casale bei Busambra (Palermo) . . . . . 06 I 319
— socialis, subcostata, substriata u. var. tenuicostata, Lettenkohle u. Keuper, Schwaben BB XXV *70*
Gervillia trigona, Cyrenenlager, Jura, Rikuzen, Japan . . . . . 1905 I 464
— u. Avicula, Lettenkohle, Württemberg . CBl 1907 *27*
Geschiebe
— errat., und Glazialforschung . . . . . 06 II 435
— geritzte und gestreckte, des Ocoee-Konglomerats, Ellyay, Gilmer County, Georgia . . 08 II 370
— siehe auch Gerölle.
Geschiebeführung d. Flußläufe . . . . . 08 I 221
Geschiebelehm, Nordamerika, Alkaliflecken 07 I 243
Geschiebelehmbildungen, Neuvorpommern und Rügen, Uckermark u. Mecklenburg . . . . 08 I 96
Gestaltenlehre. Minimalproblem . . . . . 06 I 321
Gesteine
— Druckfestigkeit, Bestimmungsmethoden . 07 I *45*
— Elastizität und Komprimierbarkeit . . . 07 I 263
— Festigkeit mit Beziehung auf Erdbeben . 06 I 199
— Wirkung auf photogr. Platte . . . . . CBl 1905 *58*
— zersetzte, Absorptionserscheinungen . . . . 06 I 51
— Argentinien, jungvulkanische . . . . . BB XXII *555*
— Bayern, nutzbare . . CBl 1907 247
— u. Mineralien, British Central Africa . . . 07 I 236
— siehe auch Mineralien u. Gesteine, Eruptivgesteine etc.
Gesteinsanalysen
— Anleitung . . . . CBl 1905 93. 94
— Diagramme von Iddings . . . . . CBl 1905 249
— Eruptivgesteine 1884 bis 1900 . . . . . CBl 1905 210
— Interpretation . . . 05 II 209
— des Laboratoriums des U. S. geol. survey, Washington 1880 bis 1903 . . . . . 05 I 410
— Molekularquotienten zur Berechnung . . . 05 I 57
— Moray area . . . . 1905 I 414. 417

Gesteinsbildende Mineralien
— Ausscheidungsfolge, Kristallisationsvermögen u. -geschwindigkeit in Silikatschmelzen . 1906 II 5
— Bestimmung . . . . CBl 1909 711
Gesteinsbildung, Bedeutung der Konzentrationsprozesse . . . . 06 I 72
Gesteinsfließen VAN HISE CBl 1906 611
Gesteinsgemengteile
— Molekularvolumina . 05 I 62
— Reihenfolge der Kristallisation . . . . . CBl 1907 349
Gesteinsgläser, Entstehg. CBl 1905 92
Gesteinskunde
— Grundzüge von WEINSCHENK . . . . . CBl 1905 617
— — der allgemeinen . CBl 1904 242
— praktische, RINNE . . CBl 1906 115
— ROSENBUSCH . . CBl 1905 119. 486 CBl 1907 551. 592 CBl 1909 338. 367
— Tabellen von LINCK . CBl 1905 59
Gesteinsumwandlung, westliches England . . . CBl 1908 731
Gesteinsverknetungen . . Festband *330*
— Iberg (Schweiz) . . . CBl 1909 *631*
Gestreckte Gerölle in einem Konglomeratschiefer, Georgia . . . . . 09 II 385
Gestreckte Geschiebe, Ellyay, Gilmer County, Georgia . . . . . 08 II 370
Gewicht, spezifisches, siehe Dichte.
Gewitsch, Mähren, Geologie . . . . . 05 II 261
Gewitterkugeln
— Quadersandstein des nördl. Böhmens . . . BB XXV *473*
— im Sandstein, Böhm.-Leipa . . . . . 08 II 62
Gewölbeumbiegung, Glarner Doppelfalte, Nordflügel . . . . . 09 II 256
Geysir, Atama, Japan . 07 I 377
Gibbula lucida, blaue Mergel des Côte des Basques, Biarritz . . 06 II 439
— Pilari, Hypersenon, Peterwardeiner Gebirge 06 II 267
Gießen
— Entwicklung des mineralog. Unterrichts an der Universität . . . CBl 1905 557
— Eruptivgesteine . . . 05 II 50
Giffre, Savoyen, Geologie 1908 II 389
Gigantophis Garstini, Aegypten . . . . . 06 I 152
Gigantopteris nicotiaefolia, Trias, Korea . 08 II 449
Gigantosaurus africanus u. robustus, Deutsch-Ostafrika . . . . . 09 I 448
Ginkgo digitata . . . . 07 II 507
— Huttoni var. magnifolia . . . . . 07 II 503
— Schmidtiana form. parvifolia, Jura, Mandschurei . . . . . 09 I 464
Ginkgoales Rhät, Stabbarp (Schweden) . . 08 I 147
Giobertit, Val della Torre, Piemont . . . . . 06 I 333
Giorgiosit, Santorin, Fumarolenprodukt 1906 II 13 07 II 406
Gips
— Bildung von Kristallen . . . . . 05 I 40
— hydraulischer u. Estrich- . . . . . 05 I 191
— Löslichkeit . . . . . 05 II 31
— mikrochemische Reaktion . . . . . CBl 1908 *134*
— Neubildung in Solen 06 I 347
— plastische Umformung unter Druck . . . . 06 II 80
— Bellisio, Kristalle . . 07 I 210
— Biedermannsdorf bei Wien, im Tegel . . . CBl 1906 349
— Bochnia, Zwillinge . 09 II 362
— Carrara, im Marmor . 07 I 216
— Cetine di Cortoniano, Prov. Siena . . . . 09 II 362
— Christdorf, Mähren, Erzlagerstätte . . . CBl 1907 *324*
— Kertsch und Taman . 05 II 200
— Markirch . . . . . 09 I 216
— Nagolnij Krjasch, Donetz-Becken . . . . 07 II 197
— Nordamerika, Lagerstätten . . . . . 05 I 207
— Oldbury, England, Entstehung in einem Brunnenschacht . . . CBl 1905 752
— Poggio Orlando (Siena), Schwefelgruben . 08 II 334
— Puente del Inca, Aconcagua . . . . . BB XXIV *721*
— Quittein, Westmähren, Eisenerzlagerstätte . 05 II 243

Gips
— Terlingua, Texas, Kristalle . . . . . CBl 1907 *17*
— Ungarn, Igmaud, Kristalle . . . . . 1908 II 322
— Vesuv . . . . . 09 I 349
— — in der Asche . . CBl 1906 *321*
— Wietze, Hannover, Kriställchen im dolomit. Kalk . . . . . 06 I 31
Gipslager
— Bessarabien, Chotin'scher Kreis, mit Mineralien . . . . . 07 II 377
— Livland und Pleskau 06 II 229
Gipslösungen, gesättigte, Basis für Leitfähigkeit 05 I 364
Girtyina . . . . . BB XXVII *506*
Girvanella, Silur, Gotland und Oesel . . . 09 I 153
Gismondin Burkards im Vogelsberg, Glühverlust . . . . . 06 I *23*
Gitterpolarisation, metallische, zur Deutung mikrosk. Präparate . 06 I 323
Gladkait, nördl. Ural, . . 07 II 410
Glandarienkalk, Syrien, Brachiopoden u. Muscheln . . . . . 06 I 278
Glandina aquensis, Pliocän, Cueva Rubbia. Spanien . . . . . 07 II *19*
— Bonneti, Eocän, Paris 07 II 303
— elongata u. Wagneri, Alttertiär, Giengen bei Ulm . . . . . 08 II 104
— inflata var. porrecta, Obermiocän, Randeck CBl 1908 *564*
— ovata, Alttertiär, Ulm 08 II 104
Glandulina biconica, Lias, Schwaben . . . . . 09 II 320
— cf. laevigata, Globigerinenmergel, Bahna, rumän. Karpathen . 09 II *148*
Glandulonodosaria . . . 07 II 499
Glanosuchus macrops, Knoflocks Fontein . . 07 I 145
Glanzschiefer
— ligurischer Apennin . 07 II 441
— Piemont, Alter . . . 07 II 440
— Westalpen . . . . 1907 II 440. 441
— Zillertaler Alpen . . 07 II 432
Glarner Decke, Glarus . 06 II 394
Glarner Doppelfalte . . 06 II 86
— Bogenfalten etc. . . 06 I 250
Glarner Doppelfalte, Gewölbeumbiegung des Nordflügels . . . . . 1909 II 256
Glarus
— Entstehung der Alpenseen . . . . . 05 I 407
— Ueberfaltungsdecken . 06 II 392
Glas
— grünes, Brechungskoeffizient . . . . . CBl 1909 *26*
— in Silikatschmelzen BB XXII *185 ff.*
— meteoritische Kugeln, Kuttenberg, Böhmen CBl 1909 452. 465. *545*
— — — Schonen 1909 I 354 CBl 1909 *462*
— siehe Tektit und Moldawit etc.
— Campell-Insel, südl. v. Neuseeland, basisches 09 II 75
Gläser
— Erweichungspunkte . 08 II *25*
— kosmische . . . . . CBl 1908 *737*
— künstliche u. natürliche . . . . . 07 II 216
— natürliche, Brechungsindizes und Chemismus . . . 1908 I 54 CBl 1905 285
— vulkanische, Verhalten zu Wasser . . . . . 09 I 82
Glasbasalt
— Gießen und Allendorf a. Lumda . . . . . 05 II 50
— Odenwald, Gänge . . CBl 1907 *69*
Glaserit . . . . . 05 II 29
— Chrom-, Zwillingsbildung . . . . . BB XXIII *269*
— Konstitution . . . BB XXIV *1. 67*
— in ozean. Steinsalzlagern . . . . . 05 I 192
— Vesuv, von 1906 . . 08 I 207
Glasplattensätze als opt. Vorrichtung . . . . 05 II 176
Glauberit
— Bildung in ozean. Salzlagern . . . . . 06 I 164
— — in ozean. Steinsalzlagern bei 25° . . . 05 I 192
Glaubersalz . . . . . 09 I 319
— Bildung unter 25° in ozean. Salzlagern . . 06 I 163
— Pachberg beim Schneeberg (Niederösterreich) CBl 1908 *280*
— Sibirien, Wartschysee, am Jenissejfluß . . . 09 II 246
Glaubersalzreihe, Krist. . 09 II 201

Glauconia alternicosta, Coniacien, Frankreich 1906 I 319
— Depéreti, Cenoman, Südfrankreich . . . 07 II 131
— Dumortieri, gibbosa, Matheroni u. Renauxi var. cenomana, Cenoman, Südfrankreich . 07 II 132
Glaukonit
— Challenger-Expedition, Analysen . . . . . 09 I 394
— Entstehung . . . . . 07 I 31
— Zusammensetzung . . 07 I 353
— Grandpré, Arr. Vouziers, gibt Brauneisen 07 II 24
— — zersetzt zu Eisenoolith . . . . . 09 I 394
— Grodno . . . . . 07 II 370
Glaukophan
— Einwirkung von Radiumbromid . . . . CBl 1909 *71*
— pleochroit. Höfe . . CBl 1909 *145*
— Elek-Dagh, nördliches Kleinasien . . . . . Festband *348*
— Saint-Veran, Hochalpen, im Gestein . . . 06 I 379
— Susa-Tal, im Prasinit der Rocca Bianca . 1906 II *105 ff.*
— Syra . . . . . 09 II 224
— siehe Ferriglaukophan = Rhodusit.
Glaukophangesteine
— chemische Beziehungen der basischen . . . . Festband *381*
— Elek-Dagh, nördliches Kleinasien . . . . . Festband *348*
— Kalifornien, Küstengebirge . . . . . 09 I 71
— Wallis, Schweiz . . . 08 I 67
Glaukophanit mit Epidot, Syra . . . . . 09 II 226
Glaukophanschiefer
— Australien und Neu-Caledonien, chem. . . 07 I 399
— Birma, Jadeitlagerstätte 09 I 187
— Oak Hill-Gebiet, Cal. 09 II 386
Glazial
— Eiszeit, Einheitlichkeit 07 II 454
— — diluviale, Wesen u. Verlauf . . . . . CBl 1904 280
— — permische . . . . CBl 1908 *353*
— — — Indien etc. . . Festband *446*
— Facettengeschiebe . . CBl 1907 *105*
siehe Facettengeschiebe.
— Frage des Interglazial CBl 1905 *673. 737*
Glazial
— Vergletscherung der Erde . . . . . CBl 1907 473
— wiederholte Vereisungen der Erdoberfläche CBl 1904 28
— Alaska . . . . . 1905 II 272
— Alpen, Eiszeitbildungen und prähistor. Mensch . . . . . 06 II 270
— — im Eiszeitalter . . 05 II 39
— Aviemore-Eisenbahn . 05 I 312
— Basler Jura . . . . 05 I 311
— Berlin, Interglazial . 07 II 465
— Bregenzer Wald . . BB XXVII *37*
— Corsica . . . . . 05 I 55
— Dänemark, Facettengeschiebe im Diluvium CBl 1906 *593*
— Drac-Tal . . . . . 05 II 296
— Elmshorn, pflanzenführ. Interglazial . . 05 II 441
— England . . . . . 1905 II 449 ff.
— — Cotteswold Plateau 07 I 442
— Flechtingen, Schrammen auf Kulmgrauwacke . . . . . 06 I 297
— Gotha . . . . . 07 II 459
— Grahaminsel . . . . 09 II 102
— Hannover, östl., Kiesmoränenlandschaft . 05 II 442
— Hirschberger Kessel . 07 II 462
— Holland, Basaltgeschiebe . . . . . CBl 1906 118
— — (Groningen etc.), Basaltgeschiebe im Diluvium . . . . . CBl 1906 118
— — Facettengeschiebe im Diluvium . . . CBl 1906 *15. 425*
— — Geldersches Tal, Geschiebelehm . . . 07 I 442
— Hümmling . . . . . 08 I 98
— Indien etc., perm. Eiszeit . . . . . CBl 1908 *449*
— Island . . . . . CBl 1905 *535. 546*
CBl 1906 *566* CBl 1909 *647*
— — diluv. Vergletscherungen . . . . . CBl 1906 232
— — Palagonitformation CBl 1905 *535. 546. 740*
— — Pleistocän CBl 1905 *535. 546. 740*
— Kanin-Halbinsel . . . 06 II 117
— Kentucky u. Virginia, Abfluß bedingt durch Eis . . . . . 05 I 407
— Kern Basin, Cal., Vergletscherung . . . . 05 II 103
— Krefeld, Eiszeitspuren 05 I 482

Glazial
— Lappland, Terrassen an moränenbedeckten Abhängen . . . . . 1907 I 89
— Lauenburg, obere Grundmoräne . . . . 05 I 472
— Liestal, Basler Jura, Moränenreste . . . . 05 I 311
— Lübeck. Grundmoränen u. jungglaz. Süßwasserbildungen . . . 05 II 440
— Lübecker Mulde und ihre Terrassen . . . CBl 1907 *97*
— Lüneburger Heide . . CBl 1909 *690*
— Massachusetts, Cape Ann . . . . . 07 II 130
— Mitteldeutschland, letzte Vereisung . . . 07 I 116
— Moskau, Gouvernem., Interglazial . . . . 08 I 275
— Naumburg a. S., oberste Saaleterrasse CBl 1906 *678* CBl 1907 *214*
— Niagara-Fälle, Umgegend . . . . . 06 I 260
— Norddeutschland . . 06 II 435
— — (Pommern), Inlandeis . . . . . 07 I 114
— — Pflanzen (Motzen, Werlte, Ohlsdorf-Hamburg) . . . . . 09 II 157
— Odertal bei St. Andreasberg, Moränen . 06 I 298
— Oranje River-Kolonie 09 I 111
— Ostpreußen, Grundmoränenseen . . . . 05 I 471
— Packhuis-Paß b. Clanwilliam, Konglomerat im Tafelberg-Sandstein . . . . . 06 I 274
— Paraná, Brasilien . . CBl 1909 *558*
— Parchim, Interglazial CBl 1905 *673. 737* CBl 1906 *66*
— Pommern u. Rügen, Beziehung zur Entwicklung des Bodenreliefs . . . . . 07 I 117
— Posen, jüngerer balt. Eisstrom . . . . . 05 I 473
— — (Schönlanke) . . 09 I 108
— Puenta del Inca, Aconcagua . . . . . BB XXIV *728*
— Rheinlande, Eiszeit . 05 II 447
— Riesengebirge, Gletschertöpfe . . . . . 05 II 294
Glazial
— Rüdersdorf u. Hamburg, erste Vereisung, Beziehung zum Alter der Paludinenschichten bei Berlin . . . CBl 1906 *181*
— Rügen und Hiddensö 1906 II 196
— Rußland, Kaluga-Gouv. 07 I 446
— Saaletal zw. Halle und Weißenfels . . . . . 06 II 432
— Samland, Endmoränen 06 I 119
— Säntis, Wildkirchli-Höhle . . . . . 08 I 106
— Ste. Croix, waadtländischer Jura . . . 05 II 253
— Schlesien, Hirschberger Kessel . . . . . 07 I 443
— Schweiz, zw. Ketten- und Tafeljura . . . 09 I 434
— — Lischannagruppe, Unterengadin . . . . 07 I 98
— — Thurgau, Drumlinslandschaften im alten Rheingletscher . 06 I 436
— — Verrières-Tal (Neuenburger Jura) . 05 II 297
— Serbien . . . . . 09 I 110
— Småland, Seeterrassen 05 I 312
— Südafrika. Dwyka-Konglomerat d. Perm 07 II 122
— Sylt . BB XXII *139* CBl 1906 *631*
— Tasmanien . . . . . CBl 1909 *9*
— Thüringen . . . 1907 II 459. 461
— — Saaleschotter . . CBl 1907 *60*
— Vomperbach-Mündung, Grundmoränen . . . 06 I 299
— Wallensen, Hilsmulde, Interglazial . . . . . 05 I 144
— Wesergebiet, mittleres, Stillstandslagen . 09 I 109
— Westpreußen, Gegend von Danzig . . . . CBl 1906 16
— siehe auch Quartär, Diluvium, Gletscher, Moränen, Endmoränen, Eiszeit etc.
Glazialbildungen
— Geikie's Klassifikation vergl. mit dem Diluvium Schleswig-Holsteins . . . . . 05 II 293
— Colorado, San Juan-Gebirge . . . . . 08 II 343
— Freudenstadt, Schwarzwald . . . . . 08 II 94
— Harzvorland . . . . 08 II 98

Glazial
— Holland . . . . . 1908 II 100
— Jena, Saaletal . . . 08 II 97
— Rheingebiet, außeralpines . . . . . 08 II 95
— Thüringen . . . . . 08 II 96 ff.
— Weimar . . . . . 08 II 96
Glaziale Aufschüttung bewirkt Veränderung des Drac-Tales . . . . . 05 II 208
Glaziale Erosion 1908 I 51 CBl 1906 380
— Fingersee-Tal, nordamerik. Seenregion . 08 II 340
— siehe Gletschererosion.
Glaziale Hydrographie, Beziehung zu Terrassen und Seebecken, östl. Norddeutschland 05 I 481
Glazialerscheinungen
— Catskills, New York . 08 II 341
— Schwarzwald . . . . BB XXI *397*
— Tibet, Pangongsee . . 08 II 342
Glazialforschung u. errat. Geschiebe . . . . . 06 II 435
Glazialklima . . . . . 08 II 345
Glazialschichten, Tasmanien, Wynyard, im nordwestlichen . . . 09 II *163*
Glazialspuren, Paraná, Brasilien . . . . . CBl 1909 *558*
Glazialzeit, Klima . . . 05 I 407
Gleichaltrigkeit u. gleiche Versteinerungen, Aschenlagen u. Lavadecken etc. . . . . 08 II 339
Gleichenberg
— Steiermark, Eruptivgebiet . . . . . 06 I 408
— — Opalbreccie . . . CBl 1908 *716*
GleicheniaGilbert-Thompsoni . . . . . 07 II 504
— Saundersii, Matawan-Formation, Nordamerika . . . . . 07 I 494
Gleichgewichtsform fester u. flüssiger Kristalle . 06 II 150
Gleitboden, Schweden, Entstehung . . . . . 06 II 350
Gletscher
— Darstellung durch H. Hess . . . . . CBl 1905 567
— der Erde . . . . . CBl 1907 473
— innere Temperatur durch Bohrungen . . 08 II 340
— period. Veränderung . 07 I 381
— Tätigkeit . . . . . 08 I 51
Gletscher
— Veränderung in verschiedenen Ländern . 1906 II 190
— Alpen zur Eiszeit . . 05 II 39
— — Norwegen u. Kaukasus, period. Schwankungen . . . . . 05 II 47
— Arapahoe Park, Colorado . . . 1905 I 56 06 II 189
— Catskills, New York . 08 II 341
— Dauphinéer Alpen . . 07 II 52
— Glarus, Seenbildung . 05 I 408
— Island, tertiäre und rezente, im Westen u. Norden . . . . . 08 II 341
— Minnesota, bewirken Faltung . . . . . 08 II 341
— Monte Rosa, Rückgang am Südabhang . 05 I 56
— Norwegen, Jostedalsbrä 07 I 221
— Oregon, Simsbildung . 05 I 56
— Piavetal, Fadalto . . 07 I 222
— Schwarzwald, eiszeitliche . . . . . BB XXI *397*
— — Freudenstadt etc. 09 II 414
— Spitzbergen 1902 . . 05 II 48
— Uebergossene Alm, Salzburg . . . . . 05 II *39*
— Würmgletscher, nordwestl. Bodenseegebiet, Rückzug . . . . . CBl 1907 *257*
— siehe Glazial etc.
Gletscherbewegung
— 1904 und 1905 . . . 08 II 342
— und Moränen . . . . 05 II *33*
Gletschereis, Struktur, Rhônegletscher . . . 09 II 209
Gletschererosion 1908 I 51 CBl 1906 380
— siehe glaziale Erosion.
— der Eiszeit (Interglazial) erzeugenBergstürze u. Erdschlipfe 08 II 339
Gletscherkantner . . . . CBl 1907 *105*
— siehe Facettengeschiebe.
Gletscherkorn und Eisbildung . . . . . 06 II 326
Gletscherkunde, Zeitschr. CBl 1906 589
Gletschermühlen, Kalifornien, Sierra Nevada . . . . . 08 II 342
Gletscherschrammen, Enderby-Land . . . 06 II 372
Gletschertäler u. Flußtäler 09 I 201
Gletschertöpfe
— Nago, Südtirol . . . CBl 1908 763
— Riesengebirge . . . . 05 II 294

Gletscheruntersuchungen, Technik . . . . . 1905 II 373
Gletscherwirkungen, Kalifornien, Sierra Nevada 1908 II 343. 344
Glimmer . . . . . 09 I 319
— mit ungewöhnlichem Achsenwinkel . . . . CBl 1908 *618*
— Aufkristallisieren von Jodkalium . . . . . 09 I 160
— Einwirkung von Radiumbromid . . . . CBl 1909 *69*
— mikroskop. Verhalten der gesteinsbildenden 07 II *129*
— neue Arten (Hallerit u. Irvingit) . . . . . 09 I 190
— pleochroit. Höfe . . CBl 1909 *143*
— siehe pleochroitische Höfe.
— Vorkommen und Gewinnung . . . . . 07 II 23
— Zwillinge u. TSCHERMAK'sches Zwillingsgesetz . . . . . CBl 1907 *400*
— Afrika, Deutschost-, Muscovit . . . . . 07 II 385
— Biella, Piemont, Drusen im Syenit . . . 06 II 36
— Carrara, im Marmor . 06 II 177
— Ceylon . . . . . 1906 I 178. 180
— Finkenberg bei Bonn, Einschlüsse im Basalt CBl 1908 *418*
— Grönland . . . . . CBl 1908 406
— Nord-Wales, Sericit . CBl 1909 715
— Ottawa, Canada . . 05 I 249
— siehe auch Biotit, Muscovit, Fuchsit, Meroxen, Muscovit etc.
— Schmiedeberg (Riesengeb.), im Granit CBl 1909 *770. 772*
Glimmerandesit, Argentinien . . . . . BB XXII 582
Glimmerdioritporphyrit, Argentinien . . . . . BB XXII 611
Glimmergruppe, topische Zahl, in Eruptivgesteinen . . . . . CBl 1907 *14*
Glimmerkalk, Raspenau, Böhmen, am Kalkberg 06 I 55
Glimmerporphyrit
— Brest, Salband d. Kersanton . . . . . 05 I 427
— Kiautschou . . . . . 06 II 369
Glimmerschiefer, Wirkung auf die photographische Platte . . . . . CBl 1905 *58*
Glimmerschiefer
— Barkhamsted, Conn., mit Korund, graphithalt. Granat etc. . . 1905 II 393
— Campolongo . . . . 05 I 201
— Ecuador, Ostkordillere 06 I 396
— Erzberg b. Hüttenberg (Kärnten) . . . . . 05 II 83
— Lexen-Braune, Westmähren . . . . . 1905 II 234. 235
— Mte. Ornato bei Seravezza, turmalinführ. . 07 I 65
— Neuseeland, Otago-Halbinsel . . . . . 08 I 230
— Ober-Mölltal, Kärnten 08 II 358
— Raspenau, Böhmen . 06 I 57
— St. Gotthard, Pizzo Forno, Tessin . . BB XXVI 506. *513*
— — Südseite, phyllitische . . . . . BB XXVII *183*
— Sterzing . . . . . BB XXII *505*
— u. -quarzit, Presanellagruppe, nördl. Abhang 08 II 365
— siehe auch Granatglimmerschiefer.
Glimmerzeolith = Gyrolith CBl 1906 *80*
Glimmerzeolithe, Unterscheidung voneinander 08 II 36
Glimmerzeolithgruppe . . CBl 1907 411
Glires, Tertiär, Patagonien . . . . . 07 II 320
Globe Copper District, Arizona, Kupfererze u. Geologie . . . . . 05 I 442
Globigerina D'ORBIGNY 1826 . . . . . 06 II 310
— bilobata, bulloides u. regularis, Globigerinenmergel, Bahna, rumänische Karpathen . . 09 II *154*
Globigerinenkalk, Molukken . . . . . 05 I 109
Globigerinenmergel, Albona (Istrien), mitteleocän . . . . . 05 II 159
— Bahna, rumän. Karpathen, Foraminiferen 09 II *140*
Globigerinenschlamm
— in Lagunen von Koralleninseln . . . . . 07 II 218
— nordatlant. Ozean (grönländ. Ingolfexpedition) . . . . . 1905 I 422. 425
Globigerinidae, System d. lebenden und fossilen 05 II 329
Globilemur, Madagaskar 06 II 446

Globulina irregularis, Globigerinenmergel, Bahna, rumän. Karpathen . . . . . 1909 II *153*
Glockerit, Obergrund bei Zuckmantel . . . . . CBl 1909 *328*
Glossopteris angustifolia var. taeniopteroides, Permocarbon, Vereeniging, Südafrika . . . 08 I 454
Glossopteris-Flora, Pflanzenkatalog . . . . . 08 I 152
Glossozamites acuminatus, Kreide, China . 07 II 342
Glühverlust
— als mineralog. Kennzeichen . . . . . 06 I *16*
— der Zeolithe . . . . 06 I *20*
Glycimeris (Panopaea), Carteroni u. Dupiniani, Neocom, argent. Kordillere . . . . . BB XXIII *221*
— Griesbachi, Kreide, Zululand . . . . . 07 II 304
— obesus, Kreide, Neu-Süd-Wales . . . . . 05 I 319
Glyphioceras Newsomi, Carbon, Nordamerika 05 I 528
— cf. sphäricum, Culm, Königsberg b. Gießen BB XXVIII *643*
Glyphomitrium Cockerelleae, Tertiär, Florissant, Col. . . . . 09 II 154
Glyptatelus, Kreide, Patagonien . . . . . 05 I 169
Glyptodontia, Kreide, Patagonien . . . . . 05 I 169
— Santa Cruz beds, Patagonien . . . . . 06 I 453
Glyptodontiden, Skelettbau . . . . . 06 I 146
Glyptops caelatus, depressus u. pervicax, Nordamerika . . . . 09 I 452
Gmelinit
— Aci Castello . . . . 05 II 27
— Palagonia, Begleiter . 08 II 35
— Rußland (Krym und Comodoreinseln im Beringsmeer) . . . . CBl 1906 *573*
— Two Islands (Neu-Schottland), Glühverlust . . . . . 06 I *23*
Gneis, deutsches Grundgebirge . . . . . 05 I 235
Gneis
— Unterschied von Granit durch Biotit . . CBl 1907 *613*
— Ursprung des Wortes 1905 II 179
— Aarmassiv, Erstfelder 07 II 69
— Bachergebirge (Schentowetz) . . . . . CBl 1909 *149*
— Belledonne-Kette, Westalpen, Zusammensetzung . . . . . 06 I 378
— Böhmen, Kostenblatt—Milleschau . . . . . 06 II 81
— — Raspenau . . . . 06 I 57
— — (Reichenau u. Tynist) . . . . . 08 II 64
— Bormio—Tonale, Kartenblatt . . . . . 08 II 65
— Bozen, Porphyrgebiet BB XXVII *79*
— Brasilien, Madeirafluß in Matto Grosso . . 08 I 385
— Brit. Zentralafrika . . 07 I 236
— Brixener Masse, Tonalit- . . . . . 05 II 380
— Brünner Eruptivgebiet 09 I 378
— Campaglia bei Varzo (Piemont), Mineralgang . . . . . CBl 1905 *15*
— Cevadaes, Portugal, nephelinreich . . . . 07 II *109*
— Deutschland, Grundgebirge . . . . . 05 I 235
— Ecuador, Ostkordillere 06 I 393
— Elzenbaum u. Sprechenstein b. Sterzing BB XXII *475*
— Enderby-Land, Cordierit-, gedredscht . . 06 II 371
— Erzberg bei Hüttenberg (Kärnten) . . . 05 II 82
— Erzgebirge und Kontakterscheinungen . . 09 I 212
— Georgetown, Colorado 08 I 238
— Gloggnitz, Oesterreich, Ortho-Riebeckit- . . 05 II 51
— Gristow (Pommern), Konglomerat-, als Diluvialgeschiebe . . . CBl 1906 *625*
— Grönland, westl. Nord- 07 I 244
— Hochedergruppe . . 08 II 66
— Kamerun . . . . . 09 II 74
— Laaser Gruppe, Tirol 09 I 381
— Lappland, Eisenerzlagerstätten . . . . . BB XXIV *548*
— Loch Lomond-Distrikt, Entstehung . . . . . 05 II 226
— Müglitztal, Erzgebirge 06 I 366
— Mulda, Erzgebirge . . 06 I 366

Gneis
— Odenwald . . . . . 1906 II 58
— Okanagen-Batholith, CascadeMountain,Cal. 09 I 68
— Ottawa-Tal, Canada . 05 I 248
— Pennsylvania, Piedmontdistrikt . . . . 07 II 221
— Presanellagruppe, Augen- . . . . . 08 II 364
— Pyrenäen, Entstehung 06 II 213
— Ridnauntal, hinteres, bei Sterzing . . . . BB XXII *482*
— Rocca di Cavour, Piemont . . . . . 06 I 377
— St. Gotthard . . . . 08 I 65
— — Pizzo Forno, Tessin . . . . . BB XXVI *492 ff.*
— — Südseite . . . BB XXVII *193*
— St. Poelten, Kartenblatt . . . . . 08 II 59
— Schott. Hochlande, Moine-Gneis . . . . 05 II 390
— Schwarzwald, Freudenstadt etc. . . . . 09 II 413
— — südlicher. Injektionserscheinungen . CBl 1907 *76*
— — Wiesental, Verhältnis zu Granit . . 09 I 55
— Sterzing . . . . . BB XXII *461*
— — Tuxer Kamm . . BB XXII *463*
— — Zinselers und Jaufens . . . . . BB XXII *489*
— Tessiner Alpen
1905 I 242 06 II 208
1908 I 56 1908 II 197. 200
BB XXVI *492* BB XXVII *193*
— Ural, Seja-Gebiet,Fossilien . . . . . 07 II 158
— u. Granit, Schlesien, Entstehung . . . . . 06 II 198
Gneiseinschlüsse imMikrogranit, Colle Brocan (Valle del Gesso) . . 08 II 214
Greisgranit, Kiautschou (Tsingtau) . . . . . 06 II 365
Gneisphyllit, Presanellagruppe, nördl. Abhang 08 II 364
Gnomonisches Netz für die gnomonische Projektion . . . . . 06 I 159
Gnomonische Projektion CBl 1905 *491*
— Anwendung in Kristallographie . . . . 06 II 314
— — beim Kristallzeichnen . . . . . 05 II 1
Gobi-(Hanhai-)Formation 06 I 97
Gobi-Wüste, Geologie, Winderosion etc. . . 1906 I 98
Gobius elongatus, oligoc. Fischfauna,Berg Cosla b. Piatra-Neamtz, rumän. Karpathen . . 06 I 153
— Telleri, Otolithen,Tertiär, Oesterreich . . 07 I 481
Gobraeus Dumasi, Eocän, Loire inférieure . . . 07 II 302
Godesberg, Bergsturz . . 07 I 225
Goethe
— Beziehung zu Mineralogie und Geognosie
1906 II 43 CBl 1906 586
— — zu K. C. v. Leonhard . . . . . Festband *169*
Goethit . . . . . CBl 1909 *327*
— Horhausen,Pleochroismus . . . . . BB XXIII *337*
— Přibram . . . . . 09 I 339
Gold
— Entstehung in den Seifen . . . . . 05 I 257
— Legierungen mit Palladium . . . . . 08 II 157
— — mit Platin . . . . 08 II 157
— Lichtbrechung . . . 08 I 170
— Lösung u. Niederschlag 08 II 8
— Nachweis in der Phosphorsalzperle . . . . 08 II 156
— Sublimation in Quarzgefäßen . . . . . 05 I 17
— Vorkommen in der Welt, Gewinnung und Bedeutung . . . . . CBl 1907 696
— Alaska, Verbreitung . 05 II 272
— — Klondike, Seifen . 09 I 235
— Altai, Fluß Petrowka 09 I 334
— Arizona, Bisbee Quadrangle . . . . . 06 I 175
— Böhmen, Vorkommen 08 I 402
— — in carbon. u. perm. Schichten . . . . . 08 I 402
— — Otava-Fluß . . . 09 I 334
— Borneo, westliches . . 09 II 99
— Bosnien und Herzegowina, in Kieslagerstätten . . . . . 06 II 381
— Colorado, Boulder County . . . . . 09 I 234
— — Cripple Creek,Vorkommen . . . . . 09 I 233
— — Plomo, San Luis Park, auf Gängen im Granit . . . . . 07 I 407

Gold
— Brusson (Aostatal), in Quarzgängen . . . 1908 II 330
— Carolina, südl. Appalachen . . . . . 09 I 234
— Friedeberg, Oesterr. Schlesien . . . . . 07 II 34
— Kapland, Knysna u. Prinz Albert, Vorkommen . . . . . 07 I 408
— — Witwatersrand, im Konglomerat . . . . 06 I 70
— Lightning Creek, Brit. Columbia, Seifen . . 07 I 407
— Nagolnij Krjasch, Donetz-Becken . . . . 07 II 192
— Nagyág, Siebenbürgen 06 I 74
— Neuseeland . . . . . 08 I 399
— Neu-Süd-Wales, Grassy Gully, Yalwal District, in vulkanischen Gläsern . . . . . 07 I 411
— — Lucknow, Vorkommen . . . . . 07 I 409
— — Lyndhurst, Vorkommen . . . . . 07 I 410
— Ostafrika, Deutsch- . 09 I 231
— Pralorgnan (S. Marcel), Aosta-Tal . . . 07 II 36
— Rußland, Analysen . 09 II 332
— Siebenbürg. Erzgebirge, Vorkommen und Verhältnis zum Nebengestein . . . . . 09 I 231
— Wernyi-Goldwäsche (Lenaer Bezirk), Krist. 07 II 353
— Westaustralien, Pilbara-Goldfeld . . . . 09 I 237
— Yamagono, Japan, Kristalle . . . . . 07 I 192
Goldfelder, Westaustralien
— Coolgarlie-Feld, nördl. 1905 II 400. 401
— Mt. Margaret-Feld . . 05 II 402
— Murchison-Feld . . . 05 II 399
Goldführende Konglomerate, Rhodesia . . . 08 I 396
Goldgänge, Bonanza's der oberen Teile . . . . 05 I 257
Goldkeime, mikroskop. . 08 I 170
Goldkupfererzlagerstätte, Globe, Arizona . . . 07 I 259
Goldlagerstätten
— Leiterze . . . . . 08 I 400
— Alaska, Mt. Wrangell-Distrikt . . . . . 05 II 399
Goldlagerstätten
— Alaska und Yukon-Territorium . . . . 1908 I 397
— — Turnagain Arm Region, Kenai Peninsula . . . . . 08 II 377
— Arizona, Cherry Creek District . . . . . 08 I 397
— Barkerville (British Columbia) u. Umgebg. 06 I 75
— Böhmen, Bražna . . 08 I 402
— — Eule . . . . . 08 I 402
— — Neu-Knín u. Stechowitz . . . . . 06 II 379
— — Pisek . . . . . 08 I 403
— — Roudny 1906 II 380 08 I 403
— Idaho, Coeur d'Alene District . . . . . 09 II 409
— Khakhadian, Ost-Sudan . . . . . 06 I 9
— Korea, Tangkogae . 07 I 258
— Mexiko, El Oro und Tlalpujahua . . . . 07 I 257
— Sibirien, am Jenissej 05 II 247
— Siebenb. Erzgebirge. 07 I 252
— Transvaal, Murchison Range . . . . . 07 I 256
— Ungarn, Karács-Czebe 08 I 403
— Westaustralien, metasomat. Prozesse . . . 08 I 405
siehe Goldfelder.
Goldquarz, Rußland . . 09 II 333
Goldquarzgänge
— Altvatergebirge, Beziehung zu Diorit . . 05 I 257
— Klondike, Entstehung 09 I 78
Goldsand, Ottawa bei Pisek . . . . . 05 I 365
Goldseifen
— Alaska, Abbau . . 1909 I 233. 235
— Amgun-Gebiet, ostsibir. Küstenprovinz. 08 I 404
Goldtopas, Färbung und deren Aenderung . . BB XXVI *278*
Goldvorkommen, Madagaskar . . . . . 08 II 219
Golf Peter des Großen, Ostasien, Geologie BB XXVII *509*
Gonionotites Gemmellaroi, Tropites-limestone, Byans . . . . 08 II 238
Gomphognathidae, Systematik . . . . . 07 I 480
Gomphognathus Kannemeyeri, Schädel . . . 07 I 140

Gomphostrobus Reisi, Oberrotliegendes, Pfalz 1909 I 305
Gonatocheilus expansus, Oxfordiensis und planus, Kelloway—Gault 08 I 304
Gondwanagesteine, Brit.-Zentralafrika . . . . 07 I 237
Gondwana- u. Talscher-Schichten, Indien . . Festband *482*
Goniatit im Rammelsberger Kieslager, Erhaltungszustand . . . 09 II 242
Goniobasis judithensis, Kreide, Nordamerika 07 I 440
Gonioclymenia Buchi u. subarmata, ob. Oberdevon, Enkeberg . . BB XXVI *622*
Goniloboceras Welleri, Carbon, Nordamerika 02 I 528
Goniometer
— für Brechungsindizes erkaltender Flüssigkeiten . . . . . CBl 1907 350
— von Babinet in Verbindung mit Gefäß-Totalreflektometer u. Achsenwinkelapparat 09 I 156
— zur Messung an verworren blättrigen Kristallaggregaten . . . CBl 1908 313
— Mikroskop-, von Souza-Brandão . . . . . 05 II 2
— Universal-, Vermeidg. der Exzentrizitätsfehler bei billigen . . . 07 II 350
— zweikreisiges, Positionswinkel φ u. ϱ für veränderte Aufstellung . 07 II 163
— — Berechnung des triklinen Systems (Anorthit) . . . . . 07 I 2
Goniometerlampe, verbesserte . . . . . 09 II 160
Goniomya Gallischi und Vogti, Kreide, Kieslingswalde . . . . . 05 I 301
Gonionotites Diblasii, discus, Distefanii, dubius, Haugi, italicus, Mojsisovicsi, Maurolicoi, Recuperoi, Tornquisti und Vincentii, ob. Trias, Sizilien . . 05 I 346
Goniophora alata, Devon, Ostthüringen . . . . BB XXIV *294*
Goniostrophia Pritchardi, obersilur. Lilydale-Kalk, Victoria, Austr. 1907 I 155
Gonodon Schmidi, Lettenkohle und Keuper, Schwaben . . . . . BB XXV *105*
Gonostoma subphacodes, Tertiär, Schwäb. Alb CBl 1908 *592*
Goobic-Sande, nördliches Alaska . . . . . 06 I 93
Gorceixit, Brechungskoeffizienten . . . . 08 II 143
Gorgonopsidae, Systematik 07 I 479
Gosau, Kreide . . . . . 09 I 427
Gosauschichten
— Hippuritenhorizonte der nordöstl. Alpen CBl 1905 *77* CBl 1907 *417*
— Tektonik . . . . . 07 I 271
Gotthardgebiet, Seen . . 08 II 51
Grahamland
— Geologie 1909 II 100 CBl 1906 *176*
— Gesteine . . . . . 08 I 77
Grammatit, siehe Tremolit.
Grammoceras radians u. toarcense, Jura, südwestl. Balkanhalbinsel BB XXI *268*
Grammysia oviformis, Devon, Bolivia . . . . BB XXV *528*
Grampus, Boldérien, Antwerpen . . . . . 07 I 133
Gran, Ungarn, Geologie . 07 I 276
Granat
— Kristallflächen . . . 06 I 2
— künstliche Epidotisierung . . . . . 07 II 369
— mit Lichtschein . . . 07 I *13*
— (Mursinskit) . . . . 08 II 141
— Barkhamsted, Conn., graphithaltig, im Glimmerschiefer . . . 05 II 393
— Biella, Piemont, Drusen im Syenit . . . 06 II 36
— Campolongo . . . . 05 I 202
— Canale Monterano (Rom), im Tuff . . . 06 I 170
— Ceylon . . . 1906 I 179. 185. 186
— — u. Indien, Analyse des Almandin . . . CBl 1906 *776*
— Concepcion del Oro, Zacatecas, Mexiko, in der Kontaktzone am Granodiorit . . . . BB XXVIII *461*
— — — — mit optischen Anomalien z. T. BB XXVIII *504. 533. 551*

Granat
— Cornwall, kontaktmetamorphisch im Kalk 1909 II 206
— Daschkesan, Kaukasus . . . . . 07 II 380
— Easton, New Jersey, Analyse . . . . . 06 I 354
— Etzmannsdorf(Niederösterreich), im Granulit, chemisch . . . . 08 I 25
— Iwangorod, Gouvern. Ljublin, Ytter-, chem. 05 I 380
— Jamano, Analyse . . 07 I 218
— Kaltenstein b. Friedeberg (Oesterr. Schlesien), Kontakt . . . 07 II 33
— Kamaishi, Kalkeisen-, Analyse . . . . . 09 I 33
— Kristiania, Kontaktbildung . . . . CBl 1909 *405. 409*
— Marienberg b. Aussig, Kontaktmineral . . . 08 I 374
— Nordamerika, Edelstein . . . 1906 I 356 09 I 32
— Oravicza, rot, Einwirkung von Radiumbromid . . . . . CBl 1909 *71*
— Ottawa bei Pisek, im Goldsand . . . . . 05 I 365
— Pihuamo-Grube, Jalisco, Mexiko . . . . 06 I 27
— Schlaggenwald . . . 05 I 199
— — pseudomorph nach Vesuvian . . . . . 07 II 32
— Silberbach, Münchenberger Gneisgebiet, im Eklogit . . . . . 09 I 378
— Tabor-Gegend, Böhm. 09 II 366
— Tolfa, z. T. Perimorphosen, im Kalkspat u. Pseudom. v. Wollastonit nach Gr. . . . 06 I 376
— siehe auch Uwarowit, Grossular, Pyrop etc.
Granat-Diopsid-Hornfels, Erzberg b. Hüttenberg, Kärnten . . . . . 05 II 83
Granatfels
— Concepcion del Oro, Zacatecas, Mexiko. umgewandelt aus Granodiorit (Granatsaum) BB XXVIII *469*
— — — — — — Kontakt am Granodiorit BB XXVIII *500*
— Landenau, Odenwald CBl 1907 *66*
Granatfels
— Magnetberg, südl. Ural 1906 I 382
— Schwarzwald . . . . 07 II 68
Granatführende Eruptivgesteine, Borrowdale Series . . . . . 05 II 227
Granatführender Glimmer-Sölvsbergit, Tasmanien, Regatta Point . . . 08 I 391
Granatglimmerschiefer, Lauffenberg b. Radenthein, Tirol . . . . . CBl 1909 *215*
Granatgruppe, Analysen CBl 1906 774
Granat-Pyroxen-Knollen
— Südafrika, im blue ground . . . . . 08 II 154
— Roberts Victor Mine, mit Diamanten . . . 08 II 154
Granatsäure, durch Zersetzung von Grossular, Zoisit, Epidot, Prehnit 07 I 27
Granatsalbänder an Porphyritgängen, Monzoni u. Predazzo . . . . 06 I 59
Granat-Tinguáitporphyr, Tasmanien, Mt. Mary 08 I 392
Grandidierit
— Beschreibung u. Uebergang in Kryptotil . . 06 II 171
— Madagaskar . . . . 05 I 33
Granit
— Diffusion von Metallen in krist. Schiefer bei der Eruption . . . . 05 I 419
— Unterschied von Gneis durch Biotit . . . . CBl 1907 *613*
— Wirkung auf photographische Platte . . CBl 1905 *58*
— Algier (Beni Toufout, El-Milia u. Collo) . . 05 I 246
— Allertshofen a. Modau, Odenwald, durch Druckwirkungen in sericit. Quarzschiefer verwandelt . . . . . CBl 1906 *742*
— Alpen . . . . . 08 I 69
— — Alter . . . . . 08 II 394
— — apuanische . . . 08 II 214
— — Tessiner 1905 I 242 06 II 208
— — — (Gneis) . . . 1908 II 197. 200
— — West-, oligocän . 07 II 406
— Ampasindava (Madagaskar) . . . . . 05 I 435
— Antananarivo, Madagaskar, Hohlräume . 07 I 393
— Antillen, kleine . . . 06 II 376

Granit
— Assuan am Nil . . . 1907 I 424
— Baden-Baden, Kontakthof . . . . . CBl 1905 *342*
— Bellongue u. Ger-Tal (Pyrenäen) . . . . . 05 I 428
— Böhmen, Kontakt mit Kalk . . . . . 06 II 360
— — Reichenau und Tynist . . . . . 08 II 63
— Bormio—Tonale, Kartenblatt . . . . . 08 II 66
— Brasilien, Madeirafluß in Matto Grosso, mit Orthit . . . . . 08 I 385
— Brixen . . . . . 09 I 385
— Brocken . . . . . 07 I 383
— Brockenmassiv, devon. Eruptivgesteine und Tuffe im Kontakthof bei Harzburg . . . . 06 I 209
— — Resorptionserscheinungen an Einschlüssen von Tonschieferhornfels . . . . . 09 I 55
— Brünner Eruptivmasse 09 II 383
— Cheviot Hills, Kontakt . . . . . 05 I 430
— Cornwall, Zinnerzlagerstätten . . . . BB XXVIII *1*
— Deutsch-Adamaua . . 09 II 384
— Ecuador, Ostkordillere 06 I 398
— Elba (San Piero in Campo), Mineralien d. turmalinführ. Gänge . 05 II 34
— — Posto dei Cavoli bei S. Piero in Campo, Kontakt mit Kalk . 06 I 373
— Enderby-Land, gedredscht . . . . . 06 II 370
— England, westl., Kaolinbildung durch Pneumatolyse . . . . . 09 II 191
— Erlenbach (Odenwald), Kontakt mit Schiefern . . . . . CBl 1906 *763*
— Fogi, Ind.-Austr. Archipel . . . . . BB XXII *403*
— Georgetown, Colorado 08 I 238
— Gieshübl, Kaolinbildg. durch einen kalten Säuerling . . . . . CBl 1909 *467*
— Graham-Insel, Antarktik, Alkali- . . . . . 09 I 225
— Grönland, westl. Nord- 07 I 249
— Guernsey . . . . . 09 II 229

Granit
— Johannesburg, Transvaal . . . . . 1907 I 394
— Kamerun . . . . . 09 II 74
— Kiautschou (Cap Yatau), Kontaktmetamorphose . . . . . 06 II 366
— — Tsingtau . . . . 06 II 364
— Kössein (Fichtelgebirge) und Einschlüsse . 08 II 191
— Laaser Gruppe, Tirol 09 I 384
— La Helle, pyritreich . 07 II 69
— Lake Superior, Nordküste, Intrusion im Huron . . . . . 08 II 374
— Lappland, Eisenerzlagerstätten . . . . BB XXIV *548*
— Lausitz, bas. Gesteinsgänge . . . . . 08 I 56
— Lofoten, magmat. Ausscheidung von Eisenerz 09 I 389
— Madagaskar, Aegirin- und Riebeckit- . . . 05 I 248
— — Alkaligranit von Ampasindava . . . . 05 I 434
— Magnetberg, südl. Ural 06 I 381
— Maine . . . . . 09 II 392
— Melibokus, Einschlüsse CBl 1906 *737* CBl 1907 *125*
— Molukken . . . . . 05 I 109
— Mt. Sorrel, Einschlüsse 05 II 387
— Nordamerika, entstanden durch Assimilation saurer Nebengesteins in Gabbro . 07 II 225
— Nordkarolina, Abarten 06 II 219
— Ober-Mölltal, Kärnten 08 II 358
— Okanagen-Batholith, Cascade Mountain, Cal. . . . . 09 I 69
— Oklahoma, Aegirin u. Riebeckit führend . . 09 II 385
— Predazzo, chem. Zusammensetzung . . . 06 I 64
— Presanellagruppe, ndl. Abhang . . . . . 08 II 365
— Pyrenäen, Alter der Kreide . . . . . 05 II 383
— — Entstehung . . . 06 II 214
— — (Bellongue u. Ger-Tal) . . . . . 05 I 428
— — (Reynès u. Latour), tertiär . . . . . 05 I 429
— Quebec . . . . . 09 I 68
— Rhode Island, u. Kontakt . . . . . 09 II 392

Granit
— Riesengebirge, Ganggesteine . . . . . 1906 II 57
— — Kugel- CBl 1905 *236* CBl 1908 *137*
— — Spaltungsvorgänge 07 II 212
— Rothau, Böhm. Erzgebirge . . . . . BB XXIII *479*
— Sachsen, Granulitgebirge . . . . . CBl 1907 *513*
— S. Fedelino am Comer See, Mineralien . . . 07 II 34
— St. Gotthard . . . . 08 I 65
— Schlesien, bas. Schlieren 06 II 198
— Schmalkalden . . . . 08 I 90
— Schmiedeberg (Riesengebirge), kalkspatführend CBl 1907 *203* CBl 1909 *767*
— Schwäb. Alb, im Basalttuff . . . . . 07 I 387
— Schwarzwald, Altensteig etc. . . . . 09 II 416
— — Freudenstadt etc. 09 II 413
— — südlicher, Resorptionserscheinungen . CBl 1907 *76*
— — Wiesental, Verhältnis zu Gneis . . 09 I 55
— Sierra Nevada, Kalifornien . . . . . 09 I 66
— — — Amerika, Domform . . . . . 06 II 214
— Skye . . . . . 06 II 67
— Spitzbergen . . . . . 08 II 369
— — Kugel- . . . . . 06 II 363
— Sudbury, und Erze, Canada . . . . . 1908 I 81. 82
— Sustenhörner. Aarmassiv . . . . . 06 II 62
— Tasmanien . . . . . 07 II 80
— Tian Schan, Musarttal 09 I 224
— — u. Ala-tau . . . . 05 II 68
— Viktorialand, Antarktikum . . . . . 09 II 75
— Virginia . . . . . 09 I 66
— Wausau, Wisconsin, Anal. verschied. Arten 06 II 220
— Weilertal, Vogesen . 05 II 51
— Winden (Niederösterreich), Amphibol- . . 08 I 63
— Zinder, Afrika, Aegirin-, Riebeckit- . . . 07 II 413
— siehe auch Protogyn.
— u. Gneis, Schlesien. Entstehung . . . . . 06 II 198
Granit-Syenit-Gesteine, nördl. Wisconsin . . 09 I 227
Graniteinschluß, Katzenbuckel, im Shonkinit 1908 II 358
Granitgänge, Schottland, Zusammensetzung des Zentrums, des Randes u. der Kontaktbildungen 05 I 431
Granitgneis, Brit.-Zentralafrika . . . . . 07 I 236
Granitische Injektion in Schiefer, Odenwald . 06 II 58
Granitische Magmen, Spaltungsvorgänge, Riesengebirge . . . . . 07 II 212
Granitit, Brixener Masse 05 II 379
Granitlager (Konglomerat) Apennin von Parma . 08 II 215
Granitmassiv, Sachsen, vogtl.-westerzgebirgisches, Quarzinjektionen CBl 1907 *716*
Granito-dioritische Gesteine, Argentinien . BB XXII *573*
Granitpegmatitgänge, Südnorwegen, Niobate, Tantalate, Titanate u. Titanoniobate . . . . 08 I 336
Granitporphyr
— Aland, Diluvialgeschiebe, Westfalen . CBl 1907 *150*
— Maine, Somerset County 08 II 374
— Odenwald . . . . . CBl 1906 *739*
— Rödö, Schweden, Diluvialgeschiebe, Westfalen . . . . . CBl 1907 *148*
— Roßdorf, Odenwald, Gang . . . . . CBl 1906 *739*
— Sustenhörner, Aarmassiv . . . . . 06 II 62
Granitquarz, Temperatur bei der Entstehung . 05 I 420
Granoblastische Struktur der krist. Schiefer . . 05 I 72
Granocardium budaense, Buda limestone, Kreide, Nordamerika . . 06 I 308
Granodiorit
— Concepcion del Oro, Zacatecas, Mexiko BB XXVIII *421. 431*
— Connecticut, Cortlandt Series . . . . 08 I 73
Granodioritaplit, Concepcion del Oro, Zacatecas, Mexiko . . . BB XXVIII *448*
Granophyr, Buttermere-Ennerdale-Masse, England . . . . . 08 I 224

Granophyro-Liparose-Alaskose, Llano, Texas 1906 II 216
Granulatenkreide, westl. Münsterland . . . . 08 I 427
Granulation d. Gesteine, van Hise . . . . . CBl 1906 609
Granulit
— Ceylon . . . . . 06 I 181
— deutsches Grundgebirge 05 I 237
— Grönland, westl. Nord- 07 I 247
— Pöchlarn, mit Graphit 08 I 62
— St. Poelten, Kartenblatt 08 II 60
— Schwarzwald, Freudenstadt etc. . . . . 09 II 414
Granulitgebirge
— Sachsen, Genesis 1908 I 56 CBl 1907 *513*
— — kontaktmetamorphes Paläozoicum der SO.-Flanke . . . . . CBl 1905 *257*
— — Phyllitformation der Südostflügels . . CBl 1905 *109*
Graphimys, Tertiär, Patagonien . . . . . 07 II 326
Graphische Darstellung der Zusammensetzung der Eruptivgesteine . CBl 1905 249
Graphische Methoden der Petrographie . . . . CBl 1907 *134*
Graphit
— Beziehung zu Diamant etc. . . . . 06 II 320
— Bildung . . . . . 05 I 261
— Elektrizitätsleitung 1906 II *39* 07 II 5
— Geologie . . . . . 07 II 240
— Natur . . . . . 08 II 368
— spez. Gewicht des reinen . . . . . 09 I 333
— im Meteoreisen . . . 05 I *123*
— Barkhamshire, Conn., im Granat des Glimmerschiefers . . . . 05 II 393
— Böhmerwald, Ostrand 05 II 177
— Campolongo . . . . 05 I 203
— Canada . . . . . 05 I 251
— Cañon Diablo, im Meteoreisen . 1906 I 187 08 II 9
— Carolina, South Mountains, chemisch . . . 09 II 369
— Ceylon . . . . . 1906 I 178. 183
— — elektr. Verhalten . CBl 1905 *468*
— Concepcion del Oro, Zacatecas, Mexiko, Kontaktbildung am Granodiorit . . . . BB XXVIII *582*
Graphit
— Dunkelsteiner Wald . CBl 1909 715
— Ekaterinberg, Verwachsung mit Cyanit CBl 1908 *523*
— Grönland . . . . . CBl 1908 341
— Indien, Chatisgarh District der Zentralprovinzen . . . . . 1907 I 82
— Kataura, Japan . . . 07 I 191
— Lessachtal im Lungau (Salzburg) . . . . . CBl 1908 *282*
— Lexen-Braune, Westmähren, im Glimmerschiefer . . . . . 05 II 235
— Markirch . . . . . 09 I 26
— Piemontes. Alpen . . 06 I 329
— Pöchlarn, im Granulit 08 I 62
— Regens b. Iglau, Lagerstätte . . . . . 06 II 173
— Rhein, Einschluß im Basalt . . . . . CBl 1908 *97*
— Schwarzbach, Böhmen, Entstehung . . . . . 07 I 81
— Schweine in Westmähren . . . . . 05 II 235
— Svappavara, Lappland, unorganisch . . CBl 1907 *433*
— siehe Schungit.
Graphitit = Graphit . . . 08 II 368
Graphitoid, Natur . . . 08 II 368
Graphitquarzit, Ecuador, Ostkordillere . . . . 06 I 396
Graphitschiefer
— Bozen, Porphyrgebiet BB XXVII *80*
— Brit.-Zentralafrika . . 07 I 236
— Odenwald . . . . . CBl 1907 *116*
— Tessin, Alp Crozlina . BB XXVI *507*
Graptolithen, Stellung im zool. System . . . . 05 II *79*
Graptolithenschiefer, Silur, Ostthüringen . . BB XXIV *248*
Graubünden, Marmor . . 07 II 69
Graul, Erzlagerstätten . 06 I 78
Grauspießglanz, siehe Antimonglanz.
Grauwacke, rhein. Schiefergebirge . . . . . 09 II 216
Gravigrada, Kreide, Patagonien . . . . . 05 I 169
— Santa Cruz beds, Patagonien . . . . . 1906 I 453. 458
Gravitationskonstante
— Sizilien . . . . . 07 I 43
— Aci Castello, Sizilien . 05 I 50
Gravitationslehre — ein Irrtum . . . . . CBl 1905 439

Grazer Bucht, Geologie . 1906 II 240
Green Mountain Region, N. Y., Geologie . . . 05 II 413
Greenockit
— künstlich, Sublimation 09 II 183
— Dschebel Ressas, Tunesien . . . . . 07 I 42
— Otavi, SW.-Afrika . . CBl 1906 *389*
Gregoriura Spryi, Silur, Victoria (Austr.) . . 08 I 447
Greisen, Cornwall, Zinnerzlagerstätten BB XXVIII *12. 18. 23 ff. 38*
Grenoble
— Geologie . . . . . 1905 I 277. 278
— Typen der paläontologischen Sammlung . 05 I 148
Grenzdolomit, Schwaben, Gastropoden . . . . BB XXV *107*
Grenzkurven der Totalreflexion, Polarisation 05 I 184
Gresslyosaurus Plieningeri u. robustus, ob. Keuper 09 I 287
Griechenland
— Daonellen u. Halobien 06 I *27*
— Dogger . . . . . 07 II 446
— Geologie, Marmor und andere nutzbare Gesteine . 1905 II 267 08 II 217
— Kreide und Eocän . CBl 1906 *541*
— Lias von Leukas und Akarnanien . . . . . CBl 1905 *259*
— mesozoische Formationen . . . . . BB XXI *213*
— Trias von Hydra und Argolis . . . . . BB XXV *443*
Griesbachites pseudomedleyanus, tibetan. Klippen des Zentral-Himalaya . . . . . 08 II 414
— Stracheyi, Jura, Himalaya . . . . . 05 II 320
Griffithides seminifer, Culm, Königsberg bei Gießen . . . . . BB XXVIII *652*
Grödener Sandstein, Bozener Porphyrgebiet BB XXVII *145*
Grönland
— Cycas im Cenoman . 08 I 145
— Grundproben des Meeres gegen Island (Ingolfexpedition) . . 05 I 421
— Mineralien CBl 1908 338. 375. 403
— — im Basalt des östl. 06 II 182
— Petrographie des westlichen Nord- . . . 1907 I 244. 249
Gromidae, System der lebenden u. fossilen . 1905 II 328
Groningen
— Basaltgeschiebe im Diluvium . . . . . CBl 1906 118
— mineralog.-geolog. Universitätsinstitut . . . CBl 1906 120
Großbritannien, Durchschnittszusammensetzg. der Eruptivgesteine . 06 I 46
— pleistocäne Säugetiere 06 II 442
Grossouvréit (Opalmehl), Entstehung . . . . 05 I 445
Großpriesen, Böhm. Mittelgebirge, geol. Aufnahme . . . . . 05 I 272
Grossular
— Bisbee Quadrangle, Arizona, Gangmineral 06 I 175
— Xalostoc, Mexiko, Anal. CBl 1906 776
Grottes de Mentone, Alter 08 II 422
Grubenwasser, Lake Superior, Kupfer- und Eisengruben . . . . 09 II 78
Grünschiefer
— Böhmen (Reichenau und Tynist) . . . . 08 II 64
— Ecuador, Ostkordillere 06 I 401
— Großarl- und Gasteintal . . . . . 09 II 222
— Kalifornien, Slatington, Eldorado Co., im Dachschiefer (Gabbro) 06 II 215
— Simplongebiet, im Jura und Trias . . . . . 09 I 59
— Susa-Tal, Rocca Bianca, aus Gabbro entstanden . . . . . 06 II *105*
— Westalpen, Entstehg. 07 I 228
— zwischen Visp u. Brig, in den Bündner Schiefern . . . . . 05 II 221
Grünsteinschiefer, San Juan Mountains, Colorado, aus Gabbro und Diabas . . . . . 06 II 219
Grundeis, Ladogasee, Bildung . . . . . 08 II 168
Grundgebirge
— keine umgewandelten Sedimente . . . . . 07 I 391
— Deutschland . . . . 05 I 235
— Finnland . . . . . 07 I 235
— Rothau, Böhm. Erzgebirge . . . . . BB XXIII *478*
— St. Poelten bei Melk 08 II 59

Grundgesetz der Kristalle CBl 1905 *225*
— — — Ableitung durch Viola . . . . . CBl 1905 *553*
Grundmasse des Dossenheimer Quarzporphyrs CBl 1908 *9*
Grundmoränen
— Entstehung . . . . . 1906 II 437
— Lauenburg, obere . . 05 I 472
Grundmoränenlandschaft
— Neuvorpommern und Rügen, Uckermark u. Mecklenburg . . . . 08 I 96
— Pommern und Rügen 07 I 117
Grundmoränenseen. Ostpreußen . . . . . 05 I 471
Grundproben
— seltenere Bestandteile 09 I 204
— Antarktik . . . . . 09 I 203
— Kanal . . . . . 09 II 210
— Madagaskar etc. . . 09 I 201
— nordatlant. Ozean, der dän. Ingolfexpedition 05 I 421
Grundwasser
— Mecklenburg, Schwankungen . 1906 II 195 07 II 51
— Oberschlesien . . . . 06 II 76
Grundwasserforschungen, Nordamerika . . . . 08 I 371
Grundwasserstrom, unt. Ohretal . . . . . 09 II 373
Grundwasserverhältnisse
— Bregenz am Bodensee . . . . . 08 I 370
— Breslau . . . . . 09 II 371
— südlich von Dessau . 07 I 262
Gryphaea cereviciana u. semicoronata, Hypersenon, Peterwardeiner Gebirge . . . . . 06 II 268
— concors etc., Pyrotherium-Schichten.Argentinien . . . . . 05 I 358
— Gregoryi, Tertiär, Somaliland . . . . . 07 II 303
— pyrotheriorum-Schichten, Kreide, Patagonien . . . . . BB XXI *135*
— Romanowskii, Kreide. Irkeschtam, Fergana 05 II 284
— vesicularis, Kreide, Bregenzer Wald . . BB XXVII *25*
— aff. vesiculosa, untere Kreide, Patagonien . BB XXV *609*
Grypoceras suessiforme, tibetan. Klippen des Zentral-Himalaya . . 08 II 414
Grypotherium-Höhle, Ultima Esperanza, Patagonien, Deutung der Funde . . . . . 1906 I 130
Guaranitische Sandsteine, Kreide, Patagonien . BB XXI *133*
Guaranitische Stufe, Patagonien, Fossilien . 07 II 142
Guatemala. Erdbeben 19. April 1902, Wellen 07 II 47
Guatteria cretacea, Kreide, New York . . . 08 I 456
Guembelia Douvillei und sub-Douvillei, Gentilei u. sub-Gentilei, lucana, Oosteri, Paronai und sub-Paronai u. parva, Tertiär, Apennin . . 05 II 327
— Nicolosi . . . . . 05 II 156
— operculiniformis var. granulata, ligur.-piemont. Apennin . . . 08 II 287
— sub-Montis-Fractii u. sub-Oosterii . . . . 05 II 159
Gümbelit . . . . . CBl 1909 *332*
— Nagolnij Krjasch, Donetz-Becken . . . . 07 II 197
Günching (Oberpfalz), Doggerprofile . . . 05 I *80*
Guernsey, Gesteine des nördlichen . . . . . 09 II 229
Guilelmofloweria, Kreide, Patagonien . . . . . 05 I 168
Guilelmoscottia, Kreide, Patagonien . . . . . 05 I 167
Guinea, Franz.-, bas. Eruptivgesteine . . . . 07 II 414
Gulf Coastal Plain, Oelfelder . . . . . 06 II 384
Gultscha-Tal, Ferghana-Formation . . . . . 06 I 97
Gummierz, Llano County, Texas . . . . . 07 I 42
Gunung Ringgit (Java), Ausbruch 1593 . . . 05 I 224
Guren . . . . . CBl 1909 *325*
Gurolith, siehe Gyrolith.
Guttulina, Globigerinenmergel, Bahna, rumän. Karpathen . . . . . 09 II *152*
Gyminda primordialis, Kreide, New York . 08 I 456
Gymnit . . . . . CBl 1909 *331*
— Kuttenberg (Böhm.), chemisch . . . . . 08 I 38

Gymnit, Predazzo, Darstellung d. Kieselsäure u. Konstitution . . . 1907 I 350
Gymnites Agamemnonis, Trinodosus-Kalke, Epidauros (Argolis) . . Festband 6
— anomalus, Dieneri, neoslavonicus u. Stefanii, Muschelkalk, Montenegro . . . . . 05 II 140
— Breunneri var. baconica u. Ecki, Wengener Kalk, Argolis . . . . BB XXV 459
— depauperatus, Mandina und religiosus, Muschelkalk, Himalaya 08 II 245
Gymnocrinus, Körperform Festband 288
Gymnospermen, Entwicklung der Kenntnisse. 09 I 145
Gymnotropites americanus, Trias, Amerika . . . 06 II 300
Gypsina . . . . . 08 I 308
Gyrignophus, Tertiär, Patagonien . . . . . 07 II 326
Gyroceras ? Halli, oberes Oberdevon, Enkeberg BB XXVI 626
Gyrodes Kochi, Hypersenon, Peterwardeiner Gebirge . . . . . 06 II 267
— siskiyouensis, Kreide, Kalifornien . . . . . 06 I 288
Gyrodus circularis, lith. Kalk, Nusplingen . . 09 I 453
Gyroedrie, Sylvin . . . CBl 1906 259
Gyrolith . . . . . CBl 1907 411
— (Glimmerzeolith) zum Zeophyllit . . . . . CBl 1906 80
— Unterscheidung von den andern Glimmerzeolithen . . . . . 08 II 37
— Hebriden, Fundorte , 06 II 343
— Mogy-guassù, Sao Paulo, Brasilien, im Diabas . . . . . CBl 1906 330
Gyrolophodon imperfectus, Morenoi u. tuberculosus, Kreide, Lago Musters, Patagonien. 05 I 497
Gyromys spectabilis, Nordamerika . . . . . 09 I 452
Gyroporellen in d. Trias des Rubly-Massivs, mittlere Voralpen . . 08 II 400
Gyrorbis Mariae, Pliocän, Cueva Rubbia, Spanien 07 II 16
Gytje = Teichschlamm . . 08 II 185

H.

Haardtgebirge (Nordvogesen), Gliederung des Buntsandsteins . CBl 1905 380
Haarkies, siehe Millerit.
Hadrianus tumidus, Nordamerika . . . . . 1909 I 452
Hadrocheilus britannicus, convexus, costatus, depressus, exsecatus, Favrei, gibber, gibberiformis, gibberoides, hamatus, hercynicus, Kiliani, latus, longohasta, oblongus, Oosteri, proceriformis, procerus, quinquecarinatus, robustus, rugosus, Schlosseri, Theodosiae und valanginiensis, Lias—Gault . . . . . 08 I 304
Hadropithecus stenognathus, Madagaskar . . 06 II 448
Hälleflinta, Småland, im Diluvium Westfalens. CBl 1907 173
Hämatit, siehe Eisenglanz.
Härtebestimmung . . . 07 I 190
— neue Methode . . . 09 I 155
Hagiastrum venetum, Kreide, Euganeen . . 06 I 474
Haidesand, Sylt, quartär BB XXI 204
Haifische
— geologische Verbreitung in Europa u. Amerika 05 II 477
— mit quergestreifter Muskulatur, Cleveland Shales . . . . . 05 II 478
— Tertiär, Unteritalien. 05 II 479
— siehe auch Elasmobranchier.
Haifischzähne
— Felsöesztergály, Kom. Nógrád, untermediterrane . . . . . 06 I 125
— Stiller Ozean . . . . 05 II 477
— Tarnócz, Kom. Nógrád, Tertiär . . . . 05 II 479
Hainich, hydrolog. Verhältnisse des Nordostabhangs . . . . . 05 II 448
Hainosaurus lonzeensis, Kreide, Lonzée (Belgien) . . . . . 05 II 309
Halbschattenanalysator . 07 I 188

Halbschattenapparat, Quarz-, neuer . . . . CBl 1905 *267*
Halec, Chalk, England . 1905 II 137
Halicapsa crebripora, obtusispina, parvula und tenuis, Kreide, Euganeen . . . . . 06 I 474
— gutta, maxima und Vinassai, Scaglia, Euganeen . . . . . 06 I 475
Halicore, Hüftbeinrudimente . . . . . 09 II 114
— tabernaculi, Milchmolaren . . . . . 06 II *60*
Halictus florissantellus u. scuderiellus, Tertiär, Florissant, Col. . . . 07 I 321
Halilucites planilaterato, Muschelkalk, Himalaya 08 II 243
Haliomma serratipora, Miocän, Italien . . . 09 II 490
Haliotis lomaënsis, Kreide, Kalifornien . . . 06 I 288
Halitherium, Anatomie . CBl 1905 *21*
— Hüftbeinfragmente . 09 II 114
— bellunense, Miocän, Carvazana b. Belluno 06 II 448
— Schinzi, Milchmolaren 06 II *60*
— Oesterreich, ob. Eozän und unteres Miocän . 05 I 504
Halle a. S., Felsitporphyr mit kleinen Einschlüssen . . . . . BB XXVIII *50*
Hallerit, Mesvres bei Autun 09 I 190
Hallopus-beds, Trias, Cañon City, Colorado 08 I *134*
Halloysit
— Beziehung zu Gemenge von Tonerde- u. Kieselsäuregel . . . . CBl 1908 *622. 662*
— Pala, S. Diego C., Cal. 05 I 204
Hallstätter Kalk
— Lückenhaftigkeit . . BB XXV *416*
— Epidauros (Argolis), Cephalopoden . . . . Festband *1*
Hallstätter Kalk-Decke . 06 II 259
Halmariphus, Santacruzeno, Patagonien . . 07 I 309
Halobia, Trias, Bosnien (H. aff. sicula) . . . 05 I 106
— Trias, Rotti u. Timor CBl 1909 *356*
Halobia austriaca, superba, cf. Mojsisovicsi, cf. celtica, lineata und Hoernesi, Trias, Griechenland . . . . . 06 I *34 ff.*
Halobia molukkana, talauana u. Verbeeki, Trias, Niederl.-Indien BB XXIV *206*
Halobia-slates, ob. Trias, Kalifornien . . . . . 1906 II 99
Halobien und Daonellen, Griechenland u. Asien 06 I *27*
Halogenide der Alkalimetalle, Isomorphismus . . . . . 06 I 8
Halogenverbindungen, organische, Kristallformen . . . . . 06 I 8
Haloide
— Alkali-, isomorphe Fortwachsungen . . . . CBl 1907 92
— von Pb, Ag, Tl u. Cu, Mischkristalle aus Schmelzfluß . . . . BB XXII *1*
Halorella amphitoma, plicatifrons u. rectifrons, Trias, Niederländ.-Indien . . . . . BB XXIV *187*
Halorites americanus, Pseudomonotis beds, Amerika . . . . . 06 II 299
— (Jovites) dacus, ? Tropites-Schichten, Epidauros (Argolis) . . Festband *31*
Halter americana, Florissant, Col. . . . . 08 II 110
Halticosaurus longotarsus, Stubensandstein . 09 I 288
Halysites australis, Neu-Süd-Wales . . . . . 07 I 156
Hamburg, älteste Vereisung, Beziehung zum Alter der Berliner Paludinenschichten . . CBl 1906 *181*
Hamites armatus, ellipticus, phoenixensis und solanoënsis, Kreide, Kalifornien . . . . 06 I 288
— Raynaudi, Kreide, Diego Suarez . . . . 07 II 334
Hamlinit
— Binnental (=Bowmanit) . . CBl 1907 601 09 I 194
— Diamantina, Brasilien, Kristalle . . . . . 09 I 344
— Serra de Congonhas bei Diamantina, Brasilien, aus Diamantsanden . 06 I 27
Hammatoceras angustoumbilicatum, Halavatsi, Kochi u. Mar-

gocsii, Unterdogger, Csernye, nordöstl. Bakony . . . . . 1905 II 426
Hammatoceras dispansum, Dogger, Csernye (Bakony) und Salzgitter . CBl 1906 *113*
— lotharingicum, Eisenerzformation, Lothringen u. Luxemburg 06 I 305
— Jura, südwestl. Balkanhalbinsel . . . . BB XXI *287*
Hampshire, Alttertiär . . 07 II 425
Hannover
— Geologie des südlichen 1907 II 93 08 II 78 ff.
— Kiesmoränenlandschaft im östlichen . . . . 05 II 442
— Quartär des südlichen 1905 I 144. 310
— Transgressionen im südlichen . . . . . 08 II 78
Hannoverscher Typus der Salzlager im deutschen Zechstein . . . . . 09 II 308
Handtkenia = Paronaea . 05 II 155
— adriatica, Airaghii u. sub-Airaghii, Bassanii, Bonarellii, Borelloii, crispa var. granulata, eocenica, Fornasinii, sub-Fornasinii, Guettardi var. prima, La Harpei, latispira var. antiqua, Marianii u. sub-Marianii, Rzehaki, Szaboi, Tchihatcheffi var. praecursor, Tellinii, sub-Tellinii und sub-Tellinii var. meridionalis, Tertiär, Apennin . . . . . 05 II 327
— louristana var. depauperata u. laevis, proboscidea u. striata, Senon, Südpersien . 06 I 444
— Munieri, Cenoman, Südfrankreich . . . . 07 II 131
— subovoidea, Cenoman, Südfrankreich . . . . 07 II 132
Hapalops longiceps, platycephalus, ponderosus, vulpiceps etc., Santa Cruz beds, Patagonien 06 I 461
Haploceras cornutum . . 07 II 470
— costatum . . . . . 07 II 470
— Felixi . . . . . 07 II 470
Haploceras mexicanum . 1907 II 470
— transatlanticum . . . 07 II 470
— zacatecanum . . . . 07 II 470
— cf. tenuifalcatum, Kimmeridge, argent. Cordillere . . . . . BB XXIII *201*
Haplodontidae u. Haplodontia, Miocän, Süddakota . . . . . 05 II 129
Haplophragmium meridionale, Kreide, Ostpondoland, Südafrika 05 II 152
Haploporella Kinkelini, Rupelton, Mainzer Becken . . . . . 09 II 325
Harada's Trennungsapparat, Verbesserung . CBl 1905 *152*
Hard Blue-Gestein, Kimberley-Grube . . . . 09 II 238
Harmotom, Andreasberg, Kongsberg u. Oberstein, Glühverlust . . 06 I *23*
Harpagodes Oceani, Portland, Argent. Kordillere . . . . . BB XXIII *204*
Harpes radians, Devon, Ostthüringen . . . . BB XXIV *308*
Harpoceras aalense, discoides, Eseri und subplanatum, Jura, südwestliche Balkanhalbinsel . . . . . BB XXI *271*
— exiguum, falcicostatum, Marianii, pseudofalcatum, pseudofielding i u. Ugolinii, Lias, Monte di Cetona . . 06 II 143
— Grandjeani und Hinsbergi, Eisenerzformation, Lothringen und Luxemburg . . . . . 06 I 305
— Ikianum, Jura, Rikuzen, Japan . . . . 05 I 465
— landui, Jura, Batu Berketak . . . . . BB XXV *328*
— (Grammoceras) radians und toarcense, Jura, südwestl. Balkanhalbinsel . . . . BB XXI *268*
Harrisit, Osaruzawa-Grube, Japan . . . . . 07 I 218
Hartling = Monadnock . CBl 1908 *746*
Hartmannia Moloti, Eocän, Paris . . . . . 07 II 303
Hartsalzbildung, Temperatur . . . . . 05 I 192

Harz
— Alter . . . . . CBl 1909 *274*
— Diskordanzen im östlichen Vorland . . . CBl 1907 *81*
— devon. Eruptivgesteine u. Tuffe im Kontakthof des Brockenmassivs bei Harzburg . . 1906 I 209
— Einsturzbecken am Südrand . . . . . 05 II 376
— Entstehung der Ruscheln . . . . . 05 II 398
— Gangbilder vom oberen CBl 1907 550
— Glazialbildungen des Vorlandes . . . . . 08 II 98
— Keratophyr, system. Stellung . . . . . CBl 1909 *33*
— Perm und Tektonik am westl. Rand . . 09 I 409
— Quartär des nördlichen Randes, Gliederung . CBl 1909 *94*
— Quartärfaunen und Nehring's Steppenhypothese im nördl. Vorlande . . CBl 1909 *87. 317. 385*
— Vergletscherung bei St. Andreasberg . . 06 I 298
Harzlösungen zur Nachahmung mikrosk. Faltungsformen . . . . CBl 1905 90
Hatchericeras cf. pueyrrydonense und Stantoniense, untere Kreide, Patagonien . . . BB XXV *631*
Hathlyacynidae, Kreide, Patagonien . . . . . 05 I 169
Hauericeras angustum, Kreide, Hokkaido . . 05 I 531
— Buszi, Granulatenkreide, westl. Münsterland . . . . . 08 I 428
Hauerit
— Raddusa, Einwirkung von chlorsaurem Kali 09 II 334
— — Kristalle . . . . 09 II 14
Hauerites Ashleyi, Subbullatus - Schichten, Kalifornien . . . . . 06 II 303
Hauptsalz im deutschen Zechstein . . . . . 09 II 305
Hauptstrukturarten der Kristalle
— Beweis des zur Bestimmung dienenden Satzes . . . . . 07 I 182
— des kubischen Systems 07 I 183
Hausmannia? californica 1907 II 504
— Forchhammeri var. acutidens, dentata u. laciniata, Rhät, Bornholm . . . . . 08 I 452
— gracillima, Sewardi, spuria und Zeilleri, untere Kreide, Quedlinburg . . . . . 07 II 344
Hausmannit, Brasilien . CBl 1909 *780*
Hauterivien
— Norddeutschland . . CBl 1908 *140*
— Westschweiz, Juragebirge . . . . . 06 II 143
Hauynsyenitporphyr, melanitreicher, Tasmanien, Mt. Livingstone 08 I 390
Hawaii
— Insel, Trachyt vom Hualalai-Berg . . . . 06 II 221
— siehe auch Sandwichsinseln.
Haydenites Hatscheki, Muschelkalk, Himalaya . . . . . 08 II 244
Heard-Insel, Antarktik, Geologie . . . . . 09 I 202
Hebriden, tert. Eruptivgesteine . . . . . 08 I 222
Hebung
— des Festlandes, Beweise . . . . . 06 II 194
— der Küste, Aci Reale, Sizilien . . . . . 07 I 220
— des Landes bei Aci Castello . . . . . 06 II 349
— — — und der Küsten, Beweis für Gleichaltrigkeit der Schichten . . . . . 08 II 339
— durch Eis . . . . . 05 I 56
— oder Senkung des Meeresspiegels . . BB XXVIII *574*
Hebungen
— jüngere, Anden . . . 05 I 232
— trennen volle Seebecken vom Meer . . 06 II 194
— Alaska, Yakutat-Bai . 08 II 342
— oder Senkungen in Massengebirgen . . . CBl 1907 *489*
— und Senkungen, kontinentale . . . . . 05 I 222
— siehe auch Dislokationen.
Hecticoceras evolutum u. sub-Matheyi, Callovien, Faucille-Kette . . . 06 I 439

Hecticoceras Haugi, Jura, Bucegi-Stock . . . . 1906 II 121
— Michalskii, ob. Callovien, Checiny, Polen 08 II 90
Hedenbergit
— Einwirkung von Radiumbromid . . . . CBl 1909 *71*
— zusammengeschmolzen mit Anorthit u. Olivin CBl 1906 *134*
— — mit Diallag . . . CBl 1906 *571*
— — mit Diopsid . . . 09 II 163
— Diopsid, Enstatit, Aegirin u. Spodumen, Morphotropie . . . . 09 II 171
— Japan, Obira etc., Analyse . . . . . 09 I 33
— — Okurajiki in Obira, Kristalle . . . . . 09 II 175
Hedenströmia Kossmati, Meekoceras beds, Amerika . . . . . 06 II 302
Hedera simplex, Kreide, New York . . . . . 08 I 456
Hedralophus, Kreide, Patagonien . . . . . 05 I 168
Hegau
— vulkan. Erscheinungen 07 I 375
— — — Alter . . . . CBl 1908 *613*
Hegetotheriidae, Kreide, Patagonien . . . . . 05 I 167
Heilsberg, Ostpreußen, Kimmeridge . . . . 05 I 129
Heinrichshöhle bei Sundwig, Säugetierknochen 06 I 129
Heinzia hispanica, matura und pulchelliformis, Kreide . . . 07 II 150
Heinziidae, Kreide . . . 07 II 150
Heizmikroskop mit elektrischer Heizung . . CBl 1909 *567*
Helgoland
— Ammonitiden der unt. Kreide . . . . . 05 I 466
— Verhinderung der Abbröckelung . . . . . 05 II 375
Helicoceras scalare und venustum, Kreide, Hokkaido . . . . . 05 I 530
— Stevensoni mit Wohnkammer, Nebraska . 05 I 355
Helicolophodon giganteus, Kreide, Lago Musters, Patagonien . . . . . 05 I 497
Helicoprion, Deutung u. Vorkommen im Productuskalk, Salt Range 05 II 132
Helicoprion im Fusulinenkalk, Japan . . . . . 1907 I 330
Helicotoma Johnstoni, Untersilur, West-Tasmanien . . . . . 07 I 155
Helictites Canningi, Tropites-limestone, Byans 08 II 236
Heliodiscus acutispina, Kreide, Euganeen . . 06 I 474
Heliosphära Isseli, Scaglia, Euganeen . . . . 06 I 475
Helium in Thermen 1907 II 53 1908 I 364. 365
Helix Alixi und Diarti, Eocän, Paris . . . . 07 II 303
— blaviana, Leubii und praeosculina, Alttertiär, Ulm . . . . . 08 II 104
— cenomanenis und H. (Xerophila ?) petrocorienis, Cenoman, Südfrankreich . . . . . 07 II 131
— coarctata, insignis var. Steinheimensis, involuta, pachystoma, platychelodes, subphacodes und sylvana, Tertiär, Schwäb. Alb . . CBl 1908 *590*
— constrictelabiata und Joossi, Alttertiär, Giengen bei Ulm . . 08 II 104
— (Vallonia) saxonica, quartär, Halle a. S. . 07 I 444
Helizitische Strukturform im Schiefer, Sterzing . . . . . BB XXII *522*
Hellandit, Kragerö (Lindvikskollen), im Pegmatit 1905 I 381 1908 I 193. 250
Helopanoplia distincta, Nordamerika . . . . 09 I 452
Hemiacodon gracilis, nanus u. pygmäus, amerikanisches Eocän 1905 I 333. 334
Hemiaster Fourneli, Senon, Peru . . . . . BB XXIV *99*
— gallegosensis, rezent, Südamerika . . . . 07 II 154
— Lamberti, Kreide, Dauphiné . . . . . 05 II 326
— Steinmanni, Rotomagien, Huallanca, Peru BB XXIV *95*
— sudanensis, Eocän, Zentralafrika . . . . 07 II 265
— vancouverensis, Kreide, Vancouver . . . 07 II 289

Hemibranchii des brit. Museums . . . . . 1905 II 135
Hemicidaris djermanensis, ? Bathonien, Algerien . . . . . 06 I 156
— Lesserteuri, Jura, Haute-Marne . . . . 09 II 480
Hemiedrische Formen des regulären Systems . . 07 I 181
Hemifusulina . . . . BB XXVII *506*
Hemimorphe Kristalle, spezifische optische Eigenschaften . . . . 06 I 3
Hemimorphit, siehe Kieselzinkerz.
Heminajas, Diagnose . . 07 II 337
— Geyeri u. Wöhrmanni, Pachycardientuffe, Seiser Alp . . . . . 07 II 336
Hemipedina Lorioli, Jura, Macon . . . . . 07 II 156
Hemipleurotoma vasconum, blaue Mergel von Côte des Basques bei Biarritz . . . . 06 II 439
Hemipogonius florissantensis und Scudderi, Tertiär, Florissant, Col. 07 I 321
Hemipristis chiconis, Kalifornien . . . . . 08 II 443
Hemiptychina orientalis, Obercarbon, Ural und Timan . . . . . 05 I 532
Hemisinus ornatus und pulchellus, ob. Kreide, Alvincz . . . . . 05 I 302
Hemitrypa oculata, Culm, Königsberg b. Gießen BB XXVIII *654*
Hemmingstedt-Heide, Dithmarschen, Kreidehorst, Dislokationen . CBl 1906 *282*
Hénisien = Tongrien supérieur . . . . . 07 II 296
Henricofilholia, Kreide, Patagonien . . . . . 05 I 168
Henricosbornia, Henricosbornidae, Kreide, Patagonien . . . . . 05 I 167
Hepatinerz . . . . . CBl 1909 *327*
Heptranchias Andersoni, Kalifornien . . . . . 08 II 443
Heraklea, Kleinasien, Steinkohlen . . . . . 05 I 261
Hercegowina, geologischer Führer . . . . . 05 II 264
Hercegowina
— Karstgebirge d. westlichen . . . . . 1906 II 195
— Quartär . . . . . 05 II 295
Hercegowina—Bosnien, Montanindustrie . . 06 I 73
Hercoceratinae, Lias und Dogger . . . . . 07 I 325
Herderit
— Epprechtstein, Fichtelgebirge CBl 1908 *294* CBl 1909 *552*
— — Zwilling . . . . . CBl 1909 *121*
Heriades Bowditchi, halictinus u. laminarum, Florissant, Col. . . . 07 I 321
Herionia Sicardi, Eocän, Aude und Herault . 07 II 156
Herschelit, Palagonia, Begleiter . . . . . 08 II 35
Hesbaye-Stufe, Diluvium, Belgien . . . . . 05 I 480
Hessen
— Basalt, Schwälmer Land . . . . . BB XXIII *345*
— Eisen und Mangan . 06 II 225
— Steine und Erden im Großherzogtum . . . 05 I 438
Hessenbergit = Bertrandit . . . . . 05 II 23
Hessit, Botes, Kristalle . 09 I 337
Heterastridien, Karakorumpaß (Kleintibet) . CBl 1907 *722*
Heterillina carinata und guespellensis, Mitteleocän . . . . . 07 I 158
Heteroceras ceratopse, Kreide, Kalifornien . 06 I 288
— japonicum, orientale, Oshimai und Otsukai, Kreide, Hokkaidō . . 05 I 530
— simplicostatum, Kreide, Black Hills, Süd-Dakota . . . . . 05 I 355
Heteroclypeus . . . . . BB XXV *259*
— Sizilien . . . . . CBl 1906 *640*
Heterodelphis leiodontus, Miocän, Komitat Sopron, Ungarn . . . . 06 II 449
Heterolophodon ampliatus, Kreide, Lago Musters, Patagonien . 05 I 497
Heteromeryx dispar, Oligocän, Süd-Dakota . 07 I 300
Heteronema, paläozoisch 05 II 486
— capillare, carbonarium und ? contextum . . 05 II 486

Heteropora Dollfusi und Pachundakii, Santonien, Abu Roasch, Aegypten . . . . . 1905 II 484
Heteropygia (Trilobiten) CBl 1907 *130*
Heterosalenia Paquieri, Kreide, Ostfrankreich 05 II 326
Heterostegina, Priabona . 08 I 139
— depressa, Umfang . . 08 I 447
— var. cycloclypeus und spiroclypeus . . . . 08 I 448
— glabra, Eocän, Celebes 08 II 286
Heterozwillinge . . . . 08 II 140
Heulandit, Brechungskoeffizienten . . . . 08 II 143
— Darstellung d. Kieselsäure, und Konstitution . . . . . 07 I 346
— Eigenschaften beim Erhitzen . . . . . 05 I 38
— Kontraktionsfiguren bei Behandlung mit Säuren . . . . . 08 I 336
— Biella, Piemont, Drusen im Syenit . . . 06 II 41
— Chichijima-Insel . . 09 I 193
— Färöer . . . . . 09 I 29
— Fellberg in Petersdorf bei Zöptau (Mähren) CBl 1905 *612*
— Grönland, Ost-, im Basalt . . . . . 06 II 185
— Island, Berufjord, Glühverlust . . . . 06 I *24*
— — Teigarhorn, chem. Konstitution nach TSCHERMAK . . . . . 09 II 193
— — — — Rolle des Wassers . . . . . 06 II 337
— Montecchio Maggiore, Rolle des Wassers . . 06 II 342
— Sardinien(Montresta), Analyse . . . . . 1909 II 26. 195
— Zöptau, Mähren . . . 06 I 344
Heuscheuergebirge, Kreide . . . . . 1906 I 286. 288
Hexagonocyclina Schopeni und Steinmanni, Vallone Tre Pietre . 09 I 296
Hexalonche euganea und ongariana, Kreide, Euganeen . . . . . 06 I 474
Hexaprotodon siva javanicus, Kendeng-Schichten . . . . . 09 I 119
Hexapyramis Pantanellii, Scaglia, Euganeen . 06 I 475
Hexastylus euganeus, grandiporus, macrospina, microporus und Ombonii, Scaglia, Euganeen . . . . . 1906 I 475
— Gortanii, Miocän, Italien . . . . . 09 II 490
Hiantopora patagonica, Tertiär, Patagonien . 05 II 141
Hibschit
— Aubenas (Vivarais) . 08 I 31
— Mädstein, Böhmisches Mittelgebirge . . . . 09 II 219
— Marienberg b. Aussig 1908 I 30. 374
Hiddenit
— Kalifornien . . . . 09 I 32
— Nordamerika, Edelstein . . . . . 06 I 356
Hiddensö
— Landverluste an der Küste u. Standfestigkeit des Leuchtturms 06 II 196
— und Rügen, Landverluste an der Küste 08 I 97
Hildesheim
— Geologie . . . . . 08 II 79
— — Galgenberg und Vorholz . . . . . 07 I 419
Hildoceras Bastianii, dubiosum, falciplicatum, rimotum u. Targionii, Lias, Monte di Cetona 06 II 143
— bifrons, comense (mit var. Bayani, evoluta und multicostata), erbaense, Levisoni, Mercati (mit var. hellenica) u. quadratum, Jura, südwestl. Balkanhalbinsel . . . . BB XXI *255*
— inaequiplicatum, Mittellias, Roccheta, Apennin . . . . . 09 II 140
— nodosum, Teryi, tirolense mut. pannonica und Volzi, Oberlias, Csernye, nordöstl. Bakony . . . . . 05 II 426
Hilfstafeln zur Mineralogie . . . . . CBl 1904 572
Himalaya
— Erdbeben im Kangra-Tal, 5. April 1905 . CBl 1905 *332*
— exotische Blöcke . . 05 II 417
— Fauna des Tropites-limestone von Byans 08 II 235

Himalaya
— Juraammoniten . . 1905 II 319. 320
— Otoceras beds, stratigraph. Stellung . . . CBl 1905 *36*
— — — vergl. mit Ussurifauna . . . . . CBl 1905 *43*
— Otoceras- und Meekoceras beds, stratigr. Stellung . . . . . CBl 1905 *1*
— perm. Fossilien des zentralen . . . . . 1905 II 278
— Trias . . . . . 06 I 412
— zentraler, Untertrias- und Lias-Fauna der tibetan. Klippen . . 08 II 412
Himalayites Nederburghi u. Treubi, Sulainseln 05 I 152
Himavatites Watsoni, Tropites-limestone, Byans . . . . . 08 II 237
Hindsiella Bourdoti, Eocän, Loire inférieure. 06 I 468
Hindu-Kusch, Geologie, Verbreitung des Blaini-Konglomerats . . . . 05 II 415
Hipparion . . . . . 05 II 468
— cf. gracile, Pliocän, Cueva Rubbia, Spanien 07 II *6*
Hipparion-Fauna, Perrier 06 I 143
Hipparionyx, Devon, Bolivia . . . . . BB XXV *542*
Hippoidea, Patagonien . 05 II 466
Hipponiciden, Paläogen, Aegypten . . . . . 05 II 320
Hippoporina radicifera, Tertiär, Patagonien . 05 II 141
Hippuriten, Entwicklung 06 II 453
Hippuritenhorizonte der Gosauschichten, nordöstliche Alpen CBl 1905 *77* CBl 1907 *417*
Hippurites inferus, var. calloneghensis, Kreide, Calloneghe . . . . . 05 I 317
Hippuritiden, bilden nicht durch Knospung Kolonien . . . . . 09 I *93*
Hirmaneura melanderi u. vulcanica, Miocän, Florissant, Col. . . . 08 II 111
Hirschberger Kessel, Diluvium . . . . . 07 II 462
Hirschgeweihe, Pliocän, Piemont . . . . . 06 II 132
Hittorf'scher Phosphor, Kristallform . . . . CBl 1908 *296*
Hochedergruppe (Kuchetaier Berge), Geologie 1908 II 66
Hocheppaner Porphyr, Bozen . . . . . BB XXVII *131*
Hochgebiete, tektonische CBl 1909 *277*
Hochschulen, Unterricht in Mineralogie u. Geologie . . . . . 06 II 147
Höfe, pleochroitische, Entstehung 1908 II 144 CBl 1907 *397* CBl 1909 *65. 113. 142*
Höhenberg (Oberpfalz), Doggerprofil . . . . 05 I *64*
Höhlen
— große Katzen . . . . 07 II 317
— mit Menschenspuren 1907 I 449 ff.
— Rentierzeit mit Artefakten . . . . . 06 I 132
— Brasilien . . . . . 07 II 134
— Brescianer Alpen . . 05 II 123
— Castro in Ottranto, Menschen- u. Tierreste 07 I 296
— England, Brassington, Derbyshire, Knochen 07 I 453
— — Goughcavern, Cheddar, Menschen- etc. Knochen . . . . . 06 I 133
— — Longcliffe Station, Derbyshire, mit quart. Tieren . . . . . 07 I 449
— Frankreich, Baoussés Roussés, menschl. Skelette etc. . . . . 07 I 449
— — Dordogne, mit Artefakten . . . . . 07 II 476
— — — Font-de-Gaume, Alter . . . . . 05 I 55
— — La Calvitie (Dordogne), mit Menschenspuren . . . . . 07 I 453
— — Lacave (Lot), Tiere und Artefakte . . . 07 I 450
— — Noailles (Corrèze), mit Menschenspuren. 07 I 453
— Gola von Pioraco, Potenzatal . . . . . 06 I 134
— Grotta Romanelli bei Castro (Terra d'Ottranto), Interglazialfauna etc. . . . . 06 I 131
— Heinrichshöhle bei Sundwig, mit Knochen 06 I 129
— Kalifornien, Bärenhöhle . . . . . 07 II 317
— — Potter Creek Cave, mit Säugetierknochen 06 I 125

Höhlen
— Kalifornien, quartäre Säugetiere, Potter Creek Cave . . . . . 1907 I 298
— — Samwel-Höhle, Preptoceras Sinclairi . 07 I 458
— Keßlerloch bei Thayingen, Menschen- und Tierreste 1905 II 124 07 I 294
— Ludomirow, Menschenreste . . . . . 07 I 452
— Mähren (Mladeč), Menschenreste . . . 07 I 452
— Nartuby-Tal bei Draguignan (Vaucluse), diluv. Mensch . . . 06 I 134
— Potenza-Tal, oberes, diluv. Säugetiere . . 06 I 134
— Potter Creek Cave, Kalifornien, mit Säugetierknochen . . . . . 06 I 125
— Pyrenäen, Wandmalereien . . . 1906 I 132 07 I 451
— Rotes Feld (Podkalem oder Pokala), bearbeitete Knochen . . . . 06 I 132
— S. Teodoro, Taormina etc. (Messina), diluv. Säugetiere u. Mensch 06 I 142
— Säntis, Wildkirchli . 08 I 106
— Upliz-Tsike, westlich Gori, Transkaukasien, im mioc. Sandstein . 06 I 44
— siehe auch Knochenhöhlen und Mensch.
Höhlenbär, England . . 08 I 438
Höhlenlöwe . . . . . 07 II 317
Höhlentiger . . . . . 07 II 317
Hörnesit, Entwässerung . 05 II 4
Hörnli bei Grenzach (Basel), Profil . . . . . 06 II 260
Hoff, Karl Ernst Adolf von, Bahnbrecher der Geologie . . . . . CBl 1905 438
Hohenzollern
— Erdbeben 1901—1904 06 II 187
— erdmagnet. Elemente 07 I 375
Hohe Tauern, Geologie . 07 I 267
Hohlräume im Granit. Antananarivo, Madagaskar . . . . . 07 I 393
Hohofenschlacke, Menyhaza, mit Manganspinell . . . . . 08 II 168
Hokkaido, Japan, Kreidecephalopoden . . . . 05 I 529
Holaster ananchytoides, planus var. inferior u. var. quadrangula, unt. Angoumien, Osning-Bergketten, Teutoburger Wald . . . . . 1906 II 103
Holasteropsis Credneriana. Credneriana var. subconica, unt. Angoumien, Osning-Bergkette, Teutoburger Wald . . 06 II 103
Holcostephanus, Astieria-Formen . . . . . 09 I 77
— Guebhardi, Unterkreide, Escragnolles . 05 II 322
— hobler hillensis, unt. Kreide, Patagonien . BB XXV *633*
— madagascariensis, Kreide, nördliches Madagaskar . . . . 07 I 428
Holectypus, Neocom, argent. Kordillere . . BB XXIII *223*
— Paulckei, Kreide, Peru (Yauli e Bol) . . . . 08 I 437
Holland
— Glazialbildungen . . 08 II 100
— Quartär . . . . . 05 II 444 ff.
— — und Glazial . . . 07 I 443
Hollandites Moorei und Roxburghii, Muschelkalk, Himalaya . . . 08 II 243
Hologlyptus Douvilléi, ob. Jura, Tunis . . . 07 II 156
Holopea cf. subconica, Devon, Bolivia . . . BB XXV *510*
— wellingtonensis, Silurodevon, Wellington Caves, N.-S.-Wales . 07 I 155
Holopella multitorquata, Grenzdolomit, Schwaben . . . . . BB XXV *108*
Holopocriniten, Körperform . . . . . Festband *272*
Holopodidae, Körperform Festband *276*
Holopus, Körperform . . Festband *293*
Holosaurus abruptus, ob. Kreide, westl. Nordamerika . . . . . 08 II 441
Holz
— der Keuperpflanzen, vergl. mit dem der Liaspflanzen, Bayern 09 I 467
— fossiles, Westen der Verein. Staaten . . . 09 I 149
— verkieseltes und Chalcedon, Martinique . . 05 I 373

Holz
— verkieseltes, Prinz-Rudolfs-Insel . . . . 1906 I 35
— — Steinheim . . . . . 07 I 229
— versteinertes, Copaz, nördl. Manila . . . . 06 I 359
Holzappeler Gangzug
— Fortsetzung zwischen Lahn und Mosel . . 09 I 242
— südwestl. Fortsetzung 08 I 241
Homalodontherium, Patagonien, Extremitäten . . . . . 1907 II 138. 140
Homalodontotheriidae. Kreide, Patagonien 1905 I 168 05 II 467
Homalonotus Barratti, Devon, Cornwall . . 05 II 316
— Kayseri, Devon, Bolivia . . . . . BB XXV *502*
Homalostylops, Kreide, Patagonien . . . . . 05 I 168
Homburgwald, Geologie . 05 II 259
Homerites semiglobosus, ob. Hosselkus limestone, Trias, Amerika 06 II 299
Homilit, Konstitution . 07 I 349
Hominidae, amerik. Eocän 05 I 331
Homo heidelbergensis, Mauer bei Heidelberg, Unterkiefer . . . . . 08 II 415
— primigenius, Beziehg. zu H. sapiens . . . . 08 II 422
— — Neandertaler . . 1905 II 300 ff.
— — und sapiens, Krapina, Neandertal und Spy etc. . . . . 1906 II 273. 277
siehe auch Mensch, Höhlen, Artefakten, Eolithen etc.
Homöotropie fließend-weicher Kristalle . . 06 II 151
Homolopsis transiens, jüngste Kreide, Faxe und Schonen . . . . 06 II 141
Homomya austinensis u. vulgaris, Buda limestone, Kreide, Nordamerika . . . . . 06 I 308
Honeoyea, Naples-Fauna, systemat. Stellung . CBl 1905 *386*
— — westl. New York . 05 I 150
Hopeit
— Rhodesia . . . . . CBl 1908 51
— — Broken Hill mines 1909 II 31 CBl 1907 602
Hoplisidia Kohliana, Tertiär, Florissant, Col. . 1907 I 321
Hoplisus sepultus, Tertiär, Florissant . . . 07 I 321
Hoplites, untere Kreide, Patagonien . . . . . BB XXV *612*
— Asseni u. Roozeboomi, Suluinseln . . . . . 05 I 152
— bernensis, douanensis, dubiensis, obliquecostatus, Rollieri, Schardti u. syncostatus, untere Kreide, Schweizer Jura . . 1907 I 483. 484
— biassalensis, desmoceroides, Inostranzewi u. Leopoldi, Kreide, Krim 06 I 315
— douannensis, dubisiensis, obliquecostatus, Rollieri u. syncostatus, unt. Kreide, Westschweiz. Jura . 06 II 144
— Köllikeri, Ober-Tithon, Argent. Kordillere . BB XXIII *201*
— Leopoldinus, Neocom, Sardinien . . . . . BB XXIII *468*
Hoplitoides Koeneni, Mungokalk, Kamerun 05 I 153
Hoplochelys caelata, Nordamerika . . . . . 09 I 450
— paludosa und saliens, Nordamerika . . . . 09 I 452
Hoploparia aspera, Kreide, Schaumburg-Lippesche Mulde . . . . . 06 I 441
— Browni, Kreide, Montana . . . . . 08 I 443
— Triboleti, unt. Kreide, Balaklava (Krim) . . 08 I 443
Hoplophorus, Santa Cruz beds, Patagonien . . 06 I 454
Hoplosthetus levis und praemediterraneus, Otolithen, Tertiär, Oesterreich . . . . . 07 I 480
Horizontalpendelstationen, Leipzig, Beobachtungen vom 1. Januar bis 30. Juni 1903 . . . 05 I 52
— siehe auch Erdbebenstation.
Horizontalschübe in den Gebirgen (Alpen) . . 08 II 231
Horizostoma = Cerithium heterostoma, Kreide, Sachsen . . . . . 06 I 317

Hornblende
— Einwirkung von Radiumbromid . . . . CBl 1909 *70*
— pleochroit. Höfe . . CBl 1909 *144*
— Zusammensetzung . . 1908 II 22
— Bodenmais (Barkevikit) . . . . . 05 II 193
— Ecuador, braune, Zerfall im Eruptivgestein 05 II 76
— Finkenberg bei Bonn, im Basalt . . . . . CBl 1908 *418*
— Koswinsky Kamen (Ural), im Diorit, sogen. Soretit . . . . 05 I 30
— Kuttenberg (Böhmen) 08 I 39
— Mayen, Mineralien der Einschlüsse . . . . . 06 I 347
— Sächs. Mittelgebirge, im Amphibolschiefer. 09 II 214
— siehe auch Amphibol, Kaersutit etc.
Hornblendeandesit
— Argentinien . . . . . BB XXII *589*
— Gleichenberg (Steiermark) . . . . . CBl 1908 *721*
— Grahamsland . . . . 08 I 77
Hornblendedioritporphyrit, Argentinien . . . . . BB XXII *610*
Hornblendegabbro
— Odenwald . . . . . 09 I 376
— Sächs. Mittelgebirge . 09 II 215
Hornblendegarbenschiefer, St. Gotthard (Südseite) . . . . . BB XXVII *161*
Hornblendegestein, Pargas, Finnland . . . . 07 I 68
Hornblendegranit, Erlenbach (Odenwald), Kontakt mit Schiefer CBl 1906 *763*
Hornblendeperidotit, Schriesheim, Absorptionserscheinungen . 06 I 51
Hornblendeschiefer
— Birma, Jadeitlagerstätte . . . . . 09 I 187
— Raspenau, Böhmen, im körnigen Kalk des Kalkbergs . . . . . 06 I 56
— siehe auch Amphibolit.
Hornblendit . . . . . CBl 1905 *410*
— Pyrenäen (Bellongue und Ger-Tal) . . . . 05 I 428
— Schöllschitz bei Brünn 09 II 383
Hornfels
— Airolo, chemisch . BB XXVII *190*
— Baden-Baden . . . . 09 II 65
Hornfels
— Biegelsberg b. Eberstadt, Biotitschiefer-. 1906 II 58
— Concepcion del Oro, Zacatecas, Mexiko, Kontakt mit Granodiorit . . . . . BB XXVIII *493*
— Harzburg, im Kontakthof des Brockens, Diabas- . . . . . 06 I 212
— Kap Yatau (Kiautschou), am Granit . 06 II 366
— Luisenburg bei Wunsiedel . . . . . 07 II 63
— Lydenburg, Transvaal 07 I 236
— Odenwald . . . . . CBl 1907 *116*
— Presanellagruppe, nördlicher Abhang . . . 08 II 367
— Rican bei Prag, Cordierit- . . . . . 08 I 58
— siehe auch Kalksilikathornfels.
Hornfelsgneis, Brünner Eruptivmasse . . . . 09 I 378
Hornfelsstruktur u. kristalloblast. Reihen . CBl 1909 *501*
Hornfluh, Berner Voralpen, Geologie . . . 07 I 99
Hornfluhbreccie, exot. Blöcke etc. . . . . 1908 II 381. 396
Hornstein
— Bessarabien . . . . 07 II 380
— Ceylon . . . . . 06 I 180
— — im verkieselten Kalk . . . . . 05 II 392
— Cornwall, im Basalt . 05 II 387
Hornsteinknollen, Scaglia, Euganeen, Radiolarien . . . . . 06 I 474
Hortalotarsus, Südafrika 08 I 442
Hosselkus-Kalk, Shasta-Mountains, Trias, Ichthyopterygier . . . 1906 I 147. 150
Hosselkus limestone, ob. Trias, Kalifornien . . 06 II 99
Hostimella hostimensis, Devon, Etage H, Mittelböhmen . . . . . 06 II 145
Howesia, Browni, Cynognathus-Schichten, Kapkolonie . . . . . 08 II 438
Hrastiste-Kalk, Bosnien, Fauna . . . . . 05 I 106
Huantajayit, Synthese . 08 I *22*
Huanuco, Peru, Erzlagerstätten . . . . . 05 I 388

Hübnerit, Nordamerika, Produktion . . . . . 1906 I 355
Hüftbeinrudimente, Cetaceen . . . . . 09 II 113
Hügel, natürliche(Mounds), Kalifornien und Arkansas, Entstehung . 08 II 349
Hüggel
— südl. Osnabrück, Alter der Sandsteinschichten 06 II 420
— — — Eisenerze . . . 09 II 250
Huftiere
— Patagonien, Extremitäten . . . . . 07 II 136
— Südamerika . . . 1905 I 167. 172
— siehe auch Ungulaten.
Hulsit, Alaska . . . . . 09 II 342
Humboldt Range, Nordamerika, Geologie . . 06 II 95
Humus, Roh-, Bildung auf dem Trockenen u. Begrenzung . . . . . 05 II 78
Humusarten, norddeutsche Moore . . . . . 08 II 409
Humusstoffe u. Bildung von See- und Sumpferzen . . . . . 09 I 77
Hund, wilder, quartär, Rußland . . . . . 07 I 454
Hundsheim
— Diluvialfauna . . . . 08 II 106
— quartäre Gastropoden 07 II 460
Hungarites (Judicarites) arietiformis, Hallstatter Kalk, Epidauros (Argolis) . . . . . Festband *10*
— costatus u. cf. Mojsisovicsi, Han Bulog-Kalke, Hydra . . . BB XXV *456*
— Danubii, Muschelkalk, Dobrudscha . . . . 08 I 421
— Yatesi, mittl. Trias, Ingo Range . . . . 06 II 304
Hunsrückschiefer am Mittelrhein . . . . . 09 I 272
Hunyad-Komitat, Geologie . . . . . 06 I 264
Hupperablagerungen, Basler Jura . . . . 09 I 388
Huron, Lake Superior-Region . . . . . 07 I 107
Hussakit = Xenotim, Zusammensetzung . . . CBl 1907 *533*
— Carolina, South Mountains, im Graphit, chemisch . . . . . 09 II 369
Hutchinsonit, Binnental 1909 I 171 CBl 1905 *490*. 283
— — Kristallform . . . 1906 II 30
Huyghens, Abhandlung über das Licht . . . CBl 1904 441
Hyacinth, Ceylon, photographische Wirkung . CBl 1909 *147*
— siehe auch Zirkon.
Hyaemoschus, Seegraben bei Leoben . . . . . 05 II 305
Hyaena arvernensis, Mosbach . . . . . 07 II 484
— bathygnatha, Kendeng-Schichten, Java . . . 09 I 120
— crocuta, Pleistocän, Großbritannien . . . 06 II 442
— spelaea, Märk. Diluvium 05 II 443
Hyaenasuchus Whaitsi, unt. Karoo beds, Südafrika . . . . . 09 II 127
Hyänen, Diluvium, Mark 05 II 472
Hyänodon, Verhältnis zu Sinopa . . . . . 07 I 127
Hyaenodontidae, Tertiär, Fayum . . . . . 07 II 315
Hyalina orbicularis, Obermiocän, Randeck . . CBl 1908 *593*
Hyalinia applanata und imperforata, Alttertiär, Ulm . . . . . 08 II 104
— globosa, Alttertiär, Giengen bei Ulm . . 08 II 104
Hyalit
— Böhm. Mittelgebirge, in Erdbrandgesteinen 08 I 175
— Mähren, Lukov . . . 05 II 179
Hyalophan
— optisch . . . . . 07 I 352
— Binnental, grüner . . CBl 1905 752
— — Kristallform . . . 06 I 168
— — Zusammensetzung etc. . . . . 05 II 18
— siehe Barytfeldspat, Celsian etc.
Hybodus Hauffianus . . 09 I 456
— nevadensis u. shastensis, Trias, Nordamerika 08 II 446
Hydnophyllia Zuberi, Kreide, Ostgalizien . 09 I 294
Hydra, Trias . . . . . BB XXV *443*
Hydrargillit
— Zwillinge . . . . . CBl 1907 *407*
— Capao lungo bei Ouro Preto, Brasilien, Färbung durch organ. Farbstoffe . . . . BB XXVIII *373*

Hydrargillit
— Ceylon, im Laterit . 1906 I 183
— Kriwoj-Rog . . . . . 07 II 191
Hydrobia (Belgrandia) cf. Deydieri, Pliocän, Cueva Rubbia, Span. 07 II *21*
— Moureti, Cenoman, Südfrankreich . . . . 07 II 132
Hydrogoethit, Lipetzk, mit Einschlüssen von Feldspatkristallen 1905 II 21. 181
Hydrographie
— glaziale, Beziehung zu Terrassen und Seebecken, östl. Norddeutschland . . . . 05 I 481
— Süd-Dakota . . . . 05 I 229
Hydrohämatit, Schottland . . . . . 05 I 441
Hydrolith, Palagonia, Begleiter . . . . . 08 II 35
Hydrologie
— Antarcticum, Expedition der Belgica . . 06 II 97
— westlicher Kaukasus . 05 I 55
Hydrostatische Schnellwage . . . . . 09 II 327
Hydrotachylit, Roßberg bei Darmstadt . . . 06 I 369
Hydrothermische Vorgänge, Wedekind, Nevada, Bildung von Erzgängen . . . . . 05 I 426
Hydroxydgele . . . . . CBl 1909 *326*
Hydrozinkit . . . . . CBl 1909 *328*
— Dschebel Ressas, Tunesien . . . . . 07 I 41
— Rhodesia, Broken Hill-Grube . . . . . 09 II 36
Hydrozoen
— Mesozoicum, Sardinien 06 I *61*
— Silur, Gotland und Oesel. . . 1909 I 153 09 II 326
Hygrophilit . . . . . CBl 1909 *332*
Hylastites Schellwieni, balt. Bernstein . . . 08 II 113
Hylesinites anceps, balt. Bernstein . . . . . 08 II 113
Hymenocephalus? austriacus u. labiatus, Otolithen, Tertiär, Oesterreich . . . . . 07 I 480
Hymenoptera, Florissant, Colorado . . . . . 07 I 321
— Miocän, Nordamerika 08 II 112
Hyolithen, syst. Stellung CBl 1908 *362*
Hyolithes (Theca), Devon, Ostthüringen . . BB XXIV *300*
— Schencki, Devon, Bolivia . . . . . BB XXV *517*
Hyopsodiden, Wyoming 1907 II 133
Hyopsodus Browni, Jacksoni, lemoinianus, laticuneus, minor, miticulus, powellianus, simplex und Wortmani, Wyoming . . . . . 07 II 133
Hyotherium Sömmeringi, Seegraben bei Leoben 05 II 305
Hyperammina Zinndorfi, Rupelton, Mainzer Becken . . . . . 09 II 324
Hyperleptus, Santa Cruz beds, Patagonien . . 06 I 462
Hyperoodon, Boldérien, Antwerpen . . . . . 07 I 132
Hypersenon, Peterwardeiner Gebirge (Fruska Gora) . . . . . 06 II 266
Hypersthen
— Disposition der opt. Achsen . . . . . 08 I 23
— Morphotropie . . . . 09 II 173
— Corsica, Osani, im Trachyt und Andesit 07 II 405
— Grönland . . . . . CBl 1908 378
— Sibirien, am Anabara, im Gneis . . . . . 09 II 16
Hypersthenandesit u. -dacit, Crater Lake, National Park . . . . . 05 I 253
Hypersthengabbro, Odenwald, Beziehung zu Gabbro und Diorit . CBl 1906 *689*
Hypertragulus, John Day Series . . . . . 07 I 303
Hypocetus, Boldérien, Antwerpen . . . . . 07 I 134
Hypocladiscites, Rassenpersistenz . . . . . CBl 1909 *202*
Hypodiadema Menuthias, unt. Jura, Madagaskar 09 II 482
Hypoglossus, Foramen, bei Reptilien . . . . CBl 1906 *336*
Hypohippus . . . . . 05 II 468
Hypsoclypus zu Echinolampas . . . . . 09 II 484
Hypsocormus macrodon u. insignis, lith. Kalk, Nusplingen . . . . . 09 I 454
Hypsometer mit elektr. Temperaturmessung . 06 II 46

Hyracoidea, Zahnsystem 1905 II 461
— Patagonien . . . . . 05 II 466
Hyracotheriidae, Kreide, Patagonien . . . . . 05 I 167
Hyracotherium, Verwandtschaft . . . . . 06 II 291
Hystricomorpha, Argentinien . . . . . 05 I 160
Hystricrinus Schwerdii, Ober-Koblenz, Laubach . . . . . 05 I 181

I.

Iberger Klippen, Deckenbau . . . . . CBl 1906 *461*
Ichthyerpeton squamosum, Carbon, Linton, Ohio . . . . . 09 II 134
Ichthyoidichnites acadiensis, Knoydartformation, Neu-Schottland . . . . . 05 I 340
Ichthyopterygia, Trias, Kalifornien u. Nevada 1906 I 147. 150
Ichthyosauria
— Ohr . . . . . 08 I 440
— Obertrias, Arizona . 06 I 150
— Trias, Literatur . . . 06 I 150
— — Amerika . . . . 09 I 445
Ichthyosaurierreste, Kreide . . . . . BB XXV *422*
Ichthyosaurus, Embryonen 09 I 448
— australis, Kreide, Queensland, präcaudale Wirbel . . . . 07 I 145
— Kokeni, Grodischter Schichten . . . . . BB XXV *433*
— cf. trigonus, untere Kreide, Patagonien . BB XXV *640*
Ictidosaurus angustidens, Beaufort West, Südafrika, Schnauze . . 07 I 143
Ictidosuchidae, Systematik 07 I 479
Idaho, unt. marine Trias 06 II 98
Idalina Berthelini . . . 07 I 158
Ideodidelphys, Kreide, Patagonien . . . . . 05 I 169
Idoceras . . . . . 07 II 471
— cajense . . . . . 07 II 469
— Figueroae . . . . . 07 II 469
— inflatum . . . . . 07 II 469
— mexicanum . . . . . 07 II 469
— santarosanum . . . . 07 II 469
— Soteloi . . . . . 07 II 469
Idoceras subdedalum . . 1907 II 469
— submalleti . . . . . 07 II 469
— Viverosi . . . . . 07 II 469
— zacatecanum . . . . 07 II 469
Idokras, siehe Vesuvian.
Igneogenetische Erze . . 07 I 406
Iguanodon, Fußfährten . 05 II 310
Iguanodonfährten, Bad Rehburg . . . . . CBl 1909 *700*
Ihleit, Böhmen, Alaun- u. Pyritschiefer des westlichen . . . . . 06 I 53
Ijolith
— Ampasindava (Madagaskar) . . . . . 05 I 436
— Kilimandscharo . . . 07 II 412
Ilex lusatica, Braunkohle, Senftenberg . . . . 08 I 449
Ilmenit
— Binnental, Kristalle 1908 I 204 CBl 1905 752
— Brasilien . . . . . CBl 1907 93
— — Jacupiranga . . . 09 I 175
— Craveggia, Piemont . 08 II 14
— Norwegen, Granitpegmatitgänge des südl. 08 I 342
— Ottawa bei Pisek im Goldsand . . . . . 05 I 365
— siehe auch Titaneisen.
Ilmenitgruppe
— Beziehungen . . . . CBl 1906 157
— — zu Geikielith etc. 06 II 157
— Ceylon, Edelsteinsande 07 II 18
Ilmenorutil, Beziehung zu Strüverit 1909 I 175 CBl 1908 176
Ilmkiese u. -Schotter, quartäre . . . . . 07 II 461
Ilsemannit . . . . . CBl 1909 328. 329
Ilvait = Lievrit.
Imperforate Foraminiferen . . . . . CBl 1906 *225*
Imperforatenkalk, Tertiär, Norddalmatien . 06 I 259
Impfung beim Schmelzpunkt von Silikatgemengen . . . . . 06 II 4
Inaktive Kristalle
— Reflexion des Lichts an durchsichtigen . . BB XXVI *296*
Inaktive Kristallplatte, Interferenzerscheinung. BB XXI *543*
Indiana, Geologie der Niagara Domes, im nördlichen . . . . . 05 II 415
Indien, Juraammoniten 1905 II 319. 320

Indien
— Orthophragmina und Lepidocyclina in den Nummulitenschichten 1909 I 141
— permische Eiszeit CBl 1908 *449* Festband *446*
— Schweremessungen . 07 II 388
— Tertiär des westlichen Sind . . . . . CBl 1905 *129. 161*
— Trias . . . . . 06 I 411
— siehe auch Karachi.
Indien, Niederländisch, Geologie . . . . . CBl 1909 *563*
— — — des östlichen . 09 I 243
— — — der Sula-Inseln 05 I 151
— siehe auch Java etc.
Indisch-Australischer Archipel
— Geologie CBl 1908 *503* CBl 1909 *563* BB XXII *385* BB XXV *293*
— — von West-Buru . BB XXIV *133*
— Inseln . . . . . BB XXIV *116*
— Macrocephalites . . . CBl 1909 *174*
— Trias der Molukken u. von Timor . . . . . BB XXIV *161*
Indischer Archipel, mesozoisches Land und Meer . . . . . 07 I *107*
Indischer Ozean u. Madagaskar, Geologie . 07 I 427
Indizes, Bestimmung mittels eines Transporteurs . . . . . 05 I 4
Indoceras baluchistanense, Ontogenie . . . . . 05 I *1*
Induzierte Kristallformen 08 II 140
Infiltration, submarine, beim Fluß- u. Eruptivmechanismus . . . . 09 I 204
Influenzierte Kristallformen . . . . . 08 II 140
Infracretacé, Argolis . . 05 I 298
Infralias
— Provenchères-sur-Meuse 08 II 438
— Vendée u. Deux Sèvres, Echiniden . . . 05 II 147
Infrapithecus, Kreide, Argentinien . . . . . 05 I 167
Inga holzhausensis, Tertiär, Eichelskopf bei Homberg . . . . . 09 I 148
Ingolf-Expedition, dänische, Meeresgrundproben zw. Island und Grönland . . . . . 05 I 421
Inia, Boldérien, Antwerpen 07 I 132
Injektion
— Einfluß der, auf Nebengestein . . . . . CBl 1906 608
— von Eruptivmaterial, Klassifikation . . . . 1907 I 51
Injektionserscheinungen
— Harz u. Schwarzwald 09 I 55
— südl. Odenwald . . . CBl 1907 *76*
Injektionsgestein, Pizzo Forno, Tessin . . . . BB XXVI *502*
Inkretionen . . . . . 06 I 227
Inlandeis
— Beziehung zur Reliefgestaltung des Landes 06 II 437
— Norddeutschland (Pommern) . . . . . 07 I 114
Inlandeistheorie, L. v. Buch und Torrell . 05 II 445
Inntal bei Nauders, Geol. 08 I 255
Inoceramenschichten
— Karpathen, Alter . . 07 I 435
— Rzeszow u. Debica, Foraminiferen . . . . 06 II 264
Inoceramus ?, Kreide, Bregenzer Wald . . . BB XXVII *23*
— aduncа u. klamathensis, Kreide, Kalifornien 06 I 288
— Brancoi, cycloides u. nasutus, Granulatenkreide, westl. Münsterland . . . . . 08 I 427
— confusus und praedigitatus, Scaglia, Venetien . . . . . 05 I 357
— cracoviensis und robustus, Untersenon, Bonarka . . . . . 08 I 431
— crassus, Kreide, Sachsen und Böhmen . . 05 I 357
— aff. Cripsi, unt. Kreide, Patagonien . . . . . BB XXV *608*
— galoi . . . . . 07 II 447
— giganteus, Emscher, Siebenbürgen . . . . 07 I 485
— irregularis, Fort Pierre-Schichten, Los Cerillos (Neu-Mexiko) . . . . 08 I 436
— labiatus, Schichten, Dithmarschen . . . . CBl 1906 *275*
— Langi, Kreide, Angola 06 II 112
— sularum . . . . . 07 II 447
— taliabuticus . . . . . 07 II 447
— volviumbonatus, Kreide, Zululand . . . . 07 II 304
Insectivora, Tertiär, Patagonien . . . . . 07 II 320

Insekten
— Carbon und Perm, Amerika . . . . . 1907 I 322
— fossile . . . . . 07 I 320
— — Handbuch . . . . 07 I 151
— — und Phylogenie der rezenten . . . . . 08 II 278
— Carbon, Belgien . . . 05 I 523
— Perm, Rußland . . . 05 I 523
— Quartär, Karpathen . 08 II 113
— Tertiär, Florissant, Bernstein etc. . . 1908 II 110 ff.
Inselberge im Rheintal, Schweiz . . . . . 09 I 400
Instrumentenkunde für Forschungsreisende . CBl 1906 479
Interferenzbilder, Ableitung durch die Skiodromen . . . . . 07 II 165
Interferenz-Elastizitätsapparat(Elasmometer) 05 II 2
Interferenzerscheinungen
— aktiver Kristallplatten im polarisierten Licht BB XXI *540*
— doppeltbrechenderKristallplatten, photogr. Abbildung . . . . . CBl 1904 472
— ein- und zweiachsiger Kristalle im Konoskop nicht senkrecht zu einer Achse oder Mittellinie . . . . . 09 II 328
— inaktiver durchsichtiger Kristallplatten . BB XXI *543*
— Muscovit . . . . . CBl 1907 *577*
Interferenzfiguren, Verbesserung der Lasaulx'schen Methode 07 II 3
Interglazial
— Auffassung . . . . . CBl 1906 381
— Frage des . . . . . CBl 1905 *673*
— Berlin . . . . . 07 II 465
— Elmshorn, pflanzenführend . . . . . 05 II 441
— Fläming . . . . . 05 II 443
— Godenstadt b. Zeven 08 II 408
— Gräfenhainichen—Schmiedeberger Plateau, Kiesströme 1909 I 110 09 II 108
— Grotta Romanelli bei Castro (Terra d'Otranto), Fauna . . . 06 I 131
— Holland . . . . . 08 II 100
— Ismaning (München), Konchylienfauna . . 06 II 434
Interglazial
— Lüneburger Heide . . 1908 II 99
— Moskau, Gouvernem. 08 I 275
— Neuhaldensleben . . 06 I 122
— Parchim CBl 1905 *673. 737* CBl 1906 *66*
— Saaletal zw. Halle und Weißenfels . . . . . 06 II 432
— Vorpommern . . . . 07 II 462
— Wallensen, Hilsmulde, Hannover . . . . . 05 I 144
Interglaziale Konchylienfauna, Ismaning bei München . . . . . 06 II 434
Interglazialzeiten . . . . CBl 1906 381
— Beziehung zu Bergstürzen u. Erdschlipfen . . . . . 08 II 339
— Thüringen . . . . . CBl 1906 *679*
Interhippus, Kreide, Patagonien . . . . . 05 I 167
Interlaken, Geologie . . 09 I 88
Intrusionen
— Mexiko, junge, Beziehung zu Tektonik CBl 1907 *449*
— Skye . . . . . 06 II 68
Intrusivformen, Klassifikation . . . . . 07 I 51
Intrusivgesteine, Sustenhörner, Aarmassiv, im Schiefermantel . . . 06 II 62
Intumescens-Fauna, Europa, Asien u. Amerika CBl 1905 *385*
Inyoites Oweni, Meekoceras beds, Kalifornien 06 II 304
Iowa
— Bericht des Geological Survey für 1901 . . 05 I 439
— Geological Survey für 1903 . . . . . 06 I 410
— geologische Untersuchung und Tone . 06 I 410
— Mineralproduktion1901 05 I 439
— — 1902 . . . . . 07 I 251
— Tone . . . . . 1906 I 240. 410
Irania granulata u. persica, Senon, Südpersien . . . . . 06 I 444
Irinosawa-Schiefer, Jura, Rikuzen, Japan . . . 05 I 465
Iroquois-Ufer, Geologie . 07 I 378
Irving-Grünsteine, San Juan Mountains, Colorado . . . . . 06 II 219
Irvingit, Wausau, Wisconsin, im Pegmatit . 09 I 190

Isastraea grandiflora, Trias, Kotel, Bulgarien . . . . . CBl 1905 *482*
Ischyodus aalensis und ferrugineus . . . . . 1905 II 134
Ischyrocyon hyaenodus, Miocän, Süd-Dakota 05 II 127
Isculites Smithii, Tropites-limestone, Byans 08 II 238
Iseosee, geolog. Karte . CBl 1909 *135*
Island
— äolische Aufschüttungsringe an Firnflecken . . . . . CBl 1909 *180*
— Aufbau . . . . CBl 1909 *622. 646*
— diluviale Vergletscherungen . . . . . CBl 1906 *232*
— Geologie . . . . . CBl 1906 *566*
— Glazial . . . . . CBl 1905 *535. 546*
— Grundproben d. Meeres gegen Grönland . . . 05 I 421
— Lavaergüsse . . . . 08 I 216
— muschelführender Geschiebelehm in der Palagonitformation . . 05 II 294
— Pleistocän und Palagonitformation . . . CBl 1905 *740*
— schildförmige Lavavulkane . . . . . 09 I 47
— tertiäre und rezente Gletschererscheinungen des Westens u. Nordens . . . . . 08 II 341
— verkieselte Holzstämme an der Ostküste . CBl 1908 *66*
— vulkanische Erscheinungen im östlichen zentralen . . . . . BB XXVI *381*
— Vulkanspalten u. Vulkanreihen . . . . . BB XXVI *1*
Ismaning (München), interglaziale Konchylienfauna . . . . . 06 II 434
Isoarca Faucheroni, Zone des Lioc. concavum, Couzon-au-Mont-d'Or bei Lyon . . . . . 05 I 464
Isoaxiale einfache Formen des reg. Systems . . 05 II 331
Isobrommetacrylsäure, Kristalle . . . . . 07 I *103*
Isocardia cliffwoodensis, Kreide, Cliffwood (N. J.), Clays . . . . . 07 II 132
— eljasensis, Glandarienkalk, Syrien . . . . 06 I 279
Isocardia Thomasi, Turon, Aegypten . . . . . 1905 II 285
Isochilina gregaria var. Ulrichiana, Hamilton (Ontario) . . . . . 05 II 317
Isocrinus holsaticus, Quadratenschichten, Lägerdorf . . . . . 07 II 154
Isodectes Copei od. punctulatus, ältestes Reptil 09 II 123
Isodimorphismus, bes. der Alkalinitrate . . . . 06 II 318
Isodulcit, Zirkularpolarisation . . . . . 05 II 335
Isogyren und Skiodromen 09 I 156
Isolophodon cingulosus u. aplanatus, unt. Tert., Cañadón Blanco, Patagonien . . . . . 05 I 497
Isomerie
chemische, Unterschied von Polymorphismus 05 I 11
— optische, des Benzoylmethylhexanonoxims CBl 1905 *178*
— und Polymorphie, Bedeutung für Entstehungstemperatur der Mineralien . . . . . 06 II *45*
Isomonobromäpfelsäure, inaktiv, Kristalle . . 07 I *93*
Isomorphe Fortwachsung, Alkalihaloide . . . . CBl 1907 92
Isomorphe Körper, Nomenklatur . . . . . 09 II 179
Isomorphe Kristalle, eindeutige Aufstellung . 05 I 3
Isomorphe Mischung
— Beziehung zu Parallelverwachsung . . . . CBl 1908 51
— Blei-, Silber-, Thallo- und Cuprohalogene aus Schmelzfluß . . . . BB XXII *1*
— Entmischung labiler in der Feldspatgruppe 09 II 181
— optische Eigenschaften . . . . . 1908 II 149. 150
— polymorpher Körper . 09 I 163
— Schmelzkurven . . . 07 II 22
— weinsaures Thallium und Kalium . . . . 07 I 4
Isomorphe Silikate
— experimentelle Untersuchungen . . . . . CBl 1906 *571*
— Kristallisationsgeschwindigkeit aus Schmelzen 06 II 5
— Zusammenschmelzen . 09 II 163

Isomorphe Substanzen, Lücken in der Mischungsreihe . . . . 1905 I 364
Isomorphie
— Geschichte, Systematik, Mischungen . . . 09 II 8
— u. kristallochemisches Gleichgewicht . . . . 09 II 177
Isomorphismus
— der Alkalinitrate . . 06 II 164
— Beispiele . . . . . 08 I 318
— besondere Fälle (Silikomolybdate) . . . . 07 I 333
— Bisilikate von Ca und Mn . . . . . 09 II 343
— Elemente . . . . . 08 II 148
— Kadmiumhalogene, Mischbarkeit . . . . CBl 1907 *301*
— der Kalium- und Natriumverbindungen . 08 II 149
— Kritik der Arbeit von Barlow und Pope . 09 II 328
— Magneteisen . . . . CBl 1907 350
— $NaClO_3$ und $KClO_3$. 08 I 317
— Plagioklase . . . . . 06 I 334
— regelmäßige Verwachsung . . . . . 1909 I 322. 324
— spezifisches Gewicht . 09 II 11
Isonzolinie, Geologie . . 06 II 247
Isopygia (Trilobiten) . . CBl 1907 *130*
Isorthose (Isorthoklas), Troitsk, Ural . . . . 05 I 24
Isospondyli
— britisches Museum . 05 II 135
— englischer Chalk . . 05 II 137
Isostylops, Kreide, Patagonien . . . . . 05 I 168
Isotemnidae und Isotemnus, Kreide, Patagonien 05 I 168
Isurus Smithii, Kalifornien 08 II 443
Italien
— Erdölvorkommen . . 05 I 443
— Geologie u. Geographie des südlichen . . . . CBl 1904 407
— geologischer Bau und Schweremessungen . Festband *129*
— tertiäre Haifische des südlichen . . . . . 05 II 479
Ithaka, Jura . . . . . BB XXI *237*
Itieria Cabanetiana, Clymene, Moreana und Stascycii, Tithon, Sardinien . . . . . BB XXIII *465*
— (Campichia) Pellati, Kreide, Orgon (Bouches-du-Rhône) . . . 06 I 318
Ivrea
— Geologie der Zone 1907 II 49 1909 II 88
— Grünschiefer, Serpentin etc., Entstehung . 07 I 228

J.

Jacupirangitische Fazies des Eläolithsyenits, Tasmanien, Regatta Point . . . . . 08 I 390
Jacutinga, Brasilien . . 05 II 346
Jade (Jadeit u. Nephrit), Werk von Heber R. Bishop . . . . . CBl 1906 249
Jadeit
— Sammlung von Heber R. Bishop, New York 05 I 29
— Oberbirma 1909 I 185 CBl 1906 *97*
— Syra . . . . . 09 II 225
— Ta-li-fu, Yünnan . . CBl 1906 *111*
Jadeitgesteine, Piemont und Ligurien . . . . 05 II 67
Jadeitgruben, Tammaw, Oberbirma . . . . . CBl 1906 *97*
Jahrbuch, Neues, für Mineralogie etc., Geschichte von 1807 bis 1907 . . . . . Festband *VII*
Jakhmari-Kette, Sind, Tertiär . . . . . CBl 1905 *164*
Jamesonit
— ident mit Domingit = Warrenit . . . . . 09 I 170
— Bolivia, Cerro de Ubina, chemisch . . . . . 08 II 336
— Walchen bei Oeblarn (Ennstal) . . . . . CBl 1908 *281*
Janeia ? fallax, Devon, Bolivia . . . . . BB XXV *530*
Janosit = Copiapit . . . 08 II 323
Japan
— Jurafossilien von Rikuzen . . . . . 05 I 464
— Meteoriten . . . . . 07 I 367
— Mineralien . . . . . 05 I 210
— Mineralogie . . . . . CBl 1905 280
— mineralog. Zeitschrift CBl 1905 280
— paragenet. Verhalten der kontaktmetamorphen Erzlagerstätten 09 I 32
— Rhät- und Keuperpflanzen . . . . . 07 II 341
— Schwere, verglichen mit Europa . . . . 08 II 43

Japan, Seiches in den Seen . . . . . 1907 I 381
Japanischer Bogen, Gebirgskettungen Ostasiens . . . . . 05 I 114
Japonites argivus, Wengener Kalk, Argolis . BB XXV *457*
Jarosit
— Schlaggenwald . . . 05 I 198
— Süd-Dakota, Kristalle 07 I 210
JatulischeAbteilung, Finnland . . . . . CBl 1906 *600*
Jatulisches System, Präcambrium, Gouvern. Olonez . . . . . CBl 1907 *37*
Java
— Gastropoden aus tertiären und jüngeren Schichten . . . . . 07 II *151*
— Trinil etc., Pithecanthropus erectus etc. 1909 I 111 ff.
— Vulkane . . . . . CBl 1909 *609*
siehe auch Indien. Niederländisch.
Javanische Waffen mit Meteoreisenpamor . . CBl 1909 715
Jellinekites Barnardi, Hoveyi u. Saundersi, Tropites-limestone, Byans 1908 II 236. 237
Jena, Tertiär u. Tektonik der Umgegend . . . BB XXI *63*
Jenisseisk'scher Bergbezirk, Mineralien . . . 07 II 189
Jerusalem, Geologie . . 07 I 422
Joachimsthal, Radioaktivität der Quellen . . 09 II 373
Joannina Joannae, Pachycardientuffe, Seiser Alp . . . . . 07 II 336
Joannites, Rassenpersistenz . . . . . CBl 1909 *195*
— Alimanestianoi u. Stefanescui, ladin. Stufe, Dobrudscha . . . . 1908 I 419 420
— cymbiformis, diffissus u. var. argolica, Joannis Austriae und mut. compressa, Klipsteini und Salteri, Aonoides-Schichten, Epidauros (Argolis) . . . . . Festband *21*
— loxohelix, Trias, Argolis . . . . . BB XXV *463*
— nevadanus, ob. Muschelkalk, Nevada . . 06 II 301
Jodkalium
— Freimachen von Jod durch gewisse Mineralien . . . . . 1909 I 330
— Kristallisieren auf Glimmer . . . . . 09 I 160
— und Brombaryum, Wachstumserscheinungen an Kristallen . . 09 I 160
Jodmethylat des Pyrazols, Kristalle . . . 07 I *89*
Jodobromit, Globe, Pinal Co., Arizona . . . . 06 II 15
Johannesburg, Transvaal, Geologie . . . . . 07 II 118
John Day Basin, Gesteine und Geologie . . . . 05 II 232
John Day series, Säugetiere . . . . . 07 I 303
Johnstonit, Tasmanien, Regatta Point, im Glimmersölfsbergit . 08 I 391
Joplin-Distrikt, Geologie 07 II 52
JotnischeAbteilung, Finnland . . . . . CBl 1906 *600*
Jotnisches System, präcambrisch. Gouv. Alonez . . . . . CBl 1907 *37*
Jouannetia gouetensis, Eocän, Loire inférieure 07 II 302
Joufia . . . . . 08 I 445
Jovites daciformis und spectabilis, Tropites-limestone, Byans . . 08 II 238
— dacus, ? Tropiten-Schichten, Epidauros (Argolis) . . . . . Festband *31*
— euxinus, ladin. Stufe, Dobrudscha . . . . 08 I 419
Judicarienlinie . . . . . 06 II 237
Judicarische Faltungszone . . . . . 06 II 243
Judicarites (Hungarites) arietiformis, Hallstätter Kalk, Epidauros (Argolis) . . . . Festband *10*
— costatus, Han Bulog-Kalke, Hydra . . . BB XXV *457*
Judith river beds, Nordamerika, Wirbeltiere und Pflanzen . . . . 07 I 439
Jütland
— Oligocän und Miocän CBl 1906 *465*
— Tertiär . . . . . 07 II 452
Juglans elongata, Kreide, New York . . . . . 08 I 455

Jujuy, Prov., Argentinien, Geologie . . . . . BB XXII *571*
Julianehaab
— Grönland, Mineralliste CBl 1908 411
— — Schizolith u. Erikit, im Nephelinsyenit 1905 II 185. 190
Julische Alpen, Geologie 1906 II 247
Julus florissantellus, Miocän, Florissant, Col. . 08 II 111
Juniperus major und minor, Bernstein, Ostpreußen . . . . . 09 I 308
Jura
— Ammoniten d. oberen, Oxforder Sammlung . 05 I 348
— Baptanodon, Osteologie . . . . . 06 I 311
— Chimäriden, Zähne u. Eier . . . . . 05 II 134
— Nautiliden des Lias und Dogger . . . . 07 I 324
— Oppelia, Abstammung der Gattung . . . . CBl 1909 *642*
— Peltoceras Toucasi u. transversarium . . . 06 I *81*
— Phylloceratiden, gekielte, systemat. Darstellung . . . . CBl 1906 *237. 417*

Afrika.

— Madagaskar, Dinosaurier . . . . . 08 II 438
— — Seeigel . . . . . 09 II 482
— — Analalava . . . . 06 I 284
— — nördliches und Indischer Ozean . . . 07 I 428
— Marokko, westliches . 07 I 434
— Ostafrika CBl 1908 *641* BB XXVIII *150*
— Somaliländer, oberer . 06 I 281
— Tanga, Deutsch-Ostafrika, Kelloway . . 06 I 283
— Tunis, Echiniden des oberen . . . . . 07 II 156
— — südliches . . . . 06 I 283

Amerika.

— Morrisonformation . . 07 I 286
— Alaska, pazifische Küste . . . . . 09 I 398
— — und Cook Inlet . 07 I 277
— Argentinien, Hauptkordillere, Pflanzen . 05 II 271
— — Kordillere, oberer Malm . . . . . BB XXIII *187*

Jura
— Dakota, Black Hills, Fossilien . . . . . 1908 I 264
— Ecuador, Ostkordillere 06 I 402
— Kalifornien, Flora . . 07 II 501
— Mexiko, Lias . . . . 08 II *116*
— — Concepcion del Oro, Zacatecas . . . . BB XXVIII *427*
— — Mazapil . . . . . 07 II 469
— — Sierra de Mazapil und Santa Rosa . . 07 I 279
— Peru, Lias . . . . . CBl 1909 *3*
— Texas, Malone beds . 07 I 285
— westliches . . . . . 08 I 260
— Wyoming, oberer, Ornitholestes Hermanni 06 I 152
Arcticum und Antarcticum.
— Grahamland, Hope Bai, Pflanzen . . . . 09 II 154
— König-Karls-Land, fossile Hölzer . . . . 09 I 301

Asien.

— China, Pflanzen und Kohle . . . . . 07 II 342
— — T'ao-chia-T'un, Pflanzen . . . . . 09 II 156
— Indien, Ammoniten 1905 II 319. 320
— — Beziehung zu ostafrikanischem . . . . 06 I 279
— — Himalaya, tibetan. Klippen, Fauna des Lias 08 II 412
— — Kutsch, Trigonia und Brachiopoda . 1905 I 178. 180
— — Niederländisch . . 07 II 447
— Indischer Archipel, Land und Meer . . . 07 I *110*
— Indo-Australischer Archipel, Macrocephalites CBl 1909 *174*
— — — Babar, Buru, Rotti und Timor . . BB XXV *293*
— — — Mangoli u. Taliabu . . . . . BB XXII *385*
— — — Sulainseln, Grenze gegen Kreide . . 05 I 151
— Japan (Rikuzen), Fossilien . . . . . 05 I 464
— Korea, Pflanzen . . . 07 II 343
— Persien (Demavend) . 06 I 442
— Singapore . . . . . 07 I 287
— Syrien, Glandarienkalk, Brachiopoden u. Mollusken . . . . . 06 I 278
— Timor, portugiesisch . BB XXIV *465*
— Turfan und Turatschi, östlicher, Tien-Schan 06 I 98

Jura

Australien.

— Neuseeland, Kohlen . 1905 II 277
— — Nordinsel . . . . 05 II 418
— — Südinsel, Maitai-Schichten . . . . . 05 II 275
— Niederländisch-Neu-Guinea . . . . . BB XXII *394*
— Victoria, Pflanzen . . 08 I 149
— West-, Foraminiferen und Ostrakoden des Unteroolith . . . . . 05 II 151

Europa.

Balkanhalbinsel.

— südwestliche . . . . BB XXI *229*
— Albanien (südl.) und Argolis . . . . . 09 II 105
— Bulgarien (Kotel) . . CBl 1905 *481*
— Griechenland . . . . 09 II 432
— — Dogger . . . . . 07 II 446
— — Akarnanien und Leukas, Lias . . . . CBl 1905 *259*
— — Argolis . 1909 II 105. 427. 429
— — — oberer, u. Infracretacé . . . . . 05 I 298
— — Kalamos . . . . BB XXI *242*
— Montenegro, Dogger, Brachiopoden . . . . 07 I 433
— — Tithon . . . . . 07 II 107
— Rumänien, Bucegi-Stock . . . . . 06 II 120
— — Dobrudscha . . . 07 II 445

Deutschland.

— Baden, Wehratal, Schwarzwald, brauner, in der Versenkung . CBl 1906 *40*
— Bayern, Liasholz, verglichen mit Keuperholz . . . . . 09 I 467
— — Ehrenbürg bei Forchheim . . . . . 07 II 100
— — Heiligenstadt, Oberfranken, Tektonik und Basalte . . . . . CBl 1906 *399*
— — Kehlheim, Paraphyllites distinctus, im lithograph. Schiefer . 06 II *90*
— — Neumarkt (Oberpfalz), Doggerprofile . 05 I *60*
— — Solnhofen, Farnkraut im lithograph. Schiefer . . . . . CBl 1908 *385*
— — — Fauna der Plattenkalke . . . . . 05 I 459

Jura

— Bayrischer Wald, Westrand zw. Regenstauf und der Bodenwöhrer Bucht . . . BB XXI *468*
— Braunschweig, Gallberg bei Salzgitter, Lias . . . . . CBl 1906 *113*
— Deister, kleiner, Nesselberg und Osterwald . 1907 I 418
— — Nenndorf, Malm . 06 II 413
— — östlicher, Transgression des oberen . 06 I 277
— Deutsch-Lothringen u. Luxemburg, Fauna der Eisenerzformation 06 I 303
— Elsaß, Malm im Unter- CBl 1908 *609*
— — Stufe des Am. (Stephanoceras) Blagdeni CBl 1909 *733*
— — Strangenberg bei Rufach . . . . . BB XXVI *72*
— — Sundgau, weißer, unter Tertiär . . . . 05 II 409
— Hannover, Strandverschiebung im oberen 07 I 281
— — Bentheim—Isterberger Sattel . . . . 09 I 410
— — Falkenhagen, Liasgraben . . . . . 08 II 80
— — Hildesheim (Galgenberg und Vorholz) 07 I 419
— — Lutter am Barenberg und Lichtenberg in Braunschweig . . 05 II 260
— — südliches . . . . 07 II 95. 98
— — — Transgressionen 08 II 78
— Niederrhein . . . . . 07 I 414
— Norddeutschland, Pflanzen . . . . . 09 I 462
— — oberer Lias und unterer Dogger . . BB XXVIII *286*
— Ostpreußen, Heilsberg, Kimmeridge . . . . 05 I 129
— — Lithauisch-Kurischer, Foraminiferen . 06 I 471
— Pommern, oberer . . 06 II 100
— Schwaben, Brachiopoden des mittl. Lias 06 I 468
— — Flugsaurier im Lias . . . . . CBl 1906 *290*
— — Mikrofauna des Lias . . 1905 II 151 09 II 320
— — Oolithe . . . . . 08 II *87*
— — oolithbildende Ophthalmidien im Dogger 1909 I 297 CBl 1908 *584*

Jura
— Schwaben, Eßlingen . 1907 II 257
— — Nusplingen, Ganoiden und Teleostier . 09 I 452
— Südwestdeutschland, Landpflanzen . . . . 08 I 151
— Teutoburger Wald 1905 II 258 1906 II 418. 419 09 II 248
— — — südl. Bielefeld, Lias und Dogger . . CBl 1909 *137*
— Westfalen, Dislokationen . . . . . 08 I 407
— — — etc. im jüngsten 06 II 86

England u. Schottland.
— England . . . . . 08 II 85 ff.
— Bath-Doulting-Distrikt, Inferior Oolite etc. 1908 II 85. 86
— Brachiopoden der Fuller's Earth . . . 08 II 87
— Bredon Hill, Toarcien 05 II 283
— Brill, Buckingham, Kimmeridge Clay und Corallian Rocks . . . 08 II 88
— Brora (Sutherland), Inferior Oolith . . . 07 II 507
— Peterborough, Krokodile . . . . . 09 I 451
— Schottland, Flora . . 07 II 507
— Stonesfield, Megalosaurus Bucklandi des Dogger, Hinterhaupt 06 I *1*
— Upland District, Inferior Oolite etc. . . 08 II 87
— Yorkshire-Küste etc., Pflanzen . . . . . 1907 I 488. 489

Frankreich.
— Echiniden des Infralias . . . . . 05 II 147
— Alpen, französische . 06 I 424
— Baume-les-Dames (Doubs), Callovien . 07 I 282
— Boulogne-sur-Mer, Pflanzen des Portland 09 I 459
— Dauphiné, Ausbildung in der südlichen Belledonnekette . . . . . 07 II 263
— Grenoble, Ausbildung des oberen . . . . . 07 I 281
— — Zone des Phylloceras Loryi in den Westalpen . . . . . 07 II 286
— zw. Grenoble u. Gap, mittlerer . . . . . 05 II 427

Jura
— Haute-Marne, Echiniden . . . . . 1909 II 480
— Macon, Echiniden . . 07 II 156
— Mont d'Or Lyonnais, Zone des Lioceras concavum . . . . . 05 I 462
— St. Gaultier (Indre), Bathonien . . . . . 08 I 261
— — — Korallen . . . 09 I 293
— St. Vallier-de-Thiey, Korallen . . . . . 07 I 486
— Savoyen, Haut-Giffre 08 II 390
— Seevoralpen . . . . 06 I 108
— Vendée u. Deux Sèvres, Echiniden des Infralias . . . . . 05 II 147
— Westalpen, Lias und oberer . . . . . 07 II 441
— Yonne-Département, Nerineen . . . . . 06 I 317

Iberische Halbinsel.
— Portugal, Lias und Dogger der Thomar-Region . . . . . 09 II 104
— Spanien, Montsech, Katalonien, Kimmeridge . . . . . 07 II 287
— — — — Hymenopteren im Kimmeridge . 05 I 525
— — Santa Maria de Meya, Pflanzen . . . 09 I 458

Italien.
— Apennin, zentraler, Mollusken des unteren und mittleren Lias . 06 II 144
— — Roccheta, Ammoniten des mittl. Lias 09 II 139
— Casale bei Busambra (Palermo), Muscheln des Lias . . . . . 06 I 319
— Colealto di Solagna (Bassano), Fauna des oberen . . . . . 06 I 316
— Monte di Cetona, Liascephalopoden 1905 I 175 06 II 142
— Sardinien (Nurra) BB XXIII *448*
— Siena (gelber Marmor) etc. . . . . 09 II 105
— Spezia, Unterlias . . 07 I 282
— Tranze di Sospirolo bei Belluno, Brachiopoden des Lias . . . 08 I 424

Jura

Oesterreich-Ungarn.

— Alpen, Lückenheftigkeit der Sedimente . BB XXV *416*
— Bosnien, Vareš, Lias 1905 I 465
— — und Herzegowina 05 II 265
— Bregenzer Wald . . BB XXVII *12*
— Dalmatien, Spizza . . 08 II 400
— Karpathen, Cephalopoden der südlichen 06 II 120
— Krain zw. Bača-Tal u. Wocheiner Save . . 05 I 449
— Mähren . . . . . 05 I 295
— — Tithon . . . . . 07 II 286
— — Brünn, Malm der Schwedenschanze . . 08 I 421
— — Cetechowitz, Oxford der Klippenkalke 07 II 443
— Niederösterreich, Niederfellabrunn, Tithonklippen . . . . . 06 I 439
— — Wiener Becken, Rand bei Gießhübl, Acanthicus-Schichten 08 I 263
— österreichische Voralpen, Pflanzen des Lias . . . . . 08 II 448
— Ostalpen . . . . . 06 II 235
— Tirol, Lienzer Dolomiten . . . . . 05 I 288
— — Monte Zovo bei Trient, Korallenformation, Großoolith . . CBl 1908 *104*
— Ungarn, Alsórákos, unterliassische Fauna 09 II 138
— — Csernye, nordöstl. Bakony, älterer . . . 05 II 426
— — Gerecse-Gebirge . CBl 1905 *392*
— — Nagyag-Tal . . . 07 I 105
— — Ofener Gebirge . CBl 1908 *391*
— — — — Richtigstellung . . . . . CBl 1909 *182*
— — Siebenbürgen, Kielbildung der Phylloceratiden . . . . . 05 II 483

Rußland.

— Kaukasus, Petrefakten 08 II 81
— — und Turkestan, Pflanzen . . . . . 09 I 147
— Kotelny-Insel, Pflanzen . . . . . 08 I 146
— Lithauisch-Kurischer, Foraminiferen . . . . 06 I 471
— Moskau und Riazan, Oxford u. Sequanien 05 I 130

Jura

— nordwestl. Grenzgebiet, Kreis Isjum, des Donetzrückens . 1907 I 283
— Polen, Oxford u. mittlerer Jura des Swiety Krzyr bei Checiny . 08 II 89
— — Sulejowkette . . . 08 I 262
— — bei Wielun . . . 08 I 260
— südöstliches . . . . 07 I 283
— Süd-Ussuri-Gebiet . BB XXVII *526*
— Transbaikalien, Mongolei und Mandschurei, Pflanzen . . . . . 09 I 463
— Ural, nördlicher, oberer 07 II 449
— Wladiwostok . . . . 09 I *1*

Schweiz.

— Alpen, zw. Hinterrhein und Saffiental. CBl 1908 *723*
— Antirhätikon . . . . 08 I 251
— Hornfluh, Berner Voralpen . . . . . 07 I 100
— Juragebirge, Dogger im zentralen und südlichen . . . . . 06 I 277
— — Stromatorhiza . . 06 I *13*
— — Basler, Hupperablagerungen . . . . 09 I 388
— — — Tafellandschaft, frühere Anwesenheit der Nattheimer-Schichten . . . . . 05 II 428
— — Berner . . . . . 05 II 247
— — — Gorges de l'Areuse 1905 II 87
— — — Liestal, Crinoidenbänke des Dogger 05 I 298
— — Faucillekette . . . 06 I 438
— — Neuenburger, Dogger . . . . . 06 I 307
— — Tour Saillère—Pic de Tanneverge . . . 09 I 83
— — Waadtlandt, Ste. Croix . . . . . 05 II 252
— Lauenental . . . . 1908 II 380. 382
— Lischannagruppe, Unterengadin . . . . . 07 I 97
— Rhätikon, östlicher . 09 I 89
— zw. Sanetsch u. Kander . . . . . 09 I 405
— Simplongebiet, Grünschiefer . . . . . 09 I 59
— Weißensteintunnel . 1908 I 254. 255

Skandinavien.

— Andö, Norwegen . . 06 I 427
— Bornholm, fossile Flora 08 I 451

Juragebirge
— geologische Profile . . 1907 II 431
— Quartär und Glazial zwischen Ketten- und Tafeljura . . . . . 09 I 434
— Basler, frühere Anwesenheit der Nattheimer Schichten . . 05 II 428
— Bern, geolog. Karte . 09 I 400
— — tekt. Blätter Moutier und Bellelay . . 05 II 247
— Blauen, Oligocän, am Südabhang . . . . . 06 I 112
— zentrales u. südliches, Dogger . . . . . 06 I 277
— Genf—Lausanne—Chablais . . . . . 06 II 83
— Gorges de l'Areuse, Tektonik . . . . . 05 II 87
— La Serre-Massiv, Bau 05 I 283
— Lägernkette . . . . 08 I 408
— Liestal, Crinoidenbänke des Dogger . . 05 I 298
— Solothurn—Gänsbrunnen, Tunnelgebiet . 1908 I 254. 255
— Tafeljura, vulkanische Erscheinungen . . . 07 I 375
— Tour Saillère—Pic de Tanneverge . . . . . 09 I 83
— Waadtland, Kreide von Ste. Croix . . . 05 II 253
— Westschweiz, Ammonitidae der unteren Kreide . 1906 II 143 07 I 483
— — Fauna der unteren Kreide . . . . . 05 I 155
Juraversenkung, unteres Wehratal, Schwarzwald . . . . . CBl 1906 *40*
Juvavites Dogranus und Kraffti, tibetan. Klippen des Zentral-Himalaya . . . . . 08 II 414
— expansus u. Stracheyi, Jura, Himalaya . . . 05 II 320
Juvenile Quellen . . . . 05 I 263

K.

Kaba-Vulkan, Sumatra, Gesteine . . . . . 06 I 218
Kadmiumhalogene, Mischbarkeit . . . . . CBl 1907 *301*
Kaersutit, Linosa und Grönland, chemisch . 09 I 342
Känguruhfußspuren, Warrnambool (Australien) CBl 1908 *725* CBl 1909 *495*
Kahlengebirge bei Wien, Abrasionsfläche am Rande . . . . . 1905 I 451
Kainit . . . . . 09 I 316
— obere Existenzgrenze 05 I 192
— Asse bei Wolfenbüttel, blaue Kristalle . . . CBl 1905 *449*
— Staßfurt, Krist. etc. . 07 I 192
— — krist. und opt. . . Festband *115*
Kainitit im deutschen Zechstein . . . . . 09 II 305
Kakoxen, St. Benigna, Böhmen . . . . . 05 I 190
Kalamin, siehe Kieselzinkerz.
Kalamos, Jura . . . . . BB XXI *242*
Kalevische Abteilung, Finnland . . . . . CBl 1906 *603*
Kalevisches System, Präcambrium, Gouvern. Olonez . . . . . CBl 1907 *37*
Kali- u. Steinsalz, Lagerung, Verbreitung und Verwendung . . . . CBl 1905 310
Kalialaun
— Kristallisation . . . CBl 1905 751
— Vesuv . . . . . 09 I 349
Kaliborit, künstliche Darstellung . . . . . 05 I 192
Kalifeldspat, Beimischung von Ca u. Myrmekitbildung . . . . . CBl 1909 *311*
— siehe auch Feldspat, Mikroklin, Orthoklas etc.
Kalifornien
— Edelsteine . . . . . 07 II 41
— Eklogite . . . . . 06 II 218
— Foraminiferen der miocänen Monterey Shale . . . . . 08 II 283
— Glaukophangesteine der Küstengebirge . . 09 I 71
— klastische Gänge . . 06 I 224
— marine Trias . . . . 06 II 98
— Mineralien . . . . . 05 I 204
— Quartär . . . . . 05 I 145
— quartäre Höhlensäugetiere, bes. von Potter Creek . . . . . 07 I 298
Kaligehalt der Ackerböden . . . . . 06 I 48
Kaligramma Haeckeli, Solnhofer Plattenkalke 05 I 459

Kalilager, geologische und chemische Bildungsverhältnisse . . . . . 1907 I 88
Kalisalze
— Verbreitung und Verwendung . . . . . CBl 1905 310
— Eichsfeld . . . . . 09 II 425
— Wolkramshausen am Südharz, Rinneitvorkommen 1909 II *19* CBl 1909 *74*
Kalisalzlager
— Ausbildung und Ausdehnung in Deutschland . . . . . 08 I 242
— Deutschland, im Zechstein . . . . . 09 II 304
— Hannover . . . . . 06 II 416
— Lübthen, Mecklenburg, Bergwerk Friedrich Franz . . . . . 09 II 187
Kalisalzlagerstätten
— Ammoniak- und Nitratgehalt . . . . . 09 II 186
— Nordhausen—Wolkramshausen 1909 II *19* CBl 1909 *74*
Kalisalzwerk Asse bei Wolfenbüttel, blaue Kainitkristalle . . . CBl 1905 *449*
Kalisalze u. Lagerstätten, siehe auch Salzlagerstätten.
Kalisyenit, Piz Giuf, östl. Aarmassiv, u. Gefolgschaft . . . . . 06 I 371
Kalium, Bestimmung in Silikaten . . . . . CBl 1908 *513*
Kaliumaluminiumsilikate, chemisch . . . . . 05 I 377
Kaliumbichromat, Krist. 09 I 328
Kaliumchlorat u. -nitrat, Isomorphismus . . . 08 I 318
Kaliummagnesiumborat, Entstehung in ozean. Salzlagern . . . . . 06 I 162
Kalium-Natrium-Sulfat . 05 II 30
Kaliumpentacalciumsulfat, Entstehung in ozeanischen Salzlagern 1906 I 161. 164
Kaliumquecksilberjodid, Darstellung . . . . . CBl 1909 *554*
Kaliumsulfat . . . . . 05 II 29
— Mischkristalle mit K_2CrO_4 . . . . . 07 I 209
— Triboluminescenz . . 07 I 32
Kaliumverbindungen, isomorph mit Natriumverbindungen . . . . 1908 II 148
Kalk (siehe auch Kalkstein)
— chemische Abscheidg. aus heutigen Meeren, Dolomitbildung . . . Festband *397*
— kohlensaurer, chemisches Verhalten zu gewissen Lösungen, Alkalicarbonaten, Kobaltlösungen etc. . . 05 II 357
— pelagischer, Mächtigkeitsreduktion . . . BB XXV *418*
— des Tiefseeschlamms . 08 I 361
— Bodmin u. Camelford areas, metamorpher, Mineralien . . . . . CBl 1908 312
— Böhmen, Granitkontakt . . . . . 06 II 360
— Concepcion del Oro, Zacatecas, Mexiko, mit Epidot, Dipyr, Diopsid, Wollastonit, Granat, Vesuvian, im Kontakt mit Granodiorit BB XXVIII *487 ff.*
— Puente del Inca, Aconcagua . . . . . BB XXIV *718*
— Raspenau, Böhmen, körniger, des Kalkbergs . . . . . 06 I 54
— Regensburg, dolomitischer, Analyse . . . 07 II 65
— Rothau, Böhm. Erzgebirge, körniger . BB XXIII *483*
— Seine-Bank, ostnordöstlich Madeira, dolomitischer . . . . . Festband *416*
siehe auch Kalkstein und Marmor.
Kalkalgen
— Carbon, Dalmatien . 07 II 339
— magnesiareiche, Einwirkung CO_2-gesättigten Wassers . . . . 06 I 333
Kalkaluminiumsilikate, künstliche . . . . . 06 I 326
Kalkbostonit, Abercastle —Mathry, Wales . . 06 II 211
Kalkeinschluß im Basalt, Weitendorf (Steiermark) . . . . . CBl 1908 *257*
Kalkglimmerschiefer, Tessin, ob. Piumogna . BB XXVI *507*

Kalkkieselreihe der Mineralien . . . . . 1909 I 180
Kalkknollen, dolomitische, Challenger- u. Argusbank (Bermudas) . . Festband *415*
Kalkolivin
— im Zement . . . . . 08 II 379
— und Forsterit, zusammengeschmolzen . . 09 II 163
Kalkphyllite, Zillertaler Alpen . . . . . 07 II 432
Kalksalze der Steinsalzablagerungen, Bildung 06 II 321
Kalkschalen der Tiefseeablagerungen . . . . 05 I 425
Kalkschwämme
— Skelettnadeln . . . . CBl 1906 *12*
— Skeletteile . . . . . CBl 1905 *581*
Kalksilikate
— künstliche . . . . . 06 I 326
— Zustandsdiagramm . 08 I 180
Kalksilikatfels St. Poelten, Kartenblatt . . . . . 08 II 61
— Schwarzwald, im Rench- und Kinziggneis und bei Neustadt . . . . 07 II 67
Kalksilikathornfels
— Böhmen . . . . . 06 II 360
— Piz Giuf, östliches Aarmassiv . . . . . 06 I 372
— Tessiner Alpen . . . 08 II 200
Kalksinter, Bosnien . . 05 II 296
Kalkspat
— Ausbildung der Kristallform bei Zwillingen . . . . . 08 I 176
— Brechungsindizes bei —190° . . . . . 08 I 165
— Dissoziationsdruck . . 09 I 339
— entstanden aus Aragonit, paläozoische Korallen . . . . . BB XXIV *252*
— Härte . . . . . 07 I 190
— Kristallstruktur . . . 07 I 22
— plastische Umformung unter Druck . . . . 06 II 80
— Reaktion zur Unterscheidung von Dolomit CBl 1905 *265*
— Reduktion durch Mg 08 I 178
— Schalen der Foraminiferen . . . . . 06 II 455
— Skelett der Kalkschwämme . . . . . CBl 1905 *582*
— Unterscheidung von Dolomit . 1905 I 23 CBl 1906 *550*
Kalkspat
— Verhalten beim Glühen 1908 I 178
— Verhalten gegen gewisse Lösungen (Alkaliborate, Kobaltlösungen etc.) . . . 05 II 356
— Zeichnen von Zwillingen . . 1909 I 179 CBl 1908 177
— Zwillingsbildung BB XXIII *330. 337*
— Bessarabien, Chotinscher Kreis, im Gips 07 II 378
— Biella, Piemont, Drusen im Syenit . . . 06 II 34
— Bindin (Sommerset), Zwillinge . . . . . 05 I 23
— Brevig, Zwilling . . 09 II 190
— Cadonighino, Tessin . BB XXVI *519*
— Carrara, im Marmor 1906 II 175. 176
— Chiesonetal (Piemont), Pomaretto . . . . . 09 II 205
— Cumberland, Krist. . 07 I 199
— Dänemark, fasriger, sogen. Aragonit . . . 08 I 201
— Färöer . . . . . 09 I 29
— Giglio-Insel bei Palermo . . . . . 07 II 37
— Grenville, Canada, Stinkkalk, Ursache des Geruchs (H_2S) . . . 07 I 21
— Grönland . . . . . CBl 1908 346
— — östl. im Basalt . 06 II 183
— Guanajuato (Mexiko), Zwillinge . . . . . 09 II 190
— Heidelberg, Pseudomorphose von Sandstein nach K. . . . 08 II 304
— Joplin Mining District, Kansas, neuer Typus 05 II 182
— Kertsch und Taman. 05 II 200
— Krebshöhe bei Schönpriesen, Böhm. Mittelgebirge . . . . . CBl 1909 *156*
— Krym, Kara-Dag, Doppelspat . . . . . 09 II 340
— — Simferopol, Pseudomorphose von Palygorskit nach der Spaltbarkeit des K. . . . CBl 1908 *7*
— Lymans Crossing, Cäment des Tuffes . . 05 II 397
— Marienberg bei Aussig, pseudomorph nach Hibschit . . . . . 08 I 31
— Markirch . . . . . 09 I 21
— Mizusawa u. Furokura, Japan, Kristalle . . 07 I 199

Kalkspat
— Nagolnij Krjasch, Donetz-Becken . . . . 1907 II 195
— New York, Staat, große Kristalle . . . 08 II 16
— Nordamerika, Fort Collins, Col., u. Joplin, phosphoreszierend . . 07 I 343
— Nowo Alexandria (Lublinit) . . . . . 1909 II 340. 341
— Oberscheld b. Dillenburg, Kristallform BB XXVIII *233*
— Poggio Orlando (Siena), Schwefelgruben . 08 II 335
— Potter Creek-Höhle, Kalifornien, stalaktitisch . . . . . 08 II 15
— Prausnitz, Schlesien, Osteolithpseudom. . . CBl 1905 *641*
— Raspenau, Böhmen, im körnigen Kalk des Kalkbergs . . . . . 06 I 54
— Riesengebirge, im Granit . . . . . CBl 1907 *203*
— — Schmiedeberg, primär im Granit . CBl 1909 *767. 773*
— Sachalin . . . . . 08 II 334
— San Fedelino am Comer See, im Granit . 07 II 35
— Terlingua, Texas, Kristalle . . 1908 II 15 CBl 1907 *17*
— Tirol, Dolomitgebiet, lagenweise Abwechslung mit Dolomit in Kristallen . . . . . 06 II 207
— Traversella, Einschlüsse flüssiger CO_2 . . . . 08 I 179
— Ungarn, Kristalle . . 08 II 304
— — Bojcza . . . . . 09 I 336
— — Gran, Kleiner Wachtberg, Kristalle . . . 08 II 303
— — Salgótarián und „Kühles Tal" b. Ofen-Pest . . . . . 09 I 340
— — Schemnitz, Umwandlungspseudomorphose von Dolomit nach K. . . . . CBl 1909 *555*
— — Szentandras . . . 07 I 218
— Weitendorf (Steiermark), auf Hohlräumen im Basalt . . BB XXVII *252*
— West Paterson, N. J., Kristalle . . . . . 09 I 9
— siehe auch Marmor, Kalkstein, Calciumcarbonat.

Kalkspat
— u. Aragonit, Vergleich der Lichtbrechung . 1906 II 317
— u. Kalkstein, Thermometamorphose . . . 09 II 160
Kalkspatkugeln, Aetzen . 05 I 10
Kalkstein (siehe auch Kalk)
— Entstehung 1905 I 420 06 I 238
— Korallenriffe, chemisch und mikroskopisch . 07 II 217
— Aarmassiv, mechan. Umwandlung in Marmor . . . . . 05 I 427
— Ceylon, Verkieselung, Hornstein und Opalgehalt . . . . . 05 II 392
— Concepcion del Oro, Zacatecas, Mexiko, Analysen . . . . BB XXVIII *483*
— Göpfersgrün, umgewandelt in Steatit . 05 II 214
— Grenville, Canada, Stinkkalk, Ursache d. Geruchs (H_2O) . . . 07 I 21
— Grönland, westl. Nord-, archaisch . . . . . 07 I 247
— High Teesdale, Ersatz durch Sand und Ton 05 I 420
— Oesterreichisch Schlesien, Analysen . . . 05 I 200
— Pennsylvanien, westl., Vorkommen . . . . 07 II 84
— Schelingen, Kaiserstuhl, mit Koppit, Färbung durch organische Farbstoffe . . . . BB XXVIII *372*
— Wietze, Hannover, mit Gipskriställchen . . . 06 I 31
— Zentralafrika, Brit., archaisch . . . . . 07 I 236
Kalktuffe
— Elm und Lappwald . 07 II 461
— Gera . . . . . 07 II 461
— Jemtland . . . . . 05 I 313
Kalktufflager, quartäres, Alfeld a. Leine . . . 06 II 432
Kallistira, Nordamerika . 09 I 452
Kalomel
— Avala und Terlingua, Kristalle . . . . . 09 I 335
— Terlingua, Texas . . 09 I 173
Kamazit-Hexaedrite und -Oktaedrite beim Meteoreisen . . . . . 05 I *146*
Kamazit-Plessit-Siderite beim Meteoreisen . . 05 I *146*

Kamazit-Siderite = Sublacunite . . . . . 1905 I *145*
Kamazitophyr beim Meteoreisen . . . . . 05 I *146*
Kamele, Oligocän, Nordamerika . . . . . 07 I 301
Kamerun
— Gesteine . . . . . 09 II 73
— Kreide . . . . . BB XXVIII *214*
— Mungo-Kalke der ob. Kreide . . . . . 05 I 153
— Tertiär, ? Eocän . . 06 II 122
Kamptal, Wiener Wald, Mineralien . . . . . CBl 1908 251
Kanahwa black flint, Alter und Carbon, Westvirginien . . . . . 06 I 277
Kanal, Wasser u. Meeresgrund . . . . . 1909 II 209. 210
Kander- und Sanetsch-Gebiet, Bern, Geol. . 05 I 276
Kandersteg, Bergsturz v. 07 II 439
Kangra-Tal, Himalaya, Erdbeben am 4. April 1905 . . . . . CBl 1905 *332*
Kanin
— Halbinsel, Geologie . 06 I 410
— — rezente u. pleistocäne Bildungen . . . 06 II 117
Kansas-Kohlenformation, Fossilien, vergl. mit Höherem Red-Wall-Kalkstein . . . . . CBl 1907 *609*
Kant-Laplace'sche Hypothese . . . . . 1907 I 372. 373
Kantengerölle . . . . . CBl 1907 *340*
Kantengeschiebe = Kantengerölle . . . . . 06 II 437
— Dänemark, im Diluvium CBl 1906 *593*
— Holland, im Diluvium CBl 1906 *15. 425*
Kantengeschiebefrage . . CBl 1907 *105*
Kanter oder Flächner ? CBl 1907 *547* CBl 1908 *17*
— siehe auch Facettengeschiebe.
Kaolin
— Einwirkung von $BaCl_2$ und $SrCl_2$ . . . . . CBl 1905 *138*
— — von K Br u. K Cl, Li Cl und Li_2SO_4 bei hoher Temperatur . . 05 I 377
— gefärbt durch organ. Farbstoffe . . . . BB XXVIII *360*
— physikalische Eigenschaften . . . . . CBl 1906 *36*
Kaolin
— Bautzen, Adolfshütte, Beziehung zu Braunkohle . . . . . 1909 II *94*
— Ceylon . . . . . 06 I 181
— Georgia, Macon, Dry-Branch-Region . . . 09 II 244
— Halle a. S., Beziehung zu Braunkohlen . . . 09 II *111*
— Karlsbad, Beziehung zu Braunkohlen . . . 09 II *99*
— Kreisau, Schlesien, roter, Anal. . . . . 05 II 23
— KriwojRog, hellkirschrot . . . . . 07 II 191
— Meißen (Lothain und Schletta), Beziehung zu Braunkohlen . . . 09 II *106*
— Muldenstein b. Bitterfeld, Beziehung zu Braunkohlen . . . . 09 II *113*
— St. Vincent, chemisch 07 I 79
— St. Yrieix, Entstehung 07 II 240
— Schneeberg, Analyse . CBl 1905 *650*
— West-Nyassa-Distrikt, Brit. Zentralafrika . 07 I 237
Kaolinbildung . . . . . 09 II 245
— im Granit durch einen kalten Säuerling, Gießhübel bei Karlsbad CBl 1909 *427. 467*
Kaolinerden, Halle a. S., Entstehung . . . . . 08 II 190
Kaolingesteine, Cornwall, Zinnerzlagerstätten BB XXVIII *45*
Kaolinisation, Westengland, versch. Gesteine 1909 II 191 CBl 1908 731
Kaolinit . . . . . CBl 1909 *333*
— Anglesey, optisch 1909 II 191 CBl 1908 312
— National Belle Mine bei Silverton, Col. . CBl 1908 *1*
— Quittein, Westmähren, Eisenerzlagerstätte . 05 II 243
— Schwaben, Sandsteine des mittleren Keupers CBl 1909 *596*
Kaolinitfels, Cornwall, Zinnerzlagerstätten BB XXVIII *32*
Kaolinlager
— Aufsuchen und Bewerten . . . . . CBl 1904 410
— Beziehungen zu Braunkohle . . . . . 09 II *91*
— Aue etc., Entstehung 06 II 202
Kapfenstein, vulkanische Bomben . . . . . CBl 1908 *297*

Kapkolonie
— Geologie . . . . 1907 II 114—118
— Küstenterrassen . . . 1908 II 46
— Pflanzen . . . . . 08 I 148
— siehe auch Karruformation.
Kapland, Diamantgruben CBl 1904 153
— Diamantgestein . . . 08 I 70
Karachi, Sandablagerung an der Küste bei Clifton etc. . . . . 05 II 417
Karakorumpaß (Kleintibet), Heterastridien CBl 1907 *722*
Karakuwa-Schiefer, Jura, Rikuzen, Japan . . . 05 I 465
Karawanken, Geologie . 06 II 241
Karbide, Ursachen von vulkan. Eruptionen . 05 II 205
Karbonatgele . . . . . CBl 1909 *328*
Karbonatgesteine, St. Gotthard (Südseite), silikatführende . . . BB XXVII *203*
Karborund, Cañon Diablo, im Meteoreisen . . . 06 I 187
Kare
— Schwarzwald . . . 1909 II 412 ff.
— — Freudenstadt . . 08 II 94
Karlsbad
— Erdbrände . . . . . 05 I 256
— Geologie . . . . . 05 II 95
— Thermen, Radioaktivität 05 II 343
Karnische Schichten, Epidauros (Argolis), Cephalopoden . . . . . Festband *15*
Karnische Stufe
— Argolis . . . . . CBl 1909 *81*
— westl. Amerika . . . 08 I 260
Karolinen, alte Gesteine und Laterit . . . . 05 II 71
Karoomys Browni, Ariwal North, Südafrika 05 II 306
Karpathen
— Analogie mit Alpen . 09 I 418
— Bau und Bild . . . 06 II 395
— exot. Blöcke im Flysch der Ost- . . . . . 05 II 410
— Geologie . . . . . 09 I 418 ff.
— Jura der südlichen. Cephalopoden . . . . 06 II 120
— kleine, Geologie . . 05 I 446
— Klima zur Eiszeit . . 05 I 407
— Klippen, Entstehung 09 I 419
— Kreide . . . . . 07 I 435 ff.
— Rumänische, oligocäne Fischfauna des Bergs Cosla bei Piatra-Neamtz 06 I 153
Karpathen
— Tertiär . . . . . 1905 II 116 ff.
— Verrucano, Moldau . 06 I 407
— westliche u. mittlere, Geologie . . . . . 05 II 91
Karpholith, Anhalt und Prov. Sachsen, in Quarzgeröllen des Diluviums . . . . . CBl 1906 *77*
Karruformation
— Dicynodontier . . . 08 I *1*
— Kapkolonie . . . . . 07 II 114
— Reptilien . . . . . 07 I 140 ff.
— untere, Kapkolonie, Anomodontier (Tamboeria Maraisi), mit pneumatisiertem Wirbel . . . . . 06 I 310
Karru-Sandstein, Ostafrika . . . . . BB XXVIII *153*
Karst
— Bau . . . . . 06 II 233
— Verbreitung der Gattung Bradya . . . . 05 II 486
— und Julische Alpen, Geologie . . . . . 09 I 416
Karstgebirge, West-Hercegowina . . . . . 06 II 195
Karstsystem, Geologie . 06 II 248
Karten, geologische
— siehe geologische Aufnahmen, Karten, etc.
— Württemberg, Baden, Elsaß, Pfalz etc., Uebersichtskarte . . . . . 06 II 84
— paläogeographische . CBl 1908 *457*
Karwendelgebirge
— Geologie . . . . . 09 I 412
— Wandbildung . . . . 06 I 406
Karystian der Alten ist Amianth . . . . . 07 II 22
Kaschmir
— Pflanzen des Permocarbon . . . . . 08 I 453
— — und Wirbeltiere des Permocarbon . . . . 08 I 416
Kascholong
— chemisch . . . . . CBl 1908 *635*
— Färöer . . . . . 09 I 29
Kastelruther Porphyr, Bozen . . . . . BB XXVII *134*
Kataklase
— kristallinische Schiefer . . . . . 05 I 70
— Presanellagruppe, im Tonalit . . . . . 08 II 363

Katalonien
— Vulkane von Olot . . 1906 II 50
— — — — u. Gerona . 09 I 222
Katamorphismus . . . . CBl 1906 606
Katapleit, Los-Inseln, im Nephelinsyenit . . . 08 I 226
Katarchäische Bildungen, östl. Fennoskandia . CBl 1907 *37*
Katarchäischer Komplex, Finnland und benachbartes Rußland . . . CBl 1906 *600*
Katzen, große, der Höhlen . . . . . 07 II 317
Katzenbuckel, Geologie und Petrographie . . 08 II 350
Kaukasus
— Versteinerungen aus Jura, Kreide und Alttertiär . . . . . 08 II 81
— nördlicher, Alter des Tertiär . . . . . 05 I 469
— westlicher, Geologie u. unterird. Wasser . . 05 I 55
— zentraler (Digorien u. Balkalien), Gesteine . 07 I 71
Kaukasusländer, Petrographie . . . . . 06 I 389
Kazanesd, Komitat Hunyad, Kieslagerstätte . 06 I 234
Keenia platyschismoides, Permo-Carbon, N.-S.-Wales . . . . . 07 I 154
Kehdinger Moor, Geologie 05 II 121
Kellerwald, Geologie . . 07 II 90
Kelloway, Tanga, Deutsch-Ostafrika . . . . . 06 I 283
Kelyphitamphibolit, Oetztal . . . . . 05 II 60
Kelyphitstruktur . . . . 05 I 72
— der kristallinischen Schiefer . . . . . 05 I 72
Kendengfauna, Trinil, Java, Alter . . . . . 09 I 114
Kendengschichten
— Java, Altersbestimmg. CBl 1909 *513*
— — Pithecanthropus errectus . . . . . BB XXV *648*
Kenit, Antarktis . . . . 09 II 76
Kent, Steinkohlenpflanzen der Waldershare- und der Fredville-Series . . . . . 09 I 302
Kentrolith, Bena (d)e Padru bei Ozieri (Sardinien), Zusammensetzung . . . . . 06 II 336
Keramische Industrie, Rohmaterial . . . . CBl 1904 410
Keramohalit
— Miseno, Schwefelgrotte 1908 II 333
— Vesuv . . . . . 09 I 349
Keratophyr
— Deutsche Mittelgebirge, Beziehung zu Diabas . . . . . 09 I 56
— Dill und Lahn . . BB XXVII *301*
— Ecuador, Ostkordillere . . . . . 06 I 398
— Grand-Coo, Belgien . 07 II 69
— Harz, systematische Stellung . . . . . CBl 1909 *33*
— Lappland, Eisenerzlagerstätte . . . . . BB XXIV *548*
— Magnetberg, südlicher Ural . . . . . 06 I 382
— Parnesgebirge, Attika CBl 1909 *557*
— Thüringer Wald . . BB XXVII *346*
— Wales, Breidden und Berwyn Hills . . . . 05 II 385
Kerguelen
— Moorbildungen . . . 06 II 51
— Windwirkung u. Vulkanismus . . . . . 06 II 352
Kern Basin, Kalifornien, Geologie . . . . . 05 II 101
Kernkonkretionen, eisenreiche, aus dem Quadersandstein des nördlichen Böhmens . . . BB XXV *467*
Kerolith . . . . . CBl 1909 *331*
Kersantit
— Heppenheim (Bergstraße) . . . . . CBl 1906 *766*
— Kiautschou . . . . . 06 II 368
— Monzoni, Gänge . . 06 I 62
— Piz Giuf, östl. Aarmassiv . . . . . 06 I 372
— Pyrenäen (Bellongue und Ger-Tal) . . . . 05 I 428
Kersanton, Rade de Brest 05 I 427
Kerson'sche Unterstufe, Sarmatische Stufe, Moldau . . . . . 05 I 470
Kertsch
— Alter des Tertiär . . 05 I 469
— und Taman, Mineralien der Erzschichten 05 II 199
Kertschenit, Kertsch-Straße . . . . . CBl 1906 *113*
Kerunia cornuta, Eocän, Aegypten . . . . . CBl 1907 *751*
Keßlerloch, Thaingen . 08 II 261

Keuper
— Bitschu, Japan, Pflanzen . . . . . 1907 II 342
— England, Basis in Süddevon . . . . . 05 II 425
— Hannover, südliches . 08 II 82
— Neuewelt bei Basel, Alter der pflanzenführenden Schichten . CBl 1906 *1*
— Schwaben . . . . . BB XXV *1*
— — Kaolinit im Sandstein des mittleren . CBl 1909 *596*
— — Lagerung und Entstehung im südlichen CBl 1909 *41*
— — Phytosaurusschädel . . . . . CBl 1909 *583*
— — Stubensandstein verwendet zum Cölner Dom, Verwitterung . 07 II *42*
— — und Lettenkohle CBl 1907 *19. 42*
— Teutoburger Wald (Neuenheerse), Kohlen . . . . . 07 I 417
Keuper- und Liasholz, Bayern . . . . . 09 I 467
Keuperflora, Neuewelt, Basel . . . . . 07 I 492
Keweenawan, Lake Superior-Region . . . . 07 I 107
Keweenawan-Trapp
— Beziehung zum Sandstein, Wisconsin . . 06 I 93
— verbunden mit Lake superior-Sandstein . . 05 I 231
Keweenawit, künstlich . 05 II 5
Keyserlingina Schellwieni, Obercarbon, Ural und Timan . . . . . 05 I 533
Keyserlingites Dieneri, pagoda und Pahari, Muschelkalk, Himalaya . . . . . 08 II 244
Khondalit, Ceylon . . . 06 I 186
Kiautschou-Gebiet
— Gesteine . . . . . 06 II 364
— Kohlen, anthrazitische 06 II 370
Kiese
— Einwirkung von Lösungen . . . . . 09 II 247
— Klassifikation . . . . 06 I 205
— Oxydation . . . . . 09 II 246
Kieselglas = Quarzglas . . 08 I 181
Kieselgur, Mte. Amiata 06 I 235
Kieselholz
— Island, Ostküste . . CBl 1908 *66*
— Prinz-Rudolfs-Insel . . 06 I 35
Kieselholz und Chalcedon, Martinique . . . . 1905 I 373
Kieselkonkretionen, Kreide, Margny (Oise) . 06 II 201
Kieselkupfer, siehe Chrysokoll.
Kieseloolith, Sankyo, Japan . . . . . 07 I 197
Kieseloolith-Quarzschotter, Rheintal . . . . . 09 I 240
Kieseloolithschotter, pliocän, Niederrhein . . 07 II 292
Kieselsäure
— α- u. β-, in Lösung . 07 I 22
— amorphe, Einwirkung von H F . . . . . 05 I 20
— Darstellung . . . . . CBl 1908 *225*
— — durch Zersetzung von natürlichen Silikaten . . . . . 1907 I 23 ff. 344
— — nach der Tschermak'schen Methode CBl 1908 *129. 325*
— fasrige und Verhältnis zu Opal und Quarz . BB XXV *182*
— geschmolzen, Wirkung auf Ti O_2, Zr O_2 etc. 09 I 184
— mehlige, wasserhaltige (Grossouvréit) . . . 05 I 445
— Molekularanordnung in den versch. Modifikationen . . . . . 08 I 330
— Schmelzung . . . 1909 I 181. 182
— tetragonale Elementarform etc. . . . . 08 I 329
— wasserhaltige, mehlige, Entstehung . . . . . 05 I 445
— u. Flußsäure, System 1905 II 4 06 I 6
Kieselsäuregel . . . . . CBl 1909 *331*
— gemengt mit Tonerdegel, Beziehung zu Allophan etc. . . . CBl 1908 *622. 661*
Kieselsäuremineralien auf Hohlräumen im Basalt, Weitendorf, Steiermark . . . . . BB XXVII *242*
Kieselschiefer, radiolarienführend, Cambrium (Silur), Sachsen . . . CBl 1905 *411*
Kieselwolframsaure Cerit-erden, Kristallisation 07 I 4
Kieselzinkerz
— Brechungskoeffizienten bei —190° . . . . . 08 I 166
— gibt durch H Cl Orthokieselsäure . . . . . 07 I 25

Kieselzinkerz
— Altai, Syrjanow'sche Grube . . . . . 1909 II 368
— CliftonMorenci-Distrikt, Arizona . . . . . 06 I 173
— Markirch . . . . . 09 I 25
— Nagolnij Krjasch, Donetz-Becken . . . . 07 II 196
— Perwoblagodatny-Grube, Ural . . . . . 06 I 27
— Polen . . . . . 09 II 346
— Rhodesia Broken Hill mines . 1909 II 36 CBl 1907 602
Kieserit . . . . . 09 I 316
— Bildung unter 25° in ozean. Salzlagern . . 06 I 163
Kieslagerstätten
— Einfluß der Metamorphose auf die mineral. Zusammensetzung . . 05 II 406
— Aznalcollar (Sevilla), Entstehung . . . . . 08 I 85
— Bosnien u. Hercegowina . . . . . 06 II 381
— Cala und Castillo de las Guardas, Sierra Morena . . . . . 06 I 229
— Erzgebirge, sächs. . . 07 II 80
— — westliches, Klingental und Graßlitz . . 07 II 81
— Huelva, Entstehung 08 I 85
— Kärnten . . . . . 06 I 234
— Sulitelma Roeros-Klingental . . . . . 09 II 240
Kieslingswalde, Kreide . 05 I 300
Kiesmoränenlandschaft, Osthannover . . . . 05 II 442
Kiesströme, Gräfenhainichen—Schmiedeberger Plateau, interglazial 1909 I 110 09 II 108
Kigluaik Series, Alaska. 05 II 272
Kilimandscharo
— Geologie . . . . . 07 I 423
— Gesteine . . . . . 07 II 411
Kimberley-Grube, Hard blue-Gestein . . . . 09 II 238
Kimberlit
— Kapland, in Gängen u. Vulkanschloten . . . 08 I 70
— Südafrika, in Gängen und Vulkanembryonen 09 II 239
Kimberlitgang, Newlands-Grube, Südafrika . . 09 II 237
Kinderhook-Fauna, Missouri etc., Alter . . 06 I 274
Kingena latifrons und triangularis, Glandarienkalk, Syrien . . . 1906 I 279
Kinnekulle, Geologie . . 06 I 272
Kinzigit, Laudenau, Odenwald . . . . . CBl 1907 *66*
Kirchenglocken erzeugen Bodenschwingungen, Leipzig . . . . . 05 II 370
Kirgisensteppe, Geologie CBl 1908 765
Kiruna, Lappland, Eisenerzlagerstätte . . . . BB XXIV *557*
Kladno—RakonitzerKohlenbecken, Böhmen . 06 I 275
Klamath Mountain, Kalifornien, Geologie . 1905 II 105. 411
Klassifikation
— chemische, der Eruptivgesteine . . . . . 05 I 412
— Eruptivgesteine auf Grund der Zusammensetzung . . . . . CBl 1905 249
— genetische, der Mineralien . . . . . 09 II 330
— der Intrusivformen . 07 I 51
— petrographische, Amphibolgesteine der kristallinischen Schiefer CBl 1905 *407*
— — siehe petrographische Klassifikation . 05 II 52
— Sedimentgesteine . . 06 I 47
Klastische Gesteine
— gangförmig, Kalifornien . . . . . 06 I 224
— Paläozoicum, rhein. Schiefergebirge . . . 09 II 216
Klausschichten, Südkarpathen, Cephalopoden 06 II 120
Klein, Carl, Nekrolog . CBl 1907 *641*
Kleinasien
— Bodenschätze u. Bergbau . . . . . 08 I 395
— Eruptivgesteine des nordwestlichen . . . 07 II 70
Kleinit
— Terlingua, Texas 1907 I 194 09 I 173
— — — Zusammensetzung . . . . . CBl 1906 *200*
Klerksdorp-Distrikt, Transvaal, Geologie . . . 07 I 111
Klima
— der geologischen Perioden . . . . . 08 II *74*
— Karpathen zur Eiszeit . . . . . 05 I 407

Klimaänderungen u. Eiszeit, Kohlensäurehypothese von ARRHENIUS CBl 1909 *481. 539. 660*
— siehe auch Kohlensäurehypothese.
Klimatische Oszillationen u. Eiszeiten verschiedenen Alters . . . . 1908 II 345
Klimaunterschiede in den geologischen Zeiten . 09 II 43
Klinkermineral (Felith) im Zement . . . . . 08 II 379
Klinochlor
— Affaccata, Elba . . . 07 II 39
— Zwillinge . . . . . CBl 1907 *403*
Klinoedrit, Franklin, N.J., Kristalle . . . . . BB XXIII *301*
Klinoenstatit u. Enstatit 09 II 176
Klinozoisit, Hardegg, Niederösterreich . . . . CBl 1909 *397*
— Prägraten, Goßlerwand . . . . . 08 I 27
— Susa-Tal, im Prasinit der Rocca Bianca 1906 II *105 ff.*
Klippe des Annes, Savoyer Alpen, Geologie 1905 II 250. 251
Klippen
— Giswyl am Brünig . CBl 1907 *481*
— Schweizer Alpen und Chablais . . . . . 06 I 248
— Westalpen . . . . . 07 II 428
Klippenfazies im Cenoman, Böhmen . . . 06 II 427
Klippenkalk, Cetechowitz 07 II 443
Klippenzone, pieninische, Westkarpathen, Geologie . . . . . 05 II 91
Klippenzug Korlat—Smilčič, Dalmatien, Entstehung . . . . . 07 I 105
Klondike-Distrikt
— Bildung des Golds der Quarzgänge . . . . . 09 I 78
— Goldvorkommen . . 09 I 235
— metallführende Quarzgänge . . . . . 08 I 398
Klüftung kristallinischer Schiefer . . . . . 05 I 74
Knebel-Caldera, Island . BB XXVI *420*
Knemiceras compressum, Kreide . . . . . 07 II 151
Knemiceratidae, Kreide . 07 II 151
Knochenhöhlen, Renntierzeit, Artefakten . . . 06 I 130
Knochenhöhlen
— Alb, schwäbische . . 1908 I 105
— Altamira, Pyrenäen, Malereien . . . . . 06 I 132
— Belgien, Kanibalismus 08 I 119
— Bouffia de la Chapelle-aux-Saints, Sourdoire-Tal (Corrèze), Mensch 1909 I 124. 125
— Gola von Pioraco, ob. Potenza-Tal, Mensch und diluviale Säugetiere . . . . . 06 I 134
— Goughcavern, Cheddar, Menschen- und Säugetierreste . . . . 06 I 133
— Grimaldi (Grottes de Mentone), Alter 1908 I 109. 115 08 II 422
— Grotta Romanelli bei Castro (Terra d'Otranto), Interglazialfauna 06 I 131
— Heinrichshöhle bei Sundwig, Säugetiere . 06 I 129
— Lacave (Lot) mit Menschenspuren . . . 06 I 445
— Lagoa Santa, Minas Geraes, Brasilien, Ungulaten . . . . . 07 II 134
— Potenza-Tal, oberes, diluviale Säugetiere . 06 I 133
— Potter Creek Cave, Kalifornien . . . . . 06 I 125
— RotesFeld (Podkalem, Pokala), bearbeitete Knochen . . . . . 06 I 132
— S. Teodoro, Taormina etc. (Messina), diluv. Säugetiere u. Mensch 06 I 142
— Spanien (Santander), Säugetiere . . . . . 09 I 130
— Thaingen, Keßlerloch 08 II 261
— Wildkirchli-Ebenalp, Säntis . . . . . 08 I 106
— siehe auch Höhlen.
Knodyart-Formation, Neu-Schottland . . . . . 05 I 289
Knollengrube, Lauterberg, Harz . . . . . 05 II 398
Knollenschiefer, Devon, Ostthüringen . BB XXIV *248. 309*
Kobalt, Legierungen mit Eisen . . . . . 06 II 157
Kobaltblüte
— Brechungskoeffizienten 08 II 143
— Markirch . . . . . 09 I 25

Kobaltchlorid, Kristallform, Deformationen und optisch . . . . 1906 I *92*
Kobalterzgänge, Chile, San Juan, turmalinführend . . . . . 09 I 79
Kobaltglanz
— Markirch . . . . . 09 I 25
— Ontario, nördl., Canada . . . . . 07 I 195
Kobaltlösungen, Einwirkung auf kohlensauren Kalk . . . . . 05 II 358
Kobaltnickelkies, siehe Linneit.
Kobaltsulfid, künstlich, Schmelzpunkt . . . 09 II 183
Kochites, systematische Stellung . . . . . CBl 1906 *420*
— aulonotus . . . . . CBl 1906 *239*
— = Schistophylloceras 09 II 139
Kodru-Gebirge, Ungarn, Geologie . . . . . 06 II 94
Köln, siehe Cöln.
König-Karls-Land, fossile Hölzer . . . . . 09 I 301
Kößener Schichten, Nothosauride . . . . . CBl 1907 *337*
Kogia, Boldérien, Antwerpen . . . . . 07 I 134
Kohlen
— Selbstentzündung . . CBl 1906 *772*
— stoffliche Beschaffenheit . . . . . 06 I 235
— Umwandlung aus Torf 08 I 86
— Alaska, Bering River 09 I 396
— — Cape Lisburne Region . . . . . 08 II 378
— — Kachemak Bai Region, Kenai Peninsula 08 II 377
— — Yukon . . . . . 06 I 237
— Andö, Norwegen, Jura 06 I 426
— China . . . . . 09 II 79
— England, Vorrat . . 07 II 85
— Kiautschou, anthrazitische . . . . . 06 II 370
— Neuseeland . . . . . 08 I 399
— Rheintal, unteres . . 07 II 283
— Texas, Trans-Pecos . 06 II 179
— Trinidad . . . . . 07 I 85
— Turatschi, östlicher Tien-Schan, im Jura 06 I 98
— Ungarische Länder . CBl 1904 52
— Ungarn . . . . . 06 I 236
— Westgotland, uranhaltig (Kolm) . . . 05 I 367
Kohlen
— Yukon, Alaska . . . 1906 I 237
— siehe auch Steinkohlen und Braunkohlen.
Kohlenbecken
— Gard, Frankreich, Tektonik . . . . . 09 I 366
— Kladno—Rakonitz . 06 I 275
— Limburg u. Westfalen 05 I 456
Kohlenbrände, Wyoming, veränderte Tone . . 07 I 244
Kohlenfelder, Neuseeland 05 II 277
Kohlenflöze, Niederschlesien—Böhmen, Teufe in der inneren Mulde 09 II 301
Kohlenführendes Gebirge, Temperatur . . . . . 05 II 203
Kohlenkalk
— Dinant (Belgien), Echinodermen des schwarzen Marmors . . . . 05 II 147
— Man, Amphoreopsis paucicamerata . . . 07 I 482
— Namur, Spongiostromidae . . . . . 07 I *131*
— Visé, Tektonik . . . 05 I 456
Kohlenlager, Alaska, Bering River . . . . . 09 I 396
— siehe auch Kohlen, Alaska.
Kohlenoxyd und Wasserdampf in Glühhitze . 08 I 212
Kohlensäure
— juvenile und vadose . 07 II 61
— kaolinbildendes Agens im Granit, Gießhübl . CBl 1909 *471*
— im Meer, Spannung . 07 II 54
— und Wasserstoff in Glühhitze . . . . . 08 I 212
Kohlensäuregasvorkommen, Württemberg . 08 I 95
Kohlensäuregehalt
— der Luft, Abnahme . 08 I 210
— des Meerwassers . . . 08 I 53
Kohlensäurehypothese
— von Arrhenius, betr. Eiszeit . . CBl 1909 *481. 539. 660*
— — — u. Frech, Ursache der permischen Eiszeit . . CBl 1908 *360. 456. 553*
Kohlensaurer Kalk, chemisches Verhalten zu gewissen Lösungen (Alkalikarbonaten, Kobaltlösungen etc.) 1905 II 357 ff.
— siehe Kalk, Kalkstein etc.

Kohlenstoff
— Entstehung von schwarzem, aus Diamant . . 1905 I 15
— von Glühlampen, Zustand . . . . . 05 I 16
— Modifikationen . . . 06 II 320
— Natur . . . . . 08 II 368
— siehe Diamant, Graphit etc. u. Schungit.
Kohlenstoffeisen, Cañon Diablo, im Meteoreisen . . . . . 08 II 183
Kohlenstoffmineralien, besonderer Wissenszweig 09 II 36
Kohlenvorrat Englands . 07 II 85
Kokardenstruktur, sekundäre . . . . . CBl 1907 411
Kokkolithen
— Island, Meer gegen Grönland (Ingolfexpedition) . . . . . 05 I 424
— nordatlant. Ozean, in Grundproben . . . . 05 I 425
Kokkolithischer Zerfall beim Basalt . . . . CBl 1909 *311*
Kok-schaal-Tal, südlicher Tian-Schan, Geologie BB XXII *270*
Kok-schaal-Tau, südlicher Tian-Schan, Geologie BB XXII *307*
Kolloidale Goldlösungen, opt. Eigenschaften . 05 II 152
Kolloidchemie . . . . . CBl 1907 471
Kolloide Aufflockung . . 08 II 151
Kolloid- und Kristalloidzustand . . . . . 08 II 5
Kolm
— Schweden, Rohprodukt für Radium . . . . 06 I 326
— Westgotland . . . . 05 I 367
Komarom-Komitat, Ungarn . . . . . 07 I 276
Kombinationsstreifung d. Kristallflächen . . . 09 II 3
Komjat, Ungarn, Geologie . . . . . 07 I 276
Kompensator, Quarzkeil-, am Mikroskop-Okular CBl 1906 *745*
Komplikationsregel, Erweiterung . . . . . CBl 1905 *427*
Kompression, Ursache der Dichteverminderung . 05 II 408
Komprimierbarkeit, Gesteine . . . . . 07 I 263
Konchit, Skelett der Kalkschwämme . . . . . CBl 1905 *582*
Kondensor, Verbesserung 07 II 3
Konga-Diabas, Tasmanien, North-West-Bay . . . . . 1908 I 394
Konglomeratblöcke, Pilsen, miocäne, im Quartär . . . . . 06 II 353
Konglomerat
— Dear Creek, Arizona, mit zerbrochenen Geröllen . . . . . 08 I 241
— Eagle Rock-Tal, Kalifornien, Struktur . . 09 II 64
— Ellyay, Gilmer County, Georgia . . . . . 08 II 370
— Lake Superior, Nordküste, mit Granitgeröllen . . . . . 08 II 374
Konglomeratgneis, Gristow (Pommern), als Diluvialgeschiebe . . CBl 1906 *625*
Kongo-Freistaat, Geologie 07 I 237
Koninckina alfurica, Trias, Timor . . . . . BB XXIV *186*
— (Koninckodonta) Geyeri, Mittellias, Corfu . . BB XXI *295*
— productiformis, ladinische Stufe, Dobrudscha . . . . . 08 I 419
Koninckites Mushbachanus, Trias, Amerika . 06 II 304
Konjesko-Polje bei Spalato, Geologie . . . . 05 I 453
Konkretionen . . . . . 06 I 226
— eisenreiche, aus dem Quadersandstein des nördlichen Böhmens . BB XXV *467*
— eisenschüssige, Redbanksande, Monmouth County, New York . 08 II 375
— neue Formen . . . . 08 II 6
Konoskop, Untersuchung ein- und zweiachsiger Kristalle . . . . . 09 II 328
Konstante, Mallard'sche, des Mikrokonoskops . 09 II 327
Konstitutions- und Kristallwasser, Lichtabsorption im Ultrarot 07 I 12
Kontaktbildungen
— Baden-Baden, am Granit . . . . . CBl 1905 *343*
— Böhmen, Granit am Kalk . . . . . 06 II 360
— Böhm. Erzgebirge, Rothau, Granit- . . . BB XXIII *479*
— Brixener Masse . . . 05 II 381

Kontaktbildungen
— Concepcion del Oro, Zacatecas, Mexiko, am Granodiorit BB XXVIII *431. 455. 457. 480*
— Gloggnitz, Oesterreich, Phyllit am Forellenstein . . . . . 1905 II 52
— Marienberg bei Aussig (Turonmergel u. Phonolith, Hibschit) . . 08 I 374
— Marysville-Distrikt, Montana . . . . . 09 I 74
— Musarttal, Tian-Schan 09 I 224
— Pojána-Ruszka, Ungarn . . . . . 06 I 262
— Rhode Island, am Granit . . . . . 09 II 391
— Tessiner Alpen, am Granit (Gneis) . . . 08 II 200
Kontakterscheinungen
— Erzgebirge, am Gneis 09 I 212
— Highwood Mountains, Montana . . . . . 06 II 373
— Luisenburg bei Wunsiedel, am Granit . . 07 II 62
— Ober-Mölltal, Kärnten . . . . . 08 II 360
— Olonez-Gouv., am Diabas . . . . . 09 I 220
— Red Hill, Moultonboro N. H. . . . . 09 II 389
Kontaktgesteine
— Enderby-Land, gedredscht . . . . . 06 II 371
— Presanellagruppe, nördlicher Abhang . . . 08 II 366
— Tolfa, mit Granat . . 06 I 376
Kontakthof, Brockenmassiv, devon. Eruptivgesteine und Tuffe bei Harzburg . . . . . 06 I 209
Kontaktlagerstätten, Concepcion del Oro, Zacatecas, Mexiko . . . BB XXVIII *516*
Kontaktmetamorphe Bildungen, Pfalz . . . . 09 I 54
Kontaktmetamorphe Erzlagerstätten, Japan, paragenetische Verhältnisse . . . . . 09 I 32
KontaktmetamorpheMagneteisenlagerstätten . 05 II 404
Kontaktmetamorphe Schiefer, innerer Odenwald . . . . . CBl 1907 *116*
Kontaktmetamorphes Paläozoicum der SO-Flanke des Sächsischen Granulitgebirges CBl 1905 *257*
Kontaktmetamorphismus CBl 1906 607
— Vorgänge . . . . . 1908 I 80
— Ampasindava (Madagaskar), am Granit . 05 I 438
— Cheviot Hills, am Granit . . . . . 05 I 430
— Madagaskar, am Granit . . . . . 05 I 248
— Posto dei Cavoli bei S. Piero in Campo, Elba, Granit u. Kalk 06 I 373
— Pyrenäen, am Granit von Reynès u. Latour 05 I 430
— Schottland, am Ganggranit, Zusammensetzung vergl. mit Gangrand u. Zentrum 05 I 431
Kontaktmetamorphose
— bei Kalkstein . . . . 09 II 160
— Ursache . . . . . CBl 1905 93
— Alaska, am Granit, Bormineralien im Kalk 09 II 342
— Baden-Baden 1908 I 92 09 II 65
— Bayr.-Böhm. Grenzgebirge . . . . . 08 I 61
— Birma, Jadeitlagerstätte . . . . . 09 I 186
— Brixen, am Granit . 09 I 387
— Erlenbach (Odenwald), Hornblendegranit und Schiefer, exogene und endogene . . . . . CBl 1906 *763*
— Kap Yatau (Kiautschou), am Granit . 06 II 366
— Kristiania . . . . . CBl 1909 *405*
— Odenwald, Gabbro, endogene . . . . . 09 I 376
— — am Granit . . . . 06 II 58
— Piatigorsk (Kaukasus), Lakkolith . . . . . 07 I 235
— Pizzo Forno, Tessin . BB XXVI *535*
— Raspenau, Böhmen, am Kalkberg . . . . 06 I 57
— Rican bei Prag . . . 08 I 58
— Sachsen, Granulitgebirge . . . . . CBl 1907 *521*
— Scawt Hill, Antrim, Irland, Kalk und Diabas . . . . . 09 II 230
— Sérifos-Insel, Griechenland, Magneteisen . . 08 II 78

Kontaktmetamorphose
— Sternberg—Bennisch, Mähren, Schalsteinzug, am Diabas CBl 1907 *289. 296. 321*
— Transvaal, Lakkolith des mittleren . . . . 1907 I 236
— Troitzk, Nord-Ural, Magneteisen, am Granitporphyr . . . . . 06 II 223
Kontaktmineralien
— Cornwall, Bodmin- u. Camelford-Area, am Granit . . . . . 09 II 205
— Friedeberg (Oesterr.-Schlesien) . . . . . 07 II 33
— Schlaggenwalde . . . 07 II 32
Kontaktverhältnisse, Jeschkengebirge, am Diabas . . . . . 08 I 371
Kontaktwirkungen VAN HISE . . . . . CBl 1906 607
— schwäb. Alb, am Basalt 06 II 205
— Skye, am Granit . . 06 II 67
— — tertiäre Intrusivgesteine . . . . . 06 II 65
Kontinentale Hebungen und Senkungen . . . 05 I 222
Kontinente, Größe der alten . . . . . 07 I *32*
Kontinuierliche Reihe von Kristallformen in einer Zone . . . . . 05 II 332
Kontraktionsfalten, Entstehung . . . . . 08 I 248
Kontraktionsfiguren und -risse bei Zeolithen nach Behandlung mit Säuren . . . . . 08 I 336
Kontraktionsrisse im Kersanton, Brest . . . . 05 I 428
Kontraktionstheorie (Erdinneres, Ausgleich mit der Expansionstheorie 05 I 401
Konzentrationsprozesse, Bedeutung für Lagerstättenlehre u. Lithogenesis . . . . . 06 I 72
Konzentrationszone der Erzlagerstätten . . . 08 I 400
Koordinatentransformation der Indizes von Kristallflächen . . . 07 I 182
Kootanie-Formation, Flora 07 II 505
Kopalborkenkäfer, balt. Bernstein . . . . . 08 II 112
Koprolithen, Perm, Texas 1907 I 319
Korallen
— Bedeutung für Altersbestimmung . . . . 09 II 484
— Phylogenie . . . . . 09 II 142
— Carbon . . . . . 09 I 292
— Cenoman, Griechenland . . . . . 09 II 484
— Dogger, St. Gaultier (Indre) . . . . . 09 I 293
— Kreide, Ostgalizien . 09 I 294
— paläozoische . . . . 09 I 293
— — Bau . . . . . 09 II 140
— — Ostthüringen, Kalkspat und Aragonit . BB XXIV *252*
— Pliocän, Niederl.-Indien . . . . . 09 II 141
— Trias, Griechenland . 09 II 483
— untercarbon. Transgressionsmeer, Tian-Schan . . . . . BB XXVI *215. 228*
— unt. Tertiär, Barcelona . . . . . 09 II 485
Korallenformation, Mte. Zovo bei Mori (Trient), Alter . . . . . CBl 1908 *104*
Koralleninseln, Pteropoden- und Globigerinenschlamm in den Lagunen . . . . . 07 II 218
Korallenkalk, chemisch u. mikroskopisch . . . 07 II 217
Korallenknollenschiefer, Devon, Ostthüringen BB XXIV *309*
Kordillere
— Argentinien, oberer Malm u. untere Kreide BB XXIII *187*
— Columbia, mittlere, Geologie . . . . . CBl 1907 *720*
— — Zentral-, Geologie CBl 1907 *545* CBl 1908 *195*
— Ecuador, Gesteine . . 05 II 76
— — östliche, Alter und Gesteine . . . . . 06 I 392
— Peru, mittlere, Geologie . . . . . 07 II 265
— siehe auch Anden und Vorkordillere.
Korea
— Fusulinenkalk . . . . 07 I 331
— Goldvorkommen von Tangkogae . . . . . 07 I 258
— mesozoische Pflanzen 07 II 343
— Mineralien . . . . . 08 II 333
Koriogene Sphärolithe . 06 I 204

Korngröße
— und Löslichkeit . . . 1906 I 6
— von nordamerikanischen Diabasen . . . 07 II 418
Korsika
— Erosionserscheinungen 06 I 45
— Gebirgsbau . . . . . 09 I 99
— Gesteine . . . . . 07 II 404 ff.
— Glazial . . . . . 05 I 55
Korund
— ausgeschieden aus Silikatschmelzen . . . CBl 1905 *361*
— edler, künstlich . . . CBl 1908 179
— Färbung durch Radium . . . . . 07 II 170
siehe auch Färbung.
— Neubildung in Schmelzflüssen . . . . . 08 II *6*
— Synthese . . . . . CBl 1905 *148*
— synthetische, edle, Brechungskoeffizienten CBl 1909 *673*
— Afrika, Deutsch-Ost- . 07 II 384
— Australien, Sapphir . CBl 1905 *588*
— — — mit Lichtschein 07 I *17*
— — und Ceylon, Sapphir, Kristallform, Aetzfiguren und Brechungskoeffizienten . 06 I *41*
— Barkhamsted, Connecticut, im Glimmerschiefer . . . . . 05 II 393
— Birma, große Kristalle von Sapphir u. Rubin CBl 1905 *588*
— Brockenmassiv, in Tonschieferhornfels . . . 09 I 56
— Cadonighino, Tessin . BB XXVI *519*
— Canyon City, Col., im Pegmatit . . . . . 09 II 386
— Ceylon 1906 I 179. 183. 185. 186
— — Vorkommen bei Kandy . . . . . 05 II 13
— Kalifornien, Spanish Peak, im Plumasit . 07 II 76
— Karolina, SouthMountains, im Graphit, chemisch . . . . . 09 II 369
— Leoran (Cantal), Einschluß im Andesit . 06 I 379
— Malaienstaaten (Perak), technischeNutzg. 07 I 80
— Nordamerika, Produktion 1902 . . . . . 05 I 208
— Perth, Ontario, Pseudomorphose nach K. 07 II 13
— Rhein, Einschluß im Basalt . . . . . CBl 1908 *102*
Korund
— Rhein, Finkenberg bei Bonn, im Basalt, Sapphir . . . . . CBl 1908 *419*
— Sohland a. d. Spree, im Diabas . . . . . 1905 I 94
— Yogo-Gang bei Yogo Gulch, Montana, Sapphir . . . . . 07 II 42
— siehe auch Rubin, Sapphir, Schmirgel.
Korundgestein (Plumasit), Mosso (Piemont) 05 I 372
Kosmische Natur der Moldawite etc. . . . . CBl 1908 *737*
Kosmographie, chemische CBl 1905 91
Kossmatia . . . . . 07 II 470
Kostak-Berg b. Spalato, Geologie . . . . . 05 I 452
Koyukuk series, Alaska, nördliches . . . . . 06 I 93
Krafftoceras Haydeni u. Kraffti, anthracolith. System, Perm, Zentral-Himalaya . . . . 05 II 281
Krakatindur-Vulkanspalte, Island . . . . . BB XXVI *41*
Krakau, Geologie . . . 05 II 98
Krambergeria lanceolata, oligocäne Fischfauna, Berg Cosla b. Piatra—Neamtz, Rumän. Karpathen . . . . . 06 I 153
Krapina, Homo primigenius etc.
1906 II 273. 277 07 II 474
Kraurit . . . . . CBl 1909 *329*
Krebse, macrure, Oligocän, Wight . . . . . 05 II 317
Krebshöhe bei Schönpriesen, Böhm. Mittelgebirge, Zeolithe . . CBl 1909 *154*
Kreide
Allgemeines.
— Ammoniten, Stammesgeschichte . . . . . CBl 1909 *420*
— Austern des Senon, Systematik . . . . . BB XXII *657*
— Dammara u. Brachyphyllum . . . . . 09 II 153
— Echinodermen . . . 07 II 153
— Hippuriten, Entwicklung . . . . . 06 II 453
— Ichthyosaurierreste . BB XXV *422*
— Lepidorbitoides . . . 08 II 290

Kreide
— Orbitoiden zur Gliederung des Senon unbrauchbar . . . . . 1907 I 159
— Palinosphärien der Mucronatenschichten CBl 1905 *402*
— Pseudoceratites . . . 07 II 147
— senone Korallen . . . 07 I 487
— Tiefennatur der Sedimente . . . . . BB XXV *382*
— Wirbellose der Sammlung der Academy of Nat. Sciences, Philadelphia . . . . . 06 II 439

Afrika.

— Aegypten, Blättermergel von Theben . 06 II 122
— — Fauna . . . . . 05 II 284
— — Abu-Roasch . . . 06 I 294
— — zwischen Kairo u. Suez . . . . . 09 I 100
— — Libysche Wüste, oberste . . . . . 07 I 437
— — — — Overwegi-Schichten und Blättertone . . . . . 06 I 319
— — Ober-, nubischer Sandstein . . . . . CBl 1905 *115*
— Angola, Küstenzone . 06 II 111
— Kamerun . . . . . BB XXVIII *214*
— — Mungo, obere . . 05 I 153
— Madagaskar, Echiniden 05 II 149
— — Diego Suarez, Cephalopoden . . . . . 07 II 333
— — nördliches, u. Indischer Ozean . . . 07 I 429
— — nordöstliches, Albien . . . . . 06 I 294
— — Ostküste, Fanivelona, Senon . . . . 06 II 113
— — Westküste, Untersenon . . . . . 06 I 100
— Marokko, Atlas . . 1908 I 265. 266
— — westliches . . . . 06 I 293
— Natal, Petrefakten der Umkwelane Hill deposits, Zululand . . . 06 I 307
— — Umsinene River-Schichten, Zululand . 07 II 304
— — und Zululand . . 07 II 289
— Ostafrika BB XXVIII *150* CBl 1908 *651*
— Pondoland . . . . . 07 II 306
— — Ost-, Foraminiferen und Ostrakoden. 05 II 152

Kreide
— Somaliländer, untere . 1906 I 280
— Tunesien, Bryozoen . 05 II 145

Amerika.

— Amerika, westliches . 08 I 260

Nord- u. Mittelamerika.

— Alaska, nördliches . . 06 I 92
— — u. Cook Inlet . . 07 I 278
— Antillen, kleine, Eruptivgesteine . . . . . 06 II 376
— Colorado . . . . . 07 II 125
— Kalifornien, Santa Clara Valley . . . . 08 I 432
— — u. Oregon-Becken 06 I 287
— Kansas, Fische . . . 05 II 131
— Mexiko, Cardenas, San Luis Potosi, Senon-Mollusken . . . . . 08 I 102
— — Concepcion del Oro, Zacatecas . . . . BB XXVIII *426*
— — Mazapil, untere . 07 II 469
— — Rancho de San Pablo . . . . . 08 II *118*
— — Sierra de Mazapil und Santa Rosa . . 07 I 280
— Montana, Hell Creek beds . . . . . 08 I 431
— — Hoploparia . . . 08 I 443
— — Unio-Spezies der Laramie-Gruppe . . . 08 I 445
— — Südzentral- . . . 06 II 423
— New Jersey, Cliffwood 05 I 302
— — — Fauna . . . . 07 II 132
— — — Matawan-Formation, Pflanzen . . 07 I 494
— — obere . . . . . 07 II 125
— New Mexiko, Lagerg. 05 I 302
— — Los Cerillos . . . 08 I 436
— New York, Flora d. südlichen . . . . . 08 I 454
— — Long Island, Pflanzen . . . . . 07 I 495
— Nordamerika, Buda limestone, Mollusken und Korallen . . . . 06 I 308
— — Dakotasandstein, Verbreitung . . . . 07 I 438
— — Flora . . . . . 07 II 504
— — Laramie, Bezeichnung . . . . . 08 I 432
— — Morrisonformation 07 I 286
— — Säugetiere . . . . 07 I 456
— — Wirbeltiere der Belly river series . . . 07 I 439

Kreide
— Texas, Ammoniten . 1906 I 313
— Vancouver . . . . . 07 II 289
— Vereinigte Staaten, Black Hills, Flora der Dakota-Formation . 07 II 505
— — Kohlen der Rocky mountains . . . . . 08 II 221
— — Maryland, Delaware u. New Jersey, Matawan-Formation . 05 I 303
— Wyoming, Laramie-Schichten, Wirbeltiere 07 I 438
— Wyoming-Nebraska, Laramie . . . . . 06 I 268

Südamerika.

— Argentinien, Säugetiere . . . . . 05 I 132
— — Reptilreste, Chubut 05 II 307
— — Ungulaten . . . . 05 I 167
— — Wirbeltiere . . . 06 II 124
— — untere, Kordillere BB XXIII *187*
— Brasilien, Bahia, Fische 08 II 447
— — NO-Küste . . . . 09 I 103
— Chile, Aconcagua (Cuchilla de los Erizos) . BB XXIV *727*
— Ecuador, Ostkordillere 1906 I 392. 399
— Feuerland . . . . . CBl 1908 *193*
— Patagonien . . . . . 05 I 137
— — Ammoniten der unteren . . . . . BB XXV *601*
— — Fossilien . . . . 07 II 142
— — marine . . . . BB XXI *98. 128*
— — obere . . . . . 07 II 108
— — Säugetiere 1905 I 497 07 II 272
— — Ungulaten . . . . 05 I 167
— Peru, mittleres . . . BB XXIV *69*
— — Yauli . . . . . 08 I 437

Antarktikum.

— Grahamsland etc. . . 09 II 101

Asien.

— Bara-Bai (Buru), Molukken, Ammoniten d. Asphaltschiefer . . . BB XXII *686*
— Bithynische Halbinsel CBl 1909 *656*
— Borneo, Silatgruppe . 07 I 437
— China, Pflanzen . . . 07 II 342
— Indien, Orbitoiden . 09 I 142
— — Beludschistan, Saltrange und Sind . CBl 1905 *171*
Kreide
— Indischer Archipel, Land und Meer . . . 1907 I *112*
— Japan, Hokkaidō, Cephalopoden . . . . . 05 I 529
— Jerusalem . . . . . 07 I 422
— Libanon, Fische . . . 05 II 481
— — Pyknodonten von Hakel . . . . . CBl 1907 *360*
— Persien . . . . . 06 I 442
— Sulu-Inseln, Grenze gegen Jura . . . . . 05 I 151
— Sumatra, Unterneocom . . . . . 07 II 449
— — SW-Djambi . . . CBl 1907 *484*
— Syrien, Korallen des Cenoman . . . . . 09 II 484

Australien.

— Neu-Caledonien, unt. 06 I 294
— Neu-Guinea . . . . 07 I *129*
— — Niederländisch- . BB XXII *395*
— Neuseeland, Kohlen d. Waipara series . . . 05 II 278
— N.-S.-Wales, Invertebraten . . . . . 05 I 318
— Queensland, untere . 07 II 289

Europa.

Balkanhalbinsel.

— Balkanhalbinsel, südwestliche . . . . . BB XXI *249*
— Griechenland . . . . CBl 1906 *541*
— — Argolis, Infracretacé . . . . . 05 I 298
— Montenegro . . . . . 07 II 107

Belgien.

— Echinocorys . . . . 06 I 155
— Mosasaurier . . . . . 05 II 308
— Bernissart, Wealdenflora . . . . . 07 I 491
— nördliches . . . . . 06 I 289

Dänemark.

— Dänemark . . . . . 08 I 430
— — Petrefakten . . . 06 I 309
— Faxe, Dolomit . . . 07 I 221
— — u. Schonen, Brachyuren . . . . . 06 II 141

Deutschland.

— Bayern, Regensburg, Mikrofauna . . . . 08 II 284
— Bayrischer Wald, Westrand . . . . . BB XXI *472 ff.*

Kreide
— Braunschweig, Algermissen, mittl. Gault. 1905 I 317
— — Bettmar b. Braunschweig, Aequivalent der Clansayes-Fauna CBl 1907 *266*
— — Biewende, Groß- u. Klein-, Untersenon 06 I 285
— — Braunschweig, Cephalopoden d. unteren 05 I 176
— — — Flammenmergel, Varians-Pläner u. Turon . . . . . 06 II 428
— — — östlich von, Brunsvicensis-Ton . . 06 I 284
— — Broitzem, Granulatenkreide . . . . . 06 II 427
— — Eckerkrug, Ilsenburgmergel . . . . . 06 II 427
— — Hämelerwald und Hohenhameln, Gault, Fauna . . . . . 06 II 425
— — Königslutter, Mucronatensenon . . . 06 I 285
— — Volzum, Turtia . 06 II 426
— — und Hannover, unt. 07 I 288
— — und Ilsede, Cephalopoden des Untersenon . . . . . 07 I 482
— Deister, kleiner, Nesselberg u. Osterwald 07 I 418
— — Nenndorf a. Deister, Wealden . . . . 06 II 413
— Hannover, Bentheim— Isterberger Sattel . . 09 I 410
— — Emsgegend, westl., untere, u. Transgression d. Wealden . . 07 I 434
— — Hildesheim (Galgenberg u. Vorholz). 07 I 420
— — Lüneburg 1906 II 427 CBl 1907 692
— — — angebl. Gault und Transgression . . CBl 1909 *759*
— — — Mortoniceras pseudotexanum, im Emscher . . . . . CBl 1906 *379*
— — — oberer Gault . CBl 1909 *619*
— — Misburg bei Hannover, Belemnites ultimus etc. . . . . 06 I 316
— — Nettlingen, Puzosia Mülleri, im Scaphiten-Pläner . . . . CBl 1905 *452*
— — Stederdorf u. Horst, Kr. Peine, untere . . 06 II 104
Kreide
— Hannover, südliches 1907 II 96. 98
— — — Transgressionen 1908 II 78
— — Vöhrum, Fossilien des Albien . . . . . 08 I 278
— Helgoland, Ammonitiden der unteren . . 05 I 466
— Norddeutschland . . 07 II 468
— — Ammonitiden der einzelnen Zonen . . . 08 I 265
— — Gliederung der unteren CBl 1908 *107. 162. 140. 221. 242. 289. 753*
— — Plesiosaurus aus Wealden . . . . . CBl 1905 *681*
— Nordwestdeutschland, Belemnites und Actinocamax im Cenoman 06 II 426
— Ostpreußen . . . . . 07 II 463
— Pommern . . . . . 08 I 428
— — Greifswalder Oie . 07 II 99
— Rheinland-Westfalen, Deckgebirge des Carbons . . . . . 06 II 105
— — Ruhrkohlenrevier 1907 I 413. 416
— Sachsen, oberste . . 06 I 286
— — Ammoniten . . . 05 I 353
— — Gastropoden . . . 06 I 317
— Sachsen, Schlesien u. Böhmen, oberste . . BB XXIV *676*
— Sachsen, Prov., Quedlinburg, Pflanzen der oberen . . . . . 07 I 492
— — — Hausmannia u. andere Pflanzen . . . 07 II 343
— Schaumburg-Lippesche Mulde, Fauna . . . 06 I 441
— Schlesien, Cephalopoden (Rhyncholithen) des Neocom . . . . 08 I 301
— — Kieslingswalde . . 05 I 300
— Schleswig-Holstein, Dithmarschen, Schichten mit Inoceramus labiatus u. Belemnites ultimus . . . . . CBl 1906 *275*
— Teutoburger Wald 1905 II 258 1906 II 418. 419 CBl 1909 *76*
— — Muschelkalkgerölle im Serpulit . . . . 06 II 86
— — bei Lengerich . . 09 II 253
— — unteres Angoumien in den Osning-Bergketten . . . . . 06 II 102

Kreide
— Teutoburger Wald, südlich Osnabrück . . . 1909 II 248
— Uckermark, Grimme . 07 II 123
— Westfalen . . . . . CBl 1909 *284*
— — und Rheinland, Deckgebirge des Carbons . . . . . 06 II 105
— — Dislokationen etc. 06 II 86
— — Faziesverhältnisse BB XXV *379*
— — Eggegebirge, östlich vom, Gräben in der Trias . . . . . 08 I 407
— — Paderborn bis Eggegebirge . . . . . 07 II 97
— — — Pläner mit Actinocamax plenus . . 06 I 316
— — — Ursprung der Paderquellen . . . . 06 II 414
— — südliches, Fazies in den Scaphitenschichten . . . . . 06 II 105
— — westl. Münsterland, Granulatenschichten . . . . . 08 I 427
— Westpreußen, Untersenon . . . . . 07 I 435

England.

— Fische des Chalk . . 05 II 136
— Gault, Upper Greensand und Chalk . . . 06 II 108
— Lamellibranchiaten 1906 I 466 1908 I 133. 444
— Black Ven, Charmouth, Zone d. Hoplites interruptus . . . . . 06 II 264
— Haldon Hills, Marsupites . . . . . 06 II 107
— Lincolnshire, Upper Chalk . . . . . 06 II 106
— Mupe Bay, Dorset . 06 II 264
— Wiltshire, Upper Greensand u. Chloritic Marl 06 II 107

Frankreich.

— Echiniden des östlichen 05 II 326
— Fische des nördlichen 05 II 482
— Petrefakten . . . . . 06 I 318
— Pseudoeolithen im Senon . . . . . 08 I 283
— Aquitanien, Grenze gegen Eocän . . . . 07 I 112
— Arvis-Kette, Savoyer Alpen . . . . . 05 II 250
— Dauphiné . . . . . 07 II 124

Kreide
— Dauphiné, Clansayes etc. . . . . 1906 I 312
— Escragnolles, Ammoniten . . . . . 05 II 321
— Feydey-Leysin, couches rouges . . . . . 09 I 429
— Frayssinet-Le-Gélat (Lot), Echiniden . . 05 II 149
— — — obere, mit verkieselten Versteinerungen . . . . . 06 I 290
— Grenoble, Ausbildung der unteren . . . . 07 I 281
— — Bourne-Tal, untere 05 I 277
— Languedoc u. rechtes Rhône-Ufer, Neocom 06 I 110
— Lure-Berg, franz. Alpen . . . . . 05 I 277
— Margny, Oise, Kieselkonkretionen . . . . 06 II 201
— Meudon, Foraminiferen . . . . . 07 I 330
— Nancy, Coeloceras Desplacei und subarmatum . . . . . 06 I 313
— Orgon (Bouches-du-Rhône), Fauna . . . 06 I 318
— Pariser Becken, Aptien des östlichen . . 06 I 291
— Savoyen, Giffre . . . 08 II 389
— südliches, Cenoman . 07 II 131
— südöstliches, untere . 08 II 402
— Villedieu, Bryozoenfauna . . . . . 05 II 145
— Yonne-Département, Seesterne des Senon . 06 I 320
— — Senon . . . . . 06 I 290

Italien.

— Anghiari, Orbitoiden . 05 II 487
— Euganeen, Radiolarien 06 I 474
— Sardinien (Nurra) . BB XXIII *455*
— Sizilien, Orbitoiden im oberen Senon . . . . 07 II 339
— — Calcasacco, Orbitoidenkalk . . . . . 08 I 448
— — Termini-Imerese (Calcasacco), Fauna . 09 II 149
— Venetien, Calloneghe . 05 I 317

Oesterreich-Ungarn.

— Böhmen . 1905 I 301 05 II 113
— — Bonebed im Turon 06 II 428
— — Klippenfazies im Cenoman . . . . . 06 II 427

Kreide
— Böhmen, eisenreiche Kernkonkretionen aus dem Quadersandstein BB XXV *467*
— — Adersbach-Weckelsdorf, obere . . . . . 1906 I 288
— — Caslau und Chrudim . . . . . 06 II 111
— — Chotebor, Malnitzer Schichten . . 06 I 289
— — Heuscheuergebirge 06 I 286
— — Mittelgebirge, Kontakt oberturon. Mergels mit Phonolith . 09 II 219
— — — Kostenblatt—Milleschau . . . . . 06 II 81
— — östliches . . 1906 I 285. 287. 289
— — Prag, Umgegend . 07 II 106
— — u. Sachsen, Inoceramen . . . . . 05 I 356
— Bosnien u. Hercegowina . . . . . 05 II 265
— Bregenzer Wald 1906 I 427 BB XXVII *1*
— Dalmatien, Benkovac-Novigrad, Tektonik . 05 I 454
— — Budna . . . . . 07 I 93
— — Cattaro . . . . . 05 II 93
— — Insel- u. Küstengebiet . . . . . 07 I 89 ff.
— — nördliches . . . . 06 I 259
— — Sebenico—Trau . 07 I 89
— — Spizza . . . . . 08 II 400
Veglia und Novi . 07 I 91
— — Zaravecchia—Stretto 07 I 90
— Galizien, Bonarka, Cephalopoden und Inoceramen des Untersenon . . . . . 08 I 431
— — Karpathen, Alter der Inoceramenschichten . . . . . 07 I 435
— — — östliche, Fauna d. Spasser Schiefer u. massigen Sandsteine . 07 I 436
— — Lemberg . . . . 05 II 95
— — Leszczyny bei Dobromil, obersenone Flyschfauna . . . . 08 I 429
— — östliches, Erdölzone 06 I 236
— — — Korallen . . . 09 I 294
— — Rzeszow und Debica, Foraminiferen d. Inoceramenschichten . 06 II 264
— Gosau . . . . . 09 I 427
— — Korallen . . . . 09 II 141

Kreide
— Gosauschichten, Hippuritenhorizonte der nordöstlichen Alpen CBl 1905 *77* CBl 1907 *417*
— — Tektonik . . . . 1907 I 271
— Kaltenleutgeben, Neocom . . . . . 05 II 429
— Karst, Verbreitung d. Gattung Bradya . . 05 II 486
— Krain, zwischen Bača-Tal u. Wocheiner Save 05 I 449
— Mähren, Budigsdorf . 07 II 123
— — Klogsdorf b. Freiberg . . . . . 07 II 288
— Niederösterreich, Wirbeltierfährten im Neocomflysch von Ybbsitz 05 II 434
— Ostalpen . . . . . 06 II 234
— Ungarn, Alvincz, obere 05 I 301
— — Aranyos-Gruppe, Siebenbürgisches Erzgebirge . . . . . 06 I 263
— — Gerecse-Gebirge . CBl 1905 *394*
— — Nagyag-Tal, nördliches Siebenbürgen . 07 I 105
— — Peterwardeiner Gebirge (Frusca Gora), Hypersenon . . . . 06 II 266
— — Siebenbürgen, Inoceramen . . . . . 07 I 485

Pyrenäenhalbinsel.
— Portugal, Petrefakten 07 I 448
— Pyrenäen, Granit . . 05 II 385

Rußland.
— Rußland . . . . . 08 I 430
— Douvilléiceras-Arten des oberen Neocom . 06 II 141
— evolute Ammonitenformen des Neocom 06 I 465
— Ostreen der oberen . 08 I 446
— Baskuntschak, Astrachaner Steppe . . . 07 II 124
— Ferghana (Irkeschtam), Versteinerungen . . . 05 II 283
— Gultscha-Tal, Ferghana-Formation . . 06 I 97
— Kaukasus, untere . . CBl 1908 *321*
— — Versteinerungen . 08 II 81
— Krim, Ammoniten . 06 I 315
— — (Balaklava), Aucellen . . . . . 08 I 445
— — — Krebse der unteren . . . . . 08 I 443

Kreide
— Polen, obere . . . . 1906 II 110
— zentrales Nord-, Ammoniten der unteren 05 I 350

Schweiz.

— Berner, Freiburger u. Waadtländer Alpen . 09 II 93
— Churfirsten—Mattstockgebiet, Valangien—Hauterivien-Grenze . . 08 I 425
— Engelberger Tal, Gault und Aptien . . . . . 07 I 288
— Frohnalpstock . . . 09 I 402
— Helvetische Kalkalpen, Transgression in der unteren . . . BB XXV *367*
— Hornfluh, Berner Voralpen . . . . . 07 I 100
— Jura, Ammonitidae der unteren . . . . 07 I 483
— — Berner, Gorges de l'Areuse . . . . . 05 II 88
— — LaChaux-de-Fonds, Dislokation im Valangien . . . . . 05 II 409
— — Ste.Croix, Waadtland 05 II 253
— — westlicher, Fauna der unteren . . . . 05 I 155
— — Westschweiz, Ammoniten der unteren 06 II 143
— Rhätikon, östliches . 09 I 90
— Säntis, Diploporen des Schrattenkalks . . . 09 I 154
— Seelisberg, Berrias . . 09 I 84
Krems, Lößlandschaft . 05 II 295
Kreta, pleist. Säugetiere 07 I 298
Kreuznacher Meeressand, Fauna . . . . . 07 I 111
Kristallaggregate, verworren blättrige, Winkelmessung . . . . . CBl 1908 313
Kristallberechnung, trikline System (Anorthit) . . . . . 07 I 2
Kristallbildung in flüssigem Magma . . . . 07 II 11
Kristalle
— Ableitung des Grundgesetzes nach Viola . CBl 1905 *553*
— Aufstellung . . . . . 05 II 167
— Aussendung von N- u. N_1-Strahlen . . . . 06 I 325
— Eigenschaft v. Standpunkt der Thermodynamik . . . . . 1907 I 183. 184
Kristalle
— ein- und zweiachsige, im Konoskop . . . . 1909 II 328
— flüssige . 1905 II 171 08 I 321
1909 I 2. 331 CBl 1905 207
— — und Plastizität . . CBl 1905 207
— — Polymorphie . . . 09 II 330
— — Prüfung durch elektrische Kataphorese . 05 I 5
— — und scheinbar lebende . . 1909 I 4 09 II 329
— siehe auch flüssige Kristalle u. kristallinische Flüssigkeiten.
— Grundgesetz . . . . CBl 1905 *225*
— hemimorphe, spezif. optische Eigenschaften 06 I 3
— kinetische Theorie . . 08 I 332
— künstlich gefärbt, Zustand des Farbstoffs . 07 II 4
— Messung mikroskopischer . . . . . 07 I 187
— optisch-aktive, Lichttheorie . . . . . 06 I 3
— — monoklin-hemiedrische Struktur . . 07 II 351
— optische Eigenschaften im konvergenten Licht 07 I 187
— optische Untersuchung mit dem Mikroskop . 09 II 7
— Reflexion des Lichts an durchsichtigen inaktiven . . . . . BB XXVI *296*
— scheinbar lebende 1909 I 4 09 II 329
— Symmetrie . . . . . 08 I 332
— — durch Spiegelung . 09 II 159
— thermodynamische Theorie 1905 II 169 CBl 1907 *711. 737*
— Umformung unter Druck . . . . . 06 II 80
— verletzte, Regeneration 05 II 332
— Wachstum und Auflösung . . . . . CBl 1906 *664*
Kristalleigenschaften, thermodynamische . 05 II 169
Kristallfasern, Torsion 1908 I 315. 316
Kristallflächen
— Bestimmung der Indizes durch einen Transporteur . . . . . 05 I 4
— Entstehung . . . . . 06 I 1
— Entwicklung im Zonenverbande . . . . . 05 I 1
— Kombinationsstreifg. . 09 II 3

Kristallflächen, krumme 1909 I 17
Kristallformen
— Abhängigkeit vom Zustande der Lösung . 07 I 184
— anomale (Pikrinsäure) 05 II 333
— induzierte, influenzierte und vikariierende . . 08 II 140
— des Mineralreichs, kritische Revision . . . 07 II 347
— in flächenreichen Zonen, Aufeinanderfolge und gegenseitige Beziehgn. 05 II 332
Kristallgenesis, Einfluß d. Kapillar-, Wärme- u. elektrischen Ströme . 07 II 352
Kristallgestalten, Ableitung aus dem allgemeinen Gesetz der Kristallbildung . . . . . CBl 1904 154
Kristallhabitus, Beziehg. zur Spaltbarkeit . . 05 II 176
Kristallinische Flüssigkeiten 05 II 172
— Beschaffenheit . . . 06 II 150
— Entstehung durch Mischung mehrerer Substanzen . . . . . 09 I 3
— klare . . . . . 09 I 330
— Natur . . . . . 06 II 153
— siehe flüssige Kristalle.
Kristallinische Gemenge, Schmelzpunkt . . . 08 II *24*
Kristallinische Schiefer
— allgem. Eigenschaften CBl 1905 430
— Amphibolgesteine, Klassifikation und Nomenklatur . . . . CBl 1905 *407*
— chem. Kennzeichen . 05 I 416
— Diffusion von Metallen bei Graniteruptionen . 05 I 419
— Entstehung 1905 I 417 06 II 199
— Kataklase . . . . . 05 I 70
— Mineralbestand und Struktur . 1905 I 59 09 I 207
— nach Grubenmann . CBl 1905 430
— nach Weinschenk CBl 1905 617. 625
— Perthitfeldspate . . . 05 II 361
— Alpen, Faltenbildung 08 II 214
— — St. Gotthard (Südseite) . . . . . BB XXVII *157*
— — Tessiner, siehe unten Tessiner Alpen.
— Aranyos-Gruppe, Siebenbürg. Erzgebirge 1906 I 262. 263
— Belledonnekette, Westalpen, chem. Zusammensetzung . . . . . 06 I 378
Kristallinische Schiefer
— Brit.-Zentralafrika . . 1907 I 236
— deutsches Grundgebirge 05 I 235
— Enderby-Land, gedredscht . . . . . 06 II 371
— Erzberg bei Hüttenberg (Kärnten) . . . 05 II 82
— Finnland . . . . . 07 I 235
— Grönland, westl. Nord- 07 I 244
— Hunyad-Komitat . . 06 I 264
— Kamerun . . . . . 09 II 74
— Korsika . . . . . 07 II 405
— Kykladen (Syra und Siphnos) . . . . . 09 II 223
— Ligurien . . . . . 08 II 215
— Molukken . . . . . 05 I 108
— Ottawa-Tal, Canada . 05 I 248
— Pojána-Ruszka, westl. Ausläufer, Phyllit . . 06 I 262
— Tessiner Alpen 1905 I 242 1908 II 197. 200
— Tuxer Kamm . . . . BB XXII *519*
— Yap, Karolinen . . . 05 II 72
— und Eruptivgesteine liefern durch Zerstörg. Sedimente . . . . . 09 II 62. 63
— siehe auch metamorphische Schiefer, Gneis etc.
Kristallinisch-fließende Trichiten . . . . . 06 II 151
Kristallinisch-flüssige Substanzen . . 1908 I 3 CBl 1908 311
Kristallinisch-flüssiger Zustand, beeinflußt durch die molekulare Gestalt 09 I 3
Kristallisation
— Bedeutung d. Knotenpunkte der stehenden Wellen . . . . . 08 I 332
— Kalialaun . . . . . CBl 1905 751
— in Schmelzflüssen durch Entgasung . . . . . 09 II *129*
— schwer kristallisierbarer Körper, Methode 05 II 4
— spontane . . . . . 09 I 327
— Uebergänge beim Natronsalpeter . . . . CBl 1905 *491*
Kristallisationserscheinungen, kinematographische Mikrophotographien . . . . . 08 II 145
Kristallisationsfolge
— in Eruptivgesteinen, Gesetze . . . . . 09 II 51. 55
— — — phys.-chem. Gesetze . . . . . 09 I 367

Kristallisationsgeschwindigkeit
— Abhängigkeit v. Temperatur . . . . . 1905 I 363
— binärer Schmelzen 1905 II 174 06 I 7
— isomorpher Silikate aus Schmelzen . . . 06 II 5
— in übersättigten Lösungen . . . . . 07 I 3
Kristallisationsgesetz
— allgemeines . . . . . 05 II 167
— darauf fußende eindeutige Aufstellung d. Kristalle . . . . . 05 I 2
Kristallisations- u. Zwillingsgesetze, einheitliche Ableitung . . . 05 II 332
Kristallisationsschieferung 05 I 67
— künstlich . . . . . 07 I 334
— u. Piezokristallisation 09 I 375
Kristallisationsvermögen gesteinsbildender Mineralien in Silikatschmelzen . . . . . 06 II 5
Kristallisieren
— dreifaches . . . . . 09 I 1
— Erscheinungen . . . 09 I 1
— Kombination von einfachem u. doppeltem 09 I 1
— und Schmelzen . . . CBl 1904 51
Kristallisierende Lösungen, Brechungskoeffizienten 09 I 157
Kristallisierte Substanzen, Konstitution (Ammoniumnitrat) . . . . . 07 I 3
Kristallklassen
— abkürzende Symbole . 09 I 155
— tabellar. Anordnung der 32 . . . . . CBl 1907 349
Kristalloblastische Reihen und Hornfelsstruktur CBl 1909 *501*
Kristalloblastische Struktur der kristallinischen Schiefer . . . . . 05 I 72
Kristallochemisches Gleichgewicht u. Isomorphie 09 II 177
Kristallographie 1907 II 345 1908 II 139 ff.
— Anschauungen von Haüy und Bravais . 06 II 448
— Anwendung der gnomonischen Projektion zum Kristallzeichnen 05 II 1
— Anwendung der Phasenlehre . . . . . 07 II 172
Kristallographie
— Beziehung zur Zahlenlehre . . . . . 1907 I 181
— Bravais' Gesetz . . 09 I 313
— chemische . . . . . 05 II 174
— Diagramme regelmäßiger Punktsysteme . . CBl 1906 *468*
— experimentelle Grundlage der Raumgitterhypothese . . . . . 06 II 1
— Formeln u. graphische Methoden zur Bestimmung von Kristallen 05 II 331
— Formenentwicklung v. Flächen oder Zonen ausgehend . . . . . 06 I 322
— Fortschritte, Hilfsmittel und Ziele . . 05 I 1
— geometrische von E. Sommerfeldt . . . CBl 1907 182
— — Genauigkeitsgrenzen der Gesetze . . . 05 II 1
— gnomonische Projektion auf 2 Ebenen . . 07 II 1
— Grundgesetz nach Viola . . . . . CBl 1905 225
— — Ableitung v. Viola CBl 1905 553
— Grundzüge von Viola CBl 1905 559
— in der Enzyklopädie der mathematischen Wissenschaften . . . CBl 1906 552
— Kantenwinkel, Messg. mittels Vertikalilluminators am Reflexionsgoniometer . . . . . 09 I 313
— Koordinatentransformation . . . . . 07 I 182
— Minimalproblem der Gestaltenlehre . . . 06 I 321
— neue Rechenmethode 05 I 361
— neuere Aufgaben . . 08 I 1
— neuere Entwicklung . CBl 1905 598
— physikalische von E. Sommerfeldt . . . CBl 1907 472
— quadratisches System, tedraedrisch-tetartoedrische Klasse bei $2\,Ca\,O\,.\,Al_2O_3\,.\,Si\,O_2$. 08 I 161
— Stereometrie der einfachen isoaxialen Formen des regulären Systems . . . . . 05 II 331
— Syngonieellipsoid . . 07 I 1 ff.
— Transporteur f. stereographische und gnomonische Projektion . CBl 1908 312

Kristallographie
— Vielecke des regulären Kristallsystems, dualistisch entsprechend den Vielflächen . . . 1907 II 1
— von Kraus . . . . . CBl 1907 154
— Zonensätze . . . . . 06 I 321
— 32 endliche Bewegungsgruppen . . . . . 07 I 2
— u. physikal. Chemie . 06 II 313
Kristallographisch-chemisches Grenzgebiet . . 06 I 322
Kristallographische Projektionen, Konstruktion . . . . . 06 II 314
Kristallographische Uebungen . . . . . CBl 1906 554
Kristallographisches Limitgesetz, Erprobung 07 I 183
Kristalloid- und Kolloidzustand . . . . . 08 II 5
Kristalloptik, Lehrbuch von Pockels . . . . CBl 1906 681
Kristallplatten
— aktive, Interferenzerscheinungen im polarisierten Licht . . . BB XXI *540*
— doppeltbrechende, photographische Abbildung der Interferenzfiguren . . . . CBl 1904 472
— im konvergenten Licht 08 I 3. 4
— inaktive, Interferenzerscheinungen . . . . BB XXI *543*
Kristallrefraktometer
— von Abbe-Pulfrich, Justierung . . . . . 09 II 159
— von Herbert Smith CBl 1907 350
— von Leiss, kleines . 09 II 159
— siehe auch Refraktometer.
Kristallstruktur . . . . 05 II 161
— Grundlage einer neuen Theorie (Nold) . . 1906 II 315. 316
— Theorie . . . . . 07 I 183
Kristalltafeln, Schwarzmann . . . . . CBl 1908 90
Kristalltracht
— beeinflußt durch fremde Substanzen beim salpetersaur. Harnstoff . 09 I 329
— von Doppelsulfaten, Veränderung durch Lösungsgenossen . . 07 I 184
— Chlornatrium, Variation . . . . . 08 II 158
Kristalltracht
— Kalkspat, bei Zwillingen . . . . . 1908 I 176
— Orthoklas . . . . 08 I 17
Kristallumformung unter Druck . . . . . 07 II 351
Kristallzeichnen, Anwendung der gnomonischen Projektion . . . . . 05 II 1
Kristallzwillinge
— physikalische Theorie etc. . . . . 09 II 5. 6
— Zusammenhang mit anderen Erscheinungen BB XXIII *237*
Kristall- u. Konstitutionswasser, Lichtabsorption im Ultrarot . . 07 I 12
Kristiania, siehe Christiania.
Kröhnkit, Chile, Chuquicamate, Prov. Antofogasta, Krist. . . . . 09 II 203
Krokoit, siehe Rotbleierz.
Krokydolith
— Lydenburg, Transvaal 07 I 236
— Sibirien, Minusinskscher Kreis 1909 II 21 CBl 1907 *435*
Krugit
— bei 83° . . . . . 08 II 159
— künstliche Darstellung 05 I 192
Kruhel maly b. Przemysl, Foraminiferen u. Mollusken der Clavulina Szaboi-Schichten 1905 I 319 05 II 434
Krusten, Eisenmangan-, Cap-Halbinsel, durch Windwirkung . . . . 06 II 352
Krustenerze, Oberschlesien, im Muschelkalk 06 II 74
Kryolith
— Ivigtut, Grönland, Begleiter . . . . . CBl 1908 411
— — Einwirkung von Radiumbromid . . . CBl 1909 *71*
— — Schmelzversuche CBl 1908 *35. 38*
— — umkehrbare Umwandlung . CBl 1908 *35. 38. 546*
Kryolithionit
— Beziehung zu Kryolith . . . . . CBl 1908 *546*
— Ivigtut, im Kryolith 06 I 10
Kryptoperthit, Analysen 09 I 372
Kryptotil, entstanden aus Grandidierit . . . . 06 II 171

Kubikinhalt von Erz, Beziehung zu spezifischem Gewicht, Porosität u. Feuchtigkeit . . . . 1909 I 389
Kubisches System, Hauptstrukturarten . . . . 07 I 183
Kuchetaier Berge (Hochedergruppe), Geologie 08 II 66
Küke-nur-Gebiet, Geologie nach Futterer . 09 II 261
Künstliche Darstellung, siehe Darstellung, künstliche.
Künstliche Edelsteine . . CBl 1908 179
Künstlich gefärbte Kristalle, Zustand des Farbstoffs . . . . . 07 II 4
— siehe auch Färbung.
Künstlicher Metabolit . . 07 I 360
Küstenlinien
— gehobene, England . 05 II 450
— Veränderung der Insel Nantucket . . . . . 07 I 379
— siehe auch Strandlinien.
Küstensenkung u. Meereserosion, Rocky Mountains . . . . . 07 I 379
Küstenterrassen, Kapkolonie . . . . . 08 II 46
— siehe auch Terrassen.
Küstenversetzung, siehe Strandversetzung.
Kugelgranit
— Riesengebirge CBl 1905 *236* CBl 1908 *137*
— Spitzbergen . . . . 06 II 263
Kugelpackung in Erbsen- und Rogensteinen . . CBl 1909 *302*
Kukurtuk-Tal, südliches Tian-Schan, obercarbonische Brachiopoden . . . . . BB XXII *266*
Kum-Aryk, südlicher Tian-Schan, Geologie BB XXII *339*
Kum-bulung, südlicher Tian-Schan, Geologie BB XXII *297*
Kunzit
— Analyse . . . . . 05 II 183
— optische Eigenschaften . . . . . 05 II 22
— Andover, Oxford County, Maine . . . . . 09 I 32
— Nordamerika, Edelstein . . . . . 06 I 356
— Pala, Kalifornien . . 07 II 44
Kupfer
— ausgefällt aus Chloridlösungen durch Eisenchlorid . . . . . 1909 II 398
— Legierungen mit Pt . 08 II 157
— Lichtbrechung . . . 08 I 170
— Lösung und Niederschlag . . . . . 08 II 8
— Sublimation in Quarzgefäßen . . . . . 05 I 17
— Bisbee Quadrangle, Arizona . . . . . 06 I 175
— Böhmen, Alaun- und Pyritschiefer d. westlichen . . . . . 06 I 53
— Färöer, im Basalt, gediegen . . 1909 I 29 09 II 396
— Fiatschach b. Knittelfeld (Steiermark) . . CBl 1908 *279*
— S. Paulo, Brasilien, im Diabas . . . . . CBl 1906 *333*
— siehe auch Cupro.
— u. Kupferverbindungen in Basalteinschlüssen, Niederrhein . . . . . CBl 1908 *705*
Kupferallophan, Concepcion del Oro, Zacatecas, Mexiko . . . BB XXVIII *554*
Kupferantimonat . . . . CBl 1909 *330*
Kupferantimonglanz, Bolivia, Oruro . . . . 08 II 337
Kupferblüte, Niederrhein, in Basalteinschlüssen CBl 1908 *708*
Kupferchlorür, Neubildg. im Pariser Boden . . 05 I 369
Kupfererze
— Aranzazu, Zacatecas, Mexiko . . . . . BB XXVIII *551*
— Bocheggiano . . . . 05 I 387
— Bor, Serbien, Paragenesis . . . . . 09 II 401
— Clifton-Morenci, Arizona, Entstehung . . 07 II 419
— Cochise Mining District, Arizona . . . 07 II 418
— Concepcion del Oro, Zacatecas, Mexiko, Gang im Granodiorit etc. . . . BB XXVIII *451. 455. 551*
— Corocoro, Bolivia, Entstehung . . . . . 07 II 421
— Cuba . . . . . 05 I 389
— Encampment District, Wyoming . . . . . 05 II 35
— Ferghana, Tjuja-Majun . . . . . 09 II 39

Kupfererze
— Globe Copper District, Arizona . . . . . 1905 I 442
— Los Pilares Mine, Nacozari, Mexiko . . . 07 II 418
— Mitterberg, Salzburg . 09 II 396
— Neuseeland . . . . . 08 I 399
— Nordamerika, Entstehung . . . . . 1907 II 420. 421
— Quebec . . . . . 08 I 81
— Riesengebirge, böhm. Seite, Entstehung . . 07 II 423
— Rußland, Woiz'sche Grube, Gouvernement Archangelsk . . . . 09 II 40
— Schottland . . . . . 05 I 99
— Serbien, Bor u. Krivelj, im östlichen . . 06 I 231
— Spanien, Sierra Bedar und Coscojares . . . 08 I 243
— Spassky-Gruben, SW-Sibirien . . . . . 07 II 422
— Sudbury, Beziehung zu Nickelerzen . . . 08 I 81
— Südwestafrika 1906 I 233 07 I 74
— Virgilina-Distrikt, Virginia u. Nord-Karolina . . . . . 05 I 260
Kupfererzgänge, Markirch . . . . . 09 I 26
Kupfererzlagerstätten
— Ausfällung von ged. Kupfer . . . . . 09 II 398
— Leiterze . . . . . 08 I 400
— sekundäre Anreicherg. 07 II 419
— Alaska, Kasaan-Halbinsel . . . . . 09 II 399
— Arizona, Bisbee . . . 05 I 41
— — Cherry Creek District . . . . . 08 I 396
— Colorado, Sangre de Christo Range . . . 09 II 400
— Kalifornien, Copperopolis . . . . . 09 II 398
— Montana, Belt-Formation . . . . . 09 II 398
— — Butte . . . . . 09 II 399
— New Jersey, in der Trias . . . . . 09 II 397
— Pennsylvania, nordöstl., Newark . . . . 09 II 370
— Veitsch (Dürrsteinkogel) . . . . . 05 I 100
Kupferglanz . . . . . 09 I 318
— unipolarer Leiter . . BB XXI *338*

Kupferglanz
— Elektrizitätsleitung . 1907 II 5
— Bisbee Quadrangle, Arizona . . . . . 06 I 175
— Bor u. Krivelj, östl. Serbien, Erz . . . . 06 I 231
— Butte, Montana, Entstehung . . . . . 06 I 241
— Clifton-Morenci-Distrikt, Arizona . . . . . 06 I 173
— Globe Copper District, Arizona, Versteinerungsmittel v. Pflanzen . . . . . 05 I 205
— Grab in Kostunici (Serbien), Pseudomorphose u. Kristallform 09 II 13
— Markirch . . . . . 09 I 24
— Nagolnij Krjasch, Donetz-Becken . . . . 07 II 193
— Sinclairgrube bei Lüderitzbucht, SW.-Afrika . . . . . 06 I 233
Kupferindig
Synthese . . . . . 08 I *30*
— Bor, Serbien . . . . 09 II 336
— Japan, Kosaka mine 09 I 167
Kupfercarbonate
— Entstehung . . . . . 08 II 16
— künstliche Darstellung . . . . . 08 II 305
Kupferkies
— thermodynamisches Verhalten . . . . . 05 II 169
— Arakawa, Japan . . 08 II 168
— — — Kristalle . . . 08 I 173
— — — Zwilling . . . 07 I 195
— Bisbee Quadrangle, Arizona . . . . . 06 I 175
— Bosnien u. Hercegowina, Lagerstätten . 06 II 381
— Frigido bei Massa, mit Fahlerz . . . . . 07 II 177
— Horky bei Tabor, Böhmen . . . . . 09 II 366
— Nagolnij Krjasch, Donetz-Becken . . . . 07 II 193
— Niederösterreich . . . CBl 1908 *742*
— niederösterr. Waldviertel, Zwettl . . . CBl 1908 251
— Niederrhein, in Basalteinschlüssen . . . . CBl 1908 *706*
— Pulacayo, Ungarn, Kristalle . . . . . 1905 II 11
— Riparbella (Cecina), Toscana, Lagerstätte 09 II 397

Kupferkies
— Rußland, Woiz'sche Grube, Gouvernement Archangelsk . . . . 1909 II 40
— Schmiedeberg (Riesengebirge), im Granit CBl 1909 *772*
— Sommerville, Mass., Kristalle . 1905 I 18 05 II 13
— Sudbury-Distrikt, Canada . . . . . 06 II 182
— Traversella . . . . . 08 I 40
— Ungarn (Kapnik und Schemnitz), Kristallformen . . . . . 06 II 325
— Vesuv, von 1906 . . 08 I 207
— Weilertal, Elsaß . . 08 I 199
Kupferlasur
— künstlich . . . . . 08 II 305
— Australien (Broken Hill und Moonta) . . 08 II 17
— Carrara, im Marmor . 06 II 176
— Chessy u. Broken Hill, Kristalle . . . . . 07 I 201
— Damaraland . . . . 08 II 18
— Lagonegro, Timpone Rosso . . . . . 1908 II 306. 307
— Markirch . . . . . 09 I 24
— Nadabula, Ungarn . 07 I 207
— Nagolnij Krjasch, Donetz-Becken . . . . 07 II 196
— Otavi, SW.-Afrika . . CBl 1906 *388*
— Sardinien, Castello di Bonvei . . . . . 08 II 16
— Valle Sacca bei Kimpolung (Bukowina), scheibenförmig . . . 06 II 164
— siehe Kupfercarbonate.
Kupfernickel, Markirch . 09 I 25
Kupferpecherz . . . . . CBl 1909 *327*
— Clifton - Morenci - Distrikt, Arizona . . . 06 I 173
— Niederrhein, in Basalteinschlüssen . . . CBl 1908 *706*
Kupferschaum, Markirch 09 I 24
Kupferschiefer
— Beziehung zu Rücken CBl 1906 243
— Anhalt . . . . . 09 II 401
Kupferschieferrücken, Mansfeld u. Thüringen, Beziehung zur Erzführung des Kupferschiefers . . . . . CBl 1906 243
Kupfersulfür, elektrisches Verhalten des künstlichen . . . . . CBl 1905 *467*
Kupferuranit . . . . . 09 I 318
Kupfervitriol
— Bor, Serbien, Krist. . 1909 I 350
— Frigido bei Massa, mit Fahlerz . . . . . 07 II 177
— Markirch . . . . . 09 I 24
Kupfferit
— künstlich . . . . . 08 I 20
— Rolle des Wassers . . 09 II 18
— Baikalsee, krist. und optisch . . . . . 05 II 192
Kurische Nehrung, Moostorfschichten des Steilufers bei Sarkau . . 08 II 408
Kurkurstufe, Gebel Garra, Libysche Wüste = Suessonien I . . . . 05 II 322
Kurland, Foraminiferen des Jura . . . . . 06 I 471
Kutsch, Jura, Trigonien und Brachiopoden 1905 I 178. 180
Kuttenberg, Moldawit, kosm. Ursprung . . . CBl 1908 *737*
Kyffhäuser, Oberflächengestaltung der Umgebung als Folge der Auslaugung der Zechsteinsalze . . . . . 09 II 427
Kykladen, Einlagerungen im kristallin. Gebirge, Syra und Syphnos . 09 II 223
Kylindrit, Poopo, Bolivia, chemisch . . . . . 06 I 15

L.

Laaser Gruppe, Tirol, Geologie . . . . . 09 I 380
Labidosaurus hamatus, Perm, Texas . . . . 07 I 148
— — — — montiertes Skelett . . . . . 08 II 266
— incisivus . . . . . 1909 II 123. 125
Labillea mira, rezent, Südamerika . . . . . 07 II 154
Labradorit
— zusammengeschmolzen mit Aegirin u. Eläolith CBl 1906 *144*
— — mit Augit u. Magneteisen . . . . . 08 II *16*
— — mit Augit u. Olivin 08 II *8*
— Färöer . . . . . 09 I 29
— Labrador, chemische Konstitution . . . . 05 I 25
— — opt. Orientierung . 08 I 334
Labradorporphyr, Aouache, Ostafrika . . . . . 07 II 415

Labradorporphyrit, Grahamsland . . . . . 1908 I 77
Labrodon multidens, Miocän, Albugnano bei Turin . . . . . 05 II 139
Labyrinthodonten
— Amerika, Bau und Beziehungen . . . . . 09 II 128
— upper Karoo beds, Kiefer . . . . . 08 II 276
Lacave (Lot), Höhle mit Menschenspuren . . . 06 I 445
Lacazinenkalk, Groß-Kei 07 I *130*
Lacertilier, Sacrum . . 09 I 441
— siehe auch Eidechsen.
La Chaux-de-Fonds, Dislokation im Valangien 05 II 409
Lacuna Staadti, Eocän, Paris . . . . . 07 II 303
Lacunistische Gruppe, beim Eisen . . . . . 05 I *141*
Lägern, Schweiz, Geologie 08 I 408
Länderkunde, Museum in Leipzig, Führer . . . CBl 1905 281
Lättler . . . . . 06 I 205
Lagena acuticosta var. ramulosa, Victoria, Australien . . . . . 09 I 144
— marginulinoides, montagni u. sphaerula, Tyrrhenisches Meer . 06 II 309
— reticulata, Globigerinenmergel, Bahna, Rumän. Karpathen . . 09 II *142*
— ventricosa, Miocän, Piemont . . . . . 06 II 308
Lagenidae, System der lebenden u. fossilen . 05 II 329
Lageninae, Tyrrhenisches Meer . . . . . 06 II 308
Lagenonodosaria . . . . 07 II 499
— pseudoscalaris, Italien 06 II 308
Lagenostoma Kidstonii, Paläozoicum . . . . 09 I 312
Lagentexturen, kristalline Schiefer . . . . . 05 I 73
Lagerstätten
— und Politik . . . . . 08 I 78
— siehe Erzlagerstätten, Minerallagerstätten, Eisenerze, Kupfererze etc.
Lagerstättenkarte, Deutschland . . . . . CBl 1907 569
Lagomeryx, Bayrisch-Schwäbische Hochebene, Obermiocän . 06 I 124
Lagomys, Quartär, westl. Mittelmeergebiet . . 1907 I 458
Lagorai-Gebirge, Gliederung der Quarzporphyrdecke . . . . . 05 II 382
Laharpeia basilica, Benoisti, sub-Defrancei u. Molli, Tertiär, Apennin . . . . . 05 II 327
— gassinensis . . . . . 05 II 156
Lahillea mira, rezent, Südamerika . . . . . 07 II 154
— Luisa-Schichten, Kreide, Patagonien . . . BB XXI *143*
Lahn u. Dill, devonische Eruptivgesteine . . BB XXVII *261*
Lahnmulde, östl., Tektonik 09 II 85
Lahnporphyr
— Dill und Lahn . . BB XXVII *299*
— Langenaubach . . BB XXVII *309*
— Rupbachtal, Ausgang BB XXVII *302*
Lake superior
— Beziehung von Sandstein und Trapp, Wisconsin . . . . . 06 I 93
— Wisconsin, Geologie . 05 I 231
Lake superior - Region, Geologie nach dem Bericht des Komitee 07 I 107
Laki, Vulkan, Island . . BB XXVI *5*
Lakki-Kette bei Station Bagatora (Sind), Tertiär CBl 1905 *161*
Lakkolith
— Ajnácskö, Gömörer Komitat, Basalt- . . 05 II 383
— Brome Mountain, Monteregian Hills, Quebec 07 I 240
— Highwood Mountains, Montana . . . . . 06 II 374
— Piatigorsk (Kaukasus) 07 I 233
— Weitendorf, Steiermark, Basalt- . . . . CBl 1905 *397*
Lakkolithenhypothese . . 09 I 53
Lakota-Formation, Black Hills, Flora . . . . 07 II 505
Lakunistische Gruppe beim Eisen . . . . . 05 I *141*
Lambdoconus elegans, Kreide, Lago Musters, Patagonien . . . . . 05 I 498
Lamellaria inopinata, Eocän, Paris . . . . . 07 II 303
Lamellen, dodekaedrische, im Oktaedrit v. Narraburra oder Yeo Yeo-Creek, Australien . . 07 I 357

Lamia, balt. Bernstein, Deutung . . . . . 1907 I 323
Laminifera arneggensis, Alttertiär, Ulm . . . 08 II 104
Lamna (Odontaspis) macrota, var. hungarica, untermediterran, Felsöesztergály, Komitat Nograd . . . . . 06 I 125
— obliqua (Algier) und Vincenti (Moglia, Apennin) . . . . . 05 II 139
— tarnoczensis, untermediterraner Sandstein, Tarnocz, Kom. Nógrád . . . . . 05 II 479
Lamprophyr, Cambewana Range, N.-S.-Wales . 07 I 398
Lamprophyrische Ganggesteine, Neurode, im Gabbrozuge . . . . BB XXVI *483*
Lamprophyrisches Gestein, Valletta del' Alpe di Rodi, Tessin BB XXVI *503*
Lanceolites compactus, Meecoceras beds, Amerika . . . . . 06 II 303
Land- u. Küstenhebungen, Beweise für Gleichaltrigkeit der Schichten . . . . . 08 II 339
Landénien u. Thanétien, Bedeutung . . . . . 06 I 116
Landmanna-Afrjettur, Vulkan, Island . . . BB XXVI *35*
Landschaftenkalk, Entstehung etc. 1906 II 201 08 II 117
Landskron, Mähren, Geologie . . . . . 05 II 261
Landstaffeln, Ostasien . 05 I 114
Langbeinit
— bei Erstarrung aus Schmelzfluß . . . . 08 II 167
— Solvayhall bei Bernburg, Zwillingsbildung BB XXIII *308*
Langenaubach
— Lahnporphyr . . . BB XXVII *309*
— oberdevon. Tuffbreccie BB XXVIII *386*
Languedoc
— tertiäre Süßwasserbildungen . . . . . 05 I 305
— und rechtes Rhône-Ufer, Neocom . . . 06 I 110
Lansfordit, Kristalle . . 1909 II 24
Lappland
— Eisenerzlagerstätten, Geologie und Genesis BB XXIV *548*
— Ekströmsberg- und Mertainen-Eisensteinsfelder . . . . . 06 I 231
Laramie, Bezeichnung . 08 I 432
Laramie beds, Wyoming, Wirbeltiere . . . . . 07 I 439
Laramie-Gruppe, Montana, Unio-Spezies . 08 I 445
Laramie-Kreide, Wyoming-Nebraska . . . 06 I 268
Laramie-Stufe, Kohlenablagerungen in den Rocky Mountains . . 08 II 221
Laricopsis longifolia var. longifolia . . . . . 07 II 505
Larix (?) serrata, Bernstein, Ostpreußen . . 09 I 308
Larvaria cranifera, Tertiär (Thanétien), Boncourt (Oise) . . . . 08 II 406
Lasaulx'sche Methode der Interferenzfiguren im Mikroskop, Verbesserung . . . . . 07 II 3
La Serre-Massif, Juragebirge, Bau . . . . 05 I 283
Lassalit, Can Pey (Pyrénés orientales), Frankreich . . . . . 09 I 192
Lassalit = Palygorskit . . 09 II 347
Laterit, chem. Untersuchung . . . . . 09 I 347
— Verwitterungsprodukt von Silikaten . . . . 06 I 23
— Amani, Ost-Usambara 1906 II 55 421
— Brasilien . . . . . CBl 1909 *361*
— Ceylon . . . . . 1906 I 183. 185
— Deutsch-Adamaua . 09 II 384
— Guinea, Bildung aus Diabas . . . . . 09 I 339
— — Französisch- . . . 07 II 414
— Indien, Entstehung . 05 I 374
— — — u. Zusammensetzung . . . . . 06 II 330
— — Zusammensetzung 05 II 15
— Karolinen, aus Amphibolit . . . . . 05 II 73
— Madagaskar, Indien, Ceylon, Surinam, Australien, Karolinen u. Afrika . . . . . Festband *33*

Laterit
— Ostafrika, Färbung durch organische Farbstoffe . . . . . BB XXVIII *375*
— Surinam 1905 II 69 Festband *33*
— Vogelsberg (Bauxit), Magnetismus . . . . 1907 I 43
Lateritähnliche Bildungen, Kuckstein bei Oberkassel und Solling . . 06 II 53
Lateritbildung, Bombay, vergl. mit Verwitterung des Dolomits von Rowley Regis (Staffordshire) . . . . . 07 I 391
Lateritische Verwitterung, Amani, Ost-Usambara 1906 II 55. 421
Latidorsella, Rassenpersistenz . . . . . CBl 1909 *197*
Latirus incompletus, ?Eocän, Kamerun . . . 06 II 123
Latit
— Cambewana Range, N.-S.-Wales . . . . 07 I 398
— Highwood Mountains, Montana . . . . . 06 II 374
Lauenburg, obere Grundmoräne . . . . . 05 I 472
Lauenburger Ton, Leithorizont im norddeutschen Diluvium . . . 09 II 309
Lauenen-Tal, oberes, Berner Alpen, Geologie 1905 I 276 1908 II 380. 382
Laumontit
— Kontraktionsfiguren bei Behandlung mit Säuren . . . . . 08 I 336
— Baveno, Montorfano . 07 I 40
— — u. Fassatal, Glühverlust . . . . . 06 I *24*
— Biella, Piemont, Drusen im Syenit . . . 06 II 41
— Binnental, Kristalle . 06 I 168
— Färöer . . . . . 09 I 29
— Flaatgrube, Evje, Saetersdalen, Norwegen . 06 I 352
— Grönland, Ost-, im Basalt . . . . . 06 II 186
— Landvaerk, Evje, Saetersdalen, Norwegen, Pseudom. von Albit nach L. . . . 06 I 351
— Mogy-guassù, São Paulo, Brasilien, im Diabas CBl 1906 *331*
Laumontit
— Montecatini (Caporcianit), chemisch . . 1908 II 315
— S. Fedelino am Comer See, im Granit . . . 07 II 35
— Templeton, Quebec, Pseudomorphose von Orthoklas nach L. . 07 II 12
Laurionit, krist. u. opt. . 07 I 194
Laurophyllum elegans u. nervillosum, Kreide, New York . . . . . 08 I 456
Laurvikit, Ampasindava (Madagaskar) . . . . 05 I 437
Lausitz, basische Gesteinsgänge des Granitgebiets 08 I 56
Lauterberg, Knollengrube 05 II 398
Lautit, Rauental b. Markirch . . . . . 09 I 8
Lava
— Mayen, Mineralien der Einschlüsse . . . . . 06 I 347
— Vesuv, Eruption 1906 CBl 1906 *497*
— — 1906, Ursprung des Ammoniakgehalts 1909 I 7. 53 CBl 1907 *161*
— siehe auch Vesuv, Ammoniak und Salmiak.
Lavadecken, Beweis für Gleichaltrigkeit der Schichten . . . . . 08 II 339
Lavaergüsse, Island . . 08 I 216
Lavakuppel, Vesuv, Entstehung . . . . . 05 I 46
Laven
— durch Blitz magnetisiert 07 II 389
— Ursprung des Ammoniakgehalts 1909 I 7. 53 CBl 1907 *161*
siehe auch Ammoniak.
— vulkanische . . . . 07 I 53
— Snowdon, Wales . . 07 I 390
Lavignon Marcouti, Senon, Mittel-Peru . . BB XXIV *115*
Lawsonit
chemisch u. kristallin. 05 I 186
— italienische Fundorte, Analysen . . . . . 06 I 340
— Kalifornien . . . . 08 II 29
— Saint-Véran, Hochalpen, im Gestein . . 06 I 379
— Susa-Tal, im Prasinit der Rocca Bianca . . 06 II *129*
Laxispira distincta, Hypersenon, Peterwardeiner Gebirge . . . 06 II 267

Lazulith, Pretulalpe . . CBl 1907 412
Leadhillit . . . . . 1909 I 319
— Dschebel Ressas, Tunesien . . . . . 07 II 42
— Sardinien, Argentiera della Nurra, Portotorres . . . . . 06 I 31
Lebende Kristalle . . 1908 I 321. 323
Lebende flüssige Kristalle, scheinbar . . . . . 09 I 4
— siehe auch flüssige Kristalle.
Lebertorf . . . . . 08 II 186
Lecanites discus, Untertrias, Albanien . . . 08 II 399
— Knechti, Meecoceras beds, Inyo Range . . 06 II 304
— Vogdesi, mittl. Trias, Nevada . . . . . 06 II 304
Leconteia u. L. californica, Trias, Amerika 06 II 299
Leda complanata u. supracretacea, ob. Kreide, Alvincz . . . . . 05 I 302
— crispata var. ukraïnica, Tertiär, Mandrikowka 06 I 468
— Futtereri, Tertiär, Guldscha, Ferghana . . 05 II 283
— inopinata, Eocän, Loire inférieure . . . . . 07 II 302
— inornata cf. obscura, Devon, Bolivia . . . BB XXV *525*
— Levini, mittl. Gault, Algermissen . . . . 05 I 317
— navicula, Kreide, Schaumburg-Lippesche Mulde . . . . . 06 I 441
— substriatula, ? Eocän, Kamerun . . . . . 06 II 123
— volgensis, Paläocen, Saratow . . . . . 05 II 121
Leesbergit . . . . . 1909 II 212. 342
Legierungen
— Nickel u. Kobalt, mit Eisen . . . . . 06 II 157
— Struktur durch Polieren erkannt . . . 06 I 8
Leguminosites cassiaefolius und leptolobiifolius, Paleocän, Leval (Hennegau) . . . 09 II 491
Lehmlager, Aufsuchen u. Bewerten . . . . . CBl 1904 410
Leidyosuchus canadensis, Judith River-Formation, Alberta . . . . 09 I 450
Leinetal
— diluviale Konchylienfauna . . . . . 1905 I 310
— Geologie nach Bohrungen . . . . . 06 II 416
— — bei Alfeld u. Elze 08 II 80
Leiopteria hirundo, Culm, Königsberg b. Gießen BB XXVIII *635*
Leipzig
— Erdbebenstation, 1. Mai bis 31. Okt. 1904 . . 05 II 370
— — 1. Nov. 1904 bis 31. Dez. 1905 . . . 07 I 45
— Pulsationen der Erdbeben u. Erdschwingungen durch Kirchenglocken . . . . . 05 II 370
Leiter, feste, unipolare . BB XXI *325*
Leiterze . . . . . 08 I 400
— verschiedener Teufen 09 I 76
Leitschicht, geologische . 06 I 43
Lemberg, Geologie . . . 05 II 95
Lemisinus Pistati, Eocän, Paris . . . . . 07 II 303
Lemudeus angustidens u. proportionalis, Kreide, Lago Musters, Patagonien . . . . . 05 I 497
Lemur insignis = Palaeoschirogaleus, Madagaskar . . . . . 06 II 446
Lemuren, Madagaskar u. Europa . . . . . 06 II 443
Lemuroidea, amerikan. Eocän . . . . . 05 I 328
— Systematik . . . . . Festband *222*
— Patagonien . . . . . 05 II 466
Lengenbach, Steinbruch, im Binnental . . . . CBl 1907 93
Lengenbachit
— Binnental 1909 I 172 CBl 1905 *30. 490*
— — Kristalle . . . . 06 II 31
Lenhofdaporphyr, Diluvium, Westfalen . . CBl 1907 *174*
Leonhard, K. C. v., Beziehungen zu Goethe Festband *169*
Leonit
— Bildung unter 25° in ozean. Salzlagern . . 06 I 163
— obere Existenzgrenze 05 I 192
Leontinia u. Leontinidae, Kreide, Patagonien 1905 I 168 05 II 467
Leopardit, Nord-Karolina 06 II 216
Leopoldi-Gruppe, Kreideammoniten, Krim . . 06 I 315

Leopoldia Baumbergeri, belgramensis, Hauthali u. paynensis, unt. Kreide, Patagonien . BB XXV *627*
— untere Kreide des Schweizer Jura . . . 1907 I 483
— Buxtorfi, hoplitoides, incerta, Lorioli, mucronata, neocomensis u. Renevieri, untere Kreide, Jura der Westschweiz . . . . . 06 II 143
Lepacyclotes . . . . . 07 II 502
Lepidoblastische Struktur der kristallinen Schiefer . . . . . 05 I 72
Lepidocyclina, Einteilung der Gattung . . . . 05 II 489
— angularis, Miocän, Formosa u. Riu Kiu 06 II 309
— bayhariensis u. senoniana, ob. Senon, Palermo . . . . . 07 II 340
— Canellei, Chaperi, Gallienii, Joffrei, Morgani, Munieri, Raulini, Schlumbergeri u. Tournoueri 05 II 490
— Cottreaui u. Giraudi . 08 I 308
— elephantina, Verbreitung im Vicentinischen 09 II 487
— ferreroi, Borneo . . . 09 II 489
— inflexa u. Preveri, Vallone Tre Pietre . . . 09 I 296
— (Orbitoides) Mantelli 05 II 152
— marginata, Tertiär, Umfang der Spezies . 06 II 457
— messapica u. salentina, Mitteleocän, Apulien und Sizilien . . . . 07 I 329
— Morgani, Miocän, Zusammenvorkommen mit Nummuliten . . 07 I 159
— planulata, Vallone Tre Pietre . . . . . 09 I 297
— — u. himerensis zu L. dilatata . . . . . 09 II 486
— Provalei, Eocän, Celebes . . . . . 08 II 286
— selinuntina, Eocän, Marchesa bei Sciacca, Sizilien . . . . . 06 II 455
— Tournoueri-Schichten, Italien . . . . . 06 I 473
— u. Orthophragmina in Nummulitenschichten, Indien . . . . . 09 I 141
Lepidocyclinae, Gattung Silvestrina . . . . . 1905 II 487
Lepidocyclinen
— Eocän, zweifelhaft . 07 II 341
— — Sizilien . . . . 1906 II 455. 456
— geologisches Alter . . 07 II 339
— Variationen . . . . . 08 II 284
— Verbreitung im italienischen Tertiär . . 07 I 328
— Verhältnis zu Orbitoiden etc. . . . . 09 I 139
— Aniene-Tal . . . . . 08 II 287
— Groß-Kei-Insel, Molukken . . . . . 09 II 145
— Madagaskar, oligocäne und miocäne . . . . 09 II 487
— Niederl.-Indien . . . 07 II 498
— Sausset (B. du Rhône) 09 I 135
— Sizilien, ? Eocän . . 08 I 141
— — u. Apulien, nicht Eocän . . . . . 08 II 283
— Turin . . . . . 08 II 288
— Umbrien . . . . . 07 II 498
Lepidocyclinenfaunen, Piemont . . . . . 1907 II 159. 160
Lepidocyclinenfrage . . BB XXV *254*
Lepidocyclinenkalke, Apulien, Alter . . . . . 08 II 291
Lepidocyclinenschichten
— Aquitanien u. Venetien 09 I 135
— Provence, Miocän . . 09 I 297
— Westsizilien . . . . 1907 II 496. 497
Lepidodendron . . . . . 08 I 154
— mit Lingula gregaria, N.-S.-Wales . . . . 07 I 485
— Nomenklatur u. Artkritik . . . . . 08 I 156
— Feistmanteli, Grigoriewi, Kidstoni und Zeilleri, Carbon, Donetz . . . . . 05 I 538
— Potoniéi u. rimosum f. sarana . . . . . 08 I 156
— primaevum, Mitteldevon, New York . . 08 II 450
— Tonderae, Carbon, Dombrowa . . . . . 09 I 146
— vereenigingense, Permocarbon, Vereeniging, Südafrika . . . . . 08 I 454
— Wortheni, Carbon, Vorkommen . . . . . 09 II 492
Lepidolith, Elba, turmalinführende Gänge im Granit, San Piero in Campo . . . . . 05 II 34

Lepidolith
— Ramon, San Diego Co., Cal., Kristalle . . . . 1906 II 18
— siehe auch Lithionit, Lithionglimmer und Zinnwaldit.
Lepidophyllum (?) dubium, Carbon, Offenburg . . . . . 08 I 459
Lepidorbitoides, Kreide . 08 II 290
Lepidostrobus Bertrandi, Carbon, Donetz-Becken 09 I 459
— Brownii . . . . . 09 I 459
Lepidotus maximus, Portland, argent. Kordillere . . . . . BB XXIII *188*
— Souzai, Kreide, Bahia (Brasilien) . . . . . 08 II 447
Lepilemur, Schädel . . . 06 II 445
Lepospondyli, Wirbelsäule und Rippen . . 08 II 269
Leptaena rhomboidalis, Culm, Königsberg bei Gießen . . . . . BB XXVIII *626*
Leptaenenbett, Wilfingen, Schwäbische Alb . . 06 I 470
Leptobos dependicornus und Groeneveldtii, Kendeng - Schichten, Java . . . . . 09 I 118
Leptobunus atavus, Miocän, Florissant, Col. . 08 II 111
Leptocheilus excavatus, Geyeri, tenuiformis u. tenuis, Jura — Tithon 08 I 304
Leptocheirus Zitteli, ob. Trias, Winthrop, Shasta Co., Cal. . . . . 06 I 150
Leptochlorite, mährisch-schlesische Schalsteinformation . . . . . CBl 1906 *293*
Leptochondria Albertii var. virgalensis . . . 09 I *8*
Leptocoelia acutiplicata u. flabellites, Devon, Bolivia . . . . . BB XXV *553*
Leptomussa costellata, unt. Tertiär, Barcelona . . . . . 09 II 485
Lepton Dumasi, Eocän, Loire inférieure . . . 06 I 468
Leptophoca lenis, Miocän, Maryland . . . 09 I 439
Leptoplesictis Filholi und minor, Mittelmiocän, La Grive St. Alban . 05 II 307
Leptopoma Morleti, Eocän, Paris . . . . . 1907 II 303
Leptostrobus mariponensis . . . . . 07 II 501
— ovalis . . . . . 07 II 506
Leptostyrax, Kreide, Kansas 05 II 132
Leptotrachelus serpentinus, Kreide, Libanon 05 II 482
Leptura, balt. Bernstein, Deutung . . . . . 07 I 323
Lepus primaevus, süddeutsche Bohnerze . 08 I 127
Ler . . . . . 06 I 206
Les Annes, Klippe, Savoyer Alpen, Geologie 1905 II 250. 251
Lettenkohle
— Nordschweiz . . . . BB XXV *5*
— Westfalen, östliches . 08 II 82
— Württemberg . . . . BB XXV *1*
— und Keuper, Württemberg . . . . . CBl 1907 *19. 42*
Leuchtenbergit, Ural, Berg Schischi . . . . . 09 II 23
Leucit
— Bildung in Eruptivgesteinen . . . . . 09 II 61
— Doppelbrechung beim Erhitzen . . . . . CBl 1908 *35*
— Rohstoff für Kali- und Aluminiumgewinnung 07 I 262
— Stabilitätsfeld . . . . 07 II 162
— durch Zusammenschmelzen . . . . . 09 I 183
— zusammengeschmolzen mit Olivin u. Akmit . CBl 1906 *140*
— Pompeji, im Tuff . . 06 I 377
— Valognopiccolo, Wert als Düngemittel . . . 06 I 377
— Vesuv 1906 . . . . . 08 I 44
— — chem. Konstitution 05 I 25
— Yukon-Territorium, . umgewandelt im Phonolith . . . . . 08 I 236
— siehe Natronleucit und Pseudoleucit.
Leucitbasalt
— Leucit elektromagnetisch isoliert . . . . 07 I 262
— Gauß-Berg, Antarkticum . . . 1906 II 51 08 I 75
Leucitbasanit, Watzenborn bei Gießen . . 05 II 50
Leucitbasanittuff, Lukow in Böhmen, Mandelbildung . . . . . CBl 1907 *209*

Leucitborolanit, Cnoc-na-Sroine, Nord-Schottland . . . . . BB XXII *424*
Leucite Hills, Wyoming, Geologie . . . . . 1906 I 225
Leucitergußgesteine, Tepler Hochland . . . . 09 II 222
Leucitgesteine
— Düngewert . . . . . 08 II 212
— Jumilla, mit Apatit . 07 II 409
— Mte. Ferru, Sardinien 09 II 227
— Vesuv 1906 . . . . . 08 II 211
— — und Somma . . . 09 I 221
Leucitrhombenporphyr, Kilimandscharo . . . 07 II 411
Leucitsyenit, Highwood Mountains, Montana . 06 II 373
Leucittephrit
— Tiefenform (Sommait) 07 II 404
— phlegräische Felder, ausgeworfene Massen 07 I 66
— S. Maria del Pianto bei Neapel, Blöcke im Tuff . . . . . 07 I 66
Leucituranolith
— Schaafstedt . . . . . 05 I 213
— — nicht meteorisch . CBl 1909 *289*
Leucocyclittypus d. Apophyllit, chemisch . . CBl 1906 *79*
Leukas, Griechenland
— Lias . . . . . CBl 1905 *261*
— Jura . . . . . BB XXI *241*
Leukophan, Kristalle . BB XXIII *315*
Leukophyr, Fichtelgebirge BB XXIII *1*
Leukoxen, Zusammensetzung . . . . . CBl 1906 158
Levantinische Ablagerungen, Südrußland . . CBl 1906 *413*
Levesquei-Schichten, Eisenerzformation, Lothringen u. Luxemburg 06 I 305
Leviconcha zu Myophoria 07 II 338
Levifusus? Harrisi, Tertiär 07 II 335
Levyn
— Belfast . . . . . CBl 1908 176
— Färöer . . . . . 09 I 29
— Grönland, Ost-, im Basalt . . . . . 06 II 186
Lewis und Livingston Ranges, Montana, Geologie . . . . . 06 I 88
Lherzolith
— Beziehung zu Oligosiderit . . . . . CBl 1905 92
— Dubostica, Bosnien, mit Chromit . . . . 05 II 388
Lherzolith
— Piemont, Val della Torre, Umwandlung . 1907 I 68
— Pyrenäen (Bellongue) 05 I 428
Lias
— Alsórákos, Kom. Nagyküküllö, Fauna des unteren . . . . . 09 II 138
— Apennin, Roccheta, Ammoniten des mittleren . . . . . 09 II 139
— Argolis . . . . . 09 II 429
— Gallberg bei Salzgitter CBl 1906 *113*
— Leukas u. Akarnanien CBl 1905 *259*
— Monte di Cetona, Cephalopoden . . . . . 05 I 175
— Norddeutschland, ob. BB XXVIII *286*
— Oesterreichische Voralpen, Pflanzen . . . 08 II 448
— Schwaben, Brachiopoden des mittleren . 06 I 468
— — Flugsaurier . . . CBl 1906 *290*
— — Mikrofauna 1905 II 151 09 II 320
— Teutoburger Wald . CBl 1909 *137*
— Tranze di Sospirolo bei Belluno, Brachiopoden . . . . . 08 I 424
— Vareš (Bosnien) . . . 05 I 465
Lias- und Keuperholz, Bayern . . . . . 09 I 467
Liasgraben, Falkenhagen (Hannover) . . . . . 08 II 80
Libanon
— Kreidefische . . . . 05 II 481
— Pyknodonten d. Kreide, Hakel . . . . . CBl 1907 *360*
Libellulapis antiquorum, Tertiär, Florissant, Colorado . . . . . 07 I 321
Libethenit
— Kristalle . . . . . 05 II 28
— Viel-Salm, Kristalle . 07 I 208
— Clifton-Morenci-Distrikt, Arizona . . . 06 I 174
Librocedrus subdecurrens, Bernstein, Ostpreußen 09 I 307
Libysche Wüste
— oberste Kreide . . . 07 I 437
— Overwegi-Schichten u. Blättertone . . . . . 06 I 319
— Tertiär . . . . . 05 II 322
Lichas hirsuta var. tuberculata u. Woodwardi, Wenlock, England . 05 II 316

Lichtenberg in Braunschweig, Geologie . . 1905 II 260
Lichtfiguren, Zeichnen . CBl 1908 732
Lichtschein am Granat, Zirkon u. Sapphir . . 07 I *13*
Lienzer Dolomiten, Geologie . . . . . 05 I 287
Liesing und Mödlingtal bei Wien, Geologie . 09 I 414
Lievrit
— chem. Konstitution 1908 II 310. 311
— Elba, Darstellung der Kieselsäure und Konstitution . . . . . 07 I 347
— Japan . . . . . 09 I 33
— Kalifornien, Potter Creek, Shasta Co. . . 09 II 346
— Sérifos-Insel, Griechenland . . . . . 08 II 78
Ligurien
— Gesteine . . . . . 08 II 214
— Nephrit im südlichen 08 II 204
Lilinthiceras, Perm, Lilinthi, Zentral-Himalaya . . . . . 05 II 280
Lillia Lilli (mit var. Baylei) und narbonensis, Jura, südwestl. Balkanhalbinsel . . . . BB XXI *271*
Lima, Kreide, England . 06 I 466
— acutirostris, densistriata, informis, libanensis, sublaeviuscula u. Zenobiae, Glandarienkalk, Syrien . 06 I 279
— azteca u. cardenasensis, Senon, Cardenas, Mexiko . . . . . 08 I 102
— britannica (Mantellum), Meyeri (Plagiostoma), scabrissima, vectensis u. wintonensis (Limatula), Kreide, England . . . . . 06 I 466
— Brusinai, selectissima u. szilvana, Hypersenon, Peterwardeiner Gebirge . . . . . 06 II 268
— Bureaui, Dumasi, gouetensis, hyphanta und oxytomaeformis, Eocän, Loire inférieure 06 I 154
— Canavarii, Lias, Zentralapennin . . . . . 06 II 145
— Delanouei, Blättermergel von Theben . 06 II 122
Lima Delaunayi u. pangymna, Bathonien, St. Gaultier (Indre) . 1908 I 262
— ferruginea, Eisenerzformation, Lothringen und Luxemburg . . 06 I 304
— Gemmellaroi, Lias, Casale bei Busambra (Palermo) . . . . . 06 I 319
— Harronis, oberer Jura, Somaliland . . . . . 06 I 282
— insolita, Campanien, Aegypten . . . . . 05 II 285
— rimosa, Granulatenkreide, westl. Münsterland . . . . . 08 I 428
— Shumardi, Buda limestone, Nordamerika . 06 I 308
— striata, Grenzdolomit, Schwaben . . . . . BB XXV *68*
— testis, Paläocän, Rugaard, Kattegat . . . 08 II 103
— aff. tumida, Jura, Buru BB XXV *325*
Limatula wintonensis, Kreide, England . . 06 I 466
Limburg, Alter der roten Schichten . . . . . 05 I 455
Limburgit
— in Silikatschmelzen . BB XXII *227*
— Argentinien . . . . . BB XXII *618*
— Buru, Ind.-austral. Archipel . . . . . BB XXII *402*
— Gießen . . . . . 05 II 50
— Paraguay, Cerro Tacumbú, chemisch . . 06 II 376
— Tasmanien, Burnie . 08 I 394
— Taunus . . . . . 07 I 228
— siehe auch Magmabasalt.
Limiden, Kreide, England 06 I 466
Limitgesetz
— kristallographisches, Erprobung . . . . . 07 I 183
— am Mursinskit . . . 08 II 141
Limmatquelle, Baden . . 09 I 83
Limnaea conica etc., Südfrankreich . . . . . 07 II 131
Limnaeus Brancai und truncatuliformis, Alttertiär, Weilheim (Ries) 08 I 433
— conicus u. eocaenicus, Alttertiär, Giengen bei Ulm . . . . . 08 II 104
— cucuronensis u. heriacensis, Pliocän, Cueva Rubbia, Spanien . . 07 II *17*

Limnocardium moquicum, Neogen, Suchum-Distrikt . . . . . 1906 I 432
Limonit . . . . . CBl 1909 *326. 329*
— Carrara, im Marmor . 07 I 216
— Kalwang, pseudomorph nach Quarz . . . . . 05 I 13
— Nagolnij Krjasch, Donetz-Becken . . . . 07 II 195
— Nagolny-Gebirge, pseudomorph nach der Spaltbarkeit des Ankerit (Parankerit) . . . CBl 1908 7
— siehe auch Brauneisenerz.
Limonitgeoden u. -sandkonkretionen . . . . 08 II 7
Limopsis aequalis und subaltera, Eocän, Loire inférieure . . . . . 06 I 155
— costulata var. crassicosta, Tertiär, Mandrikowka . . . . . 06 I 468
— homala = lentiformis, Eocän, Loire inférieure 06 I 154
— minima, Paläocän, Rugaard, Kattegat . . 08 II 103
— nummiformis u. Vilmae, Hypersenon, Peterwardeiner Gebirge 06 II 268
Limoptera carbonifera, Permocarbon, N.-S.-Wales . . . . . 07 I 485
Linarit
— Arakawa, Japan . . 07 I 210
— Cumberland, Krist. . 07 I 209
— Irland (Wicklow) . . 08 II 321
— Otavi, SW$_2$-Afrika . CBl 1906 *388*
— Sardinien, Argentiera della Nurra, Portotorres . . . . . 06 I 31
Linderina . . . . . 08 I 308
— Paronai, Eocän, Celebes . . . . . 08 II 286
Lindigia ? nodosum, Kreide, Kalifornien . . . 06 I 288
Lingula, Lettenkohle, Württemberg . . . . CBl 1907 *47*
— Coheni, ovoides, subovata u. subpunctata, Devon, Bolivia . . . BB XXV *535*
— gregaria mit Lepidodendron (Knorria), N.-S.-Wales . . . . 07 I 485
— tenuissima und Zenkeri, Keuper, Schwaben BB XXV *113*
Lingulonodosaria . . . . 1907 II 499
Linneit, Santa Fé-Mine, Chiapas, Mexiko, goldhaltig (Siegenit) . . 05 I 43
Linopteris Mayeri, Carbon, Hinterohlsbach bei Gengenbach . . . 08 I 458
Linthia atacica, Eocän, Aude und Hérault . 07 II 192
Lioceras concavum-Zone, Couzon-au-Mont-d'Or bei Lyon . . . . . 05 I 464
Liopistha corrugata, Kreide, Pondoland . . . 07 II 306
Liorhynchus antisiensis, Devon, Bolivia . . . BB XXV *555*
Liotina somaliensis, Tertiär, Somaliland . . 07 II 303
Liparische Inseln
— Gesteine verglichen m. Ustica . . . . . 09 II 68
— Stau-Kuppen . . . . Festband *325*
Liparit
— Argentinien . . . . BB XXII *573*
— Asoday, Zentralafrika, mit Riebeckit u. Aegirin . . . . . 09 II 235
— Batakländer (Sumatra) . . . . . BB XXVII *433*
— John Day Basin, Antelope Valley . . . . 05 II 234
— Kaukasus . . . . . 06 I 389
— Kirnik bei Verespatak 07 I 64
— Piatigorsk, Kaukasus 07 I 235
— Somaliwüste . . . . 05 I 247
— siehe auch Rhyolith und Quarztrachyt.
Liparittuffbreccie, Sumatra, Färbung durch organ. Farbstoffe . BB XXVIII *370*
Liriodendron attenuatum, Kreide, New York . 08 I 456
— Schwarzii, ob. Kreide, Quedlinburg . . . . 07 I 493
Liriodendropsis spectabilis, Kreide, New York 08 I 456
Lisburne-Formation, Endicott-Kette, nördl. Alaska . . . . . 06 I 92
Lischannagruppe, Unterengadin, Geologie . . 07 I 96
Lissabon, Erdbeben, Literatur . . . . . 06 I 40
Lissar-Tal (Johar, Zentral-Himalaya), Productus-Schiefer . . . 05 II 280

Listriodon splendens, sarmat. Schichten, Steiermark . . . . . 1908 II 430
Lithandrena saxorum, Tertiär, Florissant, Colorado . . . . . 07 I 321
Lithapium acutispina, Miocän, Italien . . . 09 II 490
— ellipticum u. incrassatum, Scaglia, Euganeen 06 I 475
Litharaea distans, Kreide, Ostgalizien . . . . . 09 I 294
Lithatractus miocaenica, Miocän, Italien . . . 09 II 490
Lithauen, Foraminiferen des Jura . . . . . 06 I 471
Lithiongehlenit, künstl. . CBl 1905 *649*
Lithionglimmer
— pleochroit. Höfe . . CBl 1909 *143*
— siehe auch Zinnwaldit, Lepidolith u. Lithionit.
Lithionit, Schmiedeberg (Riesengeb.), im Granit CBl 1909 *772*
— siehe auch Lepidolith und Zinnwaldit.
Lithiotiden, Stellung CBl 1906 *208. 209*
Lithiotis
— Muskeleindruck . . . CBl 1906 *458*
— Stellung CBl 1905 *470* CBl1906 *161*
Lithiumalumosilikate, künstlich . . . . . CBl 1905 *646*
Lithiumbromsodalith, künstlich . . . . . CBl 1905 *655*
Lithocampe euganea, Kreide, Euganeen . . 06 I 474
— marylandica, Tertiär, Maryland . . . . . 07 II 161
— obesa u. veneta, Scaglia, Euganeen . . . . 06 I 475
Lithocardium dilatatum, Eocän, Loire inférieure 06 I 468
Lithodomus Lorioli und Zumoffeni, Glandarienkalk, Syrien . . . . 06 I 279
Lithogenesis, siehe Gesteinsbildung.
Lithomespilus coronatus und ovoideus, Kreide, Euganeen . . . . . 06 I 474
Lithomitra laevigata, Miocän, Italien . . . 09 II 490
Lithosiderite, Struktur u. Zusammensetzung . . 06 I 196
Lithostrobus communis, incrassatus u. pagoda, Kreide, Euganeen . . 06 I 474
Lithostrobus duodecimcostatus und elegans, Scaglia, Euganeen . 1906 I 475
Lithostrotion irregulare, untercarb. Transgressionsmeer, Tian-Schan BB XXVI *228*
Lithotiphia Scudderi, Tertiär, Florissant, Col. . 07 I 321
Litiopa alnensis, Eocän, Paris . . . . . 07 II 303
Litopterna, Kreide, Patagonien . . . . . 05 I 171
Litorina-Bildungen, Lübeck . . . . . 06 I 119
Litorina-Meer u. Ancylus-See, westl. Ostseebecken . . . . . 07 I 118
Litorina-Senkung, Vorpommern, Zusammenhang mit alten Stromtälern . . 1905 I 473 06 II 434
Littorina anceps, Morgani, percostata und persica, Senon, Südpersien . . . . . 06 I 444
— couzonensis, Zone d. Lioceras concavum, Couzon-au-Mont-d'Or bei Lyon . . . . . 05 I 464
— ? lubrica, mittl. Gault, Algermissen . . . . 05 I 317
— Mausseneti, Eocän, Paris . . . . . 07 II 303
— pectinata = gracilis, Kreide, Sachsen . . 06 I 317
Lituola simplex, Brown's Creek, Otway coast, Victoria, kainozoisch . 06 I 471
Lituolidae, Systematik . 08 I 307
— System der lebenden und fossilen . . . . 05 II 328
Lituonella Roberti, Eocän, Aegypten . . . 07 I 326
Llangynog (Wales), Geologie . . . . . 08 I 225
Lobenlinien von Indoceras baluchistanense 05 I *1*
Lobites aberrans, Wengener Schichten, Epidauros (Argolis) . . Festband *11*
— ellipticus und pisum, Trias, H. Andreas . BB XXV *460*
Lobolithen, Vorkommen in Cornwall . . . . . 09 I 134
Lösliche Salze, Zusammenkristallisieren . . 09 I 161

Löslichkeit
— des Quarzes, nicht beeinflußt durch Druck 1905 II 246
— und Korngröße . . . 06 I 6
— schwerlöslicher Salze . CBl 1904 441
— von Schwermetallsulfiden in Wasser . . . 08 I 168
Löslichkeitsbestimmung, ultramikroskopische . 08 II 5
Löslichkeitsgesetz von Nernst bei Silikatschmelzflüssen . . . BB XXIII *79*
Löß
— Apolda . . . . . 09 I 279
— Frankreich und Belgien . . . . . 08 I 270
— Köthen . . . . . 09 I 109
— — u. Schwarzerden . 09 II 107
— Niederrhein . . . . . 09 I 278
— Rodderberg bei Bonn 07 II 455
— Schwaben, jüngerer, Beziehung zum Diluvium . . . . . 09 II *75*
— Thiede, Mollusken . . 05 I 309
— Weißenfels und Zeitz 09 II 109
— Wien, Konchylien . . 07 II 460
Lößablagerungen, Thüringen und östliches Harzvorland, Altersbestimmung u. Gliederung . . . . . CBl 1909 *385*
Lösungen
— konstante, Maximaltension u. Zusammensetzung bei 83° . . . 05 I 193
— kristallisierende, Brechungskoeffizienten . 09 I 157
— schwere, Trennungsapparat . . . . . CBl 1906 *475*
— Transport u. Niederschlag von Au, Ag u. Cu . . . . . 08 II 8
— übersättigte, Kristallisationsgeschwindigkeit 07 I 3
Lösungsgenossen verändern die Kristalltracht von Doppelsulfaten . 07 I 184
Lösungsgeschwindigkeit der Kristalle . . . . 07 I 184
Lösungsprozeß, Mechanik 05 I 10
Lösungszustand, Einfluß auf Kristallform . . 07 I 184
Lötrohranalyse (Landauer) . . . . . CBl 1908 183
Löwenburg, Siebengebirge, Essexit . . . . BB XXIII *407*
Loftusia Morgani, Senon, Südpersien . . . . . 1906 I 445
Loire inférieure, Eocän-Mollusken . . . . 1906 I 154. 467
Lomaphorelus, Kreide, Patagonien . . . . . 05 I 169
Lomomys, Tertiär, Patagonien . . . . . 07 II 325
Loncherinae, Tertiär, Patagonien . . . . . 07 II 326
Lonchoconus, Kreide, Patagonien . . . . . 05 I 168
Lonchocrinus, Körperform Festband *297*
Lonchopteris, Eulonchopteris und Lonchopteridium, Carbon, Vorkommen . . . . 09 II 492
Londinianum, Aegypten, Einteilung . . . . . 05 II 323
London Clay, Analysen . 08 II 406
Long Island, Nordamerika, Kreidepflanzen . 07 I 495
Londonton = Yprésien u. Cuisien . . . . . 06 II 115
Longobardites nevadanus, mittl. Trias, Nevada 06 II 304
Lonsdaleia Fennemai und Frechi, Obercarbon, Sumatra . . . . . 1907 I 327. 478
Lopha cristatula, Morgani und persica, Kreide, Südpersien . . . . . 06 I 444
Lophiodon, Beziehung zu Chasmotherium etc. 1906 II 281. 291
— Tertiär, Carcassonne . 09 II 469
— buxovillanum, Cuvieri, isselense Larteti, leptorhynchum, occitanicum, parisiense, rhinocerodes, sardum, subpyrenaicum und tapiroides, Eocän, Schweiz 05 I 493
— lautricense, Bartonien, Castrais . . . . . 05 II 302
— Thomasi . . . . . 07 II 451
Lophiodonticulus, Lophiodontidae, Kreide, Patagonien . . . . . 05 I 168
Lophiolemur Edwardsi, Madagaskar . . . . 06 II 446
Lophiotherium, Bartonien, Castrais . . . . . 05 II 302
— Eocän, Schweiz . . . 06 II 287
Lorandit, Alchar, chem. 05 I 371
Lorbeerholz, Flyschsandstein, Algäu . . . . 09 I 468

Lothringen, Deutsch- u. Luxemburg, Fauna d. Eisenerzformation . . 1906 I 303
Louisiana, Oelfelder . . 06 II 383
Loxoconcha elongata und jurassica, Unteroolith, Westaustralien . . . 05 II 151
Loxonema acuminatum, cf. acutum, rugiferum u. sulcatula, Culm, Königsberg bei Gießen BB XXVIII *644*
— attenuata, gregaria u. aff. postremum, Devon, Bolivia . . . . BB XXV *509*
— babbindoonensis, Carbon, N.-S.-Wales . . 08 I 278
— triadicum, Werfener Schichten, Bucieri, Montenegro . . . . . 05 II 108
Loxopteria, Naples-Fauna CBl 1905 *389*
Loxoptyxis biarritzensis, blaue Mergel von Côte des Basques bei Biarritz . . . . . 06 II 439
Lublinit, Nowo Alexandria . . . . . 1909 II 340. 341
Lucette (Mayene), Erzlagerstätte . . . . . 06 I 34
Lucina argentina, cf. corbisoides u. neuquensis, Neocom, Argent. Kordillere . . . . BB XXIII *217*
— Barronii, Campanien, Aegypten . . . . 05 II 285
— camerunensis, ?Eocän, Kamerun . . . . . 06 II 123
— dilatata, Netschaewi, proava, rara u. subincerta, Paläocen, Saratow . . . . . 05 II 121
— Downesi, Kreide, England . . . . . 08 I 444
— Gaudryi, Cenoman, Südfrankreich . . . . 07 II 131
— (Dentilucina) louristana, Senon, Südpersien 06 I 445
— praedespecta, Zone d. Lioc. concavum, Couzon-au-Mont-d'Or bei Lyon . . . . . 05 I 464
Lübeck
— Grundmoräne und jungglaz. Süßwasserbildungen . . . . . 05 II 440
— Litorina-Bildungen . 06 I 119
Lübecker Mulde und ihre Terrassen . . . . . CBl 1907 *97*
Lücken in der Mischungsreihe isomorpher Substanzen . . . . . 1905 I 368
Lüderitzbucht, Diamanten . . . . . CBl 1909 *235*. 251
Lüneburger Heide
— Kreide . . . . . CBl 1909 *619*. *759*
— Verwitterungserscheinungen und Glazial . CBl 1909 *690*
Luisa-Schichten, Kreide, Patagonien . . . . . BB XXI *143*
Lujaurit, Los-Inseln . . 08 I 227
Lumineszenzerscheinungen 1907 II 169. 170
Lummaton-Kalk, Devon, Torquay . . . . . 06 II 263
Lunulicardium, Naples-Fauna, systemat. Stellung . . . . . CBl 1905 *386*
Lunulites parvula, Tertiär, Patagonien . . 05 II 141
Lunzer Schichten
— die von D. Stur unterschiedenen Marattiaceenarten . . . . . 09 I 464
— zwischen Göstling und Wildalpen . . . . 09 I 415
Lupus spelaeus, Kitzelberg bei Kauffung, Katzbachtal . . . . 05 I 504
Lure-Berg, französ. Alpen, Geologie . . . . . 05 I 277
Lussatit . . . . . BB XXV *185*
Lutecin . . . . . BB XXV *185*
Lutra palaeoleptonyx, Kendeng - Schichten, Java . . . . . 09 I 120
— pristina, Miocän, Süddakota . . . . . 05 II 129
Lutrictis lycopotamicum, Miocän, Dakota . . . 05 II 128
Lutter am Barenberg, Geologie . . . . . 05 II 260
Luxemburg u. Deutsch-Lothringen, Fauna der Eisenerzformation . . 06 I 303
Luxullian, Cornwall, Apatit etc. im Granit BB XXIII *581*
Luzonit, Mancayan (Luzon), Kristalle . . . 06 II 157
Lychnocanium crassispina und elegans, Scaglia, Euganeen . . 06 I 475

Lychnocanium euganeum und parvulum, Kreide, Euganeen . . . . . 1906 I 474
— parvum, Miocän, Italien . . . . . 09 II 490
Lycopodiaceen, fossile, Bau . . . . . 09 I 145
Lycopodites hostimensis, Devon, Etage H, Mittelböhmen . . . . . 06 II 146
— montanensis . . . . 07 II 505
— Victoriae, Trias—Jura, Victoria (Australien) . 08 I 150
Lycosauridae, Systematik 07 I 480
Lycostrobus, Schweden . 09 I 152
Lycosuchus Mackayi, East London, Südafrika . . . . . 07 I 143
— Vanderrieti, Ecca beds, Groot Vlakte . 07 I 144
Lydenburg, Transvaal, Gesteine . . . . . 07 I 235
Lymnaea conica, scarlatenis (= acuta) und subphysoides (= Munieri), Cenoman, Südfrankreich . . . . . 07 II 131
Lyon (Couzon-au-Mont-d'Or, Zone d. Lioceras concavum . . . . . 05 I 462
Lyopora gigantea, Devon, Bolivia . . . . . BB XXV *563*
Lysorophus, Bau . . . . 09 II 125
— Perm, Texas . . . . 09 II 124
— tricarinatus, Perm, Texas . . . . . 07 I 149
— — Schädel . . . . . 08 II 269
Lystrosauridae, Systematik . . . . . 07 I 480
Lystrosaurus, Schultergürtel . . . . . 07 I 142
Lytoceras angulatum, argonautarum u. jacksonense, Kreide, Kalifornien . . . . . 06 I 288
— cf. cornucopia, Lias, Epirus . . . . . BB XXI *287*
— crenulatum, Kreide, Natal . . . . . 07 II 305
— evolutum, Oberlias, Piszke . . . . . 09 II 138
— ezoënse u. imperiale, Kreide, Hokkaido . . 05 I 529
— fasciculatum, Jura, Bucegi-Stock . . . . 06 II 121
— incertum, Kaukasus . 08 II 81
Lytoceras Orsinii, Jura, Seevoralpen . . . . 1906 I 110
— taeniatum u. Wrighti, Dogger, Unterelsaß . 09 I 134
Lytoloma Wielandi, Nordamerika . . . . . 09 I 452

M.

Maare . . . . . CBl 1908 *238*
— Form und Bau . . . Festband *111*
— Taunus, basaltische . 07 I 449
Maas-Stufe, Diluvium, Belgien . . . . . 05 I 480
Maastal, quart. Terrassen unterhalb Lüttich . . 08 II 409
Machaeracanthus bohemicus, Devon, Ostthüringen . . . . . BB XXIV *308*
Machaerodus in Höhlen . 07 II 317
— cultridens, süddeutsche Bohnerze . . . . . 08 I 127
Machlydotherium, Kreide, Patagonien . . . . . 05 I 170
Macigno, Calafuria, südl. Livorno, Mineralien 1906 I 168 07 I 67
Mâcon, Juraechiniden . . 07 II 156
Macquarrie, Island, Gesteine . . . . . 07 II 79
Macraucheniden, Zahnsystem . . . . . 05 II 463
Macrerpeton Huxleyi, Carbon, Linton, Ohio 09 II 134
Macrocephalites, Indo-Austral. Archipel, Länge der letzten Wohnkammer . . . . . CBl 1909 *174*
— alfuricus . . . . . 07 II 447
— bambusae . . . . . 07 II 447
— batavoindicus . . . . 07 II 447
— cocosi . . . . . 07 II 447
— epigonus, Jura, Sierra de Mazapil und Santa Rosa, Mexiko 1907 I 279 07 II 469
— macrocephalus, Buchberg b. Achdorf (Wutachgebiet), Wohnkammer . . . . . CBl 1908 *40*
— cf. macrocephalus compressus, Jura, Hotu Bebolan . . . . . BB XXV *331*
— metroxyleni . . . . 07 II 447
— palmarum . . . . . 07 II 447
— rotangi . . . . . 07 II 447

Macrochelys floridana, Nordamerika . . . . 1909 I 452
MacrodonBeyrichi,Grenzdolomit, Schwaben . BB XXV *86*
— Hohmanni, Devon, Bolivia . . . . . BB XXV *530*
— parallelum, Jura, Moskau etc. . . . . 05 I 131
— Rufae, oberer Jura, Somaliland . . . . . 06 I 281
— scaber, Pachycardientuffe, Seiser Alp . . 07 II 337
Macrodus cf. bistriatus, expansus, multilineus, obtusus, cf. reticulatus, squamosus und undatus, Culm, Königsberg bei Gießen BB XXVIII *638 ff.*
Macromerion Gümbeli, Rotliegendes, Pfalz . 09 II 137
Macropetalichthys pelmensis, Devon, Pelm . CBl 1907 *584*
Macrophya pervetusta, Miocän, Florissant, Colorado . . . . . 08 II 112
Macropneustes Bertrandi, Eocän, Aude und Hérault . . . . . 07 II 156
Macropygia (Trilobiten) . CBl 1907 *130*
Macrotaeniopteris angustior, Haidingeri, latior, lunzensis und simplex,LunzerSchichten . . . . . 09 I 465
Macruriden, Otolithen im Tertiär, Oesterreich . 07 I 480
Macrurus angustus, Artharberi, crassus, ellipticus, elongatus, excisus, gracilis, Hansfuchsi, praetrachyrhynchus, rotundatus, Toulai u. Trolli, Otolithen, Tertiär, Oesterreich . . . . . 07 I 480
Mactra gabbiana, Kreide, Kalifornien . . . . . 06 I 288
— mekranensis, Tertiär, Ormara-Kap, Mekran-Küste, Beludschistan 06 I 118
— ? rhomboidea, ?Eocän, Kamerun . . . . . 06 II 123
— Zulu (?), Kreide, Umkwelane Hill, Zululand . . . . . 06 I 308
Mactromya cf. Couloni, Neocom, Argent. Kordillere . . . . . BB XXIII *220*
Macularia pachystoma, platychelodes u. sylvana,Tertiär, Schwäb. Alb . . . . . CBl 1908 *590*
Madagaskar
— Aegirin- u. Riebeckitgranit und Kontakte 1905 I 248
— Albien, im nordöstlichen . . . . . 06 I 294
— Alkal. Gesteine von d. Prov. Ampasindava . 05 I 434
— Dinosaurier . . . . . 08 II 439
— eocäne Fauna, Westküste . . . . . 07 II 128
— fossile Wirbeltiere . . 06 II 443
— Gesteine von Mahafaly . . . . . 09 I 71
— Goldvorkommen . . 08 II 219
— Höhlungen im Granit, Antananarivo . . . . 07 I 393
— Jura und Kreide BB XXVIII *164 ff.*
— Kreideechiniden . . . 05 II 149
— Laterit . . . . . Festband *33*
— Oligocän . . . . . 06 I 101
— oligocäne und miocäne Foraminiferen . . . . 09 II 487
— Senon, Fanivelona, Ostküste . . . . . 06 II 113
— Untersenon,Westküste 06 I 100
— u. Indischer Ozean, Geologie des nördlichen . . . . . 07 I 427
Madupit, Leucite Hills, Wyoming . . . . . 06 I 225
Maeandrospina (M. chartacea) . . . . . 05 II 154
Mähren
— Minerallagerstätten d. westl., im Archaikum und Devon . . . . . 05 II 234
— mineralog. u. geolog. Literatur . . . . . 06 I 348
— Jura . . . . . 05 I 295
— Stringocephalenkalk . 06 I 302
Mährisch-schlesischeSchalsteinformation, Leptochlorite (Thuringit, Moravit) . . . . . CBl 1906 *293*
Maesa Zitteli, Eocän, Fayum . . . . . 09 I 308
Magazinthermometer,Verbesserung zu Schweremessungen . . . . . 06 II 46

Magdalénien der älteren Steinzeit . . . . . 1906 I 128
— Abri Mège . . . . . 07 II 476
— Munzingen . . . . . 07 II 471
Magellanian beds, Tertiär, Patagonien . . BB XXI *165*
Magellanische Stufe, Patagonien . . . . . 07 II 142
Magensteine, siehe Gastrolithen . . . . . 08 II 441
Magilus grandis, Eocän, Westmadagaskar . . 07 II 129
Magma, flüssiges, Kristallbildung . . . . . 07 II 11
Magmabasalt
— Böhmen, zw. Böhm.-Kamnitz u. Kreibitz 06 II 359
— — Tepler Hochland . 06 II 356
— siehe auch Limburgit.
Magmanahe Kontaktlagerstätten, Concepcion del Oro, Zacatecas, Mexiko . . . BB XXVIII *565*
Magmatische Ausscheidung
— von Buntkupfererz, O'okiep, Klein-Namaland . . . . . 09 II 397
— von Magneteisen aus Granit, Lofoten . . . 09 I 389
Magmatische Differentiation, Eruptivgesteine 05 I 60
Magmatische Emanationen . . . . . 08 II 219
Magmatische Resorption u. porphyr. Struktur 05 II *1*
Magmen, siehe Eruptivmagmen.
Magnesiasulfate, Bildung unter 25° in ozean. Salzlagern . . . . . 06 I 163
Magnesioferrit in künstl. Magnesitsteinen . . . CBl 1908 *306*
Magnesit
— Verhalten zu magnesiareichen Kalkalgen 06 I 333
— Eichbergkogel am Semmering, mit Jamesonit CBl 1908 *281*
— Euboea, Färbung durch organ. Farbstoffe BB XXVIII *370. 372*
— Kärnten . . . . . 07 I 200
— Nieder-Oesterreich . . CBl 1908 *742*
— Ostalpen, Genesis . . CBl 1909 714
Magnesitsteine, künstliche, Einschlüsse, bes. Periklas . . . . . CBl 1908 *305*
Magnesium
— rechtsweinsaures, Kristalle . . . . . 1907 I *104. 105*
— saures, rechtsweinsaures, Kristalle . . 1907 I *105*
Magnesiumcarbonat und Erdalkalien, Dissoziation . . . . . 07 I 13
Magnesiumdiopsid . . . 09 II 169
— Kallsholm, Ålandsinseln, im Diabas . . 07 II 409
Magnesiumpektolith, Burg bei Perborn, im Diabas . . . . . CBl 1907 *739*
Magnesiumsilikat
— Mg Si O_3 tetramorph, u. natürl. Vorkommen 08 I 18
— künstliche . . . . . 06 I 326
Magnesiumsulfathepta- u. -hexahydrat, in ozean. Steinsalzlagern, obere Existenzgrenze . . . 05 I 192
Magnetberg, südl. Ural, Eisenerze u. Gesteine 06 I 380
Magneteisen
— Ausscheidung aus Schmelzflüssen . . . 08 II *22*
— in Bogenlampen . . 08 II 13
— in Silikatschmelzen BB XXII *199. 207. 219. 228. 231. 242*
— Isomorphismus 1908 II 169 CBl 1907 350
— künstl., Entstehung . 07 II 371
— zusammengeschmolzen mit Albit u. Augit . BB XXII *194*
— — — — und Olivin BB XXII *238* BB XXV *265*
— — mit Diopsid und Anorthit . . . . . BB XXIII *54*
— — — — und Olivin BB XXIII *56*
— — mit Eläolith und Augit . . . . . BB XXII *202*
— — mit Fayalit . . . BB XXII *230*
— — mit Labrador und Augit . . . . . 08 II *16*
— — mit Olivin . . . . BB XXII *224*
— — — — und Augit . BB XXII *211*
— — mit Orthoklas und Olivin . . . . . BB XXV *273*
— Biella, Piemont, Drusen im Syenit . . . 06 II 34
— Cala, Sierra Morena, Erzlager . . . . . 06 I 229
— Campolongo . . . . 05 I 203
— Canale Monterano (Rom), im Tuff . . . 06 I 170

Magneteisen
— Carrara, im Marmor . 1907 I 217
— CerroMercado, Mexiko 05 II 201
— Daschkessan, Kaukasus . . 1907 I 78 07 II 380
— Diélette (Manche) . . 07 II 19
— — — Entstehung . . 09 I 393
— Georgetown, im Pegmatit . . . . . 08 I 239
— Gobitschau, Mähren . CBl 1906 *306*
— Grängesberg, Schweden, aus Eisenglanz durch Reduktion . . 05 I 258
— Lappland . . . . . BB XXIV *548*
— Laramie Range, Wyoming, titanhalt., im Anorthosit . . . . . 07 I 76
— Magnetberg, südlicher Ural . . . . . 06 I 382
— Nordost-Rhodesien . 07 I 80
— Ottawa bei Pisek, im Goldsand . . . . . 05 I 365
— Schmiedeberg (Riesengeb.), Lager . . . 05 I 257
— — — im Granit . . CBl 1909 *771*
— Sérifos-Insel, Griechenland . . . . . 08 II 76
— Troitzk, Nord-Ural . 06 II 223
— Ural, Pseudom. von Asbest nach M. . . . 09 II 346
— — Wissokaja . . . . 09 I 392
Magneteisenlagerstätten
— Entstehung . . . . 1905 II 404. 405
— kontaktmetamorphe . 05 II 404
Magnetische Aufnahmen, Instrumente . . . . 09 I 389
Magnetische Deklination u. Inklination bei verschiedenen Höhen, Montblanc . . . . . 09 I 44
Magnetisierende Einwirkung des Blitzes auf Lava und Ton . . . 07 II 389
Magnetisierung der dem Thomson'schen Gesetz nicht unterworfenen Mineralien . . 07 II 352
Magnetismus
— der Gesteine, Vogelsberg, bes. Bauxit . . 07 I 43
— permanenter, in einem durch Basalt veränderten Ton . . . . . 07 II 389
— vulkan. Gesteine . . 06 I 37. 38
— siehe auch Diamagnetismus.
Magnetit-Thuringitlager, Christdorf, Mähren . CBl 1907 *321*
Magnetkies
— gleichzeitiger Para- u. Diamagnetismus . . 1907 II 15
— Kristallform . . CBl 1906 *261. 338*
— magnet. Eigenschaften 07 I *63*
— Neubildung auf einer Kohlenhalde . . . . 08 I *28*
— nickelhaltiger, mikroskopische Struktur . 09 I 79
— Ajudagh, Krim . . . 09 II 367
— Blantyre-Distrikt, Brit. Zentralafrika, Ni-halt. 07 I 237
— Brest, Ni-haltig, im Kersanton . . . . . 05 I 427
— Frigido bei Massa . . 07 II 177
— Gruschewka, im Anthrazit, Umwandlung (ged. Eisen und Limonit) . . . . . 06 I 13
— Niederrhein, in Basalteinschlüssen . . . CBl 1908 *708*
— Nordamerika, Produktion 1905 . . . . . 06 I 329
— St. Blasien, Schwarzwald, Lagerst. des Nihaltigen . . . . . 09 I 80
— St. Lorenzen, Steierm., Pseudom. von Quarz nach . . . . . 05 I 13
— Schmiedeberg (Riesengeb.), im Granit . CBl 1909 *772*
— Schottland . . . . . 05 I 441
— Sohland a. Spree, Nihaltig, im Diabas . . 05 I 96. 98
— Sudbury, Ontario, Beziehung zu Norit . . 08 I 82
— — — Nickelgehalt . 05 II 406
— — -Distrikt, Canada . 06 II 182
— Tirol . . . . . 08 II 295
— siehe auch Eisensulfid.
Magnetometer bei magnet. Aufnahmen . . 09 I 389
Mainzer Becken
— Kreuznacher Meeressand . . . . . 07 I 111
— Ostrakoden d. Tertiär 06 II 138
— Rupelton, Foraminiferen . . . . . 09 I 433
— Säugetiere des Oligocän und Untermiocän 06 II 131
— Tertiär, Grorother Mühle . . . . . 06 II 113
Maitai-Schichten, Neuseeland, Südinsel, Jura 05 II 275

Makroseismische Erdbeben . . . . . 1905 II 206
Malachit
— künstlich . . . . . 08 II 305
— Carrara, im Marmor . 06 II 176
— Copper Queen Mine, Arizona . . . . . 06 I 175
— Färöer . . . . . 09 I 29
— Katanga und Pleochroismus . . . . . 07 I 202
— Lagonegro . . . . . 08 II 307
— Markirch . . . . . 09 I 24
— Nagolnij Krjasch, Donetz-Becken . . . . 07 II 196
— Otavi, SW-Afrika . . CBl 1906 *388*
— Piemont, im Strona- u. Sesia-Gneis . . . 08 II 215
Malacostroma concentricum, plumosum und undulosum, Kohlenkalk, Namur . . . . 07 I *138*
Malaischer Archipel, rezente Foraminiferen . 05 II 155
Malakolithfels, Raspenau, Böhmen, im körnigen Kalk des Kalkbergs . 06 I 56
Malakon, Mukden, Mandschurei . . . . . 09 II 340
Malla Sangcha, Perm der Umgebung, Zentral-Himalaya . . . . . 05 II 279
Mallard'sche Konstante des Mikrokonoskops . 09 II 327
Malmsbury - Schichten, Kap-Kolonie, Van Rhyn's Dorp . . . . 07 II 116
Malone beds, Jura, Texas 07 I 285
— Sands, Belfast, Foraminiferen . . . . . 09 I 300
Malthazit . . . . . CBl 1909 *333*
Mamanit = Polyhalit . . 06 I 161
Mammites binicostatus, Labiatus-Pläner, Sachsen . . . . . 05 I 354
Mammitida, Kreide . . 07 II 147
Mammut
— Illinois und Iowa . 1907 I 305. 306
— Unteritalien . . . . 06 I 146
— Wilsdorf b. Bodenbach (Böhmen) . . . . . 09 I 128
Mammutleiche
— Beresowka-Ufer, Nordsibirien und andere . 06 I 145
— siehe auch Elephas.
Man, Insel, crush-agglomerate (Reibungsbreccie) 06 II 210
Mandelausfüllung im Anamesit, Oberwiddersheim . . . . . CBl 1905 *142*
Mandelbildung im Leucitbasanittuff, Lukow in Böhmen . . . . . CBl 1907 *209*
Manganeisenerze, Macskamezö, Ungarn . . 1907 I 78
Manganeisenkruste, Cap-Halbinsel, durch Windwirkung . . . . . 06 II 352
Manganerze
— Alsósajó, Ungarn . . 07 I 207
— Brasilien . . . . . 06 II 226
— Brit. Nord-Borneo . . 09 I 80
— Cuba . . . . . 05 I 389
— Hessen . . . . . 06 II 225
— Huelva, Entstehung . 08 I 85
— Nordamerika. Produktion 1902 . . . . 05 I 209
— Ostafrika, Deutsch- . 09 I 232
— Piemont, Lanza-Tal . 07 II 359
— Sternberg, Mähren 1906 I 332 07 I 78
Manganerzgrube Miguel Burnier, Minas Geraës, Atopit . . . . CBl 1905 *240*
Manganerzindustrie, Brasilien . . . . . 06 II 226
Manganerzlagerstätten
— Bildung . . . . . 09 I 80
— Brasilien . . . . . 09 I 81
— Cevljanovich, Bosnien 09 II 403
— Kaukasus, Kreis Kutais . . . . . 09 II 360
— Kroglje bei Dolina, Dalmatien . . . . . 05 I 99
— Niedertiefenbach an der Lahn . . . . . 05 I 99
Manganfayalit, Agramer Gebirge . . . . . 08 II 28
Mangangranat, Kårarfvet, Y-haltig . . . . . 08 I 187
Manganit, Vallicella (Toskana) . . . . . 07 II 37
Mangankalkancylit, westliches Rußland . . . 05 I 376
Manganophyll, Lichtabsorption . . . . . 06 I 27
Manganspat
— Markirch . . . . . 09 I 26
— S. Barthélemy, Aostatal 07 II 36
— Sternberg, Mähren . 06 I 332
Manganspinell in Hohofenschlacken, Menyhaza . . . . . 08 II 168

Manganwiesenerz . . . . 1909 I 80
Mangoli, Indoaustr. Archipel, Geologie . . . BB XXII *385*
Manhattan Island, New York, Entstehung d. Amphibolschiefer und Serpentine . . . . . 06 I 227
Manindjau-Vulkan, Sumatra, Gesteine . . . 06 I 218
Manis palaeojavanica, Kendeng-Schichten, Java . . . . . 09 I 120
Manjak (Asphalt), Trinidad 07 I 86
Mansfeld, Kupferschiefer, Beziehung der Erzführung zu Rücken . CBl 1906 243
Mansfelder Kupferschiefergruben, Wassereinbruch, Oktober 1907 . 09 II 372
Mantelliceras Picteti, Kreide . . . . . 07 II 149
Mantelliceratida, Mantelliceratidae, Kreide . 07 II 149
Mantellum britannicum, Kreide, England . . . 06 I 466
Manticoceras cf. primordiale, Devon, Ostthüringen . . . . . BB XXIV *301*
Manx slates, Insel Man . 06 II 210
Maoriland, Vulkane . . 07 I 220
Marattiaceen von D. Stur. der Lunzer Schichten 09 I 464
Marburg (Hessen), Quellen 08 II 346
Marcel Bertrand, Nekrolog . . . . . CBl 1909 *499*
Marchantites erectus, Jura, Yorkshire-Küste 07 I 489
Maretia Guebhardi, Molasse, Veuce . . . . 07 II 155
Margarit, Zwillinge . . . CBl 1907 *403*
Margarita plicatilis . . . 07 II 468
Margarites Adelae, inermis, Marii, ornatissimus, Ugdulenai und Waageni, oberer Trias, Sizilien . . . . . 05 I 346
— Devasena u. Sushena, Tropites-limestone, Byans . . . . . 08 II 238
— irregularicostatus, tibetan. Klippen des Zentral-Himalaya . . 08 II 414
Marginella (Faba) gibberosa u. M. portus, blaue Mergel von Côte des Basques b. Biarritz 06 II 439
Marginella Vaquezi, Eocän, Loire inférieure . . . 1907 II 302
Marginifera Clarkei, involuta, juresanensis, Lebedevi, Schellwieni, timanica u. typica var. septentrionalis, Obercarbon, Ural und Timan . . . . . 05 I 534
— — — und cf. involuta, pusilla u. typica var. septentrionalis, oberes Carbon, Kukurtuk-Tal, südl. Tian-Schan . . . . . BB XXII *371*
Marginopora, rezent (M. vertebralis) . . . . . 05 II 154
Marginulina pediformis u. transverse-sulcata, Globigerinenmergel, Bahna, Rumän. Karpathen 09 II *148*
— quadrilineata, Lias, Schwaben . . . . . 09 II 320
Marginulinopsis, mioplioc. Mergel von Bonfornello (Palermo) . . . 06 I 472
Marianen, Petrographie . 05 II 74
Marienbad, Geologie . . 05 II 95
Marignacit, Wausau, Wisc. 08 II 177
Marine Abrasion, Rocky Mountains . . . . . 07 I 379
Markasit
— Einwirkung v. chlorsaurem Kali . . . . 09 II 334
— — von Lösungen . . 09 II 247
— Elektrizitätsleitung 1906 II *36* 07 II 5
— Patina auf Pfahlbaunephriten . . . . . 06 II 334
— Umwandlung in Pyrit etc. . . . . 06 II *45*
— Calafuria, südl. Livorno, im Macigno . . . 06 I 169
— Dänemark, im Kreidemergel, ist Schwefelkies . . . . . 08 I 202
— Markirch . . . . . 09 I 26
— Modriach, Steiermark, Pseudom. nach Rutil 05 I 13
— Nagolnij Krjasch, Donetz-Becken . . . . 07 II 194
— Schauinsland, Schwarzwald, Pb- u. Zn-Erzlagerstätte . . . . . 05 II 79
Markirch, Mineralien der Erzgänge . . . . . 09 I 21

Marmatit, Sardinien, Zusammensetzung . . . 1906 II 323
Marmor
— Aarmassiv, Entstehg. aus Kalkstein durch mechanische Umwandlung . . . . . 05 I 427
— Auerbach a. Bergstr., Einschluß . . . . . 05 II 48
— Carrara, Druckfestigkeit . . . . . 09 II *121*
— Concepcion del Oro, Zacatecas, Mexiko, epidotführend . . . BB XXVIII *487*
— Cookeville, Maryland 07 II 222
— Deutschland . . . . 08 II 218
— Graubünden . . . . 07 II 69
— Griechenland 1905 II 267 08 II 217
— Italien, Färbung durch organ. Farbstoffe . . *372*
— Sumatra, Kontaktgestein im westlichen, Färbung durch organ. Farbstoffe . . BB XXVIII *371. 372*
— versch. Fundorte, als Baumaterial . . . . 05 II 267
— siehe auch Kalk, körniger.
Marokko
— Geologie des südlichen . . . . . 06 II 423
— Jura im westlichen . 07 I 434
— Kreide des westlichen 06 I 293
Marquette-Bezirk, Lake Superior-Gegend, Eisenerze . . . . . 05 I 81
Marrit, Binnental 1906 II 30 08 I 205 CBl 1905 30. 752
Marschböden, Elbe . . . 05 II 444
Marscoit, Skye . . . . . 06 II 67
Marsilia Andersoni, Kreide, Long Island . . . 07 I 495
Marsupialier
— Entwickelung . . . . 07 II 491
— Santacruzeno, Patagonien . . . . . 07 I 306
Marsupites, Kreide, Haldon Hills, England . 06 II 107
Martensit
— im Eisen . . . . . 05 I *123*
— im Stahl . . . . . 06 I 243
Martesia coislinensis und Dumasi, Eocän, Loire inférieure . . . . . 07 II 302
Martinia applanata, Gemmellaroi, incerta, parvula, semiglobosa, simensis und var. substriata, timanica, uralica und var. longa, Obercarbon, Ural und Timan . . . . . 1905 I 533
— corculum u. glabra, oberes Carbon, Kukurtuk-Tal, südliches Tian-Schan . . . . . BB XXII *381*
— decora und triquetra var. pentagona, untercarb. Transgressionsmeer, Tian-Schan . . BB XXVI *239*
Martiniopsis aschensis, baschkirica, convexa, Latugini, orientalis u. uralica, Obercarbon, Ural und Timan . . 05 I 533
Martinique
— Endomorphismus . . 05 I 255
— Eruptionen des Montagne Pelée . . . . . CBl 1906 81
— — u. Aschenfall 1902 1905 I 224. 404
— Kieselholz u. Chalcedon . . . . . 05 I 373
— Zink durch vulkan. Hitze umkristallisiert 05 I 368
— Zusammensetzung der Asche des Montagne Pelée 1902 . . . . . 05 I 227
— Montagne Pelée, andesit. Auswürfling . 06 I 229
— — — Felsnadel etc. . 06 I 38
— siehe auch Montagne Pelée.
— und St. Vincent, bas. Einschlüsse . . . . . 05 I 256
— — — cordieritführender Gesteine . . . . 05 I 255
Martit, Cerro Mercado, Mexiko, im Eisenerz . 05 II 201
Marysville-Distrikt, Montana, Gesteine . . . 09 I 74
Mascall beds, Edentaten 07 II 491
Massengebirge, Hebungen oder Senkungen . . . CBl 1907 *489*
Massengesteine
— chem. Kennzeichen . 05 I 417
— siehe auch Eruptivgesteine etc.
Mastodon, Illinois und Iowa . . . . . 1907 I 305. 306

Mastodon
— Neogen, Teltsch, Mähren . . . . . 1905 II 471
— Obertiefenbach bei Fehring, Steiermark, Schädel etc. . . . . CBl 1908 765
— americanus, Schädel, Chester, N. Y. . . . 09 I 129
— — Skelett . . . . . 09 I 131
— andium, Tarija-Tal, Südamerika . . . . 05 I 336
— — bolivianus, chilensis u. Humboldti, Bolivia, interandines Hochland . . . . . 07 I 128
— angustidens, Seegraben bei Leoben . . . 05 II 305
— arvernensis, Oberpliocän, Ostheim v. d. Rhön 07 II 291
— — Temerest, Komitat Krassö-Szörény . 05 II 470
— cf. longirostris Pliocän, Cueva Rubbia, Spanien . . . . . 07 II 2
— Steiermark 1909 II 122 CBl 1908 765
Mataura-Formation, Neuseeland, Jura . . . . 05 II 276
Matawan-Formation, Cliffwood, Nordamerika, Pflanzen . . . . . 07 I 494
— Delaware, Maryland und New Jersey . . 05 I 303
Mathildia ? fenestrata, Palaeocän, Rugaard, Kattegat . . . . . 08 II 103
Matobola beds, Rhodesia 05 II 268
Matreier Ueberschiebung 06 II 239
Matto Grosso, Madeirafluß u. Nachbargebiete d. Beni und Mamore, Petrographie . . . . 08 I 384
Mauer, Fauna und Sande 07 II 483
Mawsonia minor, Kreide, Bahia (Brasilien) . . 08 II 447
Maximalböschungen trokkener Schuttmassen . 07 I 380
Maximaltension konstanter Lösungen bei 83° 05 I 193
Mayen, Mineralien der Einschlüsse in der Lava 06 I 347
Mazapil, Jura und Kreide 07 II 469
Mechanische Bodenanalyse . . . . . 05 I 59
Mechanische Vorgänge b. Metamorphismus . . CBl 1906 609
Mecklenburg
— Küste beeinflußt durch die Sylvestersturmflut 1904 . . . . . 1906 II 196
— Quartärbildungen . . 08 I 96 ff.
— Schwankungen des Grundwassers . . . . 06 II 195
Mecynoptera splendida, Carbon, Belgien . . . 05 I 523
Mediterraner Aequator d. Erde . . . . . 05 II 202
Mediterrangebiet, Trias, nach der Lethaea . . 06 I 416
Medlicottia Copei, Perm, Texas . . . . . CBl 1908 *689*
Meekella, oberes Carbon, Kukurtuk-Tal, südl. Tian-Schan . . . . . BB XXII *382*
— baschkirica, timanica, ufensis, uncitoides u. uralica, Obercarbon, Ural und Timan . . 05 I 533
Meekoceras Baldaccii, Muschelkalk, Montenegro . . . . . 05 II 140
— marginale, Untertrias, Albanien . . . . . 08 II 400
— pilatum, unterer Trias, Amerika . . . . . 06 II 304
— beds, Himalaya . . . CBl 1905 *1*
— — Idaho . . . . . 06 II 98
Meer
— allgemeines . . . . . 07 I 223
— Salzgehalt, Beziehung zum Alter der Erde . 05 I 402
— und Festländer zur permischen Zeit . . . Festband *521*
— u. Gebirge, Anordnung 05 II 202
Meeresboden
— Mineralien . . . . . 08 I 53
— Sedimentbildung . . 05 I 424
Meereserosion u. Küstensenkung, Rocky Mountains . . . . . 07 I 379
Meeresgrund, Madagaskar 09 I 201
Meeresgrundprobe
— Kanal . . . . . 09 II 210
— zwischen Island und Grönland (Ingolfexpedition) . . . . . 05 I 421
Meeressäugetiere, Stammesgeschichte . . . . 09 I 438
Meeressand, mittelolig., Vilbel (Hessen) . . . CBl 1905 *531*
Meeressedimentation, Ursachen u. Bedeutung BB XXV *366*

Meeresspiegel, Hebung oder Senkung . . . BB XXVIII *574*
Meeresströmungen . . . 1908 I 452
— Einfluß auf Sedimentation . . . . . BB XXV *397*
Meerschaum
— Easton, New Jersey, Analyse . . . . . 06 I 354
— Kleinasien, Darstellg. d. Kieselsäure u. Konstitution . . . . . 07 I 349
Meerwasser
— chemisch . . . . . 08 I 360
— CO_2-Gehalt . . . . . 08 I 53
— Dichte, Antarkticum, Expedition der Belgica . . . . . 06 II 97
— Farbe und Durchsichtigkeit im Kanal . . 09 II 209
— feste Bestandteile, geologische Schlüsse . . 07 I 46
— Zirkulation . . . . . 08 I 52
Megachile praedicta, Miocän, Florissant, Col. . 08 II 112
Megaladapis, Madagaskar, Beschreibung . . . . 06 II 445
Megalohyrax, Tertiär, Fayum . . . . . 07 II 310
— eocaenus, Eocän, Fayum . . . . . 05 I 156
— minor, Eocän, Aegypten 06 I 449
Megalomastoma Dietleni u. fasciatum, Alttertiär, Ulm . . . . . 08 II 104
Megalonychidae, Santa Cruz beds, Patagonien 06 I 460
Megalonychotherium atavus, Santa Cruz beds, Patagonien . . . . . 06 I 462
Megalonyx sierrensis, Diluvium, Mercer-Höhle, Kalifornien . . . . . 07 I 299
Megalophodon dilatatus u. Thompsoni, Patagonien . . . . . 05 I 497
Megalosaurus, Lias, Warwickshire, Tibia . . . 09 I 441
— vereinigt mit Streptospondylus . . . . . 09 I 289
— Bucklandi, Stonesfield, Hinterhaupt . . 06 I *1*
Megapezia Pineoi, Carbon, Ost-Canada . . . . . 05 I 339
Megaphyllites angustus u. umbonatus, Muschelkalk, Dobrudscha . . 08 I 421
Megaphyllites Jarbas, Aonoides - Schichten, Epidauros (Argolis) Festband *16. 19*
Megaraphidia elegans, Miocän, Florissant, Colorado . . . . . 1908 II 111
Megascyela petrefacta, Miocän, Florissant, Colorado . . . . . 08 II 112
Megatherium, Santa Cruz beds, Patagonien . . 06 I 464
Mège, Magdalénienstation 07 II 476
Meiningen, Sachsen-, Geologie . . . . . 06 II 409
Meiringen, Aareschlucht, Strudellöcher . . . . 05 I 409
Melakonit
— Bisbee Quadrangle, Arizona . . . . . 06 I 175
— Nagolnij Krjasch, Donetz-Becken . . . . 07 II 195
Melania abchasica, Andrusovi und picta, neogene Eisenerze, Suchum-Distrikt . . 06 I 433
— Cossmanni (= nitida), costulata, quadricostata u. tricostata, Cenoman, Südfrankreich . . . . 07 II 132
— Krausei, ob. Kreide, Borneo . . . . . 07 I 437
— Pavlowi, Palaeocän, Rugaard, Kattegat . 08 II 103
— suevica, Alttertiär, Giengen bei Ulm . . 08 II 104
— ? Whiteavesi, Kreide, Nordamerika . . . . 07 I 440
Melanit
— Canale Monterano (Rom), im Tuff . . . 06 I 170
— Marienberg b. Aussig 08 I 374
Melanitreicher Hauynsyenit-Porphyr, Tasmanien, Mt. Livingstone . . . . . 08 I 390
Melanochalcit, Bisbee Quadrangle, Arizona . 06 I 175
Melanophlogit, optisch . 07 I 20
Melanopsis acuminata, graciosa, nobilis, petasata, spinigera, unguiculata, neogene Eisenerze, Suchum-Distrikt 06 I 433
— calamistrata u. semirugosa, Congerienfauna, Leobersdorf . 06 I 114

Melanopsis cf. galloprovincialis var. transsylvaniensis, ob. Kreide, Alvincz . . . . . 1905 I 302
— costellata, Senon, Südpersien . . . . . 06 I 444
— Franciscae, Hazayi var. bifilosa, carinata, elongata, megolotyla und unifilosa; Sikorai var. bifilosa, siminina und unifilosa; Staubi var. costulata; Themaki var. bifilosa, carinata, megalostoma, trifilosa und unifilosa; Tothi var. bicingulata, bifilosa, multifilosa, quadrifilosa, trifilosa, unicingulata u. unifilosa u. Vidoviéi var. plicatula, Quartär, Bischofsbad und Großwardein, Ungarn . . 07 II 152
— pourcyensis, Eocän, Paris . . . . . 07 II 303
Melanosporites Stefanii, mitteleocänes Dysodil, Melilli, Sizilien . . . 05 II 152
Melanterit, siehe Eisenvitriol.
Melaphyr
— Blasenzüge . . . . . 06 II 210
— Böhmen, im Cambrium, von der Studená Hora. 05 II 57
— Bozen (Trostburg) BB XXVII *81*
— Bristol District, im Carbon . . . . . 05 II 388
— Enderby-Land, gedredscht . . . . . 06 II 371
— Fassatal, vergl. mit Monzonit . . . . . CBl 1905 *48*
— — Cadinbrut . . . . CBl 1905 *47*
— — Palle rabbiose CBl 1905 *51. 135*
— Kirn, Druckfestigkeit 09 II *121*
— Messel bei Darmstadt, Letteneinschluß . . . 05 II 49
— Monzoni u. Predazzo, chem. Zusammensetzg. 06 I 59
— Pfalz, basaltischer . . 09 I 54
— Pontesford Hill, Shropshire, und Tuffe . . 05 II 391
— Spring Cove b. Weston-super-Mare . . . . . 05 II 388
— Südtirol . . . . . 05 II 63
— — Durongebiet . . . 06 II *8*
Melaphyr
— Südtirol, Seiser Alp, älterer, und Buchensteiner Kalk . . . . 1906 II *1*
— Wonsheim, Rheinhessen, effusiv . . . . . 06 II 59
Melaphyrgang im Monzonit d. Palle rabbiose, Berichtigung . . . . CBl 1905 *185*
Melaphyrmandelstein, Puente del Inca, Aconcagua . . . . . BB XXIV *727*
Meles taxus, Perforation d. Astragalus . . . . 07 I 466
Melibocusgranit, Einschl. CBl 1906 *737*
Melilith
— chem. Zusammensetzg. 07 I 28
— Kosel bei Böhm.-Leipa, im Basalt . . . 07 I 63
— Steiger Hütte, Kristalle in Schlacke . . 07 I 28
— Vesuv, in den Laven etc. von 1906 . . . CBl 1906 *502*
Melilithbasalt
— Haßgau . . . . . 08 II 369
— Schwäb. Alb . . . . 06 II 205
— West-Buru, Indoaustral. Archipel . . . BB XXIV *149*
Melilith-Nephelin-Basalt, Shannon Tier bei Hobart . . . . . 08 I 392
Melilithpyroxenit, Coppaeli, Bolsener Gebiet 05 II 225
Melina Anderssoni, Kreide, Umkwelane Hill, Zululand . . . . . 06 I 308
Membranipora Artini, Kom esch Schellul, Aegypten . . . . . 05 II 485
— bioculata, excavata, Flicki, quadrata, rotundicella u. varians, Eocän, Tunesien . . 05 II 142
— flabellata u. laevigata, Tertiär, Patagonien . 05 II 141
— Gentili, Pervinquieri und subovalis, obere Kreide, Tunesien . . 05 II 145
— ? wilsonensis, Kreide, N.-S.-Wales . . . . 05 I 319
Menaccanit, Beziehung zu Geikielith . . . . CBl 1906 157
Menado (Celebes), Geologie . . . . . 09 I 246
Meneghinit, Frigido bei Massa . . . . . 07 II 178

Menina Planina, Geologie 1906 II 247
Meniscomys, Miocän, Süddakota . . . . . 05 II 129
Meniscotheriidae, Kreide, Patagonien . . . . . 05 I 168
Menispermites californicus . . . . . 07 II 505
Menominee-Bezirk, Lake Superior-Gegend, Eisenerze . . . . . 05 I 86
Mensch . . . . . 1907 II 471 ff. 1908 I 104 ff. 279 ff. 1908 II 415 ff. 1909 I 123 ff. 283 ff.
— Abstammung . . . 1909 II 470. 479
— Becken, vergl. mit Anthropoidenbecken . CBl 1906 312
— Moustérien u. Aurignacien . . . . . 09 I 126
— Stellung zum Pithecanthropus . . . . . Festband *270*
— Ueberreste u. Werkzeuge (Eolithen etc.) 1906 II 269 ff. 1907 I 120 ff. 291. 449
— Vorgeschichte . . . . 05 II 300
— Alpen, prähistorischer und Eiszeitbildung . 06 II 270
— — Australien, Krapina, Neandertal, Spy etc., Ueberreste und Werkzeuge . . . . 1906 II 269 ff.
— Altamira-Höhle (Pyrenäen), Malereien . 06 I 132
— Belgien, Kannibalismus . . . . . 08 I 119
— — oligocän, Eolithe 1908 I 279. 280
— — Engihoul, neue Funde . . . . . 05 I 322
— — Remonchamps-Höhle, Artefakte . . 05 I 322
— — Eolithen . . . . 05 I 320
— Bologoje (Rußland), Station der Steinzeit 06 I 133
— Bouffia de la Chapelle-aux-Saints (Corrèze), Moustérien-Skelett 1909 I 124. 125
— Braunschweig, Eolithe 09 II *57*
— Bruniquel (Tarn), Artefakte . . . . . 05 I 321
— Cantal, Kent u. Sussex, pliocäner, Eolithen . . . . . 06 I 130
— Ceylon, Steinzeit . . 08 II 255
— Dewlish (Dorset), jagt El. meridionalis . . . 07 I 460
— Einhornhöhle, Harz, diluv. Feuerstelle . . 05 I 321
Mensch
— Europa, diluvialer u. Kulturstufen der älteren Steinzeit . . . . 1906 I 127
— — neolith. Fauna bes. am Mittelrhein . . . 06 II 440
— Frankreich, Verbreitung der Strépyien etc. 1908 I 283. 284
— — Arcueil, Chellio-Moustérien . . . . . 08 I 437
— — Baoussés Roussés-Höhle, quartäre Skelette . . . . . 07 I 450
— — Bau de l'Aubesier (Vaucluse), diluvial . 06 I 134
— — Bruyères (Seine) . 08 I 285
— — Châteaudouble (Var.), diluv. . . . . 06 I 134
— — Franche Comté, Artefakte . . . . . 05 I 323
— — Lacave (Lot), Station . . . . . 06 I 445
— — La Calvitie, Dordogne, Höhlenwandmalereien . . . . . 07 I 453
— — La Micoque, Moustérien . . . . . 08 I 284
— — Noailles-Höhle, Corrèze, Spuren . . . . 07 I 453
— — nördliches, im Pliopleistocän . . . . 08 I 270
— — Pyrenäen, Wandmalereien etc. in Höhlen . . . . . 07 I 451
— — St. Acheul . . . . 09 I 283
— — Seine-Département, Artefakten . . . . . 08 I 435
— Freyenstein (Mark), Eolithen . . . . . 05 I 321
— Gafsa (Südtunesien), prähistor. Einschlüsse im Diluvium . . . . 09 II *1*
— Gola von Pioraco, ob. Potenza-Tal, Diluv. . 06 I 134
— Gough Cavern, Cheddar, Knochen etc. 1906 I 133 06 II 280
— Griechenland . . . . 08 I 120
— Grimaldi-Höhlen (Grottes de Mentone) 1908 I 109. 115 08 II 422
— Grotta Romanelli bei Castro (terra d'Otranto), Knochen etc. . . 06 I 131
— Holland, Diluvium . 10 I 454

Mensch
— Ipswich, paläolith. Steingeräte . . . . . 1907 I 295
— Keßlerloch bei Thaingen . . 1907 I 294 08 II 261
— Ludomirow, in Höhle 07 I 452
— Mitteleuropa, quartär, Fundstätten von Ueberresten . . . . 07 I 120
— Munzingen bei Freiburg, gleichzeitig mit Thaingen u. Schweizersbild . . . . . 06 I 131
— Neandertal . . . . 1905 II 301. 302
— norddeutsches Diluvium, Steinwerkzeuge 07 I 126
— Norddeutschland, Alter 07 I 291
— Pößneck, paläolith. Geräte . . . . . 05 I 320
— Rotes Feld — Höhle (Podkalem, Pokala), bearbeit. Knochen . 06 I 132
— Rußland (Wisokoié), Spuren . . . . . 07 I 454
— San Teodoro-Höhle (Messina), Artefakten 06 I 142
— Schönebeck a. Elbe, unterglazial, Eolithe . 06 I 130
— Seeland (Vimose), Artefakte . . . . . 07 I 452
— Smiritz (Böhmen), im Löß . . . . . 06 I 132
— Spanien (Santander), Höhlen . . . . . 09 I 129
— Syrien u. Palästina, Feuersteinwerkzeuge . 07 I 291
— Tasmanien, craquelierte Archäolithen . . . . 09 I *73*
— Taubach . . . . . 09 I 285
— Travetal, neo- und mesolith. Steingeräte 07 I 119
— Ukraine, Artefakten . 05 I 322
— Ultima Esperanza, Patagonien, Grypotherium-Höhle . . . 06 I 130
— Warnambool, Victoria, Australien, Fußspuren 06 II 269
CBl 1907 *498* CBl 1909 *495*
— Weimar, paläolith. Funde der Gegend . CBl 1908 *197*
— Wildscheuerhöhle bei Steeden a. Lahn . . 07 I 292
— siehe auch Homo, Artefakten, Archäolithen, Eolithen, Pseudeolithen, Höhlen etc.

Menschenreste
— Gough Cavern b. Cheddar . . 1906 I 133 1906 II 280
— Krapina, quartäre . . 07 II 474
— westtälisches Becken, quartär . . . . . 05 I 475
Merapi-Vulkan, Sumatra, Gesteine . . . . . 06 I 218
Meretrix arthonensis, coislinensis, Dumasi, semiarata und undulifera, Eocän, Loire inférieure . . . . . 07 II 302
— euglypha und umzambiensis, Kreide, Pondoland . . . . . 07 II 306
Mergel, prismat. Absonderung durch Torsion, Dambovitza . . . . 06 II 202
Mergeliger Untergrund, wasserdurchlässig . . 08 I 221
Meridian des Aetna, Anordnung der Gebirge 05 II 203
Meristella Riskowskii, Devon, Bolivia . . . BB XXV *551*
Meroxen, Assos (Troas), aus Glimmerhypersthenandesit, Achsenwinkel . . . . . CBl 1908 *620*
Merriamella doryssa, Kalifornien . . . . . 08 II 443
Meru, Ostafrika, Geologie 07 I 423
Merychippus . . . . . 05 II 468
Merychyus harrisonensis 07 II 488
— minimus . . . . . 07 II 490
Mesa Central, Mexiko, Entstehung . . . . 1908 II *114. 125*
Mesabi-Bezirk, Lake Superior-Gegend, Eisenerze . . . . . 05 I 82
Mesalia Artini, Campanien, Aegypten . . . 05 II 285
Mesityloxydoxalsäuremethylester, opt. Drehvermögen . . . . . 08 I *58*
Mesocetus hungaricus, ob. Mediterran, Borbolya, Kom. Sopron 1905 II 306 09 I 438
— Schweinfurthi, Eocän, Aegypten . . . . . 05 I 491
Mesodon spinosum, Kreide, Hakel, Libanon . CBl 1907 *364*
Mesodonta, Systematik . Festband *222*
Mesohippus acutidens, John Day series . . 07 I 305

Mesolith
— krist. und optisch . . CBl 1909 *779*
— Färöer . . . . . 1909 I 29
— Grönland, Ost-, im Basalt . . . . . 06 II 183
— Hauenstein (Böhmen), Glühverlust . . . . . 06 I 24
— Sardinien (Montresta), Analyse . . . . . 1909 II 26. 195
Mesoplodon, Boldérien, Antwerpen . . . . . 07 I 132
Mesoreodon megalodon . 07 II 487
Mesorhytis crenata, Mornasien, Frankreich . . 06 I 319
— distensa, unt. Santonien, Frankreich . 06 I 318
Mesosaurus . . . . . 09 II 128
— Buschmannland, Südafrika . . . . . 07 I 316
— agilis, Verhältnis zu Camptosaurus . . . . 08 II 437
— brasiliensis, Perm, Brasilien . . . . . 09 I 444
— tenuidens, Schuppenbedeckung . . . . . 08 II 269
Mesosiren Dolloi, Milchmolaren . . . . . 06 II *53*
Mesotyp, siehe Natrolith.
Mesozoicum
— Entwicklung d. Kenntnisse von den Pflanzen 09 I 145
— Lückenhaftigkeit der alpinen Sedimente . BB XXV *416*
— Säugetiere . . . . . 07 I 455
— Alaska u. Cook Inlet 07 I 277
— Balkanhalbinsel, südwestliche . . . . . BB XXI *213*
— Buru, Indoaustr. Archipel . . . . . BB XXII *398*
— Egge-Gebirge, präcretaceische Schichtenverschiebungen . . . 06 II 86
— Indischer Archipel, Land und Meer . . . 07 I *107*
— Neuseeland, Nordinsel (Nelson etc.) . . . . 05 II 418
— Niederländisch - Neu-Guinea . . . . . BB XXII *393*
— Patagonien und Pampasregion . . . . . BB XXVI *93*
— Sardinien . . . . . BB XXIII *435*
— — Tabulaten u. Hydrozoen . . . . . 06 I *61*
— Schweden, Equisetales 09 I 150
Mesozoische Pflanzenreste, Abbildungen . . . . 06 I 156
Messenien, Trias . . . . BB XXI *223*
Metabolit, künstlicher . 1907 I 360
Metabolit-Gruppe . . . 05 I 394
Metacheiromyidae, amerikanisches Eocän . . 05 I 331
Metacheiromys dasypus und tatusia, Bridger Eocän, Nordamerika . 05 II 126
Metadiorit . . . . . CBl 1905 *411*
Metagabbro, Pennsylvanien, Piedmontdistrikt 07 II 221
Metakieselsäure durch Zersetzung natürl. Silikate . . . . . 07 I 25
Metaklase der Gesteine . 06 II 56
Metakristalle in metamorphen Gesteinen . 07 II 417
Metalle
— feste, Diffusion in Gesteinen . . . . . 08 I 54
— Kornvergrößerung d. Thermometamorphose 09 II 160
— kristalline Struktur . 05 I 18
— krist. plast., Druck- und Schlagfiguren . . 07 I 189
— Lösung u. Ausscheidg. 08 I 248
— schwere, in Sandsteinen, Moray Firth Basin 05 I 417
Metallographie, Erkenng. d. Anisotropie undurchsichtiger Substanzen CBl 1908 *565. 597*
Metalloxydkieselsäuregele CBl 1909 *331. 334*
Metallrhodanide, krist. Vergleichung mit den entsprechenden Metallhaloiden von Chinolin und Pyridin CBl 1905 *289. 321*
Metallsulfide
— geschmolzene, Eindringen in Silikatgesteine . . . . . 09 II 83
— u. -oxyde, krist., elektr. Verhalten . . . . . CBl 1905 *454*
Metallurgische Untersuchungen . . . . . 06 I 241
Metamorphe Erze . . . CBl 1906 614
Metamorphe Gebiete der Ardennen, Erklärung 09 I *110*
Metamorphe Peridotite u. Gabbrogesteine im Bündner Schiefer . . 05 II 221
Metamorphe Schiefer, Tessiner Alpen . . . 06 II 208
siehe auch kristallinische Schiefer, Gneis etc.

Metamorphismus
— sekundärer, Christdorf, Mähren . . . . CBl 1907 *321*
— System des, nach VAN HISE . . . . . CBl 1906 605
— thermaler, hydrothermaler etc., Loch Lomond-Distrikt . . 1905 II 225
— siehe auch Dynamometamorphismus, Kontaktmetamorphismus etc.
Metamorphose
— Einfluß auf die mineral. Zusammensetzung der Kieslager . . . . 05 II 406
— des Grundgebirges . 06 I 47
— der krist. Schiefer . . CBl 1905 431
Metamosaurus fossatus, Perm, Texas . . . . 08 I 297
Metanhydrit . . . . . 07 I *140*
— ident mit Anhydrit . CBl 1909 *25*
Metapotherium, Santa Cruz beds, Patagonien 06 I 462
Metasibirites Philippii, Tropites-limestone, Byans . . . . . 08 II 238
Metasigaloceras, Kreide . 07 II 149
Metasilikate nach TSCHERMAK (Olivin, Anorthit, Wollastonit, Pektolith) . . . . . 07 I 25
Metasomatische Prozesse, westaustralische Goldlagerstätten . . . . 08 I 405
Metasomatismus, VAN HISE . . . . . CBl 1906 608
Metatissotia, Kreide . . 07 II 148
Metavoltin
— Miseno, Schwefelgrotte 08 II 333
— neue Fundorte . . . 09 I 194
— Vesuv . . . . . 09 I 349
— — von 1906 . . . . 08 I 208
Metaxit, Bretagne . . . 08 I 26
Metaxytherium, Hüftbeinrudimente . . . 09 II 114
— Oesterreich, unteres Miocän und Pliocän . 05 I 505
— Petersi, Leithakalk, Hainburg . . . . . 05 I 507
Metengonoceras acutum, ambiguum u. inscriptum, Kreide . . . . 07 II 151
Meteoreisen
— Kristallisationsfolge . 07 I 359
— künstl. Metabolit . . 07 I 360
Meteoreisen
— magnetische Umwandlung von Eisen und Nickel . . . . . 1905 I 215
— Metabolit-Gruppe . . 05 I 394
— physikal.-chem. Beschaffenheit . . . . 1905 I *122. 143*
— Plessit, ein eutrop. Gemenge . . . . . 07 I 358
— Struktur u. Zusammensetzung, erläutert durch Photographien von Schliffflächen . . 06 I 188
— Verzeichnis u. Klassifikation . . . . . 09 I 353
— Ainsworth, Nebraska 09 I 359
— Algoma, Wisconsin . 05 I 391
— Bacubirito (Sinaloa, Mexiko) . . . . . 05 I 217
— Bethanien, SW.-Afrika, Zwilling . . . . . 05 I 217
— Billings, SW.-Missouri, Oktaedrit . . . . . 07 I 366
— Boogaldi, Australien . 05 I 395
— Cañon City, Oktaedrit 07 I 366
— Cañon Diablo 1906 I 187 1909 I 43. 354. 357
— — — Bestandteile . 07 I 364
— — — Graphit . . . 08 II 9. 183
— — — mikrosk. Untersuchung . . . . . 07 II 201
— — — Moissanit . . . CBl 1905 *154*
— — Siliciumcarbid . . 07 II 202
— Caperr, Patagonien . 05 I 392
— Columbien (Rasgata, Santa Rosa, Tocavita) 09 I 40
— Coon Mountain (Canyon Diablo), Eisenschalen, Analyse . . 09 I 43
— De Sotoville . . . . 05 I 397
— El Inca, Peru 1909 II 160 Festband *227*
— Estacado, Texas, Mesosiderit . . . . . 07 II 201
— Großer Fischfluß . . 05 I 392
— Groß-Namaqua-Land 05 I 392
— Guatemala, chemisch 05 I 217
— Hacienda de Moenvalle, Mexiko . . . . . 07 I 363
— Iquique (Inca-Eisen), Thermometamorphose und Sammelkristallisation . 1909 II 160 Festband *227*
— Kap d. guten Hoffnung . . . . . 05 I 392
— Kodaikanal . . . . . 05 I 213

Meteoreisen
— Kodaikanal, Palni Hills, Madras Gouv., Indien, Silikatausscheidungen (Weinbergerit) . . . 1907 II 204
— Laborel, Eisenkristall CBl 1907 411
— Magdeburg ? 1831 . . 06 II *61*
— Marjalahti am Ladogasee, Pallasit . . . . 05 I 393
— Millers Run b. Pitsburg 05 I 398
— Mount Vernon, Christian Co., Ky., Pallasit 07 II 203
— Mukerop, Bez. Gibeon, SW.-Afrika, Zwilling 05 I 217
— Narraburra Creek, Austr., Dodekaeder-Lamellen im Oktaedrit 07 I 357
— Nenntmannsdorf bei Pirna . . . . . 05 I 216
— Nuleri-Distrikt, Westaustralien . . . . . 09 I 360
— Persimmon Creek, Cherokee Co., N. Car. 1905 I 215. 216. 395
— Rittersgrün . . . . . 05 I *148*
— Rodeo, Durango, Mexiko, Oktaedrit . . 07 I 362
— Smithville . . . . . 07 I 366
— South Bend, Indien, Pallasit . . . . . 07 I 365
— Temera, chemisch . . 05 I 213
— Tombigbee River . . 05 I 397
— Weawer Mountain, Arizona . . . . . 05 I 395
— Werchne Dnjeprowsk, Nickelsmaragd . . . 05 I 398
— Williamstown, Kentucky . . . . . 09 I 359
— YeoYeo-Creek, Austr., dodekaedr. Lamellen im Oktaedrit . . . . 07 I 357
— Youndegin, Nickeleisen $Fe_5 Ni_3$ 1909 II 185 CBl 1908 731
— und Stahl . . . . . 09 I 352
— siehe auch Eisen.
Meteoreisenpamor an javan. Waffen . . . . CBl 1909 715
Meteoriten 1907 I 357 1908 II 178 ff. 1909 I 350 ff.
— Chromeisen, chem. . 09 I 360
— Einleitung in das Studium . . . . . 05 I 211
— Eintreffen gleichartiger 09 I 350
— Gläser (Moldawit, Billitonit, Australit) . . CBl 1908 *737*
Meteoriten
— in moderner Reproduktionstechnik . . . 1907 I 361
— monokline Pyroxene . 09 II 167
— Piezoglypten u. Regmaglypten . . . . . 09 I 353
— Temperaturverhältnisse 07 II 199
— Tracht . . . . . 09 I 352
— Untersuchungsmethode CBl 1908 *601*
— Wert . . . . . 05 I 391
— Australien . . . . . 05 I 395
— belgische Sammlungen 07 I 361
— Berliner Sammlung . 07 II 385
— Colombien . . . . . 09 I 40
— El Perdito, Argentinien . . . . . CBl 1906 *716*
— Halle a. S. . . . . 05 I 398
— Indien . . . . . 09 I 38
— Japan . . . . . 07 I 367
— Kopenhagener Sammlungen . . . . . 07 I 362
— Kuttenberg, angeblicher glasiger CBl 1909 *452. 465. 545*
— Rhode Island, 1809 ins Meer gefallen . . 08 II 183 siehe Meteoritensammlung.
Meteoritenkunde, Cohen, 3. Heft . . . . CBl 1906 498. 519
Meteoritensammlung
— Anordnung . . . . . 05 I 211
— Belgien . . . . . 07 I 361
— Berlin . . . . . 07 II 385
— — 21. Jan. 1904 . . 05 I 213
— — 23. Juni 1904 . . 05 I 395
— British Museum, 1. Jan. 1904, und Einleitung zum Studium . . . . 05 I 211
— Field Columbian Museum, Chicago, 1. Mai 1903 . . . . . 1905 I 214. 389
— Greifswald, 1. Mai 1904 . . . . . 05 I 212
— Kopenhagen . . . . 07 I 362
— Prag, Böhm. Museum, Ende Juni 1904 . . 05 I 214
— Ward-Coonley-Collection 1904 . . . . . 05 I 214
Meteoritischer Staub, Australien, chem. . . 05 I 220
Meteorstein
— Allegan, Oldhamit, chemisch . . . . . 09 I 361
— Amana, Iowa Co., Iowa, Chondrit 1907 I 363 07 II 200

Meteorstein
— Baratta, Australien . 1905 I 395
— Bath Furnace, Chupaderos, Iron Creek, Lampa (Chile), Mejillones, Modoc, Ponca Creek, Saline, Weston, Krusten . . . . . 09 I 41
— Chandakapur, Chondrit . . . . . CBl 1909 716
— Coon Butte, Arizona 07 II 386
— Crumlin, Antrim, Co. 05 I 398
— Eli Elwa, Australien. 05 I 396
— Elm Creek, Kansas, Ornansit . . . . . 08 II 183
— Estacado, Texas . . 09 I 39
— Gilgoin, Australien . 05 I 396
— Hendersonville, N. C., Chondrit 1907 I 366 08 II 181
— Hvittis, Finnland, Chondrit . 1905 I 393 07 I 357
— Indien (Andhara, Bhagur, Bholghati, Delhi, Daccadistrikt, Harariya, Jamkhair, Kalambi, Karkh, Pirganj) 09 I 38
— Kuttenberg, angeblicher glasiger CBl 1908 *737* CBl 1909 *452. 465. 545*
— Linum, chemisch . . 05 I 213
— Modoc, Scott C., Kansas, Chondrit . . . . 07 II 200
— Pawlowka, chemisch. 05 I 213
— Peramiho, Eukrit 1905 I 218 07 I 361
— Pillistfer, Livland, Chondrit . . . . . 07 I 357
— Roda 1871 . . . . . 05 I 213
— Saint-Christophe-la-Chartreuse (Vendée), grauer Chondrit. . . 08 II 178
— St. Mark's Transkey, Chondrit . . . . . 07 I 370
— Schafstädt 1861 (Leucituranolith) . . . . 05 I 213
— Schonen, glasiger 1909 I 354 CBl 1909 *462*
— siehe auch Tektit und Moldawit.
— Selma, Dallas County, Alabama, Kügelchenchondrit . . . . . 08 II 181
— Shelburne, Chondrit . 07 I 365
— Toke-uchi-mura, chem. 05 I 395
— Uberaba (Minas, Bras.), Chondrit . . . . . 05 I 219

Meteorstein
— Zomba, Brit. Zentralafrika, 25. Jan. 1899, chem. etc . . . . . 1905 I 219
— Zomba, Nickeleisenlegierung Ni_3Fe_5 1909 II 185 CBl 1908 731
Meteorsteinfall, Indien, Dacca-Distrikt, Bengalen . . . . . 09 I 39
Meteutatus, Kreide, Patagonien . . . . . 05 I 170
Methyläpfelsäure, α- u. β-, inaktiv, Krist. . 07 I *102*
Methylbisulfid als Einschluß im Gangquarz, Salangen, Norwegen. 06 I 165
Methylenbisulfid, eingeschlossen im Gangquarz . . . . . 06 II 363
Metoicoceras acceleratum, gibbosum u. Whitei, Coloradostufe, Texas. 07 II 150
Metoicoceratidae, Kreide 07 II 150
Metoposaurus Fraasi, Trias, Amerika . . . 09 II 129
Metopotoxus anceps und laevatus, Santa Cruz beds, Patagonien . . 06 I 458
Metriorhynchus, Anpassungstypus . . . CBl 1907 *225. 385*
— Extremitäten . . . . CBl 1907 *536*
— Hinterextremität . . CBl 1907 *502*
— Organisation und Anpassungserscheinungen 08 II 439
— Oxfordton, Fletton . CBl 1907 *353*
— brachyrhynchus Oxford clay, Peterborough 09 I 442
— Jaeckeli, Rekonstruktion . . . . . CBl 1907 *228*
— — superciliosus . . . 08 II 439
Metula biarritzensis, blaue Mergel von Côte des Basques bei Biarritz 06 II 439
Metz, Gesteinsarten des röm. Amphitheaters. 05 II 77
Mexikanischer Onyx, Pueblo, Mexiko . . . 09 I 32
Mexikanisches Zentralplateau, Entstehung. 08 II *114*
Mexiko
— Erzlagerstätten . . . 09 II 82
— fossile Säugetierfauna 07 I 126
— Geologenkongreß . . CBl 1906 *220*
— Geologie des westlichen . . . . . 05 II 201

Mexiko
— junge Intrusionen, Beziehung zur Tektonik CBl 1907 *449*
— Sierra Madre, Bau der westlichen . . . . . 1908 I 74
— Sierra de Mazapil und Santa Rosa, Geologie 07 I 279
Mexiko-Tal, Faltungszone durch vulkan. Druck entstanden . . 09 I *28*
Meyeria rapax, Kreide, Schaumburg-Lippe'sche Mulde . . . . . 06 I 441
Meymacit, Brit. Columbien, Salmo . . . . 09 II 335
— Sardinien, Genna Gurese . . . . . 08 II 319
Michaletia semigranulata, Coniacien, Frankreich 06 I 319
Michelinia spec., Culm, Königsberg b. Gießen BB XXVIII *655*
— transitoria, Devon, Bolivia . . . . . BB XXV *561*
Michigan, Portlandcement 06 I 238
Micraster, Kreide, Untergliederung . . . . . 05 II 149
— breviporus var. brevis, longa u. oblonga, unteres Angoumien, Teutoburger Wald, Osning-Bergketten . . 06 II 103
— cortestudinarium var. inferior und superior, unt. Angoumien, Teutoburger Wald, Osning-Bergketten . . . . . 06 II 103
— tercensis, Schichten d. 07 II 452
Micrerpeton caudatum, Carbon, Nordamerika 09 II 132
Microbiotheriidae, Kreide, Patagonien . . . . . 05 I 169
— Santacruzeno, Patagonien . . . . . 07 I 308
Microbrachidae . . . . . 08 II 272
Microbrachis, Nürschan . 08 II 272
Microcoelia Dayi, Kreide, Libanon . . . . . 05 II 481
Micromelissa ventricosa, Scaglia, Euganeen . . 06 I 475
Micropora crassopora, ob. Bourdigalien, Mokattam . . . . . 05 II 485
Microporella divaricata u. fallax, Tertiär, Patagonien . . . . . 05 II 141
Micropygia (Trilobiten) . CBl 1907 *130*
Microsalenia, contorta, Jura, Frankreich . . 1907 I 487
Microsauria . . . . . 08 II 271
Microsaurier, Nordamerika . . . . . 09 II 133
Microschiza litoranea, Werfener Schichten, Bucieri, Montenegro . 05 II 108
Microsqualodon, Boldérien, Antwerpen . . 07 I 131
Microstagon Dumasi und pernitidum (= Geodallia obliqua), Eocän, Loire inférieure . . . 06 I 467
Microstylops, Kreide, Patagonien . . . . . 05 I 169
Microsyops annectens, elegans, gracilis und Schlosseri, amerikan. Eocän . . . . . 05 I 331
Microsyospidae, amerik. Eocän . . . . . 05 I 331
Microthyrites disodilis, mitteleoc. Dysodil, Melilli, Sizilien . . . 05 II 152
Microzeuglodon, Eocän, Aegypten . . . . . 05 I 487
Mid-Cretaceous, Nordamerika, Wirbeltiere . 07 I 438
Mieminger Gebirge, Tirol, Geologie . . . . . 09 I 411
Mies, Schwerspat und Anglesit . . . . . 06 II 24
Mikrochemische Analyse 08 II 5
Mikrochemische Silikatanalyse, Bleidose . . CBl 1905 *247*
Mikrodichroskop . . . . 05 II 176
Mikrodiorit, Mugodjaren (Süd-Ural) . . . . . 07 I 74
Mikrogranit
— Colle Brocan (Valle del Gesso), mit Gneiseinschlüssen . . . . 08 II 214
— Gennis (Corrèze), albithaltig . . . . . 09 II 229
— Grahamsland (Insel Wandel) . . . . . 08 I 77
Mikroklin, Analogie mit Diallag . . . . . 09 II 178
— Konstitution . . . . 09 II 181
— Lipetzk, Gouv. Tambow, im Brauneisenerz und Hydrogoethit 1905 II 21. 183
— Schmiedeberg (Riesengeb.), im Granit . CBl 1909 *770*

Mikroklin und Orthoklas, chem. Unterschiede . 1909 I 185
Mikrokonoskop, Mallard'sche Konstante 09 II 327
Mikrolith, Norwegen, Granitpegmatitgänge des südlichen . . . . . 08 I 354
Mikropegmatit, eutekt. Mischung . . . . . 09 II 182
Mikroperthit, kristalline Schiefer . . . . . 05 II 362
Mikroporen in Gesteinen bewirken Wasseraufsaugung . . . . . 07 I 377
Mikroseismische Bewegungen, Ursachen . . 07 II 48
Mikroseismische Erdbeben 05 II 206
Mikroskop
— mit elektr. Heizung . CBl 1909 *567*
— mineralog., für hohe Temperaturen . . . . 06 I 2
— — Fuess, neues Modell 08 II 146
— — Leitz (Wetzlar), Modell A . . . . . BB XXIII *163*
— mit Polarisation, Verwendung . . . . . CBl 1904 507
— mit Polarisation, Verwendung nach Weinschenk . . . . . CBl 1906 522
— — mit Quarzkeilkompensatorokular . . . CBl 1906 *745*
— Sammlungs- . . . . CBl 1907 *615*
Mikroskopgoniometer v. Souza-Brandão . . 05 II 2
Mikroskopische Bestimmung von Mineralien nach dem Brechungsindex . . . . . CBl 1906 551
Mikroskopische Faltungsformen . . . . . CBl 1905 90
Mikroskopische Physiographie
— der Ergußgesteine, Rosenbusch, 3. Aufl. CBl 1909 338. 367
— der Mineralien, Rosenbusch, 3. Aufl. CBl 1905 119. 486
— — — Wülfing, Korrektur zu den Plagioklasen . . . . . CBl 1905 *745*
— der Tiefengesteine und Ganggesteine, Rosenbusch, 3. Aufl. . . . CBl 1907 592
Mikroskopische Präparate, Deutung mittelst metall. Gitterpolarisation 06 I 323
Mikroskopische Untersuchung der Mineralien CBl 1906 246. 522. 551. 745
Mikroskopokular m. Quarzkeil-Kompensator . . CBl 1906 *745*
Mikroskoppolymeter, Polarisations- . . . . . CBl 1905 *593*
Mikrosommit, Vesuv, von 1906 . . . . . 1908 I 209
Milchmolaren, Sirenen . 06 II *50*
Miliolidae, nach d'Orbigny . . . . . 05 II 489
— Systematik der lebenden und fossilen . . 05 II 328
Milioliden
— Abbildung von d'Orbigny'schen Arten . 06 I 472
— Systematik . . . . . 08 I 307
— trematophore . . . . 07 I 158
— — Tertiär, Ottranto . 09 I 140
Miliolina magna (Quinqueloculina), unteres Oligocän, Kruhel Maly bei Przemysl . . . . 05 I 320
1905 II 434 06 I 472
Miliolinen, Blattstellung und Schalenbau . . . 08 I 141
Milleporella sardoa, Senon, südl. Nurra, Sardinien . . . . . 06 I *67*
Millericrinus, Trias, Tobisinschichten, Süd-Ussuri-Gebiet . . . BB XXVII *536*
Millerit
— Brompton-See, Orford township, Quebeck, Kristallformen . . . 06 I 12
— Orford, Quebeck, Kristallographie . . . . 06 II 323
— siehe auch Nickelsulfid.
Miloschin . . . . . CBl 1909 *333*
Mimetesit
— Brechungskoeffizienten 05 I 39
— Bena(d)e Padru bei Ozieri, Sardinien . . 05 II 367
Mineralbestimmung
— nach äußeren Kennzeichen . . . . . 09 II 1
— Tabellen von Weisbach CBl 1907 154
Mineralbildung
— durch Druck (Dynamometamorphose) . . 06 I 47
— auf Hohlräumen im Basalt von Weitendorf (Steiermark) . BB XXVII *234*

Mineralbildung
— in Silikatschmelzlösungen . . . . . 1906 II 10
— siehe auch Kontakt etc.
Mineralchemie im Jahre 1906 . . . . . 07 II 172
Mineralfarben
— Art und Veränderung . . . . . BB XXVI *249*
— — Stabilität der durch Radium erhaltenen . CBl 1909 *232*
— siehe auch Farben etc.
Mineralgang im Gneis, Campaglia bei Varzo, Piemont . . . . . CBl 1905 *15*
Mineralien
— Absorptionsvermögen für Gase . . . . . 06 I 161
— der Basalte, Grönland CBl 1908 344
— gefärbt durch organ. Farbstoffe . . . . BB XXVIII *335*
— genetische Klassifikation . . . . . 09 II 330
— gesteinsbildende . . . CBl 1907 470
— — Bestimmung . . . CBl 1909 711
— — — in Dünnschliffen CBl 1907 729
— der kristallinischen Schiefer, Grönland . CBl 1908 377
— künstl. Darstellung . 07 II 173
siehe Darstellung, künstliche.
— mikrosk. Physiographie CBl 1905 119. 486. *745*
— opt. Untersuchung unter dem Mikroskop CBl 1906 246. *522*. *551*. 745
— Sammeln und Bestimmen . . . . . CBl 1904 507
— Verhalten gegen Radium-, Röntgen- und ultraviolette Strahlen 05 I 8
— Alaska, Kenai-Halbinsel, nutzbare . . . 08 II 377
— Japan . . . . . CBl 1905 280
— Kansas, Jola Quadrangle, nutzbare . . 08 II 376
— Korea und Sachalin. 08 II 333
— Mississippi, nutzbare. 08 II 378
— Rhodesia und Britisch-Zentral-Afrika . . . 07 I 80
— Tirol und Vorarlberg CBl 1905 218
— und Gesteine, Britisch-Zentral-Afrika . . . 07 I 236
Mineralklüfte, alpine, Flüssigkeitseinschlüsse der Quarze . . . . . CBl 1906 *72*
Mineralkombination von 25°—83° in ozean. Steinsalzlagern . . . 1905 I 197
Minerallagerstätten
— Graphit . . . . . 07 II 240
— Opalmehl, Entstehung 05 I 445
— Titan- . . . . . 07 II 240
— Aegypten und Chile, Salpeter . . . . . 05 I 262
— Afrika, Deutschost- . 07 II 385
— Aosta-Tal, Piemont . 07 II 35
— Argentinien, Sierra de Cordoba . . . . . 07 II 198
— Australien . . . . . 06 I 359
— Baveno (Montorfano), Mineralien . . . . . 07 I 39
— Bayern, nutzbare . . CBl 1907 247
— Bayrischer Wald . . 08 II 330
— Bessarabien, Chotinscher Kreis, im Gips 07 II 377
— Biella, Piemont, Drusen im Syenit . . . 06 II 33
— Binnental 1906 I 167 1906 II 15. 27. 30. 1908 I 204. 601 CBl 1908 52
— — Beschreibung des Steinbruchs v. Lengenbach . . . . . CBl 1907 93
— — Mineralien . . . . CBl 1905 *30*
— Bodmin und Camelford areas, im Kontaktkalk . . . . . CBl 1908 312
— Bolivia . . . . . 08 II 336
— Brasilien, Favas der Diamantsande . . . 08 I 32
— Brosso und Traversella . . . . . 08 I 35. 39
— Brusson (Aostatal), Goldquarzgänge . . . 08 II 330
— Calafuria, südl. Livorno, im Macigno 1906 I 168 07 I 67
— Campaglia bei Varzo (Piemont) . . . . . CBl 1905 *15*
— Campolongo . . . . 05 I 201
— Canale Monterone (Prov. Rom), im Tuff 06 I 170
— Carrara, im Marmor 1906 II 175. 176 07 I 214
— Centralasien . . . . 07 II 247
— Ceylon . . . . . 1906 I 178. 182
— China, nutzbare . . . 09 II 79
— Clifton-Morenci-Distrikt, Arizona . . . 06 I 172
— Columbia, Erden und Salze . . . . . 06 I 34

Minerallagerstätten
— Concepcion del Oro, Zacatecas, Mexiko, im Granodiorit BB XXVIII *450 ff. 556*
— Cuba . . . . . 1905 I 389
— Dalmatien, nutzbare . 09 II 83
— Deutschland, Karte der nutzbaren 1909 II 77 CBl 1907 569
— Easton, New Jersey . 06 I 353
— Eifel . . . . . CBl 1907 471
— Elba . . . . . CBl 1908 252
— — turmalinführende Gänge im Granit von San Piero in Campo . 05 II 34
— Evje, Saetersdalen, Norwegen . . . . . 06 I 351
— Färöer . . . . . CBl 1908 *681*
— — Zeolithe im Basalt 09 I 27
— Frankreich (Dep. du Rhône et de la Loire) 07 I 40
— Friedeberg (Oesterr.-Schlesien), Kontakt . 07 II 33
— Gellivara-Erzberg . . 06 I 349
— Grönland CBl 1908 338. 375. 403. 411
— — Julianehaab (Kangerdluarsuk u. Narsarsuk), Mineralliste . . CBl 1908 411
— Hessen-Darmstadt, techn. . . . . 05 I 429
— Illinois . . . . . 06 II 180
— Iowa, Produktion1901 02 I 439
— Irland, Silver mine district, Tipperary . . 08 II 336
— Jenisseisk'scher Bergbezirk, südlicher . . 07 II 189
— Kalifornien, Edelsteine . . . . . 07 II 41
— Kamptal, Wiener Wald . . . . . CBl 1908 251
— Kleinasien, Schmirgel 08 II 297
— Korea und Sachalin . 08 II 333
— Kragerö (Lindvikskollen) . . . . . 08 I 193
— Krebshöhe b. Schönpriesen, Böhm. Mittelgebirge . . . . . CBl 1909 *154*
— Krim, Ajudagh, im Quarzdiorit . . . . . 09 II 367
— — Simferopol . . . 09 II 367
— Kuttenberg (Böhmen), im Serpentin . . . . 08 I 38
— Lausetto, Valli del Gesso, Piemont . . . 06 I 349
— Ligurien, Nephrit . . 08 I 189
— Llano County, Texas 07 I 42

Minerallagerstätten
— Los-Inseln, im Nephelinsyenit . . . . . 1908 I 226
— Mähren, westl., im Archaicum u. Devon 05 II 234
— Markirch, Gänge . . 09 I 21
— Mayen, Mineralien der Einschlüsse . . . . . 06 I 347
— Meeresboden . . . . 08 I 53
— Mies, Schwerspat und Anglesit . . . . . 06 II 24
— Miseno, Schwefelgrotte 08 II 332
— Moore Station, New Jersey, Zeolithe . . . 06 I 352
— Nanya-zeik, Birma, Rubin . . . . . 08 II 296
— Neuseeland . . . . . 08 I 399
— Niederösterreich . . . 06 II 174 CBl 1908 *742* CBl 1909 *397. 439. 689. 710*
— Niederösterr. Waldviertel . . . . . CBl 1908 251
— Nordamerika, nutzbare 05 I 440
— — verschiedene . . . 05 I 440
— Norwegen, südl., Niobate, Tantalate, Titanate u. Titanoniobate der Granitpegmatitgänge . . . . . 08 I 336
— Oberösterreich . . . 05 I 40
— Oberpfälzer Waldgebirge . . . . . 08 II 330
— Olgiasca (Comer See), im Pegmatit . . . . 05 I 203
— Ormuz-Insel . . . . 08 II 336
— Ostalpen . . . . . CBl 1908 *277*
— — Pinolitmagnesit, Spateisenstein u. Ankerit, Genesis . . . . CBl 1909 714
— Pitztal, Tirol . . . . 08 I 205
— Poggio Orlando (Siena), Schwefelgruben . 08 II 334
— Pokolbin, N.-S.-Wales, im Hypersthenandesit 06 I 342
— Prinz-Rudolfs-Insel . 06 I 35
— Raspenau, Böhmen, im körn. Kalk des Kalkbergs . . . . . 06 I 54
— Regens bei Iglau, Graphit- . . . . . 06 II 173
— Rhein, Einschlüsse im Basalt . . . CBl 1908 *97. 422. 705*
— Rhodesia, Broken Hill-Grube, Zinkphosphate 09 II 31
— Rußland, (Ferghana und Archangel) . . . 09 II 37

Minerallagerstätten
— S. Fedelino, Comer See, im Granit . . . 1907 II 34
— St. Yrieix, Kaolin . . 07 II 240
— Sardinien, Argentiera della Nurra, Portotorres 06 I 31
— — Genna Gurese, Wolframmineralien . . . 08 II 319
— Schlaggenwald 1905 I 198 07 II 32
— — Kalk, im Steinbachtal . . . . . 08 II 330
— Sibirien . . . . . 09 II 41
— Solfatara bei Neapel 07 II 198
— Spanien, nutzbare, u. Gesteine . . . . . 09 II 79
— Staßfurt, regelm. Verwachsung von Carnallit und Eisenglanz . CBl 1909 *168*
— Steiermark . . . . . 08 I 38
— Sternberg—Bennisch, Mähren, Schalsteinzug CBl 1907 *289. 321*
— Südafrika . . . . . 05 II 38
— — nutzbare . . . . 09 II 83
— Tabor, Böhmen . . . 09 II 366
— Tahiti . . . . . 06 I 71
— Tennessee, Phosphate 05 I 260
— Tessin, am Pizzo Forno BB XXVI *488*
— — im Dolomit (Campolongo etc.) . . . . BB XXVI *517*
— Tirol . . . . . CBl 1905 218
— Toskana . . . . . 07 II 37
— Tunesien (Dschebel-Ressas), Blei- u. Zinkmineralien . . . . . 07 I 41
— Ural, mittlerer . . . 09 II 41
— Vesuv . . . . . 09 I 349
— — (1906) . . . . 1908 I 207. 327
— — Asche von 1906, in Triest . . . . . 08 I 44
— — Neubildungen von 1906 1908 I 45. 173. 206. 328. 329. 601
— siehe auch Vesuv.
— Weitendorf (Steiermark), in Hohlräumen des Basalts . . . . BB XXVII *219*
— Westmähren . . . . 06 II 174
— Zöptau, im Amphibolitgebiet . . . . . 08 I 202
— — Mähren, Zeolithe im Amphibolit . . . 06 I 343
— siehe auch Erzlagerstätten und Mineralvorkommen.

Mineralnamen, neue . . 1905 I 1
Mineralogie
— beschreibende, Vernadsky, Elemente . 09 II 2
— Klockmann, 4. Aufl. CBl 1907 216
— neuere Aufgaben . . 08 I 1
— Nies und Düll . . . CBl 1905 728
— physikal.-chemische v. Doelter . . . . . CBl 1905 629
— systematische, Geschichte . . . . CBl 1907 245. 247
Mineralogische Gesellschaft, Deutsche CBl 1908 *471* CBl 1909 *60*
Mineralogische Terminologie . . . . . CBl 1909 *661*
Mineralogischer Unterricht
— Entwicklung an der Universität Gießen . CBl 1905 557
— an Hochschulen . . . 06 II 147
Mineralogisches Mikroskop, Modell A. Leitz in Wetzlar . . . . BB XXIII *163*
siehe Mikroskop.
Mineralquellen
— chem.-phys. Beschaffenheit . . . . . 05 I 264
— Fortschritte der Erforschung . . . . . 09 II 372
— Zustand des Schwefelwasserstoffs . . . . . 06 I 327
— Amazonasgebiet, Beziehung zu Erzlagerstätten . . . . . 05 I 263
— Bayen bei Bognères-de-Luchon . . . . . 05 I 263
— Ems, Analyse . . . . 05 I 444
— Engadin, oberes (Chasellas bei Campfèr), Analyse . . . . . 07 II 87
— — unteres, Analysen 07 II 87
— Latium, Radioaktivität . . . . . 07 I 228
— rhein. Schiefergebirge, Entstehung . . . . . 08 I 368
— S. Orsola bei Pergine, Südtirol . . . . . 09 II 373
— Schweiz, Radioaktivität . . . . . 08 I 167
— siehe auch Quellen, Thermen u. Mineralwasser.
Mineralreich von R. Brauns . . . . . CBl 1905 187
Mineralschaustellungen, Farbe des Hintergrunds 08 I 1

Mineralsynthese
— unzulässige Methoden CBl 1905 *148*
— siehe Darstellung, künstliche.
Mineralvorkommen
— Columbia . . . . . CBl 1908 182
— Japan . . . . . 1905 I 210
— Kalifornien . . . . . 05 I 204
— Nordamerika, verschiedene . . . . . 05 I 205
— siehe Minerallagerstätten.
Mineralwasser
— Bayern . . . . . CBl 1907 247
— Agnano (Apollowasser) . . . . . 06 II 79
siehe Mineralquellen.
Minerogenese . . . . . 07 II 162
— und Stabilitätsfelder der Minerale . . . . 07 II 10
Minette
— Deutsch-Lothringen u. Luxemburg, Fauna 06 I 303
— Dielette (Manche), Eisenerz . . . . . 09 I 393
— Highwood Mountains, Montana . . . . . 06 II 373
— Kiautschou . . . . . 06 II 368
— Sustenhörner, Aarmassiv . . . . . 06 II 62
— Tien-schan und Alatau . . . . . 05 II 69
Minimalablenkung
— in Prismen . . . . 1907 II 163. 164
— durch anisotrope Prismen . . 1905 II 331 08 II 142
— symmetrische, durch anisotrope Prismen . 08 I 162
Minimalproblem der Gestaltenlehre . . . . . 06 I 321
Miocän
— Grenze gegen Pliocän 07 II *1*
— Frankreich, Perforation d. Astragalus bei Säugetieren . . . . . 07 I 467
— Italien, Radiolarien . 09 II 490
— Jütland . . . . . 07 II 452
— Nebraska, Säuger . 1907 II 485. 486
— — und Wyoming . . 07 II 486
— Niederschlesien, petrograph. Entwicklung 06 II 430
— Oppeln, Säugetiere . 05 II 453
— Oregon, Säuger . . . 07 II 485
— Sardinien, Fischotolithen . . . . . 08 II 277
— Sinai, östlicher . . . 07 I 424
— Süddakota, Säugetiere 08 I 129
Miogypsina, Tertiär, Piemont . . . . . 1907 II 160
Miolania argentina, ? Kreide, Chubut, Argentinien 05 II 307
Miopliocän, Süd-Ussuri-Gebiet . . . . . BB XXVII *531*
Mioziphius, Boldérien, Antwerpen . . . . . 07 I 132
— belgicus, Miocän, Antwerpen . . . . . 07 I 135
Mirabilit, siehe Glaubersalz . . . . . CBl 1908 *280*
Mischkristalle
— in Eruptivgesteinen . 07 II 57
— fließende, Bildung und Umwandlung . . . . 05 II 173
— von K_2SO_4 u. K_2CrO_4 07 I 209
— der Nitrate von Am, Tl und Cs . . . . . 09 I 163
— von Pyroxenarten durch Zusammenschmelzen . . . . . CBl 1906 *571*
— aus Schmelzfluß, Silber-, Blei-, Thallo- u. Cuprohalogene . . . BB XXII *1*
— wasserhaltige, Spaltung . . . 1905 I 13 06 I 7
— und Doppelsalze der Sulfate von Li, Na, K u. Ag, Bildung u. Umwandlung . . . . BB XXIV *1. 67*
Mischungen, isomorphe, siehe isomorphe Mischungen.
Mischungsreihe isom. Substanzen, Lücken . . 05 I 368
Misenit . . . . . 05 II 31
— Miseno, Schwefelgrotte 08 II 333
Mississippi, nutzbare Mineralien . . . . . 08 II 378
Missourit, Highwood Mountains, Montana, Shonkin-Stock . . . 06 II 373
Mitra chaussyensis und Pezanti, Eocän, Paris 07 II 303
— Degrangei und vasconum, blauer Mergel von Côte des Basques bei Biarritz . . . . . 06 II 439
Mittelamerika
— Ausbruch des Momotombo in Nicaragua, 16. Jan. 1905 . . . . CBl 1905 *172*
— Vulkane . . . . . CBl 1906 243
— Vulkangebiet u. Ausbrüche 1902 u. 1903. CBl 1906 243

Mittelgebirge
— böhmisches, vulkan. Ausbrüche . . . . CBl 1909 *526*
— deutsche, Alter . . . CBl 1909 *270*
Mittelmeergebiet, westl., titanreiche Basalte u. magmat. Provinz . . 1909 I 64
Mixodectes, amerikan. Eocän . . . . . 05 I 331
Mixoneura neuropteroides, Carbon, Donetzbecken . . . . . 09 I 460
Mizzia, Carbon, Dalmatien . . . . . 07 II 339
Mo = feiner Sand . . . . 06 I 206
Modelle, geologische, Herstellung . . . . . 06 I 37
Modena, artes. Brunnen 05 I 54
Moderne Zitate . . CBl 1909 *353. 536*
Modiola Amphitrite, Glandarienkalk, Syrien . 06 I 279
— coelomorpha, laticosta, namnetensis und notorine, Eocän, Loire inférieure . . . . . 06 I 154
— dunlopensis, Kreide, N.-S.-Wales . . . . 05 I 318
— flagellata, ob. Kreide, Alvincz . . . . . 05 I 302
— jurassica, Jura, Black Hills . . . . . 08 I 264
— kaffraria, Kreide, Pondoland . . . . . 07 II 306
— Kochi, Eisenerzformation, Lothringen und Luxemburg . . . . . 06 I 305
— subangustissima, ob. Jura, Somaliland . . 06 I 281
Modiolarca jurassica, Jura, Black Hills . . . 08 I 264
Modiolopsis Martini und subgradata, Untersilur, Haverfordwest-Distrikt . . . . . 06 II 307
Modiomorpha cf. Pimentana, Devon, Bolivia BB XXV *527*
Moellerina . . . . . BB XXVII *506*
Moencopie beds . . . . 07 II 502
MoeriophisSchweinfurthi, Aegypten . . . . . 06 I 153
Moeritheriidae, Tertiär, Fayum . . . . . 07 II 310
Moeritherium Lyonsi und trigonodum, Eocän, Aegypten . . . . . 06 I 446
Mohawkit, künstl. . . . 05 II 5
Mohr'sche Linien und Druckfestigkeit beim Anhydrit . . . . . 1909 II *121*
Moine-Gneis, schott. Hochlande . . . . . 05 II 390
Moiné-Mendia b. Hélette (Basses Pyrénées), Reibungsbreccie zu Granit u. Marmor . . 06 II 212
Moira Guebhardi, Molasse, Veuce . . . . 07 II 157
Moissanit im Diablo Cañon-Meteoriten . 1905 I 7 CBl 1905 154
Mojsisovicsidae, Mojsisovicsia, Kreide . . . . 07 II 147
Mojsisovicsites crassecostatus, obsoletus, orethensis, involutus u. tenuicostatus, obere Trias, Sizilien . . . . 05 I 345
Mojsvaroceras Kagae und nivicola, Muschelkalk, Himalaya . . . . . 08 II 241
Mokattamstufe = Parisianum, Gliederung . . 05 II 323
Molasse
— Aarwangen (Schweiz), Süßwasser- . . . . . 08 I 433
— Algäu, Kontakt mit Flysch . . . . . 08 I 409
— Bayern, Faziesentwicklung des oligocänen im südlichen . CBl 1906 576
— Bregenzer Wald . . BB XXVII *34*
— Gâtinais, Frankreich . 09 II 467
— patagonische . . . . BB XXI *155*
Moldau, Geologie . . . . 06 I 406
Moldavit
— chemisch . . . . . 05 I 299
— Brechungskoeffizienten CBl 1909 *26. 781*
— Kuttenberg, angeblicher . . . CBl 1909 *452. 465. 545*
— Schonen, siehe Meteorsteine.
— — kosmische Natur . CBl 1908 *737*
— siehe auch Tektit.
Molekulare Gestalt, Einfluß auf den kristallinisch-flüssigen Zustand 09 I 3
Molekularquotienten zur Berechnung von Gesteinsanalysen . . . 05 I 57
Molekularvolumen, Beziehung zu Viskositätskurven bei Silikaten . CBl 1906 *289*

Molekularvolumina d. Gesteinsgemengteile . . 1905 I 62
Molgophidae, Wirbel und Rippen . . . . . 08 II 270
Molgophis, Carbon, Linton . . . . . 08 II 270
Moll-Tal, oberes, Kärnten, Geologie . . . . . 08 II 358
Molorchus, balt. Bernstein, Deutung . . . 07 I 323
Molukken
— Geologie . 1905 I 106 09 I 242
— — Berichtigungen . . CBl 1909 *476*
— obertriadische Fauna CBl 1909 *561*
— Triaspetrefakte . . . BB XXIV *161*
Molybdänerze, Argentinien, Prov. S. Louis 05 I 259
Molybdänglanz
— Elektrizitätsleitung 1906 II *32* 07 II 5
— Kristallform . . . . 05 II 8
— Alpen . . . . . CBl 1905 *12*
— Biella, Piemont, Drusen im Syenit . . . 06 II 33
— Crown Point, Washington . . . . . 06 I 164
— Nordamerika, Produktion . . . . . 06 I 355
— Ofenhorn, Binnental . CBl 1908 52
— Okanogan County, Washington, elektr. Verhalten . . . . . CBl 1905 *464*
— Rhein, Einschluß im Basalt . . . . . CBl 1908 *97*
— — Finkenberg bei Bonn, im Basalt . . CBl 1908 *422*
— Rußland, chemisch . 09 II 333
Molybdänocker, Zusammensetzung etc. . . 1908 II 300. 301
Molybdatgele . . . . . CBl 1909 *329*
Molybdit
— Hortense, Colorado . 09 I 195
— Ilmengebirge, Pseudomorphosen nach Molybdänglanz . . . . 09 II 15
Momotombo-Vulkan, Nicaragua, Ausbruch 16. Januar 1905 . . CBl 1905 *172*
Monacha coarctata, Obermiocän, Randeck . . CBl 1908 *593*
Monadnock = Härtling . CBl 1908 *746*
Monadnock Mountain, New Hampshire, Geologie . . . . . 06 II 215
Monazit, Darstellung von Gadoliniumoxyd . . 05 I 39
Monazit
— Erden . . . . . 1906 I 5
— Thorerdegehalt . . . 05 I 189
— Nil-Saint-Vincent, Brabant . . . . . 06 I 345
— Nordamerika, Produktion 1903 . . . . . 05 II 29
— Ottawa bei Pisek, im Goldsand 1905 I 366 08 I 332
— Richmond River, N.-S.-Wales, im Sand, Analyse . . . . . 07 I 411
— Soendeled (Risoer), Norwegen . . . . . 06 I 352
— Transvaal, Analyse . CBl 1907 248
Monazitsand
— Bahia . . . . . 06 II 343
— Kaukasus . . . . . 05 I 385
— Queensland . . . . . 07 I 81
Monchiquit
— Ampasindava (Madagaskar) . . . . . 05 I 436
— Böhmen, zw. Böhm.-Kamnitz u. Kreibitz 06 II 359
— Löwenburg, Siebengebirge . . 1907 II 62 BB XXIII *420*
— N.-S.-Wales, chem. . 07 I 403
— nördl. Odenwald . . 09 II 380
Monchiquitischer Nephelinit, Tasmanien, Regatta Point . . . . . 08 I 392
Mond
— Abstammung von der Erde . . . . . 09 II 46
— Oberflächengebilde . CBl 1905 91
Mondstein
— Ceylon . . . . 1906 I 179. 181. 186
— Nordamerika . . . . 06 I 358
Mongoli, Jura . . . . . 07 II 447
Monilites albida, mitteleocäner Dysodil, Melilli, Sizilien . . . . 05 II 152
Monmouthit, Monmouth bei Dungannon, Ost-Ontario . . . . . 05 II 395
Mono Lake, Kalifornien, Eruption fester Massen 05 II 396
Monobromäpfelsäure, inaktiv, Kristallform . 07 I *92*
Monobromstrychnin, Kristallform . . . . 07 I *100*
Monoclonius Belli, canadensis und Dawsoni, Belly river series, Red Deer river, Nordamerika . . . . . 07 I 439

Monochloräpfelsäure, inaktiv, Kristalle . . . 1907 I *94*
Monodon, Boldérien, Antwerpen . . . . . 07 I 132
Monodonta Staadti, Eocän, Paris . . . . . 07 II 303
Monofurfurylhydrophenantrenchinon, Krist. . 07 I *90*
Monogenerina pyramidis, Permocarbonkalk, N.-S.-Wales . . . . . 06 II 455
Monograptus priodon, Organisation . . . . . 05 II 82
Monoklin-hemiedrische, opt.-aktive Kristalle, Struktur . . . . . 07 II 351
Monolophodon minutus, Kreide, Chubut, Patagonien . . . . . 05 I 497
Monophyllites Dieneri u. Nopcsai, Untertrias, Albanien . . . . . 08 II 400
— gymnitiformis und transversus, Muschelkalk, Dobrudscha . . 08 I 421
Monotis salinaria, Rotti und Timor . . . . . CBl 1909 *356*
— — Trias, Serang, Niederl. Indien . . . . BB XXIV *190*
Monotrypa Favrei, Urgon, Massif des Avoudruz (Savoyen) . . . . . 06 I *64*
— limitata, multitabulata und sardoa, Tithon, Baunèi, östl. Sardinien 06 I *62*
— pontica, Oxfordien, östl. Krim . . . . . 06 I *63*
— raritabulata, Devon, Bolivia . . . . . BB XXV *560*
Monoxyde u. Monosulfide d. Elemente d. 2. Klasse etc. . . . . 08 II 148
Montagne Pelée, Martinique, andesit. Auswürfling . . . . . 06 I 229
— — Eruptionen . . . CBl 1906 81
— — — u. Aschenfall 1902 . . . . . 1905 I 224. 404
— — — Gesteine, Einschlüsse etc. . . . . CBl 1906 81
— — Felsnadel etc. . . 06 I 38
— — Gesteine . . . . 09 I 71
— — vulkanische Erscheinungen . . . . 07 I 376
— — vulkanischer Staub 1902 . . . . . 05 I 404
Montagne Pelée, Martinique, Zusammensetzung des Dôme . . . 1908 I 46
Montana, zentrales, Gesteine . . . . . 07 II 231
— Süd-Zentral-, Geologie 06 II 423
Montanit, Nanina Bismuth Mine, N.-S.-Wales, Analyse . . . . . 07 I 411
Montblanc
— Geologie in Südosten 09 II 88
— magnet. Deklination und Inklination bei versch. Höhen . . . 09 I 44
Mont d'Or Lyonnais, Zone d. Lioceras concavum 05 I 462
Monte Cavo, Bau u. Alter 08 I 46
Monte Ferru, Vulkan, Sardinien . . . . . BB XXI *1*
Monte Mary—Monte Emilius-Decke, Piemont . 06 II 257
Monte Rosa, Rückgang d. Gletscher am Südabhang . . . . . 05 I 56
Monte Rosa—Gran Paradiso-Decke, Piemont . 06 II 257
Monte Zovo bei Trient, Alter der Korallenformation . . . . . CBl 1908 *104*
Montenegro
— Dogger, Brachiopoden 07 I 433
— Geologie des östl. und südlichen . . . . . 07 II 107
— Muschelkalkcephalopoden von Boljevici bei Vir . . . . . 05 II 139
— oberer Muschelkalk . 07 I 431
— Werfener Schichten im südl. (Bucieri) . . 05 II 108
— u. Albanien, Obertrias 06 I 108
Monteregian Hills, Quebec, Brome Mountain, Geologie . . . . . 07 I 239
— Eruptivgesteine . . . 09 I 68
Monticellit
— gibt mit H Cl Orthokieselsäure . . . . . 07 I 25
— im Zement . . . . . 08 II 379
Montlivaultia molukkana, Trias, Serang, Niederl. Indien . . . . . BB XXIV *182*
— Szechenyi, Kaukasus 08 II 81
Montmorillonit, Beziehg. zu Gemenge von Tonerde- und Kieselsäuregel . . . . . CBl 1908 *622. 662*

Montorfano, Mineralien . 1907 I 39
Montroydit, Terlingua, Texas . . . . . 09 I 173
Monzoni
— Eruptivgesteine, chem. Zusammensetzung . . 06 I 57
— leukokrate Ganggesteine . . . . . 05 II 218
Monzonit
— Ampasindava (Madagaskar) . . . . . 05 I 436
— Fassatal, vergl. mit Melaphyr . . . . . CBl 1905 *48*
— — Toal malinverno, gangförmig, mit Spinell . . . . . CBl 1905 *53*
— Highwood Mountains, Montana . . . . . 06 II 373
— Monzoni u. Predazzo, chem. Zusammensetzg. 06 I 60
Moorbildungen, Kerguelen 06 II 51
Moore
— Bildung vieler pflanzenschädl. Schwefelverbindungen . . . . 06 I 327
— Norddeutschland, Humus- und Torfarten . 08 II 409
Moortorfbildung . . . . 09 II 45
Moostorf, älterer u. jüngerer, Wittmoor (Holstein) . . . . . 06 I 119
Moostorfschichten, Steilufer der kurischen Nehrung . . . . . 08 II 408
Moränen . . . . . 07 I 117
— Alpen und Vorland . 05 II 39
— Bregenzer Wald . . BB XXVII *37*
— Gausberg, Antarktik, des Inlandeises . . . 09 I 203
— Hamburg u. Rüdersdorf . . . . . CBl 1906 *185*
— Lübeck, Grund-, und jungglaziale Süßwasserablagerungen . 05 II 440
— Schwarzwald, eiszeitl. BB XXI *397*
— Sylt . BB XXI *198* BB XXII *139*
— Vomperbach-Mündg., Grund- . . . . . 06 I 299
siehe Grundmoränen, Randmoränen, Endmoränen etc., Quartär etc.
— und Gletscherbewegg. 05 II *33*
Moränenbedeckte Abhänge, Bildungen von Terrassen, Lappland . 07 I 88
Moränenlandschaft
— Odertal bei St. Andreasberg . . . . . 1906 I 298
— Pommern u. Rügen . 07 I 117
Moränenseen, Ostpreußen 05 I 471
Moravit
— Gobitschau, Mähren . CBl 1907 *296*
— Mährisch-Schlesische Schalsteinformation . CBl 1906 *293*
Moray area, Gesteinsanalysen und Verwitterung . . . . . 1905 I 414. 417
— Firth Basin, schwere Metalle in den Sandsteinen . . . . . 05 I 417
Morencit, Clifton-Morenci-Distrikt, Arizona . . 06 I 174
Moriogramm, Konstruktion und Verwendung 06 I 1
Morosaurus agilis, Skelett 08 II 437
Morphippus, Kreide, Patagonien . . . . . 05 I 167
Morphotropie bei Enstatit, Diopsid, Hedenbergit, Aegirin u. Spodumen 09 II 171
Morrisonformation, vergl. mit Comanche series u. Dakotaformation . 07 I 286
Morsumkliff, Sylt, Miocän 1906 I 429 BB XXII *139. 177*
Mortoniceras crenulatum, Kreide, Kalifornien . 06 I 288
— Micheli = M. texanum u. Amm. texanus und quinquenodosus, Gargano, St. Marco in Lamis . . . . . 08 I 132
— oliveti u. Sandreczkii, Untersenon, Jerusalem 07 I 422
— pseudotexanum, Emscher, Lüneburg . . CBl 1906 *379*
— umkwelanense, Kreide, Natal . . . . . 07 II 305
Mosasauridae . . . . . 09 I 289
Mosasaurier, Belgien . . 05 II 308
Mosasaurus lonzeensis, Kreide, Lonzée (Belgien) 05 II 309
Mosbacher Sand
— Fauna . . . . . 07 II 483
— Wirbeltierfauna . . . 05 I 485
— Weinheim a. Bergstr. CBl 1906 *674*
Moséen, système, Belgien 06 I 436
Moskau, Oxford und Sequanien . . . . . 05 I 129
Mosor bei Spalato, Geol. der Südseite . . . . 05 I 451

Mosorgebirge, Dalmatien, Geologie . . . . . 1906 I 257
Motta S. Anastasia, Aetna, Neck . . . . . 08 II 45
Mounds, Kalifornien und Arkansas, Entstehung 08 II 349
Mount Brown-Schichten, Tertiär, Neuseeland . 06 I 434
Mount Margaret-Goldfeld, Westaustralien . . . 05 II 402
Mourlonia Duni, Silurodevon, Wellington caves, N.-S.-Wales . 07 I 155
— hunica, Perm, Malla Sangcha, Zentral-Himalaya . . . . . 05 II 279
Moustérien, geolog. Stellung . . . . . 08 II 424
Moustérien-Skelett, Bouffia de la Chapelle-aux-Saints, Sourdoire-Tal (Corrèze) . . . . . 09 I 124
Moustérien und Aurignacien . . . . . 09 I 126
Moutier, Berner Jura, tekton. Karte . . . . . 05 II 247
Mucronella coronata und expectans, Kreide, Patagonien . . . . . 05 II 141
Mudde . . . . . 08 II 186
Mühlhausen i. Els., Wasserversorgung . . . . 09 I 205
Müllerornis, Madagaskar 06 II 444
München, Schwereänderungen und Bodenbewegungen . . . . 09 I 198
Mürtschendecke, Glarus . 06 II 393
Mufflon, frühere Verbreitung . . . . . 05 I 323
Mugearit, Skye . . . . 06 II 69
Mugil ? dissimilior und similis, Otolithen, Tertiär, Oesterreich . . 07 I 481
Mugodjaren (Süd-Ural), Gesteine . . . . . 07 I 72
Muhrenphänomen . . . CBl 1908 46
Mungo-Kalke, Kamerun . 05 I 153
Munida primaeva, jüngste Kreide, Faxe u. Schonen 06 II 141
Muniericeras dresdense, Strehlener Pläner, Sachsen . . . . . 05 I 354
Munzingen, Magdalenienstation . . . . . 07 II 471
Murawjew-Amursky-Halbinsel, Ostasien, Geol. BB XXVII *514*
Murchison-Goldfeld, West-Australien . . . . . 1905 II 399
Murchison Range, Transvaal, Geologie und Goldlagerstätten . . . 07 I 257
Murchisonia cf. bilineata. Devon, Ostthüringen BB XXIV *298*
Murex camerunensis. ?Eocän, Kamerun . . . 06 II 123
— Plateaui, Eocän, Paris 07 II 303
Murgtal, oberes, Schwarzwald, Glazialerscheinungen . . . . . BB XXI *421*
Mursinskit = Eisenkalkgranat, Limitgesetz . 08 II 141
Musart-Fluß, südl. Tian-Schan, Geologie . . . BB XXII *339*
Musart-Tal, Tian-Schan, Gesteine . . . . . 09 I 224
Muschelkalk
— Amerika, westliches . 08 I 260
— Epidauros, alpiner, Ammoniten . . . . . CBl 1906 *271*
— Himalaya, Fauna . . 08 II 240
— Montenegro, oberer . 07 I 431
— Oberschlesien . . . . 06 II 74
— Rhön . . . . . 09 I 424
— Rüdersdorf, Kiefer v. Saurichthys . . . . CBl 1909 *54*
— Schwaben . . . . . BB XXV *20*
— — Pinna . . . . . CBl 1906 *114*
— Schwarzwald, unterer 1909 II 417 418
Muschelkalkcephalopoden. Boljevici b. Vir (Montenegro) . . . . . 05 II 139
Muschelkalkgerölle im Serpulit, nördl. Teutoburger Wald . . . . 06 II 86
Muscheln
— Muskelleiste . . . . CBl 1906 *168*
— des Rotliegenden, Niederschlesien u. Böhmen 05 I *44*
Muscites Hauchecorni u. totifolius, Bernstein, Ostpreußen . . . . . 09 I 307
Muscovit
— Interferenzerscheinungen . . . . . CBl 1907 *577*
— pleochroit. Höfe . . . CBl 1909 *143*
— radialstrahlig gruppierte Kristalle . . . . . CBl 1908 *504*
— Fichtelgebirge aus Eklogit, Achsenwinkel . CBl 1908 *620*
— Japan, Analyse . . . 07 I 218
— Nordost-Rhodesia . . 07 I 80

Museum für Länderkunde, Leipzig, Führer . . . CBl 1905 281
Muskelleiste bei Zweischalern . . . . . CBl 1906 *168*
Muskulatur, quergestreifte, bei Cladoselache, Cleveland Shales . . 1905 II 478
Mustela Jaegeri, Unterpliocän, Salmendingen und Melchingen, Bohnerze . . . . . 1908 I 125. 127
Muttersalze im deutschen Zechstein . . . . . 09 II 304
Myacites compressus, elongatus u. musculoides, Lettenkohle u. Keuper, Schwaben CBl 1907 *43* BB XXV *84*
Myalina permiana, Perm, Texas . . . . . CBl 1908 *686*
Myelophilites dubius, balt. Bernstein . . . . . 08 II 113
Mylodontidae, Santa Cruz-Schichten, Patagonien . . 1905 I 498 06 I 464
Mylohyus, Miocän, Süd-Dakota . . . . . 05 II 130
Mylonit, Brünner Eruptivmasse . . . . . 09 I 378
Myoconcha Broilii und Wöhrmanni, Pachycardientuffe, Seiser Alp 07 II 336
— transatlantica, Aptien, Argent. Kordillere . BB XXIII *211*
Myogypsina (M. irregularis) . . . . . 05 II 152
Myophoria, Beziehung zu Schizodus etc. . . . 07 II 338
— Devon, Bolivia . . . BB XXV *527*
— Unterabteilungen . . 07 II 338
— elegans, Goldfussi, intermedia, laevigata, raibliana, transversa u. vestita, Lettenkohle, Württemberg . CBl 1907 *44*
— elegans, Goldfussi, intermedia, Kefersteini, laevigata, raibliana, Sandbergeri, Struckmanni, transversa (mit var. acuticostata, dolomitica, finalis, Struckmanni u. subkeuperina), vestita und vulgaris, Lettenkohle u. Keuper, Schwaben . BB XXV *86*
Myophoria Kefersteini, Pachycardientuffe, Seiser Alp . . . . . 1907 II 336
— laevigata, Werfener Schichten, Südtirol . CBl 1908 *77*
Myophoriopis keuperina, Schwaben CBl 1907 *45* BB XXV *95*
— (?) Kraffti, anthracolith. System, Perm, Zentral-Himalaya . . 05 II 281
Myopsis africana, Kreide, Zululand . . . . . 07 II 304
Myrica Heeri, Matawan-Formation, Nordamerika . . . . . 07 I 494
Myrioporа Verbeeki, Obercarbon, Sumatra . 1907 I 328. 488
Myrmekit . . . . . 1909 II 180. 182
— Bildung . . . . . CBl 1909 *311*
— Brixener Masse . . . 05 II 381
Mysidia cf. orientalis, Trias, Corfu . . . . BB XXI *299*
Mysidioptera carinata, Pachycardientuffe, Seiser Alp . . . . . 07 II 337
Mystriosuchus . . . . . 09 I 445
— Keuper, Schwaben . CBl 1909 *591*
Mytilops ravensfieldensis, Permocarbon, N.-S.-Wales . . . . . 07 I 485
Mytilus alatus, Glandarienkalk, Syrien . . . 06 I 279
— (?) Alisonis, Granulatenkreide, westliches Münsterland . . . . 08 I 428
— casalensis var. curvata, Lias, Casale bei Busambra (Palermo) 06 I 319
— deformis, Eocän, Loire inférieure . . . . . 06 I 154
— Diepenheimi, Sulainseln . . . . . 05 I 151
— eduliformis . . . . . CBl 1905 *705*
— — u. subdimidiatus, Lettenkohle, Württemberg . . . . . CBl 1907 *27*
— — — — — u. Keuper, Schwaben . . . . . BB XXV *68*
— nikitiniensis, Jura, Moskau etc. . . . . 05 I 131

N.

N- u. N_1-Strahlen, Emission durch Kristalle 06 I 325
Nachrumpf . . . . . CBl 1908 *746*

Nachschubgranit, Brocken (Ilsenstein) . . . . 1907 I 384
Nadeldiorit, Lindenfels, Odenwald . . . . . CBl 1906 *693*
Nadelerz, Rußland . . 09 II 333
Nadrag, Ungarn, Geol. 07 I 274
Naëgit, Naëgi, Prov. Mino, Japan . 1905 I 189 07 I 199
Nageiopsis anglica, Jura, Yorkshire-Küste . . 07 I 489
— montanensis . . . . 07 II 505
Nagelfluhe, subalpine . 09 I 86
Nager
— Ursprung . . . . . 05 I 157
— Kreide, Patagonien . 05 I 167
— Quartär, westliches Mittelmeergebiet . . . 07 I 458
— Tertiär, Nebraska u. Wyoming . . . . . 07 I 460
— Tertiär, Patagonien 07 II 320
Nagerhöhlen, Daemonelix, Obermiocän, Nebraska u. Wyoming 07 I 460
Nagyag, Goldvorkommen 06 I 74
Nagyag-Tal, Geol. zw. Berezna u. Vucskmezö 07 I 105
Nahegebiet, Morphographie und Siedelungskunde . . . . . 09 I 199
Nakerivara, Lappland, Eisenerzlagerstätten BB XXIV *666*
Nakrit
— gefärbt durch organ. Farbstoffe . . . BB XXVIII *362*
— Nagolnij Krjasch, Donetz-Becken . . . 07 II 197
Namaqua-Land, Kupfererze . . . . . 06 I 233
Namnetia discoides, Eocän, Loire inférieure 06 I 468
Nannites Dieneri, Meekoceras beds, Amerika 06 II 301
Nanosaurus agilis, Hallopusbed, Trias, Colorado, Beschreibung des Originals . . . 08 I *134*
Nantucket, Veränderung der Küstenlinien . . 07 I 378
Nanushuk series, Alaska, nördl. . . . . 06 I 93
Naomichelys speciosa, Nordamerika . . . . 09 I 452
Naosaurinae, Nordamerika 1908 I 290. 296
Naosaurus mirabilis, Gaskohle, Böhmen . . . 08 I 297
Naosaurus, Perm, Texas, montiertes Skelett . 1907 II 329
Naphtha, siehe Erdöl u. Petrolea.
Naphthalen, kristallisiert mit β-Naphthol . . 09 I 327
Naphthol, β-, kristallisiert mit Naphthalen 09 I 327
Naples-Fauna
— Nordamerika, vergl. mit deutsch. Oberdevon . . . . . CBl 1905 *385*
— West-New York . . 05 I 148
Nardoa? Fourtaui, Santonien, Aegypten . . 07 II 154
Narenta, Flußgebiet der unteren . . . . . 06 II 195
Narica ous . . . . . 07 II 468
Nassa cimbrica . . . . 07 II 453
— prisca, blaue Mergel von Côte des Basques bei Biarritz . . . . 06 II 439
— ? supracretacea, Danien, Dänemark . . 06 I 309
Nassau, devon. Eruptivgesteine . . . . BB XXVII *326*
Natal
— Kreide der Umkevelane Hill Deposits, Zululand . . . . . 06 I 307
— Kreidefossilien vom Zululand . . . . . 07 II 304
Nathorstia latifolia, Cenoman, Grönland . 09 I 153
Natica, Keuper, Gansingen . . . . . BB XXV *110*
— alkenyeriensis und transsylvanica, obere Kreide, Alvincz . . 05 I 302
— altilirata (Ampullina), Senon, Cardenas, Mexico . . . . . 08 I 102
— Dido u. Mylitta, Glandarienkalk, Syrien . 06 I 279
— Gaillardoti, Grenzdolomit, Schwaben . BB XXV *107*
— Gervaisi, Senon, Mittel-Peru . . . . BB XXIV *120*
— gracilis, Palaeocen, Saratow . . . . . 05 II 121
— osculum, ? Eocän, Kamerun . . . . . 06 II 123
— Peroni, Santonien, Frankreich . . . . 06 I 319
— plauensis - Gentii, Kreide, Sachsen . . 06 I 317

Natica plesio-lyrata, provideata u. uberiformis, Hypersenon, Peterwardeiner Gebirge . 1906 II 267
— servorum, ? Eocän, Kamerun . . . . . 06 II 123
— sudetica, Kreide, Rieslingswalde . . . . 05 I 301
— Tremarici, Tertiär, Kerguelen . . . . . 07 II 128
Naticopsis costulata u. planispira, Culm, Königsberg bei Gießen BB XXVIII *647*
— remex, Perm, Texas CBl 1908 *686*
Natriumcarbonat, Tschad-See . . . . 07 I 41
Natriumchromsilikate . CBl 1908 *519*
Natriumferrosulfate, Synthese . . . . . 07 I 34
Natriumsulfat . . . . . 05 II 29
— Montagne Pelée (Martinique) . . . . . 07 I 32
Natriumverbindungen, isomorph mit Kaliumverbindungen . . . 08 II 149
Natrochalcit, Chile . . 09 II 203
Natrolith
— gibt mit H Cl Orthokieselsäure . . . . 07 I 24
— Glühverlust . . . . 06 I *24*
— Kontraktionsfiguren bei Behandlung mit Säuren . . . . . 08 I 336
— Wassergehalt . . . CBl 1909 *678*
— Böhmen, in Phonolithen, Verwitterung 08 II 316
— Christdorf, Mähren, Eisenerzlager . . . CBl 1907 *323*
— Färöer . . . . . 09 I 29
— Grönland, Ost-, im Basalt . . . . . 06 II 183
— Krebshöhe b. Schönpriesen, böhm. Mittelgebirge . . . . . CBl 1909 *159*
— Montecatini, Toskana . . . . . 07 II 40
— — chem. Konstitution . . . . . 08 II 315
— Moore Station, New Jersey . . . . . 06 I 353
— Pokolbin, N.-S.-Wales 06 I 342
— Sachalin . . . . . 08 II 334
— Weitendorf (Steiermark), auf Hohlräumen im Basalt BB XXVII *253*
Natrolithphonolith, Aussig (Böhmen), mit Flußspat . . . . . CBl 1908 *673*
Natronaugit in Silikatschmelzen . . BB XXII *198. 245*
Natronkalisimonyit in ozeanischen Steinsalzablagerungen . . 1905 I 192
Natronleucit
— Umwandlung . . . 07 I 203
— siehe auch Pseudoleucit.
Natronrichterit, Grönland, westl. Nord-, im Amphibolit . . . . . 07 I 246
Natronsalpeter
— Kristallisation . . . CBl 1905 *491*
— — aus Lösungen . . CBl 1906 *157*
— Plastizität . . . . . 05 I 24
— siehe auch Salpeter und Nitrate.
Natron-Salzsee, Aegypten, Steinsalz . . . CBl 1906 *772*
Natrontal, Aegypten, Geologie . . . . . 06 II 422
Naturbrücken. Entstehung 07 I 224
Naturerscheinungen, Zweck . . . . . CBl 1906 *189*
Nauders, Geologie des Inntals . . . . . 08 I 255
Naumburg a. S., oberste Saaleterrasse . . . CBl 1906 *678*
Nauroditschiefer (Naurodit), Taunus . . . . 07 I 229
Nautiliden, Lias und Dogger . . . . . 07 I 324
Nautilinae, Lias und Dogger . . . . . 07 I 325
Nautilites, Lias und Dogger . . . . . 07 I 324
Nautiloidea, Trias, Amerika . . . . . 06 II 307
Nautilus, Grenzdolomit, Schwaben . . . . . BB XXV *115*
— jüngeres Paläozoicum BB XXV *321*
— bisulcatus u. Ennianus. ob. Jura, Somaliland . . . . . 06 I 281
— broitzemensis, Untersenon, Braunschweig 07 I 483
— culmiensis, Oberkulmgrauwacke, Adlersberg b. Wildemann, Oberharz . . . . . 08 I *145*
— Gabbi, Kreide, Kalifornien . . . . . 06 I 288

Nautilus Hilli, Buda limestone, Kreide, Nordamerika . . . . . 1906 I 309
— hunicus, Chitichun-Klippe, Zentral Himalaya, Perm . . . . 05 II 278
— imbricatus, occlusus, ovoideus und striaticostatus, Kreide, Zululand . . . . . 07 II 305
— cf. inflatus, Kimmeridge, argent. Kordillere . . . . . BB XXIII *188*
— manuanensis, Kreide, Natal . . . . . 07 II 305
— occidentalis u. Winslowi, Perm, Texas . CBl 1908 *687*
— Pavlowi, Palaeocen, Saratow . . . . . 05 II 121
— primoriensis, Muschelkalk, Boljevici b. Vir, Montenegro . . . . 05 II 140
— pseudoelegans, Neocom, Sardinien . . BB XXIII *468*
Nautilus-Schnäbel . . 1908 I 301 303
Nayadochelys ingravata, Nordamerika . . . . 09 I 452
Neaera aegyptiaca, Blättermergel v. Theben 06 II 122
Neandertal Mensch 1905 II 301. 302 06 II 273
Neanites californicus, Subbullatus-Schichten, Amerika . . . 06 II 306
Nebraska-Wyoming siehe Wyoming-Nebraska.
Necrocarcinus bispinosus und insignis, oberste Kreide, Schonen . . 06 II 141
Necrodasypus Galliae, Eocän, Phosphorite v. Quercy . . . . . 07 I 462
Necrolemur, Beschreibung . . . . . 06 II 443
— Osteologie u. systematische Stellung . Festband *197*
— amerik. Eocän . . . 05 I 335
Necrolestes patagonensis, Tertiär, Patagonien . . . . . 07 II 320
Necromanis Quercyi, Eocän, Quercy . . . . 07 I 463
Nectandra imperfecta, Kreide, New York . 08 I 456
Nectosaurus, Osteologie 09 I 448
Nehdener Schiefer, Enkeberg b. Brilon . . BB XXVI *574*
Nehring's Steppenhypothese und Quartärfaunen des nördl. Harzvorlands CBl 1909 *87. 317. 385*
Neithea almusana und Böckhi, Hypersenon, Peterwardeiner Gebirge . . . . . 1906 II 268
Nekrolog, Karl Klein CBl 1907 *641*
Nelumbium palaeocenicum, unt. Eocän, Paris 09 II 157
Nelumbo primaeva, Matawan-Formation, New Jersey . . . . . 07 I 494
Nemalith, Lysogorsk, Gouv. Jelisawetstol 07 II 182
Nematherium, Santa Cruz beds, Patagonien . . 06 I 464
Német-Gladna, Ungarn, Geologie . . . . . 07 I 274
Nemolestes, Kreide, Patagonien . . . . . 05 I 169
Nenndorf a. Deister, Gebirgsbau u. Quellenverhältnisse . . . . 06 II 412
Neocalamites (Schizoneura) Carrerei, hoerensis und Meriani, Mesozoicum, Schweden . . . . . 09 I 150
Neocom, Norddeutschland, Gliederung CBl 1908 *107. 140. 162. 753*
— Kaltenleutgeben . . 05 II 429
— Languedoc u. rechtes Rhône-Ufer . . . . 06 I 110
— nördl. Ural . . . . 07 II 449
— siehe auch Kreide.
Neocomites americanus, ovalis, patagoniensis, Steinmanni u. Wilkensi, untere Kreide, Patagonien . . . . BB XXV *613*
Neogen, Suchum-Distr., SW.-Kaukasus . . 06 I 432
Neohipparion dolichops, gratum und niobrarense, Miocän, Süddakota . . . . . 08 I 130
— lenticularis, Obermiocän, NW.-Texas . . 05 II 440
— Whitneyi, Obermiocän, Little White River, Süddakota . 05 II 468

Neolith. Fauna, Mittelrhein . . . . . 1906 II 440
Neolobites Choffati und Peroni, Kreide . . . 07 II 151
— Peroni, Cenoman, Aegypten . . . . . 05 II 285
Neon in Thermen . . . 08 I 365
Neopithecini, amerik. Eocän . . . . . 05 I 329
Neoptychites crassus u. telingaeformis, Mungokalk, Kamerun . 05 I 153
Neoreomys, Tertiär, Patagonien . . . . 1907 II 322 325
Neoschwagerina . . . BB XXVII *506*
— syst. Stellung und N. craticulifera . . 07 I 331
Neosqualodon, Gebiß . . 06 II 294
— assenzae, Mittelmiocän, Scicli b. Modica, Sicilien . . . . . 07 I 138
Nephacodus, Kreide, Patagonien . . . . . 05 I 168
Nephelin
— Baryum- u. Strontium 05 I 377
— — — künstlich . . 05 I 377
— chem. Konstitution . 09 I 9
— Schmelzpunkt . . . 07 II 172
— in Silikatschmelzen BB XXII *207*
— durch Zusammenschmelzen . . . . . 09 I 183
— zusammengeschmolzen mit Albit . . . BB XXV *268*
— — mit Albit u. Olivin BB XXV *267*
— — mit Diopsid . . BB XXIII *52*
— — mit Diopsid und Olivin . . . . . BB XXIII *61*
— Katzenbuckel, Pseudom. von Analcim nach Nephelin . . . 08 II 351
— Skritin, Ausscheidling im Tinguáitporphyr . . . . . 08 I 187
— Vesuv, Kristall. . BB XXIII *313*
— siehe auch Eläolith.
Nephelinaugitpegmatit, Coulmore, Grafsch. Ross, Nord-Schottland . . . . . BB XXII *423*
Nephelinaugitporphyr, Katzenbuckel . . . 08 II 352
Nephelinbasalt
— Argentinien . . . . BB XXII *618*
— bad. Oberland . . . 06 II 61
— Eisenrüttel, schwäb. Alb . . . . . 06 II 205
Nephelinbasalt
— Karolinen . . . . . 1905 II 74
— Neu-Süd-Wales . 1907 I 396. 401
— Schwarzbrunn, östl. Gablonza a. N., Salbandbildung a. Gang 08 II 190
— Tasmanien, Sandy-Bay b. Hobart . . . 08 I 394
— — Shannon Tier b. Hobart, mit Eudyalit 08 I 393
— siehe auch Basalt.
Nephelinborolanit. Camas Eilean Ghlais, Rossshire, Nord-Schottland . . . . . BB XXII *443*
Nephelindolerit, Katzenbuckel (Michelsberg) 08 II 353
Nephelinergußgesteine, Tepler Hochland . . 09 II 222
Nephelin-Eudialyt-Basalt, Tasmanien, Shannon Tier bei Hobart . . . . . 08 I 393
Nephelinglimmerporphyr, Katzenbuckel . 1908 II 353. 354
Nephelingneis, Cevadaes, Portugal . . . . . 07 II *109*
Nephelinit
— Tasmanien, Regatta Point, monchiquitischer . . . . . 08 I 392
— Tepler Hochland . . 06 II 356
Nephelinporphyr, Kuolajärvi, Finnland . . 07 II 69
Nephelinrhombenporphyr, Kilimandscharo 07 II 411
Nephelinsyenit
— Angola . . . . . 05 II 76
— Buschveldin, Transvaal . . . . . 06 I 68
— Cuoc-na-Sroine, Nord-Schottland . . . . BB XXII *421*
— Dungannon, Ost-Ontario . . . . . 05 II 395
— Julianehaab, Grönl., Erikit u. Schizolith 1905 II 185. 190
— Los-Archipel, Guinea 1907 II 414 08 I 226
— Tasmanien, Regatta Point . . . . . 08 I 389
— Wisconsin, nördl. . 09 I 227
— u. Monzonit, Tahiti 06 I 71
Nephelinsyenitporphyr Monzoni u. Predazzo, chem. Zusammensetzung . . . . . 06 I 65

Nephelinsyenitporphyr Red Hill, Moultonboro, N.H. . . . . 1909 II 388
Nephrit
— Heber R. Bishop, großes Werk . . . CBl 1906 249
— — New York, Sammlung . . . . . 05 I 29
— Pfahlbauten, Markasit-Patina . . . . . 06 II 334
— Australien, Brasilien, Celebes, Neuguinea u. Südtirol . . . . 05 I 28
— Baytinga, Bahia, Brasilien . . . . . 06 I 25
— Bodensee, Pfahlbauten 08 I 188
— Graz, großes Geschiebe im Murschotter . . . . . CBl 1909 *686*
— Gulbachen, geologische Deutung . . . F.B. *159*
— Ligurien, Entstehung 09 I 188
— — Vorkommen 1908 I 189 08 II 204
Nepouit, Nepoui . . . . 08 II 313
Neptunea Burrowsii, Tertiär, Ormara Kap, Mekran-Küste, Beludschistan . . . . 06 I 118
Neptunit
— Kalifornien, San Benito River (Carlosit) 08 II 302
— — — Kristalle . . 09 II 24
— Narsarsuk, Grönland, Kristallformen . . . 06 I 167
Neptunus arabicus, ? Pliocän, Arabische Küste 06 II 139
Nereitenschichten. Mitteldevon, Ostthüringen BB XXIV *255*
Nerinea aivaruensis, Bathonien, Sardinien BB XXIII *462*
— Burckhardti (Plesioptygmatis), Senon, Cardenas, Mexiko . 08 I 102
— Doncieuxi, Cenoman, Südfrankreich . . . 07 II 132
— dorgalensis, gymnocheila. pseudospeciosa und quinqueplicata, Tithon, Sardinien BB XXIII *464*
— kubanensis, Kaukasus 08 II 81
— Maroni, pauciplicata und Sesostris, Glandarienkalk, Syrien . 06 I 279
Nerineen des Jura, Yonne-Département 06 I 317
Nerinella, Jura, Yonne-Département . . . 1906 I 318
Nerita costellata = grossa = sulcosa, schwäbische Meeresmolasse . . . . . CBl 1905 *720*
— cyriensis u. Grossouvrei, Santonien, Frankreich . . . . . 06 I 319
— gemmata, Hypersenon, Peterwardeiner Gebirge . . . . . 06 II 267
— granulata u. spinosa, ob. Kreide, Alvincz . 05 I 302
— kaffraria u. umzambiensis, Kreide, Pondoland . . . . . 07 II 306
— litoralis, Glandarienkalk, Syrien . . . . 06 I 279
— Sadebecki, ob. Jura, Pommern . . . . . 06 II 102
Neritaria pulla, Grenzdolomit, Schwaben . BB XXV *107*
Neritiden, Grenzdolomit, Schwaben . . . . . BB XXV *110*
Neritina (Theodosius) Adelae mit var. candida, rosea, violacea u. Gizelae mit var. candida, rosea, violacea, Quartär, Bischofsbad bei Großwardein, Quartär . . . . . 07 II 153
— bizonata, extensa, glaucescens und leobersdorfensis, Congerienfauna, Leobersdorf . . . . . 06 I 113
— cenomanensis, Cenoman, Südfrankreich . 07 II 131
— Lóczyana, Hypersenon, Peterwardeiner Gebirge . . . . 06 II 267
— petasata und unguiculata, neog. Eisenerze, Suchum-Distr., NW.-Kaukasus . . 06 I 433
— primordialis, Cenoman, Südfrankreich 07 II 132
Neritoma (?) occidentalis, Jura, Black Hills . . . . . 08 I 264
Neritopsis Abbatei, Campanien, Aegypten . 05 II 285
— Pellati, Kreide, Orgon (Bouches-du-Rhône) 06 I 318

Nernst'sches Löslichkeitsgesetz b. Silikatschmelzflüssen . . . BB XXIII *79*
Nesodon
— Patagonien, Extremitäten . . . . . 1907 II 138
— Zahnsystem . . . . 05 II 454
Nesodonschichten, Tertiär, Patagonien . . BB XXI *174*
Nesopithecus australis u. Robertsi, Madagaskar . . . . . 06 II 446
Nesselberg am Deister, Geologie . . . . . 07 I 418
Netz der Nummuliten . 08 I 139
Neu-Bamberg, Pfalz, Geologie . . . . . 07 I 266
Neu-England, Geologie des südwestlichen . 05 II 105
Neuewelt b. Basel, Alter d. pflanzenführenden Schichten im Keuper CBl 1906 *1*
Neuffen, Wärmezunahme im Bohrloch . . . 1906 II 47. 48
Neu-Guinea, Kreide . . 07 I *129*
Neu-Guinea, Niederl., Geologie . . . . . BB XXII *393*
Neu-Hebriden, Geologie 07 II 271
Neu-Kaledonien
— Eocän . . . . . 07 I 114
— Erzlagerstätten . . 07 II 249
— Geologie . . . . . 05 II 273
— untere Kreide . . . 06 I 294
Neumann, Franz, Lebensbild . . . . . CBl 1904 410
Neumarkt (Oberpfalz), Doggerprofile . . . 05 I *60*
Neumayria, Bedeutung 06 I 316
— Ordoñezi u. profulgens 07 II 469
— — profulgens u. subrasilis, Jura, Sierra de Mazapil u. Santa Rosa . . . . . 07 I 279
— pseudooolithica und Zitteli, Kimmeridge-Portland, argent. Kordillere . . . . . BB XXIII *199*
— subrasilis . . . . . 07 II 470
Neumayr's Stellung in der Paläontologie . . CBl 1907 *464*
Neurankylus eximius, Belly river series, Red Deer river, Nordamerika . . . . . 07 I 439
Neurode, Gabbrozug . . 08 II 189
1909 I 58 BB XXVI *433*
Neurodontopteris Kosmanni und obliqua, Carbon, Vorkommen 1909 II 492
Neuropteris, Oberdevon, Ostthüringen . . BB XXIV *272*
— heterophylla u. tenuifolia, Carbon, Vorkommen . . . . . 09 II 492
Neuseeland
— Formationen . . . . 06 I 436
— Fossilien v. Wharekuri, Nord-Otago . 09 I 104
— Geologie nach Heim 06 II 424
— — von Dunedin (Südinsel) . . . . . 08 I 229
— — v. Dunedin, North Head, Waikuati Inlet 05 II 421
— — u. Gesteine der Otago-Halbinsel . . 08 I 229
— geolog. Landesanstalt 09 II 207
— — paläontolog. und petrograph. Literatur b. z. Jahr 1907 . 1909 II 265. 433
— Gesteine . . . . . 07 I 395
— jurassische Maitai-Schichten d. Südinsel 05 II 275
— Kohlenfelder . . . . 05 II 277
— marines Tertiär, Otago u. Canterbury 06 I 433
— Mesozoicum von Nelson etc. (Nordinsel) . 05 II 418
— nutzbare Mineralien 08 I 399
— Permocarbon, Mount Mary, Otago, Südinsel 05 II 423
— Staubfälle 1902 . . 05 I 406
— Sunde, Seen u. Cañons, Produkte der Eiszeit 08 II 340
— Überreste ausgestorbener Vögel . . . . 09 I 130
— Vulkane d. Nordinsel 07 I 220
Neusiedler See, Geologie und Wasser, event. Trockenlegung . . . 05 II 122
Neu-Süd-Wales
— Geologie u. Gesteine 07 I 397 ff.
— — von Neuengland . 07 I 402
— Kreide, Invertebraten 05 I 318
Neuvorpommern u. Rügen, Uckermark u. Mecklenburg, Quartärbildungen . . . . . 08 I 96 ff.
Nevada, marine Trias . 06 II 99
Nevado di Toluca, Staukuppen . . . . . Festband *321*
Newark-System, Ausdehnung . . . . . 06 I 268

Newtoniella diplophymata, Eocän, Paris . 1907 II 303
Newtonit . . . . . CBl 1909 *332*
New York
— Bewegungen des Landes . . . . . 07 I 51
— Devon . . . . . 05 I 289
— Geol. d. östlichen . 05 II 413
— — d. Schoharie-Tales 07 I 108
— Naples Fauna im westlichen . . . . . 05 I 148
Niagara-Dolomite, Indiana, Jakbrink . . 05 II 104
Niagara-Domes, Nord-Indiana, Geologie . 05 II 475
Niagarafall
— Geol. der Umgegend 06 I 259
— Rückschreiten . . . 09 II 210
Niagara-Fluß, Bildung . 06 I 260
Nicaragua, Erdbebenserie von Masaya, 1.—5 Januar 1906 . CCl 1906 *257*
Nickelblüte
— Kristallform . . . . CBl 1906 *198*
— Markirch . . . . . 09 I 25
Nickelchlorid, Kristallform, Deformationen u optisch . . . . . 06 I *92*
Nickeleisen
— Fraser, Britisch-Columbia (Sonesit) . . 06 II 155
— Josephine Co, Oregon u. South Fork, Smith River, Del Norte Co, Kalifornien (Awaruit) 06 II 155
— im Meteoreisen . . 05 I *123*
— Meteoreisen v. Youndegin u. Meteorstein v. Zomba, $Fe_5 Ni_3$. 09 II 185
— Orot-Fluß, Sibirien . 09 I 353
Nickeleisenlegierungen . 06 II 157
— $Fe_5 Ni_3$ in Meteoriten, Youndegin u. Zomba CBl 1908 731
— Nickelferrit im Eisen 05 I *127*
Nickelerze
— Sudbury-Distrikt, Canada . 1906 II 181; 09 II 387
— Sudbury, Beziehg. zu Kupfererz . . . . . 08 I 81
Nickelerzlagerstätte
— Schweden (Slättberg u. Kuso) . . . . . 05 I 98
— Sohland a. Spree . 1905 I 94. 98
Nickelglanz, s. Millerit.
Nickelgymnit . . . . . CBl 1909 *331*
— Zusammensetzung . 08 II 32
Nickelhaltige Sulfidlager, Sudbury, Kanada . . 1909 II 387
Nickelit-Siderite = Superlacunite . . . . . 05 I *148*
Nickelsmaragd, Werchne Dnjeprowsk auf Meteoreisen . . . . . 05 I 398
Nickelstahl, Struktur . 06 II 157
Nickelsulfid, künstlich, Schmelzpunkt . . . 09 II 183
Nicklesia alcantensis u. lenticulata, Kreide . 07 II 150
Nicol, Justierung am Mikroskop . . . . 08 II 145
Niederfellabrunn, Tithonklippen . . . . . 06 I 439
Niedergebiete, tektonische . . . . . CBl 1909 *277*
Niederländisch-Indien
— Geologie . . CBl 1909 *356. 563*
— — des östlichen . . 09 I 243
— Jura . . . . . 07 II 447
Niederösterreich, Mineralien CBl 1909 *397. 439. 689. 710*
Niederrhein, Lias u Rhät 07 I 414
Niederschlag von Au, Ag u. Cu aus Lösungen 08 II 8
Niesenkette, Schweiz, Alter . . . . . 09 I 401
Nilkatarakt bei Assuan, Strudellöcher . . . 05 I 409
Nilssonia, Schweden . . 09 II 154
— fallax und pumila, Schweden . . . . . 09 II 155
— Inouyei, Rhät, Nagato, Japan . . . . . 07 II 341
— nigracollensis, Dakota-Formation, Blackhills . . . . . 07 II 505
— orientalis var. minor 07 II 503
— sambucensis u. Stantoni, Kreide, Queen Charlotte Islands . . 07 II 504
— Sturi = Pterophyllum irregulare, Lunzer Schichten . . . 09 II 156
Niobate, Südnorwegen, Granitpegmatitgänge 08 I 336
Niobit
— Little Tree Mine, Kalifornien . . . . 08 II 38
— Norwegen, Granitpegmatitgänge des südlichen . . . . . 08 I 343
Nipponites, Kreide, Hokkaidō, Japan . . . 05 I 531

Nisopsis fluviatilis, Cenoman, Südfrankreich 1907 II 131
Niti, Cephalopoden 1905 II 319. 320
Nitrat
— Vorkommen in Kalisalzlagerstätten . . 09 II 186
— u. Chlorat v. Kalium, Isomorphismus . . . 08 I 318
Nitrate
— der Alkalien, Isomorphismus u. Polymorphismus . . . . 06 II 164
— — Modifikationen u. Isodimorphismus . . 06 II 318
— von Am, Tl u. Cs, Mischkristalle beim Schmelzen . . . . . 09 I 163
— von Pb u. Ba, Isomorphismus . . . . 08 II 171
— Polymorphismus . . 05 I 12
Nitratgehalt der Kalisalzlagerstätten . . 09 II 186
Nitrifikation im Boden . 08 II 186
Niveauänderungen bei Acicastello . . . . . 06 II 349
Niveauschwankungen
— positive od. negative an den Küsten BB XXVIII *574*
— Algerien . . . . . 07 II 396
— Neu-Seeland u. Australien, des Meeres 07 II 45
— Nordseeküste siehe Nordseeküste.
Niveauveränderungen d. Meeresbodens . . . BB XXV *387*
Nizza, Pliocän, marin. Quartär u. Strandlinien . . . . . 05 II 289
Nodosaria, Revision von D'Orbigny's Spezies 08 I 309
— ambigua, calomorpha, inarticulata u. proxima var. non-costata, Globigerinenmergel, Bahna, rumän. Karpathen . . . . . 09 II *143*
— Kinkelini, Rupelton, Mainzer Becken . 09 II 324
Nodosariden, Tertiär, Trinidad, Phylogenie 05 II 489
Nodosarien-Habitus, Entwicklungsreihen 05 II 155
Nodosen, Abstammung u. Ceratites antecedens CBl 1907 *528*
Nokutusvara, Eisenerzlagerstätte, Lappland BB XXIV *548*
Nomadisierende Schubmassen, Ostalpen . . 1908 II 395
Nomenklatur, petrograph. der Amphibolgesteine der krist. Schiefer . CBl 1905 *407*
— trinomiale, bei Petrefakten . . . . . 09 II 312
Nomismoceras Smithii, Perm, Lililinthi, Central-Himalaya . . . 05 II 280
Nonionina, Globigerinenmergel, Bahna, rumän. Karpathen . . 09 II *150*
— polystomelliformis, Rupelton, Mainzer Becken . . . . . 09 II 325
Nontronit, Concepcion del Oro, Mexiko, aus Wollastonit durch Einwirkung v. Eisensulfatlösung . . . . CBl 1909 *161*
Nordamerika
— Bohrproben u. -Profile 1904 . . . . . 09 II 378
— foss. Säugetiere, Fortschritte . . . . . 07 I 454
— Hölzer d. westlichen Verein. Staaten . . 09 I 149
— Humboldt Range u. Nachbargebirge, Geol. 06 II 96
— Jurapflanzen . . . . 07 II 501
— Kreide, Buda limestone 06 I 308
— Kreidepflanzen des nordöstlichen . . . 08 I 454
— marine Trias i. westlichen . . . . . 06 II 98
— Mineralproduktion 1903 1905 II 22. 29. 32. 35. 36
— miocäne Pferde . . 05 II 468
— Molybdän- u. Wolframhalt. Mineralien, Produktion . . . . 06 I 355
— Nordkarolina, Gesteine . . . . . 1906 II 216. 218
— praktische Geologie. 08 II 376
— Quecksilber, Produktion 1903 . . . . . 06 I 356
— Schieferindustrie . . 08 II 377
— Schwefel, Schwefelkies u. Magnetkies, Produktion 1903 . . 06 I 328
— Strukturlinien d. atlant. Küstenregion . 07 I 378
— Tertiär v. Wyoming, Montana u. Canada, verglichen . . . . . 05 II 429

Nordamerika
— Tone der Vereinigten Staaten . . . . 1906 I 239. 240
— Triasflora . . . 1907 II 499. 502
— Wirbeltiere, Uebersicht . . . . . 1905 II 298
— — u. Pflanzen, Belly river series u. Judith river beds, im westlichen . . . . . 07 I 440
Nordatlant. Ocean, Sedimente, Tier- und Pflanzenwelt . . . . 05 I 424
Nordcarolina, Gesteine 1906 II 216. 218
Norddeutschland
— Braunkohle . . . . CBl 1908 *152*
— Facettengeschiebe im Diluvium von Rügen 06 I *71*
— Gliederung d. unteren Kreide CBl 1908 *107. 140. 162. 211. 753*
— Jura, ob. Lias u. unt. Dogger . . . . BB XXVIII *286*
Nordfriesische Tuuls, Entstehung . . . . 05 I *15*
Nordmarkit
— Ampasindava (Madagascar) . . . . . 05 I 435
— Brome Mountain, Monteregian Hills, Quebec . . . . . 07 I 240
— Kristiania, Kontaktbildung . . . . . CBl 1909 *405*
— Monteregian Hills, Quebec . 1907 I 240 09 I 68
— Red Hill, Moultonboro, N H. . . . . 09 II 388
Nordmarkitporphyr, Diluvium, Westfalen . CBl 1907 *177*
Nordseeküste, Senkungserscheinungen 1908 II 99; 09 I 109
Norische Stufe, westl. Amerika . . . . . 08 I 260
Norit
— Connecticut, Cortlandt Series . . . . 08 I 72
— Lausitzer Granitgebiet 08 I 56
— Penmaenmawr (Wales), Quarz-, u. seine Schlierenbildung . . 05 I *93*
— St. David's Head, Wales . . . . . 06 II 211
— Skye . . . . . 06 II 65
— Sudbury, Beziehg. zu Magnetkies . . . . 08 I 81
Norit, Ural, nördlicher . 1906 I 387
Northampton, Austr., Blei- und Kupfererzlagerstätten . . . . 05 I 442
Northupit
— Beziehg. zu Tychit . 06 II 162
— Isomorphismus mit Tychit . . . . . 08 II 172
Norwegen
— Erdbeben 1903 . . . 04 I 53
— — 1904 . . . . . 06 I 202
Nosean-Melilithbasalt, Grabenstetten . . . 06 II 205
Noseantrachyt, Sudan . 06 I 391
Notamynus Dicksoni u. Holdichi, Kreide, Lago Musters, Patagonien 05 I 497
Nothosauride, Kössener Schichten . . . . . CBl 1907 *337*
Nothothyris uralica, Obercarbon, Ural und Timan . . . . . 05 I 533
Nothrotherium? shastense, Kohlen-Diluvium von Potter Creek, Kalifornien . . . . . 07 I 299
Notidanus diffusidens u. paucidens, untermediterr. Sandstein, Tarnócz, Kom. Nógrád . 05 II 479
— griseus, Pliocän . . 05 II 315
— subrecurvus, Malan, Brünn . . . . . 08 I 422
Notocyon annectens . . 07 II 489
Notohippidae, Kreide, Patagonien . . . . 05 I 167
Notohippus-Schichten, Tertiär, Patagonien BB XXI *174*
Notohyrax, Kreide, Patagonien . . . . . 05 I 167
Notopithecidae, Kreide, Patagonien . . . . 05 I 167
Notorrhina granulicollis, balt. Bernstein . . . 07 I 323
Notorhinus denticulatus und Haroldi, Kreide, Lago Musters, Patagonien . . . . . 05 I 497
Notostylopidae, Notostylops, Kreide, Patagonien . . . . . 05 I 168
Notostylops-Fauna, Patagonien . . . . . 05 I 138
Notostylopsschichten, Kreide, Patagonien 1905 I 170 07 II 142

Nototothyris nucleolus, ob. Carbon, Kukurtuk-Tal, sdl. Tian-Schan BB XXII *359*
— Walkeri, Perm, Chitichun-Klippe, Central-Himalaya . . . . . 1905 II 278
Notoungulata, Patagonien, Kreide u. unt. Tertiär . . . . . 05 I 497
— Südamerika . . . . 05 I 172
Novanglian, Belknap Mts., New Hampshire . . 08 I 384
Novigrad-Benkovac, Dalmatien, Geologie . . 05 I 454
Nubecularia caespitosa, stockbildend, sarmat. Stufe, Wolfsthal bei Preßburg . . . . . 06 II 310
Nubischer Sandstein . . CBl 1905 *359*
— — Oberägypten . . CBl 1905 *115*
— — Ostafrika . BB XXVIII *153*
Nucinella Pissaroi, Eocän, Loire inférieure 06 I 154
Nucula appenninica und simplex, Lias, Zentralapennin . . . . 06 II 145
— cillebergensis . . . 07 II 453
— coislinensis, Eocän, Loire inférieure . . 06 I 154
— gibbosa, Culm, Königsberg b. Gießen BB XXVIII *638*
— indica, Saltrange . . 09 I *12*
— inflata, Koeneni, Krischtafowitschi u. triangula, Palaeocen, Saratow . . . . . 05 II 121
— Michalskii, Tertiär, Mandrikowka . . . 06 I 468
— Perkeo, ? Eocän, Kamerun . . . . . 06 II 123
— Ristorii, Werfener Schichten, Bucieri, Montenegro . . . . 05 II 108
— securicula, Eocän, Loire inférieure . . 06 I 155
— subcancellata, Kreide, Schaumburg-Lippe . 06 I 441
— subcornuta, Devon, Ostthüringen . . BB XXIV *293*
— cf. taliabutica, Suluinseln . . . . . 05 I 151
Nuculana securis, Unterdevon, Dalhousie . . 08 I 414
Nucultes Branneri und capensis, Devon, Bolivia . . . . . BB XXV *525*
Nürschan, Alter der Gaskohle . . . . . 1908 II 266
Numeit
— in Form eines Insekts . . . . . 05 I 365
— Neu-Caledonien, Körner im eocänen Sandstein . . . . . 07 I 32
Nummulina pristina = Nummulites variolarius . . . . . 08 I 140
Nummulinidae, System . 05 II 329
Nummuliten
— abnorme Erscheinungen . . . . . 09 I 136
— Abstammung . . . BB XXV *250*
— Auftreten in Westeuropa . . . . . 07 I 159
— Dimorphismus . . . 07 I 329
— Einteilung . . . . 08 II 286
— genetzte . . . . . 08 I 139
— neue Skala . . . . 05 II 156
— Verbesserung der Nomenklatur . . . . . 09 II 486
— Zusammenvorkommen mit miocän. Lepidocyclinen (L. Morgani) 07 I 159
— Aniene-Tal . . . . 08 II 287
— Apennin, Forca di Presta und Potenza, Einteilung . . . . 05 II 326
— Apennin, liguro-piemontesischer . . . . 08 II 286
— Appennino Pavese . 06 I 156
— Biarritz, Tertiär . . 06 II 311
— Borneo . 1907 I 161 08 II 288
— Colli Berici . . . . 07 II 159
— England, Dimorphismus etc. . . . . 07 I 329
— Indien, Vorkommen 08 II 291
— Oesterreich . . . . 05 II 156
— Osteuropa . . . . . 09 II 486
— Piemont . . . . 1907 II 159, 160
— Piemont, Turin . . 08 II 288
— Termini-Imerese, Casacaco . . . . . 09 II 144
— Vernitza am Golf von Xeros, Eocän . . . 05 II 489
— Westeuropa . . . . 07 II 158
Nummulitenbildungen, südwestl. Frankreich 05 I 131
Nummulitenfauna, Scaglia, Zentralapennin . 06 I 156
Nummulitenfaunen, Biarritz, Aufeinanderfolge . . . . . 08 II 405

Nummulitenhorizonte, belgisch-französisches Becken . . . . . 1906 I 114
Nummulitenkalk
— Balkanhalbinsel, südwestliche . . . . . BB XXI *249*
— Florenz . . . . . 09 I 137
— Provinz Palermo . 07 II 496
Nummulitenschichten
— Alpen . . . . . 09 I 108
— Apulien . . . . . 08 I 448
— Biarritz und Senegal 05 II 288
— — und Vicentin . . 08 I 434
— franz. Südalpen . . 08 I 433
— Termini-Imerese . . 09 I 295
Nummulitenzonen, österreichisches Küstengebiet . . . . . 06 I 258
Nummulites aturica, perforata u. spissa . . 05 II 155
— Baldaccii, Carapazzai u. Dollfusi, Vallone Tre Pietre . . . . 09 I 296
— curvispira, Untereinteilung . . . . . 05 II 159
— Douvillei, Kachh, Indien . . . . . 08 II 291
— Fabianii, Priabona . 08 I 138
— Hantkenia = Paronaea . . . . . 05 II 155
— laevigatus, stratigraph. Bedeutung . 08 II 91
— — Frankreich, stratigraph. Bedeutung . 09 II 485
— Ramondi = N. Guettardi . . . . . 09 II 486
— sub-Formai, Osimoi u. sub-Osimoi, Preveri u. sub-Preveri, Borneo . . . . . 08 II 288
— subsicula, Eocän, Casacasco . . . . . 09 II 144
— Tchihatscheffi = latispira . . . . . 05 II 155
— Vredenburgi, Kachh 09 I 142
Nummulitidae D'Orbigny 1826 . . . . . 06 II 310
— Systematik . . . . 08 I 307
Nummulitinae . . . . 08 II 286
Nummulitinen, Borneo . 09 II 489
Nummulostegina . . . BB XXV *252*
— Carbon, Dalmatien . 07 II 339
— velebitana, österreich. Velebit . . . . . 08 II 289
Nurra, Sardinien, Mesozoicum . BB XXIII *445. 453. 457*
Nusplingen, Ganoiden u. Teleostier des lith. Kalkes . . . . . 1909 I 452
Nyctodactylus (Nyctosaurus), ob. Kreide, Nordamerika . . . 1905 I 518. 520
Nyctosaurinae u. Nyctosaurus, Nordamerika 1905 I 518. 520
Nyctosaurus, Hand . . CBl 1906 *411*
Nymälaporphyr, Diluvium, Westfalen . . CBl 1907 *173*
Nymphaea, Marini, unt. Eocän, Paris . . . 09 II 157
Nymphaeites nupharoides, Sparnacien, Paris 09 II 157

O.

Oak Hill-Gebiet, Kalifornien, krist. Gesteine . . . . . 09 II 386
Oamaru- und Pareoraseries, Tertiär, Neuseeland . . . . . 06 I 433
Ober-Buchfeld (Oberpfalz), Doggerprofil . . . 05 I *74*
Oberer See, siehe Lake Superior.
Oberflächenwasser, New Haven, radioaktives Gas . . . . . 05 I 418
Oberharz, Gangbilder . CBl 1907 550
Oberleinleiter, vulkan. Erscheinungen . . . 07 I 375
Ober-Mölltal, Kärnten, Geologie . . . . . 08 II 358
Oberösterreich, Mineralien . . . . . 05 I 40
Oberschlesien, Erzlagerstätten im Muschelkalk . . . . . 06 II 74
Oberschwaben, Tertiär . 05 I 304
Obsidian
— Chemismus u. Brechungskoeffizient . . . 08 I 54
— Kaukasus . . . . . 06 I 389
— Lipari, Entglasung . 09 I 366
— Marianen, Augitandesit . . . . . 05 II 75
Obsidianstrom, Pauline Lake, Oregon . . . 05 II 396
Ocean Island, Südsee, Geol., Phosphate etc. 05 II 425
Ochetoceras canaliculatoide, Jura, Moskau etc. 05 I 131

Ockerkalk
— Kemberg b. Wittenberg, quartär . . . 1909 II 107
— Ostthüringen, Silur BB XXIV *248*
Ocotea nassauensis, Kreide. New York . 08 I 456
Ocoteoxylon algovicum, Flyschsandstein, Algäu 09 I 468
Ocstocephalus, Linton . 08 II 272
Octodontidae, Tertiär, Patagonien . . . . 07 II 322
Odenwald
— Gesteine CBl 1906 *689. 737. 761* CBl 1907 *65. 116*
— granitische Injektion in Schiefer . . . . 06 II 58
— Oberflächengestaltung 09 I 199
— Trachyte d. nördlichsten . . . . . 07 I 57
Oderbank nördl. Swinemünde 1905 II 293 1907 II 50
Odinit, Odenwald . . . CBl 1907 *123*
Odontaspis macrota, siehe Lamna macrota.
Odontoceten, Boldérien, Antwerpen . . . . 07 I 130
Odontochile, Devon, Ostthüringen . . . . BB XXIV *307*
Odontomysopidae, Notostylops Schichten, Argentinien . . . . . 05 I 157
— und Odontomysops, Kreide, Patagonien . 05 I 169
Odontopteris Brownii, Rhät, Südafrika . . 08 I 454
— minor, Carbon, Vorkommen . . . . . 09 II 492
— thinnfeldioides, Saarbrücker Schichten . 09 I 303
Odontostoma Kocksi u. Koeneni, mittelolig. Meeressand, Waldböckelheim u. Kreuznach . . . . . 07 II 335
— namnetensis, Eocän, Loire inférieure . . 07 II 302
— undiferum var. laevior, Palaeocän, Rugaard. Kattegat . . 08 II 103
Odontostomia microscopica, Eocän, Paris . 07 II 303
Odynerus palaeophilus u. praesepultus, Tertiär, Florissant, Col. . . 07 I 321
Oecoptychius refractus, Kelloway, Macon . 06 I 315
Oecotraustes binodosus, Jura, Bucegi-Stock . 1906 II 121
Ödemmetamorphose und Nephritbildung, Ligurien . . . . . 09 I 189
Oedischia ingbertensis, Hauptflözgruppe der Steinkohlenformation, St. Ingbert, Pfalz . 06 I 104
Ögmundarhraun, Vulkan, Island . . . . . BB XXVI *2*
Oehrnit, Daschkessan, Kaukasus . . . . . 07 II 183
Oelfelder
— Lothian-Grafschaft . 05 I 443
— Texas u. Louisiana, Gulf Coastal Plain . 06 II 383
— siehe auch Erdöl.
— u. -quellen, siehe auch Erdöl.
Oelquellen, radioaktive Emanation . . . . 05 II 343
Oelsaures Ammonium, flüssige Kristalle . . 09 I 6
Oelschiefer
— Vanadiumgehalt . . 07 I 411
— Lothian (Schottland) 05 I 442
— Natal . . . . . 07 I 85
Oenoscopus, lith. Kalk, Nusplingen . . . . 09 I 455
Oesterreich
— Bau der Ostalpen u. des Karsts . . . . 06 II 233
— Insel- und Küstengebiet, Geologie . . 07 I 89 ff.
— Otolithen von Macruriden u. Beryciden, Tertiär . . . . . 07 I 480
— Tertiär . . . . . 05 II 434 ff.
Ofen, Bitterwasserquellen, Entstehung . . . . 06 I 404
Ofener Gebirge
— Jura u. Tektonik . . CBl 1908 *391*
— Jura etc., Richtigstellung . . . . . CBl 1909 *182*
Ogallala-Formation, Tertiär, Wyoming-Nebraska . . . . . 06 I 268
Ohio
— Petroleum u. Brenngase 06 II 386
— Zementfabrikation . 06 II 72
Okenit
— Albinisierung . . . CBl 1906 *80*
— Färöer . . . . . 09 I 29
— Großpriesen u. Albinisierung . . . . . CBl 1905 *80*

Okenit, Krebshöhe bei Schönpriesen, Böhm. Mittelgebirge . . . CBl 1909 *157*
Oktaedrit
— Struktur u. Zusammensetzung (Meteoreisen) . . . . . 1906 I 197
— Billings, SW.-Missouri 07 I 366
— Cañon City, Cal. . . 07 I 366
— Narraburra- od. Yeo Yeo-Creek, Austr., dodekaedr. Lamellen 07 I 357
— Rodeo, Durango, Mex. 07 I 362
siehe auch Meteoreisen.
Okular, Mikroskop- mit Quarzkeil-Kompensator . . . . . CBl 1906 *745*
Olcostephanus clementinus, expansus, lejanus, mokschensis, ribkinianus u subtzikwianus, Neocom, Zentral-Rußland . . . . 05 I 350
— malonianus, Malone beds, Jura, Texas . 07 I 285
— Michalskii, neritzensis, petschorensis, rectangulatus u. simplex, Neocom, Petschora- u. Dwina-Becken . . 05 I 350
— unicus. Kreide, Hokkaidō . . . . . 05 I 531
Oldfieldthomasia, Kreide, Patagonien . . . . 05 I 167
Oldhamit, Alleganmeteorit, chem. . . . . 09 I 361
Oldobotes, amerik. Eocän 05 I 331
Oleacina ovulina, Alttertiär, Giengen b. Ulm 08 II 104
Olenekschichten, Sibirien, Alter . . . . . CBl 1908 *233*
Olenopsis, Tertiär, Patagonien . . . . . 07 II 326
Olgiasca (Comer See), Mineralien des Pegmatit . . . . . 05 I 203
Oligocän
— Bayern, Faziesentwicklung d. Molasse im südlichen . . . . CBl 1906 576
— Belgien, Mensch, Eolithe . . . . . 1908 I 279. 280
— Jütland . . . . . 07 II 452
— Sainte-Croix-du-Mont 07 II 452
— Strangenberg b. Rufach, Oberelsaß . . . BB XXVI *53*
Oligocänmolasse, Faziesentwicklung in Südbayern . . . . . CBl 1906 576
— siehe auch Tertiär.
Oligocarpia coriacea, Lunzer Schichten . 1909 I 465
Oligoklas
— Biella, Piemont, Drusen im Syenit . . . 06 II 38
— zusammengeschmolzen mit Enstatit u. Augit . . . . . BB XXVII *604*
Oligoklasalbit, Piona (Comer See), im Pegmatit . . . . . 05 I 203
Oligomeria (Trilobiten) CBl 1907 *131*
Oligosiderit, Beziehg. zu Lherzolith . . . . . CBl 1905 92
Olivella Zintgrafi, ? Eocän, Kamerun . . . 06 II 123
Olivenit, Otavi, Südwest-Afrika . . . . . CBl 1906 *389*
Olivin
— Achsenwinkel bestimmt aus der Doppelbrechg. 07 I 188
— als Metasilikat . . . 07 I 25
— im Cement (Kalk-) . 08 II 379
— gemischt mit Anorthit u. Orthoklas, Schmelzpunkte . . . . . 07 II 7
— isomorphe Gruppe, Zusammenschmelzen 09 II 163
— Neubildung in Schmelzflüssen . . . . . 08 II *13*
— Schmelzpunkte . . . 07 II 172
— in Silikatschmelzen BB XXII *219. 224. 231. 242*
— Verteilung d. Fe-Gehalts . . . . . 08 I 63
— verwachsen mit monoklin. Augit im Basalt 07 II 59
— zusammengeschmolzen mit Albit . . . . . BB XXV *264*
— — — — u. Eläolith BB XXV *267*
— — — — u. Magneteisen BB XXII *238* BB XXV *265*
— — — Anorthit . . CBl 1906 *151*
— — — — u. Hedenbergit . . . . . CBl 1906 *134*
— — — Augit u. Magneteisen . . . . . BB XXII *211*
— — — Diopsid . . . BB XXIII *50*
— — — — u. Anorthit BB XXIII *58*
— — — — u. Nephelin BB XXIII *61*
— — — — u. Orthoklas . . . . . BB XXIII *63*

Olivin
— zusammengeschmolzen mit Diopsid u. Magneteisen . . . . . BB XXIII *56*
— — — Labrador und Augit . . . . . 1908 II 8
— — — Leucit u. Akmit CBl 1906 *140*
— — — Magneteisen . BB XXII *224*
— — — Orthoklas und Magneteisen . . . . BB XXV *273*
— — — — und Anorthit . . . . . BB XXV *277*
— Canale Monterano (Rom), im Tuff . . 06 I 170
— Chiesa, Val Malenco, Titan- . . . . . 05 II 25
— Färöer . . . . . 09 I 29
— Grönland, Beziehung zu Eisen im Basalt . 08 I 235
— Hessen, rote Olivinverwitterung in Basalt . . . . . CBl 1907 *372*
— Kalifornien und Arizona, Edelstein . . 07 II 42
— Massachusetts, Chester u. Middlefield, im Serpentin . . . . . 09 I 15
— Montefiascone, Krist. 06 II 17
— Rotes Meer, Insel St. Johns (Seberget) 1908 I 196. 197
— siehe auch Kalkolivin, Forsterit etc.
Olivinbasalt, Neu-Süd-Wales, Sydney . . . 07 I 400 ff.
Olivinbomben und -einschlüsse, Kapfenstein, Steiermark. . . . . CBl 1908 *297*
Olivindiabas, Oberharz . 07 II 402
— siehe Diabas.
Olivinfels, siehe Peridotit.
Olivingabbro, Neurode BB XXVI *467*
Olivingestein, Koswinsky Kamen (Ural) . . . 05 I 75
— siehe auch Peridotit.
Olivinkersantit, Kiautschou . . . . . 06 II 368
Olivinknollen
— Böhmisch-Leipa, im Basalt . . . . . 08 II 62
— Finkenberg b. Bonn, im Basalt . . . . . CBl 1908 *418*
— Gausberg . . . . . 08 I 76
Olonez, praecambr. System etc. 1909 I 218 CBl 1906 *600*
Olonosgebirge, Messenien, Trias . . . . BB XXI *220*
Olonoskalk, Trias, südwestl. Balkanhalbinsel BB XXI *218*
Ommatodiscus multipora und pseudospiralis, Miocän, Italien . . 1909 II 490
Omomyinae, amerikan. Eocän . . . . . 05 I 333
Omomys Ameghinoi, Carteri, pusillus u. uintensis, amerik. Eocän 05 I 333
Omphacit, Bingera, Austr., im Eklogit . 07 I 396
Omphalocyclus . . . . 08 I 308
— macropora, Kreide, Termini-Imerese (Palermo) . . . . . 08 I 448
Omphaloptycha pusilla, Grenzdolomit, Schwaben . . . . . BB XXV *109*
— Smithii, Muschelkalk, Himalaya . . . . . 08 II 241
Omphalotrochus-Horizont, Obercarbon, Ural u. Timan . . . . . 05 I 536
Onegische Abteilung, Präcambrium, Gouv. Olonez . . . . . CBl 1907 *37*
Ontaria, Naples-Fauna . CBl 1905 *389*
— — westl. New York . 05 I 150
Onychocella Boulei, Turon, Abu Roasch, Aegypten . . . . . 05 II 484
Onyx, mexikanischer, Pueblo, Mexiko . . 09 I 32
Ooide
— norddeutscher Buntsandstein . . . . . 08 II 120
— Rheinpfalz, Permocarbon . . . . . 08 II 114
Oolith
— niederrheinisches Tertiär, verkieselter . . 08 I 268
— Norddeutschland, Buntsandstein . . . 08 II 144
— Sankyo, Japan, Kiesel- 07 I 197
— Schwäb. Alb, Jura . 08 II *87*
Oolithbildende Ophthalmidien, Dogger der Schwäb. Alb 1909 I 297 CBl 1908 *584*
Oolithische Eisenerze, Diélette, Entstehung 09 I 393
Oolopygus Saveni, Kreide, Ostfrankreich . . . 05 II 326
Oonia minima, Grenzdolomit, Schwaben BB XXV *110*

Opake Mineralien
— elektrische Leitungsfähigkeit . . . . . 1907 I 11
— mikroskopische Untersuchung . . . . . 07 II 351
Opal
— Einwirkung v. Flußsäure . . . . . 05 I 20
— erdig (Opalmehl, Grossouvreit), Entstehung 05 I 445
— als Gel . . . . . CBl 1909 *327*
— Verhältnis zu fasrigen Kieselsäuren BB XXV *182*
— — zu Quarz u. Chalcedon . . . . . CBl 1908 *632*
— Böhm. Mittelgebirge, Hyalit in Erdbrandgesteinen . . . . . 08 I 175
— Ceylon . . . . . 06 I 180
— — im verkieselten Kalk . . . . . 05 II 392
— Färöer . . . . . 09 I 29
— Lessachtal i. Lungau (Salzburg), grün . . CBl 1908 *282*
— Neu-Mexiko . . . . 09 I 32
— Prinz-Rudolfs-Insel . 06 I 35
— Rhodesia, Broken Hill-Grube, Zn-haltig 09 II 36
— Tabor-Gegend, Böhmen . . . . . 09 II 366
— White Cliffs, Neu-Süd-Wales, Cimoliosaurus-wirbel in edlen O. verwandelt . . . . . 07 I 145
— siehe auch Hyalith etc.
Opalbreccie, Gleichenberg (Steiermark) CBl 1908 *716* CBl 1909 *76*
Operculina complanata u. var. Zitteli, Umfang 08 I 447
— Formai u. Preveri typ. mit var. elegans, ligur.-piemontesischer Apennin . . . . . 08 II 287
— Paronai, Vallone Tre Pietre . . . . . 09 I 295
— var. heterostegina . 08 I 448
Ophiceras Dieneri und Spencei, Meekoceras beds, Kalifornien . . 06 II 303
Ophiderpeton, Nürschan 08 II 270
Ophiderpetontidae, Wirbelsäule u. Rippen . 08 II 270
Ophiocten (?) bellefourchensis, Jura, Black Hills . . . . . 08 I 264
Ophiolithische Massengesteine
— Alpen, geolog. Bedeutung . . . . . 1909 II 86
— Westalpen . . . . . 07 II 442
Ophiopsis tenuiserrata, lith. Kalk, Nusplingen 09 I 453
Ophit
— Pyrenäen (Bellongue u. Ger-Tal) . . . . 05 I 428
— — (Reynès u. Latour) 05 I 430
Ophiuriden
— Devon, St. Minver, Nord-Cornwall . . . 06 I 301
— Silur, Australien . . 08 I 138
Ophthalmidien, oolithbildende, im Dogger, Schwaben 1909 I 297 CBl. 1908 *584*
Ophthalmidium in Oolithen, Jura, Schwäb. Alb . . . . . 08 II *93*
— oolithicum, Dogger, Schwaben . . . . . 09 I 297
Opis Canavarii, Lias, Casale bei Busambra (Palermo) . . . . . 06 I 319
— triptycha, Buloger Kalk, Bosnien . . . 05 I 106
— upwarensis, Kreide, England . . . . . 08 I 133
Opissaster almerai, Molasse, Veuce . . . . 07 II 157
Opisthoctenodon brachyops, Südafrika . . . 07 I 318
Opisthoparia (Trilobiten) CBl 1907 *129*
Oppelia, Abstammung der Gattung . . . . CBl 1909 *641*
— aspidoides, ob. Dogger, Niort u. Krakau . . CBl 1909 *643*
— Bösei, Jura, Sierra de Mazapil u. Santa Rosa, Mexiko . . . 07 I 279
— Colleti, Callovien, Fancille-Kette . . . 06 I 439
— galoi . . . . . 07 II 447
— glabra, ob. Malm, Juragebirge . . . . 09 I 84
— gracilis (Taramelliceras), Malm, Brünn 08 I 422
— Lorioli, ob. Oxford, Cheziny, Polen . . . 08 II 90
— Mariorae u. Redlichi, Jura, Bucegi-Stock . 06 II 121
— patagoniense, untere Kreide, Patagonien BB XXV *634*

Oppeln, Säugetiere des Miocän 1905 II 453 1908 II 425
Oppites Melilli, mitteleocän. Disodil, Melilli, Sizilien . . . . . 05 II 152
Optischer Achsenwinkel siehe Achsenwinkel, optischer.
Optisch-aktive monoklinhemiedrische Kristalle, Struktur . . 07 II 351
Optische Anomalien regulärer Kristalle . . 07 I 182
Optische Bestimmung u. chem. Analyse . . . 05 II 169
Optischer Charakter
— doppeltbrechender Mineralien 1906 II 148 08 II 141
— zweiachsiger Mineralien . . . . . 07 I 226
Optische Eigenschaften
— Aenderung mit der Temperatur . . . . 08 I 163
— der Doppelsalze von Ammoniak und Cererden . . . . . 08 II 1
— der Kristalle im konvergenten Licht . . 07 I 187
Optische Isomerie d. Benzoylmethylhexanonoxyms . . . . . CBl 1905 *178*
Optische Untersuchung von Mineralien unter dem Mikroskop CBl 1906 246. 522. 551. *745*
Optische Untersuchungsmethoden von Becke 05 II 333
Orangit, Kaukasus, im Monazitsand . . . . 05 I 386
Orbicella texana, Buda limestone, Kreide, Nordamerika . . . 06 I 309
Orbiculina . . . . . 05 II 154
Orbiculoidea Baini, Devon, Bolivia . . . . BB XXV *537*
Orbitoclypeus himerensis, Obereocän, Calcasacco, Sizilien . . . 07 II 341
— Tellinii . . . . . 07 II 499
Orbitoiden . . . . . 05 II 488 ff.
— Einteilung etc. . . 05 II 152
— geol. Vorkommen . BB XXV *260*
— Verteilung im Senon 07 I 159
— Aniene-Tal . . . . 08 II 287
— Biarritz, Tertiär . . 06 II 311
— Borneo . . . . . 08 II 288
Orbitoiden
— Indien, Kreide . . . 1909 I 142
— ligurisch-piemontesischer Apennin . . 08 II 286
— Oesterreich . . . . 05 II 156
— Sizilien, Eocän . . . 06 II 455
— — ob. Senon . . . 07 II 339
Orbitoidenkalk
— Calcasacco (Sizilien), Kreide . . . . . 08 I 448
— Formosa u. Riu Kiu 06 II 309
Orbitoides (O. Media) . 05 II 152
— Adelis, euraciensis, panormitana und sicula, oberes Senon, Palermo . . . . . 07 II 340
— apiculata, media und minor, Dordonien . 05 II 152
— dalmatina, Spalato . 06 I 258
— Guembeli . . . . . 06 I 473
— Hollandi u. minima, Kreide, Indien . . . 09 I 143
— mamillata u. Tissoti, Kreide . . . . . 05 II 153
— Richthofeni, Binangonan, Luzon . . . 09 II 151
— Schuberti, Eocän. Casacasco . . . . . 09 II 144
— socialis . . . . . 08 II 289
— Vidali, Aptien, Bel (Spanien) . . . . . 05 II 158
Orbitoidinae . . . . . 08 II 286
— Abstammung . . . 08 II 291
Orbitoidinen. Borneo . 09 II 489
Orbitolina, Einteilung . 05 II 158
— Schaltextur . . . . 07 I 159
— systemat. Stellung . 07 I 327
— Choffati, concava, conoidea, discoidea, Douvillei, intermedia, mamillata, Paronai, plana u. polymorpha 05 II 157
Orbitolinen, Verteilung in den Formationen 05 II 158
Orbitoliten, Einteilung 05 II 154
Orbitolites (O. complanata) 05 II 154
— complanatus . . . . 08 II 290
Orbitolitiden, Systematik 08 I 306
Orbulina bituminosa, Rupelton, Mainzer Becken . . . . . 09 II 324
— universa, Globigerinenmergel, Bahna, Rumän. Karpathen . 09 II *155*
Orca gladiator, Kurische Nehrung . . . . . 09 I 437

Oregische Abteilung, Finnland . . . . . CBl 1906 *600*
Oregon, Simsbildung an Gletschern . . . . . 1905 I 56
Orendit, Leucite Hills, Wyoming . . . . . 06 I 225
Organische Gele . . . CBl 1909 *334*
Orgon (Bouches-du-Rhône), Kreidefauna 06 I 318
Oriokristalle in porphyr. Gesteinen . . . . . 07 II 417
Oriskany Limonites, Entstehung . . . . . 05 II 403
Ormontsbreccie, Alter 09 I 406
Ornithischia . . . . . CBl 1909 *16*
— ältester Vertreter, Trias, Nanosaurus agilis . . . . . 08 I *134*
Ornithocephalus Kochi, Originalplatte . . . CBl 1909 *189*
Ornithocheiridae, Ornithocheirinae u. Ornithocheirus, Nordamerika 05 I 520
Ornithodesmus, Nordamerika . . . . . 05 I 520
Ornithoides trifidus, Carbon, Ost-Canada . . 05 I 339
Ornitholestes Hermanni, ob. Jura, Bone Cabin Quarry, Wyoming . 06 I 152
Ornithologie u. antarkt. Schöpfungszentrum . 05 I 338
Ornithopoda . . . . . CBl 1909 *16*
Ornithostoma (Pteranodon) ingens . . . . 05 I 516
Orthis eifeliensis, Devon, Ostthüringen BB XXIV *280*
— aff. Euryone, lenticularis, lepida, pectinata u. subcarinata, Devon, Bolivia . . . BB XXV *542*
— Michelini, resupinata u. spec., Culm, Königsberg b. Gießen BB XXVIII *624ff.*
— porcata var. sladensis (Plesiomys), Untersilur, Haverfordwest District . . . . . 06 II 140
— resupinata, untercarb. Transgressionsmeer, Tian Schan BB XXVI *238*
— striatula (Schizophoria), Devon. Ostthüringen . . . . BB XXIV *279*
Orthit, Bastnäs-Grube, photograph. Wirkung CBl 1909 *148*
Orthit
— Erzberg bei Hüttenberg (Kärnten), im Gneis . . . . . 1905 II 82
— Fahlun, chemisch . 09 II 353
— Grönland . . . . . CBl 1908 408
— Ilméngebirge (Uralorthit), photograph. Wirkung . . . . . CBl 1909 *148*
— Kragerö (Lindrikskollen) . . . . . 08 I 193
— Kristiania, im Aplit CBl 1909 *405*
— Madeira-Fluß in Matto Grosso, Zwilling im Granitit . . . . . 08 I 387
— Rhodesia, im Granit 05 II 38
— Sterzing, in krist. Schiefern . . . . . BB XXII *542*
— Ytterby . . . . . 09 II 355
— siehe auch Allanit.
Orthobromit, Nagolnij Krjasch, Donetz-Becken . . . . . 07 II 194
Orthoceras, Anfangskammer . . . . . CBl 1907 *527*
— Devon, Ostthüringen BB XXIV *301*
— acuarium, conicum, cf. ellipticum, enkebergense, magnum, Polyphemi, pseudoregulare u. venestum, ob Oberdevon, Enkeberg . . . . . BB XXVI *623*
— bokkeveldensis, Devon, Bolivia . . . . BB XXV *502*
— increscens, ladin. Stufe, Dobrudscha . . . . 08 I 419
— rushensis, Perm, Texas . . . . . CBl 1908 *687*
— scalare u. spec., Culm, Königsberg b. Gießen BB XXVIII *643*
— spitiense, Muschelkalk, Himalaya . . 08 II 241
— Waageni (Cycloceras), Bellerophonschichten, Bosnien . . . . . 05 I 105
Orthochetus mapulensis, Senon, Süd-Persien . 06 I 444
Orthochlorphenolparasulfosaures Kalium, Krist. . . . . 07 I *99*
Orthoclymenia Dunkeri, laevigata und Sandbergeri, ob. Oberdevon, Enkeberg . BB XXVI *619*

Orthodesma semiradiata, Untersilur, Haverford-west District . . . 1906 II 307
Orthodiorit . . . . . CBl 1905 *410*
Orthogonalsystem bei der Anordnung der Gebirge u. Meere . . . 05 II 202
Orthokieselsäure durch Zersetzg. natürl. Silikate (Dioptas, Natrolith, Skolezit, Kieselzinkerz, Willemit u. Monticellit) . . . . 07 I 24. 25
Orthoklas
— chem. Unterschiede von Mikroklin . . . 09 I 185
— Entstehg. b. Schmelzen u. Stabilitätsfeld 07 II 162
— Kristalltracht b. einfachen u. Karlsbader Zwillingen . . . . 08 I 17
— Stabilitätsfeld . . . 07 II 11
— zusammengeschmolzen mit Diopsid u. Olivin BB XXIII *63*
— — — Olivin . . . . BB XXV *270*
— — — — u. Magneteisen . . . . . BB XXV *273*
— Biella, Piemont, Drusen im Apatit . . . 06 II 38
— Campolongo, im Dolomit . . . . . 07 I *21*
— Chisonetal (Piemont), Pomaretto Kristalle 09 II 204
— Concepcion del Oro, Zacatecas, Mexiko, auf Drusen im Granatfels . . . . BB XXVIII *535*
— Easton, New Jersey, chemisch . . . . . 06 I 353
— Epprechtstein, im Granit, Zersetzung . 08 II 173
— Euba, aus dem Quarzporphyr des „Roten Steins“ 1908 II 172 CBl 1908 *670*
— Fichtelgebirge, Krist. des im Granit eingewachsenen . . . . 09 I 341
— Lipetzk, Gouv. Tambow, im Brauneisenerz u. Hydrogoethit 1905 II 21. 183
— Llano County, Texas 07 I 42
— Montana, West Armell Creek, ungewöhnliche Zwillinge . . . . . 09 II 16
— Schmiedeberg (Riesengebirge), im Granit CBl 1909 *769*
Orthoklas
— Templeton, Quebec, Pseudom. nach Laumontit . . . . . 1907 II 12
— Troitsk, Ural, var. Isorthose . . . . . 05 I 24
— u. die bas. Glieder der Plagioklasreihe . . . CBl 1909 *663*
— siehe auch Kalifeldspat, Feldspat, Sanidin etc.
Orthoklasporphyr
— Kiautschou . . . . 06 II 367
— Kilimandscharo (Rhombenporphyr) . . . . 07 II 411
— Tirol, südliches . . 05 II 63
Orthophragmina, große, Eocän, Montricheren-Maurienne . . . 09 I 299
— große, Tertiär, Durance-Becken etc. . 06 I 115
— Typus Orbitoides Pratii 05 II 152
— aprutina, Chelussii, circumvallata, illyrica, rugosa, samnitica, Schlumbergeri u. Vinassai, Obereocän . 05 II 159
— Archiaci, Bartholomei, Chudeaui, Douvillei, Marthae u. scalaris, Eocän . . . . . 05 II 153
— Bayani, decorata, Gümbeli, lanceolata, Munieri u. Taramellii, Eocän . . . . . 05 II 153
— Canavarii, Di-Stefanoi, dubia, Portisi u. Saccoi, Valone Tre Pietre . . . . . 09 I 296
— Colcanapi, Tertiär, Madagaskar . . . . 08 I 141
— pentagonalis, umbilicata u. umbilicata var. Fournieri, Eocän, Neukaledonien . . . 07 I 114
— pulcra (pulchra), Eocän, Cacasacco . . . 09 II 145
— trigonalis u. Zitteli, Vallone Tre Pietre . 09 I 297
— varians typ. u. var. selliformis, Borneo . 08 II 288
— u. Lepidocyclina i den Nummulitenschichten, Indien . . . . . 09 I 141
Orthophragminen, Appennino, Pavese . . 06 I 156

Orthophyr
— Harzburg, im Kontakthof d. Brockens, u. Tuffe . . . . . 1906 I 213
— Magnetberg, südl. Ural 06 I 382
Orthopoda . . . . . CBl 1909 *17*
Orthopoden, Verhältnis zu Theropoden . . . 09 I 290
Ortho-Ri beckitgneis = Forellenstein, Gloggnitz, Oesterreich . . 05 II 51
Orthosilikate, Schmelzversuche . . . . . 08 II 379
— siehe auch Orthokieselsäure.
Orthotheca Steinmanni, Devon, Bolivia . . . BB XXV *518*
Orthothetes chemungensis, Devon, Bolivia . BB XXV *541*
— crenistria, fascifera und radialis, Culm, Königsberg b. Gießen BB XXVIII *627* ff.
— Kraffti, Perm, Malla Sancha, Zentral-Himalaya . . . . . 05 II 279
— simensis, Obercarbon, Ural u. Timan . . . 05 I 534
— Stearsbyi, Wargeila, Neu-Süd-Wales . . 08 I 279
— umbraculum, Devon, Ostthüringen . . . BB XXIV *281*
Orthotichia cfr. morganiana, ob. Carbon, Kukurtuk-Tal, südl. Tian-Schan . . . . BB XXII *373*
Orthotoma margaritati, solidorostris und spinati, mittlerer Lias, Schwaben . . . . . 06 I 469
Ortler
— Geologie des . . . . 07 II 436
— Tektonik . . . . . 07 II 262
Ortlergruppe, Geologie . 09 I 379
Ortstein . . . . . CBl 1909 *326*
— Hasselt, Belgien, Entstehung . . . . . 05 I 426
— Freudenstadt etc., Schwarzwald . . . 09 II 414
Orycteropus, Perforation des Astragalus . . 07 I 467
Oryctomya splendida, Eocän, Loire inférieure 06 I 448
Orygoceras corniculum = Creseis Fuchsi, Ungarn, pannon. Schichten . 05 II 434
Osannit, Cevadaes (Portugal) . . . . . 1908 I 24
Oser, siehe Åsar.
Osmeroides ornatus und pontivagus, Kreide, Libanon . . . . . 05 II 481
Osmunda montanensis, Judith river beds, Nordamerika . . . . 07 I 440
Osmundites Dunlopi und Gibbiana, Jura, Neuseeland . . . . . 08 I 157
— Kolbei, Uitenhage series, Kapkolonie . 08 I 149
Osnabrück, Geologie . . 09 II 247 ff.
Osning, Geologie . . . 05 II 258
Ostafrika
— Jura . . . . . CBl 1908 *641*
— — und Kreide . . BB XXVIII *150*
Ostafrika u. Abessynien, Petrographie . . . 09 I 225
Ostalpen, Tektonik 1906 II 233. 252 1907 II 438 09 II 254
— siehe auch Alpen.
Ostariophysi des brit. Museums . . . . . 05 II 135
Ostasiatischer Typus von Bogengebirgen (Zerrungsbogen) . . . . 05 I 120
Ostasien
— Geomorphologie und Gebirgsketten . . 05 I 114
— Golf Peters des Großen, Geologie BB XXVII *509*
— paläozoische u. triadische Fossilien . . 05 II 298
Ostatlantisch-arktische Formen, gruppiert nach Isochronie und Homotoxie . . . . CBl 1908 *436*
Osteolith, Prausnitz, Schlesien, Pseudom. n Kalkspat, u. Wesen CBl 1905 *641*
Osteopygis robustus, Nordamerika . . . . 09 I 452
Osterwald (Hannover), Geologie . . . . . 07 I 418
Ostkordillere, ecuadorianische, Geologie und Petrographie . . . 06 I 392
Ostpreußen
— Alttertiär . . . . . 07 II 463
— Diluvium . . . . . 07 II 463
— Kreide . . . . . 07 II 463
— Kimmeridge v. Heilsberg . . . . . 05 I 129

Ostpreußen, Seen . . . 1905 I 471
Ostracoden
— Kreide, Ost-Pondoland, Südafrika . . 05 II 152
— Lias, Schwaben . . 05 II 151
— Tertiär, Mainzer Becken . . . . . 06 II 138
— Tertiär und Quartär, Württemberg . . . 06 II 138
— Unteroolith, Westaustralien (Geraldton) . . . . . 05 II 151
Ostracodermen, Bau . . 05 II 133
Ostrea. Apicalhöhlung . CBl 1906 *458*
— Aguilerae und subarmata, Senon, Cardenas, Mexico . . . 08 I 102
— akhabensis und kahurensis, Glandarienkalk, Syrien . . . . 06 I 279
— Ameghinoi etc., Pyrotherien-Schichten, Argentinien . . . . . 05 I 358
— armata, Kreide, Bregenzer Wald . . BB XXVII *25*
— cfr. auricularis, biskarensis, larviformis und Nicaisi, Senon, Peru . . . . . BB XXIV *101*
— Choffati, ? Eocän, Kamerun . . . . . 06 II 123
— crassissima und loppiana, Tertiär . . . CBl 1906 *164*
— curvirostris, minos und aff. Roemeri, argent. Kordillere BB XXIII *208*
— Friryi, Lutétien, Senegal . . . . . 05 II 289
— guaranitica, guaranitische Formation, Par-aik am Rio Sehuen, Patagonien . 06 I 155
— heteroclita, sables de Bracheux . . . . . 06 I 155
— Nikitini, praesinzowi und Sinzowi, obere Kreide, Rußland . . 08 I 446
— pseudo-Malungi, ob. Kreide, Alvincz . . 05 I 302
— Stolleyi . . . . . 07 II 468
— subarcotensis, Hypersenon, Peterwardeiner Gebirge . . . . 06 II 268
— subelongata = mutabilis, Eocän, Loire inférieure . . . . . 06 I 155
Ostrea (Gryphaea) pyrotheriorum-Schichten, Kreide, Patagonien . BB XXI *135*
Ostreen, Senon, Systematik . . . . . BB XXII *657*
Ostseebecken, westl., Ancylus-See und Litorina-Meer . . . . . 1907 I 118
Ostseegesteine, Diluvium, Westfalen . . . . . CBl 1907 *168*
Ostseeprovinzen, russ., Wirkung des skand. Erdbebens v. 23. Okt. 1905 . . . . . CBl 1905 *65*
Ostthüringen, Palaeozoicum . . . . . BB XXIV *221*
Otaga, Südinsel von Neuseeland, Geologie 1905 II 421. 423
08 I 229
Otavi-Minen, Deutsch-Südwestafrika
— Erze . . . . . 09 II 400
— sekundäre Mineralien der Erzlagerstätte . CBl 1906 *388*
Otavit, Otavi, Südwest-Afrika . . . . . CBl 1906 *389*
Othnielmarshia, Kreide, Patagonien . . . . 05 I 167
Otoceras beds, Himalaya
— stratigr. Stellung CBl 1905 *1. 36*
— verglichen m. Ussurifauna . . . . . CBl 1905 *43*
Otocoelidae, Osteologie 07 I 315
Otolithen
— Altersbestimmung bei Scholle und Kabeljau 08 I 130
— Miocän, Birma . . 09 I 142
— — Sardinien . . . . 08 II 277
— Pliocän, Bologna . . 08 II 277
— Tiefseefische . . . . 07 I 320
— Tertiär, Oesterreich 07 I 480
— — Pausramer Mergel 08 II 277
Otolithes arcuatus, minusculus, occultoides, splendens, sulcatoides u. voeslauensis, Tertiär, Oesterreich . . 07 I 481
— austriacus, fragilis, Kokeni, major, mediterraneus, pulcher, splendidus u. tenuis, Tertiär, Oesterreich. 07 I 480
— approximatoides, catulus, Mariae, Matoschi, moravicus, pausramensis, Polzi,

subdenudatus u. subrostratus, Tertiär, Pausramer Mergel . 1908 II 278
Otolithes coffea (Sparidarum?), mittl. Gault, Algermissen . . . . 05 I 317
Otozamites Bartholini u. tenissimus, Rhät, Bornholm . . . . . 08 I 452
— Goeppertianus, Wealden, Peru . . . . . BB XXIV *82*
— indosinensis, Carbon, Tonkin . . . . . 08 I 310
— oregonensis . . . . 07 II 503
Otranto, Alter der Lepidocyclinen . . . . 08 II 283
Ottawa-Tal, Canada, krist. Schiefer . . . 05 I 249
Ottrelit, pleochroitische Höfe . . . . . CBl 1909 *143*
Ottrelitgesteine, Ardennen . . . . . 09 I *111*
Ottrelitschiefer, Ecuador, Ostkordillere . 06 I 396
Ovactaeonina corbaricensis, unt. Santonien, Frankreich . . 06 I 318
Ovardit im Bündner Schiefer, zwischen Visp und Brig . . . 05 II 222
Overwegi-Schichten und Blättertone, lybische Wüste . . . . . 06 I 319
Ovibos, Thayngen, Keßlerloch . . . . . 05 II 124
— moschatus, Pleistocän, südl. England . 07 I 301
— siehe auch Praeovibos.
Ovifak, siehe Uifak.
Ovis Mannhardi, Eggenburg (Niederösterr.), Schädel . . . . . 05 I 324
Ovopteridium, Carbon . 09 I 150
— Schumanni, Carbon, Vorkommen . . . . 09 II 491
Ovopteris Goldbergi, karwinensis u. Schwerini, Carbon, Verbreitung . 09 II 491
— pecopteroides . . . 08 I 155
Owenites Koeneni, Meekoceras beds, Inyo County . . . . . 06 II 301
Oxford
— Cetechowitz . . . . 07 II 443
— Dobrudscha . . . . 07 II 445
— Taliabu . . . . . 07 II 447
Oxycitraconsäure, Krist. 1907 I *95*
Oxyclymenia striata und undulata, ob. Oberdevon, Enkeberg . BB XXVI *621*
Oxydactylus brachynotus und spec., Loup Fork, Nebraska, unt. Miocän 06 I 144
Oxydationszone der Erzlagerstätten . . . . 08 I 400
Oxyde
— Einwirkung von Schwefelwasserstoff . 08 I 212
— Elektrizitätsleitung . 07 II 5
Oxynoticeras, Entwicklung . . . . . 07 II 494
— Choffati . . . . . 07 II 494
— compressum, Eisenerzformation, Lothringen und Luxemburg . . . . . 06 I 305
Oxyodon britannicus, Perm, England . . CBl 1908 *431*
Oxyphile Färbung von Mineralien durch organ. Farbstoffe . BB XXVIII *342*
Oxypteria = Aviculopecten Bittneri, Pachycardientuffe, Seiser Alp . . . . . 07 II 336
Oxyrhina neogradensis, untermediterraner Sandstein, Tarnocz, Kom. Nógrád . . . 05 II 479
Oxytoma Wähneri, Bellerophon - Schichten, Bosnien . . . . . 05 I 105
Ozean Island siehe Paanopa.
Ozeanische Salzlager, Entstehung . . . . 06 I 161
Ozeanische Steinsalzlager, Bildungsverhältnisse . . . . . 05 I 192
Ozokerit, Boryslaw, Vorkommen . . . . 1906 I 407. 409

P.

Paanopa = Ozean Island, Geologie . . . . . 05 II 424
Pachycardientuffe
— Seiser Alp, Alter . . 06 I *12*
— — Brachiopoden . . 05 I 179
— — Gastropoden . . CBl 1905 *176*
— — Lamellibranchiaten . . . . . 07 II 335

Pachycynodon neglectus, Oligocän, Veringen, südd. Bohnerze . 1908 I 123. 128
Pachydiscus, Rassenpersistenz . . . . . CBl 1909 *201*
— henleyensis, Merriami und sacramenticus, Kreide, Kalifornien . 1906 I 288
— supremus, Hypersenon, Peterwardeiner Gebirge . . . . . 06 II 267
Pachyerisma Blanckenhorni, Glandarienkalk, Syrien . . . . 06 I 279
Pachygira Sanctae Crucis, Kreide, Calloneghe . . . . . 05 I 317
Pachypora intabulata, Trias, Serang, niederl. Indien . . . . . BB XXIV *184*
Pachysaurus ajax und magnus, ob. Keuper 09 I 287
Pachytesta attenuata, Rotliegendes, Oppenau . . . . . 08 I 457
Packhuis - Konglomerat im Tafelberg - Sandstein, glazial . . . 06 I 274
Paderborn
— geol.-hydrol. Verhältnisse des Ursprungsgebiets der Paderquellen . . . . . 06 II 414
— Pläner mit Actinocamax plenus . . . 06 I 316
Paderquellen, Paderborn, geol.-hydrol. Verhältnisse des Ursprungsgebiets . . . . . 06 II 414
Paginula, Kreide, Patagonien . . . . . 05 I 168
Pagiophyllum densifolium, Jura, Norddeutschland . . . . 09 I 462
— Newberryi . . . . . 07 II 501
Paigeit, Alaska . . . . 09 II 342
Painirova, Lappland, Eisenerzlagerstätte BB XXIV *662*
Painted Desert Beds . 07 II 502
Paisanit, Red Hill, Moultonboro, N. H. . . . 09 II 389
Pajaro, kalif. Coast Range, Eruptivgesteine . . 05 II 231
Palacrodon, systematische Stellung . . . CBl 1907 *526*
— Browni, Trias, Afrika 08 I 441
Palaeanodonta bicarinata, Castor, Ernae, faba, parallela, Petrascheckii, Pošepnyi, Sophiae u. Verneuili, Rotliegendes, Niederschlesien u. Böhmen 1905 I 48
— sphenoides, Oberrotliegendes, Heiligenmoschel . . . . . 08 I 133
— und Anthracosia CBl 1908 *65. 239*
Palaearca Turnbulli, Untersilur, Haverfordwest District . . 06 II 307
Palaeatractus harpularius, unt. Santonien, Frankreich . . . . 06 I 318
Palaeobalistum, Kreide, Hakel, Libanon . . CBl 1907 *360*
Palaeobatracus Gaudryi, ob. Jura, Montsech, Prov. Lerida, Spanien 07 II 287
Paläobotanik, Entwicklung . . . . . 09 I 144
Paläocän
— Dänemark . . . . . 08 II 103
— Jütland . . . . . 07 II 452
— Norddeutschland . . 07 II 453
Palaeocoma, Obersilur, Bowning, Neu-Süd-Wales . . . . . 07 II 157
Paläoconchen, Naples-Fauna, Nordamerika CBl 1905 *385*
Paläocretacicum, südöstliches Frankreich . 08 II 402
Paläodictyopteren, Obercarbon . . . . . 07 I 152
Palaeodictyota ramulosa, Niagara-shales . . . 05 II 329
Paläogen
— Oase Siwah . . . . 05 II 323
— Saratow - Gouvernement . . . . . 05 II 121
Paläogeograph. Karten CBl 1908 *457*
Paläographie, Grundlage der Untersuchungen . . . . . CBl 1908 *434*
Palaeohemiptera, Perm, Rußland, von der Kama . . . . . 05 I 522
Paläohippidenstämme, phylogenet. Zusammenhang . . . . . 06 II 289
Paläolithische Funde .
— Europa, Diluvium . 06 I 127
— Taubach . . . . . 09 I 285

Paläolithische Fundschichten, Gegend von Weimar . . . . CBl 1908 *197*
Palaeomantis Schmidti, Perm, Rußland, an der Kama . . . . . 1905 I 522
Palaeomastax carbonis, Carbon, Belgien . . 05 I 523
Palaeomastodon, Eocän, Aegypten . . . . . 06 I 447
— parvus, Oligocän, Fayum, Aegypten . . 07 I 459
Palaeomastodontidae, Tertiär, Fayum . . 07 II 311
Palaeomeryx (?) annectens, Mittelmiocän, Solnhofen, Bohnerze 08 I 124
— Mayeri, Seegraben b. Leoben . . . . . 05 II 305
Palaeomunida, Eocän, Kis-Svábhegy bei Pesth . . . . . 05 II 317
Palaeoneilo, Devon, Bolivia, siehe Ctenodonta . . . . . BB XXV *520*
Palaeonisciden. Carbon, England . . . . . 05 II 480
Palaeontina Vidali, Kimmeridge, Sierra del Montsech, Catalonien 05 I 524
Paläontologie
— Einführung . . . . CBl 1904 303
— Fortschritte seit Suess . . . . . 06 II 42
Palaeopalara gracilis. Carbon, Belgien . . 05 I 523
Palaeopeltidae und Palaeopeltis tesseratus, Kreide, Patagonien . 05 I 169
Paläophiden, Entwicklung . . . . . 08 II 440
Palaeophocaena, Verwandtschaft . . . . 06 II 295
— Andrussowi. II. Mediterran-Stufe, Halbinsel Taman . . . . 06 II 296
Paläopikrit, siehe Pikrit.
Palaeopropithecus ingens, Madagaskar . 06 II 446
Palaeorbis, Keuper, Schwaben . . . . . BB XXV *113*
Palaeorhinus Bransoni, Schädel . . . . . 08 II 440
Palaeorycteropus Quercyi, Eocän, Quercy . 07 I 463
Palaeoscincidae . . . . 09 I 290
Palaeosciurus asper, Belly river series, Red Deer river, Nordamerika . 1907 I 439
Palaeostachya Ettinghauseni, Middle coal measures, Canonbie, England . . . . . 06 II 463
Palaeotaxonus typicus, Miocän, Florissant, Colorado . . . . . 08 II 112
Palaeothentinae, Santacruzeno, Patagonien 07 I 308
Palaeotherium
— Bartonien, Castrais. 05 II 302
— Buseri, castrense, curtum, eocaenum, girondicum, Heimi, magnum, Möschi, Mühlbergi (medium u. latum), Renevieri u. Rütimeyeri, Eocän, Schweiz . . . . . 06 II 282
Palaeotheutis, Jura . . 08 I 302
Palaeovespa florissantia, Gilletti und Scudderi, Tertiär, Florissant, Colorado . . . . . 07 I 321
— Scudderi, Miocän, Florissant, Colorado 08 II 111
Palaeoziphius, Gebiß. . 06 II 295
— Boldérien, Antwerpen 07 I 132
— scaldensis, Miocän, Antwerpen . . . . 07 I 135
Paläozoicum
— Ctenostomata, Revision . . . . . 05 II 485
— Pflanzen . . . . 09 I 144
— Porenstellung der Seesterne . . . . . CBl 1907 *741*
— Aranyo-Gruppe, siebenbürg. Erzgebirge, Quarzkonglomerate . 06 I 263
— Baden-Baden . . . 08 I 91
— Deutschland, Seesterne 09 II 322
— England, Floren . . 06 II 448
— England, Seengebiet 08 II 53
— Hindukusch. Blaini-Konglomerat, Alter und Verbreitung . . 05 II 415
— Indiana, Niagara Domes des nördl., Geol. 05 II 415
— Kanada, Quotient Na : Cl des Meerwassers 08 II 345
— Kurlja, Zentralasien 06 I 98
— Lake Superior-Gegend 05 I 75
— Mandschurei, Pflanzen 08 I 452

Paläozoicum
— Ostalpen (Arlberg etc.) 1906 II 237
— Ostthüringen . . . BB XXIV *221*
— Piedmont Plateau, Maryland . . . . . 05 II 414
— Pyrenäen, Verbreitung des Kalks . . 06 II 214
— Sachsen-Meiningen . 06 II 409
— sächsisches Granulitgebirge, kontaktmetamorphisches der SO.-Flanke . . . . CBl 1905 *257*
— Schwarzwald, Nordrand . . . . . 09 II 65
— Taconic Range, Nordende . . . . . 05 II 413
— Timor, jüngeres . . BB XXV *293*
— — portugiesisch . BB XXIV *465*
— Turkestan, russisch 05 II 298
Paläozoische Korallen 1909 I 293 09 II 140
Paläozoische Pflanzenreste, Abbildungen . 06 I 157
Paläozoische Phyllite, Zillertaler Alpen . . 07 II 433
Palästina und Syrien, Feuersteinartefakte des Steinzeitalters . 07 I 291
Palagonit, Connecticut und Massachusetts, mit Holyoke-Diabas 07 I 242
Palagonit-Formation, Island . 1905 II 294 CBl 1906 *232*
Palagonittuff, Aci Castello-Gegend . . . 05 I 48
Paleschara, Entwicklung 05 II 144
Palicites Mojsisovicsi, ob. Trias, Sizilien . 05 I 345
Palimpseststruktur . . 05 I 73
Palinosphärien der Mucronaten-Kreide . . CBl 1905 *402*
Palissya pugio, Lias, österr. Voralpen . . 08 II 448
Palladium
— Legierungen mit Gold 08 II 157
— Schmelzpunkt . . . 08 I 9
— Brasilien 1905 II 346 07 I 335
Palladiumgold, Brasilien 1905 II 346 07 I 339
Pallasit
— Struktur und Zusammensetzung . . . . 06 I 196
— South Bend, Ind. . 09 I 365
siehe Meteoreisen.
Palma, Grundgebirge, und Caldera . . . . 07 II 47
Palmierit, Vesuv 1906 1908 I 326 ff.
Paloestrus oligocaenus, Florissant, Col. . . 08 II 110
Paloplotherium, siehe Plagiolophus. . . . 06 II 284
Palorthopteron melas, Carbon, Belgien . . 05 I 523
Paludina, Grenzdolomit, Schwaben. . . . BB XXV *108 ff.*
— dordonensis, Cenoman, Südfrankreich 07 II 132
— planiuscula, Alttertiär, Giengen b. Ulm . . 08 II 104
Paludinenschichten, Berlin, Alter, Beziehung zu ältester Vereisung bei Rüdersdorf und Hamburg . . . . . CBl 1906 *181*
Paludinopsis ngeriensis und silatiensis, obere Kreide, Borneo . . 07 I 437
Palygorskit, Simferopol, Pseudom. n. d. Spaltbarkeit des Kalkspats CBl 1908 *7*
Palygorskitgruppe, Rußland . . . . . 09 II 347
Palyssia manchurica, Jura, China . . . . 07 II 342
Pampasformation
— Säugetiere . . 1907 II 479. 481
— Patagonien . . . . 05 I 142 07 II 113 BB XXVI *129*
Pampasregion, Gliederung der Sedimentablagerungen . . . BB XXVI *92*
Pampas-Säugetiere . . CBl 1908 *186*
Pampas-Stufe, Patagonien 07 II 144
Pampine Sierren, Argentinien, Geologie . . 05 II 271
Panamakanal, Geologie 09 II 393
Panderkliff, Sylt, quart. Austernbank BB XXI *205* BB XXII *173*
Pandermit, künstl. Darstellung . . . . . 08 II 163
Pangong-See, Tibet, Glazialerscheinungen. . 08 II 342
Panopaea Carteroni (Glycimeris) u. Dupiniani, Neocom, Argent. Kordillere . . . . . BB XXIII *221*
— claviformis, Kreide, Kieslingswalde . . . 05 I 301
— mermera, Hypersenon, Peterwardeiner Gebirge . . . . . 06 II 268

Panopaea tricypha, Granulatenkreide, westliches Münsterland . 1908 I 428
Panopeus incertus und subellipticus, oberste Kreide, Schonen . . 06 II 141
Panorpa arctiiformis, Miocän, Florissant, Col. . . . . 08 II 110
Pantelleria, vulkan. Bildungen, Staukuppen Festbd. *314*
Pantellerit, Aouache, Ostafrika . . . . 07 II 416
Pantolambda, Brasilien, Knochenhöhle. Zahnformel . . . . . 07 II 134
— Zahnsystem, vergl. mit Albertogaudrya und Coryphodon . . 05 II 461
Pantolambdidae, Kreide, Patagonien . . . . 05 I 168
Pantostylopidae, Patagonien . . . . . 05 II 467
— Pantostylops, Kreide, Patagonien . . . . 05 I 169
Papandajan, Vulkan, Java . . . . . CBl 1909 *609*
Paraamphibolgneis, Schwarzwald . . . 07 II 67
Parabderites, Kreide, Patagonien . . . . 05 I 169
Paracallipteris Potoniéi, ob. Kreide, Quedlinburg . . . . . 07 I 493
Paracelsian, Candoglia im Calciphyr. . . . 08 II 174
Parachaetetes Tornquisti, Bathonien, Mte. Zirra, Nurra, Sardinien . . 06 I *65*
Paracredneria Fritschii, ob. Kreide, Quedlinburg . . . . . 07 I 493
Paracynodon musteloides u. Wortmani, Oligocän, Veringen, süddeutsche Bohnerze 1908 I 123. 128
— vulpinus, Oligocän, Eselsberg, süddeutsche Bohnerze . . . . . 08 I 123
— Wortmani, süddeutsche Bohnerze . . . . . 08 I 128
Paradiorit . . . . . CBl 1905 *408*
Paradoxides jemtlandicus, Oelandicus-Zone, Jemtland . . . . . 06 II 298
Paradoxorhyncha foveolata, Unteroolith, West-Australien . . 1905 II 151
Paraganides californicus, Subbullatus-Schichten, Kalifornien . . 06 II 301
Paragelocus Scotti, Oligocän, Veringen, süddeutsche Bohnerze 1908 I 123. 128
Paragenesis zw. 25° u. 83° in ozean. Steinsalzlagern . . . . . 05 I 197
Paragonit, St. Gotthard, Achsenwinkel . . . CBl 1998 *618*
Paragonitschiefer, Tessin, Pizzo Forno . BB XXVI *521*
Parahippus . . . . . 05 II 468
— nebrascensis . . . . 07 II 489
Parahopeit, Rhodesia, Broken Hill-Grube 1909 II 34 CBl 1908 51
Parahoplites Dechyi, Kaukasus . . . . . 08 II 81
— Grossouvrei u. Milleti var. Peroni, Kreide, Clansayes etc., Dauphiné . . . . . 06 I 312
— hanovrensis, Jacobi u. Sarasini, Albien, Vöhrum (Hannover) 08 I 278
— Schmidti u. Tobleri, Gault, Engelberger Tal, Schweiz . . . 07 I 289
Parajuvavites Beresfordi und speciosus, Tropites-limestone, Byans 08 II 238
Paralecanites Arnoldi, Meekoceras beds, Idaho . . . . . 06 II 304
Paralegoceras Newsomi, Carbon, Nordamerika 05 I 528
Parallelverwachsung 1909 I 322. 324
— Amethyst u. Rauchquarz, Korea . . . 08 II 333
— Beziehung zu isomorpher Mischung 1909 I 324 CBl 1908 *51*
Paramelakonit, Bisbee Quadrangle, Arizona 06 I 176
Paramontmorillonit, Rußland, am Palygorskit 09 II 348
Paramylodon nebrascensis, Pleistocän, Nebraska . . . . . 05 II 471
Parana-Stufe, Patagonien, u. Pampas-Region BB XXVI *129*

Parana-Stufe, Tertiär, Patagonien . . . . BB XXI *180*
Paranannites aspenensis, Meekoceras beds, Idaho 1906 II 301
Parankerit, Nagolnij, Krjasch, Donetz-Becken 1907 II 195 CBl 1908 *7* (siehe Ankerit)
Parapholas Tatei, Kreide, Zululand . . . . . 07 II 304
Paraphyllites distinctus, lithogr. Schiefer, Kehlheim . . . . . 06 II *90*
Parapopanoceras Kokeni, Untertrias, Albanien 08 II 400
Parapsonema cryptophysa, Portland beds, New York, Stellung im System . . . . CBl 1905 *357*
Paraptyx, Naples-Fauna, westl. New York . . 05 I 150
Pararcestes subdimitiatus und trilabiatus, ladin. Stufe, Dobrudscha . . . . . 08 I 420
Parasmilia texana, Buda limestone, Kreide, Nordamerika . . . . 06 I 309
Paratakamit
— Chile, San Cristobal, Bolaco-Grube . . . 07 II 355
— — Sierra Gorda . . CBl 1905 *283*
Parathinnfeldia dubia, ob. Kreide, Quedlinburg . . . . . 07 I 493
Parathisbites nodiger u. Windhami, Tropites-limestone, Byans . . 08 II 236
Paratibetites Wheeleri, Tropites-limestone, Byans . . . . . 08 II 237
Paratissotia regularis, Kreide . . . . . 07 II 148
Paratropites, Subbullatus-Schichten, Kalifornien 06 II 300
— (?) lilinthicus, Tropites-limestone, Byans 08 II 238
— subfalciferus, obere Trias, Sizilien . . . 05 I 346
Paravivianit, Kertsch-Straße . . . . . CBl 1906 *112*
Parchim, Interglazial CBl 1905 *673. 737* CBl 1906 *66*
Pardosuchus Whaitsi, unt. Karoo beds, Südafrika . . . . . 09 II 127
Pareiasauria, Pareiasauridae, Systematik . 1907 I 479
Pareiasaurus serridens, fast vollständiges Skelett . . . . . 07 I 141
Paremphytus ostentus, Miocän, Florissant, Colorado . . . . . 08 II 112
Pareora- und Oamuru series, Tertiär, Neuseeland . . . . . 06 I 433
Pareutatus distans, Santa Cruz-Schichten . . . 05 I 501
Pargas, Finnland, Gesteine . . . . . 07 I 68
Pargasit
— Zusammensetzung . 08 II 24
— Greenville (Canada) und Pargas, opt. . . CBl 1907 *78*
Pariostegus myops, triadische Kohlenfelder, Nordkarolina . . . 09 II 129
Pariotichidae, Systematik 07 I 479
Pariotichus? isolomus, Perm, Texas, Schädel und Wirbel . . . . 07 I 149
Paris
— Eocänkonchylien, Katalog . . . . . 05 I 184
— Radiumgehalt der Quellen . . . . . 09 II 211
Pariser Becken
— Aptien des östlichen 06 I 291
— Tertiär . . . . . 06 II 115
siehe auch Tertiär.
Parisiella veneriformis, Eocän, Paris . . . 07 II 303
Parisit
— Montorfano (Baveno) im Granit . . . . . 07 I 39
— Mukden, Mandschurei, chemisch . . . . . 09 II 336
Parnesgebirge, Attika, eruptive Bildungen . CBl 1909 *557*
Paronaea, Tertiär, Apennin, siehe Hantkenia 05 II 327
— Chelussii, Tertiär, Italien . . . . . 07 I 162
— complanata-latispira (= Hantkenia) . 1905 II 155. 156
— curvispira . . . . . 05 II 159
— Guidi und sub-Guidi, Linae u. sub-Linae, typ. u. var. Mariae, sub-miocontorta, Tchihatcheffi var. Ro-

veretoi, Rosai var. obesa, Bouillei var. latispira und vasca var. italica, ligur.-piemontes. Apennin 1908 II 287
Paronaster cupuliformis, Scaglia, Valdagno (Vicentin) . . . . . 09 II 483
Partula Dautzenbergi, Eocän, Paris . . . 07 II 303
Paruschowitz, Bohrloch V, Temperatur . . . . 05 II 203
Parvisipho infraeocaenicus, Eocän, Paris . 07 II 303
Paryphostoma Morgani, Senon, Süd-Persien . 06 I 444
Påskallavikporphyr, Diluvium, Westfalen . CBl 1907 *171*
Passaloecus Scudderi, Tertiär, Florissant, Colorado . . . . . 07 I 321
Patagonien
— Gattungen, Unterschied v. nördl. Halbkugel . . . . . 07 II 144
— Geologie 1905 I 132. 136. 143. 144. 307
— Gliederung der Sedimentablagerungen . BB XXVI *92*
— jüngere Ablagerungen 07 II 141
— Kreide und Tertiär . 07 II 108
— — — marine . . . BB XXI *98*
— Pampasformation 1907 II 108. 144
siehe Pampasformation, Pampasstufe.
— Ammoniten, untere Kreide . . . . . BB XXV *601*
— Brachiopoden, Tertiär 09 II 321
— Bryozoen, tertiäre . 05 II 141
— Fossilien 1907 II 141 09 I 439
— Glyptodontia und Gravigrada der Santa Cruz beds . . . . . 06 I 453
— Marsupialier des Santacruzeno . . . 07 I 306
— Säugetiere 1907 II 136. 141. 479. 481
— — Kreide und unt. Tertiär . . . . . 05 I 497
— — System . . . . . 05 II 466
— — tertiäre, Dentition 06 I 450
— Säugetier-Faunen, Kreide und Tertiär 07 II 272
— Ungulaten, Kreide . 05 I 167
— — Zahnsystem . . 05 II 454
Patagonische Formation = Eocän . . . . . 1905 I 139
Patagonische Molasse . BB XXI *155*
Patagonische Sandsteinformation . . . . . BB XXVI *118*
Patagonische Stufe, Patagonien . . . . 07 II 142
Patagonische Tuff-Formation . . . . . BB XXVI *103*
Patella magna und radians, Pachycardien-Tuffe, Seiser Alp. . CBl 1905 *176*
— vulgata var. Santuolai, Quartär, Knochenhöhle von Altamira, Spanien . . . . . 09 I 130
Patronit, Minas ragra, Peru . . . . . 09 I 167
Pattalophyllia dilatata, unt. Tertiär, Barcelona . . . . . 09 II 485
Patula antiqua, Alttertiär, Giengen bei Ulm . . . . . 08 II 104
— globosa, Alttertiär, Ulm . . . . . 08 II 104
Paucituberculata, Kreide, Patagonien . . . . 05 I 169
Pauline Lake, Oregon, Eruption fester Massen, turmartig, und Obsidianstrom . . . 05 II 396
Paulogervaisia, Kreide, Patagonien . . . . 05 I 168
Paxoskalk, Eocän, südwestl. Balkanhalbinsel . . . . . BB XXI *218. 249*
Pazifischer Meridian der Erde . . . . . 05 II 202
Pazifische Sippe d. Eruptivgesteine . . . . 05 II 52
Pechblende siehe Uranpecherz.
Pechstein
— Hebriden . . . . . 08 I 224
— Neuseeland, Nordinsel 07 I 395
— Neu-Süd-Wales, Mt. Lindsay, perlitisch . 07 I 402
Pecopteris adumbrata, Carbon, Tonkin . . 08 I 309
— aspera, Carbon, Vorkommen . . . . . 09 II 491
— attenuata, Saarbrücker Schichten . . . . . 09 I 303
— Cottoni (Asterotheca), Carbon, Tonkin . . 08 I 309

Pecopteris Davreuxi, Carbon, Vorkommen 1909 II 492
— latepinnata, recticulata und Steinmülleri, Keuper, Neue Welt bei Basel . . 07 I 492
— pseuderosa, Carbon, Offenburg . . . . . 08 I 459
Pecten Albertii var. virgalensis (Leptochondria), Saltrange . . 09 I 8
— — (Velopecten). Grenzdolomit, Schwaben . BB XXV 67
— — u. discites, Lettenkohle, Württemberg CBl 1907 26
— Behrensi . . . . . 07 II 468
— — Minimus-Ton, Groß-Biewende (Braunschw.) 06 II 428
— bellicostatus var. orientalis u. Radkieviczi, Tertiär, Mandrikowka . . . . . 06 I 468
— Berciglii, Werfener Schichten, Bucieri, Montenegro . . . . 05 II 108
— bisculptus u. sericeus, Paläocän, Rugaard, Kattegat . . . . . 08 II 103
— Blanckenhorni u. vedasensis, Neogen, Europa . . . . . 06 I 467
— capensis u. Kossmati, Kreide, Pondoland . 07 II 306
— cf. crassitesta, Neocom, Sardinien . . BB XXIII 469
— discites u. laevigatus, Lettenkohle, Schwaben BB XXV 68
— Erlangeri, ob. Jura, Somaliland . . . . 06 I 281
— eurasiaticus, tirolicus und völseckhofensis, Werfener Schichten, Südtirol . . . . . CBl 1908 72
— Huttoni (Pseudamussium), Oamaru series, Neuseeland . . . . 06 I 467
— Kokeni, Saltrange . 09 I 7
— longauris, microtis, subtilis u. tirolicus, Werfener Schichten, Südtirol . . . . . 08 I 17ff.
— lykosensis u. palmyrensis, Glandarienkalk, Syrien . . . . 06 I 279
— aff. orbicularis, unt. Kreide, Patagonien BB XXV 609
Pecten pseudopriscus, Lias, Freistadtl in Mähren . . . . . 1905 I 296
— szeremensis u. vertebratus, Hypersenon, Peterwardeiner Gebirge . . . . . 06 II 268
— virgatus, Kreide, Bregenzer Wald . . . BB XXVII 24
Pecten-Konglomerat, Cockburn-Insel . . . 09 II 102
Pectiniden des Neogen, Europa u. Nachbargebiete . . . . . 06 I 467
Pectunculus diastictus, Eocän, Loire inférieure 06 I 154
— hungaricus, Hypersenon, Peterwardeiner Gebirge . . . . 06 II 268
— pacificus, Kreide, Kalifornien . . . . 06 I 288
— triangulus, Paläocen, Saratow . . . . . 05 II 121
— Williamsi, Tertiär, Mandrikowka . . . 06 I 468
Pedimana, Kreide, Patagonien . . . . . 05 I 169
Pedioceratidae, Kreide . 07 II 149
Pegmatit
— Beziehg. zu Erzgängen 08 I 80
— Cnoc-na-Sroine, Nord-Schottland . . . . . BB XXII 418
— Erzberg bei Hüttenberg, Kärnten . . . 05 II 84
— Foxdale, Isle of Man, Uebergang in Quarzgänge . . . . . 05 I 434
— Kiautschou . . . . 06 II 366
— Lappland, Eisenerzlagerstätten . . . BB XVIV 548
— Odenwald, innerer, Turmalin führend . CBl 1907 73
— Olgiasco, Comer See, Mineralien 1905 I 203 06 I 376
— Pajaro, Kalifornien, Coast Range . . . 05 II 231
— Piz Cotschen, Unterengadin, Turmalin . 05 II 384
— Piz Giuf, östl. Aarmassiv . . . . . 06 I 372
— Schweden, südl., Adern im Granit . . . . 05 II 386
— Sterzing, Umgegend BB XXII 501
Sustenhörner, Aarmassiv . . . . . 06 II 63
— Ural, nördl. . . . . 06 I 388

Pegmatit
— Wisconsin, nördl. . 1909 I 228
— u. Pneumatolyse . . 05 II 384
Pegmatitanhydrit
— Eichsfeld, im Zechstein . . . . . 09 II 425
— Norddeutschland, jüngeres Zechsteinsalz 09 I 424
Pegmatitgänge, siehe Granitpegmatitgänge 08 I 336
Pehuenia insigna und magna, Kreide, Lago Musters . . . . . 05 I 497
Peissenberg, Lagerung der Flöze . . . . . CBl 1906 577
Pektolith
— Burg bei Herborn, Magnesia-, im Diabas CBl 1907 *739*
— Mte. Castelli, Toscana . . . . . 07 II 40
— Patterson, N. J., Glühverlust . . . . 06 I *26*
Pelagische Kalke, Mächtigkeitsreduktion . . BB XXV *418*
Pelagosit, Capri . . . . CBl 1909 *667*
Pelecyodon, Santa Cruz beds, Patagonien . . 06 I 463
Pelée, Montagne, siehe Mt. Pelée.
Pellatispira Douvillei, Priabona . . . . . 08 I 139
Peltateloidea, Kreide, Patagonien . . . . 05 I 170
Peltephilidae, Patagonien, Kreide . . . . . 05 I 170
— — Santa Cruz-Schichten . . . . . 05 I 502
Peltephilus clarazianus = ferox, giganteus = grandis, nanus, pumilus, rarus und strepens, Santa Cruz-Schichten . . . . . 05 I 503
Peltoceras Uhligi, Malm, Brünn . . . . . 08 I 422
— bicristatum = bimammatum . . . . . 06 I 109
— interruptum u. trigeminum . . . . . 07 II 444
— tjapalului . . . . . 07 II 447
— Toucasi u. transversarium . . . . . 06 I *81*
Pelvoux-Massiv, Geologie 05 I 281
Pelycosauria
— Nordamerika, Revision 08 I 288
— Texas . . . . . 08 I 285
Pelycosaurier
— Systematik . . . . 1907 I 478
— Texas, Schädel . . 07 I 313
Pelycosaurierreste, Perm, Europa . . . . . CBl 1908 *431*
Pembrokeshire, Wales, Eruptivgesteine . . 06 II 210
Pendelseismometer, astatisches, Leipzig, registr. Fernbeben etc. 1. Jan.—30. Juni 1903 05 I 52
— siehe Erdbebenstation Leipzig.
Peneplains, Beziehg. zur Erosion . . . . . 05 II 375
Peneroplis pertusus . . 09 II 151
Penmaenmawr (Wales), Quarznorit u. seine Schlierenbildung . . 05 I *93*
Pennin
— Affaccata, Elba . . 07 II 39
— Connewara (England) in Marmor . . . . . CBl 1909 715
Penokee-Gogebik-Bezirk, Lake Superior-Gegend, Eisenerze . . . . . 05 I 80
Pentaceros senonensis, Senon, Yonne-Département . . . . . 06 I 320
Pentacrinus dentato-granulatus, mittl. Gault, Algermissen . . . . 05 I 317
— Gevreyi, lissajouxensis, mallevalensis u peyroulensis, Neocom, Isère-Département . 07 II 154
— Wiesbauri, Lias, Freistadtl in Mähren . . 05 I 296
Pentagonaster Browni, Kreide, Wyoming . 07 II 157
Pentahydrocalcit, Nowo-Alexandria . . . . 09 II 341
Pentamerus (Conchidium) Etheridgei, Oakey Creek, Neu-Süd-Wales 08 I 279
Pentasalz bei 83° . . . 08 II 159
Pentasphaera longispina, Kreide, Euganeen . 06 I 474
Pentellina Chalmasi, Douvillei u. Héberti, Senon . . . . . 07 I 158
Pentlandit
— Sudbury-Distrikt, Canada . . . . . 06 II 182
— — Ontario, im Magneteisen . . . . . 05 II 406

Penzance, Erdbeben, 3. März 1904 . . . 1906 I 42
Peperin, Säugetiere . . 05 I 144
Peperinbildung, Albanergebirge . . . . . 08 I 46
Percesoces d. brit. Museums . . . . . 05 II 135
Perforate Foraminiferen . . . . . CBl 1903 *225*
Perga coloradensis, Florissant, Colorado . . 08 II 110
Pericosmus timorensis, quart. Korallenkalk v. Koupang (Timor) 09 II 482
Peridot, siehe Olivin.
Peridotit
— mikroskopisch . . . 06 II 56
— Antillen, kleine . . 06 II 376
— Arkansas, Prairie Creek . . . . . 09 II 393
— brit. Zentralafrika . 07 I 237
— Connecticut, Cortlandt Series . . . . . 08 I 73
— Ithaca, N.Y., Gänge 1907 I 242 07 II 233
— Koswinsky Kamen, Ural . . . . . 05 I 75
— Matterhorn . . . . 05 I 243
— Molukken . . . . . 05 I 109
— Mongoni u. Predazzo, Gänge, chem. Zusammensetzung . . . . 06 I 63
— Nischne Tagil, und Platinvorkommen . 07 I 260
— Schriesheim, Lagerungsweise . . . . 05 I 240
— — Hornblende-, Absorptionserscheinung 06 I 51
— Skye (Dunit etc.) . 06 II 65
— zwisch. Visp u. Brig im Bündner Schiefer, metamorphe . . . . 05 II 221
— siehe auch Olivinknollen.
Perihepsesis . . . . . 06 II 200
Periklas
— künstlich . . . . . 06 I 331
— künstlich aus Mg O durch elektr. Schmelzung . . . . . CBl 1907 *212*
— in künstl. Magnesitsteinen . . . . . CBl 1908 *305*
— Schweden, Pseudomorphosen . . . . 05 II 185
— Teulada, Sardinien, im Predazzit . . . 06 II 330
Periloculina Raincourti, Mitteleocän . . . . 1907 I 158
Perimagmatische Kontaktlagerstätten, Concepcion del Oro, Zacatecas, Mexiko . BB XXVIII *565*
Perimorphosen, Tolfa, Granat und Kalkspat . . . . . 06 I 376
Perimys Ameghinoi, Tertiär, Patagonien . . 07 II 324
Perioden, Klima d. geol. 08 II *74*
Peripantostylops, Patagonien . . . . . 05 II 467
Periphragnis cristatus, Kreide, Lago Musters, Patagonien . . . . 05 I 497
Peripleurocyclus Smithianus, Muschelkalk, Himalaya . . . . . 08 II 243
Periploca cretacea, Kreide, New York . . . . . 08 I 456
Peripristis benniei und semicircularis (Pristodus) . . . . . 05 II 137
Perisphinctes Abeli, brunensis, correlatus, divergens, Guebhardi, lateinensis, latumbonatus, latus, pila, procedens, Siemiradzkii, vanae, varians, Malm, Brünn 08 I 422
— Aguilerai . . . . . 07 II 470
— — Clarki u. Schucherti, Jura, Malone beds, Texas . . . . . 07 I 285
— argentinus, aff. bifurcatus, Erinoides, aff. Erinus, mangaensis, Nikitini, proximus, aff. pseudolictos und cfr. striolatus, Jura, argent. Kordillere . BB XXIII *192*
— Arussiorum, Choffati u. Gallarum, ob. Jura, Somaliland . . . 06 I 281
— Burkarti, santarosanus u. Victoris . . 07 II 470
— burui u. timorensis, Jura, Timor u. Mefá BB XXV *332*
— cameratus, Catulloi, familiaris, Kiliani, subalpinus, valens u. validus, Acanthicus-Schichten, Gießhübl 08 I 264

Perisphinctes cetechovius. Cyrilli, gyrus, Hedleyi, lothariformis, Methodii, Uhligi, wartoides . . . . . 1907 II 444
— Colleti, pro-Lothari, Schardti, sub-Schilli u. vermicularis, Callovien, Faucille-Kette 06 I 439
— daghestanicus und Loczyi, Kaukasus . 08 II 81
— Frischlini (= trifurcatus), inconditus u. Ribeiroi, Jura, Seevoralpen . . . . . 06 I 110
— galoi, indonesianus, moluccanus, sularum, taliabuticus, ternatanus . . . . . 07 II 447
— intercedens, Jura, Moskau etc. . . . . 05 I 131
— mombasanus, Malm, Ostafrika . . . . . CBl 1908 *646*
— reniformis u. scruposus, Tithonklippen, Niederfellabrunn . . 06 I 440
— Siemiradzkii u. Lewinskii, ob. Oxford, Checiny, Polen . . . 08 II 90
— subplanus, subtiliformis u. transsylvanicus, Jura, Bucegi-Stock . . . . . 06 II 121
Perisporites hirsutus u. setosus, mitteleocän. Dysodil, Melilli, Sizilien . . . . . 05 II 152
Perissodactyla, Patagonien . . . . . 05 II 466
— Kreide . . . . . 05 I 167
Perissodactylengebiß . . 06 II 291
Perlit im Eisen 1905 I *128* 06 I 243
Perlspat, Markirch . . 09 I 23
Perm
— Eiszeit . . . . . CBl 1908 *353*
siehe auch Perm, Indien u. Südafrika.
— Festländer u. Meere Festband *521*
— Grenze gegen Trias . 06 I *52*
— Stammreptilien . . 07 I 313
— Stegocephalen, Wirbelsäule und Rippen der holospondylen . 08 II 269
— Baden, Flora d. Rotliegenden . . . . . 08 I 457

Perm
— Bithynische Halbinsel CBl 1909 *655*
— Bosnien, Fauna der Bellerophonschichten 1905 I 105
— Bozen, Felsitporphyre 1907 I 230 BB XXVII *72*
— China, Semenow-Gebirge, Nordabhang . 05 II 299
— Deutschland, Salzlager im Zechstein . 09 II 304
— Eichsfeld, Salzlager im Zechstein . . . 09 II 424
— Elsaß, Pflanzen des Rotliegenden . . . 08 I 457
— England, Pelycosaurierreste . . . . . CBl 1908 *431*
— Forst bei Münsterkappel, Flora d. Rotliegenden . . . . . 09 I 468
— Frankenberg u. Kellerwald, Zechstein . . 07 II 92
— Frohburg—Kohren (Sachsen), Pflanzen der Plattendolomite des Zechsteins . . . 05 I 539
— Hannover, südl. . 1907 II 95. 97
— Harzrand, westl. . . 09 I 409
— Himalaya, Centr., Fossilien . . . . . 05 II 278
— — Otoceras beds . CBl 1905 *1. 36*
— Hohenstein-Limbach (Erzgebirge), Pflanzen des Rotliegenden . . 05 I 539
— Illinois, Vermilion County, Vertebraten (Reptilien) . . . . 07 I 315
— Indien etc., Eiszeit . CBl 1908 *449*
— — u. permische Eiszeit Festband *446*
— Indochina, Fusulinenkalke . . . . . 08 I 417
— Kapland, Dicynodontier der Karruformation . . . . . 08 I *1*
— Kaschmir, Productus Purdoni . . . . . CBl 1906 *129*
— Kyffhäuser, Auslaugung der Zechsteinsalze u. Oberflächengestaltung der Umgegend . . . . . 09 II 427
— Lüneburg . . . . . CBl 1907 692
— Mähren, ripplemarks bei Zbejsov . . . . 08 II 56
— Neurode, Datheosaurus macrourus i. Rotliegenden . . . . . 06 I 151

Perm
— Niederschlesien und Böhmen, Zweischaler des Rotliegenden . . 1905 I *44*
— Nordamerika, Ammonoiden . . . . . 05 I 525
— — Insekten . . . . 07 I 322
— Norddeutschland, Salzlager . . . . . 09 I 422 ff.
— Nürschan, Alter der Gaskohle . . . . . 08 II 266
— Pfalz, Pflanzen des Oberrotliegenden . . 09 I 305
— Plauen'scher Grund, Reptilien des Rotliegenden . . . . . 07 I 311
— Ruhrkohlenrevier 1907 I 412. 414
— Rußland, Insekten von der Kama . . . 05 I 522
— Saar u. Nahe, Zweischaler . . . . . 08 I 133
— Sachsen-Meiningen . 06 II 411
— Schwarzwald, Freudenstadt etc., Rotliegendes . . . . . 09 II 413
— Südafrika, Glacial (Dwyka)-Konglomerat 07 II 122
— — Kohlenflöz b. Vereeniging (Transvaal) 07 II 122
— Süd-Ussuri-Gebiet BB XXVII *509*
— Texas, Invertebraten CBl 1908 *684*
— — kleine Reptilien . 07 I 138
— — Koprolithen . . 07 I 319
— — Saurier . . . . 08 I 285 ff.
— — Stegocephalen u. Reptilien . . . . . 07 I 147
— — Wichita u. Clear Fork Divisions . . . 08 I 256
— Weser-Leine-Gebiet u. Beziehung zu südhannover. Zechsteinsalzlagern . . . . . 09 I 426
— siehe auch Zechstein u. Rotliegendes.
Permische Eiszeit . . . Festband *446*
— siehe Perm u. Eiszeit.
Permocarbon
— Glossopteris-Flora 1908 I 152. 454
— Ooide u. Stromatolithe 08 II 114
— Argentinien, Vorkordillere . . . . . 05 II 270
— Australien, Pelecypoden . . . . . 07 I 484
— Kaschmir, Pflanzen . 08 I 453
— — — u. Wirbeltiere 08 I 416
— Krain, Fusulinenkalk 05 II 91
Permocarbon
— Neuseeland, Mt. Mary, Otago, Südinsel . . 1905 II 423
— Neu-Süd-Wales, Foraminiferen . . . . 06 II 454
— — Fossilien . . . . 07 I 154
— Persien (Soh) . . . 06 I 442
— Südafrika, Vereeniging, Pflanzen . . . 08 I 454
— Tasmanien, Wynyard 09 II *163*
— Zululand, Pflanzen . 08 I 149
Permotrias
— Los Cerillos (Neu-Mexiko) . . . . . 08 I 436
— Neuseeland, Nordinsel 05 II 418
Perna aff. americana u. cf. Bayani, argent. Kordillere . . . . BB XXIII *207*
— čerevićiana, Hypersenon, Peterwardeiner Gebirge . . . . . 06 II 268
— incavata, Eocän, Loire inférieure . . . . . 06 I 154
— rikuzenica, Cyrenenlager, Jura, Rikuzen, Japan . . . . . 05 I 464
— Staadti, Eocän, Paris 07 II 304
Pernidae, Kreide, England 06 I 466
Peromyscus parvus, John Day series . . . . 07 I 303
Peronosporites miocenicus u. siculus, mitteleocäner Dysodil von Melilli in Sizilien . 05 II 152
Perowskit
— Achmatowsk, beim Erhitzen . . . . . CBl 1908 *36*
— Pfitschtal, Burgumer Alp, Struktur . . . CBl 1908 178
— Vogtsburg (Kaiserstuhl) u. Mte. Somma (Dysanalit) . . . 1909 I 344. 345
Perpatische Eruptivgesteine . . . . . 08 II 350
Persea valida, Kreide, New York . . . . . 08 I 456
Persemische Eruptivgesteine . . . . . 08 II 350
Perseoxylon californicum u. Eberi, westl. Vereinigte Staaten . . 09 I 149
Persien, fossile Mollusken 06 I 442
Perthit
— als Entmischung . . 09 II 181
— Entstehung . . . . CBl 1909 *315*
— Strukturen . . . . 09 II 170

Perthitfeldspate in krist. Schiefern . . . . . 1905 II 361
Peru
— Edelsteine . . . . . 06 I 358
— Erzlagerstätten von Hualgáyoe . . . . 05 II 37
— Kreide des mittleren BB XXIV *69*
— marine Trias . . . CBl 1909 *616*
— mittl. Kordillere, Geol. 07 II 265
Perugia, Säugetiere der Canali'schen Sammlg. 06 I 143
Peter der Große-Golf, Ostasien, Geologie BB XXVII *509*
Petersia Lamarmorae, Tithon, Sardinien . BB XXIII *463*
Peterwardeiner Gebirge (Fruska Gora), Hypersenon . . . . . 06 II 266
Petricola hippuritarum, Hypersenon, Peterwardeiner Gebirge . 06 II 268
Petris, Ungarn, Geologie 07 I 273
Petrogenesis, Doelter . CBl 1907 216
Petrographie
— Beziehung zu angrenzenden Wissenschaften 06 II 52
— chemische . . . . . 05 I 57
— — Analysen d. Eruptivgesteine von 1884 bis 1900 . . . . . 06 I 203
— graphische Methoden CBl 1907 *134*
— Grundfrage der chemischen . . . . . CBl 1907 *2*
— Grundzüge d. Gesteinskunde, Weinschenk CBl 1905 617
— makroskopische von Louis V. Pirsson . CBl 1909 411
— mikroskopische Physiographie, Rosenbusch, siehe mikroskop. Physiographie.
— praktische v. Rinne . CBl 1906 115
— Tabellen von Linck CBl 1905 59
CBl 1906 248 CBl 1907 91
Petrographische Klassifikation, atlant. u. pazif. Sippe d. Eruptivgesteine . . . . 05 II 52
Petrographische Methoden . . . . . 07 I 226
Petrographisches Praktikum . . . . . 05 I 58
Petrographische Wandtafeln mikrosk. Strukturbilder . . . . . CBl 1906 747
Petrolea, Urmaterialien 08 II 41
Petroleum, siehe Erdöl, Oel etc.
Petromantis rossica, Perm, Rußland an der Kama . . . . . 1905 I 522
Pfalz
— Eruptivgesteine und kontaktmetamorphe Sedimente . . . . . 09 I 54
— geolog. Uebersichtskarte . . . . . 06 II 84
— Steinkohlenformation, der bayrischen . . . 06 I 103
Pferde
— Miocän, Nordamerika 05 II 468
— neolithische Fauna, Mittelrhein . . . . 06 II 441
— Zahnsystem . . . . 05 II 455
Pflanzen
— Einschlüsse in Basaltschlacke, Mexiko . . 09 II 393
— Entwicklung der Kenntnisse . . . . 09 I 144
Pflanzenführendes Interglazial, Elmshorn . 05 II 441
Pflanzenführende Schichten im Keuper, Neue Welt b. Basel . . . CBl 1906 *1*
Pflanzenreste, Abbildungen paläozoischer und mesozoischer . . 06 I 157
Pflockstruktur, roter verwitterter Olivin im Basalt, Hessen . . . CBl 1907 *374*
Phacoceras Dumbli, Perm, Texas . . . . . CBl 1908 *688*
Phacodiscus calvertanus, Tertiär, Maryland . 07 II 161
Phacoides coislinensis, crenatulatus, Dumasi u. naviculus, Eocän, Loire inférieure . . 06 I 468
Phacopidae, Klassifikation 06 II 139
Phacops, Devon, Bolivia BB XXV *501*
— Robertsi, Untersilur, Haverfordwest District 05 I 174
Phacostylus rarus, Kreide, Euganeen . . . . . 06 I 474
Phacotus, Tertiär und Quartär . . . . . 05 II 330
Phanerosaurus pugnax, Rotliegendes, Plauenscher Grund . . . . 07 I 311
Phanerotinus intermedius, Culm, Königsberg b. Gießen . . . . BB XXVIII *648*

Phanomys, Tertiär, Patagonien . . . . . 1907 II 328
Pharmakolith
— Markirch . . . . . 09 I 25
— Schladming (Steiermark) . . . . . CBl 1908 *279*
Pharmakosiderit
— Calafuria, südl. Livorno, im Macigno . 06 I 169
— Cornwall, Brechungskoeffizient . . . . . 08 II 143
— Schlaggenwald . . . 05 I 199
Phasen, mehrere feste u. flüssige, bei einer Substanz . . . . . 09 I 1. 2
Phasenlehre
— u. deren Anwendung CBl 1907 691
— Anwendung auf Kristallographie . . . . 07 II 172
Phasenregel, Anwendung auf Eruptivmagmen u. deren Erzführung 07 II 56
Phaseolites manhassetensis, Kreide, Long Island . . . . . 07 I 495
Phaseolyse . . . . BB XXVIII *344*
Phasianella Provençali, Kreide, Orgon (Bouches-du-Rhône) 06 I 318
— sericata, Hypersenon, Peterwardeiner Gebirge . . . . . 06 II 267
Phenacocoelus typus . . 07 II 487
Phenacodontidae, Kreide, Patagonien . . . . 05 I 168
Phenacolestes mirandus u. parallelus, Miocän, Florissant, Colorado 08 II 111
Phenakit
— Zwillingsbildung . BB XXIII *331*
— Afrika, Deutsch-Ost- 07 II 384
— — Usagaragegend . CBl 1905 283
— Brasilien, Goldmine S. Miguel de Piracicaba . . . . CBl 1909 *264. 268*
— Cornwall . . . . . CBl 1905 *191*
— Ehrenfriedersdorf, in Zinnerzgängen . . . CBl 1908 *365*
— Gloucester, Mass., Umwandlg. aus Danalith, Kristalle . . . . . 09 I 20
— Schlesien (Dobschütz b. Reichenbach und Tschirnitz b. Jauer) CBl 1908 *551*
— Tangen b. Kragerö, Analyse . . . . . CBl 1907 247
Phenylsulfid, Brechungsindex, niedrig . . . CBl 1909 *396*
Philippiella . . . . . 1907 II 338
Philippites jolinkanus, Muschelkalk, Himalaya . . . . . 08 II 243
Phillipsastraea, Devon, Ostthüringen . . . BB XXIV *275*
Phillipsia, jüngeres Paläozoicum . . . . . BB XXV *323*
— Eichwaldi u. gemmulifera, Culm, Königsberg b. Gießen . BB XXVIII *652*
Phillipsit
— Bürgenheim (Wetterau), Kaiserstuhl, Nidda (Vogelsberg), Stempel bei Marburg, Glühverlust . . . . . 06 I *25*
— Färöer . . . . . 09 I 29
— Palagonia, Begleiter 08 II 35
Phiomia, Eocän, Aegypten . . . . . 06 I 447
Phlegetontia, Carbon, Linton . . . . . 08 II 271
Phlegetontiidae, Wirbel u. Rippen . . . . . 08 II 271
Phlegräische Felder, vulkanische Tätigkeit 1905 II 206 06 I 198
Phlocosinites Brunni, Rehi u. regimontanus, balt. Bernstein . . . . . 08 II 113
Phlogopit
— Cadonighino, Tessin BB XXVI *519*
— Ceylon . . . . . 06 I 180
Phlyctenodes Steinmanni, Eocän, Pesth . . . 05 II 318
Phocaena, Boldérien, Antwerpen . . . . . 07 I 133
Phociden, Tertiär, Dänemark . . . . . 06 I 445
Phoenicopsis Potoniéi, Jura, Zentralasien . 09 I 464
— Yamadei, Trias, Yünnan . . . . . 07 II 342
Pholadomya anaäna, Kreide, Kalifornien . 06 I 288
— cf. connectans u. Quinuana, Senon, Mittel-Peru . . . . . BB XXIV *115*
— elongata, Neocom, argent. Kordillere . BB XXIII *221*
— obscura, Jura, Black Hills . . . . . 08 I $\frac{264}{468}$
— Roebberae . . . . . 07 II

Pholadomya Roemeri, Buda limestone, Kreide, Nordamerika . . . . 1906 I 308
— terra-reginae, Kreide, Queensland . . . . 07 II 289
Pholas, Kreide, Bregenzer Wald . . . . BB XXVII *20*
— pseudoustjurtensis u. scrinium, Miocän, Novotscheskalk . . 07 I 114
Pholidophorus latimanus, Eichstätt = Eugnathus Vetteri, Nusplingen . . . . . 09 I 452
— macrocephalus, lith. Kalk, Nusplingen . 09 I 454
Phonolith
— Adjellela, Zentralafrika, mit Aegirin . 09 II 235
— Ampasindava (Madagaskar) . . . . . 05 I 435
— Beagle-Expedition . 09 II 394
— Böhmen, Aussig, Flußspat im Natrolith- . CBl 1908 *673*
— — zw. Böhm.-Kamnitz u. Kreibitz . . 06 II 357
— — Mittelgebirge, Kostenblatt-Milleschau 06 II 83
— Böhm. Mittelgebirge, Mädstein, Kontakt mit turon. Kreidemergel . . . . . 09 II 219
— Neuseeland, Otago-Halbinsel . . . . . 08 I 233
— Paraguay, Sabucáy (Distr. Ibitimi), chem. 06 II 377
— São Thomé . . . . 05 II 76
Phonolithtrachyt, Antarktis . . . . . 09 II 76
Phormocampe elegans, Kreide, Euganeen . 06 I 474
Phormocyrtis veneta, Scaglia, Euganeen . 06 I 475
Phosgenit, Altai, Syrjanowsche Grube . . 09 II 368
Phosphate
— Algier u. Tunis, Fische 05 II 479
— Kertsch . . . . . 09 II 30
— Ocean Island, Südsee 05 II 424
— Tennessee . . . . . 05 I 260
Phosphat-Favas, Brasilien, im Diamantsand 08 I 32
Phosphatgele . . . . . CBl 1909 *329*
Phosphatlagerstätten, Frankreich, Algier u. Tunis . . . . . 09 II 243
Phosphor
— Auftreten in Erzlagerstätten . . . . . 1906 I 49
— Hittorf'scher, Kristallform . . . . . CBl 1908 *296*
Phosphor-Arsen-Gruppe, heteromorphe Modifikationen . . . . . 08 II 155
Phosphoreszenz, Elemente, die sie erzeugen . . 08 II 144
Phosphorferrit im Eisen 05 I *127*
Phosphorgehalt d. Eisenerze, geologisch . . 06 I 48
Phosphorit
— Podolien, chem. . . 09 II 357
— — Knollen mit Podolit . . . . . CBl 1907 *279*
— Thüringen, östl., u. Vogtland, Konkretionen im Untersten Culm . . . . . BB XXII *48*
— — — — Pflanzenversteinerungsmittel BB XXII *77*
Phosphorosaurus Ortliebi = Plioplatecarpus Houzeaui, Kreide, Belgien . . . . . 05 II 308
Photoelektrische Ströme des Selens . . . . . BB XXI *382*
Photographische Platte, Wirkung d. Gesteine CBl 1905 *58*
Photographische Reproduktion von Ammonitensuturen u. Ambulakren v. Seeigeln, Apparat . . . . . CBl 1907 *422*
Photographische Wirkungen radioaktiver Mineralien . . . . . CBl 1909 *145*
Phryganoiden, Miocän, Florissant, Colorado 08 II 111
Phrynorhombus Bassoli, Otolithen, Tertiär, Oesterreich . . . . 07 I 481
Phtalsäure
— Aetzfiguren . . . . 08 I 315
— künstl. gefärbte Kristalle . . . . . 07 I 6
Phylactella (?) orbiculata u. ventricosa, Eocän, Tunesien . . . . . 05 II 142
Phyllit
— Böhmen (Reichenau u. Tynist) . . . . . 08 II 64
— Bormio—Tonale, Kartenblatt . . . . . 08 II 65

Phyllit
— Bozen, Porphyrgebiet BB XXVII *80*
— Brixen . . . . . 1909 I 386
— Ecuador, Ostkordillere . . . . . 06 I 398
— Göpfersgrün, umgewandelt in Speckstein 05 II 214
— Hochedergruppe . . 08 II 67
— Laaser Gruppe, Tirol 1909 I 381. 383
— Mies, Böhmen . . . 06 II 362
— Rothau, Böhm. Erzgebirge . . . . . BB XXIII *478*
— Sterzing . . . . . BB XXII *532*
Phyllitformation, Sächs. Granulitgebirge, Südostflügel . . . . . CBl 1905 *109*
Phyllites cissiformis, Paleocän, Leval (Hennegau) . . . . . 09 II 491
— denticulatus u. intricata, Judith river beds, Nordamerika . 07 I 440
Phyllitische Glimmerschiefer, St. Gotthard (Südseite) . . . . BB XXVII *183*
Phyllobrissus Jourdyi, ob. Jura, Tunis . . 07 II 156
Phylloceras, Abstammung 05 II 427
— baconicum, Frechi, Hintzei, Loczyi, Lörentheyi, perplanum, Semseyi, Szaboi und trilabiatum, Unterdogger, Csernye, nordöstl. Bakony . . . . 05 II 426
— Böckhi, Borni u. Gajarii, Oberlias, Csernye, nordöstl. Bakony 05 II 426
— Borni, heterophyllum, Nilssoni u. cf. zetes, Jura, südwestl. Balkanhalbinsel . . . . BB XXI *287*
— Caldwellii, Horsefieldii, Montgomeryi u Sclateri, Lias, tibetan. Klippen des Central-Himalaya . 08 II 414
— Diegoi, Kreide, Diego Suarez . . . . . 07 II 334
— galoi, insalindae, malayanum, monsuni, passati . . . . . 07 II 447
— giganteum u. subalpinum, Acanthicus-Schichten b. Gießhübl 08 I 264
Phylloceras Hantkeni, Mittellias, Csernye, nordöstlich Bakony . 1905 II 426
— hungaricum, infraliasicum, Lipoldi var. primitiva, oenotrium var. complanata, Prinzi u. Szadeczkyi, Unterlias, Alsórákos 09 II 139
— malayanus, Jura, Buru BB XXV *325*
— mazapilense, Jura, Sierra de Mazapil u. Santa Rosa, Mexiko 07 I 279
— shastalense, Kreide, Kalifornien . . . . 06 I 288
Phylloceratidae, gekielte, systemat. Darstellg. CBl 1906 *237. 417*
— Kielbildung . . . . 05 II 483
Phyllocoenia transiens, Senon, Portugal . . 07 I 487
Phyllocrinidae, Körperform . . . . . Festband *303*
Phyllocrinus, Körperform Festband *304*
Phyllopoden d. Untersilur (Ribeiria u. Ribeirella) 05 II 316
Phyllospondyler Typus der Tetrapoden . 09 II 113
Phyllotenia longifolia, Korallenoolith, Norddeutschland . . . . 09 I 462
Phyllotheca Etheridgei, Glossopteris-Flora . 08 I 153
— Whaitsi, Uitenhage series, Kapkolonie . 08 I 149
Phymechinus Lamberti, Valanginien, Savoyen 05 II 325
Phymosoma Revili, Hauterivien, Savoyen . . 05 II 326
Physa cenomanensis, minima, nucleus, simeyrolsensis u. subcylindrica, Cenoman, Südfrankreich . . . . . 07 II 132
Physematopitys Goepperti, westl. Verein. Staaten 09 I 149
Physeteridae, Boldérien, Antwerpen . . . . 07 I 133
Physeteriden, systemat. Stellung . . . . . 06 II 294
Physeterula, Boldérien, Antwerpen . . . 1907 I 131. 134
Physikalische Chemie, Anwendung auf Mineralogie u. Geologie . . 09 II 182
— — u. Kristallographie 06 II 313

Physikal.-chemische Beschaffenheit des technischen und Meteoreisens . . . . . 1905 I *122*
Physikal.-chemische Mineralogie v. DOELTER CBl 1905 629
Physikalische Kristallographie v. E. SOMMERFELDT . . . . . CBl 1907 472
Physiographie
— der Erdoberfläche . . 06 II 44
— mikroskopische, ROSENBUSCH, siehe mikroskop. Physiographie.
Physostoma elegans u. Kidstonii, Paläozoicum . . . . . 09 I 309
Phytophtirites disodilis, mitteleocän. Dysodil, Melilli, Sizilien . . 05 II 152
Phytosauria . . . . . 09 I 445
Phytosaurusschädel, Keuper, Schwaben . . . CBl 1909 *583*
Piatigorsk (Kaukasus). Lakkolith . . . . . 07 I 233
Piavegletscher . . . . 07 I 222
Pic de Teyde, vulkan. Tätigkeit . . . . . 09 I 363
Picea excelsa, quartär, Eberbach a. Neckar 06 II 434
Piceites Schenkii, Bernstein, Ostpreußen . . 09 I 308
Picentini, Monti (Salernitano), Geologie. . . 09 I 98
Picotit im Basalt . . . CBl 1906 *206*
Picotitbasalt . . . . . CBl 1906 *207*
Picrodon Herweyi zu Gresslyosaurus ingens 09 I 287
Pictetia Astieriana, Neocom, Mangyschlak . 06 I 465
Piedmont Distrikt, Pensylvanien und Maryland, Geologie . . . 07 II 220
Piedmont Plateau, Maryland, Geologie . . . 05 II 414
Piemont
— Bau der Alpen . 1906 II 256, 258
— Geosynklinale . . . 09 II 90
— Schweremessungen . 05 I 224
Pieninische Klippenzone, West-Karpathen, Geologie . . . . . 05 II 91
Piesberg-Sattel, Osnabrück, Geologie 1909 II 251, 253
Piezoglypten u. Regmaglypten bei Meteoriten 09 I 353
Piezokristallisation und Kristallisationsschieferung . . . . . 1909 I 375
Piezopleochroismus an Silberhaloiden . . . CBl 1908 *393*
Pigmente
— der Mineralien . . . 07 II 166
— siehe auch Färbung und Farbstoffe.
Pikrinsäure, anomale Kristallformen . . . 05 II 333
Pikrit
— Lahn- u. Dill, Oberdevon . . . . . BB XXVIII *382*
— Pyrenäen (Bellongue u. Ger-Tal) . . . . 05 I 428
— rhein. Schiefergebirge 07 I 55
— Sechshelden, Amphibolpikrit . . . . . BB XXVII *285*
— Skye . . . . . 06 II 65
— Steinperf m. Gesteinsgängen . . . . BB XXVIII *395*
— Westerwaldbahn Herborn—Driedorf . . BB XXIV *393*
Pikritporphyr
— Birma, mit Jadeit . 09 I 185
— Jenissey, Goldlager . 05 II 249
Pikroilmenit, Ceylon, Edelsteinsande . . . 07 II 18
Pikrothomsonit, Montecatini, Toskana . . 07 II 40
Pilarit, Chile . . . . . CBl 1909 *331*
Pilbara-Goldfeld, Westaustralien . . . . . 09 I 237
Pileolus semiplicatus = plicatus, Kreide, Sachs. 06 I 317
Pilocrinus, Körperform Festband *290*
Pilolit, Can Pey (Pyr. orient.), Frankreich (Lassalit) . . . . . 09 I 192
Pilolit-Palygorskit, siehe diesen.
Pinacoceras aspidoides, Trinodosus-Schichten, Schiechlingshöhe . . CBl 1909 *642*
— Beecheri, Tropiteslimestone, Byans . . 08 II 239
— Loomisi und Rajah, Muschelkalk, Himalaya . . . . . 08 II 245
— Suessi, ob. Trias, Sizilien . . . . . 05 I 347
Pinacodendron Macconochiei, Upper coval measures, Canonbie, England . . . . . 06 II 463

Pindoskalk, Trias . . . BB XXI *226*
Pinguit
— Quittein, Westmähren, Eisenerzlagerstätte . . . . . 1905 II 243
— Sternberg—Bennischer Schalsteinzug . . . CBl 1907 *294*
Pinites Solmsi, Wealden, Bernissart, Belgien . 07 I 492
— strobiformis, Portland, Boulogne-sur-Mer . . . . . 09 I 459
— thiohoensis (Pityophyllum), Jura, Mandschurei . . . . . 09 I 464
Pinitoid . . . . . CBl 1909 *332*
Pinna, schwäb. Muschelkalk . . . . . CBl 1906 *114*
— jurassica, Jura, Black Hills . . . . . 08 I 264
— patagoniensis, unt. Kreide, Patagonien BB XXV *608*
— raricosta, Kreide, Schaumburg-Lippesche Mulde . . . . 06 I 441
— Robinaldina, Valanginien—Aptien, argent. Kordillere . . . . BB XXIII *207*
Pinnatopora flexicarinata, karn. Fusulinenkalk . . . . . 06 II *155*
Pinnidae, Kreide, England . . . . . 06 I 466
Pinnoit, künstl. Darstellung . . . . . 05 I 192
Pinolitmagnesit, Ostalpen, Genesis . . . . . CBl 1909 714
Pinonate bei Lima, Peru, Wealden . . . . . BB XXIV *74*
Pinoxylon dacotense . . 07 II 501
Pinus cembrifolia, dolychophylla, Künowii, multicellularis, Schiefferdeckeri und Schumanni . . . . 09 I 308
— Laricio, Braunkohlen, Dürkheim, Pfalz . . 09 I 468
— matawanensis, Matawan-Formation, Nordamerika . . . . . 07 I 494
— montana, nicht in interglaz. Schieferkohle, Bayern . . . 09 I 470
— Sauvagei, Portland, Boulogne-sur-Mer . 09 I 459
— shastensis . . . . . 07 II 504
Pinus schista . . . . . 1907 II 506
— serrata (Larix?), Bernstein, Ostpreußen . 09 I 308
— veronensis . . . . . 07 II 505
Pinzgauer Mittelgebirge 06 II 238
Pirena robusta, Senon, Süd-Persien . . . . 06 I 444
Pironaea slavonica, ob. Kreide, Cserevitz-Graben . . . . . 05 I 359
Pirssonit, Entwässerung 05 II 4
Pisa, Quartär . . . . 05 I 146
Pisanit, Gonsalez, Monterey Co., Cal. . . . 05 I 204
Pissophan . . . . . CBl 1909 *329*
— Reichenbach i. Vogtl. 05 I 191
Pithanodelphis cornutus, Boldérien, Antwerpen 07 I 137
Pithecanthropus erectus, Alter (quartär) 1909 I 111. 114
— — Altersbestimmung der Kendengschichten CBl 1909 *513*
— — in den Kendengschichten, Java, diluvial . . . . . BB XXV *648*
— — Stellung zu Mensch 1905 II 301 Festbd. *270*
Pithecanthropus-Schichten, Trinil (Ost-Java), Alter . . . . . Festbd. *256*
Pitheodon Sikorae, Madagaskar . . . . . 06 II 448
Pittizit . . . . . CBl 1909 *330*
— Schlaggenwald . . . 05 I 199
— Sibirien, Grube „Sechstes Berikulskifeld“, Kreis Mariinsk. Gouv. Tomsk . . . . . 09 II 357
Pityophyllum alpinum, Lias, österr. Voralpen 08 II 448
— flexile, Santa Maria de Meya, Spanien . 09 I 458
— thiohoense, Jura, Mandschurei . . . . 09 I 464
Pityoxylon annulatum, westl. Verein. Staaten 09 I 149
— Holicki, Kreide, Cliffwood, N. J. . . . . 05 I 303
Piz Lad-Gruppe, Unterengadin, Geologie . 08 II 228
Placenticeras, Sutur . . 05 I 177
— californicum, Kreide, Kalifornien . . . . 06 I 288
— crassatum, depressum, incisum, Newberryi, planum, pseudo-Or-

bignyanum, pseudoplacenta, sancarlosense, Schlüteri, Spielmani, Stantoni und Whitfieldi, Kreide . 1907 II 157
Placenticeras ? intermedium und rotundatum, Kreide, Los Cerillos (Neu-Mexiko) 08 I 437
— kaffrarium und umkwelanense, Kreide, Umkwelane Hill, Zululand . . . . . 06 I 308
— syrtale var. Gabbi, Senon, Mittel-Peru . BB XXIV *125*
Placenticeratidae, Kreide 07 II 151
Placites Humboldtensis, norische Stufe, Nevada 06 II 303
Placochelys placodonta, Obertrias, Bakony . 07 II 329
Placodus verglichen mit Edaphosaurus . . . 08 I 299
Placosmilia flabelliformis, Kreide, Calloneghe . 05 I 317
Placoziphius, Boldérien, Antwerpen . . . . 07 I 134
Placunopsis orbica, Lettenkohle—Keuper, Schwaben . . . . . BB XXV *65*
— — (= gracilis) und ostracina, Lettenkohle, Württemberg CBl 1907 *26*
Plagiaplit, Koswinsky Kamen, Ural . . . 05 I 75
Plagiaulacoidea, Argentinien . . . . . 05 I 157
Plagiaulax cordatus, Argentinien . . . . . 05 I 158
Plagiocidaris pseudocervicalis, Jura, Haute-Marne . . . . . 09 II 480
— Revili, Barrêmien, Savoyen . . . . . 05 II 326
Plagioklas
— Achsenwinkel bestimmt aus d. Doppelbrechung . . . . . 07 I 189
— Ausscheidung aus Schmelzflüssen . . 1908 II *15. 23*
— Bestimmung in Dünnschliffen durch Albitzwillinge . . . . . 05 I 26
— Darstellung, Isomorphismus, Schmelzpunkt, therm. Eigenschaften . . . . . 06 I 334
Plagioklas
— Molekularprozente u. spez. Gewicht, Verbesserung von Wülfing, mikrosk. Physiographie . . . . . CBl 1905 *745*
— optische Eigenschaften . . . . . 1907 I 351
— Schmelzkurven . . . 07 II 22
— in Silikatschmelzen BB XXII *198. 245*
— Japan, Analyse . . 07 I 218
— Schmiedeberg (Riesengebirge), im Granit CBl 1909 *770*
— Vesuv 1906 . . . . 08 I 44
— siehe auch Albit, Anorthit etc., Faserplagioklas.
Plagioklasaugitporphyrit, Monzoni u. Predazzo, chem. Zusammensetzung . . . . . 06 I 59
Plagioklasporphyrit
— Kiautschou . . . . 06 II 369
— Le Selle-Pass, Fassatal . . . . . CBl 1905 *53*
Plagioklasreihe, basische Glieder, und Orthoklas . . . . . CBl 1909 *663*
Plagiolophus annectens, Cartieri, Fraasi, minor etc., Eocän, Schweiz . . . . . 06 II 284
— Cartailhaci und Nouleti, Bartonien, Castrais . . . . . 05 II 303
Plagiophthalmus pentagonalis, jüngste Kreide, Schonen . . 06 II 141
Plagiopygus daradensis, Lutétien, Senegal . 05 II 289
Plagiostoma azteca, Senon, Cardenas, Mexiko 08 I 102
— Meyeri, Kreide, England . . . . . 06 I 466
— planicosta, Kreide, Schaumburg-Lippe . 06 I 441
Planaxis breviculus, Eocän, Paris . . . . 07 II 303
Planchéit, Mindouli, Französisch-Kongo . 09 I 191
Plan de Nette, Fenster 09 II 87
Pläner, Varians-, Braunschweig . . . . . 06 II 428
Planera betuloides, Kreide, New York . . . . 08 I 455

Planetensystem
— Entstehung . . 1907 I 372. 373
— innere Dichtigkeit, Druck- u. Trägheitsmomente der Hauptkörper . . . . . 1907 I 373
Planetesimal-Hypothese 07 I 372
Planops magnus etc., Santa Cruz beds, Patagonien . . . . 06 I 463
Planopsidae, Santa Cruz beds, Patagonien . . 06 I 463
Planorbis cretaceus, Cenoman, Südfrankreich 07 II 132
— Lincki (Coretus), Alttertiär, Weilheim (Ries) . . . . . 08 I 433
— Mariae (Gyrorbis), Pliocän, Cueva Rubbia, Spanien . . . . 07 II *16*
— spissus, Bathonien, St. Gaultier (Indre) 08 I 262
— Thiollieri, Pliocän, Cueva Rubbia, Spanien . . . . . 07 II *13*
Plantaginopsis und Pl. marylandica . . . . 07 II 506
Plantigrada, Patagonien, Extremitäten . 1907 II 138. 140
Plastische Umformung von Kristallen unter Druck . . . . . 06 II 80
Plastischer Ton, Dänemark, Alter . . . . CBl 1907 *58*
Plastizität v. Kristallen
— u. flüssige Kristalle . CBl 1905 *207*
— Zunahme mit der Temperatur (Steinsalz) . . . . . 09 I *60*
Plastizität des Tones, Erklärung . . . . . 08 II 217
Plastomenus tantillus und visendus, Nordamerika . . . . . 09 I 452
Plataninium crystalliphilum, Haydeni, Knowltoni u. pacificum, westl. Verein. Staaten . . . . . 09 I 149
Platanista, Platanistidae, Boldérien, Antwerpen 07 I 132
Plateosauridae, Trias, Europa . . . . . 09 I 287
Plateosaurus, Gattung . CBl 1905 *10*
— Elizae, Infralias, Provenchères-sur-Meuse 08 II 438
Plateosaurus Engelhardti = Zanclodon bavaricus . . . . . 1909 I 287
— erlenbergiensis, Quenstedti und Reinigeri, ob Keuper . . . . 09 I 287
— Reinigeri . . . . . 09 I 287
Platin
— Legierungen mit Au und Cu . . . . . 08 II 157
— — mit Fe . . . . . 08 II 157
— Lichtbrechung . . . 08 I 170
— Produktion 1903 . . 06 I 356
— Schmelzpunkt 1906 II 321 08 I 9
— Brasilien 1905 II 346 07 I 335
— Neuseeland . . . . 08 I 399
— Ural, im Schwefelkies 07 II 354
— — Nischne Tagil, Wäschereien . . . . 07 I 260
Platinmetalle
— Nachweis in der P-Salzperle . . . . . 08 II 156
— Zerstäubung u. Rekristallisation . . . 05 I 17
Platodiäthylaminchlorid
— u. -bromid, Krist. . 07 I *97*
— (-Hydrat) u. Anhydrid, Kristallform . . . . 07 I *97*
Platodiäthylaminnitrat, Kristallform . . . . 07 I *98*
Plattendolomit, Frohburg—Kohren (Sachsen), im Zechstein, Pflanzen . . . . . 05 I 539
Plattenkalke, Solnhofen, Fauna . . . . . 05 I 458
Platyceras, Devon, Ostthüringen . . . . BB XXIV *299*
— Bistrami, laevicostatum u. aff. robustum Devon, Bolivia . . . BB XXV *511*
— Clarkei, Devon, Jachal, Argentinien . . . . 06 I 303
Platygonus compressus der Michigan-Universität . . . . . 06 I 147
— texanus, Pliocän, Texas 05 II 469
Platypedia primigenia, Miocän, Florissant, Col. 08 II 111
Platypeltis extensa und postera, Nordamerika 09 I 452
Platyphylax (Eopteryx) florissantensis, Miocän, Florissant, Col. 08 II 111

Platystrophia, Entwicklungsgeschichte . . 1905 II 324
Plectambonites papillosa, Untersilur, Haverfordwest District. . 06 II 140
Plegiocidaris gourdonensis, mittl. Barrêmien, Gourdau, Alpes maritimes . . . . . 09 II 481
Pleistocän, Island CBl 1905 *535. 546. 740*
Pleistocän-Fauna, Rumänien . . . . . 05 I 320
Pleochroismus
— der mit bas. Teerfarben angefärbten Silikate . . . . . 08 I 161
— durch Druck an Silberhaloiden . . . . CBl 1908 *393*
— durch orient. Druck, blau Steinsalz und Sylvin . . . . . CBl 1907 *166*
— Erklärung mittels metall. Gitterpolarisation . . . . . 06 I 323
— künstlicher . . . . 06 II 3
— Anhydrit, Staßfurt . 08 II 320
— am blauen Steinsalz, künstl. . . . . 08 II 157
— Schwerspat v. Teplitz CBl 1908 *393*
Pleochroitische Höfe
— Entstehung . . . . 08 II 144
— erzeugt durch Radioaktivität CBl 1907 *397* CBl 1909 *65. 113. 142*
Pleonast, siehe Ceylanit.
Plesiofelis cretaceus u. Schlosseri, Kreide v. Lago Musters, Patagonien . . . . . 05 I 498
Plesiolampas Paquieri, ? Paleocän, Zentralafrika . . . . . 09 II 482
— Saharae, Eocän, Zentralafrika . . . . . 07 II 265
Plesiomys porcata var. sladensis. Untersilur, Haverfordwest District . . . . . 06 II 140
Plesiophyllia callovien-sis, Jura, Frankreich 07 I 487
Plesioptygmatis Burckhardti, Senon, Cardenas, Mexiko . . . 08 I 102
Plesiorycteropus, Tertiär, Madagaskar . 07 I 464
Plesiosaurier, Beziehung zu Schildkröten . . 1909 I 442
Plesiosaurus Degenhardti, Kanzleri, limnophilus und valdensis, Wälderton, Gronau CBl 1905 *681*
Plessit. eutekt. Gemenge v. Taenit und Kamazit . . . . . 07 I 358
Plessit-Siderite = Eutrope Lacunite, im Meteoreisen . . . . 05 I *147* siehe Meteoreisen.
Plessurgebirge, zentrales, Geologie . . . . . 08 II 230
Pleuristion brachycoelus, Perm, Oklahoma . . 08 I 292
Pleurocora Angelisi, Kreide, Ostgalizien . 09 I 294
Pleurodictyum Dechenianum u spec., Culm, Königsberg b. Gießen BB XXVIII *654*
— cfr. problematicum, Devon, Bolivia . . . BB XXV *563*
— Selcanum, Styliolinenschiefer, Ostthüringen BB XXIV *273*
Pleuromeia ?, Makrosporen im Buntsandstein, Halle a. S. . . 09 I 461
Pleuromya (?) concentrica, Jura, Black Hills 08 I 264
— cfr. impressa, Trias, Tobisinschichten, Süd-Ussuri-Gebiet BB XXVII *536*
Pleuronectes sectoroides, Otolithen, Tertiär, Oesterreich . . . . 07 I 481
Pleuronectites Aubryi = Velopecten abjectus, Jura, Ostafrika . BB XXVIII *164*
Pleurophorus gregarius, Permocarbon, Neu-Süd-Wales . . . . 07 I 485
— Perm, Texas. . . . CBl 1908 *686*
Pleurostomella antiqua, Permocarbonkalk, Neu-Süd-Wales . . 06 II 455
Pleurostylodon, Kreide, Patagonien . . . . 05 I 168
Pleurostylops, Kreide, Patagonien . . . . 05 I 168
Pleurotoma camerunensis u. wuriana, ? Eocän, Kamerun . . . . . 06 II 123

Pleurotoma cerithiorum u. Steenstrupi, Obersenon, Dänemark . . 1906 I 309
— deperdita, hypersenonica und orba, Hypersenon, Peterwardeiner Gebirge . 06 II 268
— faxensis, Danien, Dänemark . . . . . 06 I 309
— Koeneni, Ludmilae u. subcrassa, Paläocen, Saratow . . . . . 05 II 121
— vasconum (Hemipleurotoma), blaue Mergel v. Côte des Basques b. Biarritz 06 II 439
Pleurotomaria araris, Depereti, sub-geometrica, sub-Grasi, sub-rhodanica u. Vaffieri, Zone d. Lioc. concavum, Couzon-au-Mont-d'Or bei Lyon . . . . . 05 I 464
— Arnoldi, Fingal, fossata u. timmerniana 07 II 468
— blanda, fastuosa, pisum, subgranosa, sublaevis u. subvittata, Culm, Königsberg b. Gießen . . . . BB XXVIII *650*
— Fakhryi, Campanien, Aegypten . . . . . 05 II 285
— hunica (Mourlonia), Perm, Malla Sangcha, Zentral-Himalaya . . 05 II 279
— indica, Muschelkalk, Himalaya . . . . . 08 II 241
— Kayseri, Devon, Bolivia . . . . . BB XXV *508*
— linthorstiensis, Kreide, Schaumbg.-Lippesche Mulde . . . . . 06 I 442
— Loczyi, Carbon, Sinho-yi am Nan Schan, China . . . . . 05 II 299
— neosolodurina, oberer Jura, Somaliland . . 06 I 281
— Stantoni, Buda limestone, Kreide, Nordamerika . . . . . 06 I 308
— thebensis, Blättermergel von Theben, Aegypten . . . . . 06 II 122
— Weissermeli, mittl. Gault, Algermissen . 05 I 317
Plicatula Bonneti, Eocän, Loire inférieure . . 1906 I 154
— lugdunensis, Zone d. Lioc. concavum, Couzon-au-Mont-d'Or b. Lyon . . . . . 05 I 464
— pustulosa, Eocän, Paris . . . . . 07 II 303
Plicatulopecten Böhmi, Senon, Peru . . . BB XXIV *104*
Pliocän
— Grenze gegen Miocän 07 II *1*
— Alpes-Maritimes, Küste . . . . . 07 II 451
— Bologna, Fischotolithen . . . . . 08 II 277
— Mainzer Becken, Zusammenhang mit dem am Niederrhein 08 I 268
— Niederrhein . . . . 07 II 451
— Spanien, Cueva Rubbia, Säugetiere und Süßwassergastropoden . . . . . 07 II *1*
Pliodolops, Kreide, Patagonien . . . . 1905 I 159. 169
Pliohippus . . . . . 05 II 468
— pernix, Miocän, Süddakota . . . . . 08 I 129
Pliomeria (Trilobiten) . CBl 1907 *131*
Pliopithecus antiquus, Obermiocän, Oppeln 08 II 425
Plioplatecarpus Houzeaui = Phosphorosaurus Ortliebi, Kreide, Belgien . . . . . 05 II 308
— Marshi, Kreide, Belgien . . . . . 05 II 308
Pliosaurus sp., Ornatenton, fränk. Jura . . CBl 1907 *667*
Pliostylops, Kreide, Patagonien . . . . . 05 I 168
Plombierit . . . CBl 1909 *331. 332*
Plumasit
— Kalifornien, Spanish Peak . . . . . 07 II 76
— Mosso (Piemont), Korundgestein . . . . 05 I 372
Plumbogummit . . . . CBl 1909 *330*
Plusinglanz, siehe Argyrodit.
Pneumatisierter Wirbel eines Anomodontiers (Tamboeria Maraisi), untere Karruformation, Kapkolonie . . 06 I 310

Pneumatolyse
— England, westl., Kaolinbildung . . . . . 1909 II 191
— und Pegmatite . . . 05 II 384
Pneumatolyt. Veränderung saurer Eruptivgesteine vergl. mit Verwitterung . . . 09 II 60
Podocampe Eifeliana, Scaglia, Euganeen . 06 I 475
Podocarpites Kowalewskii . . . . . 09 I 308
— — Bernstein, Ostpreußen . . . . . 09 I 308
Podolien, Geologie . . 05 II 99
Podolit, Podolien . . . CBl 1907 *279*
Podozamites caroliensis . 07 II 500
— pachynervis u. pachyphyllus . . . . . 07 II 503
— stonesfieldensis, Jura, England . . . . . 07 I 490
— taylorsvillensis . . . 07 II 500
Poessneck, bearbeitete Knochen . . . . . 05 I 320
Poikiloplastische Struktur 05 I 72
Pojána-Ruszka, Geologie der westl. Ausläufer 06 I 262
Polarer Seentypus, Baikalsee . . . . . 05 I 408
Polargebiete, Expedition der Fram 1808—1902 06 II 96
Polarisation der Grenzkurven der Totalreflexion . . . . . 05 I 184
Polarisationsebene
— Drehung in flüssigen Kristallen . . 06 II 149
— gedreht durch die Linsen der Instrumente . . . . . 08 I 3
Polarisationsmikroskop
— Gebrauch nach Wenschenk . . . . . CBl 1906 522
— Prüfung durch feinste Quarznadeln von Bramsche bei Osnabrück . . . . . CBl 1907 *275*
siehe auch Mikroskop.
Polarisations-Mikroskoppolymeter . . . . . CBl 1905 *593*
Polarisierendes Mikroskop . . . . . CBl 1904 507
Polarität und Zwillingsbildung . . . . . BB XXIII *237*
Polarländer, südliche, Geologie . . . . . CBl 1906 *173*
Polen
— Jura . . . . . 1908 I 261. 262
— obere Kreide . . . 1906 II 110
Poliargit, Weißes Meer u. Poliargitisierung 07 II 370
Polieren, gegenseitiges, versch. Substanzen . 06 I 8
Poliosauridae, Poliosaurus, Nordamerika . 08 I 290
Poljen v. Blaca u. Konjesko b. Spalato, Geol. 05 I 452
Pollicipes (?) aucklandicus, Tertiär, Neuseeland . . . . . 05 II 317
Polnisches Mittelgebirge, Devon von Skaly . 05 II 107
— ob. Mitteldevon . . 05 I 127
Polycyclus nodifer, Subbullatus-Schichten, Kalifornien . . . . 06 II 306
Polydolopidae u. Polydolops, Kreide, Patagonien . . . . . 05 I 169
Polygonocarpus Czarnockii, Carbon, Dombrowa . . . . . 09 I 146
Polyhalit
— Auftreten in ozean. Steinsalzlagern bei 25° . . . . . 05 I 192
— bei 83° . . . . . 08 II 159
— Maman (= Mamanit) 06 I 161
Polykras, Norwegen, Granitpegmatitgänge des südlichen . . . 08 I 347
Polymastodontidae, Argentinien, Entwicklung . . . . . 05 I 159
Polymorphastrea, Dogger, St. Gaultier (Indre) 09 I 294
Polymorphe Doppelbrechung . . . . . 06 II 317
Polymorphe Körper . . 08 II 146
Polymorphe Mineralien, Stabilitätsfelder . . 07 II 10
Polymorphie
— der Alkalinitrate . . 06 II 164
— der Flüssigkeiten . . 09 II 330
— des $NaClO_3$ . . . . 09 I 162
— der Nitrate . . . . 05 I 12
— Unterschied v. chem. Isomerie . . . . . 05 I 11
— u. Isomerie, Bedeutung f. Entstehungstemperatur der Mineralien . . . . . 06 II *45*

Polymorphie
— u. Pseudosymmetrie. 1908 II 3
— siehe auch Dimorphismus und Polysymmetrie.
Polymorphina, einige Spezies v. D'ORBIGNY 1826 . . . . . 06 II 309
Polymorphinidea, Globigerinenmergel, Bahna, Rumän. Karpathen . 09 II *150*
Polypodium oregonense 07 II 503
Polypora, Entwicklung. 05 II 144
— karn. Fusulinenkalk 06 II *150*
Polyptychus Morgani, Kreide, Südpersien 1906 I 443. 444
Polystoechotes piperatus, Miocän, Florissant, Col. . . . . 08 II 111
Polystomella crispa = Faujatina carinata, Pozzuoli . . . . . 06 II 309
— macella var. limbata, Victoria, Austr. . . 09 I 144
— subumbilicata var. centronondepressa, Globigerinenmergel, Bahna, Rumän. Karpathen . . . . . 09 II *158*
Polystomellinae . . . . 08 II 286
Polysymmetrie . . . . 09 II 178
Pomatias antiquus und dubius, Alttertiär, Giengen b. Ulm . . 08 II 104
Pommern
— alte Stromtäler . . 06 II 434
— oberer Jura . . . . 06 II 100
— und Nachbarschaft, Zusammenhang von Erdmagnetismus, Schwere und geolog. Bau . . . . . BB XXII *114*
— u. Rügen, Entwicklung des Bodenreliefs 07 I 117
— siehe Vorpommern.
Pompeji, Leucit im Tuff 06 I 377
Pondoland, Kreide . . 07 II 306
Ponera Hendersoni, Tertiär, Florissant, Col. 07 I 322
Pontoleon magnus . . 07 II 485
Pontoplanodes argentinus u. obliquus, Pliocän, Argentinien . . 09 II 118
Pontoporia, Boldérien, Antwerpen . . . . 07 I 132
Ponzainseln, Sedimentärgesteine v. Zannone 1905 II 411
Popanoceras Ganti, Carbon, Nordamerika . 05 I 528
— Haugi, mittl. Trias, Inyo County . . . . 06 II 301
Poponochaerus Jaeckeli, balt. Bernstein . . 07 I 323
Populites amplus u. Hatcheri, Judith river beds, Nordamerika . 07 I 440
— tenuifolius, Matawan-Formation, Cliffwood, New Jersey . . . . 07 I 494
Populophyllum menispermoides u. minutum . . . . . 07 II 505
Populus cretacea, Judith river beds, Nordamerika . . . . . 07 I 440
— Ricei . . . . . 07 II 505
Porcellia primordialis, Devon, Ostthüringen BB XXIV *298*
Porenstellung paläoz. Seesterne . . . . . CBl 1907 *741*
Poricella maçonnica, Eocän, Tunesien . . . 05 II 142
Porocidaris prior, Blättermergel v. Theben, Aegypten . . . . . 06 II 122
— ruinae, Untereocän, Spilecco-Tuffe . . . 05 II 150
Porodine Mineralien . . CBl 1909 *325*
Porodiscus Bassanii, laevigatus, parvus, spiraliformis u. Vinassai, Miocän, Italien. 09 II 490
— crebriporus, Kreide, Euganeen . . . . . 06 I 474
Porotemnus, Kreide, Patagonien . . . . 05 I 168
Porphyr
— Antillen, kleine . . 06 II 376
— Kiautschou . . . . 06 II 366
— Lappland, Eisenerzlagerstätten . . . BB XXIV *548*
— westfäl. Diluvium . . . . . CBl 1907 *143. 168*
— Zentralfrankreich. . 07 I 389
Porphyr, quarzfreier
— Lago Maggiore und Valsesina . . . . . 05 II 65
— Nugget Point, Otago, Neuseeland . . . . 09 II 75
Porphyrgebiet, Lago Maggiore u. Valsesina 05 II 64

Porphyrische Struktur . 1907 II 416
— Erklärung . . . . . 05 II *27*
— und Eutektik . . . 06 II 197
— und magmatische Resorption . . . . . 05 II *1*
Porphyrit
— Bozen, enstatitführend . . . . . 07 I 230
— Bruneck, Pustertal . 09 II 220
— Ecuador, Ostkordillere 06 I 4‘0
— Kärntner Alpen . . 08 II 213
— Kiautschou . . . . 06 II 367
— Lago Maggiore und Valsesina . . . . . 05 II 64
— Le Selle-Paß, Fassatal, Plagioklas- . . CBl 1905 *53*
— Monzoni und Predazzo, chem. Zusammensetzung . . . . 06 I 59
— Ortlergruppe, Alter. 09 I 380
— Pontesford Hill, Shropshire, und Tuffe . . 05 II 391
— Puente del Inca, Aconcagua . . . BB XXIV *724*
— Quebec . . . . . 09 I 67
Porphyritgänge mit Granatsalbändern, Monzoni und Predazzo . 06 I 59
Porphyritische Eruptivbreccien . . . . . 06 II 369
Porphyrkonglomerat, Elfdal (Dalarne), Schweden, Diluvialgeschiebe, Westfalen . . . . . CBl 1907 *153*
Porphyroblastische Struktur d. krist. Schiefer 05 I 72
Porphyroide, Thüringen BB XXVII *326*
Porphyroidschiefer, Grand Menil, Belgien, Devon 05 II 106
Porphyrschild, Bozen . 06 II 245
Porphyrtuffe, Lago Maggiore und Valsesina 05 II 66
Porpitella Douxieuxi, Eocän, Aude u. Hérault 07 II 156
Portlandzement
— Gelbildung beim Erhärten . . . . . 09 II 85
— petrographisch und chemisch . . . . . 08 I 248
— Cement Belt, Pennsylvanien . . . . . 09 II 244
— Michigan, Industrie 06 I 238
Portugal
— Erdbeben in 1903 . 06 I 40
— Kreidepetrefakten 1907 I 448. 487
Portunus arabicus, Tertiär, Ormara—Kap, Mekran-Küste, Beludschistan . . . . . 1906 I 118
Porzellan, chem. u. phys. Natur . . . . . 09 II 84
Porzellanjaspis, Wyoming 07 I 244
Posen, baltischer Eisstrom, jüngerer . . 05 I 473
Posidonia Becheri, prod. Carbon . . . . . CBl 1905 *193*
— — — Dortmund u. Essen . . . . . CBl 1905 *308*
Posidonienschiefer, Lias, südwestliche Balkanhalbinsel . . . . . BB XXI *243*
Posidonomya, Trias, Bosnien . . . . . 05 I 106
— Bronni, Lias, südwestl. Balkanhalbinsel . . . . . BB XXI *291*
Positionswinkel φ und ϱ für veränderte Aufstellung des Kristalls 07 II 163
Postarchaicum und Archaicum, Seenregion, Nordamerika. . . . 07 I 74
Postglaziale Talrinnen und Verkehrswege . 07 II 477
Posthume Salzbildungen im deutschen Zechstein . . . . . 09 II 304
Postpampas-Formation, Patagonien . . . . 05 I 142
Postpithecus, Kreide, Patagonien . . . . 05 I 167
Postutaetus, Kreide, Patagonien . . . . . 05 I 170
Postvulkanische Prozesse, Ursache . . . CBl 1905 93
Potamacformation, Flora 07 II 504
Potamides crispoides, Senon, Südpersien . . 06 I 444
— malviensis (= ? lignitarum), ? revestensis, telonensis u. tenuigranulatus, Cenoman, Südfrankreich . . . 07 II 132
— Semseyanus, Hypersenon, Peterwardeiner Gebirge . . . . 06 II 267
Potamobius antiquus, Kreide, Schaumburg-Lippe'sche Mulde. . 06 I 441
Potamogetophyllum . . 07 II 505
— veroneuse . . . . . 07 II 506

Potamotherium franconicum, süddeutsche Bohnerze . . . . . 1908 I 127
— lacota u. lycopotamicum (Lutrictis) . . . 05 II 128
Potenza-Tal, oberes, diluviale Säugetiere . 06 I 134
Potericeras angustum, ? campylum, compactum, latum u. subfusiforme, ob Oberdevon, Enkeberg . BB XXVI *627*
Potericrinus geometricus, Devon, Ostthüringen . . . . . BB XXIV *276*
Potomac-Formation, Flora 07 II 504
Powellit
— Rußland . . . . . 09 II 333
— Texas u. Nevada . . 09 I 194
Pozzolane, Rom, Radioaktivität . . . . . 05 I 418
Pozzuoli
— Serapis-Tempel 1906 I 202 CBl 1906 *218*
— Solfatara . . . . . 07 II *65*
Präcambrium
— kalkfreier Ozean u. Fehlen von Organismen . . . . . 09 I 50
— Böhmen, Alaun- und Pyritschiefer des westlichen . . . . . 06 I 52
— Fennoskandia, östl. Teil . . . . . CBl 1907 *33*
— Finnland u. benachbartes Rußland . . CBl 1906 *600*
— Georgetown, Colorado 08 I 238
— Lake Superior-Region 07 I 108
— Neucaledonien . . . 05 II 273
— Wisconsin, nördl. . 09 I 226
Präcarbon, Timor, portugiesisch . . . . BB XXIV *465*
Praecardium angulatum, Devon, Ostthüringen . . . . BB XXIV *295*
Praeglyphioceras pseudosphaericum, ob. Oberdevon, Enkeberg . BB XXVI *599*
Prähistorie . . . . . 1908 I 104 ff.
— siehe Artefakten, Eolithen, Höhlen, Mensch etc.
— und Geologie . . . 07 II 471
Praeovibos priscus, Pleistocän, Süßenborn u. Taubach . . . . . CBl 1908 *481*
Praesorites (P. Moureti), Oberkreide . . . . 1905 II 154
Praeuphractus limus u. nanus, Santa Cruz-Schichten . . . . . 05 I 503
Prag, Geologie der Umgegend . . . . . 07 II 105
Praktische Geologie, Fortschritte . . . . . CBl 1904 151
Prasinit
— Susa-Tal, Rocca Bianca, aus Gabbro umgewandelt . . . . . 06 II *105*
— Westalpen, Entstehung . . . . . 07 I 229
Praßberg, Senkungsfeld 06 II 247
Predazzit, Teulada, Sardinien . . . . . 06 II 329
Predazzo
— Eruptivgesteine, chem. Zusammensetzung . 06 I 57
— leukokrate Ganggesteine . . . . . 05 II 218
Prehnit
— Ajudagh, Krim . . 09 II 367
— Biella, Piemont, Drusen im Syenit . . . 06 II 40
— Fassatal, Glühverlust 06 I *26*
— Horn, Niederösterreich . . . . . CBl 1909 *397*
— Lyman's Crossing, Holyoke Range, Caement des Tuffes . . 05 II 397
— Mongolei, Ulanskadyk-Gipfel . . . . 05 II 183
— Moore Station, New Jersey . . . . . 06 I 353
— Sachalin . . . . . 08 II 334
— S. Fedelino am Comer See, im Granit . . . 07 II 35
— Schlaggenwalde . . 07 II 33
— Sibirien, Minussinskscher Kreis . . . . 09 II 368
— Zöptau, Mähren . . 06 I 344
Prehnitfels, Schwarzwald 07 II 67
Premier Mine b. Pretoria, größter Diamant (Cullinan-Diamant) . . . 05 II 345
Prepotheriidae, Santa Cruz beds, Patagonien . . . . . 06 I 463
Prepotherium, Santa Cruz beds, Patagonien . . 06 I 463
Preptoceras Sinclairi, Kalifornien, Samwel-Höhle . . . . . 07 I 458

Presanellagruppe, Geologie des nördlichen Abhangs . . . . . 1908 II 361
Prestwichia signata, Perm, Kansas . . . 06 II 298
Primaten
— Stammesgeschichte u. Systematik . Festband *197. 222*
— Eocän, Amerika . . . 05 I 324
— Kreide, Patagonien 05 I 167
Primigenius-Rasse der neolith. Fauna in Mitteleuropa . . . 06 II 443
Priodontes, Perforation des Astragalus . . 07 I 467
Prionolepis, Chalk, England . . . . . 05 II 137
Prionolobus Jacksoni u. Waageni, Trias, Amerika . . . . . 06 II 304
Prionotropis Alluaudi, Diego Suarez . . . 07 II 334
— Branneri, Kreide, Kalifornien . . . . 06 I 288
Priorit, Norwegen, Granitpegmatitgänge des südlichen . . . . . 08 I 349
Prismen
— anisotrope, Minimalablenkung . . . . 08 II 142
— — symmetr. Minimalablenkung . . . 08 I 162
Pristerognatus Baini, Südafrika . . . . . 07 I 145
Proadiantus, Kreide, Patagonien . . . . . 05 I 167
Proarcestes ausseanus u. Gaytani, Aonoides-Schichten, Epidauros (Argolis) . . . . . Festband *20*
— pacificus, Subbullatus-Schichten, Kalifornien . . . . . 06 II 301
Proasmodeus, Kreide, Patagonien . . . . . 05 I 168
Proboscidella Kutorgae u. lata (Productus), Obercarbon, Ural u. Timan . . . . . 05 I 534
— cf. lata, ob. Carbon, Kukurtuk-Tal, sdl. Tian-Schan . . . BB XXII *370*
Proboscidier
— Kreide, Patagonien . 05 I 168
— Tertiär, Fayum . . 07 II 310
— Schädel, Entwicklung 05 II 471
Proboscina microstoma, Tertiär Patagonien 1905 II 141
Procerithium duplex, lurum, Morgani u. persicum, Senon, Süd-Persien . . . . . 06 I 444
Prochlorit, Easton, New Jersey, chem. . . . 06 I 354
Procladosictis, Kreide, Patagonien . . . . 05 I 169
Procladiscites Pascui, ladin. Stufe, Dobrudscha . . . . . 08 I 419
Proclydonautilus buddaicus, tibetan. Klippen d. Zentral-Himalaya 08 II 414
— griesbachiformis, Tropites-beds, Byans . 08 II 236
Procolophon, Procolophonidae, Systematik 07 I 478
Procolpochelys, Nordamerika . . . . . 09 I 452
Procopoblatta Schusteri, Oberrotliegendes, Pfalz 09 I 305
Procyon simus, Mc Cloud River, Cal., Bärenhöhle . . . . . 07 II 317
Prodromites ornatus, Untercarbon, Nordamerika . . . . . 05 I 527
Productus aculeatus, cancriniformis, cora, curvirostris, elegans, fasciatus, gratiosus, Gruenewaldti, inflatus, lineatus und cf. lineatus, mammatus, punctatus, pustulatus, simensis, subcostatus, tenuistriatus und uralicus, ob. Carbon, Kukurtuk-Tal im südl. Tian-Schan . . . . . BB XXII *360*
— barringtonensis, Carbon, New-Süd-Wales 05 II 325
— Cora var. kok-dscharensis, giganteus var. edelburgensis, longispinus, margaritaceus u. striatus, untercarb. Transgressionsmeer, Tian-Schan BB XXVI *230*
— Cora u. var. simensis u. tenuistriatus, lineatus u. longispi-

nus, untercarb. Transgressionsmeer, Tian-Schan . . . . . BB XXVI *217*
Productus corrugatus, costatus, fimbriatus, giganteus, hemisphaericus, margaritaceus, mesolobus, plicatilis, punctatus, pustulosus, scabriculus, semireticulatus u. undatus Culm, Königsberg b. Gießen . . . BB XXVIII *614ff.*
— ischmensis, Jakoslevi, juresanensis, Kutorgae, lata, pseudomedusa, simensis, tartaricus, tastubensis und uralicus, Obercarbon, Ural und Timan . . . . . 1905 I 534
— Purdoni, Perm. Kaschmir . . . . . CBl 1906 *129*
siehe auch Proboscidella.
Productuskalk
— Zentral-Himalaya, Kuling-Schichten, Chideru- und Vingal-Gruppe, Perm . . . 05 II 281
— Indien, Gliederung Festband *468*
— Saltrange 1905 II 282 CBl 1906 *129*
Productusschiefer, Zentral-Himalaya . . . 05 II 280
Proetus dormitans, Devon, Ostthüringen BB XXIV *308*
Proëutatus carinatus, Deleo, lagena, oenophorus und robustus, Santa Cruz-Schichten 05 I 501
Progenetta certa, Mittelmiocän, La Grive St. Alban . . . . . 05 II 306
Prognathosaurus giganteus und Solvayi, Kreide, Belgien . . 05 II 309
Progonopteryx belgica, Carbon, Belgien . . 05 I 523
Proholopus, Körperform Festband *292*
Prohyracotherium, Kreide, Patagonien . . . . 05 I 167
Projektion
— gnomonische . . . . . CBl 1905 *491*
— — Anwendung beim Kristallzeichnen . . 05 II 1
Projektion
— gnomonische, Anwendung in Kristallographie . . . . . 1906 II 314
— — auf 2 Ebenen . 07 II 1
— stereographische, Anwendung . . . . 07 I 2
Projektionen, kristallographische, Konstruktion . . . . . 06 II 314
Prolagostomus, Tertiär, Patagonien . . . . 07 II 325
— obliquidens, Tertiär, Patagonien . . . . 07 II 326
Prolagus, Quartär, westl. Mittelmeergebiet . . 07 I 459
Prolecanites Gurleyi, Carbon, Nordamerika 05 I 527
Prolobites delphinus u. var. atava und var. elliptica, und mirus, ob. Oberdevon, Enkeberg . . . . . BB XXVI *590*
Promathildia, Grenzdolomit, Schwaben . . BB XXV *107*
— (?) permiana, Bellerophonschichten, Bosnien 05 I 105
— Theodori, Keuper, Schwaben . . . . BB XXV *112*
Promephitis Gaudryi, Unterpliocän, Salmendingen u. Melchingen, Bohnerze 1908 I 125. 127
Promerycochoerus Carrikeri . . . . . 07 II 487
— vantarselensis . . . 07 II 488
Promina-Schichten, Novigrad-Benkovac, Norddalmatien . . . . 07 I 103
Promyalina Hindi. Bellerophonschichten, Bosnien . . . . . 05 I 105
Promysopidae u. Promysops, Kreide, Patagonien . . . . 1905 I 157. 169
Pronoella lotharingica u. Spanieri, Eisenerzformation, Lothringen u. Luxemburg . . . 06 I 305
Pronorites triadicus. Untertrias, Albanien . 08 II 400
Pronycticebus Gaudryi (= Cryptopithecus, Frohnstetten) . . . 06 II 443
Propachyrucos, Kreide, Patagonien . . . . 05 I 167

Propalaemon minor und osborniensis, Osborne beds, Wight . . . . 1905 I 309
Propalaeohoplophoridae, Kreide, Patagonien . 05 I 169
Propalaeohoplophorus, Santa Cruz beds, Patagonien . . . . . 06 I 454
Propalaeotherium, Bartonien, Castrais . . 05 II 302
— argentonicum u. isselanum, Eocän, Schweiz 06 II 287
Propappus omocratus, Graaff Reinet . . . 09 II 126
Proparia (Trilobiten) . CBl 1907 *130*
Prophilanthus destructus, Tertiär, Florrissant, Colorado . . . . . 07 I 321
Prophyseter, Boldérien, Antwerpen . . . . 07 I 131
— Dolloi, Boldérien, Antwerpen . . . . . 07 I 134
Propitella Doucieuxi, Eocän, Aude und Hérault . . . . . 07 II 156
Proplanodus, Kreide, Patagonien . . . . . 05 I 168
Propristis Schweinfurthi, Säge, Obereocän, Aegypten . . . . . 07 I *1*
Proptychites Walcotti, Meekoceras beds, Ingo County . . . . 06 II 302
Propylit, Batakländer (Sumatra) . . . . BB XXVII *422*
Propyrotherium, Kreide, Patagonien . . . . 05 I 168
Prosbole hirsuta, Perm, Rußland, an der Kama 05 I 522
Prosimiae
— Systematik . . . . 06 II 448
— Kreide, Patagonien . 05 I 167
Prosodacna longiuscula, neogen. Eisenerz, Kaukasus . . . . . 06 I 432
Prosotherium, Kreide, Patagonien . . . . 05 I 167
Prosphingites Austini, Meekoceras beds, unt. Trias, Inyo County . 06 II 301
Prostegotherium, Kreide, Patagonien . . . . 05 I 170
Prosthennops crassigenis, Miocän, Süd-Dakota 05 II 130
Prostylops, Kreide, Patagonien . . . . . 05 I 168
Protactoclymenia cycloptera, involuta, Lotzi, Phillipsi, pulcherrima, subflexuosa u. valida, ob. Oberdevon, Enkeberg . . . . . BB XXVI *608*
Protaephyllum californicum . . . . . 1907 II 505
— Uhleri . . . . . 07 II 506
Proteites (Ceratites) labiatus, Hallstädter Kalk, Epidauros (Argolis) . . . . . Festband *9*
Proterix Loomisi, Oreodon bed, Süd-Dakota 05 II 472
Proterobas
— Ampasindava (Madagaskar) . . . . . 05 I 438
— Sohland a. Spree, mit Ni-Erzen . . . . . 05 I 97
Proterosuchia, Proterosuchus . . . . . 08 II 438
Proterosuchus Fergusi, Karru-Schichten, Tarkastad . . . . . 07 I 144
Proterotheriidae
— Zahnsystem . . . . 05 II 464
— Kreide, Patagonien . 05 II 167
Proterotherium, Patagonien, Extremitäten . 07 II 138
Prothylacynus, Zahnsystem . . . . . 05 II 455
— Santacruzeno, Patagonien . . . . . 07 I 307
Protobradydae u. Protobradys, Kreide, Patagonien . . . . . 05 I 169
Protocalamariaceae Potonié 1899 . . . . CBl 1906 *241*
Protocardium cinctutum, Kreide, Zululand . . 07 II 304
— hillanum var. umkwelanensis, Kreide, Umkwelane Hill, Zululand . . . . . 06 I 308
— Vaughani, Buda limestone, Kreide, Nordamerika . . . . . 06 I 308
Protocetus, Eocän, Aegypten . . . . . 09 II 119
— atavus und Zittelli, Eocän, Mokattam . 05 I 489
Protodammara speziosa, Kreide . . . . . 09 II 153
Protogin, Korsika, Entstehung . . . . . 07 II 404

Protogin
— Mieselen (Lauteraargletscher), aplitische Randfacies . . . . 1905 I 427
— Reußtal, Protoklase 06 II 209
— St. Gotthard, Beziehg. zu metamorph. Schiefer . . . . . 06 II 208
Protohippus . . . . . 05 II 468
— mirabilis, pernix, placidus, sinus u. supremus, Miocän, Süddakota . . . . . 08 I 129
Protoindris globiceps, Madagaskar . . . . 06 II 446
Protoklase
— der Gesteine . . . . 06 II 56
— Protogin, Reußtal . 06 II 209
Protokristalle in porphyrischen Gesteinen 07 II 417
Protolepidodendron Karlsteini u. Scharyanum, Devon, Etage H, Mittelböhmen . . . 06 II 145
Protophocaena minima, Boldérien, Antwerpen 07 I 137
Protophyllum Launayi, Kreide, Balkan . . 06 I 428
Protopiceoxylon extinctum, Jura?, König-Karls-Land . . . . 09 I 301
Protopis, Buloger Kalk, Bosnien . . . . . 05 I 106
Protorhipis acutidens, Rhät, Bornholm . . 08 I 452
Protosiren Fraasi, Eocän, Mokattam . . . 09 I 440
Protospiralis, Naples Fauna, westl. New York . . . . . 05 I 150
Protostega advena und potens, Nordamerika 09 I 452
Protostephanus Ashmeadi, Tertiär, Florissant, Col. . . . . 07 I 321
Protozoen . . . . . CBl 1906 *225*
Protrachyceras Ansoni, Tropites-limestone, Byans . . . . . 08 II 237
— Cautleyi, Muschelkalk, Himalaya . . 08 II 245
— furcatum, Aonoides-Schichten, Epidauros (Argolis) . . . . . Festband *29*
— Lecontei, Trias, Amerika . . . . . 06 II 305
Protrachyceras orientale, Werfener Schichten, Bucieri, Montenegro 1905 II 108
— sirenitoides, ladin. Stufe, Dobrudscha . 08 I 419
Protriton Fayoli, Carbon, Frankreich . . . . 07 I 310
Protungulata, Kreide, Patagonien . . . . 05 I 167
Proustit
— Alt-Vosic bei Tabor, Böhmen . . . . . 09 II 366
— Binnental . . . . . CBl 1905 752
— Colorado, Gletscherberg b. Montezuma, Summit Co. . . . . 09 II 335
— Markirch . . . . . 09 I 24
— s. auch Rotgiltigerz.
Provençalische Alpen . 05 I 278
— — Bau . . . . 1906 II 253. 256
Provence, Jura . . . . 06 I 424
Prowersose
— Colorado, Two Buttes 08 II 371
— Maine, Knox County 08 II 372
Prozaëdius exilis und proximus, Santa Cruz-Schichten . . . . . 05 I 501
Prozeuglodon, Eocän, Aegypten . . . . . 09 II 119
— atrox, Schädelbildung 09 I 435
— Tertiär, Fayum . . 07 II 315
Prunerit, Färöer . . . 09 I 29
Pruninium gummosum, westl. Verein. Staaten 09 I 149
Prunulum hexagonatum, Miocän, Italien . . 09 II 490
Prunus marchica u. sambucifolia, Braunkohle, Senftenberg . . . . 08 I 449
Psammobia valangiensis, Valangien, argentin. Kordillere . . . . BB XXIII *220*
Psammolingulina, mioplioc. Mergel v. Bonfornello (Palermo) . 06 I 472
Psephechinus Quoniami, ?Bathonien, Algerien 06 I 156
Psephophorus eocaenus, Aegypten . . . . . 06 I 153
Pseudacesta Dieneri, Pachycardientuffe, Seiser Alp . . . . 07 II 337
Pseudodiantus, Kreide, Patagonien . . . . 05 I 167
Pseudamaura terrazulensis, Kreide, Zululand 07 II 304

Pseudamphicyon lupinus, Oligocän, Veringen, süddeutsche Bohnerze 1908 I 123
Pseudamussium Huttoni, Oamaru series, Neuseeland . . . . . 06 I 467
Pseudarcella Rhumbleri, Rupelton, Mainzer Becken . . . . . 09 II 324
Pseudaspidoceras deciduum, Kreide . . . 07 II 149
Pseudavicula africana, Kreide, Zululand . . 07 II 304
Pseudemys caelata u. extincta, Nordamerika 09 I 452
Pseudoasterophyllites Vidali, Santa Maria de Meya, Spanien . 09 I 458
Pseudobelus Rodoi, Madagaskar . . . . . 07 I 431
Pseudoboleit, Verwachsung mit Boleit und Cummengeit . . . . 07 I 341
Pseudobradypus unguifer, Carbon, Ost-Canada . . . . . 05 I 339
Pseudoceratites, Kreide 07 II 147
Pseudochromat. Färbung von Mineralien durch organische Farbstoffe (Pseudofärbungen, Pseudochromasie) BB XXVIII *342*
Pseudocladosictis, Kreide, Patagonien . . . . 05 I 169
Pseudocorbula keuperina, Schwaben . . BB XXV *95*
— — Lettenkohle, Württemberg . . . . . CBl 1907 *45*
Pseudocotunnit, Vesuv, von 1906 . . . . . 08 I 207
Pseudocycas insignis u. pumilo, Lias, Hör (Schweden) . . . . 08 I 145
Pseudodanubites, Muschelkalk, Himalaya . . 08 II 244
Pseudodiadema Griesbachi, Kreide, Pondoland . . . . . 07 II 306
— lingonense, Jura, Haute-Marne . . . 09 II 480
— primaevum, Infralias, Vendée . . . . 05 II 147
Pseudoeolithen
— Frankreich, Senon u. Untereocän . . . . 08 I 282
— nord. Geschiebemergel 08 I 281
Pseudogelocus suevicus, Oligocän, Oerlinger Tal, süddeutsche Bohnerze . . . 1908 I 123. 128
Pseudoheligmus Morgani, Kreide, Süd-Persien . 1906 I 444
Pseudohyrax, Kreide, Patagonien . . . . 05 I 167
Pseudolabis dakotensis, Oligocän Nordamerika 07 I 301
Pseudolestodon = Mylodon . . . . . 05 II 471
— hexaspondylus . . . 07 II 479
Pseudoleucit
— Cnoc-nə-Sroine, Nord-Schottland, im Borolanit . . . . BB XXII *424. 439*
— Yukon-Territorium . 07 I 202
— — im Phonolith . . 08 I 236
— siehe auch Natronleucit.
Pseudoliva coniformis, Eschi und Schweinfurthi, ?Eocän, Kamerun . . . . . 06 II 123
— Krischtafowitschi, Paläocen, Saratow . 05 II 121
— praecursor u. Zitteli, Hypersenon, Peterwardeiner Gebirge . 06 II 268
Pseudolops, Kreide, Patagonien . . . . . 05 I 169
Pseudomelania Dumortieri, Zone des Lioc. concavum, Couzon-au-Mont-d'Or b. Lyon 05 I 464
— leptomorpha u. urgonensis, Kreide, Orgon (Bouches-du-Rhône). 06 I 318
Pseudomonotis Aueri, Kokeni, leptopleura u spinicosta, Werfener Schichten, Südtirol . . . . . CBl 1908 *75*
— Dieneri, punjabiensis, saxorum u. Waageni, Saltrange . . . . . 09 I *9*
— Iwanowi, Trias, Tobisinschichten, Süd-Ussuri-Gebiet . . BB XXVII *534*
— ochotica, Trias, Rotti u. Timor . . . . . CBl 1909 *357*
— — var. densistriata, Trias, Timor . . BB XXIV *190*
— — — — u salinaria, Trias, Griechenland . 06 I *39*

Pseudomorphosen
— Bildung . . . . . 1909 II 182
— Markirch . . . . . 09 I 26
— Simferopol, verschiedene . . . . . 09 II 367
— Albit nach Laumontit, Landvaerk, Evje, Saetersdalen, Norwegen . . . . . 06 I 351
— Analcim nach Nephelin, Katzenbuckel . 08 II 351
— Asbest nach Magneteisen . . . . . 09 II 346
— Brauneisenerz nach Eisenspat, Erzberg b. Hüttenberg, Kärnten . . . . . 05 II 84
— — nach Schwefelkies, Shoshone, Idaho . . 05 II 181
— Chalcedon nach ? Flußspat, Sachalin . . . 08 II 334
— Cimolit nach Augit, Kaiserstuhl . . . . CBl 1909 *333*
— Cölestin nach Schwerspat, Tunis . . . . CBl 1905 *33*
— nach Cölestin (sogen. Gerstenkörner), Paris 06 II 347
— nach Cordierit, Japan 07 I 206
— Dolomit nach Kalkspat, Schemnitz, Umwandlung . . . . . CBl 1909 *555*
— Feldspat (?) nach Skapolith, Gellivara-Erzberg . . . . . 06 I 350
— Gerstenkörner, Sangerhausen etc. . . . . 09 II 361
— — Paris, nach Cölestin . . . . . 06 II 347
— nach Gips, im roten Salzton des jüngeren Zechsteinsalzes, Norddeutschland . . . . 09 I 424
— Granat nach Vesuvian, Schlaggenwalde . . 07 II 32
— Kalkspat nach Hibschit, Marienberg b. Aussig . . . . . 1908 I 31, 375
— nach Korund . . . 07 II 13
— Kupferglanz, Grab in Kostunici (Serbien) . 09 II 13
— Limonit nach Quarz, Kalwang . . . . . 05 I 13
— — nach Spateisen u. Schwerspat, Quittein, Westmähren, Eisenerzlagerstätte . . . 05 II 245

Pseudomorphosen
— Manganmineral nach Kalkspat od. Dolomit, Brasilien . . . . . CBl 1909 *781*
— Markasit nach Rutil, Modriach, Steiermark 1905 I 13
— Molybdit nach Molybdänglanz, Ilmén-Gebirge . . . . . 09 II 15
— Nontronit nach Wollastonit, Concepcion del Oro, Mexiko . . CBl 1909 *163*
— Numeit nach einem Insekt . . . . . 05 I 365
— Orthoklas nach Laumontit, Templeton, Quebec . . . . . 07 II 12
— Osteolith n. Kalkspat, Prausnitz, Schlesien CBl 1905 *641*
— Palygorskit nach der Spaltbarkeit, Simferopol . . . . . CBl 1908 *7*
— Quarz nach Apophyllit, Fort Point, San Francisco, Cal. . . . 05 I 205
— — nach Magnetkies, St. Lorenzen, Steierm. 05 I 13
— — nach der Spaltbarkeit der Zinkblende, Nagolnij Krjasch, Donetz-Becken . . . 07 II 195
— Roteisenstein nach Schwefelkies, Campolongo . . . . . 05 I 203
— Sandstein nach Kalkspat, Heidelberg, Buntsandstein . . . 08 II 304
— Schwefelblei nach homogentisinsaurem Blei, künstlich . . . 05 II 4
— Schwefelkies nach Quarz, New York . 06 I 334
— Sillimanit nach Andalusit, Niederösterr. Waldviertel . . . . CBl 1908 251
— nach der Spaltbarkeit CBl 1908 *6*
— — — — der Zinkblende 07 II 195
— Stilpnomelan nach Pyrit . . . . . CBl 1907 *294*
— Strahlstein nach Enstatit oder Diopsid, Kragerö . . . . . 09 II 345
— Tarbuttit nach Zinkspat und Descloizit, Broken Hill-Grube, Rhodesia . . . . . 09 II 35

Pseudomorphosen
— Thuringit nach Kalkspat, Gobitschau, Mähren . . . . . CBl 1906 *304*
— von Zinnstein, Bolivia 1908 II 300
— siehe auch Paramorphosen und Perimorphosen.
Pseudomurchisonia Kokeni, unt. Campiler Schichten, Col di Rodella . . . . . 08 I *16*
— Schmidti, Werfener Schichten, Südtirol . CBl 1908 *79*
Pseudopachyrucos, Kreide, Patagonien . . . . 05 I 167
Pseudophit, Strehlerberg bei Markt-Redwitz, Fichtelgeb., Bildung im Kalkstein . . . 05 II 217
Pseudoptera gaultina u. haldonensis, Kreide, England . . . . 06 I 467
Pseudosageceras intermontanum, Meekoceras beds, Idaho u. Kalifornien . . . . 06 II 302
Pseudoscalites collariatus u. paucestriatus, Pachycardien-Tuffe, Seiser Alp . . . . . CBl 1905 *177*
Pseudosiobla megoura, Miocän, Florissant, Colorado . . . . . 08 II 111
Pseudosporochnus Krejčii, Devon, Etage H, Mittelböhmen . . . 06 II 145
Pseudostegotherium, Kreide, Patagonien . 05 I 170
Pseudostylops, Kreide, Patagonien . . . . 05 I 168
Pseudosymmetrie u. Polymorphismus . . . . 08 II 3
Pseudotaphrus Moloti, Eocän, Paris . . . 07 II 303
Pseudotissotia Philippii, Mungokalke, Kamerun 05 I 153
— segnis, Oberkreide, arab. Wüste . . . . 05 I 177
— tunisiensis, Kreide . 07 II 148
Pseudotissotidae, Kreide 07 II 148
Pseudowollastonit und Wollastonit . . . . 07 I 29
Psilomelan . . . . . CBl 1909 *328*
— als unipolarer Leiter BB XXI *338*
— Cevljanovich, Bosnien 09 II 404
Psilomelan, Sternberg, Mähren . . . . . 1906 I 332
Psilophyton bohemicum u. spinosum, Devon, Etage H, Mittelböhm. 06 II 146
Psygmophyllum Hollandi, Permocarbon, Kaschmir . . . . . 08 I 453
Pteranodon ingens, Hand CBl 1906 *411*
— (Ornithostoma) ingens 1905 I 516. 517. 520
Pteraspis Crouchi, Liévin, Pas-de-Calais . 05 I 340
Pteria (Pseudopteria) gaultina u. haldonensis, Kreide, England . . . . . 06 I 467
Pterichthys Rhenanus = Asterolepis Rhenanus CBl 1909 *491*
Pteridophyta . . . . . 09 II 325
Pteridospermeae, Zugehörigkeit vieler paläoz. Pflanzen . . . 07 I 163
Pteriidae, Kreide, England 06 I 466
Pterinea, Devon, Bolivia BB XXV *535*
— concentrica, Devon, Ostthüringen . . . BB XXIV *293*
Pterocarpus aegyptiacus und orbicularifolius, Eocän, Fayum . . . 09 I 308
Pterochaenia, Naples-Fauna, systematische Stellung . . . . . CBl 1905 *386*
— — westl. New York 05 I 150
Pterocorys euganea, Scaglia, Euganeen . 06 I 475
Pterodactylus, Finger . 05 I 520
— Lias, Schwaben . . CBl 1906 *291*
— antiquus und Kochi, Hand . . . . . CBl 1906 *409*
— Kochi, Ornithocephalus, Originalplatte . CBl 1909 *189*
— suevicus, Hand . . CBl 1906 *410*
— siehe auch Pterosaurier u. Ramphorhynchus.
Pterodon, Tertiär, Fayum 07 II 315
— Zahnsystem . . . . 05 II 455
— africanus, Eocän, Fayum . . . . . 05 I 157
— macrognathus, Eocän, Aegypten . . . . . 06 I 449
Pteronautilinae, Lias und Dogger . . . . 07 I 325
Pteronites naviformis, Culm, Königsberg bei Gießen . . . . BB XXVIII *636*

Pteronites (?) tanipteroides, Carbon, Neu-Südwales . . . . . 1908 I 278
Pteronus prodiguus, Miocän, Florissant, Col. 08 II 112
Pteropelyx altidens, marginatus u. Selwyni, Belly river series, Red Deer river, Nordamerika . . . . . 07 I 439
Pterophyllum, Trias . . 08 II 449
— alaskense . . . . . 07 II 504
— Bavieri und Portali, Carbon, Tonkin . . 08 I 310
— irregulare = Nilssonia Sturi, Louper Schichten 09 II 156
— lowryanum . . . . 07 II 504
Pteropoden, Rupelton, Mainzer Becken . . 09 II 325
Pteropodenmergel, Pest, alttertiär . . . . . 05 II 433
Pteropodenschlamm in Lagunen u. Korallenінseln . . . . . 07 II 218
Pterosaurier
— amerikanische . . . 05 I 508
— Handknochen . . . CBl 1906 *399*
— siehe auch Pterodactylus u Rhamphorhynchus.
Pterosphenus Schweinfurthi, ob. Mokattam, Fayum . . . . . 08 II 440
Ptilodus primaevus, Belly river beds, Red Deer river, Nordamerika . 07 I 439
Ptilolith, Elba, Speranza-Gang bei San Piero, Zusammensetzung . 08 II 34
Ptolemaia Lyonsi, Oligocän, Fayum . . . . 08 II 428
Ptychites Durandi und Everesti, Muschelkalk, Himalaya . . 08 II 245
— Hasserti, Haueri u. Tietzei, Muschelkalk, Montenegro . . . . 05 II 141
— Kokeni, Trias, Tobisinschichten, Süd-Ussuri-Gebiet . . BB XXVII *533*
— Meeki, ladinische Stufe, Humboldt Range, Nevada . . . . . 06 II 302
— seroplicatus, Hallstatter Kalk, Epidauros (Argolis) . . Festband *9*
Ptychoceras solanoënse, Kreide, Kalifornien 1906 I 288
Ptychocladia, paläozoisch 05 II 486
— agellus . . . . . 05 II 486
Ptychogyra canalifera, Kreide, Schaumburg-Lippesche Mulde . . 06 I 442
Ptychomphalus gracilis, Pachycardien-Tuffe, Seisser Alp . . . . CBl 1905 *177*
Ptychomya elegans, Kreide, Schaumburg-Lippesche Mulde . . 06 I 441
— Germani, Valanginien, Argent. Kordillere . . . . . BB XXIII *219*
— Stantoni, Malone beds, Jura, Texas . 07 I 285
Ptychosiagum orientale, Karruformation . . 08 I *1*
Ptychosphenodon, upper Karoo beds, Aliwal North und Middelberg . . . . . 08 II 277
Ptyonidae . . . . . 08 II 271
Ptyonius, Nürschan u. Linton . . . . . 08 II 271
Pucherit, Schneeberg (Sachsen), optisch . 07 I 207
Puddeleisen, Struktur . 09 II *130*
Puddelprozeß, mikroskopisch verfolgt . . . 09 II *130*
Puente del Inca, Aconcagua, Geologie . BB XXIV *716*
Pugnax granum u. Kayseri, Obercarbon, Ural u. Timan . . . . . 05 I 533
Pugnellus auriculatus, Kreide, Pondoland . 07 II 306
— sindensis, Tertiär, westl. Sind, Indien . CBl 1905 *137*
Pulaskit
— Belknap Mountains, New Hampshire . . 08 I 379
— Highwood Mountains, Montana . . . . . 06 II 374
— Monteregian Hills, Quebec . 1907 I 241 09 I 68
— Red Hill, Moultonboro, N. H. . . . . 09 II 388
— Schefford Mountains, Monteregian Hills, Quebec . . . . . 07 I 241
Pulchellia Nicklesi, Kreide . . . . . 07 II 150
Pulchellidae, Kreide . 07 II 150

Pullenia (Nonionina), Globigerinenmergel, Bahna, Rumän. Karpathen . . . . . 1909 II 150
Pulsationen, Erdbeben-
— Leipzig, Mai—Oktober 1904 . . . . . 05 II 370
— registriert am astatischen Pendelseismometer, Leipzig, 1. Jan.–30. Juni 1903 05 I 52
Pulsellum infraeocaenicum, Eocän, Paris . 07 II 303
Pulvinulina pondensis, Kreide, Ost-Pondoland, Südafrika . . 05 II 152
— pygmaea, Globigerinenmergel, Bahna, Rumän. Karpathen . 09 II *157*
Punktsysteme, regelmässige, Diagramme CBl 1906 *437*. *468*
Pupa Bonneti, Eocän, Paris . . . . . 07 II 303
— bythiniformis, Alttertiär, Giengen bei Ulm . . . . . 08 II 104
Purpurina Broilii, Pachycardien-Tuffe, Seiser Alp . . . . . CBl 1905 *177*
Purpurit
Faires Mine b. Kings Mountain, Gaston Co, N. Car., im Pegmatit 06 II 172
— Nordamerika (Branchville, Mass., u. Hill City, Süd-Dakota . 09 I 18
Purpuroidea trinodosa, Pachycardien-Tuffe, Seiser Alp . . . . CBl 1905 *177*
Puschkinit, Werch-Isetzkaja Datscha, krist. u. chem. . . 07 II 368
Pustertal, Störungszone 06 II 237
Puys-Kette, Arten der vulkan. Tätigkeit . 09 I 46
Puzosia, Rassenpersistenz . . . . . CBl 1909 *198*
— concinna, Kreide, Natal . . . . . 07 II 305
— Mülleri, Scaphiten-Pläner, Nettlingen . CBl 1905 *452*
— pinguis, planulata var. natalensis, subcompressa u. subtilis, Kreide, Zululand . 07 II 305
Pycnodonten
— Kreide, Kansas . . 1905 II 132
— — Hakel im Libanon CBl 1907 *360*
— Tertiär, Aude-Departement . . . . . 05 II 483
Pycnodus, Blockberg bei Ofen, unterolig. . . 06 I 153
— Pellei, Phosphate, Algier und Tunis . 05 II 479
Pycnosterinx levispinosus, Kreide, Libanon 05 II 482
Pycnostroma spongilliferum, Kohlenkalk, Namur . . . . . 07 I *137*
Pygaeus Agassizi, Mte. Bolca . . . . . 05 I 341
Pygurus Perreti, oberer Jura, Tunis . . . . 07 II 156
Pyralophodon, Patagonien . . . . . 05 II 467
Pyrargyrit
— Hiendelaencina . . 09 I 336
— Markirch . . . . . 09 I 24
— Tabor-Gegend . . . 09 II 366
— Ural, Perwoblagodatnji-Grube . . . 09 II 14
— siehe auch Rotgiltigerz.
Pyrazus elongatus, Senon, Süd-Persien . . 06 I 444
Pyrenäen
— Eruptivgesteine, Bellongue u. Ger-Tal . 05 I 428
— Geologie . . . . . 07 II 264
— Gneis u. andere Gesteine . . . . . 06 II 213 ff.
— Granite vom Alter der Kreide . . . . 05 II 385
— — tertiären Alters . 05 I 429
Pyrgoma cretacea, Upper Chalk, Norwich . . 06 II 140
Pyrgulifera Böckhi und decussata, obere Kreide, Alvincz . . 05 I 302
— gradata, Eocän, Lábatlan bei Gran, Ungarn, viele Exemplare . . . . . 05 II 434
— inopinata, Eocän, Paris . . . . . 07 II 303
Pyrifusus Bailyi, Kreide, Pondoland . . . . 07 II 306
Pyrina ovulum, Kreide, Azay-le-Rideau, Monstrosität . . . . . 05 II 148
Pyrit, siehe Schwefelkies.

Pyritschiefer, Westböhmen . . . . . 1906 I 51
Pyrochlor
— Sundsvale (Schweden), im Syenit, chem. etc. . . . . 05 I 383
— Wausau, Wisc., (Marignacit) . . . . . 05 II 177
Pyrochroit, Långban, Schweden . . . . . 06 I 166
Pyroelektrizität
— Untersuchungsmethode . . . . . 05 II 333
— Quarz . . . . . 05 II *52*
Pyrolusit, Nagolnij Krjasch, Donetz-Becken . . . . . 07 II 195
Pyromorphit
— Brechungsexponenten 05 I 39
— Issy l'Évêque (Saône-et-Loire), radioaktiv 1907 I 10. 356
— Lausetto (Valli del Gesso, Piemont) . . 06 I 349
— Otavi, SW.-Afrika . CBl 1906 *388*
— Rheinbreitbach . . CBl 1909 *257*
— Rhodesia, Broken Hill-Grube . . . . 09 II 36
— Ural, westlicher, im Beresit . . . . . 07 II 188
Pyrop, Meronitz u. Colorado River, Anal. . CBl 1906 776
Pyrophyllit . . . . . CBl 1909 *332*
— Nagolnij Krjasch, Donetz-Becken . . . . 07 II 197
— Norrö, Kirchspiel Utö 06 I 340
Pyropissit, Wito (Ostafrika) am Tawa-Fluß . . . . . 06 II 347
Pyropsis africana, Kreide, Pondoland . . . . . 07 II 306
Pyrotheria u. Pyrotheriidae, Kreide, Patagonien . . . . . 05 I 168
Pyrotherium, Patagonien, Extremitäten . 07 II 136
Pyrotherium-Fauna
— Patagonien . . . . 05 I 138
— — Uebergänge mit der Dinosaurierformation u. Pampasregion . . . . . BB XXVI *99*
Pyrotherium-Schichten, Kreide, Patagonien 1905 I 170 BB XXI *135*
Pyroxen, gesteinsbildend 09 II 17
Pyroxen
— isomorphe, Zusammenschmelzen . . . 1909 II 163
— Isomorphie d. Gruppe 09 II 179
— künstlich, Magnesia- 08 I 19
— — vergl. mit denen der Meteoriten . . . 09 II 168
— rhombischer, Dispersion d. opt. Achsen 08 I 22
— — Verteilung d. Fe-Gehalts . . . . . 08 I 63
— Schmelzpunkte der Varietäten . . . . 07 II 172
— topische Zahl der Gruppe in Eruptivgesteinen . . . . . CBl 1907 *9*
— Uralitisierung 1909 I 342 09 II 231
— Vergleich der Gruppe mit den Feldspaten 09 II 170
— Biella, Piemont, Drusen im Syenit . . . 06 II 36
— Cornwall, kontaktmetamorphisch im Kalk . . . . . 09 II 206
— Japan, Kamaisch-Grube etc., Analyse 09 I 33
— Sibirien, an der Anabara, rhombisch im „Hypersthengneis“ . 09 II 16
— Vesuv 1906 . . . . 08 I 44
— siehe auch Augit.
Pyroxenandesit, Argentinien . . . . . BB XXII *599*
Pyroxenaplit, Böhmen . 06 II 361
Pyroxenit
— Ceylon, im Charnokit 07 I 393
— Connecticut, Cortlandt Series . . . . 08 I 73
— Ledmore Lodge, Nord-Schottland . . . BB XXII *450*
— Monzoni und Predazzo, Gänge . . . 06 I 63
— Ottawa, Canada . . 05 I 250
— — County, Canada, in den Grenville Series 06 II 217
— Spitzbergen . . . . 08 II 370
— Südafrika, porphyrischer = Blaugrund . 09 II 239
— Ural, nördlicher . . 06 I 386
Pyroxenitisches Gestein, Monzoni u. Predazzo, gangförmig im roten Syenit . . . . . 06 I 58
Pyroxenkalk, Raspenau, Böhmen, am Kalkberg 06 I 55

Pyroxenmikroperthit . . 1909 II 171
Phyrrhit, Norwegen, Granitpegmatitgänge d. südlichen . . . . 08 I 354
Pyrrhotin, siehe Magnetkies.

Q.

Quadratische Kristalle, Zirkularpolarisation 05 II 336
Quadratisches System. tetraedrisch-tetartoedrische Abteilung bei $2\,CaO\,.\,Al_2O_3\,.\,SiO_2$ 08 I 161
Quadrula subglobosa, Quartär, Schweden u. Finnland . . . . 09 I 280
Quartär
— Abschnitte, verglichen mit archaeolog. Abschnitten . . . . 08 II 424
— Cyclostoma elegans seit der Diluvialzeit 06 I 297
— diluviale Eiszeit, Wesen u. Verlauf . CBl 1904 280
— Frage des Interglazials . . . . . CBl 1905 *673*
— Mensch, Ueberreste u. Werkzeuge . . . 06 II 269
— Menschenreste und -spuren . . . . . 07 I 449 ff.
— verschiedenalterige Diluvialtone . . . . 10 I 123
— Zeit des Aussterbens von Brasenia purpurea . . . . . 09 II 157

Afrika.

— Amani, Ost-Usambara 06 II 422
— Gafsa (Südtunesien) und prähistor. Einschlüsse im Diluvium 09 II *1*
— Südafrika, pleistocäne Fauna der Diamantseifen . . . . . 08 I 103

Amerika.

Nordamerika.

— Säugetiere . . . . . 07 I 456
— Alaska . . . . . 1905 II 272
— Buffalo River, East London, Mikrofauna 08 I 305
— Canada, Helen Mine-Tal, Michipicoten, Felsbecken . . . . 06 I 299
Quartär
— Illinois u. Iowa, Proboscidier . . . . . 1907 I 306
— Kalifornien . . . . 05 I 145
— — Höhlensäugetiere 07 I 298
— — Samwel-Höhle, Preptoceras Sinclairi 07 I 458
— Massachusetts, Cape Ann, Post- u. Interglazial . . . . . 07 II 130
— Niagara-Fluß, Kiese u. Sand . . . . . 06 I 261
— Texas, Pleistocän des nordwestlichen . . . 05 II 439

Südamerika.

— Argentinien, Wirbeltiere . . . . . 06 II 124
— Bolivia, Tarijatal, Condor . . . . . 08 II 435
— Ecuador, Punin, pleistocäne Säugetiere . 08 I 103
— Patagonien . . . . BB XXI *185*

Asien.

— Bithynische Halbinsel CBl 1909 *657*
— Java, Kendengschichten, Alter . . . . . CBl 1909 *513*
— — Kendengschichten mit Pithecanthropus erectus . . . . . BB XXV *648*
— — Trinil, mit Pithecanthropus erectus 1909 I 111 ff. Festband *270*
— — Uebersicht der Gastropoden . . . . 07 II *151*
— Jerusalem . . . . . 07 I 423
— Kaschgar gegen Kurlja, Schuttmassen . 06 I 97

Australien.

— Neuseeland, Südinsel, glaz. Relief . . . . 07 II 298
— Tasmanien, Glazial der Westseite . . . 07 II 299
— — Glazialschichten von Wynyard . . . 09 II *163*
— — Gliederung des Diluviums . . . . . CBl 1909 *4*

Europa.

— diluvialer Mensch . 06 I 127
siehe Mensch.
— Eiszeiten . . . . . 06 I 129

Quartär

Balkanhalbinsel und östliche Mittelmeerländer.

— Kreta, pleist. Säugetiere . . . . . 1907 I 298
— Rumänien, Pleistocän-Fauna . . . . CBl 1905 I 320

Belgien.

— Beziehung der Schotter zu den anderen Ablagerungen . . . 05 I 477
— Campine . . . . . 08 II 101
— Gliederung des Diluviums . . . . . 1905 I 478. 480
— Molar von Eleph. antiquus im Campinien und Bos primigenius im Moséen (Quenast) 05 I 484
— système Moséen . . 06 I 436
— Terrassen im Maastale . . . . . 08 II 409
siehe auch Quartär, Frankreich, gallobelgische Zone.

Deutschland.

Norddeutschland.

— norddeutsche Tiefebene . . . . . CBl 1905 *97*
— errat. Basalte im Diluvium . . . . . 09 I 64
— Geschiebe . . . . . 06 II 118
— Terrassen und Seebecken im östlichen, Beziehung zu glazialer Hydrographie 05 I 481
— nordischer Geschiebemergel, Pseudoeolithen . . . . . 08 I 281
— Brandenburg (Prov.) CBl 1906 578
— — Altmark, Diluvium . . . . . 07 II 450
— — — Kreis Gardelegen . . . . . 08 I 435
— — Berlin, Diluvium 07 II 465
— — — Hamburg, Rüdersdorf, Paludinenschichten und Glazialbildungen . . . CBl 1906 *181*
— — Fläming . . . . 05 II 443
— — Niederlehme bei Königswusterhausen, Hyänen etc. . . . . 05 II 472
— — Westpriegnitz . CBl 1907 693
— Braunschweig . . . 1907 II 457
— — Eolithen im Diluvium . . . . . 09 II 57
— — Elm und Lappwald, Kalktuffe . . 07 II 461
— — Thiede, Diluvium des Gipsbruches . . 09 II 70
— — — Mollusken des Löß . . . . . 05 I 309
— — Wesertalzwischen Holzminden u. Hameln 06 I 121
— Elbe, Schlickabsätze 05 II 444
— Hannover, Alfeld a. Leine, Kalktufflager 06 II 432
— — Emsgegend, untere . . . . . CBl 1907 695
— — Godenstadt bei Zeven, Interglazial . 08 II 408
— — Gronau, Leinetal, jungdiluv. Konchylienfauna im Kies . 06 I 297
— — Hümmling, Glazialbildung . . . . 08 I 98
— — Kehdinger Moor. 05 II 121
— — Leinetal, mittl., jungdiluv. Konchylienfauna . . . . . 05 I 310
— — Lüneburger Heide, Interglazial . . 08 II 99
— — — Terrasse und Klima der Postwürmzeit . . . . . CBl 1909 *599*
— — Motzen, Werlte, Ohlsdorf – Hamburg, Pflanzen . . . . . 09 II 157
— — Nordfriesland, Tuuls . . . . . 05 I *15*
— — östliches, Kiesmoränenlandschaft . . 05 II 442
— — Stade . . . . . 07 II 255
— — südliches 1905 I 144. 310 1907 II 98. 457
— — Wesertal zw. Holzminden u. Hameln . 06 I 121
— Harz, nördl., Harzrand Gliederung . . . . CBl 1909 *94*
— — Harzvorland, Faunen des nördl., u. Nehringsche Steppenhypothese . . . CBl 1909 *87. 317. 385*
— — — Glazialbildungen 08 II 98
— — — östl., u. Thüringen, Alter und Gliederung der Lößablagerungen . . . CBl 1909 *385*

Quartär
— Harz, Odertal bei St. Andreasberg, Moränenlandschaft . . 1906 I 298
— Hessen-Nassau, Frankfurt a. M. . . . . 05 I 311
— — Mainzer Becken . 07 II 458
— — Mosbacher Sande, Wirbeltierfauna . . 05 I 485
siehe auch Mauer bei Heidelberg
— — Wildscheuerhöhle, Steden a. Lahn, Menschen- und Tierreste 07 I 292
— Lauenburg etc. . . CBl 1907 692
— — Diluvium . . . . 07 II 463
— — obere Grundmoräne 05 I 472
— Lauenburger Ton als Leithorizont . . . . 09 II 309
— Lübeck . . . . . 1909 II 106
— — Grundmoränen u. jungglaz. Süßwasserbildungen . . . . . 05 II 440
— — Litorina-Bildungen 06 I 119
— Lübecker Mulde und ihre Terrassen . . . CBl 1907 *97*
— Meklenburg, Boizenburg, Foraminiferen 07 I 163
— — Parchim, Interglazial CBl 1905 *673, 737* CBl 1906 *66*
— Ostpreußen, Diluvium 1907 II 465 CBl 1906 578
— — Seen . . . . . 05 I 471
— — Kurische Nehrung, Moostorfschichten . 08 II 408
— — masur. Seenplatte CBl 1906 579
— — Samland, Endmoräne . . . . . 06 I 119
— Pommern, diluv. u. alluv. Säugetiere . . 06 I 140
— — Inlandeis . . . . 07 I 114
— — Topographie und Geologie der Städte 05 II 441
— — Wealdengeschiebe 05 II 443
— — Hollenberg b. Köslin 05 II 121
— — Gristow, Konglomeratgneis als Diluvialgeschiebe . . . CBl 1906 *625*
— — Neuvorpommern, postglaziale Talrinnen u. Verkehrswege 07 II 477
— — — und Rügen, Uckermark u. Mecklenburg, Reliefgestaltung während der letzten Vereisung . 08 I 96

Quartär
— Pommern, Rügen, Facettengeschiebe im Diluvium 1906 I *71* CBl 1905 *655*
— — — 1. Fund von Facettengeschieben bei Saßnitz . . . . CBl 1905 *655*
— — — u. Hiddensö, Landverluste der Küste . . . . . 1908 I 97
— — — Entwicklung des Bodenreliefs . . 07 I 117
— — Swinemünde, Oderbank . . . . . 05 II 293
— — Vorpommern, alte Stromtäler, Zusammenhang mit Litorina-Senkung . . . 05 I 473
— — — Interglazial . 07 II 462
— Posen, jüngerer balt. Eisstrom . . . . . 05 I 473
— — Nakel, Yoldia . 06 I 298
— — Oser, Schönlanke 09 I 108
— — Warthe-Netze-Gebiet, Dünenbildungen 08 I 98
— Rheinland, Aachen, Diluvium . . . . . 05 I 482
— — Krefeld, Eiszeitspuren . . . . . 05 I 482
— — Neandertal, Ablagerungen mit Menschenresten . . . . 05 II 302
— — Neuwieder Becken, rechtsrheinisch. Diluvium . . . . . 09 I 239
— — Niederrhein . . 07 II 455
— — — Diluvium . . 09 I 277
— — — Radiolarienhornsteine im Diluvium . . . . . 07 II 458
— — — Urstromtäler 05 I 482
— — Rodderberg bei Bonn, Diluvium . . 07 II 455
siehe auch Rheingebiet, außeralpines, Diluvium . . . . . 08 II 95
— Sachsen-Thüringen, Apolda, Diluvium . 09 I 278
— — Arnstadt, Schotterlager . . . . . 08 II 96
— — Dessau, Grundwasserverhältnisse . 07 I 262
— — Erfurt, Diluvium 08 II 96
— — Flechtingen, Glazialschrammen auf Kulmgrauwacke . . 06 I 297

Quartär
— Sachsen-Thüringen. Gera, Geschiebe . . 1907 II 462
— — — Kalktuff und Geschiebe . . . . 1907 II 461. 462
— — Gotha . . . . 1907 II 458. 459
— — Gräfenhainichen-Schmiedeberger Plateau, interglaz. Kiesströme . 1909 I 110 09 II 108
— — Großzössen bei Borna (Leipzig) . . 06 I 403
— — Halberstadt, Holtemmeschotter . . . 08 I 444
— — Halle a. S., Helix (Vallonia) saxonica 07 I 445
— — — u. Weissenfels, Gliederung . . . . 06 II 432
— — Ilmkiese . . . . 07 II 461
— — Ilm- und Saaleschotter, präglaziale 08 I 434
— — Jena, präglaziale Fauna etc. . . . . 09 II 108
— — Kemberg b. Wittenberg, Ockerkalke 09 II 107
— — Kösen . . . . . 08 II 97
— — Köthen, Löß und Schwarzerde 1909 I 109 09 II 107
— — Neuhaldensleben, diluv. Flußschotter . 06 I 122
— — Saalekiese . . . 07 II 461
— — Saaleschotter und Vereisung 1906 II 432 CBl 1907 *59*
— — Saaletal, mittl., Diluvium . . . . . 05 II 445
— — Saaleterrasse, oberste, Naumburg . . . 06 II 431 CBl 1906 *678* CBl 1907 *214*
— — Schönebeck a. Elbe, Eolithe, Mensch . . 06 I 130
— — Seweckenberg b. Quedlinburg, Säugetiere . . . . . 06 I 140
— — Thüringen . . . 1906 II 231
— — — Glazial . 1907 II 459. 461
— — — Langensalza etc. CBl 1906 584
— — — nordwestliches, Diluvium . . . . . 05 II 447
— — — u. östl. Harzvorland, Altersbestimmung und Gliederung der Lößablagerungen . . . . CBl 1909 *385*
— — Unstrutgebiet, fossilführ. Flußablagerungen . . . . . 05 II 473

Quartär
— Sachsen-Thüringen. Weidatal bei Schraplau, fossilführ. Mergel . . . . . 1907 I 445
— — Weimar, Konchylien aus den Kiesen 07 II 459
— — — paläolithische Funde . . . . . CBl 1908 *197*
— — — Glazialbildungen . . . . . 08 II 96
— — — Ehringshausen, ob. Travertin mit Rhinoc. Merckii . . CCl 1909 *23*
— — — Taubach und Süssenborn, Praeovibos priscus . . . CBl 1908 *481*
— — Weissenfels und Zeitz, 2 Löße . . . 09 II 109
— Schlesien . . . . . 06 I 123
— — Hirschberger Kessel 1907 I 443 07 II 462
— — Ingramsdorf, Schneckenmergel . . 06 I 123
— Schleswig-Holstein . 09 II 107
— — Diluvium . . . 07 II 463
— — vergl. mit Geikie's Klassifikation der europäischen Glazialbildungen . . . . . 05 II 293
— — Elmshorn, pflanzenführendes Interglazial im Bohrloch 05 II 441
— — Oldesloe . . . . 08 II 97
— — Sylt . . . . . BB XXI *185* BB XXII *139* CBl 1906 *631*
— — Uetersen-Schulau, marine u. Süßwasserablagerungen im Diluvium . 1906 I 120 08 I 100
— — Wittmoor (Holstein) vorgeschichtl. Bohlweg . . . . . 06 I 119
— Westfalen, Porphyr im Diluvium . CBl. 1907 *143. 168*
— — Teutoburger Wald, Diluvium . . . . . 09 II 249
— — Wesergebiet, glaz. Stillstandslagen im mittleren . . . . . 09 I 109
— — westl. Münsterland, Diluvium . . 08 I 428
— — westfäl. Becken. Alter von Menschenresten, Randmoränen und Gliederung . . 05 I 475

Quartär
— Westpreussen, Danzig, Umgegend . . CBl. 1906 16
— — Leba-Rheda-Tal 1908 I 98

Süddeutschland.

— Baden, Eberbach a. Neckar, Picea excelsa . . . . . 06 II 434
— — Mauer b. Heidelberg, menschl. Unterkiefer im unt. Diluvialsande . . . . . 08 II 415
— — Mauer u. Mosbach, Fauna d. Sande . . 07 II 483
siehe auch Mosbach bei Quartär, Hessen-Nassau.
— — Weinheim a. d. Bergstraße, Rheintal, Spalten aus diluv. Zeit 1906 II 431 CBl. 1906 *667 698*
— Bayern, interglaz. Schieferkohle, Flora 09 I 469
— — Freinsheim, Pflanzen des Tones . . . 09 I 468
— — München (Ismaning), interglaz. Konchylienfauna . . . . 06 II 434
— — Regensburg, altalluviale Konchylienfauna, Pürklgut . . 06 I 123
— — — Konchylien des Tufflagers, Tal d. Schwarzen Laaber . 06 II 431
— — — Lößkonchylien 06 I 123
— — — Lößkonchylien im Donautal . . . . 05 II 449
— Elsaß, Strangenberg bei Rufach, Ober-, Diluvium u. Alluvium BB XXVI *46*
— Rheingebiet, außeralpines, Diluvium . 08 II 95
— Württemberg, Diluvium u. jüngerer Löß 09 II 75
— — Cannstatt, Ostracoden des Mammutfelds . . . . . 06 II 138
— — Neckar-Museltal, diluv. Terrassen . . CBl. 1907 *461*
— — Schwarzwald . . 08 II 94
1909 II 417. 419 ff.
— — — Freudenstadt, Glazialbildungen . . 08 II 94
— — Glazialbildungen BB XXI *397*
— süddeutsche Bohnerze 08 I 125

Quartär

Frankreich.

— Coquelles, Geröllager 08 II 411
— gallo-belgische Zone 08 I 270
— Garonne-Tal . . . . 05 I 312
— Hautes Bouyères (Seine), Spermophylus superciliosus . . 08 I 285
— Lacave (Lot), Höhle mit Tieren u. Artefakten . . . . . 07 I 450
— Martigues, unt. Rhône 06 I 117
— Nizza, marin . . . 05 II 289
— Seine-Département, mit Artefakten . . 08 I 435
— St. Acheul, mit Artefakten . . . . . 09 I 283

Großbritannien und Irland.

— Großbritannien, pleistocäne Säugetiere 1906 II 442
— England, pleistocäne Bären . . . . . 08 I 438
— — Biggleswade, Gaultscholle im Geschiebemergel . . . 05 II 295
— — Cambridge, Diluvialgeschiebe . . . 06 I 121
— — Cotteswold-Plateau, Glazialton . . 07 I 442
— — Great Crosby, postglazial . . . . 09 I 281
— — Longcliffe Station, Derbyshire, Höhle, Tierreste . . . . . 07 I 448
— — Northumberland u. Durham, präglazial 05 II 450
— — Plumstead an der Themse, Ovibos moschatus . . . . . 07 I 301
— — Süd-, Land- u. Süßwassermollusken 05 II 449
— — Themse-Alluvium 05 I 481

Holland.

— Facettengeschiebe im Diluvium . . . . CBl. 1906 *15 425*
— Facetten- u. Kantengeschiebe . . . . . CBl. 1906 *425*
— Geschiebe von Ardennengesteinen . . 06 II 118
— Groningen . . . . . 08 II 102
— Groningen etc., Basaltgeschiebe im Diluvium . . . . . CBl. 1906 118
— Limburg . . . . . 08 II 101

Quartär
— Rhein- u. Ruhr-Ufer, Terrassen . . . . . 1908 II 100
— Vogelenzang, Bohrlöcher in den Dünen 05 II 444

Italien.

— Calabrien (Carrubare), Bryozoen . . 05 II 144
— Grimaldi-Höhlen (Grottes de Mentone) 08 II 422
— Messina, Säugetiere 06 I 141
— Mte. Amiata, Kieselgur und Farberden mit Feuersteinpfeilspitzen . . . . . 06 I 235
— Potenza-Tal, Säugetiere . . . . . 06 II 132
— Villafranca und Monaco . . . . . 07 II 451

Oesterreich-Ungarn.

— Oesterreich, Sirenen 05 I 514
— Bregenzer Wald . . BB XXVII *37*
— Böhmen, Aussig . . 05 I 268
— — Pilsen, miocänes, Quarzit- u. Konglomeratblöcke . . . . 06 II 353
— — Smiritz, Menschenreste im Löß . . . 06 I 132
— — Wilsdorf b. Bodenbach, Mammut . . . 09 I 128
— Bosnien u. Herzegowina . . . . . 05 II 295
— Dalmatien, Budna . 07 I 93
— — Insel- u. Küstengebiet . . . . . 07 I 89 ff.
— — Sebenico—Trau . 07 I 89
— — Veglia und Novi 07 I 91
— — Zaravecchia—Stretto . . . . . 07 I 90
— Galizien, Lemberg . 05 II 95
— Istrien, Pola, Zahn von Rh. Mercki . . CBl. 1908 765
— Karpathen, Insekten 08 II 113
— Krapina, Mensch 1906 II 272 277
— Mähren (Mladeč), Höhle mit Menschenresten u. Glazial . 07 I 452
— Niederösterreich, Hundsheim, Diluvialfauna . 1907 II 460 08 II 106
— — Krems u. Wachautal . . . . . 95 II 295
— Vomperbach-Mündung, Grundmoränen 06 I 299

Quartär
— Ungarn, Bischofsbad u. Großwardein, Melanopsis- u. Neritinaarten . . . . . 1907 II 152
— — Neusiedler See, diluv. Neritinen . . 07 II 446
— — Nyitra- u. Komárom-Komitat . . . 06 I 264
— — südl., Konchylien 07 II 460
— — Szabadzzállás . . 06 I 265
— — westl., Molluskenfauna . . . . . 07 I 445

Rußland.

— posttertiäre Selenodonten . . . . . 07 II 299
— Kanin-Halbinsel, rezente u. pleistocäne Bildungen . . . . . 06 II 117
— Neusibirien etc., Säugetiere der v. d. Toll'schen Expedition 07 II 301
— Süd-Ussuri-Gebiet BB XXVII *531*
— Tiraspol, Gouv. Cherson, Wiederkäuer etc. 07 II 299
— Wissokoie, wilder Hund . . . . . 07 I 454

Schweiz.

— Bieler See, Alluvium 09 I 436
— Genf, alte Flußalluvien . . . . . 07 II 129
— — Ursprung d. errat. Blöcke . . . . . 06 II 61
— Liestal (Basel), Mammutzahn . . . . . 05 I 311
— Tessin, Diluvium bei Chiasso . . . . . 08 I 267
— Thurgau, Drumlinslandschaften im alten Rheingletscher . . . 06 I 436
— zw. Ketten- u. Tafeljura . . . . . 09 I 434

Skandinavien.

— Dänemark, Facettengeschiebe im Diluvium . . . . . CBl 1906 *593*
— — Säugetiere . . . 06 I 445
— — Island . . . . . CBl 1909 *622*
— — — muschelführ. Geschiebelehm in der Palagonitformation 05 II 294
— — — Pleistocän u. Palagonitformation CBl 1905 *535. 546. 740*

Quartär
— Dänemark, Stevns Klint, Geschiebemergel . . 1905 II 294
— Schweden, Jemtland, Kalktuff . . . . 05 I 313
— — Schonen, „writing chalk“ . . . . . 05 II 294
— — u. Finnland, lakustrines, Protozoen . 09 I 280

Westliches Mittelmeer.

— Spanien, Santander, Säugetiere . . . . 09 I 129
— westliche Mittelmeerregion, Nager . . . 07 I 458
— siehe auch Mensch, Prähistorie, Knochenhöhlen, Eiszeit, Glazial, Interglazial, Geschiebelehm, Moränen, Diluvium, Alluvium.

Quarz
— Bergkristall nicht homogen . . . . . 07 II 20
— Bildung . . . . . 08 I 181
— — in Silikatschmelzen CBl 1906 *657*
— — Versuche . CBl 1906 339. *353*
— Brechungsindizes bei — 190°. . . . . 08 I 166
— Dispersionsformel d. Doppelbrechung, Babinet'scher Kompensator . . . . . CBl 1905 *23*
— Einwirkung v. Flußsäure . . . . . 05 I 20
— — von Radiumbromid CBl 1909 *71*
— — von Radiumstrahlen auf Färbung . . CBl 1909 *721*
— Färbung . . . . . 07 II 168
— — durch Radium . 06 I 5
1906 II 158 07 II 171
— geschmolzen, Dichte u. Lichtbrechung . . 05 II 14
— in Granit u. Quarzadern, Entstehungstemperatur . . . . 05 I 420
— Kristallflächen . . . 06 I 2
— Kristallogenesis . 1906 II 80. 159
— kristallographisch u. physikalisch-optisch 05 II *43*
— künstl. Darstellung 08 I 180
— Löslichkeit in Wasser bei hoher Temperatur CBl 1906 *370*
— Löslichkeit nicht beeinflußt durch Druck 05 II 246

Quarz
— Massenverteilung . 1907 II 180
— optische Aktivität . 06 I 3
— Reaktion mit Alkalilaugen . . . . . 06 II 13
— Schmelzen und Umwandlung . . . . . 09 I 182
— Umwandlg. d. Bergkrystalls in den amorphen Zustand durch Schmelzen . . 05 II 14
— Ursprung des Worts 05 II 179
— Veränderung b. hoher Temperatur . . . . 09 II 14
— Verhältnis zu Chalcedon u. Opal . . . CBl 1908 *632*
— — zu faserigen Kieselsäuren . . . . . BB XXV *182*
— — zu Tridymit . . 08 I 176
— Verhalten beim Erhitzen . 1908 I 331 CBl 1908 *37*
— Zersetzungsgeschwindigkeit mit Flußsäure . . . . . 07 II 178
— Zirkularpolarisation bei der Temperatur der flüssigen Luft . 08 I 167
— Zustandsänderung b. 570° . . . . . Festband *181*
— Zwillingsbildung . BB XXIII *312*
— Zwillingsgesetze 1906 II 327. 328
— Ajudagh, Krim . . 09 II 367
— Alpen, Mineralklüfte, Flüssigkeitseinschlüsse CBl 1906 *72*
— Biella, Piemont, Drusen in Syenit . . . 06 II 34
— Bramsche bei Osnabrück, feinste Nädelchen zur Prüfung des Mikroskops . . CBl 1907 *275*
— Brasilien, krist. und phys.-optisch. . . . 05 II *43*
— Brusson (Aostatal), in Goldquarzgängen, Kristallform u. Zwillinge . . . . . 08 II 330
— Cadonighino, Tessin BB XXVI *519*
— Chiesonetal (Piemont) Pomaretto, Krist. . 09 II 204
— Dauphiné, Zwillinge 08 II 13
— De Aar, Kapkolonie 05 I 21
— Derbyshire, auf Kalkspat, in basischen Eruptivgesteinen . . 01 I 70
— Diego County, Kalifornien, Kristalle . . 07 I 19

Quarz
— Färöer . . . . . 1909 I 29
— Fort Point, San Francisco, Cal., pseudom. n. Apophyllit . . . 05 I 205
— Frigido b. Massa, mit Fahlerz . . . . . 07 II 177
— Gletsch am Rhônegletscher, Kristalle CBl 1906 754
— Grenville, Canada. Einschlüsse von H_2S 07 I 21
— Grieserntal, Zwilling nach R (10$\bar{1}$1) . . . 06 II 327
— Grönland, östl., im Basalt . . . . . 06 II 183
— Indien (Bergkristall), krist. u. phys. . . . 05 II 68
— Island, verkieselte Holzstämme an der Ostküste . . . . . CBl 1908 66
— Kalwang, Pseudom. von Limonit n. Q. . 05 I 13
— Kasbek, eigentüml. Zwillingsbildung . . 07 II 356
— Korea . . . . . 08 II 333
— Markirch . . . . . 09 I 22
— Meylan (Isère), Krist. 08 II 13
— Montorfano (Baveno) 07 I 40
— Nagolnij Krjasch, Donetzbecken . . . 07 II 194
— — — Pseudomorphose nach der Spaltbarkeit d. Zinkblende 07 II 195
— New-York, ersetzt durch Schwefelkies . 06 I 331
— Nordamerika, Edelstein . . . . . 06 I 357
— Palombaja, Elba . . 05 I 20
— Pelée, Montagne . . 09 I 71
— Prinz-Rudolfs-Insel . 06 I 35
— Sachalin, auf Schwerspat . . . . . 08 II 334
— Salangen, Norwegen, Einschluß v. Methylbisulfid . . . . . 06 I 165
— San Fedelino am Comer See, im Granit 07 II 35
— Sankt Lorenzen, Steiermark, pseudom. n. Magnetkies . . . 05 I 13
— Sankyo, Japan, Kieseloolith . . . . . 07 I 197
— Schmiedeberg (Riesengeb.), im Granit CBl. 1909 770
— Schunga, „kubischer" 09 II 335
— Ural, Mokruschaberg 09 II 40

Quarz
— Uruguay, mit Einschlüssen von Quarz, Rutil u. Eisenspat . 1908 II 143
— Warstein, Eisenkiesel BB XXI 447
— Weitendorf (Steiermark), auf Hohlräumen im Basalt BB XXVII 251
— Zwettl, Niederösterr. Waldviertel, Bergkristall . . . . . CBl 1908 251
Quarz und Tridymit
— Bildung in Silikatschmelzen . . . . . CBl 1906 728
— Umwandlung . . . 06 II 45
Quarzfeldspataggregate, Finkenberg b. Bonn, im Basalt . . . . . CBl 1908 420
Quarzfeldspatgestein
— Pargas, Finnland . 07 I 69
— Schweden, Regionalmetamorphosegebiet 06 I 379
Quarzgänge
— Foxdale, Isle of Man, eruptiv . . . . . 05 I 434
— Klondike-Distrikt, metallführende . . . 08 I 398
— Sterzing, in kristall. Schiefer . . . . . BB XXII 504
Quarzgerölle, New York, Oneida-Konglomerat, korrodiert . . . . 06 I 332
Quarzglas = Kieselglas 08 I 181
— getrübtes, tridymithaltig . . . . . 07 I 20
— mikroskopisch . . . CBl 1908 37
— optisch . . . . . 08 I 185
Quarzhalbschattenapparat, neuer . . . . . CBl 1905 267
Quarzin . . . . . BB XXV 184
— Kaukasus, Schwarzmeerdistrikt . . . . 07 II 181
Quarzinjektionen, Umgebung des voigtländisch-westerzgebirgischen Granitmassivs . . . . . CBl 1997 716
Quarzit
— Bithynische Halbinsel . . . . . CBl 1909 653
— Lappland, Eisenerzlagerstätten . . . BB XXIV 548
— Presanellagruppe, nördl. Abhang . . . 08 II 365
— Rothau, Böhm. Erzgebirge . . . . . BB XXIII 483

Quarzit, Sankt Gotthard (Südseite) . . . BB XXVII *201*
Quarzitblöcke, Pilsen, miocäne, im Quartär 1906 II 353
Quarzitin, Ardennen . . 09 I *111*
Quarzitschiefer
— Ecuador, Ostkordillere 06 I 396
— Odenwald, sericitische, entstanden aus Granit CBl 1906 *744*
Quarzkeil
— Abänderung . . . . 08 I 162
— Anwendung . . . . 06 II *32*
— Doppelplatte v. Wright, Modifikation . . . . CBl 1908 313
Quarzkeilkompensator am Mikroskop-Okular . CBl 1906 *745*
Quarzkeratophyr, Thüringer Wald . . BB XXVII *346*
Quarzkeratophyrbreccien, Thüringer Wald BB XXVII *370*
Quarzkeratophyrtuffe, Thüringer Wald BB XXVII *376*
Quarzlagenphyllit, Presanellagruppe, nördl. Abhang . . . . . 08 II 364
Quarznorit
— Penberry Hill, Wales 06 II 211
— Penmaenmawr, Wales, u. dessen Schlierenbildung . . . . 05 I *93*
Quarzphyllit, Bozen, Porphyrgebiet . . . BB XXVII *79*
Quarzporphyr, siehe Felsitporphyr.
Quarzporphyrit, Monzoni und Predazzo . . . 06 I 59
Quarzschotter, pliocän, zwisch. niederrhein. Bucht und Mosel . . 07 II 292
Quarztrachyt, siehe Liparit und Rhyolith.
Quebec, Eruptivgesteine 09 I 67
Quebeck, Provinz, paläoz. Fossilien . . . . . 05 I 314
Quecksilber
— Erzberg (Steiermark) CBl 1908 *280*
— Nagolnij Krjasch, Donetzbecken . . . . 07 II 192
— Terlingua, Texas . 09 I 175
Quecksilbererze, Texas . 07 II 80
siehe Zinnober.
Quecksilberlagerstätten, Bosnien und Herzegowina . . . . . 09 II 405
Quecksilbermineralien, Terlingua, Texas . 09 I 173
Quecksilberproduktion 1903 . . . . . 1906 I 356
Quedlinburg, Pflanzen der oberen Kreide . 07 I 493
Quellabsatz, Sankyo, Japan, Kieseloolith . . 07 I 197
Quelle La Doux (Areuse) und Noiraigue, Jura 08 II 348
Quellen
— artesische, Theorie . 06 II 192
— — Montreal . . . . 09 II 378
— aus kalkigen Sammelgebieten, hygien. Bewertung . . . . . 08 II 347
— heiße . . . . . 05 I 263
— juvenile . . . . . 05 I 263
— kohlensäureführende, Entstehung . . . . 05 I 265
— radioaktive Emanation . . . . . 05 II 343
— Radioaktivität, Joachimsthal etc. . . 09 II 373
— — Paris . . . . . 09 II 211
— thermale, selt. Gase 08 I 364
— Hainich, Thüringen 05 II 448
— Marburg (Hessen) . 08 II 346
— Nenndorf a. Deister, Schwefelgehalt . . 06 II 413
— Ofen, Bitterwasser . 06 I 404
— Pariser Trinkwasser, Mineralien im tonigen Rückstand . . . . 07 II 427
— Seine-Becken, Absätze . . . . . 07 II 426
— Thermopolis, Wyoming, heiße . . . . 08 II 349
— siehe auch Mineralquellen, Thermen, Radioaktivität etc.
Quellwasser, gelöste Mineralien, CO_2-Gehalt 08 I 363
— Schweden . . . . . 06 II 351
Queluzit, Queluz, Brasilien . . . . . CBl 1905 *244*
Quenstedtia planulata, Jura, Black Hills . 08 I 264
Quercinium Abromeiti, anomalum, Lesquereuxi, Solerederi und Wardi, westl. Verein. Staaten . . . . . 09 I 149
— pliocaenicum, Pliocän, Clover Creek, Idaho 08 II *49*
Quercit, triklin . . . . 07 I 22
Quercophyllum chinkapinense . . . . . 07 II 506

Quercus Hollicki, Matawan-Formation, New Jersey . . . . . 1907 I 494
— Judithae u. montana, Judith river beds, Nordamerika . . . 07 I 440
Quinqueloculina magna, Unterolig., Kruhelmaly b. Przemysl 1905 II 434 06 I 472
— saxorum Lam. et Orb. 07 I 158
— Sprattii, Pliocän—Gegenwart, Italien . 06 II 308
Quisqueit, Minasragra, Peru . . . . . 09 I 167
Quittein, Westmähren. Eisenerzlager . . . 05 II 243

R.

Radioaktive Cinnabarite 05 I 5
Radioaktive Gase
— in oberflächl. Wasser 05 I 418
— Neu Haven, im Oberflächenwasser . . . 05 I 418
Radioaktive Imanation von Wasser- u. Oelquellen . . . . . 05 II 343
Radioaktive Mineralien 1905 II 336. 337
— Verhältnis zwischen Radium u. Uranium 07 II 30
— photographische Wirkungen . . . . . CBl 1909 *145*
— relative Menge von Radium und Uranium 07 I 8
Radioaktive Pozzolane, Rom . . . . . 05 I 418
Radioaktivität (siehe auch Radium)
— Aetnagesteine . . . 07 I 11
— Aetnaprodukte . . . 07 I 227
— der Bodenluft, abhängig von geolog. Faktoren . . . . . 07 II 55
— borsäurehaltige Suffionen, Toscana . . 05 II 344
— Cotunnit, Vesuv . . 08 II 293
— Flußspat . . . . . 06 I 4
— Hilfsmittel zur mineralog. Untersuchung 09 I 157
— Karlsbader Thermen 05 II 343
— Mineralien 1907 I 7 ff. 07 II 399
— — australischer . . 07 I 10
— Mineralquellen, Latium . . . . . 07 I 228
Radioaktivität
— Nivenit, Mackintoshit, Thorogummit, Yttrialit . . . . . 1907 I 42
— Quelle von Fiuggi bei Anticoli . . . . . 08 I 53
— Quellen von Hot Springs, Arkansas . 07 I 250
— Quellen v. Joachimsthal etc. . . . . 09 II 373
— Quellen von Paris . 09 II 211
— schwed. u. norweg. Mineralien . . . . 06 I 325
— schweizer Mineralquellen . . . . . 08 I 167
— Schwerspat d. Teplitz-Schönauer Quellen . 09 I 347
— uran- u. thorhaltiger, Mineralien . . . 1906 I 3. 4. 5
— Ursache der pleochroit. Höfe CBl 1907 *397* 1900 *65. 113. 142*
— und Vulkane . . . 09 I 47. 48
Radiobaryt, Karlsbader Thermen . . . . . CBl 1905 286
siehe auch Radium.
Radiolarien
— Chablais-Breccie . . 09 I 401
— Kreide, Euganeen . 06 I 474
— Miocän, Italien . . 09 II 490
— Tertiär, Maryland . 07 II 161
— Tiefsee . . . . . 09 I 298
— Trias etc., Niederländisch Indien . . 09 II 146
— Turin, im Tripel, u. genetische Beziehungen . . . . . 05 II 156
Radiolarienführende Kieselschiefer, Cambrium (Silur), Sachsen . . CBl 1905 *411*
Radiolariengesteine, Sizilien . . . . . 06 II 456
Radiolarienhornsteine, rheinisches Diluvium 07 II 458
Radiolarit
— alpin. Mesozoicum . BB XXV *376*
— Attendorn-Elsper Doppelmulde, Culm 09 I 242
— Westalpen . . . . 07 II 442
— u. Radiolaritkalk, Alpen . . . . . 06 II 86
Radiolites Morgani, Kreide, Süd-Persien . . 06 I 443
— Mülleri, Granulatenkreide, westl. Münsterland . . . . . 08 I 428

Radium
— Darstellung aus Kolm 1906 I 326
— Färbung von Mineralien . . . . . 07 II 171
siehe Radiumstrahlen.
— im Carnotit . . . . 05 I 10
— Stabilität der durch R. erhaltenen Mineralfarbe . . . . . CBl 1909 *232*
— Ursache der Temp. des Erdinnern . . . 07 II 399
— Verbreitung in der Erdkruste . . . . . 07 II 398
— Delta County, Col., Quellen . . . . . 07 II 237
— Joachimsthal etc., Quellen . . . . . 09 II 211
— Paris, in Quellen . 09 II 211
— Schlaggenwalde . . 05 I 7
— Schweden . . . . . 06 I 326
— Simplongesteine . . 09 II 211
siehe Radioaktivität.
Radiumbromid, Einwirkung auf gesteinsbildende Mineralien CBl 1909 *66. 113. 142*
Radiumemanation
— Einwirkung auf Mineralien und Edelsteine 07 I 9
— v. Thermen . . . . 07 II 53
Radiumstrahlen,
— Aenderung der Farbe des Sapphirs . . . 09 I 178
— Einfluß auf Färbung von Sanidin, Zirkon und Quarz . CBl 1909 *721*
— Einwirkung auf Mineralfarben . . . BB XXVI *249*
— färben Quarz . . . 06 II 158
— Verhalten von Mineralien . . . . . 05 I 8
Rädertendecke, Glarus . 06 II 393
Ragusa, Sizilien, Asphalt . . . . . 05 I 261
Raibl
— Geologie . . . . . 07 I 273
— Karten der Erzlagerstätten . . . . . 05 I 259
Ralligenstöcke, Geologie 08 II 382
Rammelsberg, Kieslager. Erhaltungszustand eines Goniatiten u. Entstehung . . . . 09 II 242
Rammelsbergit, Brompton-See, Orford Co., Quebeck. Kristallisation 06 I 13
Rammelsbergit
— Markirch . . . . . 1909 I 25
— Orford, Quebeck, Kristallform . . . . . 06 II 325
Randbildungen der Gesteine der Brixener Masse . . . . . 05 II 379
Randen, Molasse und Grobkalk . . . . . 09 I 432
Randfiguren beim Aetzen der Kristalle . . . 05 I 10
Randmoränen, westfäl. Becken . . . . . 05 I 475
Ranina Bittneri, Eocän, Pest . . . . . 05 II 317
Raninella baltica, jüngste Kreide, Schonen . . 06 II 141
Rapana gracillima, mittl. Gault, Algermissen . 05 I 317
Raseneisenstein . . . . CBl 1909 *326*
Raspenau, Böhmen, körn. Kalk des Kalkbergs 06 I 54
Raspit
— Brokenhill, Krist. . 08 II 38
— Sumidouro, Minas Geraes, Bras., Krist. CBl 1905 *422*
Rassenpersistenz bei Ammoniten . CBl 1909 *193 225 417*
Rauchquarz
— Färbung und deren Aenderung . . . BB XXVI *284*
— Korea, Parallelverwachsung mit Amethyst . . . . . 08 II 333
Rauchtopas, Brasilien, krist. u. phys. . . . 05 II *66*
Raumgitter, experimentelle Grundlagen . . 06 II 1
Razumoffskin . . . . . CBl 1909 *333*
Reaktionsgeschwindigkeit in Silikatschmelzen . 07 II 9
Realgar
— Alchar, Kristalle 1905 I 369 09 I 316
— Carrara, im Marmor 07 I 215
— Markirch . . . . . 09 I 25
— Sheljesny, Kertsch . 05 II 200
— Stanz im Mürztal (Steiermark) . . . . CBl 1908 *281*
— Vesuv, von 1906 . . 08 I 206
Rechtschreibung naturw. u. techn. Fremdwörter . . . . . CBl 1907 *692*
Rechtsweinsaures Magnesium . . . . . 07 I 104
Recoaro, Aufbruch . . 06 II 244

Rectigrada, Patagonien, Extremitäten . . . 1907 II 138
Rectoclymenia annulata, arietina, crassicosta, Kayseri, protacta, Roemeri, und Steinmanni, ob. Oberdevon, Enkeberg . . . . BB XXVI *613*
Redbanksande, Monmouth County, N. Y., mit eisenh. Konkretionen . . . . . 08 II 375
Red Hill, Moultonboro, N. H., Geologie . . 09 II 387
Red Mountain, Arizona, vulkan. Tuffkegel . 09 I 45
Redontit, Martinique, mit Guano . . . . . 06 II 171
Red-Wall-Kalkstein, höherer, Fossilien, vergl. mit Kansasformation . . . . . CBl 1907 *609*
Reflexion des Lichts an durchsichtigen inaktiven Kristallen . BB XXVI *296*
Refraktometer
— einfaches . . . . . 05 I 5
— von Herbert Smith 1906 II 32 CBl 1907 350
— neues Modell von Herb. Smith . . . . 08 II 146
— siehe auch Kristallrefraktometer.
Regelmäßige Punktsysteme, Diagramme CBl 1906 *437*
Regeneration verletzter Kristalle . . . . . 05 II 332
Regensburg, Löß des Donautals, Konchylien . . . . . 05 II 449
— Konchylien des Löß u. Altalluviums . . 06 I 123
Regenstauf, Jura . . BB XXI *468*
Regentropfen, fossile durch im Schlamm aufsteigende Gasblasen . . . . . 06 II 200
Regina, Devon, Ostthüringen . . . . . BB XXIV *296*
— semiramis, Kreide, Süd-Persien . . . . 06 I 442
Regionalmetamorphose, kleine Antillen . . . 06 II 376
Regionalmetamorphosegebiet, Schweden, Quarzfeldspatgesteine 06 I 379
Regmaglypten und Piezoglypten bei Meteoriten . . . . . 1909 I 353
Reguläres System
— Hauptstrukturarten 07 I 183
— hemiedrische Formen 07 I 181
— Stereometrie der einfachen isoaxialen Formen . . . . . 05 II 331
Reibungsbreccie
— Insel Man . . . . . 06 II 210
— Moiné-Mendia b. Hélette (Basses-Pyrénées), zw. Granit u. Marmor . . . . . 06 II 212
Reichardit, Kristall . BB XXIII *317*
Reichenbach'sche Lamellen (Troilit) . . . . 05 I *155*
Reifkurven an Doppelsalzen und Mischkristallen . . . . . 06 I 6
Reiflingites fortis, Han Bulog-Kalke, Hydra BB XXV *457*
Reinhardswald b. Kassel, Tertiär . . . . . 05 II 286
Rekristallisation van Hise . . . . . CBl 1906 609
Reliefgestaltung d. Landes, beeinflußt durch Inlandeis . . . . . 06 II 437
Rembang, altmiocäne Gastropoden . . . . 07 II 498
Rensselaeria diania, Unterdevon, Dalhousie . 08 I 414
— ovoides, Devon, Bolivia . . . . . BB XXV *557*
Rentier, Oberlaibach, Krain . . . . . 07 II 476
Reptil, ältestes (Isodectes Copei oder punctulatus) 09 II 123
Reptilien
— Epiphysen . . . . . 09 I 442
— Foramina der Carotis interna u. des Hypoglossus . . . . . CBl 1906 *336*
— Carbon, älteste, Pittsburg, Penn. . . . . 08 II 268
— Tertiär, Fayum . . 07 II 316
Repitilientypus der Tetrapoden . . . . . 09 II 113
Resorption, magmatische u. porphyrische Struktur . . . . . 05 II 1
Resorptionserscheinungen, Ecuador, in vulkan. Gesteinen . . . . . 05 II 76

Resorptionserscheinungen.
— südl. Schwarzwald . CBl 1907 *76*
— Schwarzwald und Harz, im Granit . . 1909 I 55
Retepora quadripunctata, Tertiär, Patagonien . . . . . 05 II 141
Reticularia cf. Dieneri. lineata u. rostrata, ob. Carbon, Kukurtuk-Tal, südl. Tian-Schan BB XXII *381*
— cf. lineata, jüngeres Paläozoicum, Timor BB XXV *319*
Retinit
— Beziehung zu Bernstein . . . . . 08 I 358
— Dänemark, im miocänen Ton . . . . 06 I 347
Retusa tenuistriata = Tornatina Peroni, Kreide, Orgon (Bouches-du-Rhône) . . . . . 06 I 318
Reussia patagonica, Tertiär, Patagonien . . 05 II 141
Revigliano, Sarnomündung . . . . . 06 I 86
Reyerit . . . . . CBl 1907 *411*
— Unterscheidung von den anderen Glimmerzeolithen . . . 08 II 37
Rhabdit im Meteoreisen 05 I *123*
Rhabdocarpus curvatus, Kohlenkalk, England 06 II 464
Rhabdoceras Russeli, Pseudomonotis-Schiefer d. norischen Stufe, Amerika . . . . . 06 II 306
— Suessii, Jugendentwicklung . . . . . CBl 1906 *710*
Rhabdocidaris Delgadoi, Jura, Portugal . . . 07 II 154
— Gevreyi u. Petitclerci, Kreide, Ostfrankreich 05 II 326
— helicoides. ? Bathonien, Algerien . . . 06 I 156
— Lafayi, Jura, Mâcon 07 II 156
Rhabdogonium pericardium, lithauisch-kurischer Jura . . . 06 I 472
Rhabdoidea, Globigerinenmergel, Bahna, Rumänische Karpathen . 09 II *143*
Rhabdolithen, nordatlant. Ozean . . . . . 05 I 425
Rhabdopleura Normanni, Organisation . 05 II *84*
Rhabdosphaera silicacea. Rupelton, Mainzer Becken . . . . . 1909 II 325
Rhachitomer Typus der Tetrapoden . . . . . 09 II 113
Rhacophyllites, systemat. Stellung . . . . . CBl 1906 *420*
— firmösensis . . . . . CBl 1906 *239*
— gigas var. intermedia, Unterlias, Alsórákos 09 II 139
— schofariformis, Lias. tibetan. Klippen des Zentral-Himalaya . 08 II 414
— Ssemenowi, Kaukasus 08 II 81
— ürmösensis . . . . CBl 1906 *239*
Rhacopteris asplenites, Carbon, Vorkommen 09 II 491
Rhät
— Argentinien, Vorkordillere . . . . . 05 II 271
— Bornholm, foss. Flora 08 I 451
— Deutschland, Nord-, Pflanzen . . . . . 09 I 462
— — Südwest-, Landpflanzen . . . . . 08 I 151
— England, Flora . . 07 I 489
— Nagato, Japan, Pflanzen . . . . . 07 II 341
— Stabbarp (Schweden), Ginkgoales . . . . 08 I 147
— Südafrika, Pflanzen 08 I 454
Rhätikon
— Geologie d. östlichen 09 I 88
— Tektonik . . . . . 06 I 252
Rhagamys orthodon, Quartär, westliches Mittelmeergebiet . . 07 I 459
Rhagatherium aegyptiacum, Tertiär, Fayum 07 II 314
Rhamnose, Zirkularpolarisation . . . . 05 II 335
Rhamnus Novae-Caesareae, Matawan-Formation, New Jersey 07 I 495
Rhamphorhynchus Gemmingi u. longiceps, Solnhofen, Schädel 05 I 521
— — mit Flughaut 1909 I 131 132
— siehe auch Pterodactylus u. Pterosaurier.
Rhamphostomella perforata, Tertiär, Patagonien . . . . . 05 II 141
Rheingebiet, ausseralpines, Diluvium . 08 II 95

Rheingletscher, alter, Drumlinslandschaften 1906 I 436
Rheinhessen, Septarienton von Wonsheim, Foraminiferen etc. . CBl 1905 *656*
Rheinisches Schiefergebirge
— Alter . . . . . CBl 1909 *278*
— Diabasgesteine . . 1907 I 53. 55
— klast. Gesteine aus dem Paläozoicum . 09 II 216
Rheinisch-westfäl. Steinkohlenbecken, Trias und Dyas . . . 1907 I 412. 414
Rheinlande, Eiszeit . . 05 II 447
Rheinpfalz, bayr. Steinkohlenformation . . 06 I 103
Rheintal
— Entstehung . . . . 09 I 239
— pliocänes . . . . . 06 I 141
— Schweiz, Inselberg . 09 I 400
Rheintalspalte, tertiäre u. diluviale, Weinheim a. Bergstr. . . 06 II 431
CBl 1906 *667. 698* CBl 1909 *659*
Rhenania, zu Myophoria 07 II 338
Rhenaster Schwerdi, rhein. Grauwacke . 09 II 322
Rhetechelys, Nordamerika 09 I 452
Rhinellus delicatus, Kreide, Libanon . . 05 II 481
Rhinesuchus Whaitsi, Perm, Südafrika . . 09 II 137
Rhinoceros, Arten, Miocän, Nordamerika . 06 II 133
— Zahnformel . . . . 07 II 134
— etruscus u. Mercki, Mosbacher Sande . . 05 I 486
— hundsheimensis . . 07 II 482
— kendengindicus und sivasondaicus, Kendeng-Schichten, Java 09 I 117
— Merckii, Ehringshausen bei Weimar, ob. Travertin . . . CBl 1909 *23*
— — var. hundsheimensis und vindobonensis, Oesterreich 08 II 104
— — Pola, Zahn . . . CBl 1908 765
— pachygnathus und Schleiermacheri, Tertiär, Samos . . . . 06 II 450
— Schleiermacheri, Gouv. Cherson . . . . . 07 II 478
— tichorhinus im schweizer Quartär . . . . 07 II 478
Rhinocerotiden
Obermiocän, Oberkieferbezahnung . . 1909 II 121
— Samos u. Maragha in Persien . . . . . CBl 1907 *29*
— Tertiär, Samos . . . 06 II 450
— Untermiocän, Amerika 08 II 431
Rhinoclavis Staadti, Eocän, Paris . . . . 07 II 303
Rhipidogyra callonegensis, Kreide, Callonegbe . . . . . 05 I 317
Rhipidomella Pecosi, ob. Carbon, Kukurtuktal, südl. Tian-Schan . BB XXII *372*
— uralica, Obercarbon, Ural und Timan . . 05 I 534
Rhizomopteris cruciata 08 I 143
— Etheridgei, Trias—Jura, Victoria (Australien) . . . . . 08 I 150
Rhodanide, vergl. Metallrhodanide . . . CBl 1905 *289. 321*
Rhodea (Diplotmema) dissecta forma offenburgensis, Carbon, Offenburg . . . . . 08 I 459
— (?) hostimensis. Devon, Etage H, Mittelböhmen . . . . . 06 II 145
— (?) sublanceolata, Carbon, Offenburg . 06 I 459
Rhodesia
— Eisenerze v. Nordost- 07 I 80
— Sedimentärablagerungen . . . . . 05 II 268
Rhodochrosit, siehe Manganspat.
Rhodonit
— isomorph mit Wollastonit . . . . . 09 II 344
— Piemont, Lanza-Tal 07 II 359
— St. Marcel, krist. u. chem. . . . . 06 I 24
Rhodonitähnl. Schlacke
— Kristalle . . . 1908 II 21. 308
— (Vogtit) . . . . . 08 II 308
Rhodusit
— Asskys-Fluß . . . . 09 II 19
— Sibirien, Minussinsk'scher Kreis . . 09 II 21
Rhön
— Basalt von Roth . . 05 II 212
— Geologie (Ostheim), 07 I 421
— Zechstein u. Muschelkalk . . . . . 09 I 424

Rhönit in Basalt . . . BB XXIV *475*
Rhombenporphyr, Kilimandscharo . . . . 1907 II 411
Rhomboclaadia delicata, karn. Fusulinenkalk 06 II *158*
Rhombopora Nicklesi u. Schellwieni, karn. Fusulinenkalk . . . 06 II *141*
Rhombus minor, Otolith. Tertiär, Oesterreich 07 I 481
Rhônegletscher, Struktur des Eises . . . . . 09 II 209
Rhône-Tal, Terrassen unterhalb Lyon . . . 08 I 221
Rhône-Ufer, rechtes, und Languedoc, Neocom 06 I 110
Rhopalastrum clavatum, irregulare u. Neviani, Scaglia, Euganeen . 06 I 475
— speciosum, Kreide, Euganeen . . . . . 06 I 474
Rhopalodictyum calvertense u. marylandicum, Tertiär, Maryland . . . . . 07 II 161
Rhopalonaria attenuata, keokukensis, medialis, robusta u. tenuis . . 05 II 486
Rhus salicifolia, Braunkohle, Senftenberg . 08 I 449
Rhynchippus, Kreide, Patagonien . . . . 05 I 167
Rhynchocephalenähnl. Ordgn. d. Theriodontier . . . . . 07 I 478
Rhynchogoniopsis neocomiensis, Wealden, Peru . . . . . BB XXIV *86. 87*
Rhyncholithen des schlesischen Neocoms . . 08 I 301
Rhyncholithes bathoniensis, curtus, curvatus, Foordi, grayensis, ignotus, lineatus, mediterraneus, Paronae, punctatus, rectus u. Suessi . . . . . 08 I 303
— bohemicus u. Cassianus, Neocom, Schlesien 08 I 301
— cordiformis, ob. Jura 08 I 302
— Heheneggeri, Lorioli, neocomensis, silesiacus, striatus, sulcatus u. Uhligi, unt. Kreide 08 I 302
— obtusus . . . . 1908 I 302. 303
— sella, Carbon . . . 08 I 302
Rhynchonella asymetrica brevicostata, concinna, var. cutchensis, fornix, pauciplicata, pseudo-inconstans, pulcherrima, recticardinalis, rugosa, subplicatella u. versabilis, Jura, Kutsch . 1905 I 181
— eupentagona, ladin. Stufe, Dobrudscha . 08 I 419
— densleonis u. Whiteana, Kreide, Kalifornien . 06 I 288
— dotis, Devon, Bolivia BB XXV *552*
— Drusorum, Glandarienkalk, Syrien . . 06 I 279
— Fraasi var. paucicostata u. pseudopalmata, Lias, Tranze 08 I 424
— galoi, moluccarum, sularum, taliabutica 07 II 447
— krajinensis u. scutarina, Dogger, Montenegro . . . . . 07 I 433
— Krammi, Eisenerzformation, Lothringen u. Luxemburg . . . 06 I 304
— Krotovi, Obercarbon, Ural u. Timan . . . 05 I 533
— cf. lacunosa arolica, Jura, Burn . . . . BB XXV *324*
— miatchkoviensis, Jura, Moskau etc. . . . . 05 I 131
— aff. multiformis, Neocom, S. Lorenzo, Peru BB XXIV *88*
— Pallas, Bathonien, Sardinien . . . . BB XXIII *463*
— parvirostris, Neocom, Sardinien . . . . BB XXIII *469*
— peregrina, Kreide, Freiberg, Mähren 1905 I 181 06 I 428
— persinuata, mittl. Lias, Schwaben . . . . . 06 I 469
— plateia, voluta und Walkeri, Fuller's Earth, England . . 08 II 87
— pleurodon, Culm, Königsberg b. Gießen BB XXVIII *630*
— cf. pleurodon, untercarb. Transgressionsmeer, Tian-Schan . BB XXVI *221*
— Rothpletzi, ob. Jura, Somaliland . . . . 06 I 281
— selliformis, ob. Oxford, Checiny, Polen . . . 08 II 90

Rhynchonella variabilis u. Zitteli, Mittellias, Corfu . . . . . BB XXI *296*
— zermnitiensis, Werfener Schichten, Bucieri, Montenegro . . . . 1905 II 108
Rhynchopora ambonensis, vorjurassisch, Ambon BB XXV *301*
Rhynchosaurus articeps, Keuper, England . . 08 II 441
Rhynchotheutis, Neocom, Schlesien . . . . . 08 I 301
Rhyokristalle in porphyr. Gesteinen . . . . . 07 II 417
Rhyolith
— Ampasindava (Madagaskar) . . . . . 05 I 438
— Euganeen . . . . . 08 II 203
— Skye, Tuff u. Lava 06 II 65
— Wisconsin, nördl. . 09 I 227
— siehe auch Liparit.
Rhytidodon . . . . . 09 I 445
— Bransoni zu Phytosaurus . . . . . CBl 1909 *592*
Riazan, Oxford und Sequanien . . . . . 05 I 130
Ribeirella und Ribeiria, Untersilur . . . . . 05 II 316
— und Riberia, Untersilur . . . . . 05 II 316
Ricardolydekkeria, Kreide, Patagonien 05 I 168
Ricardowenia, Kreide, Patagonien . . . . 05 I 168
Richterit, Grönland, westl. Nord-, im Amphibolit . . . . . 07 I 246
Riebeckit
— Alter-Pedroso, Portugal, massenhaftes Vorkommen im Granit . . . . . 05 I 378
— Asoday, Zentralafrika, im Liparit . 09 II 235
— Dahomé, im Granit 09 II 235
— Saint-Véran, Hochalpen, im Gestein . 06 I 379
— siehe Krokydolith.
— u. Riebeckitgesteine, Entstehung . . . . 07 II 224
Riebeckitgesteine
— Evisa, Korsika . . 08 I 69
— Oklahoma . . . . . 09 II 384
Riebeckitgneis, Ortho-, Forellenstein, Gloggnitz, Oesterreich . . 05 II 51
Riebeckitgranit
— Alter-Pedroso, Portugal . . . . . 1905 I 378
— Madagaskar . . . . 05 I 248
Ries
— alttertiäre Konchylien . . . . . 07 II 451
— alttert. Land- u. Süßwasserfossilien der Bunten Breccie bei Weilheim . . . . . 08 I 433
— vulkanische Erscheinungen . . . . . 07 I 375
— — Tuffe und Auswürflinge . . . . . 06 II 203
Riesengebirge
— Kugelgranit CBl 1905 *236* CBl 1908 *137*
— Spaltungsvorgänge in granit. Magmen . 07 II 212
Riesengebirgsgranit, Ganggesteine . . . 06 II 57
Riffkalke, chem. u. petr. Festband *404*
Rikuzen (Japan), Jurafossilien . . . . . 05 I 464
— Rillensteine, Vratnica planina, Bosnien, in einem alten Bergwerk . . . . . CBl 1905 *366*
Rillyia Bonneti, Eocän, Paris . . . . . 07 II 303
Rimini, Foraminiferen des Lido . . . . . 06 II 310
Rimula Bonneti und Nincki, Eocän, Paris 07 II 303
Rinder, neolith. Fauna von Mitteleuropa . 06 II 440
Ringicula Grossouvrei (Ringiculella), unt. Santonien, Frankreich . . . . . 06 I 318
— Michaleti (Ringiculella), Mornasien, Frankreich . . . . 06 I 319
— Morgani u. reducta, Senon. Süd-Persien . 06 I 444
Rinneit
— Wolkramshausen bei Nordhausen, Kaliwerk . . 1909 II *19* CBl 1909 *72*
— — — Kristallform . CBl 1909 *503*
Rinnenseen, Ostpreußen 05 I 471
Rioja, Prov., Argentinien, Geologie . . . . . BB XXII *567*
Ripidolith, Toskana (Calci u. Verruca) . . . . 07 II 38

Ripplemarks
— am Sandstrand . . CBl 1906 *727*
— siehe auch Wellenfurchen.
Rissoa Houdasi u. veslensis, Eocän, Paris 1907 II 303
Ritom-See b. Airolo . . 07 II 53
Ritzfiguren, Natronsalpeter . . . . . 05 I 24
Riu-Kiu-Inseln
— Foraminiferen d. mioc. Orbitoidenkalks . . 06 II 309
— geomorpholog. Stellung . . . . . 05 I 114
Rizzonit, Fassatal . . CBl 1905 *51*
Robergia microphthalma, Ceratopygehorizont, Jemtland . . . . . 06 II 298
Robulina cultrata, depauperata u. radiata, Globigerinenmergel, Bahna, Rumän. Karpathen . . . . . 09 II *148*
Roca-Schichten, Kreide, Patagonien . . . . BB XXI *143*
Rock flowage VAN HISE CBl 1906 610
Rocky Montains
— marine Abrasion . . 07 I 379
— Querschnitt in Nord-Alaska . . . . . 06 I 91
— Stein- und Braunkohlen . . . . . 08 II 221
Rodderberg, Diluvium . 07 II 455
Rodedoren, Argentinien 05 I 157
Rodentia, Kreide, Patagonien . . . . . 05 I 169
Rödö-Porphyrgeschiebe, Diluvium, Westfalen CBl 1907 *148*
Roemerit, Entstehung . 08 II 326
Roemeroceras Gabbi und subplanatum, obere Kreide, Peru . . . 07 II 147
Röntgenstrahlen
— Anwendung in der Paläontologie . . . 07 II 467
— Echiniden . . . . . 07 II 157
— Verhalten von Mineralien . . . . . 05 I 8
Röt, Hannover, fossilführende Kalke . . 08 II 85
Rogenio solitudinis, Kalifornien . . . . . 08 II 443
Rogenstein
— Buntsandstein, Norddeutschland . . . . 08 II 126
— Kugelpackung . . . CBl 1909 *302*
Rogersia angustifolia var. parva . . . . 1907 II 506
Roheisen
— Puddeleisen, Struktur 09 II *130*
— weißes . . . . . 09 II *133*
— Teschen, Krist. . . CBl 1908 *545*
— Wladiwostok, russische Insel . . . . . 09 II 184
Rohhumus, Bildung auf dem Trockenen und Bekämpfung . . . . 05 II 78
Rohrzucker
— opt. Aktivität . . . 06 I 3
— Zirkularpolarisation 05 II 335
Romángladna, östl. von Temesvar, Geologie. 05 II 99
Romanites Simionescui, ladin. Stufe, Dobrudscha . . . . . 08 I 419
Romingeria commutata, Jacksoni u. minor . 07 I 486
Rosellinites Schusteri, interglaz. Schieferkohle, Bayern . . . 09 I 468
ROSENBUSCH
— Festschrift . . . . CBl 1906 478
— mikroskopische Physiographie siehe mikroskopische Physiographie.
Rosenquarz, Nordamerika . . . . . 09 I 32
Roßberg b. Darmstadt, Basalt . . . . . 06 I 367
Roßbodengletscher (Simplon), Felssturz . . . 05 II 48
Roß-Insel-Formation . . 09 II 102
Rostellaria Munieri, Eocän, Paris . . . . 07 II 303
— subtilis, Hypersenon, Peterwardeiner Gebirge . . . . . 06 II 268
Rostellites capensis, Kreide, Pondoland . 07 II 306
— Dalli var. Wellsi, Fort Benton-Schichten, Los Cerillos (Neu-Mexiko) . . . 08 I 436
Rotalia, Revision von Spezies von D'ORBIGNY . . . . . 08 I 309
— offenbachensis, Rupelton, Mainzer Becken 09 II 325
Rotalideen, Systematik 08 I 307
Rotaliidae, System der lebenden u. fossilen 05 II 329

Rotalina Dutemplei, cfr. punctulata u. Soldanii, Globigerinenmergel, Bahna, Rumänische Karpathen 1909 II *157*
Rotationssklerometer . 07 I 190
Rotbleierz
— künstl. Kristalle . . 06 I 30
— — Nachbildung . . 07 I 208
— Dundas (Tasmanien), Kristallform . . . . 05 I 191
Roteisen-Sandsteinplatten, Quadersandstein d. nördl. Böhmen . BB XXV *479*
Roteisenstein
— Campolongo, Pseudomorph. nach Schwefelkies . . . . . 05 I 203
— Fachingen a. Lahn . 09 I 389
— Nassau, Entstehung 06 II 225
Rotellorbis Nincki, Eocän, Paris . . . . . 07 II 303
Rote Schichten, Luxemburg, Belgien, Alter 05 I 455
Roter Salzton, jüngeres Zechsteinsalz, Norddeutschland . . . . 09 I 424
Rotgiltigerz
— Binnental . . . . . 08 I 205
— — lichtes . . . . . CBl 1905 752
— Colorado, Gletscherberg bei Montezuma, Summit Co. . . . . 09 II 335
— Markirch . . . . . 09 I 24
— Tabor, Böhmen . . 09 II 366
— Ural, Perwoblagodatnji-Grube . . . . . 09 II 14
— siehe auch Proustit u. Pyrargyrit.
Rothau, Böhm. Erzgebirge, Geologie . BB XXIII *474*
Rotkupfererz
— aus Fehling'scher Lösung . . . . . 08 II 295
— Bisbee Quadrangle, Arizona . . . . . 06 I 175
— Färöer . . . . . 09 I 29
— Nagolnij Krjasch, Donetz-Becken . . . . 07 II 195
— siehe auch Kupferblüte.
Rotlehm, Amani, Ost-Usambara . . . . 06 II 421
Rotliegendes
— Baden, Flora . . . 08 I 457
— — und Elsaß, Flora 08 I 457
Rotliegendes
— Chemnitz, verkieselter Baumstamm . . 1908 I 311
— Flöha (Sachsen), Paläontologie . . . . 08 I 313
— Freudenstadt etc., Schwarzwald . . . 09 II 413
— Harzvorland, östl., Diskordanzen . . . CBl 1907 *85*
— Hohenstein-Limbach (Erzgeb.), Pflanzen . 05 I 539
— Neu-Bamberg (Pfalz) 07 I 266
— Niederschlesien und Böhmen, Zweischaler 05 I *44*
— Sachsen-Meiningen . 06 II 411
Rotnickelkies, siehe Kupfernickel.
Rotti (Rotè), Ind. Arch., mesozoisches Land u. Meer . . . . . 07 I *109*
Roxania biconica, Eocän, Paris . . . . 07 II 303
Rubin
— Brechungskoeffizient des synthetischen . CBl 1909 *675*
— Färbung durch Radium . . . . . 07 II 171
— künstlich . . . . . 06 I 15
CBl 1907 412 CBl 1908 179
— Spektrum . . . . . 08 II 296
— Birma, große Kristalle . . . . . CBl 1905 *588*
— — Nanya-zeik, Lagerstätte . . . . . 08 II 296
— Cowee Valley, N. Car. 09 I 32
Rudloff-Caldera, Island BB XXVI *413*
Rücken, Mansfeld und Thüringen, Beziehung zur Erzführung des Kupferschiefers CBl 1906 243
Rüdersdorf, älteste Vereisung u. Beziehung zum Alter d. Berliner Paludinenschichten . CBl 1906 *181*
Rüdesheim, Geologie . 07 II 88
Rügen
— Facettengeschiebe im Diluvium . . . . . 06 I *71*
— Landverluste an der Küste . . . . . 06 II 196
— Quartärbildungen . 08 I 96 ff.
— und Hiddensö, Landverluste a. d. Küste 08 I 97
— und Neuvorpommern, Entwicklung d. Bodenreliefs . . . . . 07 I 117

Rütimeyeria, Kreide, Patagonien . . . . . 1905 I 168
Rugosen, Bau . . . . 09 II 140
Ruhrkohlenbecken. Deckgebirgsschichten und Wasserführung . . 07 I 414
Ruhrkohlenrevier. Trias und Dyas . . . 1907 I 412. 414
Rumänien
— Erdbeben . . . . . 06 I 42
— Petroleum . . . . 06 II 390
— Pleistocän-Fauna . 05 I 320
— sarmat. Schichten der Moldau 1905 I 469 06 I 295
Rumänische Karpathen, oligocäne Fischfauna d. Berges Cosla bei Piatra-Neamtz . . . 06 I 153
Rumänit, Beziehung zu Bernstein (Succinit) 1908 I 357 08 II 326
Rundhöcker . . . . . 08 I 51
Rupelton
— Mainzer Becken. Foraminiferen 1909 I 433 09 II 323
— Weinheim a. Bergstr. 09 II 465
— siehe auch Septarienton . . . . . 05 II 287
Rupertia elongata und Uhligi, Eocän, Turin (S. Genesio) . . . . 07 I 328
Ruscheln
— faule, Harz . . . . 09 I 77
— — — Entstehung . 05 II 398
Rußland
— Ammoniten d. unt. Kreide von Zentral- u. Nord-Rußland . . 05 I 350
— Jura . . . . . 07 I 283
— levantinische Ablagerungen im südlichen . . . . . CBl 1906 *413*
— Ostgrenze des präcambr. Systems in Finnland . . . . . CBl 1906 *600*
— Tertiär . . . . . 05 I 469
Rußschiefer, Lognitztal unterhalb Probstzella, Thüringen, mit Phosphoritknollen, Culm . . . . . BB XXI *98*
Rutherfordin (Uranyl-Carbonat), Lukwengule, Morogoro, Deutsch-Ostafrika . CBl 1906 *761*
Rutil
— mimet. trigonal, Verwachsung mit der entsprechend. Kieselsäure . . . . . 1908 I 330
— regelm. Verwachsung mit Eisenglanz . . 08 I 175
— Campolongo . . . . 05 I 203
— Carrara, im Fahlerz . . . . . 07 I 216
— Cavradi, Tavetsch, Verwachsung mit Eisenglanz 1907 I 196 09 II 188
— Chynov bei Tabor, Böhmen . . . . . 09 II 366
— Elba, turmalinführ. Gänge in Granit v. San Piero in Campo 05 II 34
— Lauffenberg bei Radenthein, Tirol, im Granatglimmerschiefer, Kristallform . . CBl 1909 *216*
— Modriach, Steiermark, Pseudomorphose von Quarz nach Rutil . . . . . 05 I 13
— Montafon, Vorarlberg . . . . . CBl 1906 349
— Olgiasca, im Pegmatit . . . . . 05 I 203
— Ottawa b. Pisek, im Goldsand . . . . . 05 I 365
— Söndeled, Norwegen, Brechungsindizes . . 06 II 317
— Susa-Tal, im Prasinit der Rocca Bianca . . . . . 1906 II *105* ff.
— Uruguay, Einschluß im Quarz . . . . . 08 II 143
— Veglia, Alpe, Piemont . . . . . 06 I 18
— Virginia, Vorkommen . . . . . 08 II 13
Rutilreihe
— Beziehung zw. Atomgewicht u. Achsenlänge . . . . . 08 I 331
— Mineralien, Norwegen, Granitpegmatitgänge d. südl. . . . 08 I 352
Rutschboden, Schweden, Entstehung . . . . 06 II 350
Rutschungen, subaquatische, rezente und fossile . . . . . 08 II *136*

S.

Saalekiese, quartäre . . 1907 II 461
Saaleschotter
— präglaziale etc. . . 06 II 432
— und Vereisung, Thüringen . . . . . CBl 1907 *59*
Saaletal, Diluvium des mittleren . . . . . 05 II 446
Saaleterrasse, oberste, Naumburg a. Saale. 06 II 431 CBl 1906 *678* CBl 1907 *214*
Saccammina grandistoma u. minutissima, Rupelton, Mainzer Becken 09 II 324
Saccocoma Schwertschlageri, Solnhofer Plattenkalke . . . . . 05 I 459
Sachalin, Mineralien . . 08 II 333
Sachsen
— geologische Uebersichtskarte . . . . 09 I 400
— Granulitgebirge, Genesis . . 1908 I 56 CBl 1907 *513*
— — Kontaktmetamorphose der Südost-Flanke . . . . . CBl 1905 *257*
— — Phyllitformation des Südost-Flügels . CBl 1905 *109*
— Kreide . . . . . 06 I 286
— — Ammoniten . . . 05 I 353
— — Beziehung der obersten zu Böhmen u. Schlesien . . . BB XXIV *676*
— — Gastropoden . . 06 I 317
— — Inoceramen . . . 05 I 356
— Steinkohlen, mögliche neue Funde . . . . 06 I 235
Sachsen-Meiningen, Geologie . . . . . 06 II 409
Sackberge, Geologie . . 08 II 80
Säntis, Geologie . . 1906 II 392, 394
Säuerlinge, Carbonate 1908 I 361, 362
Säugetiere
— American Museum of Natural History . . 06 II 442
— arboreale Vorläufer . 06 I 139
— Astragalus . . 1907 I 466, 475
— Canali'sche Sammlung, Perugia . . . 06 I 143
— Geschichte, Bedeutg. der tertiären Fossilfunde in Aegypten (Arsinoitherium) . . 09 I 438
— Perforation des Astragalus . . . . . 07 I 466
Säugetiere
— terrestrische Anpassung an eine andere Lebensweise . . 1906 I 134—140
— Aegypten, Eocän . . 1906 I 446
— Amerika, Eocän . . 05 I 324
— Argentinien, Kreide u. Tertiär . . . . . 05 I 132
siehe auch Patagonien.
— Castrais, Bartonien . 05 II 302
— Dänemark, Tertiär u. Quartär . . . . 06 I 445
— Großbritannien, Pleistocän . . . . . 06 II 442
— La Grive St. Alban, Mittelmiocän . . . . 05 II 307
— Leoben . . . . . 05 II 305
— Madagaskar . . . . 06 II 443
— Messina, tertiäre und quartäre . . . 1906 I 141, 142
— Neusibirien etc., v. d. Toll'sche Expedition 07 II 301
— Nordamerika, Fortschritte der Kenntnisse . . . . . 07 I 454
— Patagonien, System 05 II 466
— — Verbreitung und Aufeinanderfolge der Säugetiere enthaltenden Schichten . . 05 I 307
— — Kreide, Ungulaten 05 I 167
— — Kreide u. Tertiär 07 II 272
— — — u. unt. Tertiär 05 I 497
— — Santacruzeno. Marsupialier . . . . 07 I 306
— — Santa Cruz-Schichten, Dasypoda . . . 05 I 498
— — Tertiär, Dentition 06 I 450
— — — Verbreitung . 05 I 307
siehe auch Argentinien.
— Perrier, Hipparion-Fauna . . . . . 06 I 143
— Pommern, diluviale und alluviale . . . 06 I 140
— Schweiz, Eocän, Chasmotherium u. Lophiodon . . . . . 05 I 492
— Seweckenberg bei Quedlinburg, diluviale 06 I 140
— siehe auch Tertiär, Wirbeltiere, Mensch etc.
Säulenförmige Absonderung im Sandstein durch Basalt, Sydney, N.-S.-Wales . . . . 07 I 402

Sageceras albanicum, Untertrias, Albanien. 1908 II 400
Sagenodus pertenuis, Perm, Texas . . . . . 05 II 477
Sagenopteris alaskensis . 07 II 504
— bilobata, Jura, Korea 07 II 343
— Emmonsi u. magnifolia 07 II 500
— grandifolia . . . . . 07 II 503
— nervosa . . . . . 07 II 504
— Phillipsi, var. major und cuneata, Jura, Yorkshire-Küste . . 07 I 489
Saghatherium, Tertiär, Fayum . . . . . 07 II 310
— magnum, Eocän, Aegypten . . . . . 06 I 449
Sago-Vulkan, Sumatra, Gesteine . . . . . 06 I 218
Sagrina Branneri, californiensis und elongata, Monterey shale, Kalifornien . . . . . 08 II 283
— dimorpha var. ornata, Tertiär, Wels (Oesterreich) . . . . . 05 II 291
— nodosa = Clavigerina senensis, Pliocän, Siena 06 II 309
— spinosa, Miocän, Maryland . . . . . 07 II 158
Sahara, Salpeter . . . . 05 I 444
Sahlit = eisenreicher Diopsid . . . . . 09 II 175
Salamanca-Stufe, Kreide, Patagonien . . . . . BB XXI *135*
Salbandbildung am Gang von Nephelinbasalt, Schwarzbrunn, östlich Gablonza a. N. . . . 08 II 190
Salernitaner Apennin, Trias-Mollusken, bei Giffoni . . . . . 06 I 108
Salesius-Sandstein, Tertiär, Ossegg, Böhmen 05 II 438
Saleyer, Geologie . . . 09 I 243
Saliciphyllum californicum, pachyphyllum . 07 II 505
Salit, Japan, Sannotake, Analyse . . . . . 09 I 33
siehe auch Sahlit.
Salix matawanensis, Matawan-Formation, Cliffwood, Nordamerika . 07 I 494
Salmiak
— bei vulkan. Eruptionen, Entstehung . . CBl 1907 *662*
— der Laven, Ursprung 1909 I 7. 52
Salmiak
— Zwillingsbildung . . BB XXIII *311*
— Hänichen-Grube bei Burgk (Dresden), Kristalle . . . . . 1909 II 11
— Vesuv, Kristalle . . 09 II 12
— auf Vesuvlava 1906 . CBl 1906 *325*
— in Vesuvprodukten 1906 1908 I 12. 326 CBl 1907 *161*
— Vulkane, siehe auch Ammoniak.
Salpeter
— der Alkalien, Isomorphie und Polymorphie 06 II 164
— Kristallisation des Natronsalpeters aus Lösungen . . . . . CBl 1906 157
— versch. Zusammensetzung, Modifikationen u. Isodimorphismus . . . . . 06 II 318
— Aegypten und Chile . 05 I 262
— Chile, Entstehung . . 06 I 238
— Sahara . . . . . 05 I 444
— siehe auch Chilesalpeter, Natronsalpeter, Nitrate etc.
Salpeterbildende Bakterien im Boden . . . 08 II 186
Salpetersaures Ammonium, Polymorphismus . . . . . 05 I 12
Salpetersaures Natron, Kristallisation . . . CBl 1905 *491*
Salta, Prov., Argentinien, Geologie . . . . . BB XXII *570*
Salteraster . . . . . 07 II 157
Salterites Oberhummeri, Muschelkalk, Himalaya 08 II 243
Saltrange
— Helicoprion, im Productus-Kalk . . . . 05 II 132
— Lamellibranchiaten u. Vergleich mit Süd-Ussurigebiet . . . . 09 I *6*
— Productus-Kalk . . . CBl 1906 *129*
Salz, Rheintal, unteres . 07 II 283
Salzablagerungen
— Bildung . . . . . CBl 1905 750
— Bildungsverhältnisse der ozeanischen . . . 05 I 192
— siehe auch Steinsalz, Kalisalze etc.
Salzbergwerke, Wirkung des Gebirgsdrucks auf tiefe . . . . . 1907 I 87. 416

Salzbergwerke
— Lübtheen (Friedrich Franz-Grube), Meckl. 1909 II 187
— Wieliczka . . . . . 05 II 117
Salzbildungen, deszendente u. posthume im deutschen Zechstein . 09 II 304
Salzburger Ebene u. Untersberg . . . . . 09 I 415
Salze
— lösliche, Zusammenkristallisieren . . . . 09 I 161
— schwerlösliche, Löslichkeit . . . . . CBl 1904 441
Salzgebirge, Leinetal . . 06 II 416
Salzgehalt des Meers, Beziehung zum Alter der Erde . . . . . 05 I 402
Salzindustrie, Ohio . . . 08 I 247
Salzkammergut, Geologie 05 I 284
Salzlager
— Entstehung ozeanischer 06 I 161
— Deutschland, im Zechstein . . . . . 09 II 304
— Eichsfeld, im Zechstein . . . . . 09 II 424
— Staßfurt, regelmäßige Verwachsung v. Eisenglanz mit Carnallit . CBl 1909 *168*
Salzlagerstätten
— Verbreitung und Verwendung . . . . . CBl 1905 310
— Vorkommen von Ammoniak und Nitrat . 09 II 186
— Jessenitz, Mecklenburg . . . . . 07 I 87
— Norddeutschland . . 09 I 422
— — Entstehung . . . 09 I 423
— siehe auch Kalisalzlagerstätten.
Salzton, roter, jüngeres Zechsteinsalz, Norddeutschland . . . . 09 I 424
Samaropsis oregonensis . 07 II 503
Samarskit
— Kaukasus, im Monazitsand . . . . . 05 I 386
— Norwegen, Granitpegmatitgänge des südlichen . . . . . 08 I 354
Samenpflanzen, Ursprung 07 I 167
Samland, Endmoränen . 06 I 119
Sammelkristallisation u. Thermometamorphose 09 II 160
Sammeln und Bestimmen von Mineralien . . . CBl 1904 507
Sammlungsmikroskop . . CBl 1907 *615*
Samoa, Petrographie . . . 1905 II 75
Samos, tertiäre Rhinoceratiden . . . . . 06 II 450
San Gabriel Mountains, Kalifornien, Gesteine 07 II 222
San Jorge-Stufe, Kreide, Patagonien . . . . . BB XXI *135*
San Juan, Prov. Argentinien, Geologie . . . BB XXII *566*
San Lorenzo-Insel, Peru, Wealden von Caleta de los Presos . . . . BB XXIV *74*
San Luis, Prov., Argentinien, Geologie . . . BB XXII *564*
Sand, Durchdringbarkeit durch Wasser . . . 1905 I 266. 267
Sandablagerung an der Küste von Karachi (Clifton), Indien . . 05 II 417
Sandbaryt-Kristalle, Oklahoma . . . . . 08 II 6
Sanddiluvium, altes, Sylt BB XXI *199*
Sande
— Klassifikation . . . . 06 I 205
— französisches Ufer der Straße von Calais . . 09 I 200
Sandhügel
— Literatur u. Entstehung 09 I 49
— am Waag-Fluß, Ungarn, Feuchtigkeit . . 05 II 379
Sandlingites Andersoni, Subbullatus-Schichten, Amerika . . . . . 06 II 306
— Pearsoni u. Tuckeri, Tropites limestone, Byans . . . . . 08 II 237
Sandsteine
— künstliche, mit fluorhaltigem Zement . . CBl 1908 *161*
— Verwitterung am Kölner Dom . . . . . 07 II *42*
— Wetterbeständigkeitsprobe . . . . . 08 II 218
— Antarktis . . . . . 09 II 76
— Böhmisch-Leipa, mit Röhren, Gewitterkugeln etc. . . . . 08 II 62
— Enderby-Land, gedredscht . . . . . 06 II 372
— Frankreich, Tertiär . 07 II 297
— Heidelberg, kristallisierter . . . . . 08 II 304
— Königsberg i. Pr., nordische Geschiebe, mit Flußspat gemengt . . CBl 1908 *33*

Sandsteine
— Moray area, chemisch 1905 I 414
— — FirthBasin, schwere Metalle . . . . . 05 I 417
— Paraguay, chemisch . 06 II 377
— Sydney, NS.-Wales, säulig abgesondert durch Basalt . . . . 07 I 402
Sandsteinformation, patagonische . . . . . BB XXVI *118*
Sandsteingänge im Bergkalk, Snelston (Derbyshire) . . . . . 05 II 388
Sandsteinhöhle, Uplis-Tsike, westl. Gori, Transkaukasien . . . 06 I 44
Sandstrand, Verhalten unter verschiedenen Umständen . . . . . CBl 1906 *721*
Sandwichsinseln, siehe Hawaii.
Sanguinolites discors, Culm, Königsberg bei Gießen . . . . . BB XXVIII *641*
— Bellerophontium, Bellerophonschichten, Bosnien . . . . . 05 I 105
Sanidin
— Einwirkung auf Farbe durch Radiumstrahlen CBl 1909 *721*
— Canale Monterone (Rom), im Tuff . . . 06 I 171
— Leilenkopf b. Niederlützingen, Laacher See . . . . . 09 I *43*
— Lévran (Cantal), Einschlüsse im Andesit . 06 I 379
— Mordloh, Tepler Hochland, im Trachyt, optisch . . . . . 06 II 354
St. Acheul, Diluvium und Artefakte . . . . . 09 I 283
St. Bernhard, großer, Decke, Piemont . . . 06 II 257
St. Gotthard, kristalliner Schiefer der Südseite (Tremolaserie) . . BB XXVII *157*
St. Helena, Gesteine . . 05 II 76
St. Poelten, Grundgebirge . . . . . 08 II 59
Santa Cruz beds, Patagonien, Glyptodontia und Gravigrada . . . 06 I 453
Santa Cruz-Formation, Patagonien
1905 I 140 BB XXI *155. 174*
Santa Cruz-Schichten, Dasypoda . . . . . 1905 I 498
Santacruzeno, Patagonien, Marsupialier . 07 I 306
Santorin
— Bomben, Zusammensetzung . . . . . 05 I 247
— Einschlüsse in Eruptivgesteinen, Folgerungen . . . . . 07 II 406
— Fumarolenprodukte . 07 II 406
— Interpretation von Gesteinsanalysen . . . 05 II 210
— Staukuppen . . . . Festband *311*
Sao Thomé, Gesteine . . 05 II 76
Saperda, baltischer Bernstein, Deutung . . . 07 I 323
Sapindopsis oregonensis . 07 II 505
Sapindus imperfectus, Kreide, Long Island . 07 I 495
— inexpectans, Judith river beds, Nordamerika . . . . . 07 I 440
Saponit . . . . . CBl 1909 *331*
— Färöer . . . . . 09 I 29
— Kuttenberg (Böhmen), chemisch . . . 08 I 39
— siehe auch Seifenstein.
Sapphir
— Färbung durch Radium 07 II 170
— Farbenänderung durch Radiumstrahlen . . . 09 I 178
— künstlich . . . . . CBl 1908 179
— Australien, mit Lichtschein . . . . . 07 I *17*
— — und Birma . . . CBl 1905 *588*
— — u. Ceylon, Krist. Aetzfiguren und Brechungskoeffizient . . 06 I *41*
— Finkenberg b. Bonn, im Basalt . . . . . CBl 1908 *419*
— Idaho . . . . . 09 I 32
— Washington County, Idaho . . . . . 09 I 30
— Yogo-Gang bei Yogo Gulch, Montana . . . 07 II 42
Sarajewo, Geologie . . . 05 I 101
Sarcobora, Kreide, Patagonien . . . . . 05 I 169
Sarcolemur, Wyoming . 07 II 133
Sarcorhamphus patruus, quartär, Tarija-Tal, Süd-Bolivia . . . . . 08 II 435
Sardinien, Erzlagerstätten von Iglesias, Sedimentärschichten . . . . 05 II 406

Sardinien
— Gebirgsbau . . . . . 1909 I 99
— mesozoische Formationen . . . . . BB XXIII *435*
— mesozoische Tabulaten und Hydrozoen . 06 I *61*
— Mineralien, Argentiera della Nurra, Portotorres . . . . . 06 I 31
— posthelvetische Vulkaneruptionen . . . 09 II 227
— Trias, Gliederung und Fauna . . . . . 05 I 128
— Vulkane von Lugodoro u. Campo d'Ozieri 09 I 47
— Vulkanberg Mte. Ferru BB XXI *1*
Sardinoides illustrum, Chalk, England . . . 05 II 137
Sarkolith, mikroskop. Charakterisierung . . CBl 1906 *267*
Sarmatische Schichten, Moldau . . . . . 06 I 295
Sartorit, Binnental, Krist. 09 I 172
Sassafras angustilobum, Kreide, New York . 08 I 456
Sassia biarritzense, blaue Mergel von Côte des Basques bei Biarritz . 06 II 439
Sassolin, Vesuv . . . . 09 I 350
Saturnalis brustolensis u. ellipticus, Scaglia, Euganeen . . . . . 06 I 475
Saure u. alkal. Reaktion der Mineralien, bes. Silikate . . . . . 08 I 5
Sauerstoff, Absorption aus Luft durch Eisen der Erdrinde . . . . 07 I 49
Sauravus Costei, Ober-Carbon, Blanzy (Saône-et-Loire) . . . . . 07 I 310
Saurerpeton latithorax, Carbon, Nordamerika 09 II 134
Saures rechtsweinsaures Magnesium, Kristalle 07 I *105*
Saurichthys
— ident mit Belonorhynchus . . . . . CBl 1909 *58*
— Kiefer, im Muschelkalk, Rüdersdorf . . CBl 1909 *54*
Saurischia . . . . . CBl 1909 *13*
Saurodelphis, Saurodelphidae, Boldérien, Antwerpen . . . . . 07 I 132
— argentinus, Pliocän, Argentinien . . . . . 09 II 118
Sauropleura longidentata, Carbon, Nordamerika 1909 II 134
Sauropoda . . . . . CBl 1909 *14. 19*
Sauropoden, Verhältnis zu Theropoden und Systematik . . . . . 09 I 289
Saussurit, Piemont, Val della Torre . . . . . 05 II 224
Saussiritbiotitgabbro, Schuls, Unterengadin 05 II 388
Savoyen
— Echiniden . . . . . 05 II 325
— Geologie . . . . . 08 II 389
Savoyer Alpen, Geologie 05 I 282
Savu, Ind. Archipel, mesozoisches Land und Meer . . . . . 07 I *109*
Scabellia, Kreide, Patagonien . . . . . 05 I 168
Scaglia
— Abruzzen, Nummulitenfauna . . . . . 06 I 156
— Euganeen, Radiolarien der Hornsteinknollen 06 I 474
— Venetien, Inoceramen 05 I 357
Scala persica u. proxima, Senon, Süd-Persien . 06 I 444
Scalaria elegans, Danien, Dänemark . . . . . 06 I 309
— Mörchi, Paläocän, Rugaard, Kattegat . . . 08 II 103
Scaldia globosa, Culm, Königsberg b. Gießen BB XXVIII *637*
Scaldicetus, Boldérien, Antwerpen . . . . . 07 I 134
Scaliola joncheryensis, Eocän, Paris . . . . 07 II 303
Scaphiocoelia boliviensis, Devon, Bolivia . . . BB XXV *555*
Scaphiocrinus caudatus, Kohlenkalk, Dinant (Belgien) . . . . . 05 II 147
Scaphitenschichten, Westfalen, Fazies im südöstlichen . . . . . 06 II 105
Scaphites Condoni und Condoni var. appressa, Gillisi, inermis, klamathensis, Perrini und roguensis, Kreide, Kalifornien . . . . . 06 I 288
— constrictus, schles. Karpathen . . . . . 05 I 355
— nodosus, Entwickelung der Lobenlinien . . . 08 I 132

Scaphonyx Fischeri, Trias, Rio Grande do Sul . 1909 I 444
Scaptorhynchus, Tertiär 08 I 302
— miocenicus, Tertiär . 08 I 304
Scelidotherium, Santa Cruz beds, Patagonien 06 I 464
Schädel der Proboscidier, Entwicklung . . . . 05 II 471
Schaf, neolith. Fauna in Mitteleuropa . . . . 06 II 440
Schalstein
— Ecuador, Ostkordillere 06 I 394
— Lahn u. Dill, Oberdevon . . . . . BB XXVIII *384*
— Rhein. Schiefergebirge 07 I 54
— — — und Eisenerz . BB XXI *302*
— Westerwaldbahn Herborn—Driedorf . . . BB XXIV *421*
Schalsteinformation, mährisch-schlesische, Leptochlorite . . . . . CBl 1906 *293*
Schalsteinzug, Sternberg—Bennisch, Erze und Mineralien . . . CBl 1907 *289. 321*
Schauinsland, Schwarzwald, Blei- u. Zinkerze 05 II 78
Schaumburg - Lippe'sche Kreidemulde, Fauna . 06 I 441
Scheelit
— vergl. mit $SrWO_4$ und $BaWO_4$ . . . . . 06 II 344
— Zwillingsbildung . . BB XXIII *331*
— Barkerville, B. C. . . 07 II 32
— Black Hills, Montana 05 II 33
— Pribram 1908 I 37. 401 09 I 345
— Sardinien, Genna Gurese . . . . . 08 II 319
— Traversella . . . . 1907 I 36. 38
Scheinbar lebende flüssige Kristalle . . 1909 I 4 09 II 329
Scheinbar lebende weiche Kristalle . . . . . 06 II 151
Schichtenabtragungen, Westfalen, im jüngsten Jura und in der Kreide 06 II 86
Schichtenverschiebungen, präcretaceische, im Eggegebirge, im Mesozoicum . . . . . 06 II 86
Schichtung
— überzählige, im Aufschüttungsgebiet, subaquatische Rutschung. 08 II *154*
— unterzählige, im Abrutschungsgebiet, subaquatische Rutschung. 08 II *154*
Schiebungen, einfache u. Zwillingsbildung . . BB XXIII *339*
Schiefer
— Verhalten gegen Ferrisulfatlösung . . . . 1909 II 84
— Antarktis . . . . . 09 II 76
— St. Gotthard (Südseite), kristallinische BB XXVII *157*
— Odenwald, innerer, kontaktmetamorphe . CBl 1907 *116*
— kristalline, nach Grubenmann . . . . . CBl 1905 430
— — Mineralbestand u. Struktur . . . . . 09 I 207
— — nach Weinschenk CBl 1905 617. 625
— — Perthitfeldspate . 05 II 361
— — Brit. Zentralafrika 07 I 236
— — Grönland, westl. Nord- . . . . . 07 I 244
— — Sachsen, Granulitgebirge . . . . . CBl 1907 *513*
— — Tessiner Alpen 1908 II 197. 200. 214
— kristallinische, Entstehung . . . . . 06 II 199
— Tessiner Alpen, metamorphische . . . . . 06 II 208
— siehe auch kristallinische Schiefer, Gneis etc.
Schieferformation, Feuerland, Alter . . . . . CBl 1908 *193*
Schiefergebirge, Rheinisches, Alter . . . . CBl 1909 *278*
— — klast. Gesteine des Paläozoicums . . . . 09 II 216
Schieferhülle, Zillertaler Alpen . . . . . 07 II 432
Schieferindustrie, Nordamerika . . . . . 08 II 377
Schieferkohle, präalpine, Bayern, Flora . . . 09 I 469
Schieferung
— Entstehung . . . . . 09 I 53
— transversale, Ardennen . . . . . 09 I *112*
— Ursache bei verschiedenen Körpern . . . 05 I 266
— Versuche . . . . . 05 II 408
Schiefrige Texturen . . 05 I 73
Schiefrigkeit der Gesteine 06 II 56
Schildkröten
— Beziehung zu Plesiosauriern . . . . . 09 I 442
— Belgien, Tertiär . . . 05 II 473
— Nordamerika . . . . 09 I 451

Schildkröten, Nordamerika, tertiäre u. obercretaceische . . . . . 1909 I 450
Schiolinie . . . . . 06 II 244
Schismotherium, Santa Cruz beds, Patagonien 1906 I 462. 463
Schistoceras Hyatti, Carbon, Nordamerika . . 05 I 528
Schistomys Rollinsi, Tertiär, Patagonien . . 07 II 328
Schistophylloceras = Kochites . . . . . 09 II 139
— systemat. Darstellung CBl 1906 *418*
— mongolicum, Lias, tibetan. Klippen des Zentral-Himalaya . . 08 II 414
Schizaster howa, Eocän, Westaustralien . . . 07 II 128
— Jeani, Eocän, Aude u. Hérault . . . . . 07 II 156
— ventiensis, Molasse, Vence . . . . . 07 II 157
Schizoblastus . . . . . BB XXV *303*
— delta u. timorensis, jüngeres Paläozoicum, Timor . . . . . BB XXV *304*
Schizoblattina = Dictyomylacris . . . . . 05 I 524
Schizolepis Moelleri, Jura, Turkestan . . 09 I 147
Schizolith, Julianehaab, Grönland, im Nephelinsyenit . . . . . 05 II 185
Schizoneura Carrerei, Carbon, südl. China 1908 I 310. 311
— (Neocalamites) Carrerei, hoerensis und Meriani, Mesozoicum, Schweden . . . . . 09 I 150
Schizoneuropsis posthuma, untere Kreide, Quedlinburg . . . . . 07 II 344
Schizophoria juresanensis und supracarbonica, Obercarbon, Ural und Timan . . . . . 05 I 534
— resupinata u. supracarbonica, ob. Carbon, Kukurtuk-Tal, südl. Tian-Schan . . . . . BB XXII *373*
— striatula, Devon, Ostthüringen . . . . . BB XXIV *279*
Schizoporella serratimargo und sulcata = Schizotheca serratimargo . 05 II 143
Schizotheca serratimargo = Schizoporella sulcata und serratimargo 1905 II 143
Schlacke
— rhodonitähnliche, Kristalle . . . . . 08 II 21
— — (Vogtit) . . . . . 08 II 308
— Schmelzkurven . . . 06 I 241
— Steiger Hütte, Kristalle der melilithführenden . . . . . 07 I 28
Schlagfiguren, Natronsalpeter . . . . . 05 I 24
Schlag- u. Druckfiguren plast. krist. Metalle . 07 I 189
Schlaggenwald, Mineralien . . . 1905 I 198 07 II 32
Schlammablagerungen, Einteilung und Benennung . . . . . 08 II 185
Schlammströme, Vesuv 1906 . . . . . 08 I 43
Schlammvulkane
— Literatur u. Entstehung 09 I 49
— Malaiische Inseln . . 07 I 85
Schlern, Entstehung . . 06 I *16*
Schlesien
— Bodenschätze . . . . CBl 1907 91
— oberste Kreide, Beziehung zu Böhmen u. Sachsen . . . . . BB XXIV *676*
— Quartär . . . . . 06 I 123
— Zweischaler des Rotliegenden . . . . . 05 I *44*
— Oesterreichisch, mineralogische und geologische Literatur . . 06 I 348
Schleswig-Holstein, Geologie . . . . . 09 II 107
Schlick, blauer, nordatlant. Ozean . . . . 05 I 425
Schlickböden, Elbe . . . 05 II 444
Schlier
— Bosnien, Dolnja-Tuzla, Foraminiferen 1905 II 290. 490
— Wels . . . . . 05 II 490
Schlieren
— basische, im Granit, Schlesien . . . . . 06 II 198
— eutektische . . . . . 06 II 200
Schlierenbildung, Quarznorit von Penmaenmawr (Wales) . . . 05 I *93*
Schlönbachia sp., Asphaltschiefer, Bara-Bai (Buru), Molukken . . BB XXII *690*

Schlönbachia austinensis var. minima, Bourgeoisi var. americana, Evae, Frechi, Frechi var. curvata, Kiliani, leonensis var. maxima, quattuornodosa und var. planata, Roemeri und var. elegantior und Roemeri var. harpa, Emscher, Texas . . . 1906 I 314
— Bakeri, buttensis, Gabbi, Knighteni, multicosta, oregonensis u. siskyouensis, Kreide, Kalifornien . 06 I 288
— Dieneri, Untersenon, Jerusalem . . . . . 07 I 422
— Gaudryi u. Schneeblii, Kreide, Diego Suarez 07 II 334
— Kitteli, Hauterivien, Kaltenleutgeben . . . 05 II 429
— Neuparthi u. simplex, Kreide, Angola . . . 06 II 112
— Quaasi, Cenoman, Aegypten . . . . . 05 II 285
Schlotheimia Dumortieri, Lias, Monte di Cetona 1905 I 176 06 II 142
— Jimboi, Jura, Rikuzen, Japan . . . . . 05 I 465
Schlüteria Bodei, Untersenon, Braunschweig . 07 I 483
— diabloënsis, Kreide, Kalifornien . . . . . 06 I 288
Schluetericeras Laubei, Kreide . . . . . 07 II 149
Schmelz- u. Erstarrungskurven bei Silikatschmelzflüssen . . . BB XXIII *76*
Schmelzbarkeit von Gemischen von Ag_2S und Bi_2S_3 . . . . . 05 I 12
Schmelzen
— binäre, Kristallisationsgeschwindigkeit . 05 II 174
— bei Doppelsalzen, kongruente u. inkongruente 06 I 7
— dreifaches . . . . . 09 I 1
— einiger Sulfide . . . 09 II 182
— Erscheinungen . . . 09 I 1
— Kristallisationsgeschwindigkeit binärer 06 I 7
— von Pyroxenarten . . CBl 1906 *571*
— und Kristallisieren . CBl 1904 51
— siehe auch Silikatschmelzen.
Schmelzflüsse
— von Augit, Enstatit u. Oligoklas . . . . . BB XXVII *604*
— Ausscheidungsfolge v. Mineralien . . . . . 1908 II *1*
— Kristallisation durch Entgasung . . . . . 09 II *129*
Schmelzflüssige Massen, Einwirkung auf Nebengestein . . . . . CBl 1906 610
Schmelzfluß, Sammelkristallisation bei Ausscheidungen . . . . 09 II 160
Schmelzintervalle . . . 06 II 4
Schmelzkurven
— bei festen Lösungen (isomorphen Gemischen) . . . . . 07 II 22
— Schlacken . . . . . 06 I 241
Schmelzlösungen von Silikaten
— Theorie . . . . . 06 II 8
— Schmelzpunkterniedrigung und Mineralbildung . . . . . 06 II 10
Schmelzpunkte
— Einfluß auf Ausscheidungsfolge ausSchmelzflüssen . . . . . 08 II *29*
— Feldspate . . . . . 06 I 334
— — und Mischungen . 07 II 5
— kristalliner Gemenge . 08 II *24*
— der Mineralien, vorheriges Erweichen . . 06 II 10
— der Silikate . . . . . 07 II 171
— von Silikatgemengen und Impfung . . . . 06 II 4
— Untersuchungsmethoden . . . . . CBl 1907 *1*
— und Viskosität in Silikatschmelzen . . . . 06 II 5
Schmelzpunktsbestimmungen von Mineralien . . . . . 1906 II 10. 12
Schmelzpunktserniedrigg. bei Silikatschmelzlösungen . . . . . 06 II 10
Schmelzung der Bisilikate von Ca und Mn 09 II 343
Schmelzversuche, Orthosilikate . . . . . 08 II 379
Schmiedeberg (Riesengebirge), Magneteisenlager? . . . . . 05 I 258
Schmirgel, Campolungo, Tessin . . . . . BB XXVI *520*

Schmirgel
— Frankenstein b. Darmstadt, Beziehung zu Gabbro . . . . . 1909 I 178
— Kleinasien, Lagerstätten . . . . . 08 II 297
— Nordamerika, Produktion 1902 . . . . 05 I 208
Schmucksteine der Chinesen . . . . . 05 II 5
Schnee, Dichte . . . . 05 II 374
Schneegrenze
— Karpathen, sinkt . . 05 I 407
— Schwarzwald, eiszeitliche . . . . . BB XXI *443*
Schneekugeln, Michigansee . . . . . 08 II 341
Schnellwage, hydrostatische . 1908 II 141 09 II 327
Schönit, in ozean. Steinsalzlagern, obere Existenzgrenze . . . . . 05 I 192
Schoharie-Tal, Ost-, New York, Geologie . . . 07 I 108
Schollengebirge, norddeutsches, Lagerung . 06 II 416
Schollenkrater . . . . . Festband *315*
Schonen
— Basalt, mikroskopische Bilder . . . . . CBl 1906 117
— Brachyuren der jüngsten Kreide . . . . 06 II 141
Schörlfels, Cornwall, St. Ives . . . . . BB XXVIII *14*
Schottland
— carbonische Floren . 06 II 460
— Eisenerze . . . . . 05 I 440
— Erdölfelder v. Lothian 05 I 442
Schrammung, nichtglaziale, Altenhayn in Sachsen . . . . . CBl 1909 *521*
Schrattenkalk, Säntis, Diploporen . . . . . 09 I 154
Schraufit, Beziehung zu Bernstein . . . . . 08 I 358
Schreibersit
— im Meteoreisen 1905 I *123* 06 I 191
— Verhalten beim Anlassen . . . . . 06 II *85*
Schriesheimit, Schriesheim, Lagerungsform 05 I 240
Schrifterz
— Cripple Creek, Col., Kristalle . . . . . 06 II 158
— Nagyag, Morphologie 09 I 169
Schriftgranit, Cornwall, Zinnerzgrube, Carnbrae . . . . . BB XXVIII *17*
Schubmassen, nomadisierende, Ostalpen . . 1908 II 395
Schuls, Unterengadin, Gesteine aus dem Stollen des Elektrizitätswerks 05 II 388
Schungit = amorpher Kohlenstoff . . . . . 08 II 368
Schuttmassen, trockene, Maximalböschungen . 07 I 380
Schutzgebiete, deutsche, geol. Untersuchung u. Bergbau . . . . . 08 I 396
Schutzrinden, Assuan am Nil, auf Granit . . . 07 I 426
Schutzrindenbildung, Surinam . . . . . 05 II 69
Schwäbische Alb
— Aufbau und nutzbare Gesteine . . . . . 08 II 217
— Auswürflinge kristall. Schiefer und Tiefengesteine im Basalttuff . . . . . 07 I 387
— Basalte und Tuffe . . 06 II 205
— Donaudurchbruch, Einwendungen . . . CBl 1909 *54*
— oolithbildende Ophthalmidien im Dogger CBl 1908 *584*
Schwälmer Land, Hessen, Basalt . . . . . BB XXIII *345*
Schwagerina . . . . . BB XXVII *506*
— Abstammung . . . BB XXVII *484*
— system. Stellung . . 07 I 331
— fusiformis und fusulinoides . . . . . BB XXVII *502*
— Yabei, Sesiokalk . BB XXVII *463*
Schwagerinen, Septenbau BB XXVII *469*
Schwagerinen-Horizont, Obercarbon, Ural und Timan . . . . . 05 I 536
Schwankungen d. Meeresspiegels
— Algerische Küste . . 07 II 396
— siehe Niveauschwankungen.
Schwarzenberg, Erzgebirge, Erzlagerstätten 06 I 76
Schwarzenbergit, San Rafael, Chile . . . . . CBl 1908 732
Schwarzerde
— Köthen . . . . . 09 I 109
— — und Löß . . . . 09 II 107

Schwarzerde
— Legienen, Rittergut, Ostpreußen . . . . . 1906 I 207
— siehe auch Tschernosem.
Schwarzwald
— altes Grundgebirge . 05 I 235
— geol. Aufnahme der württemberg. Blätter Baiersbronn, Freudenstadt, Obertal—Kniebis, Simmersfeld und Altensteig . . . . 1909 II 410 ff.
— geologische Profile . . 07 II 431
— Glazialerscheinungen . BB XXI *397*
— — bei Freudenstadt . 08 II 94
— Granit u. Gneis im Wiesental . . . . . 09 I 55
— Kalksilikatfelsen im Rench- und Kinzigtal und bei Neustadt . . 07 II 67
— Paläozoicum des Nordrands . . . . . 09 II 65
— Resorptions- und Injektionserscheinungen im südlichen . . . . CBl 1907 *76*
siehe auch Schauinsland.
Schweden
— Bläherde und Gleit- oder Rutschboden . . 06 II 350
— Erdbeben 1902, 1903 05 I 52
— Fluß- und Quellwasser 06 II 351
— fossile Pflanzen . . . 09 I 152
— Geologie der Hochgebirge (Torneträsk) . 05 II 100
— jährliche Temperaturschwankungen d. Seen 06 II 49
— mesozoische Equisetales . . . . . 09 I 150
— Nickelerzlagerstätten . 05 I 98
— Quarzfeldspatgesteine des Regionalmetamorphosengebiets . . . . 06 I 379
— Radium . . . . . 06 I 326
— rote Farbe mancher cambr. und silurischer Schichten . . . . . 05 II 223
— siehe auch Quartär, Erzlagerstätten etc.
Schwefel
— Kristalle 1909 I 315 BB XXIII *313*
— kristallisierte Modifikationen . . . . . 06 II 13
— lange Beständigkeit d. monoklinen . . . . . CBl 1905 *678*
Schwefel
— Oberflächenspannung des geschmolzenen . 1908 I 169
— unipolarer Leiter . . BB XXI *338*
— Vorkommen und Bildung aus Schwefelwasserstoff . . . . . 05 I 14
— Bessarabien, Chotinscher Kreis, im Gips 07 II 377
— Bruchsal, im oberen Muschelkalk . . . . CBl 1906 *202*
— Carrara, im Marmor 1906 I 9 1907 I 214. 215
— Japan . . . . . 09 I 163
— Kostajnik, Serbien, auf Antimonglanz . . 09 I 166
— Mähren, Lhota bei Kunstadt . . . . . 05 II 176
— Maybee, Michigan, mit Cölestin 1906 II 345 07 I 33
— Nordamerika, Produktion 1903 . . . . . 06 I 328
— Paris, im Gips . . . 06 II 347
— Poggio Orlando (Siena), Schwefelgruben . 08 II 334
— Sardinien, Argentiera della Nurra, Portotorres . . . . . 06 I 32
— Texas, Trans-Pecos . 06 II 179
— Vesuv, von 1906 . . 08 I 206
— und Eisen, Zustandsdiagramm . . . . . 08 II 167
Schwefeldissoziation bei 448°, Isotherme . . . 05 I 365
Schwefeleisen, Modifikationsänderung . . . . 08 II 168
Schwefelkies
— Einwirkung v. chlorsaurem Kali . . . . 09 II 334
— — von Lösungen . . 09 II 247
— Elektrizitätsleitung 1906 II *34* 07 II 5
— Neubildung in der Ostsee . . . . . CBl 1905 *715*
— Oxydation . . . . . 09 II 246
— Umwandlung aus Markasit . . . . . 06 II *45*
— Verwachsungen, Berechnung . . . . . 08 I 14
— Zersetzung durch Wasserstoffsuperoxyd . . 05 II 11
— Ajudagh, Krim . . . 09 II 367
— Aranzazu, Zacatecas, Mexiko . . . . . BB XXVIII *551*
— Biella, Piemont, Drusen im Syenit . . . 06 II 34

Schwefelkies
— Bisbee Quadrangle, Arizona . . . . . 1906 I 176
— Bosnien u. Herzegowina, Lagerstätten z. T. goldhaltig . . . 06 II 381
— Campolongo, in Fe_2O_3 verwandelt . . . . . 05 I 203
— Carrara, im Marmor . 07 I 215
— Concepcion del Oro, Zacatecas, Mexiko, Krist. BB XXVIII *447. 520. 521. 531*
— Cornwall, Lebanon Co., Pa. . . . . 08 II 11
— Dänemark, im Kreidemergel, sog. Strahlkies 08 I 202
— Elba, turmalinführ. Gänge im Granit von San Piero in Campo 05 II 34
— Frigido bei Massa . . 07 II 177
— Gobitschau, Mähren, Pseudom. von Stilpnomelan nach Schw. CBl 1907 *294*
— Japan, Sagi . . . . 09 I 169
— Kazanesd, Kom. Hunyad, Erz . . . . . 06 I 234
— Kotterbach, Ungarn, Kristalle . . . . . 05 II 10
— La Helle, belg.-preuß. Grenze . . . . . 07 II 69
— Lausetto (Valli del Gesso), Piemont . . 06 I 348
— Markirch . . . . . 09 I 26
— Minarragra, Peru, Nihaltig . . . . . 09 I 168
— Nadabula, Ungarn . . 07 I 217
— Nagolnij Krjasch, Donetz-Becken . . . . 07 II 193
— New York, ersetzt Quarz . . . . . 06 I 331
— Nordamerika, Produktion 1903 . . . . 06 I 328
— Ormuz-Insel . . . . 08 II 336
— Porkura (Ungarn), Kristalle . . . . . 05 II 9
— Rudobanya, Ungarn 1909 I 168 CBl 1907 412
— Sestri levante, Krist. 07 II 175
— Shoshone, Idaho, Brauneisenerz, pseudom. n. Pyrit . . . . . 05 II 181
— Val Giuf, Graubünden, elektr. Verhalten . . CBl 1905 *465*
— Weitendorf (Steiermark), auf Hohlräumen im Basalt . . BB XXVII *253*
Schwefelkieslager, Jasztrabje (Ungarn) . . . 1905 I 100
Schwefelsaures Ammonium, Eigenschaften . 05 I 184
Schwefelsaures Kalium, Mischkristalle mit K_2CrO_4 . . . . . 07 I 209
Schwefelverbindungen
— pflanzenschädliche, Vorkommen im Moor 06 I 327
— schwerer Metalle, Löslichkeit in reinem Wasser . . . 1908 II 10 09 I 7
Schwefelwasser, Nenndorf a. Deister . . . 06 II 413
Schwefelwasserstoff
— Einwirkung auf Oxyde 08 I 212
— Ursache des Geruchs, im Stinkkalk von Grenville, Canada . . . . 07 I 21
— Zustand in Mineralquellen . . . . . 06 I 327
Schweine
— Miocän, Oregon . . . 07 I 302
— neolith. Fauna, Mitteleuropa . . . . . 06 II 440
— siehe auch Sus.
Schweinfurthplateau, Aegypten, Tertiär . . 05 II 323
Schweiz
— Ammonitidae der unteren Kreide, Jura . 07 I 483
— Eocän, Säugetiere (Chasmotherium und Lophiodon) . . . . . 05 I 492
— Fauna der unteren Kreide des westl. Jura 05 I 155
— Geologie der unteren Aare-, Reuß- u. Limmattales . . . . . 08 I 408
— Keuperflora, Neue Welt, Basel . . . . 07 I 492
— revue géologique 1902 bis 1906 . . . . . 08 II 233
— subaquatische Rutschungen, rezente und fossile . . . . . 08 II *136*
— Tektonik der Alpen u. Voralpen . . . . . 06 I 243
— siehe auch Alpen und Juragebirge.
Schweizer Alpen
— geologische Profile . . 07 II 431
— verglichen mit französischen . . . . . 06 II 254
— siehe Alpen, Schweizer.

Schwellungsmetamorphose und Nephritbildung, Ligurien . . . . . 1909 I 188
Schwere
— im Zusammenhang mit Erdmagnetismus und geolog. Bau, Pommern und Nachbarschaft . BB XXII *114*
— Europa verglichen mit Japan . . . . . 08 II 43
Schwereänderungen, München . . . . . 09 I 198
Schwereanomalien
— Aetna . . . . . 05 I 48
— geologische Bedeutung 05 I 45
Schwere Flüssigkeiten
— Trennung von Mineralien . . . . . 08 II 2
— Trennungsapparat . . CBl 1906 *475*
Schweremessungen
— Indien . . . . . 08 I 215
— Italien, Beziehungen zum geologischen Bau Festband *129*
— Piemont . . . . . 05 I 224
— Sizilien . . 1907 I 43 08 II 43. 44
— Württemberg . . . . 06 II 46
Schwerkraft
Bad. Oberland . . . 07 II 45
— Indien, Intensität und Richtung . . . . . 07 II 388
Schwerlösliche Salze, Löslichkeit . . . . . CBl 1904 441
Schwermetallsulfide
— Löslichkeit in reinem Wasser . . 1908 II 10 09 I 7
— Verhalten in wässriger Lösung . . . . . 08 I 168
Schwerpunkt, periodische Verschiebung in der Erde . . . . . 07 I 374
Schwerspat
— Beziehung zu Anhydrit . . . . . 07 I *139*
— Herstellung künstl. Kristalle . . . . . 05 II 4
— opt. Achsenwinkel aus der Doppelbrechung bestimmt . . . . . 07 I 188
— — — in einer sich abkühlenden Flüssigkeit 08 I 166
— Synthese und Aetzfiguren . . . . . 09 I 348
— Verbreitung in marinen Sedimenten . . . 07 I 209
— Verhalten in höheren Temperaturen . . . . 08 II 321
Schwerspat
— Altai Krjukow'sche u. Sokolny-Grube . . . 1909 II 368
— Binnental, Krist. (Barytocölestin) . . . 1909 I 345. 346
— Böhmen, Kristalle . . 08 I 35
— Brosso u. Traversella, Kristalle . . . . . 08 I 35
— Calafuria, südl. Livorno, im Macigno . . . 06 I 169
— Carrara, im Marmor . 06 II 176
— Frostburg, Maryland, Kristalle . . . . . 07 II 30
— Italien, Boccheggiano, Prov. Grosseto . . . 09 II 359
— Karlsbader Thermen, radioaktiv . . . . . CBl 1905 286
— Kaukasus, Tschiaturische Mangangruben, Gouv. Kutais . . . . 09 II 360
— Kertsch und Taman, Versteinerungsmittel . 05 II 200
— Kostroma-Gouv. . . 07 II 376
— Kreuznach, im tert. Meeressand . . . . . 07 I 112
— Krim, Simferopol-Gegend . . . . . 09 II 360
— Laprugne-Grube (Allier), Kristalle . . . 08 II 38
— Lausetto (Valli del Gesso, Piemont) . . 06 I 349
— Lozère-Departement . 06 I 346
— Markirch . . . . . 09 I 22
— Mies, Kristalle . . . 06 II 24
— Nordamerika, Produktion 1902 . . . . 05 I 208
— Norwegen, verschiedene Funde, Kristalle 09 II 196
— Ober-Mölltal, Kärnten 08 II 361
— Oklahoma (Kristalle), mit Sand . . . . . 08 II 6
— Patagonien . . . . . 06 I 346
— Pine Hill Mine, Kalifornien . . . . . 08 II 39
— Quittein, Westmähren, Eisenerzlagerstätte, auch Pseudom. von Limonit . . . . . 05 II 243
— Rako, Ungarn . . . 07 I 217
— Ratiboric, Böhmen . 09 II 366
— Rosenhof bei Claustal, mit Lamellen . . CBl 1908 *230*
— Sachalin, mit Quarz überwachsen . . . . 08 II 334
— Saratoga, Texas, pisolithisch . . . . . 07 II 31

Schwerspat
— Sillweg (Steiermark). CBl 1908 *280*
— Teplitz, Pleochroismus CBl 1907 *468*
— Teplitz-Schönauer Quellen, Radioaktivität . . . . . 1909 I 347
— Teplitzer Thermen, Dichroismus . . . . CBl 1908 *393*
— Tunis, Pseudomorphose von Cölestin nach Schwerspat . . . . . CBl 1905 *33*
— Ungarn (Dernö und Alsósayó), Kristalle . 08 II 320
— Villefort, Chandelette-Gang . . . . . 06 I 346
— Weinheim a. Bergstr., Gänge, z. T. verkieselt CBl 1906 *668*
— Westfalen, Entstehg. aus Spaltenwässern . 06 II 73
— siehe auch Barytocölestin.
— und Cölestin, Verbreitung in der Erdkruste 07 II 400
Schwerspatbildung und Baryumgehalt der Spaltenwässer, Westfalen . . . . . 06 II 73
Sciadiocapsa euganea, Kreide, Euganeen . . 06 I 474
Sciamys latidens u. rostratus, Tertiär, Patagonien . . . . . 07 II 323
Scincosaurus, Nürschan. 08 II 272
Scintilla gonetensis, Eocän, Loire inférieure. 06 I 468
Sciuroides Quercyi, Oligocän, Eselsberg, süddeutsche Bohnerze . 08 I 123
Sciuromorphen, Argentinien . . . . . 05 I 159
Sclerocephalus, Nürschan, Gaskohle . . 08 II 266
Sclerocrinus, Körperform . . . . . Festband *276*
Scleromochlus Taylori, Trias, Lossiemouth, Elgin . . . . . 09 I 443
Scleromys, Tertiär, Patagonien . . . . . 07 II 325
Scleropteris oregonensis 07 II 503
Scolioneura vexabilis, Miocän, Florissant, Colorado . . . . . 08 II 112
Scombroclupea scutata, Kreide, Bahia (Brasilien) . . . . . 08 II 447
Scopelus, Otolithen, Tertiär, Oesterreich . . 1907 I 480
Scotaeomys, Tertiär, Patagonien . . . . . 07 II 326
Scotaeops = Stegotherium, Santa Cruz-Schichten 05 I 500
? Scurria coniformis, Fort Benton-Schichten, Los Cerillos (Neu-Mexiko) 08 I 436
— striata, Pachycardien-Tuffe, Seiser Alp . . CBl 1905 *176*
Scyaeniden, Otolithen des österr.-ungar. Tertiärs 05 II 138
Scylacosauridae, Systematik . . . . . 07 I 479
Scylacosaurus Sclateri, Schädel, Südafrika . 07 I 142
Scymnosaurus ferox, Schnauze, Südafrika. 07 I 143
Scytinoptera Kokeni, Perm, Rußland, an der Kama . . . . . 05 I 522
Securidaca tertiaria, Eocän, Fayum . . . . 09 I 308
Sedgwickia topekaënsis, Perm, Texas . . . . CBl 1908 *686*
Sedigenetische Erze . . 07 I 406
Sedimentärgesteine, siehe Sedimentgesteine etc.
Sedimentation
— des Meeres, Ursachen und Bedeutung . . . BB XXV *366*
— Störung durch Auflösung des Kalks in der Meerestiefe . . . BB XXV *411*
Sedimente
— entstanden durch Zerstörung der Eruptivgesteine u. der krist. Schiefer . . . . . 1909 II 62. 63
— geben durch Metamorphose kristallinische Gesteine . . . . . 09 II 63
— größter Meerestiefe . 05 I 425
— nordatlantischer Ozean 05 I 424
— Tessiner Alpen, metamorphische . . . . . 06 II 208
Sedimenterze . . . . . CBl 1906 614
Sedimentgesteine
— Klassifikation . . . . 06 I 47
— nach Weinschenk . CBl 1905 623
— ursprüngliche Form der Ablagerungen . . 05 I 419
— Kiautschou . . . . . 06 II 370
Sedimentgneis, deutsches Grundgebirge . . . . 05 I 235

Seebachsfelsen bei Friedrichrode, Gestein . . 1906 I 208
Seebecken
— volle, durch Hebungen vom Meer getrennt . 06 II 194
— und Terrassen, östl. Norddeutschland, Beziehung zur glazialen Hydrographie . . . . 05 I 481
Seen
— umgestaltende Vorgänge . . . . . 07 I 117
— Canada, in Felsenbecken . . . . . 05 I 230
— Glarner Alpen, Entstehung . . . . . 05 I 407
— Gotthardgebiet und Tessin . . . . . 08 II 51
— Grimsel u. St. Gotthard 07 II 52
— Neuvorpommern und Rügen . . . . . 08 I 98
— Oberengadin . . . . 06 I 44
— Ostpreußen . . . . . 05 I 471
— polare (Baikalsee) . . 05 I 408
— Schweden, jährl. Temperaturschwankung . 06 II 49
— Småland, Terrassen . 05 I 313
Seengebiet, England, Geol. 08 II 53
Seentypus, polarer (Baikalsee) . . . . . 05 I 408
Seeerze
— Bildung durch Humusstoffe . . . . . 09 I 77
— Verhältnis von Fe und Mn . . . . . 09 I 80
Seefelder Gebirge, Tirol, Geologie . . . . . 09 I 410
Seehunde, Kurische Nehrung . . . . . 09 I 437
Seehundsknochen, Miocän, Maryland . . . 09 I 439
Seeigel, photographische Reproduktion v. Ambulakren . . . . . CBl 1907 *422*
Seelisberg, Schweiz, Geologie . . . . . 09 I 84
Seesterne
— Organisation u. Systematik der Sphäriten . 08 I 137
— paläozoische, Porenstellung . . . . . CBl 1907 *741*
— rheinische Grauwacke 09 II 322
Seewasser
— chemisch . . . . . 08 I 360
— feste Bestandteile, geologische Schlüsse . . 07 I 46
Segengottes bei Brünn, Boskowitzer Furche . 1905 II 97
Segregationsgänge, tertiäre Eruptivgesteine, Skye . . . . . 06 II 66
Seiches, japanische Seen 07 I 381
Seichtwasserablagerungen, Island und Grönland 05 I 421
Seifengold, Entstehung . 05 I 257
Seifenstein, Kutahia bei Angora . . . . . 05 I 188
siehe auch Saponit.
Seiser Alp
— Brachiopoden der Pachycardientuffe . . 05 I 179
— Buchensteiner Kalk u. älterer Melaphyr . . 06 II *1*
— Zeolithe . . . . . 07 II 28
Seismologie
— Fortschritte . . . . 09 II 208
— neuere Fortschritte . 08 I 48
— siehe auch Erdbeben.
Seismometer, astatisches Pendel-, Leipzig, registriert Fernbeben etc., 1. Januar bis 30. Juni 1903 . . . 05 I 52
Seismometerbeobachtungen, Potsdam . . . . 07 II 48
Seismometerdiagramme . 07 II 46
Seismometrische Beobachtungen . . . . 05 II 208
Seismoskop mit zwei Horizontalpendeln . . . 07 I 219
Seitlicher Zusammenschub im Buntsandstein, Sulzmatt . . . CBl 1907 *489*
Selachier, siehe Haifische und Elasmobranchier.
Seladonit, Färöer . . . 09 I 29
— Krebshöhe bei Schönpriesen, Böhm. Mittelgebirge . . . . . CBl 1909 *159*
Selaginella marylandica . 07 II 506
Selen
— amorphes, als unipolarer Leiter . . . . BB XXI *338*
— kristallines, als unipolarer Leiter . . . . BB XXI *341*
— — Lichtempfindlichkeit . . . . . BB XXI *373*
— — photoelektr. Ströme . . . . . BB XXI *382*
— Verhalten geg. Licht etc. . . . . 1908 I 8 08 II 156
— auf Vesuvlava 1906 . CBl 1907 *611*

Selenoconidae, Selenoconus, Kreide, Patagonien . . . . . 1905 I 168
Selenodonten, posttertiäre, Rußland . . . . . 07 II 299
Seligmannit
— Binnental 1906 II 32 CBl 1905 30. 752
— chemisch . . . . . CBl 1908 732
— Kristalle 1905 I 19 . 08 I 204
— Zwillingsbildung . . . CBl 1905 *30*
Sellosaurus Fraasi und gracilis, Stubensandstein . . . . . 09 I 287
Seltene Erden, Vorkommen im Mineralreich CBl 1904 218
Semeroe, Vulkan, Java . CBl 1909 *613*
Semipatische Eruptivgesteine . . . . . 08 II 350
Semiplicatula Pissaroi, Eocän, Loire inférieure 06 I 154
Semseyit, Bolivia, Oruro, chemisch . . . . . 08 II 337
Sénarmontit, heteromorph mit Valentinit . . . 08 II 148
Senegal
— Nummulitenschichten von St. Louis . . . 05 II 288
— Tertiär . . . . . 05 II 289
Senftenberg, Pflanzen der Braunkohlenablagerungen . . . . . 08 I 449
Senkung, sekuläre, Nordseeküste . . . . . 09 I 109
Senkungen oder Hebungen
— in Massengebirgen . . CBl 1907 *489*
— des Meeresspiegels BB XXVIII *574*
— siehe auch Dislokationen, Niveauschwankungen etc.
Senkungen u. Hebungen, kontinentale . . . . 05 I 222
Senkungserscheinungen, Nordseeküste . . . . 08 II 99
Senon
— Austern, Systematik BB XXII *657*
— Braunschweig und Ilsede, Cephalopoden d. unteren . . . . . 07 I 482
— Madagaskar . . . BB XXVIII *211*
— Pondoland . . . . BB XXVIII *212*
— siehe auch Kreide.
Septarienton, Verbreitung und Transgression an der mittleren Elbe . 05 II 287
Septarienton
— Wonsheim in Rheinhessen . . . . . CBl 1905 *656*
— siehe auch Tertiär u. Rupelton.
Septifer cyrtomorphus, Eocän, Loire inférieure 1906 I 154
— sturgisensis, Jura, Black Hills . . . . . 08 I 264
— variabilis, Hypersenon, Peterwardeiner Gebirge . . . . . 06 II 268
Septiola dreyssensiformis, Pachycardientuffe, Seiser Alp . . . . . 07 II 336
Septopora triangularis, karn. Fusulinenkalk . 06 II *157*
Sequoia Fairbanksi . . . 07 II 504
— inferna . . . . . 07 II 506
— intermedia, ob. Kreide, Quedlinburg . . 07 I 493
— portlandica, Portland, Boulogne-sur-Mer . . 09 I 459
Seran (Serang), Molukken
— Geologie . . . . . 05 I 106
— mesozoisches Land u. Meer . . . . . 07 I *117*
Serang u. Portugiesisch-Timor, Molukken, Geologie . . . . . BB XXII *403*
Serapis-Tempel
— Pozzuoli . . . . . CBl 1906 *218*
— — Wasserstände . . 06 I 202
Serbien
— Bergbau . . . . . 06 I 74
— Eiszeitspuren . . . . 09 I 110
— Kupfererzlagerstätten bei Bor und Krivelj im östlichen . . . . 06 I 231
— nutzbare Lagerstätten 07 I 251
Serendibit, Ceylon . . . 06 I 181
Sericit
— Nord-Wales . . . . . CBl 1909 715
— Schwerz b. Halle a. S. 05 I 380
Sericitgesteine, Taunus . 09 II 219
Sericitschiefer
— Schlüsseljoch v. Sterzing . . . . . BB XIX *523*
— Sterzing, Tirol . . . BB XXII *523*
— Tian-Schan, Musarttal 09 I 224
— Val Camonica, Lombardei, Entstehung aus Felsitporphyr . . 09 I 221
Sérifos-Insel, Griechenland, Geologie u. Erzlagerstätten . . . . . 08 II 76

Serpentin
— Darstellung der Kieselsäure und Konstitution . . . . . 1907 I 344. 347
— Struktur und Entstehung . . . . . 1906 II 56
— Belvidere Mountain, Vermont . . . . . 07 II 218
— Birma, mit Jadeit . . 09 I 185
— Canada, Entstehung der Chrysotiladern . 07 I 404
— Easton, New Jersey, Analyse . . . . . 06 I 354
— Frankreich, Aveyron u. Gard, geologisch . 08 I 70
— — Bretagne (Belle-Isle-en-Terre) . . . 08 I 26
— Geißpfad, Oberwallis, Dunit- . . . . . 05 II 220
— Kuttenberg (Böhmen), chemisch und Mineralien . . . . . 08 I 38
— Lessachtal im Lungau (Salzburg) . . . . . CBl 1908 *282*
— Lischannagruppe, Unterengadin . . . . . 07 I 97
— Manhattan Island, New York, Entstehg. 06 I 227
— Massachusetts, Chester und Middlefield, mit Olivin . . . . . 09 I 15
— Neucaledonien . . . 05 II 273
— Neurode, im Gabbrozuge . . . . . BB XXVI *476*
— Ober-Mölltal, Kärnten 08 II 359
— Raspenau, Böhmen, im körn. Kalk des Kalkbergs . . . . . 06 I 55
— Quebec . . . . . 09 I 67
— Spitzbergen . . . . 08 II 370
— Sterzing . . . . . BB XXII *552*
— Tarntaler Köpfe, Tirol 1908 II 309 CBl 1907 349
— Teulada, Sardinien, im Predazzit . . . . 06 II 330
— Thetford, Canada, Entstehung des fasrigen 06 II 170
— Tirol, Tarntaler Köpfe 1908 II 309 CBl 1907 349
— Visp, im Bündner Schiefer . . . . . 05 II 222
— West-Sumatra, mit nephritischen Teilchen, Färbung durch organische Farbstoffe BB XXVIII *372*
— siehe auch Antigorit etc.
Serpentinasbest, Ural, Lagerstätte . . . . . 1909 II 346
Serpula antiquata, Neocom-Aptien, Argent. Kordillere . . . . BB XXIII *222*
— carinata, Granulatenkreide, westl. Münsterland . . . . . 08 I 427
— pinchiniana var. umsinenensis, Kreide, Zululand . . . . . 07 II 304
— subtrachinus u. tongowokensis, Kreide, N.-S.-Wales . . . . . 05 I 319
Serranus steinabrunnensis, Otolithen, Tertiär, Oesterreich . . . . . 07 I 481
Sesiagneis, Piemont, Malchit und Vintlit . . 08 II 215
Sethamphora pulchra, Kreide, Euganeen . . 06 I 474
Sethocapsa fossilis, hispida, megacephala u. mucronata, Kreide, Euganeen . . . . . 06 I 474
— microacanthos u. pomum, Scaglia, Euganeen . . . . . 06 I 475
Sethocephalus Haeckeli, Scaglia, Euganeen . . 06 I 475
Sethoconus gracilis, pulcher und speciosus, Scaglia, Euganeen . . 06 I 475
Sethocyrtis Colettii und parvus, Miocän, Italien . . . . . 09 II 490
— communis, hirsuta u. perspicua, Kreide, Euganeen . . . . . 06 I 474
Sethophormis radiata, Scaglia, Euganeen . . 06 I 475
Sethopyramis acuticephala, Kreide, Euganeen . . . . . 06 I 474
Sevran-Ebene bei Paris, Einbruch . . . . . 05 I 54
Seward Peninsula, Alaska, Geologie . . . . . 05 II 271
Seymouria Baylorensis, Perm, Texas . . . . 07 I 149
Seymourinsel-Schichten, Grahamland . . . . 09 II 101
Sharpeiceras Schlüteri, Kreide . . . . . 07 II 149
Shastaformation, Flora . 07 II 504

Shastasaurus Alexandrae, altispinus, Careyi, Osmonti, pacificus und Perrini, ob. Trias, Shasta Mountains, Kalifornien . . . . . 1906 I 147
Shastites compressus, Subbullatus-Schichten, Amerika . . . . . 06 II 306
Shehuen-Stufe, Kreide, Patagonien . . . . . BB XXI *135*
Shinarump-Formation . 07 II 502
Shoal creek limestone = Buda limestone . . . 06 I 308
Shonkinit
— Highwood Mountains, Montana, Shonkin-Stock . . . . . 06 II 373
— Katzenbuckel, (Michelsberg) . . . . . 08 II 353
— Ottawa, Canada . . 05 I 250
Shonkinitpegmatit, Katzenbuckel . . . . 08 II 357
Shonkinitporphyr, Katzenbuckel . . . . 08 II 355
Shuchertites Grahami, Upper Coal Measures, Texas . . . . . 05 I 527
Shumardia bottnica, Silur, Upsala . . . . . 06 I 102
Shumardites Sismondi, Carbon, Nordamerika 05 I 528
Sibirien
— Alter der Olonekschichten . . . . . CBl 1908 *233*
— Erzlagerstätten . . . 09 II 41
— — an der mittleren Bahn . . . . . 07 I 255
— Goldlager am Jenissej 05 II 247
— Mammutleichen, Beresowka-Ufer . . . . 06 I 145
— Trias . . . . . 06 I 414
Sibirites Noetlingi, oberer Ceratitenkalk, Amerika 06 II 300
— Philippii (Metasibirites), Tropites-limestone, Byans . . . . 08 II 238
Sibyllites Louderbacki, mittl. Trias, Nevada 06 II 300
Sichtbarkeitsgrenze, ultramikroskopische Erweiterung . . . . . 08 II 145
Siculites affinis, dolomiticus, Fazelloi, Scinai und turgidus, obere Trias, Sizilien . . . . 05 I 344
Siderit, siehe Spateisenstein.
Sideritporphyr beim Meteoreisen . . . . . 1905 I *146*
Siderolites denticulatus und Vidali . . . . . 08 I 307
Siderolithes nummulitispira, Preveri, rhomboidalis und Van den Broecki, Kreide von Maestricht . . . . . 08 II 285
Sideronatrit, Synthese . 07 I 35
Siderophyre, Struktur u. Zusammensetzung . 06 I 196
Sideroxen (Hessenbergit) =Bertrandit . . . . 05 II 23
Siebenbürgisches Erzgebirge, Ostrand, Geologie . . . . . 07 I 105
Siebengebirge, Essexit der Löwenburg etc. BB XXIII *407*
Siebstruktur, kristallinischer Schiefer . . . 05 I 72
Siegen, Alter der Erzlagerstätten . . . . . 09 II 78
Siegener Schichten
— Gliederung etc. . . . 09 I 272
— Seifen bei Driedorf . 05 I 315
Siegenit, siehe Linneit.
Sierra Madre, Mexiko, Bau der westlichen . 08 I 74
Sierren, pampine, Argentinien, Geologie . . . 05 II 271
Sigillaria . . . . . 08 I 155
— Antoninae, depressa, limbata, Lutugini und Schmalhauseni, Carbon, Donetz . . . . 05 I 538
— Brardii, Coal Measures, Staffordshire . . . . 06 II 459
— Canobiana, Carbon, Canonbie, England . 06 II 463
— scutellata, Bau . . . 09 I 145
Sigillarien, Abbildungen . 06 I 157
Sigillarienstämme . . . 08 I 157
Sigillariostrobus piceaeformis, Unterrotliegendes, Forst bei Münsterkappel . . . . . 09 I 468
Sigmoilina Schlumbergeri, miopliocäne Mergel von Bonfornello (Palermo) . . . . . 06 I 473
Sigmundskroner Porphyr, Bozen . . . . . BB XXVII *103*
Sijarira Series, Rhodesia 05 II 269

Silber
— Lichtbrechung . . . 1908 I 170
— Lösung und Niederschlag . . . . . 08 II 8
— Nachweis in der Phosphorsalzperle . . . . 08 II 156
— Sublimation in Quarzgefäßen . . . . . 05 I 17
— Markirch . . . . . 09 I 24
— Nagolnij Krjasch, Donetzbecken . . . . . 07 II 192
— Schlaggenwald . . . 05 I 198
Silber-, Blei-, Thallo- und Cuprohalogene, Mischkristalle aus Schmelzfluß . . . . . BB XXII *1*
Silbererzlagerstätten
— Leiterze . . . . . 08 I 400
— siehe auch Erzlagerstätten.
Silberglanz
— Markirch . . . . . 09 I 24
— Tabor-Gegend, Böhmen 09 II 366
— als unipolarer Leiter BB XXI *338*
Silberhaloide, Piezopleochroismus . . . . . CBl 1908 *393*
Silbermineralien, rote, Binnental . . . . . 09 I 171
Siliciumcarbid (Moissanit), Diablo Cañon-Meteorit 1907 II 202 CBl 1905 *154*
Silicomagnesiofluorit, Finnland (Luppiko) . 08 I 28. 29
Silicomolybdate, Isomorphismus . . . . 07 I 333
Silikat $Na_2 Fe_2 Si_4 O_{12}$ . . CBl 1905 *717*
Silikate
— von $Al_2 O_3$ und Ca O, Schmelzpunkte . . . 08 II 151
— der alkal. Erden von Zn, Mn und Fe durch Schmelzen . . . . . 09 I 182
— amorphe wasserhaltige, chemisch . . . . CBl 1908 *622. 662*
— Analyse. CBl 1905 *247* CBl 1908 48
— Bestimmung des Kalium . . . . . CBl 1908 *513*
— chem. Natur u. Darstellung . . . . . 1907 I 343 ff.
— Darstellung . . . . . 09 I 182
— — d. Kieselsäure nach Tschermak's Methode CBl 1908 *129. 225. 325*
— Färben . . . . . CBl 1905 284
— gefärbt durch organische Farbstoffe BB XXVIII *358*
Silikate
— isomorphe, experimentelle Untersuchungen CBl 1906 *571*
— — Zusammenschmelzen . . . . . 1909 II 163
— Konstitution geschlossen aus der daraus dargestellten Kieselsäure CBl 1908 *129. 225. 325*
— natürliche, Bestimmg. d. Kieselsäure durch Zersetzung . . . 1907 I 23. 344. 347 CBl 1908 *129. 225. 325* siehe auch Kieselsäure.
— Pleochroismus der mit basischen Teerfarben angefärbten . . . . 08 I 161
— saure und alkalische Reaktion . . . . . 08 I 6
— Schmelzpunkte . . . 07 II 171
— Versuche über Bildung CBl 1906 *339. 353*
— Verwitterung zu Ton und Laterit . . . . 06 I 23
Silikatanalyse, mikrochemische, Bleidose . CBl 1905 *247*
Silikatführende Carbonatgesteine, St. Gotthard, Südseite . . . . . BB XXVII *203*
Silikatgele . . . . . CBl 1909 *331*
Silikatgesteine, Eindringen geschmolzener Sulfide 09 II 83
Silikatgläser und Silikatschmelzen, Schmelz- und Erstarrungspunkte 09 II 184
Silikation bei Metamorphismus nach van Hise . . . . . CBl 1906 609
Silikatische Einlagerungen im körnigen Kalk des Kalkbergs, Raspenau, Böhmen . . . . . 06 I 55
Silikatmineralien
— Ausscheidungsfolge in Schmelzflüssen . . . 08 II *1*
— kleinstzählige chemische Formeln . . . . CBl 1907 2
Silikatschmelzen . . . . 06 II 4 ff. . . 1907 II 5 BB XXII *183*
— Ausdehnung beim Erstarren . . 1909 I 51 09 II 329
— Ausscheidung aus CBl 1905 *361* CBl 1906 *132*
— Ausscheidungsfolge v. Silikaten bei 2 und 3 Komponenten . . . BB XXIII *43*

Silikatschmelzen
— Beziehung zwischen Viskositätskurven u. Molekularvolumen . . CBl 1906 *289*
— Bildung von Quarz u. Tridymit . . . . . CBl 1906 *728*
— Dissoziation . . . . 1909 II 329
— — Leitfähigkeit und Kristallstruktur . . . 09 II 184
— experimentelle Untersuchungen . . . . . BB XXV *261*
— Leitfähigkeit . . . . CBl 1909 *779*
— mit neugebildetem Quarz . . . . . CBl 1906 *657*
— Reaktionsgeschwindigkeit . . . . . 07 II 9
— Theorie und Anwendg. auf Gesteine . . . . 07 II 8
— Untersuchungsmethoden . . . 1907 II 7 CBl 1907 *1*
— Viskosität . . . CBl 1906 *193. 289*
— — und chemische Zusammensetzung . . . 08 II 152
— und Entstehung der Gesteine . . . . . 08 I 86
— und eutektische Mischungen . . . . . 06 II 5
— und Silikatgläser, Schmelz- und Erstarrungspunkte . . . . 09 II 184
Silikatschmelzflüsse, Differentiationserscheinungen, Schmelz- und Erstarrungskurven, Unterkühlung, Nernstsches Löslichkeitsgesetz, Dissoziation, Eutektikum, Formeln v. Raoult u. van't Hoff BB XXIII *73 ff.*
Silikatschmelzlösungen . CBl 1905 *144*
— Theorie . . . . . 06 II 8
— Mineralbildung und Schmelzpunktserniedrigung . . . . . 06 II 10
Siliqua aequilatera, Kreide, Schaumburg-Lippesche Mulde . . . . . 06 I 441
Siljansko polje-Kalk, Bosnien, Fauna . . . . 05 I 106
Sillimanit
— künstliche Entstehung 07 II 371
— Neubildung in Schmelzflüssen . . . . . 08 II 7
— Synthese . . . . . CBl 1905 *149*
— Ceylon . . . . . 1906 I 179. 184. 186
Sillimanit
— Chester Conn., Achsenverhältnis . . . . . CBl 1906 *372*
— — — Brechungsindizes . . . . . 1906 II 317
— niederösterr. Waldviertel, pseudom. nach Andalusit . . . . . CBl 1908 251
— Rhein, Einschluß im Basalt . . . . . CBl 1908 *102*
— — Finkenberg bei Bonn, im Basalt . . CBl 1908 *420*
— Sohland a. Spree, im Diabas . . . . . 05 I 94
Sillimanit-Biotit-Schiefer, Enderby-Land, gedredscht . . . . . 06 II 371
Sills der großen Gruppen, Skye . . . . . 06 II 68
Silur
— Asteriden und Ophiuriden . . . . . 1908 I 134. 138
— Phyllopoden d. unteren (Ribeiria und Ribeirella) . . . . . 05 II 316
— Alaska . . . . . 05 II 272
— — Endicott-Kette . . 06 I 92
— Argentinien, Vorkordillere . . . . . 05 II 270
— Balticum, nördliches (Upsala) . . . . . 06 I 102
— Böhmen, Asteriden u. Ophiuriden . . . . . 08 I 134
— Böhmen, Hyolithen . CBl 1908 *364*
— — Radotin u. Groß-Kuchel, unteres . . 07 II 282
— — Lhotka bei Beraun, unteres . . . . 06 I 300
— — Prag . . . . . 07 II 106
— Brandenburg, Mark . CBl 1907 *193*
— Bulgarien, 1. Fund . CBl 1905 *679*
— Canyon City, Col., Fische mit Knochenkörperchen im unteren 05 II 137
— Cape George, Antigonish Co., N. S. . . 05 I 314
— Chatanga-Gebiet (Sibirien), oberes . . . CBl 1905 *615*
— Cincinnati-Falte . . . 06 II 262
— Cornwall, Ludlow . . 05 II 106
— England, Lichasarten des Wenlock . . . . 05 II 316
— — Lobolithen in Cornwall . . . . . 09 I 134
— Frankenwald, Bad Steben . . . . . 09 II 218

Silur
— Gotland und Oesel, Algen und Hydrozoen 1909 I 153 1909 II 326
— Haverfordwest District, Fossilien des unteren . . . . 1906 II 138. 140
— Kalstad bei Drontheim . . . . . 06 I 271
— Kellerwald . . . . . 07 II 91
— Kinnekulle . . . . . 06 I 272
— Kitzbühler Alpen . . 09 I 415
— N.-S.-Wales, Columnaria pauciseptata . . 07 I 155
— New York, Schoharie-Tal . . . . . 07 I 108
— Niagara-Gebiet, Fossilien . . . . . 06 I 261
— Nordamerika, Chazy limestone . . . . . 06 I 300
— Ohio, Petroleumführung . . . . . 06 II 387
— Podolien, oberes . . 05 II 99
— Rhein. Schiefergebirge, klast. Gesteine . . 09 II 216
— Sachsen, Granulitgebirge . . . . . CBl 1905 *257*
— — radiolarienführender Kieselschiefer . . CBl 1905 *411*
— Sachsen-Meiningen . 06 II 410
— Schweden (Upsala) . 06 I 102
— — Rotfärbung . . . 05 II 223
— Taconic Range, unteres . . . . . 05 II 414
— Tasmanien, Westküste . . . . . 07 II 270
— Thüringen, Fossilreste des tiefsten, in Ost- BB XXIV *221. 314*
— Wales, Graptolithenzonen in den Arenig-Schichten . . . . . 06 II 263
— — (Llangynog), unt. 08 I 226
Siluraster, perfectus, Untersilur, Böhmen . . 08 I 135
Silurodevon, Wellington caves, N.-S.-Wales . 07 I 155
Silver Valley, Nord-Queensland, Geologie und Erze . . . . . 08 I 244
Silvestrina, Gattung . . 05 II 487
— — nicht haltbar . . 07 I 157
Simarubinium crystallophorum und Engelhardti, westl. Verein. Staaten . . . . . 09 I 149
Simbirskites Beyrichi, carinatus, coronula, crassisculptus, pauci-lobatus, Pavlowi (=S. Decheni), rugosa und triplicatus, unt. Kreide, Helgoland . . . . 1905 I 467
Simetit, Beziehung zu Bernstein . . . . . 08 I 358
Simidae, amerikanisches Eocän . . . . . 05 I 330
Similkameen-Distrikt, Brit. Columbien . . . 09 II 81
Simoceras admirandum-benianum, ? robusto-costatum u. variabile, Acanthicus-Schichten, Gießhübl . . . . . 08 I 264
— Aguilerae . . . . . 07 II 469
— Aguilerae, Jura, Sierra de Mazapil u. Santa Rosa, Mexiko . . . . 07 I 279
— Cafisii, cf. Malletianum und Sautieri, Jura, Seevoralpen . . . . 06 I 110
Simonyit, Hallstatt, optisch . . . . . 08 II 322
— Natronkali-, in ozean. Steinsalzlagern . . . 05 I 192
Simplon
— Geologie 1906 II 260 07 II 100
— Wassereinbruch im S.-Tunnel . . . . . 07 II 440
Simplongebiet
— Geologie . . . . . 1909 I 59. 87
— — bei Domodossola . 05 II 223
Simplongesteine, Radiumgehalt . . . . . 09 II 211
Simplontunnel
— Anhydritkristalle . . 05 I *33*
— geologische Voraussicht . . . . . 06 II 93
— Temperatur . . . . . 07 I 219
Simsbildung, Gletscher, Oregon . . . . . 05 I 56
Simultane Schreibweise der chemischen Formeln von Silikaten . CBl 1907 *6*
Sinai, Miocän des östl. . 07 I 424
Sind, westl. (Indien), Tertiär . . . . . CBl 1905 *129. 161*
Sinopa, Skelett, Eocän, Fort Bridger, Beziehg. zu Hyänodon etc. . . 07 I 127
— aethiopica, Tertiär, Fayum . . . . . 07 II 315

Sinterbildung
— Christdorf, Mähren, Eisenerzlager . . . . CBl 1907 *323*
— thermale, vergl. mit Oolithen u. Stromatolithen . . . . . 1908 II 116
Sinterterrassen, heiße Quellen von Thermopolis, Wyoming . . . 08 II 349
Siphonalia Fortini, Eocän, Paris . . . . . 07 II 303
Siphonaria paucidigitata, Eocän, Paris . . . . 07 II 303
Siphonosphaera minima var. laevigata, Miocän, Italien . . . . . 09 II 490
Sirenen
— Milchmolaren . . . . 06 II *50*
— Oesterreich, mediterran. Tertiär . . . . 05 I 504
Sirenites Aesculapii und Junonis, Aonoides-Schichten, Epidauros (Argolis) . . . . . Festband *30*
— Alixis, argonautaeformis, trachyceratoides und Vredenburgi, Tropites-limestone, Byans 08 II 237
— Lawsoni, Subbullatus-Schichten, Amerika . 06 II 306
Sivatherium giganteum, Adrianopel . . . . . 05 II 470
Siwah-Oase, Paläogen . 05 II 323
Sizilien
— Geologie verglichen mit Tunis . . . . . 09 II 95
— Lepidocyclinen von C. Implastro, Alter . 08 II 283
— Niveauschwankungen bei Aci Castello . . . 06 II 349
— Schweremessungen u. Erdmagnetismus . 1908 II 43. 44
— Tertiär, Alveolinen . 06 I 471
— tertiäre u. diluviale Säugetiere, Messina . 06 I 141
— triadische Deckenschollen . . . . . 09 II 94
— westliches, Cephalopoden der oberen Trias 05 I 342
Skajit-Formation, Endicott-Kette, nördliches Alaska . . . . . 06 I 92
Skaly, polnisches Mittelgebirge, Devon . . . 05 II 106
Skandinavien, Eisenerzlagerstätten . . . . . 07 II 243
Skandinavisches Erdbeben
— 23. Okt. 1904 . . 1906 I 200. 201
— 23. Okt. 1904, in den russ. Ostseeprovinzen CBl 1905 *65*
Skandinavischer Schild, genet. Zusammenhang mit südbaltischen Sedimenten . . . . . CBl 1905 *97*
Skandium, Verbreitung in Mineralien . . . . 1909 II 328
Skapolith
— Carrara, im Marmor . 06 II 178
— Gellivara-Erzberg, pseudom. von Feldspat (?) nach Sk. . . 06 I 350
— Kristiania, Kontaktbildung . . . . . CBl 1909 *405*
— Ural . . . . . 09 II 41
Skelettbildung der Kalkschwämme . . . . . CBl 1905 *581*
Skelettnadeln der Kalkschwämme . . . . . CBl 1906 *12*
Skiodromen
— doppeltbrechender Kristalle . . . . . 05 II 334
— und Ableitung der Interferenzbilder . . 07 II 165
— und Isogyren . . . . 09 I 156
Sklerometer, Rotations-. 07 I 190
Skolezit
— gibt durch H Cl Orthokieselsäure . . . . . 07 I 24
— Färöer . . . . . 09 I 29
— — Suderö . . . . . CBl 1908 *525*
— Grönland, Ost-, im Basalt 06 II 184
— Island, Glühverlust . 06 I *25*
— — Zwillingsbildung BB XXIII *300*
Skolithen am Sandstrand CBl 1906 *726*
Skorodit
— Nadabula, Ungarn . 07 I 217
— Schlaggenwald . . . 05 I 199
Skye, tertiäre Eruptivgesteine . . . . . 06 II 64
Skythische Stufe, Westamerika . . . . . 08 I 259
Sloanit, Montecatini, Toskana . . . . . 07 II 40
Smålandgesteine, Diluvium, Westfalen . . CBl 1907 *171*
Smaragd
— Bolivia u. Peru, fehlt 06 I 359
— Ural, Jekaterinburg . 09 II 41
Smegmatit . . . . . CBl 1909 *332*
Smerdis cf. macrurus, obermedit. Dacit-Tuff, Dés, Siebenbürgen . 06 I 153

Smilodectes gracilis,amerikanisches Eocän . . 1905 I 332
Smilodon, Gelenkflächen des Astragalus . . . 07 I 475
Smirgel siehe Schmirgel.
Smithit
— Binnental 1909 I 171 CBl 1905 283
— — Kristalle . . . . 06 II 30
Smithoceras Drummondi, Muschelkalk,Himalaya 08 II 245
Smittia coronata und expectans (Mucronella), patagonica (Reussia) und incisa und subtorquata, Tertiär, Patagonien . . . . . 05 II 141
Snake River Plains,Idaho, Geologie und Hydrographie . . . . . 06 I 86
Snowdon, Wales, vulkan. Gesteine . . . . . 07 I 390
Snow Hill-Schichten, Grahamland . . . . . 09 II 101
Soda
— Aegypten, pflanzenschädlich im Boden . 07 I 427
— Ostafrika, Deutsch- . 09 I 232
Sodahaltiger Boden, Szabadszállás, Ungarn . 06 I 265
Sodalith
— chromsaurer . . . . 05 I 377
— Lithiumbrom-, künstl. CBl 1905 *654*
— des Syenits, Ursprung CBl 1905 *86*
— Cnoc-na-Sroine, Nord-Schottland, und Umwandlungsprodukte BB XXII *429. 447*
— Radschputana . . . 08 I 18
— Vesuv, von 1906 . . 08 I 208
— siehe auch Lithionbromsodalith, künstl. 06 I 474
Sodalithähnliche Substanzen, künstl. CBl 1905 *138. 653. 717*
Sodalithgruppe, Mayen, in den Einschlüssen . 06 I 348
Sodalithsyenit, Großpriesen, böhm. Mittelgebirge . . . . . 05 I 272
Sodalithtrachyt, Pico de Teyde (Teneriffa) . . CBl 1909 *393*
Sölvsbergit
— Highwood Mountains, Montana . . . . . 06 II 374
— Tasmanien, Regatta Point, granatführender Glimmer- . . . . 08 I 391
Sohland a. Spree, Nickelerzlagerstätte . . . . 1905 I 94. 98
Sohnke's regelmäßige Punktsysteme, Diagramme . . . . . CBl 1906 *437*
Solariella Pellati, Kreide, Orgon (Bouches-du-Rhône) . . . . . 06 I 318
Solarium cyclospirum, Hypersenon, Peterwardeiner Gebirge . . 06 II 267
— Hedleyi, Kreide, Zululand . . . . . 07 II 304
— seelandicum, Obersenon, Dänemark . . 06 I 309
— Staadti, Eocän, Paris 07 II 303
Solea Kokeni, latior, subglaber, subvulgaris u. tenuis, Otolithen, Tertiär, Oesterreich . . 07 I 481
Solecurtus longovatus, Kreide, Schaumburg-Lippe'sche Mulde . . 06 I 441
— (?) Pavlowi, Paläocen, Saratow . . . . . 05 II 121
Solenomya neocomiensis, Neocom, Argent. Kordillere . . . . . BB XXIII *222*
Solenoporella gotlandica, Silur, Gotland u. Oesel 09 I 154
Solenopsis, Culm, Königsberg bei Gießen . . BB XXVIII *642*
Solfatara, Pozzuoli . . . 07 II *65*
— — Entstehung einer neuen Bocca . . . . CBl 1908 762
— — gegenwärtige Tätigkeit . . . . . 08 II 44
— — Mineralien . . . . 07 II 198
Solgeria
— Bedeutung des Namens 06 II 143
— Kreide, Krim . . . . 06 I 315
Solifluktion . . . . . 08 II 344
Solling
— Buntsandstein . . . 07 I 431
— tertiäre Dislokationen und Transgressionen . 09 I 407
Solnhofer Plattenkalke, Fauna . . . . . 05 I 458
Solnhofer Schiefer, Farnkraut . . . . . CBl 1908 *385*
Solutréen der älteren Steinzeit . . . . . 06 I 127
Somaliland, oberer Jura und untere Kreide . 06 I 280
Somma und Vesuv, petrographischer Bestand . 09 I 221

Sommait, Tiefenform des Leucittephrits . . . . 1907 II 404
Sonne
— Temperatur . . . . . 08 I 211
— Ursache der inneren Erdwärme . . . . . CBl 1905 *82*
— — der hohen Temperatur im Erdinnern, Gebirgsbildung und vulkanische Erscheinungen . . . . . CBl 1904 572
Sonnenzeigerkompaß und Inklinationsnadel bei Aufnahme magnet. Gebiete . . . . . 09 I 389
Sonneratia cereviciana, Hypersenon, Peterwardeiner Gebirge . . 06 II 267
— Daubréei, Kreide, Eisensteinlager von Groß-Bülten b. Ilsede 05 I 176
— Stantoni, Kreide, Kalifornien . . . . . 06 I 288
— Supani, Cenoman, Texas . . . . . 06 I 314
Sonninia alsatica, unterer Dogger, Baseler Tafeljura . . . . . 05 I 176
Sorbit im künstl. Eisen . 06 I 243
Sorbus alnoidea, Braunkohle, Senftenberg . 08 I 449
Soretit, Koswinsky Kamen (Ural), im Diorit 05 I 30
Sorites, Tertiär u. rezent 05 II 154
Sorobandama-ishi, Japan 09 I 179
Soswa, Jura und Neocom . . . . . 07 II 449
Sotalia, Boldérien, Antwerpen . . . . . 07 I 133
Souesit, Fraser, Britisch Columbia . . . . . 06 II 155
Southampton, Geologie . 06 I 267
Spalacotheriidae, Kreide, Patagonien . . . . . 05 I 169
Spalato
— Geologie . . . . . 06 I 258
— Mosor, Geologie der Südseite . . . . . 05 I 451
— Poljen von Blaca und Konjesko, Geologie . 05 I 452
Spaltbarkeit
— Beziehung zum Kristallhabitus . . . . . 05 II 176
— der Gesteine . . . . 06 II 56
— Pseudomorphosen nach der . . . . . CBl 1908 *6*
Spalten
— Abhängigkeit vulkan. Ausbrüche von . . . CBl 1909 *526*
— Beziehung zu Basalt, Heiligenstadt, Frankenjura . . . . . CBl 1906 *390*
— u. Verwerfungen, Einfluß auf Stromsysteme, Yellowstone Park . . 1906 II 188
Spaltenfrage der Vulkane CBl 1909 *97. 129. 321*
Spaltenwässer, Zusammensetzung u. Schwerspatbildung . . . . . 06 II 73
Spaltung wasserhaltiger Mischkristalle . . . . 06 I 7
Spaltungskurven wasserhaltiger Mischkristalle 05 I 13
Spaltungstheorie, geprüft durch Gesteinsanalysen . . . . . 05 II 211
Spaltungsvorgänge in granitischen Magmen, Riesengebirge . . . . 07 II 212
Spangolith, Clifton-Morenci-Distrikt, Arizona 06 I 174
Spaniaster latiscutatus, Spiriferensandstein, Unkel . . . . . 08 I 138
Spanien
— Alkaligesteine . . . . 07 II 407
— Erzlagerstätten der Sierra Morena . . . 06 I 229
— nutzbare Mineralien und Gesteine . . . . 09 II 79
— Säugetiere und Süßwassergastropoden d. Pliocän, Cueva Rubbia . . . . . 07 II *1*
Spaniomys, Tertiär, Patagonien . . . . . 07 II 326
Spannung in Gesteinen . CBl 1906 609
Sparassodonta, Kreide u. unteres Tertiär, Patagonien . . . . . 1905 I 169. 498
Sparnacien
— Epernay . . . . . 05 II 119
— Pariser Becken . . . 06 II 116
— Saratow . . . . . 05 II 121
Spateisenstein
— Bottino (Toskana), Mg-haltig . . . . . 07¼ II 37
— Cornwall, Kristalle . 08 II 305
— Dobschau, Ungarn . 06 I 73
— Eisenberg b. Hüttenberg (Kärnten) . . . 05 II 80

Spateisenstein
— Erzberg (Steiermark), Begleitmineralien . . CBl 1908 *281*
— — — Entstehung . . 1907 II 242
— Frigido bei Massa . . 07 II 176
— Frostburg, Maryland, Kristalle etc. . . . . 07 II 20
— Gobitschau, Mähren CBl 1907 *295. 328*
— Markirch . . . . . 09 I 23
— Nieder-Oesterreich . . CBl 1908 *742*
— Ostalpen, Genesis . . CBl 1909 714
— Quittein, Westmähren, Eisenerzlagerstätte, auch Pseudom. von Limonit . . . . . 05 II 243
— Schädlegg u. Edlach, Niederösterreich, sekundäre Kokardenstruktur . . . . . CBl 1907 411
— Schottland, Erz . . . 05 I 441
— Spanien, Sierra de Almagrera . . . . . 08 I 243
— Traversella . . . . . 08 I 40
— Ungarn, Zips-Gömörer Grenzgebirge . . . . 07 I 253
— Uruguay, Einschluß im Quarz . . . . . 08 II 143
— siehe auch Sphärosiderit.
Speckstein, Göpfersgrün-Thiersheim, Bildung . 05 II 214
Speirocarpus auriculatus und Neuberi, Lunzer Schichten . . . . . 09 I 464
Speiskobalt, Markirch . 09 I 25
Spektropolarisator mit Glasplattensatz . . . 05 II 176
Spelaearctos arctoideus . 07 II 484
Spermophilus superciliosus, Quartär, Bruyères (Seine) . . . . . 08 I 285
Spessartit
— Belknap Mountains, New Hampshire . . 08 I 381
— Piz Giuf, östliches Aarmassiv . . . . . 06 I 372
— Tessin, Alp Mancucco BB XXVI *507*
Speziesbestimmung, systematische . . . . . BB XXII *639*
Spezifisches Gewicht, siehe Dichte.
Sphaeraster, Beziehung zu rezenten Seesternen 08 I 136
— molassicus, Meeresmolasse, Rammingen CBl 1907 *313*
Sphaerasteridae . . . . 1908 I 136
Sphärische Dreiecke, Auflösung durch Fedorow's Universalgoniometer . . . . . 05 I 4
Sphäriten, Organisation und Systematik . . . 08 I 137
Sphaerites carbonarius, SaarbrückerSchichten 09 I 303
— pustulatus, Meeresmolasse, Oberschwaben . . . . . CBl 1907 *313*
Sphaerium risgoviense, Alttertiär, Weilheim (Ries) . . . . . 08 I 433
— (Clessinella) Sturanyi 06 I 154
SphaeroceraUhligi, Jura, Bucegi-Stock . . . . 06 II 121
Sphaerococcites dyadicus, Plattenkalke d. Zechsteins, Frohburg—Kohren, Sachsen 1905 I 540 08 I 313
Sphaerocodium gotlandicum, Silur, Gotland und Oesel . . . . . 09 I 153
Sphaerocrinus cf. geometricus, Devon, Ostthüringen . . . . . BB XXIV *276*
Sphaerodus gigas, Portland, Argent. Kordillere . . . . . BB XXIII *188*
Sphärolithe aus gewundenen Kristallfasern 1908 I 315. 316
SphärolithischeBildungen, zentrogene u. koriogene . . . . . 06 I 204
Sphärolithische Gesteine, Mugodjaren (Süd-Ural) 07 I 73
Sphärolithischer Felsit, central Highlands . . 05 I 431
Shärolithporphyr, Kiautschou . . . . . 06 II 366
Sphärosiderit
— Färöer . . . . . 09 I 29
— Rammelsberg, Kieslager . . . . . CBl 1909 *577*
Sphärotrigonometer . . 09 II 7
Sphaerulites solutus, Hypersenon, Peterwardeiner Gebirge . . . 06 II 268
Sphen
— Ceylon . . . . . 06 I 181
— siehe Titanit.
Sphenacodon ferox, Neu-Mexiko . . . . . 08 I 297

Sphenasterophyllites diersburgensis, Carbon, Offenburg . . . . . 1908 I 459
Sphenia haudradiata, Eocän, Loire inférieure . 07 II 302
Sphenodiscidae, Kreide . 07 II 148
Sphenodiscus Beecheri, Koninckı u. Stantoni, Kreide . . . . . 07 II 148
— lenticularis, Jugendentwicklung etc. . . 05 I 177
— Menuthias, Kreide, Diego Suarez . . . . 07 II 334
Sphenolepidium oregonense 07 II 503
Sphenophyllum Costae (Trizygia), Obercarbon, Paçal (Portugal) 1905 I 540 08 I 312
— elongatum, Rotliegendes, Hohenstein—Limbach (Erzgebirge) . . 05 I 539
— myriophyllum und tenerrimum, Carbon, Vorkommen . . . . 09 II 492
Sphenopteriden des Carbons . . . . . 09 I 150
Sphenopteris acutidens, Rhät, Bornholm . . 08 I 541
— Aschersoni, Frenzli, germanica, Hoeninghausi, Laurenti, Schlehani u. Stangeri, Carbon, Vorkommen . . 09 II 491
— Bäumleri, Carbon, Verbreitung . . . . 09 II 491
— Bohdanowiczii, Carbon, Dombrowa . . . 09 I 146
— communis, Coal Measures, England . . . 06 II 458
— naktongensis, Jura, Korea . . . . . 07 II 343
— subdivaricata, subelegans, sublanceolata u. zunsweierensis, Carbon, Offenburg . . . 08 I 459
— trigonophylla, Carbon 09 I 150
Sphenotrochus Bouveti, cicatricosus und tonsuratus, Tertiär, St. Clement, Anjou . . . 09 I 276
Sphenotus Bodenbenderi, Devon, Bolivia . . . BB XXV *529*
Sphenozamites Belli, Jura, England . . . . . 07 I 490
Sphingites, Rassenpersistenz . . . . . CBl 1909 *198*
Sphodromys, Tertiär, Patagonien . . . . . 1907 II 327
Sphyraena Hansfuchsi, Otolithen, Tertiär, Oesterreich . . . . . 07 I 481
Sphyraenodus cf. priscus, mitteleocäner Grobkalk, Klausenburg . 06 I 153
Spilite, Westalpen . . . 07 II 442
Spinell
— ausgeschieden aus Silikatschmelzen . . . CBl 1905 *361*
— edler, künstlich . . . CBl 1908 179
— Neubildung in Schmelzflüssen . . . . . 08 II *6*
— in Silikatschmelzen BB XXII *198. 207. 245*
— Synthese . . . . . CBl 1905 *148*
— Biella, Piemont, Kontakt am Syenit . . . 06 II 33
— Ceylon . . . . . 1906 I 179. 183
— Ober-Brezany, Böhmen, im Gabbrodiorit 06 II 361
— Ottawa bei Pisek, im Goldsand . . . . . 05 I 366
— Rhein, Einschluß im Basalt . . . . . CBl 1908 *101*
— Sohland a. Spree, im Diabas . . . . . 05 I 95
— siehe auch Manganspinell etc.
Spinellähnliche Verbindungen in Schmelzflüssen . . . . . CBl 1906 *645*
Spinellgesteine, Elba . . 08 II 211
Spiraea crataegifolia, Braunkohle, Senftenberg . 08 I 449
Spirifer arrectus und var. acuticostata, var. antarctica, var. Ceres und var. Hawkinsii, planoconvexus u. undiferus, Devon, Bolivia . . . BB XXV *548*
— bambadhurensis, Productus-Schiefer, Lissar-Tal, Johar, Zentral-Himalaya . . . . . 05 II 280
— bisulcatus, untercarbonisches Transgressionsmeer, Tian-Schan BB XXVI *222. 239*
— bisulcatus, integricosta, ovalis, striatus, trigonalis u. triangularis, Culm, Königsberg bei Gießen . . BB XXVIII *631*

Spirifer Curzoni, Anthracolith-Schiefer des Perm, Zentral-Himalaya . . . . . 1905 II 281
— Enderlei, interplicatus var. baschkirica, Nikitini, postventricosus, Schellwieni, Sokolowi, supracarbonicus, tastubensis, ufensis u. uralicus, Obercarbon, Ural und Timan . . . . . 05 I 533
— cf. fasciger, lyra u. cf. lyra, supramosquensis u. tibetanus, oberes Carbon, Kukurtuk-Tal, südl. Tian-Schan BB XXII *378*
— cf. lineatus (Reticularia), jüngeres Paläozoicum, Timor . . . BB XXV *319*
— cf. Nereides, Verneuili und andere Spezies, Devon, Ostthüringen BB XXIV *290*
— primaevus var. atlantica, Unterdevon, Dalhousie . . . . . 08 I 414
Spiriferina alpina u. cf. Haueri, Mittellias, südwestliche Balkanhalbinsel . . . . . BB XXI *295*
— ambonensis, malayana und molukkana, vorjurassisch, Ambon . . BB XXV *299*
— cristata, ob. Carbon, Kukurtuk-Tal, südl. Tian-Schan . . . . . BB XXII *377*
— Di Stefanoi, Lias, Tranze . . . . . 08 I 424
— expansa, Holzapfeli, pyramidata, Salteri u. simensis, Obercarbon, Ural und Timan . . 05 I 533
— insculpta, Culm, Königsberg bei Gießen BB XXVIII *634*
— primarialis, ladinische Stufe, Dobrudscha . . 08 I 419
Spirigera montenegrina, Werfener Schichten, Bucieri, Montenegro . 05 II 108
— quadriplecta, var. bicostata (Anisactinella), Pachycardientuffe der Seiser Alp . . . . . 05 I 179
Spirillina denticulogranulata, Victoria, Austr. 09 I 144
Spiroclypeus granulosus, Priabona . . . . . 1908 I 139
— var. orbitoclypeus . . 08 I 448
— orbitoideus, Tertiär, Borneo . . . . . 07 I 162
— ? tudertis . . . . . 07 II 499
Spirocyclina, Senon, Bau 05 II 153
Spiroloculinen, Italien, fossil und rezent . . 06 I 472
Spiroplecta intermedia, Rupelton, Mainzer Becken . . . . . 09 II 324
Spiropteris hostimensis, Devon, Etage H, Mittelböhmen . . . . . 06 II 145
Spirorbis midfordensis, Upper coral bed, Midford, Somerset . . . 08 II 87
Spirulirosta Szainochae, Clavulina Szaboi-Schichten, Kruhel maly bei Przemysl . . . 05 I 320
1905 II 434 06 I 472
Spiti-Shales . . . . . 07 II 448
Spitzbergen
— Gletscher . . . . . 05 II 48
— Kugelgranit . . . . 06 II 363
— Petrographie . . . . 08 II 369
Spodumen mit Kunzit
— Aegirin, Enstatit, Diopsid u. Hedenbergit, Morphotropie . . . . 09 II 171
— Analyse des Kunzits 05 II 183
— Kristalle . . . . . 09 II 176
— opt. Eigenschaften des Kunzit . . . . . 05 II 22
— durch Zusammenschmelzen . . . . . 09 I 183
— Nordamerika, Edelstein (Hiddenit, Kunzit) . . . . . 06 I 356
— — edler . . . . . 09 I 32
— Pala, Kalifornien (Kunzit) . . . . . 07 II 44
Spondylus somaliensis, Tertiär, Somaliland . 07 II 303
— spinosus var. hungarica, Hypersenon, Peterwardeiner Gebirge . . 06 II 268
— subserratus, Kreide, Süd-Persien . . . . 06 I 444
Spongasteriscus marylandicus, Tertiär, Maryland . . . . . 07 II 161
Spongien, verkieselte, Kreide, Margny (Oise) . 06 II 201

Spongienfauna, miocäne, Algier . . . . . CBl 1909 *317*
Spongiomorpha acyclica, Zlambach-Schichten, Hydra . . . . . BB XXV *464*
Spongiostroma bacilliferum, granulosum, maeandrinum u. oculiferum, Kohlenkalk, Namur . . . . . 1907 I *137*
Spongiostromaceae, Spongiostromidae, Kohlenkalk, Namur . . . . 07 I *131*
Spongiostromiden, Untercarbon, Belgien . . . 08 II 118
Spongoacanthus horridus, Scaglia, Euganeen . . . . . 06 I 475
Spongodiscus dubius und maximus, Kreide, Euganeen . . . . . 06 I 474
Spongolonche diversispina, Kreide, Euganeen . . 06 I 474
Spongoprunum diversispina, Kreide, Euganeen . . . . . 06 I 474
— macroacanthos und minimum, Scaglia, Euganeen . . . . . 06 I 475
Spongotripus communis, Scaglia, Euganeen . . 06 I 475
— compressus, Kreide, Euganeen . . . . . 06 I 474
Spongotrochus Berciglii, Miocän, Italien . . . 09 II 490
Sporadoceras angustisellatum, biferum, Clarkei, contiguum, discoidale, inflexum, Münsteri, rotundum, Sedgwicki u. varicatum, oberes Oberdevon, Enkeberg . . . . . BB XXVI *593*
Sporen, Buntsandstein, Halle a. S. . . . . 09 I 461
Sportella namnetensis, Eocän, Loire inférieure 06 I 468
Spy, Mensch . . . . . 06 II 273
Squalodon, Squalodontidae, Boldérien, Antwerpen . . . . . 1907 I 131. 133
Squalodontiden, Beziehg. zu Ziphiiden . . . . 06 II 295
Stabilität der durch Radium erhaltenen Mineralfarben . . . . . CBl 1909 *232*
Stabilitätsfelder
— der Mineralien . . . . 1907 II 162
— polymorpher Mineralien . . . . . 07 II 10
— und Minerogenese der Mineralien . . . . . 07 II 10
Stacheites Webbianus, Muschelkalk, Himalaya 08 II 244
Stämme, aufrechte, Carbon, Belgien . . . . 05 I 458
Staffelit, kristallisierter, Wesen . . . . . CBl 1905 *641*
Stahl, mikroskop. Untersuchung . . . . . 06 I 243
Stalaktiten, siehe Tropfsteine.
Stammesgeschichte, paläontologische . . . . CBl 1909 *706*
Stammreptilien, Perm . 07 I 313
Stantonia cretacea, obere Kreide, Willow Creek, Montana . . . . . 07 I 322
Stantonoceras pseudocostatum, Kreide, Waldo (Neu-Mexiko) 08 I 437
Star Peak Range, Nordamerika, Geologie . . 06 II 96
Starrheit der Erde, Ursache . . . . . 07 I 373
Staßfurt, Entstehung des Salzlagers . . . . . 06 I 161
Staßfurter Typus der Salzlager im deutschen Zechstein . . . . . 09 II 307
Staub
— Australien, meteorischer, chemisch . . . 05 I 221
— Mt. Pelée etc., vulkan. 1905 I 404. 405
Staubfälle
— Bayham Abbey (Lamberhurst) und Taormina, chemisch . . . 05 I 406
— Neuseeland 1902 . . 05 I 406
— Norddeutschland, 6. Januar 1908 . . . 09 I 55
— Schweiz, Mai bis Aug. 1902 . . . . . 05 II 370
Staukuppen, Pantelleria, Filicudi, Nevado de Toluca, lipar. Inseln, Santorin . . . . . Festband *310*
Stauralastrum euganeum, Scaglia, Euganeen . . 06 I 475
— patavinum, Kreide, Euganeen . . . . . 06 I 474

Staurolith
— Campolongo . . . . 1905 I 202
— Strettoia, appuanische Alpen . . . . . 07 II 38
— Tessin, Pizzo Forno . BB XXVI *523*
Staurolonche Capellinii, Miocän, Italien . . . 09 II 490
Staurosphaera Canavarii, Miocän, Italien . . . 09 II 490
— euganea und longispina, Scaglia, Euganeen . . . . . 06 I 475
— Hindei, magnifica und veneta, Kreide, Euganeen . . . . . 06 I 474
Stauungsbogen (Alpentypus) . . . . . 05 I 119
Steatit
— im Kalkstein, Göpfersgrün, Entstehung . . 05 II 214
— siehe Speckstein.
Steben, Frankenwald, Geologie . . . . . 09 II 218
Stegocephalen
— Einteilung . . . . . 09 II 136
— holospondyle, Wirbelsäule und Rippen . . 08 II 269
— Karruformation, Aliwal North, Südafrika 07 I 313
— ob. Raibler Schichten, Kampenwand b. Aschau . . . . . CBl 1906 *568*
— rhachitome Wirbel . 09 II 138
— Seitenlinien . . . . . 09 II 135
Stegodon ganesa var. javanica, Kendeng-Schichten, Indien . . 09 I 117
Stegopidae, Carbon, Nordamerika . . . . . 09 II 134
Stegops divaricata, Carbon, Nordamerika . . 09 II 134
Stegotheriidae, Kreide, Patagonien . . . . . 05 I 170
Stegotherium simplex u. tesselatum, Santa Cruz-Schichten . . . . . 05 I 500
Stehende Wellen, japan. Seen . . . . . 07 I 381
Steiermark, Mineralvorkommen . . . . . 08 I 38
Steinatal, Schwarzwald, Glazialerscheinungen . BB XXI *437*
Steiner Alpen, Geologie . 06 II 247
Steinheim, vulkan. Erscheinungen . . . . 07 I 375
Steinkies . . . . . 06 I 205
Steinkohlen
— Entstehung . . . . . 1909 II 45
— stoffliche Beschaffenheit vergl. mit Braunkohlen . . . . . 06 I 235
— England, Vorrat . . 07 II 85
— Heraklea, Kleinasien . 05 I 261
— Nordamerika, Probieren . . . . . 08 II 379
— Oberlaibach, in den Raibler Schichten . . 07 II 122
— Sachsen, mögliche neue Funde . . . . . 06 I 235
— Schwadowitz, Bohrungen . . . . . 07 I 82
— Südafrika, bei Vereeniging (Transvaal) . 07 II 122
— Teutoburger Wald (Neuenheerse), im Keuper . . . . . 07 I 417
— siehe auch Kohlen.
Steinkohlenformation
— Bayr. Rheinpfalz . . 06 I 103
— siehe Carbon.
Steinsalz
— blaues 1907 II 174 1908 I *32*. 10 1909 II 187. 188 CBl 1909 *336*. *398*
— — Pleochroismus durch orientierten Druck 1908 II 157 CBl 1907 *166*
— dilute Färbung . . . 06 I 324
— Einwirkung von Radiumbromid . . . . CBl 1909 *66*
— Expansivkraft . . . 09 II 245
— Farbe, ultramikroskopische Untersuchung . 07 II 14
— Härte . . . . . 07 I 191
— künstl. Dichroismus des blauen 1908 II 157 CBl 1907 *166*
— plastische Umformung unter Druck . . . . 06 II 80
— Ursache der blauen Farbe nicht Na-Metall 1907 II 174 CBl 1909 *398*
— Variation der Kristalltracht . . . . . 08 II 158
— Verbreitung und Verwendung . . . . . CBl 1905 310
— Zunahme der Plastizität mit der Temperatur . . . . . 09 I *60*
— und Kalisalz, Ablagerung, Verbreitung und Verwendung . . . . CBl 1905 310
— Aegypten, Natron-Tal CBl 1906 *772*

Steinsalz
— Bernburg (Solvaywerke), weißes und blaues . . . . . 1909 II 187
— Cardona, Katalonien, Lagerstätte etc. . . . 09 I *14*
— Koblenz (Schweiz), Bohrungen . . . . . 09 I 105
— Lübtheen (Mecklenburg), Salzbergwerk Friedrich Franz . . . 09 II 187
— Mt. Pelée, Kristalle in der vulkanischen Asche 06 II 157
— Ohio, Industrie . . . 08 I 247
— Sibirien, Wartschy-See am Jenissej . . . . 09 II 246
— Texas, Trans-Pecos . 06 II 179
— Tschad-See . . . . . 07 I 41
— siehe auch Salz, Kalisalz, Chlornatrium etc.
Steinsalzablagerungen, Bildung der Kalksalze 06 II 321
Steinsalzbergwerke, tiefe, Gebirgsdruck . . . 1907 I 87. 416
Steinsalzlager
— Hannover, südliches . 09 I 426
— Norddeutschland . . 09 I 422
Steinsalzlagerstätten, Bildungsweise der ozeanischen . . . . . 1908 II 159 ff.
Steintöpfe (Strudellöcher), Entstehung . . . . . 05 II 294
Steinwerkzeuge, Westpreußen, petrographische Zusammensetzung 06 II 202
Steinzeit
— Kulturzustände der älteren . . . . . 06 I 127
— und Mensch, Feuersteinartefakte in Syrien und Palästina . 07 I 291
— Ceylon . . . . . 08 II 255
Steinzeitfunde
— Frankreich, Verbreitung des Strépyien . 08 I 283
— Niedernau u. Schwäb. Alb . . . . . 08 I 104
— Säntis, Wildkirchli-Ebenalp-Höhle . . . 08 I 106
— siehe Mensch, Artefakte etc.
Steirischer Gebirgsbogen, nördlicher und südl. . 06 II 239
Steirische Thermallinie . 06 II 243
Steiromys intermedius, Tertiär, Patagonien . 07 II 323
Stenarcestes Hermocratis. modanensis und rotulaeformis, ob. Trias, Sizilien . . . . . 1905 I 347
Steneofiber Barbouri und fossor, Obermiocän, Nebraska u. Wyoming 07 I 460
— pansus, Miocän, Süd-Dakota . . . . . 05 II 129
Steneofiber-Arten, Tertiär, Nordamerika . . 07 I 461
Steneosaurus Larteti var. Kokeni u. teleosauroides, Oxford Clay, Peterborough . . . . 09 I 450
Stenogale robusta, Miocän, Süd-Dakota . . 05 II 128
Stenogenium, Kreide, Patagonien . . . . . 05 I 168
Stenomylus gracilis . . . 07 II 488
Stenoplesictis (?) Grimmi, Mittelmiocän, Solnhofen, Bohnerze . 1908 I 124. 127
Stenoprotome hamata, Kreide, Libanon . . 05 II 481
Stenotatus hesternus und patagonicus, Santa Cruz-Schichten . . . 05 I 502
Stenothyra Bonneti, Eocän, Paris . . . . . 07 II 303
Stephanit . . . . . 09 I 317
— Arispe, Sonora, Mexiko, Kristalle . . . . 09 I 170
Stephanoceras aff. Braikenridgei u. cf. Humphriesi, Jura, Hotu Bebolan und Babar . BB XXV *329*
— Chocsinskyi u. Wysogorskii, Unterdogger, Csernye, nordöstl. Bakony . . . . . 05 II 426
— Lichtensteinii, Kaukasus . . . . . 08 II 81
— cf. longalvum, Jura, südwestl. Balkanhalbinsel . . . . . BB XXI *285*
Stephanoceras Blagdeni-Stufe, Elsaß . . . . CBl 1909 *733*
Stephanocoenia oolithica, Jura, Frankreich . . 07 I 487
Stephanospondylus, Rotliegendes, Plauen'scher Grund . . . . . 07 I 311
Steppe
— Kirgisen-, Geologie . CBl 1908 765
— Turkestan, Denudation CBl 1908 763

Steppenfauna, Westerwald . . . . . 1905 II 430
Steppenhypothese Nehring's und Quartärfaunen des nördlichen Harzvorlandes . CBl 1909 *87. 317*
Sterculia cliffwoodensis u. Snowii var. bilobata, Matawan-Formation, New Jersey . . . . 07 I 495
— prelabrusca, Kreide, New York . . . . . 08 I 456
Stereocephalus tutus, Belly river series, Red Deer river, Nordamerika . . . . . 07 I 439
Stereogenys Cromeri, Aegypten . . . . . 06 I 153
Stereographische Projektion, Anwendung . 07 I 2
Stereographisches Lineal 07 II 163
Stereorhachis dominans, Ignoray, Frankreich . 08 I 293
Stereospondyler Typus der Tetrapoden . . . 09 II 113
Sternberg — Bennisch, Mähren, Schalsteinzug, Erze u. Mineralien . . . . . CBl 1907 *289. 321*
Sterzing, Tirol, Gesteine BB XXII *454*
Stibiodomeykit, künstl. 05 II 5
Stibiotantalit, Kalifornien . . . . . 07 II 185
Stichocapsa euganea, Scaglia, Euganeen . . 06 I 475
Stichocorys aemiliana, Bonarellii u. Martellii, Miocän, Italien . . . 09 II 490
— pulchra, Kreide, Euganeen . . . . . 06 I 474
Stichomitra communis, Scaglia, Euganeen . . 06 I 475
— magna, Kreide, Euganeen . . . . . 06 I 474
Stichomys, Tertiär, Patagonien . . . . . 07 II 326
Sticocapsa brevicauda u. cylindroides, Miocän, Italien . . . . . 09 II 490
Sticophormis costata, macropora u. Montis Serei, Scaglia, Euganeen . . . . . 06 I 475
Stigmaria (?Stigmariopsis) rimosiformis, Kohlenkalk, England . . 06 II 463
Stigmatodendron dubium, Rhät, Südafrika 1908 I 454
Stilbit
— Elba, Speranza-Gang bei San Piero, pulverförmig . . . . . 08 II 34
— Moore Station, New Jersey, chemisch . . 06 I 352
— Sardinien (Montresta) 09 II 195
— Serbien, Dewaika Kamen . . . . . 08 I 197
— u. Substitutionsderivate . . . . . 06 II 337
Still Rivers, Connecticut, Stromrichtung 1905 I 228 06 I 94
Stillstandslagen, glaziale, mittlere Weser . . . 09 I 109
Stilpnochloran
— Gobitschau b. Sternberg (Mähren) . . . 05 I *203*
— Sternberg—Bennisch, Mähren, Schalsteinzug . . . . . CBl 1907 *289. 292*
Stilpnomelan
— Gobitschau, Mähren, pseudom. nach Pyrit CBl 1907 *294*
— Sternberg—Bennisch, Mähren, Schalsteinzug . . . . . CBl 1907 *289*
Stilpnosiderit . CBl 1909 *326. 329. 336*
Stinkkalk, Grenville, Canada, Ursache des Geruchs (H_2S) . . . . . 07 I 21
Stockhorn-Chablais-Zone, Geologie . . . . . 06 I 81
Stoffwanderung, siehe Sammelkristallisation 09 II 160
Stoliczkaia n. sp. ex aff. dispar, Cenoman, Texas 06 I 314
— Grandidieri, Kreide, Diego Suarez . . . . 07 II 324
Stolidoma Pistati, Eocän, Paris . . . . . 07 II 303
Stolleya, Carbon, Dalmatien . . . . . 07 II 339
Stolpenit, Nordheim (Rhön) . . . . . 09 II 23
Stolzit, Bena(d)e Padru bei Ozieri (Sard.) . . 05 II 367
Stomechinus (Psephechinus) Quoniami, ?Bathonien, Algerien . . 06 I 156
Stormbergschichten, Kap-Kolonie . . . . . 07 II 114
Strahlerz, Markirch . . 09 I 24

Strahlstein
— Einwirkung von Radiumbromid . . . . CBl 1909 *70*
— Zusammensetzung . . 1908 II 23
— Easton, New Jersey, Analyse . . . . . 06 I 354
— Grönland . . . . . CBl 1908 377
— Kragerö, pseudomorph nach Enstatit oder Diopsid . . . . . 09 II 345
— Susa-Tal, im Prasinit der Rocca Bianca . 1906 II *105 ff.*
Strahlsteinschiefer
— Grönland, westl. Nord- 07 I 247
— Karolinen . . . . . 05 II 72
— Sterzing . . . . . BB XXII *539*
Strandlinien
— Nizza . . . . . 05 II 289
— siehe auch Küstenlinien.
Strandterrassen
— Kapkolonie . . . . . 08 II 46
— Taltal, Chile . . . . 09 I 200
Strandverschiebungen . . 05 I 222
— negative, und Gebirgsbildung . . . . . CBl 1909 *285*
— Molukken . . . . . 05 I 109
Strandversetzung
— Pas-de-Calais . . . . 08 II 57
— siehe auch Hebungen und Senkungen etc.
Strangalia Berendtiana, balt. Bernstein . . . 07 I 323
Strangenberg bei Rufach, Ober-Elsaß, Geologie BB XXVI *44*
Straparollus ammonitiformis, Permocarbon, N.-S.-Wales . . . . . 07 I 154
— Pellati, Kreide, Orgon (Bouches-du-Rhône) . 06 I 318
Stratifikation äolischer Bildungen, Turkestan CBl 1908 764
Strauß, Osteologie . . . 08 I 441
Streblites Nouhuysi, Suluinseln . . . . . 05 I 152
Streblotrypa Nicklesi und striatopora, karn. Fusulinenkalk . . . . . 06 II *139*
Streckung kristallinischer Schiefer . . . . . 05 I 74
Streifung, Kombinations-, der Kristallflächen . 09 II 3
Strepsidura ? Blanckenhorni, ?Eocän, Kamerun . . . . . 06 II 123
Streptelasma rectum, Bau 09 II 140
Streptochetus pulveris, blaue Mergel v. Côte des Basques bei Biarritz . . . . . 1906 II 439
Streptorhynchus, untercarb. Transgressionsmeer, Tian-Schan . . BB XXVI *229*
— ? cf. distortus, Devon, Ostthüringen . . . . BB XXIV *283*
Streptospondylus, Skelett . . . . . 08 II 437
— vereinigt mit Megalosaurus . . . . . 09 I 289
Strobilites laxus, Rhät, Südafrika . . . . . 08 I 454
— perplexus, Kreide, New York . . . . . 08 I 456
Strobilodus giganteus = Hypsocormus macrodon, lithograph. Kalk, Nusplingen . . . . . 09 I 454
Strépyien, Verbreitung in Frankreich . . . . . 08 I 283
Strömungen
— des Meerwassers . . 08 I 53
— im tiefen Ozean, Erkennung und Messung . . . . . 06 I 43
Stromatoide, norddeutscher Buntsandstein . 08 II 120
Stromatolithe
— Buntsandstein, Norddeutschland . . . . 08 II 114
— Permocarbon, Rheinpfalz . . . . . 08 II 114
Stromatopora japonica, Kalk von Torinosu . 07 I 488
— Tornquisti, Bathonien, Mte. Zirra, nordw. Sardinien . . . . . 06 I *67*
Stromatoporiden, Jura, Schweizer Jura . . . 06 I *13*
Stromatorhiza, Rauracien, Schweizer Jura 06 I *13*
Stromboli
— Mai 1906 . . . . . CBl 1906 *561*
— Paroxysmen . . . . 09 I 363
— Tätigkeit seit 1891 . 08 II 44
Strombus Choffati = Str. Fortisi von Dombe-Grande . . . . . 06 II 123
Stromlinien, Algier, alte 07 II 50
Stromsysteme, Einfluß v. Spalten und Verwerfungen, Yellowstone Park . . . . . 06 II 188

Stromtäler, alte
— Niederrhein . . . . 1905 I 482
— Vorpommern und Litorina-Senkung . . . 06 II 434
Strona, Geologie der Zone 09 II 88
Stronagneis, Piemont, Malchit und Vintlit . 08 II 215
Strontianit, Albot Leigh bei Bristol, im Triasmergel . . . . . 09 II 230
Strontium-Aluminium-Sulfatophosphate, Brasilien, Diamantsand . 08 I 33
Strontiumchromat, künstliche Kristalle . . . 06 I 30
Strontium und Baryum, Verbreitung in der Erdkruste . . . . . 07 II 400
Strophalosia productoides, Devon, Ostthüringen BB XXIV *287*
Stropheodonta Arcei, Katzeri und perplana, Devon, Bolivia . . . BB XXV *538*
— argentina, Devon, Jachal, Argentinien . . 06 I 303
— interstrialis, Devon, Ostthüringen . . . . BB XXIV *281*
Strophomena interstrialis, Devon Ostthüringen . . . . . BB XXIV *281*
— (?) mediocostalis, Untersilur, Haverfordwest District . . . . 06 II 140
— minor, Devon, Ostthüringen . . . . . BB XXIV *283*
— — Mitteldevon, Reichenbach, sächsisches Vogtland . . . . . BB XXV *261*
— cf. rariuscula, Devon, Ostthüringen . . . BB XXIV *281*
Strudel und Wirbel in fließendem Wasser, geologische Wichtigkeit . . . . . 07 I 382
Strudelbewegung des Wassers u. Talvertiefung durch Strudellöcher . . . . . 05 I 409
Strudelkessel, Kandern, im Renggeri-Ton . . 07 I 223
Strudellöcher (Steintöpfe), Riesengebirge, Entstehung . . . . . 05 II 294
Strüverit, Craveggia, Piemont . . 1908 II 14 09 I 175
CBl 1907 411 CBl 1908 176
Strukturarten, siehe Hauptstrukturarten . 1907 I 182
Strukturbilder von Gesteinen, mikroskopische Wandtafeln . . CBl 1906 747
Strukturen, kristallinische Schiefer . . . . . 05 I 67
Strukturlinien, atlant. Küstenregion, Nordamerika . . . . . 07 I 378
Strukturtheorie zur Erklärung anomaler Aetzfiguren . . . . . CBl 1907 *111*
Struvit, Löslichkeit von Zwillingen etc. BB XXIII *289. 332*
Stubensandstein, Württemberg, verwendet z. Cölner Dom, Verwitterung . . . . . 07 II *42*
Stübelmuseum für Länderkunde, Leipzig
— Einrichtung . . . . CBl 1905 281
— Führer . . . . . CBl 1905 280
Stübel'sche Vulkantheorie 05 I 223
Stübel's Vulkantheorie und die Vulkane von Colombia . . . . . CBl 1906 *429*
Stürtzaster . . . . . 07 II 157
Sturia Mohamedi u. Sansovini, alpin. Muschelkalk, Epidauros . . . CBl 1906 *273*
Sturmflut, Sylvester 1904, Einfluß auf mecklenburgische Küste . . 06 II 196
Sturtzura leptosomoides, Silur, Flemmington, Victoria (Austr.) . . 08 I 446
Stutchburia farleyensis und obliqua, Permocarbon, N.-S.-Wales . 07 I 484
Stuver series, Endicott-Kette, nördl. Alaska 06 I 92
Stylartus longispina, Kreide, Euganeen . 06 I 474
Stylemys capax und conspecta, Nordamerika . 09 I 452
Styliola laevis, Devon, Ostthüringen . . . . BB XXIV *300*
Styliolinenschichten, Mitteldevon, Ostthüringen BB XXIV *267*
Stylocapsa hexagonata, Miocän, Italien . . . 09 II 490
Stylocoenia epithecata, Eocän, Bosnien . . . 09 I 292
Stylodichtya Ciccionii, Miocän, Italien . . . 09 II 490

Stylolithen, Entstehung . 1906 II 201
Stylophyllopsis sp., Mittellias, Corfu und Epirus . . . . . BB XXI *297*
Stylosmilia flexuosa, Jura, Frankreich . . . . . 07 I 487
— Fromenteli, Jura, Frankreich . . . . . 07 I 487
Stylosphaera Haeckeliana, Miocän, Italien . 09 II 490
Stylotrochus euganeus u. longispina, Kreide, Euganeen . . . . . 06 I 474
— helios, Scaglia, Euganeen . . . . . 06 I 475
Styracoceras Balduri, Kreide . . . . . 07 II 152
Styracoteuthis orientalis, Eocän, Oman, Arabien . . . . . 07 I 324
Styrites castronovensis, disciformis, Haugi, Pompeckji, Richthofeni, siculus u. tropitoides, obere Trias, Sizilien . . . . . 05 I 344
Subaquatische Rutschungen, rezente u. fossile 08 II *136*
Sublacunische Gruppe beim Eisen . . . . . 05 I *141*
Sublepidophloios, Carbon, Baden . . . . . 08 I 460
— hagenbachensis und lepidodendroides, Carbon, Offenburg . . . 08 I 459
Sublimation von Metallen in Quarzgefäßen . . 05 I 17
Sublimieren einiger Sulfide . . . . . 09 II 182
Submarine Rutschungen, Schweiz . . . . . 08 II *147*
Subpulchellia castellanensis, Kreide . . . . . 07 II 150
Subsigillaria Brardi forma Steinmanni, Carbon, Hinterohlsbach bei Gengenbach . . . . 08 I 458
Substanzen mit mehreren festen und flüssigen Phasen . . . . . 09 I 1. 2
Subtissotia Peroni, Kreide 07 II 148
Succinit
— Beziehung zu Rumänit . . . . . 08 II 326
— siehe Bernstein, Simetit etc.
Succinylhydroxylamin, Kristalle . . . . . 1907 I *101*
Suchumica gracilis und multicostata (= Galisgia Weberi), neogene Eisenerze, Suchum-Distrikt, NW.-Kaukasus . . . . . 06 I 432
Sudan
— franz., Geologie . . . 07 II 265
— Goldlagerstätten des östlichen (Khakhadian) . . . . . 06 I 9
Sudbury, Canada, nickelführende Sulfidlager . 09 II 387
Sudbury-Distrikt, Nickel- und Kobalterze . . . 06 II 181
Succinea primaeva, Pliocän, Cueva Rubbia, Spanien . . . . . 07 II *20*
Südafrika
— Diamanten 1905 II 177. 345 08 I 70
— Diamantgruben . . . CBl 1904 153
— Diamantlagerstätten 1909 II 236 ff.
— durchschnittliche Zusammensetzung der Eruptivgesteine . . . 06 I 46
— Dwyka-Konglomerat und Steinkohlen . . 07 II 122
— Reptilien . . . . . 07 I 140 ff.
— keine marine Trias . CBl 1909 *1*
Südbaltische Sedimente, genet. Zusammenhang mit dem skandinavischen Schild . . . . CBl 1905 *97*
Süd-Dakota, Hydrographie 05 I 229
Südharztypus der Salzlager im deutschen Zechstein . . . . . 09 II 307
Süd-Orkneys, Geologie . 09 II 101
Südpolarländer, Geologie CBl 1906 *173*
Südpolexpedition, deutsche, Geologie . . . 09 I 202
Südsee-Inseln, deutsche, Petrographie und Geologie . . . . . 05 II 71
Süd-Shetland-Inseln, Geologie . . . . . 09 II 101
Süd-Ussuri-Gebiet, Geologie . . . . . BB XXVII *509*
Südwestafrika, Deutsch-, siehe Deutsch-Südwestafrika.
Süßwasserbildungen, tertiäre, Languedoc . . 05 I 305

Süßwasserdecapoden, geogr. Verbreitung . 1905 II 318
Suffionen, borsäurehaltige, Toskana, Radioaktivität . . . . . 05 II 344
Suffolk-Küste, Erosion . 06 I 46
Sugana-Tal, Geologie . 06 II 244
Suidae, Bartonien, Castrais . . . . . 05 II 303
Sula-Inseln, Südküste, Grenzsch. zw. Jura u. Kreide . . . . . 05 I 151
Sulcoactaeon Cossmanni u. lugdunensis, Zone d. Lioc. concavum, Couzon-au-Mont-d'Or bei Lyon . . . . . 05 I 464
— viadrinus, oberer Jura, Pommern . . . . . 06 II 102
Sulfate
— dimorphe, von Li, Na, K und Ag, Bildung und Umwandlung von Mischkristallen und Doppelsalzen . . . . BB XXIV *1*
— und Selenate, Alkalien, top. Achsen und Parameter . . . . . 07 I 5
— — — — Ammonium-Magnesium, resp. -Zink, krist., phys. etc. 07 I 13
Sulfatgele . . . . . CBl 1909 *328*
Sulfide
— Schmelzen und Sublimieren . . . . . 09 II 182
— der schweren Metalle, Löslichkeit in reinem Wasser . . 1908 II 10 09 I 7
— von Schwermetallen, Verhalten in wässeriger Lösung . . . . . 08 I 168
Sumatra
— Ergußgesteine der Batakländer . . . BB XXVII *401*
— Geologie des Bataklandes und des Toba-Sees . . . . . CBl 1906 *43*
— — des südlichen . . 05 II 417
— Gesteine verschiedener Vulkane . . . . . 06 I 218
— Kreide und Carbon . 07 II 449
— — — — in SW.-Djambi . . . . . CBl 1907 *484*
— mesozoisches Land u. Meer . . . . . 07 I *108*
— Ober-Carbon . . . . 07 I 327
Sumatra
— Obercarbon, Foraminiferen, Korallen und Hydrokorallen . . . 1907 I 487
— Vulkane des nördlichen 06 II 49
Sumatrina . . . . . BB XXVII *506*
— Annae, Carbon, Sumatra . . . . . 1907 I 327. 487
Sumpferze
— Bildung durch Humusstoffe . . . . . 09 I 77
— Verhältnis von Fe und Mn . . . . . 09 I 80
Superlakunistische Gruppe beim Eisen . . . 05 I *141*
Suprapatagonische Stufe, Kreide, Patagonien . BB XXI *155*
Surinam, Laterit- und Schutzrindenbildung . 05 II 69
Sus, Zahnformel . . . . 07 II 134
— siehe auch Schweine.
Susa-Tal, Gabbro in Prasinit umgewandelt, Rocca Bianca . . . . 06 II *105*
Sustenhörner, Intrusivgesteine im Schiefer . 06 II 62
Suturen von Ammoniten, photographische Reproduktion . . . . . CBl 1907 *422*
Svappavara, Lappland, Eisenerzlagerstätte . BB XXIV *646*
Swearinger slates, obere Trias, Kalifornien . . 06 II 99
Swirtypus des Diabases, Olonez-Gouv. . . . . 09 I 218
Sycidium Volborthi, Devon, Rußland . . . . 08 I 450
Sycum Tournoueri, blaue Mergel von Côte des Basques bei Biarritz . 06 II 439
Syenit
— Ursprung des Sodaliths . . . . . CBl 1905 *86*
— Ampasindava (Madagaskar), Alkali- . . . 05 I 436
— Angola, Biotit- . . . 05 II 76
— Belknap Mountains, New Hampshire, Hornblende- . . . . . 08 I 379
— Biella, Piemont, Mineralien in Drusen . . 06 II 33
— Cnoc-na-Sroine, Nord-Schottland, quarzhaltig etc. . . . . BB XXII *416. 445*
— Colorado, Two Buttes, lamprophyrischer . . 08 II 371

Syenit
— Großpriesen, Böhm. Mittelgebirge, Sodalith- . . . . . 1905 I 272
— Highwood Mountains, Montana (Leucit-, Nosean-,Sodalith-Syenit, Syenitporphyr) . 06 II 373
— Lappland, Eisenerzlagerstätten . . . . . BB XXIV *548*
— Magnetberg, südlicher Ural . . . . . 06 I 381
— Maine, Penobscot-Bai, Albit-Pyroxen- . . . 08 II 373
— Monzoni u. Predazzo, chem. Zusammensetzg. 06 I 64
— Okanagen-Batholith, Cascade Mountain, Kalifornien . . . . . 09 I 69
— Palle Rabbiose, Fassatal, quarzführend . . CBl 1905 *52*
— Piz Giuf, östl. Aarmassiv, Kali-, und Gefolgschaft . . . . . 06 I 371
— Plauen'scher Grund, Analyse . . . . . 08 II 189
— Tagil, Ural . . . . . 07 I 71
— Tasmanien, quarzfreier Augit- . . . . . 08 I 388
— Tien-schan u. Ala-tau 05 II 69
— Wausau, Wisconsin, Analyse versch. Arten 06 II 220
— Wisconsin, nördliches 09 I 227
Syenitlamprophyr, Colorado, Two Buttes . . 08 II 371
Syenitporphyr
— Red Hill, Moultonboro, N. H., bostonitischer . . . . . 09 II 389
— Rödö, Schweden, Diluvialgeschiebe, Westfalen . . . . . CBl 1907 *148*
Sylt
— Miocänprofil vom Morsumkliff . 1906 I 429 CBl 1905 *577*
— Quartär CBl 1906 *631* BB XXI *196*
— Tertiär u. Quartär . BB XXII *139*
— Tuuls, Entstehung . 05 I *15*
Sylvanit, siehe Schrifterz.
Sylvin
— blauer, Pleochroismus durch orientierten Druck . . . . . CBl 1907 *166*
— Gyroedrie . . . . . CBl 1906 *259*
— Staßfurt, Zwillingsbildung . . . . . BB XXIII *310*
Sylvin
— Vesuv . . . . . 1909 II 332
— — von 1906 . . . 1908 I 208. 326
Symballophlebia latipennis, Carbon, Belgien . . . . . 05 I 523
Symmetrie durch Spiegelung, Darstellung an Kristallen . . . . . 09 II 159
Symme rieklassen, abkürzende Symbole . . 09 I 155
Symmorium reniforme, Skelett, vergl. mit Chlamydoselachus anguinus . . . . . 05 II 313
Sympterura Minveri, Devon, Epphaven (Cornwall) . . . . . 08 I 135
— — — St. Minver, Nord-Cornwall . . . 06 I 301
Synapis Henshawi, Oligocän, Rott . . . . . 08 II 112
Syndyceras Cooki . . . 07 II 485
Syngenetische Erzlagerstätten . . . . . 05 II 199
Syngenit
— Auftreten in ozean. Steinsalzlagern bei 25° 05 I 192
— Ammonium, künstlich- 08 I 37
— bei 83° . . . . . 08 II 159
— Brechungskoeffizienten 08 II 143
Syngnathus Cosmovicii, olig. Fischfauna, Berg Cosla bei Piatra-Neamtz . . . . . 06 I 153
Syngonieellipsoid ist Trägheitsellipsoid der kristallisierten Substanzen . . . . . 07 I 1
Syngonieellipsoidgesetze, Folgerungen . . . . 07 I 1
Syngonielehre . . . . . 07 II 349
Synkinetische Linien und Streifen bei Erdbeben 06 I 364
Synthese, siehe Darstellung, künstliche.
Syphnos, siehe Kykladen.
Syra, siehe Kykladen.
Syrien
— Glandarienkalk, Brachiopoden u. Mollusken 06 I 278
— u. Palästina, Feuersteinartefakte des Steinzeitalters . . . 07 I 291
Syringium Vinassai, Miocän, Italien . . . . . 09 II 490

Syringoceras carolinum u. Renzi, Trinodosus-Kalke, Epidauros (Argolis) . . . . . Festband 7
Syringodendron Tschernyschewi, Carbon, Donetz . . . . . 1905 I 538
Syrnola africana, ?Eocän, Kamerun . . . . . 06 II 123
— asthenopyxis und Houdasi, Eocän, Paris 07 II 303
— biarritzensis (Loxoptyxis), blaue Mergel von Côte des Basques, Biarritz . . . . . 06 II 439
System K_2SO_4—KF, thermische Analyse . CBl 1909 *728*
Systematik
— Eruptivgesteine, chemisch . . . . . 05 I 412
— der Intrusivformen . 07 I 51
— siehe auch Klassifikation.
Systematische Speziesbestimmung . . . . BB XXII *639*
Syvajärvi, Lappland, Eisenerzlagerstätte . BB XXIV *608*
Szászváros, Ungarn, Geologie . . . . . 07 I 274

T.

Tabaschir, Doppelbrechg. 07 I 19
Tabellen
— zur Bestimmung der Mineralien, v. Weisbach CBl 1906 480 CBl 1907 154
— zur Gesteinskunde von G. Linck . . . . . CBl 1905 59
Table Mountain Range, Nordamerika, Geologie 06 II 96
Tabulaten, Mesozoicum, Sardinien . . . . . 06 I *61*
Tachhydrit
— Existenzbedingungen bei 83° und Entstehen 08 II 159
— Existenzgrenze in ozean. Salzlagern . . 06 I 163
Tachylit, Roßberg bei Darmstadt . . . . . 06 I 369
Taconic Range, Geologie des Nordendes . . . 05 II 413
Taeda dolichophylla, Künowii und Schiefferdeckeri, Bernstein, Ostpreußen . . . . . 09 I 308
Taeniaster (?) Fournieri, Kohlenkalk, Dinant, Belgien . . . . . 1905 II 148
Taeniopteris hildesiensis, Jura, Hildesheim . . 09 I 462
— Leclerei, Carbon, südl. China . . . . . 08 I 311
— Nilssonioides und virgulata, Carbon, Tonkin . . . . . 08 I 310
— oregonensis . . . . . 07 II 503
— yorkensis . . . . . 07 II 500
Taenit als Fülleisen in Meteoriten . . . . . 05 I *149*
Tafelbergsandstein mit glazialem Konglomerat, Packhuis-Paß bei Clanwilliam . . . . . 06 I 274
Tafeljura, vulkanische Erscheinungen . . . . 07 I 375
Tagassu, Miocän, Süd-Dakota . . . . . 05 II 130
Tagil, Ural, Gesteine . . 07 I 71
Tahiti, Mineralien . . . 06 I 71
Täler
— Gletscher- u. Fluß- . 09 I 201
— Vertiefung durch Bildung von Strudellöchern . . . . . 05 I 409
Talbildung durch Gletschererosion . . . . CBl 1906 380
Talcosit . . . . . CBl 1909 *332*
Taliabu, Indo-Austr. Archipel, Geologie . . . BB XXII *385*
— Jura . . . . . 07 II 447
Taligrada
Kreide, Patagonien . 05 I 168
— Zahnsystem . . . . 05 II 462
Talk
— Ceylon . . . . . 1906 I 178. 181
— Lessachtal im Lungau (Salzburg) . . . . . CBl 1908 *282*
— Nordamerika, Produktion 1903 . . . . 05 II 22
— Schwerz bei Halle a. Saale . . . . . 05 I 380
— Ural, Kossoi-Brod . . 09 II 345
Talpa minuta, Obermiocän, Oppeln . . . . 08 II 425
Talscher- und Gondwana-Schichten, Indien . . Festband *482*
Taman u. Kertsch, Mineralien der Erzschichten . . . . . 05 II 199
Tamarugit, Miseno, Schwefelgrotte . . . 08 II 332

Tamboeria Maraisi, pneumatisierter Wirbel, untere Karruformation, Kapkolonie . . . . . 1906 I 310
Tancredia incurva, Eisenerzformation, Lothringen u. Luxemburg 06 I 305
— transversa, Jura, Black Hills . . . . . 08 I 264
Tantalate, Südnorwegen, Granitpegmatitgänge 08 I 336
Tanystrophaeus, unterer Muschelkalk . . . . 09 I 287
— antiquus und posthumus, ob. Muschelkalk u. Stubensandstein . . . . . 09 I 288
Tapes flagellifera u. transerta, Hypersenon, Peterwardeiner Gebirge . . . . . 06 II 268
— secundus, Miocän, Novotcheskalk . . . . . 07 I 114
Tapirus cristellatus, Knochenhöhle von Lagoa Santa, Minas Geraes, Brasilien . . . . . 07 II 134
— pandanicus, Kendeng-Schichten, Java . . . 09 I 119
Taramelliceras = Taramellia . . . . . 06 I 316
— gracilis, Malm, Brünn 08 I 422
— Szajnochai, ob. Oxford, Checiny, Polen . 08 II 90
Taramellit, Candoglia, im Calciphyr . . . . . CBl 1908 *506*
Tarantaise, Geologie . . 09 II 87
Tarbuttit, Rhodesia, Broken Hill-Grube . . . 09 II 34
CBl 1907 602 CBl 1908 51
Tardeceras parvum, Subbullatus-Schichten, Kalifornien . . . . . 06 II 300
Tarnócz, Kom. Nógrád, tertiäre Haifischzähne 05 II 479
Tarsius, amerik. Eocän . 05 I 329
Tartrate, Alkali-, Isomorphismus . . . . . 08 I 318
Tasmanien
— craquelierte Archäolithen . . . . . 09 I *73*
— Eruptionsachsen . . 07 II 79
— foyaitisch-theralitische Gesteine . . . . . 08 I 388
— Geologie der Westküste . . . . . 07 II 270
Tasmanien
— Glazialschichten von Wynyard . . . . . 1909 II *163*
— Jungtertiär und Diluvium, Gliederung . . . CBl 1909 *4*
Tatra
— Tektonik . . . . . 05 I 448
— siehe auch Karpathen.
Tatragebirge, Geologie . 05 II 91
1906 II 401 1909 I 418. 419
Taubach bei Weimar, paläolithische Funde
1909 I 285 CBl 1908 *197*
Tauern, hohe, Geologie
1907 I 267 1907 II 433. 437
Tauerngraben . . . . . 06 II 238
Taunus
— Basaltmaare . . . . 07 I 228
— Wasserstollen . . . . 06 I 404
Taunusgesteine, fossilfreie . . . . . 09 II 219
Tawmawit, Birma, Jadeitlagerstätte . . . 09 I 187
Taxites ? subzamioides, Rhät, Bornholm . . 08 I 452
Taxodioxylon Credneri, westl. Verein. Staaten 09 I 149
— Taxodii, Braunkohle, Senftenberg . . . . 08 I 450
Taxus baccata, Miocän, Cantal . . . . . 09 I 466
Teallit
— Bolivia, Beziehung zu Franckeit und Kylindrit . . . . . 06 I 14
— Bolivia, Santa Rosa . CBl 1905 287
Technische Hochschulen, Unterricht in Mineralogie und Geologie 06 II 147
Tectospira gracilis, Muschelkalk, Himalaya . 08 II 241
Tectus Michaleti, Coniacien, Frankreich . . . 06 I 319
— sougraignensis, Santonien, Frankreich . 06 I 319
Tegoceras, Kreide . . . 07 II 148
Tegulifera (?) uralica, Obercarbon, Ural und Timan . . . . . 05 I 534
Tehuelche-Formation, Patagonien 1905 I 142 07 II 143
BB XXI *180*
Teichosperma spadiciflorum, Unteroligocän, Fayum . . . . . 09 I 308
Teign-Tal, Entstehung . 05 II 378

Tekosphäre . . . . . 1906 II 199
Tektit
— Igast bei Walk, Livland, gefall. 17. Mai 1855 . . . . . 05 I 399
— Kuttenberg, angeblicher . . . . . CBl 1909 *452. 465*
— Schonen . . . . . CBl 1909 *462*
— von beobachtetem Fall . . . . . 05 I 399
— siehe auch Moldavit, Billitonit, Meteorstein etc.
Tektonik
— Fortschritte seit Suess 06 II 42
— Erzgebirge, präcretaceische Schichtenverschiebungen im Mesozoicum . . . . . 06 II 86
— Mexiko, Beziehung zu jungen Intrusionen . CBl 1907 *449*
— Westfalen, Dislokationen etc. im jüngsten Jura und in der Kreide 06 II 86
— siehe auch Alpen, Tatragebirge etc.
Teleoceras brachypus, süddeutsche Bohnerze, Jungnau . . . . . 08 I 128
Teleostier, lithogr. Kalk, Nusplingen . . . . . 09 I 452
Telerpeton elginense, Verwandtschaftsbeziehungen . . . . . 07 I 139
Tellimya antiqua, Paläocän, Rugaard, Kattegat . . . . . 08 II 103
Tellina coislinensis und exceptiuncula, Eocän, Loire inférieure . . . 07 II 302
— Murchisonae, ovata, Pavlowi und saratovensis, Paläocen, Saratow . . . . . 05 II 121
— ovalis, Kreide, Schaumburg-Lippe'sche Mulde 06 I 441
— cf. refanensis u. scitulina, Senon, Mittel-Peru . . . . . BB XXIV *114*
— cf. strigata, Kreide, Bregenzer Wald . . . BB XXVII *20*
Tellurwismut
— Friedeberg (Oesterr. Schlesien) . . . . . 07 II 34
— Riddarhyttan, ist Wismutglanz . . . . . 07 II 356
Telphusograpsus laevis, Eocän, Pest . . . . . 1905 II 318
Temesvar, Geologie . . . 05 II 99
Temnocheilus conchiferus und depressus, Perm, Texas . . . . . CBl 1908 *687. 688*
Temnocyon, Miocän, Süd-Dakota . . . . . 05 II 128
Temnotrionyx manducans, Nordamerika . 09 I 452
Temperatur
— bis 1400 m Tiefe, Bassin der Straße von Calais . . . . . 09 I 44
— des Erdinneren . . . 07 II 399
— im kohleführenden Gebirge . . . . . 05 II 205
Temperaturgradienten d. Erde bei Annahme radioaktiver u. chemischer Prozesse . . 07 II 399
Temperaturschwankungen schwedischer Seen, jährliche . . . . . 06 II 49
Temperaturverhältnisse des Bohrlochs von Paruschowitz V . . . 05 II 203
Tennantit
— Binnental, Zn-haltig . CBl 1907 411
— siehe auch Fahlerz.
Tennessee, Phosphate . . 05 I 260
Tentaculites bellulus und Stübeli, Devon, Bolivia BB XXV *559*
— elegans, Geinitzianus und infundibulum, Devon, Ostthüringen . . BB XXIV *300*
Tentakulitenkalk, Devon, Ostthüringen . . . . BB XXIV *249*
Tenthredo avia, infossa u. misera, Miocän, Florissant, Colorado . . 08 II 112
— submersa, Miocän, Florissant, Colorado . 08 II 111
Teonoma spelaea, Kalifornien, Kohlendiluvium . . . . . 07 I 299
Tephrit
— Argentinien . . . . . BB XXII *614*
— Böhmen, zw. Böhm.-Kamnitz u. Kreibitz 06 II 359
— — Tepler Hochland . 06 II 355
Tepler Hochland
— basaltische Ergußgesteine . . . . . 06 II 355
— trachyt. und andesit. Ergußgesteine . . . 06 II 353

Teratosaurus minor und trossingensis, Stubensandstein, Keuper . . 1909 I 287
Terebella ? Delheidi, Rupélien, Boom . . . . 08 I 134
Terebratula acutiplicata, aurata, breviplicata, dhosaënsis, eurypty-cha, hypsogonia, ingluviosa, jooraënsis, jumarensis, katometopa, longicarinata, planiconvexa, propinqua u. pyroidea, Jura, Kutsch . . . . . 05 I 181
— asiatica, beirutiana, curtirostris, longisinuata, phoeniciana u. sannina, Glandarienkalk, Syrien . . . . 06 I 279
— cernagorensis, Dogger, Montenegro . . . . . 07 I 433
— doultingensis u. lenthayensis, Fuller's Earth, England . . . 08 II 87
— euganeensis u. triangulus, Tithon, Trient, vergl. mit Dielasma Latouchei, Perm, Himalaya . . . . . CBl 1909 *229*
— Margaritowi, Trias, Tobisinschichten, Süd-Ussuri-Gebiet . . . BB XXVII *535*
— Moutoniana, Neocom, Sardinien . . . . . BB XXIII *469*
— Ribeiroi, Sinémurien, Portugal . . . . . 06 I 320
— subsella, Jura, Harro Rufa, Gallaland, Formenreihe . . . . . BB XXII *671*
— synophrys var. polyptycha, Lias, Tranze 08 I 424
— undosa, oberer Jura, Pommern . . . . . 06 II 102
— Zieteni var. quadrata, Malm, Brünn . . . . 08 I 422
— inflata, Jura, Kutsch 05 I 181
Terebratuloidea inflata, Obercarbon, Ural und Timan . . . . . 05 I 533
Teredo Pissaroi, Eocän, Loire inférieure . . . 07 II 302
— rugaardensis, Paläocän, Rugaard, Kattegat . . . . . 08 II 103
Teriodontia, Systematik . 07 I 479
Terlinguait, Terlingua, Texas . . . . . 1909 I 173
Terminologie, mineralogische . . . . . CBl 1909 *661*
Ternate (Celebes), Geologie 09 I 246
Terra rossa
— Entstehung . . . . . 05 I 244
— Krain, Analyse . . . 08 I 378
Terra de Siena, Monte Amiata . . . . . 06 I 235
Terrapene longinsulae, Nordamerika . . . . 09 I 450
Terrassen
— Apolda . . . . . 09 I 279
— Kapkolonie, Küsten- 08 II 46
— Lappland, an moränenbedeckten Abhängen, Entstehung . 07 I 88
— Lübecker Mulde . . CBl 1907 *97*
— Maastal . . . . . 08 II 409
— Neckar-Museltal, diluviale . . . . . CBl 1907 *461*
— Neuwieder Becken, rechtsrheinisch . . . 09 I 240
— nördl. Frankreich . . 08 I 270
— Rhein- und Ruhrufer, Holland . . . . . 08 II 100
— Saale, oberste . . . CBl 1907 *214*
— Schwarzwaldtäler, glaziale . . . . . BB XXI *397*
— Småland, Seen . . . 05 I 312
— Thermopolis, Wyoming, Sinter-, der heißen Quellen . . . 08 II 349
— Westfield, River, Mass., stufenförmige, Entstehung . . . . . 05 I 410
— siehe Flußterrassen u. Strandterrassen.
— und Seebecken, östl. Norddeutschland, Beziehungen zu glaz. Hydrographie . . . 05 I 481
— u. Uferlinien, Michigansee, relat. Alter . 08 II 346
Tertiär
Allgemeines.
— älteres, Cerithien etc. CBl 1909 *203*
— Braunkohlen, Beziehg. zu Kaolinlagern . . . 09 II *91*
— Bryozoen, obere und untere Verbreitungsgrenze . . . . . 1905 II 141. 143
— Cetaceen, Hüftbeinfragmente . . . . . 09 II 114

Tertiär
— Conoclypeidi und Cassidulidi conoclypeiformi . . . . . 1909 II 484
— Einteilung des Eocän 07 II 450
— Grenze zwischen Miocän und Pliocän . . 07 II *1*
— Nummuliten . . . . 1909 II 485 ff.
— Nummulitenskala, neue 05 II 156
— Nummulites laevigatus, stratigr. Bedeutg. 08 II 91
— Orbitolinen, Einteilg. 05 II 157
— siehe auch Nummuliten, Orbitoiden, Braunkohlen etc.
— Schichten d. Micraster tercensis . . . . . 07 II 452
— Tiefennatur der Sedimente . . . . . BB XXV *382*

Afrika.

— Aegypten, Arsinoitherium, Bedeutung für Geschichte der Säugetiere . . . . . 09 I 438
— — eocäne Säugetiere 1906 I 446 09 I 440
— — — Turritelliden . 06 II 453
— — nummulitische Dentaliden, Fissurelliden, Capuliden und Hipponiciden des Paläogen 05 II 322
— — Zeuglodonten . . 05 I 492
— — Fayum, Eocän . . 09 I 308
— — — Säugetiere des Eocän . . . . . 05 I 156
— — — — des Oligocän 08 I 427
— — — Wirbeltiere . . 07 II 307
— — Gebel Ahmar-Sand und versteinerter Wald 07 I 393
— — zwischen Kairo u. Suez . . . . . 09 I 100
— — Sinai, östl., Miocän 07 I 424
— — Suez-Kanal, mioc. Fischzähne . . . . . 05 II 138
— — Uadi Natrûn . . 06 II 422
— — — — u. Faregh, Wirbeltiere . . . . . 07 I 296
— Algerien, Beziehung d. Süßwassergastropoden zu denen von Cueva Rubbia, Spanien . . 07 II *25*
— — miocäne Spongienfauna . . . . . CBl 1907 *317*
— — und Tunis, Fische der Phosphate . . . 05 II 479

Tertiär
— Dahome, Eocän . . 1906 II 117. 430
— Kamerun, ?Eocän . . 1906 II 122
— Madagaskar, Eocän, der Westküste . . . 07 II 128
— — nördl., und Ind. Ozean . . . . . 07 I 429
— — Nummuliten . . . 08 I 141
— — Oligocän . . . . 06 I 101
— — oligocäne u. miocäne Foraminiferen . 09 II 487
— Senegal, Lutétien . . 05 II 289
— — Nummulitenschichten von St. Louis . . 05 II 288
— Somaliland, Fossilien 07 II 303
— Tunesien, eoc. Bryozoen des südlichen . 05 II 142
— Zentralafrika, Eocän . 07 II 265

Amerika.

— eocäne Primaten des Peabody-Museums . . 05 I 324
— Rhinocerotiden des unteren Miocän . . . 08 II 431
— westliches . . . . . 08 I 260

Nordamerika.

— Kamele des Oligocän 07 I 301
— Nagetiere und Ungulaten der John Day Series . . . . . 07 I 303
— Pferde . . . . . 05 II 468
— Rhinoceroten-Arten, Miocän . . . . . 06 II 133
— Säugetiere . . . . . 07 I 454
— Alabama, Beckengürtel von Alabamornis gigantea, Eocän . . . CBl 1906 *450*
— Alaska, nördliches . . 06 I 93
— — pazifische Küste . 09 I 396
— Colorado, Florissant, Hymenoptera . . . . 07 I 321
— — — etc., Insekten . 08 II 110
— — — Moose . . . . 09 II 154
— Kalifornien, Foraminiferen der Monterey Shales . . . . . 08 II 283
— — und Oregon, Klamath Mountains . . 05 II 411
— Maryland, Foraminiferen, Miocän . . . . 07 II 158
— — Radiolarien . . . 07 II 161
— Montana, südzentrales 06 II 423
— Nebraska, Pferde . . 08 II 429
— — Säuger des Miocän 1907 II 485. 486

Tertiär
— Nebraska u. Wyoming, Nager (Steneofiber) u. Daemonelix . . . . . 1907 I 460
— Neu-Mexiko, Los Cerillos . . . . . 08 I 436
— Oregon, Säuger des Miocän . . . . . 07 II 485
— Rocky Mountains, Braunkohlen . . . . 08 II 221
— Süd-Dakota, Säugetiere des Miocän 1905 II 127 08 I 129
— — — des Oligocän . 07 I 299
— Texas, Süßwasserbildungen des nordwestlichen . . . . . 05 II 438
— — u. Louisiana, Erdölgebiet der Gulf Coastal Plain . . . . . 06 II 385
— westliche Vereinigte Staaten, Hölzer . . . 09 I 149
— Wyoming, Leucite Hills 06 I 225
— — Montana und Canada, verglichen . . 05 II 429
— Wyoming-Nebraska . 06 I 267

Mittel- und Südamerika.
— Argentinien . . . . . CBl 1908 185
— — Säugetiere . . . . 05 I 132
— — Vorkordilleren . . 05 II 270
— — Wirbeltiere . . . 06 II 124
— Panamakanal . . . . 09 II 393
— Patagonien 1905 I 138. 307 1907 II 108. 142
— — marines . . . BB XXI *98. 147*
— — Brachiopoden . . 09 II 321
— — Bryozoen . . . . 05 II 141
— — Glires . . . . . 07 II 321
— — Glyptodontia und Gravigrada der Santa Cruz-Schichten . . . 06 I 453
— — Marsupialier der Santa Cruz-Schichten 07 I 307
— — Säugetiere, Dentition . . . . . 06 I 450
— — — des unteren . 05 I 497
— — Säuge-, bes. Huftiere . . . . . 05 II 454
— — Säugetierfaunen . 07 II 272
— Trinidad, Foraminiferen, Naparima . . 05 II 489

Antarktikum.
— Grahaminsel etc. . . 09 II 103
— Kerguelen . . . . . 07 II 128

Tertiär

Asien.

— Beludschistan, Sind, Jakhmari-Kette . . . CBl 1905 *164*
— — — Lakki-Kette, Nordende bei Station Bagatora . . . . . CBl 1905 *161*
— — Ormara-Kap, Mekran-Küste, Kalkknollen . . . . . 1906 I 117
— — Saltrange u. Sind CBl 1905 *171*
— — Sind . . . . CBl 1905 *129. 161*
— Birma, Otolithen im Miocän . . . . . 09 I 142
— Bithynische Halbinsel CBl 1909 *657*

Asien und Australien.

— Borneo, Nummuliten 07 I 161
— — — und Orbitoiden 1908 II 288 09 II 489
— Celebes, eocäne Foraminiferen . . . . . 08 II 285
— Gobi-(Hanhai-)Formation . . . . . 06 I 97
— Indien, Orthophragmina u Lepidocyclina in den Nummulitenschichten . . . . . 09 I 141
— — Vorkommen der Nummuliten . . . . 08 II 291
— Indien, Niederländ.- 1907 II 498 09 I 243
— — — pliocäne Korallen . . . . . 09 II 141
— Indisch-austral. Archipel, Mangoli und Taliabu . . . . . BB XXII *390*
— Java, Liegendes der Kendeng-Schichten mit Pithecanthropus erectus . . . . . BB XXV *648*
— — Sondé und Trinil, Mollusken etc. . . 1909 I 112 ff.
— — Uebersicht der Gastropoden . . . . 07 II *151*
— Luzon, Binangonan . 09 II 150
— Molukken, Insel Grand-Kei, Lepidocyclinen . 09 II 145
— Persien . . . . . 06 I 443
— Sumatra, Petroleum im südlichen . . . . 05 II 418

Australien.

— Gingin, Foraminiferen 09 I 299
— Neukaledonien . . . 08 I 140
— — Eocän . . . . . 07 I 114

Tertiär
— Neuseeland, Kohlenfelder . . . . . 1905 II 277
— — Oamaru series = Oligocän . . . . . 05 II 277
— — Otago-Halbinsel . 08 I 230
— — Otago u. Canterbury 06 I 433
— — Südinsel, Mt. Cronin 05 II 421
— — Wharekuri, Nord-Otago . . . . . 09 I 104
— Tasmanien, Gliederung des jüngeren . . . . CBl 1909 *4*
— — Wynyard . . . . 09 II *163*
— Victoria, Brown's Creek, Otway coast, Tiefseeforaminiferenfauna . . . . . 06 I 471
— — Port Phillip, Foraminiferen . . . . . 08 I 305

Europa.

— und Nachbargebiete, Pectiniden des Neogen 06 I 467
— Foraminiferen in den versch. Becken des westlichen . . . . . 07 I 159
— Alpes maritimes, Küste, Pliocän . . . . . 07 II 451
— Alpen, Nummulitenschichten der franz. Süd- . . . . . 08 I 433
— — Nummulitenkalk der südlichen . . . . 07 I 441
— — Nummulitenschichten . . . . . 09 I 108
— Ostalpen . . . . . 06 II 234
— Westalpen, Granit . . 07 II 406

Balkanhalbinsel u. Inseln.

— Griechenland, Eocän CBl 1906 *541*
— Rumänien, Cosla-Berg bei Piatra-Neamtz, Rumän. Karpathen, oligocäne Fischfauna 06 I 153
— — Karpathen, Bahna, Foraminiferen des Globigerinenmergels . 09 II *140*
— — Moldau . . . . . 06 I 406
— — — sarmat. Schichten . . . 1905 I 469 06 I 295
— Samos, Rhinocerotiden 06 II 450
— Serbien, Foraminiferen der II. Mediterranschichten . . . 09 II 147
— Vernitza am Golf von Xeros, Foraminiferen 05 II 489

Tertiär

Belgien.

— Belgien 1905 I 467 ff. 1907 I 442
07 II 296
— Alter der Sandsteinblöcke . . . . . 05 I 467
— Bedeutung von Landénien u. Thanétien. 06 I 116
— paläocäne Pflanzen des Trieu de Leval (Hennegau) . . . . 09 II 490
— Reptilien des Eocän. 08 I 443
— Schildkröten . . . . 05 II 473
— unteres . . . . . 06 II 115
— und Norddeutschland 08 II 92
— Antwerpen, Bartonien supérieur . . . . . 07 II 297
— — Zahnwale d. Boldérien . . . . . 07 I 130
— Belgisch-fransösisches Becken, Nummulitenhorizonte . . . . . 06 I 114
— Boncelles . . . . . 09 I 275
— Brüssel . . 1905 I 305 08 II 93
— — Tongrien . . . . 05 II 431
— — Transgression . . 06 II 428
— — verschiedenes . 1906 II 428. 429
— Campine . 1905 I 468 09 I 274
— La Courte und Leval-Trahegnies, Sparnacien-Fazies des oberen Landénien . . . . . 06 I 117
— Leval-Trahegnies 1908 I 269 08 II 93
— Limburg . . . . . 06 I 116
— — Tegelen, pliocänes Rheintal u. Säugetiere 06 I 141
— Löwen, Obereocän . 06 II 430
— Maas-Gegend mit verkieselten Oolithen . . 08 I 268
— Mecheln, in Bohrlöchern . . . . . 07 I 442
— Moll und Campine . 09 I 274
— Roncelles (und Tilff), oligocäner Mensch, Eolithe . . . . . 1908 I 279. 280
— Trieu de Leval . . . 06 I 116
— Waterloo . . . . . 09 I 275
— Wavre-Notre-Dame, in Bohrlöchern . . . 07 I 442

Dänemark.

— Phociden u. Cetaceen 06 I 445
— baltisches, ältestes Geschiebe . . . . . 06 I 112
— Jütland . . . . . 07 II 452

Tertiär
— Jütland, Alter der plastischen Tone . . CBl 1907 *58*
— — Oligocän und Miocän . . . . . CBl 1906 *465*
— Rugaard, Paläocän . 1908 II 103
— Island, Crag . . . . 07 I 113
— — Gletscher im Westen und Norden . . . . 08 II 341

Deutschland.

— u. Frankreich, Edentaten . . . . . 07 I 463
— Allgäu, Kontakt zw. Flysch und Molasse . 08 I 409
— Altmark . . . . . 07 II 450
— — Gardelegen 1907 II 450 08 I 434
— Anhalt, Braunkohle . 09 I 429
— Balticum, eocäne Tuff-(Asche-)Schichten im westlichen . . . . . CBl 1907 *680*
— Bayern, Faziesentwicklung der Oligocänmolasse im südlichen CBl 1906 576
— — Peißenberg, oberoligocäne Wellenfurchen . . . . . 05 II 431
— — Tegernsee, Flysch und Erdöl . . . . . 07 II 127
— Bayrisch-Schwäbische Hochebene, Wirbeltiere des Obermiocän 06 I 124
— Bremen . . . . . 07 II 464
— und Frankreich, Edentaten . . . . . 07 I 462
— Dithmarschen . . . . CBl 1906 *275*
— Elbgegend, mittlere, Septarienton . . . . 05 II 287
— Elfas, Homburgwald und Vogler . . . . . 05 II 259
— Elsaß, Oligocän, Strangenberg bei Rufach . . . . . BB XXVI *53*
— — Sundgau, über Weiß-Jura . . . . . 05 II 409
— — Wittelsheim, Kalisalze . . . . . 09 I 107
— Emsgegend, untere . CBl 1907 695
— Gotha, nördlich von . 07 II 458
— Hegau, Tafeljura, Alter der vulkanischen Erscheinungen . . . CBl 1908 *613*
— Hessen, Cassel . . . 07 II 291
— — Eichelskopf bei Homberg, Flora . . . 09 I 147

Tertiär
— Hessen, Großkarben, Cerithienschichten u. Cyrenenmergel . . . 1909 II 465
— — Lich im Vogelsberg 07 II 291
— — Offenbach a. M., Bohrloch im Schlachthof . . . . . 09 I 432
— — Rheinhardswald b. Cassel . . . . . 05 II 286
— — Schwälmer Land, Basalt . . . . . BB XXIII *345*
— — Vilbel, mittelolig. Meeressand . . . . . CBl 1905 *531*
— Hildesheim . . . . . 07 II 290
— Holstein, Oldesloe . . 08 II 97
— Jena, zw. Bürgel und Kamburg . . . . . BB XXI *63*
— Lauenburg . . . . . 07 II 463
— M.-Gladbach . . . . 09 I 274
— Magdeburger Uferrand . . . . . 09 I 430
— Mainzer Becken, Ostracoden . . . . . 06 II 138
— — — Rupelton, Foraminiferen etc. 1909 I 433 09 II 323
— — — Säugetiere des Oligocän und Miocän 06 II 131
— — — GrorotherMühle 06 II 113
— — — Kreuznacher Meeressand . . . . . 07 I 111
— — — Rheinhessen (Wonsheim). Septarienton mit Foraminiferen etc. . . . . CBl 1905 *656*
— — — u. Niederrhein, Zusammenhang der Braunkohlenformation und des Pliocän . . 08 I 268
— Mecklenburg, Braunkohlenformation . . . CBl 1908 *261*
— Mittelrhein . . . . . 07 II 89
— Neuwieder Becken, rechtsrheinisch . . . 09 I 239
— Niederrhein, Pliocän und Dinotheriumsande 07 II 451
— Niederrhein. Bucht, plioc. Quarzschotter . 07 II 292
— Niederschlesien, petrogr. Entwicklung d. Miocän . . . . . 06 II 430
— Norddeutschland . . . 07 II 453
— — Braunkohle . . . . CBl 1908 *152*
— — untereocäne Tuffe 07 II 453
— — und Belgien . . . 08 II 92

Tertiär
— Oberschlesien, Alter . 1907 II 126
— — Miocän . . . . . 07 II 294
— — subsudet. Braunkohlenformation . . . 06 I 112
1907 I 113. 289 07 II 294
— — Lorenzdorf bei Kujau, obermioc. Fauna und Alter der subsudet. Braunkohlenformation
1907 I 113. 289 07 II 294
— — Oppeln, Säugetiere des Miocän
1905 II 453 08 II 425
— Osnabrück, Piesbergsattel . . . . . 09 II 252
— Ostpreußen, altes . . 07 II 463
— — Borkenkäfer im Bernstein . . . . . 08 II 112
— — Flora des Bernsteins und anderer fossiler Harze . . . 09 I 307
— — Samland, bernsteinführ. „blaue Erde" 05 II 287
— Ostheim v. d. Rhön, Oberpliocän mit Mastodon arvernensis . 07 II 291
— Pfalz, Dürkheim, Braunkohlen . . . . . 09 I 468
— — Neu-Bamberg . . 07 I 266
— Pommern . . . . . 08 I 428
— — Belgard . . . . . 07 II 294
— — Greifswalder Oie. Paleocän . . . . . 07 II 99
— Priegnitz, West- . . CBl 1907 693
— Randen, Molasse und Grobkalk . . . . . 09 I 432
— Rhein u. Niederl.-Limburg, Braunkohlen . 07 II 127
— rheinische Braunkohlenformation, Beziehung zum Mainzer Becken . . . . . 08 I 268
— Rheinisches Schiefergebirge . . . . . 09 I 240
— Rheinland, Alter der Braunkohlen . . . . 08 II 406
— Ries, altes, Konchylien 07 II 451
— — Fossilien der Bunten Breccie bei Weilheim . . . . . 08 I 433
— Rostock, Paläocän im Untergrund . . . . . CBl 1909 *618*
— Sachsen-Meiningen . 06 II 412
— Schlesien, Posener Flammenton . . . . 05 II 287

Tertiär
— Schleswig-Holstein . 1907 II 463
— Schwarzenbeck, Eocän 07 II 293
— Senftenberg, Pflanzen der Braunkohlenablagerungen . . . . . 08 I 449
— Solling, Dislokationen und Transgressionen . 09 I 407
— Stockach, Molasse . . 08 I 269
— Süddeutschland, Säugetiere der Bohnerze . 08 I 122
— Sylt . . . . . BB XXII *139*
— — Morsumkliff, Miocän . . . 1906 I 429 CBl 1905 *577*
— Tessenow bei Parchim, Septarienton . . . . 06 I 430
— Teutoburger Wald . CBl 1909 *76*
— Uckermark und Vorpommern, Eocän (Londonton) . . . . . 07 II 293
— Uetersen-Schulau . . 08 I 100
— Weenzen (Braunschweig), junges . . 07 II 457
— Weinheim a. Bergstr., Rheintalspalten . CBl 1906 *667. 698*
— — — Rupelton . . . 09 II 465
— Wendisch-Wehningen bei Dömitz . . . . . 06 I 430
— Westerwald, Bimssteinsande . . . . . 05 II 430
— Westfalen, Dislokationen . . . . . 08 I 407
— Wiesbaden, Braunkohle . . . . . 07 II 86
— Württemberg, Oberschwaben . . . . . 05 I 304
— — Schwäb. Alb etc. CBl 1908 *557. 589. 610. 651*
— — Steinheimer Becken, Ostracoden . . . . . 06 II 138
— — Ulm, Land- und Süßwasserschnecken des alten . . . . . 08 II 103

England.

— Analyse d. London Clay . . . . . 08 II 406
— Parallelisierung mit dem Pariser Becken. 09 II 466
— unteres, Parallelisierung mit dem Pariser Becken . . . . . 06 II 115
— Bovey-Deposits . . 1909 II 465. 469
— Bracklesham . . . . 08 II 91
— Devonshire, Bovey-Deposits . . . . . 09 II 465

Tertiär
— Hampshire, Alter . . 1907 II 452
— — u. Wight, Grenze des Eocän u. Oligocän 08 II 92
— Hebriden, Eruptivgesteine . . . . . 08 I 222
— Kent, Sussex u. Cantal, Mensch (Eolithe), im Pliocän . . . . . 06 I 130
— Skye, Eruptivgesteine 06 II 64
— Wight . . 1905 I 304 05 II 431
— — macrure Krebse . 05 II 317

Frankreich.

— Frankreich . . . . . 07 I 441
— Cerithien, Gruppe des C. tricarinatum . . . 06 II 452
— Echiniden der Molasse 07 II 156
— Gliederung . . . . . 05 II 431
— Pseudoeolithen im Untereocän . . . . . 08 I 283
— stratigraph. Bedeutg. von Nummulites laevigatus . . . . . 09 II 485
— Struktur der Sandsteine . . . . . 07 II 296
— undDeutschland,Edentaten . . . . . 07 I 462
— Anjou, Faluns . . 1909 I 276. 277
— Aquitanien . . . . . 08 II 407
— — Grenze gegen Kreide 07 I 112
— — Entre-deux-mers . 05 II 433
— — u. Venetien, Lepidocyclinen . . . . . 09 I 135
— Ariège und Haute-Garonne, unteres Eocän 07 II 452
— Aude, Pycnodonten . 05 II 483
— — und Hérault, Echiniden des Eocän . . 07 II 156
— Biarritz . . . . . 05 II 118
— — Aufeinanderfolge derNummulitenfaunen 08 II 405
— — Foraminiferen . . 06 II 311
— — große Nummuliten 07 II 297
— — Adour-Becken, Nummulitenschichten 05 II 288
— — Côte des Basques, Fossilien des blauen Mergels . . . . . 06 II 439
— — und Gassino, Foraminiferen . . . . . 07 II 161
— — u. Vicentin, Nummulitenschichten 1907 II 298 08 I 434
— Biot, Alter der Labradorite . . . . . 06 I 115

Tertiär
— Bordeaux, zweifelhafte Arten . . . . . 1909 II 466
— Bourges, Blatt . . . 05 II 432
— Bresse, Süßwasserablagerung des jungen . 07 II *30*
— Cantal, Flora . . . . 09 I 466
— — Kent und Sussex, Mensch (Eolithe), pliocän . . . . . 06 I 130
— Carcassonne, mit Lophiodon . . . . . 09 II 469
— Castrais, Säugetiere d. Bartonien . . . . . 05 II 302
— Corbières, Eocän 1906 II 429 07 I 441
— Corsica (Pta. del Fornello) . . . . . 09 I 275
— Cugny (Aisne), Landénien . . . . . 07 I 290
— Darvault (Seine-et-Marne) . . . . . 09 I 106
— Egravats bei Mont Dore, mit Diatomeen 05 II 432
— Epernay, Sparnacien 05 II 119
— — und Reims . . . 08 II 91
— Französisch-belgisches Becken, Nummuliten-Horizonte . . . . . 06 I 114
— Fronsadais,Wirbeltiere in der Molasse von . 08 I 267
— Gaas . . . . . 07 II 297
— Gard, Asphaltkalke . 08 II 222
— Garonne-Tal, Pliocän 05 I 312
— Gâtinais, Molasse . . 09 II 467
— Hérault, miocäne Korallen . . . . . 07 I 487
— Issy (Seine), Sande der plastischen Tone 06 I 116
— La Grive St. Alban (Isère), Säugetiere des mittleren Miocän . . 05 II 306
— Languedoc,Süßwasserbildungen . . . . . 05 I 305
— Limagne, Eruptivgesteine . . . . . 08 II 93
— Loire inférieure, Eocänmollusken 1906 I 154. 467 07 II 302
— Loire-Becken, Pelecypoden . . 1905 I 319 06 II 454
— Marnetal zw. Lagny u. Chalifert (S. et M.). 09 II 468
— — zw. Meaux und Chateau-Thierry, Sables Moyens . . . . . 09 II 468

Tertiär
— Martigues, Rhône-Unterlauf . . . . . 1906 I 117
— Massiac (Cantal), Alter der Basalte . . . . . 08 II 406
— Massif Central, vulk. Eruptionen . . . . . 08 II 93
— Mittelmeer, Eocän, verglichen mit Pariser Becken . . . . . 05 II 156
— Montricher-en-Maurienne, große Orthophragminen im Eocän 1906 I 115 09 I 299
— Moulins, Wirbeltiere des Mittelmiocän . . 08 I 267
— Nizza, Pliocän . . . 05 II 289
— Orléanais . . . . . 09 II 468
— Orléanais-Sande . . . 08 II 407
— Paris, Katalog der Konchylien des Eocän 05 I 484
— — Einteilung des Eocän . . . . . 07 II 302
— — oberes Eocän . . 07 II 450
— — Nymphaeaceen . . 09 II 156
— — u. Loire inférieure 07 II 302
— Pariser Becken. Eocänkonchylien . . . . . 07 II 302
— — — Fischotolithen des Eocän . . . . . 08 I 131
— — — Grenze des Eocän und Oligocän . . 08 II 92
— — — Mutation der Cerithien . . . . . 09 II 465
— — — Paläocän und Eocän . . . . . 06 II 115
— — — Parallelisierung mit dem englischen . 09 II 466
— — — Sande von Auteuil . . . . . 06 II 115
— — — Sparnacien . . 06 II 116
— — — Thanétien, siehe Thanétien.
— — — Transgression des Ludien . . . . . 08 II 92
— — — unteres Eocän 06 II 115
— — — verglichen mit Mittelmeergegenden . 05 II 118
— — — Yprésien = Cuise-Sande und Londonton . . . . . 06 II 115
— Perrier, Hipparion-Fauna . . . . . 06 I 143
— Provence, Stellung der Lepidocyclinenschichten im Miocän . . . 09 I 297
Tertiär
— Puech d'Alzon bei de Borouls, Oligocän . . 1906 I 432
— Pyrenäen, Granit von Reynès und Latour . 05 I 429
— Quercy, Adapis parisiensis-Gehirn, im Eocän . . . . . 06 II *100*
— Saint-Michel-Montlèry . . . . . 05 II 119
— Sausset (B.-du-Rhône) 09 I 136
— Savoische Alpen, Pflanzen der Molasse von Bonneville . . . 09 I 467
— Seealpen, Pliocän der Küste . . . . . 07 II 451
— Seine-Département, Pliocän, mit El. meridionalis . . . . . 08 I 435
— Seine- u. Loirebecken, Land- und Süßwassermollusken . . . . 07 I 441
— Soumailles bei Pardailhan . . . . . 08 I 266
— Südalpen, Nummulitenschichten . . . . 08 I 433
— südöstliches, Nummulitenbildungen . . . 05 I 131
— Thenay, Eolithen im Oligocän . . . . . 06 II 269
— — und Tasmanien, craquelierte Feuersteine im Oligocän . CBl 1908 *748*
— Thorigny-Dampmard, (Seine et Marne) . . 09 II 468
— Touraine, Echiniden der Faluns . . . . . 09 II 480
— Trélon-Chain (Avesnois), Lutétien . . . 05 II 432
— Vence, pliocäne Ufer 06 I 117
— Vitry, Gips . . . . . 05 I 304

Italien.

— Foraminiferen . . . 07 I 162
— Lepidocyclinen, Alter 08 II 283
— Lepidocyclinenkalk . 06 I 473
— Radiolarien d. Miocän 09 II 490
— Textularien des Miocän . . . . . 05 II 156
— Apennin, Nummuliten, Einteilung . . . . . 05 II 326
— — zentraler, Nummulitenfauna der Scaglia 06 I 156
— — liguro-piemontes., Nummuliten und Orbitoiden . . . . . 08 II 286

Tertiär
— Appennino Pavese, Nummuliten und Orthophragminea . . . 1906 I 156
— Apulien, Lepidocyclinenkalke, Alter . . . 08 II 291
— — Nummulitenschichten . . . . . 08 I 448
— Emilia, Gehörknochen von Fischen . . . . 06 II 297
— — Bologna, Fischotolithen im Pliocän 08 II 277
— Gassino, Foraminiferen . . . . . 07 II 161
— Oberitalien und Südtirol, oligocäne Textularien . . . . . 05 II 156
— Otranto, Eocän der Terra d'Otranto . . 06 II 116
— — trematophore Milioliden . . . . . 09 I 140
— Piemont, Foraminiferen des Miocän . . . 06 II 308
— — Hirschgeweihe im Pliocän . . . . . 06 II 132
— — Lepidocyclinenfaunen . . . . . 1907 II 159. 160
— — Turin . . . . . 08 II 288
— — — (S. Genesio), Foraminiferen . . . 07 I 328
— — Varazze (Ligurien), Lepidocyclinen . . . 09 II 148
— — — — Lepidocyclinen im Stampien . . 09 II 489
— Rom, Aniene-Tal, Nummuliten und Orbitoiden . . . . . 08 II 287
— — Castel Madama u. Vicovaro, Foraminiferen . . . . . 06 I 473
— — Farnesina, Foraminiferen . . . . . 07 II 161
— — Via Consilina, im Bohrloch . . . . . 07 I 65
— Sardinien, Fibulariden des Mitteleocän von S. Gavino a mare . . 09 II 483
— — Fischotolithen im Miocän . . . . . 08 II 277
— — vulkan. Ergüsse . 09 II 227
— Sizilien, eocäne Alveolinen . . . . . 06 I 471
— — Foraminiferen CBl 1906 *640 ff.*
— — Lepidocyclinen d. Eocän . . . . . 1906 II 455. 456
— — Aci Castello . . . 05 I 49

Tertiär
— Sizilien, Bonfornello (Palermo), Foraminiferen des miopliocänen Mergels . . . . . 1906 I 472
— — Capo S. Andrea bei Taormina, Nummulitenkalk . . . . 07 I 290
— — Catania (Provinz), Foraminiferen . . . . 05 II 488
— — Melilli, Mikroflora und -Fauna des mitteleocänen Dysodils . . 05 II 152
— — Messina (Provinz), pont. Säugetiere . . 06 I 141
— — Palermo, Nummulitenkalk . . . . . 07 II 496
— — Termini-Imerese, Nummulitenschichten 09 I 295
— — — Nummuliten d. Regione Cacasacco . 09 II 144
— — westliches, Eocän 07 II 496
— südliches, Haifische . 05 II 479
— Toscana, Calafuria sdl. Livorno, Mineralien d. Macigno . . . . . 06 I 168
— — Florenz, Nummulitenkalk . . . . . 09 I 137
— Umbrien, Lepidocyclinen . . . . . 07 II 498
— Venetien, Mte. Bolca, Fische . . . . . 05 I 341
— — und Frankreich, Lepidocyclinen . . . 09 I 135
— — und Trentino, Revision der Echiniden 05 II 149
— Vicentin, Eocän, vergl. mit Biarritz . . . 06 I 431
— — Lepidocyclina elephantina . . . . . 09 II 487
— — Colli Berici, Geologie . . . . . 02 II 159
— — Priabona, Foraminiferen . . . . . 08 I 138
— — und Frankreich, Nummulitenschichten 1907 II 298 08 I 434

Oesterreich-Ungarn.

— Fischotolithen (Macruriden und Beryciden) 07 I 480
— — (Scyaeniden) . . 05 II 138
— Böhmen, Basalte und Trachyte von Melnik und Mšeno . . . . . 07 I 61
— — Bittersalzmergel . 06 II 191

Tertiär
— Böhmen, Gutwasser im Budweiser Becken 1906 II 113
— — Ossegg, Sandstein der Salesiushöhe . . 05 II 438
— — Teplitz, Flußspatgänge . . . . . 08 II 293
— — Wolin, Miocän . . 07 II 295
— — und Mähren, miocäne Quarzite und Konglomeratblöcke . 06 II 353
— Böhm. Mittelgebirge, Aussig . . . . . 05 I 268
— — — Großpriesen . 05 I 272
— — — Kostenblatt—Milleschau . . . . . 06 II 82
— Bosnien, Dolnja-Turfa, Foraminiferen des Schlier . . . . . 1905 II 290. 490
— — Sarajewo . . . . 05 I 103
— — Zenica, oligocäne Braunkohlen . . . . 06 II 114
— — u. Herzegowina 1905 II 117. 265
— — — — Eocän . . 09 I 292
— Bukowina, Putilla-Tal, miocäne Erdölschichten . . . . . 06 I 237
— Dalmatien, mitteleoc. Foraminiferen . . . 05 II 491
— — Promina-Schichten 07 I 103
— — Budna . . . . . 07 I 93
— — Cattaro . . . . . 05 II 94
— — nördliches . . . . 05 II 114
— — Sebenico—Trau . 07 I 89
— — Velebit, österr., Nummuliten . . . . 08 II 289
— — Zaravecchia—Stretto 07 I 90
— dalmatin. Insel- und Küstengebiet . . . 1907 I 89 ff.
— Galizien, Borysław, Ozokerit- und Erdölvorkommen . . . . 1906 I 407. 409
— — Groznyj, Naphthagebiet . . . . . 07 I 113
— — Kruhel maly bei Przemysl, Foraminiferen und Mollusken des Unteroligocän 1905 I 319 1905 II 434 06 I 472
— — Lemberg . . . . 05 II 95
— — östliches, Erdölzone . . . . . 06 I 236
— — — Karpathen . . 05 II 118
— — Pruthtal . . . . 05 II 116
— — Przeciszow, östl. Oswiecim, Bohrloch 1907 I 113. 290

Tertiär
— Galizien, Przecislaw, obermiocäne Fauna . 1907 II 295
— — Rzeszow, Miocän. 05 II 436
— — Wieliczka, Salzberg . . . . . 05 II 117
— Istrien, Albona, mitteleocäne Globigerinenmergel . . . . . 05 II 159
— Mähren, Eocän . . . 05 II 436
— — Foraminiferen der pannon. Schichten . 07 I 157
— — Neutitschein, Eocän . . . . . 07 II 295
— — Pausramer Mergel, Fischotolithen . . . 08 II 277
— — Pausram-Auerschitz, Karpathen, Alttertiär 05 II 116
— — Proßnitz, miocäne Foraminiferen . . . . 07 I 162
— — Rittberg bei Proßnitz . . . . . 07 II 296
— Nieder-Oesterreich, Belvederefauna und Arsenalterrasse . . . 05 II 437
— — Eggenburg . . 1905 II 115. 436
— — Ingersdorf am Wiener Berg . . . . . 05 II 114
— — Leobersdorf bei Vöslau, Kongerienfauna . . . . . 06 I 113
— — Tullner Becken 1905 II 292 06 I 296
— — Voitsberg . . . . 05 II 113
— — Wels, Foraminiferen aus Bohrlöchern 1905 II 290. 490
— — Wien, Stadt . . . 05 II 434
— — Wiener Becken . 05 II 115
— — — — Alter der Belvedereschotter . . CBl 1908 386
— — Wiener Wald, kristallin. Gesteinsgerölle im Flysch . . . . . CBl 1908 250
— — Ybbsitz, Wirbeltierfährten im Neocomflysch . . . . . 05 II 434
— Sirenen des mediterr. Tertiär . . . . . 05 I 504
— Steiermark, Oisnitz, Grazer Bucht . . . . 05 II 114
— — Radeldorf u. Stranitzen . . . . . 05 II 436
— — Wie, Säugetiere der obermioc. Braunkohlen . . . . . 07 I 300

Tertiär
— Tirol, südliches, und Oberitalien . . . . . 1905 II 156
— — Trient u. Venetien, Revision der Echiniden 05 II 149
— Ungarn . . . . . 05 II 434
— — eocäne Decapoden 05 II 317
— — Bevčiner Zementmergel . . . . . 07 II 128
— — Borbolya, Kom. Sopron, Balaenopteriden des ob. Mediterran . 05 II 305
— — Felsöesztergaly, Kom. Nograd, untermediter. Haifischzähne 06 I 125
— — Gerecse-Gebirge . CBl 1905 *394*
— — Hunyad-Komitat. 06 I 262
— — Komarom- und Nyitra-Komitat . . . 06 I 266
— — Látatlan bei Gran, viele Pyrgulifera gradata im Eocän . . . 05 II 434
— — Pest, Pteropodenmergel im alten. . . 05 II 433
— — Rákosszentmihály bei Pest, Alter der Schotter . . . . . 05 II 435
— — Sashalom b. Rákosszentmihály (unweit Pest), Alter des Schotters . . . . . 05 I 470
— — Siebenbürgisches Erzgebirge, Aranyos-Gruppe . . . . . 06 I 264
— — Szóczón, Komitat Krassó-Szöreny, Uebergang zwischen sarmat. u. pannon. Schichten 05 II 435
— — Talabor-Tal . . . 06 I 259
— — Tarnocz, Kom. Nógrád, Haifischzähne im untermediterranen Sandstein . . . . . 05 II 479
— — versch. Gegenden 05 II 434
— — Vertésgebirge, altes CBl 1905 *417*
— Vorarlberg, Flyschzone und Beziehung zu ostalpinen Deckenschüben . . . . . 08 I *63*
— — Bregenzer Wald, nördliche Flyschzone BB XXVII *1*

Rußland (europ. u. asiat.)

— Rußland . . . . . 05 I 469
— levantinische Ablagerungen im südlichen. CBl 1906 *413*

Tertiär
— Ostreen des Paläocän 1908 I 446
— Gultscha, Ferghana, Versteinerungen . . . 05 II 283
— Gultscha-Tal, Ferghana-Formation . . 06 I 97
— Kaukasus, Versteinerungen des älteren . 08 II 81
— — nördlicher und Kertsch, Alter . . . 05 I 469
— — Suchum-Distrikt, Neogen . . . . . 06 I 432
— Krivoi Rog, Cherson 05 II 120
— Mandrikowka, Pelecypoden . . . . . 06 I 468
— Novotcheskalk, Miocänmollusken . . . . 07 I 114
— Saratow, Wolgagegend, Paläocen . . . . . 05 II 120
— Stavropol, Miocän. . 05 I 469
— Süd-Ussuri-Gebiet BB XXVII *531*

Schweiz.

— Säugetiere des Eocän (Chasmotherium und Lophiodon) . . . . . 05 I 492
— — — — Palaeotherium, Propalaeotherium, Plagiolophus, Lophiotherium, Anchilophus und Pachynolophus). 06 II 282
— Aarwangen, Süßwassermolasse . . . . . 08 I 433
— Antirhätikon . . . . 08 I 251
— Berner Jura, Bohnerztasche von Verrerie de Roche . . . . . 09 I 432
— Berner Oberland, Kiental, Eocän . . . . . 09 I 431
— Berner Voralpen, Hornfluh, Flysch . . . . 07 I 100
— Biel, Bohnerztasche mit Albien-Fossilien . 08 II 407
— Juragebirge (Blauen), Oligocän . . . . . 06 I 112
— Loch-Amden, submarine Rutschung des Nummulitenkalks . . 08 II *147*
— Oberdorf bei Solothurn, Dysodil . . . . . 08 I 269
— Oehningen, miocäne sublacustre Rutschung 08 II *144*
— Sainte Croix, waadtl. Jura . . . . . 05 II 253
— Sainte-Croix-du-Mont, Oligocän . . . . . 07 II 452

Tertiär
— Tessin, Alpen, Granit 1906 II 208
— — Pliocän b. Chiasso 08 I 267
— Weißensteintunnel. 1908 I 254. 255

Spanien.

— Barcelona, Korallen d. unteren . . . . . 09 II 485
— Cueva Rubbia, Beziehung der Süßwassergastropoden zu denen von Algier . . . . . 07 II *25*
— — — Säugetiere und Süßwassergastropoden des Pliocän. . . . . 07 II *1*
Tessin, Seen im Gotthardgebiet . . . . . 08 II 51
Tessiner Alpen, kristalline Schiefer . . . . 05 I 242
Tessinergneis . . . BB XXVI *492. 509*
Tessinermassiv, Tektonik BB XXVI *561*
Testudo Beadnelli u. Isis, Tertiär, Fayum . . . 07 II 316
— campester, Emiliae, Farri, impensa, pansa, Thomsoni und vaga, Nordamerika . . . . 09 I 452
— exornata, Oligocän, Canada . . . . . 06 II 137
Tetracanthellipsis euganeus, Scaglia, Euganeen . . . . . 06 I 475
Tetracarcinus subquadratus, Kreide, Cliffwood, N. J. . . . . 07 II 132
Tetraceratops, Perm, Texas . . . . . 08 I 285
Tetracerus Kroesenii, Kendeng-Schichten, Java . . . . . 09 I 118
Tetracha carolina, balt. Bernstein . . . . . 07 I 323
Tetradymit, Rußland, Goldlagerstätten, chem. 09 II 332
Tetraederform der Erde 09 I 367
Tetraedrit, siehe Fahlerz.
Tetragonal-bisphenoidische Kristallisation bei $2\,CaO.Al_2O_3.SiO_2$. 08 I 161
Tetragonites jacksonense, Kreide, Kalifornien . 06 I 288
— popetensis, Kreide, Hokkaido . . . . . 05 I 530
Tetramorphismus und natürliches Vorkommen von $MgSiO_3$ . . . . 08 I 18
Tetranthera lybica, Eocän, Fayum . . . . 1909 I 308
Tetraphenylenbernsteinsäuremethylester, Kristalle . . . . . 07 I *103*
Tetrapoden, Wirbelsäule 09 II 110
Teutoburger Wald
— Alter . . . . . CBl 1909 *76. 270*
— Geologie . . . . . 05 II 258
— Profil . . . . . 09 II 254
— Geologie zw. Borgholzhausen u. Hilter. 06 II 417
— — bei Iburg . . . . 06 II 419
— Muschelkalkgerölle im Serpulit . . . . . 06 II 86
— Kreide bei Lengerich 09 II 253
— südl. Osnabrück, Geologie . . . . . 1909 II 247. 249
— Osning-Bergketten, unteres Angoumien . 06 II 102
Teutomanis Quenstedti, Tertiär, Solnhofen. . 07 I 463
Texas
— Koprolithen d. Perm 07 I 319
— Kreide, Ammoniten . 06 I 313
— — Mollusken u. Korallen etc. des Buda limestone . . . . . 06 I 308
— Oelfelder . . . . . 06 II 383
— Perm . . . . . 08 I 257
— — Invertebraten . . CBl 1908 *684*
— Quecksilbererze . . . 07 II 80
— Tertiär, Süßwasserbildungen im Nordwest . . . . . 05 II 438
Textivenus Hupfeldi, ? Eocän, Dahome . . 06 II 117
Textularia crater, Unteroolith, West-Australien . . . . . 05 II 151
— gibbosa, Dimorphismus . . . . . 07 I 330
— intermedia (Spiroplecta), Rupelton, Mainzer Becken. . . 09 II 324
Textularidea, Textularia, Globigerinenmergel, Bahna, Rumän. Karpathen . . . . . 09 II *153*
Textulariden, Systematik BB XXV *233*
Textularien
— Miocän, Italien . . . 05 II 156
— Oligocän, Oberitalien und Südtirol . . . . . 05 II 156
Textulariidae, System d. lebenden und fossilen 05 II 328

Textur, Eruptivgesteine . 1908 II 350
Texturen kristallinischer Schiefer . . . . . 05 I 67
Thaba Sinduna Series, Rhodesia . . . . . 05 II 268
Thaingen, Knochenreste im Keßlerloch . . . 05 II 124
Thalamophoren . . . . 09 II 151
Thalassocetus antwerpiensis, Boldérien, Antwerpen . . . . . 07 I 134
Thalassochelys libyca, Aegypten . . . . . 06 I 153
Thalattosaurus Alexandrae, Trias, Kalifornien . . . . . 06 I 150
Thalenit, Åskagen, Wermland . . . . . 07 II 26
Thalliumformiat z. Trennung von Mineralien 08 II 2
Thallo-, Cupro-, Blei- und Silberhalogene, Mischkristalle aus Schmelzfluß . . . . . BB XXII *1*
Thamnastraea grassa und profunda, Trias, Kotel, Bulgarien . . . . CBl 1905 *482*
— sp., Mittellias, Epirus BB XXI *297*
Thamniscus poritidus, sevillensis und tenuiramus, karn. Fusulinenkalk . . . . . 06 II *150*
Thanétien
— Pariser Becken . . . 06 II 116
— und Landénien, Bedeutung . . . . . 06 I 116
Thaphroophys dares, Nordamerika . . . . 09 I 452
Thaumopteris Schenki, mittl. Rhät, Schweden 08 I 147
Theca, Devon, Ostthüringen . . . . . BB XXIV *300*
Thecidea parca, mittl. Lias, Schwaben . . . 06 I 468
Thecodontosaurus antiquus und cylindrodon 09 I 287
— Elizae, Infralias, Provenchères-sur-Meuse . 08 II 438
— primus, latespinatus, Hermannianus und ? subcylindrodon, Muschelkalk bis Keuper 09 I 288
Thecosmilia sp., Mittellias, Epirus . . . . . BB XXI *297*
Thecosphaera Saccoi, Miocän, Italien . . . 09 II 490
Themse-Alluvium . . . 1905 I 481
Thenardit, Tschad-See . 07 I 41
Thenaropus (?) McNaughtoni, Carbon, Joggins, N. S. . . . . 05 I 340
Theocampe subtilis, Scaglia, Euganeen . . . . 06 I 475
Theocapsa costata, minima, naticoides und regularis, Kreide, Euganeen . . . . . 06 I 474
Theoconus coronatus, macroporus und simplex, Kreide, Euganeen . . . . . 06 I 474
— cretaceus, Scaglia, Euganeen . . . . . 06 I 475
Theocorys antiqua, euganea u. fossilis, Scaglia, Euganeen . . . . 06 I 475
— brevicornis, De Stefanii u. italica, Miocän, Italien . . . . . 09 II 490
— spinosa, Kreide, Euganeen . . . . . 06 I 474
Theocystis parvula, Kreide, Euganeen . . . . 06 I 474
Theodiscus horridus, minimus, Paronai und parvus, Scaglia, Euganeen . . . . . 06 I 475
— triangularis, Kreide, Euganeen . . . . . 06 I 474
Theodolithgoniometer, dreikreisige . . . . . 06 I 159
Theodosius, sieheNeritina.
Theosodon, Patagonien, Extremitäten . . . . 07 II 139
Theosyringium pulchrum, Kreide, Euganeen . . 06 I 474
Theralith
— Ampasindava (Madagaskar) . . . . . 05 I 436
— Duppau, Böhmen . . 05 II 55
— Katzenbuckel . . . . 08 II 355
Theralith-Essexit-Reihe und Diabase der deutschen Mittelgebirge . 09 I 56
Theralitisch-foyaitische Gesteine, Tasmanien . 08 I 388
Theralitische Gesteine, Argentinien . . . . . BB XXII 614
Thereodontierschädel . . 07 I 140
Theridomys siderolithicus, Frohnstetten, Bohnerze . . . . . 08 I 127

Theriodontia, Unterschiede von Therocephalia 1907 I 143
— Südafrika . . . . . 07 I 142
— u. Verwandte, Klassifikation . . . . . 07 I 478
Thermalquellen
— Beziehung zum Vulkanismus . . . . . 08 II 69
— Frankreich, oberflächliche . . . . . 08 II 68
Thermalwirkung, postvulkanische, Skye . . 06 II 65
Thermen
— Radiumemanation . . 07 II 53
— seltene Gase . . . . 08 I 364
— Baden bei Zürich . . 09 I 83
— Cauterets, Pyrenäen, Zerstreuung elektr. Ladungen . . . . . 07 II 53
— Gleichenberg, Steiermark . . . . . 06 I 408
— Mitterndorf im steir. Salzkammergut . . . 05 II 398
— Radein . . . . . 08 I 366
— Tor (Sinai) . . . . . 07 II 426
— Torrite di Garfagnana 05 I 53
— Vöslau . . . . . 08 I 368
— siehe Quellen, Mineralquellen etc.
Thermische Tiefenstufe
— beeinflußt durch polymerisierendes Erdöl . CBl 1908 *271*
— Bassin der Straße von Calais . . . . . 09 I 44
Thermochroitische Dispersion der Kristalle 08 I 163
Thermodynamik, Eigenschaften der Kristalle vom Standpunkt der 1907 I 183. 184
Thermodynamische Kristalleigenschaften . . 05 II 169
Thermodynamische Theorie der Kristalle CBl 1907 *711. 737*
Thermometamorphose
— der Gesteine . . . . 06 I 47
— u. Sammelkristallisation . . . . . 09 II 160
Thermonatrit, Vesuv, von 1906 . . . . . 08 I 209
Therocephalia
— Beziehungen der Gattungen und Phylogenie . . . . . 09 II 127
— Systematik . . . . . 07 I 479
— Unterschiede von Theriodontia . . . . . 07 I 143
Therocephalus-ähnl. Reptilien, unt. Karu beds, Südafrika . . . . . 1909 II 126
Theromore Ordnungen d. Theriodontier . . . . . 07 I 479
Theropleura, Texas . . . 08 I 291
Theropoden
— Ursprung . . . . . 09 I 291
— Verhältnis zu Orthopoden . . . . . 09 I 290
— — zu Sauropoden . . 09 I 289
Thescelus insiliens und rapiens, Nordamerika 09 I 452
Thetis schaumburgensis, Kreide, Schaumburg-Lippe'sche Mulde . . 06 I 441
Tian-Schan, Bau . . . . 07 I 224
Thibetites bhotensis, tibetan. Klippen des Zentral-Himalaya . . 08 II 414
Thiede bei Wolfenbüttel, Mollusken des Löß . 05 I 309
Thinnfeldia Mc Coyi, Trias—Jura, Victoria (Australien) . . . . 08 I 150
— marylandica . . . . 07 II 506
— reticulata . . . . . 07 II 500
— sphenopteroides, Rhät, Südafrika . . . . . 08 I 454
Thinohyus decedens und Osmondi (Bothrolabis), John Day series . . 07 I 304
— siouxensis, Miocän, Oregon . . . . . 07 I 302
Thinolithähnliche Pseudomorphosen, Sachalin 08 II 334
Thisbites Campbelli und Ronaldshayi, Tropites-limestone, Byans . 08 II 236
Thoatherium, Patagonien, Extremitäten . . . . 07 II 139
Thomashuxleya, Kreide, Patagonien . . . . . 05 I 168
Thomsonit
— Kontraktionsfiguren bei Behandlung mit Säuren . . . . . 08 I 336
— Erythraea (Sciket) . 08 II 36
— Färöer . . . . . 09 I 29
— Fellberg in Petersdorf bei Zöptau (Mähren) CBl 1905 *613*
— Grönland, Ost-, im Basalt . . . . . 06 II 183
— Kaden (Böhmen) und Pufler Loch (Seiser Alp), Glühverlust . . 06 I *25*

Thomsonit
— Krebshöhe b. Schönpriesen, Böhm. Mittelgebirge . . . . . CBl 1909 *159*
— Montecatini, Toscana 1907 II 40
— Table Mount bei Golden, Col., Rolle des Wassers . . . . . 06 II 338
— u. Substitutionsderivate . . . . . 06 II 337
Thor-haltige Mineralien, Ceylon . . . . . 1905 II 353 ff.
Thoracotherium, Santa Cruz-Schichten = Proëutatus . . . . . 05 I 500
Thorianit
— chem. und Synthese . 09 I 338
— photographische Wirkung . . . . . CBl 1909 *148*
— = Uraninit, Balangoda-Distrikt, Ceylon . 06 I 165
— Ceylon . . . . . 05 II 353
— Galle, Ceylon . . . . 07 I 198
Thorit
— Arendal, photograph. Wirkung . . . . . CBl 1909 *148*
— Ceylon . . . . . 05 II 355
— Kragerö (Lindvikskollen) . . . . . 08 I 193
Thorn—Eberswalder Haupttal, Beziehung zur baltischen Endmoräne . . . . . 06 II 435
Thoro-Gummit, Llano County, Texas . . . 07 I 42
Thracia wuriana, ?Eocän, Kamerun . . . . . 06 II 123
— Zitteli, Cenoman, Aegypten . . . . . 05 II 285
Thüringen
— Glazialbildungen . 1908 II 96 ff.
— Kupferschiefer, Beziehung der Erzführg. zu Rücken . . . . . CBl 1906 243
— Porphyroide . . . BB XXVII *326*
— Vereisung und Saaleschotter . . . . . CBl 1907 *59*
— Naumburg, oberste Saaleterrasse . . . . CBl 1907 *214*
— nordwestliches, Trias und Diluvium . . . 05 II 447
— östliches, Paläozoicum BB XXIV *221*
— — Phosphoritknollen im untersten Culm . BB XXII *48*
— — Verbreitung von Gervillia Murchisoni . CBl 1909 *12*
Thüringen
— Saaleschotter und Vereisung . . . . . CBl 1907 *59*
— siehe auch Mansfeld, Quartär etc.
Thuites borealis, carinatus, lamelliformis u. succineus, Bernstein, Ostpreußen . . . . . 1909 I 307
Thuringit
— Gobitschau b. Sternberg (Mähren) . . . CBl 1905 *196*
— mährisch-schlesische Schalsteinformation, z. T. pseudom. nach Kalkspat . . . . . CBl 1906 *297*
Thuringit-Magnetitlager, Christdorf, Mähren . CBl 1907 *321*
Thylacynidae, Thylacinus, Santacruzeno, Patagonien . . . . . 07 I 306
Thyrsidium, Carbon, Linton . . . . . 08 II 270
Thyrsopteris Ahnerti, Jura, Mandschurei . 09 I 463
Tian-Schan
— Fauna des untercarb. Transgressionsmeers . BB XXVI *213*
— Geologie, Berichtigungen . . . . . CBl 1907 *271*
— — des östlichen . . . 06 I 97
— — des südlichen . . BB XXII *266*
— Gesteine . . . . . 05 II 68
— — des Musarttals . . 09 I 224
Tibet
— Glazialerscheinungen am Pangong-See . . 08 II 342
— und Thao-Tal, Geologie nach Futterer 09 II 260
Tibetanische Klippen des Zentral-Himalaya, Fauna von Untertrias und Lias . . . . . 08 II 412
Tiefengesteine
— Auftreten . . . . . 07 II 49
— mikrosk. Physiographie . . . . . CBl 1907 592
— Argentinien . . . BB XXII *605. 624*
Tiefenstufe, geothermische
— beeinflußt durch Berge, Täler etc. . . . . 08 I 211
— normale und anomale Werte . . . . . CBl 1907 *673*
— Bassin der Straße von Calais . . . . . 09 I 44
— siehe auch Geoisothermen.

Tiefsee, Zeit der ersten Anlage . . . . . BB XXV *391*
Tiefseeablagerungen
— Definition . . . . . BB XXV *367*
— Kalkschalen . . . . 1905 I 425
Tiefseeabsätze, Alpen, geologische Bedeutung 06 II 86
Tiefseeforschung
— dänische Ingolfexpedition, nordatlant. Ozean . . . . . 05 I 421
— Sedimentbildung am heutigen Meeresboden 05 I 424
Tiefseeproben, grönländ. Ingolfexpedition . . . 05 I 421
Tiefseeradiolarien . . . . 09 I 298
Tiefseeschlamm, chemisch 08 I 361
Tiefseeton
— grauer, Island gegen Grönland . . . . . 05 I 421
— oligocäner, Südbayern CBl 1906 576
— roter, der Challenger-Expedition, Analyse . 09 II 209
Tierwelt, Umbildung . . 09 II 311
Tigererz, Schwarzer Berg bei Türnitz, Niederösterreich . . . . . 06 II 174
Tigerschädel . . . . . 07 I 301
Tilait, Ural, nördlicher . 06 I 386
Tillodontia, Zahnsystem . 05 II 463
— Patagonien . . . . . 05 II 467
Timan und Ural, Obercarbon, Brachiopoden und Einteilung . . . 05 I 531
Timanfaya (Lanzarote), Tätigkeit . . . . . 09 I 363
Timor
— Geologie . . . . . 09 I 251
— jüngeres Paläozoicum und Jura . . . . . BB XXV *293*
— mesozoisches Land u. Meer . . . . . 07 I *109*
— Portugiesisch-, Geologie BB XXII *403* BB XXIV *161. 460*
siehe auch Indien, Niederländisch.
Timor-Archipel, Geologie, Triasablagerungen . . . BB XXIV *161*
Timorella permica, Perm, Timor . . . . . CBl 1909 *695*
Tinguait
— Ampasindava (Madagaskar) . . . . . 05 I 438
— Brome Mountain, Monteregian Hills, Quebec . . . . . 07 I 241
Tinguait
— Kamerun . . . . . 1909 II 74
— Katzenbuckel . . . . 08 II 356
— Kuolajärvi, Finnland 07 I 69
— Monteregian Hills, Quebec . . . . . 09 I 68
— Neuseeland, Otago-Halbinsel . . . . . 08 I 231
— Tasmanien . . . . . 08 I 392
Tinguaitporphyr
— Highwood Mountains, Montana . . . . . 06 II 373
— Monzoni u. Predazzo, chemische Zusammensetzung . . . . . 06 I 65
Tinkal, Auftreten . . . 08 II 159
Tirol
— Dolomite, Entstehung 06 II 206
— — des südlichen . . 06 II 246
— Eruptivgesteine und Tuffe des südlichen . 05 II 63
— Geologie der Ortler u. Laaser Gruppe . . 1909 I 379. 380
— — des südlichen . . 06 II *1*
— Mineralien . . . . . CBl 1905 218
— siehe auch Alpen, Tertiär etc.
Tirolit, Markirch . . . . 09 I 24
Tirolites pacificus, mittl. Trias, Inyo Range . 06 II 305
Tissotia Fourneli, Senon, Mittel-Peru . . . . . BB XXIV *123*
— globosa, Kreide . . . 07 II 148
— latelobata und polygona, Mungokalk, Kamerun . . . . . 05 I 153
— Weteringi, Asphaltschiefer Bara-Bai (Buru), Molukken . . . BB XXII *687*
Titan
— Bestimmung in Gesteinen . . . . . 06 I 5
— Rolle in der Geologie 07 II 240
— Verdampfung und Sonnentemperatur . . 08 I 211
Titanate u. Titanoniobate, Südnorwegen, Granitpegmatitgänge . . . 08 I 336
Titaneisen
— Beziehung zu Geikielith . . . . . CBl 1906 157
— Zusammensetzung u. Achsenverhältnis . . 06 I 17
— Kaukasus, im Monazitsand . . . . . 05 I 386
— Nordost-Rhodesia . . 07 I 80

Titaneisen
— Sundsvale (Schweden), im Syenit . . . . . 1905 I 384
— siehe auch Ilmenit, Menaccanit u. Titanmagneteisen.
Titaneisengruppe, Ceylon, Edelsteinsande . . . 07 II 18
Titanit
— Konstitution . . . . 07 II 28
— Kristallform . . . . 09 II 24
— Belknap Mountains, New Hampshire, Entstehung aus Hornblende . . . . . 08 I 381
— Biella, Piemont, im Syenit . . . . . 06 II 37
— Campolongo . . . . 05 I 202
— Ceylon, Sphen . . . 06 I 181
— Finkenberg b. Bonn, im Basalt . . . . . CBl 1908 *422*
— Kragerö, Kristalle . . 05 II 182
— — Lindvikskollen . . 08 I 193
— Ottawa bei Pisek, im Goldsand . . . . . 05 I 366
— S. Fedelino am Comer See, im Granit . . . 07 II 35
— Skaatö bei Kragerö . 05 I 188
— Somerville, Mass. . . 07 II 381
Titanmagneteisen
— Laramie Range, Wyoming, im Anorthosit . 07 I 76
— siehe Titaneisen und Magneteisen.
Titanolivin, Chiesa, Val Malenco . . . . . 05 II 25
Titanosuchidae, Systematik . . . . . 07 I 479
Titanosuchus (?) ferox, Südafrika . . . . . 07 I 318
Tithon
— Aranyos-Gruppe, Siebenbürg. Erzgebirge . 06 I 263
— Mähren . . . . . 07 II 286
— Montenegro . . . . . 07 II 107
Tithonklippen, Niederfellabrunn . . . . . 06 I 439
Tjabrak, Lappland, Eisenerzlagerstätte . . . . BB XXIV *549*
Tjavelk, Lappland, Eisenerzlagerstätten . . . BB XXIV *665*
Tmetoceras Katzeri, Lias, Vareš (Bosnien) 05 I 465
—(?) Sutneri var. epirotica, Jura, Vigläskalke, Epirus . . . . BB XXI *290*
Tobermorit, Färöer . . . 1909 I 29
Toce-Tal, oberhalb Domodossola, Geologie . . 05 II 223
Tochi River-Tal, ind.-afghan. Grenze, Neocom . . . . . 05 I 349
Tolfa, Kontaktgesteine mit Granat . . . . . 06 I 375
Tolypeceras, Kreide . . . 07 II 149
Tomicosaurus, Perm . . 08 I 297
Tomistoma africanum, Aegypten . . . . . 06 I 153
Ton
— Aenderung des Gefüges durch Hitze . . 08 II 30
— durch Blitz magnetisiert . . . . . 07 II 389
— Durchdringbarkeit d. Wasser . . . . . 05 I 265
— gefärbt durch organ. Farbstoffe . . . . BB XXVIII *375*
— kolloidaler . . . CBl 1909 *332. 336*
— Mittel zur Klärung von Wasser . . . . 08 II 177
— physikalische Eigenschaften . . . . . CBl 1906 *33*
— Plastizität . . . . . 08 II 217
— des Tiefseeschlamms 08 I 361
— Atlant. Ozean, nördl., Grundproben von grauem, rotem und schwarzem von der Ingolfexpedition . . 1905 I 421. 425
— Cantal, Frankreich, permanenter Magnetismus in einem durch Basalt veränderten . 07 II 389
— England, Analyse des London Clay . . . . . 08 II 406
— Iowa . . . . . 06 I 240
— Oesterr.-Schlesien, Anal. 05 I 200
— Vereinigte Staaten . . 06 I 239
— Wyoming, durch Kohlenbrände verändert . . 07 I 244
— u. Tonschiefer, Amerika, Zusammensetzg. und Dynamometamorphose . . . . . 06 II 215
Tonale—Bormio, Kartenblatt . . . . . 08 II 65
Tonalit
— Adamello, Geologie . 06 II 237
— Ecuador, Ostkordillere 06 I 398
— Presanellagruppe . . 08 II 362
Tonalitgneis, Brixener Masse . . . . . 05 II 380

Tonerde, fasrige . . . . 1908 II 170
Tonerdedoppelsilikate durch Schmelzen . . 09 I 183
Tonerdegel, gemengt mit Kieselsäuregel, Beziehung zu Allophan etc. . . . . CBl 1908 *622. 661*
Tonerdekieselsäuregele CBl 1909 *331. 332. 333*
Tonerdephosphat, aus vulkan. Gesteinen umgewandelt . . . . . 08 I 228
Tonga-Steine, spez. Gewicht . . . . . 08 I 8
Tonlager
— Aufsuchen und Bewerten . . . . . CBl 1904 410
— Nord-Dakota . . . . 09 II 244
— Ober-Elsaß . . . . . 09 II 244
— Westerwald . . . . . 09 II 244
Tonostylops, Kreide, Patagonien . . . . . 05 I 168
Tonschiefer
— Ecuador, Ostkordillere . . . . . 06 I 398
— Nordamerika . . . . 08 II 377
— siehe auch Dachschiefer.
Tonschieferhornfels, Resorptionserscheinungen an Einschlüssen im Brockengranit . . . 09 I 55
Topas
— Ableitung des Formsystems aus Akzessorien . . . . . 06 I 341
— chem. Konstitution . 05 I 37
— Färbung durch Radium . . . . . 07 II 171
— — und deren Veränderung . . . . . BB XXVI *291*
— Kristallflächen . . . 06 I 2
— Adun-Tschilon, Krist. 05 II 192
— Colorado . . . . . 07 II 355
— Emmaville u. Oban, N.-S.-Wales, kristallographisch u. optisch. 06 I 359
— Epprechtstein (Fichtelgebirge) . . . . . CBl 1908 *370*
— Greifenstein b. Ehrenfriedersdorf . . . . . CBl 1908 *367*
— Kalifornien, S. Diego County, Edelstein . . 07 II 42
— Mursinka, mit Einschlüssen . . . . . CBl 1906 349
— Pobershau b. Zöblitz CBl 1908 *370*
Topas
— Schlaggenwald . . . 1905 I 199
— Schmiedeberg (Riesengeb.), im Granit . CBl 1909 *771*
— Striegau . . . . . CBl 1909 *438*
— Tanokamiyama, Japan, natürliche Aetzfiguren . . . . . 07 I 207
Topfstein, Syra . . . . 09 II 225
Topische Achsen
— historisch . . . . . 08 II 146
— und Parameter der Alkalisulfate u. -selenate 07 I 5
Topische Zahl
— Bedeutung . . . . . CBl 1907 *438*
— bei Eruptivgesteinen CBl 1907 *5*
Torcula bicorrolata und sulcatocarinata, Hypersenon, Peterwardeiner Gebirge . . . . . 06 II 267
— Morgani, Senon, Südpersien . . . . . 06 I 444
Toretocnemus californicus, ob. Trias, Winthrop, Shasta Co., Cal. 06 I 150
Torf
— Arten der norddeutschen Moore . . . . 08 II 409
— Umwandlung in Kohle 08 I 86
— Nordfriesland, untermeerische . . . . . 05 I *15*
Torfajökull, Vulkane östl. von, Island . . . . . BB XXVI *4*
Torfschwein, neolithische Fauna bes. am Mittelrhein . . . . . 06 II 440
Tornatina Peroni = Retusa tenuistriata, Kreide, Orgon (Bouches-du-Rhône) . . . . . 06 I 318
Torneträsk, Schweden, Geologie . . . . . 05 II 100
Tornoceras bilobatum, dorsatum, Kochi, planidorsatum, Sandbergeri u. var. dillensis, undulatum und Weissi, ob. Oberdevon, Enkeberg . . . . . BB XXVI *577*
Tornquistites evolutus, Subbullatus-Schichten, Kalifornien 1906 . . 06 II 300
Torrite di Garfagnana, Thermalwasser . . . 05 I 53
Torsion bei Kristallfasern 1908 I 315. 316

Tortisipho Huftieri, Lutétien, Avesnois . . . 1905 II 119
Torynocrinus, Körperform Festband *281*
Toscana, Minerallagerstätten . . . . . 07 II 37
Totalreflektometer, Gefäß-, in Verbindung mit Babinet'schem Goniometer . . . . . 09 I 156
Totalreflexion, Polarisation der Grenzkurven 05 I 184
Totmegyer, Ungarn, Geol. 07 I 276
Totsen series, Endicott-Kette, nördl. Alaska 06 I 92
Tourtia, Lüneburg . . . CBl 1909 *759*
Toxaster amplus (retusus), Jura . . . . . 05 II 149
— ribamarensis, Kreide, Portugal . . . . . 07 II 154
Toxochelys elkader, Nordamerika . . . . . 09 I 452
Toxodon, Zahnformel . . 07 II 134
Toxodontia, Zahnsystem 05 II 460
Tracheliodes mortuellus, Tertiär, Florissant, Colorado . . . . . 07 I 321
Trachemys Jarmani, sculpta und trulla, Nordamerika . . . . . 09 I 452
Trachodon (Pteropelyx) altidens, marginatus und Selwyni, Belly river series, Red Deer river, Nordamerika . 07 I 439
Trachyceras, Trias, Amerika . . . . . 06 II 305
— acutocostatum, Aon u. orientale (Eremites), Cassianer Schichten, Epidauros (Argolis) Festband *11. 13*
— aonoides var. fissinodosa, furcatum (Protrachyceras) u. Hecubae, Aonoides-Schichten, Epidauros (Argolis) . . . . . Festband *27*
Trachydiabas, Dill und Lahn . . . . . BB XXVII *297*
Trachydolerit
— Dunedin, Südinsel v. Neu-Seeland . . . . 07 II 78
— Löwenburg, Siebengebirge . . . . . BB XXIII *427*
Trachynautilus minuens, ladin. Stufe, Dobrudscha . . . . . 08 I 419
Trachypleuraspidites Griffithi u. Massoni, Tropites-limestone, Byans 1908 II 237
Trachyt
— Antarktis, Phonolith- 09 II 76
— Argentinien . . . . . BB XXII *577*
— Batakländer (Sumatra) . . . . . BB XXVII *433*
— Böhmen, zw. Böhm.-Kamnitz u. Kreibitz 06 II 357
— — Mšeno . . . . . 07 I 61
— — Tepler Hochland . 06 II 353
— Cabras-Insel, in Aluminiumphosphat umgewandelt . . . . . 08 I 227
— Corsica, Osani, Hypersthen- . . . . . 07 II 405
— Euganeen . . . . . 08 II 203
— Gleichenberg, Steiermark . . . . . 06 I 408
— Grionnot (Cantal), Randfazies . . . . . 09 II 228
— Hawaii-Insel, Hualalai-Berg, und Trachytobsidian . . . . . 06 II 221
— Neuseeland, Otago-Halbinsel . . . . . 08 I 232
— Odenwald, nördlichster 1907 I 57 08 II 194
— Skye, Lava und Tuff 06 II 65
— Spanien, Fortuna, Provinz Marcia . . . . 07 II 407
— Sudan, Nosean- . . . 06 I 391
— Teneriffa, Pico de Teyde, Sodalith- . . . . CBl 1909 *393*
Trachyt-Andesit, Highwood Mountains, Montana . . . . . 06 II 374
Trachytbreccien, Mont-Dore, vergl. mit Vesuv 1906 . . . . . 08 I 42
Trachyt-Liparit, Piatigorsk, Kaukasus . . 07 I 235
Trachytobsidian, Hawaii 06 II 221
Trachytoide Gesteine, Monte Ferru, Sardinien . . . . . 09 II 227
Trachyt-Tephrit, Argentinien . . . . . BB XXII 614
Trachyttuffe, Monte Ferru, Sardinien . . . . BB XXI *29*
Trachytvulkan, Monte Ferru, Sardinien . . BB XXI *16*
Trägheitsellipsoid d. krist. Substanzen ist das Syngonieellipsoid . . 07 I 1

Transgressionen
— ob. Devon und Culm. varisk. Faltenhorste Deutschlands und der unt. Kreide der helvet. Kalkalpen . . . BB XXV *409*
— der Meere . . . . . BB XXV *366*
— scheinbare und wirkliche, südl. Hannover 1908 II 78
— Brüssel, im Tertiär . 06 II 428
— westlich der Ems, im Wealden . . . . . 07 I 434
— Westfalen, im jüngsten Jura und in der Kreide . . . . . 06 II 86
Transpithecus, Kreide, Argentinien . . . . . 05 I 167
Transporteur
— zur Bestimmung der Indizes . . . . . 05 I 4
— für stereogr. u. gnomon. Projektionen . CBl 1908 312
Transsylvanites Semseyi, ob. Kreide, Alvincz . 05 I 302
Transvaal
— älteste Sedimente im nördlichen, Swazi-Schichten . . . . . 06 I 269
— Eruptivgesteine . . . 07 I 394
— Geologie des Vredefort Mountain-Landes 06 I 99
— — u. Goldlagerstätten d. Murchison Range . 07 I 257
— Gesteine bei Lydenburg . . . . . 07 I 235
— Nephelinsyenit im Buschveld . . . . . 06 I 68
— Witwatersrand-Schichten, Beziehung zum „alten Granit" u. Ausdehnung . . . . . 06 I 269
Traskites robustus, Trias, Amerika . . . . . 06 II 306
Travertin, Weimar . . . CBl 1908 *197*
— siehe Tuff und Kalktuff.
Trechmannit, Binnental 1906 II 30 08 I 205 1909 I 172 CBl 1905 283. 752
Trematis multistriata, Untersilur, Haverford-west District . . . . 06 II 140
Trematophore Milioliden 07 I 158
Tremolaserie der krist. Schiefer, St. Gotthard (Südseite) . . . . BB XXVII *157*
Tremolit
— Rolle des Wassers . . 1909 II 17
— Zusammensetzung . . 08 II 22
— Aranzazu, Zacatecas, Mexiko . . . . . BB XXVIII *551*
— Bisbee Quadrangle, Arizona, Gangmineral 06 I 175
— Campolongo, Tessin 1905 I 202 BB XXVI *559*
— Hroby bei Tabor, Böhmen . . . . . 09 II 366
— Korea . . . . . 08 II 333
— Lessachtal im Lungau (Steiermark) . . . . CBl 1908 *282*
— Slatoust . . . . . 09 II 17
Tremolitasbest, Nordamerika . . . . . 05 I 209
Tremolitgestein, Spitzbergen . . . . . 08 II 370
Trennung von Mineralien
— schwere Flüssigkeiten 08 II 2
— nach spezif. Gewicht, Apparat . . . . . 06 I 160
Trennungsapparat
— Harada's und Verbesserung . . . . . CBl 1905 *152*
— mittels spez. Gewicht 07 I 227
— für schwere Lösungen CBl 1906 *475*
Triarthrus Beckii u. jemtlandicus, Jemtland . 06 II 298
Trias
— Buntsandsteinmeer . CBl 1909 *54*
— Coniferen . . . . . 08 I 150
— Cycadophyten . . . 08 II 448
— Dinosaurier . . . . . 09 I 286
— Glossopteris-Flora 1908 I 152. 454
— Grenze gegen Perm . 06 I *52*
— Ichthyosauria, Literatur . . . . . 06 I 150
— in der Lethaea geognostica . . . . . 05 I 290
— Mytilus eduliformis . CBl 1905 *705*
— Adulagebirge, nordöstliches . . . . . CBl 1907 *342*
— Alaska, pazif. Küste . 09 I 398
— — und Cook Inlet . 07 I 277
— Albanien, untere . . 08 II 399
— Alpen, Lückenhaftigkeit des Hallstätter Kalks . . . . . BB XXV *416*
— — Lunzer Schichten, Marattiaceenarten nach D. Stur . . . . . 09 I 464
— — Antirhätikon . . . 08 I 251
— — Gaisberg bei Kirchberg, Tirol . . . . . 09 I 97

Trias
— Alpen, Göstling u. Wildalpen, Lunzer Schichten . . . . . 1909 I 415
— — zw. Hinterrhein u. Saffiental . . . . . CBl 1908 *723*
— — Hornfluh, Berner Voralpen . . . . . 07 I 100
— — Kärnten, Forni di Sopra, Korallen . . . 07 I 486
— — — Raibl . . . . 07 I 273
— — Kampenwand bei Aschau, Stegocephale aus den ob. Raibler Schichten . . . . . CBl 1906 *568*
— — Krain, zw. Bača-Tal u. Wocheiner Save 05 I 449
— — Lienzer Dolomiten 05 I 287
— — Lischannagruppe, Engadin . . . . . 07 I 96
— — Oberengadin . . . 08 II 226
— — Oberlaibach, kohlenführende Raibler Schichten . . . . . 07 II 122
— — österreichische . . 09 I 411 ff.
— — Ost- . . . . . 06 II 233
— — Rhätikon, östl. . . 09 I 89
— — Rubly-Massiv, Gyroporellen . . . . . 08 II 400
— — Schwe z, Rhätdecke der Berner, Freiburger u. Waadtländer . . . 09 II 92
— — Seiser Alp, Brachiopoden der Pachycardientuffe . . . . . 05 I 179
— — — — Gastropoden der Pachycardientuffe CBl 1905 *176*
— — — — Lamellibr. der Pachycardientuffe 07 II 335
— — Simplongebiet, Grünschiefer . . . . 09 I 59
— — Südtirol, Werfener Schichten, vergl. mit den Schichten von Wladiwostok . . . . CBl 1908 *67*
— — Tirol, Werfener Schichten d. südlichen, Fossilien . . . . . 08 I *16*
— — West- . . . . . 07 II 441
— — Zillertaler . . . . 07 II 432
— Amerika, Cephalopoden 06 II 298
— — Ichthyosaurier . . 09 I 445
— — westliches 1907 II 285 08 I 259
— Argentinien, Vorkordillere, Rhät . . . . 05 II 271

Trias
— Arizona . . . . . 1907 II 502
— — Ichthyosaurier der oberen . . . . . 06 I 150
— Asien, in der Lethaea 06 I 410
— Balkanhalbinsel, südwestliche . . . . . BB XXI *220*
— Bäreninsel, Fauna der oberen . . . . . 05 II 110
— Basel, Neue Welt, Keuperflora . . . . . 07 I 492
— Bayern, Keuperholz, vergl. mit Liasholz . 09 I 467
— — Bayreuth, Muschelkalkfauna . . . . . 09 I 131
— Bayrischer Wald, Westrand . . . . . BB XXI *472 ff.*
— Bentheim—Isterberger Sattel . . . . . 09 I 410
— Bithynische Halbinsel CBl 1909 *656*
— Bosnien u. Herzegowina . . . . . 05 II 265
— Bulgarien (Kotel) . CBl 1905 *481*
— China . . . . . 05 II 298
— — Yün-nan etc., Pflanzen . . . . . 07 II 342
— Colorado, Cañon City, Hallopus beds . . . 08 I *134*
— Comer See . . . . . 06 I 423
— Dalmatien, Budna . 07 I 93
— — Cattaro . . . . . 05 II 94
— Dobrudscha, nördliche 08 I 418
— — Werfener Schiefer 08 II 399
— Ecuador, Ostkordillere 06 I 402
— Eggegebirge, östl. v., mit Kreidegräben . . 08 I 407
— Elfas, Homburgwald und Vogler . . . . . 05 II 259
— England, Basis des Keupers in Süd-, Devon 05 II 425
— — Rhätpflanzen . . 07 I 489
— — Zusammenstellung und Alter der Fossilien . . . . . CBl 1908 *9*
— — Devonshire und Midlands, Gerölle im Buntsandstein . . . 05 II 424
— Europa, Dinosaurier . 09 I 286
— Gerecse-Gebirge, Ungarn . . . . . CBl 1905 *392*
— Giffoni, Salernitaner Apennin, Mollusken . 06 I 108
— Griechenland . . . . 09 II 432
— — Daonellen u. Halobien . . . . . 06 I *27*
— — Korallen . . . . 09 II 484

Trias
— Griechenland, Hydra und Argolis . . . . BB XXV *443*
— — Argolis 1909 II 427 CBl 1906 *270* CBl 1909 *79. 84* BB XXV *443*
— — — Ammoniten des alpin. Muschelkalks in Epidaurus . . . . . CBl 1906 *271*
— — — Cephalopoden des Hallstätter Kalks in Epidaurus . . . . Festband *1*
— — — Trinodosuskalk CBl 1909 *79*
— — Asklepieiontal . . CBl 1909 *605*
— — Attika . . . . . 1909 II 430
— — Parnaßgebiet . . 09 II 429
— Haardtgebirge (Nordvogesen), Gliederung des Buntsandsteins . CBl 1905 *380*
— Halle a. S., Sporen im Buntsandstein (Makrosporen v. Pleuromeia?) 09 I 461
— Hannover, Keuper des südlichen . . . . . 08 II 82
— — Röt . . . . . 08 II 85
— — Osnabrück, Piesbergsattel . . . . . 09 II 251
— — südliches . . . 1907 II 95. 97
— — — u. Braunschweig, Wellenkalk . . . . . 08 II 84
— — Hildesheim . . . 08 II 79
— — — (Galgenberg u. Vorholz) . . . . . 07 I 419
— Himalaya, Faunen der tibetanischen Klippen 08 II 412
— — Fauna d. Tropites-limestone von Byans 08 II 235
— — Muschelkalkfauna 08 II 240
— — Otoceras beds CBl 1905 *1. 36*
— Idaho, Fische v. Aspen Ridge . . . . . 08 II 446
— Indischer Archipel, Land und Meer . . . 07 I *108*
— Kalifornien, Thalassosaurus Alexandrae . 06 I 150
— — Nevada und Arizona, Ichthyoperygia 1906 I 147. 150
— Kapland, Dicynodontier der Karruformation . . . . . 08 I *1*
— Karakorumpaß (Kleintibet), Heterastridien CBl 1907 *722*
— Kaukasus, nördlicher, obere . . . . . 07 II 284
— Kellerwald und Umgebung . . . . . 07 II 92
— Kotelny-Insel, Pflanzen 08 I 146

Trias
— Lutter am Barenberg und Lichtenberg in Braunschweig . . . . 1905 II 260
— Mediterrangebiet nach der Lethaea . . . . 06 I 416
— Molukken, obere CBl 1909 *561. 562*
— — u. Timorarchipel BB XXIV *161. 460* siehe auch Timor.
— Montenegro . . . . . 07 II 107
— — oberer Muschelkalk 07 I 431
— — Boljevici bei Vir, Cephalopoden des Muschelkalks . . . . 05 II 139
— — südliches, Werfener Schichten . . . . . 05 II 108
— — u. Albanien, obere 06 I 108
— Nagato, Japan, Rhät- und Keuperpflanzen . 07 II 341
— Neucaledonien 1905 II 273 09 I 105
— Neue Welt bei Basel, pflanzenführ. Schichten . . . . . CBl 1906 *1*
— Neuseeland, Nordinsel (Nelson etc.) . . . . 05 II 418
— — — (Nelson), Gerölle in Konglomeraten 09 I 104
— — Südinsel (Mt. Mary, Otago) . . . . . 05 II 424
— — — Wairoa . . . . 05 II 276
— Nevada, Cymbospondylus petrinus . . . 06 I 151
— New Jersey, Fische . 08 II 442
— — Kupfererzlagerstätten . . . . . 09 II 397
— Niederländisch-Indien, Radiolarien . . . . . 09 II 146
— Niederrhein, Rhät . . 07 I 414
— Nordamerika, Ausdehnung des Newark-Systems . . . . . 06 I 268
— — Flora . . . . . 1907 II 499. 502
— — marine Trias im westlichen . . . . . 06 II 98
— Norddeutschland, Oolith und Stromatolith im Buntsandstein . . 08 II 114
— Oberschlesien, Erzlagerstätten im Muschelkalk 06 II 74
— Peru, marine . . . . CBl 1909 *616*
— Porto Valtravaglia u. Mte. San Salvatore . 06 I 423
— Rhön, Muschelkalk . 09 I 424
— — Ostheim . . . . . 07 I 421

Trias
— Rotti u. Timor, ostind. Archipel . . . . CBl 1909 *355*
— Rüdersdorf, Saurichthyskiefer im Muschelkalk . . . . . CBl 1909 *54*
— Ruhrkohlenrevier . . 1907 I 412
— Sarajewo . . . . . 05 I 101
— Sardinien, Gliederung und Fauna . . . . . 05 I 128
— — Nurra . . . . . BB XXIII *437*
— Schwaben, Lagerung und Entstehung des Keupers im südlichen CBl 1909 *41*
— — Lettenkohle und Keuper CBl 1907 *19. 42* BB XXV *1*
— — Phytosaurusschädel CBl 1909 *583*
— — Pinna im Muschelkalk . . . . . CBl 1906 *114*
— — Zanclodonten . . CBl 1905 *10*
— — Eßlingen . . . . 07 II 256
— Schwarzwald, Buntsandstein u. Muschelkalk . . . . . 1909 II 410 ff.
— — Cer. antecedens u. die Abstammung der Nodosen . . . . . CBl 1907 *528*
— — Freudenstadt, Wellengebirge . . . . . 09 I 105
— Schweiz, Koblenz, Steinsalzbohrung . . 09 I 105
— Sezza, Distrikt Tolmezzo . . . . . 06 I 424
— Sibirien, Alter der Olenekschichten . . . CBl 1908 *233*
— Sizilien, Lagerung . . 09 II 94
— — westl., Cephalopoden der oberen . . . 05 I 342
— Solling, Buntsandstein 07 I 431
— Stabbarp (Schweden), Ginkgoales des Rhät 08 I 147
— Strangenberg bei Rufach, Oberelsaß . . . BB XXVI *83*
— Südamerika, keine marine . . . . . CBl 1909 *1*
— Süd-Ussuri-Gebiet . BB XXVII *523*
— Südwestdeutschland, Landpflanzen . . . . 08 I 151
— Teutoburger Wald . . 05 II 258
1906 II 418 09 II 248
— — — (Neuenheerse), Kohlen im Keuper . 07 I 417
— Thüringen . . . . . 06 II 230
— — Creuzburg, Schmalkalden etc. . . . . 08 I 88
— — Jena, Tektonik . BB XXI *92*

Trias
— Thüringen, Langensalza etc. . . . . CBl 1906 581
— — nordwestliches . . 1905 II 447
— — östliches, Verbreitung von Gervillia Murchisoni . . . . . CBl 1909 *12*
— — Sachsen-Meiningen 06 II 411
— Timor, Portugiesisch- BB XXIV *464*
— Toskana, karnische Fusulinen . . . . . 09 II 488
— Victoria (Australien), Pflanzen . . . . . 08 I 150
— Westfalen, Kohlenkeuper des östlichen . 08 II 82
— Wladiwostok . . . . 09 I *1*
— Zannone, Ponza . . 05 II 411
— siehe auch Permotrias.
Triboluminescenz der arsenigen Säure . . . . 07 I 18
Tribulaun, Geologie . . 07 II 435
Tricalciumpentaborat, Existenzgebiet u. Spaltung . . . . . 08 II 163
Tricalcytis major, Kreide, Long Island . . . . 07 I 495
Triceratops, montiertes Skelett . 1906 II 136 09 I 131
— Osteologie . . . . . 08 I 442
— brevicornis, Schädel . 09 I 132
— calicornis, Schädel . 09 I 131
— prorsus, aufgestelltes Skelett . . . . . 09 I 131
Trichiosomites obliviosus, Miocän, Florissant, Colorado . . . . . 08 II 112
Trichiten, fließend-kristallinische . . . . . 06 II 151
Trichites suprajurensis, Glandarienkalk, Syrien 06 I 279
Tricolocampe obtusicephala, Kreide, Euganeen . . . . . 06 I 474
Tricolocapsa inflata, Scaglia, Euganeen . . . . 06 I 475
— minima, oblonga, ovata und veneta, Kreide, Euganeen . . . . . 06 I 474
Triconodon, Zahnsystem 05 II 455
Triconodonta, Kreide, Patagonien . . . . . 05 I 169
Tridymit
— in Chalcedon u. Opal BB XXV *190*
— in feuerfesten Ziegeln aus Quarz . . . . . 09 II 14
— im getrübten Quarzglas 07 I 20

Tridymit
— künstl. Darstellung . 1908 I 180
— optisch . . . . . 08 I 185
— Silikatschmelzen CBl 1906 *662. 728*
— Umwandlung aus Quarz 08 I 181
— Verhältnis zu Quarz . 08 I 176
— und Quarz, Bildung in Silikatschmelzen . . CBl 1906 *728*
— — — Umwandlung . 06 II 45
— Ecuador, Bildung in vulkan. Gesteinen . . 05 II 76
— Kodaikanal-Meteorit . 05 I 213
— Montagne Pelée, in den vulk. Gesteinen . 06 II 160
Trient und Venetien, tert. Echiniden, Revision . 05 II 149
Triforis Staadti, Eocän, Paris . . . . . 07 II 303
Trigla asperoides u. rhombica, Otolithen, Tertiär, Oesterreich . . 07 I 481
Trigonale Hemiedrie (Benitoit und Disilberorthophosphat) . . . CBl 1909 *636*
Trigonarca Szaboi, Hypersenon, Peterwardeiner Gebirge . . . . . 06 II 268
Trigonellina pectunculus 08 II 114
Trigonia acuta, brevicostata, cardiniiformis, chariensis, crassa, dhosaënsis, distincta, dubia, exortiva, gracilis, hispida, jumarensis, kutschensis, mamillata, nitida, parva, propinqua, prora, pulchra, recurva, remota, retrorsa, spissicostata?, tenuis, trapeziformis, tumida, ventricosa, v-scripta, Jura, Kutsch . . . . 05 I 178
— area-furcata, Tithonklippen, Niederfellabrunn . . . . . 06 I 440
— carinata, Erycina, cf. eximia, longa (= Lajoyei), cf. monilifera u. transitoria, Argentin. Kordillere . . . . BB XXIII *214*
— couzonensis, Reboursi u. substriata, Zone des Lioc. concavum, Couzon-au-Mont-d'Or bei Lyon . . . . . 05 I 464
Trigonia Engeli und Terquemi, Eisenerzformation, Lothringen und Luxemburg . . . . . 1906 I 305
— glaciana, Kreide, Kieslingswalde . . . . . 05 I 300
— Hauchecorni, oberer Jura, Pommern . . . 06 II 102
— hosourensis, Cyrenenlager, Jura, Rikuzen, Japan . . . . . 05 I 464
— libanensis, Glandarienkalk, Syrien . . . . 06 I 279
— Lorentii, Neocom, S. Lorenzo, Peru . . BB XXIV *88*
— poststriata u. sturgisensis, Jura, Black Hills . . . . . 08 I 264
— cf. scabra, Kreide, Bregenzer Wald . BB XXVII *22*
— spinuloso-costata, Hypersenon, Peterwardeiner Gebirge . . . . 06 II 268
— transitoria, unt. Kreide, Patagonien . . . BB XXV *610*
— umkwelanensis, Kreide, Umkwelane Hill, Zululand . . . . . 06 I 308
Trigonia-Lager, Jura, Rikuzen, Japan . . . . 05 I 465
Trigonoarca cf. trichinopolitensis, Kreide, Bregenzer Wald . . BB XXVII *22*
Trigonocarpus naumburgensis u. parkinsoniformis, Rotliegendes, Oppenau . . . . . 08 I 457
— Noeggerathi var. affinis, Saarbrücker Schichten . . . . . 09 I 304
— subhexagonus, Carbon, Offenburg . . . . . 08 I 459
Trigonodontie entstanden aus Tetragonodontie bei Huftieren . . . . 05 II 456
Trigonodus, Verwandtmit Unio . . . . . 07 II 337
— Bittneri, brevidens, carniolicus, Dieneri u. Vaceki, Pachycardientuffe, Seiser Alp . . . 07 II 336
— Sandbergeri, Schwaben . . . . . BB XXV *102*
Trigonolophodon elegans, inflatus und magna, Kreide, Lago Musters 05 I 497

Trigonopsis subsimilis, Zone d. Lioc. concavum, Couzon-au-Mont-d'Or bei Lyon . . . 1905 I 464
Trigonostoma involuta var. scabiosa (?), Tertiär, Schwäb. Alb . . CBl 1908 *593*
Trigonostylopidae, Patagonien . . . . . 05 II 467
— — Kreide . . . . . 05 I 168
Trihydrocalcit, Novo Alexandria . . . . . 09 II 341
Triklines System, Kristallberechnung (Anorthit) . . . . . 07 I 2
Trilobiten
— Neueinteilung . . . . CBl 1907 *129*
— Phacopidae, Klassifikation . . . . . 06 II 139
— Obercambrium, Schantung . . . . . 06 II 139
— Untersilur, Haverfordwest District, England . . . . . 06 II 138
Triloculina rotunda, Oberpliocän, Catania, neue Form . . . . . 07 I 330
Trimeraster parvulus, rhein. Grauwacke . . 09 II 322
Trimerocephalus micromma (cyclophthalmus), Devon, Ostthüringen BB XXIV *303*. *317*
Trimerorachis, Perm, Texas . . . . . 07 I 147
Trimerostephanus, Kreide, Patagonien . . . 05 I 168
Trinacria Dumasi u. sinuosa, Eocän, Loire inférieure . . . . . 06 I 154
Trinacromerum, Osteologie, u. Tr. latimanus, Fort Bentonschichten, Kansas und Wyoming . . . . . 09 I 441
Trinil-Fauna, Java . . . 09 I 114
siehe auch Kendeng.
Trinity-Formation, Flora 07 II 505
Trinity Mountains, Nordamerika, Geologie . . 06 II 96
Trinkwasser
— Verbesserung durch Aluminatsilikate oder künstl. Zeolithe . . . 09 II 371
— Paris, Mineralien im Filterrückstand . . . 07 II 427
Trinodosus-Kalke
— Argolis . . . . . CBl 1909 *79*
— Epidauros (Argolis), Cephalopoden . . . . Festband *6*
Trinomiale Nomenklatur bei Petrefakten . . . 1909 II 312
Trionyx-Panzer, Belgien, Landénien . . . . . 05 I 484
Trioolepis Leclerei, Carbon, Tonkin . . . . 08 I 310
Tripel, Bessarabien, Chotin'scher Kreis, im Gips 07 II 380
Tripilidium dendroacanthos, Scaglia, Euganeen . . . . . 06 I 475
Triplit, Godegård-Kirchspiel, Ostgotland . . 05 II 189
Tripolis, Eruptivgesteine 07 I 66
Tripyleen der Tiefsee . . 09 I 298
Trirhachodon Kannemeyeri, Schädel . . . 07 I 140
Trisphaera superba, Kreide, Euganeen . . . . 06 I 474
Tristan d'Acunha, Südatlanticum, Geologie . 07 II 119
Tristomanthus Lecointreae, Faluns der Touraine . 09 II 480
— Lorioli, Molasse, Vence 07 II 157
Tristylospyris raripora, Miocän, Italien . . . 09 II 490
Tristylotus auf Platyostoma lineata, Devon, Hudsons bay . . . . 07 I 156
Triticites = Fusulina BB XXVII *494*. *506*
— Fusulinenkalk, Korea 07 I 331
Tritonium biplicatum, fenestratum und subglabrum, Danien, Dänemark . . . . . 06 I 309
Tritylodon, Stellung im System . . . . . 07 I 317
Trivia recta, Tertiär, St. Clement, Anjou . . . 09 I 276
Trizygia Costae, Obercarbon. Paçal (Portugal) . . . 1905 I 540 08 I 312
Trochactaeon acutissima, brevis, coniformis, incrustans, irregularis, occidentalis, planilateris, potosiana und variabilis, Senon, Cardenas, Mexiko . . . 08 I 102
Trocharion albanense, Mittelmiocän, La Grive St. Alban . . . . 05 II 307

Trochictis Depéreti und pusilla, Mittelmiocän, La Grive St. Alban . 1905 II 307
Trochiliscus bulbiformis und ingricus, Devon, Rußland . . . . . 08 I 451
Trochilisken . . . . . 08 I 450
Trochocyathus Amphitrites = Ceratotrochus Amphitrites, Gosau . 09 II 141
Trochodiscus maximus, Scaglia, Euganeen . . 06 I 475
Trochomorpha arneggensis, Alttertiär, Ulm . 08 II 104
Trochosuchus acutus, unt. Karru beds, Südafrika . . . . . 09 II 127
Trochus Clementinus, Tertiär, St. Clément, Anjou . . . . . 09 I 276
— coelotropis, ob. Jura, Pommern . . . . 06 II 102
— (?) Delaunayi, Bathonien, St. Gaultier (Indre) . . . . . 08 I 262
— guelferbytanus . . . 07 II 468
— Michaleti (Tectus), Coniacien, Frankreich 06 I 319
— Provençali, Kreide, Orgon (Bouches-du-Rhône) . . . . . 06 I 318
— quadricoronatus, Kreide, Schaumburg-Lippe'sche Mulde . . . 06 I 442
— sougraignensis (Tectus), Santonien, Frankreich . . . . . 06 I 319
Troilit
— im Meteoreisen 1905 I *123* 07 I 359
— siehe Eisensulfid.
Trombolith . . . . . CBl 1909 *330*
Trona, Vesuv, Eruption von 1906 . . . . . 08 I 209
Troostit, im künstlichen Eisen . . . . . 06 I 243
Tropfstein, Sardinien, Grotta di Netturno am Kap Caccia und St. Kanzian-Höhle im Karst . . . . . 06 I 376
Torpiceltites arietitoides, Tropites-limestone, Byans . . . . . 08 II 238
— Frechi, Subbullatus-Schichten, Kalifornien 06 II 300
Tropiphora, zu Myophoria 1907 II 338
Tropites Aloysii, Brancoi, Carapezzai, Josephillae, laestrygonus, obsoletus, Paronai u. triquetrus, ob. Trias, Sizilien . . . . . 05 I 346
— Jalandhara und Manasa, Tropites-limestone, Byans . . . . 08 II 238
Tropites-Schichten, Epidauros (Argolis), Cephalopoden . . . . . Festband *31*
Trou-de-Souci, Côte-d'Or 1907 II 51. 397
Truncatulina Dutemplei u. lobatula, Globigerinenmergel, Bahna, Rumän. Karpathen . 09 II *156*
— globigeriniformis, Rupelton, MainzerBecken 09 II 325
Tschadsee
— ausgeschiedene Salze . 07 I 41
— Gesteine . . . . . 07 II 410
Tschermak'sche Kieselsäuren siehe Kieselsäure.
Tschermak'sche Zwillingstheorie u. Gesetz der Glimmerzwillinge CBl 1907 *400*
Tschermigit
— Brüx, Böhmen . . . CBl 1907 *465*
— Dux, Böhmen . . . CBl 1907 *467*
Tschernosem, Rittergut Legienen, Ostpreußen 06 I 207
Tschernyschewit, Wichera (Ural) . . . . . 08 II 176
Tschuktschenhalbinsel, Geologie . . . . . 08 I 409
Tsingtau, Gesteine . . . 06 II 364
Tsingtauit, Kiautschou . 06 II 366
Tuba elatopsira, Eocän, Paris . . . . . 07 II 303
Tubocorallier, Phylogenie 09 II 142
Tucuman, Prov., Argentinien, Geologie . . . BB XXII *569*
Tudicla subcarinata, Kreide, Kieslingswalde . . 05 I 301
Tuditanus minimus, sculptilis u. tabulatus, Carbon, Nordamerika . . 09 II 133
Tudora conica, Tertiär, Randeck . . . . . CBl 1908 *589*
Tübingen, Neuaufstellung der Sammlungen des Instituts . . . . . CBl 1909 *123*

Türkis, Nordamerika 1906 I 358 1907 II 43
Tuff
— andesitischer, im Old Red, Lorne-Distrikt in Argyleshire . . . 05 I 431
— basaltischer u. Basalte, Schwäb. Alb . . . . 06 II 205
— der Quarzkeratophyre, Thüringer Wald . . BB XXVII *376*
— trachytischer, Monte Ferru, Sardinien . . BB XXI *29*
— vulkanischer, Böhmen, zw. Böhm.-Kamnitz und Kreibitz . . . . 06 II 359
— — Lago Maggiore u. Valsesina, Porphyr- . 05 II 66
— — Lyman's Crossing, Holyoke Range, mit Kalkspat- u. Prehnit-Cäment . . . . . 05 II 397
— — Red Mountain, Arizona . . . . . 09 I 45
— — Ries . . . . . 06 II 203
— — Tirol, südliches . . 05 II 63
— Harzburg, devonischer, im Kontakthof des Brockens . . . . . 06 I 209
— Norddeutschland, untereocäner . . . . . 07 II 453
— Pontesford Hill, Shropshire, archäischer . . 05 II 391
Tuffbreccie
— Langenaubach, Nassau, Oberdevon . . BB XXVIII *386*
— Metzinger Weinberg, Schwäb. Alb, in einer Spalte . . . . . 07 II 394
Tuffformation, patagonische . . . . . BB XXVI *103*
Tuffit, Buru, Ind.-austral. Archipel . . . . . BB XXII *399*
Tufflager, pleistocänes, Schwarze Laaber bei Regensburg, Konchylien . . . . . 06 II 431
Tuffröhren
— Entstehung . . . . . 07 II 121
— Kap-Kolonie . . . . 07 II 114
Tuff-(Asche-)Schichten, eocäne, westbaltische CBl 1907 *680*
Tugurium mekranense, Tertiär, Ormara-Kap, Mekranküste, Beludschistan . . . . . 06 I 118
Tullner Becken, Tertiär . 1905 II 292
Tundra, nordamerikan., Eisdecken (Crystophenes) . . . . . 06 II 190
Tunesien
— Bryozoen, Eocän des südlichen . . . . . 05 II 142
— — Kreide . . . . . 05 II 145
— Fische der tert. Phosphate . . . . . 05 II 479
— Geologie, verglichen mit Sardinien . . . . 09 II 95
— Jura, im südlichen . 06 I 283
— Juraechiniden . . . . 07 II 156
Tungstit, Britisch-Columbien, Salmo . . . . 09 II 335
Turbo Antonini, Glandarienkalk, Syrien . 06 I 279
— Cureti, Cenoman, Südfrankreich . . . . . 07 II 132
— Fourneti, Zone des Lioc. concavum, Couzon-au-Mont-d'Or bei Lyon . . . . . 05 I 464
— ? gronensis und Lemkei, Werfener Schichten, Südtirol . . . . CBl 1908 *78*
— Innesi und Schweinfurthi, Campanien, Aegypten . . . . . 05 II 285
— Johnstrupi, Paläocän, Rugaard, Kattegat . 08 II 103
— Lenzi (? Collonia), Hypersenon, Peterwardeiner Gebirge . . . 06 II 267
— (?) volgensis, Paläocen, Saratow . . . . 05 II 121
Turbonellina cf. conica, Culm, Königsberg bei Gießen . . . . . BB XXVIII *649*
Turbonilla gansingensis, Keuper, Schwaben . BB XXV *111*
— Harderi, Paläocän, Rugaard, Kattegat . 08 II 103
Turbonitella biseralis, Culm, Königsberg b. Gießen . . . . . BB XXVIII *648*
— inflata, Devon, Ostthüringen . . . . . BB XXIV *299*
Turgit
— Nagolnij Krjasch, Donetz-Becken . . . . 07 II 195
— Schottland . . . . . 05 I 441
— siehe auch Hydrohämatit.

Turkestan
— Denudation in der Steppe und Stratifikation äolischer Bildungen . . . . . CBl 1908 763. 764
— paläoz. Schichten des russischen . . . . . 1905 II 298
Turkestanischer Volborthit, siehe Volborthit.
Turmalin
— Begleiter von Zinnerz 05 I 101
— Einwirkung von Radiumbromid . . . . CBl 1909 *71*
— Färbung durch Radium . . . . . 07 II 171
— — und deren Aenderung . . . . . BB XXVI *287*
— Kristallform . . . . 09 I 315
— Afrika, Deutsch-Ost- 07 II 384
— Ajudagh, Krim . . . 09 II 367
— Biella, Piemont, Drusen im Syenit . . . . 06 II 39
— Brasilien, krist. und physikalisch . . . . BB XXIII *91*
— — Minas Geraes, Kristalle . . . . . 08 I 28
— Cadonighino, Tessin . BB XXVI *519*
— Campolongo . . . . 05 I 201
— Canyon, Col., edler . 09 I 30
— Ceylon . . . . . 06 I 185
— Concepcion del Oro, Zacatecas, Mexiko, Gänge im Granodiorit BB XXVIII *450. 455*
— Crown Point, Essex Co., N. Y. . . . . 09 I 192
— Easton, New Jersey, chemisch . . . . . 06 I 353
— Elba . . . . . 07 II 41
— — Anal. d. blaßroten 09 I 19
— — Vorkommen 1905 II 34 08 II 32
— Godegård-Kirchspiel, Ostgotland, große Kristalle . . . . . 05 II 189
— Grönland . . . . . CBl 1908 404
— Hammer-Kirchspiel, Oerebro, im Feldspat 05 II 189
— Kalifornien, edler, mit Beryll . . . . . 07 II 183
— — San Diego Co., Cal. 05 II 26
— Kragerö (Lindvikskollen), Kristalle . . 08 I 193
— Lipetzk, Gouv. Tambow, im Brauneisenerz, u. Hydrogoethit 05 II 183
Turmalin
— Mähren, Cyrillhof bei Groß-Meseritsch . . . 1905 II 188
— Mte. Ornato b. Seravezza, im Glimmerschiefer . . . . . 07 I 65
— Nordamerika, Edelstein . . . 1906 I 356 07 II 42
— — edler . . . . . 09 I 32
— Ottawa bei Pisek, im Goldsand . . . . . 05 I 366
— Sardinien, Asinara, chemisch . . . . . 08 II 313
— Schmiedeberg (Riesengeb.), im Granit . CBl 1909 *771*
— Südaustralien, Krist. 06 I 360
— Ural . . . . . 09 II 41
Turmalinfels, Cornwall, St. Ives . . . . . BB XXVIII *14*
Turmalinführende Gänge im Granit, San Piero in Campo, Elba, Mineralien . . 1905 II 34 08 II 32
Turmalinführende Kobalterzgänge, San Juan, Chile . . . . . 09 I 79
Turmalingranit u. -greisen, Cornwall, Zinnerzlagerstätten BB XXVIII *20. 21. 26 ff. 41*
Turmalinpegmatit, Piz Cotschen, Unterengadin . . . . . 05 II 384
TurmartigeEruptivmasse, Pauline Lake-Vulkan, Oregon . . . . . 05 II 397
Turon
— Braunschweig . . . . 06 II 428
— Madagaskar . . . BB XXVIII *210*
siehe Kreide.
Turricula monilifera, Hypersenon, Peterwardeiner Gebirge . . . 06 II 268
Turrilites Komotai, Kreide, Hokkaido . . . . 05 I 530
— nodiferus, Kreide, Zululand . . . . . 07 II 305
— peramplus u. Wysogorskii, Emscher, Texas . . . . . 06 I 314
Turrispira fallax, Hypersenon, Peterwardeiner Gebirge . . . . . 06 II 267
Turritella atamanica, Miocän, Novotcheskalk . . . . . 07 I 114

Turritella bicostata u. divisa, Jura, Moskau etc. 1905 I 131
— budaensis, Buda limestone, Kreide, Nordamerika . . . . . 06 I 309
— cardenasensis, potosiana u. Waitzi, Senon, Cardenas, Mexiko . . 08 I 102
— Depéreti, Grangei und Sayni, Zone d. Lioc. concavum, Couzon-au-Mont-d'Or bei Lyon . 05 I 464
— elegantissima, Cenoman, Südfrankreich . 07 II 131
— Eschi, ?Eocän, Kamerun . . . . . 06 II 123
— Fournieri u. septemcostata, Cenoman, Südfrankreich . . . . . 07 II 132
— galistonensis, Kreide, Los Cerillos (Neu-Mexiko) . . . . . 08 I 436
— Geinitzii = subalternans, Kreide, Sachsen . . 06 I 317
— Hallii, Tertiär, Kerguelen . . . . . 07 II 128
— interposita, szeremensis und Telegdiana, Hypersenon, Peterwardeiner Gebirge . . 06 II 267
— Kochi, obere Kreide, Alvincz . . . . . 05 I 302
— Michaleti und varusensis, Coniacien, Frankreich . . . . . 06 I 319
— Morgani (Torcula) u. praecarinata, Senon, Süd-Persien . . . . 06 I 444
— proteiformis u. (?) Peroni, unt. Santonien, Frankreich . . . . . 06 I 318
— Provençali, Kreide, Orgon (Bouches-du-Rhône) . . . . . 06 I 318
— sexlineata, Untersenon, Bregenzer Wald . . . BB XXVII *20*
— Wanneri, Campanien, Aegypten . . . . . 05 II 285
Turritellen, Eocän, Aegypten . . . . . 06 II 453
Tustica, Dalmatien, Geol. 05 I 454
Tuul
— nordfries., Entstehung 05 I *15*
— Sylt, Interglazial . . BB XXII *147*
— — Westküste, Quartär BB XXI *207*
Twingonia, Miocän, Birma 09 I 142
Tychit
— Isomorphismus mit Northupit . . . . . 1908 II 172
— Borax Lake, Kalifornien, Darstellung und Beziehung zu Northupit . . . . . 06 II 162
Tychostylops, Patagonien 05 II 467
— — Kreide . . . . . 05 I 168
Tylosaurus dyspelor, ob. Kreide, Kansas . . . CBl 1909 *586*
Tylostoma cf. aequiaxis, Senon, Mittel-Peru . BB XXIV *118*
— ampullariaeforme, Danien, Dänemark . . . 06 I 309
Tympanotomus Vasseuri, Cenoman, Süd-Frankreich . . . . . 07 II 131
Typhis Vaquezi, Eocän, Loire inférieure . . . 07 II 302
Typotheria, Kreide, Patagonien . . . . . 05 I 167
Typotherium, Perforation des Astragalus . . . 07 I 467
Tyrannosaurus . . . . . 07 II 492
Tyroglyphites miocenicus, mitteleocäner Dysodil, Melilli, Sizilien . . . 05 II 152
Tyrrhenicola Henseli, Quartär, westl. Mittelmeergebiet . . . . . 07 I 459

U.

Uadi Natrun u. Faregh, Aegypten, Geologie . siehe auch Wadi. 06 II 422
Uckermark, Quartärbildungen . . . . . 08 I 96 ff.
siehe Quartär.
Ueberfaltungsdecken
— Glarus . . . . . 06 II 392
— westl. d. Urner Sees, Fortsetzung . . . . 06 II 394
Ueberfaltungstheorie, Alpen . . . . . 06 II 86
Uebergangsgebirge, Baden-Baden 1908 I 91 09 II 65
Uebergangston, Meeressediment zwischen Island und Grönland . 05 I 421
Ueberkühlung des Eisens 05 I *150*
Ueberlagerung älterer Schichten auf jüngeren bei subaquat. Rutschungen . . . . . 08 II *155*

Uebersättigte Lösungen, Kristallisationsgeschwindigkeit . . . 1907 I 3
Ueberschiebung des Mosor, Dalmatien, Fenster 06 I 257
Ueberschiebungen
— Experiment zur Entstehung . . . . . 06 I 405
— Natur . . . . . 07 I 270
— Schweizer Alpen . . 05 II 86
siehe Alpen.
Uebertiefung der Alpentäler . . . . . 05 I 228
Uferlinien u. Terrassen. Michigansee, relative Höhe . . . . . 08 II 346
siehe Terrassen.
Uferrutschungen, Schweiz 08 II *139*
Uifak, Grönland
— Eisen . . . . . CBl 1908 342
— — Beziehung zum Olivin im Basalt . . 08 I 235
— — chemisch . . . . 05 I 366
Uitenhage-Formation, Kreide, Ostafrika BB XXVIII *187*
Uliasser. Geologie . . . 05 I 106
Ulminium Simrothi, westliche Verein. Staaten 09 I 149
Ulodendron (?) hostimense, Devon, Etage H, Mittelböhmen . . . 06 II 146
Ulrichit, Neuseeland, Otagohalbinsel . . . 08 I 232
Ultramikroskopische Löslichkeitsbestimmung 08 II 5
Ultramikroskopische Sichtbarkeitsgrenze, Erweiterung . . . . 08 II 145
Ultrapithecus, Kreide, Patagonien . . . . 05 I 167
Ultraviolette Strahlen, Verhalten von Mineralien . . . . . 05 I 8
Ulvopteris Ammonis, Saarbrücker Schichten 09 I 303
Umbonium umbilicus, Pachycardien-Tuffe, Seiser Alp . . . . . CBl 1905 *177*
Umbra, Mte. Amiata . . 06 I 235
Umformung v. Kristallen unter Druck . . . . 06 II 80
1907 II 351 09 I 165
Umkristallisieren beim Erhärten des Zements 09 II 85
Umkwelane Hill deposits, Zululand, Kreide 06 I 307
Umptekit
— Ampasindava (Madagaskar) . . . . . 1905 I 435
— Red Hill, Moultonboro, N. H. . . . . 09 II 388
Umsetzungen der Meere BB XXV *366*
Umwandlung
— enantiotrope, molekulare Drehmomente 08 I 324
— kristallinische . . . 07 II 350
— des Lherzoliths, Val della Torre, Piemont 07 I 68
— der Mineralien der ozeanischen Steinsalzlager . . . . . 05 I 197
— versch. polym. Mineralien ineinander, erkannt an Elektrizitätsleitung . . . . 06 II 45
— u. Bildung von Mischkristallen u. Doppelsalzen in den binären Systemen der dimorphen Sulfate von Li, Ka, Na u. Ag . . BB XXIV *1*
Unakit, Grayson county, Virginia . . . . . 08 I 240
Uncinulina polymorpha, Lias, Schwaben . . 09 II 320
Uncinulites Baccarinii, mitteleocäner Dysodil, Melilli, Sizilien . 05 II 152
Undina acutidens, lith. Kalk, Nusplingen . 09 I 453
Undurchsichtige Mineralien, elektr. Leitungsfähigkeit . . . 07 I 11
Undurchsichtige Substanzen, Erkennung der Anisotropie CBl 1908 *565. 597*
Ungarisches Mittelgebirge (Gerecse-Gebirge) CBl 1905 *391. 555*
Ungarn
— Geologie . . . . . 07 I 273
— Kupferkiese, Kristallform . . . . . 06 II 323
— Melanopsis- u. Paludinaarten v. Bischofsbad u. Großwardein 07 II 152
— Tertiär . . . . . 1905 II 433 ff.
— tert. (eoc.) Decapoden 05 II 317
— Aranyos-Tal zw. Tepánfalva und Offenbanya, Geologie . . 06 I 260
— Borszékfürdö u. Gyergyóbelbör, Geologie . 06 II 94

Ungarn
— Csernye, älterer Jura des nordöstl. Bakony 1905 II 426
— Hunyad-Komitat. Umgegend von Kitid —Ruß—Alsó-Telek, Geologie . . . . . 06 I 262
— Kodru-Gebirge, Geol. 06 II 94
— Komárom- u. Nyitra-Komitat, Geologie . 06 I 264
— Muntyele Mare-Gebirgsstock, Geologie 06 I 260
— Nagy Surany, Geol. 06 I 263
— Pojána Ruszka, Geol. der westl. Ausläufer 06 I 262
— Szabadszállás, Geol. 06 I 263
— Talabor-Tal zw. Szinever u. Kövesliget, Geologie . . . . . 06 I 259
— Vertésgebirge, Alttertiär . . . . . CBl 1905 *417*
— Waag-Fluß . . . . 05 II 378
— u. Siebenbürgen, Erzlagerstätten . . . . 07 I 252
Ungeria solnhofensis, lithogr. Schiefer, Solnhofen . CBl 1908 *385*
Ungulaten
— Abstammung . . . 07 I 475
— Hinterhaupt, Südamerika . . . . . 05 I 172
— Zahnsystem . . . . 05 II 454
— Argentinien, Kreide 05 I 167
— Brasilien, Lagoa Santa, Minas Geraes, in Höhlen, u. Systematik . 07 II 134
— Patagonien, Kreide . 05 I 167
— siehe Huftiere.
Unicardium claxbiense, Kreide, England . . 08 I 444
— Schmidi, Lettenkohle u. Keuper . . . . . BB XXV *105*
— subglobosum, Glandarienkalk, Syrien . 06 I 279
Unio, Verwandtschaft mit Trigonodus . . 07 II 337
— aesopiformis, biesopoides, Browni, corbiculoides, cylindricoides, gibbosoides, Letsoni, percorrugata, postbiplicata, pyramidatoides, pyramidellus, retusoides, subtrigonalis u. verrucosiformis, Laramie-Gruppe, Montana 08 I 445
Unio Dumasi, Cenoman, Südfrankreich . . . 1907 II 131
— Kinkelini, Mosbach . 09 I 279
— priscus var. abbreviata und supenawensis, Kreide, Nordamerika . . . . . 07 I 440
— trinilensis, Kendeng-Schichten, Java . . 09 I 116
Unipolare Leiter, feste BB XXI *325*
Unitrypa, Entwicklung 05 II 144
Universalgonimeter
— Anwendung zur Auflösung sphär. Dreiecke nach Fedorow 05 I 4
— Vermeidung der Exzentrizitätsfehler bei billigen . . . . . 07 II 350
Universalinstrumente, russische, und Beobachtungsmethoden . CBl 1909 715
Universitäten, Unterricht in Mineralogie u. Geologie . . . . . 06 II 148
Unstrutgebiet, fossilführende pleistoc. Flußablagerungen . . . 05 I 473
Unter-Engadin zw. Val d'Assa u. Piz Lad . 09 I 404
Untereocäne Tuffe in Norddeutschland . . 07 II 453
Unterkühlung
— Einfluß auf Ausscheidungsfolge aus Schmelzflüssen . . . . . 08 II *29*
— bei Silikatschmelzflüssen . . . . . BB XXIII *79*
Unterneocom, Sumatra . 07 II 449
Unterricht in Mineralogie u. Geologie an Universitäten u. technischen Hochschulen 1906 II 146. 147
Untersuchungsmethoden, Silikatschmelzen . . CBl 1907 *1*
Upsala
— Erdbeben 23. Okt. 1904 06 II 188
— Silur . . . . . 06 I 102
Urach
— Tuffbreccie in einer Spalte . . . . . 07 II 394
— vulkan. Erscheinungen 07 I 375
Ural
— Eisenerzlagerstätten 06 II 223
— Ganggesteine im Koswinsky Kamen . . . 05 I 75

Ural
— Geologie . . . 1906 I 380. 386
— Guberlinski'sche Berge, im südl., Untercarbon CBl 1906 *131*
— nördlicher, Geologie u. Petrographie . . 1906 I 386
— Platinwäschereien v. Nischne-Tagil . . . 07 I 260
— u. Timan, Brachiopoden u. Einteilung des Ober-Carbons . 05 I 531
Uralische Transgression 05 II 282
Uralit, Ardennen, im Sandstein . . . . . 09 I *111*
Uralitgabbro, nördl. Ural 06 I 387
Uralitisation
— neue Theorie . . . 06 I 339
— d. Proxens 1909 I 342 09 II 231
Uralorthit, Ilmengebirge, photograph. Wirkung CBl 1909 *148*
Uranate, amorphe . . . CBl 1909 *329*
Uranerze
— Ferghana, Tjuja-Majun 09 II 37
— Lukwengule, Morogoro, Deutsch-Ostafrika . . . . . CBl 1906 *761*
Uranglimmer
— Entwässerung, orientierte Anlagerung von Ba Cl_2 etc. . . . . 05 II 368
— Ambert (Puy-de-Dôme), im Pegmatit 07 I 32
Uraninit, siehe Uranpecherz.
Uranmineralien
— Vork. in Schlaggenwald etc. . . . . 05 I 6
— Deutsch-Ostafrika . 08 II 13
— Ferghana, Tjuja-Majun 09 II 37
Uranocircit, Entwässerung, Aetzung und orientierte Anlagerung von Ba Cl_2 . . 05 II 368
Uranokyrtus, Santa Cruz beds, Patagonien . . 06 I 463
Uranpecherz
— chem. u. Synthese . 09 I 338
— macht J frei aus K J 09 I 330
— Verhältnis von Radium zu Uran . . . 07 II 31
— Ceylon (= Thorianit) 06 I 165
— Evje, Saetersdalen, Norwegen . . . . . 06 I 351
— Joachimsthal. . . . 05 II 350
— — photogr. Wirkung CBl 1909 *748*
— — u. Schlaggenwald 05 I 7. 8
Uranpecherz
— Lukwengule, Morogoro, Deutsch-Ostafrika . . . . . CBl 1906 *761*
— Sachsen . 1905 I 8 1906 I 76
Urausscheidungen im Basalte des Finkenbergs b. Bonn . . . . . CBl 1908 *417*
Urenchelys, Chalk, England . . . . . 1905 II 137. 138
— germanus, Kreide, Libanon . . . . . 05 II 481
Urnatopteris tenella, Carbon, Vorkommen . . 09 II 491
Urner See, Ueberfaltungsdecken . . . . . 06 II 395
Urocordylus, Nürschan 08 II 271
Urodelentypus der Tetrapoden . . . . . 09 II 113
Ursavus Depéreti, süddeutsche Bohnerze . 08 I 128
Ursus arvernensis, Mauer u. Mosbach . . . . 07 II 483
— Deningeri . . . 1905 I 485. 504
1907 II 483 08 I 438
— — Mosbacher Sande 1905 I 485. 504
— — ferox, horribilis etc., Pleistocän, England 08 I 438
— piscator, Taubach . 07 II 484
Urtit, Dungannon, Ost-Ontario . . . . . 05 II 396
Urwale (Archaeoceti), Eocän, Aegypten . . 09 II 119
siehe Wale und Cetacea.
Usambara, Ost-, geolog.-agronom. Untersuchg. bei Amani . . . . . 06 II 421
Usaramo-Sandstein, Jura BB XXVIII *156*
Ussuria compressa und Waageni. Meekoceras beds, Idaho . . . . 06 II 302
Ussurifauna, vergl mit Otoceras beds, Himalaya . . . . . CBl 1905 *43*
Ussurigebiet, Süd-, Geologie . . . . . BB XXVII *509*
Ustica, Gesteine, vergl. mit Liparen . . . . 09 II 68
Utaetus, Kreide, Patagonien . . . . . 05 I 170
Utah, Geologie . . . . 09 I 422
Utahlith, Utah, Edelstein . . . . . 07 II 43

Utsch u. Utsch-Turfan, südlich Tian-Schan, Geologie . . . . BB XXII *297*
Uvigerina pygmaea u. urnula, Globigerinenmergel, Bahna, Rumänische Karpathen 1909 II *151*
— sagriniformis, Rupelton, Mainzer Becken 09 II 324
Uwarowit
— Röros, Norwegen, Analysen . . . . . CBl 1907 250
— Ural, neue Fundorte 09 II 40

V.

Vaal-System, Klerksdorp-Distrikt, Transvaal . 07 I 111
— südl. Transvaal . . 06 I 99
Vadose Quellen . . . . 05 I 263
Vág-Fluß, siehe Waag-Fluß, Ungarn.
Vaginulina badenensis u. brevissima, Globigerinenmergel . . . . . 09 II *147*
— recta var. tyrrhena, Italien . . . . . 06 II 308
— Schlönbachi var. interrupta, Unteroolith, West-Australien . . 05 II 151
Valsugana, Geologie . . 06 II 244
Valangien, Norddeutschland . . . . . CBl 1908 *113*
Valentinit
— heteromorph mit Sénarmontit . . . . . 08 II 148
— Argentiera della Nurra, Portotorres, Sardinien . . . . . 06 I 31
— Bolivia, Tatasi, Achsenverhältnis. . . . 08 II 338
— Procchio (Elba) . . 06 II 158
Vallendarer Schichten, Tertiär, Rhein . . . 09 I 241
Vallonia saxonica, quartär, Halle a. S. . . 07 I 444
Valvata, Hilsmulde, Interglazial bei Wallensen 05 I 144
— Arnaudi, Cenoman, Südfrankreich . 1907 II 131, 132
— Delaunayi, Bathonien, St. Gaultier (Indre) 08 I 262
— cf. vallestris, Pliocän, Cueva Rubbia, Spanien 07 II *24*
Valvulinella . . . . . BB XXV *248*
— Carbon, Dalmatien . 07 II 339
Valvulinella Bukowskii, Tertiär, österr. Velebit 1908 II 289
Vanadinate, natürliche, Natur u. Entstehung 06 I 327
Vanadinbleierz s. Vanadinit.
Vanadinerze, Argentinien, Prov. S. Luis 05 I 259
Vanadinit, Brechungskoeffizienten . . . . . 05 I 39
— Bena(d)e Padru bei Ozieri, Sardinien . . 05 II 367
— Gsenger b. Annaberg, Niederösterreich . . 06 II 174
— Rhodesia, Broken Hill-Grube . . . . 09 II 35
Vanadium, Auftreten in Erzlagerstätten . . 06 I 50
— in Mineralien u. Gesteinen . . . . . 07 I 411
Vanadiumsulfid (Patronit), Minasragra (Peru) 09 I 167
Vanikoro? serangensis, Trias, Serang, Niederländ.-Indien . . . . BB XXIV *210*
Vanoise-Massiv, Geologie des Nordrandes . . 09 II 87
Vanthoffit in ozean. Steinsalzlagern, Bildung bei 46° . . . 05 I 192
Varanosaurus acutirostris, Perm, Texas 1907 I 149 08 I 291
Varians-Pläner, Braunschweig . . . . . 06 II 428
Varioclymenia angustiseptata, brevicosta, costata, enkebergensis u. Pompeckji, ob. Oberdevon, Enkeberg BB XXVI *605*
Variolit, Asbach, Odenwald . . . . . CBl 1907 *65*
— Harzburg, im Kontakthof d. Brockens 06 I 211
Variscit . . . . . CBl 1989 *329*
— Regens bei Iglau, mit Graphit . . . . 06 II 173
— Utah (Utahlit), Edelstein . . . . . 07 II 43
Veglia, Insel, Geologie des Besca-Tales . . 06 I 259
Velopecten abjectus = Pleuronectites Aubyi, Jura, Ostafrika . BB XXVIII *164*
— Albertii, Grenzdolomit, Schwaben . . BB XXV *67*

Velopecten Arthaberi, Pachycardientuffe, Seiser Alp . . . . 1907 II 337
Veltri, Glanzschiefer . . 07 II 441
Venedig, Untergrund . 05 II 123
Venericardia imbricatoides, Senon, Süd-Persien . . . . . 06 I 445
— nodosa, Eocän, Loire inférieure . . . . . 06 I 155
— stagonopsis, Eocän, Loire inférieure . . 06 I 154
Venerupis (?) camminensis, ob. Jura, Pommern . . . . . 06 II 102
Venetien u. Trient, Revision d. tert. Echiniden . . . . . 05 II 149
Venezianische Faltungszone . . . . . 06 II 243
Veniella sanctae-luciensis, Kreide, Zululand 07 II 304
Venilicardia protensa, Kreide, England . . 08 I 444
Venus (Textivenus) Hupfeldi, ? Eocän, Dahome . . . . . 1906 II 117. 430
Venus sudetica, Kreide, Kieslingswalde . . 05 I 301
Verbeekiella permica, Perm, Timor . . . 09 II 141
Verbeekina . . . . . BB XXVII *506*
— Verbecki . . BB XXVII *472. 476*
Vercors-Massiv b. Grenoble, Geol. . . . . 07 II 105
Verdon, Cañon (Basses-Alpes) . . . . . 08 I 220
Vereisung, letzte, Mitteldeutschland . . . . 04 I 116
Vergletscherung
— der Erde . . . . . CBl 1907 473
— Harz bei St. Andreasberg . . . . . 06 I 298
— Island, diluviale . . 06 I *232*
Verkieseltes Holz
— Prinz Rudolfs-Insel . 06 I 35
— Steinheim b. Hanau . 07 I 229
Verkieselte Kalke mit Hornstein, Opal und Chalcedon, Ceylon . 05 II 392
Verkieselte Versteinerungen der oberen Kreide, Frayssinet-Le-Gélat (Lot), Entstehung . . . . . 06 I 291
Verkittung, VAN HISE . CBl 1906 609
Verkittungsgürtel, VAN HISE . . . . . CBl 1906 606. 607
Verknetungen von Gesteinen . . . . . Festband *330*
Verletzte Kristalle, Regeneration . . . . . 1905 II 332
Vermetus Staadti, Eocän, Paris . . . . . 07 II 303
— (? Vermiculus) tricarinatus, Hypersenon, Peterwardeiner Gebirge . . . . . 06 II 267
Vermiceras affine, demissum, formosum, perspicuum, secernitum, tenue u. ultraspiratum, Lias, Monte di Cetona . . . . . 05 I 175
Vermiculus (?) tricarinatus, Hypersenon, Peterwardeiner Gebirge . . . . . 06 II 267
Vermillion-Bezirk, Lake Superior-Gegend, Eisenerze . . . . . 05 I 89
Vernagtferner, Aenderung der Geschwindigkeit . . . . . 06 II 190
Veronesisch-vicentinische Mittelgebirge . . . 06 II 244
— Verrières-Tal, Neuchâteler Jura, Glazial 05 II 296
Verrucano
— Lischanna-Gruppe, Unterengadin . . . 07 I 96
— moldausche Karpathen . . . . . 06 I 07
— Oberengadin . . . . 08 II 226
Verschweißung von Gesteinen, VAN HISE . CBl 1906 609
Versteinerter Wald, Kairo, Entstehung . 07 I 393
Versteinerungen, Präparieren mit Aetzkali CBl 1907 *305*
Vertebraten, siehe Wirbeltiere.
Vertésgebirge, Ungarn, Alttertiär . . . . . CBl 1905 *417*
Verwachsung, orientierte, mehrerer Mineralien CBl 1905 *190*
— Carnallit u. Eisenglanz, Staßfurt . . CBl 1909 *168*
— Diallag mit Enstatit, Roda-Meteorit . . . 05 I 213
— Eisenglanz u. Rutil, Cavradi? 1908 I 175 09 II 188

Verwachsung, Rutil mit Eisenglanz, Cavradi (Tavetsch) . . . . 1907 I 196
Verwachsungen, einachsige . . . . . 08 II 140
— regelmäßige 1909 I 321. 322. 324
— (siehe auch bei Verwachsung).
Verwachsungsfläche der Zwillinge . . . . . BB XXIII *330*
Verwerfungen
— durch Erdbeben, Leicester, 21. Juni 1904 1906 I 362. 363
— neue Nomenklatur . 08 I 221
— u. Spalten, Einfluß auf Stromsysteme, Yellowstone Park . 06 II 188
Verwitterung
— an Bausteinen, Kölner Dom . . . . . 07 II *42*
— Einfluß auf Erdoberfläche . . . . . 08 II 58
— d. Olivins im Basalt, rote, Hessen . . . . CBl 1907 *372*
— d. Silikate zu Laterit u. Ton . . . . . 06 I 23
— erzeugt Faltung, Carbon, Arkansas . . . 08 II 349
— in ariden u. humiden Gebieten . . . . . 08 II 188
— Moray area, beurteilt nach den Feldspatkörnern u. Sedimenten und nach der Analyse 05 I 415
— saurer Eruptivgesteine, vergl. mit Thermalwirkung . . 09 II 60
— VAN HISE . . . . . CBl 1906 606
Verwitterungserscheinungen, Lüneburger Heide . . . . . CBl 1909 *690*
Verwitterungsgürtel . . CBl 1906 606
Verwitterungsprozesse, Gelbbildung . . . . CBl 1909 *335*
Vesuv
— neue Mineralien . . 09 I 349
— Radioaktivität des Cotunnit etc. . . . 08 II 293
— Tätigkeitsformen . . 06 I 198
— ungewöhnl. Auswürflinge . . . . . 05 I 46
— Verhalten i. Jahr 1904 05 I 47
— während d. Mittelalters 07 II 390
— u. Somma, petrograph. Bestand . . . . . 09 I 221
Vesuv 1906, Asche . . CBl 1906 *385* CBl 1907 412 1909 I 46
— — gipshaltig . . . CBl 1906 *321*
— — bei Cattaro (Dalmatien) . . . . . 08 II 204
— — im nordöstl. Adriagebiet . . . . . 09 I 362
— — Ostsee, Capri u. Ischia . . . . . CBl 1906 *321*
— — Bomben u. Laven CBl 1906 *497*
— — Dampfwolken . 08 I 43
— Eruption im April . 07 I 44 1907 II 390. 392 1908 I 42 ff. 218 1909 I 45 CBl 1906 *506. 529*
— Eruptionsprodukte . 08 II 211
— Fumarolen mit Borsäure etc. . . . . 09 I 165
— Fumarolenmineralien 1906 . . . . . 08 I 327
— Lava . . . . . CBl 1906 *327*
— — mit Salmiakkruste CBl 1906 *325*
— — mit Selen . . . CBl 1907 *611*
— Mineralien . . 1908 I 207. 327
— Ursprung d. Ammoniaks 1906 . . . . 08 I 12 CBl 1907 *161. 662*
Vesuvian
— opt. Eigenschaften u. Zusammensetzg . . 05 I 35
— Canale Monterano (Rom), im Tuff . . 06 I 170
— Concepcion del Oro, Zacatecas, Mexiko, Kristalle . . . . BB XXVIII *512*
— Cornwall, kontaktmetamorphisch im Kalk . . . . . 09 II 206
— Exeter, Tulare Co., Cal. (Californit) . . 09 I 30
— Friedeberg (Oesterr.-Schlesien) Kontakt 07 II 34
— Indian Creek, Cal. (Californit) . . . . 05 I 34
— Kristiania, Kontaktbildung . . . . . CBl 1909 *405*
— Neu-Süd-Wales . . 06 I 360
— Santa Fé-Grube, Chiapas, Mex. . . . . 05 I 44
— Sardinien . . . . . 09 II 26
— Schlaggenwalde, Granatpseudom. nach V. 07 II 32
— Susatal, Piemont, Krist. . . . . 09 II 24
Vesuvianfels, Concepcion del Oro, Zacatecas, Mexiko . . . . . BB XXVIII *500*

Vetelia australis, puncta u. pygmaea, Santa Cruz-Schichten . . . 1905 I 503
Viburnites tinifolius, Paleocän, Hennegau 09 II 491
Viburnum Hollickii, Matawan-Formation, Nordamerika . . . 07 I 494
Vicentinisch-veronesisches Mittelgebirge . . . 06 II 244
Victoria Nyanza, durch Hebung vom Meer getrenntes Seebecken 06 II 195
Victorlemoineia, Kreide, Asphalt . . . . . 05 I 168
Vigläskalk, Jura, südwestl. Balkanhalbinsel . . . . . BB XXI *218*
Vikariierende Kristallformen . . . . . 08 II 140
Villarsit, Traversella . 08 I 39
Villiaumit, Los-Inseln, in Nephelinsyenit . . . 09 I 164
Vindelizisches Gebirge, Einwürfe . . . . . CBl 1909 *53*
Vinella? multiradiata . 05 II 486
Vinellidae, paläozoisch . 05 II 486
Viniella sanctae-luciensis, Kreide, Zululand 07 II 304
Vintlit, Piemont, im Strona- u. Sesiagneis 08 II 215
Virgatites cf. aff. apertus und scythicus, Tithon, argent. Kordillere . . . . . BB XXIII *197*
— mexicanus . . . . . 07 II 470
Virgelbreccie, Bozener Porphyrgebiet . . BB XXVII *117*
Virgilina, Copper District, Virginia und Nordcarolina . . . 05 I 260
— frondicularoides, Rupelton, Mainzer Becken 09 II 324
— Mustoni, Globigerinenmergel, Bahna, Rumän. Karpathen . . . . 09 II *152*
— Schreibersiana, Miocän 05 II 155
Visé, Tektonik d. Kohlenkalks . . . . . 05 I 456
Viskosität
— bei Silikatschmelzen CBl 1906 *193*
— Einfluß auf Ausscheidungsfolge in Schmelzflüssen . . . 08 II *27*
— u. Schmelzpunkt in Silikatschmelzen . . 06 II 5
Viskositätskurven, Beziehg. zu Molekularvolumen b. Silikaten CBl 1906 *289*
Vitriolblei, siehe Anglesit.
Vitriolletten, Oberschlesien, im Muschelkalk 1906 II 75
Vitriolocker . . . . . CBl 1909 *329*
Vitulina pustulosa, Devon, Bolivia . . . . BB XXV *554*
Vivianit
— Kristalle aus Knochen entstanden . . . . 06 I 30
— Böhmen, Kostalov . 09 II 358
— Bolivia, Tatasi, Krist. 08 II 337
— Kertsch u. Taman . 05 II 199
— Noranco b. Lugano, im Ton . . . . . 07 II 189
— Stanz im Mürztal (Steiermark) . . . . CBl 1908 *281*
Vivipara diluviana, nicht lebend . . . . . 07 I 445
— — u. clactonensis, ident . . . . . 05 I 309
— mandarinica, neogene Eisenerze, Suchum-Distrikt, NW.-Kaukasus . . . . . 06 I 432
Viviparus alba-scopularis, Kreide, Neu-Süd-Wales . . . . . 05 I 319
Vizinalflächen, Entstehung . . . . . 06 I 1
Vögel
— Ursprung . . . . . 08 I 441
— Montsech, Prov. Lerida, Spanien, ob. Jura 07 II 287
— Neuseeland, Reste ausgestorbener . . . 09 I 130
Vogelsberg
— Bahn Grebenhain—Gedern . . . . . 06 II 59
— geolog. Führer . . . CBl 1906 121
— Magnetismus der Gesteine, bes. Bauxit . 07 II 43
Vogesen
— Alter . . . . . CBl 1909 *281*
— altes Grundgebirge 05 I 235
— Gliederung d. Buntsandsteins d. nördl. (Haardtgebirge) . . CBl 1905 *380*
Vogesenvorberge, seitl. Zusammenschub im Buntsandstein, Sulzmat . . . . . CBl 1907 *489*
Vogesit, Belknap Mountains, New Hampshire 08 I 381

Vogesit, Tien-schan und Ala-tau . . . . . 1905 II 68
Vogler, Geologie . . . 05 II 259
Vogtit (rhodonitähnliche Schlacke) . . . . . 08 II 308
Vogtländischer Erdbebenschwarm, Februar u. März 1903 . . . . 05 I 50
Vogtland, Phosphoritknollen im untersten Culm . . . . . BB XXII *49*
Vola interstriatocostata und quinquecostata, Kreide, Bregenzer Wald . . . . . BB XXVII *24*
— Neumanni. Neocom, Somaliland . . . . 06 I 281
Vola-limestone = Buda limestone . . . . . 06 I 308
Volborthit Ferghana, Tjuja-Majun, turkestanischer . . . . . 09 II 39
Volhynien, Tertiär, Moldau . . . . . 06 I 407
Volhynische Unterstufe, sarmatische Stufe, Moldau . . . . . 05 I 470
Voltait, Vesuv . . . . 09 I 350
Volterra, Bergschlipfe . 06 II 349
Voltzia E. Fraasi, Koeneni u. renckerslebensis, Trias . . . . . 08 I 150
Volumgesetz bei kristallinischen Schiefern . 05 I 65
Voluta exornata u. occulte-plicata. Hypersenon, Peterwardeiner Gebirge . . . . 06 II 268
— faxensis, Danien, Dänemark . . . . 06 I 309
— subsemiplicata, Untersenon, Bregenzer Wald . . . . . BB XXVII *19*
Volutilithes fanivelonensis, Senon, Fanivelona, Ostküste von Madagaskar . . . . 06 II 113
— occulte-plicata, Hypersenon, Peterwardeiner Gebirge . . 06 II 268
Volutocorbis exornata, Hypersenon, Peterwardeiner Gebirge . 06 II 268
Volutomitra quinqueplicata, Danien, Dänemark . . . . . 06 I 309
Voralpen
— Geologie . . . . . 1906 I 81
— Berner, kristallin. Blöcke der Hornfluh . . . . . 06 I 256
— Schweiz, Tektonik . 06 I 246
Vorarlberg, Mineralien . CBl 1905 218
Vorarlberg-Algäu, Flyschzone . . . . . 09 I 97
Vorkordillere, Argentinien, Geologie . . . 05 II 269
Vorpommern
— alte Stromtäler, Zusammenhang mit der Litorina-Senkung . . 05 I 473
— Brandgruben in Neu- 07 II 477
— Interglacial . . . . 07 II 462
— Verkehrswege . . . 07 II 477
Vorrumpf . . . . . CBl 1908 *746*
Vredefort Montain-Land, südl. Transvaal, Geologie . . . . . 06 I 99
Vue des Alpes bei La Chaux de Fonds, Verwerfung . . . . . 05 II 255
Vulkan Colima, vulkan. Tätigkeit . . . . . 10 I 368
— Kaba, Sumatra, Gesteine . . . . . 06 I 218
— Monte Ferru, Sardinien, Produkte . . 09 II 227
Vulkanausbruch
— Java 1593 (Gunung Ringgit) . . . . . 05 I 224
— Martinique 1902 . . 05 I 224
— Momotombo, Nicaragua, 16. Jan. 1905 . CBl 1905 *172*
Vulkanausbrüche
— Mittelamerika, 1902 und 1903 . . . . . CBl 1906 243
— Westindien, 1902 . 05 I 404 ff.
Vulkanberge, Columbia, im Anschluß an Stübel . . . . . CBl 1906 429
Vulkane
— äußere Form u. Bau Festband *91*
— Spaltenfrage CBl 1909 *97. 129. 321. 526*
— Staukuppen . . . . Festband *310* siehe Staukuppen.
— Albaner Gebirge . . 06 I 375
— Basutoland, alte . . 09 II 234
— Freudenthal, Oesterr.-Schesien . . . . . 07 II 394
— Gleichenberg, Steiermark . . . . . 06 I 408

Vulkane
— Island, schildförmige Lava- . . . . . 1909 I 47
— — tertiäre . . . . CBl 1909 *625*
— Italien (Aetna, Rom, Solfatara, Stromboli) 1908 II 44. 45. 46
— Java . . . . . CBl 1909 *609*
— Kapkolonie, Tuffröhren . . . . . 07 II 115
— Logudoro u. Campo d'Ozieri, Sardinien . 09 I 47
— Mittelamerika u. Westindien . . . . . CBl 1906 243
— Olot, Katalonien . . 06 II 50
— phlegräische Felder, vulkan. Tätigkeit . 06 I 198
— Schwäb. Alb, Metzinger Weinberg . . . . . 07 II 394
— Sumatra, Gesteine . 06 I 218
— — nördliches . . . 06 II 49
— Vesuv, April 1906 . 08 I 42 ff.
siehe Vesuv 1906.
— — Tätigkeitsformen 06 I 71
— und Radioaktivität 1909 I 47. 48
Vulkanembryone, Schwäb. Alb, Auswürflinge krist. Schiefer und Tiefengesteine . . . 07 I 387
Vulkaneruptionen, mögl. Ursache durch Karbide . . . . . 05 II 205
Vulkangebiete Mittelamerikas . . . . . CBl 1906 243
Vulkan-Gesteine, Snowdon, Wales . . . . 07 I 390
Vulkanische Asche
— Balticum, westliches, im Eocän . . . . . CBl 1907 *680*
— Moler, Jütland . . . 07 I 220
— Mt. Pélée, Martinique 05 I 227
— Vesuv 1906, siehe Vesuv 1906 und Asche.
Vulkanische Ausbrüche
— Abhängigkeit von Spalten, siehe Vulkane, Spaltenfrage.
— Experimentelle Nachbildung . . . . . 05 I 444
Vulkanische Auswürflinge, lose, Entstehung . . . . . 07 II 394
Vulkanische Bildungen, Dunedin, Südinsel v. Neuseeland . . . . 05 II 421
Vulkanische Bomben
— Kapfenstein, Steiermark . . . . . CBl 1908 *297*
— Katzbachgebirge . . 1905 I 233
— siehe Bomben, vulkanische.
Vulkanischer Druck bildet Faltungszonen im Mexiko-Tal . . . . 09 I *28*
Vulkanische Erscheinungen
— durch Sonne verursacht CBl 1904 572 CBl 1905 *82*
— künstl. Nachahmung 05 I 444
— Hegau u. Tafeljura, Alter . . . . . CBl 1908 *613*
— Island, Lavaergüsse etc. . . . . 08 I 216
— — östl. zentrales BB XXVI *381*
— Sydney, Australien . 07 I 402
— Tafeljura . . . . . 07 I 375
— Urach . . . . 1907 I 375. 387
— Vesuv 1906 . . . . 08 I 218
siehe auch Vesuv.
— Westindien, Mai 1902 1905 I 224. 404 1907 I 376
Vulkanische Eruptionen
— Entstehung des Salmiaks 1908 I 12 CBl 1907 161. 662
— Zweck . . . . . CBl 1906 *437*
— Sardinien, posthelvetische . . . . . 09 II 227
— Vesuv 1906 . . . . 09 I 45
siehe Vesuv.
— siehe Eruptionen.
Vulkanische Gesteine
— in Aluminiumphosphat umgewandelt . 08 I 227
— Magnetismus . . 1906 I 37. 38
— Argentinien, junge BB XXII *555*
— Cap Vert (Senegal) . 08 I 228
— Skye, tertiäre . . . 06 II 64
Vulkanisches Glas, Grassy Gully, Yalwal District, N.-S.-Wales, goldführend . . . . 07 I 411
Vulkanische Laven . . 07 I 53
Vulkanische Magmen, physikal. Verhalten . 08 I 219
Vulkanischer Staub, Mt. Pélée etc. 1902 1905 I 227. 404. 405
siehe Vesuv.
Vulkanische Tätigkeit
— Erklärung . . . . 09 I 82
— Kette der Puys . . 09 I 46
— phlegr. Felder . . . 05 II 206

Vulkanische Tuffe und Auswürflinge, Ries 1906 II 203
Vulkanismus
— Beziehung zu Thermalquellen . . . . 08 II 70
— verschiedene Erscheinungen . . . . . 07 II 391
— u. Eiszeiten . . . . 08 II *74*
— u. Gebirgsbildung . 08 II *32*
— Geschichte u. Theorie CBl 1908 *526*
— Kerguelen . . . . 06 II 352
— Afrika, tätiger . . . 07 II 395
Vulkanmassen. Eruption im festen Zustand . 05 II 397
Vulkanspalten u. Vulkanreihen, Island . BB XXVI *1*
Vulkantheorie Stübel's 05 I 223
— von Stübel und Vulkane von Columbia CBl 1906 *429*
Vultur, Basis . . . . . 08 I 46

W.

Waag-Fluß, Feuchtigkeit der Sandhügel . 05 II 378
Waagenoceras Hilli. Carbon, Nordamerika . 05 I 528
Wachautal, ein Durchbruchstal . . . . . 05 II 295
Wachstum
— der Zwillinge . . BB XXIII *323*
— u. Auflösung d. Kristalle . . . . . CBl 1906 *664*
Wachstums- und Auflösungsgeschwindigkeit d. Kristalle 1908 II 150. 151
Wachstumserscheinungen an Kristallen von KJ u. KBr . . . . . 09 I 160
Wad, Markirch . . . . 09 I 26
Wadi Tumilat, Aegypten, Geologie . . . . . 07 I 426
— siehe auch Uadi.
Wärmeleitfähigkeit von Gesteinen. Einfluß auf die Geoisothermen . CBl 1907 *200*
Wärmequelle in der Erde durch polymerisierendes Erdöl . . CBl 1908 *271*
Wärmezunahme im Bohrloch bei Neuffen . 1906 II 47. 48
Waihao-Kakahu-Schichten, Tertiär, Neuseeland . . . . . 06 I 435
Waipara series, Neuseeland, Kreide . . . . 05 II 278
Waitaki-Stein, Tertiär, Neuseeland . . . . 1906 I 434
Wälder, versunkene, quartär, England . . . 05 II 451
Wald, versteinerter, Kairo, Entstehung . . . . 07 I 393
Waldheimia appenninica, Mittellias, Corfu . . BB XXI *295*
— bellunensis u. meridionalis. Lias, Tranze 08 I 424
— conocollis, mittl. Lias, Schwaben . . . . . 06 I 469
— pseudojurensis, Neocom, Sardinien . . BB XXIII *469*
— Schlosseri, ob. Jura, Somaliland . . . . 06 I 281
— vorjurassisch, Ambon BB XXV *302*
Wale
— phylogenet. Entwicklung d. Gebisses . . 06 II 294
— Stammesgeschichte der Waltiere . . . 09 I 438
— Antwerpen, Boldérien 07 I 130
— Fayum, Tertiär . . 07 II 315
— Ost- u. Westpreußen, Knochen . . . . . 09 I 437
— siehe Urwale, Cetaceen, Delphine etc.
Wallensen, Hilsmulde, Interglacial . . . . 05 I 144
Wallis, Geol. zw. Grugnay u. Chamoson . . 08 II 232
Wandbildung, Karwendelgebirge . . . . . 06 I 406
Wandmalereien etc., quart., Höhlenmalereien etc. . . . 1907 I 451. 453
Wandtafeln. petrograph.; mikroskop Strukturbilder . . . . . CBl 1906 747
Wapplerit . . . . . 09 I 318
Warrenit = Domingit, ident. mit Jamesonit 09 I 170
Warrnambool, Victoria, Austral., Fußspuren CBl 1907 *498* CBl 1909 *495*
Wartenberg b. Geisingen, Baden. Bau . . . . 07 II 403
Waschgold, Entstehung 05 I 257
Washakius insignis, amerikan. Eocän . . . 05 I 335
Wasser
— Durchsichtigkeit und Farbe im Kanal . . 09 II 209
— Friertemperatur in geschlossenen Röhren 09 I 329

Wasser
— oberflächliches, mit radioakt. Gasen . . 1905 I 418
— in Spalten, Westfalen, Zusammensetzung u. Schwerspatbildung . 06 II 73
— Rolle in den Zeolithen und deren Konstitution . . . . . 06 II 337
— unterirdische, gelöste Mineralien . . . . . 08 I 363
— — plötzl. Verschwinden . . . . . 05 I 55
— Verbesserung durch Aluminatsilikate od. künstl. Zeolithe . . 09 II 371
— New Haven, radioaktives Gas im oberflächlichen . . . . . 05 I 418
— Schweden, Fluß- u. Quell- . . . . . 06 II 351
Wasseranalyse, bakteriologische . . . . . 08 I 371
Wasseraufsaugung in Gesteinen durch Mikroporen . . . . . 07 I 377
Wasserbewegung
— Einfluß auf Sedimentation . . . . . BB XXV *383*
— unterirdische, Trou-de-Souci, Côte-d'Or . 07 II 51
— — Joplin-Distrikt . 07 II 52
— — Wells, England . 07 II 51
Wasserdampf
— Rolle bei vulk. Eruptionen . . . . 1907 II 392. 393
— und Kohlenoxyd in Glühhitze . . . . . 08 I 213
Wassereinbruch, Mansfelder Kupferschiefergruben, Okt. 1907 . 09 II 372
Wasserführung u. -Stollen, Taunus . . . . 06 I 404
Wassergehalt der Zeolithe, Fehlerquellen bei Bestimmung . . CBl 1909 *677*
Wasserhaltige Kristalle, Entwässerung . . . 05 II 4
Wasserhaltige Mischkristalle, Spaltung . 06 I 7
Wasserstandsänderung d. Atlant. Ozeans bei New York . . . . . 07 I 51
Wasserstandsmarken am Meere, Neu-Seeland u. Australien . . . 07 II 45
Wasserstoff u. Kohlensäure in Glühhitze . 1908 I 212
Wasserverhältnisse, Dobrudscha . . . . . 08 II 223
Wasserversorgung
— Gesichtspunkte . . . 05 II 407
— Mülhausen i. Els. . 09 I 205
Wattentuul, Nordfriesland, Entstehung . . 05 I *19*
Wawellit
— sphärolith. Bildung . 06 I 205
— Regens b. Iglau, mit Graphit . . . . . 06 II 173
— Schlaggenwald . . . 05 I 198
Wealden
— Belgien, Bernissart, Flora . . . . . 07 I 491
— Deister, Kleiner, Nesselberg u. Osterwald 07 I 418
— Emsgegend, westl., Transgression . . . 07 I 434
— Hannover . . . . . 07 I 281
— Nenndorf a. Deister 06 II 413
— Norddeutschland, Plesiosaurus . . . . . CBl 1905 *681*
— Teutoburger Wald . 09 II 248
Wealdengeschiebe im Quartär, Pommern . 05 II 443
Weathering, belt of . . CBl 1906 606
Webskyit . . . . . CBl 1909 *332*
Wedekind, Nevada, Erzgänge u. hydrothermische Vorgänge . . 05 I 426
Wehratal u. Seitentäler, Schwarzwald, Glacialerscheinungen . . . BB XXI *416*
Wehrlit, Koswinsky Kamen, Ural . . . . . 05 I 75
Weiche, scheinbar lebende Kristalle . . . . . 06 II 151
Weichselia Mantelli, Wealden, Peru . . BB XXIV *74*
Weimar
— Gastropoden aus den Kiesen . . . . . 07 II 459
— Ehringshausen, ob. Travertin mit Rhin. Merckii . . . . . CBl 1909 *23*
— paläolith. Funde der Gegend . . . . . CBl 1908 *197*
Weinbergerit, Meteoreisen von Kodaikanal, Indien . . . . . 07 II 204
Weinheim a. Bergstr., Rheintalspalten aus tert. u. diluv. Zeit CBl 1906 *667. 698*

Weinsäure
— Löslichkeit von Zwillingen etc. . BB XXIII *294. 332*
— rektifizierte, Zirkularpolarisation . . . 1905 II 335
Weinsaures Thallium u. Kalium, isomorphe Mischungen . . . . 07 I 4
Weißbleierz
— Dschebel Ressas, Tunesien . . . . . 07 I 42
— Lausetto (Valli del Gesso, Piemont), Kristalle . . . . . 1906 I 232. 349
— Nagolnij-Gebirge, Donetzbecken, Pseudom. n. d Spaltbarkeit der Zinkblende u. d. Bleiglanzes . . . . . CBl 1908 *7*
— Nagolny Krjasch, Donetzbecken . . . . 07 II 196
— Otavi, Südwestafrika CBl 1906 *388*
— Rhodesia, Broken Hill-Grube . . 1909 II 36 CBl 1907 602
— Sardinien, Viellinge 08 I 333
— — Argentiera della Nurra, Portotorres . 06 I 33
— Siegerland, krist. u. optisch . . . . . BB XXVII *541*
— Traversella . . . . 08 I 41
Weißensteintunnel
— Schweizer Jura, bei Solothurn . . . 1908 I 254. 255
— Dysodil . . . . . 08 I 269
Weißerdelager, Aue etc., Entstehung . . . . 06 II 202
Weißnickelkies, Markirch . . . . . 09 I 25
Weitendorf, Steiermark, Basalt-Lakkolith . . CBl 1905 *397*
— siehe auch Basalt.
Welding (Verschweißung von Gesteinen) . . . CBl 1906 609
Wellen, stehende (seiches), japan. Seen . . . . 07 I 381
Wellenfurchen
— am Sandstrand . . . CBl 1906 *727*
— Zbejsov, Mähren, im Perm . . . . . 08 II 56
Wellengebirge, Schwarzwald . . . . 1909 II 417ff. 418
Wellenkalk, Braunschweig u. südl. Hannover . 08 II 84
Weltentod nach J. Plassmann . . . . . CBl 1906 51
Weltkörper, Abkühlung CBl 1905 92
Weltprobleme (Gravitationslehre ein Irrtum) CBl 1905 439
Wengener Schichten, Epidauros (Argolis), Cephalopoden . . . . Festband *11*
Werfener Schichten
— Montenegro (Bucieri) 1905 II 108
— Südtirol, Fossilien . 08 I *16*
— — vergl. mit den Schichten von Wladiwostok . . . . . CBl 1908 *67*
Werfener Schiefer, Dobrudscha . . . . . 08 II 399
Werratypus der Salzlager im deutschen Zechstein 09 II 307
Wesergebirge, Alter . . CB 1909 *76*
Wesertal zw. Holzminden u. Hameln, Entstehung . . . . . 06 I 121
Wespen, Tertiär, Nordamerika . . . . . 08 II 112
Westalpen
— Decken u. Deckfalten der . . . . . 07 II 429
— Geologie der . . . 07 II 441
— siehe Alpen.
West-Australien
— Coolgarlie-Goldfeld, nördliches . . . 1905 II 400. 401
— Mount Margaret-Goldfeld . . . . . 05 II 202
— Murchison-Goldfeld . 05 II 399
Westerwald
— Bimssand, Alter u. Lagerung . . . . . 07 II 61
— — rhein. Ursprung u. Steppenfauna . . 05 II 430
Westfalen
— Granulatenkreide d. westl. Münsterlandes 08 I 427
— Kreide . . . . . 06 II 105
— Kreidemulde . . . . CBl 1909 *284*
— Porphyrgeschiebe im Diluvium . . . CBl 1907 *143. 168*
— spätjurassische und tertiäre Dislokationen 08 I 407
— Spaltenwässer, Zusammensetzung und Beziehung zu Schwerspatbildung . . . . 06 II 73
— Steinkohlenbecken, Trias u. Dyas . 1907 I 412. 414
— u. Campine, Carbon 05 I 456
Westfield River, Entstehung d. Flußterrassen . . . . . 05 I 410

Westindien
— Ausbrüche auf Martinique Mai 1902 1905 I 224. 404
— Vulkane . . . . . CBl 1906 243
— vulkan. Erscheinungen 1907 I 376
— vulkan. Staub 1902 1904 I 227. 404. 405
siehe auch Montagne Pelée etc.
Westkliff, Sylt, Diluvium BB XXII *139*
Westpreußen
— Bodenanalysen, Diskussion . . . . . 06 II 202
— Steinwaffen, petrogr. Zusammensetzung . 06 II 202
— Untersenon . . . . 07 I 435
Wetterau, mitteloligocäner Meeressand b. Vilbel . . . . . CBl 1905 *531*
Wetterbeständigkeit der Bausteine (Sandsteine) 08 II 218
Wettersteingebirge, Geologie . . . . . 09 I 411
Whewellit
— Böhmen, Brüx . . . 09 I 15. 17
— — Schlan etc., u. Eigenschaften . 1909 I 195. 196
— Elaß, Urbeis, Grube St. Sylvester . . . CBl 1909 *553*
— Sachsen (Burgk und Freiberg), Krist. . . CBl 1908 *659*
Whitella (?) inutilis, Haverfordwest District 06 II 307
Wichita-Konglomerat, Perm. Texas . . . 08 I 258
Widdringtonia Lisbethiae, Korallenoolith. Norddeutschland . . 09 I 462
Widdringtonites fasciculatus, Kreide, New York . . . . . 08 I 454
— oblongifolius var. lanceolata, Bernstein, Ostpreußen . . . . 09 I 307
Widmannstättensche Struktur, Entstehung 05 I *158*
Wiederkäuer, posttertiär, Rußland . . . . . 07 II 299
Wieliczka, Salzberg u. Salzwerke 1905 II 117 06 II 405
Wien, Quartär, Konchylien des Löß . . . . 07 II 460
Wiesenerz, Mangan- . . 09 I 80
Wiesental und Seitentäler, Schwarzwald, Glazialerscheinungen BB XXI *401*
Willemit
— gibt mit H Cl Orthokieselsäure . . . . 1907 I 25
— Clifton-Morenci-Distrikt, Arizona . . . 06 I 173
— Concepcion del Oro, Zacatecas, Mexiko BB XXVIII *553*
— Franklin Furnace, Brechungskoeffizienten . 08 II 143
— Stirling Hill, N. J., Kristallform . . . . 08 II 28
Williamsonia Bibbinsi, gallinacea u. oregonensis . . . . . 07 II 503 ff.
Winderosion, Zentralasien, Gobi, Dreikantner . . . . . 06 I 98
Windward-Inseln, Westindien, Entstehung . 07 I 376
Windwirkungen, Antarktis etc. . . . . 06 II 352
Wirbel u. Strudel im fließ. Wasser, Wichtigkeit . . . . . 07 I 382
— pneumatisierter, eines Anomodontiers (Tamboeria Maraisi), unt. Karruformation, Kapkolonie . . . . . 06 I 310
Wirbeltiere
— Entstehung . . . . 05 II 133
— Flugbegabung . . . 09 I 128
— schwimmende, wichtigste Anpassungstypen . . . . . CBl 1907 *225*
— Aegypten . . . . . 06 I 152
— American Museum of. Natural history . . 06 II 442
— Argentinien . . . . 06 II 124
— bayr.-schwäb. Hochebene, Obermiocän . 06 I 124
— Madagaskar . . . . 06 II 443
— Mosbacher Sande . 05 I 485
— Nordamerika, Uebersicht . . . . . 05 II 298
Wirbeltierfährten, Neocomflysch, Ybbsitz (Niederösterreich) . 05 II 434
siehe auch Fußfährten.
Wisconsin
— Beziehung zw. Keweenaw-Trapp und Sandstein am Lake Superior . . . . 06 I 93
— Geologie von Nord- 09 I 226
— Lake Superior, Geol. 05 I 231

Wismut
— Diamagnetismus . . 1906 II 154
— heteromorphe Modifikation . . . . . 08 II 155
— Pala, Cal. . . . . 05 I 17
Wismutaurit, Rußland . 09 II 332
Wismutglanz, Riddarhyttan . . . . . 07 II 356
Wismuthocker, Pala, Cal. 05 I 17
Witherit
— Dissoziation b. höherer Temperatur . . 08 I 16. 17
— Settlingstone (Northumberland), Lagerstätte . . . . . 08 I 180
Wittichenit
— vergl. m. Dognacskait 07 II 16
— Dognaczka=Dognacskait . . . . . 06 II 15
Witwatersrand, goldhalt. Konglomerate . . . 06 I 70
Witwatersrand-Schichten
— Beziehung z. „Alten Granit“ u. Ausdehnung . . . . . 06 I 269
— Klerksdorp-Distrikt, Transvaal . . . . . 07 I 111
Witwatersrand-Schiefer, Südafrika, Entstehung 05 II 392
Wladiwostok, Trias u. Jura . . . . . 09 I *1*
Wladiwostok-Schichten, vergl. mit Werfener Schichten, Südtirol . CBl 1908 *67*
Wocheiner Save u. Bača-Tal, Geologie . . . 05 I 448
Wolframate von Sr, Ba u. Ca, Kristallform . 06 II 344
Wolframerze, Boulder County, Colorado . . 09 I 234
Wolframit
— Black Hills, Montana 05 II 32
— Boulder Co., Cal., Krist. . . . . 06 II 157
— Luitré, Ille-et-Villaine 05 II 369
— Neu-Süd-Wales, Krist. 06 I 360
— Nordamerika, Produktion . . . . . 06 I 355
— Queensland, nördl. . 06 II 26
Wolframit-Quarzgänge, Tirpersdorf (Vogtland) . . . . . 09 II 242
Wolframmineralien, Sardinien, Genna Gurese 08 II 319
Wolken, vulkanische, Vesuv 1906 . . . . . 08 I 43
Wollastonit
— Bildung . . . . . 1907 II 11
— isomorph mit Rhodonit . . . . . 09 II 344
— künstlich, durch Kristallisationsschieferung . . . . . 07 I 334
— Aranzazu, Zacatecas, Mexiko . . . . BB XXVIII *547*
— Biella, Piemont, Drusen im Syenit . . . 06 II 36
— Concepcion del Oro, Mexiko, Bildung von Nontronit durch Einwirkung von Eisensulfatlösung . . . . CBl 1909 *161*
— — — Zacatecas, Mexiko, im Kontakt mit Granodiorit BB XXVIII *492. 547*
— Finkenberg b. Bonn, im Basalt . . . . . CBl 1908 *419*
— Mte. Castelli, Toscana 07 II 40
— Schlaggenwalde . . 07 II 33
— Tolfa, pseudom. nach Granat . . . . . 06 I 376
— u. Pseudowollastonit 07 I 29
Wollastonitgestein, Santa Fé-Grube, Chiapas, Mexiko . . . . . 05 I 42
Worobieffit, Ural, Lipowka . . . . . 09 II 21
Worthenia cfr. Albertiana, Grenzdolomit, Schwaben . . . . . BB XXV *108*
— (?) canaliculata, Carbon, Neu-Süd-Wales 08 I 278
— dharmaensis u. Dieneri, Muschelkalk, Himalaya 08 II 241
— dyadica, Bellerophonschichten, Bosnien . 05 I 105
Wright'scher Quarzkeil, Modifikation . . . . CBl 1908 313
Würfelerz, siehe Pharmakosiderit.
Würmgletscher im nordwestl. Bodenseegebiet CBl 1907 *257*
Württemberg
— Erdbeben 1901—1904 06 II 187
— erdmagnet. Elemente 07 I 375
— geognost. Wegweiser 08 II 233
— geolog. Uebersichtskarte . . . . . 06 II 84
CBl 1908 *556. 589. 610. 651*
— Lettenkohle und Keuper . . . . . CBl 1907 *19. 42*
— Schweremessungen . 06 II 46

Würtzit
— heteromorph mit Zinkblende . . . . . 1908 II 147
— Sublimation . . . . 09 II 183
Wüstenkantner . . . . CBl 1907 *105*
Wulfenit, siehe Gelbbleierz.
Wynyard, NW.-Tasmanien, Glazialschichten . . 09 II *163*
Wyoming-Nebraska, Geologie und Hydrographie des Patrik and Goshen Hole quadrangle . . . . . 06 I 267
Wyomingit, Leucite Hills, Wyoming . . . . . 06 I 225

X.

Xanthidium, Natur . . CBl 1905 *340*
Xanthokon, Markirch . 09 I 24
Xanthophyllit, Zwillinge CBl 1907 *403*
Xenaspis Marcoui, Meekoceras beds, Amerika 06 II 303
— mediterranea, Untertrias, Albanien . . 08 II 399
Xenaster = Archaeasterias . . . . . CBl 1907 *750*
— dispar und elegans, rhein. Grauwacke . 09 II 322
Xenesthes velox, Kalifornien . . . . . 08 II 443
Xenodiscus Bittneri, mittl. Trias, Inyo Range . 06 II 304
Xenolithe im Basalt . . 09 II 59
siehe auch Einschlüsse.
Xenolithische Struktur, tert. Eruptivgesteine, Skye . . . . . 06 II 65
Xenophora Falsani und Hudlestoni, Zone d. Lioc. concavum, Couzon-au-Mont d'Or b. Lyon . . . . . 05 I 464
Xenophyophoren, foss. Erhaltung . . . . . 06 II 456
Xenotim
— Spektrum im magnet. Feld . . . . . 07 II 29
— Zusammensetzung . 05 I 384
— Karolina, South Mountains, im Graphit, chemisch . . . . . 09 II 369
— Nil-Saint-Vincent, Brabant . . . . . 06 I 345
— Ottawa b. Pisek, im Goldsand . . . . . 05 I 366
Xerophila ? petrocoriensis, Cenoman, Südfrankreich . . . . 1907 II 131
Xiphodon, Bartonien, Castrais . . . . . 05 II 303
Xylophomya laramiensis, Laramie-Gruppe, Wyoming . . . . . 05 I 359
Xylotil, Elba . . . . . CBl 1909 *334*
Xyphosphaera antiqua, rara u. spinosissima 06 I 474
— appenninica var. longistylus. Miocän, Italien 09 II 490
— euganea, fossilis und longispina, Scaglia, Euganeen . . . . . 06 I 475
Xyphostylus amissus und communis, Scaglia, Euganeen . . . 06 I 475
— Perneri, Kreide, Euganeen . . . . . 06 I 474

Y.

Yellowstone Park, Einfluß der Spalten u. Verwerfungen auf Flußsysteme 06 II 188
Yoldia, Posen (Nakel) . 06 I 298
Yorkia grammineoides . 07 II 501
You Yangs, Victoria, Australien, Geologie 09 I 231
Yprésien = Cuisien u. Londonton . . . . 06 II 115
Yttergranat, Iwangorod, Gouv. Ljublin. chem. 05 I 380
— Kårarfvet . . . . . 08 I 187
Yttrialit Llano County, Texas . . . . . 07 I 42
Yttrocalcit, Finbo . . . 07 II 175
Yttrocerit, Colorado, Anal. 07 II 354
Yttrokrasit, Barringer Hill, Llano Co. . . . 08 I 197
Yttrotantalit
— Norwegen, Granitpegmatitgänge d. südl. 08 I 356
— Ytterby . . . . . 09 II 356
Yttrotitanit, Kragerö (Lindvikskollen) . . 08 I 193
Yuccites vogesiacus, Verwandtschaftsverhältnisse . . . . . 09 I 151
Yukon, Alaska
— Kohlen . . . . . 06 I 237
— nutzb. Mineralien . 09 II 81
Yukon-Territorium, Erzlagerstätten . . . . 08 I 397

Z.

Zahl, topische, Bedeutung . . . . . CBl 1907 *438*
Zahlenlehre, Beziehung zu Kristallographie 1907 I 181
Zahnsystem der Huftiere. Patagonien . 05 II 454
Zahnwale, Boldérien, Antwerpen . . . . 07 I 130
Zaitha vulcanica, Miocän, Florissant, Col. 08 II 111
Zamiophyllum sambiense, Bernstein, Ostpreußen . . . . 09 I 307
Zamiopsis brevipennis, ob. Kreide, Quedlinburg . . . . . 07 I 493
Zamiostrobus crassus u. aff. index, Wealden, Peru . . . . . BB XXIV *83. 84*
Zamites Buchianus, Wealden, Nordwestdeutschland . . . . . 08 I 151
— grandis, Trias . . . 08 II 449
— pennsylvanicus . . . 07 II 500
— truncatus, Carbon, Tonkin . . . . . 08 I 310
— Weberi, Jura, Kaukasus . . . . . 09 I 147
— yorkensis . . . . . 07 II 500
Zanclodon, Nomenklatur CBl 1905 *10*
— bavaricus = Plateosaurus Engelhardti . 09 I 287
Zanclodonten, Familie . CBl 1905 *12*
Zannone (Ponza), Sedimentärgesteine . . 05 II 411
Zanthopsis cretacea, Kreide, Brasilien . . 09 I 103
Zaphrentis Delanouei, Koninckii u. Omaliusi, Carbon, Bau . . . . 09 I 292
— Ludwigii, Devon, Ostthüringen . . . . BB XXIV *276*
— spec., Culm, Königsberg b. Gießen . BB XXVIII *655*
— untercarbonisches Transgressionsmeer, Tian-Schan . . . BB XXVI *228*
Zatrachis, Perm, Texas 08 I *287*
— crucifer, Perm, Texas 07 I 139
Zechstein
— Anhalt, Kupferschiefer . . . . . 09 II 401
— Deutschland, Salzlager . . . . . 09 II 304
Zechstein
— Eichsfeld, Salzlager 1909 II 424
— Frankenberg u. Kellerwald . . . . . 07 II 92
— Frohburg-Kohren, (Sachsen), Pflanzen der Plattendolomite 05 I 539
— Kyffhäuser, Auslaugung der Salze und Oberflächengestaltung der Umgegend . . . 09 II 427
— Lüneburg . . . . . CBl 1907 692
— Osnabrück, Eisenerze des Hüggel . . . . 09 II 250
— — Piesbergsattel . 09 II 251
— Rabertshausen, Vogelsberg . . . . . 07 I 266
— Rhön . . . . . 09 I 424
— Ruhrkohlenrevier . . 07 I 414
— Sachsen-Meiningen . 06 II 411
— Teutoburger Wald . 09 II 247
— Thüringen (Mihla u. Creuzburg) . . . . 08 I 87
— Weser-Leine-Gebiet u. südhannov. Salzlager . . . . . 09 I 426
siehe auch Perm, Salzlager, Kupferschiefer etc.
Zeilleria avellana, ob. Jura, Pommern . . 06 II 102
— rostellata, Jura, Kutsch 05 I 181
Zeitmessung, geologische 05 I 224
Zement
— Bestandteile . . . . 08 II 379
— gefärbt durch organ. Farbstoffe etc. . BB XXVIII *375*
— Umkristallisieren u. Gelbildung beim Erhärten . . . . . 09 II 85
— Virginia, westl., Materialien . . . . . 09 II 246
Zementfabrikation, Ohio etc. . . . . 06 II 72
Zementindustrie, Nordamerika . . . . . 08 II 376
Zementationszone der Erzlagerstätten . . 08 I 400
— siehe auch Cementation.
Zementit
— im Eisen = Cohenit des Meteoreisens . . 05 I *123*
— — künstlich . . . . 06 I 243
Zentralafrika, Britisch-, Gesteine u. Mineralien 07 I 236

Zentralkordillere
— columbianische, Geol. CBl 1908 *195*
— columbische . . . . CBl 1907 *545*
— siehe auch Anden u. Kordilleren.
Zentrogene Sphärolithe 1906 I 204
Zeolithe
— Albinisierung . . . CBl 1906 *80*
— basische Substitutionen 06 II 336
— chem. Konstitution . 08 II 314
— — — nach Tschermak's Methode . . . 09 II 193
— Färbung durch organ. Farbstoffe . . . . BB XXVIII *363*
— Fehlerquellen bei Bestimmung d. Wassergehalts . . . . . CBl 1909 *677*
— Glimmerzeolithgruppe . . . . . CBl 1907 411
— Glühverlust als mineralog. Kennzeichen . . 06 I *20*
— Konstitution u prakt. Bedeutung im Erdboden . . . . . 07 I 353
— Kontraktionsfiguren u. -risse bei Behandlung mit Säuren . . 08 I 335
— künstliche, zur Verbesserung des Gebrauchswassers . . 09 II 371
— Rolle des Wassers . 06 II 337
— Unterscheidung der Glimmerzeolithe . . 08 II 36
— Wassergehalt, Fehlerquellen bei Bestimmung . . . . . CBl 1909 *677*
— Zusammensetzung . 08 II 32
— Belfast, Irland, im Basalt . . . . . CBl 1908 176
— — u. Cornwall . . CBl 1908 52
— Biella, Piemont, Drusen im Syenit . . . 06 II 41
— Christdorf, Mähren, Eisenerzlager . . . CBl 1907 *322*
— Easton, New Jersey, Analyse . . . . . 06 I 354
— Elba, Speranza-Gang b. S. Piero . . . 1908 II 33. 35
— erythräische Kolonie 08 II 36
— Färöer . . . . . 09 I 27 CBl 1908 *681* CBl 1909 *778*
— Fellberg, in Petersdorf b. Zöptau (Mähren) . . . . . CBl 1905 *609*
— Grönland, im Basalt CBl 1908 344
— — — des östlichen 06 II 182
Zeolithe
— Hainburg (Niederösterreich) . . . . . 1908 I 32
— Japan . . . . . 09 I 193
— Krebshöhe b. Schönpriesen, Böhm. Mittelgebirge . . . . . CBl 1909 *154*
— Mogy-Guassù, São Paulo, Brasilien, im Diabas . . . . . CBl 1906 *330*
— Monzoni u. Predazzo 06 I 59
— Moore Station, New Jersey . . . . . 06 I 352
— Sachalin . . . . . 08 II 334
— San Piero in Campo, Elba, wahrsch. neu 06 I 344
— Sardinien (Montresta), chemisch . . . 1909 II 26. 195
— Schmiedeberg (Riesengeb.), im Granit . . CBl 1909 *772*
— Seiser Alp . . . . . 07 II 28
— Zöptau, Mähren, im Amphibolit . . . . 06 I 343
Zeophyllit . . . . . CBl 1907 411
— Albinisierung . . . CBl 1906 *80*
— Kontraktionsfiguren bei Behandlung mit Säuren . . . . . 08 I 336
— umfaßt Gyrolith z. T. u. Albinisierung . . CBl 1906 *80*
— Unterscheidung v. d. anderen Glimmerzeolithen . . . . . 08 II 37
— Böhmen, neue Fundorte . . . . . CBl 1906 *80*
— Böhm. Mittelgebirge, Krebshöhe b. Schönpriesen . . . . . CBl 1909 *154*
— Radzein, Böhm. Mittelgebirge 1906 II 18 CBl 1905 *245*
Zeosphäre . . . . . 06 II 200
Zerbrochene Gerölle, Dear Creek, Arizona, im Kreidekonglomerat . 08 I 241
Zerknitterung durch subaquat. Rutschung . 08 II *151*
Zerrungsbogen (ostasiat. Typus der Bogengebirge) . . . . . 05 I 120
Zersetzte Gesteine, Absorptionserscheinungen . . . . . 06 I 51
Zeuglodon, Beckengürtel eines scheinbaren, Eocän, Alabama . . CBl 1906 *450*
— Gehirn . . . . . 06 I 147

Zeuglodon. Boldérien, Antwerpen . . . . 1907 I 130
— Eocän, Aegypten . . 09 II 119
— Tertiär, Fayum . . 07 II 315
— caucasicus, Harwoodi, Osiris, Paulsonii, Puschi, Vredense u. Wanklyni. Eocän, Aegypten (z. T.) . . 05 I 486
— Isis, Mitteleocän, Aegypten . . . . . 06 I 450
Zeuglodonten, Bau . . 05 I 487
Ziegel, feuerfeste (Dinasteine), mikrosk. . . 09 II 14
Ziehharmonikastruktur, Moine-Gneis, schott. Hochlande . . . . . 05 II 390
Zinder, Afrika, Alkaligranite . . . . . 07 II 413
Zink
— facettierte Kügelchen CBl 1907 601
— umkristallisiert durch vulk. Hitze, Martinique 05 I 368
Zinkblende
— heteromorph mit Würtzit . . . . . 08 II 146
— krist. u. phys. . . BB XXVI *151*
— Ajudagh, Krim . . 09 II 367
— Binnental, Krist. . . 06 II 31
— — Ueberzug. . . . CBl 1905 *30*
— Bisbee Quadrangle, Arizona . . . . . 06 I 175
— Calafuria sdl. Livorno, im Macigno . . . . 06 I 169
— Carrara, im Marmor 07 I 215
— Markirch . . . . . 09 I 25
— Nagolnij-Gebirge, Donetz-Becken, Pseudom. v. Weißbleierz nach der Spaltbarkeit der Z. . 1907 II 195 CBl 1908 *7*
— Nagolnij Krjasch. Donetz-Becken . . . . 07 II 193
— Nordamerika (Illinois, Wisconsin u. Kentucky) . . . . . 06 II 180
— Saint-Laurent-le-Minier (Gard), Entstehung des Lagers 08 I 79
— Santander, Sublimation 09 II 183
— Sardinien, spektrosk. Untersuchung . . . 09 II 321
— Schmiedeberg (Riesengeb.), im Granit CBl 1909 *771*
— Traversella . . . . 08 I 40
— Ungarn, Bojcza, Krist. 09 I 336
Zinkblüte, siehe Hydrozinkit.
Zinkerze
— Arkansas, Ozark Region . . . . . 1905 II 36
— Concepcion del Oro, Zacatecas, Mexiko BB XXVIII *553*
Zinkopal, Rhodesia, Broken Hill-Grube . 09 II 36
Zinkoxyd
— künstl., Kristalle . . CBl 1905 *205*
— Falvahütte, Oberschlesien, krist. u. chemisch . . . . . CBl 1905 *54*
Zinkphosphate
— Rhodesia . . . . . CBl 1908 51
— — Broken Hill-Grube 09 II 31
Zinkspat
— Dschebel Ressas, Tunesien . . . . . 07 I 41
— Otavi, SW.-Afrika CBl 1906 *389*
— San Aniceto (Almaden, Spanien) . . . 08 I 333
Zinnerz, begleitet v. Turmalin . . . . . 05 I 101
Zinnerze, Franz. Laos . 07 II 425
Zinnerzlagerstätten
— Alaska, York Region 05 II 179
— — Seward-Halbinsel 09 II 80
— Bolivia . . . . . 09 II 242
— Carolina, sdl. Appalachen . . . . . 09 I 234
— Cornwall, granit. Gesteine . . . . . BB XXVIII *1*
— Malaiische Halbinsel, bs. Kinta-Distrikt . 05 I 100
— Schlaggenwalde, Mineralien . . . . . 07 II 32
siehe auch Zinnstein.
Zinnkies, Bolivia, Oruro, regelm. Verwachsung mit Fahlerz . . . . 08 II 338
Zinnober
— Sublimation . . . . 09 II 183
— Avala u. Bare (Serbien) und Idria, radioaktiv 05 I 5
— Avala-Berg, Serbien, Vorkommen . . . . 08 I 246
— Borneo, westliches . 09 II 99
— Bosnien u. Hercegowina, Lagerstätten . 09 II 405
— Gratwein b. Graz . CBl 1908 *279*
— Kalifornien, Sonoma County, Kristalle . . CBl 1907 *17*
— Kara-Barun, Kleinasien . . . . . 06 I 331

Zinnober
— Maltern u. Hochneukirchen (Niederösterreich) . . . . . CBl 1908 *282*
— Nagolnij Krjasch, Donetz-Becken . . . . 1907 II 193
— Nikitowka, Zwillingsbildung . . . . . BB XXIII *312*
— Terlingna, Texas. Vorkommen . . . . 08 I 247
— Texas, Lagerstätten 1907 II 80 08 I 247
— — Produktion 1903 06 I 356
— Vallalta-Sagron, Lagerstätten . . . . . 07 I 259
Zinnstein
Elektrizitätsleitung. 1906 II *29* 07 II 5
— Afrika, Lagerstätten im südlichen . . . . 08 I 396
— Barjac, Lozère-Departement . . . . . 06 I 332
— Bautshi-Zinnfeld, Nordnigeria . . . . 07 I 79
— Bolivia, Potosi, Sechslinge . . . . . 08 II 338
— — Pseudomorphose 08 II 300
— Ceylon . . . . . 06 I 166
— Luitré, Ille-et-Villaine . . . . . 05 II 369
— Madagaskar, Anal. . 07 I 81
— Malakka, mit sekundären Zwillingslamellen . . . . . CBl 1908 *427*
— Nigeria, Nord-, Bautshi . . . . . 07 I 79
— Nordamerika . . . 06 II 160
— Pitkäranta, Kristallformen . . . . . 06 I 22
— Queensland, nördl. . 1906 II 27 08 I 244
— Transvaal, Buschveld-Vorkommen . . 06 II 228
siehe auch Zinnerz u. Zinnerzlagerstätten.
Zinnsulfid, künstlich, Schmelzpunkt . . . 09 II 183
Zinnwaldit, Alaska, Anal. 09 I 19
Ziphiidae
— Beziehung zu Squalodonten . . . . . 06 II 295
— Boldérien, Antwerpen 07 I 135
Ziphius, Boldérien, Antwerpen . . . . . 07 I 132
Zirkon, Bestimmung in Gesteinen . . . . . 06 I 5
Zirkon
— Einwirkung von Radiumstrahlen auf Färbung . . . . . CBl 1909 *721*
— Färbung und deren Aenderung . . . . BB XXVI *257*
— Kristallstruktur . . 1907 I 183
— mit Lichtschein . . 07 I *16*
— photograph. Wirkung CBl 1909 *147*
— Alter-Pedroso, Portugal, im Granulit . 05 I 373
— Ceylon . . . . . 1906 I 179. 185
— — unregelmäßige Kristalle G. = 4,0 . . 06 I 21
— Finkenberg b. Bonn, im Basalt . . . . . CBl 1908 *419*
— Grönland . . . . . CBl 1908 408
— Ilmengebirge. . . . 06 I 22
— Laacher See, im Sanidinit, Kristallform . CBl 1909 *721*
— Montorfano, Baveno 07 I 39
— Nordamerika, Produktion 1903 . . . 05 II 29
— Olgiasca, Comer-See, im Pegmatit 1905 I 203 06 I 376
— Ottawa b. Pisek, im Goldsand . . . . . 05 I 366
— Pisek, Böhmen. . . 08 I 332
— Sundsvale, Schweden, im Syenit . . . . . 05 I 384
— Tasmanien . . . . CBl 1905 *483*
— siehe auch Hyacinth.
Zirkularpolarisation
— quadrat. Kristalle . 05 II 336
— zweiachsiger Krist. . 05 II 335
Zirkulation des Meerwassers . . . . . 08 I 52
Zitate, moderne . . CBl 1909 *353. 536*
Zizyphinus Faucheroni u. Thiollieri, Zone d. Lioc. concavum, Couzon-au-Mont-d'Or b. Lyon . . . . . 05 I 464
— Schafhäutl, Hypersenon, Peterwardeiner Gebirge. . . 06 II 267
Zizyphus oblongus, Kreide, New York . . . 08 I 456
Zoa Alixi, Eocän, Paris 07 II 303
Zöptau, Mähren
— Mineralien d. Amphibolitgebiets . . . . 08 I 202
— Zeolithe im Amphibolit 06 I 343
— — vom Fellberge in Petersdorf . . . . CBl 1905 *609*

Zoisit . . . . . 1909 I 317
— Chester, Mass., Krist. 09 I 20
— Mte. Corchia, Toscana 07 II 37
— Susa-Tal, im Prasinit der Rocca Bianca 1906 II *105 ff.*
— Trace Mine, Unter-Kalifornien . . . . 08 II 31
Zonen, flächenreiche, Aufeinanderfolge u. gegenseitige Beziehungen der Flächen 05 II 332
Zonen oder Flächen als Ausgang der Formenentwicklung . . . . 06 I 322
Zonengesetz, elementarer Beweis . . . CBl 1909 *27*
Zonenlehre, Sätze . . . 06 I 321
Zonenstruktur kristallin. Schiefer . . . . . 05 I 71
Zonenverband, Entwicklung der Kristallflächen . . . . . 05 I 1
Zucker
— Löslichkeit bei Zwillingen etc. . BB XXIII *291. 332*
— optische Aktivität des Rohr- . . . . 06 I 3
— Zirkularpolarisation des Rohrzuckers . . 05 II 335
Züricher See, Entstehung und Alter . . . . 05 II 378
Zuni-Salzsee, Neu-Mexiko, Entstehung . . . . 07 I 48
Zusammendrückbarkeit der Gesteine . . . 07 I 263
Zusammenkristallisieren von löslichen Salzen 09 I 161
Zusammenschub, seitlicher, im Buntsandstein, Sulzmat . . CBl 1907 *489*
Zusammensetzung konstanter Lösungen bei 83° . . . . . 05 I 193
— durchschnittl., der Eruptivgesteine . . 06 I 46
Zweck der Eruptionen . CBl 1906 *437*
— der Naturerscheinungen . . . . . CBl 1906 *189*
Zweiachsige Kristalle
— Zirkularpolarisation 05 II 335
— optischer Charakter 07 I 226
Zweikreisiges Goniometer, Berechnung für triklin. System (Anorthit) . . . . . 1907 I 2
siehe auch Goniometer.
Zweischaler, siehe Muscheln.
Zwillinge
— Ausbildung und Entstehung . . . . . BB XXIII *237*
— Berechnung . . . . 08 I 2. 14
— — in den schiefwinkligen Achsensystemen 08 II 1
— Composit- . . . . . 08 II 140
— Hetero- . . . . . 08 II 140
— Kristallstruktur . . 05 II 161
— oktaedrische, doppeltbrechende . . . . . 07 I 184
— physik. Theorie etc. 09 II 5. 6
— Zeichnen CBl 1908 177 09 I 179
— Zusammenhang mit anderen Erscheinungen BB XXIII *237*
Zwillingsbeben . . . . 06 I 363
— Leicester 4. Aug 1893 06 I 361
Zwillingsbildung
— fließend-weicher Kristalle . . . . . 06 II 151
— zahlreicher künstlicher Substanzen BB XXIII *237*
— Enantiomorphie und Polarität . . . . BB XXIII *237*
Zwillingsgesetz v. Haüy 06 II 148
Zwillingsgesetze, Tabelle der bekannten . . BB XXIII *344*
Zwillings- und Kristallisationsgesetze, einheitliche Ableitung . 05 II 332
Zwillingsstruktur . . . CBl 1908 177
Zwillingstheorie Tschermak's und Glimmerzwillinge . . . . . CBl 1907 *400*
Zygopleura (?) Benoisti, Bathonien, St. Gaultier (Indre) . . . . 08 I 262
— gansingensis, Keuper, Gansingen . . BB XXV *111*
Zygospira Hicksi, Untersilur, Haverfordwest District . . . . . 06 II 140

REPERTORIUM

zum

Neuen Jahrbuch für Mineralogie

Geologie und Paläontologie

für die

Jahrgänge 1905—1909, das Centralblatt für Mineralogie, Geologie und Paläontologie Jahrgänge 1905—1909 und die Beilage-Bände XXI—XXVIII.

Ein Personen-, Sach- und Orts-Verzeichnis

für die darin enthaltenen Originalabhandlungen und Referate.

Stuttgart.
E. Schweizerbart'sche Verlagsbuchhandlung
Nägele & Dr. Sproesser.
1911.

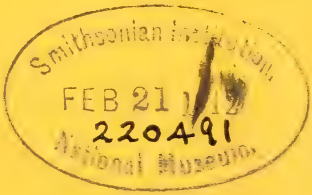

I 68

Druck von Carl Grüninger, Stuttgart.

SMITHSONIAN INSTITUTION LIBRARIES
3 9088 01369 0656